

Zahnstangentriebe mit Synchron-Servomotoren

In Kooperation mit



STÖBER

Zahnstangentriebe mit Synchron-Servomotoren

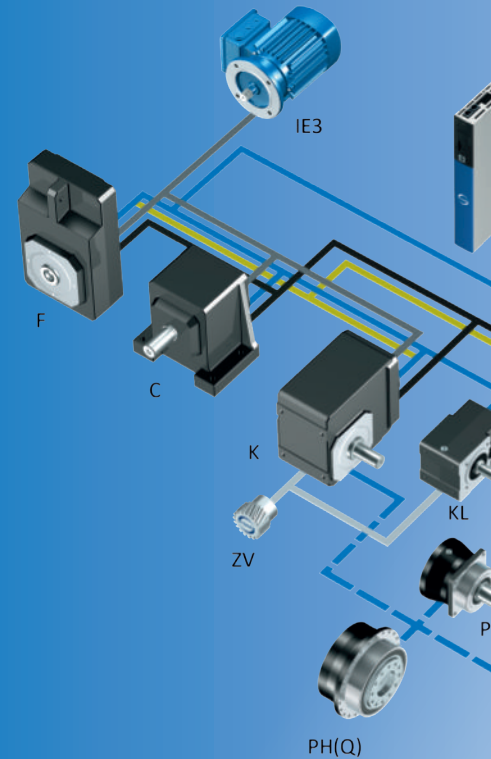
Ein Partner. Alle Möglichkeiten.

STÖBER entwickelt und produziert seit 1934 exzellente Antriebstechnik und ist mit rund 1000 Mitarbeiterinnen und Mitarbeitern international an 12 Standorten aktiv. Mit passgenauen, hocheffizienten Antriebssystemen für anspruchsvolle Bewegungen überzeugt STÖBER Maschinenhersteller in unterschiedlichsten Branchen und Märkten weltweit.



„Unsere Vision ist es, bevorzugter Partner für die perfekte Bewegung zu sein.“

- Rainer Wegener, Geschäftsführer STÖBER Antriebstechnik.

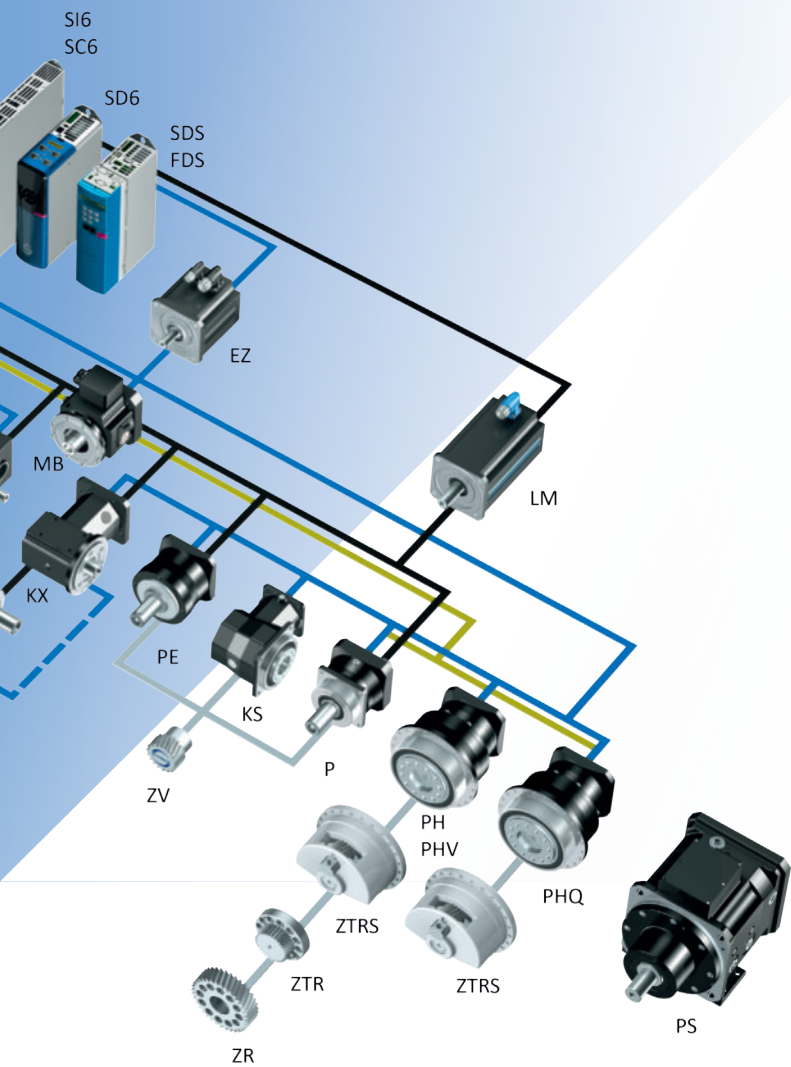


Zahnstangentriebe mit Synchron-Servomotoren – das erwartet Sie!

Aus voller Drehung ins Lineare: Mit dem innovativen Systemkonzept für Zahnstangentriebe hat STÖBER ein kompaktes, prozesssicheres Easy-to-Use-System entwickelt, das genau auf die Anwendungsbereiche Werkzeugmaschinen, Automation und Robotik abgestimmt ist. Kombiniert mit unseren Planeten- oder Kegelradgetrieben sowie STÖBER Synchron-Servomotoren profitieren Sie von äußerst kompakten, hochdynamischen Antriebslösungen. Flexibler geht's nicht.

Zuhause in der Welt anspruchsvoller Bewegung

- Getriebe
- Getriebemotoren
- Motoren
- Kabel und Antriebsregler



Alles aus einer Hand.

Das STÖBER Antriebssystem aus Getrieben, Motoren, Kabeln und Antriebsreglern ist modular aufgebaut und frei skalierbar – für passgenaue, kompakte und leistungsstarke Maschinenkonzepte. Es kann bedarfsgerecht auf Ihre individuellen Anforderungen in nahezu allen Branchen und Anwendungsgebieten angepasst und kombiniert werden.

Wir prüfen jede einzelne Komponente sowie deren Zusammenspiel und übernehmen Verantwortung für den kompletten Antriebsstrang. Das bedeutet für Sie: Einen Ansprechpartner, zertifizierte Betriebssicherheit und höchste Maschinenverfügbarkeit garantiert.

Besondere Lösungen gefragt?

Zahlreiche einzigartige Produkt-Highlights und projektbezogene Anpassungen machen's möglich. Mit ganzheitlicher Betrachtungsweise für Ihre spezifische Aufgabenstellung erarbeiten wir gemeinsam individuelle Lösungen, die optimal auf Ihre Anforderungen abgestimmt sind. Engagiert und lösungsorientiert in der Unterstützung Ihrer Visionen und Projekte.

STÖBER bewegt ganzheitlich und passgenau.

Wir bringen mit Leidenschaft und großem Engagement Ideen in Bewegung. Dabei greifen wir auf jahrzehntelange Erfahrung und ein außerordentlich breites Produktportfolio zurück. Unsere Kundinnen und Kunden profitieren von passgenauen, praxisorientierten Systemlösungen mit kompromissloser Qualität und kompetenter persönlicher Beratung.



STÖBER bewegt als Team und mit Persönlichkeit.

Als Familienunternehmen legen wir besonderen Wert auf enge Beziehungen und einen vertrauensvollen Umgang untereinander. Der Mensch steht für uns im Mittelpunkt.

Wir setzen uns für das Wohlergehen unserer Mitarbeiterinnen und Mitarbeiter ein, identifizieren uns mit den Erwartungen unserer Kundinnen und Kunden und zeigen persönlichen Einsatz für den gemeinsamen Erfolg.



„Von STÖBER haben wir in nahezu allen unseren Anlagen Getriebe, Motoren und Antriebsregler verbaut. STÖBER unterstützt uns bei Neuprojekten vom ersten Bleistiftstrich in der Konstruktionsphase bis hin zur Inbetriebnahme. Unsere langjährige Kooperation ist geprägt durch ein offenes und ehrliches Miteinander und versprüht einen ganz besonderen Geist. Die technische Beratung, der Support – das ist echte gelebte Partnerschaft“

- Jürgen Leicht, Geschäftsführer Leicht Stanzautomation.



Gemeinsam. Weltweit. Erfolgreich.

Mit Blick in die Zukunft stellt sich STÖBER den Herausforderungen der Digitalisierung und investiert in ganzheitliche Lösungen und eine starke weltweite Produktions-, Vertriebs- und Servicepräsenz. Ende 2019 wurde STÖBER China gegründet. Damit sind wir an 12 Standorten und mit 80 Service-Partnern weltweit in über 40 Ländern präsent.

STOBER Drives
Systems Technology
Taicang, China.



Inhaltsverzeichnis

■	1	Auswahlhilfe.....	9
■	2	Zahnstangentriebe ZTRSPH.....	13
■	3	Zahnstangentriebe ZTRSPHQ.....	35
■	4	Zahnstangentriebe ZTRSPHV.....	47
■	5	Zahnstangentriebe ZTRPH.....	61
■	6	Zahnstangentriebe ZTRPHV.....	91
■	7	Zahnstangentriebe ZRPH.....	103
■	8	Zahnstangentriebe ZVP.....	127
■	9	Zahnstangentriebe ZVPE.....	153
■	10	Zahnstangentriebe ZVKS.....	169
■	11	Zahnstangentriebe ZVKL.....	195
■	12	Zahnstangentriebe ZVK.....	209
■	13	Synchron-Servomotoren EZ.....	251
■	14	Anschluss an Antriebsregler von Fremdherstellern.....	291
■	15	Anhang.....	319

1 Auswahlhilfe

1.1 Zahnstangentriebe mit Synchron-Servomotoren



Produktkapitel	ZTRSPH	ZTRSPHQ	ZTRSPHV	ZTRPH	ZTRPHV	ZRPH
Kapitelnummer	[2]	[3]	[4]	[5]	[6]	[7]

Technische Daten

m_n	3 – 8 mm	8 mm	5 – 8 mm	2 – 6 mm	5 – 6 mm	2 – 4 mm
z	15 – 32	19	15 – 20	12 – 32	16 – 19	30 – 40
F_{f2acc}	2,8 – 79 kN	107 – 124 kN	17 – 77 kN	1,9 – 67 kN	22 – 67 kN	0,93 – 16 kN
v_{f2N}	0,12 – 4 m/s	0,09 – 0,26 m/s	0,14 – 0,49 m/s	0,11 – 4 m/s	0,13 – 0,39 m/s	0,16 – 6 m/s
Δs	8 – 56 μ m	70 μ m	15 – 56 μ m	4 – 44 μ m	15 – 44 μ m	10 – 56 μ m

Die Erklärung der Formelzeichen finden Sie im Kapitel [15.1].

Merkmale

Leistungsdichte	★★★★★	★★★★★	★★★★★	★★★★☆	★★★★☆	★★★☆☆
Lineares Spiel	★★★★★	★★★★☆	★★★★☆	★★★★★	★★★★☆	★★★★★
Preisklasse	€€€€€	€€€€€	€€€€€	€€€€	€€€€	€€€
Laufruhe	★★★★☆	★★★★☆	★★★★☆	★★★★☆	★★★★☆	★★★★☆
Lineare Steifigkeit	★★★★★	★★★★★	★★★★★	★★★★☆	★★★★☆	★★★☆☆
Massenträgheitsmoment	★★★★☆	★★★★☆	★★★★☆	★★★★☆	★★★★☆	★★★★☆
Legende	★☆☆☆☆ gut ★★★★★ hervorragend € Economy €€€€€ Premium					

Ritzelverzahnung						
Schrägverzahnung	✓	✓	✓	✓	✓	✓
Verzahnungsqualität	5	5	5	5	5	5
Lagerausführung						
Standard	✓	✓	✓	✓	✓	✓
Verstärkt				✓ (PH3 – PH5)		✓ (PH3 – PH5)
Zubehör						
Filzzahnrad	✓	✓	✓			

ATLANTA Zahnstangen

Bei unserem Kooperationspartner Atlanta sind alle zu unseren Produkten passenden Zahnstangen verfügbar.

<http://atlantagmbh.de/>

1 Auswahlhilfe

1.1 Zahnstangentriebe mit Synchron-Servomotoren



Produktkapitel	ZVP	ZVPE
Kapitelnummer	[8]	[9]

Technische Daten

m_n	2 – 4 mm	2 – 3 mm
z	16 – 25	16 – 25
F_{r2acc}	0,8 – 11 kN	0,48 – 6,1 kN
v_{r2N}	0,08 – 4,5 m/s	0,13 – 4,5 m/s
Δs	8 – 44 μ m	40 – 83 μ m

Die Erklärung der Formelzeichen finden Sie im Kapitel [15.1].

Merkmale

Leistungsdichte	★★★★☆	★★★★☆
Lineares Spiel	★★★★★	★★★★☆
Preisklasse	€€	€
Laufruhe	★★★★☆	★★★★☆
Lineare Steifigkeit	★★★★☆	★★★★☆
Massenträgheitsmoment	★★★★☆	★★★★☆
Legende	★★★★☆ gut ★★★★★ hervorragend € Economy €€€€€ Premium	

Ritzelverzahnung		
Schrägverzahnung	✓	✓
Verzahnungsqualität	6	6

Lagerausführung		
Standard	✓	✓
Axial verstärkt	✓	

ATLANTA Zahnstangen

Bei unserem Kooperationspartner Atlanta sind alle zu unseren Produkten passenden Zahnstangen verfügbar.

<http://atlantagmbh.de/>

1 Auswahlhilfe

1.1 Zahnstangentriebe mit Synchron-Servomotoren



Produktkapitel

ZVKS

ZVKL

ZVK

Kapitelnummer

[10]

[11]

[12]

Technische Daten

m_n	2 – 4 mm	2 mm	2 – 4 mm
z	18 – 25	16 – 20	18 – 25
F_{r2acc}	1,3 – 11 kN	0,34 – 2,7 kN	0,91 – 15 kN
v_{r2N}	0,08 – 3 m/s	0,21 – 3,3 m/s	0,04 – 3,4 m/s
Δs	37 – 44 μm	99 – 123 μm	12 – 111 μm

Die Erklärung der Formelzeichen finden Sie im Kapitel [15.1].

Merkmale

Leistungsdichte	★★★☆☆	★★☆☆☆	★☆☆☆☆
Lineares Spiel	★★★☆☆	★☆☆☆☆	★★★☆☆
Preisklasse	€€€	€	€
Laufruhe	★★★★☆	★★☆☆☆	★★★☆☆
Lineare Steifigkeit	★★★☆☆	★☆☆☆☆	★☆☆☆☆
Massenträgheitsmoment	★★★★☆	★★★★☆	★★★★☆
Legende	★☆☆☆☆ gut ★★★★★ hervorragend € Economy €€€€€ Premium		

Ritzelverzahnung			
Schrägverzahnung	✓	✓	✓
Verzahnungsqualität	6	6	6

ATLANTA Zahnstangen

Bei unserem Kooperationspartner Atlanta sind alle zu unseren Produkten passenden Zahnstangen verfügbar.

<http://atlantagmbh.de/>

1 Auswahlhilfe

1.2 Synchron-Servomotoren



Produktkapitel

EZ

Kapitelnummer

[▶ 13](#)

Technische Daten

M_N	0,89 – 77,2 Nm
M_0	0,95 – 94 Nm

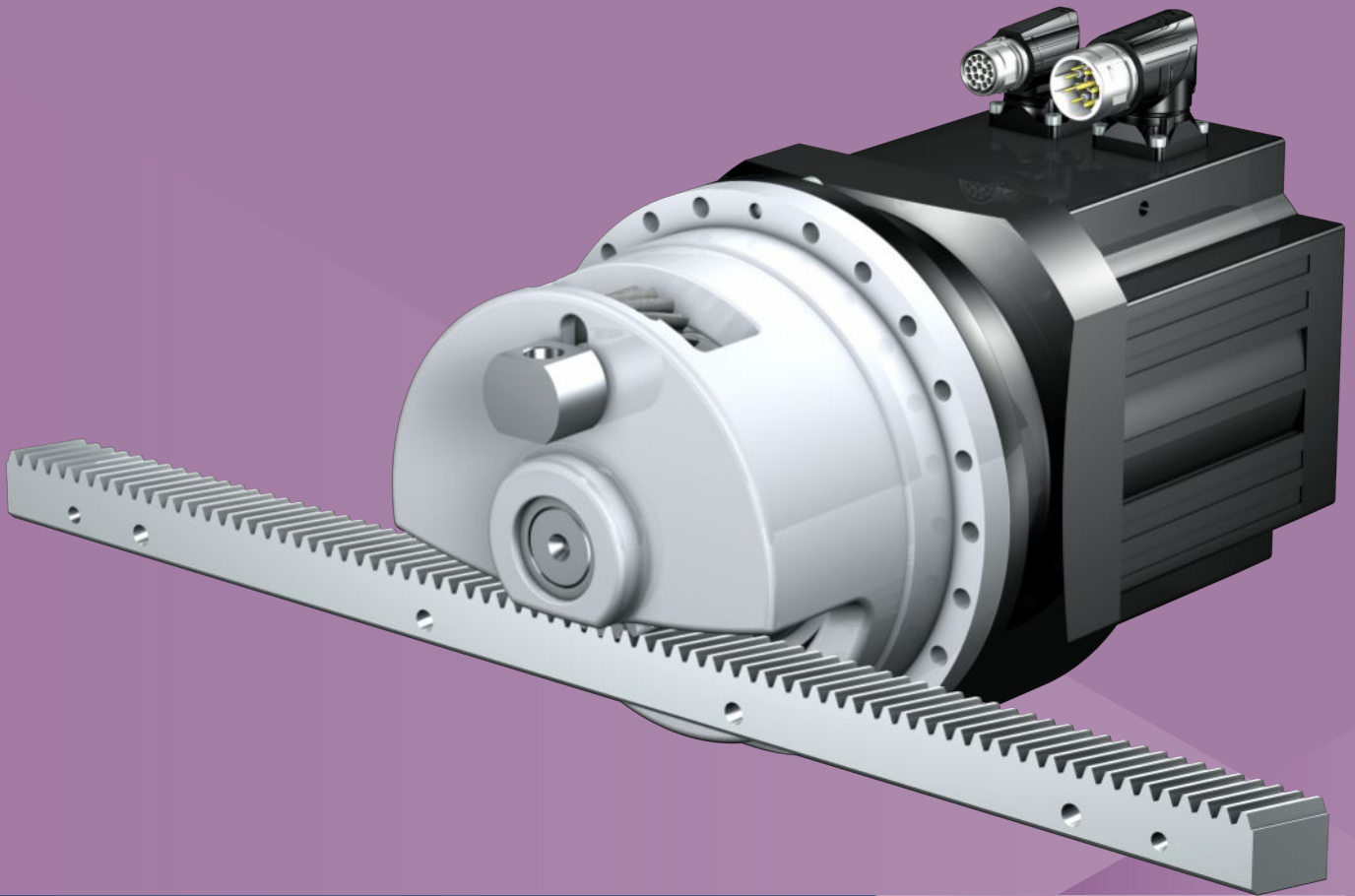
Die Erklärung der Formelzeichen finden Sie im Kapitel [▶ 15.1](#).

Wellenausführung	
Vollwelle ohne Passfeder	✓
Flanschhohlwelle	
Encoder	
EnDat 3 One Cable Solution (OCS)	✓
EnDat 2.2	✓
EnDat 2.1	✓
Resolver	✓
Kühlung	
Konvektionskühlung	✓
Fremdbelüftung	✓
Bremse	
Permanentmagnet-Haltembremse	✓
Kennzeichen und Prüfzeichen	
CE	✓
cURus	✓
UKCA	✓

2 Zahnstangentriebe ZTRSPH

Inhaltsverzeichnis

2.1	Übersicht	14
2.2	Auswahltabellen	15
2.3	Maßzeichnungen	23
2.4	Typenbezeichnung	26
2.4.1	Typenschild	27
2.5	Produktbeschreibung	27
2.5.1	Eintriebsoptionen	27
2.5.2	Zahnstange	28
2.5.3	Einbaubedingungen	28
2.5.4	Schmierstoffe	28
2.5.5	Position der Steckverbinder	28
2.5.6	Weitere Produktmerkmale.....	28
2.5.7	Drehrichtung	29
2.6	Projektierung	29
2.6.1	Antriebsauswahl.....	30
2.6.2	Empfehlung Radialwellendichtringe	33
2.7	Weitere Dokumentation.....	33



2 Zahnstangentriebe

ZTRSPH

2.1 Übersicht

High-Performance Präzisions-Planetengetriebemotoren mit Stützlagerglocke

Merkmale

Leistungsdichte	★★★★★
Lineares Spiel	★★★★★
Preisklasse	€€€€€
Laufruhe	★★★★☆
Lineare Steifigkeit	★★★★★
Massenträgheitsmoment	★★★★☆
Einbaufertige Antriebslösung	✓
Ritzel Verzahnungsqualität 5 (DIN 3962)	✓
Schrägverzahnung	✓
Einsatzgehärtet und geschliffen	✓
Rundlauf $\leq 10 \mu\text{m}$ (Option)	✓
Kompakt und hochdynamisch durch Motordirektanbau	✓

Legende ★☆☆☆☆ gut | ★★★★★ hervorragend
 € Economy | €€€€€ Premium

Technische Daten

m_n	3 – 8 mm
z	15 – 32
F_{f2acc}	2,8 – 79 kN
V_{f2N}	0,12 – 4 m/s
Δs	8 – 56 μm

2.2 Auswahltabellen

Die in den Auswahltabellen angegebenen technischen Daten gelten für:

- Spannungsfreien Einbau
- Permanente Schmierung mit den im Atlanta-Katalog vorgeschriebenen Schmierstoffen
- Werkstoffpaarungen entsprechend Kapitel [▶ 2.5.2](#)
- Aufstellhöhen bis 1000 m über Normalnull
- Umgebungstemperaturen von 0° C bis 40° C
- Ohne Berücksichtigung der thermischen Grenzleistung
- Antriebe mit konvektionsgekühlten Motoren (z. B. EZ401U)

Die technischen Daten für Antriebe mit fremdbelüfteten (z. B. EZ401B) Motoren finden Sie unter

<https://configurator.stoeber.de/de-DE/>

Für Zahnstangentriebe mit reduziertem Drehspiel sind höhere Vorschubkräfte möglich. Diese und alle weiteren technischen Daten finden Sie unter <https://configurator.stoeber.de/de-DE/>.

Die Erklärung der Formelzeichen finden Sie im Kapitel [▶ 15.1](#).

v_{fzN} [m/s]	F_{fzN} [kN]	$F_{fz,0}$ [kN]	a_{th}	S	Typ	F_{fzacc} [kN]	F_{fzNOT} [kN]	M_{zacc} [Nm]	i	$v_{fzmaxDB}$ [m/s]	$v_{fzmaxZB}$ [m/s]	Δs [μm]	Δs_{red} [μm]	C_{lin} [N/μm]	m_n [mm]	z	d_0 [mm]
ZTRS3PH7 ($n_{f,N} = 2000 \text{ min}^{-1}$, ($F_{fzacc,max} = 20 \text{ kN}$))																	
1,42	6,2	9,4	21	1,2	ZTRS317SPH731_0040 EZ805U	20	41	553	4,000	1,35	2,83	24	8	189	3	17	54,1
ZTRS3PH7 ($n_{f,N} = 3000 \text{ min}^{-1}$, ($F_{fzacc,max} = 20 \text{ kN}$))																	
0,12	10	11	0,7	1,6	ZTRS317SPH732_0700 EZ501U	20	41	553	70,00	0,15	0,28	24	8	173	3	17	54,1
0,17	7,4	8,1	0,9	2,0	ZTRS317SPH732_0500 EZ501U	20	41	553	50,00	0,21	0,40	24	8	178	3	17	54,1
0,17	13	14	1,5	1,1	ZTRS317SPH732_0500 EZ502U	20	41	553	50,00	0,21	0,40	24	8	178	3	17	54,1
0,17	13	14	1,5	1,1	ZTRS317SPH732_0500 EZ701U	20	41	553	50,00	0,21	0,40	24	8	178	3	17	54,1
0,21	5,9	6,5	1,1	2,3	ZTRS317SPH732_0400 EZ501U	20	41	553	40,00	0,26	0,50	24	8	179	3	17	54,1
0,21	10	11	1,9	1,3	ZTRS317SPH732_0400 EZ502U	20	41	553	40,00	0,26	0,50	24	8	179	3	17	54,1
0,21	10	11	1,9	1,3	ZTRS317SPH732_0400 EZ701U	20	41	553	40,00	0,26	0,50	24	8	179	3	17	54,1
0,21	13	15	2,5	1,0	ZTRS317SPH732_0400 EZ503U	20	41	553	40,00	0,26	0,50	24	8	179	3	17	54,1
0,24	5,2	5,7	1,1	2,5	ZTRS317SPH732_0350 EZ501U	19	41	521	35,00	0,30	0,57	24	8	179	3	17	54,1
0,24	8,9	9,6	1,8	1,4	ZTRS317SPH732_0350 EZ502U	20	41	553	35,00	0,30	0,57	24	8	179	3	17	54,1
0,24	8,9	10	1,8	1,4	ZTRS317SPH732_0350 EZ701U	20	41	553	35,00	0,30	0,57	24	8	179	3	17	54,1
0,24	12	13	2,4	1,1	ZTRS317SPH732_0350 EZ503U	20	41	553	35,00	0,30	0,57	24	8	179	3	17	54,1
0,30	4,1	4,5	1,2	2,9	ZTRS317SPH732_0280 EZ501U	15	41	417	28,00	0,37	0,71	24	8	182	3	17	54,1
0,30	7,1	7,7	2,0	1,7	ZTRS317SPH732_0280 EZ502U	20	41	553	28,00	0,37	0,71	24	8	182	3	17	54,1
0,30	7,1	8,0	2,0	1,7	ZTRS317SPH732_0280 EZ701U	19	41	521	28,00	0,37	0,71	24	8	182	3	17	54,1
0,30	9,3	11	2,7	1,3	ZTRS317SPH732_0280 EZ503U	20	41	553	28,00	0,37	0,71	24	8	182	3	17	54,1
0,30	12	14	3,3	1,0	ZTRS317SPH732_0280 EZ702U	20	41	553	28,00	0,37	0,71	24	8	182	3	17	54,1
0,34	3,7	4,0	1,3	3,1	ZTRS317SPH732_0250 EZ501U	14	41	372	25,00	0,40	0,79	24	8	180	3	17	54,1
0,34	6,4	6,9	2,3	1,8	ZTRS317SPH732_0250 EZ502U	20	41	553	25,00	0,40	0,79	24	8	180	3	17	54,1
0,34	6,4	7,1	2,3	1,8	ZTRS317SPH732_0250 EZ701U	17	41	465	25,00	0,40	0,79	24	8	180	3	17	54,1
0,34	8,3	9,5	3,0	1,4	ZTRS317SPH732_0250 EZ503U	20	41	553	25,00	0,40	0,79	24	8	180	3	17	54,1
0,34	10	12	3,8	1,1	ZTRS317SPH732_0250 EZ702U	20	41	553	25,00	0,40	0,79	24	8	180	3	17	54,1
0,43	3,0	3,2	1,6	3,6	ZTRS317SPH732_0200 EZ501U	11	41	298	20,00	0,43	0,85	24	8	180	3	17	54,1
0,43	5,1	5,5	2,8	2,1	ZTRS317SPH732_0200 EZ502U	20	41	553	20,00	0,43	0,85	24	8	180	3	17	54,1
0,43	5,1	5,7	2,8	2,1	ZTRS317SPH732_0200 EZ701U	14	41	372	20,00	0,43	0,85	24	8	180	3	17	54,1
0,43	6,7	7,6	3,7	1,6	ZTRS317SPH732_0200 EZ503U	20	41	553	20,00	0,43	0,85	24	8	180	3	17	54,1
0,43	8,2	9,9	4,6	1,3	ZTRS317SPH732_0200 EZ702U	20	41	553	20,00	0,43	0,85	24	8	180	3	17	54,1
0,43	9,3	11	5,1	1,1	ZTRS317SPH732_0200 EZ505U	20	41	553	20,00	0,43	0,85	24	8	180	3	17	54,1
0,53	2,4	2,6	1,9	4,2	ZTRS317SPH732_0160 EZ501U	8,8	41	238	16,00	0,53	1,06	24	8	183	3	17	54,1
0,53	4,1	4,4	3,2	2,4	ZTRS317SPH732_0160 EZ502U	17	41	461	16,00	0,53	1,06	24	8	183	3	17	54,1
0,53	4,1	4,6	3,2	2,4	ZTRS317SPH732_0160 EZ701U	11	41	298	16,00	0,53	1,06	24	8	183	3	17	54,1
0,53	5,3	6,1	4,2	1,9	ZTRS317SPH732_0160 EZ503U	20	41	553	16,00	0,53	1,06	24	8	183	3	17	54,1
0,53	6,6	7,9	5,2	1,5	ZTRS317SPH732_0160 EZ702U	20	41	553	16,00	0,53	1,06	24	8	183	3	17	54,1
0,53	7,4	8,8	5,9	1,3	ZTRS317SPH732_0160 EZ505U	20	41	553	16,00	0,53	1,06	24	8	183	3	17	54,1
0,53	9,1	11	7,2	1,1	ZTRS317SPH732_0160 EZ703U	20	41	553	16,00	0,53	1,06	24	8	183	3	17	54,1
0,85	2,6	2,9	1,8	3,2	ZTRS317SPH731_0100 EZ701U	7,1	41	192	10,00	0,71	1,42	24	8	163	3	17	54,1
0,85	4,3	5,1	3,0	2,0	ZTRS317SPH731_0100 EZ702U	15	41	394	10,00	0,71	1,42	24	8	163	3	17	54,1
0,85	5,9	7,4	4,1	1,4	ZTRS317SPH731_0100 EZ703U	20	41	553	10,00	0,71	1,42	24	8	163	3	17	54,1
0,85	7,6	11	5,3	1,1	ZTRS317SPH731_0100 EZ705U	20	41	553	10,00	0,71	1,42	24	8	163	3	17	54,1
0,85	7,9	13	5,5	1,1	ZTRS317SPH731_0100 EZ802U	20	41	553	10,00	0,71	1,42	24	8	163	3	17	54,1
1,21	1,8	2,1	2,0	4,1	ZTRS317SPH731_0070 EZ701U	5,0	41	134	7,000	1,01	2,02	24	8	176	3	17	54,1
1,21	3,0	3,6	3,3	2,5	ZTRS317SPH731_0070 EZ702U	10	41	276	7,000	1,01	2,02	24	8	176	3	17	54,1
1,21	4,1	5,2	4,5	1,8	ZTRS317SPH731_0070 EZ703U	16	41	437	7,000	1,01	2,02	24	8	176	3	17	54,1

2.2 Auswahltabellen 2 Zahnstangentriebe ZTRSPH

v_{fzN} [m/s]	F_{fzN} [kN]	$F_{fz,0}$ [kN]	a_{th}	S	Typ	F_{fzacc} [kN]	F_{fzNOT} [kN]	M_{zacc} [Nm]	i	$v_{fzmaxDB}$ [m/s]	$v_{fzmaxZB}$ [m/s]	Δs [μm]	Δs_{red} [μm]	C_{in} [N/μm]	m_n [mm]	z	d_0 [mm]
ZTRS3PH7 ($n_{fzN} = 3000 \text{ min}^{-1}$, ($F_{fzacc,max} = 20 \text{ kN}$))																	
1,21	5,3	7,5	5,9	1,4	ZTRS317SPH731_0070 EZ705U	20	41	553	7,000	1,01	2,02	24	8	176	3	17	54,1
1,21	5,5	9,2	6,1	1,4	ZTRS317SPH731_0070 EZ802U	20	41	553	7,000	1,01	2,02	24	8	176	3	17	54,1
1,21	6,6	12	7,3	1,1	ZTRS317SPH731_0070 EZ803U	20	41	553	7,000	1,01	2,02	24	8	176	3	17	54,1
1,70	2,1	2,6	5,0	3,2	ZTRS317SPH731_0050 EZ702U	7,3	41	197	5,000	1,25	2,83	24	8	184	3	17	54,1
1,70	2,9	3,7	6,8	2,3	ZTRS317SPH731_0050 EZ703U	12	41	312	5,000	1,25	2,83	24	8	184	3	17	54,1
1,70	3,8	5,4	8,8	1,8	ZTRS317SPH731_0050 EZ705U	18	41	499	5,000	1,25	2,83	24	8	184	3	17	54,1
1,70	4,0	6,6	9,2	1,7	ZTRS317SPH731_0050 EZ802U	18	41	480	5,000	1,25	2,83	24	8	184	3	17	54,1
1,70	4,7	8,6	11	1,4	ZTRS317SPH731_0050 EZ803U	20	41	553	5,000	1,25	2,83	24	8	184	3	17	54,1
2,13	1,7	2,0	6,5	3,7	ZTRS317SPH731_0040 EZ702U	5,8	33	157	4,000	1,35	2,83	24	8	189	3	17	54,1
2,13	2,3	3,0	8,9	2,7	ZTRS317SPH731_0040 EZ703U	9,2	33	250	4,000	1,35	2,83	24	8	189	3	17	54,1
2,13	3,0	4,3	11	2,1	ZTRS317SPH731_0040 EZ705U	15	33	399	4,000	1,35	2,83	24	8	189	3	17	54,1
2,13	3,2	5,3	12	2,0	ZTRS317SPH731_0040 EZ802U	14	41	384	4,000	1,35	2,83	24	8	189	3	17	54,1
2,13	3,8	6,8	14	1,7	ZTRS317SPH731_0040 EZ803U	20	41	553	4,000	1,35	2,83	24	8	189	3	17	54,1
ZTRS3PH7 ($n_{fzN} = 4500 \text{ min}^{-1}$, ($F_{fzacc,max} = 20 \text{ kN}$))																	
0,46	9,1	15	2,9	1,1	ZTRS317SPH732_0280 EZ505U	20	41	553	28,00	0,37	0,71	24	8	182	3	17	54,1
0,51	8,2	13	3,2	1,2	ZTRS317SPH732_0250 EZ505U	20	41	553	25,00	0,40	0,79	24	8	180	3	17	54,1
0,64	6,5	11	3,7	1,4	ZTRS317SPH732_0200 EZ505U	20	41	553	20,00	0,43	0,85	24	8	180	3	17	54,1
0,64	8,3	14	4,7	1,1	ZTRS317SPH732_0200 EZ703U	20	41	553	20,00	0,43	0,85	24	8	180	3	17	54,1
0,80	5,2	8,4	4,1	1,7	ZTRS317SPH732_0160 EZ505U	20	41	553	16,00	0,53	1,06	24	8	183	3	17	54,1
0,80	6,7	11	5,3	1,3	ZTRS317SPH732_0160 EZ703U	20	41	553	16,00	0,53	1,06	24	8	183	3	17	54,1
1,28	3,7	12	3,0	2,0	ZTRS317SPH731_0100 EZ802U	20	41	553	10,00	0,71	1,42	24	8	163	3	17	54,1
1,28	4,3	7,1	3,4	1,7	ZTRS317SPH731_0100 EZ703U	20	41	553	10,00	0,71	1,42	24	8	163	3	17	54,1
1,28	5,8	11	4,7	1,3	ZTRS317SPH731_0100 EZ705U	20	41	553	10,00	0,71	1,42	24	8	163	3	17	54,1
1,82	2,6	8,6	3,3	2,5	ZTRS317SPH731_0070 EZ802U	20	41	553	7,000	1,01	2,02	24	8	176	3	17	54,1
1,82	3,0	5,0	3,8	2,2	ZTRS317SPH731_0070 EZ703U	16	41	437	7,000	1,01	2,02	24	8	176	3	17	54,1
1,82	4,1	7,5	5,2	1,6	ZTRS317SPH731_0070 EZ705U	20	41	553	7,000	1,01	2,02	24	8	176	3	17	54,1
2,55	1,9	6,1	5,0	3,1	ZTRS317SPH731_0050 EZ802U	18	41	480	5,000	1,25	2,83	24	8	184	3	17	54,1
2,55	2,1	3,5	5,7	2,7	ZTRS317SPH731_0050 EZ703U	12	41	312	5,000	1,25	2,83	24	8	184	3	17	54,1
2,55	2,9	5,3	7,7	2,0	ZTRS317SPH731_0050 EZ705U	18	41	499	5,000	1,25	2,83	24	8	184	3	17	54,1
ZTRS3PH7 ($n_{fzN} = 6000 \text{ min}^{-1}$, ($F_{fzacc,max} = 20 \text{ kN}$))																	
0,24	8,2	11	0,7	1,6	ZTRS317SPH732_0700 EZ501U	20	41	553	70,00	0,15	0,28	24	8	173	3	17	54,1
0,24	13	19	1,1	1,0	ZTRS317SPH732_0700 EZ502U	20	41	553	70,00	0,15	0,28	24	8	173	3	17	54,1
0,24	13	19	1,1	1,0	ZTRS317SPH732_0700 EZ701U	20	41	553	70,00	0,15	0,28	24	8	173	3	17	54,1
0,34	5,8	7,6	0,9	2,0	ZTRS317SPH732_0500 EZ501U	20	41	553	50,00	0,21	0,40	24	8	178	3	17	54,1
0,34	8,9	13	1,3	1,3	ZTRS317SPH732_0500 EZ502U	20	41	553	50,00	0,21	0,40	24	8	178	3	17	54,1
0,34	8,9	14	1,3	1,3	ZTRS317SPH732_0500 EZ701U	20	41	553	50,00	0,21	0,40	24	8	178	3	17	54,1
0,34	11	18	1,6	1,1	ZTRS317SPH732_0500 EZ503U	20	41	553	50,00	0,21	0,40	24	8	178	3	17	54,1
0,43	4,7	6,0	1,1	2,3	ZTRS317SPH732_0400 EZ501U	20	41	553	40,00	0,26	0,50	24	8	179	3	17	54,1
0,43	7,1	11	1,7	1,5	ZTRS317SPH732_0400 EZ502U	20	41	553	40,00	0,26	0,50	24	8	179	3	17	54,1
0,43	7,1	11	1,7	1,5	ZTRS317SPH732_0400 EZ701U	20	41	553	40,00	0,26	0,50	24	8	179	3	17	54,1
0,43	8,5	15	2,0	1,2	ZTRS317SPH732_0400 EZ503U	20	41	553	40,00	0,26	0,50	24	8	179	3	17	54,1
0,43	9,9	20	2,4	1,1	ZTRS317SPH732_0400 EZ702U	20	41	553	40,00	0,26	0,50	24	8	179	3	17	54,1
0,49	4,1	5,3	1,0	2,5	ZTRS317SPH732_0350 EZ501U	19	41	521	35,00	0,30	0,57	24	8	179	3	17	54,1
0,49	6,3	9,4	1,6	1,6	ZTRS317SPH732_0350 EZ502U	20	41	553	35,00	0,30	0,57	24	8	179	3	17	54,1
0,49	6,3	9,5	1,6	1,6	ZTRS317SPH732_0350 EZ701U	20	41	553	35,00	0,30	0,57	24	8	179	3	17	54,1
0,49	7,5	13	1,9	1,4	ZTRS317SPH732_0350 EZ503U	20	41	553	35,00	0,30	0,57	24	8	179	3	17	54,1
0,49	8,7	17	2,2	1,2	ZTRS317SPH732_0350 EZ702U	20	41	553	35,00	0,30	0,57	24	8	179	3	17	54,1
0,61	3,3	4,2	1,1	2,9	ZTRS317SPH732_0280 EZ501U	15	41	417	28,00	0,37	0,71	24	8	182	3	17	54,1
0,61	5,0	7,5	1,7	1,9	ZTRS317SPH732_0280 EZ502U	20	41	553	28,00	0,37	0,71	24	8	182	3	17	54,1
0,61	5,0	7,6	1,7	1,9	ZTRS317SPH732_0280 EZ701U	19	41	521	28,00	0,37	0,71	24	8	182	3	17	54,1
0,61	6,0	10	2,1	1,6	ZTRS317SPH732_0280 EZ503U	20	41	553	28,00	0,37	0,71	24	8	182	3	17	54,1
0,61	6,9	14	2,4	1,4	ZTRS317SPH732_0280 EZ702U	20	41	553	28,00	0,37	0,71	24	8	182	3	17	54,1
0,68	2,9	3,8	1,3	3,1	ZTRS317SPH732_0250 EZ501U	14	41	372	25,00	0,40	0,79	24	8	180	3	17	54,1
0,68	4,5	6,7	2,0	2,0	ZTRS317SPH732_0250 EZ502U	20	41	553	25,00	0,40	0,79	24	8	180	3	17	54,1
0,68	4,5	6,8	2,0	2,0	ZTRS317SPH732_0250 EZ701U	17	41	465	25,00	0,40	0,79	24	8	180	3	17	54,1
0,68	5,3	9,1	2,3	1,7	ZTRS317SPH732_0250 EZ503U	20	41	553	25,00	0,40	0,79	24	8	180	3	17	54,1
0,68	6,2	12	2,7	1,5	ZTRS317SPH732_0250 EZ702U	20	41	553	25,00	0,40	0,79	24	8	180	3	17	54,1
0,85	2,3	3,0	1,5	3,6	ZTRS317SPH732_0200 EZ501U	11	41	298	20,00	0,43	0,85	24	8	180	3	17	54,1
0,85	3,6	5,4	2,2	2,4	ZTRS317SPH732_0200 EZ502U	20	41	553	20,00	0,43	0,85	24	8	180	3	17	54,1
0,85	3,6	5,4	2,2	2,4	ZTRS317SPH732_0200 EZ701U	14	41	372	20,00	0,43	0,85	24	8	180	3	17	54,1
0,85	4,3	7,3	2,6	2,0	ZTRS317SPH732_0200 EZ503U	20	41	553	20,00	0,43	0,85	24	8	180	3	17	54,1
0,85	4,9	9,8	3,1	1,7	ZTRS317SPH732_0200 EZ702U	20	41	553	20,00	0,43	0,85	24	8	180	3	17	54,1
1,06	1,9	2,4	1,6	4,2	ZTRS317SPH732_0160 EZ501U	8,8	41	238	16,00	0,53	1,06	24	8	183	3	17	54,1
1,06	2,9	4,3	2,5	2,7	ZTRS317SPH732_0160 EZ502U	17	41	461	16,00	0,53	1,06	24	8	183	3	17	54,1
1,06	2,9	4,3	2,5	2,7	ZTRS317SPH732_0160 EZ701U	11	41	298	16,00	0,53	1,06	24	8	183	3	17	54,1

v_{fzN} [m/s]	F_{fzN} [kN]	$F_{fz,0}$ [kN]	a_{th}	S	Typ	F_{fzacc} [kN]	F_{fzNOT} [kN]	M_{zacc} [Nm]	i	$v_{fzmaxDB}$ [m/s]	$v_{fzmaxZB}$ [m/s]	Δs [μm]	Δs_{red} [μm]	C_{in} [N/μm]	m_n [mm]	z	d_0 [mm]
ZTR33PH7 ($n_{fN} = 6000 \text{ min}^{-1}$, ($F_{fzacc,max} = 20 \text{ kN}$))																	
1,06	3,4	5,8	3,0	2,3	ZTRS317SPH732_0160 EZ503U	20	41	553	16,00	0,53	1,06	24	8	183	3	17	54,1
1,06	4,0	7,9	3,4	2,0	ZTRS317SPH732_0160 EZ702U	20	41	553	16,00	0,53	1,06	24	8	183	3	17	54,1
ZTR33PH8 ($n_{fN} = 2000 \text{ min}^{-1}$, ($F_{fzacc,max} = 28 \text{ kN}$))																	
0,43	20	30	5,7	1,3	ZTRS332SPH832_0250 EZ805U	28	55	1412	25,00	0,58	1,17	44	15	230	3	32	101,9
0,53	16	24	6,6	1,5	ZTRS332SPH832_0200 EZ805U	28	55	1412	20,00	0,67	1,20	44	15	231	3	32	101,9
0,67	13	19	8,4	1,7	ZTRS332SPH832_0160 EZ805U	28	55	1412	16,00	0,83	1,50	44	15	227	3	32	101,9
1,07	8,2	12	4,2	1,8	ZTRS332SPH831_0100 EZ805U	27	55	1392	10,00	1,17	2,13	44	15	197	3	32	101,9
1,52	5,8	8,7	5,0	3,4	ZTRS332SPH831_0070 EZ805U	27	55	1378	7,000	1,52	3,05	44	15	221	3	32	101,9
2,13	4,1	6,2	7,5	4,4	ZTRS332SPH831_0050 EZ805U	19	49	984	5,000	1,71	4,27	44	15	241	3	32	101,9
2,67	3,3	5,0	12	4,8	ZTRS332SPH831_0040 EZ805U	15	39	787	4,000	1,87	4,67	44	15	243	3	32	101,9
ZTR33PH8 ($n_{fN} = 3000 \text{ min}^{-1}$, ($F_{fzacc,max} = 28 \text{ kN}$))																	
0,16	14	15	0,7	1,3	ZTRS332SPH832_1000 EZ701U	27	54	1380	100,0	0,16	0,32	44	15	194	3	32	101,9
0,23	9,5	11	0,6	2,6	ZTRS332SPH832_0700 EZ701U	26	55	1302	70,00	0,23	0,46	44	15	214	3	32	101,9
0,23	15	18	1,0	1,6	ZTRS332SPH832_0700 EZ702U	28	55	1412	70,00	0,23	0,46	44	15	214	3	32	101,9
0,23	21	27	1,3	1,2	ZTRS332SPH832_0700 EZ703U	28	55	1412	70,00	0,23	0,46	44	15	214	3	32	101,9
0,32	6,8	7,6	0,7	3,7	ZTRS332SPH832_0500 EZ701U	18	55	930	50,00	0,32	0,64	44	15	226	3	32	101,9
0,32	11	13	1,1	2,3	ZTRS332SPH832_0500 EZ702U	28	55	1412	50,00	0,32	0,64	44	15	226	3	32	101,9
0,32	15	19	1,6	1,7	ZTRS332SPH832_0500 EZ703U	28	55	1412	50,00	0,32	0,64	44	15	226	3	32	101,9
0,32	19	28	2,0	1,3	ZTRS332SPH832_0500 EZ705U	28	55	1412	50,00	0,32	0,64	44	15	226	3	32	101,9
0,32	20	34	2,1	1,2	ZTRS332SPH832_0500 EZ802U	28	55	1412	50,00	0,32	0,64	44	15	226	3	32	101,9
0,32	24	44	2,5	1,0	ZTRS332SPH832_0500 EZ803U	28	55	1412	50,00	0,32	0,64	44	15	226	3	32	101,9
0,40	5,4	6,1	1,0	3,7	ZTRS332SPH832_0400 EZ701U	15	55	744	40,00	0,40	0,80	44	15	219	3	32	101,9
0,40	8,8	11	1,6	2,3	ZTRS332SPH832_0400 EZ702U	28	55	1412	40,00	0,40	0,80	44	15	219	3	32	101,9
0,40	12	15	2,2	1,7	ZTRS332SPH832_0400 EZ703U	28	55	1412	40,00	0,40	0,80	44	15	219	3	32	101,9
0,40	16	22	2,8	1,3	ZTRS332SPH832_0400 EZ705U	28	55	1412	40,00	0,40	0,80	44	15	219	3	32	101,9
0,40	16	27	2,9	1,2	ZTRS332SPH832_0400 EZ802U	28	55	1412	40,00	0,40	0,80	44	15	219	3	32	101,9
0,40	19	35	3,5	1,0	ZTRS332SPH832_0400 EZ803U	28	55	1412	40,00	0,40	0,80	44	15	219	3	32	101,9
0,46	7,7	9,2	1,4	3,2	ZTRS332SPH832_0350 EZ702U	26	55	1335	35,00	0,46	0,91	44	15	229	3	32	101,9
0,46	11	13	1,9	2,3	ZTRS332SPH832_0350 EZ703U	28	55	1412	35,00	0,46	0,91	44	15	229	3	32	101,9
0,46	14	19	2,4	1,8	ZTRS332SPH832_0350 EZ705U	28	55	1412	35,00	0,46	0,91	44	15	229	3	32	101,9
0,46	14	24	2,5	1,7	ZTRS332SPH832_0350 EZ802U	28	55	1412	35,00	0,46	0,91	44	15	229	3	32	101,9
0,46	17	31	3,0	1,5	ZTRS332SPH832_0350 EZ803U	28	55	1412	35,00	0,46	0,91	44	15	229	3	32	101,9
0,57	6,1	7,4	1,9	3,2	ZTRS332SPH832_0280 EZ702U	21	55	1068	28,00	0,57	1,14	44	15	224	3	32	101,9
0,57	8,4	11	2,6	2,3	ZTRS332SPH832_0280 EZ703U	28	55	1412	28,00	0,57	1,14	44	15	224	3	32	101,9
0,57	11	15	3,4	1,8	ZTRS332SPH832_0280 EZ705U	28	55	1412	28,00	0,57	1,14	44	15	224	3	32	101,9
0,57	11	19	3,5	1,7	ZTRS332SPH832_0280 EZ802U	28	55	1412	28,00	0,57	1,14	44	15	224	3	32	101,9
0,57	14	25	4,2	1,5	ZTRS332SPH832_0280 EZ803U	28	55	1412	28,00	0,57	1,14	44	15	224	3	32	101,9
0,64	5,5	6,6	1,6	4,5	ZTRS332SPH832_0250 EZ702U	19	55	953	25,00	0,58	1,17	44	15	230	3	32	101,9
0,64	7,5	9,5	2,2	3,3	ZTRS332SPH832_0250 EZ703U	28	55	1412	25,00	0,58	1,17	44	15	230	3	32	101,9
0,64	9,7	14	2,9	2,5	ZTRS332SPH832_0250 EZ705U	28	55	1412	25,00	0,58	1,17	44	15	230	3	32	101,9
0,64	10	17	3,0	2,4	ZTRS332SPH832_0250 EZ802U	28	55	1412	25,00	0,58	1,17	44	15	230	3	32	101,9
0,64	12	22	3,6	2,0	ZTRS332SPH832_0250 EZ803U	28	55	1412	25,00	0,58	1,17	44	15	230	3	32	101,9
0,80	6,0	7,6	2,5	4,1	ZTRS332SPH832_0200 EZ703U	24	55	1209	20,00	0,67	1,20	44	15	231	3	32	101,9
0,80	7,8	11	3,2	3,2	ZTRS332SPH832_0200 EZ705U	28	55	1412	20,00	0,67	1,20	44	15	231	3	32	101,9
0,80	8,1	14	3,4	3,0	ZTRS332SPH832_0200 EZ802U	28	55	1412	20,00	0,67	1,20	44	15	231	3	32	101,9
0,80	9,7	18	4,0	2,5	ZTRS332SPH832_0200 EZ803U	28	55	1412	20,00	0,67	1,20	44	15	231	3	32	101,9
1,00	4,8	6,1	3,5	4,1	ZTRS332SPH832_0160 EZ703U	19	55	967	16,00	0,83	1,50	44	15	227	3	32	101,9
1,00	6,2	8,8	4,5	3,2	ZTRS332SPH832_0160 EZ705U	28	55	1412	16,00	0,83	1,50	44	15	227	3	32	101,9
1,00	6,5	11	4,7	3,0	ZTRS332SPH832_0160 EZ802U	28	55	1412	16,00	0,83	1,50	44	15	227	3	32	101,9
1,00	7,8	14	5,6	2,5	ZTRS332SPH832_0160 EZ803U	28	55	1412	16,00	0,83	1,50	44	15	227	3	32	101,9
1,60	4,2	7,0	2,5	3,2	ZTRS332SPH831_0100 EZ802U	19	55	960	10,00	1,17	2,13	44	15	197	3	32	101,9
1,60	5,0	9,1	2,9	2,6	ZTRS332SPH831_0100 EZ803U	27	55	1392	10,00	1,17	2,13	44	15	197	3	32	101,9
2,29	3,5	6,4	3,5	4,9	ZTRS332SPH831_0070 EZ803U	19	55	974	7,000	1,52	3,05	44	15	221	3	32	101,9
ZTR33PH8 ($n_{fN} = 4500 \text{ min}^{-1}$, ($F_{fzacc,max} = 28 \text{ kN}$))																	
0,34	13	44	1,0	1,6	ZTRS332SPH832_0700 EZ802U	28	55	1412	70,00	0,23	0,46	44	15	214	3	32	101,9
0,34	15	26	1,1	1,4	ZTRS332SPH832_0700 EZ703U	28	55	1412	70,00	0,23	0,46	44	15	214	3	32	101,9
0,34	21	38	1,5	1,0	ZTRS332SPH832_0700 EZ705U	28	55	1412	70,00	0,23	0,46	44	15	214	3	32	101,9
0,48	9,6	31	1,1	2,3	ZTRS332SPH832_0500 EZ802U	28	55	1412	50,00	0,32	0,64	44	15	226	3	32	101,9
0,48	11	18	1,3	2,0	ZTRS332SPH832_0500 EZ703U	28	55	1412	50,00	0,32	0,64	44	15	226	3	32	101,9
0,48	15	27	1,8	1,5	ZTRS332SPH832_0500 EZ705U	28	55	1412	50,00	0,32	0,64	44	15	226	3	32	101,9
0,60	7,7	25	1,6	2,3	ZTRS332SPH832_0400 EZ802U	28	55	1412	40,00	0,40	0,80	44	15	219	3	32	101,9
0,60	8,8	15	1,8	2,0	ZTRS332SPH832_0400 EZ703U	28	55	1412	40,00	0,40	0,80	44	15	219	3	32	101,9
0,60	12	22	2,5	1,5	ZTRS332SPH832_0400 EZ705U	28	55	1412	40,00	0,40	0,80	44	15	219	3	32	101,9
0,69	6,7	22	1,4	3,2	ZTRS332SPH832_0350 EZ802U	28	55	1412	35,00	0,46	0,91	44	15	229	3	32	101,9
0,69	7,7	13	1,6	2,8	ZTRS332SPH832_0350 EZ703U	28	55	1412	35,00	0,46	0,91	44	15	229	3	32	101,9
0,69	10	19	2,1	2,1	ZTRS332SPH832_0350 EZ705U	28	55	1412	35,00	0,46	0,91	44	15	229	3	32	101,9

2.2 Auswahltabellen 2 Zahnstangentriebe ZTRSPH

v_{fzN} [m/s]	F_{fzN} [kN]	$F_{fz,0}$ [kN]	a_{th}	S	Typ	F_{fzacc} [kN]	F_{fzNOT} [kN]	M_{zacc} [Nm]	i	$v_{fzmaxDB}$ [m/s]	$v_{fzmaxZB}$ [m/s]	Δs [μm]	Δs_{red} [μm]	C_{in} [N/μm]	m_n [mm]	z	d_0 [mm]
ZTRS3PH8 ($n_{fzN} = 4500 \text{ min}^{-1}$, ($F_{fzacc,max} = 28 \text{ kN}$))																	
0,86	5,4	18	1,9	3,2	ZTRS332SPH832_0280 EZ802U	28	55	1412	28,00	0,57	1,14	44	15	224	3	32	101,9
0,86	6,2	10	2,2	2,8	ZTRS332SPH832_0280 EZ703U	28	55	1412	28,00	0,57	1,14	44	15	224	3	32	101,9
0,86	8,4	15	3,0	2,1	ZTRS332SPH832_0280 EZ705U	28	55	1412	28,00	0,57	1,14	44	15	224	3	32	101,9
0,96	4,8	16	1,6	4,5	ZTRS332SPH832_0250 EZ802U	28	55	1412	25,00	0,58	1,17	44	15	230	3	32	101,9
0,96	5,5	9,1	1,9	3,9	ZTRS332SPH832_0250 EZ703U	28	55	1412	25,00	0,58	1,17	44	15	230	3	32	101,9
0,96	7,5	14	2,5	2,9	ZTRS332SPH832_0250 EZ705U	28	55	1412	25,00	0,58	1,17	44	15	230	3	32	101,9
1,20	4,4	7,3	2,1	4,9	ZTRS332SPH832_0200 EZ703U	24	55	1209	20,00	0,67	1,20	44	15	231	3	32	101,9
1,20	6,0	11	2,8	3,6	ZTRS332SPH832_0200 EZ705U	28	55	1412	20,00	0,67	1,20	44	15	231	3	32	101,9
1,50	3,5	5,8	2,9	4,9	ZTRS332SPH832_0160 EZ703U	19	55	967	16,00	0,83	1,50	44	15	227	3	32	101,9
1,50	4,8	8,8	3,9	3,6	ZTRS332SPH832_0160 EZ705U	28	55	1412	16,00	0,83	1,50	44	15	227	3	32	101,9
ZTRS3PH8 ($n_{fzN} = 6000 \text{ min}^{-1}$, ($F_{fzacc,max} = 28 \text{ kN}$))																	
0,32	9,5	14	0,6	1,4	ZTRS332SPH832_1000 EZ701U	27	54	1380	100,0	0,16	0,32	44	15	194	3	32	101,9
0,32	13	26	0,9	1,0	ZTRS332SPH832_1000 EZ702U	27	54	1380	100,0	0,16	0,32	44	15	194	3	32	101,9
0,46	6,6	10	0,5	3,0	ZTRS332SPH832_0700 EZ701U	26	55	1302	70,00	0,23	0,46	44	15	214	3	32	101,9
0,46	9,2	18	0,7	2,1	ZTRS332SPH832_0700 EZ702U	28	55	1412	70,00	0,23	0,46	44	15	214	3	32	101,9
0,64	4,7	7,2	0,6	4,2	ZTRS332SPH832_0500 EZ701U	18	55	930	50,00	0,32	0,64	44	15	226	3	32	101,9
0,64	6,6	13	0,9	3,0	ZTRS332SPH832_0500 EZ702U	28	55	1412	50,00	0,32	0,64	44	15	226	3	32	101,9
0,80	3,8	5,8	0,9	4,2	ZTRS332SPH832_0400 EZ701U	15	55	744	40,00	0,40	0,80	44	15	219	3	32	101,9
0,80	5,3	10	1,2	3,0	ZTRS332SPH832_0400 EZ702U	28	55	1412	40,00	0,40	0,80	44	15	219	3	32	101,9
0,91	4,6	9,1	1,0	4,3	ZTRS332SPH832_0350 EZ702U	26	55	1335	35,00	0,46	0,91	44	15	229	3	32	101,9
1,14	3,7	7,3	1,4	4,3	ZTRS332SPH832_0280 EZ702U	21	55	1068	28,00	0,57	1,14	44	15	224	3	32	101,9
ZTRS4PH8 ($n_{fzN} = 2000 \text{ min}^{-1}$, ($F_{fzacc,max} = 45 \text{ kN}$))																	
0,25	34	51	4,3	1,0	ZTRS420SPH832_0350 EZ805U	45	70	1929	35,00	0,38	0,76	37	12	281	4	20	84,9
0,36	24	36	5,7	1,3	ZTRS420SPH832_0250 EZ805U	45	70	1929	25,00	0,48	0,98	37	12	283	4	20	84,9
0,44	19	29	6,6	1,5	ZTRS420SPH832_0200 EZ805U	45	70	1929	20,00	0,56	1,00	37	12	284	4	20	84,9
0,56	15	23	8,4	1,7	ZTRS420SPH832_0160 EZ805U	45	70	1929	16,00	0,69	1,25	37	12	280	4	20	84,9
0,89	9,9	15	4,2	1,8	ZTRS420SPH831_0100 EZ805U	33	66	1392	10,00	0,98	1,78	37	12	247	4	20	84,9
1,27	6,9	10	5,0	2,9	ZTRS420SPH831_0070 EZ805U	32	70	1378	7,000	1,27	2,54	37	12	273	4	20	84,9
1,78	4,9	7,5	7,5	3,6	ZTRS420SPH831_0050 EZ805U	23	59	984	5,000	1,42	3,56	37	12	294	4	20	84,9
2,22	4,0	6,0	12	4,2	ZTRS420SPH831_0040 EZ805U	19	47	787	4,000	1,56	3,89	37	12	296	4	20	84,9
ZTRS4PH8 ($n_{fzN} = 3000 \text{ min}^{-1}$, ($F_{fzacc,max} = 45 \text{ kN}$))																	
0,13	16	18	0,7	1,3	ZTRS420SPH832_1000 EZ701U	33	65	1380	100,0	0,13	0,27	37	12	244	4	20	84,9
0,19	11	13	0,6	2,6	ZTRS420SPH832_0700 EZ701U	31	70	1302	70,00	0,19	0,38	37	12	266	4	20	84,9
0,19	18	22	1,0	1,6	ZTRS420SPH832_0700 EZ702U	44	70	1848	70,00	0,19	0,38	37	12	266	4	20	84,9
0,19	25	32	1,3	1,2	ZTRS420SPH832_0700 EZ703U	44	70	1848	70,00	0,19	0,38	37	12	266	4	20	84,9
0,27	8,1	9,1	0,7	3,7	ZTRS420SPH832_0500 EZ701U	22	70	930	50,00	0,27	0,53	37	12	278	4	20	84,9
0,27	13	16	1,1	2,3	ZTRS420SPH832_0500 EZ702U	45	70	1907	50,00	0,27	0,53	37	12	278	4	20	84,9
0,27	18	23	1,6	1,7	ZTRS420SPH832_0500 EZ703U	45	70	1929	50,00	0,27	0,53	37	12	278	4	20	84,9
0,27	23	33	2,0	1,3	ZTRS420SPH832_0500 EZ705U	45	70	1929	50,00	0,27	0,53	37	12	278	4	20	84,9
0,27	24	41	2,1	1,2	ZTRS420SPH832_0500 EZ802U	45	70	1929	50,00	0,27	0,53	37	12	278	4	20	84,9
0,27	29	53	2,5	1,0	ZTRS420SPH832_0500 EZ803U	45	70	1929	50,00	0,27	0,53	37	12	278	4	20	84,9
0,33	6,5	7,3	1,0	3,7	ZTRS420SPH832_0400 EZ701U	18	70	744	40,00	0,33	0,67	37	12	271	4	20	84,9
0,33	11	13	1,6	2,3	ZTRS420SPH832_0400 EZ702U	36	70	1525	40,00	0,33	0,67	37	12	271	4	20	84,9
0,33	14	18	2,2	1,7	ZTRS420SPH832_0400 EZ703U	45	70	1920	40,00	0,33	0,67	37	12	271	4	20	84,9
0,33	19	26	2,8	1,3	ZTRS420SPH832_0400 EZ705U	45	70	1920	40,00	0,33	0,67	37	12	271	4	20	84,9
0,33	20	33	2,9	1,2	ZTRS420SPH832_0400 EZ802U	45	70	1920	40,00	0,33	0,67	37	12	271	4	20	84,9
0,33	23	42	3,5	1,0	ZTRS420SPH832_0400 EZ803U	45	70	1920	40,00	0,33	0,67	37	12	271	4	20	84,9
0,38	9,2	11	1,4	3,2	ZTRS420SPH832_0350 EZ702U	31	70	1335	35,00	0,38	0,76	37	12	281	4	20	84,9
0,38	13	16	1,9	2,3	ZTRS420SPH832_0350 EZ703U	45	70	1929	35,00	0,38	0,76	37	12	281	4	20	84,9
0,38	16	23	2,4	1,8	ZTRS420SPH832_0350 EZ705U	45	70	1929	35,00	0,38	0,76	37	12	281	4	20	84,9
0,38	17	28	2,5	1,7	ZTRS420SPH832_0350 EZ802U	45	70	1929	35,00	0,38	0,76	37	12	281	4	20	84,9
0,38	20	37	3,0	1,5	ZTRS420SPH832_0350 EZ803U	45	70	1929	35,00	0,38	0,76	37	12	281	4	20	84,9
0,48	7,4	8,8	1,9	3,2	ZTRS420SPH832_0280 EZ702U	25	70	1068	28,00	0,48	0,95	37	12	276	4	20	84,9
0,48	10	13	2,6	2,3	ZTRS420SPH832_0280 EZ703U	40	70	1693	28,00	0,48	0,95	37	12	276	4	20	84,9
0,48	13	19	3,4	1,8	ZTRS420SPH832_0280 EZ705U	45	70	1929	28,00	0,48	0,95	37	12	276	4	20	84,9
0,48	14	23	3,5	1,7	ZTRS420SPH832_0280 EZ802U	45	70	1929	28,00	0,48	0,95	37	12	276	4	20	84,9
0,48	16	30	4,2	1,5	ZTRS420SPH832_0280 EZ803U	45	70	1929	28,00	0,48	0,95	37	12	276	4	20	84,9
0,53	6,6	7,9	1,6	4,1	ZTRS420SPH832_0250 EZ702U	22	70	953	25,00	0,48	0,98	37	12	283	4	20	84,9
0,53	9,0	11	2,2	3,0	ZTRS420SPH832_0250 EZ703U	36	70	1511	25,00	0,48	0,98	37	12	283	4	20	84,9
0,53	12	17	2,9	2,3	ZTRS420SPH832_0250 EZ705U	45	70	1929	25,00	0,48	0,98	37	12	283	4	20	84,9
0,53	12	20	3,0	2,2	ZTRS420SPH832_0250 EZ802U	45	70	1929	25,00	0,48	0,98	37	12	283	4	20	84,9
0,53	15	26	3,6	1,8	ZTRS420SPH832_0250 EZ803U	45	70	1929	25,00	0,48	0,98	37	12	283	4	20	84,9
0,67	5,3	6,3	1,8	4,7	ZTRS420SPH832_0200 EZ702U	18	70	763	20,00	0,56	1,00	37	12	284	4	20	84,9
0,67	7,2	9,1	2,5	3,4	ZTRS420SPH832_0200 EZ703U	28	70	1209	20,00	0,56	1,00	37	12	284	4	20	84,9
0,67	9,3	13	3,2	2,7	ZTRS420SPH832_0200 EZ705U	45	70	1929	20,00	0,56	1,00	37	12	284	4	20	84,9
0,67	9,8	16	3,4	2,5	ZTRS420SPH832_0200 EZ802U	44	70	1860	20,00	0,56	1,00	37	12	284	4	20	84,9

v_{fzN} [m/s]	F_{fzN} [kN]	$F_{fz,0}$ [kN]	a_{th}	S	Typ	F_{fzacc} [kN]	F_{fzNOT} [kN]	M_{zacc} [Nm]	i	$v_{fzmaxDB}$ [m/s]	$v_{fzmaxZB}$ [m/s]	Δs [μm]	Δs_{red} [μm]	C_{in} [N/μm]	m_n [mm]	z	d_0 [mm]
ZTRS4PH8 ($n_{fzN} = 3000 \text{ min}^{-1}$, ($F_{fzacc,max} = 45 \text{ kN}$))																	
0,67	12	21	4,0	2,1	ZTRS420SPH832_0200 EZ803U	45	70	1929	20,00	0,56	1,00	37	12	284	4	20	84,9
0,83	5,8	7,3	3,5	4,0	ZTRS420SPH832_0160 EZ703U	23	70	967	16,00	0,69	1,25	37	12	280	4	20	84,9
0,83	7,5	11	4,5	3,1	ZTRS420SPH832_0160 EZ705U	36	70	1548	16,00	0,69	1,25	37	12	280	4	20	84,9
0,83	7,8	13	4,7	3,0	ZTRS420SPH832_0160 EZ802U	35	70	1488	16,00	0,69	1,25	37	12	280	4	20	84,9
0,83	9,3	17	5,6	2,5	ZTRS420SPH832_0160 EZ803U	45	70	1929	16,00	0,69	1,25	37	12	280	4	20	84,9
1,33	5,0	8,4	2,5	3,2	ZTRS420SPH831_0100 EZ802U	23	66	960	10,00	0,98	1,78	37	12	247	4	20	84,9
1,33	6,0	11	2,9	2,6	ZTRS420SPH831_0100 EZ803U	33	66	1392	10,00	0,98	1,78	37	12	247	4	20	84,9
1,91	3,5	5,9	2,9	5,0	ZTRS420SPH831_0070 EZ802U	16	70	672	7,000	1,27	2,54	37	12	273	4	20	84,9
1,91	4,2	7,6	3,5	4,2	ZTRS420SPH831_0070 EZ803U	23	70	974	7,000	1,27	2,54	37	12	273	4	20	84,9
ZTRS4PH8 ($n_{fzN} = 4500 \text{ min}^{-1}$, ($F_{fzacc,max} = 45 \text{ kN}$))																	
0,29	16	53	1,0	1,6	ZTRS420SPH832_0700 EZ802U	44	70	1848	70,00	0,19	0,38	37	12	266	4	20	84,9
0,29	19	31	1,1	1,4	ZTRS420SPH832_0700 EZ703U	44	70	1848	70,00	0,19	0,38	37	12	266	4	20	84,9
0,29	25	46	1,5	1,0	ZTRS420SPH832_0700 EZ705U	44	70	1848	70,00	0,19	0,38	37	12	266	4	20	84,9
0,40	12	38	1,1	2,3	ZTRS420SPH832_0500 EZ802U	45	70	1929	50,00	0,27	0,53	37	12	278	4	20	84,9
0,40	13	22	1,3	2,0	ZTRS420SPH832_0500 EZ703U	45	70	1929	50,00	0,27	0,53	37	12	278	4	20	84,9
0,40	18	33	1,8	1,5	ZTRS420SPH832_0500 EZ705U	45	70	1929	50,00	0,27	0,53	37	12	278	4	20	84,9
0,50	9,2	30	1,6	2,3	ZTRS420SPH832_0400 EZ802U	45	70	1920	40,00	0,33	0,67	37	12	271	4	20	84,9
0,50	11	18	1,8	2,0	ZTRS420SPH832_0400 EZ703U	45	70	1920	40,00	0,33	0,67	37	12	271	4	20	84,9
0,50	14	26	2,5	1,5	ZTRS420SPH832_0400 EZ705U	45	70	1920	40,00	0,33	0,67	37	12	271	4	20	84,9
0,57	8,1	26	1,4	3,2	ZTRS420SPH832_0350 EZ802U	45	70	1929	35,00	0,38	0,76	37	12	281	4	20	84,9
0,57	9,3	15	1,6	2,8	ZTRS420SPH832_0350 EZ703U	45	70	1929	35,00	0,38	0,76	37	12	281	4	20	84,9
0,57	13	23	2,1	2,1	ZTRS420SPH832_0350 EZ705U	45	70	1929	35,00	0,38	0,76	37	12	281	4	20	84,9
0,71	6,4	21	1,9	3,2	ZTRS420SPH832_0280 EZ802U	45	70	1929	28,00	0,48	0,95	37	12	276	4	20	84,9
0,71	7,4	12	2,2	2,8	ZTRS420SPH832_0280 EZ703U	40	70	1693	28,00	0,48	0,95	37	12	276	4	20	84,9
0,71	10	18	3,0	2,1	ZTRS420SPH832_0280 EZ705U	45	70	1929	28,00	0,48	0,95	37	12	276	4	20	84,9
0,80	5,8	19	1,6	4,1	ZTRS420SPH832_0250 EZ802U	45	70	1929	25,00	0,48	0,98	37	12	283	4	20	84,9
0,80	6,6	11	1,9	3,5	ZTRS420SPH832_0250 EZ703U	36	70	1511	25,00	0,48	0,98	37	12	283	4	20	84,9
0,80	9,0	16	2,5	2,6	ZTRS420SPH832_0250 EZ705U	45	70	1929	25,00	0,48	0,98	37	12	283	4	20	84,9
1,00	4,6	15	1,8	4,7	ZTRS420SPH832_0200 EZ802U	44	70	1860	20,00	0,56	1,00	37	12	284	4	20	84,9
1,00	5,3	8,8	2,1	4,1	ZTRS420SPH832_0200 EZ703U	28	70	1209	20,00	0,56	1,00	37	12	284	4	20	84,9
1,00	7,2	13	2,8	3,0	ZTRS420SPH832_0200 EZ705U	45	70	1929	20,00	0,56	1,00	37	12	284	4	20	84,9
1,25	4,2	7,0	2,9	4,7	ZTRS420SPH832_0160 EZ703U	23	70	967	16,00	0,69	1,25	37	12	280	4	20	84,9
1,25	5,7	11	3,9	3,5	ZTRS420SPH832_0160 EZ705U	36	70	1548	16,00	0,69	1,25	37	12	280	4	20	84,9
ZTRS4PH8 ($n_{fzN} = 6000 \text{ min}^{-1}$, ($F_{fzacc,max} = 45 \text{ kN}$))																	
0,27	11	17	0,6	1,4	ZTRS420SPH832_1000 EZ701U	33	65	1380	100,0	0,13	0,27	37	12	244	4	20	84,9
0,27	16	31	0,9	1,0	ZTRS420SPH832_1000 EZ702U	33	65	1380	100,0	0,13	0,27	37	12	244	4	20	84,9
0,38	8,0	12	0,5	3,0	ZTRS420SPH832_0700 EZ701U	31	70	1302	70,00	0,19	0,38	37	12	266	4	20	84,9
0,38	11	22	0,7	2,1	ZTRS420SPH832_0700 EZ702U	44	70	1848	70,00	0,19	0,38	37	12	266	4	20	84,9
0,53	5,7	8,7	0,6	4,2	ZTRS420SPH832_0500 EZ701U	22	70	930	50,00	0,27	0,53	37	12	278	4	20	84,9
0,53	7,9	16	0,9	3,0	ZTRS420SPH832_0500 EZ702U	45	70	1907	50,00	0,27	0,53	37	12	278	4	20	84,9
0,67	4,6	6,9	0,9	4,2	ZTRS420SPH832_0400 EZ701U	18	70	744	40,00	0,33	0,67	37	12	271	4	20	84,9
0,67	6,3	13	1,2	3,0	ZTRS420SPH832_0400 EZ702U	36	70	1525	40,00	0,33	0,67	37	12	271	4	20	84,9
0,76	5,5	11	1,0	4,3	ZTRS420SPH832_0350 EZ702U	31	70	1335	35,00	0,38	0,76	37	12	281	4	20	84,9
0,95	4,4	8,8	1,4	4,3	ZTRS420SPH832_0280 EZ702U	25	70	1068	28,00	0,48	0,95	37	12	276	4	20	84,9
ZTRS5PH8 ($n_{fzN} = 2000 \text{ min}^{-1}$, ($F_{fzacc,max} = 49 \text{ kN}$))																	
0,25	34	51	4,3	1,0	ZTRS516SPH832_0350 EZ805U	49	70	2100	35,00	0,38	0,76	37	12	292	5	16	84,9
0,36	24	36	5,7	1,3	ZTRS516SPH832_0250 EZ805U	49	70	2100	25,00	0,48	0,98	37	12	294	5	16	84,9
0,44	19	29	6,6	1,5	ZTRS516SPH832_0200 EZ805U	49	70	2100	20,00	0,56	1,00	37	12	295	5	16	84,9
0,56	15	23	8,4	1,7	ZTRS516SPH832_0160 EZ805U	47	70	2000	16,00	0,69	1,25	37	12	290	5	16	84,9
0,89	9,9	15	4,2	1,8	ZTRS516SPH831_0100 EZ805U	33	66	1392	10,00	0,98	1,78	37	12	255	5	16	84,9
1,27	6,9	10	5,0	2,9	ZTRS516SPH831_0070 EZ805U	32	70	1378	7,000	1,27	2,54	37	12	283	5	16	84,9
1,78	4,9	7,5	7,5	3,6	ZTRS516SPH831_0050 EZ805U	23	59	984	5,000	1,42	3,56	37	12	306	5	16	84,9
2,22	4,0	6,0	12	4,1	ZTRS516SPH831_0040 EZ805U	19	47	787	4,000	1,56	3,89	37	12	308	5	16	84,9
ZTRS5PH8 ($n_{fzN} = 3000 \text{ min}^{-1}$, ($F_{fzacc,max} = 49 \text{ kN}$))																	
0,13	16	18	0,7	1,3	ZTRS516SPH832_1000 EZ701U	33	65	1380	100,0	0,13	0,27	37	12	252	5	16	84,9
0,19	11	13	0,6	2,6	ZTRS516SPH832_0700 EZ701U	31	70	1302	70,00	0,19	0,38	37	12	276	5	16	84,9
0,19	18	22	1,0	1,6	ZTRS516SPH832_0700 EZ702U	44	70	1848	70,00	0,19	0,38	37	12	276	5	16	84,9
0,19	25	32	1,3	1,2	ZTRS516SPH832_0700 EZ703U	44	70	1848	70,00	0,19	0,38	37	12	276	5	16	84,9
0,27	8,1	9,1	0,7	3,7	ZTRS516SPH832_0500 EZ701U	22	70	930	50,00	0,27	0,53	37	12	289	5	16	84,9
0,27	13	16	1,1	2,3	ZTRS516SPH832_0500 EZ702U	45	70	1907	50,00	0,27	0,53	37	12	289	5	16	84,9
0,27	18	23	1,6	1,7	ZTRS516SPH832_0500 EZ703U	49	70	2100	50,00	0,27	0,53	37	12	289	5	16	84,9
0,27	23	33	2,0	1,3	ZTRS516SPH832_0500 EZ705U	49	70	2100	50,00	0,27	0,53	37	12	289	5	16	84,9
0,27	24	41	2,1	1,2	ZTRS516SPH832_0500 EZ802U	49	70	2100	50,00	0,27	0,53	37	12	289	5	16	84,9
0,27	29	53	2,5	1,0	ZTRS516SPH832_0500 EZ803U	49	70	2100	50,00	0,27	0,53	37	12	289	5	16	84,9
0,33	6,5	7,3	1,0	3,7	ZTRS516SPH832_0400 EZ701U	18	70	744	40,00	0,33	0,67	37	12	281	5	16	84,9
0,33	11	13	1,6	2,3	ZTRS516SPH832_0400 EZ702U	36	70	1525	40,00	0,33	0,67	37	12	281	5	16	84,9

2.2 Auswahltabelle 2 Zahnstangentriebe ZTRSPH

v_{fzN} [m/s]	F_{fzN} [kN]	$F_{fz,0}$ [kN]	a_{th}	S	Typ	F_{fzacc} [kN]	F_{fzNOT} [kN]	M_{fzacc} [Nm]	i	$v_{fzmaxDB}$ [m/s]	$v_{fzmaxZB}$ [m/s]	Δs [μm]	Δs_{red} [μm]	C_{in} [N/μm]	m_n [mm]	z	d_0 [mm]
ZTRSSPH8 ($n_{fzN} = 3000 \text{ min}^{-1}$, ($F_{fzacc,max} = 49 \text{ kN}$))																	
0,33	14	18	2,2	1,7	ZTRS516SPH832_0400 EZ703U	45	70	1920	40,00	0,33	0,67	37	12	281	5	16	84,9
0,33	19	26	2,8	1,3	ZTRS516SPH832_0400 EZ705U	45	70	1920	40,00	0,33	0,67	37	12	281	5	16	84,9
0,33	20	33	2,9	1,2	ZTRS516SPH832_0400 EZ802U	45	70	1920	40,00	0,33	0,67	37	12	281	5	16	84,9
0,33	23	42	3,5	1,0	ZTRS516SPH832_0400 EZ803U	45	70	1920	40,00	0,33	0,67	37	12	281	5	16	84,9
0,38	9,2	11	1,4	3,2	ZTRS516SPH832_0350 EZ702U	31	70	1335	35,00	0,38	0,76	37	12	292	5	16	84,9
0,38	13	16	1,9	2,3	ZTRS516SPH832_0350 EZ703U	49	70	2100	35,00	0,38	0,76	37	12	292	5	16	84,9
0,38	16	23	2,4	1,8	ZTRS516SPH832_0350 EZ705U	49	70	2100	35,00	0,38	0,76	37	12	292	5	16	84,9
0,38	17	28	2,5	1,7	ZTRS516SPH832_0350 EZ802U	49	70	2100	35,00	0,38	0,76	37	12	292	5	16	84,9
0,38	20	37	3,0	1,4	ZTRS516SPH832_0350 EZ803U	49	70	2100	35,00	0,38	0,76	37	12	292	5	16	84,9
0,48	7,4	8,8	1,9	3,2	ZTRS516SPH832_0280 EZ702U	25	70	1068	28,00	0,48	0,95	37	12	287	5	16	84,9
0,48	10	13	2,6	2,3	ZTRS516SPH832_0280 EZ703U	40	70	1693	28,00	0,48	0,95	37	12	287	5	16	84,9
0,48	13	19	3,4	1,8	ZTRS516SPH832_0280 EZ705U	47	70	2000	28,00	0,48	0,95	37	12	287	5	16	84,9
0,48	14	23	3,5	1,7	ZTRS516SPH832_0280 EZ802U	47	70	2000	28,00	0,48	0,95	37	12	287	5	16	84,9
0,48	16	30	4,2	1,5	ZTRS516SPH832_0280 EZ803U	47	70	2000	28,00	0,48	0,95	37	12	287	5	16	84,9
0,53	6,6	7,9	1,6	4,0	ZTRS516SPH832_0250 EZ702U	22	70	953	25,00	0,48	0,98	37	12	294	5	16	84,9
0,53	9,0	11	2,2	2,9	ZTRS516SPH832_0250 EZ703U	36	70	1511	25,00	0,48	0,98	37	12	294	5	16	84,9
0,53	12	17	2,9	2,3	ZTRS516SPH832_0250 EZ705U	49	70	2100	25,00	0,48	0,98	37	12	294	5	16	84,9
0,53	12	20	3,0	2,2	ZTRS516SPH832_0250 EZ802U	49	70	2100	25,00	0,48	0,98	37	12	294	5	16	84,9
0,53	15	26	3,6	1,8	ZTRS516SPH832_0250 EZ803U	49	70	2100	25,00	0,48	0,98	37	12	294	5	16	84,9
0,67	5,3	6,3	1,8	4,7	ZTRS516SPH832_0200 EZ702U	18	70	763	20,00	0,56	1,00	37	12	295	5	16	84,9
0,67	7,2	9,1	2,5	3,4	ZTRS516SPH832_0200 EZ703U	28	70	1209	20,00	0,56	1,00	37	12	295	5	16	84,9
0,67	9,3	13	3,2	2,6	ZTRS516SPH832_0200 EZ705U	46	70	1934	20,00	0,56	1,00	37	12	295	5	16	84,9
0,67	9,8	16	3,4	2,5	ZTRS516SPH832_0200 EZ802U	44	70	1860	20,00	0,56	1,00	37	12	295	5	16	84,9
0,67	12	21	4,0	2,1	ZTRS516SPH832_0200 EZ803U	49	70	2100	20,00	0,56	1,00	37	12	295	5	16	84,9
0,83	5,8	7,3	3,5	3,9	ZTRS516SPH832_0160 EZ703U	23	70	967	16,00	0,69	1,25	37	12	290	5	16	84,9
0,83	7,5	11	4,5	3,0	ZTRS516SPH832_0160 EZ705U	36	70	1548	16,00	0,69	1,25	37	12	290	5	16	84,9
0,83	7,8	13	4,7	2,9	ZTRS516SPH832_0160 EZ802U	35	70	1488	16,00	0,69	1,25	37	12	290	5	16	84,9
0,83	9,3	17	5,6	2,4	ZTRS516SPH832_0160 EZ803U	47	70	2000	16,00	0,69	1,25	37	12	290	5	16	84,9
1,33	5,0	8,4	2,5	3,2	ZTRS516SPH831_0100 EZ802U	23	66	960	10,00	0,98	1,78	37	12	255	5	16	84,9
1,33	6,0	11	2,9	2,6	ZTRS516SPH831_0100 EZ803U	33	66	1392	10,00	0,98	1,78	37	12	255	5	16	84,9
1,91	3,5	5,9	2,9	4,9	ZTRS516SPH831_0070 EZ802U	16	70	672	7,000	1,27	2,54	37	12	283	5	16	84,9
1,91	4,2	7,6	3,5	4,1	ZTRS516SPH831_0070 EZ803U	23	70	974	7,000	1,27	2,54	37	12	283	5	16	84,9
ZTRSSPH8 ($n_{fzN} = 4500 \text{ min}^{-1}$, ($F_{fzacc,max} = 49 \text{ kN}$))																	
0,29	16	53	1,0	1,6	ZTRS516SPH832_0700 EZ802U	44	70	1848	70,00	0,19	0,38	37	12	276	5	16	84,9
0,29	19	31	1,1	1,4	ZTRS516SPH832_0700 EZ703U	44	70	1848	70,00	0,19	0,38	37	12	276	5	16	84,9
0,29	25	46	1,5	1,0	ZTRS516SPH832_0700 EZ705U	44	70	1848	70,00	0,19	0,38	37	12	276	5	16	84,9
0,40	12	38	1,1	2,3	ZTRS516SPH832_0500 EZ802U	49	70	2100	50,00	0,27	0,53	37	12	289	5	16	84,9
0,40	13	22	1,3	2,0	ZTRS516SPH832_0500 EZ703U	49	70	2100	50,00	0,27	0,53	37	12	289	5	16	84,9
0,40	18	33	1,8	1,5	ZTRS516SPH832_0500 EZ705U	49	70	2100	50,00	0,27	0,53	37	12	289	5	16	84,9
0,50	9,2	30	1,6	2,3	ZTRS516SPH832_0400 EZ802U	45	70	1920	40,00	0,33	0,67	37	12	281	5	16	84,9
0,50	11	18	1,8	2,0	ZTRS516SPH832_0400 EZ703U	45	70	1920	40,00	0,33	0,67	37	12	281	5	16	84,9
0,50	14	26	2,5	1,5	ZTRS516SPH832_0400 EZ705U	45	70	1920	40,00	0,33	0,67	37	12	281	5	16	84,9
0,57	8,1	26	1,4	3,2	ZTRS516SPH832_0350 EZ802U	49	70	2100	35,00	0,38	0,76	37	12	292	5	16	84,9
0,57	9,3	15	1,6	2,8	ZTRS516SPH832_0350 EZ703U	49	70	2100	35,00	0,38	0,76	37	12	292	5	16	84,9
0,57	13	23	2,1	2,1	ZTRS516SPH832_0350 EZ705U	49	70	2100	35,00	0,38	0,76	37	12	292	5	16	84,9
0,71	6,4	21	1,9	3,2	ZTRS516SPH832_0280 EZ802U	47	70	2000	28,00	0,48	0,95	37	12	287	5	16	84,9
0,71	7,4	12	2,2	2,8	ZTRS516SPH832_0280 EZ703U	40	70	1693	28,00	0,48	0,95	37	12	287	5	16	84,9
0,71	10	18	3,0	2,1	ZTRS516SPH832_0280 EZ705U	47	70	2000	28,00	0,48	0,95	37	12	287	5	16	84,9
0,80	5,8	19	1,6	4,0	ZTRS516SPH832_0250 EZ802U	49	70	2100	25,00	0,48	0,98	37	12	294	5	16	84,9
0,80	6,6	11	1,9	3,5	ZTRS516SPH832_0250 EZ703U	36	70	1511	25,00	0,48	0,98	37	12	294	5	16	84,9
0,80	9,0	16	2,5	2,6	ZTRS516SPH832_0250 EZ705U	49	70	2100	25,00	0,48	0,98	37	12	294	5	16	84,9
1,00	4,6	15	1,8	4,7	ZTRS516SPH832_0200 EZ802U	44	70	1860	20,00	0,56	1,00	37	12	295	5	16	84,9
1,00	5,3	8,8	2,1	4,0	ZTRS516SPH832_0200 EZ703U	28	70	1209	20,00	0,56	1,00	37	12	295	5	16	84,9
1,00	7,2	13	2,8	3,0	ZTRS516SPH832_0200 EZ705U	46	70	1934	20,00	0,56	1,00	37	12	295	5	16	84,9
1,25	4,2	7,0	2,9	4,7	ZTRS516SPH832_0160 EZ703U	23	70	967	16,00	0,69	1,25	37	12	290	5	16	84,9
1,25	5,7	11	3,9	3,5	ZTRS516SPH832_0160 EZ705U	36	70	1548	16,00	0,69	1,25	37	12	290	5	16	84,9
ZTRSSPH8 ($n_{fzN} = 6000 \text{ min}^{-1}$, ($F_{fzacc,max} = 45 \text{ kN}$))																	
0,27	11	17	0,6	1,4	ZTRS516SPH832_1000 EZ701U	33	65	1380	100,0	0,13	0,27	37	12	252	5	16	84,9
0,27	16	31	0,9	1,0	ZTRS516SPH832_1000 EZ702U	33	65	1380	100,0	0,13	0,27	37	12	252	5	16	84,9
0,38	8,0	12	0,5	3,0	ZTRS516SPH832_0700 EZ701U	31	70	1302	70,00	0,19	0,38	37	12	276	5	16	84,9
0,38	11	22	0,7	2,1	ZTRS516SPH832_0700 EZ702U	44	70	1848	70,00	0,19	0,38	37	12	276	5	16	84,9
0,53	5,7	8,7	0,6	4,2	ZTRS516SPH832_0500 EZ701U	22	70	930	50,00	0,27	0,53	37	12	289	5	16	84,9
0,53	7,9	16	0,9	3,0	ZTRS516SPH832_0500 EZ702U	45	70	1907	50,00	0,27	0,53	37	12	289	5	16	84,9
0,67	4,6	6,9	0,9	4,2	ZTRS516SPH832_0400 EZ701U	18	70	744	40,00	0,33	0,67	37	12	281	5	16	84,9
0,67	6,3	13	1,2	3,0	ZTRS516SPH832_0400 EZ702U	36	70	1525	40,00	0,33	0,67	37	12	281	5	16	84,9

v_{fzN} [m/s]	F_{fzN} [kN]	$F_{fz,0}$ [kN]	a_{th}	S	Typ	F_{fzacc} [kN]	F_{fzNOT} [kN]	M_{zacc} [Nm]	i	$v_{fzmaxDB}$ [m/s]	$v_{fzmaxZB}$ [m/s]	Δs [μm]	Δs_{red} [μm]	C_{in} [N/μm]	m_n [mm]	z	d_0 [mm]
ZTR55PH8 ($n_{fN} = 6000 \text{ min}^{-1}$, ($F_{fzacc,max} = 45 \text{ kN}$))																	
0,76	5,5	11	1,0	4,2	ZTRS516SPH832_0350 EZ702U	31	70	1335	35,00	0,38	0,76	37	12	292	5	16	84,9
0,95	4,4	8,8	1,4	4,3	ZTRS516SPH832_0280 EZ702U	25	70	1068	28,00	0,48	0,95	37	12	287	5	16	84,9
ZTR55PH9 ($n_{fN} = 2000 \text{ min}^{-1}$, ($F_{fzacc,max} = 77 \text{ kN}$))																	
0,19	46	70	1,5	1,3	ZTRS520SPH942_0600 EZ805U	77	154	4075	60,00	0,26	0,42	46	15	383	5	20	106,1
0,23	37	56	1,6	1,5	ZTRS520SPH942_0480 EZ805U	77	154	4075	48,00	0,32	0,52	46	15	385	5	20	106,1
0,27	32	49	1,8	1,7	ZTRS520SPH942_0420 EZ805U	77	154	4075	42,00	0,37	0,60	46	15	387	5	20	106,1
0,28	31	46	2,2	1,7	ZTRS520SPH942_0400 EZ805U	77	154	4075	40,00	0,39	0,63	46	15	383	5	20	106,1
0,35	25	37	2,3	2,0	ZTRS520SPH942_0320 EZ805U	77	154	4075	32,00	0,49	0,78	46	15	388	5	20	106,1
0,37	23	35	2,2	2,1	ZTRS520SPH942_0300 EZ805U	77	154	4075	30,00	0,46	0,74	46	15	388	5	20	106,1
0,40	21	32	2,2	2,2	ZTRS520SPH942_0280 EZ805U	77	154	4075	28,00	0,56	0,89	46	15	392	5	20	106,1
0,46	18	28	2,7	2,4	ZTRS520SPH942_0240 EZ805U	77	154	4075	24,00	0,46	0,81	46	15	389	5	20	106,1
0,56	15	23	3,0	2,7	ZTRS520SPH942_0200 EZ805U	72	154	3813	20,00	0,69	1,11	46	15	396	5	20	106,1
0,62	14	21	3,1	2,9	ZTRS520SPH942_0180 EZ805U	65	154	3432	18,00	0,56	0,93	46	15	391	5	20	106,1
0,69	12	19	3,3	3,2	ZTRS520SPH942_0160 EZ805U	57	145	3050	16,00	0,69	1,22	46	15	397	5	20	106,1
0,93	9,2	14	3,8	3,8	ZTRS520SPH942_0120 EZ805U	43	109	2288	12,00	0,83	1,39	46	15	401	5	20	106,1
ZTR55PH9 ($n_{fN} = 3000 \text{ min}^{-1}$, ($F_{fzacc,max} = 77 \text{ kN}$))																	
0,28	23	39	0,8	2,2	ZTRS520SPH942_0600 EZ802U	77	154	4075	60,00	0,26	0,42	46	15	383	5	20	106,1
0,28	28	51	0,9	1,9	ZTRS520SPH942_0600 EZ803U	77	154	4075	60,00	0,26	0,42	46	15	383	5	20	106,1
0,35	19	31	0,8	2,6	ZTRS520SPH942_0480 EZ802U	77	154	4075	48,00	0,32	0,52	46	15	385	5	20	106,1
0,35	22	41	1,0	2,2	ZTRS520SPH942_0480 EZ803U	77	154	4075	48,00	0,32	0,52	46	15	385	5	20	106,1
0,40	16	27	0,9	2,9	ZTRS520SPH942_0420 EZ802U	74	154	3906	42,00	0,37	0,60	46	15	387	5	20	106,1
0,40	20	35	1,1	2,4	ZTRS520SPH942_0420 EZ803U	77	154	4075	42,00	0,37	0,60	46	15	387	5	20	106,1
0,42	16	26	1,3	2,9	ZTRS520SPH942_0400 EZ802U	70	154	3720	40,00	0,39	0,63	46	15	383	5	20	106,1
0,42	19	34	1,5	2,5	ZTRS520SPH942_0400 EZ803U	77	154	4075	40,00	0,39	0,63	46	15	383	5	20	106,1
0,52	13	21	1,3	3,4	ZTRS520SPH942_0320 EZ802U	56	154	2976	32,00	0,49	0,78	46	15	388	5	20	106,1
0,52	15	27	1,6	2,9	ZTRS520SPH942_0320 EZ803U	77	154	4075	32,00	0,49	0,78	46	15	388	5	20	106,1
0,56	12	20	1,1	3,6	ZTRS520SPH942_0300 EZ802U	53	154	2790	30,00	0,46	0,74	46	15	388	5	20	106,1
0,56	14	25	1,3	3,0	ZTRS520SPH942_0300 EZ803U	76	154	4046	30,00	0,46	0,74	46	15	388	5	20	106,1
0,60	11	18	1,1	3,7	ZTRS520SPH942_0280 EZ802U	49	154	2604	28,00	0,56	0,89	46	15	392	5	20	106,1
0,60	13	24	1,4	3,1	ZTRS520SPH942_0280 EZ803U	71	154	3776	28,00	0,56	0,89	46	15	392	5	20	106,1
0,69	9,4	16	1,4	4,1	ZTRS520SPH942_0240 EZ802U	42	154	2232	24,00	0,46	0,81	46	15	389	5	20	106,1
0,69	11	20	1,7	3,5	ZTRS520SPH942_0240 EZ803U	61	154	3236	24,00	0,46	0,81	46	15	389	5	20	106,1
0,83	7,8	13	1,5	4,7	ZTRS520SPH942_0200 EZ802U	35	154	1860	20,00	0,69	1,11	46	15	396	5	20	106,1
0,83	9,3	17	1,8	3,9	ZTRS520SPH942_0200 EZ803U	51	154	2697	20,00	0,69	1,11	46	15	396	5	20	106,1
0,93	8,4	15	1,9	4,2	ZTRS520SPH942_0180 EZ803U	46	154	2427	18,00	0,56	0,93	46	15	391	5	20	106,1
1,04	7,5	14	2,3	4,6	ZTRS520SPH942_0160 EZ803U	41	145	2158	16,00	0,69	1,22	46	15	397	5	20	106,1
ZTR55PH9 ($n_{fN} = 4500 \text{ min}^{-1}$, ($F_{fzacc,max} = 77 \text{ kN}$))																	
0,42	11	36	0,4	4,2	ZTRS520SPH942_0600 EZ802U	77	154	4075	60,00	0,26	0,42	46	15	383	5	20	106,1
0,52	8,8	29	0,4	4,8	ZTRS520SPH942_0480 EZ802U	77	154	4075	48,00	0,32	0,52	46	15	385	5	20	106,1
ZTR62PH9 ($n_{fN} = 2000 \text{ min}^{-1}$, ($F_{fzacc,max} = 77 \text{ kN}$))																	
0,22	38	58	1,5	1,4	ZTRS620SPH942_0600 EZ805U	77	150	4919	60,00	0,31	0,50	56	19	354	6	20	127,3
0,28	31	46	1,6	1,8	ZTRS620SPH942_0480 EZ805U	77	150	4919	48,00	0,39	0,63	56	19	357	6	20	127,3
0,32	27	41	1,8	2,0	ZTRS620SPH942_0420 EZ805U	77	150	4919	42,00	0,44	0,71	56	19	359	6	20	127,3
0,33	26	39	2,2	1,8	ZTRS620SPH942_0400 EZ805U	72	145	4600	40,00	0,47	0,75	56	19	355	6	20	127,3
0,42	20	31	2,3	2,4	ZTRS620SPH942_0320 EZ805U	72	145	4600	32,00	0,58	0,94	56	19	360	6	20	127,3
0,44	19	29	2,2	2,5	ZTRS620SPH942_0300 EZ805U	77	150	4919	30,00	0,56	0,89	56	19	361	6	20	127,3
0,48	18	27	2,2	2,6	ZTRS620SPH942_0280 EZ805U	77	150	4919	28,00	0,67	1,07	56	19	366	6	20	127,3
0,56	15	23	2,7	2,9	ZTRS620SPH942_0240 EZ805U	72	150	4576	24,00	0,56	0,97	56	19	362	6	20	127,3
0,67	13	19	3,0	3,3	ZTRS620SPH942_0200 EZ805U	60	150	3813	20,00	0,83	1,33	56	19	370	6	20	127,3
0,74	11	17	3,1	3,5	ZTRS620SPH942_0180 EZ805U	54	136	3432	18,00	0,67	1,11	56	19	364	6	20	127,3
0,83	10	15	3,3	3,8	ZTRS620SPH942_0160 EZ805U	48	120	3050	16,00	0,83	1,46	56	19	372	6	20	127,3
1,11	7,7	12	3,8	4,6	ZTRS620SPH942_0120 EZ805U	36	91	2288	12,00	1,00	1,67	56	19	377	6	20	127,3
ZTR62PH9 ($n_{fN} = 3000 \text{ min}^{-1}$, ($F_{fzacc,max} = 77 \text{ kN}$))																	
0,33	20	33	0,8	2,7	ZTRS620SPH942_0600 EZ802U	77	150	4919	60,00	0,31	0,50	56	19	354	6	20	127,3
0,33	23	42	0,9	2,2	ZTRS620SPH942_0600 EZ803U	77	150	4919	60,00	0,31	0,50	56	19	354	6	20	127,3
0,42	16	26	0,8	3,1	ZTRS620SPH942_0480 EZ802U	70	150	4464	48,00	0,39	0,63	56	19	357	6	20	127,3
0,42	19	34	1,0	2,6	ZTRS620SPH942_0480 EZ803U	77	150	4919	48,00	0,39	0,63	56	19	357	6	20	127,3
0,48	14	23	0,9	3,4	ZTRS620SPH942_0420 EZ802U	61	150	3906	42,00	0,44	0,71	56	19	359	6	20	127,3
0,48	16	30	1,1	2,8	ZTRS620SPH942_0420 EZ803U	77	150	4919	42,00	0,44	0,71	56	19	359	6	20	127,3
0,50	13	22	1,3	3,1	ZTRS620SPH942_0400 EZ802U	58	145	3720	40,00	0,47	0,75	56	19	355	6	20	127,3
0,50	16	28	1,5	2,6	ZTRS620SPH942_0400 EZ803U	72	145	4600	40,00	0,47	0,75	56	19	355	6	20	127,3
0,63	10	17	1,3	4,0	ZTRS620SPH942_0320 EZ802U	47	145	2976	32,00	0,58	0,94	56	19	360	6	20	127,3
0,63	12	23	1,6	3,4	ZTRS620SPH942_0320 EZ803U	68	145	4315	32,00	0,58	0,94	56	19	360	6	20	127,3
0,67	9,8	16	1,1	4,3	ZTRS620SPH942_0300 EZ802U	44	150	2790	30,00	0,56	0,89	56	19	361	6	20	127,3
0,67	12	21	1,3	3,6	ZTRS620SPH942_0300 EZ803U	64	150	4046	30,00	0,56	0,89	56	19	361	6	20	127,3

2.2 Auswahltabellen 2 Zahnstangentriebe ZTRSPH

v_{f2N} [m/s]	F_{f2N} [kN]	$F_{f2,0}$ [kN]	a_{th}	S	Typ	F_{f2acc} [kN]	F_{f2NOT} [kN]	M_{2acc} [Nm]	i	$v_{f2maxDB}$ [m/s]	$v_{f2maxZB}$ [m/s]	Δs [μm]	Δs_{red} [μm]	C_{in} [N/μm]	m_n [mm]	z	d_0 [mm]
ZTRS6PH9 ($n_{1N} = 3000 \text{ min}^{-1}$, ($F_{f2acc,max} = 77 \text{ kN}$))																	
0,71	9,1	15	1,1	4,5	ZTRS620SPH942_0280 EZ802U	41	150	2604	28,00	0,67	1,07	56	19	366	6	20	127,3
0,71	11	20	1,4	3,7	ZTRS620SPH942_0280 EZ803U	59	150	3776	28,00	0,67	1,07	56	19	366	6	20	127,3
0,83	7,8	13	1,4	4,9	ZTRS620SPH942_0240 EZ802U	35	150	2232	24,00	0,56	0,97	56	19	362	6	20	127,3
0,83	9,3	17	1,7	4,1	ZTRS620SPH942_0240 EZ803U	51	150	3236	24,00	0,56	0,97	56	19	362	6	20	127,3
1,00	7,8	14	1,8	4,7	ZTRS620SPH942_0200 EZ803U	42	150	2697	20,00	0,83	1,33	56	19	370	6	20	127,3
ZTRS6PH9 ($n_{1N} = 4500 \text{ min}^{-1}$, ($F_{f2acc,max} = 77 \text{ kN}$))																	
0,50	9,2	30	0,4	5,0	ZTRS620SPH942_0600 EZ802U	77	150	4919	60,00	0,31	0,50	56	19	354	6	20	127,3
ZTRS8PH9 ($n_{1N} = 2000 \text{ min}^{-1}$, ($F_{f2acc,max} = 79 \text{ kN}$))																	
0,22	38	58	1,5	1,4	ZTRS815SPH942_0600 EZ805U	79	150	5000	60,00	0,31	0,50	56	19	371	8	15	127,3
0,28	31	46	1,6	1,8	ZTRS815SPH942_0480 EZ805U	79	150	5000	48,00	0,39	0,63	56	19	373	8	15	127,3
0,32	27	41	1,8	2,0	ZTRS815SPH942_0420 EZ805U	79	150	5000	42,00	0,44	0,71	56	19	376	8	15	127,3
0,33	26	39	2,2	1,8	ZTRS815SPH942_0400 EZ805U	72	145	4600	40,00	0,47	0,75	56	19	371	8	15	127,3
0,42	20	31	2,3	2,4	ZTRS815SPH942_0320 EZ805U	72	145	4600	32,00	0,58	0,94	56	19	377	8	15	127,3
0,44	19	29	2,2	2,5	ZTRS815SPH942_0300 EZ805U	79	150	5000	30,00	0,56	0,89	56	19	378	8	15	127,3
0,48	18	27	2,2	2,6	ZTRS815SPH942_0280 EZ805U	79	150	5000	28,00	0,67	1,07	56	19	383	8	15	127,3
0,56	15	23	2,7	2,9	ZTRS815SPH942_0240 EZ805U	72	150	4576	24,00	0,56	0,97	56	19	379	8	15	127,3
0,67	13	19	3,0	3,3	ZTRS815SPH942_0200 EZ805U	60	150	3813	20,00	0,83	1,33	56	19	388	8	15	127,3
0,74	11	17	3,1	3,5	ZTRS815SPH942_0180 EZ805U	54	136	3432	18,00	0,67	1,11	56	19	381	8	15	127,3
0,83	10	15	3,3	3,8	ZTRS815SPH942_0160 EZ805U	48	120	3050	16,00	0,83	1,46	56	19	390	8	15	127,3
1,11	7,7	12	3,8	4,6	ZTRS815SPH942_0120 EZ805U	36	91	2288	12,00	1,00	1,67	56	19	395	8	15	127,3
ZTRS8PH9 ($n_{1N} = 3000 \text{ min}^{-1}$, ($F_{f2acc,max} = 79 \text{ kN}$))																	
0,33	20	33	0,8	2,7	ZTRS815SPH942_0600 EZ802U	79	150	5000	60,00	0,31	0,50	56	19	371	8	15	127,3
0,33	23	42	0,9	2,2	ZTRS815SPH942_0600 EZ803U	79	150	5000	60,00	0,31	0,50	56	19	371	8	15	127,3
0,42	16	26	0,8	3,1	ZTRS815SPH942_0480 EZ802U	70	150	4464	48,00	0,39	0,63	56	19	373	8	15	127,3
0,42	19	34	1,0	2,6	ZTRS815SPH942_0480 EZ803U	79	150	5000	48,00	0,39	0,63	56	19	373	8	15	127,3
0,48	14	23	0,9	3,4	ZTRS815SPH942_0420 EZ802U	61	150	3906	42,00	0,44	0,71	56	19	376	8	15	127,3
0,48	16	30	1,1	2,8	ZTRS815SPH942_0420 EZ803U	79	150	5000	42,00	0,44	0,71	56	19	376	8	15	127,3
0,50	13	22	1,3	3,1	ZTRS815SPH942_0400 EZ802U	58	145	3720	40,00	0,47	0,75	56	19	371	8	15	127,3
0,50	16	28	1,5	2,6	ZTRS815SPH942_0400 EZ803U	72	145	4600	40,00	0,47	0,75	56	19	371	8	15	127,3
0,63	10	17	1,3	4,0	ZTRS815SPH942_0320 EZ802U	47	145	2976	32,00	0,58	0,94	56	19	377	8	15	127,3
0,63	12	23	1,6	3,4	ZTRS815SPH942_0320 EZ803U	68	145	4315	32,00	0,58	0,94	56	19	377	8	15	127,3
0,67	9,8	16	1,1	4,3	ZTRS815SPH942_0300 EZ802U	44	150	2790	30,00	0,56	0,89	56	19	378	8	15	127,3
0,67	12	21	1,3	3,6	ZTRS815SPH942_0300 EZ803U	64	150	4046	30,00	0,56	0,89	56	19	378	8	15	127,3
0,71	9,1	15	1,1	4,5	ZTRS815SPH942_0280 EZ802U	41	150	2604	28,00	0,67	1,07	56	19	383	8	15	127,3
0,71	11	20	1,4	3,7	ZTRS815SPH942_0280 EZ803U	59	150	3776	28,00	0,67	1,07	56	19	383	8	15	127,3
0,83	7,8	13	1,4	4,9	ZTRS815SPH942_0240 EZ802U	35	150	2232	24,00	0,56	0,97	56	19	379	8	15	127,3
0,83	9,3	17	1,7	4,1	ZTRS815SPH942_0240 EZ803U	51	150	3236	24,00	0,56	0,97	56	19	379	8	15	127,3
1,00	7,8	14	1,8	4,7	ZTRS815SPH942_0200 EZ803U	42	150	2697	20,00	0,83	1,33	56	19	388	8	15	127,3
ZTRS8PH9 ($n_{1N} = 4500 \text{ min}^{-1}$, ($F_{f2acc,max} = 79 \text{ kN}$))																	
0,50	9,2	30	0,4	5,0	ZTRS815SPH942_0600 EZ802U	79	150	5000	60,00	0,31	0,50	56	19	371	8	15	127,3

2.3 Maßzeichnungen

In diesem Kapitel finden Sie die Abmessungen der Zahnstangentriebe mit Synchron-Servomotoren EZ.

Das Maß a_z in den Maßtabellen gilt für Atlanta Zahnstangen. Allgemein gilt: $a_z = \frac{1}{2} d_0 + h_0 + x \cdot m_n$

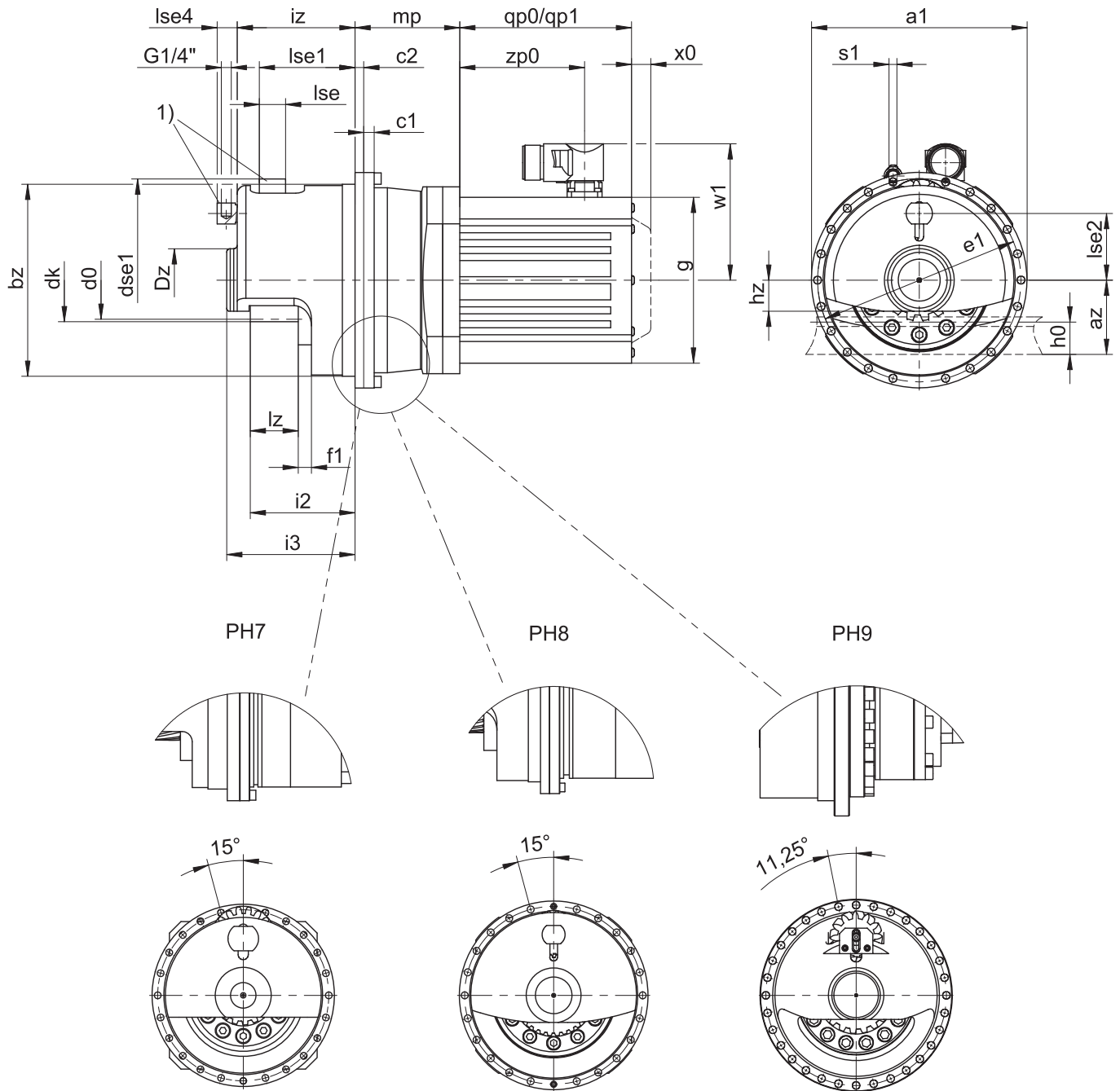
Das Ritzel des Zahnstangentriebs ist schrägverzahnt (linkssteigend $19^\circ 31' 42''$). Die Ritzelverzahnungsqualität ist 5.

Maße können aufgrund von Gusstoleranzen bzw. Aufsummieren der Einzeltoleranzen die Vorgaben der ISO 2768-mK überschreiten.

Maßänderungen durch technische Weiterentwicklung behalten wir uns vor.

3D-Modelle unserer Standardantriebe können Sie unter <https://configurator.stoeber.de/de-DE/> herunterladen.

Kombinationsmöglichkeiten und Maße für fremdbelüftete Getriebemotoren finden Sie ebenfalls unter <https://configurator.stoeber.de/de-DE/>.



qp0 Gilt für Motoren ohne Bremse.

qp1 Gilt für Motoren mit Bremse.

x0 Gilt für Encoder mit optischem Messprinzip.

w1 Abweichend bei One Cable Solution (OCS) siehe Kapitel [13.4](#)

1) Filzzahnrad zur Schmierung (Option)

Maße Getriebe

Typ	mn	Øa1	az	Øbz	c1	c2	Ød0	Ødk	Ødse1	ØDz	Øe1	f1	i2	i3	iz	h0	hz	lz	lse	lse1	lse2	lse4	Øs1	x
ZTRS317SPH7_	3	179	53,06	156 _{n7}	10	12	54,11	60,1	63,6	55	168	19,0	78,5	99,5	89,5	26	21,5	32,5	25	75,2	55,7	23,0	6,6	0,0
ZTRS332SPH8_	3	247	76,93	220 _{n7}	12	10	101,86	107,9	63,6	72	233	14,0	107,0	137,0	125,0	26	35,5	42,0	30	102,6	79,5	23,0	9,0	0,0
ZTRS420SPH8_	4	247	77,44	220 _{n7}	12	10	84,88	92,8	62,8	72	233	14,0	110,0	137,0	125,0	35	35,5	45,0	30	98,6	68,9	23,0	9,0	0,0
ZTRS516SPH8_	5	247	76,44	220 _{n7}	12	10	84,88	94,8	78,6	72	233	14,5	120,0	147,0	135,0	34	35,5	55,0	30	109,6	76,5	23,0	9,0	0,0
ZTRS520SPH9_	5	346	87,05	300 _{n7}	18	18	106,10	116,1	78,6	100	325	21,5	137,0	179,0	171,0	34	45,0	55,0	30	131,1	87,1	–	13,5	0,0
ZTRS620SPH9_	6	346	106,66	300 _{n7}	18	18	127,32	139,3	94,2	100	325	21,5	147,0	189,0	181,0	43	43,5	65,0	30	131,1	104,8	–	13,5	0,0
ZTRS815SPH9_	8	346	136,66	300 _{n7}	18	18	127,32	147,3	160,0	110	325	21,5	162,0	204,7	196,5	71	55,0	80,0	65	162,0	137,7	5,5	13,5	0,3

Maße Motoren

Typ	□g	qp0	qp1	w1	x0	zp0
EZ501U	115	93	147,5	100,0	22	58,5
EZ502U	115	118	172,5	100,0	22	83,5
EZ503U	115	143	197,5	100,0	22	108,5
EZ505U	115	193	247,5	100,0	22	158,5
EZ701U	145	102	161,0	115,0	22	64,0
EZ702U	145	127	186,0	115,0	22	89,0
EZ703U	145	152	211,0	115,0	22	114,0
EZ705U	145	207	266,0	134,0	22	165,0
EZ802U	190	197	274,0	156,5	22	143,0
EZ803U	190	238	315,0	156,5	22	184,0
EZ805U	190	320	397,0	156,5	22	266,0

Maße Getriebemotoren

Typ	EZ5 mp	EZ7 mp	EZ8 mp
ZTRS_PH731_	–	83,0	93,0
ZTRS_PH732_	131,0	134,0	–
ZTRS_PH831_	–	–	120,0
ZTRS_PH832_	–	171,0	181,0
ZTRS_PH942_	–	–	228,5

2.4 Typenbezeichnung

In diesem Kapitel finden Sie die Erklärung der Typenbezeichnung mit den zugehörigen Optionen.

Weitere Bestellangaben, die nicht in der Typenbezeichnung vorkommen, finden Sie am Ende des Kapitels.

Beispiel-Code

Z	TRS	3	17	S	PH	7	3	1	S	F	S	S	0050	EZ703U
---	-----	---	----	---	----	---	---	---	---	---	---	---	------	--------

Erklärung

Code	Bezeichnung	Ausführung
Z	Typ	Zahnstangentrieb
TRS	Ausführung	Verschraubtes Flanschritzel mit Stützlagerglocke
3	Modul	$m_n = 3$ (Beispiel)
17	Zähnezahl	$z = 17$ (Beispiel)
S	Verzahnung	Schrägverzahnt (linkssteigend 19° 31' 42")
SF		Schrägverzahnt (linkssteigend 19° 31' 42") mit Filzzahnrad zur Schmierung
PH	Typ	Planetengetriebe
7	Größe	7 (Beispiel)
3	Generation	Generation 3
4		Generation 4
1	Stufen	1-stufig
2		2-stufig
S	Gehäuse	Standard
F	Welle	Flanschwelle
S	Lager	Standardlagerung
V		Verstärkte Lagerung (PH3 – PH5)
S	Drehspiel	Standard
R		Reduziert (PH3 – PH9)
0050	Übersetzungskennzahl ($i \times 10$)	$i = 5$ (Beispiel)
EZ703U	Motor	Synchron-Servomotor EZ

Um die Typenbezeichnung zu vervollständigen, geben Sie bei Ihrer Bestellung zusätzlich an:

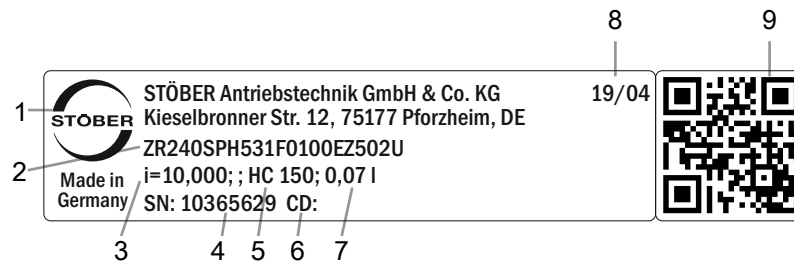
- Eine detaillierte Typenbezeichnung des Motors, siehe Kapitel [\[13 \]](#)
- Position der Steckverbinder, siehe Kapitel [\[2.5.5 \]](#)
- Radialwellendichtringe am Abtrieb aus NBR oder FKM (Option), siehe Kapitel [\[2.6.2 \]](#)
- Rundlauf $\leq 10 \mu\text{m}$ (Option)
- Reversierbetrieb der Abtriebswelle von $\pm 20^\circ$ bis $\pm 90^\circ$ bei horizontalem Einbau auf Anfrage

In diesem Katalog finden Sie alle Informationen zu Zahnstangentrieben mit Synchron-Servomotoren EZ.

Alle auf Anfrage erhältlichen Eintriebsoptionen finden Sie im Kapitel [\[2.5.1 \]](#).

2.4.1 Typenschild

In folgender Abbildung ist das Typenschild eines Getriebemotors als Beispiel erläutert.



Code	Bezeichnung
1	Herstellerbezeichnung
2	Typenbezeichnung
3	Übersetzung des Getriebes
4	Serialnummer des Getriebes
5	Schmierstoffspezifikation
6	Kundenspezifische Daten
7	Schmierstofffüllmenge
8	Herstellungsdatum (Jahr/Kalenderwoche)
9	QR-Code (Link zu Produktinformationen)

2.4.1.1 Mitgeltende Dokumente

Mitgeltende Dokumente für das Produkt können Sie ansehen oder herunterladen, wenn Sie die Seriennummer auf dem Typenschild des Produkts ablesen und sie im Internet unter folgender Adresse eingeben:

<https://id.stober.com>

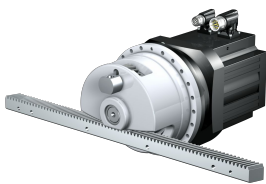
Alternativ können Sie mit einem geeigneten Mobilgerät den QR-Code auf dem Typenschild des Produkts einscannen, um dadurch zu den mitgeltenden Dokumenten verlinkt zu werden.

2.5 Produktbeschreibung

2.5.1 Eintriebsoptionen

In diesem Kapitel finden Sie alle verfügbaren Eintriebsoptionen:

Synchron-Servomotoren



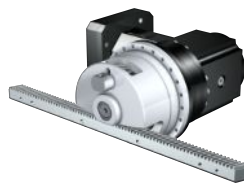
Katalog ID 443286_de

Motoradapter



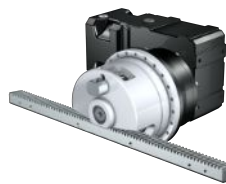
Katalog ID 443137_de

Winkeleintrieb KX mit Motoradapter MF



Auf Anfrage

Winkeleintrieb K mit Motoradapter ME



Auf Anfrage

Motoradapter MB



Auf Anfrage

Die entsprechenden Kataloge finden Sie unter <http://www.stober.de/de/downloads/>

Geben Sie im Feld Suchbegriff die ID des Katalogs ein.

2.5.2 Zahnstange

Die im Kapitel Auswahltabellen angegebenen technischen Daten gelten nur für Zahnstangenpaarungen mit folgenden Eigenschaften:

Das Ritzel des Zahnstangentriebs ist einsatzgehärtet und schrägverzahnt (linkssteigend 19° 31' 42"). Die Ritzelverzahnungsqualität ist 5.

Die entsprechende Zahnstange muss rechtssteigend (19° 31' 42") sein und folgende Eigenschaften besitzen:

Modul m_n [mm]	Mindestqualität Zahnstange	Werkstoff Zahnstange
2 – 4	6	16MnCr5 induktiv gehärtet
5	5	16MnCr5 induktiv gehärtet
6 – 10	6	C45 induktiv gehärtet

Beachten Sie zusätzlich die Projektierung der Zahnstange auf den Atlanta-Seiten.

2.5.3 Einbaubedingungen

Die in diesem Katalog angegebenen Drehmomente und Kräfte gelten unter folgenden Bedingungen:

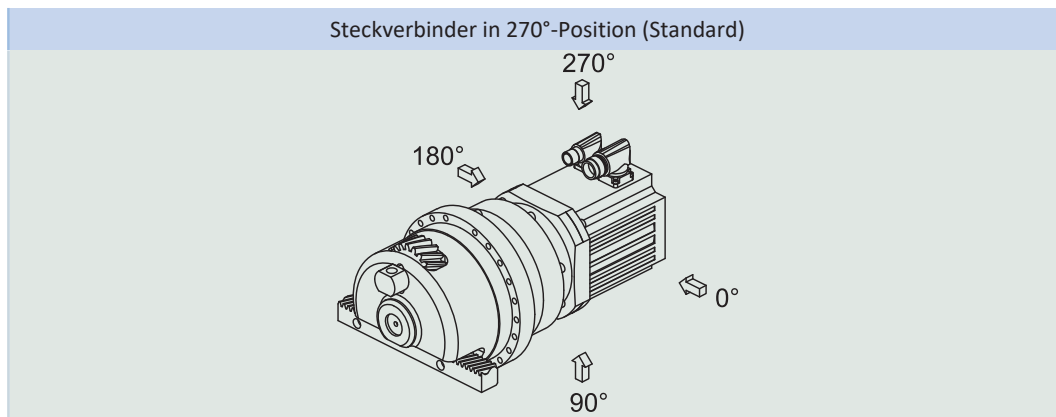
- Bei einer maschinenseitigen Befestigung des Getriebegehäuses mit Schrauben der Festigkeitsklasse 12.9
- Wenn die Getriebegehäuse am Passrand $\varnothing b_z$ eingepasst werden. Die maschinenseitige Passung muss H7 sein.

2.5.4 Schmierstoffe

STÖBER füllt die Getriebe mit der auf dem Typenschild angegebenen Menge und Art des Schmierstoffs.

Schmierstoffe für den Einsatz in der Lebensmittelindustrie erhalten Sie auf Anfrage.

2.5.5 Position der Steckverbinder



Die Steckverbinder befinden sich im Standard in der 270°-Position. Geben Sie Abweichungen für Ihren Zahnstangentrieb bei der Bestellung an.

Beachten Sie, dass sich die Steckverbinder mitdrehen, wenn die Zahnstange in eine andere Position gedreht wird.

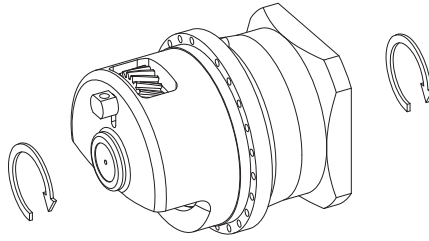
2.5.6 Weitere Produktmerkmale

Merkmal	Wert
Max. zul. Getriebetemperatur (an der Getriebeoberfläche)	≤ 90 °C
Lackierung	Schwarz RAL 9005
(ATEX-) Richtlinie 2014/34/EU (Option)	Nicht geeignet.
Schutzart: ¹	
Planetengeräte	IP65
Motor	IP56, optional IP66
Ritzel/Zahnstange	IPXX

¹ Beachten Sie die Schutzart aller Komponenten.

2.5.7 Drehrichtung

Ein- und Abtrieb drehen sich gleichsinnig.



2.6 Projektierung

Projektieren Sie Ihre Antriebe mit unserer Auslegungssoftware SERVOSOFT. Laden Sie SERVOSOFT kostenlos unter <https://www.stoeber.de/de/ServoSoft> herunter.

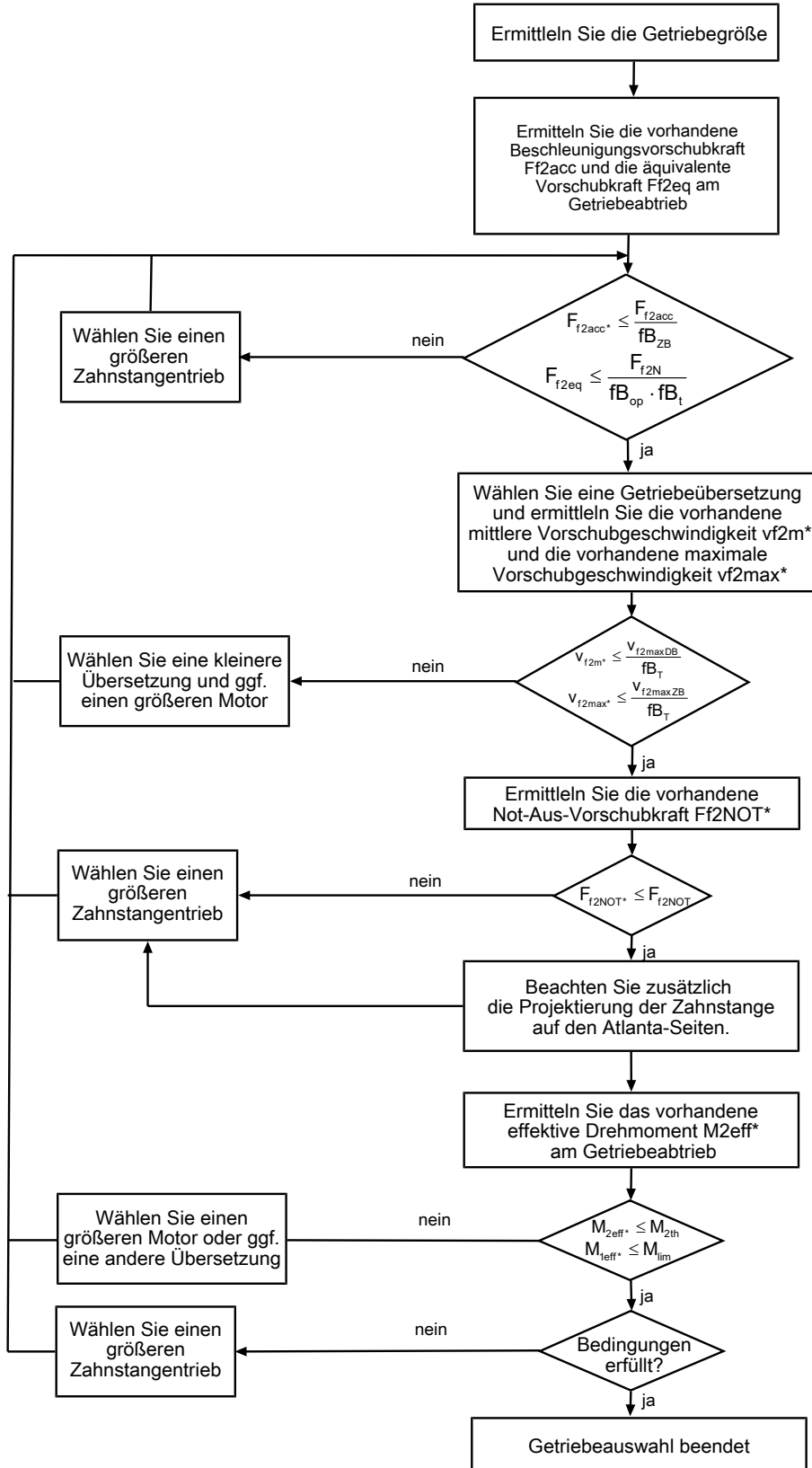
Dies ist die komfortabelste und sicherste Methode der Antriebsauswahl, da hier der komplette Drehmoment-Drehzahl-Verlauf der Anwendung in der Kennlinie des Getriebemotors dargestellt und beurteilt wird.

In diesem Kapitel können für die manuelle Antriebsauswahl nur Grenzwertbetrachtungen für konkrete Arbeitspunkte gemacht werden.

Die Formelzeichen für tatsächlich in der Anwendung vorhandene Werte sind mit einem * gekennzeichnet.

Die Erklärung der Formelzeichen finden Sie im Kapitel [\[15.1 \]](#).

2.6.1 Antriebsauswahl

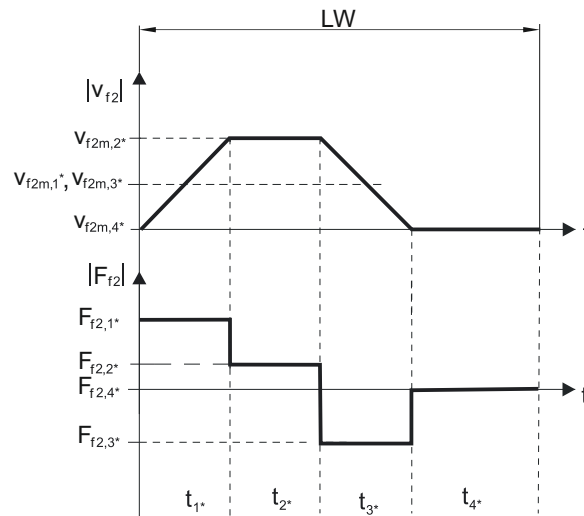


Entnehmen Sie die Werte für i , $v_{f2maxDB}$, $v_{f2maxZB}$, F_{f2acc} , F_{f2N} und F_{f2NOT} den Auswahltabellen.

Entnehmen Sie die Werte für fb_T , fb_{op} , fb_t und fb_{zb} den jeweiligen Tabellen in diesem Kapitel.

Beispiel Zyklusbetrieb

Die nachfolgenden Berechnungen beziehen sich auf eine Darstellung der am Abtrieb abgenommenen Leistung gemäß folgendem Beispiel:

**Berechnung der vorhandenen maximalen Beschleunigungsvorschubkraft**

$$F_{f2acc*} = m \cdot a^* + F_{L*}$$

Berechnung der vorhandenen mittleren Eintriebsdrehzahl

$$n_{1m*} = \frac{v_{f2m*} \cdot i}{d_0 \cdot \pi}$$

$$v_{f2m*} = \frac{|v_{f2m,1*}| \cdot t_{1*} + \dots + |v_{f2m,n*}| \cdot t_{n*}}{t_{1*} + \dots + t_{n*}}$$

Wenn $t_{1*} + \dots + t_{3*} \geq 6 \text{ min}$, ermitteln Sie v_{2m*} ohne die Pause t_{4*} .

Entnehmen Sie die Werte für die Übersetzung i in den Auswahltabellen.

Berechnung der vorhandenen Not-Aus-Vorschubkraft

$$F_{f2NOT*} = m \cdot a_{NOT*} + F_{L*}$$

Berechnung der vorhandenen äquivalenten Vorschubkraft

$$F_{f2eq*} = \sqrt[3]{\frac{|v_{f2m,1*}| \cdot t_{1*} \cdot |F_{f2,1*}|^3 + \dots + |v_{f2m,n*}| \cdot t_{n*} \cdot |F_{f2,n*}|^3}{|v_{f2m,1*}| \cdot t_{1*} + \dots + |v_{f2m,n*}| \cdot t_{n*}}}$$

Berechnung des thermischen Grenzmoments

Berechnen Sie für eine Einschaltdauer $ED_{10} > 50 \%$ das thermische Grenzmoment M_{2th} für die vorhandene mittlere Eintriebsdrehzahl n_{1m*} . (Bei $K_{mot,th} \leq 0$ müssen Sie die mittlere Eintriebsdrehzahl n_{1m*} entsprechend reduzieren oder eine andere Baugröße des Getriebemotors wählen.)

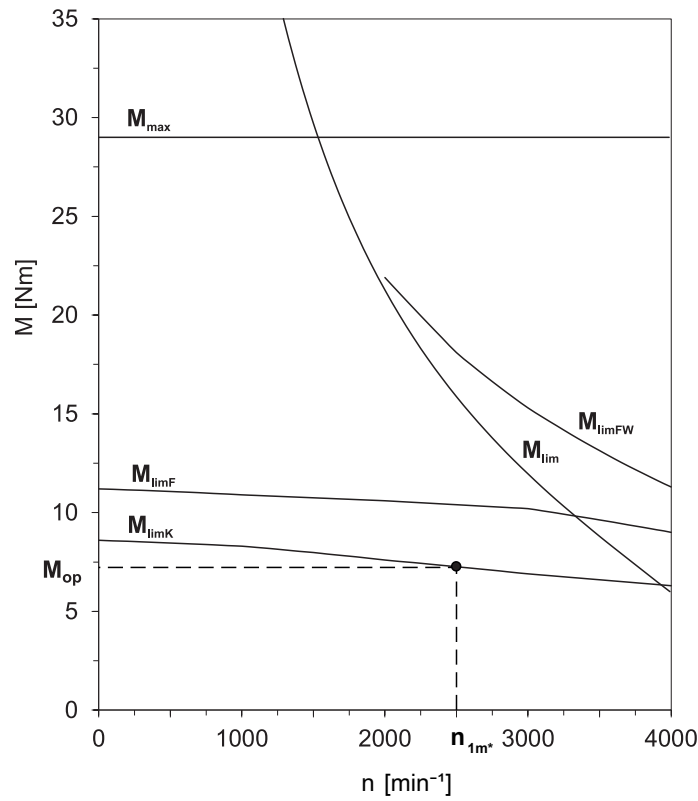
$$M_{2th} = M_{op} \cdot i \cdot K_{mot,th}$$

$$K_{mot,th} = 0,93 - \frac{a_{th}}{1000} \cdot fB_T \cdot \left(\frac{n_{1m*}}{1000} \right)^3$$

Entnehmen Sie die Werte für i und a_{th} den Auswahltabellen.

Entnehmen Sie die Werte für fB_T der entsprechenden Tabelle in diesem Kapitel.

Entnehmen Sie der Motorkennlinie im Kapitel [13.3](#) den Wert für das Drehmoment des Motors im Arbeitspunkt M_{op} bei der ermittelten mittleren Eintriebsdrehzahl n_{1m*} . Beachten Sie dabei die Baugröße, Nenn-drehzahl n_n und Kühlungsart des Motors. Die nachfolgende Abbildung stellt ein Beispiel für das Ablesen des Drehmoments M_{op} eines Motors mit Konvektionskühlung im Arbeitspunkt dar.



Berechnung des vorhandenen effektiven Drehmoments

$$M_{2eff*} = \sqrt{\frac{t_{1*} \cdot M_{2,1*}^2 + \dots + t_{n*} \cdot M_{2,n*}^2}{t_{1*} + \dots + t_{n*}}}$$

$$M_{2,n*} = \frac{F_{f2,n*} \cdot d_0}{2}$$

$$M_{1eff*} = \frac{M_{2eff*}}{i \cdot \eta}$$

Betriebsfaktoren

Betriebsart		fB _{op}
Gleichmäßiger Dauerbetrieb		1,00
Zyklusbetrieb		1,00
Zyklusbetrieb reversierende Last		1,00
Laufzeit		fB _t
Tägliche Laufzeit ≤ 8 h		1,00
Tägliche Laufzeit ≤ 16h		1,15
Tägliche Laufzeit ≤ 24 h		1,20
Zyklusbetrieb		fB _{ZB}
≤ 1000 Lastwechsel/Stunde (LW/h)		1,00
> 1000 Lastwechsel/Stunde (LW/h)		1,15
Temperatur		fB _T
Motorkühlung	Umgebungstemperatur	
Motor mit Fremdbelüftung	≤ 20 °C	0,9
	≤ 30 °C	1,0
	≤ 40 °C	1,15
Motor mit Konvektionskühlung	≤ 20 °C	1,0
	≤ 30 °C	1,1
	≤ 40 °C	1,25

Hinweise

- Die maximal zulässige Getriebetemperatur (siehe Kapitel Weitere Produktmerkmale) darf nicht überschritten werden, da dies zu Beschädigungen führen kann.
- Beachten Sie bei Bremsungen aus voller Drehzahl (z. B. bei einem Spannungsausfall oder beim Einrichten der Maschine) die zulässigen Getriebevorschubkräfte (F_{f2acc} , F_{f2NOT}) in den Auswahltabellen.

2.6.2 Empfehlung Radialwellendichtringe

Für eine Einschaltdauer > 60 % und bei höheren Umgebungstemperaturen empfehlen wir am Abtrieb Radialwellendichtringe aus FKM.

Eigenschaften:

- Hervorragende Temperaturbeständigkeit
- Hohe chemische Stabilität
- Sehr gute Alterungsbeständigkeit
- Hervorragende Beständigkeit in Ölen und Fetten
- Einsatz in der Lebensmittel-, Pharma- und Getränkeindustrie

Leckagesicherheit

Unsere Getriebe sind mit hochwertigen Radialwellendichtringen ausgestattet und auf Dichtheit geprüft. Eine Leckage kann über die Gebrauchsdauer der Getriebe trotzdem nicht völlig ausgeschlossen werden. Wenn Sie die Getriebe mit schmierstoffunverträglichen Gütern einsetzen, müssen Sie Maßnahmen ergreifen, die einen direkten Kontakt mit dem Getriebeschmierstoff im Falle einer Leckage verhindern.

2.7 Weitere Dokumentation

Weitere, das Produkt betreffende Dokumentationen finden Sie unter <http://www.stoeber.de/de/downloads/>

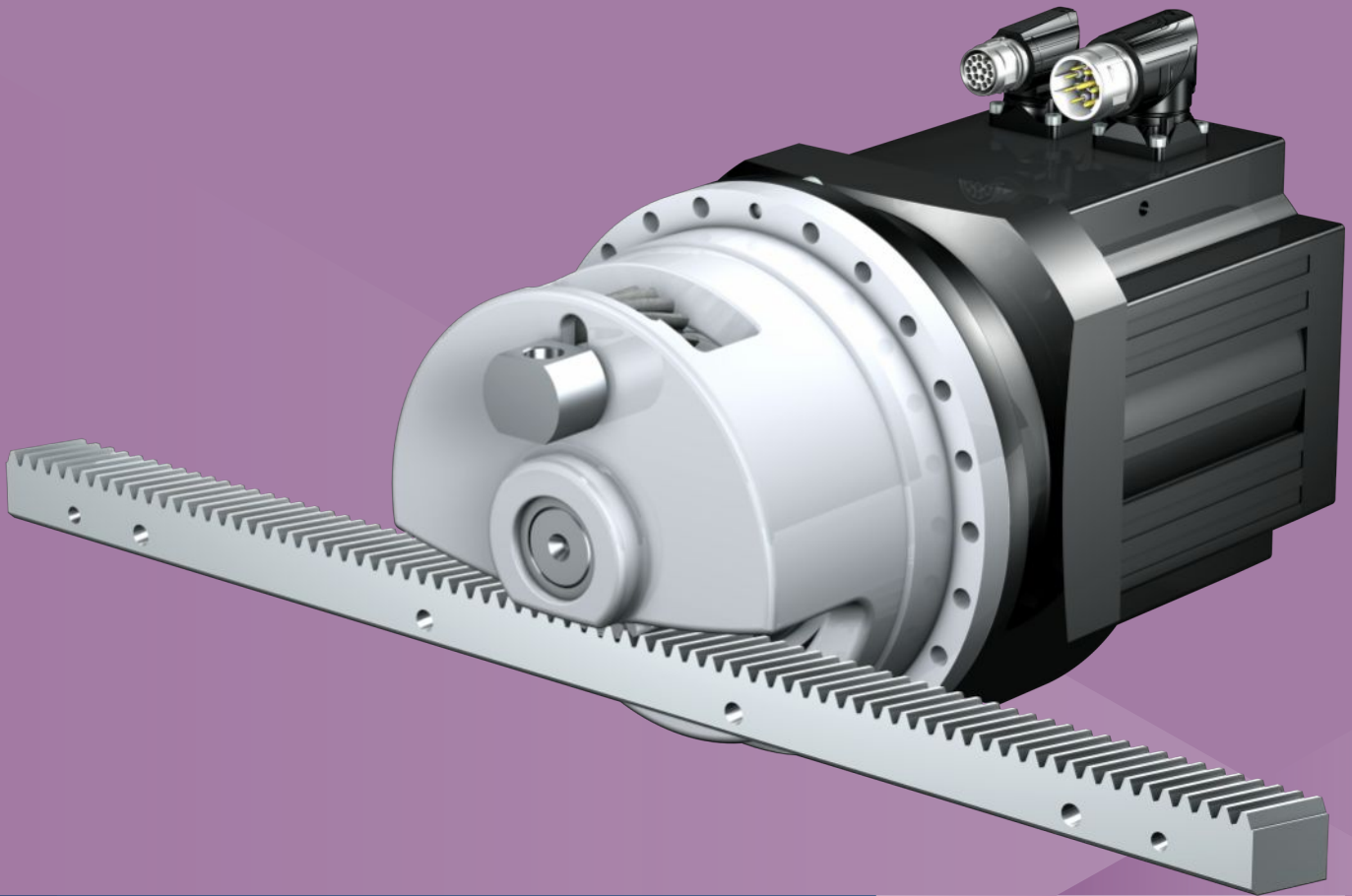
Geben Sie im Feld Suchbegriff die ID der Dokumentation ein.

Dokumentation	ID
Betriebsanleitung Getriebe, Getriebemotoren PH33 – PH83, PH94 – PH104	443354_de
Betriebsanleitung Synchron-Servomotoren EZ	443032_de
Betriebsanleitung Zahnstangen (Atlanta)	442455

3 Zahnstangentriebe ZTRSPHQ

Inhaltsverzeichnis

3.1	Übersicht	36
3.2	Auswahltabellen	37
3.3	Maßzeichnungen	38
3.4	Typenbezeichnung	39
3.4.1	Typenschild	40
3.5	Produktbeschreibung	40
3.5.1	Eintriebsoptionen	40
3.5.2	Zahnstange	41
3.5.3	Einbaubedingungen	41
3.5.4	Schmierstoffe	41
3.5.5	Einbaulagen	41
3.5.6	Position der Steckverbinder	42
3.5.7	Weitere Produktmerkmale	42
3.5.8	Drehrichtung	42
3.6	Projektierung	42
3.6.1	Antriebsauswahl	43
3.6.2	Empfehlung Radialwellendichtringe	46
3.7	Weitere Dokumentation	46



3 Zahnstangentriebe

ZTRSPHQ

3.1 Übersicht

Quattro-Power Präzisions-Planetengetriebemotoren mit Stützlagerglocke

Merkmale

Leistungsdichte	★★★★★
Lineares Spiel	★★★★☆
Preisklasse	€€€€€
Laufruhe	★★★★☆
Lineare Steifigkeit	★★★★★
Massenträgheitsmoment	★★★★☆
Einbaufertige Antriebslösung	✓
Ritzel Verzahnungsqualität 5 (DIN 3962)	✓
Schrägverzahnung	✓
Einsatzgehärtet und geschliffen	✓
Rundlauf $\leq 10 \mu\text{m}$ (Option)	✓
Kompakt und hochdynamisch durch Motordirektanbau	✓

Legende ★☆☆☆☆ gut | ★★★★★ hervorragend
 € Economy | €€€€€ Premium

Technische Daten

m_n	8 mm
z	19
F_{f2acc}	107 – 124 kN
v_{f2N}	0,09 – 0,26 m/s
Δs	70 μm

3.2 Auswahltabellen

Die in den Auswahltabellen angegebenen technischen Daten gelten für:

- Spannungsfreien Einbau
- Permanente Schmierung mit den im Atlanta-Katalog vorgeschriebenen Schmierstoffen
- Werkstoffpaarungen entsprechend Kapitel [▶ 3.5.2](#)
- Aufstellhöhen bis 1000 m über Normalnull
- Umgebungstemperaturen von 0° C bis 40° C
- Ohne Berücksichtigung der thermischen Grenzleistung
- Antriebe mit konvektionsgekühlten Motoren (z. B. EZ401U)

Die technischen Daten für Antriebe mit fremdbelüfteten (z. B. EZ401B) Motoren finden Sie unter <https://configurator.stoeber.de/de-DE/>

Alle weiteren technischen Daten finden Sie unter <https://configurator.stoeber.de/de-DE/>.

Die Erklärung der Formelzeichen finden Sie im Kapitel [▶ 15.1](#).

v_{fzN} [m/s]	F_{fzN} [kN]	$F_{fz,0}$ [kN]	a_{th}	S	Typ	F_{fzacc} [kN]	F_{fzNOT} [kN]	M_{2acc} [Nm]	i	$v_{fzmaxDB}$ [m/s]	$v_{fzmaxZB}$ [m/s]	Δs [μm]	Δs_{red} [μm]	C_{flin} [N/μm]	m_n [mm]	z	d_0 [mm]
ZTRSPHQ10 ($n_{1N} = 2000 \text{ min}^{-1}$, ($F_{fzacc,max} = 124 \text{ kN}$))																	
0,14	59	89	0,6	1,1	ZTRS819SPHQ1043_1200 EZ805U	124	240	10000	120,0	0,14	0,25	70	–	340	8	19	161,3
0,18	47	71	0,6	1,4	ZTRS819SPHQ1043_0960 EZ805U	124	240	10000	96,00	0,18	0,31	70	–	340	8	19	161,3
ZTRSPHQ10 ($n_{1N} = 3000 \text{ min}^{-1}$, ($F_{fzacc,max} = 124 \text{ kN}$))																	
0,11	60	99	0,2	1,1	ZTRS819SPHQ1043_2400 EZ802U	124	240	10000	240,0	0,10	0,16	70	–	340	8	19	161,3
0,12	52	87	0,2	1,3	ZTRS819SPHQ1043_2100 EZ802U	124	240	10000	210,0	0,11	0,18	70	–	340	8	19	161,3
0,12	62	113	0,3	1,1	ZTRS819SPHQ1043_2100 EZ803U	124	240	10000	210,0	0,11	0,18	70	–	340	8	19	161,3
0,15	42	70	0,3	1,6	ZTRS819SPHQ1043_1680 EZ802U	124	240	10000	168,0	0,14	0,23	70	–	340	8	19	161,3
0,15	50	90	0,3	1,3	ZTRS819SPHQ1043_1680 EZ803U	124	240	10000	168,0	0,14	0,23	70	–	340	8	19	161,3
0,17	37	62	0,3	1,8	ZTRS819SPHQ1043_1500 EZ802U	124	240	10000	150,0	0,14	0,23	70	–	340	8	19	161,3
0,17	45	81	0,3	1,5	ZTRS819SPHQ1043_1500 EZ803U	124	240	10000	150,0	0,14	0,23	70	–	340	8	19	161,3
0,21	30	50	0,3	2,0	ZTRS819SPHQ1043_1200 EZ802U	124	240	10000	120,0	0,14	0,25	70	–	340	8	19	161,3
0,21	36	65	0,4	1,7	ZTRS819SPHQ1043_1200 EZ803U	124	240	10000	120,0	0,14	0,25	70	–	340	8	19	161,3
0,26	24	40	0,3	2,4	ZTRS819SPHQ1043_0960 EZ802U	107	240	8640	96,00	0,18	0,31	70	–	340	8	19	161,3
0,26	29	52	0,4	2,0	ZTRS819SPHQ1043_0960 EZ803U	124	240	10000	96,00	0,18	0,31	70	–	340	8	19	161,3
ZTRSPHQ10 ($n_{1N} = 4500 \text{ min}^{-1}$, ($F_{fzacc,max} = 124 \text{ kN}$))																	
0,09	49	162	0,1	1,3	ZTRS819SPHQ1043_4200 EZ802U	124	240	10000	420,0	0,06	0,09	70	–	339	8	19	161,3
0,13	35	116	0,1	1,9	ZTRS819SPHQ1043_3000 EZ802U	124	240	10000	300,0	0,08	0,13	70	–	340	8	19	161,3
0,16	28	92	0,1	2,3	ZTRS819SPHQ1043_2400 EZ802U	124	240	10000	240,0	0,10	0,16	70	–	340	8	19	161,3
0,18	25	81	0,1	2,6	ZTRS819SPHQ1043_2100 EZ802U	124	240	10000	210,0	0,11	0,18	70	–	340	8	19	161,3
0,23	20	65	0,1	3,0	ZTRS819SPHQ1043_1680 EZ802U	124	240	10000	168,0	0,14	0,23	70	–	340	8	19	161,3

3.3 Maßzeichnungen

In diesem Kapitel finden Sie die Abmessungen der Zahnstangentriebe mit Synchron-Servomotoren EZ.

Das Maß az in den Maßtabellen gilt für Atlanta Zahnstangen. Allgemein gilt: $az = \frac{1}{2} d_0 + h_0 + x \cdot mn$

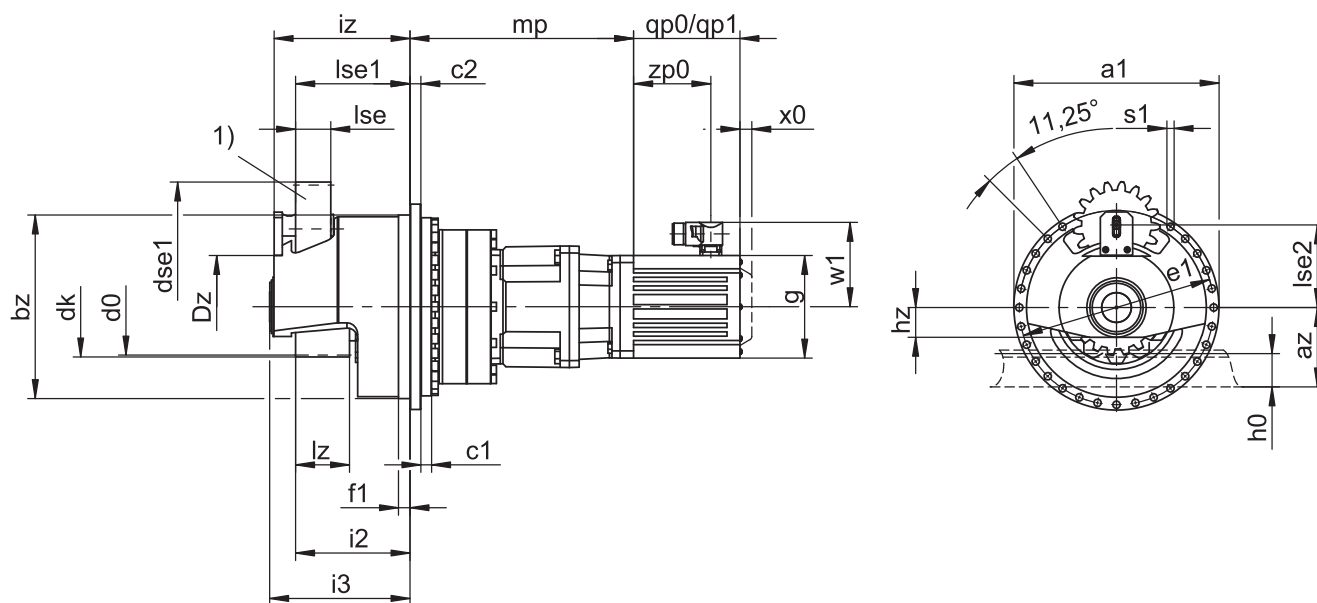
Das Ritzel des Zahnstangentriebs ist schrägverzahnt (linkssteigend 19° 31' 42"). Die Ritzelverzahnungsqualität ist 5.

Maße können aufgrund von Gusstoleranzen bzw. Aufsummieren der Einzeltoleranzen die Vorgaben der ISO 2768-mK überschreiten.

Maßänderungen durch technische Weiterentwicklung behalten wir uns vor.

3D-Modelle unserer Standardantriebe können Sie unter <https://configurator.stoeber.de/de-DE/> herunterladen.

Kombinationsmöglichkeiten und Maße für fremdbelüftete Getriebemotoren finden Sie ebenfalls unter <https://configurator.stoeber.de/de-DE/>.



qp0 Gilt für Motoren ohne Bremse.

qp1 Gilt für Motoren mit Bremse.

x0 Gilt für Encoder mit optischem Messprinzip.

w1 Abweichend bei One Cable Solution (OCS) siehe Kapitel [13.4](#)

1) Filzzahnrad zur Schmierung (Option)

Maße Getriebe

Typ	mn	Øa1	az	Øbz	c1	c2	Ød0	Ødk	Ødse1	ØDz	Øe1	f1	i2	i3	iz	h0	hz	lz	lse	lse1	lse2	Øs1	x
ZTRS819SPHQ10_	8	380	151,64	340 _{h7}	20	20	161,28	177,3	160	110	360	21,5	212	260	251,9	71	55	100	65	211,7	152,8	13,5	0,00

Maße Motoren

Typ	□g	qp0	qp1	w1	x0	zp0
EZ802U	190	197	274	156,5	22	143
EZ803U	190	238	315	156,5	22	184
EZ805U	190	320	397	156,5	22	266

Maße Getriebemotoren

Typ	EZ8
ZTRS_PHQ1043_	mp 344,5

3.4 Typenbezeichnung

In diesem Kapitel finden Sie die Erklärung der Typenbezeichnung mit den zugehörigen Optionen.

Weitere Bestellangaben, die nicht in der Typenbezeichnung vorkommen, finden Sie am Ende des Kapitels.

Beispiel-Code

Z	TRS	8	19	S	PHQ	10	4	3	F	1680	EZ802U
---	-----	---	----	---	-----	----	---	---	---	------	--------

Erklärung

Code	Bezeichnung	Ausführung
Z	Typ	Zahnstangentrieb
TRS	Ausführung	Verschraubtes Flanschritzel mit Stützlagerglocke
8	Modul	$m_n = 8$ (Beispiel)
19	Zähnezahl	$z = 19$ (Beispiel)
S	Verzahnung	Schrägverzahnt (linkssteigend 19° 31' 42")
SF		Schrägverzahnt (linkssteigend 19° 31' 42") mit Filzzahnrad zur Schmierung
PHQ	Typ	Planetengetriebe
10	Größe	10 (Beispiel)
4	Generation	Generation 4
3	Stufen	3-stufig
F	Welle	Flanschwelle
1680	Übersetzungskennzahl ($i \times 10$)	$i = 168$ (Beispiel)
EZ802U	Motor	Synchron-Servomotor EZ

Um die Typenbezeichnung zu vervollständigen, geben Sie bei Ihrer Bestellung zusätzlich an:

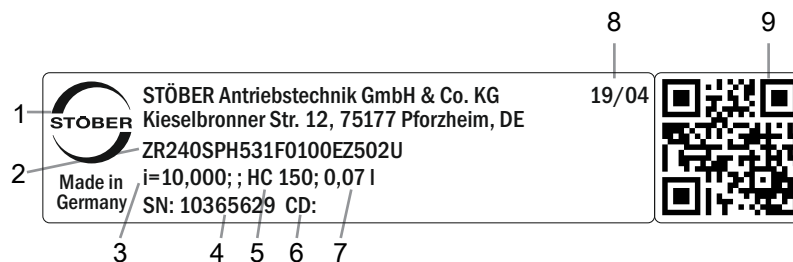
- Eine detaillierte Typenbezeichnung des Motors, siehe Kapitel [\[13 \]](#)
- Einbaulage (bei 3-stufigen Getrieben), siehe Kapitel [\[3.5.5 \]](#)
- Position der Steckverbinder, siehe Kapitel [\[3.5.6 \]](#)
- Radialwellendichtringe am Abtrieb aus NBR oder FKM (Option), siehe Kapitel [\[3.6.2 \]](#)
- Rundlauf $\leq 10 \mu\text{m}$ (Option)
- Reversierbetrieb der Abtriebswelle von $\pm 20^\circ$ bis $\pm 90^\circ$ bei horizontalem Einbau auf Anfrage

In diesem Katalog finden Sie alle Informationen zu Zahnstangentrieben mit Synchron-Servomotoren EZ.

Alle auf Anfrage erhältlichen Eintriebsoptionen finden Sie im Kapitel [\[3.5.1 \]](#).

3.4.1 Typenschild

In folgender Abbildung ist das Typenschild eines Getriebemotors als Beispiel erläutert.



Code	Bezeichnung
1	Herstellerbezeichnung
2	Typenbezeichnung
3	Übersetzung des Getriebes
4	Seriennummer des Getriebes
5	Schmierstoffspezifikation
6	Kundenspezifische Daten
7	Schmierstofffüllmenge
8	Herstellungsdatum (Jahr/Kalenderwoche)
9	QR-Code (Link zu Produktinformationen)

3.4.1.1 Mitgeltende Dokumente

Mitgeltende Dokumente für das Produkt können Sie ansehen oder herunterladen, wenn Sie die Seriennummer auf dem Typenschild des Produkts ablesen und sie im Internet unter folgender Adresse eingeben: <https://id.stober.com>

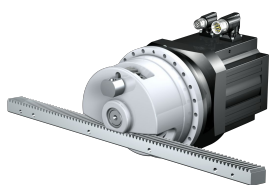
Alternativ können Sie mit einem geeigneten Mobilgerät den QR-Code auf dem Typenschild des Produkts einscannen, um dadurch zu den mitgeltenden Dokumenten verlinkt zu werden.

3.5 Produktbeschreibung

3.5.1 Eintriebsoptionen

In diesem Kapitel finden Sie alle verfügbaren Eintriebsoptionen:

Synchron-Servomotor EZ



Katalog ID 443286_de

Motoradapter



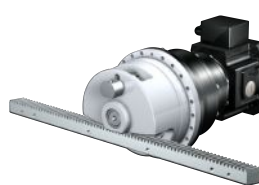
Katalog ID 443137_de

Winkleintrieb K mit Motoradapter ME



Auf Anfrage

Motoradapter MB



Auf Anfrage

Die entsprechenden Kataloge finden Sie unter <http://www.stober.de/de/downloads/>

Geben Sie im Feld Suchbegriff die ID des Katalogs ein.

3.5.2 Zahnstange

Die im Kapitel Auswahltabellen angegebenen technischen Daten gelten nur für Zahnstangenpaarungen mit folgenden Eigenschaften:

Das Ritzel des Zahnstangentriebs ist einsatzgehärtet und schrägverzahnt (linkssteigend $19^{\circ} 31' 42''$). Die Ritzelverzahnungsqualität ist 5.

Die entsprechende Zahnstange muss rechtssteigend ($19^{\circ} 31' 42''$) sein und folgende Eigenschaften besitzen:

Modul m_n [mm]	Mindestqualität Zahnstange	Werkstoff Zahnstange
2 – 4	6	16MnCr5 induktiv gehärtet
5	5	16MnCr5 induktiv gehärtet
6 – 10	6	C45 induktiv gehärtet

Beachten Sie zusätzlich die Projektierung der Zahnstange auf den Atlanta-Seiten.

3.5.3 Einbaubedingungen

Die in diesem Katalog angegebenen Drehmomente und Kräfte gelten unter folgenden Bedingungen:

- Bei einer maschinenseitigen Befestigung des Getriebegehäuses mit Schrauben der Festigkeitsklasse 12.9
- Wenn die Getriebegehäuse am Passrand \varnothing_{bz} eingepasst werden. Die maschinenseitige Passung muss H7 sein.

3.5.4 Schmierstoffe

STÖBER füllt die Getriebe mit der auf dem Typenschild angegebenen Menge und Art des Schmierstoffs. Die Füllmenge und der Aufbau der Getriebe sind von der Einbaulage abhängig.

Setzen Sie die Getriebe nur in der dafür vorgesehenen Einbaulage ein! Bauen Sie die Getriebe nur nach vorheriger Rücksprache mit STÖBER um. Ansonsten übernimmt STÖBER keine Haftung für die Getriebe.

Schmierstoffe für den Einsatz in der Lebensmittelindustrie erhalten Sie auf Anfrage.

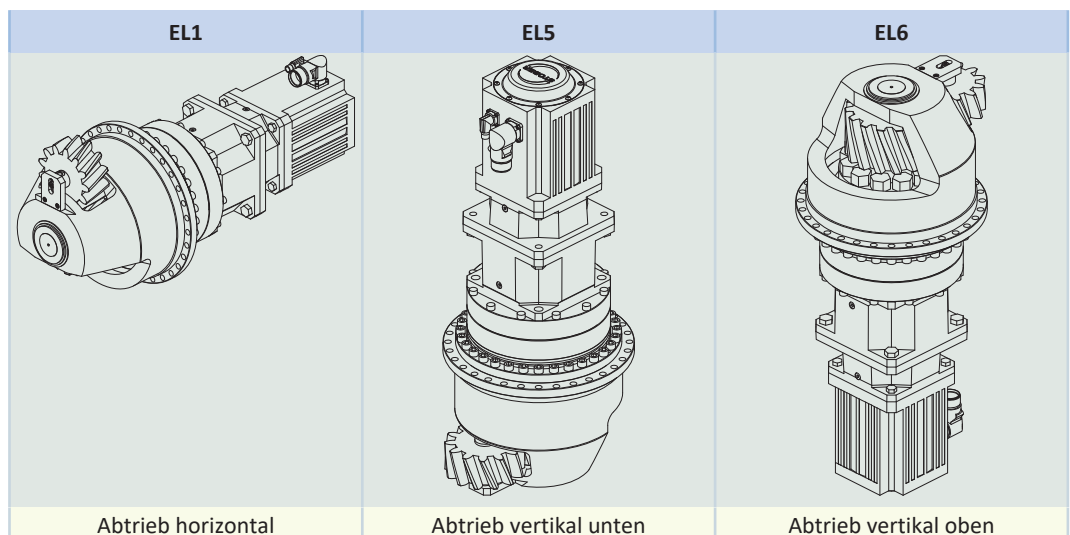
3.5.4.1 Schmierung Zahnstangentrieb

Stellen Sie eine permanente Schmierung des Zahnstangentriebs, mit den im Atlanta-Katalog vorgeschriebenen Schmierstoffen, sicher.

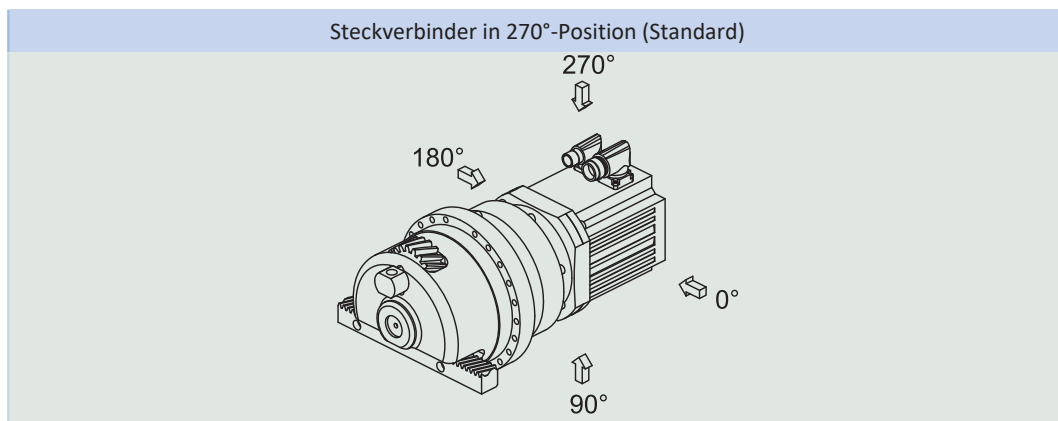
3.5.5 Einbaulagen

Die nachfolgende Tabelle zeigt die Standard-Einbaulagen.

Geben Sie bei der Bestellung von 3-stufigen Getriebemotoren die Einbaulage an.



3.5.6 Position der Steckverbinder



Die Steckverbinder befinden sich im Standard in der 270°-Position. Geben Sie Abweichungen für Ihren Zahnstangentrieb bei der Bestellung an.

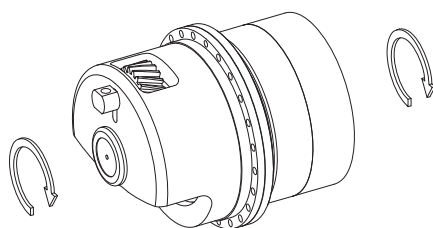
Beachten Sie, dass sich die Steckverbinder mitdrehen, wenn die Zahnstange in eine andere Position gedreht wird.

3.5.7 Weitere Produktmerkmale

Merkmal	Wert
Max. zul. Getriebetemperatur (an der Getriebeoberfläche)	≤ 90 °C
Lackierung	Schwarz RAL 9005
(ATEX-) Richtlinie 2014/34/EU (Option)	Nicht geeignet.
Schutzart: ¹	
Planetengetriebe	IP65
Motor	IP56, optional IP66
Ritzel/Zahnstange	IPXX

3.5.8 Drehrichtung

Ein- und Abtrieb drehen sich gleichsinnig.



3.6 Projektierung

Projektieren Sie Ihre Antriebe mit unserer Auslegungssoftware SERVOSOFT. Laden Sie SERVOSOFT kostenlos unter <https://www.stoeber.de/de/ServoSoft> herunter.

Dies ist die komfortabelste und sicherste Methode der Antriebsauswahl, da hier der komplette Drehmoment-Drehzahl-Verlauf der Anwendung in der Kennlinie des Getriebemotors dargestellt und beurteilt wird.

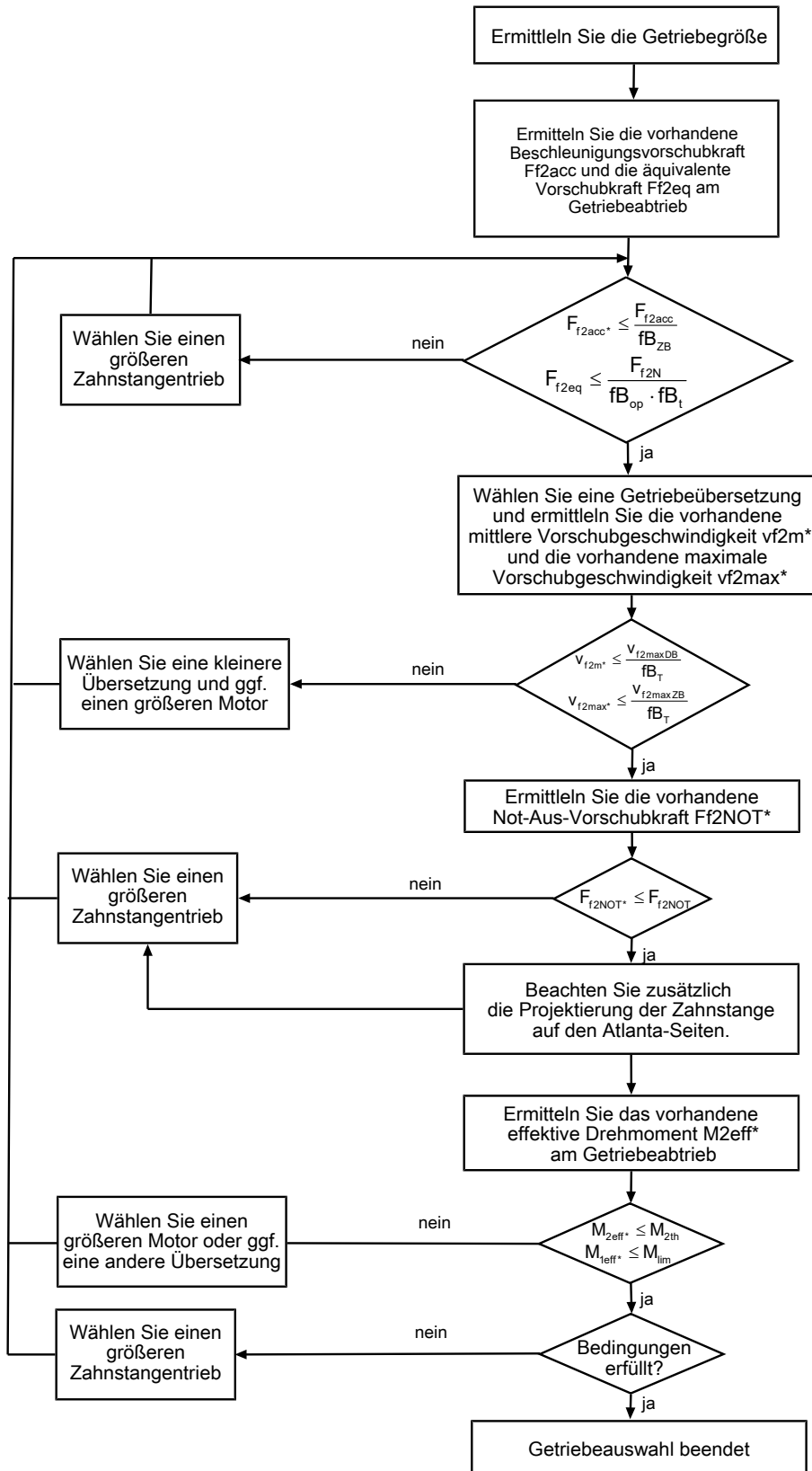
In diesem Kapitel können für die manuelle Antriebsauswahl nur Grenzwertbetrachtungen für konkrete Arbeitspunkte gemacht werden.

Die Formelzeichen für tatsächlich in der Anwendung vorhandene Werte sind mit einem * gekennzeichnet.

Die Erklärung der Formelzeichen finden Sie im Kapitel [▶ 15.1](#).

¹ Beachten Sie die Schutzart aller Komponenten.

3.6.1 Antriebsauswahl

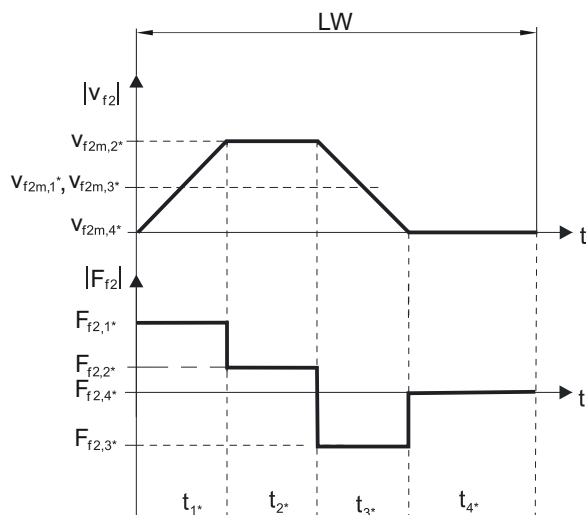


Entnehmen Sie die Werte für i , $v_{f2maxDB}$, $v_{f2maxZB}$, F_{f2acc} , F_{f2N} und F_{f2NOT} den Auswahltabellen.

Entnehmen Sie die Werte für fb_T , fb_{op} , fb_t und fb_{zb} den jeweiligen Tabellen in diesem Kapitel.

Beispiel Zyklusbetrieb

Die nachfolgenden Berechnungen beziehen sich auf eine Darstellung der am Abtrieb abgenommenen Leistung gemäß folgendem Beispiel:

**Berechnung der vorhandenen maximalen Beschleunigungsvorschubkraft**

$$F_{f2acc*} = m \cdot a^* + F_{L*}$$

Berechnung der vorhandenen mittleren Eintriebsdrehzahl

$$n_{1m*} = \frac{v_{f2m*} \cdot i}{d_0 \cdot \pi}$$

$$v_{f2m*} = \frac{|v_{f2m,1*}| \cdot t_{1*} + \dots + |v_{f2m,n*}| \cdot t_{n*}}{t_{1*} + \dots + t_{n*}}$$

Wenn $t_{1*} + \dots + t_{3*} \geq 6 \text{ min}$, ermitteln Sie v_{2m*} ohne die Pause t_{4*} .

Entnehmen Sie die Werte für die Übersetzung i den Auswahltabellen.

Berechnung der vorhandenen Not-Aus-Vorschubkraft

$$F_{f2NOT*} = m \cdot a_{NOT*} + F_{L*}$$

Berechnung der vorhandenen äquivalenten Vorschubkraft

$$F_{f2eq*} = \sqrt[3]{\frac{|v_{f2m,1*}| \cdot t_{1*} \cdot |F_{f2,1*}|^3 + \dots + |v_{f2m,n*}| \cdot t_{n*} \cdot |F_{f2,n*}|^3}{|v_{f2m,1*}| \cdot t_{1*} + \dots + |v_{f2m,n*}| \cdot t_{n*}}}$$

Berechnung des thermischen Grenzmoments

Berechnen Sie für eine Einschaltdauer $ED_{10} > 50 \%$ das thermische Grenzmoment M_{2th} für die vorhandene mittlere Eintriebsdrehzahl n_{1m*} . (Bei $K_{mot,th} \leq 0$ müssen Sie die mittlere Eintriebsdrehzahl n_{1m*} entsprechend reduzieren oder eine andere Baugröße des Getriebemotors wählen.)

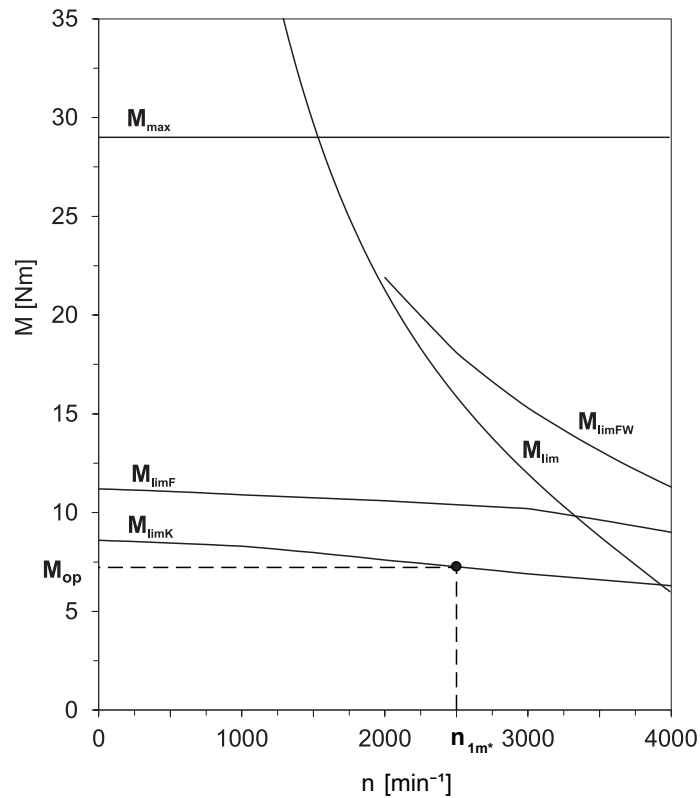
$$M_{2th} = M_{op} \cdot i \cdot K_{mot,th}$$

$$K_{mot,th} = 0,93 - \frac{a_{th}}{1000} \cdot fB_T \cdot \left(\frac{n_{1m*}}{1000} \right)^3$$

Entnehmen Sie die Werte für i und a_{th} den Auswahltabellen.

Entnehmen Sie die Werte für fB_T der entsprechenden Tabelle in diesem Kapitel.

Entnehmen Sie der Motorkennlinie im Kapitel [13.3](#) den Wert für das Drehmoment des Motors im Arbeitspunkt M_{op} bei der ermittelten mittleren Eintriebsdrehzahl n_{1m*} . Beachten Sie dabei die Baugröße, Nenn-drehzahl n_n und Kühlungsart des Motors. Die nachfolgende Abbildung stellt ein Beispiel für das Ablesen des Drehmoments M_{op} eines Motors mit Konvektionskühlung im Arbeitspunkt dar.



Berechnung des vorhandenen effektiven Drehmoments

$$M_{2eff*} = \sqrt{\frac{t_{1*} \cdot M_{2,1*}^2 + \dots + t_{n*} \cdot M_{2,n*}^2}{t_{1*} + \dots + t_{n*}}}$$

$$M_{2,n*} = \frac{F_{f2,n*} \cdot d_0}{2}$$

$$M_{1eff*} = \frac{M_{2eff*}}{i \cdot \eta}$$

Betriebsfaktoren

Betriebsart		fB _{op}
Gleichmäßiger Dauerbetrieb		1,00
Zyklusbetrieb		1,00
Zyklusbetrieb reversierende Last		1,00
Laufzeit		fB _t
Tägliche Laufzeit ≤ 8 h		1,00
Tägliche Laufzeit ≤ 16h		1,15
Tägliche Laufzeit ≤ 24 h		1,20
Zyklusbetrieb		fB _{zB}
≤ 1000 Lastwechsel/Stunde (LW/h)		1,00
> 1000 Lastwechsel/Stunde (LW/h)		1,15
Temperatur		fB _T
Motorkühlung	Umgebungstemperatur	
Motor mit Fremdbelüftung	≤ 20 °C	0,9
	≤ 30 °C	1,0
	≤ 40 °C	1,15
Motor mit Konvektionskühlung	≤ 20 °C	1,0
	≤ 30 °C	1,1
	≤ 40 °C	1,25

Hinweise

- Die maximal zulässige Getriebetemperatur (siehe Kapitel Weitere Produktmerkmale) darf nicht überschritten werden, da dies zu Beschädigungen führen kann.
- Beachten Sie bei Bremsungen aus voller Drehzahl (z. B. bei einem Spannungsausfall oder beim Einrichten der Maschine) die zulässigen Getriebevorschubkräfte (F_{f2acc} , F_{f2NOT}) in den Auswahltabellen.

3.6.2 Empfehlung Radialwellendichtringe

Für eine Einschaltdauer > 60 % und bei höheren Umgebungstemperaturen empfehlen wir am Abtrieb Radialwellendichtringe aus FKM.

Eigenschaften:

- Hervorragende Temperaturbeständigkeit
- Hohe chemische Stabilität
- Sehr gute Alterungsbeständigkeit
- Hervorragende Beständigkeit in Ölen und Fetten
- Einsatz in der Lebensmittel-, Pharma- und Getränkeindustrie

Leckagesicherheit

Unsere Getriebe sind mit hochwertigen Radialwellendichtringen ausgestattet und auf Dichtheit geprüft. Eine Leckage kann über die Gebrauchsdauer der Getriebe trotzdem nicht völlig ausgeschlossen werden. Wenn Sie die Getriebe mit schmierstoffunverträglichen Gütern einsetzen, müssen Sie Maßnahmen ergreifen, die einen direkten Kontakt mit dem Getriebeschmierstoff im Falle einer Leckage verhindern.

3.7 Weitere Dokumentation

Weitere, das Produkt betreffende Dokumentationen finden Sie unter <http://www.stoeber.de/de/downloads/>

Geben Sie im Feld Suchbegriff die ID der Dokumentation ein.

Dokumentation	ID
Betriebsanleitung Getriebe, Getriebemotoren PHQ43 – PHQ83, PHQ94 – PHQ124	443353_de
Betriebsanleitung Synchron-Servomotoren EZ	443032_de
Betriebsanleitung Zahnstangen (Atlanta)	442455

4 Zahnstangentriebe ZTRSPHV

Inhaltsverzeichnis

4.1	Übersicht	48
4.2	Auswahltabellen	49
4.3	Maßzeichnungen	52
4.4	Typenbezeichnung	53
4.4.1	Typenschild	54
4.5	Produktbeschreibung	54
4.5.1	Eintriebsoptionen	54
4.5.2	Zahnstange	55
4.5.3	Einbaubedingungen	55
4.5.4	Schmierstoffe	55
4.5.5	Position der Steckverbinder	55
4.5.6	Weitere Produktmerkmale.....	56
4.5.7	Drehrichtung	56
4.6	Projektierung	56
4.6.1	Antriebsauswahl.....	57
4.6.2	Empfehlung Radialwellendichtringe	60
4.7	Weitere Dokumentation.....	60



4 Zahnstangentriebe

ZTRSPHV

4.1 Übersicht

High-Performance Präzisions-Planetengetriebemotoren mit Stützlagerglocke

Merkmale

Leistungsdichte	★★★★★
Lineares Spiel	★★★★☆
Preisklasse	€€€€€
Laufruhe	★★★★☆
Lineare Steifigkeit	★★★★★
Massenträgheitsmoment	★★★★☆
Einbaufertige Antriebslösung	✓
Ritzel Verzahnungsqualität 5 (DIN 3962)	✓
Schrägverzahnung	✓
Einsatzgehärtet und geschliffen	✓
Rundlauf $\leq 10 \mu\text{m}$ (Option)	✓
Kompakt und hochdynamisch durch Motordirektanbau	✓

Legende ★☆☆☆☆ gut | ★★★★★ hervorragend
 € Economy | €€€€€ Premium

Technische Daten

m_n	5 – 8 mm
z	15 – 20
F_{f2acc}	17 – 77 kN
V_{f2N}	0,14 – 0,49 m/s
Δs	15 – 56 μm

4.2 Auswahltabellen

Die in den Auswahltabellen angegebenen technischen Daten gelten für:

- Spannungsfreien Einbau
- Permanente Schmierung mit den im Atlanta-Katalog vorgeschriebenen Schmierstoffen
- Werkstoffpaarungen entsprechend Kapitel [▶ 4.5.2](#)
- Aufstellhöhen bis 1000 m über Normalnull
- Umgebungstemperaturen von 0° C bis 40° C
- Ohne Berücksichtigung der thermischen Grenzleistung
- Antriebe mit konvektionsgekühlten Motoren (z. B. EZ401U)

Die technischen Daten für Antriebe mit fremdbelüfteten (z. B. EZ401B) Motoren finden Sie unter

<https://configurator.stoeber.de/de-DE/>

Alle weiteren technischen Daten finden Sie unter <https://configurator.stoeber.de/de-DE/>.

Die Erklärung der Formelzeichen finden Sie im Kapitel [▶ 15.1](#).

v_{fzN} [m/s]	F_{fzN} [kN]	F_{fz0} [kN]	a_{in}	S	Typ	F_{fzacc} [kN]	F_{fzNOT} [kN]	M_{zacc} [Nm]	i	$v_{fzmaxDB}$ [m/s]	$v_{fzmaxZB}$ [m/s]	Δs [μm]	Δs_{red} [μm]	C_{lin} [N/μm]	m_n [mm]	z	d_0 [mm]	
ZTRS5PHV9 ($n_{1N} = 3000 \text{ min}^{-1}$, $F_{fzacc,max} = 77 \text{ kN}$)																		
0,14	15	17	0,2	3,1	ZTRS520SPHV943_1210 EZ701U	41	154	2178	121,0	0,12	0,21	46	15	350	5	20	106,1	
0,14	25	30	0,4	1,9	ZTRS520SPHV943_1210 EZ702U	77	154	4075	121,0	0,12	0,21	46	15	350	5	20	106,1	
0,14	34	43	0,5	1,4	ZTRS520SPHV943_1210 EZ703U	77	154	4075	121,0	0,12	0,21	46	15	350	5	20	106,1	
0,14	44	62	0,7	1,1	ZTRS520SPHV943_1210 EZ705U	77	154	4075	121,0	0,12	0,21	46	15	350	5	20	106,1	
0,18	11	13	0,3	4,1	ZTRS520SPHV943_0910 EZ701U	31	154	1638	91,00	0,15	0,28	46	15	355	5	20	106,1	
0,18	19	22	0,4	2,5	ZTRS520SPHV943_0910 EZ702U	63	154	3358	91,00	0,15	0,28	46	15	355	5	20	106,1	
0,18	25	32	0,6	1,9	ZTRS520SPHV943_0910 EZ703U	77	154	4075	91,00	0,15	0,28	46	15	355	5	20	106,1	
0,18	33	47	0,8	1,4	ZTRS520SPHV943_0910 EZ705U	77	154	4075	91,00	0,15	0,28	46	15	355	5	20	106,1	
0,27	12	15	0,5	3,8	ZTRS520SPHV943_0610 EZ702U	42	154	2251	61,00	0,23	0,41	46	15	357	5	20	106,1	
0,27	17	22	0,7	2,8	ZTRS520SPHV943_0610 EZ703U	67	154	3569	61,00	0,23	0,41	46	15	357	5	20	106,1	
0,27	22	31	1,0	2,1	ZTRS520SPHV943_0610 EZ705U	77	154	4075	61,00	0,23	0,41	46	15	357	5	20	106,1	
ZTRS5PHV9 ($n_{1N} = 4500 \text{ min}^{-1}$, $F_{fzacc,max} = 77 \text{ kN}$)																		
0,21	25	41	0,4	1,7	ZTRS520SPHV943_1210 EZ703U	77	154	4075	121,0	0,12	0,21	46	15	350	5	20	106,1	
0,21	34	62	0,6	1,3	ZTRS520SPHV943_1210 EZ705U	77	154	4075	121,0	0,12	0,21	46	15	350	5	20	106,1	
0,28	19	31	0,5	2,3	ZTRS520SPHV943_0910 EZ703U	77	154	4075	91,00	0,15	0,28	46	15	355	5	20	106,1	
0,28	25	46	0,7	1,7	ZTRS520SPHV943_0910 EZ705U	77	154	4075	91,00	0,15	0,28	46	15	355	5	20	106,1	
0,41	13	21	0,6	3,4	ZTRS520SPHV943_0610 EZ703U	67	154	3569	61,00	0,23	0,41	46	15	357	5	20	106,1	
0,41	17	31	0,8	2,5	ZTRS520SPHV943_0610 EZ705U	77	154	4075	61,00	0,23	0,41	46	15	357	5	20	106,1	
ZTRS6PHV9 ($n_{1N} = 3000 \text{ min}^{-1}$, $F_{fzacc,max} = 67 \text{ kN}$)																		
0,17	13	14	0,2	3,1	ZTRS620SPHV943_1210 EZ701U	34	141	2178	121,0	0,14	0,25	56	19	314	6	20	127,3	
0,17	21	25	0,4	1,9	ZTRS620SPHV943_1210 EZ702U	67	141	4250	121,0	0,14	0,25	56	19	314	6	20	127,3	
0,17	28	36	0,5	1,4	ZTRS620SPHV943_1210 EZ703U	67	141	4250	121,0	0,14	0,25	56	19	314	6	20	127,3	
0,17	36	52	0,7	1,1	ZTRS620SPHV943_1210 EZ705U	67	141	4250	121,0	0,14	0,25	56	19	314	6	20	127,3	
0,22	9,5	11	0,3	4,1	ZTRS620SPHV943_0910 EZ701U	26	141	1638	91,00	0,18	0,33	56	19	320	6	20	127,3	
0,22	15	19	0,4	2,5	ZTRS620SPHV943_0910 EZ702U	53	141	3358	91,00	0,18	0,33	56	19	320	6	20	127,3	
0,22	21	27	0,6	1,9	ZTRS620SPHV943_0910 EZ703U	67	141	4250	91,00	0,18	0,33	56	19	320	6	20	127,3	
0,22	27	39	0,8	1,4	ZTRS620SPHV943_0910 EZ705U	67	141	4250	91,00	0,18	0,33	56	19	320	6	20	127,3	
0,33	10	12	0,5	3,8	ZTRS620SPHV943_0610 EZ702U	35	141	2251	61,00	0,27	0,49	56	19	322	6	20	127,3	
0,33	14	18	0,7	2,8	ZTRS620SPHV943_0610 EZ703U	56	141	3569	61,00	0,27	0,49	56	19	322	6	20	127,3	
0,33	18	26	1,0	2,1	ZTRS620SPHV943_0610 EZ705U	67	141	4250	61,00	0,27	0,49	56	19	322	6	20	127,3	
ZTRS6PHV9 ($n_{1N} = 4500 \text{ min}^{-1}$, $F_{fzacc,max} = 67 \text{ kN}$)																		
0,25	21	34	0,4	1,7	ZTRS620SPHV943_1210 EZ703U	67	141	4250	121,0	0,14	0,25	56	19	314	6	20	127,3	
0,25	28	51	0,6	1,3	ZTRS620SPHV943_1210 EZ705U	67	141	4250	121,0	0,14	0,25	56	19	314	6	20	127,3	
0,33	16	26	0,5	2,3	ZTRS620SPHV943_0910 EZ703U	67	141	4250	91,00	0,18	0,33	56	19	320	6	20	127,3	
0,33	21	39	0,7	1,7	ZTRS620SPHV943_0910 EZ705U	67	141	4250	91,00	0,18	0,33	56	19	320	6	20	127,3	
0,49	10	17	0,6	3,4	ZTRS620SPHV943_0610 EZ703U	56	141	3569	61,00	0,27	0,49	56	19	322	6	20	127,3	
0,49	14	26	0,8	2,5	ZTRS620SPHV943_0610 EZ705U	67	141	4250	61,00	0,27	0,49	56	19	322	6	20	127,3	
ZTRS8PHV9 ($n_{1N} = 3000 \text{ min}^{-1}$, $F_{fzacc,max} = 67 \text{ kN}$)																		
0,17	13	14	0,2	3,1	ZTRS815SPHV943_1210 EZ701U	34	141	2178	121,0	0,14	0,25	56	19	327	8	15	127,3	
0,17	21	25	0,4	1,9	ZTRS815SPHV943_1210 EZ702U	67	141	4250	121,0	0,14	0,25	56	19	327	8	15	127,3	
0,17	28	36	0,5	1,4	ZTRS815SPHV943_1210 EZ703U	67	141	4250	121,0	0,14	0,25	56	19	327	8	15	127,3	
0,17	36	52	0,7	1,1	ZTRS815SPHV943_1210 EZ705U	67	141	4250	121,0	0,14	0,25	56	19	327	8	15	127,3	
0,22	9,5	11	0,3	4,1	ZTRS815SPHV943_0910 EZ701U	26	141	1638	91,00	0,18	0,33	56	19	334	8	15	127,3	
0,22	15	19	0,4	2,5	ZTRS815SPHV943_0910 EZ702U	53	141	3358	91,00	0,18	0,33	56	19	334	8	15	127,3	
0,22	21	27	0,6	1,9	ZTRS815SPHV943_0910 EZ703U	67	141	4250	91,00	0,18	0,33	56	19	334	8	15	127,3	
0,22	27	39	0,8	1,4	ZTRS815SPHV943_0910 EZ705U	67	141	4250	91,00	0,18	0,33	56	19	334	8	15	127,3	
0,33	10	12	0,5	3,8	ZTRS815SPHV943_0610 EZ702U	35	141	2251	61,00	0,27	0,49	56	19	336	8	15	127,3	

4.2 Auswahltabellen 4 Zahnstangentriebe ZTRSPHV

v_{fzN} [m/s]	F_{fzN} [kN]	$F_{fz,0}$ [kN]	a_{th}	S	Typ	F_{fzacc} [kN]	F_{fzNOT} [kN]	M_{2acc} [Nm]	i	$v_{fzmaxDB}$ [m/s]	$v_{fzmaxZB}$ [m/s]	Δs [μ m]	Δs_{red} [μ m]	C_{lin} [N/ μ m]	m_n [mm]	z	d_0 [mm]
ZTRS8PHV9 ($n_{1,th} = 3000 \text{ min}^{-1}$, ($F_{fzacc,max} = 67 \text{ kN}$))																	
0,33	14	18	0,7	2,8	ZTRS815SPHV943_0610 EZ703U	56	141	3569	61,00	0,27	0,49	56	19	336	8	15	127,3
0,33	18	26	1,0	2,1	ZTRS815SPHV943_0610 EZ705U	67	141	4250	61,00	0,27	0,49	56	19	336	8	15	127,3
ZTRS8PHV9 ($n_{1,th} = 4500 \text{ min}^{-1}$, ($F_{fzacc,max} = 67 \text{ kN}$))																	
0,25	21	34	0,4	1,7	ZTRS815SPHV943_1210 EZ703U	67	141	4250	121,0	0,14	0,25	56	19	327	8	15	127,3
0,25	28	51	0,6	1,3	ZTRS815SPHV943_1210 EZ705U	67	141	4250	121,0	0,14	0,25	56	19	327	8	15	127,3
0,33	16	26	0,5	2,3	ZTRS815SPHV943_0910 EZ703U	67	141	4250	91,00	0,18	0,33	56	19	334	8	15	127,3
0,33	21	39	0,7	1,7	ZTRS815SPHV943_0910 EZ705U	67	141	4250	91,00	0,18	0,33	56	19	334	8	15	127,3
0,49	10	17	0,6	3,4	ZTRS815SPHV943_0610 EZ703U	56	141	3569	61,00	0,27	0,49	56	19	336	8	15	127,3
0,49	14	26	0,8	2,5	ZTRS815SPHV943_0610 EZ705U	67	141	4250	61,00	0,27	0,49	56	19	336	8	15	127,3

4.3 Maßzeichnungen

In diesem Kapitel finden Sie die Abmessungen der Zahnstangentriebe mit Synchron-Servomotoren EZ.

Das Maß az in den Maßtabellen gilt für Atlanta Zahnstangen. Allgemein gilt: $az = \frac{1}{2} d_0 + h_0 + x \cdot mn$

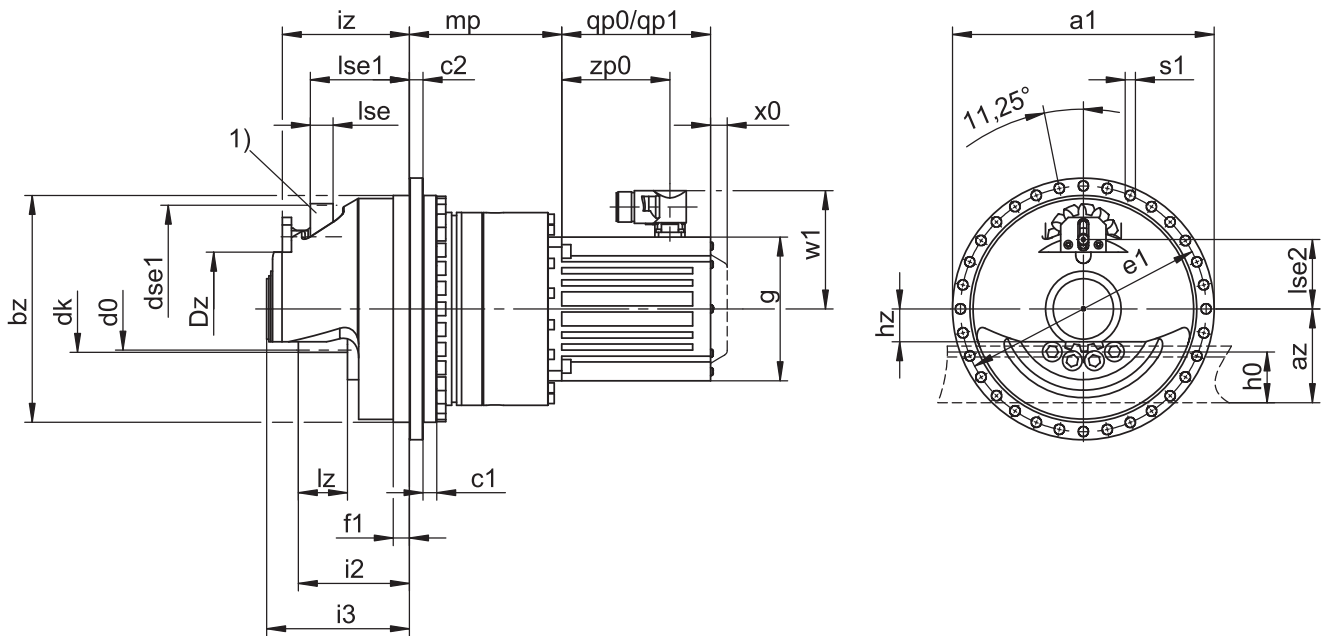
Das Ritzel des Zahnstangentriebs ist schrägverzahnt (linkssteigend 19° 31' 42"). Die Ritzelverzahnungsqualität ist 5.

Maße können aufgrund von Gusstoleranzen bzw. Aufsummieren der Einzeltoleranzen die Vorgaben der ISO 2768-mK überschreiten.

Maßänderungen durch technische Weiterentwicklung behalten wir uns vor.

3D-Modelle unserer Standardantriebe können Sie unter <https://configurator.stoeber.de/de-DE/> herunterladen.

Kombinationsmöglichkeiten und Maße für fremdbelüftete Getriebemotoren finden Sie ebenfalls unter <https://configurator.stoeber.de/de-DE/>.



qp0 Gilt für Motoren ohne Bremse.

qp1 Gilt für Motoren mit Bremse.

x0 Gilt für Encoder mit optischem Messprinzip.

w1 Abweichend bei One Cable Solution (OCS) siehe Kapitel [13.4](#)

1) Filzzahnrad zur Schmierung (Option)

Maße Getriebe

Typ	mn	Øa1	az	Øbz	c1	c2	Ød0	Ødk	Ødse1	ØDz	Øe1	f1	i2	i3	iz	h0	hz	lz	lse	lse1	lse2	Øs1	x
ZTRS520SPHV9_	5	346	87,05	300 _{h7}	18	18	106,10	116,1	78,6	100	325	21,5	137	179,0	171,0	34	45,0	55	30	131,1	87,1	13,5	0,0
ZTRS620SPHV9_	6	346	106,66	300 _{h7}	18	18	127,32	139,3	94,2	100	325	21,5	147	189,0	181,0	43	43,5	65	30	131,1	104,8	13,5	0,0
ZTRS815SPHV9_	8	346	136,66	300 _{h7}	18	18	127,32	147,3	160,0	110	325	21,5	162	204,7	196,5	71	55,0	80	65	162,0	137,7	13,5	0,3

Maße Motoren

Typ	g	qp0	qp1	w1	x0	zp0
EZ701U	145	102	161	115	22	64
EZ702U	145	127	186	115	22	89
EZ703U	145	152	211	115	22	114
EZ705U	145	207	266	134	22	165

Maße Getriebemotoren

Typ	EZ7
ZTRS_PHV943_	mp 192

4.4 Typenbezeichnung

In diesem Kapitel finden Sie die Erklärung der Typenbezeichnung mit den zugehörigen Optionen.

Weitere Bestellangaben, die nicht in der Typenbezeichnung vorkommen, finden Sie am Ende des Kapitels.

Beispiel-Code

Z	TRS	6	20	S	PHV	9	4	3	S	F	S	S	0910	EZ703
														U

Erklärung

Code	Bezeichnung	Ausführung
Z	Typ	Zahnstangentrieb
TRS	Ausführung	Verschraubtes Flanschritzel mit Stützlagerglocke
6	Modul	$m_n = 6$ (Beispiel)
20	Zähnezahl	$z = 20$ (Beispiel)
S	Verzahnung	Schrägverzahnt (linkssteigend 19° 31' 42")
SF		Schrägverzahnt (linkssteigend 19° 31' 42") mit Filzzahnrad zur Schmierung
PHV	Typ	Planetengetriebe
9	Größe	9 (Beispiel)
4	Generation	Generation 4
3	Stufen	3-stufig
S	Gehäuse	Standard
F	Welle	Flanschwelle
S	Lager	Standardlagerung
V		Verstärkte Lagerung (PH3 – PH5)
S	Drehspiel	Standard
R		Reduziert (PHV9)
0910	Übersetzungskennzahl ($i \times 10$)	$i = 91$ (Beispiel)
EZ703U	Motor	Synchron-Servomotor EZ

Um die Typenbezeichnung zu vervollständigen, geben Sie bei Ihrer Bestellung zusätzlich an:

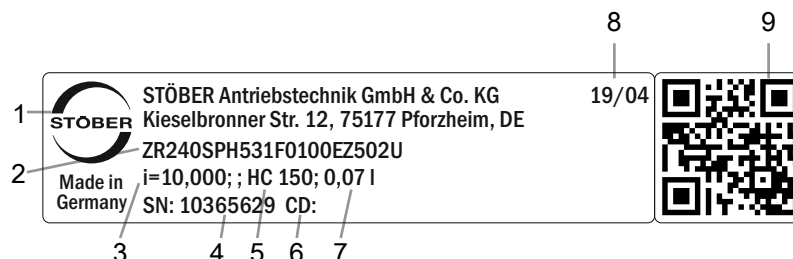
- Eine detaillierte Typenbezeichnung des Motors, siehe Kapitel [\[13 \]](#)
- Position der Steckverbinder, siehe Kapitel [\[4.5.5 \]](#)
- Radialwellendichtringe am Abtrieb aus NBR oder FKM (Option), siehe Kapitel [\[4.6.2 \]](#)
- Rundlauf $\leq 10 \mu\text{m}$ (Option)
- Reversierbetrieb der Abtriebswelle von $\pm 20^\circ$ bis $\pm 90^\circ$ bei horizontalem Einbau auf Anfrage

In diesem Katalog finden Sie alle Informationen zu Zahnstangentrieben mit Synchron-Servomotoren EZ.

Alle auf Anfrage erhältlichen Eintriebsoptionen finden Sie im Kapitel [\[4.5.1 \]](#).

4.4.1 Typenschild

In folgender Abbildung ist das Typenschild eines Getriebemotors als Beispiel erläutert.



Code	Bezeichnung
1	Herstellerbezeichnung
2	Typenbezeichnung
3	Übersetzung des Getriebes
4	Serialnummer des Getriebes
5	Schmierstoffspezifikation
6	Kundenspezifische Daten
7	Schmierstofffüllmenge
8	Herstellungsdatum (Jahr/Kalenderwoche)
9	QR-Code (Link zu Produktinformationen)

4.4.1.1 Mitgeltende Dokumente

Mitgeltende Dokumente für das Produkt können Sie ansehen oder herunterladen, wenn Sie die Seriennummer auf dem Typenschild des Produkts ablesen und sie im Internet unter folgender Adresse eingeben:

<https://id.stober.com>

Alternativ können Sie mit einem geeigneten Mobilgerät den QR-Code auf dem Typenschild des Produkts einscannen, um dadurch zu den mitgeltenden Dokumenten verlinkt zu werden.

4.5 Produktbeschreibung

4.5.1 Eintriebsoptionen

In diesem Kapitel finden Sie alle verfügbaren Eintriebsoptionen:

Synchron-Servomotor EZ



Katalog ID 443286_de

Motoradapter



Katalog ID 443137_de

Die entsprechenden Kataloge finden Sie unter <http://www.stober.de/de/downloads/>

Geben Sie im Feld Suchbegriff die ID des Katalogs ein.

4.5.2 Zahnstange

Die im Kapitel Auswahltabellen angegebenen technischen Daten gelten nur für Zahnstangenpaarungen mit folgenden Eigenschaften:

Das Ritzel des Zahnstangentriebs ist einsatzgehärtet und schrägverzahnt (linkssteigend $19^{\circ} 31' 42''$). Die Ritzelverzahnungsqualität ist 5.

Die entsprechende Zahnstange muss rechtssteigend ($19^{\circ} 31' 42''$) sein und folgende Eigenschaften besitzen:

Modul m_n [mm]	Mindestqualität Zahnstange	Werkstoff Zahnstange
2 – 4	6	16MnCr5 induktiv gehärtet
5	5	16MnCr5 induktiv gehärtet
6 – 10	6	C45 induktiv gehärtet

Beachten Sie zusätzlich die Projektierung der Zahnstange auf den Atlanta-Seiten.

4.5.3 Einbaubedingungen

Die in diesem Katalog angegebenen Drehmomente und Kräfte gelten unter folgenden Bedingungen:

- Bei einer maschinenseitigen Befestigung des Getriebegehäuses mit Schrauben der Festigkeitsklasse 12.9
- Wenn die Getriebegehäuse am Passrand $\varnothing b_z$ eingepasst werden. Die maschinenseitige Passung muss H7 sein.

4.5.4 Schmierstoffe

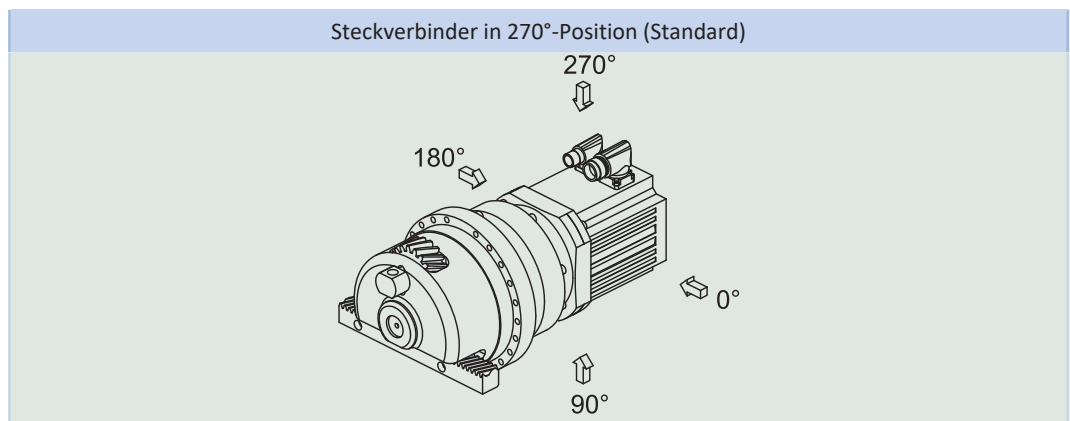
STÖBER füllt die Getriebe mit der auf dem Typenschild angegebenen Menge und Art des Schmierstoffs.

Schmierstoffe für den Einsatz in der Lebensmittelindustrie erhalten Sie auf Anfrage.

4.5.4.1 Schmierung Zahnstangentrieb

Stellen Sie eine permanente Schmierung des Zahnstangentriebs, mit den im Atlanta-Katalog vorgeschriebenen Schmierstoffen, sicher.

4.5.5 Position der Steckverbinder



Die Steckverbinder befinden sich im Standard in der 270°-Position. Geben Sie Abweichungen für Ihren Zahnstangentrieb bei der Bestellung an.

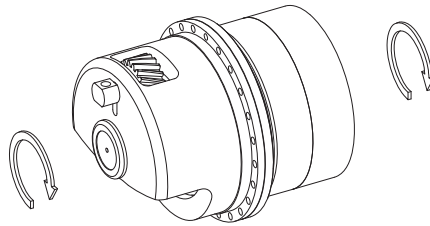
Beachten Sie, dass sich die Steckverbinder mitdrehen, wenn die Zahnstange in eine andere Position gedreht wird.

4.5.6 Weitere Produktmerkmale

Merkmal	Wert
Max. zul. Getriebetemperatur (an der Getriebeoberfläche)	≤ 90 °C
Lackierung	Schwarz RAL 9005
(ATEX-) Richtlinie 2014/34/EU (Option)	Nicht geeignet.
Schutzart: ¹	
Planetengetriebe	IP65
Motor	IP56, optional IP66
Ritzel/Zahnstange	IPXX

4.5.7 Drehrichtung

Ein- und Abtrieb drehen sich gleichsinnig.



4.6 Projektierung

Projektieren Sie Ihre Antriebe mit unserer Auslegungssoftware SERVOSOFT. Laden Sie SERVOSOFT kostenlos unter <https://www.stoeber.de/de/ServoSoft> herunter.

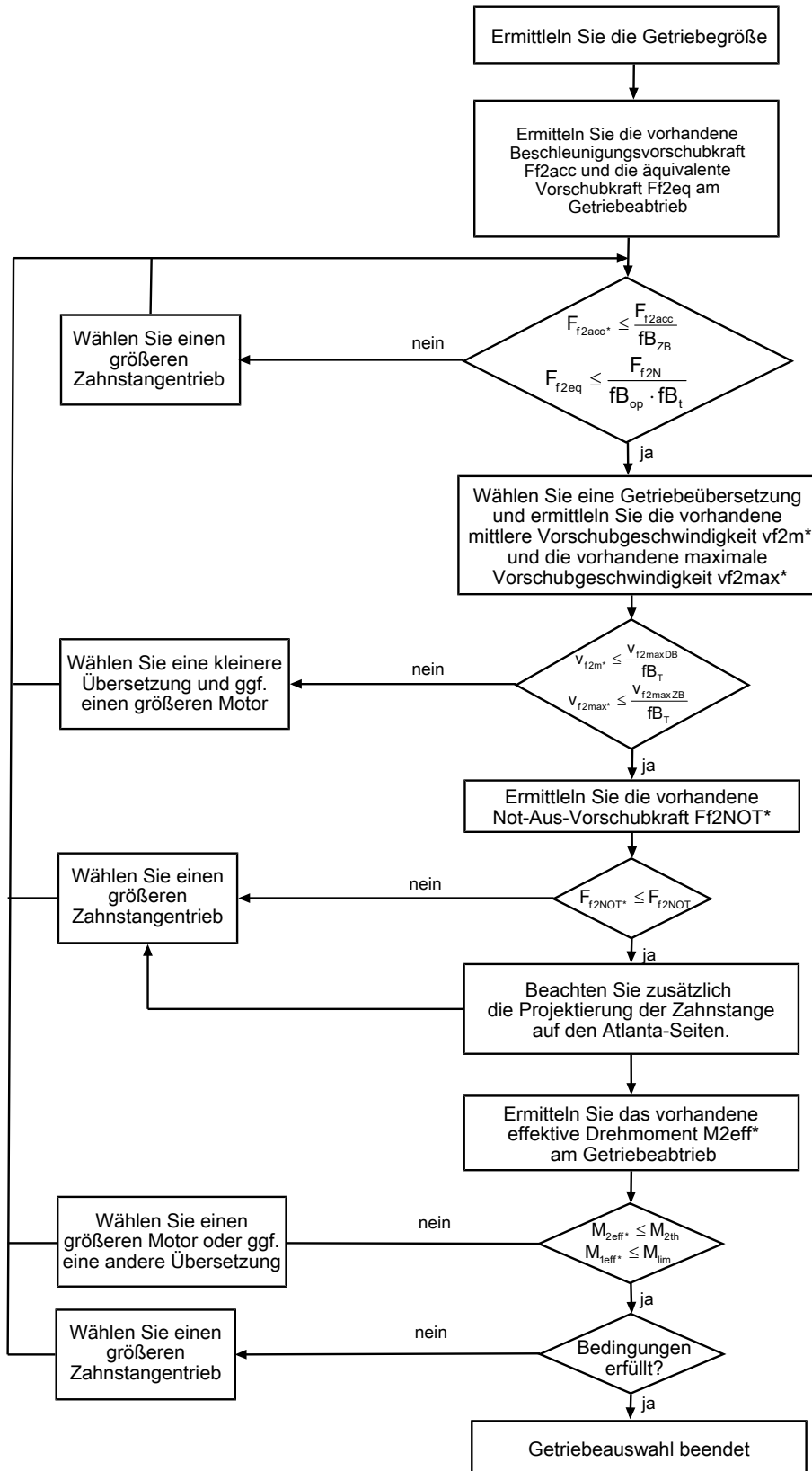
Dies ist die komfortabelste und sicherste Methode der Antriebsauswahl, da hier der komplette Drehmoment-Drehzahl-Verlauf der Anwendung in der Kennlinie des Getriebemotors dargestellt und beurteilt wird.

In diesem Kapitel können für die manuelle Antriebsauswahl nur Grenzwertbetrachtungen für konkrete Arbeitspunkte gemacht werden.

Die Formelzeichen für tatsächlich in der Anwendung vorhandene Werte sind mit einem * gekennzeichnet.

Die Erklärung der Formelzeichen finden Sie im Kapitel [▶ 15.1](#).

4.6.1 Antriebsauswahl

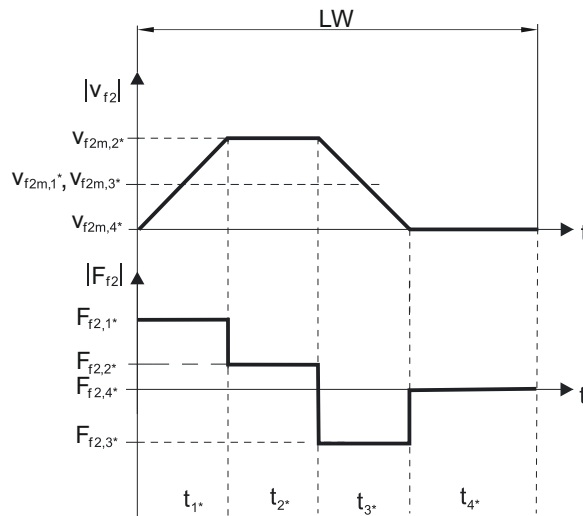


Entnehmen Sie die Werte für i , $v_{f2maxDB}$, $v_{f2maxZB}$, F_{f2acc} , F_{f2N} und F_{f2NOT} den Auswahltabellen.

Entnehmen Sie die Werte für fb_T , fb_{op} , fb_t und fb_{zb} den jeweiligen Tabellen in diesem Kapitel.

Beispiel Zyklusbetrieb

Die nachfolgenden Berechnungen beziehen sich auf eine Darstellung der am Abtrieb abgenommenen Leistung gemäß folgendem Beispiel:



Berechnung der vorhandenen maximalen Beschleunigungsvorschubkraft

$$F_{f2acc*} = m \cdot a^* + F_{L*}$$

Berechnung der vorhandenen mittleren Eintriebsdrehzahl

$$n_{1m*} = \frac{v_{f2m*} \cdot i}{d_0 \cdot \pi}$$

$$v_{f2m*} = \frac{|v_{f2m,1*}| \cdot t_{1*} + \dots + |v_{f2m,n*}| \cdot t_{n*}}{t_{1*} + \dots + t_{n*}}$$

Wenn $t_{1*} + \dots + t_{3*} \geq 6$ min, ermitteln Sie v_{2m*} ohne die Pause t_{4*} .

Entnehmen Sie die Werte für die Übersetzung i den Auswahltabellen.

Berechnung der vorhandenen Not-Aus-Vorschubkraft

$$F_{f2NOT*} = m \cdot a_{NOT*} + F_{L*}$$

Berechnung der vorhandenen äquivalenten Vorschubkraft

$$F_{f2eq*} = \sqrt[3]{\frac{|v_{f2m,1*}| \cdot t_{1*} \cdot |F_{f2,1*}|^3 + \dots + |v_{f2m,n*}| \cdot t_{n*} \cdot |F_{f2,n*}|^3}{|v_{f2m,1*}| \cdot t_{1*} + \dots + |v_{f2m,n*}| \cdot t_{n*}}}$$

Berechnung des thermischen Grenzmoments

Berechnen Sie für eine Einschaltdauer $ED_{10} > 50$ % das thermische Grenzmoment M_{2th} für die vorhandene mittlere Eintriebsdrehzahl n_{1m*} . (Bei $K_{mot,th} \leq 0$ müssen Sie die mittlere Eintriebsdrehzahl n_{1m*} entsprechend reduzieren oder eine andere Baugröße des Getriebemotors wählen.)

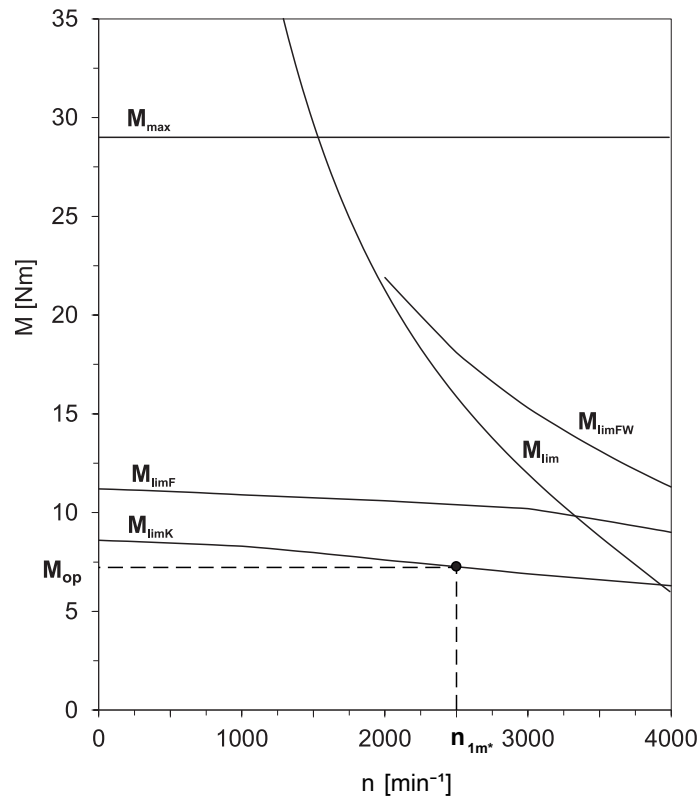
$$M_{2th} = M_{op} \cdot i \cdot K_{mot,th}$$

$$K_{mot,th} = 0,93 - \frac{a_{th}}{1000} \cdot fB_T \cdot \left(\frac{n_{1m*}}{1000}\right)^3$$

Entnehmen Sie die Werte für i und a_{th} den Auswahltabellen.

Entnehmen Sie die Werte für fB_T der entsprechenden Tabelle in diesem Kapitel.

Entnehmen Sie der Motorkennlinie im Kapitel [13.3](#) den Wert für das Drehmoment des Motors im Arbeitspunkt M_{op} bei der ermittelten mittleren Eintriebsdrehzahl n_{1m*} . Beachten Sie dabei die Baugröße, Nenn-drehzahl n_n und Kühlungsart des Motors. Die nachfolgende Abbildung stellt ein Beispiel für das Ablesen des Drehmoments M_{op} eines Motors mit Konvektionskühlung im Arbeitspunkt dar.



Berechnung des vorhandenen effektiven Drehmoments

$$M_{2eff*} = \sqrt{\frac{t_{1*} \cdot M_{2,1*}^2 + \dots + t_{n*} \cdot M_{2,n*}^2}{t_{1*} + \dots + t_{n*}}}$$

$$M_{2,n*} = \frac{F_{f2,n*} \cdot d_0}{2}$$

$$M_{1eff*} = \frac{M_{2eff*}}{i \cdot \eta}$$

Betriebsfaktoren

Betriebsart		fB _{op}
Gleichmäßiger Dauerbetrieb		1,00
Zyklusbetrieb		1,00
Zyklusbetrieb reversierende Last		1,00
Laufzeit		fB _t
Tägliche Laufzeit ≤ 8 h		1,00
Tägliche Laufzeit ≤ 16h		1,15
Tägliche Laufzeit ≤ 24 h		1,20
Zyklusbetrieb		fB _{zB}
≤ 1000 Lastwechsel/Stunde (LW/h)		1,00
> 1000 Lastwechsel/Stunde (LW/h)		1,15
Temperatur		fB _T
Motorkühlung	Umgebungstemperatur	
Motor mit Fremdbelüftung	≤ 20 °C	0,9
	≤ 30 °C	1,0
	≤ 40 °C	1,15
Motor mit Konvektionskühlung	≤ 20 °C	1,0
	≤ 30 °C	1,1
	≤ 40 °C	1,25

Hinweise

- Die maximal zulässige Getriebetemperatur (siehe Kapitel Weitere Produktmerkmale) darf nicht überschritten werden, da dies zu Beschädigungen führen kann.
- Beachten Sie bei Bremsungen aus voller Drehzahl (z. B. bei einem Spannungsausfall oder beim Einrichten der Maschine) die zulässigen Getriebevorschubkräfte (F_{f2acc} , F_{f2NOT}) in den Auswahltabellen.

4.6.2 Empfehlung Radialwellendichtringe

Für eine Einschaltdauer > 60 % und bei höheren Umgebungstemperaturen empfehlen wir am Abtrieb Radialwellendichtringe aus FKM.

Eigenschaften:

- Hervorragende Temperaturbeständigkeit
- Hohe chemische Stabilität
- Sehr gute Alterungsbeständigkeit
- Hervorragende Beständigkeit in Ölen und Fetten
- Einsatz in der Lebensmittel-, Pharma- und Getränkeindustrie

Leckagesicherheit

Unsere Getriebe sind mit hochwertigen Radialwellendichtringen ausgestattet und auf Dichtheit geprüft. Eine Leckage kann über die Gebrauchsdauer der Getriebe trotzdem nicht völlig ausgeschlossen werden. Wenn Sie die Getriebe mit schmierstoffunverträglichen Gütern einsetzen, müssen Sie Maßnahmen ergreifen, die einen direkten Kontakt mit dem Getriebeschmierstoff im Falle einer Leckage verhindern.

4.7 Weitere Dokumentation

Weitere, das Produkt betreffende Dokumentationen finden Sie unter <http://www.stoeber.de/de/downloads/>

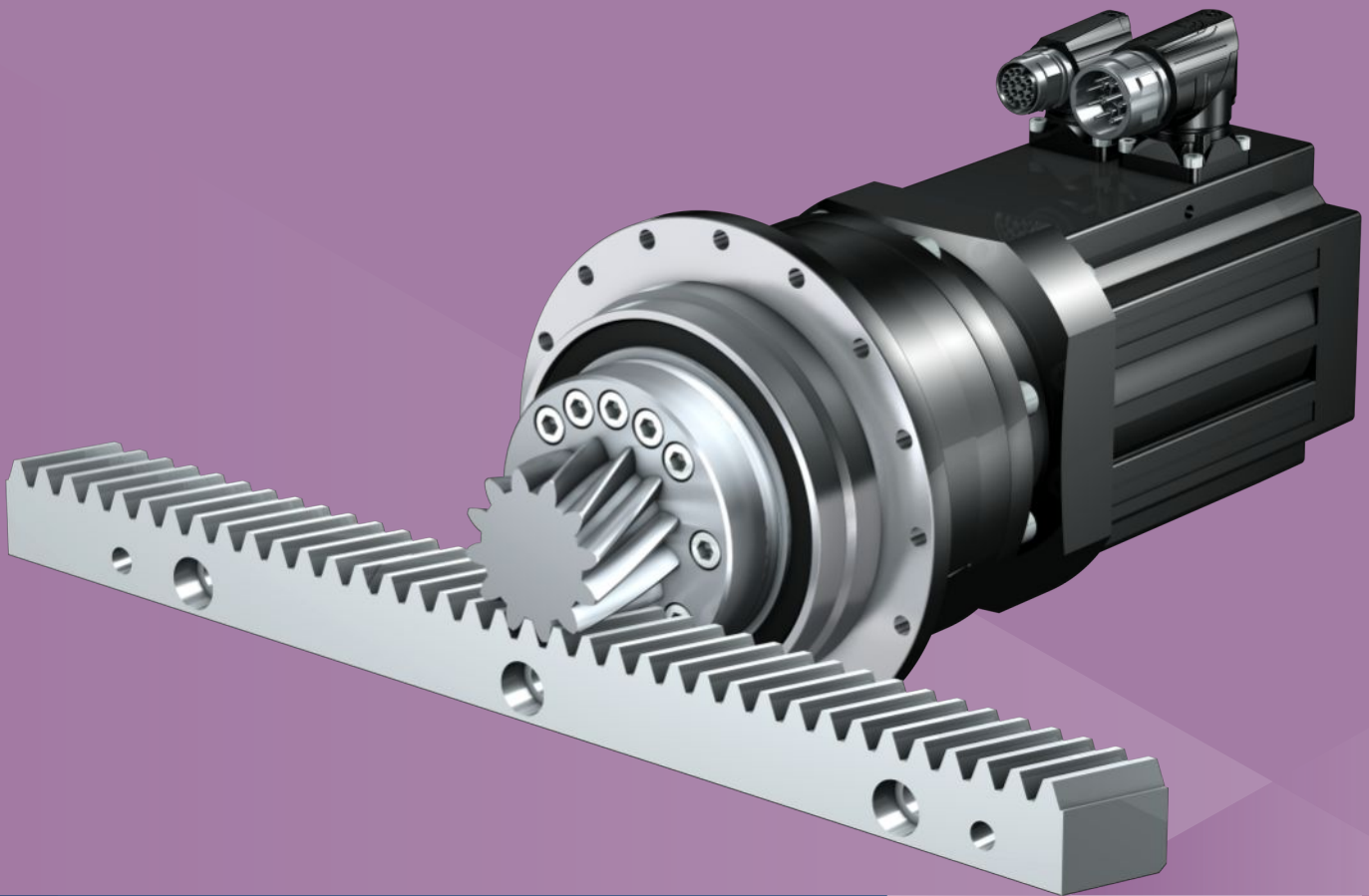
Geben Sie im Feld Suchbegriff die ID der Dokumentation ein.

Dokumentation	ID
Betriebsanleitung Getriebe, Getriebemotoren PHV94 – PHV104	443355_de
Betriebsanleitung Synchron-Servomotoren EZ	443032_de
Betriebsanleitung Zahnstangen (Atlanta)	442455

5 Zahnstangentriebe ZTRPH

Inhaltsverzeichnis

5.1	Übersicht	62
5.2	Auswahltablelle	63
5.3	Maßzeichnungen	79
5.4	Typenbezeichnung	82
5.4.1	Typenschild	83
5.5	Produktbeschreibung	83
5.5.1	Eintriebsoptionen	83
5.5.2	Zahnstange	84
5.5.3	Einbaubedingungen	84
5.5.4	Schmierstoffe	84
5.5.5	Weitere Produktmerkmale.....	84
5.5.6	Drehrichtung	84
5.6	Projektierung	85
5.6.1	Antriebsauswahl.....	86
5.6.2	Empfehlung Radialwellendichtringe	89
5.7	Weitere Dokumentation.....	89



5 Zahnstangentriebe

ZTRPH

5.1 Übersicht

High-Performance Präzisions-Planetengetriebemotoren mit verschraubtem Flanschritzel

Merkmale

Leistungsdichte	★★★★☆
Lineares Spiel	★★★★★
Preisklasse	€€€€
Laufruhe	★★★★☆
Lineare Steifigkeit	★★★★☆
Massenträgheitsmoment	★★★★☆
Einbaufertige Antriebslösung	✓
Ritzel Verzahnungsqualität 5 (DIN 3962)	✓
Schrägverzahnung	✓
Einsatzgehärtet und geschliffen	✓
Rundlauf ≤ 10 µm (Option)	✓
Abtriebslager verstärkt (PH3 – PH5)	✓ (Option)
Kompakt und hochdynamisch durch Motordirektanbau	✓

Legende ★☆☆☆☆ gut | ★★★★★ hervorragend
 € Economy | €€€€€ Premium

Technische Daten

m_n	2 – 6 mm
z	12 – 32
F_{f2acc}	1,9 – 67 kN
V_{f2N}	0,11 – 4 m/s
Δs	4 – 44 µm

5.2 Auswahltabelle

Die in den Auswahltabellen angegebenen technischen Daten gelten für:

- Spannungsfreien Einbau
- Permanente Schmierung mit den im Atlanta-Katalog vorgeschriebenen Schmierstoffen
- Werkstoffpaarungen entsprechend Kapitel [▶ 5.5.2](#)
- Aufstellhöhen bis 1000 m über Normalnull
- Umgebungstemperaturen von 0° C bis 40° C
- Ohne Berücksichtigung der thermischen Grenzleistung
- Antriebe mit konvektionsgekühlten Motoren (z. B. EZ401U)

Die technischen Daten für Antriebe mit fremdbelüfteten (z. B. EZ401B) Motoren finden Sie unter

<https://configurator.stoeber.de/de-DE/>

Für Zahnstangentriebe mit reduziertem Drehspiel bzw. verstärkter Lagerung (PH3 – PH5) sind höhere Vorschubkräfte möglich. Diese und alle weiteren technischen Daten finden Sie unter <https://configurator.stoeber.de/de-DE/>.

Die Erklärung der Formelzeichen finden Sie im Kapitel [▶ 15.1](#).

v_{fzN} [m/s]	F_{fzN} [kN]	$F_{fz,0}$ [kN]	a_{th}	S	Typ	F_{fzacc} [kN]	F_{fzNOT} [kN]	M_{zacc} [Nm]	i	$v_{fzmaxDB}$ [m/s]	$v_{fzmaxZB}$ [m/s]	Δs [μm]	Δs_{red} [μm]	C_{lin} [N/μm]	m_n [mm]	z	d_0 [mm]
ZTR2PH4 ($n_{1N} = 3000 \text{ min}^{-1}$, ($F_{fzacc,max} = 6,7 \text{ kN}$))																	
0,11	2,5	2,6	0,7	1,1	ZTR216SPH432_0500 EZ301U	6,7	9,2	114	50,00	0,16	0,28	15	5	90	2	16	34,0
0,11	2,4	2,4	0,9	1,1	ZTR212SPH432_0350 EZ301U	6,7	11	85	35,00	0,17	0,31	11	4	97	2	12	25,5
0,13	2,0	2,1	0,8	1,3	ZTR216SPH432_0400 EZ301U	6,1	9,2	104	40,00	0,20	0,36	15	5	89	2	16	34,0
0,14	1,9	1,9	1,1	1,3	ZTR212SPH432_0280 EZ301U	5,7	11	73	28,00	0,21	0,38	11	4	97	2	12	25,5
0,15	1,8	1,8	0,9	1,4	ZTR216SPH432_0350 EZ301U	5,4	9,2	91	35,00	0,23	0,41	15	5	90	2	16	34,0
0,16	1,7	1,7	1,1	1,4	ZTR212SPH432_0250 EZ301U	5,1	11	65	25,00	0,24	0,43	11	4	97	2	12	25,5
0,19	1,4	1,5	1,1	1,7	ZTR216SPH432_0280 EZ301U	4,3	9,2	73	28,00	0,29	0,51	15	5	90	2	16	34,0
0,20	1,4	1,4	1,3	1,6	ZTR212SPH432_0200 EZ301U	4,1	11	52	20,00	0,27	0,53	11	4	97	2	12	25,5
0,21	1,3	1,3	1,1	1,8	ZTR216SPH432_0250 EZ301U	3,8	9,2	65	25,00	0,32	0,57	15	5	91	2	16	34,0
0,21	2,2	2,3	1,9	1,1	ZTR216SPH432_0250 EZ302U	6,7	9,2	114	25,00	0,32	0,57	15	5	91	2	16	34,0
0,25	1,1	1,1	1,5	1,8	ZTR212SPH432_0160 EZ301U	3,3	11	42	16,00	0,33	0,67	11	4	96	2	12	25,5
0,25	1,9	2,0	2,6	1,1	ZTR212SPH432_0160 EZ302U	5,8	11	74	16,00	0,33	0,67	11	4	96	2	12	25,5
0,27	1,0	1,0	1,3	2,1	ZTR216SPH432_0200 EZ301U	3,1	9,2	52	20,00	0,36	0,71	15	5	90	2	16	34,0
0,27	1,7	1,8	2,2	1,2	ZTR216SPH432_0200 EZ302U	5,5	9,2	93	20,00	0,36	0,71	15	5	90	2	16	34,0
0,33	0,8	0,8	1,5	2,4	ZTR216SPH432_0160 EZ301U	2,5	9,2	42	16,00	0,44	0,89	15	5	90	2	16	34,0
0,33	1,4	1,5	2,6	1,4	ZTR216SPH432_0160 EZ302U	4,4	9,2	74	16,00	0,44	0,89	15	5	90	2	16	34,0
0,33	1,8	1,9	3,4	1,1	ZTR216SPH432_0160 EZ303U	6,1	9,2	104	16,00	0,44	0,89	15	5	90	2	16	34,0
0,53	1,6	1,7	2,4	1,1	ZTR216SPH431_0100 EZ401U	4,8	9,2	82	10,00	0,62	1,24	15	5	81	2	16	34,0
0,57	1,5	1,6	3,0	1,0	ZTR212SPH431_0070 EZ401U	4,5	11	57	7,000	0,61	1,14	11	4	96	2	12	25,5
0,80	1,1	1,1	4,5	1,3	ZTR212SPH431_0050 EZ401U	3,2	11	41	5,000	0,80	1,60	11	4	99	2	12	25,5
1,00	0,8	0,9	5,9	1,5	ZTR212SPH431_0040 EZ401U	2,6	11	33	4,000	0,87	1,67	11	4	99	2	12	25,5
1,07	0,8	0,8	4,5	1,7	ZTR216SPH431_0050 EZ401U	2,4	9,2	41	5,000	1,07	2,13	15	5	93	2	16	34,0
1,07	1,2	1,3	6,9	1,1	ZTR216SPH431_0050 EZ501U	4,5	9,2	77	5,000	1,07	2,13	15	5	93	2	16	34,0
1,07	1,3	1,5	7,5	1,0	ZTR216SPH431_0050 EZ402U	4,5	9,2	77	5,000	1,07	2,13	15	5	93	2	16	34,0
1,33	0,6	0,7	5,9	2,0	ZTR216SPH431_0040 EZ401U	1,9	9,2	33	4,000	1,16	2,22	15	5	95	2	16	34,0
1,33	1,0	1,1	9,0	1,3	ZTR216SPH431_0040 EZ501U	3,6	9,2	61	4,000	1,16	2,22	15	5	95	2	16	34,0
1,33	1,1	1,2	9,8	1,2	ZTR216SPH431_0040 EZ402U	3,6	9,2	61	4,000	1,16	2,22	15	5	95	2	16	34,0
ZTR2PH4 ($n_{1N} = 6000 \text{ min}^{-1}$, ($F_{fzacc,max} = 6,1 \text{ kN}$))																	
0,27	2,0	2,1	1,0	1,1	ZTR216SPH432_0400 EZ301U	6,1	9,2	104	40,00	0,20	0,36	15	5	89	2	16	34,0
0,29	1,8	1,9	1,2	1,0	ZTR212SPH432_0280 EZ301U	5,7	11	73	28,00	0,21	0,38	11	4	97	2	12	25,5
0,31	1,7	1,8	1,0	1,2	ZTR216SPH432_0350 EZ301U	5,4	9,2	91	35,00	0,23	0,41	15	5	90	2	16	34,0
0,32	1,6	1,7	1,2	1,1	ZTR212SPH432_0250 EZ301U	5,1	11	65	25,00	0,24	0,43	11	4	97	2	12	25,5
0,38	1,4	1,5	1,2	1,4	ZTR216SPH432_0280 EZ301U	4,3	9,2	73	28,00	0,29	0,51	15	5	90	2	16	34,0
0,40	1,3	1,4	1,4	1,3	ZTR212SPH432_0200 EZ301U	4,1	11	52	20,00	0,27	0,53	11	4	97	2	12	25,5
0,43	1,2	1,3	1,2	1,5	ZTR216SPH432_0250 EZ301U	3,8	9,2	65	25,00	0,32	0,57	15	5	91	2	16	34,0
0,50	1,0	1,1	1,7	1,5	ZTR212SPH432_0160 EZ301U	3,3	11	42	16,00	0,33	0,67	11	4	96	2	12	25,5
0,53	1,0	1,0	1,4	1,7	ZTR216SPH432_0200 EZ301U	3,1	9,2	52	20,00	0,36	0,71	15	5	90	2	16	34,0
0,53	1,6	1,8	2,3	1,0	ZTR216SPH432_0200 EZ302U	5,5	9,2	93	20,00	0,36	0,71	15	5	90	2	16	34,0
0,67	0,8	0,8	1,7	2,0	ZTR216SPH432_0160 EZ301U	2,5	9,2	42	16,00	0,44	0,89	15	5	90	2	16	34,0
0,67	1,3	1,5	2,8	1,2	ZTR216SPH432_0160 EZ302U	4,4	9,2	74	16,00	0,44	0,89	15	5	90	2	16	34,0
1,07	1,3	1,6	2,5	1,0	ZTR216SPH431_0100 EZ401U	4,8	9,2	82	10,00	0,62	1,24	15	5	81	2	16	34,0
1,52	0,9	1,1	3,1	1,3	ZTR216SPH431_0070 EZ401U	3,4	9,2	57	7,000	0,81	1,52	15	5	89	2	16	34,0
1,60	0,9	1,1	4,6	1,2	ZTR212SPH431_0050 EZ401U	3,2	11	41	5,000	0,80	1,60	11	4	99	2	12	25,5
2,13	1,0	1,2	6,9	1,1	ZTR216SPH431_0050 EZ501U	4,5	9,2	77	5,000	1,07	2,13	15	5	93	2	16	34,0
2,13	1,0	1,4	7,1	1,1	ZTR216SPH431_0050 EZ402U	4,5	9,2	77	5,000	1,07	2,13	15	5	93	2	16	34,0

5.2 Auswahltabelle 5 Zahnstangentriebe ZTRPH

v_{fzN} [m/s]	F_{fzN} [kN]	$F_{fz,0}$ [kN]	a_{th}	S	Typ	F_{fzacc} [kN]	F_{fzNOT} [kN]	M_{zacc} [Nm]	i	$v_{fzmaxDB}$ [m/s]	$v_{fzmaxZB}$ [m/s]	Δs [μm]	Δs_{red} [μm]	C_{lin} [N/μm]	m_n [mm]	z	d_0 [mm]
ZTR2PH5 ($n_{fN} = 3000 \text{ min}^{-1}$, ($F_{fzacc,max} = 11 \text{ kN}$))																	
0,22	3,7	4,0	1,2	1,0	ZTR223SPH532_0350 EZ401U	11	14	259	35,00	0,29	0,58	21	7	89	2	23	48,8
0,25	3,2	3,5	1,4	1,0	ZTR219SPH532_0250 EZ401U	9,8	15	198	25,00	0,31	0,63	18	6	93	2	19	40,3
0,27	3,0	3,2	1,4	1,2	ZTR223SPH532_0280 EZ401U	9,1	14	221	28,00	0,37	0,73	21	7	88	2	23	48,8
0,31	2,7	2,9	1,4	1,3	ZTR223SPH532_0250 EZ401U	8,1	14	198	25,00	0,38	0,77	21	7	90	2	23	48,8
0,32	2,6	2,8	1,6	1,2	ZTR219SPH532_0200 EZ401U	7,8	15	158	20,00	0,37	0,74	18	6	93	2	19	40,3
0,40	2,1	2,2	2,0	1,4	ZTR219SPH532_0160 EZ401U	6,3	15	126	16,00	0,46	0,92	18	6	93	2	19	40,3
0,48	2,6	2,9	3,0	1,1	ZTR223SPH532_0160 EZ501U	9,8	14	238	16,00	0,56	1,12	21	7	89	2	23	48,8
0,48	2,9	3,2	3,3	1,0	ZTR223SPH532_0160 EZ402U	9,8	14	238	16,00	0,56	1,12	21	7	89	2	23	48,8
0,63	2,0	2,2	1,7	1,2	ZTR219SPH531_0100 EZ501U	7,6	15	154	10,00	0,70	1,37	18	6	87	2	19	40,3
0,91	1,4	1,6	2,1	1,5	ZTR219SPH531_0070 EZ501U	5,3	15	108	7,000	0,91	1,81	18	6	92	2	19	40,3
1,10	2,0	2,2	3,6	1,1	ZTR223SPH531_0070 EZ502U	8,5	14	208	7,000	1,10	2,19	21	7	88	2	23	48,8
1,10	2,0	2,3	3,6	1,1	ZTR223SPH531_0070 EZ701U	5,5	14	134	7,000	1,10	2,19	21	7	88	2	23	48,8
1,27	1,0	1,1	3,1	1,9	ZTR219SPH531_0050 EZ501U	3,8	15	77	5,000	1,06	2,32	18	6	95	2	19	40,3
1,27	1,8	1,9	5,3	1,1	ZTR219SPH531_0050 EZ502U	7,4	15	149	5,000	1,06	2,32	18	6	95	2	19	40,3
1,27	1,8	2,0	5,3	1,1	ZTR219SPH531_0050 EZ701U	4,8	15	96	5,000	1,06	2,32	18	6	95	2	19	40,3
1,53	0,8	0,9	3,1	2,3	ZTR223SPH531_0050 EZ501U	3,1	14	77	5,000	1,28	2,81	21	7	92	2	23	48,8
1,53	1,5	1,6	5,3	1,4	ZTR223SPH531_0050 EZ502U	6,1	14	149	5,000	1,28	2,81	21	7	92	2	23	48,8
1,53	1,5	1,6	5,3	1,4	ZTR223SPH531_0050 EZ701U	3,9	14	96	5,000	1,28	2,81	21	7	92	2	23	48,8
1,53	1,9	2,2	7,0	1,0	ZTR223SPH531_0050 EZ503U	8,5	14	206	5,000	1,28	2,81	21	7	92	2	23	48,8
1,58	0,8	0,9	4,1	2,2	ZTR219SPH531_0040 EZ501U	3,0	15	61	4,000	1,16	2,64	18	6	95	2	19	40,3
1,58	1,4	1,5	7,0	1,3	ZTR219SPH531_0040 EZ502U	5,9	15	119	4,000	1,16	2,64	18	6	95	2	19	40,3
1,58	1,4	1,6	7,0	1,3	ZTR219SPH531_0040 EZ701U	3,8	15	77	4,000	1,16	2,64	18	6	95	2	19	40,3
1,92	0,7	0,7	4,1	2,7	ZTR223SPH531_0040 EZ501U	2,5	14	61	4,000	1,41	3,19	21	7	92	2	23	48,8
1,92	1,2	1,3	7,0	1,6	ZTR223SPH531_0040 EZ502U	4,9	14	119	4,000	1,41	3,19	21	7	92	2	23	48,8
1,92	1,2	1,3	7,0	1,6	ZTR223SPH531_0040 EZ701U	3,1	14	77	4,000	1,41	3,19	21	7	92	2	23	48,8
1,92	1,5	1,7	9,1	1,2	ZTR223SPH531_0040 EZ503U	6,8	14	165	4,000	1,41	3,19	21	7	92	2	23	48,8
ZTR2PH5 ($n_{fN} = 4500 \text{ min}^{-1}$, ($F_{fzacc,max} = 11 \text{ kN}$))																	
2,88	1,5	2,4	10	1,1	ZTR223SPH531_0040 EZ505U	11	14	257	4,000	1,41	3,19	21	7	92	2	23	48,8
ZTR2PH5 ($n_{fN} = 6000 \text{ min}^{-1}$, ($F_{fzacc,max} = 11 \text{ kN}$))																	
0,51	2,7	3,2	1,4	1,0	ZTR219SPH532_0250 EZ401U	9,8	15	198	25,00	0,31	0,63	18	6	93	2	19	40,3
0,55	2,5	3,0	1,4	1,1	ZTR223SPH532_0280 EZ401U	9,1	14	221	28,00	0,37	0,73	21	7	88	2	23	48,8
0,61	2,2	2,7	1,4	1,2	ZTR223SPH532_0250 EZ401U	8,1	14	198	25,00	0,38	0,77	21	7	90	2	23	48,8
0,63	2,1	2,6	1,6	1,2	ZTR219SPH532_0200 EZ401U	7,8	15	158	20,00	0,37	0,74	18	6	93	2	19	40,3
0,79	1,7	2,1	1,9	1,4	ZTR219SPH532_0160 EZ401U	6,3	15	126	16,00	0,46	0,92	18	6	93	2	19	40,3
0,96	2,1	2,7	2,8	1,1	ZTR223SPH532_0160 EZ501U	9,8	14	238	16,00	0,56	1,12	21	7	89	2	23	48,8
0,96	2,1	3,0	2,9	1,1	ZTR223SPH532_0160 EZ402U	9,8	14	238	16,00	0,56	1,12	21	7	89	2	23	48,8
1,27	1,6	2,1	1,7	1,2	ZTR219SPH531_0100 EZ501U	7,6	15	154	10,00	0,70	1,37	18	6	87	2	19	40,3
1,81	1,1	1,5	2,1	1,5	ZTR219SPH531_0070 EZ501U	5,3	15	108	7,000	0,91	1,81	18	6	92	2	19	40,3
1,81	1,7	2,6	3,2	1,0	ZTR219SPH531_0070 EZ502U	10	15	208	7,000	0,91	1,81	18	6	92	2	19	40,3
1,81	1,7	2,6	3,2	1,0	ZTR219SPH531_0070 EZ701U	6,7	15	134	7,000	0,91	1,81	18	6	92	2	19	40,3
2,19	0,9	1,2	2,1	1,9	ZTR223SPH531_0070 EZ501U	4,4	14	108	7,000	1,10	2,19	21	7	88	2	23	48,8
2,19	1,4	2,1	3,2	1,2	ZTR223SPH531_0070 EZ502U	8,5	14	208	7,000	1,10	2,19	21	7	88	2	23	48,8
2,19	1,4	2,2	3,2	1,2	ZTR223SPH531_0070 EZ701U	5,5	14	134	7,000	1,10	2,19	21	7	88	2	23	48,8
2,19	1,7	2,9	3,8	1,0	ZTR223SPH531_0070 EZ503U	11	14	259	7,000	1,10	2,19	21	7	88	2	23	48,8
ZTR3PH5 ($n_{fN} = 3000 \text{ min}^{-1}$, ($F_{fzacc,max} = 9,9 \text{ kN}$))																	
0,25	3,3	3,5	1,4	1,0	ZTR314SPH532_0280 EZ401U	9,9	14	221	28,00	0,33	0,67	19	6	86	3	14	44,6
0,28	2,9	3,1	1,4	1,1	ZTR314SPH532_0250 EZ401U	8,9	14	198	25,00	0,35	0,70	19	6	87	3	14	44,6
0,35	2,3	2,5	1,6	1,3	ZTR314SPH532_0200 EZ401U	7,1	14	158	20,00	0,41	0,82	19	6	87	3	14	44,6
0,44	1,9	2,0	2,0	1,5	ZTR314SPH532_0160 EZ401U	5,7	14	126	16,00	0,51	1,02	19	6	87	3	14	44,6
0,70	1,9	2,0	1,7	1,3	ZTR314SPH531_0100 EZ501U	6,9	14	154	10,00	0,77	1,52	19	6	80	3	14	44,6
1,00	1,3	1,4	2,1	1,7	ZTR314SPH531_0070 EZ501U	4,8	14	108	7,000	1,00	2,00	19	6	86	3	14	44,6
1,40	0,9	1,0	3,1	2,1	ZTR314SPH531_0050 EZ501U	3,4	14	77	5,000	1,17	2,57	19	6	89	3	14	44,6
1,40	1,6	1,7	5,3	1,2	ZTR314SPH531_0050 EZ502U	6,7	14	149	5,000	1,17	2,57	19	6	89	3	14	44,6
1,40	1,6	1,8	5,3	1,2	ZTR314SPH531_0050 EZ701U	4,3	14	96	5,000	1,17	2,57	19	6	89	3	14	44,6
1,75	0,7	0,8	4,1	2,4	ZTR314SPH531_0040 EZ501U	2,8	14	61	4,000	1,28	2,92	19	6	89	3	14	44,6
1,75	1,3	1,4	7,0	1,4	ZTR314SPH531_0040 EZ502U	5,3	14	119	4,000	1,28	2,92	19	6	89	3	14	44,6
1,75	1,3	1,4	7,0	1,4	ZTR314SPH531_0040 EZ701U	3,4	14	77	4,000	1,28	2,92	19	6	89	3	14	44,6
1,75	1,7	1,9	9,1	1,1	ZTR314SPH531_0040 EZ503U	7,4	14	165	4,000	1,28	2,92	19	6	89	3	14	44,6
ZTR3PH5 ($n_{fN} = 6000 \text{ min}^{-1}$, ($F_{fzacc,max} = 9,9 \text{ kN}$))																	
0,50	2,7	3,3	1,4	1,0	ZTR314SPH532_0280 EZ401U	9,9	14	221	28,00	0,33	0,67	19	6	86	3	14	44,6
0,56	2,4	2,9	1,4	1,1	ZTR314SPH532_0250 EZ401U	8,9	14	198	25,00	0,35	0,70	19	6	87	3	14	44,6
0,70	1,9	2,3	1,6	1,3	ZTR314SPH532_0200 EZ401U	7,1	14	158	20,00	0,41	0,82	19	6	87	3	14	44,6
0,88	1,5	1,9	1,9	1,5	ZTR314SPH532_0160 EZ401U	5,7	14	126	16,00	0,51	1,02	19	6	87	3	14	44,6
1,40	1,5	1,9	1,7	1,3	ZTR314SPH531_0100 EZ501U	6,9	14	154	10,00	0,77	1,52	19	6	80	3	14	44,6
2,00	1,0	1,3	2,1	1,7	ZTR314SPH531_0070 EZ501U	4,8	14	108	7,000	1,00	2,00	19	6	86	3	14	44,6

v_{Z2N} [m/s]	F_{Z2N} [kN]	$F_{Z2,0}$ [kN]	a_{th}	S	Typ	F_{Z2acc} [kN]	F_{Z2NOT} [kN]	M_{Z2acc} [Nm]	i	$v_{Z2maxDB}$ [m/s]	$v_{Z2maxZB}$ [m/s]	Δs [μm]	Δs_{red} [μm]	C_{lin} [N/μm]	m_n [mm]	z	d_0 [mm]
ZTR3PH5 ($n_{1N} = 6000 \text{ min}^{-1}$, ($F_{Z2acc,max} = 9,9 \text{ kN}$))																	
2,00	1,6	2,4	3,2	1,1	ZTR314SPH531_0070 EZ502U	9,3	14	208	7,000	1,00	2,00	19	6	86	3	14	44,6
2,00	1,6	2,4	3,2	1,1	ZTR314SPH531_0070 EZ701U	6,0	14	134	7,000	1,00	2,00	19	6	86	3	14	44,6
ZTR2PH7 ($n_{1N} = 3000 \text{ min}^{-1}$, ($F_{Z2acc,max} = 15 \text{ kN}$))																	
0,11	11	13	0,7	1,1	ZTR223SPH732_0700 EZ501U	15	29	356	70,00	0,14	0,26	21	7	115	2	23	48,8
0,15	8,2	9,0	0,9	1,4	ZTR223SPH732_0500 EZ501U	15	29	356	50,00	0,19	0,36	21	7	117	2	23	48,8
0,19	6,6	7,2	1,1	1,6	ZTR223SPH732_0400 EZ501U	15	29	356	40,00	0,24	0,45	21	7	118	2	23	48,8
0,22	5,7	6,3	1,1	1,7	ZTR223SPH732_0350 EZ501U	15	29	356	35,00	0,27	0,51	21	7	118	2	23	48,8
0,22	9,9	11	1,8	1,0	ZTR223SPH732_0350 EZ502U	15	29	356	35,00	0,27	0,51	21	7	118	2	23	48,8
0,22	9,9	11	1,8	1,0	ZTR223SPH732_0350 EZ701U	15	29	356	35,00	0,27	0,51	21	7	118	2	23	48,8
0,27	4,6	5,0	1,2	2,0	ZTR223SPH732_0280 EZ501U	15	29	356	28,00	0,34	0,64	21	7	118	2	23	48,8
0,27	7,9	8,5	2,0	1,2	ZTR223SPH732_0280 EZ502U	15	29	356	28,00	0,34	0,64	21	7	118	2	23	48,8
0,27	7,9	8,9	2,0	1,2	ZTR223SPH732_0280 EZ701U	15	29	356	28,00	0,34	0,64	21	7	118	2	23	48,8
0,31	4,1	4,5	1,3	2,2	ZTR223SPH732_0250 EZ501U	15	29	356	25,00	0,36	0,72	21	7	118	2	23	48,8
0,31	7,1	7,6	2,3	1,3	ZTR223SPH732_0250 EZ502U	15	29	356	25,00	0,36	0,72	21	7	118	2	23	48,8
0,31	7,1	7,9	2,3	1,3	ZTR223SPH732_0250 EZ701U	15	29	356	25,00	0,36	0,72	21	7	118	2	23	48,8
0,38	3,3	3,6	1,6	2,5	ZTR223SPH732_0200 EZ501U	12	29	298	20,00	0,38	0,77	21	7	118	2	23	48,8
0,38	5,6	6,1	2,8	1,5	ZTR223SPH732_0200 EZ502U	15	29	356	20,00	0,38	0,77	21	7	118	2	23	48,8
0,38	5,6	6,3	2,8	1,5	ZTR223SPH732_0200 EZ701U	15	29	356	20,00	0,38	0,77	21	7	118	2	23	48,8
0,38	7,4	8,5	3,7	1,1	ZTR223SPH732_0200 EZ503U	15	29	356	20,00	0,38	0,77	21	7	118	2	23	48,8
0,48	2,6	2,9	1,9	2,9	ZTR223SPH732_0160 EZ501U	9,8	29	238	16,00	0,48	0,96	21	7	119	2	23	48,8
0,48	4,5	4,9	3,2	1,7	ZTR223SPH732_0160 EZ502U	15	29	356	16,00	0,48	0,96	21	7	119	2	23	48,8
0,48	4,5	5,1	3,2	1,7	ZTR223SPH732_0160 EZ701U	12	29	298	16,00	0,48	0,96	21	7	119	2	23	48,8
0,48	5,9	6,8	4,2	1,3	ZTR223SPH732_0160 EZ503U	15	29	356	16,00	0,48	0,96	21	7	119	2	23	48,8
0,48	7,3	8,8	5,2	1,0	ZTR223SPH732_0160 EZ702U	15	29	356	16,00	0,48	0,96	21	7	119	2	23	48,8
0,77	2,9	3,3	1,8	2,2	ZTR223SPH731_0100 EZ701U	7,9	29	192	10,00	0,64	1,28	21	7	112	2	23	48,8
0,77	4,7	5,7	3,0	1,4	ZTR223SPH731_0100 EZ702U	15	29	356	10,00	0,64	1,28	21	7	112	2	23	48,8
0,77	6,5	8,2	4,1	1,0	ZTR223SPH731_0100 EZ703U	15	29	356	10,00	0,64	1,28	21	7	112	2	23	48,8
1,10	2,0	2,3	2,0	2,8	ZTR223SPH731_0070 EZ701U	5,5	29	134	7,000	0,91	1,83	21	7	116	2	23	48,8
1,10	3,3	4,0	3,3	1,7	ZTR223SPH731_0070 EZ702U	11	29	276	7,000	0,91	1,83	21	7	116	2	23	48,8
1,10	4,5	5,7	4,5	1,3	ZTR223SPH731_0070 EZ703U	15	29	356	7,000	0,91	1,83	21	7	116	2	23	48,8
1,53	1,5	1,6	3,1	3,5	ZTR223SPH731_0050 EZ701U	3,9	29	96	5,000	1,12	2,56	21	7	119	2	23	48,8
1,53	2,4	2,8	5,0	2,2	ZTR223SPH731_0050 EZ702U	8,1	29	197	5,000	1,12	2,56	21	7	119	2	23	48,8
1,53	3,2	4,1	6,8	1,6	ZTR223SPH731_0050 EZ703U	13	29	312	5,000	1,12	2,56	21	7	119	2	23	48,8
1,53	4,2	5,9	8,8	1,2	ZTR223SPH731_0050 EZ705U	15	29	356	5,000	1,12	2,56	21	7	119	2	23	48,8
1,53	4,4	7,3	9,2	1,2	ZTR223SPH731_0050 EZ802U	15	29	356	5,000	1,12	2,56	21	7	119	2	23	48,8
1,92	1,2	1,3	4,0	4,1	ZTR223SPH731_0040 EZ701U	3,1	29	77	4,000	1,21	2,56	21	7	121	2	23	48,8
1,92	1,9	2,3	6,5	2,5	ZTR223SPH731_0040 EZ702U	6,5	29	157	4,000	1,21	2,56	21	7	121	2	23	48,8
1,92	2,6	3,3	8,9	1,8	ZTR223SPH731_0040 EZ703U	10	29	250	4,000	1,21	2,56	21	7	121	2	23	48,8
1,92	3,4	4,8	11	1,4	ZTR223SPH731_0040 EZ705U	15	29	356	4,000	1,21	2,56	21	7	121	2	23	48,8
1,92	3,5	5,8	12	1,4	ZTR223SPH731_0040 EZ802U	15	29	356	4,000	1,21	2,56	21	7	121	2	23	48,8
1,92	4,2	7,6	14	1,1	ZTR223SPH731_0040 EZ803U	15	29	356	4,000	1,21	2,56	21	7	121	2	23	48,8
ZTR2PH7 ($n_{1N} = 4500 \text{ min}^{-1}$, ($F_{Z2acc,max} = 15 \text{ kN}$))																	
0,72	5,8	9,3	4,1	1,1	ZTR223SPH732_0160 EZ505U	15	29	356	16,00	0,48	0,96	21	7	119	2	23	48,8
1,15	4,1	14	3,0	1,4	ZTR223SPH731_0100 EZ802U	15	29	356	10,00	0,64	1,28	21	7	112	2	23	48,8
1,15	4,8	7,9	3,4	1,2	ZTR223SPH731_0100 EZ703U	15	29	356	10,00	0,64	1,28	21	7	112	2	23	48,8
1,64	2,9	9,5	3,3	1,7	ZTR223SPH731_0070 EZ802U	15	29	356	7,000	0,91	1,83	21	7	116	2	23	48,8
1,64	3,3	5,5	3,8	1,5	ZTR223SPH731_0070 EZ703U	15	29	356	7,000	0,91	1,83	21	7	116	2	23	48,8
1,64	4,5	8,3	5,2	1,1	ZTR223SPH731_0070 EZ705U	15	29	356	7,000	0,91	1,83	21	7	116	2	23	48,8
2,30	2,1	6,8	5,0	2,2	ZTR223SPH731_0050 EZ802U	15	29	356	5,000	1,12	2,56	21	7	119	2	23	48,8
2,30	2,4	3,9	5,7	1,9	ZTR223SPH731_0050 EZ703U	13	29	312	5,000	1,12	2,56	21	7	119	2	23	48,8
2,30	3,2	5,9	7,7	1,4	ZTR223SPH731_0050 EZ705U	15	29	356	5,000	1,12	2,56	21	7	119	2	23	48,8
ZTR2PH7 ($n_{1N} = 6000 \text{ min}^{-1}$, ($F_{Z2acc,max} = 15 \text{ kN}$))																	
0,22	9,1	12	0,7	1,1	ZTR223SPH732_0700 EZ501U	15	29	356	70,00	0,14	0,26	21	7	115	2	23	48,8
0,31	6,5	8,4	0,9	1,4	ZTR223SPH732_0500 EZ501U	15	29	356	50,00	0,19	0,36	21	7	117	2	23	48,8
0,38	5,2	6,7	1,1	1,6	ZTR223SPH732_0400 EZ501U	15	29	356	40,00	0,24	0,45	21	7	118	2	23	48,8
0,38	7,9	12	1,7	1,0	ZTR223SPH732_0400 EZ502U	15	29	356	40,00	0,24	0,45	21	7	118	2	23	48,8
0,38	7,9	12	1,7	1,0	ZTR223SPH732_0400 EZ701U	15	29	356	40,00	0,24	0,45	21	7	118	2	23	48,8
0,44	4,5	5,9	1,0	1,7	ZTR223SPH732_0350 EZ501U	15	29	356	35,00	0,27	0,51	21	7	118	2	23	48,8
0,44	6,9	10	1,6	1,1	ZTR223SPH732_0350 EZ502U	15	29	356	35,00	0,27	0,51	21	7	118	2	23	48,8
0,44	6,9	11	1,6	1,1	ZTR223SPH732_0350 EZ701U	15	29	356	35,00	0,27	0,51	21	7	118	2	23	48,8
0,55	3,6	4,7	1,1	2,0	ZTR223SPH732_0280 EZ501U	15	29	356	28,00	0,34	0,64	21	7	118	2	23	48,8
0,55	5,5	8,3	1,7	1,3	ZTR223SPH732_0280 EZ502U	15	29	356	28,00	0,34	0,64	21	7	118	2	23	48,8
0,55	5,5	8,4	1,7	1,3	ZTR223SPH732_0280 EZ701U	15	29	356	28,00	0,34	0,64	21	7	118	2	23	48,8
0,55	6,6	11	2,1	1,1	ZTR223SPH732_0280 EZ503U	15	29	356	28,00	0,34	0,64	21	7	118	2	23	48,8
0,61	3,2	4,2	1,3	2,2	ZTR223SPH732_0250 EZ501U	15	29	356	25,00	0,36	0,72	21	7	118	2	23	48,8
0,61	5,0	7,4	2,0	1,4	ZTR223SPH732_0250 EZ502U	15	29	356	25,00	0,36	0,72	21	7	118	2	23	48,8

5.2 Auswahltabelle 5 Zahnstangentriebe ZTRPH

v_{Z2N} [m/s]	F_{Z2N} [kN]	$F_{Z2,0}$ [kN]	a_{th}	S	Typ	F_{Z2acc} [kN]	F_{Z2NOT} [kN]	M_{Z2acc} [Nm]	i	$v_{Z2maxDB}$ [m/s]	$v_{Z2maxZB}$ [m/s]	Δs [μm]	Δs_{red} [μm]	C_{lin} [N/μm]	m_n [mm]	z	d_0 [mm]
ZTR2PH7 ($n_{1N} = 6000 \text{ min}^{-1}$, ($F_{Z2acc,max} = 15 \text{ kN}$))																	
0,61	5,0	7,5	2,0	1,4	ZTR223SPH732_0250 EZ701U	15	29	356	25,00	0,36	0,72	21	7	118	2	23	48,8
0,61	5,9	10	2,3	1,2	ZTR223SPH732_0250 EZ503U	15	29	356	25,00	0,36	0,72	21	7	118	2	23	48,8
0,61	6,9	14	2,7	1,0	ZTR223SPH732_0250 EZ702U	15	29	356	25,00	0,36	0,72	21	7	118	2	23	48,8
0,77	2,6	3,4	1,5	2,5	ZTR223SPH732_0200 EZ501U	12	29	298	20,00	0,38	0,77	21	7	118	2	23	48,8
0,77	4,0	5,9	2,2	1,6	ZTR223SPH732_0200 EZ502U	15	29	356	20,00	0,38	0,77	21	7	118	2	23	48,8
0,77	4,0	6,0	2,2	1,6	ZTR223SPH732_0200 EZ701U	15	29	356	20,00	0,38	0,77	21	7	118	2	23	48,8
0,77	4,7	8,1	2,6	1,4	ZTR223SPH732_0200 EZ503U	15	29	356	20,00	0,38	0,77	21	7	118	2	23	48,8
0,77	5,5	11	3,1	1,2	ZTR223SPH732_0200 EZ702U	15	29	356	20,00	0,38	0,77	21	7	118	2	23	48,8
0,96	2,1	2,7	1,6	2,9	ZTR223SPH732_0160 EZ501U	9,8	29	238	16,00	0,48	0,96	21	7	119	2	23	48,8
0,96	3,2	4,8	2,5	1,9	ZTR223SPH732_0160 EZ502U	15	29	356	16,00	0,48	0,96	21	7	119	2	23	48,8
0,96	3,2	4,8	2,5	1,9	ZTR223SPH732_0160 EZ701U	12	29	298	16,00	0,48	0,96	21	7	119	2	23	48,8
0,96	3,8	6,5	3,0	1,6	ZTR223SPH732_0160 EZ503U	15	29	356	16,00	0,48	0,96	21	7	119	2	23	48,8
0,96	4,4	8,7	3,4	1,4	ZTR223SPH732_0160 EZ702U	15	29	356	16,00	0,48	0,96	21	7	119	2	23	48,8
ZTR3PH7 ($n_{1N} = 3000 \text{ min}^{-1}$, ($F_{Z2acc,max} = 19 \text{ kN}$))																	
0,11	11	12	0,7	1,1	ZTR316SPH732_0700 EZ501U	17	30	446	70,00	0,14	0,27	22	7	114	3	16	50,9
0,16	7,9	8,6	0,9	1,4	ZTR316SPH732_0500 EZ501U	17	30	446	50,00	0,20	0,37	22	7	116	3	16	50,9
0,20	6,3	6,9	1,1	1,6	ZTR316SPH732_0400 EZ501U	17	30	446	40,00	0,25	0,47	22	7	117	3	16	50,9
0,23	5,5	6,0	1,1	1,8	ZTR316SPH732_0350 EZ501U	17	30	446	35,00	0,28	0,53	22	7	117	3	16	50,9
0,23	9,5	10	1,8	1,0	ZTR316SPH732_0350 EZ502U	17	30	446	35,00	0,28	0,53	22	7	117	3	16	50,9
0,23	9,5	11	1,8	1,0	ZTR316SPH732_0350 EZ701U	17	30	446	35,00	0,28	0,53	22	7	117	3	16	50,9
0,24	5,3	5,8	1,1	1,9	ZTR319SPH732_0400 EZ501U	19	26	565	40,00	0,29	0,55	26	9	113	3	19	60,5
0,24	9,1	9,8	1,9	1,1	ZTR319SPH732_0400 EZ502U	19	26	565	40,00	0,29	0,55	26	9	113	3	19	60,5
0,24	9,1	10	1,9	1,1	ZTR319SPH732_0400 EZ701U	19	26	565	40,00	0,29	0,55	26	9	113	3	19	60,5
0,27	4,6	5,1	1,1	2,1	ZTR319SPH732_0350 EZ501U	17	26	521	35,00	0,34	0,63	26	9	113	3	19	60,5
0,27	8,0	8,6	1,8	1,2	ZTR319SPH732_0350 EZ502U	19	26	565	35,00	0,34	0,63	26	9	113	3	19	60,5
0,27	8,0	8,9	1,8	1,2	ZTR319SPH732_0350 EZ701U	19	26	565	35,00	0,34	0,63	26	9	113	3	19	60,5
0,29	4,4	4,8	1,2	2,0	ZTR316SPH732_0280 EZ501U	16	30	417	28,00	0,35	0,67	22	7	117	3	16	50,9
0,29	7,6	8,2	2,0	1,2	ZTR316SPH732_0280 EZ502U	17	30	446	28,00	0,35	0,67	22	7	117	3	16	50,9
0,29	7,6	8,5	2,0	1,2	ZTR316SPH732_0280 EZ701U	17	30	446	28,00	0,35	0,67	22	7	117	3	16	50,9
0,32	3,9	4,3	1,3	2,2	ZTR316SPH732_0250 EZ501U	15	30	372	25,00	0,37	0,75	22	7	117	3	16	50,9
0,32	6,8	7,3	2,3	1,3	ZTR316SPH732_0250 EZ502U	17	30	446	25,00	0,37	0,75	22	7	117	3	16	50,9
0,32	6,8	7,6	2,3	1,3	ZTR316SPH732_0250 EZ701U	17	30	446	25,00	0,37	0,75	22	7	117	3	16	50,9
0,34	3,7	4,0	1,2	2,4	ZTR319SPH732_0280 EZ501U	14	26	417	28,00	0,42	0,79	26	9	114	3	19	60,5
0,34	6,4	6,9	2,0	1,4	ZTR319SPH732_0280 EZ502U	19	26	565	28,00	0,42	0,79	26	9	114	3	19	60,5
0,34	6,4	7,1	2,0	1,4	ZTR319SPH732_0280 EZ701U	17	26	521	28,00	0,42	0,79	26	9	114	3	19	60,5
0,34	8,4	9,6	2,7	1,1	ZTR319SPH732_0280 EZ503U	19	26	565	28,00	0,42	0,79	26	9	114	3	19	60,5
0,38	3,3	3,6	1,3	2,6	ZTR319SPH732_0250 EZ501U	12	26	372	25,00	0,44	0,89	26	9	113	3	19	60,5
0,38	5,7	6,2	2,3	1,5	ZTR319SPH732_0250 EZ502U	19	26	565	25,00	0,44	0,89	26	9	113	3	19	60,5
0,38	5,7	6,4	2,3	1,5	ZTR319SPH732_0250 EZ701U	15	26	465	25,00	0,44	0,89	26	9	113	3	19	60,5
0,38	7,5	8,5	3,0	1,2	ZTR319SPH732_0250 EZ503U	19	26	565	25,00	0,44	0,89	26	9	113	3	19	60,5
0,40	3,1	3,4	1,6	2,6	ZTR316SPH732_0200 EZ501U	12	30	298	20,00	0,40	0,80	22	7	117	3	16	50,9
0,40	5,4	5,8	2,8	1,5	ZTR316SPH732_0200 EZ502U	17	30	446	20,00	0,40	0,80	22	7	117	3	16	50,9
0,40	5,4	6,1	2,8	1,5	ZTR316SPH732_0200 EZ701U	15	30	372	20,00	0,40	0,80	22	7	117	3	16	50,9
0,40	7,1	8,1	3,7	1,1	ZTR316SPH732_0200 EZ503U	17	30	446	20,00	0,40	0,80	22	7	117	3	16	50,9
0,48	2,6	2,9	1,6	3,0	ZTR319SPH732_0200 EZ501U	9,8	26	298	20,00	0,48	0,95	26	9	113	3	19	60,5
0,48	4,6	4,9	2,8	1,8	ZTR319SPH732_0200 EZ502U	19	26	565	20,00	0,48	0,95	26	9	113	3	19	60,5
0,48	4,6	5,1	2,8	1,8	ZTR319SPH732_0200 EZ701U	12	26	372	20,00	0,48	0,95	26	9	113	3	19	60,5
0,48	6,0	6,8	3,7	1,3	ZTR319SPH732_0200 EZ503U	19	26	565	20,00	0,48	0,95	26	9	113	3	19	60,5
0,48	7,4	8,9	4,6	1,1	ZTR319SPH732_0200 EZ702U	19	26	565	20,00	0,48	0,95	26	9	113	3	19	60,5
0,50	2,5	2,7	1,9	3,0	ZTR316SPH732_0160 EZ501U	9,3	30	238	16,00	0,50	1,00	22	7	118	3	16	50,9
0,50	4,3	4,7	3,2	1,7	ZTR316SPH732_0160 EZ502U	17	30	446	16,00	0,50	1,00	22	7	118	3	16	50,9
0,50	4,3	4,8	3,2	1,7	ZTR316SPH732_0160 EZ701U	12	30	298	16,00	0,50	1,00	22	7	118	3	16	50,9
0,50	5,7	6,5	4,2	1,3	ZTR316SPH732_0160 EZ503U	17	30	446	16,00	0,50	1,00	22	7	118	3	16	50,9
0,50	7,0	8,4	5,2	1,1	ZTR316SPH732_0160 EZ702U	17	30	446	16,00	0,50	1,00	22	7	118	3	16	50,9
0,59	2,1	2,3	1,9	3,5	ZTR319SPH732_0160 EZ501U	7,9	26	238	16,00	0,59	1,19	26	9	115	3	19	60,5
0,59	3,6	3,9	3,2	2,0	ZTR319SPH732_0160 EZ502U	15	26	461	16,00	0,59	1,19	26	9	115	3	19	60,5
0,59	3,6	4,1	3,2	2,0	ZTR319SPH732_0160 EZ701U	9,8	26	298	16,00	0,59	1,19	26	9	115	3	19	60,5
0,59	4,8	5,5	4,2	1,6	ZTR319SPH732_0160 EZ503U	19	26	565	16,00	0,59	1,19	26	9	115	3	19	60,5
0,59	5,9	7,1	5,2	1,3	ZTR319SPH732_0160 EZ702U	19	26	565	16,00	0,59	1,19	26	9	115	3	19	60,5
0,59	6,6	7,9	5,9	1,1	ZTR319SPH732_0160 EZ505U	19	26	565	16,00	0,59	1,19	26	9	115	3	19	60,5
0,80	2,8	3,1	1,8	2,3	ZTR316SPH731_0100 EZ701U	7,5	30	192	10,00	0,67	1,33	22	7	110	3	16	50,9
0,80	4,5	5,4	3,0	1,4	ZTR316SPH731_0100 EZ702U	15	30	394	10,00	0,67	1,33	22	7	110	3	16	50,9
0,80	6,2	7,8	4,1	1,0	ZTR316SPH731_0100 EZ703U	17	30	446	10,00	0,67	1,33	22	7	110	3	16	50,9
0,95	2,3	2,6	1,8	2,7	ZTR319SPH731_0100 EZ701U	6,3	26	192	10,00	0,79	1,58	26	9	105	3	19	60,5
0,95	3,8	4,6	3,0	1,7	ZTR319SPH731_0100 EZ702U	13	26	394	10,00	0,79	1,58	26	9	105	3	19	60,5
0,95	5,2	6,6	4,1	1,2	ZTR319SPH731_0100 EZ703U	19	26	565	10,00	0,79	1,58	26	9	105	3	19	60,5

v_{fzN} [m/s]	F_{fzN} [kN]	$F_{fz,0}$ [kN]	a_{th}	S	Typ	F_{fzacc} [kN]	F_{fzNOT} [kN]	M_{zacc} [Nm]	i	$v_{fzmaxDB}$ [m/s]	$v_{fzmaxZB}$ [m/s]	Δs [μm]	Δs_{red} [μm]	C_{lin} [N/μm]	m_n [mm]	z	d_0 [mm]
ZTR3PH7 ($n_{fzN} = 3000 \text{ min}^{-1}$, ($F_{fzacc,max} = 19 \text{ kN}$))																	
1,14	2,0	2,2	2,0	2,9	ZTR316SPH731_0070 EZ701U	5,3	30	134	7,000	0,95	1,91	22	7	115	3	16	50,9
1,14	3,2	3,8	3,3	1,8	ZTR316SPH731_0070 EZ702U	11	30	276	7,000	0,95	1,91	22	7	115	3	16	50,9
1,14	4,4	5,5	4,5	1,3	ZTR316SPH731_0070 EZ703U	17	30	437	7,000	0,95	1,91	22	7	115	3	16	50,9
1,14	5,6	8,0	5,9	1,0	ZTR316SPH731_0070 EZ705U	17	30	446	7,000	0,95	1,91	22	7	115	3	16	50,9
1,36	1,6	1,8	2,0	3,4	ZTR319SPH731_0070 EZ701U	4,4	26	134	7,000	1,13	2,26	26	9	111	3	19	60,5
1,36	2,7	3,2	3,3	2,1	ZTR319SPH731_0070 EZ702U	9,1	26	276	7,000	1,13	2,26	26	9	111	3	19	60,5
1,36	3,7	4,6	4,5	1,5	ZTR319SPH731_0070 EZ703U	14	26	437	7,000	1,13	2,26	26	9	111	3	19	60,5
1,36	4,7	6,7	5,9	1,2	ZTR319SPH731_0070 EZ705U	19	26	565	7,000	1,13	2,26	26	9	111	3	19	60,5
1,36	5,0	8,2	6,1	1,1	ZTR319SPH731_0070 EZ802U	19	26	565	7,000	1,13	2,26	26	9	111	3	19	60,5
1,60	1,4	1,6	3,1	3,6	ZTR316SPH731_0050 EZ701U	3,8	30	96	5,000	1,17	2,67	22	7	118	3	16	50,9
1,60	2,3	2,7	5,0	2,2	ZTR316SPH731_0050 EZ702U	7,7	30	197	5,000	1,17	2,67	22	7	118	3	16	50,9
1,60	3,1	3,9	6,8	1,6	ZTR316SPH731_0050 EZ703U	12	30	312	5,000	1,17	2,67	22	7	118	3	16	50,9
1,60	4,0	5,7	8,8	1,3	ZTR316SPH731_0050 EZ705U	17	30	446	5,000	1,17	2,67	22	7	118	3	16	50,9
1,60	4,2	7,0	9,2	1,2	ZTR316SPH731_0050 EZ802U	17	30	446	5,000	1,17	2,67	22	7	118	3	16	50,9
1,60	5,0	9,1	11	1,0	ZTR316SPH731_0050 EZ803U	17	30	446	5,000	1,17	2,67	22	7	118	3	16	50,9
1,90	1,2	1,3	3,1	4,3	ZTR319SPH731_0050 EZ701U	3,2	26	96	5,000	1,39	3,17	26	9	115	3	19	60,5
1,90	1,9	2,3	5,0	2,6	ZTR319SPH731_0050 EZ702U	6,5	26	197	5,000	1,39	3,17	26	9	115	3	19	60,5
1,90	2,6	3,3	6,8	1,9	ZTR319SPH731_0050 EZ703U	10	26	312	5,000	1,39	3,17	26	9	115	3	19	60,5
1,90	3,4	4,8	8,8	1,5	ZTR319SPH731_0050 EZ705U	17	26	499	5,000	1,39	3,17	26	9	115	3	19	60,5
1,90	3,5	5,9	9,2	1,4	ZTR319SPH731_0050 EZ802U	16	26	480	5,000	1,39	3,17	26	9	115	3	19	60,5
1,90	4,2	7,7	11	1,2	ZTR319SPH731_0050 EZ803U	19	26	565	5,000	1,39	3,17	26	9	115	3	19	60,5
2,00	1,1	1,3	4,0	4,2	ZTR316SPH731_0040 EZ701U	3,0	30	77	4,000	1,27	2,67	22	7	120	3	16	50,9
2,00	1,8	2,2	6,5	2,6	ZTR316SPH731_0040 EZ702U	6,2	30	157	4,000	1,27	2,67	22	7	120	3	16	50,9
2,00	2,5	3,1	8,9	1,9	ZTR316SPH731_0040 EZ703U	9,8	30	250	4,000	1,27	2,67	22	7	120	3	16	50,9
2,00	3,2	4,6	11	1,5	ZTR316SPH731_0040 EZ705U	16	30	399	4,000	1,27	2,67	22	7	120	3	16	50,9
2,00	3,4	5,6	12	1,4	ZTR316SPH731_0040 EZ802U	15	30	384	4,000	1,27	2,67	22	7	120	3	16	50,9
2,00	4,0	7,3	14	1,2	ZTR316SPH731_0040 EZ803U	17	30	446	4,000	1,27	2,67	22	7	120	3	16	50,9
2,38	0,9	1,1	4,0	5,0	ZTR319SPH731_0040 EZ701U	2,5	26	77	4,000	1,50	3,17	26	9	117	3	19	60,5
2,38	1,5	1,8	6,5	3,1	ZTR319SPH731_0040 EZ702U	5,2	26	157	4,000	1,50	3,17	26	9	117	3	19	60,5
2,38	2,1	2,6	8,9	2,2	ZTR319SPH731_0040 EZ703U	8,3	26	250	4,000	1,50	3,17	26	9	117	3	19	60,5
2,38	2,7	3,8	11	1,7	ZTR319SPH731_0040 EZ705U	13	26	399	4,000	1,50	3,17	26	9	117	3	19	60,5
2,38	2,8	4,7	12	1,7	ZTR319SPH731_0040 EZ802U	13	26	384	4,000	1,50	3,17	26	9	117	3	19	60,5
2,38	3,4	6,1	14	1,4	ZTR319SPH731_0040 EZ803U	18	26	557	4,000	1,50	3,17	26	9	117	3	19	60,5
ZTR3PH7 ($n_{fzN} = 4500 \text{ min}^{-1}$, ($F_{fzacc,max} = 19 \text{ kN}$))																	
0,57	7,3	12	3,2	1,0	ZTR319SPH732_0250 EZ505U	19	26	565	25,00	0,44	0,89	26	9	113	3	19	60,5
0,60	6,9	11	3,7	1,0	ZTR316SPH732_0200 EZ505U	17	30	446	20,00	0,40	0,80	22	7	117	3	16	50,9
0,75	5,6	8,9	4,1	1,2	ZTR316SPH732_0160 EZ505U	17	30	446	16,00	0,50	1,00	22	7	118	3	16	50,9
0,89	6,0	9,8	5,3	1,1	ZTR319SPH732_0160 EZ703U	19	26	565	16,00	0,59	1,19	26	9	115	3	19	60,5
1,20	4,0	13	3,0	1,4	ZTR316SPH731_0100 EZ802U	17	30	446	10,00	0,67	1,33	22	7	110	3	16	50,9
1,20	4,6	7,5	3,4	1,2	ZTR316SPH731_0100 EZ703U	17	30	446	10,00	0,67	1,33	22	7	110	3	16	50,9
1,43	3,3	11	3,0	1,7	ZTR319SPH731_0100 EZ802U	19	26	565	10,00	0,79	1,58	26	9	105	3	19	60,5
1,43	3,8	6,3	3,4	1,4	ZTR319SPH731_0100 EZ703U	19	26	565	10,00	0,79	1,58	26	9	105	3	19	60,5
1,43	5,2	9,5	4,7	1,1	ZTR319SPH731_0100 EZ705U	19	26	565	10,00	0,79	1,58	26	9	105	3	19	60,5
1,71	2,8	9,1	3,3	1,8	ZTR316SPH731_0070 EZ802U	17	30	446	7,000	0,95	1,91	22	7	115	3	16	50,9
1,71	3,2	5,3	3,8	1,5	ZTR316SPH731_0070 EZ703U	17	30	437	7,000	0,95	1,91	22	7	115	3	16	50,9
1,71	4,3	7,9	5,2	1,1	ZTR316SPH731_0070 EZ705U	17	30	446	7,000	0,95	1,91	22	7	115	3	16	50,9
2,04	2,3	7,7	3,3	2,1	ZTR319SPH731_0070 EZ802U	19	26	565	7,000	1,13	2,26	26	9	111	3	19	60,5
2,04	2,7	4,4	3,8	1,8	ZTR319SPH731_0070 EZ703U	14	26	437	7,000	1,13	2,26	26	9	111	3	19	60,5
2,04	3,6	6,7	5,2	1,4	ZTR319SPH731_0070 EZ705U	19	26	565	7,000	1,13	2,26	26	9	111	3	19	60,5
2,40	2,0	6,5	5,0	2,2	ZTR316SPH731_0050 EZ802U	17	30	446	5,000	1,17	2,67	22	7	118	3	16	50,9
2,40	2,3	3,8	5,7	1,9	ZTR316SPH731_0050 EZ703U	12	30	312	5,000	1,17	2,67	22	7	118	3	16	50,9
2,40	3,1	5,7	7,7	1,4	ZTR316SPH731_0050 EZ705U	17	30	446	5,000	1,17	2,67	22	7	118	3	16	50,9
2,85	1,7	5,5	5,0	2,6	ZTR319SPH731_0050 EZ802U	16	26	480	5,000	1,39	3,17	26	9	115	3	19	60,5
2,85	1,9	3,2	5,7	2,3	ZTR319SPH731_0050 EZ703U	10	26	312	5,000	1,39	3,17	26	9	115	3	19	60,5
2,85	2,6	4,8	7,7	1,7	ZTR319SPH731_0050 EZ705U	17	26	499	5,000	1,39	3,17	26	9	115	3	19	60,5
ZTR3PH7 ($n_{fzN} = 6000 \text{ min}^{-1}$, ($F_{fzacc,max} = 19 \text{ kN}$))																	
0,23	8,7	11	0,7	1,1	ZTR316SPH732_0700 EZ501U	17	30	446	70,00	0,14	0,27	22	7	114	3	16	50,9
0,32	6,2	8,0	0,9	1,4	ZTR316SPH732_0500 EZ501U	17	30	446	50,00	0,20	0,37	22	7	116	3	16	50,9
0,38	8,0	12	1,3	1,1	ZTR319SPH732_0500 EZ502U	19	26	565	50,00	0,23	0,44	26	9	112	3	19	60,5
0,38	8,0	12	1,3	1,1	ZTR319SPH732_0500 EZ701U	19	26	565	50,00	0,23	0,44	26	9	112	3	19	60,5
0,40	5,0	6,4	1,1	1,6	ZTR316SPH732_0400 EZ501U	17	30	446	40,00	0,25	0,47	22	7	117	3	16	50,9
0,40	7,6	11	1,7	1,1	ZTR316SPH732_0400 EZ502U	17	30	446	40,00	0,25	0,47	22	7	117	3	16	50,9
0,40	7,6	12	1,7	1,1	ZTR316SPH732_0400 EZ701U	17	30	446	40,00	0,25	0,47	22	7	117	3	16	50,9
0,46	4,3	5,6	1,0	1,8	ZTR316SPH732_0350 EZ501U	17	30	446	35,00	0,28	0,53	22	7	117	3	16	50,9
0,46	6,6	10	1,6	1,2	ZTR316SPH732_0350 EZ502U	17	30	446	35,00	0,28	0,53	22	7	117	3	16	50,9
0,46	6,6	10	1,6	1,2	ZTR316SPH732_0350 EZ701U	17	30	446	35,00	0,28	0,53	22	7	117	3	16	50,9

5.2 Auswahltabelle 5 Zahnstangentriebe ZTRPH

v_{Z2N} [m/s]	F_{Z2N} [kN]	$F_{Z2,0}$ [kN]	a_{th}	S	Typ	F_{Z2acc} [kN]	F_{Z2NOT} [kN]	M_{Z2acc} [Nm]	i	$v_{Z2maxDB}$ [m/s]	$v_{Z2maxZB}$ [m/s]	Δs [μm]	Δs_{red} [μm]	C_{lin} [N/μm]	m_n [mm]	z	d_0 [mm]
ZTR3PH7 ($n_{1N} = 6000 \text{ min}^{-1}$, ($F_{Z2acc,max} = 19 \text{ kN}$))																	
0,48	4,2	5,4	1,1	1,9	ZTR319SPH732_0400 EZ501U	19	26	565	40,00	0,29	0,55	26	9	113	3	19	60,5
0,48	6,4	9,6	1,7	1,2	ZTR319SPH732_0400 EZ502U	19	26	565	40,00	0,29	0,55	26	9	113	3	19	60,5
0,48	6,4	9,7	1,7	1,2	ZTR319SPH732_0400 EZ701U	19	26	565	40,00	0,29	0,55	26	9	113	3	19	60,5
0,48	7,6	13	2,0	1,0	ZTR319SPH732_0400 EZ503U	19	26	565	40,00	0,29	0,55	26	9	113	3	19	60,5
0,54	3,7	4,7	1,0	2,1	ZTR319SPH732_0350 EZ501U	17	26	521	35,00	0,34	0,63	26	9	113	3	19	60,5
0,54	5,6	8,4	1,6	1,4	ZTR319SPH732_0350 EZ502U	19	26	565	35,00	0,34	0,63	26	9	113	3	19	60,5
0,54	5,6	8,5	1,6	1,4	ZTR319SPH732_0350 EZ701U	19	26	565	35,00	0,34	0,63	26	9	113	3	19	60,5
0,54	6,7	11	1,9	1,1	ZTR319SPH732_0350 EZ503U	19	26	565	35,00	0,34	0,63	26	9	113	3	19	60,5
0,57	3,5	4,5	1,1	2,1	ZTR316SPH732_0280 EZ501U	16	30	417	28,00	0,35	0,67	22	7	117	3	16	50,9
0,57	5,3	8,0	1,7	1,3	ZTR316SPH732_0280 EZ502U	17	30	446	28,00	0,35	0,67	22	7	117	3	16	50,9
0,57	5,3	8,1	1,7	1,3	ZTR316SPH732_0280 EZ701U	17	30	446	28,00	0,35	0,67	22	7	117	3	16	50,9
0,57	6,3	11	2,1	1,1	ZTR316SPH732_0280 EZ503U	17	30	446	28,00	0,35	0,67	22	7	117	3	16	50,9
0,64	3,1	4,0	1,3	2,2	ZTR316SPH732_0250 EZ501U	15	30	372	25,00	0,37	0,75	22	7	117	3	16	50,9
0,64	4,7	7,1	2,0	1,4	ZTR316SPH732_0250 EZ502U	17	30	446	25,00	0,37	0,75	22	7	117	3	16	50,9
0,64	4,7	7,2	2,0	1,4	ZTR316SPH732_0250 EZ701U	17	30	446	25,00	0,37	0,75	22	7	117	3	16	50,9
0,64	5,7	9,7	2,3	1,2	ZTR316SPH732_0250 EZ503U	17	30	446	25,00	0,37	0,75	22	7	117	3	16	50,9
0,64	6,6	13	2,7	1,0	ZTR316SPH732_0250 EZ702U	17	30	446	25,00	0,37	0,75	22	7	117	3	16	50,9
0,68	2,9	3,8	1,1	2,4	ZTR319SPH732_0280 EZ501U	14	26	417	28,00	0,42	0,79	26	9	114	3	19	60,5
0,68	4,5	6,7	1,7	1,6	ZTR319SPH732_0280 EZ502U	19	26	565	28,00	0,42	0,79	26	9	114	3	19	60,5
0,68	4,5	6,8	1,7	1,6	ZTR319SPH732_0280 EZ701U	17	26	521	28,00	0,42	0,79	26	9	114	3	19	60,5
0,68	5,3	9,1	2,1	1,3	ZTR319SPH732_0280 EZ503U	19	26	565	28,00	0,42	0,79	26	9	114	3	19	60,5
0,68	6,2	12	2,4	1,1	ZTR319SPH732_0280 EZ702U	19	26	565	28,00	0,42	0,79	26	9	114	3	19	60,5
0,76	2,6	3,4	1,3	2,6	ZTR319SPH732_0250 EZ501U	12	26	372	25,00	0,44	0,89	26	9	113	3	19	60,5
0,76	4,0	6,0	2,0	1,7	ZTR319SPH732_0250 EZ502U	19	26	565	25,00	0,44	0,89	26	9	113	3	19	60,5
0,76	4,0	6,1	2,0	1,7	ZTR319SPH732_0250 EZ701U	15	26	465	25,00	0,44	0,89	26	9	113	3	19	60,5
0,76	4,8	8,1	2,3	1,4	ZTR319SPH732_0250 EZ503U	19	26	565	25,00	0,44	0,89	26	9	113	3	19	60,5
0,76	5,5	11	2,7	1,2	ZTR319SPH732_0250 EZ702U	19	26	565	25,00	0,44	0,89	26	9	113	3	19	60,5
0,80	2,5	3,2	1,5	2,6	ZTR316SPH732_0200 EZ501U	12	30	298	20,00	0,40	0,80	22	7	117	3	16	50,9
0,80	3,8	5,7	2,2	1,7	ZTR316SPH732_0200 EZ502U	17	30	446	20,00	0,40	0,80	22	7	117	3	16	50,9
0,80	3,8	5,8	2,2	1,7	ZTR316SPH732_0200 EZ701U	15	30	372	20,00	0,40	0,80	22	7	117	3	16	50,9
0,80	4,5	7,7	2,6	1,4	ZTR316SPH732_0200 EZ503U	17	30	446	20,00	0,40	0,80	22	7	117	3	16	50,9
0,80	5,3	10	3,1	1,2	ZTR316SPH732_0200 EZ702U	17	30	446	20,00	0,40	0,80	22	7	117	3	16	50,9
0,95	2,1	2,7	1,5	3,0	ZTR319SPH732_0200 EZ501U	9,8	26	298	20,00	0,48	0,95	26	9	113	3	19	60,5
0,95	3,2	4,8	2,2	2,0	ZTR319SPH732_0200 EZ502U	19	26	565	20,00	0,48	0,95	26	9	113	3	19	60,5
0,95	3,2	4,9	2,2	2,0	ZTR319SPH732_0200 EZ701U	12	26	372	20,00	0,48	0,95	26	9	113	3	19	60,5
0,95	3,8	6,5	2,6	1,7	ZTR319SPH732_0200 EZ503U	19	26	565	20,00	0,48	0,95	26	9	113	3	19	60,5
0,95	4,4	8,8	3,1	1,4	ZTR319SPH732_0200 EZ702U	19	26	565	20,00	0,48	0,95	26	9	113	3	19	60,5
1,00	2,0	2,6	1,6	3,0	ZTR316SPH732_0160 EZ501U	9,3	30	238	16,00	0,50	1,00	22	7	118	3	16	50,9
1,00	3,0	4,6	2,5	1,9	ZTR316SPH732_0160 EZ502U	17	30	446	16,00	0,50	1,00	22	7	118	3	16	50,9
1,00	3,0	4,6	2,5	1,9	ZTR316SPH732_0160 EZ701U	12	30	298	16,00	0,50	1,00	22	7	118	3	16	50,9
1,00	3,6	6,2	3,0	1,6	ZTR316SPH732_0160 EZ503U	17	30	446	16,00	0,50	1,00	22	7	118	3	16	50,9
1,00	4,2	8,4	3,4	1,4	ZTR316SPH732_0160 EZ702U	17	30	446	16,00	0,50	1,00	22	7	118	3	16	50,9
1,19	1,7	2,2	1,6	3,5	ZTR319SPH732_0160 EZ501U	7,9	26	238	16,00	0,59	1,19	26	9	115	3	19	60,5
1,19	2,6	3,8	2,5	2,3	ZTR319SPH732_0160 EZ502U	15	26	461	16,00	0,59	1,19	26	9	115	3	19	60,5
1,19	2,6	3,9	2,5	2,3	ZTR319SPH732_0160 EZ701U	9,8	26	298	16,00	0,59	1,19	26	9	115	3	19	60,5
1,19	3,1	5,2	3,0	1,9	ZTR319SPH732_0160 EZ503U	19	26	565	16,00	0,59	1,19	26	9	115	3	19	60,5
1,19	3,5	7,0	3,4	1,7	ZTR319SPH732_0160 EZ702U	19	26	565	16,00	0,59	1,19	26	9	115	3	19	60,5
ZTR4PH7 ($n_{1N} = 3000 \text{ min}^{-1}$, ($F_{Z2acc,max} = 18 \text{ kN}$))																	
0,11	11	12	0,7	1,1	ZTR412SPH732_0700 EZ501U	18	28	459	70,00	0,14	0,27	22	7	110	4	12	50,9
0,16	7,9	8,6	0,9	1,3	ZTR412SPH732_0500 EZ501U	18	28	459	50,00	0,20	0,37	22	7	112	4	12	50,9
0,20	6,3	6,9	1,1	1,5	ZTR412SPH732_0400 EZ501U	18	28	459	40,00	0,25	0,47	22	7	113	4	12	50,9
0,23	5,5	6,0	1,1	1,7	ZTR412SPH732_0350 EZ501U	18	28	459	35,00	0,28	0,53	22	7	113	4	12	50,9
0,29	4,4	4,8	1,2	2,0	ZTR412SPH732_0280 EZ501U	16	28	417	28,00	0,35	0,67	22	7	114	4	12	50,9
0,29	7,6	8,2	2,0	1,1	ZTR412SPH732_0280 EZ502U	18	28	459	28,00	0,35	0,67	22	7	114	4	12	50,9
0,29	7,6	8,5	2,0	1,1	ZTR412SPH732_0280 EZ701U	18	28	459	28,00	0,35	0,67	22	7	114	4	12	50,9
0,32	3,9	4,3	1,3	2,1	ZTR412SPH732_0250 EZ501U	15	28	372	25,00	0,37	0,75	22	7	113	4	12	50,9
0,32	6,8	7,3	2,3	1,2	ZTR412SPH732_0250 EZ502U	18	28	459	25,00	0,37	0,75	22	7	113	4	12	50,9
0,32	6,8	7,6	2,3	1,2	ZTR412SPH732_0250 EZ701U	18	28	459	25,00	0,37	0,75	22	7	113	4	12	50,9
0,40	3,1	3,4	1,6	2,5	ZTR412SPH732_0200 EZ501U	12	28	298	20,00	0,40	0,80	22	7	113	4	12	50,9
0,40	5,4	5,8	2,8	1,4	ZTR412SPH732_0200 EZ502U	18	28	459	20,00	0,40	0,80	22	7	113	4	12	50,9
0,40	5,4	6,1	2,8	1,4	ZTR412SPH732_0200 EZ701U	15	28	372	20,00	0,40	0,80	22	7	113	4	12	50,9
0,40	7,1	8,1	3,7	1,1	ZTR412SPH732_0200 EZ503U	18	28	459	20,00	0,40	0,80	22	7	113	4	12	50,9
0,50	2,5	2,7	1,9	2,9	ZTR412SPH732_0160 EZ501U	9,3	28	238	16,00	0,50	1,00	22	7	114	4	12	50,9
0,50	4,3	4,7	3,2	1,7	ZTR412SPH732_0160 EZ502U	18	28	459	16,00	0,50	1,00	22	7	114	4	12	50,9
0,50	4,3	4,8	3,2	1,7	ZTR412SPH732_0160 EZ701U	12	28	298	16,00	0,50	1,00	22	7	114	4	12	50,9
0,50	5,7	6,5	4,2	1,3	ZTR412SPH732_0160 EZ503U	18	28	459	16,00	0,50	1,00	22	7	114	4	12	50,9

v_{I2N} [m/s]	F_{I2N} [kN]	$F_{I2,0}$ [kN]	a_{th}	S	Typ	F_{I2acc} [kN]	F_{I2NOT} [kN]	M_{I2acc} [Nm]	i	$v_{I2maxDB}$ [m/s]	$v_{I2maxZB}$ [m/s]	Δs [µm]	Δs_{red} [µm]	C_{lin} [N/µm]	m_n [mm]	z	d_0 [mm]
ZTR4PH7 ($n_{I1N} = 3000 \text{ min}^{-1}$, ($F_{I2acc,max} = 18 \text{ kN}$))																	
0,50	7,0	8,4	5,2	1,0	ZTR412SPH732_0160 EZ702U	18	28	459	16,00	0,50	1,00	22	7	114	4	12	50,9
0,80	2,8	3,1	1,8	2,2	ZTR412SPH731_0100 EZ701U	7,5	28	192	10,00	0,67	1,33	22	7	107	4	12	50,9
0,80	4,5	5,4	3,0	1,4	ZTR412SPH731_0100 EZ702U	15	28	394	10,00	0,67	1,33	22	7	107	4	12	50,9
1,14	2,0	2,2	2,0	2,8	ZTR412SPH731_0070 EZ701U	5,3	28	134	7,000	0,95	1,91	22	7	112	4	12	50,9
1,14	3,2	3,8	3,3	1,7	ZTR412SPH731_0070 EZ702U	11	28	276	7,000	0,95	1,91	22	7	112	4	12	50,9
1,14	4,4	5,5	4,5	1,3	ZTR412SPH731_0070 EZ703U	17	28	437	7,000	0,95	1,91	22	7	112	4	12	50,9
1,60	1,4	1,6	3,1	3,5	ZTR412SPH731_0050 EZ701U	3,8	28	96	5,000	1,17	2,67	22	7	115	4	12	50,9
1,60	2,3	2,7	5,0	2,2	ZTR412SPH731_0050 EZ702U	7,7	28	197	5,000	1,17	2,67	22	7	115	4	12	50,9
1,60	3,1	3,9	6,8	1,6	ZTR412SPH731_0050 EZ703U	12	28	312	5,000	1,17	2,67	22	7	115	4	12	50,9
1,60	4,0	5,7	8,8	1,2	ZTR412SPH731_0050 EZ705U	18	28	459	5,000	1,17	2,67	22	7	115	4	12	50,9
1,60	4,2	7,0	9,2	1,2	ZTR412SPH731_0050 EZ802U	18	28	459	5,000	1,17	2,67	22	7	115	4	12	50,9
2,00	1,1	1,3	4,0	4,0	ZTR412SPH731_0040 EZ701U	3,0	28	77	4,000	1,27	2,67	22	7	116	4	12	50,9
2,00	1,8	2,2	6,5	2,5	ZTR412SPH731_0040 EZ702U	6,2	28	157	4,000	1,27	2,67	22	7	116	4	12	50,9
2,00	2,5	3,1	8,9	1,8	ZTR412SPH731_0040 EZ703U	9,8	28	250	4,000	1,27	2,67	22	7	116	4	12	50,9
2,00	3,2	4,6	11	1,4	ZTR412SPH731_0040 EZ705U	16	28	399	4,000	1,27	2,67	22	7	116	4	12	50,9
2,00	3,4	5,6	12	1,3	ZTR412SPH731_0040 EZ802U	15	28	384	4,000	1,27	2,67	22	7	116	4	12	50,9
2,00	4,0	7,3	14	1,1	ZTR412SPH731_0040 EZ803U	18	28	459	4,000	1,27	2,67	22	7	116	4	12	50,9
ZTR4PH7 ($n_{I1N} = 4500 \text{ min}^{-1}$, ($F_{I2acc,max} = 18 \text{ kN}$))																	
0,75	5,6	8,9	4,1	1,1	ZTR412SPH732_0160 EZ505U	18	28	459	16,00	0,50	1,00	22	7	114	4	12	50,9
1,20	4,0	13	3,0	1,4	ZTR412SPH731_0100 EZ802U	18	28	459	10,00	0,67	1,33	22	7	107	4	12	50,9
1,20	4,6	7,5	3,4	1,2	ZTR412SPH731_0100 EZ703U	18	28	459	10,00	0,67	1,33	22	7	107	4	12	50,9
1,71	2,8	9,1	3,3	1,7	ZTR412SPH731_0070 EZ802U	18	28	459	7,000	0,95	1,91	22	7	112	4	12	50,9
1,71	3,2	5,3	3,8	1,5	ZTR412SPH731_0070 EZ703U	17	28	437	7,000	0,95	1,91	22	7	112	4	12	50,9
1,71	4,3	7,9	5,2	1,1	ZTR412SPH731_0070 EZ705U	18	28	459	7,000	0,95	1,91	22	7	112	4	12	50,9
2,40	2,0	6,5	5,0	2,1	ZTR412SPH731_0050 EZ802U	18	28	459	5,000	1,17	2,67	22	7	115	4	12	50,9
2,40	2,3	3,8	5,7	1,9	ZTR412SPH731_0050 EZ703U	12	28	312	5,000	1,17	2,67	22	7	115	4	12	50,9
2,40	3,1	5,7	7,7	1,4	ZTR412SPH731_0050 EZ705U	18	28	459	5,000	1,17	2,67	22	7	115	4	12	50,9
ZTR4PH7 ($n_{I1N} = 6000 \text{ min}^{-1}$, ($F_{I2acc,max} = 18 \text{ kN}$))																	
0,23	8,7	11	0,7	1,1	ZTR412SPH732_0700 EZ501U	18	28	459	70,00	0,14	0,27	22	7	110	4	12	50,9
0,32	6,2	8,0	0,9	1,3	ZTR412SPH732_0500 EZ501U	18	28	459	50,00	0,20	0,37	22	7	112	4	12	50,9
0,40	5,0	6,4	1,1	1,6	ZTR412SPH732_0400 EZ501U	18	28	459	40,00	0,25	0,47	22	7	113	4	12	50,9
0,40	7,6	11	1,7	1,0	ZTR412SPH732_0400 EZ502U	18	28	459	40,00	0,25	0,47	22	7	113	4	12	50,9
0,40	7,6	12	1,7	1,0	ZTR412SPH732_0400 EZ701U	18	28	459	40,00	0,25	0,47	22	7	113	4	12	50,9
0,46	4,3	5,6	1,0	1,7	ZTR412SPH732_0350 EZ501U	18	28	459	35,00	0,28	0,53	22	7	113	4	12	50,9
0,46	6,6	10	1,6	1,1	ZTR412SPH732_0350 EZ502U	18	28	459	35,00	0,28	0,53	22	7	113	4	12	50,9
0,46	6,6	10	1,6	1,1	ZTR412SPH732_0350 EZ701U	18	28	459	35,00	0,28	0,53	22	7	113	4	12	50,9
0,57	3,5	4,5	1,1	2,0	ZTR412SPH732_0280 EZ501U	16	28	417	28,00	0,35	0,67	22	7	114	4	12	50,9
0,57	5,3	8,0	1,7	1,3	ZTR412SPH732_0280 EZ502U	18	28	459	28,00	0,35	0,67	22	7	114	4	12	50,9
0,57	5,3	8,1	1,7	1,3	ZTR412SPH732_0280 EZ701U	18	28	459	28,00	0,35	0,67	22	7	114	4	12	50,9
0,57	6,3	11	2,1	1,1	ZTR412SPH732_0280 EZ503U	18	28	459	28,00	0,35	0,67	22	7	114	4	12	50,9
0,64	3,1	4,0	1,3	2,1	ZTR412SPH732_0250 EZ501U	15	28	372	25,00	0,37	0,75	22	7	113	4	12	50,9
0,64	4,7	7,1	2,0	1,4	ZTR412SPH732_0250 EZ502U	18	28	459	25,00	0,37	0,75	22	7	113	4	12	50,9
0,64	4,7	7,2	2,0	1,4	ZTR412SPH732_0250 EZ701U	18	28	459	25,00	0,37	0,75	22	7	113	4	12	50,9
0,64	5,7	9,7	2,3	1,2	ZTR412SPH732_0250 EZ503U	18	28	459	25,00	0,37	0,75	22	7	113	4	12	50,9
0,64	6,6	13	2,7	1,0	ZTR412SPH732_0250 EZ702U	18	28	459	25,00	0,37	0,75	22	7	113	4	12	50,9
0,80	2,5	3,2	1,5	2,5	ZTR412SPH732_0200 EZ501U	12	28	298	20,00	0,40	0,80	22	7	113	4	12	50,9
0,80	3,8	5,7	2,2	1,6	ZTR412SPH732_0200 EZ502U	18	28	459	20,00	0,40	0,80	22	7	113	4	12	50,9
0,80	3,8	5,8	2,2	1,6	ZTR412SPH732_0200 EZ701U	15	28	372	20,00	0,40	0,80	22	7	113	4	12	50,9
0,80	4,5	7,7	2,6	1,4	ZTR412SPH732_0200 EZ503U	18	28	459	20,00	0,40	0,80	22	7	113	4	12	50,9
0,80	5,3	10	3,1	1,2	ZTR412SPH732_0200 EZ702U	18	28	459	20,00	0,40	0,80	22	7	113	4	12	50,9
1,00	2,0	2,6	1,6	2,9	ZTR412SPH732_0160 EZ501U	9,3	28	238	16,00	0,50	1,00	22	7	114	4	12	50,9
1,00	3,0	4,6	2,5	1,9	ZTR412SPH732_0160 EZ502U	18	28	459	16,00	0,50	1,00	22	7	114	4	12	50,9
1,00	3,0	4,6	2,5	1,9	ZTR412SPH732_0160 EZ701U	12	28	298	16,00	0,50	1,00	22	7	114	4	12	50,9
1,00	3,6	6,2	3,0	1,6	ZTR412SPH732_0160 EZ503U	18	28	459	16,00	0,50	1,00	22	7	114	4	12	50,9
1,00	4,2	8,4	3,4	1,4	ZTR412SPH732_0160 EZ702U	18	28	459	16,00	0,50	1,00	22	7	114	4	12	50,9
ZTR3PH8 ($n_{I1N} = 2000 \text{ min}^{-1}$, ($F_{I2acc,max} = 25 \text{ kN}$))																	
0,43	20	30	5,7	1,2	ZTR332SPH832_0250 EZ805U	25	44	1294	25,00	0,58	1,17	44	15	185	3	32	101,9
0,53	16	24	6,6	1,3	ZTR332SPH832_0200 EZ805U	25	44	1294	20,00	0,67	1,20	44	15	185	3	32	101,9
0,67	13	19	8,4	1,6	ZTR332SPH832_0160 EZ805U	25	44	1294	16,00	0,83	1,50	44	15	183	3	32	101,9
1,07	8,2	12	4,2	1,8	ZTR332SPH831_0100 EZ805U	25	44	1294	10,00	1,17	2,13	44	15	162	3	32	101,9
1,52	5,8	8,7	5,0	2,6	ZTR332SPH831_0070 EZ805U	25	44	1294	7,000	1,52	3,05	44	15	179	3	32	101,9
2,13	4,1	6,2	7,5	3,3	ZTR332SPH831_0050 EZ805U	19	44	984	5,000	1,71	4,27	44	15	192	3	32	101,9
2,67	3,3	5,0	12	3,8	ZTR332SPH831_0040 EZ805U	15	39	787	4,000	1,87	4,67	44	15	193	3	32	101,9
ZTR3PH8 ($n_{I1N} = 3000 \text{ min}^{-1}$, ($F_{I2acc,max} = 25 \text{ kN}$))																	
0,16	14	15	0,7	1,3	ZTR332SPH832_1000 EZ701U	25	44	1294	100,0	0,16	0,32	44	15	161	3	32	101,9
0,23	9,5	11	0,6	2,6	ZTR332SPH832_0700 EZ701U	25	44	1294	70,00	0,23	0,46	44	15	174	3	32	101,9

5.2 Auswahltabelle 5 Zahnstangentriebe ZTRPH

v_{fzN} [m/s]	F_{fzN} [kN]	$F_{fz,0}$ [kN]	a_{th}	S	Typ	F_{fzacc} [kN]	F_{fzNOT} [kN]	M_{fzacc} [Nm]	i	$v_{fzmaxDB}$ [m/s]	$v_{fzmaxZB}$ [m/s]	Δs [μm]	Δs_{red} [μm]	C_{lin} [N/μm]	m_n [mm]	z	d_0 [mm]
ZTR3PH8 ($n_{fzN} = 3000 \text{ min}^{-1}$, ($F_{fzacc,max} = 25 \text{ kN}$))																	
0,23	15	18	1,0	1,6	ZTR332SPH832_0700 EZ702U	25	44	1294	70,00	0,23	0,46	44	15	174	3	32	101,9
0,23	21	27	1,3	1,2	ZTR332SPH832_0700 EZ703U	25	44	1294	70,00	0,23	0,46	44	15	174	3	32	101,9
0,32	6,8	7,6	0,7	3,7	ZTR332SPH832_0500 EZ701U	18	44	930	50,00	0,32	0,64	44	15	182	3	32	101,9
0,32	11	13	1,1	2,3	ZTR332SPH832_0500 EZ702U	25	44	1294	50,00	0,32	0,64	44	15	182	3	32	101,9
0,32	15	19	1,6	1,7	ZTR332SPH832_0500 EZ703U	25	44	1294	50,00	0,32	0,64	44	15	182	3	32	101,9
0,32	19	28	2,0	1,3	ZTR332SPH832_0500 EZ705U	25	44	1294	50,00	0,32	0,64	44	15	182	3	32	101,9
0,32	20	34	2,1	1,2	ZTR332SPH832_0500 EZ802U	25	44	1294	50,00	0,32	0,64	44	15	182	3	32	101,9
0,32	24	44	2,5	1,0	ZTR332SPH832_0500 EZ803U	25	44	1294	50,00	0,32	0,64	44	15	182	3	32	101,9
0,40	5,4	6,1	1,0	3,7	ZTR332SPH832_0400 EZ701U	15	44	744	40,00	0,40	0,80	44	15	178	3	32	101,9
0,40	8,8	11	1,6	2,3	ZTR332SPH832_0400 EZ702U	25	44	1294	40,00	0,40	0,80	44	15	178	3	32	101,9
0,40	12	15	2,2	1,7	ZTR332SPH832_0400 EZ703U	25	44	1294	40,00	0,40	0,80	44	15	178	3	32	101,9
0,40	16	22	2,8	1,3	ZTR332SPH832_0400 EZ705U	25	44	1294	40,00	0,40	0,80	44	15	178	3	32	101,9
0,40	16	27	2,9	1,2	ZTR332SPH832_0400 EZ802U	25	44	1294	40,00	0,40	0,80	44	15	178	3	32	101,9
0,40	19	35	3,5	1,0	ZTR332SPH832_0400 EZ803U	25	44	1294	40,00	0,40	0,80	44	15	178	3	32	101,9
0,46	4,7	5,3	0,8	4,8	ZTR332SPH832_0350 EZ701U	13	44	651	35,00	0,46	0,91	44	15	184	3	32	101,9
0,46	7,7	9,2	1,4	2,9	ZTR332SPH832_0350 EZ702U	25	44	1294	35,00	0,46	0,91	44	15	184	3	32	101,9
0,46	11	13	1,9	2,1	ZTR332SPH832_0350 EZ703U	25	44	1294	35,00	0,46	0,91	44	15	184	3	32	101,9
0,46	14	19	2,4	1,7	ZTR332SPH832_0350 EZ705U	25	44	1294	35,00	0,46	0,91	44	15	184	3	32	101,9
0,46	14	24	2,5	1,6	ZTR332SPH832_0350 EZ802U	25	44	1294	35,00	0,46	0,91	44	15	184	3	32	101,9
0,46	17	31	3,0	1,3	ZTR332SPH832_0350 EZ803U	25	44	1294	35,00	0,46	0,91	44	15	184	3	32	101,9
0,57	6,1	7,4	1,9	3,2	ZTR332SPH832_0280 EZ702U	21	44	1068	28,00	0,57	1,14	44	15	181	3	32	101,9
0,57	8,4	11	2,6	2,3	ZTR332SPH832_0280 EZ703U	25	44	1294	28,00	0,57	1,14	44	15	181	3	32	101,9
0,57	11	15	3,4	1,8	ZTR332SPH832_0280 EZ705U	25	44	1294	28,00	0,57	1,14	44	15	181	3	32	101,9
0,57	11	19	3,5	1,7	ZTR332SPH832_0280 EZ802U	25	44	1294	28,00	0,57	1,14	44	15	181	3	32	101,9
0,57	14	25	4,2	1,5	ZTR332SPH832_0280 EZ803U	25	44	1294	28,00	0,57	1,14	44	15	181	3	32	101,9
0,64	5,5	6,6	1,6	3,7	ZTR332SPH832_0250 EZ702U	19	44	953	25,00	0,58	1,17	44	15	185	3	32	101,9
0,64	7,5	9,5	2,2	2,7	ZTR332SPH832_0250 EZ703U	25	44	1294	25,00	0,58	1,17	44	15	185	3	32	101,9
0,64	9,7	14	2,9	2,1	ZTR332SPH832_0250 EZ705U	25	44	1294	25,00	0,58	1,17	44	15	185	3	32	101,9
0,64	10	17	3,0	2,0	ZTR332SPH832_0250 EZ802U	25	44	1294	25,00	0,58	1,17	44	15	185	3	32	101,9
0,64	12	22	3,6	1,7	ZTR332SPH832_0250 EZ803U	25	44	1294	25,00	0,58	1,17	44	15	185	3	32	101,9
0,80	4,4	5,3	1,8	4,3	ZTR332SPH832_0200 EZ702U	15	44	763	20,00	0,67	1,20	44	15	185	3	32	101,9
0,80	6,0	7,6	2,5	3,1	ZTR332SPH832_0200 EZ703U	24	44	1209	20,00	0,67	1,20	44	15	185	3	32	101,9
0,80	7,8	11	3,2	2,4	ZTR332SPH832_0200 EZ705U	25	44	1294	20,00	0,67	1,20	44	15	185	3	32	101,9
0,80	8,1	14	3,4	2,3	ZTR332SPH832_0200 EZ802U	25	44	1294	20,00	0,67	1,20	44	15	185	3	32	101,9
0,80	9,7	18	4,0	1,9	ZTR332SPH832_0200 EZ803U	25	44	1294	20,00	0,67	1,20	44	15	185	3	32	101,9
1,00	3,5	4,2	2,5	5,0	ZTR332SPH832_0160 EZ702U	12	44	610	16,00	0,83	1,50	44	15	183	3	32	101,9
1,00	4,8	6,1	3,5	3,6	ZTR332SPH832_0160 EZ703U	19	44	967	16,00	0,83	1,50	44	15	183	3	32	101,9
1,00	6,2	8,8	4,5	2,8	ZTR332SPH832_0160 EZ705U	25	44	1294	16,00	0,83	1,50	44	15	183	3	32	101,9
1,00	6,5	11	4,7	2,7	ZTR332SPH832_0160 EZ802U	25	44	1294	16,00	0,83	1,50	44	15	183	3	32	101,9
1,00	7,8	14	5,6	2,2	ZTR332SPH832_0160 EZ803U	25	44	1294	16,00	0,83	1,50	44	15	183	3	32	101,9
1,60	4,2	7,0	2,5	3,2	ZTR332SPH831_0100 EZ802U	19	44	960	10,00	1,17	2,13	44	15	162	3	32	101,9
1,60	5,0	9,1	2,9	2,6	ZTR332SPH831_0100 EZ803U	25	44	1294	10,00	1,17	2,13	44	15	162	3	32	101,9
2,29	2,9	4,9	2,9	4,5	ZTR332SPH831_0070 EZ802U	13	44	672	7,000	1,52	3,05	44	15	179	3	32	101,9
2,29	3,5	6,4	3,5	3,8	ZTR332SPH831_0070 EZ803U	19	44	974	7,000	1,52	3,05	44	15	179	3	32	101,9
3,20	2,5	4,5	5,2	4,7	ZTR332SPH831_0050 EZ803U	14	44	696	5,000	1,71	4,27	44	15	192	3	32	101,9
ZTR3PH8 ($n_{fzN} = 4500 \text{ min}^{-1}$, ($F_{fzacc,max} = 25 \text{ kN}$))																	
0,34	13	44	1,0	1,6	ZTR332SPH832_0700 EZ802U	25	44	1294	70,00	0,23	0,46	44	15	174	3	32	101,9
0,34	15	26	1,1	1,4	ZTR332SPH832_0700 EZ703U	25	44	1294	70,00	0,23	0,46	44	15	174	3	32	101,9
0,34	21	38	1,5	1,0	ZTR332SPH832_0700 EZ705U	25	44	1294	70,00	0,23	0,46	44	15	174	3	32	101,9
0,48	9,6	31	1,1	2,3	ZTR332SPH832_0500 EZ802U	25	44	1294	50,00	0,32	0,64	44	15	182	3	32	101,9
0,48	11	18	1,3	2,0	ZTR332SPH832_0500 EZ703U	25	44	1294	50,00	0,32	0,64	44	15	182	3	32	101,9
0,48	15	27	1,8	1,5	ZTR332SPH832_0500 EZ705U	25	44	1294	50,00	0,32	0,64	44	15	182	3	32	101,9
0,60	7,7	25	1,6	2,3	ZTR332SPH832_0400 EZ802U	25	44	1294	40,00	0,40	0,80	44	15	178	3	32	101,9
0,60	8,8	15	1,8	2,0	ZTR332SPH832_0400 EZ703U	25	44	1294	40,00	0,40	0,80	44	15	178	3	32	101,9
0,60	12	22	2,5	1,5	ZTR332SPH832_0400 EZ705U	25	44	1294	40,00	0,40	0,80	44	15	178	3	32	101,9
0,69	6,7	22	1,4	2,9	ZTR332SPH832_0350 EZ802U	25	44	1294	35,00	0,46	0,91	44	15	184	3	32	101,9
0,69	7,7	13	1,6	2,6	ZTR332SPH832_0350 EZ703U	25	44	1294	35,00	0,46	0,91	44	15	184	3	32	101,9
0,69	10	19	2,1	1,9	ZTR332SPH832_0350 EZ705U	25	44	1294	35,00	0,46	0,91	44	15	184	3	32	101,9
0,86	5,4	18	1,9	3,2	ZTR332SPH832_0280 EZ802U	25	44	1294	28,00	0,57	1,14	44	15	181	3	32	101,9
0,86	6,2	10	2,2	2,8	ZTR332SPH832_0280 EZ703U	25	44	1294	28,00	0,57	1,14	44	15	181	3	32	101,9
0,86	8,4	15	3,0	2,1	ZTR332SPH832_0280 EZ705U	25	44	1294	28,00	0,57	1,14	44	15	181	3	32	101,9
0,96	4,8	16	1,6	3,7	ZTR332SPH832_0250 EZ802U	25	44	1294	25,00	0,58	1,17	44	15	185	3	32	101,9
0,96	5,5	9,1	1,9	3,2	ZTR332SPH832_0250 EZ703U	25	44	1294	25,00	0,58	1,17	44	15	185	3	32	101,9
0,96	7,5	14	2,5	2,4	ZTR332SPH832_0250 EZ705U	25	44	1294	25,00	0,58	1,17	44	15	185	3	32	101,9
1,20	3,8	13	1,8	4,3	ZTR332SPH832_0200 EZ802U	25	44	1294	20,00	0,67	1,20	44	15	185	3	32	101,9
1,20	4,4	7,3	2,1	3,7	ZTR332SPH832_0200 EZ703U	24	44	1209	20,00	0,67	1,20	44	15	185	3	32	101,9

v_{Z2N} [m/s]	F_{Z2N} [kN]	$F_{Z2,0}$ [kN]	a_{th}	S	Typ	F_{Z2acc} [kN]	F_{Z2NOT} [kN]	M_{Z2acc} [Nm]	i	$v_{Z2maxDB}$ [m/s]	$v_{Z2maxZB}$ [m/s]	Δs [μm]	Δs_{red} [μm]	C_{lin} [N/μm]	m_n [mm]	z	d_0 [mm]
ZTR3PH8 ($n_{1N} = 4500 \text{ min}^{-1}$, ($F_{Z2acc,max} = 25 \text{ kN}$))																	
1,20	6,0	11	2,8	2,7	ZTR332SPH832_0200 EZ705U	25	44	1294	20,00	0,67	1,20	44	15	185	3	32	101,9
1,50	3,1	10	2,5	5,0	ZTR332SPH832_0160 EZ802U	25	44	1294	16,00	0,83	1,50	44	15	183	3	32	101,9
1,50	3,5	5,8	2,9	4,3	ZTR332SPH832_0160 EZ703U	19	44	967	16,00	0,83	1,50	44	15	183	3	32	101,9
1,50	4,8	8,8	3,9	3,2	ZTR332SPH832_0160 EZ705U	25	44	1294	16,00	0,83	1,50	44	15	183	3	32	101,9
ZTR3PH8 ($n_{1N} = 6000 \text{ min}^{-1}$, ($F_{Z2acc,max} = 25 \text{ kN}$))																	
0,32	9,5	14	0,6	1,4	ZTR332SPH832_1000 EZ701U	25	44	1294	100,0	0,16	0,32	44	15	161	3	32	101,9
0,32	13	26	0,9	1,0	ZTR332SPH832_1000 EZ702U	25	44	1294	100,0	0,16	0,32	44	15	161	3	32	101,9
0,46	6,6	10	0,5	3,0	ZTR332SPH832_0700 EZ701U	25	44	1294	70,00	0,23	0,46	44	15	174	3	32	101,9
0,46	9,2	18	0,7	2,1	ZTR332SPH832_0700 EZ702U	25	44	1294	70,00	0,23	0,46	44	15	174	3	32	101,9
0,64	4,7	7,2	0,6	4,2	ZTR332SPH832_0500 EZ701U	18	44	930	50,00	0,32	0,64	44	15	182	3	32	101,9
0,64	6,6	13	0,9	3,0	ZTR332SPH832_0500 EZ702U	25	44	1294	50,00	0,32	0,64	44	15	182	3	32	101,9
0,80	3,8	5,8	0,9	4,2	ZTR332SPH832_0400 EZ701U	15	44	744	40,00	0,40	0,80	44	15	178	3	32	101,9
0,80	5,3	10	1,2	3,0	ZTR332SPH832_0400 EZ702U	25	44	1294	40,00	0,40	0,80	44	15	178	3	32	101,9
0,91	4,6	9,1	1,0	3,9	ZTR332SPH832_0350 EZ702U	25	44	1294	35,00	0,46	0,91	44	15	184	3	32	101,9
1,14	3,7	7,3	1,4	4,3	ZTR332SPH832_0280 EZ702U	21	44	1068	28,00	0,57	1,14	44	15	181	3	32	101,9
ZTR4PH8 ($n_{1N} = 2000 \text{ min}^{-1}$, ($F_{Z2acc,max} = 36 \text{ kN}$))																	
0,44	19	29	6,6	1,1	ZTR420SPH832_0200 EZ805U	36	50	1511	20,00	0,56	1,00	37	12	208	4	20	84,9
0,47	18	27	8,4	1,1	ZTR417SPH832_0160 EZ805U	35	55	1263	16,00	0,59	1,06	31	10	216	4	17	72,2
0,76	12	18	4,2	1,4	ZTR417SPH831_0100 EZ805U	35	55	1263	10,00	0,83	1,51	31	10	201	4	17	72,2
1,08	8,1	12	5,0	1,8	ZTR417SPH831_0070 EZ805U	35	55	1263	7,000	1,08	2,16	31	10	213	4	17	72,2
1,51	5,8	8,8	7,5	2,3	ZTR417SPH831_0050 EZ805U	27	55	984	5,000	1,21	3,02	31	10	222	4	17	72,2
1,89	4,7	7,0	12	2,7	ZTR417SPH831_0040 EZ805U	22	55	787	4,000	1,32	3,31	31	10	223	4	17	72,2
ZTR4PH8 ($n_{1N} = 3000 \text{ min}^{-1}$, ($F_{Z2acc,max} = 36 \text{ kN}$))																	
0,11	19	21	0,7	1,3	ZTR417SPH832_1000 EZ701U	35	55	1263	100,0	0,11	0,23	31	10	200	4	17	72,2
0,16	13	15	0,6	2,1	ZTR417SPH832_0700 EZ701U	35	55	1263	70,00	0,16	0,32	31	10	210	4	17	72,2
0,16	22	26	1,0	1,3	ZTR417SPH832_0700 EZ702U	35	55	1263	70,00	0,16	0,32	31	10	210	4	17	72,2
0,19	11	13	0,6	2,5	ZTR420SPH832_0700 EZ701U	31	50	1302	70,00	0,19	0,38	37	12	199	4	20	84,9
0,19	18	22	1,0	1,5	ZTR420SPH832_0700 EZ702U	36	50	1511	70,00	0,19	0,38	37	12	199	4	20	84,9
0,19	25	32	1,3	1,1	ZTR420SPH832_0700 EZ703U	36	50	1511	70,00	0,19	0,38	37	12	199	4	20	84,9
0,23	9,5	11	0,7	2,6	ZTR417SPH832_0500 EZ701U	26	55	930	50,00	0,23	0,45	31	10	216	4	17	72,2
0,23	15	19	1,1	1,6	ZTR417SPH832_0500 EZ702U	35	55	1263	50,00	0,23	0,45	31	10	216	4	17	72,2
0,23	21	27	1,6	1,2	ZTR417SPH832_0500 EZ703U	35	55	1263	50,00	0,23	0,45	31	10	216	4	17	72,2
0,27	8,1	9,1	0,7	3,1	ZTR420SPH832_0500 EZ701U	22	50	930	50,00	0,27	0,53	37	12	205	4	20	84,9
0,27	13	16	1,1	1,9	ZTR420SPH832_0500 EZ702U	36	50	1511	50,00	0,27	0,53	37	12	205	4	20	84,9
0,27	18	23	1,6	1,4	ZTR420SPH832_0500 EZ703U	36	50	1511	50,00	0,27	0,53	37	12	205	4	20	84,9
0,27	23	33	2,0	1,1	ZTR420SPH832_0500 EZ705U	36	50	1511	50,00	0,27	0,53	37	12	205	4	20	84,9
0,27	24	41	2,1	1,0	ZTR420SPH832_0500 EZ802U	36	50	1511	50,00	0,27	0,53	37	12	205	4	20	84,9
0,28	7,6	8,6	1,0	3,1	ZTR417SPH832_0400 EZ701U	21	55	744	40,00	0,28	0,57	31	10	213	4	17	72,2
0,28	12	15	1,6	1,9	ZTR417SPH832_0400 EZ702U	35	55	1263	40,00	0,28	0,57	31	10	213	4	17	72,2
0,28	17	21	2,2	1,4	ZTR417SPH832_0400 EZ703U	35	55	1263	40,00	0,28	0,57	31	10	213	4	17	72,2
0,28	22	31	2,8	1,1	ZTR417SPH832_0400 EZ705U	35	55	1263	40,00	0,28	0,57	31	10	213	4	17	72,2
0,28	23	38	2,9	1,0	ZTR417SPH832_0400 EZ802U	35	55	1263	40,00	0,28	0,57	31	10	213	4	17	72,2
0,32	6,7	7,5	0,8	3,3	ZTR417SPH832_0350 EZ701U	18	55	651	35,00	0,32	0,65	31	10	217	4	17	72,2
0,32	11	13	1,4	2,1	ZTR417SPH832_0350 EZ702U	35	55	1263	35,00	0,32	0,65	31	10	217	4	17	72,2
0,32	15	19	1,9	1,5	ZTR417SPH832_0350 EZ703U	35	55	1263	35,00	0,32	0,65	31	10	217	4	17	72,2
0,32	19	27	2,4	1,2	ZTR417SPH832_0350 EZ705U	35	55	1263	35,00	0,32	0,65	31	10	217	4	17	72,2
0,32	20	33	2,5	1,1	ZTR417SPH832_0350 EZ802U	35	55	1263	35,00	0,32	0,65	31	10	217	4	17	72,2
0,33	6,5	7,3	1,0	3,6	ZTR420SPH832_0400 EZ701U	18	50	744	40,00	0,33	0,67	37	12	202	4	20	84,9
0,33	11	13	1,6	2,2	ZTR420SPH832_0400 EZ702U	36	50	1511	40,00	0,33	0,67	37	12	202	4	20	84,9
0,33	14	18	2,2	1,6	ZTR420SPH832_0400 EZ703U	36	50	1511	40,00	0,33	0,67	37	12	202	4	20	84,9
0,33	19	26	2,8	1,2	ZTR420SPH832_0400 EZ705U	36	50	1511	40,00	0,33	0,67	37	12	202	4	20	84,9
0,33	20	33	2,9	1,2	ZTR420SPH832_0400 EZ802U	36	50	1511	40,00	0,33	0,67	37	12	202	4	20	84,9
0,38	5,7	6,4	0,8	3,9	ZTR420SPH832_0350 EZ701U	15	50	651	35,00	0,38	0,76	37	12	207	4	20	84,9
0,38	9,2	11	1,4	2,4	ZTR420SPH832_0350 EZ702U	31	50	1335	35,00	0,38	0,76	37	12	207	4	20	84,9
0,38	13	16	1,9	1,7	ZTR420SPH832_0350 EZ703U	36	50	1511	35,00	0,38	0,76	37	12	207	4	20	84,9
0,38	16	23	2,4	1,4	ZTR420SPH832_0350 EZ705U	36	50	1511	35,00	0,38	0,76	37	12	207	4	20	84,9
0,38	17	28	2,5	1,3	ZTR420SPH832_0350 EZ802U	36	50	1511	35,00	0,38	0,76	37	12	207	4	20	84,9
0,38	20	37	3,0	1,1	ZTR420SPH832_0350 EZ803U	36	50	1511	35,00	0,38	0,76	37	12	207	4	20	84,9
0,41	5,3	6,0	1,2	3,9	ZTR417SPH832_0280 EZ701U	14	55	521	28,00	0,41	0,81	31	10	215	4	17	72,2
0,41	8,7	10	1,9	2,4	ZTR417SPH832_0280 EZ702U	30	55	1068	28,00	0,41	0,81	31	10	215	4	17	72,2
0,41	12	15	2,6	1,7	ZTR417SPH832_0280 EZ703U	35	55	1263	28,00	0,41	0,81	31	10	215	4	17	72,2
0,41	15	22	3,4	1,3	ZTR417SPH832_0280 EZ705U	35	55	1263	28,00	0,41	0,81	31	10	215	4	17	72,2
0,41	16	27	3,5	1,3	ZTR417SPH832_0280 EZ802U	35	55	1263	28,00	0,41	0,81	31	10	215	4	17	72,2
0,41	19	35	4,2	1,1	ZTR417SPH832_0280 EZ803U	35	55	1263	28,00	0,41	0,81	31	10	215	4	17	72,2
0,45	4,8	5,3	1,0	4,2	ZTR417SPH832_0250 EZ701U	13	55	465	25,00	0,41	0,83	31	10	218	4	17	72,2
0,45	7,7	9,3	1,6	2,6	ZTR417SPH832_0250 EZ702U	26	55	953	25,00	0,41	0,83	31	10	218	4	17	72,2

5.2 Auswahltabelle 5 Zahnstangentriebe ZTRPH

v_{Z2N} [m/s]	F_{Z2N} [kN]	$F_{Z2,0}$ [kN]	a_{th}	S	Typ	F_{Z2acc} [kN]	F_{Z2NOT} [kN]	M_{Z2acc} [Nm]	i	$v_{Z2maxDB}$ [m/s]	$v_{Z2maxZB}$ [m/s]	Δs [μm]	Δs_{red} [μm]	C_{lin} [N/μm]	m_n [mm]	z	d_0 [mm]
ZTR4PH8 ($n_{1N} = 3000 \text{ min}^{-1}$, ($F_{Z2acc,max} = 36 \text{ kN}$))																	
0,45	11	13	2,2	1,9	ZTR417SPH832_0250 EZ703U	35	55	1263	25,00	0,41	0,83	31	10	218	4	17	72,2
0,45	14	19	2,9	1,4	ZTR417SPH832_0250 EZ705U	35	55	1263	25,00	0,41	0,83	31	10	218	4	17	72,2
0,45	14	24	3,0	1,4	ZTR417SPH832_0250 EZ802U	35	55	1263	25,00	0,41	0,83	31	10	218	4	17	72,2
0,45	17	31	3,6	1,2	ZTR417SPH832_0250 EZ803U	35	55	1263	25,00	0,41	0,83	31	10	218	4	17	72,2
0,48	4,5	5,1	1,2	4,5	ZTR420SPH832_0280 EZ701U	12	50	521	28,00	0,48	0,95	37	12	204	4	20	84,9
0,48	7,4	8,8	1,9	2,8	ZTR420SPH832_0280 EZ702U	25	50	1068	28,00	0,48	0,95	37	12	204	4	20	84,9
0,48	10	13	2,6	2,0	ZTR420SPH832_0280 EZ703U	36	50	1511	28,00	0,48	0,95	37	12	204	4	20	84,9
0,48	13	19	3,4	1,6	ZTR420SPH832_0280 EZ705U	36	50	1511	28,00	0,48	0,95	37	12	204	4	20	84,9
0,48	14	23	3,5	1,5	ZTR420SPH832_0280 EZ802U	36	50	1511	28,00	0,48	0,95	37	12	204	4	20	84,9
0,48	16	30	4,2	1,3	ZTR420SPH832_0280 EZ803U	36	50	1511	28,00	0,48	0,95	37	12	204	4	20	84,9
0,53	4,1	4,5	1,0	4,9	ZTR420SPH832_0250 EZ701U	11	50	465	25,00	0,48	0,98	37	12	208	4	20	84,9
0,53	6,6	7,9	1,6	3,0	ZTR420SPH832_0250 EZ702U	22	50	953	25,00	0,48	0,98	37	12	208	4	20	84,9
0,53	9,0	11	2,2	2,2	ZTR420SPH832_0250 EZ703U	36	50	1511	25,00	0,48	0,98	37	12	208	4	20	84,9
0,53	12	17	2,9	1,7	ZTR420SPH832_0250 EZ705U	36	50	1511	25,00	0,48	0,98	37	12	208	4	20	84,9
0,53	12	20	3,0	1,6	ZTR420SPH832_0250 EZ802U	36	50	1511	25,00	0,48	0,98	37	12	208	4	20	84,9
0,53	15	26	3,6	1,4	ZTR420SPH832_0250 EZ803U	36	50	1511	25,00	0,48	0,98	37	12	208	4	20	84,9
0,57	3,8	4,3	1,1	4,8	ZTR417SPH832_0200 EZ701U	10	55	372	20,00	0,47	0,85	31	10	218	4	17	72,2
0,57	6,2	7,4	1,8	3,0	ZTR417SPH832_0200 EZ702U	21	55	763	20,00	0,47	0,85	31	10	218	4	17	72,2
0,57	8,5	11	2,5	2,2	ZTR417SPH832_0200 EZ703U	34	55	1209	20,00	0,47	0,85	31	10	218	4	17	72,2
0,57	11	16	3,2	1,7	ZTR417SPH832_0200 EZ705U	35	55	1263	20,00	0,47	0,85	31	10	218	4	17	72,2
0,57	11	19	3,4	1,6	ZTR417SPH832_0200 EZ802U	35	55	1263	20,00	0,47	0,85	31	10	218	4	17	72,2
0,57	14	25	4,0	1,3	ZTR417SPH832_0200 EZ803U	35	55	1263	20,00	0,47	0,85	31	10	218	4	17	72,2
0,67	5,3	6,3	1,8	3,5	ZTR420SPH832_0200 EZ702U	18	50	763	20,00	0,56	1,00	37	12	208	4	20	84,9
0,67	7,2	9,1	2,5	2,5	ZTR420SPH832_0200 EZ703U	28	50	1209	20,00	0,56	1,00	37	12	208	4	20	84,9
0,67	9,3	13	3,2	2,0	ZTR420SPH832_0200 EZ705U	36	50	1511	20,00	0,56	1,00	37	12	208	4	20	84,9
0,67	9,8	16	3,4	1,9	ZTR420SPH832_0200 EZ802U	36	50	1511	20,00	0,56	1,00	37	12	208	4	20	84,9
0,67	12	21	4,0	1,6	ZTR420SPH832_0200 EZ803U	36	50	1511	20,00	0,56	1,00	37	12	208	4	20	84,9
0,71	4,9	5,9	2,5	3,5	ZTR417SPH832_0160 EZ702U	17	55	610	16,00	0,59	1,06	31	10	216	4	17	72,2
0,71	6,8	8,6	3,5	2,5	ZTR417SPH832_0160 EZ703U	27	55	967	16,00	0,59	1,06	31	10	216	4	17	72,2
0,71	8,8	12	4,5	2,0	ZTR417SPH832_0160 EZ705U	35	55	1263	16,00	0,59	1,06	31	10	216	4	17	72,2
0,71	9,2	15	4,7	1,9	ZTR417SPH832_0160 EZ802U	35	55	1263	16,00	0,59	1,06	31	10	216	4	17	72,2
0,71	11	20	5,6	1,6	ZTR417SPH832_0160 EZ803U	35	55	1263	16,00	0,59	1,06	31	10	216	4	17	72,2
0,83	4,2	5,0	2,5	4,1	ZTR420SPH832_0160 EZ702U	14	50	610	16,00	0,69	1,25	37	12	206	4	20	84,9
0,83	5,8	7,3	3,5	2,9	ZTR420SPH832_0160 EZ703U	23	50	967	16,00	0,69	1,25	37	12	206	4	20	84,9
0,83	7,5	11	4,5	2,3	ZTR420SPH832_0160 EZ705U	36	50	1511	16,00	0,69	1,25	37	12	206	4	20	84,9
0,83	7,8	13	4,7	2,2	ZTR420SPH832_0160 EZ802U	35	50	1488	16,00	0,69	1,25	37	12	206	4	20	84,9
0,83	9,3	17	5,6	1,8	ZTR420SPH832_0160 EZ803U	36	50	1511	16,00	0,69	1,25	37	12	206	4	20	84,9
1,13	5,9	9,9	2,5	2,5	ZTR417SPH831_0100 EZ802U	27	55	960	10,00	0,83	1,51	31	10	201	4	17	72,2
1,13	7,1	13	2,9	2,1	ZTR417SPH831_0100 EZ803U	35	55	1263	10,00	0,83	1,51	31	10	201	4	17	72,2
1,33	5,0	8,4	2,5	2,9	ZTR420SPH831_0100 EZ802U	23	50	960	10,00	0,98	1,78	37	12	188	4	20	84,9
1,33	6,0	11	2,9	2,4	ZTR420SPH831_0100 EZ803U	33	50	1392	10,00	0,98	1,78	37	12	188	4	20	84,9
1,62	4,2	6,9	2,9	3,1	ZTR417SPH831_0070 EZ802U	19	55	672	7,000	1,08	2,16	31	10	213	4	17	72,2
1,62	5,0	9,0	3,5	2,6	ZTR417SPH831_0070 EZ803U	27	55	974	7,000	1,08	2,16	31	10	213	4	17	72,2
1,91	3,5	5,9	2,9	3,7	ZTR420SPH831_0070 EZ802U	16	50	672	7,000	1,27	2,54	37	12	203	4	20	84,9
1,91	4,2	7,6	3,5	3,1	ZTR420SPH831_0070 EZ803U	23	50	974	7,000	1,27	2,54	37	12	203	4	20	84,9
2,27	3,0	4,9	4,4	3,9	ZTR417SPH831_0050 EZ802U	13	55	480	5,000	1,21	3,02	31	10	222	4	17	72,2
2,27	3,5	6,4	5,2	3,3	ZTR417SPH831_0050 EZ803U	19	55	696	5,000	1,21	3,02	31	10	222	4	17	72,2
2,67	2,5	4,2	4,4	4,6	ZTR420SPH831_0050 EZ802U	11	50	480	5,000	1,42	3,56	37	12	214	4	20	84,9
2,67	3,0	5,5	5,2	3,8	ZTR420SPH831_0050 EZ803U	16	50	696	5,000	1,42	3,56	37	12	214	4	20	84,9
2,83	2,4	3,9	7,2	4,6	ZTR417SPH831_0040 EZ802U	11	55	384	4,000	1,32	3,31	31	10	223	4	17	72,2
2,83	2,8	5,1	8,6	3,8	ZTR417SPH831_0040 EZ803U	15	55	557	4,000	1,32	3,31	31	10	223	4	17	72,2
3,33	2,4	4,4	8,6	4,5	ZTR420SPH831_0040 EZ803U	13	47	557	4,000	1,56	3,89	37	12	215	4	20	84,9
ZTR4PH8 ($n_{1N} = 4500 \text{ min}^{-1}$, ($F_{Z2acc,max} = 36 \text{ kN}$))																	
0,24	19	62	1,0	1,3	ZTR417SPH832_0700 EZ802U	35	55	1263	70,00	0,16	0,32	31	10	210	4	17	72,2
0,24	22	36	1,1	1,1	ZTR417SPH832_0700 EZ703U	35	55	1263	70,00	0,16	0,32	31	10	210	4	17	72,2
0,29	16	53	1,0	1,5	ZTR420SPH832_0700 EZ802U	36	50	1511	70,00	0,19	0,38	37	12	199	4	20	84,9
0,29	19	31	1,1	1,3	ZTR420SPH832_0700 EZ703U	36	50	1511	70,00	0,19	0,38	37	12	199	4	20	84,9
0,34	14	44	1,1	1,6	ZTR417SPH832_0500 EZ802U	35	55	1263	50,00	0,23	0,45	31	10	216	4	17	72,2
0,34	16	26	1,3	1,4	ZTR417SPH832_0500 EZ703U	35	55	1263	50,00	0,23	0,45	31	10	216	4	17	72,2
0,34	21	39	1,8	1,0	ZTR417SPH832_0500 EZ705U	35	55	1263	50,00	0,23	0,45	31	10	216	4	17	72,2
0,40	12	38	1,1	1,9	ZTR420SPH832_0500 EZ802U	36	50	1511	50,00	0,27	0,53	37	12	205	4	20	84,9
0,40	13	22	1,3	1,6	ZTR420SPH832_0500 EZ703U	36	50	1511	50,00	0,27	0,53	37	12	205	4	20	84,9
0,40	18	33	1,8	1,2	ZTR420SPH832_0500 EZ705U	36	50	1511	50,00	0,27	0,53	37	12	205	4	20	84,9
0,43	11	36	1,6	1,9	ZTR417SPH832_0400 EZ802U	35	55	1263	40,00	0,28	0,57	31	10	213	4	17	72,2
0,43	12	21	1,8	1,6	ZTR417SPH832_0400 EZ703U	35	55	1263	40,00	0,28	0,57	31	10	213	4	17	72,2
0,43	17	31	2,5	1,2	ZTR417SPH832_0400 EZ705U	35	55	1263	40,00	0,28	0,57	31	10	213	4	17	72,2

v_{Z2N} [m/s]	F_{Z2N} [kN]	$F_{Z2,0}$ [kN]	a_{th}	S	Typ	F_{Z2acc} [kN]	F_{Z2NOT} [kN]	M_{Z2acc} [Nm]	i	$v_{Z2maxDB}$ [m/s]	$v_{Z2maxZB}$ [m/s]	Δs [μm]	Δs_{red} [μm]	C_{lin} [N/μm]	m_n [mm]	z	d_0 [mm]
ZTR4PH8 ($n_{1N} = 4500 \text{ min}^{-1}$, ($F_{Z2acc,max} = 36 \text{ kN}$))																	
0,49	9,5	31	1,4	2,1	ZTR417SPH832_0350 EZ802U	35	55	1263	35,00	0,32	0,65	31	10	217	4	17	72,2
0,49	11	18	1,6	1,8	ZTR417SPH832_0350 EZ703U	35	55	1263	35,00	0,32	0,65	31	10	217	4	17	72,2
0,49	15	27	2,1	1,3	ZTR417SPH832_0350 EZ705U	35	55	1263	35,00	0,32	0,65	31	10	217	4	17	72,2
0,50	9,2	30	1,6	2,2	ZTR420SPH832_0400 EZ802U	36	50	1511	40,00	0,33	0,67	37	12	202	4	20	84,9
0,50	11	18	1,8	1,9	ZTR420SPH832_0400 EZ703U	36	50	1511	40,00	0,33	0,67	37	12	202	4	20	84,9
0,50	14	26	2,5	1,4	ZTR420SPH832_0400 EZ705U	36	50	1511	40,00	0,33	0,67	37	12	202	4	20	84,9
0,57	8,1	26	1,4	2,4	ZTR420SPH832_0350 EZ802U	36	50	1511	35,00	0,38	0,76	37	12	207	4	20	84,9
0,57	9,3	15	1,6	2,1	ZTR420SPH832_0350 EZ703U	36	50	1511	35,00	0,38	0,76	37	12	207	4	20	84,9
0,57	13	23	2,1	1,5	ZTR420SPH832_0350 EZ705U	36	50	1511	35,00	0,38	0,76	37	12	207	4	20	84,9
0,61	7,6	25	1,9	2,4	ZTR417SPH832_0280 EZ802U	35	55	1263	28,00	0,41	0,81	31	10	215	4	17	72,2
0,61	8,7	14	2,2	2,1	ZTR417SPH832_0280 EZ703U	35	55	1263	28,00	0,41	0,81	31	10	215	4	17	72,2
0,61	12	22	3,0	1,5	ZTR417SPH832_0280 EZ705U	35	55	1263	28,00	0,41	0,81	31	10	215	4	17	72,2
0,68	6,8	22	1,6	2,6	ZTR417SPH832_0250 EZ802U	35	55	1263	25,00	0,41	0,83	31	10	218	4	17	72,2
0,68	7,8	13	1,9	2,2	ZTR417SPH832_0250 EZ703U	35	55	1263	25,00	0,41	0,83	31	10	218	4	17	72,2
0,68	11	19	2,5	1,6	ZTR417SPH832_0250 EZ705U	35	55	1263	25,00	0,41	0,83	31	10	218	4	17	72,2
0,71	6,4	21	1,9	2,8	ZTR420SPH832_0280 EZ802U	36	50	1511	28,00	0,48	0,95	37	12	204	4	20	84,9
0,71	7,4	12	2,2	2,4	ZTR420SPH832_0280 EZ703U	36	50	1511	28,00	0,48	0,95	37	12	204	4	20	84,9
0,71	10	18	3,0	1,8	ZTR420SPH832_0280 EZ705U	36	50	1511	28,00	0,48	0,95	37	12	204	4	20	84,9
0,80	5,8	19	1,6	3,0	ZTR420SPH832_0250 EZ802U	36	50	1511	25,00	0,48	0,98	37	12	208	4	20	84,9
0,80	6,6	11	1,9	2,6	ZTR420SPH832_0250 EZ703U	36	50	1511	25,00	0,48	0,98	37	12	208	4	20	84,9
0,80	9,0	16	2,5	1,9	ZTR420SPH832_0250 EZ705U	36	50	1511	25,00	0,48	0,98	37	12	208	4	20	84,9
0,85	5,4	18	1,8	3,0	ZTR417SPH832_0200 EZ802U	35	55	1263	20,00	0,47	0,85	31	10	218	4	17	72,2
0,85	6,2	10	2,1	2,6	ZTR417SPH832_0200 EZ703U	34	55	1209	20,00	0,47	0,85	31	10	218	4	17	72,2
0,85	8,5	15	2,8	1,9	ZTR417SPH832_0200 EZ705U	35	55	1263	20,00	0,47	0,85	31	10	218	4	17	72,2
1,00	4,6	15	1,8	3,5	ZTR420SPH832_0200 EZ802U	36	50	1511	20,00	0,56	1,00	37	12	208	4	20	84,9
1,00	5,3	8,8	2,1	3,0	ZTR420SPH832_0200 EZ703U	28	50	1209	20,00	0,56	1,00	37	12	208	4	20	84,9
1,00	7,2	13	2,8	2,2	ZTR420SPH832_0200 EZ705U	36	50	1511	20,00	0,56	1,00	37	12	208	4	20	84,9
1,06	4,3	14	2,5	3,5	ZTR417SPH832_0160 EZ802U	35	55	1263	16,00	0,59	1,06	31	10	216	4	17	72,2
1,06	5,0	8,2	2,9	3,0	ZTR417SPH832_0160 EZ703U	27	55	967	16,00	0,59	1,06	31	10	216	4	17	72,2
1,06	6,8	12	3,9	2,2	ZTR417SPH832_0160 EZ705U	35	55	1263	16,00	0,59	1,06	31	10	216	4	17	72,2
1,25	3,7	12	2,5	4,0	ZTR420SPH832_0160 EZ802U	35	50	1488	16,00	0,69	1,25	37	12	206	4	20	84,9
1,25	4,2	7,0	2,9	3,5	ZTR420SPH832_0160 EZ703U	23	50	967	16,00	0,69	1,25	37	12	206	4	20	84,9
1,25	5,7	11	3,9	2,6	ZTR420SPH832_0160 EZ705U	36	50	1511	16,00	0,69	1,25	37	12	206	4	20	84,9
ZTR4PH8 ($n_{1N} = 6000 \text{ min}^{-1}$, ($F_{Z2acc,max} = 36 \text{ kN}$))																	
0,23	13	20	0,6	1,4	ZTR417SPH832_1000 EZ701U	35	55	1263	100,0	0,11	0,23	31	10	200	4	17	72,2
0,23	19	37	0,9	1,0	ZTR417SPH832_1000 EZ702U	35	55	1263	100,0	0,11	0,23	31	10	200	4	17	72,2
0,27	11	17	0,6	1,4	ZTR420SPH832_1000 EZ701U	33	50	1380	100,0	0,13	0,27	37	12	186	4	20	84,9
0,27	16	31	0,9	1,0	ZTR420SPH832_1000 EZ702U	33	50	1380	100,0	0,13	0,27	37	12	186	4	20	84,9
0,32	9,4	14	0,5	2,4	ZTR417SPH832_0700 EZ701U	35	55	1263	70,00	0,16	0,32	31	10	210	4	17	72,2
0,32	13	26	0,7	1,7	ZTR417SPH832_0700 EZ702U	35	55	1263	70,00	0,16	0,32	31	10	210	4	17	72,2
0,38	8,0	12	0,5	2,8	ZTR420SPH832_0700 EZ701U	31	50	1302	70,00	0,19	0,38	37	12	199	4	20	84,9
0,38	11	22	0,7	2,0	ZTR420SPH832_0700 EZ702U	36	50	1511	70,00	0,19	0,38	37	12	199	4	20	84,9
0,45	6,7	10	0,6	3,0	ZTR417SPH832_0500 EZ701U	26	55	930	50,00	0,23	0,45	31	10	216	4	17	72,2
0,45	9,3	18	0,9	2,1	ZTR417SPH832_0500 EZ702U	35	55	1263	50,00	0,23	0,45	31	10	216	4	17	72,2
0,53	5,7	8,7	0,6	3,5	ZTR420SPH832_0500 EZ701U	22	50	930	50,00	0,27	0,53	37	12	205	4	20	84,9
0,53	7,9	16	0,9	2,5	ZTR420SPH832_0500 EZ702U	36	50	1511	50,00	0,27	0,53	37	12	205	4	20	84,9
0,57	5,4	8,1	0,9	3,4	ZTR417SPH832_0400 EZ701U	21	55	744	40,00	0,28	0,57	31	10	213	4	17	72,2
0,57	7,4	15	1,2	2,5	ZTR417SPH832_0400 EZ702U	35	55	1263	40,00	0,28	0,57	31	10	213	4	17	72,2
0,65	4,7	7,1	0,7	3,8	ZTR417SPH832_0350 EZ701U	18	55	651	35,00	0,32	0,65	31	10	217	4	17	72,2
0,65	6,5	13	1,0	2,7	ZTR417SPH832_0350 EZ702U	35	55	1263	35,00	0,32	0,65	31	10	217	4	17	72,2
0,67	4,6	6,9	0,9	4,0	ZTR420SPH832_0400 EZ701U	18	50	744	40,00	0,33	0,67	37	12	202	4	20	84,9
0,67	6,3	13	1,2	2,9	ZTR420SPH832_0400 EZ702U	36	50	1511	40,00	0,33	0,67	37	12	202	4	20	84,9
0,76	4,0	6,1	0,7	4,4	ZTR420SPH832_0350 EZ701U	15	50	651	35,00	0,38	0,76	37	12	207	4	20	84,9
0,76	5,5	11	1,0	3,2	ZTR420SPH832_0350 EZ702U	31	50	1335	35,00	0,38	0,76	37	12	207	4	20	84,9
0,81	3,8	5,7	1,0	4,4	ZTR417SPH832_0280 EZ701U	14	55	521	28,00	0,41	0,81	31	10	215	4	17	72,2
0,81	5,2	10	1,4	3,2	ZTR417SPH832_0280 EZ702U	30	55	1068	28,00	0,41	0,81	31	10	215	4	17	72,2
0,95	4,4	8,8	1,4	3,7	ZTR420SPH832_0280 EZ702U	25	50	1068	28,00	0,48	0,95	37	12	204	4	20	84,9
ZTR5PH8 ($n_{1N} = 2000 \text{ min}^{-1}$, ($F_{Z2acc,max} = 34 \text{ kN}$))																	
0,40	21	32	5,7	1,0	ZTR518SPH832_0250 EZ805U	34	44	1621	25,00	0,54	1,10	42	14	203	5	18	95,5
0,50	17	26	6,6	1,2	ZTR518SPH832_0200 EZ805U	34	44	1621	20,00	0,63	1,13	42	14	204	5	18	95,5
0,63	14	21	8,4	1,4	ZTR518SPH832_0160 EZ805U	34	44	1621	16,00	0,78	1,41	42	14	201	5	18	95,5
1,00	8,8	13	4,2	1,8	ZTR518SPH831_0100 EZ805U	29	44	1392	10,00	1,10	2,00	42	14	179	5	18	95,5
1,43	6,2	9,3	5,0	2,3	ZTR518SPH831_0070 EZ805U	29	44	1378	7,000	1,43	2,86	42	14	197	5	18	95,5
2,00	4,4	6,6	7,5	2,9	ZTR518SPH831_0050 EZ805U	21	44	984	5,000	1,60	4,00	42	14	210	5	18	95,5
2,50	3,5	5,3	12	3,4	ZTR518SPH831_0040 EZ805U	16	42	787	4,000	1,75	4,38	42	14	212	5	18	95,5

5.2 Auswahltabelle 5 Zahnstangentriebe ZTRPH

v_{Z2N} [m/s]	F_{Z2N} [kN]	$F_{Z2,0}$ [kN]	a_{th}	S	Typ	F_{Z2acc} [kN]	F_{Z2NOT} [kN]	M_{Z2acc} [Nm]	i	$v_{Z2maxDB}$ [m/s]	$v_{Z2maxZB}$ [m/s]	Δs [μm]	Δs_{red} [μm]	C_{lin} [N/μm]	m_n [mm]	z	d_0 [mm]
ZTR5PH8 ($n_{1N} = 3000 \text{ min}^{-1}$, ($F_{Z2acc,max} = 34 \text{ kN}$))																	
0,15	14	16	0,7	1,3	ZTR518SPH832_1000 EZ701U	29	44	1380	100,0	0,15	0,30	42	14	177	5	18	95,5
0,21	10	11	0,6	2,6	ZTR518SPH832_0700 EZ701U	27	44	1302	70,00	0,21	0,43	42	14	192	5	18	95,5
0,21	16	20	1,0	1,6	ZTR518SPH832_0700 EZ702U	34	44	1621	70,00	0,21	0,43	42	14	192	5	18	95,5
0,21	22	28	1,3	1,2	ZTR518SPH832_0700 EZ703U	34	44	1621	70,00	0,21	0,43	42	14	192	5	18	95,5
0,30	7,2	8,1	0,7	3,4	ZTR518SPH832_0500 EZ701U	19	44	930	50,00	0,30	0,60	42	14	200	5	18	95,5
0,30	12	14	1,1	2,1	ZTR518SPH832_0500 EZ702U	34	44	1621	50,00	0,30	0,60	42	14	200	5	18	95,5
0,30	16	20	1,6	1,5	ZTR518SPH832_0500 EZ703U	34	44	1621	50,00	0,30	0,60	42	14	200	5	18	95,5
0,30	21	29	2,0	1,2	ZTR518SPH832_0500 EZ705U	34	44	1621	50,00	0,30	0,60	42	14	200	5	18	95,5
0,30	22	36	2,1	1,1	ZTR518SPH832_0500 EZ802U	34	44	1621	50,00	0,30	0,60	42	14	200	5	18	95,5
0,38	5,8	6,5	1,0	3,7	ZTR518SPH832_0400 EZ701U	16	44	744	40,00	0,38	0,75	42	14	195	5	18	95,5
0,38	9,3	11	1,6	2,3	ZTR518SPH832_0400 EZ702U	32	44	1525	40,00	0,38	0,75	42	14	195	5	18	95,5
0,38	13	16	2,2	1,7	ZTR518SPH832_0400 EZ703U	34	44	1621	40,00	0,38	0,75	42	14	195	5	18	95,5
0,38	17	24	2,8	1,3	ZTR518SPH832_0400 EZ705U	34	44	1621	40,00	0,38	0,75	42	14	195	5	18	95,5
0,38	17	29	2,9	1,2	ZTR518SPH832_0400 EZ802U	34	44	1621	40,00	0,38	0,75	42	14	195	5	18	95,5
0,38	21	38	3,5	1,0	ZTR518SPH832_0400 EZ803U	34	44	1621	40,00	0,38	0,75	42	14	195	5	18	95,5
0,43	5,0	5,7	0,8	4,3	ZTR518SPH832_0350 EZ701U	14	44	651	35,00	0,43	0,86	42	14	202	5	18	95,5
0,43	8,2	9,8	1,4	2,6	ZTR518SPH832_0350 EZ702U	28	44	1335	35,00	0,43	0,86	42	14	202	5	18	95,5
0,43	11	14	1,9	1,9	ZTR518SPH832_0350 EZ703U	34	44	1621	35,00	0,43	0,86	42	14	202	5	18	95,5
0,43	15	21	2,4	1,5	ZTR518SPH832_0350 EZ705U	34	44	1621	35,00	0,43	0,86	42	14	202	5	18	95,5
0,43	15	25	2,5	1,4	ZTR518SPH832_0350 EZ802U	34	44	1621	35,00	0,43	0,86	42	14	202	5	18	95,5
0,43	18	33	3,0	1,2	ZTR518SPH832_0350 EZ803U	34	44	1621	35,00	0,43	0,86	42	14	202	5	18	95,5
0,54	4,0	4,5	1,2	5,0	ZTR518SPH832_0280 EZ701U	11	44	521	28,00	0,54	1,07	42	14	199	5	18	95,5
0,54	6,5	7,9	1,9	3,1	ZTR518SPH832_0280 EZ702U	22	44	1068	28,00	0,54	1,07	42	14	199	5	18	95,5
0,54	9,0	11	2,6	2,2	ZTR518SPH832_0280 EZ703U	34	44	1621	28,00	0,54	1,07	42	14	199	5	18	95,5
0,54	12	16	3,4	1,7	ZTR518SPH832_0280 EZ705U	34	44	1621	28,00	0,54	1,07	42	14	199	5	18	95,5
0,54	12	20	3,5	1,6	ZTR518SPH832_0280 EZ802U	34	44	1621	28,00	0,54	1,07	42	14	199	5	18	95,5
0,54	15	26	4,2	1,4	ZTR518SPH832_0280 EZ803U	34	44	1621	28,00	0,54	1,07	42	14	199	5	18	95,5
0,60	5,8	7,0	1,6	3,3	ZTR518SPH832_0250 EZ702U	20	44	953	25,00	0,54	1,10	42	14	203	5	18	95,5
0,60	8,0	10	2,2	2,4	ZTR518SPH832_0250 EZ703U	32	44	1511	25,00	0,54	1,10	42	14	203	5	18	95,5
0,60	10	15	2,9	1,9	ZTR518SPH832_0250 EZ705U	34	44	1621	25,00	0,54	1,10	42	14	203	5	18	95,5
0,60	11	18	3,0	1,8	ZTR518SPH832_0250 EZ802U	34	44	1621	25,00	0,54	1,10	42	14	203	5	18	95,5
0,60	13	23	3,6	1,5	ZTR518SPH832_0250 EZ803U	34	44	1621	25,00	0,54	1,10	42	14	203	5	18	95,5
0,75	4,7	5,6	1,8	3,8	ZTR518SPH832_0200 EZ702U	16	44	763	20,00	0,63	1,13	42	14	204	5	18	95,5
0,75	6,4	8,1	2,5	2,8	ZTR518SPH832_0200 EZ703U	25	44	1209	20,00	0,63	1,13	42	14	204	5	18	95,5
0,75	8,3	12	3,2	2,2	ZTR518SPH832_0200 EZ705U	34	44	1621	20,00	0,63	1,13	42	14	204	5	18	95,5
0,75	8,7	14	3,4	2,1	ZTR518SPH832_0200 EZ802U	34	44	1621	20,00	0,63	1,13	42	14	204	5	18	95,5
0,75	10	19	4,0	1,7	ZTR518SPH832_0200 EZ803U	34	44	1621	20,00	0,63	1,13	42	14	204	5	18	95,5
0,94	3,7	4,5	2,5	4,4	ZTR518SPH832_0160 EZ702U	13	44	610	16,00	0,78	1,41	42	14	201	5	18	95,5
0,94	5,1	6,5	3,5	3,2	ZTR518SPH832_0160 EZ703U	20	44	967	16,00	0,78	1,41	42	14	201	5	18	95,5
0,94	6,6	9,4	4,5	2,5	ZTR518SPH832_0160 EZ705U	32	44	1548	16,00	0,78	1,41	42	14	201	5	18	95,5
0,94	6,9	12	4,7	2,4	ZTR518SPH832_0160 EZ802U	31	44	1488	16,00	0,78	1,41	42	14	201	5	18	95,5
0,94	8,3	15	5,6	2,0	ZTR518SPH832_0160 EZ803U	34	44	1621	16,00	0,78	1,41	42	14	201	5	18	95,5
1,50	4,5	7,5	2,5	3,2	ZTR518SPH831_0100 EZ802U	20	44	960	10,00	1,10	2,00	42	14	179	5	18	95,5
1,50	5,3	9,7	2,9	2,6	ZTR518SPH831_0100 EZ803U	29	44	1392	10,00	1,10	2,00	42	14	179	5	18	95,5
2,14	3,1	5,2	2,9	4,0	ZTR518SPH831_0070 EZ802U	14	44	672	7,000	1,43	2,86	42	14	197	5	18	95,5
2,14	3,7	6,8	3,5	3,4	ZTR518SPH831_0070 EZ803U	20	44	974	7,000	1,43	2,86	42	14	197	5	18	95,5
3,00	2,7	4,8	5,2	4,2	ZTR518SPH831_0050 EZ803U	15	44	696	5,000	1,60	4,00	42	14	210	5	18	95,5
3,75	2,1	3,9	8,6	4,9	ZTR518SPH831_0040 EZ803U	12	42	557	4,000	1,75	4,38	42	14	212	5	18	95,5
ZTR5PH8 ($n_{1N} = 4500 \text{ min}^{-1}$, ($F_{Z2acc,max} = 34 \text{ kN}$))																	
0,32	14	47	1,0	1,6	ZTR518SPH832_0700 EZ802U	34	44	1621	70,00	0,21	0,43	42	14	192	5	18	95,5
0,32	16	27	1,1	1,4	ZTR518SPH832_0700 EZ703U	34	44	1621	70,00	0,21	0,43	42	14	192	5	18	95,5
0,32	22	41	1,5	1,0	ZTR518SPH832_0700 EZ705U	34	44	1621	70,00	0,21	0,43	42	14	192	5	18	95,5
0,45	10	34	1,1	2,1	ZTR518SPH832_0500 EZ802U	34	44	1621	50,00	0,30	0,60	42	14	200	5	18	95,5
0,45	12	19	1,3	1,8	ZTR518SPH832_0500 EZ703U	34	44	1621	50,00	0,30	0,60	42	14	200	5	18	95,5
0,45	16	29	1,8	1,3	ZTR518SPH832_0500 EZ705U	34	44	1621	50,00	0,30	0,60	42	14	200	5	18	95,5
0,56	8,2	27	1,6	2,3	ZTR518SPH832_0400 EZ802U	34	44	1621	40,00	0,38	0,75	42	14	195	5	18	95,5
0,56	9,4	16	1,8	2,0	ZTR518SPH832_0400 EZ703U	34	44	1621	40,00	0,38	0,75	42	14	195	5	18	95,5
0,56	13	23	2,5	1,5	ZTR518SPH832_0400 EZ705U	34	44	1621	40,00	0,38	0,75	42	14	195	5	18	95,5
0,64	7,2	24	1,4	2,6	ZTR518SPH832_0350 EZ802U	34	44	1621	35,00	0,43	0,86	42	14	202	5	18	95,5
0,64	8,2	14	1,6	2,3	ZTR518SPH832_0350 EZ703U	34	44	1621	35,00	0,43	0,86	42	14	202	5	18	95,5
0,64	11	20	2,1	1,7	ZTR518SPH832_0350 EZ705U	34	44	1621	35,00	0,43	0,86	42	14	202	5	18	95,5
0,80	5,7	19	1,9	3,1	ZTR518SPH832_0280 EZ802U	34	44	1621	28,00	0,54	1,07	42	14	199	5	18	95,5
0,80	6,6	11	2,2	2,7	ZTR518SPH832_0280 EZ703U	34	44	1621	28,00	0,54	1,07	42	14	199	5	18	95,5
0,80	8,9	16	3,0	2,0	ZTR518SPH832_0280 EZ705U	34	44	1621	28,00	0,54	1,07	42	14	199	5	18	95,5
0,90	5,1	17	1,6	3,3	ZTR518SPH832_0250 EZ802U	34	44	1621	25,00	0,54	1,10	42	14	203	5	18	95,5
0,90	5,9	9,7	1,9	2,9	ZTR518SPH832_0250 EZ703U	32	44	1511	25,00	0,54	1,10	42	14	203	5	18	95,5

v_{Z2N} [m/s]	F_{Z2N} [kN]	$F_{Z2,0}$ [kN]	a_{th}	S	Typ	F_{Z2acc} [kN]	F_{Z2NOT} [kN]	M_{Z2acc} [Nm]	i	$v_{Z2maxDB}$ [m/s]	$v_{Z2maxZB}$ [m/s]	Δs [μm]	Δs_{red} [μm]	C_{lin} [N/μm]	m_n [mm]	z	d_0 [mm]
ZTR5PH8 ($n_{1N} = 4500 \text{ min}^{-1}$, ($F_{Z2acc,max} = 34 \text{ kN}$))																	
0,90	8,0	15	2,5	2,1	ZTR518SPH832_0250 EZ705U	34	44	1621	25,00	0,54	1,10	42	14	203	5	18	95,5
1,13	4,1	13	1,8	3,8	ZTR518SPH832_0200 EZ802U	34	44	1621	20,00	0,63	1,13	42	14	204	5	18	95,5
1,13	4,7	7,8	2,1	3,3	ZTR518SPH832_0200 EZ703U	25	44	1209	20,00	0,63	1,13	42	14	204	5	18	95,5
1,13	6,4	12	2,8	2,4	ZTR518SPH832_0200 EZ705U	34	44	1621	20,00	0,63	1,13	42	14	204	5	18	95,5
1,41	3,3	11	2,5	4,4	ZTR518SPH832_0160 EZ802U	31	44	1488	16,00	0,78	1,41	42	14	201	5	18	95,5
1,41	3,8	6,2	2,9	3,9	ZTR518SPH832_0160 EZ703U	20	44	967	16,00	0,78	1,41	42	14	201	5	18	95,5
1,41	5,1	9,3	3,9	2,8	ZTR518SPH832_0160 EZ705U	32	44	1548	16,00	0,78	1,41	42	14	201	5	18	95,5
ZTR5PH8 ($n_{1N} = 6000 \text{ min}^{-1}$, ($F_{Z2acc,max} = 34 \text{ kN}$))																	
0,30	10	15	0,6	1,4	ZTR518SPH832_1000 EZ701U	29	44	1380	100,0	0,15	0,30	42	14	177	5	18	95,5
0,30	14	28	0,9	1,0	ZTR518SPH832_1000 EZ702U	29	44	1380	100,0	0,15	0,30	42	14	177	5	18	95,5
0,43	7,1	11	0,5	3,0	ZTR518SPH832_0700 EZ701U	27	44	1302	70,00	0,21	0,43	42	14	192	5	18	95,5
0,43	9,8	19	0,7	2,1	ZTR518SPH832_0700 EZ702U	34	44	1621	70,00	0,21	0,43	42	14	192	5	18	95,5
0,60	5,1	7,7	0,6	3,8	ZTR518SPH832_0500 EZ701U	19	44	930	50,00	0,30	0,60	42	14	200	5	18	95,5
0,60	7,0	14	0,9	2,8	ZTR518SPH832_0500 EZ702U	34	44	1621	50,00	0,30	0,60	42	14	200	5	18	95,5
0,75	4,1	6,2	0,9	4,2	ZTR518SPH832_0400 EZ701U	16	44	744	40,00	0,38	0,75	42	14	195	5	18	95,5
0,75	5,6	11	1,2	3,0	ZTR518SPH832_0400 EZ702U	32	44	1525	40,00	0,38	0,75	42	14	195	5	18	95,5
0,86	3,5	5,4	0,7	4,8	ZTR518SPH832_0350 EZ701U	14	44	651	35,00	0,43	0,86	42	14	202	5	18	95,5
0,86	4,9	9,7	1,0	3,5	ZTR518SPH832_0350 EZ702U	28	44	1335	35,00	0,43	0,86	42	14	202	5	18	95,5
1,07	3,9	7,8	1,4	4,0	ZTR518SPH832_0280 EZ702U	22	44	1068	28,00	0,54	1,07	42	14	199	5	18	95,5
ZTR6PH8 ($n_{1N} = 2000 \text{ min}^{-1}$, ($F_{Z2acc,max} = 33 \text{ kN}$))																	
0,40	21	32	5,7	1,0	ZTR615SPH832_0250 EZ805U	33	44	1577	25,00	0,54	1,10	42	14	204	6	15	95,5
0,50	17	26	6,6	1,2	ZTR615SPH832_0200 EZ805U	33	44	1577	20,00	0,63	1,13	42	14	204	6	15	95,5
0,63	14	21	8,4	1,4	ZTR615SPH832_0160 EZ805U	33	44	1577	16,00	0,78	1,41	42	14	202	6	15	95,5
1,00	8,8	13	4,2	1,8	ZTR615SPH831_0100 EZ805U	29	44	1392	10,00	1,10	2,00	42	14	180	6	15	95,5
1,43	6,2	9,3	5,0	2,3	ZTR615SPH831_0070 EZ805U	29	44	1378	7,000	1,43	2,86	42	14	198	6	15	95,5
2,00	4,4	6,6	7,5	2,9	ZTR615SPH831_0050 EZ805U	21	44	984	5,000	1,60	4,00	42	14	211	6	15	95,5
2,50	3,5	5,3	12	3,4	ZTR615SPH831_0040 EZ805U	16	42	787	4,000	1,75	4,38	42	14	213	6	15	95,5
ZTR6PH8 ($n_{1N} = 3000 \text{ min}^{-1}$, ($F_{Z2acc,max} = 33 \text{ kN}$))																	
0,15	14	16	0,7	1,3	ZTR615SPH832_1000 EZ701U	29	44	1380	100,0	0,15	0,30	42	14	178	6	15	95,5
0,21	10	11	0,6	2,6	ZTR615SPH832_0700 EZ701U	27	44	1302	70,00	0,21	0,43	42	14	193	6	15	95,5
0,21	16	20	1,0	1,6	ZTR615SPH832_0700 EZ702U	33	44	1577	70,00	0,21	0,43	42	14	193	6	15	95,5
0,21	22	28	1,3	1,2	ZTR615SPH832_0700 EZ703U	33	44	1577	70,00	0,21	0,43	42	14	193	6	15	95,5
0,30	7,2	8,1	0,7	3,3	ZTR615SPH832_0500 EZ701U	19	44	930	50,00	0,30	0,60	42	14	201	6	15	95,5
0,30	12	14	1,1	2,0	ZTR615SPH832_0500 EZ702U	33	44	1577	50,00	0,30	0,60	42	14	201	6	15	95,5
0,30	16	20	1,6	1,5	ZTR615SPH832_0500 EZ703U	33	44	1577	50,00	0,30	0,60	42	14	201	6	15	95,5
0,30	21	29	2,0	1,2	ZTR615SPH832_0500 EZ705U	33	44	1577	50,00	0,30	0,60	42	14	201	6	15	95,5
0,30	22	36	2,1	1,1	ZTR615SPH832_0500 EZ802U	33	44	1577	50,00	0,30	0,60	42	14	201	6	15	95,5
0,38	5,8	6,5	1,0	3,7	ZTR615SPH832_0400 EZ701U	16	44	744	40,00	0,38	0,75	42	14	196	6	15	95,5
0,38	9,3	11	1,6	2,3	ZTR615SPH832_0400 EZ702U	32	44	1525	40,00	0,38	0,75	42	14	196	6	15	95,5
0,38	13	16	2,2	1,7	ZTR615SPH832_0400 EZ703U	33	44	1577	40,00	0,38	0,75	42	14	196	6	15	95,5
0,38	17	24	2,8	1,3	ZTR615SPH832_0400 EZ705U	33	44	1577	40,00	0,38	0,75	42	14	196	6	15	95,5
0,38	17	29	2,9	1,2	ZTR615SPH832_0400 EZ802U	33	44	1577	40,00	0,38	0,75	42	14	196	6	15	95,5
0,38	21	38	3,5	1,0	ZTR615SPH832_0400 EZ803U	33	44	1577	40,00	0,38	0,75	42	14	196	6	15	95,5
0,43	5,0	5,7	0,8	4,2	ZTR615SPH832_0350 EZ701U	14	44	651	35,00	0,43	0,86	42	14	203	6	15	95,5
0,43	8,2	9,8	1,4	2,6	ZTR615SPH832_0350 EZ702U	28	44	1335	35,00	0,43	0,86	42	14	203	6	15	95,5
0,43	11	14	1,9	1,9	ZTR615SPH832_0350 EZ703U	33	44	1577	35,00	0,43	0,86	42	14	203	6	15	95,5
0,43	15	21	2,4	1,5	ZTR615SPH832_0350 EZ705U	33	44	1577	35,00	0,43	0,86	42	14	203	6	15	95,5
0,43	15	25	2,5	1,4	ZTR615SPH832_0350 EZ802U	33	44	1577	35,00	0,43	0,86	42	14	203	6	15	95,5
0,43	18	33	3,0	1,2	ZTR615SPH832_0350 EZ803U	33	44	1577	35,00	0,43	0,86	42	14	203	6	15	95,5
0,54	4,0	4,5	1,2	4,9	ZTR615SPH832_0280 EZ701U	11	44	521	28,00	0,54	1,07	42	14	199	6	15	95,5
0,54	6,5	7,9	1,9	3,0	ZTR615SPH832_0280 EZ702U	22	44	1068	28,00	0,54	1,07	42	14	199	6	15	95,5
0,54	9,0	11	2,6	2,2	ZTR615SPH832_0280 EZ703U	33	44	1577	28,00	0,54	1,07	42	14	199	6	15	95,5
0,54	12	16	3,4	1,7	ZTR615SPH832_0280 EZ705U	33	44	1577	28,00	0,54	1,07	42	14	199	6	15	95,5
0,54	12	20	3,5	1,6	ZTR615SPH832_0280 EZ802U	33	44	1577	28,00	0,54	1,07	42	14	199	6	15	95,5
0,54	15	26	4,2	1,4	ZTR615SPH832_0280 EZ803U	33	44	1577	28,00	0,54	1,07	42	14	199	6	15	95,5
0,60	5,8	7,0	1,6	3,2	ZTR615SPH832_0250 EZ702U	20	44	953	25,00	0,54	1,10	42	14	204	6	15	95,5
0,60	8,0	10	2,2	2,4	ZTR615SPH832_0250 EZ703U	32	44	1511	25,00	0,54	1,10	42	14	204	6	15	95,5
0,60	10	15	2,9	1,8	ZTR615SPH832_0250 EZ705U	33	44	1577	25,00	0,54	1,10	42	14	204	6	15	95,5
0,60	11	18	3,0	1,7	ZTR615SPH832_0250 EZ802U	33	44	1577	25,00	0,54	1,10	42	14	204	6	15	95,5
0,60	13	23	3,6	1,5	ZTR615SPH832_0250 EZ803U	33	44	1577	25,00	0,54	1,10	42	14	204	6	15	95,5
0,75	4,7	5,6	1,8	3,8	ZTR615SPH832_0200 EZ702U	16	44	763	20,00	0,63	1,13	42	14	204	6	15	95,5
0,75	6,4	8,1	2,5	2,7	ZTR615SPH832_0200 EZ703U	25	44	1209	20,00	0,63	1,13	42	14	204	6	15	95,5
0,75	8,3	12	3,2	2,1	ZTR615SPH832_0200 EZ705U	33	44	1577	20,00	0,63	1,13	42	14	204	6	15	95,5
0,75	8,7	14	3,4	2,0	ZTR615SPH832_0200 EZ802U	33	44	1577	20,00	0,63	1,13	42	14	204	6	15	95,5
0,75	10	19	4,0	1,7	ZTR615SPH832_0200 EZ803U	33	44	1577	20,00	0,63	1,13	42	14	204	6	15	95,5
0,94	3,7	4,5	2,5	4,4	ZTR615SPH832_0160 EZ702U	13	44	610	16,00	0,78	1,41	42	14	202	6	15	95,5

5.2 Auswahltabelle 5 Zahnstangentriebe ZTRPH

v_{Z2N} [m/s]	F_{Z2N} [kN]	$F_{Z2,0}$ [kN]	a_{th}	S	Typ	F_{Z2acc} [kN]	F_{Z2NOT} [kN]	M_{Z2acc} [Nm]	i	$v_{Z2maxDB}$ [m/s]	$v_{Z2maxZB}$ [m/s]	Δs [μm]	Δs_{red} [μm]	C_{lin} [N/μm]	m_n [mm]	z	d_0 [mm]
ZTR6PH8 ($n_{1N} = 3000 \text{ min}^{-1}$, ($F_{Z2acc,max} = 33 \text{ kN}$))																	
0,94	5,1	6,5	3,5	3,2	ZTR615SPH832_0160 EZ703U	20	44	967	16,00	0,78	1,41	42	14	202	6	15	95,5
0,94	6,6	9,4	4,5	2,5	ZTR615SPH832_0160 EZ705U	32	44	1548	16,00	0,78	1,41	42	14	202	6	15	95,5
0,94	6,9	12	4,7	2,4	ZTR615SPH832_0160 EZ802U	31	44	1488	16,00	0,78	1,41	42	14	202	6	15	95,5
0,94	8,3	15	5,6	2,0	ZTR615SPH832_0160 EZ803U	33	44	1577	16,00	0,78	1,41	42	14	202	6	15	95,5
1,50	4,5	7,5	2,5	3,1	ZTR615SPH831_0100 EZ802U	20	44	960	10,00	1,10	2,00	42	14	180	6	15	95,5
1,50	5,3	9,7	2,9	2,6	ZTR615SPH831_0100 EZ803U	29	44	1392	10,00	1,10	2,00	42	14	180	6	15	95,5
2,14	3,1	5,2	2,9	4,0	ZTR615SPH831_0070 EZ802U	14	44	672	7,000	1,43	2,86	42	14	198	6	15	95,5
2,14	3,7	6,8	3,5	3,3	ZTR615SPH831_0070 EZ803U	20	44	974	7,000	1,43	2,86	42	14	198	6	15	95,5
3,00	2,2	3,7	4,4	4,9	ZTR615SPH831_0050 EZ802U	10	44	480	5,000	1,60	4,00	42	14	211	6	15	95,5
3,00	2,7	4,8	5,2	4,1	ZTR615SPH831_0050 EZ803U	15	44	696	5,000	1,60	4,00	42	14	211	6	15	95,5
3,75	2,1	3,9	8,6	4,8	ZTR615SPH831_0040 EZ803U	12	42	557	4,000	1,75	4,38	42	14	213	6	15	95,5
ZTR6PH8 ($n_{1N} = 4500 \text{ min}^{-1}$, ($F_{Z2acc,max} = 33 \text{ kN}$))																	
0,32	14	47	1,0	1,6	ZTR615SPH832_0700 EZ802U	33	44	1577	70,00	0,21	0,43	42	14	193	6	15	95,5
0,32	16	27	1,1	1,4	ZTR615SPH832_0700 EZ703U	33	44	1577	70,00	0,21	0,43	42	14	193	6	15	95,5
0,32	22	41	1,5	1,0	ZTR615SPH832_0700 EZ705U	33	44	1577	70,00	0,21	0,43	42	14	193	6	15	95,5
0,45	10	34	1,1	2,0	ZTR615SPH832_0500 EZ802U	33	44	1577	50,00	0,30	0,60	42	14	201	6	15	95,5
0,45	12	19	1,3	1,8	ZTR615SPH832_0500 EZ703U	33	44	1577	50,00	0,30	0,60	42	14	201	6	15	95,5
0,45	16	29	1,8	1,3	ZTR615SPH832_0500 EZ705U	33	44	1577	50,00	0,30	0,60	42	14	201	6	15	95,5
0,56	8,2	27	1,6	2,3	ZTR615SPH832_0400 EZ802U	33	44	1577	40,00	0,38	0,75	42	14	196	6	15	95,5
0,56	9,4	16	1,8	2,0	ZTR615SPH832_0400 EZ703U	33	44	1577	40,00	0,38	0,75	42	14	196	6	15	95,5
0,56	13	23	2,5	1,5	ZTR615SPH832_0400 EZ705U	33	44	1577	40,00	0,38	0,75	42	14	196	6	15	95,5
0,64	7,2	24	1,4	2,6	ZTR615SPH832_0350 EZ802U	33	44	1577	35,00	0,43	0,86	42	14	203	6	15	95,5
0,64	8,2	14	1,6	2,2	ZTR615SPH832_0350 EZ703U	33	44	1577	35,00	0,43	0,86	42	14	203	6	15	95,5
0,64	11	20	2,1	1,7	ZTR615SPH832_0350 EZ705U	33	44	1577	35,00	0,43	0,86	42	14	203	6	15	95,5
0,80	5,7	19	1,9	3,0	ZTR615SPH832_0280 EZ802U	33	44	1577	28,00	0,54	1,07	42	14	199	6	15	95,5
0,80	6,6	11	2,2	2,6	ZTR615SPH832_0280 EZ703U	33	44	1577	28,00	0,54	1,07	42	14	199	6	15	95,5
0,80	8,9	16	3,0	1,9	ZTR615SPH832_0280 EZ705U	33	44	1577	28,00	0,54	1,07	42	14	199	6	15	95,5
0,90	5,1	17	1,6	3,2	ZTR615SPH832_0250 EZ802U	33	44	1577	25,00	0,54	1,10	42	14	204	6	15	95,5
0,90	5,9	9,7	1,9	2,8	ZTR615SPH832_0250 EZ703U	32	44	1511	25,00	0,54	1,10	42	14	204	6	15	95,5
0,90	8,0	15	2,5	2,1	ZTR615SPH832_0250 EZ705U	33	44	1577	25,00	0,54	1,10	42	14	204	6	15	95,5
1,13	4,1	13	1,8	3,8	ZTR615SPH832_0200 EZ802U	33	44	1577	20,00	0,63	1,13	42	14	204	6	15	95,5
1,13	4,7	7,8	2,1	3,3	ZTR615SPH832_0200 EZ703U	25	44	1209	20,00	0,63	1,13	42	14	204	6	15	95,5
1,13	6,4	12	2,8	2,4	ZTR615SPH832_0200 EZ705U	33	44	1577	20,00	0,63	1,13	42	14	204	6	15	95,5
1,41	3,3	11	2,5	4,4	ZTR615SPH832_0160 EZ802U	31	44	1488	16,00	0,78	1,41	42	14	202	6	15	95,5
1,41	3,8	6,2	2,9	3,8	ZTR615SPH832_0160 EZ703U	20	44	967	16,00	0,78	1,41	42	14	202	6	15	95,5
1,41	5,1	9,3	3,9	2,8	ZTR615SPH832_0160 EZ705U	32	44	1548	16,00	0,78	1,41	42	14	202	6	15	95,5
ZTR6PH8 ($n_{1N} = 6000 \text{ min}^{-1}$, ($F_{Z2acc,max} = 33 \text{ kN}$))																	
0,30	10	15	0,6	1,4	ZTR615SPH832_1000 EZ701U	29	44	1380	100,0	0,15	0,30	42	14	178	6	15	95,5
0,30	14	28	0,9	1,0	ZTR615SPH832_1000 EZ702U	29	44	1380	100,0	0,15	0,30	42	14	178	6	15	95,5
0,43	7,1	11	0,5	3,0	ZTR615SPH832_0700 EZ701U	27	44	1302	70,00	0,21	0,43	42	14	193	6	15	95,5
0,43	9,8	19	0,7	2,1	ZTR615SPH832_0700 EZ702U	33	44	1577	70,00	0,21	0,43	42	14	193	6	15	95,5
0,60	5,1	7,7	0,6	3,7	ZTR615SPH832_0500 EZ701U	19	44	930	50,00	0,30	0,60	42	14	201	6	15	95,5
0,60	7,0	14	0,9	2,7	ZTR615SPH832_0500 EZ702U	33	44	1577	50,00	0,30	0,60	42	14	201	6	15	95,5
0,75	4,1	6,2	0,9	4,2	ZTR615SPH832_0400 EZ701U	16	44	744	40,00	0,38	0,75	42	14	196	6	15	95,5
0,75	5,6	11	1,2	3,0	ZTR615SPH832_0400 EZ702U	32	44	1525	40,00	0,38	0,75	42	14	196	6	15	95,5
0,86	3,5	5,4	0,7	4,7	ZTR615SPH832_0350 EZ701U	14	44	651	35,00	0,43	0,86	42	14	203	6	15	95,5
0,86	4,9	9,7	1,0	3,4	ZTR615SPH832_0350 EZ702U	28	44	1335	35,00	0,43	0,86	42	14	203	6	15	95,5
1,07	3,9	7,8	1,4	4,0	ZTR615SPH832_0280 EZ702U	22	44	1068	28,00	0,54	1,07	42	14	199	6	15	95,5
ZTR5PH9 ($n_{1N} = 2000 \text{ min}^{-1}$, ($F_{Z2acc,max} = 67 \text{ kN}$))																	
0,22	39	59	1,6	1,1	ZTR519SPH942_0480 EZ805U	67	133	3360	48,00	0,31	0,50	44	15	300	5	19	100,8
0,25	34	51	1,8	1,2	ZTR519SPH942_0420 EZ805U	67	133	3360	42,00	0,35	0,57	44	15	301	5	19	100,8
0,26	32	49	2,2	1,2	ZTR519SPH942_0400 EZ805U	67	133	3360	40,00	0,37	0,59	44	15	299	5	19	100,8
0,33	26	39	2,3	1,4	ZTR519SPH942_0320 EZ805U	67	133	3360	32,00	0,46	0,74	44	15	302	5	19	100,8
0,35	24	37	2,2	1,5	ZTR519SPH942_0300 EZ805U	67	133	3360	30,00	0,44	0,70	44	15	302	5	19	100,8
0,38	23	34	2,2	1,6	ZTR519SPH942_0280 EZ805U	67	133	3360	28,00	0,53	0,85	44	15	304	5	19	100,8
0,44	19	29	2,7	1,7	ZTR519SPH942_0240 EZ805U	67	133	3360	24,00	0,44	0,77	44	15	302	5	19	100,8
0,53	16	24	3,0	2,0	ZTR519SPH942_0200 EZ805U	67	133	3360	20,00	0,66	1,06	44	15	306	5	19	100,8
0,59	15	22	3,1	2,1	ZTR519SPH942_0180 EZ805U	67	133	3360	18,00	0,53	0,88	44	15	303	5	19	100,8
0,66	13	20	3,3	2,3	ZTR519SPH942_0160 EZ805U	61	133	3050	16,00	0,66	1,15	44	15	307	5	19	100,8
0,88	9,7	15	3,8	2,8	ZTR519SPH942_0120 EZ805U	45	114	2288	12,00	0,79	1,32	44	15	309	5	19	100,8
ZTR5PH9 ($n_{1N} = 3000 \text{ min}^{-1}$, ($F_{Z2acc,max} = 67 \text{ kN}$))																	
0,26	25	41	0,8	1,6	ZTR519SPH942_0600 EZ802U	67	133	3360	60,00	0,25	0,40	44	15	299	5	19	100,8
0,26	29	53	0,9	1,4	ZTR519SPH942_0600 EZ803U	67	133	3360	60,00	0,25	0,40	44	15	299	5	19	100,8
0,33	20	33	0,8	1,9	ZTR519SPH942_0480 EZ802U	67	133	3360	48,00	0,31	0,50	44	15	300	5	19	100,8
0,33	24	43	1,0	1,6	ZTR519SPH942_0480 EZ803U	67	133	3360	48,00	0,31	0,50	44	15	300	5	19	100,8
0,38	17	29	0,9	2,1	ZTR519SPH942_0420 EZ802U	67	133	3360	42,00	0,35	0,57	44	15	301	5	19	100,8

v_{I2N} [m/s]	F_{I2N} [kN]	$F_{I2,0}$ [kN]	a_{th}	S	Typ	F_{I2acc} [kN]	F_{I2NOT} [kN]	M_{I2acc} [Nm]	i	$v_{I2maxDB}$ [m/s]	$v_{I2maxZB}$ [m/s]	Δs [μm]	Δs_{red} [μm]	C_{lin} [N/μm]	m_n [mm]	z	d_0 [mm]
ZTR5PH9 ($n_{I1N} = 3000 \text{ min}^{-1}$, ($F_{I2acc,max} = 67 \text{ kN}$))																	
0,38	21	37	1,1	1,7	ZTR519SPH942_0420 EZ803U	67	133	3360	42,00	0,35	0,57	44	15	301	5	19	100,8
0,40	16	27	1,3	2,1	ZTR519SPH942_0400 EZ802U	67	133	3360	40,00	0,37	0,59	44	15	299	5	19	100,8
0,40	20	36	1,5	1,8	ZTR519SPH942_0400 EZ803U	67	133	3360	40,00	0,37	0,59	44	15	299	5	19	100,8
0,50	13	22	1,3	2,5	ZTR519SPH942_0320 EZ802U	59	133	2976	32,00	0,46	0,74	44	15	302	5	19	100,8
0,50	16	28	1,6	2,1	ZTR519SPH942_0320 EZ803U	67	133	3360	32,00	0,46	0,74	44	15	302	5	19	100,8
0,53	12	21	1,1	2,6	ZTR519SPH942_0300 EZ802U	55	133	2790	30,00	0,44	0,70	44	15	302	5	19	100,8
0,53	15	27	1,3	2,2	ZTR519SPH942_0300 EZ803U	67	133	3360	30,00	0,44	0,70	44	15	302	5	19	100,8
0,57	12	19	1,1	2,7	ZTR519SPH942_0280 EZ802U	52	133	2604	28,00	0,53	0,85	44	15	304	5	19	100,8
0,57	14	25	1,4	2,3	ZTR519SPH942_0280 EZ803U	67	133	3360	28,00	0,53	0,85	44	15	304	5	19	100,8
0,66	9,9	16	1,4	3,0	ZTR519SPH942_0240 EZ802U	44	133	2232	24,00	0,44	0,77	44	15	302	5	19	100,8
0,66	12	21	1,7	2,5	ZTR519SPH942_0240 EZ803U	64	133	3236	24,00	0,44	0,77	44	15	302	5	19	100,8
0,79	8,2	14	1,5	3,4	ZTR519SPH942_0200 EZ802U	37	133	1860	20,00	0,66	1,06	44	15	306	5	19	100,8
0,79	9,8	18	1,8	2,8	ZTR519SPH942_0200 EZ803U	54	133	2697	20,00	0,66	1,06	44	15	306	5	19	100,8
0,88	7,4	12	1,6	3,6	ZTR519SPH942_0180 EZ802U	33	133	1674	18,00	0,53	0,88	44	15	303	5	19	100,8
0,88	8,8	16	1,9	3,0	ZTR519SPH942_0180 EZ803U	48	133	2427	18,00	0,53	0,88	44	15	303	5	19	100,8
0,99	6,6	11	1,9	3,9	ZTR519SPH942_0160 EZ802U	30	133	1488	16,00	0,66	1,15	44	15	307	5	19	100,8
0,99	7,9	14	2,3	3,3	ZTR519SPH942_0160 EZ803U	43	133	2158	16,00	0,66	1,15	44	15	307	5	19	100,8
1,32	4,9	8,2	2,2	4,7	ZTR519SPH942_0120 EZ802U	22	114	1116	12,00	0,79	1,32	44	15	309	5	19	100,8
1,32	5,9	11	2,6	4,0	ZTR519SPH942_0120 EZ803U	32	114	1618	12,00	0,79	1,32	44	15	309	5	19	100,8
ZTR5PH9 ($n_{I1N} = 4500 \text{ min}^{-1}$, ($F_{I2acc,max} = 67 \text{ kN}$))																	
0,40	12	38	0,4	3,0	ZTR519SPH942_0600 EZ802U	67	133	3360	60,00	0,25	0,40	44	15	299	5	19	100,8
0,50	9,3	31	0,4	3,5	ZTR519SPH942_0480 EZ802U	67	133	3360	48,00	0,31	0,50	44	15	300	5	19	100,8
0,57	8,1	27	0,4	3,8	ZTR519SPH942_0420 EZ802U	67	133	3360	42,00	0,35	0,57	44	15	301	5	19	100,8
0,59	7,8	25	0,7	3,9	ZTR519SPH942_0400 EZ802U	67	133	3360	40,00	0,37	0,59	44	15	299	5	19	100,8
0,74	6,2	20	0,7	4,6	ZTR519SPH942_0320 EZ802U	59	133	2976	32,00	0,46	0,74	44	15	302	5	19	100,8
0,85	5,4	18	0,6	5,0	ZTR519SPH942_0280 EZ802U	52	133	2604	28,00	0,53	0,85	44	15	304	5	19	100,8
ZTR6PH9 ($n_{I1N} = 2000 \text{ min}^{-1}$, ($F_{I2acc,max} = 56 \text{ kN}$))																	
0,22	38	58	1,6	1,1	ZTR616SPH942_0480 EZ805U	56	112	2844	48,00	0,31	0,50	44	15	306	6	16	101,9
0,25	34	51	1,8	1,2	ZTR616SPH942_0420 EZ805U	56	112	2844	42,00	0,36	0,57	44	15	307	6	16	101,9
0,27	32	48	2,2	1,2	ZTR616SPH942_0400 EZ805U	56	112	2844	40,00	0,37	0,60	44	15	305	6	16	101,9
0,33	26	39	2,3	1,4	ZTR616SPH942_0320 EZ805U	56	112	2844	32,00	0,47	0,75	44	15	308	6	16	101,9
0,36	24	36	2,2	1,5	ZTR616SPH942_0300 EZ805U	56	112	2844	30,00	0,44	0,71	44	15	308	6	16	101,9
0,38	22	34	2,2	1,6	ZTR616SPH942_0280 EZ805U	56	112	2844	28,00	0,53	0,86	44	15	310	6	16	101,9
0,44	19	29	2,7	1,7	ZTR616SPH942_0240 EZ805U	56	112	2844	24,00	0,44	0,78	44	15	308	6	16	101,9
0,53	16	24	3,0	2,0	ZTR616SPH942_0200 EZ805U	56	112	2844	20,00	0,67	1,07	44	15	312	6	16	101,9
0,59	14	22	3,1	2,1	ZTR616SPH942_0180 EZ805U	56	112	2844	18,00	0,53	0,89	44	15	309	6	16	101,9
0,67	13	19	3,3	2,3	ZTR616SPH942_0160 EZ805U	56	112	2844	16,00	0,67	1,17	44	15	313	6	16	101,9
0,89	9,6	14	3,8	2,7	ZTR616SPH942_0120 EZ805U	45	112	2288	12,00	0,80	1,33	44	15	315	6	16	101,9
ZTR6PH9 ($n_{I1N} = 3000 \text{ min}^{-1}$, ($F_{I2acc,max} = 56 \text{ kN}$))																	
0,27	24	41	0,8	1,6	ZTR616SPH942_0600 EZ802U	56	112	2844	60,00	0,25	0,40	44	15	305	6	16	101,9
0,27	29	53	0,9	1,3	ZTR616SPH942_0600 EZ803U	56	112	2844	60,00	0,25	0,40	44	15	305	6	16	101,9
0,33	20	33	0,8	1,9	ZTR616SPH942_0480 EZ802U	56	112	2844	48,00	0,31	0,50	44	15	306	6	16	101,9
0,33	23	42	1,0	1,6	ZTR616SPH942_0480 EZ803U	56	112	2844	48,00	0,31	0,50	44	15	306	6	16	101,9
0,38	17	28	0,9	2,0	ZTR616SPH942_0420 EZ802U	56	112	2844	42,00	0,36	0,57	44	15	307	6	16	101,9
0,38	20	37	1,1	1,7	ZTR616SPH942_0420 EZ803U	56	112	2844	42,00	0,36	0,57	44	15	307	6	16	101,9
0,40	16	27	1,3	2,1	ZTR616SPH942_0400 EZ802U	56	112	2844	40,00	0,37	0,60	44	15	305	6	16	101,9
0,40	19	35	1,5	1,8	ZTR616SPH942_0400 EZ803U	56	112	2844	40,00	0,37	0,60	44	15	305	6	16	101,9
0,50	13	22	1,3	2,4	ZTR616SPH942_0320 EZ802U	56	112	2844	32,00	0,47	0,75	44	15	308	6	16	101,9
0,50	16	28	1,6	2,0	ZTR616SPH942_0320 EZ803U	56	112	2844	32,00	0,47	0,75	44	15	308	6	16	101,9
0,53	12	20	1,1	2,5	ZTR616SPH942_0300 EZ802U	55	112	2790	30,00	0,44	0,71	44	15	308	6	16	101,9
0,53	15	26	1,3	2,1	ZTR616SPH942_0300 EZ803U	56	112	2844	30,00	0,44	0,71	44	15	308	6	16	101,9
0,57	11	19	1,1	2,7	ZTR616SPH942_0280 EZ802U	51	112	2604	28,00	0,53	0,86	44	15	310	6	16	101,9
0,57	14	25	1,4	2,2	ZTR616SPH942_0280 EZ803U	56	112	2844	28,00	0,53	0,86	44	15	310	6	16	101,9
0,67	9,8	16	1,4	3,0	ZTR616SPH942_0240 EZ802U	44	112	2232	24,00	0,44	0,78	44	15	308	6	16	101,9
0,67	12	21	1,7	2,5	ZTR616SPH942_0240 EZ803U	56	112	2844	24,00	0,44	0,78	44	15	308	6	16	101,9
0,80	8,1	14	1,5	3,3	ZTR616SPH942_0200 EZ802U	37	112	1860	20,00	0,67	1,07	44	15	312	6	16	101,9
0,80	9,7	18	1,8	2,8	ZTR616SPH942_0200 EZ803U	53	112	2697	20,00	0,67	1,07	44	15	312	6	16	101,9
0,89	7,3	12	1,6	3,6	ZTR616SPH942_0180 EZ802U	33	112	1674	18,00	0,53	0,89	44	15	309	6	16	101,9
0,89	8,7	16	1,9	3,0	ZTR616SPH942_0180 EZ803U	48	112	2427	18,00	0,53	0,89	44	15	309	6	16	101,9
1,00	6,5	11	1,9	3,9	ZTR616SPH942_0160 EZ802U	29	112	1488	16,00	0,67	1,17	44	15	313	6	16	101,9
1,00	7,8	14	2,3	3,2	ZTR616SPH942_0160 EZ803U	42	112	2158	16,00	0,67	1,17	44	15	313	6	16	101,9
1,33	4,9	8,1	2,2	4,7	ZTR616SPH942_0120 EZ802U	22	112	1116	12,00	0,80	1,33	44	15	315	6	16	101,9
1,33	5,8	11	2,6	3,9	ZTR616SPH942_0120 EZ803U	32	112	1618	12,00	0,80	1,33	44	15	315	6	16	101,9
ZTR6PH9 ($n_{I1N} = 4500 \text{ min}^{-1}$, ($F_{I2acc,max} = 56 \text{ kN}$))																	
0,40	12	38	0,4	3,0	ZTR616SPH942_0600 EZ802U	56	112	2844	60,00	0,25	0,40	44	15	305	6	16	101,9
0,50	9,2	30	0,4	3,5	ZTR616SPH942_0480 EZ802U	56	112	2844	48,00	0,31	0,50	44	15	306	6	16	101,9

5.2 Auswahltabelle 5 Zahnstangentriebe ZTRPH

v_{fzN} [m/s]	F_{fzN} [kN]	$F_{fz,0}$ [kN]	a_{th}	S	Typ	F_{fzacc} [kN]	F_{fzNOT} [kN]	M_{zacc} [Nm]	i	$v_{fzmaxDB}$ [m/s]	$v_{fzmaxZB}$ [m/s]	Δs [μm]	Δs_{red} [μm]	C_{lin} [N/μm]	m_n [mm]	z	d_0 [mm]
ZTR6PH9 ($n_{1N} = 4500 \text{ min}^{-1}$, ($F_{fzacc,max} = 56 \text{ kN}$))																	
0,57	8,1	26	0,4	3,8	ZTR616SPH942_0420 EZ802U	56	112	2844	42,00	0,36	0,57	44	15	307	6	16	101,9
0,60	7,7	25	0,7	3,9	ZTR616SPH942_0400 EZ802U	56	112	2844	40,00	0,37	0,60	44	15	305	6	16	101,9
0,75	6,1	20	0,7	4,5	ZTR616SPH942_0320 EZ802U	56	112	2844	32,00	0,47	0,75	44	15	308	6	16	101,9
0,86	5,4	18	0,6	5,0	ZTR616SPH942_0280 EZ802U	51	112	2604	28,00	0,53	0,86	44	15	310	6	16	101,9

5.3 Maßzeichnungen

In diesem Kapitel finden Sie die Abmessungen der Zahnstangentriebe mit Synchron-Servomotoren EZ.

Das Maß a_z in den Maßtabellen gilt für Atlanta Zahnstangen. Allgemein gilt: $a_z = \frac{1}{2} d_0 + h_0 + x \cdot m_n$

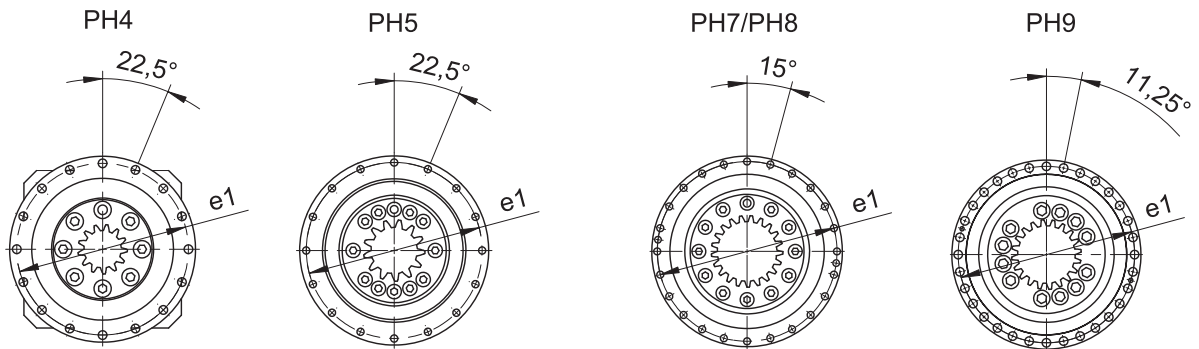
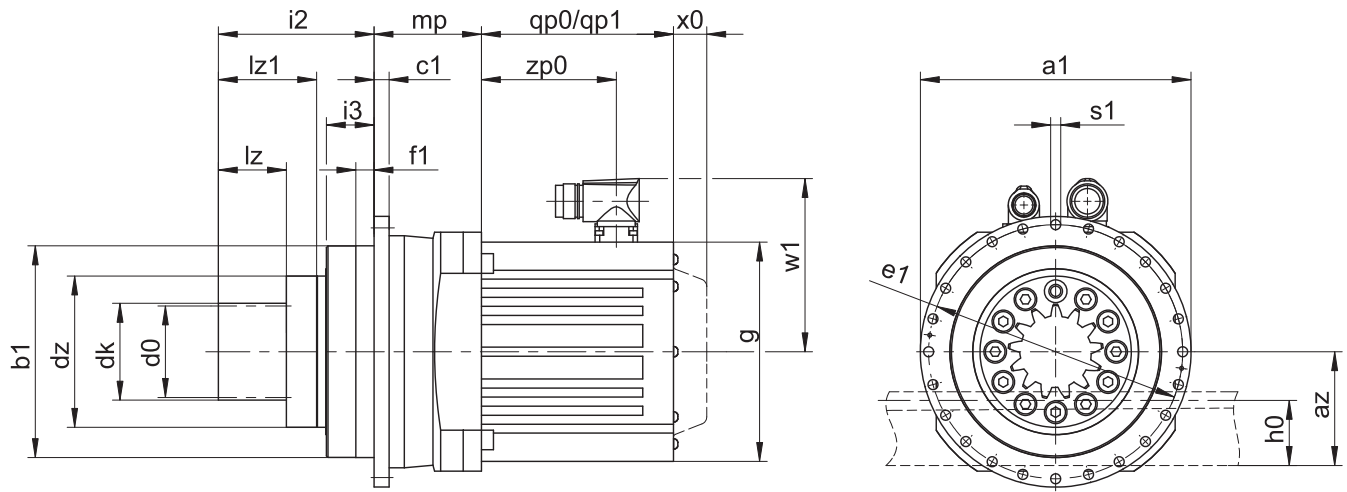
Das Ritzel des Zahnstangentriebs ist schrägverzahnt (linkssteigend $19^\circ 31' 42''$). Die Ritzelverzahnungsqualität ist 5.

Maße können aufgrund von Gusstoleranzen bzw. Aufsummieren der Einzeltoleranzen die Vorgaben der ISO 2768-mK überschreiten.

Maßänderungen durch technische Weiterentwicklung behalten wir uns vor.

3D-Modelle unserer Standardantriebe können Sie unter <https://configurator.stoeber.de/de-DE/> herunterladen.

Kombinationsmöglichkeiten und Maße für fremdbelüftete Getriebemotoren finden Sie ebenfalls unter <https://configurator.stoeber.de/de-DE/>.



qp0 Gilt für Motoren ohne Bremse.

x0 Gilt für Encoder mit optischem Messprinzip.

qp1 Gilt für Motoren mit Bremse.

w1 Abweichend bei One Cable Solution (OCS) siehe Kapitel [▶ 13.4](#)

Maße Getriebe

Typ	mn	Øa1	az	Øb1	c1	Ød0	Ødk	dz	Øe1	f1	h0	i2	i3	lz	lz1	Øs1	x
ZTR212SPH4_	2	118 _{h7}	35,73	90 _{h7}	7	25,47	31,5	63	109	10	22	71,0	23,5	26,0	41,0	5,5	0,50
ZTR216SPH4_	2	118 _{h7}	38,98	90 _{h7}	7	33,95	38,0	63	109	10	22	71,0	23,5	26,0	41,0	5,5	0,00
ZTR219SPH5_	2	145 _{h7}	42,16	110 _{h7}	8	40,32	44,3	80	135	12	22	70,0	22,5	26,0	41,0	5,5	0,00
ZTR223SPH5_	2	145 _{h7}	46,40	110 _{h7}	8	48,81	52,8	80	135	12	22	70,0	22,5	26,0	41,0	5,5	0,00
ZTR314SPH5_	3	145 _{h7}	49,18	110 _{h7}	8	44,56	52,4	80	135	12	26	76,5	22,5	32,5	47,5	5,5	0,30
ZTR223SPH7_	2	179 _{h7}	46,40	140 _{h7}	10	48,81	52,8	100	168	12	22	84,0	31,5	26,0	46,0	6,6	0,00
ZTR316SPH7_	3	179 _{h7}	51,46	140 _{h7}	10	50,93	56,9	100	168	12	26	90,5	31,5	32,5	52,5	6,6	0,00
ZTR319SPH7_	3	179 _{h7}	56,24	140 _{h7}	10	60,48	66,5	100	168	12	26	90,5	31,5	32,5	52,5	6,6	0,00
ZTR412SPH7_	4	179 _{h7}	62,46	140 _{h7}	10	50,93	62,9	100	168	12	35	103,0	31,5	45,0	65,0	6,6	0,50
ZTR332SPH8_	3	247 _{h7}	76,93	200 _{h7}	12	101,86	107,9	148	233	15	26	107,5	41,5	32,5	57,5	9,0	0,00
ZTR417SPH8_	4	247 _{h7}	71,08	200 _{h7}	12	72,15	80,2	148	233	15	35	120,0	41,5	45,0	70,0	9,0	0,00
ZTR420SPH8_	4	247 _{h7}	77,44	200 _{h7}	12	84,88	92,9	148	233	15	35	120,0	41,5	45,0	70,0	9,0	0,00
ZTR518SPH8_	5	247 _{h7}	81,75	200 _{h7}	12	95,49	105,5	148	233	15	34	130,0	41,5	55,0	80,0	9,0	0,00
ZTR615SPH8_	6	247 _{h7}	90,75	200 _{h7}	12	95,49	107,5	148	233	15	43	140,0	41,5	65,0	90,0	9,0	0,00
ZTR519SPH9_	5	300	84,40	255 _{h7}	18	100,80	110,8	187	280	20	34	155,0	54,0	55,0	101,0	13,5	0,00
ZTR616SPH9_	6	300	93,93	255 _{h7}	18	101,86	113,9	187	280	20	43	165,0	54,0	65,0	111,0	13,5	0,00

Maße Motoren

Typ	□g	qp0	qp1	w1	x0	zp0
EZ301U	72	90	130,0	55,5	21	54,5
EZ302U	72	112	152,0	55,5	21	76,5
EZ303U	72	134	174,0	55,5	21	98,5
EZ401U	98	98	146,5	91,0	22	56,0
EZ402U	98	123	171,5	91,0	22	81,0
EZ501U	115	93	147,5	100,0	22	58,5
EZ502U	115	118	172,5	100,0	22	83,5
EZ503U	115	143	197,5	100,0	22	108,5
EZ505U	115	193	247,5	100,0	22	158,5
EZ701U	145	102	161,0	115,0	22	64,0
EZ702U	145	127	186,0	115,0	22	89,0
EZ703U	145	152	211,0	115,0	22	114,0
EZ705U	145	207	266,0	134,0	22	165,0
EZ802U	190	197	274,0	156,5	22	143,0
EZ803U	190	238	315,0	156,5	22	184,0
EZ805U	190	320	397,0	156,5	22	266,0

Maße Getriebemotoren

Typ	EZ3 mp	EZ4 mp	EZ5 mp	EZ7 mp	EZ8 mp
ZTR_PH431_	-	54,5	54,0	-	-
ZTR_PH432_	99,0	-	-	-	-
ZTR_PH531_	-	-	61,0	64,0	-
ZTR_PH532_	-	103,0	102,5	-	-
ZTR_PH731_	-	-	-	71,0	81,0
ZTR_PH732_	-	-	119,0	122,0	-
ZTR_PH831_	-	-	-	-	110,0
ZTR_PH832_	-	-	-	161,0	171,0
ZTR_PH942_	-	-	-	-	210,5

5.4 Typenbezeichnung

In diesem Kapitel finden Sie die Erklärung der Typenbezeichnung mit den zugehörigen Optionen.

Weitere Bestellangaben, die nicht in der Typenbezeichnung vorkommen, finden Sie am Ende des Kapitels.

Beispiel-Code

Z	TR	3	19	S	PH	7	3	1	S	F	S	S	0050	EZ703U
---	----	---	----	---	----	---	---	---	---	---	---	---	------	--------

Erklärung

Code	Bezeichnung	Ausführung
Z	Typ	Zahnstangentrieb
TR	Ausführung	Verschraubtes Flanschritzel
3	Modul	$m_n = 3$ (Beispiel)
19	Zähnezahl	$z = 19$ (Beispiel)
S	Verzahnung	Schrägverzahnt (linkssteigend 19° 31' 42")
PH	Typ	Planetengetriebe
7	Größe	7 (Beispiel)
3	Generation	Generation 3
4		Generation 4
1	Stufen	1-stufig
2		2-stufig
S	Gehäuse	Standard
F	Welle	Flanschwelle
S	Lager	Standardlagerung
V		Verstärkte Lagerung (PH3 – PH5)
S	Drehspiel	Standard
R		Reduziert (PH3 – PH9)
0050	Übersetzungskennzahl ($i \times 10$)	$i = 5$ (Beispiel)
EZ703U	Motor	Synchron-Servomotor EZ

Um die Typenbezeichnung zu vervollständigen, geben Sie bei Ihrer Bestellung zusätzlich an:

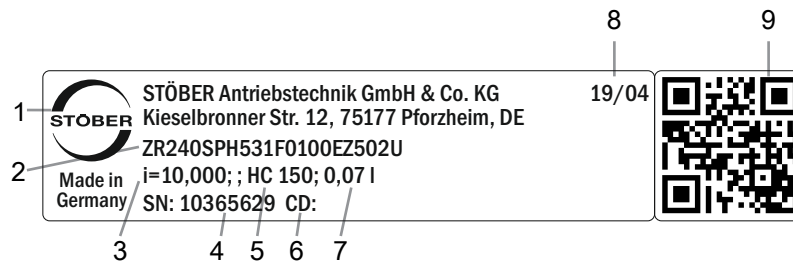
- Eine detaillierte Typenbezeichnung des Motors, siehe Kapitel [13](#)
- Radialwellendichtringe am Abtrieb aus NBR oder FKM (Option), siehe Kapitel [5.6.2](#)
- Rundlauf $\leq 10 \mu\text{m}$ (Option)
- Reversierbetrieb der Abtriebswelle von $\pm 20^\circ$ bis $\pm 90^\circ$ bei horizontalem Einbau auf Anfrage

In diesem Katalog finden Sie alle Informationen zu Zahnstangentrieben mit Synchron-Servomotoren EZ.

Alle auf Anfrage erhältlichen Eintriebsoptionen finden Sie im Kapitel [5.5.1](#).

5.4.1 Typenschild

In folgender Abbildung ist das Typenschild eines Getriebemotors als Beispiel erläutert.



Code	Bezeichnung
1	Herstellerbezeichnung
2	Typenbezeichnung
3	Übersetzung des Getriebes
4	Serialnummer des Getriebes
5	Schmierstoffspezifikation
6	Kundenspezifische Daten
7	Schmierstofffüllmenge
8	Herstellungsdatum (Jahr/Kalenderwoche)
9	QR-Code (Link zu Produktinformationen)

5.4.1.1 Mitgeltende Dokumente

Mitgeltende Dokumente für das Produkt können Sie ansehen oder herunterladen, wenn Sie die Seriennummer auf dem Typenschild des Produkts ablesen und sie im Internet unter folgender Adresse eingeben:

<https://id.stober.com>

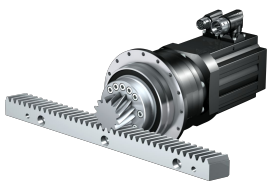
Alternativ können Sie mit einem geeigneten Mobilgerät den QR-Code auf dem Typenschild des Produkts einscannen, um dadurch zu den mitgeltenden Dokumenten verlinkt zu werden.

5.5 Produktbeschreibung

5.5.1 Eintriebsoptionen

In diesem Kapitel finden Sie alle verfügbaren Eintriebsoptionen:

Synchron-Servomotor EZ



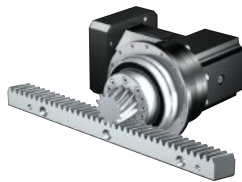
Katalog ID 443286_de

Motoradapter



Katalog ID 443137_de

Winkeleintrieb KX mit Motoradapter MF



Auf Anfrage

Winkeleintrieb K mit Motoradapter ME



Auf Anfrage

Motoradapter MB



Auf Anfrage

Die entsprechenden Kataloge finden Sie unter <http://www.stober.de/de/downloads/>

Geben Sie im Feld Suchbegriff die ID des Katalogs ein.

5.5.2 Zahnstange

Die im Kapitel Auswahltabellen angegebenen technischen Daten gelten nur für Zahnstangenpaarungen mit folgenden Eigenschaften:

Das Ritzel des Zahnstangentriebs ist einsatzgehärtet und schrägverzahnt (linkssteigend $19^{\circ} 31' 42''$). Die Ritzelverzahnungsqualität ist 5.

Die entsprechende Zahnstange muss rechtssteigend ($19^{\circ} 31' 42''$) sein und folgende Eigenschaften besitzen:

Modul m_n [mm]	Mindestqualität Zahnstange	Werkstoff Zahnstange
2 – 4	6	16MnCr5 induktiv gehärtet
5	5	16MnCr5 induktiv gehärtet
6 – 10	6	C45 induktiv gehärtet

Beachten Sie zusätzlich die Projektierung der Zahnstange auf den Atlanta-Seiten.

5.5.3 Einbaubedingungen

Die in diesem Katalog angegebenen Drehmomente und Kräfte gelten unter folgenden Bedingungen:

- Bei einer maschinenseitigen Befestigung des Getriebegehäuses mit Schrauben der Festigkeitsklasse 12.9
- Wenn die Getriebegehäuse am Passrand $\varnothing b_z$ eingepasst werden. Die maschinenseitige Passung muss H7 sein.

5.5.4 Schmierstoffe

STÖBER füllt die Getriebe mit der auf dem Typenschild angegebenen Menge und Art des Schmierstoffs.

Schmierstoffe für den Einsatz in der Lebensmittelindustrie erhalten Sie auf Anfrage.

5.5.4.1 Schmierung Zahnstangentrieb

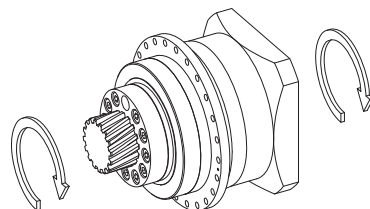
Stellen Sie eine permanente Schmierung des Zahnstangentriebs, mit den im Atlanta-Katalog vorgeschriebenen Schmierstoffen, sicher.

5.5.5 Weitere Produktmerkmale

Merkmal	Wert
Max. zul. Getriebetemperatur (an der Getriebeoberfläche)	$\leq 90^{\circ}\text{C}$
Lackierung	Schwarz RAL 9005
(ATEX-) Richtlinie 2014/34/EU (Option)	Nicht geeignet.
Schutzart: ¹	
Planetengeräte	IP65
Motor	IP56, optional IP66
Ritzel/Zahnstange	IPXX

5.5.6 Drehrichtung

Ein- und Abtrieb drehen sich gleichsinnig.



5.6 Projektierung

Projektieren Sie Ihre Antriebe mit unserer Auslegungssoftware SERVOSOFT. Laden Sie SERVOSOFT kostenlos unter <https://www.stoeber.de/de/ServoSoft> herunter.

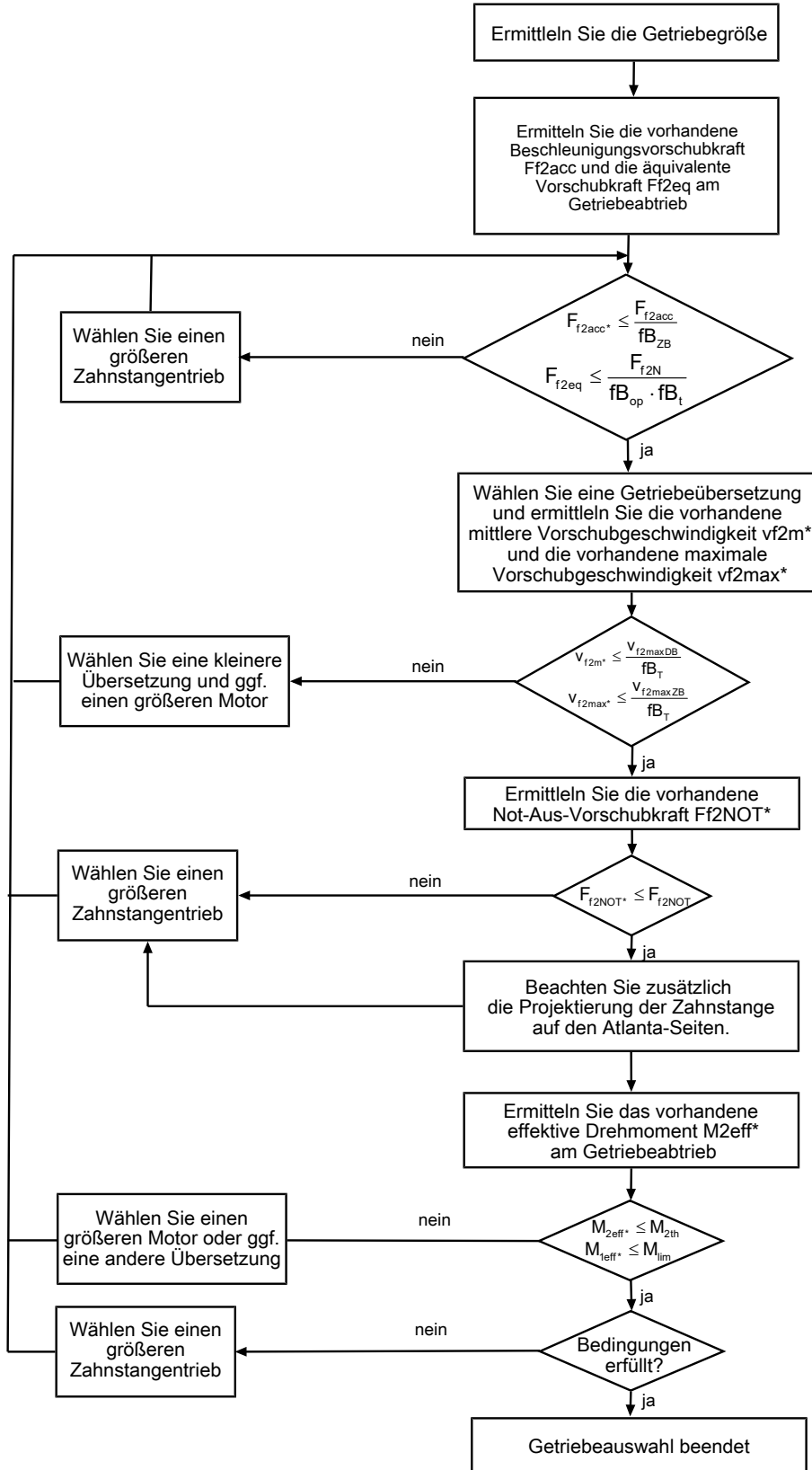
Dies ist die komfortabelste und sicherste Methode der Antriebsauswahl, da hier der komplette Drehmoment-Drehzahl-Verlauf der Anwendung in der Kennlinie des Getriebemotors dargestellt und beurteilt wird.

In diesem Kapitel können für die manuelle Antriebsauswahl nur Grenzwertbetrachtungen für konkrete Arbeitspunkte gemacht werden.

Die Formelzeichen für tatsächlich in der Anwendung vorhandene Werte sind mit einem * gekennzeichnet.

Die Erklärung der Formelzeichen finden Sie im Kapitel [▶ 15.1](#).

5.6.1 Antriebsauswahl

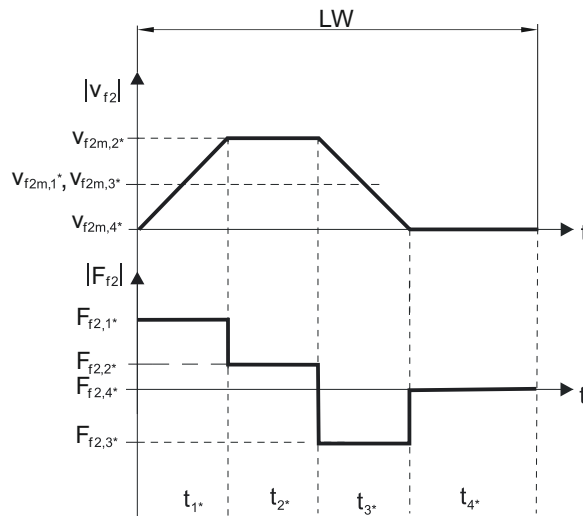


Entnehmen Sie die Werte für i , $v_{f2maxDB}$, $v_{f2maxZB}$, F_{f2acc} , F_{f2N} und F_{f2NOT} den Auswahltabellen.

Entnehmen Sie die Werte für fb_T , fb_{op} , fb_t und fb_{zb} den jeweiligen Tabellen in diesem Kapitel.

Beispiel Zyklusbetrieb

Die nachfolgenden Berechnungen beziehen sich auf eine Darstellung der am Abtrieb abgenommenen Leistung gemäß folgendem Beispiel:

**Berechnung der vorhandenen maximalen Beschleunigungsvorschubkraft**

$$F_{f2acc*} = m \cdot a^* + F_{L*}$$

Berechnung der vorhandenen mittleren Eintriebsdrehzahl

$$n_{1m*} = \frac{v_{f2m*} \cdot i}{d_0 \cdot \pi}$$

$$v_{f2m*} = \frac{|v_{f2m,1*}| \cdot t_{1*} + \dots + |v_{f2m,n*}| \cdot t_{n*}}{t_{1*} + \dots + t_{n*}}$$

Wenn $t_{1*} + \dots + t_{3*} \geq 6 \text{ min}$, ermitteln Sie v_{2m*} ohne die Pause t_{4*} .

Entnehmen Sie die Werte für die Übersetzung i in den Auswahltabellen.

Berechnung der vorhandenen Not-Aus-Vorschubkraft

$$F_{f2NOT*} = m \cdot a_{NOT*} + F_{L*}$$

Berechnung der vorhandenen äquivalenten Vorschubkraft

$$F_{f2eq*} = \sqrt[3]{\frac{|v_{f2m,1*}| \cdot t_{1*} \cdot |F_{f2,1*}|^3 + \dots + |v_{f2m,n*}| \cdot t_{n*} \cdot |F_{f2,n*}|^3}{|v_{f2m,1*}| \cdot t_{1*} + \dots + |v_{f2m,n*}| \cdot t_{n*}}}$$

Berechnung des thermischen Grenzmoments

Berechnen Sie für eine Einschaltdauer $ED_{10} > 50 \%$ das thermische Grenzmoment M_{2th} für die vorhandene mittlere Eintriebsdrehzahl n_{1m*} . (Bei $K_{mot,th} \leq 0$ müssen Sie die mittlere Eintriebsdrehzahl n_{1m*} entsprechend reduzieren oder eine andere Baugröße des Getriebemotors wählen.)

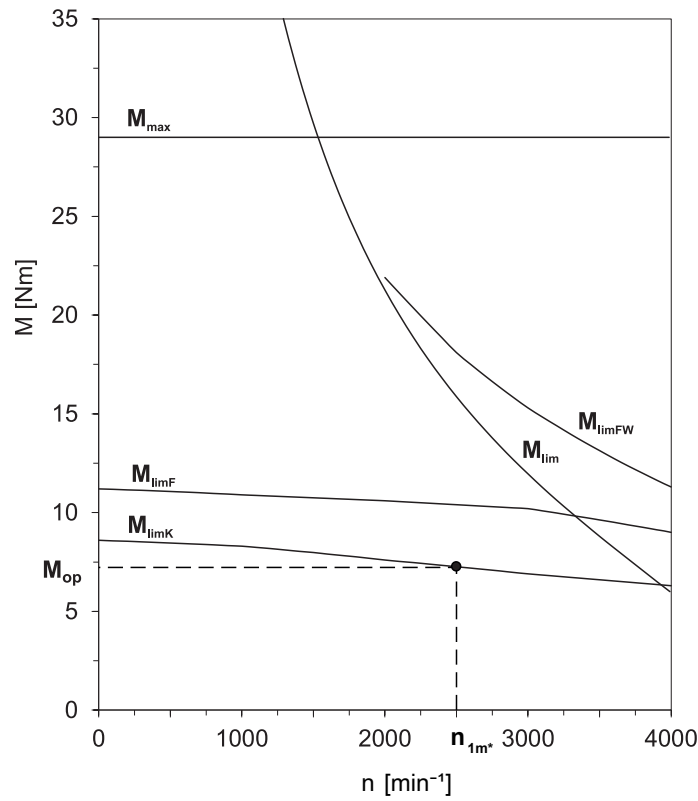
$$M_{2th} = M_{op} \cdot i \cdot K_{mot,th}$$

$$K_{mot,th} = 0,93 - \frac{a_{th}}{1000} \cdot fB_T \cdot \left(\frac{n_{1m*}}{1000}\right)^3$$

Entnehmen Sie die Werte für i und a_{th} den Auswahltabellen.

Entnehmen Sie die Werte für fB_T der entsprechenden Tabelle in diesem Kapitel.

Entnehmen Sie der Motorkennlinie im Kapitel [13.3](#) den Wert für das Drehmoment des Motors im Arbeitspunkt M_{op} bei der ermittelten mittleren Eintriebsdrehzahl n_{1m*} . Beachten Sie dabei die Baugröße, Nenn-drehzahl n_n und Kühlungsart des Motors. Die nachfolgende Abbildung stellt ein Beispiel für das Ablesen des Drehmoments M_{op} eines Motors mit Konvektionskühlung im Arbeitspunkt dar.



Berechnung des vorhandenen effektiven Drehmoments

$$M_{2eff*} = \sqrt{\frac{t_{1*} \cdot M_{2,1*}^2 + \dots + t_{n*} \cdot M_{2,n*}^2}{t_{1*} + \dots + t_{n*}}}$$

$$M_{2,n*} = \frac{F_{f2,n*} \cdot d_0}{2}$$

$$M_{1eff*} = \frac{M_{2eff*}}{i \cdot \eta}$$

Betriebsfaktoren

Betriebsart		fB _{op}
Gleichmäßiger Dauerbetrieb		1,00
Zyklusbetrieb		1,00
Zyklusbetrieb reversierende Last		1,00
Laufzeit		fB _t
Tägliche Laufzeit ≤ 8 h		1,00
Tägliche Laufzeit ≤ 16h		1,15
Tägliche Laufzeit ≤ 24 h		1,20
Zyklusbetrieb		fB _{ZB}
≤ 1000 Lastwechsel/Stunde (LW/h)		1,00
> 1000 Lastwechsel/Stunde (LW/h)		1,15
Temperatur		fB _T
Motorkühlung	Umgebungstemperatur	
Motor mit Fremdbelüftung	≤ 20 °C	0,9
	≤ 30 °C	1,0
	≤ 40 °C	1,15
Motor mit Konvektionskühlung	≤ 20 °C	1,0
	≤ 30 °C	1,1
	≤ 40 °C	1,25

Hinweise

- Die maximal zulässige Getriebetemperatur (siehe Kapitel Weitere Produktmerkmale) darf nicht überschritten werden, da dies zu Beschädigungen führen kann.
- Beachten Sie bei Bremsungen aus voller Drehzahl (z. B. bei einem Spannungsausfall oder beim Einrichten der Maschine) die zulässigen Getriebevorschubkräfte (F_{f2acc} , F_{f2NOT}) in den Auswahltabellen.

5.6.2 Empfehlung Radialwellendichtringe

Für eine Einschaltdauer > 60 % und bei höheren Umgebungstemperaturen empfehlen wir am Abtrieb Radialwellendichtringe aus FKM.

Eigenschaften:

- Hervorragende Temperaturbeständigkeit
- Hohe chemische Stabilität
- Sehr gute Alterungsbeständigkeit
- Hervorragende Beständigkeit in Ölen und Fetten
- Einsatz in der Lebensmittel-, Pharma- und Getränkeindustrie

Leckagesicherheit

Unsere Getriebe sind mit hochwertigen Radialwellendichtringen ausgestattet und auf Dichtheit geprüft. Eine Leckage kann über die Gebrauchsdauer der Getriebe trotzdem nicht völlig ausgeschlossen werden. Wenn Sie die Getriebe mit schmierstoffunverträglichen Gütern einsetzen, müssen Sie Maßnahmen ergreifen, die einen direkten Kontakt mit dem Getriebeschmierstoff im Falle einer Leckage verhindern.

5.7 Weitere Dokumentation

Weitere, das Produkt betreffende Dokumentationen finden Sie unter <http://www.stoeber.de/de/downloads/>

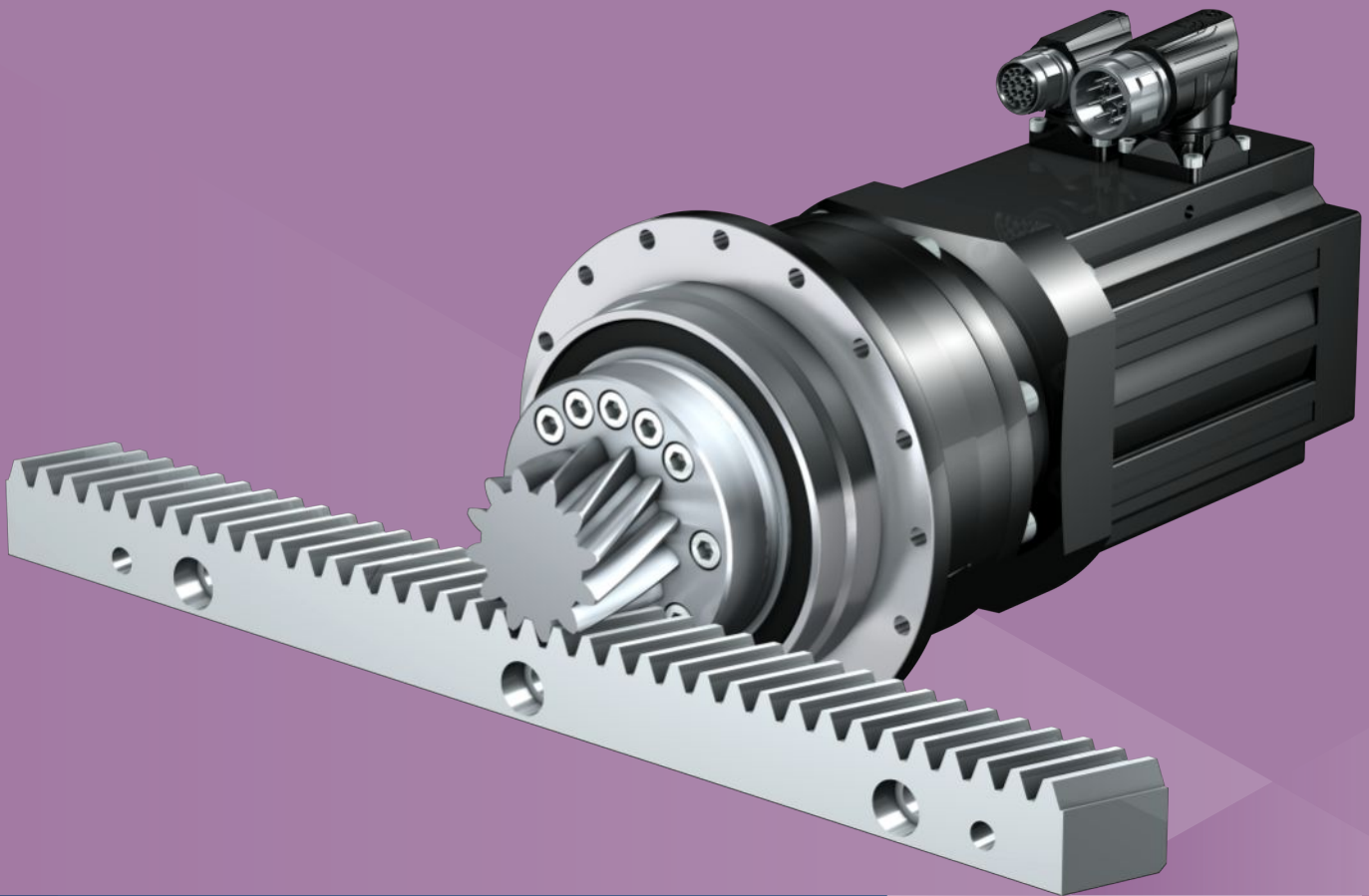
Geben Sie im Feld Suchbegriff die ID der Dokumentation ein.

Dokumentation	ID
Betriebsanleitung Getriebe, Getriebemotoren PH33 – PH83, PH94 – PH104	443354_de
Betriebsanleitung Synchron-Servomotoren EZ	443032_de
Betriebsanleitung Zahnstangen (Atlanta)	442455

6 Zahnstangentriebe ZTRPHV

Inhaltsverzeichnis

6.1	Übersicht	92
6.2	Auswahltabellen	93
6.3	Maßzeichnungen	94
6.4	Typenbezeichnung	95
6.4.1	Typenschild	96
6.5	Produktbeschreibung	96
6.5.1	Eintriebsoptionen	96
6.5.2	Zahnstange	97
6.5.3	Einbaubedingungen	97
6.5.4	Schmierstoffe	97
6.5.5	Weitere Produktmerkmale.....	97
6.5.6	Drehrichtung	97
6.6	Projektierung	98
6.6.1	Antriebsauswahl.....	99
6.6.2	Empfehlung Radialwellendichtringe	102
6.7	Weitere Dokumentation.....	102



6 Zahnstangentriebe

ZTRPHV

6.1 Übersicht

High-Performance Präzisions-Planetengetriebemotoren mit verschraubtem Flanschritzel

Merkmale

Leistungsdichte	★★★★☆
Lineares Spiel	★★★★☆
Preisklasse	€€€€
Laufruhe	★★★★☆
Lineare Steifigkeit	★★★★☆
Massenträgheitsmoment	★★★★☆
Einbaufertige Antriebslösung	✓
Ritzel Verzahnungsqualität 5 (DIN 3962)	✓
Schrägverzahnung	✓
Einsatzgehärtet und geschliffen	✓
Rundlauf $\leq 10 \mu\text{m}$ (Option)	✓
Kompakt und hochdynamisch durch Motordirektanbau	✓

Legende ★☆☆☆☆ gut | ★★★★★ hervorragend
 € Economy | €€€€€ Premium

Technische Daten

m_n	5 – 6 mm
z	16 – 19
F_{fzacc}	22 – 67 kN
v_{fzN}	0,13 – 0,39 m/s
Δs	15 – 44 μm

6.2 Auswahltabellen

Die in den Auswahltabellen angegebenen technischen Daten gelten für:

- Spannungsfreien Einbau
- Permanente Schmierung mit den im Atlanta-Katalog vorgeschriebenen Schmierstoffen
- Werkstoffpaarungen entsprechend Kapitel [▶ 6.5.2](#)
- Aufstellhöhen bis 1000 m über Normalnull
- Umgebungstemperaturen von 0° C bis 40° C
- Ohne Berücksichtigung der thermischen Grenzleistung
- Antriebe mit konvektionsgekühlten Motoren (z. B. EZ401U)

Die technischen Daten für Antriebe mit fremdbelüfteten (z. B. EZ401B) Motoren finden Sie unter

<https://configurator.stoeber.de/de-DE/>

Alle weiteren technischen Daten finden Sie unter <https://configurator.stoeber.de/de-DE/>.

Die Erklärung der Formelzeichen finden Sie im Kapitel [▶ 15.1](#).

v_{f2N} [m/s]	F_{f2N} [kN]	$F_{f2,0}$ [kN]	a_{in}	S	Typ	F_{f2acc} [kN]	F_{f2NOT} [kN]	M_{zacc} [Nm]	i	$v_{f2maxDB}$ [m/s]	$v_{f2maxZB}$ [m/s]	Δs [μm]	Δs_{red} [μm]	C_{lin} [N/μm]	m_n [mm]	z	d_0 [mm]
ZTR5PHV9 ($n_{1N} = 3000 \text{ min}^{-1}$, ($F_{f2acc,max} = 67 \text{ kN}$))																	
0,13	16	18	0,2	3,1	ZTR519SPHV943_1210 EZ701U	43	133	2178	121,0	0,11	0,20	44	15	280	5	19	100,8
0,13	26	31	0,4	1,9	ZTR519SPHV943_1210 EZ702U	67	133	3360	121,0	0,11	0,20	44	15	280	5	19	100,8
0,13	36	45	0,5	1,4	ZTR519SPHV943_1210 EZ703U	67	133	3360	121,0	0,11	0,20	44	15	280	5	19	100,8
0,13	46	65	0,7	1,1	ZTR519SPHV943_1210 EZ705U	67	133	3360	121,0	0,11	0,20	44	15	280	5	19	100,8
0,17	12	13	0,3	3,8	ZTR519SPHV943_0910 EZ701U	33	133	1638	91,00	0,15	0,26	44	15	283	5	19	100,8
0,17	20	23	0,4	2,3	ZTR519SPHV943_0910 EZ702U	67	133	3358	91,00	0,15	0,26	44	15	283	5	19	100,8
0,17	27	34	0,6	1,7	ZTR519SPHV943_0910 EZ703U	67	133	3360	91,00	0,15	0,26	44	15	283	5	19	100,8
0,17	35	49	0,8	1,3	ZTR519SPHV943_0910 EZ705U	67	133	3360	91,00	0,15	0,26	44	15	283	5	19	100,8
0,26	8,1	9,0	0,3	5,0	ZTR519SPHV943_0610 EZ701U	22	133	1098	61,00	0,22	0,39	44	15	284	5	19	100,8
0,26	13	16	0,5	3,1	ZTR519SPHV943_0610 EZ702U	45	133	2251	61,00	0,22	0,39	44	15	284	5	19	100,8
0,26	18	23	0,7	2,2	ZTR519SPHV943_0610 EZ703U	67	133	3360	61,00	0,22	0,39	44	15	284	5	19	100,8
0,26	23	33	1,0	1,7	ZTR519SPHV943_0610 EZ705U	67	133	3360	61,00	0,22	0,39	44	15	284	5	19	100,8
ZTR5PHV9 ($n_{1N} = 4500 \text{ min}^{-1}$, ($F_{f2acc,max} = 67 \text{ kN}$))																	
0,20	26	43	0,4	1,7	ZTR519SPHV943_1210 EZ703U	67	133	3360	121,0	0,11	0,20	44	15	280	5	19	100,8
0,20	35	65	0,6	1,2	ZTR519SPHV943_1210 EZ705U	67	133	3360	121,0	0,11	0,20	44	15	280	5	19	100,8
0,26	20	33	0,5	2,0	ZTR519SPHV943_0910 EZ703U	67	133	3360	91,00	0,15	0,26	44	15	283	5	19	100,8
0,26	27	49	0,7	1,5	ZTR519SPHV943_0910 EZ705U	67	133	3360	91,00	0,15	0,26	44	15	283	5	19	100,8
0,39	13	22	0,6	2,6	ZTR519SPHV943_0610 EZ703U	67	133	3360	61,00	0,22	0,39	44	15	284	5	19	100,8
0,39	18	33	0,8	2,0	ZTR519SPHV943_0610 EZ705U	67	133	3360	61,00	0,22	0,39	44	15	284	5	19	100,8
ZTR6PHV9 ($n_{1N} = 3000 \text{ min}^{-1}$, ($F_{f2acc,max} = 56 \text{ kN}$))																	
0,13	16	18	0,2	3,1	ZTR616SPHV943_1210 EZ701U	43	112	2178	121,0	0,11	0,20	44	15	285	6	16	101,9
0,13	26	31	0,4	1,9	ZTR616SPHV943_1210 EZ702U	56	112	2844	121,0	0,11	0,20	44	15	285	6	16	101,9
0,13	35	44	0,5	1,4	ZTR616SPHV943_1210 EZ703U	56	112	2844	121,0	0,11	0,20	44	15	285	6	16	101,9
0,13	46	65	0,7	1,1	ZTR616SPHV943_1210 EZ705U	56	112	2844	121,0	0,11	0,20	44	15	285	6	16	101,9
0,18	12	13	0,3	3,8	ZTR616SPHV943_0910 EZ701U	32	112	1638	91,00	0,15	0,26	44	15	288	6	16	101,9
0,18	19	23	0,4	2,3	ZTR616SPHV943_0910 EZ702U	56	112	2844	91,00	0,15	0,26	44	15	288	6	16	101,9
0,18	27	33	0,6	1,7	ZTR616SPHV943_0910 EZ703U	56	112	2844	91,00	0,15	0,26	44	15	288	6	16	101,9
0,18	34	49	0,8	1,3	ZTR616SPHV943_0910 EZ705U	56	112	2844	91,00	0,15	0,26	44	15	288	6	16	101,9
0,26	8,0	8,9	0,3	4,9	ZTR616SPHV943_0610 EZ701U	22	112	1098	61,00	0,22	0,39	44	15	289	6	16	101,9
0,26	13	16	0,5	3,0	ZTR616SPHV943_0610 EZ702U	44	112	2251	61,00	0,22	0,39	44	15	289	6	16	101,9
0,26	18	22	0,7	2,2	ZTR616SPHV943_0610 EZ703U	56	112	2844	61,00	0,22	0,39	44	15	289	6	16	101,9
0,26	23	33	1,0	1,7	ZTR616SPHV943_0610 EZ705U	56	112	2844	61,00	0,22	0,39	44	15	289	6	16	101,9
ZTR6PHV9 ($n_{1N} = 4500 \text{ min}^{-1}$, ($F_{f2acc,max} = 56 \text{ kN}$))																	
0,20	26	43	0,4	1,7	ZTR616SPHV943_1210 EZ703U	56	112	2844	121,0	0,11	0,20	44	15	285	6	16	101,9
0,20	35	64	0,6	1,2	ZTR616SPHV943_1210 EZ705U	56	112	2844	121,0	0,11	0,20	44	15	285	6	16	101,9
0,26	19	32	0,5	2,0	ZTR616SPHV943_0910 EZ703U	56	112	2844	91,00	0,15	0,26	44	15	288	6	16	101,9
0,26	26	48	0,7	1,5	ZTR616SPHV943_0910 EZ705U	56	112	2844	91,00	0,15	0,26	44	15	288	6	16	101,9
0,39	13	22	0,6	2,6	ZTR616SPHV943_0610 EZ703U	56	112	2844	61,00	0,22	0,39	44	15	289	6	16	101,9
0,39	18	32	0,8	1,9	ZTR616SPHV943_0610 EZ705U	56	112	2844	61,00	0,22	0,39	44	15	289	6	16	101,9

6.3 Maßzeichnungen

In diesem Kapitel finden Sie die Abmessungen der Zahnstangentriebe mit Synchron-Servomotoren EZ.

Das Maß az in den Maßtabellen gilt für Atlanta Zahnstangen. Allgemein gilt: $az = \frac{1}{2} d_0 + h_0 + x \cdot mn$

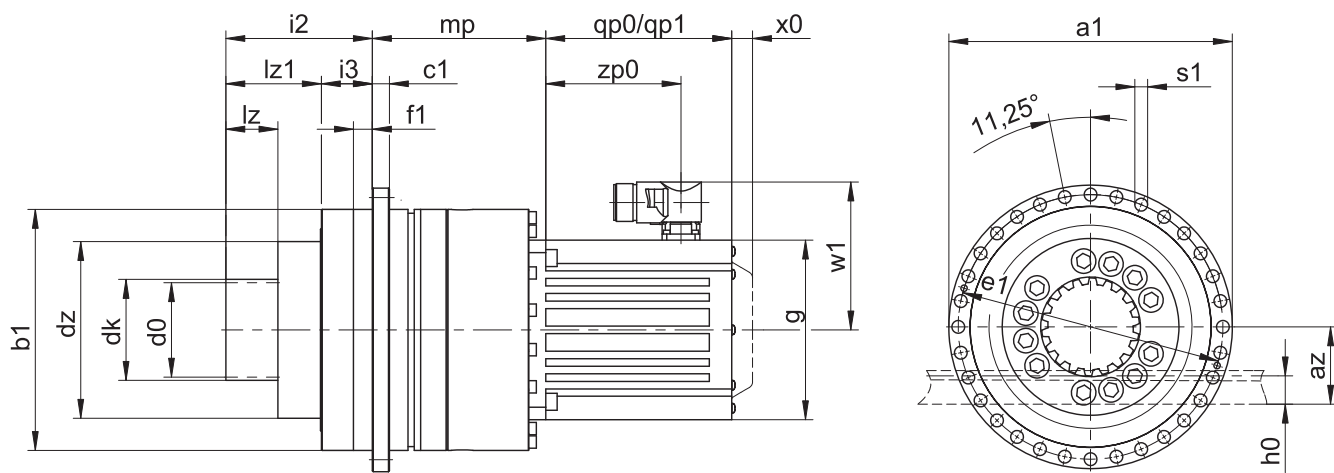
Das Ritzel des Zahnstangentriebs ist schrägverzahnt (linkssteigend 19° 31' 42"). Die Ritzelverzahnungsqualität ist 5.

Maße können aufgrund von Gusstoleranzen bzw. Aufsummieren der Einzeltoleranzen die Vorgaben der ISO 2768-mK überschreiten.

Maßänderungen durch technische Weiterentwicklung behalten wir uns vor.

3D-Modelle unserer Standardantriebe können Sie unter <https://configurator.stoeber.de/de-DE/> herunterladen.

Kombinationsmöglichkeiten und Maße für fremdbelüftete Getriebemotoren finden Sie ebenfalls unter <https://configurator.stoeber.de/de-DE/>.



qp0 Gilt für Motoren ohne Bremse.

qp1 Gilt für Motoren mit Bremse.

x0 Gilt für Encoder mit optischem Messprinzip.

w1 Abweichend bei One Cable Solution (OCS) siehe Kapitel [13.4](#)

Maße Getriebe

Typ	mn	Øa1	az	Øb1	c1	Ød0	Ødk	Ødz	Øe1	f1	h0	i2	i3	lz	lz1	Øs1	x
ZTR519SPHV9_	5	300	84,40	255 _{h7}	18	100,80	110,8	187	280	20	34	155	54	55	101	13,5	0,0
ZTR616SPHV9_	6	300	93,93	255 _{h7}	18	101,86	113,9	187	280	20	43	165	54	65	111	13,5	0,0

Maße Motoren

Typ	□g	qp0	qp1	w1	x0	zp0
EZ701U	145	102	161	115	22	64
EZ702U	145	127	186	115	22	89
EZ703U	145	152	211	115	22	114
EZ705U	145	207	266	134	22	165

Maße Getriebemotoren

Typ	EZ7
ZTR_PHV943_	mp 174

6.4 Typenbezeichnung

In diesem Kapitel finden Sie die Erklärung der Typenbezeichnung mit den zugehörigen Optionen.

Weitere Bestellangaben, die nicht in der Typenbezeichnung vorkommen, finden Sie am Ende des Kapitels.

Beispiel-Code

Z	TR	6	16	S	PHV	9	4	3	S	F	S	S	0910	EZ703
														U

Erklärung

Code	Bezeichnung	Ausführung
Z	Typ	Zahnstangentrieb
TR	Ausführung	Verschraubtes Flanschritzel
6	Modul	$m_n = 6$ (Beispiel)
16	Zähnezahl	$z = 16$ (Beispiel)
S	Verzahnung	Schrägverzahnt (linkssteigend 19° 31' 42")
PHV	Typ	Planetengetriebe
9	Größe	9 (Beispiel)
4	Generation	Generation 4
3	Stufen	3-stufig
S	Gehäuse	Standard
F	Welle	Flanschwelle
S	Lager	Standardlagerung
V		Verstärkte Lagerung (PH3 – PH5)
S	Drehspiel	Standard
R		Reduziert (PHV9)
0910	Übersetzungskennzahl ($i \times 10$)	$i = 91$ (Beispiel)
EZ703U	Motor	Synchron-Servomotor EZ

Um die Typenbezeichnung zu vervollständigen, geben Sie bei Ihrer Bestellung zusätzlich an:

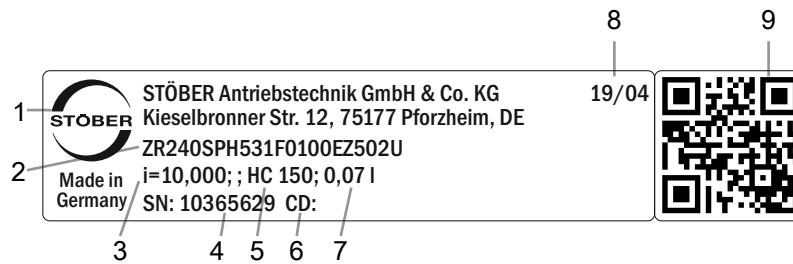
- Eine detaillierte Typenbezeichnung des Motors, siehe Kapitel [▶ 13](#)
- Radialwellendichtringe am Abtrieb aus NBR oder FKM (Option), siehe Kapitel [▶ 6.6.2](#)
- Rundlauf $\leq 10 \mu\text{m}$ (Option)
- Reversierbetrieb der Abtriebswelle von $\pm 20^\circ$ bis $\pm 90^\circ$ bei horizontalem Einbau auf Anfrage

In diesem Katalog finden Sie alle Informationen zu Zahnstangentrieben mit Synchron-Servomotoren EZ.

Alle auf Anfrage erhältlichen Eintriebsoptionen finden Sie im Kapitel [▶ 6.5.1](#).

6.4.1 Typenschild

In folgender Abbildung ist das Typenschild eines Getriebemotors als Beispiel erläutert.



Code	Bezeichnung
1	Herstellerbezeichnung
2	Typenbezeichnung
3	Übersetzung des Getriebes
4	Serialnummer des Getriebes
5	Schmierstoffspezifikation
6	Kundenspezifische Daten
7	Schmierstofffüllmenge
8	Herstellungsdatum (Jahr/Kalenderwoche)
9	QR-Code (Link zu Produktinformationen)

6.4.1.1 Mitgeltende Dokumente

Mitgeltende Dokumente für das Produkt können Sie ansehen oder herunterladen, wenn Sie die Seriennummer auf dem Typenschild des Produkts ablesen und sie im Internet unter folgender Adresse eingeben:

<https://id.stober.com>

Alternativ können Sie mit einem geeigneten Mobilgerät den QR-Code auf dem Typenschild des Produkts einscannen, um dadurch zu den mitgeltenden Dokumenten verlinkt zu werden.

6.5 Produktbeschreibung

6.5.1 Eintriebsoptionen

In diesem Kapitel finden Sie alle verfügbaren Eintriebsoptionen:

Synchron-Servomotor EZ



Katalog ID 443286_de

Motoradapter



Katalog ID 443137_de

Die entsprechenden Kataloge finden Sie unter <http://www.stober.de/de/downloads/>

Geben Sie im Feld Suchbegriff die ID des Katalogs ein.

6.5.2 Zahnstange

Die im Kapitel Auswahltabellen angegebenen technischen Daten gelten nur für Zahnstangenpaarungen mit folgenden Eigenschaften:

Das Ritzel des Zahnstangentriebs ist einsatzgehärtet und schrägverzahnt (linkssteigend $19^{\circ} 31' 42''$). Die Ritzelverzahnungsqualität ist 5.

Die entsprechende Zahnstange muss rechtssteigend ($19^{\circ} 31' 42''$) sein und folgende Eigenschaften besitzen:

Modul m_n [mm]	Mindestqualität Zahnstange	Werkstoff Zahnstange
2 – 4	6	16MnCr5 induktiv gehärtet
5	5	16MnCr5 induktiv gehärtet
6 – 10	6	C45 induktiv gehärtet

Beachten Sie zusätzlich die Projektierung der Zahnstange auf den Atlanta-Seiten.

6.5.3 Einbaubedingungen

Die in diesem Katalog angegebenen Drehmomente und Kräfte gelten unter folgenden Bedingungen:

- Bei einer maschinenseitigen Befestigung des Getriebegehäuses mit Schrauben der Festigkeitsklasse 12.9
- Wenn die Getriebegehäuse am Passrand $\varnothing b_z$ eingepasst werden. Die maschinenseitige Passung muss H7 sein.

6.5.4 Schmierstoffe

STÖBER füllt die Getriebe mit der auf dem Typenschild angegebenen Menge und Art des Schmierstoffs.

Schmierstoffe für den Einsatz in der Lebensmittelindustrie erhalten Sie auf Anfrage.

6.5.4.1 Schmierung Zahnstangentrieb

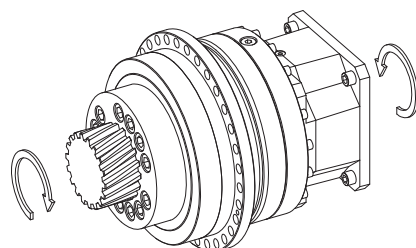
Stellen Sie eine permanente Schmierung des Zahnstangentriebs, mit den im Atlanta-Katalog vorgeschriebenen Schmierstoffen, sicher.

6.5.5 Weitere Produktmerkmale

Merkmal	Wert
Max. zul. Getriebetemperatur (an der Getriebeoberfläche)	$\leq 90^{\circ}\text{C}$
Lackierung	Schwarz RAL 9005
(ATEX-) Richtlinie 2014/34/EU (Option)	Nicht geeignet.
Schutzart: ¹	
Planetengeräte	IP65
Motor	IP56, optional IP66
Ritzel/Zahnstange	IPXX

6.5.6 Drehrichtung

Ein- und Abtrieb drehen sich gleichsinnig.



¹ Beachten Sie die Schutzart aller Komponenten.

6.6 Projektierung

Projektieren Sie Ihre Antriebe mit unserer Auslegungssoftware SERVOSOFT. Laden Sie SERVOSOFT kostenlos unter <https://www.stoeber.de/de/ServoSoft> herunter.

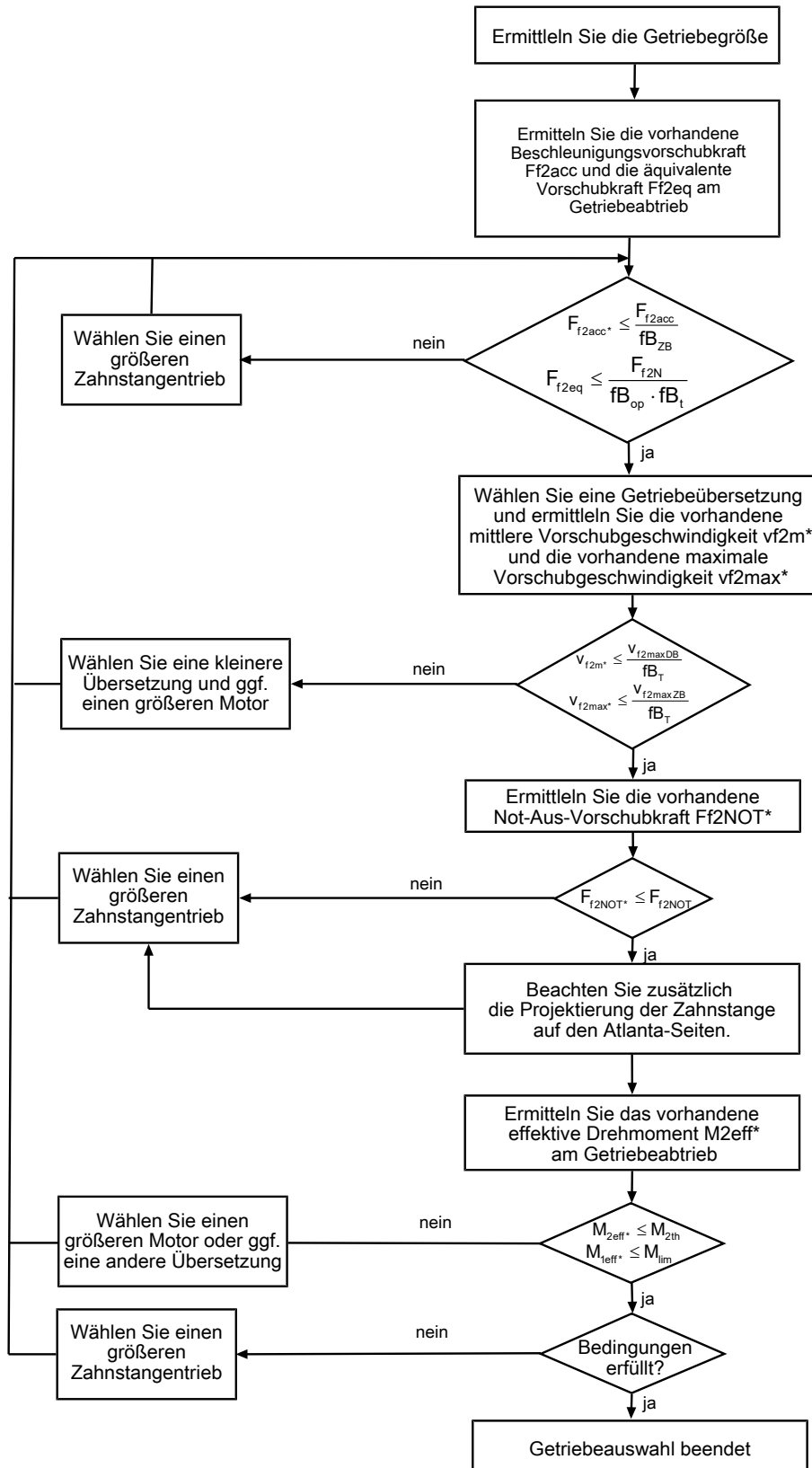
Dies ist die komfortabelste und sicherste Methode der Antriebsauswahl, da hier der komplette Drehmoment-Drehzahl-Verlauf der Anwendung in der Kennlinie des Getriebemotors dargestellt und beurteilt wird.

In diesem Kapitel können für die manuelle Antriebsauswahl nur Grenzwertbetrachtungen für konkrete Arbeitspunkte gemacht werden.

Die Formelzeichen für tatsächlich in der Anwendung vorhandene Werte sind mit einem * gekennzeichnet.

Die Erklärung der Formelzeichen finden Sie im Kapitel [▶ 15.1](#).

6.6.1 Antriebsauswahl

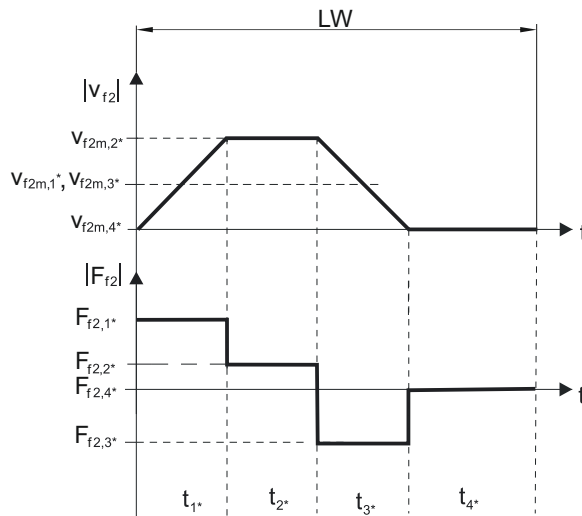


Entnehmen Sie die Werte für i , $v_{f2maxDB}$, $v_{f2maxZB}$, F_{f2acc} , F_{f2N} und F_{f2NOT} den Auswahltabellen.

Entnehmen Sie die Werte für f_{B_T} , $f_{B_{op}}$, f_{B_t} und $f_{B_{ZB}}$ den jeweiligen Tabellen in diesem Kapitel.

Beispiel Zyklusbetrieb

Die nachfolgenden Berechnungen beziehen sich auf eine Darstellung der am Abtrieb abgenommenen Leistung gemäß folgendem Beispiel:



Berechnung der vorhandenen maximalen Beschleunigungsvorschubkraft

$$F_{f2acc*} = m \cdot a^* + F_{L*}$$

Berechnung der vorhandenen mittleren Eintriebsdrehzahl

$$n_{1m*} = \frac{v_{f2m*} \cdot i}{d_0 \cdot \pi}$$

$$v_{f2m*} = \frac{|v_{f2m,1*}| \cdot t_{1*} + \dots + |v_{f2m,n*}| \cdot t_{n*}}{t_{1*} + \dots + t_{n*}}$$

Wenn $t_{1*} + \dots + t_{3*} \geq 6$ min, ermitteln Sie v_{2m*} ohne die Pause t_{4*} .

Entnehmen Sie die Werte für die Übersetzung i den Auswahltabellen.

Berechnung der vorhandenen Not-Aus-Vorschubkraft

$$F_{f2NOT*} = m \cdot a_{NOT*} + F_{L*}$$

Berechnung der vorhandenen äquivalenten Vorschubkraft

$$F_{f2eq*} = \sqrt[3]{\frac{|v_{f2m,1*}| \cdot t_{1*} \cdot |F_{f2,1*}|^3 + \dots + |v_{f2m,n*}| \cdot t_{n*} \cdot |F_{f2,n*}|^3}{|v_{f2m,1*}| \cdot t_{1*} + \dots + |v_{f2m,n*}| \cdot t_{n*}}}$$

Berechnung des thermischen Grenzmoments

Berechnen Sie für eine Einschaltdauer $ED_{10} > 50$ % das thermische Grenzmoment M_{2th} für die vorhandene mittlere Eintriebsdrehzahl n_{1m*} . (Bei $K_{mot,th} \leq 0$ müssen Sie die mittlere Eintriebsdrehzahl n_{1m*} entsprechend reduzieren oder eine andere Baugröße des Getriebemotors wählen.)

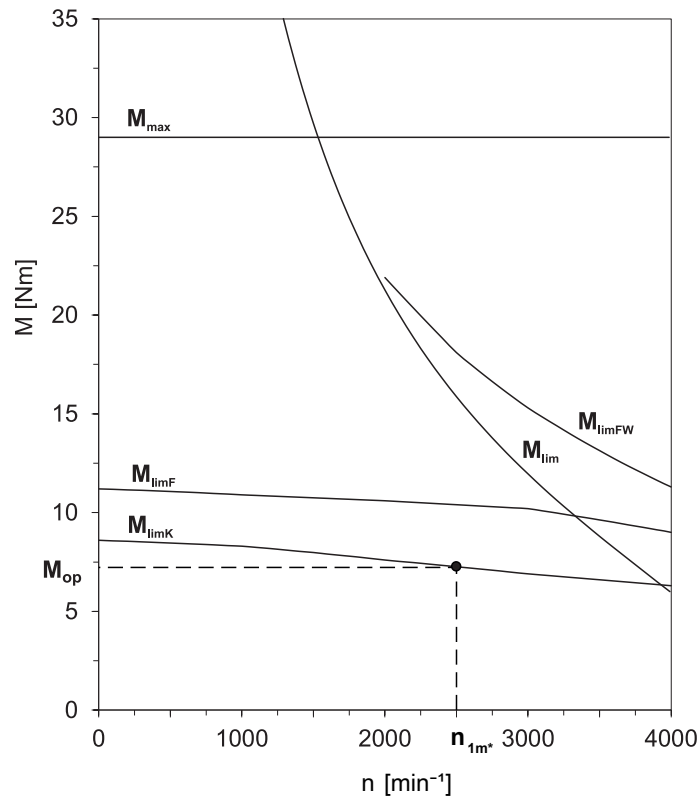
$$M_{2th} = M_{op} \cdot i \cdot K_{mot,th}$$

$$K_{mot,th} = 0,93 - \frac{a_{th}}{1000} \cdot fB_T \cdot \left(\frac{n_{1m*}}{1000}\right)^3$$

Entnehmen Sie die Werte für i und a_{th} den Auswahltabellen.

Entnehmen Sie die Werte für fB_T der entsprechenden Tabelle in diesem Kapitel.

Entnehmen Sie der Motorkennlinie im Kapitel [13.3](#) den Wert für das Drehmoment des Motors im Arbeitspunkt M_{op} bei der ermittelten mittleren Eintriebsdrehzahl n_{1m*} . Beachten Sie dabei die Baugröße, Nenn-drehzahl n_n und Kühlungsart des Motors. Die nachfolgende Abbildung stellt ein Beispiel für das Ablesen des Drehmoments M_{op} eines Motors mit Konvektionskühlung im Arbeitspunkt dar.



Berechnung des vorhandenen effektiven Drehmoments

$$M_{2eff*} = \sqrt{\frac{t_{1*} \cdot M_{2,1*}^2 + \dots + t_{n*} \cdot M_{2,n*}^2}{t_{1*} + \dots + t_{n*}}}$$

$$M_{2,n*} = \frac{F_{f2,n*} \cdot d_0}{2}$$

$$M_{1eff*} = \frac{M_{2eff*}}{i \cdot \eta}$$

Betriebsfaktoren

Betriebsart		fB _{op}
Gleichmäßiger Dauerbetrieb		1,00
Zyklusbetrieb		1,00
Zyklusbetrieb reversierende Last		1,00
Laufzeit		fB _t
Tägliche Laufzeit ≤ 8 h		1,00
Tägliche Laufzeit ≤ 16h		1,15
Tägliche Laufzeit ≤ 24 h		1,20
Zyklusbetrieb		fB _{ZB}
≤ 1000 Lastwechsel/Stunde (LW/h)		1,00
> 1000 Lastwechsel/Stunde (LW/h)		1,15
Temperatur		fB _T
Motorkühlung	Umgebungstemperatur	
Motor mit Fremdbelüftung	≤ 20 °C	0,9
	≤ 30 °C	1,0
	≤ 40 °C	1,15
Motor mit Konvektionskühlung	≤ 20 °C	1,0
	≤ 30 °C	1,1
	≤ 40 °C	1,25

Hinweise

- Die maximal zulässige Getriebetemperatur (siehe Kapitel Weitere Produktmerkmale) darf nicht überschritten werden, da dies zu Beschädigungen führen kann.
- Beachten Sie bei Bremsungen aus voller Drehzahl (z. B. bei einem Spannungsausfall oder beim Einrichten der Maschine) die zulässigen Getriebevorschubkräfte (F_{f2acc} , F_{f2NOT}) in den Auswahltabellen.

6.6.2 Empfehlung Radialwellendichtringe

Für eine Einschaltdauer > 60 % und bei höheren Umgebungstemperaturen empfehlen wir am Abtrieb Radialwellendichtringe aus FKM.

Eigenschaften:

- Hervorragende Temperaturbeständigkeit
- Hohe chemische Stabilität
- Sehr gute Alterungsbeständigkeit
- Hervorragende Beständigkeit in Ölen und Fetten
- Einsatz in der Lebensmittel-, Pharma- und Getränkeindustrie

Leckagesicherheit

Unsere Getriebe sind mit hochwertigen Radialwellendichtringen ausgestattet und auf Dichtheit geprüft. Eine Leckage kann über die Gebrauchsdauer der Getriebe trotzdem nicht völlig ausgeschlossen werden. Wenn Sie die Getriebe mit schmierstoffunverträglichen Gütern einsetzen, müssen Sie Maßnahmen ergreifen, die einen direkten Kontakt mit dem Getriebeschmierstoff im Falle einer Leckage verhindern.

6.7 Weitere Dokumentation

Weitere, das Produkt betreffende Dokumentationen finden Sie unter <http://www.stoeber.de/de/downloads/>

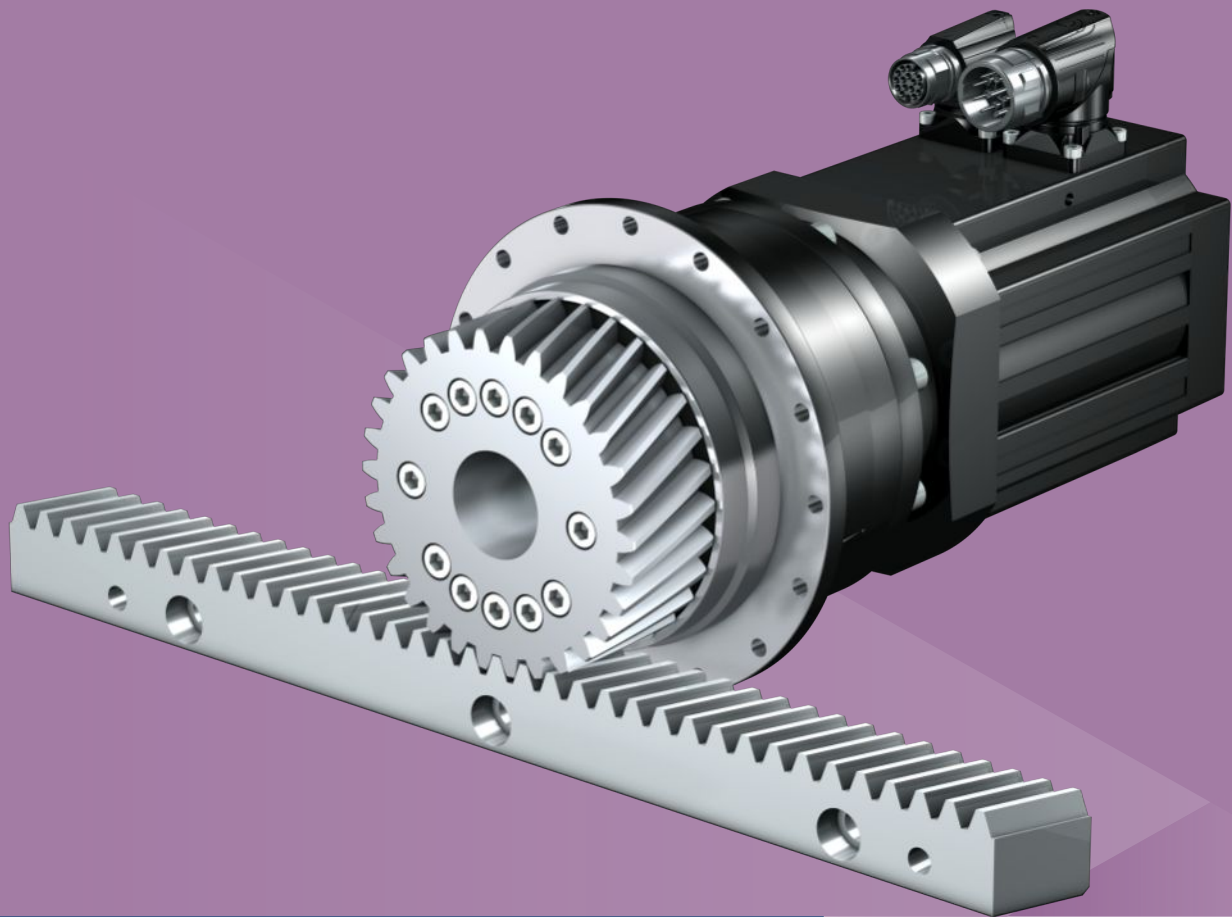
Geben Sie im Feld Suchbegriff die ID der Dokumentation ein.

Dokumentation	ID
Betriebsanleitung Getriebe, Getriebemotoren PHV94 – PHV104	443355_de
Betriebsanleitung Synchron-Servomotoren EZ	443032_de
Betriebsanleitung Zahnstangen (Atlanta)	442455

7 Zahnstangentriebe ZRPH

Inhaltsverzeichnis

7.1	Übersicht	104
7.2	Auswahltablelle	105
7.3	Maßzeichnungen	116
7.4	Typenbezeichnung	118
7.4.1	Typenschild	119
7.5	Produktbeschreibung	119
7.5.1	Eintriebsoptionen	119
7.5.2	Zahnstange	120
7.5.3	Einbaubedingungen	120
7.5.4	Schmierstoffe	120
7.5.5	Weitere Produktmerkmale.....	120
7.5.6	Drehrichtung	120
7.6	Projektierung	121
7.6.1	Antriebsauswahl.....	122
7.6.2	Empfehlung Radialwellendichtringe	125
7.7	Weitere Dokumentation.....	125



7 Zahnstangentriebe

ZRPH

7.1 Übersicht

High-Performance Präzisions-Planetengetriebemotoren mit verschraubtem Ritzel

Merkmale

Leistungsdichte	★★★★☆
Lineares Spiel	★★★★★
Preisklasse	€€€
Laufruhe	★★★★☆
Lineare Steifigkeit	★★★★☆
Massenträgheitsmoment	★★★★☆
Einbaufertige Antriebslösung	✓
Ritzel Verzahnungsqualität 5 (DIN 3962)	✓
Schrägverzahnung	✓
Einsatzgehärtet und geschliffen	✓
Abtriebslager verstärkt (PH3 – PH5)	✓ (Option)
Kompakt und hochdynamisch durch Motordirektanbau	✓

Legende ★☆☆☆☆ gut | ★★★★★ hervorragend
 € Economy | €€€€€ Premium

Technische Daten

m_n	2 – 4 mm
z	30 – 40
F_{f2acc}	0,93 – 16 kN
V_{f2N}	0,16 – 6 m/s
Δs	10 – 56 μm

7.2 Auswahltabelle

Die in den Auswahltabellen angegebenen technischen Daten gelten für:

- Spannungsfreien Einbau
- Permanente Schmierung mit den im Atlanta-Katalog vorgeschriebenen Schmierstoffen
- Werkstoffpaarungen entsprechend Kapitel [▶ 7.5.2](#)
- Aufstellhöhen bis 1000 m über Normalnull
- Umgebungstemperaturen von 0° C bis 40° C
- Ohne Berücksichtigung der thermischen Grenzleistung
- Antriebe mit konvektionsgekühlten Motoren (z. B. EZ401U)

Die technischen Daten für Antriebe mit fremdbelüfteten (z. B. EZ401B) Motoren finden Sie unter

<https://configurator.stoeber.de/de-DE/>

Für Zahnstangentriebe mit reduziertem Drehspiel bzw. verstärkter Lagerung (PH3 – PH5) sind höhere Vor-
schubkräfte möglich. Diese und alle weiteren technischen Daten finden Sie unter <https://configurator.stoeber.de/de-DE/>.

Die Erklärung der Formelzeichen finden Sie im Kapitel [▶ 15.1](#).

v_{fzN} [m/s]	F_{fzN} [kN]	$F_{fz,0}$ [kN]	a_{th}	S	Typ	F_{fzacc} [kN]	F_{fzNOT} [kN]	M_{zacc} [Nm]	i	$v_{fzmaxDB}$ [m/s]	$v_{fzmaxZB}$ [m/s]	Δs [μm]	Δs_{red} [μm]	C_{lin} [N/μm]	m_n [mm]	z	d_0 [mm]
ZR2PH4 ($n_{in} = 3000 \text{ min}^{-1}$; ($F_{fzacc,max} = 4,9 \text{ kN}$))																	
0,16	1,7	1,8	0,6	1,8	ZR233SPH432_0700 EZ301U	4,5	6,4	158	70,00	0,24	0,42	31	10	42	2	33	70,0
0,16	3,0	3,1	1,0	1,0	ZR233SPH432_0700 EZ302U	4,5	6,4	158	70,00	0,24	0,42	31	10	42	2	33	70,0
0,22	1,2	1,3	0,7	2,5	ZR233SPH432_0500 EZ301U	3,7	6,4	130	50,00	0,33	0,59	31	10	44	2	33	70,0
0,22	2,1	2,2	1,2	1,4	ZR233SPH432_0500 EZ302U	4,5	6,4	159	50,00	0,33	0,59	31	10	44	2	33	70,0
0,22	2,7	2,9	1,6	1,1	ZR233SPH432_0500 EZ303U	4,5	6,4	159	50,00	0,33	0,59	31	10	44	2	33	70,0
0,28	1,0	1,0	0,8	2,9	ZR233SPH432_0400 EZ301U	3,0	6,4	104	40,00	0,41	0,73	31	10	44	2	33	70,0
0,28	1,7	1,8	1,4	1,7	ZR233SPH432_0400 EZ302U	4,4	6,4	155	40,00	0,41	0,73	31	10	44	2	33	70,0
0,28	2,2	2,3	1,9	1,3	ZR233SPH432_0400 EZ303U	4,4	6,4	155	40,00	0,41	0,73	31	10	44	2	33	70,0
0,31	0,9	0,9	0,9	3,3	ZR233SPH432_0350 EZ301U	2,6	6,4	91	35,00	0,47	0,84	31	10	45	2	33	70,0
0,31	1,5	1,6	1,5	1,9	ZR233SPH432_0350 EZ302U	4,6	6,4	160	35,00	0,47	0,84	31	10	45	2	33	70,0
0,31	1,9	2,0	1,9	1,5	ZR233SPH432_0350 EZ303U	4,6	6,4	160	35,00	0,47	0,84	31	10	45	2	33	70,0
0,31	2,6	2,8	2,6	1,1	ZR233SPH432_0350 EZ401U	4,6	6,4	160	35,00	0,47	0,84	31	10	45	2	33	70,0
0,39	0,7	0,7	1,1	3,9	ZR233SPH432_0280 EZ301U	2,1	6,4	73	28,00	0,59	1,05	31	10	45	2	33	70,0
0,39	1,2	1,2	1,9	2,3	ZR233SPH432_0280 EZ302U	3,7	6,4	130	28,00	0,59	1,05	31	10	45	2	33	70,0
0,39	1,5	1,6	2,4	1,7	ZR233SPH432_0280 EZ303U	4,6	6,4	160	28,00	0,59	1,05	31	10	45	2	33	70,0
0,39	2,1	2,2	3,3	1,3	ZR233SPH432_0280 EZ401U	4,6	6,4	160	28,00	0,59	1,05	31	10	45	2	33	70,0
0,44	0,6	0,6	1,1	4,2	ZR233SPH432_0250 EZ301U	1,9	6,4	65	25,00	0,66	1,17	31	10	46	2	33	70,0
0,44	1,1	1,1	1,9	2,4	ZR233SPH432_0250 EZ302U	3,3	6,4	116	25,00	0,66	1,17	31	10	46	2	33	70,0
0,44	1,4	1,5	2,4	1,9	ZR233SPH432_0250 EZ303U	4,6	6,4	161	25,00	0,66	1,17	31	10	46	2	33	70,0
0,44	1,9	2,0	3,3	1,4	ZR233SPH432_0250 EZ401U	4,6	6,4	161	25,00	0,66	1,17	31	10	46	2	33	70,0
0,55	0,5	0,5	1,3	4,8	ZR233SPH432_0200 EZ301U	1,5	6,4	52	20,00	0,73	1,47	31	10	45	2	33	70,0
0,55	0,8	0,9	2,2	2,8	ZR233SPH432_0200 EZ302U	2,7	6,4	93	20,00	0,73	1,47	31	10	45	2	33	70,0
0,55	1,1	1,2	2,9	2,2	ZR233SPH432_0200 EZ303U	3,7	6,4	130	20,00	0,73	1,47	31	10	45	2	33	70,0
0,55	1,5	1,6	3,9	1,6	ZR233SPH432_0200 EZ401U	4,3	6,4	150	20,00	0,73	1,47	31	10	45	2	33	70,0
0,69	0,7	0,7	2,6	3,3	ZR233SPH432_0160 EZ302U	2,1	6,4	74	16,00	0,92	1,83	31	10	44	2	33	70,0
0,69	0,9	0,9	3,4	2,5	ZR233SPH432_0160 EZ303U	3,0	6,4	104	16,00	0,92	1,83	31	10	44	2	33	70,0
0,69	1,2	1,3	4,6	1,9	ZR233SPH432_0160 EZ401U	3,6	6,4	126	16,00	0,92	1,83	31	10	44	2	33	70,0
0,69	2,0	2,2	7,6	1,1	ZR233SPH432_0160 EZ402U	4,6	6,4	160	16,00	0,92	1,83	31	10	44	2	33	70,0
1,10	0,8	0,8	2,4	2,2	ZR233SPH431_0100 EZ401U	2,3	6,4	82	10,00	1,28	2,57	31	10	36	2	33	70,0
1,10	1,2	1,3	3,7	1,4	ZR233SPH431_0100 EZ501U	3,3	6,4	115	10,00	1,28	2,57	31	10	36	2	33	70,0
1,10	1,3	1,4	4,1	1,3	ZR233SPH431_0100 EZ402U	3,3	6,4	115	10,00	1,28	2,57	31	10	36	2	33	70,0
1,57	0,5	0,6	3,0	3,1	ZR233SPH431_0070 EZ401U	1,6	6,4	57	7,000	1,68	3,14	31	10	44	2	33	70,0
1,57	0,8	0,9	4,6	2,0	ZR233SPH431_0070 EZ501U	3,1	6,4	108	7,000	1,68	3,14	31	10	44	2	33	70,0
1,57	0,9	1,0	5,0	1,9	ZR233SPH431_0070 EZ402U	3,1	6,4	108	7,000	1,68	3,14	31	10	44	2	33	70,0
1,57	1,3	1,7	7,4	1,3	ZR233SPH431_0070 EZ404U	4,6	6,4	160	7,000	1,68	3,14	31	10	44	2	33	70,0
1,57	1,4	1,5	7,9	1,2	ZR233SPH431_0070 EZ502U	4,6	6,4	160	7,000	1,68	3,14	31	10	44	2	33	70,0
2,20	0,4	0,4	4,5	3,9	ZR233SPH431_0050 EZ401U	1,2	6,4	41	5,000	2,20	4,40	31	10	48	2	33	70,0
2,20	0,6	0,6	6,9	2,6	ZR233SPH431_0050 EZ501U	2,2	6,4	77	5,000	2,20	4,40	31	10	48	2	33	70,0
2,20	0,6	0,7	7,5	2,3	ZR233SPH431_0050 EZ402U	2,2	6,4	77	5,000	2,20	4,40	31	10	48	2	33	70,0
2,20	0,9	1,2	11	1,6	ZR233SPH431_0050 EZ404U	4,0	6,4	139	5,000	2,20	4,40	31	10	48	2	33	70,0
2,20	1,0	1,1	12	1,5	ZR233SPH431_0050 EZ502U	4,2	6,4	149	5,000	2,20	4,40	31	10	48	2	33	70,0
2,20	1,3	1,5	16	1,1	ZR233SPH431_0050 EZ503U	4,9	6,4	172	5,000	2,20	4,40	31	10	48	2	33	70,0
2,75	0,3	0,3	5,9	4,5	ZR233SPH431_0040 EZ401U	0,9	6,4	33	4,000	2,38	4,58	31	10	50	2	33	70,0
2,75	0,5	0,5	9,0	3,0	ZR233SPH431_0040 EZ501U	1,8	6,4	61	4,000	2,38	4,58	31	10	50	2	33	70,0
2,75	0,5	0,6	9,8	2,7	ZR233SPH431_0040 EZ402U	1,8	6,4	61	4,000	2,38	4,58	31	10	50	2	33	70,0
2,75	0,8	0,9	14	1,8	ZR233SPH431_0040 EZ404U	3,2	6,4	111	4,000	2,38	4,58	31	10	50	2	33	70,0

7.2 Auswahltabelle 7 Zahnstangentriebe ZRPH

v_{fzN} [m/s]	F_{fzN} [kN]	$F_{fz,0}$ [kN]	a_{th}	S	Typ	F_{fzacc} [kN]	F_{fzNOT} [kN]	M_{2acc} [Nm]	i	$v_{fzmaxDB}$ [m/s]	$v_{fzmaxZB}$ [m/s]	Δs [μm]	Δs_{red} [μm]	C_{lin} [N/μm]	m_n [mm]	z	d_0 [mm]
ZR2PH4 ($n_{1N} = 3000 \text{ min}^{-1}$, ($F_{fzacc,max} = 4,9 \text{ kN}$))																	
2,75	0,8	0,9	15	1,7	ZR233SPH431_0040 EZ502U	3,4	6,4	119	4,000	2,38	4,58	31	10	50	2	33	70,0
2,75	1,1	1,2	20	1,3	ZR233SPH431_0040 EZ503U	3,9	6,4	136	4,000	2,38	4,58	31	10	50	2	33	70,0
ZR2PH4 ($n_{1N} = 4500 \text{ min}^{-1}$, ($F_{fzacc,max} = 4,9 \text{ kN}$))																	
3,30	1,3	2,1	17	1,0	ZR233SPH431_0050 EZ505U	4,9	6,4	172	5,000	2,20	4,40	31	10	48	2	33	70,0
4,13	1,0	1,7	23	1,2	ZR233SPH431_0040 EZ505U	3,9	6,4	136	4,000	2,38	4,58	31	10	50	2	33	70,0
ZR2PH4 ($n_{1N} = 6000 \text{ min}^{-1}$, ($F_{fzacc,max} = 4,9 \text{ kN}$))																	
0,31	1,7	1,8	0,7	1,5	ZR233SPH432_0700 EZ301U	4,5	6,4	158	70,00	0,24	0,42	31	10	42	2	33	70,0
0,44	1,2	1,3	0,9	2,1	ZR233SPH432_0500 EZ301U	3,7	6,4	130	50,00	0,33	0,59	31	10	44	2	33	70,0
0,44	2,0	2,2	1,5	1,2	ZR233SPH432_0500 EZ302U	4,5	6,4	159	50,00	0,33	0,59	31	10	44	2	33	70,0
0,55	0,9	1,0	1,0	2,4	ZR233SPH432_0400 EZ301U	3,0	6,4	104	40,00	0,41	0,73	31	10	44	2	33	70,0
0,55	1,6	1,8	1,7	1,4	ZR233SPH432_0400 EZ302U	4,4	6,4	155	40,00	0,41	0,73	31	10	44	2	33	70,0
0,55	2,1	2,4	2,2	1,1	ZR233SPH432_0400 EZ303U	4,4	6,4	155	40,00	0,41	0,73	31	10	44	2	33	70,0
0,63	0,8	0,9	1,0	2,8	ZR233SPH432_0350 EZ301U	2,6	6,4	91	35,00	0,47	0,84	31	10	45	2	33	70,0
0,63	1,4	1,6	1,7	1,6	ZR233SPH432_0350 EZ302U	4,6	6,4	160	35,00	0,47	0,84	31	10	45	2	33	70,0
0,63	1,8	2,1	2,3	1,3	ZR233SPH432_0350 EZ303U	4,6	6,4	160	35,00	0,47	0,84	31	10	45	2	33	70,0
0,63	2,1	2,6	2,7	1,1	ZR233SPH432_0350 EZ401U	4,6	6,4	160	35,00	0,47	0,84	31	10	45	2	33	70,0
0,79	0,7	0,7	1,2	3,2	ZR233SPH432_0280 EZ301U	2,1	6,4	73	28,00	0,59	1,05	31	10	45	2	33	70,0
0,79	1,1	1,2	2,0	1,9	ZR233SPH432_0280 EZ302U	3,7	6,4	130	28,00	0,59	1,05	31	10	45	2	33	70,0
0,79	1,5	1,7	2,6	1,5	ZR233SPH432_0280 EZ303U	4,6	6,4	160	28,00	0,59	1,05	31	10	45	2	33	70,0
0,79	1,7	2,1	3,0	1,2	ZR233SPH432_0280 EZ401U	4,6	6,4	160	28,00	0,59	1,05	31	10	45	2	33	70,0
0,88	0,6	0,6	1,2	3,5	ZR233SPH432_0250 EZ301U	1,9	6,4	65	25,00	0,66	1,17	31	10	46	2	33	70,0
0,88	1,0	1,1	2,1	2,0	ZR233SPH432_0250 EZ302U	3,3	6,4	116	25,00	0,66	1,17	31	10	46	2	33	70,0
0,88	1,3	1,5	2,7	1,6	ZR233SPH432_0250 EZ303U	4,6	6,4	161	25,00	0,66	1,17	31	10	46	2	33	70,0
0,88	1,5	1,9	3,2	1,3	ZR233SPH432_0250 EZ401U	4,6	6,4	161	25,00	0,66	1,17	31	10	46	2	33	70,0
1,10	0,5	0,5	1,4	4,0	ZR233SPH432_0200 EZ301U	1,5	6,4	52	20,00	0,73	1,47	31	10	45	2	33	70,0
1,10	0,8	0,9	2,3	2,4	ZR233SPH432_0200 EZ302U	2,7	6,4	93	20,00	0,73	1,47	31	10	45	2	33	70,0
1,10	1,0	1,2	3,0	1,8	ZR233SPH432_0200 EZ303U	3,7	6,4	130	20,00	0,73	1,47	31	10	45	2	33	70,0
1,10	1,2	1,5	3,5	1,6	ZR233SPH432_0200 EZ401U	4,3	6,4	150	20,00	0,73	1,47	31	10	45	2	33	70,0
1,10	1,9	2,6	5,4	1,0	ZR233SPH432_0200 EZ402U	4,3	6,4	150	20,00	0,73	1,47	31	10	45	2	33	70,0
1,38	0,4	0,4	1,7	4,6	ZR233SPH432_0160 EZ301U	1,2	6,4	42	16,00	0,92	1,83	31	10	44	2	33	70,0
1,38	0,6	0,7	2,8	2,8	ZR233SPH432_0160 EZ302U	2,1	6,4	74	16,00	0,92	1,83	31	10	44	2	33	70,0
1,38	0,8	1,0	3,6	2,1	ZR233SPH432_0160 EZ303U	3,0	6,4	104	16,00	0,92	1,83	31	10	44	2	33	70,0
1,38	1,0	1,2	4,3	1,8	ZR233SPH432_0160 EZ401U	3,6	6,4	126	16,00	0,92	1,83	31	10	44	2	33	70,0
1,38	1,5	2,1	6,5	1,2	ZR233SPH432_0160 EZ402U	4,6	6,4	160	16,00	0,92	1,83	31	10	44	2	33	70,0
2,20	0,6	0,8	2,5	2,1	ZR233SPH431_0100 EZ401U	2,3	6,4	82	10,00	1,28	2,57	31	10	36	2	33	70,0
2,20	0,9	1,2	3,7	1,4	ZR233SPH431_0100 EZ501U	3,3	6,4	115	10,00	1,28	2,57	31	10	36	2	33	70,0
2,20	1,0	1,3	3,8	1,4	ZR233SPH431_0100 EZ402U	3,3	6,4	115	10,00	1,28	2,57	31	10	36	2	33	70,0
3,14	0,4	0,5	3,1	3,0	ZR233SPH431_0070 EZ401U	1,6	6,4	57	7,000	1,68	3,14	31	10	44	2	33	70,0
3,14	0,7	0,8	4,6	2,0	ZR233SPH431_0070 EZ501U	3,1	6,4	108	7,000	1,68	3,14	31	10	44	2	33	70,0
3,14	0,7	0,9	4,7	2,0	ZR233SPH431_0070 EZ402U	3,1	6,4	108	7,000	1,68	3,14	31	10	44	2	33	70,0
3,14	1,0	1,5	7,0	1,3	ZR233SPH431_0070 EZ502U	4,6	6,4	160	7,000	1,68	3,14	31	10	44	2	33	70,0
3,14	1,1	1,6	7,8	1,2	ZR233SPH431_0070 EZ404U	4,6	6,4	160	7,000	1,68	3,14	31	10	44	2	33	70,0
3,14	1,2	2,0	8,4	1,1	ZR233SPH431_0070 EZ503U	4,6	6,4	160	7,000	1,68	3,14	31	10	44	2	33	70,0
4,40	0,3	0,4	4,6	3,8	ZR233SPH431_0050 EZ401U	1,2	6,4	41	5,000	2,20	4,40	31	10	48	2	33	70,0
4,40	0,5	0,6	6,9	2,6	ZR233SPH431_0050 EZ501U	2,2	6,4	77	5,000	2,20	4,40	31	10	48	2	33	70,0
4,40	0,5	0,7	7,1	2,5	ZR233SPH431_0050 EZ402U	2,2	6,4	77	5,000	2,20	4,40	31	10	48	2	33	70,0
4,40	0,7	1,1	10	1,7	ZR233SPH431_0050 EZ502U	4,2	6,4	149	5,000	2,20	4,40	31	10	48	2	33	70,0
4,40	0,8	1,2	12	1,5	ZR233SPH431_0050 EZ404U	4,0	6,4	139	5,000	2,20	4,40	31	10	48	2	33	70,0
4,40	0,8	1,5	13	1,4	ZR233SPH431_0050 EZ503U	4,9	6,4	172	5,000	2,20	4,40	31	10	48	2	33	70,0
ZR2PH5 ($n_{1N} = 3000 \text{ min}^{-1}$, ($F_{fzacc,max} = 8,1 \text{ kN}$))																	
0,19	4,3	4,6	0,8	1,2	ZR240SPH532_0700 EZ401U	8,1	10	345	70,00	0,25	0,51	37	12	69	2	40	84,9
0,27	3,1	3,3	1,0	1,5	ZR240SPH532_0500 EZ401U	8,1	10	345	50,00	0,36	0,71	37	12	73	2	40	84,9
0,33	2,5	2,6	1,4	1,8	ZR240SPH532_0400 EZ401U	7,5	10	316	40,00	0,44	0,89	37	12	70	2	40	84,9
0,33	3,8	4,1	2,1	1,1	ZR240SPH532_0400 EZ501U	8,1	10	345	40,00	0,44	0,89	37	12	70	2	40	84,9
0,33	4,1	4,6	2,3	1,0	ZR240SPH532_0400 EZ402U	8,1	10	345	40,00	0,44	0,89	37	12	70	2	40	84,9
0,38	2,1	2,3	1,2	1,9	ZR240SPH532_0350 EZ401U	6,5	10	277	35,00	0,51	1,02	37	12	75	2	40	84,9
0,38	3,3	3,6	1,8	1,2	ZR240SPH532_0350 EZ501U	8,1	10	345	35,00	0,51	1,02	37	12	75	2	40	84,9
0,38	3,6	4,0	2,0	1,1	ZR240SPH532_0350 EZ402U	8,1	10	345	35,00	0,51	1,02	37	12	75	2	40	84,9
0,48	1,7	1,8	1,4	2,2	ZR240SPH532_0280 EZ401U	5,2	10	221	28,00	0,64	1,27	37	12	73	2	40	84,9
0,48	2,6	2,9	2,2	1,4	ZR240SPH532_0280 EZ501U	8,1	10	345	28,00	0,64	1,27	37	12	73	2	40	84,9
0,48	2,9	3,2	2,4	1,3	ZR240SPH532_0280 EZ402U	8,1	10	345	28,00	0,64	1,27	37	12	73	2	40	84,9
0,53	1,5	1,6	1,4	2,4	ZR240SPH532_0250 EZ401U	4,7	10	198	25,00	0,66	1,33	37	12	75	2	40	84,9
0,53	2,4	2,6	2,2	1,6	ZR240SPH532_0250 EZ501U	8,1	10	345	25,00	0,66	1,33	37	12	75	2	40	84,9
0,53	2,6	2,8	2,4	1,4	ZR240SPH532_0250 EZ402U	8,1	10	345	25,00	0,66	1,33	37	12	75	2	40	84,9
0,67	1,2	1,3	1,6	2,8	ZR240SPH532_0200 EZ401U	3,7	10	158	20,00	0,78	1,56	37	12	75	2	40	84,9
0,67	1,9	2,1	2,5	1,8	ZR240SPH532_0200 EZ501U	7,0	10	298	20,00	0,78	1,56	37	12	75	2	40	84,9

v_{f2N} [m/s]	F_{f2N} [kN]	$F_{f2,0}$ [kN]	a_{th}	S	Typ	F_{f2acc} [kN]	F_{f2NOT} [kN]	M_{2acc} [Nm]	i	$v_{f2maxDB}$ [m/s]	$v_{f2maxZB}$ [m/s]	Δs [μm]	Δs_{red} [μm]	C_{lin} [N/μm]	m_n [mm]	z	d_0 [mm]
ZR2PH5 ($n_{IN} = 3000 \text{ min}^{-1}$, ($F_{f2acc,max} = 8,1 \text{ kN}$))																	
0,67	2,1	2,3	2,7	1,7	ZR240SPH532_0200 EZ402U	7,0	10	298	20,00	0,78	1,56	37	12	75	2	40	84,9
0,67	3,0	3,8	4,0	1,1	ZR240SPH532_0200 EZ404U	8,1	10	345	20,00	0,78	1,56	37	12	75	2	40	84,9
0,67	3,2	3,5	4,3	1,1	ZR240SPH532_0200 EZ502U	8,1	10	345	20,00	0,78	1,56	37	12	75	2	40	84,9
0,83	1,0	1,1	2,0	3,2	ZR240SPH532_0160 EZ401U	3,0	10	126	16,00	0,97	1,94	37	12	74	2	40	84,9
0,83	1,5	1,6	3,0	2,1	ZR240SPH532_0160 EZ501U	5,6	10	238	16,00	0,97	1,94	37	12	74	2	40	84,9
0,83	1,6	1,8	3,3	1,9	ZR240SPH532_0160 EZ402U	5,6	10	238	16,00	0,97	1,94	37	12	74	2	40	84,9
0,83	2,4	3,0	4,9	1,3	ZR240SPH532_0160 EZ404U	8,1	10	345	16,00	0,97	1,94	37	12	74	2	40	84,9
0,83	2,6	2,8	5,2	1,2	ZR240SPH532_0160 EZ502U	8,1	10	345	16,00	0,97	1,94	37	12	74	2	40	84,9
1,33	1,0	1,1	1,7	2,8	ZR240SPH531_0100 EZ501U	3,6	10	154	10,00	1,47	2,89	37	12	59	2	40	84,9
1,33	1,7	1,8	3,0	1,6	ZR240SPH531_0100 EZ502U	6,8	10	288	10,00	1,47	2,89	37	12	59	2	40	84,9
1,33	1,7	1,9	3,0	1,6	ZR240SPH531_0100 EZ701U	4,5	10	192	10,00	1,47	2,89	37	12	59	2	40	84,9
1,33	2,2	2,5	3,9	1,2	ZR240SPH531_0100 EZ503U	6,8	10	288	10,00	1,47	2,89	37	12	59	2	40	84,9
1,91	0,7	0,7	2,1	3,5	ZR240SPH531_0070 EZ501U	2,5	10	108	7,000	1,91	3,81	37	12	71	2	40	84,9
1,91	1,2	1,3	3,6	2,1	ZR240SPH531_0070 EZ502U	4,9	10	208	7,000	1,91	3,81	37	12	71	2	40	84,9
1,91	1,2	1,3	3,6	2,1	ZR240SPH531_0070 EZ701U	3,2	10	134	7,000	1,91	3,81	37	12	71	2	40	84,9
1,91	1,5	1,8	4,7	1,6	ZR240SPH531_0070 EZ503U	6,8	10	289	7,000	1,91	3,81	37	12	71	2	40	84,9
1,91	1,9	2,3	5,8	1,3	ZR240SPH531_0070 EZ702U	6,5	10	276	7,000	1,91	3,81	37	12	71	2	40	84,9
1,91	2,1	2,5	6,5	1,1	ZR240SPH531_0070 EZ505U	8,1	10	345	7,000	1,91	3,81	37	12	71	2	40	84,9
2,67	0,5	0,5	3,1	4,4	ZR240SPH531_0050 EZ501U	1,8	10	77	5,000	2,22	4,89	37	12	80	2	40	84,9
2,67	0,8	0,9	5,3	2,6	ZR240SPH531_0050 EZ502U	3,5	10	149	5,000	2,22	4,89	37	12	80	2	40	84,9
2,67	0,8	0,9	5,3	2,6	ZR240SPH531_0050 EZ701U	2,3	10	96	5,000	2,22	4,89	37	12	80	2	40	84,9
2,67	1,1	1,3	7,0	2,0	ZR240SPH531_0050 EZ503U	4,9	10	206	5,000	2,22	4,89	37	12	80	2	40	84,9
2,67	1,4	1,6	8,6	1,6	ZR240SPH531_0050 EZ702U	4,6	10	197	5,000	2,22	4,89	37	12	80	2	40	84,9
2,67	1,5	1,8	9,7	1,4	ZR240SPH531_0050 EZ505U	7,6	10	322	5,000	2,22	4,89	37	12	80	2	40	84,9
2,67	1,9	2,4	12	1,2	ZR240SPH531_0050 EZ703U	7,4	10	312	5,000	2,22	4,89	37	12	80	2	40	84,9
3,33	0,7	0,7	7,0	3,0	ZR240SPH531_0040 EZ502U	2,8	10	119	4,000	2,44	5,56	37	12	81	2	40	84,9
3,33	0,7	0,8	7,0	3,0	ZR240SPH531_0040 EZ701U	1,8	10	77	4,000	2,44	5,56	37	12	81	2	40	84,9
3,33	0,9	1,0	9,1	2,3	ZR240SPH531_0040 EZ503U	3,9	10	165	4,000	2,44	5,56	37	12	81	2	40	84,9
3,33	1,1	1,3	11	1,8	ZR240SPH531_0040 EZ702U	3,7	10	157	4,000	2,44	5,56	37	12	81	2	40	84,9
3,33	1,2	1,4	13	1,6	ZR240SPH531_0040 EZ505U	6,1	10	257	4,000	2,44	5,56	37	12	81	2	40	84,9
3,33	1,5	1,9	16	1,3	ZR240SPH531_0040 EZ703U	5,9	10	250	4,000	2,44	5,56	37	12	81	2	40	84,9
3,33	1,9	2,7	20	1,0	ZR240SPH531_0040 EZ705U	8,1	10	345	4,000	2,44	5,56	37	12	81	2	40	84,9
ZR2PH5 ($n_{IN} = 4500 \text{ min}^{-1}$, ($F_{f2acc,max} = 8,1 \text{ kN}$))																	
2,00	2,1	3,5	4,4	1,1	ZR240SPH531_0100 EZ505U	6,8	10	288	10,00	1,47	2,89	37	12	59	2	40	84,9
2,86	1,5	2,4	5,2	1,4	ZR240SPH531_0070 EZ505U	8,1	10	345	7,000	1,91	3,81	37	12	71	2	40	84,9
2,86	1,9	3,2	6,7	1,1	ZR240SPH531_0070 EZ703U	8,1	10	345	7,000	1,91	3,81	37	12	71	2	40	84,9
4,00	1,1	1,7	7,8	1,8	ZR240SPH531_0050 EZ505U	7,6	10	322	5,000	2,22	4,89	37	12	80	2	40	84,9
4,00	1,4	2,3	10	1,4	ZR240SPH531_0050 EZ703U	7,4	10	312	5,000	2,22	4,89	37	12	80	2	40	84,9
4,00	1,9	3,4	14	1,0	ZR240SPH531_0050 EZ705U	8,1	10	345	5,000	2,22	4,89	37	12	80	2	40	84,9
5,00	0,9	1,4	10	2,0	ZR240SPH531_0040 EZ505U	6,1	10	257	4,000	2,44	5,56	37	12	81	2	40	84,9
5,00	1,1	1,8	13	1,6	ZR240SPH531_0040 EZ703U	5,9	10	250	4,000	2,44	5,56	37	12	81	2	40	84,9
5,00	1,5	2,7	18	1,2	ZR240SPH531_0040 EZ705U	8,1	10	345	4,000	2,44	5,56	37	12	81	2	40	84,9
ZR2PH5 ($n_{IN} = 6000 \text{ min}^{-1}$, ($F_{f2acc,max} = 8,1 \text{ kN}$))																	
0,38	3,5	4,3	0,9	1,2	ZR240SPH532_0700 EZ401U	8,1	10	345	70,00	0,25	0,51	37	12	69	2	40	84,9
0,53	2,5	3,1	1,0	1,5	ZR240SPH532_0500 EZ401U	8,1	10	345	50,00	0,36	0,71	37	12	73	2	40	84,9
0,67	2,0	2,5	1,4	1,7	ZR240SPH532_0400 EZ401U	7,5	10	316	40,00	0,44	0,89	37	12	70	2	40	84,9
0,67	3,0	3,9	2,1	1,1	ZR240SPH532_0400 EZ501U	8,1	10	345	40,00	0,44	0,89	37	12	70	2	40	84,9
0,67	3,1	4,3	2,2	1,1	ZR240SPH532_0400 EZ402U	8,1	10	345	40,00	0,44	0,89	37	12	70	2	40	84,9
0,76	1,8	2,1	1,2	1,9	ZR240SPH532_0350 EZ401U	6,5	10	277	35,00	0,51	1,02	37	12	75	2	40	84,9
0,76	2,6	3,4	1,8	1,3	ZR240SPH532_0350 EZ501U	8,1	10	345	35,00	0,51	1,02	37	12	75	2	40	84,9
0,76	2,7	3,8	1,8	1,2	ZR240SPH532_0350 EZ402U	8,1	10	345	35,00	0,51	1,02	37	12	75	2	40	84,9
0,95	1,4	1,7	1,4	2,2	ZR240SPH532_0280 EZ401U	5,2	10	221	28,00	0,64	1,27	37	12	73	2	40	84,9
0,95	2,1	2,7	2,1	1,5	ZR240SPH532_0280 EZ501U	8,1	10	345	28,00	0,64	1,27	37	12	73	2	40	84,9
0,95	2,1	3,0	2,1	1,4	ZR240SPH532_0280 EZ402U	8,1	10	345	28,00	0,64	1,27	37	12	73	2	40	84,9
1,07	1,3	1,5	1,4	2,3	ZR240SPH532_0250 EZ401U	4,7	10	198	25,00	0,66	1,33	37	12	75	2	40	84,9
1,07	1,9	2,4	2,1	1,6	ZR240SPH532_0250 EZ501U	8,1	10	345	25,00	0,66	1,33	37	12	75	2	40	84,9
1,07	1,9	2,7	2,2	1,5	ZR240SPH532_0250 EZ402U	8,1	10	345	25,00	0,66	1,33	37	12	75	2	40	84,9
1,07	2,8	4,3	3,2	1,0	ZR240SPH532_0250 EZ502U	8,1	10	345	25,00	0,66	1,33	37	12	75	2	40	84,9
1,33	1,0	1,2	1,6	2,7	ZR240SPH532_0200 EZ401U	3,7	10	158	20,00	0,78	1,56	37	12	75	2	40	84,9
1,33	1,5	1,9	2,4	1,8	ZR240SPH532_0200 EZ501U	7,0	10	298	20,00	0,78	1,56	37	12	75	2	40	84,9
1,33	1,5	2,1	2,4	1,8	ZR240SPH532_0200 EZ402U	7,0	10	298	20,00	0,78	1,56	37	12	75	2	40	84,9
1,33	2,3	3,4	3,6	1,2	ZR240SPH532_0200 EZ502U	8,1	10	345	20,00	0,78	1,56	37	12	75	2	40	84,9
1,33	2,5	3,7	4,0	1,1	ZR240SPH532_0200 EZ404U	8,1	10	345	20,00	0,78	1,56	37	12	75	2	40	84,9
1,67	0,8	1,0	1,9	3,1	ZR240SPH532_0160 EZ401U	3,0	10	126	16,00	0,97	1,94	37	12	74	2	40	84,9
1,67	1,2	1,5	2,8	2,1	ZR240SPH532_0160 EZ501U	5,6	10	238	16,00	0,97	1,94	37	12	74	2	40	84,9
1,67	1,2	1,7	2,9	2,1	ZR240SPH532_0160 EZ402U	5,6	10	238	16,00	0,97	1,94	37	12	74	2	40	84,9

7.2 Auswahltabelle 7 Zahnstangentriebe ZRPH

v_{fzN} [m/s]	F_{fzN} [kN]	$F_{fz,0}$ [kN]	a_{th}	S	Typ	F_{fzacc} [kN]	F_{fzNOT} [kN]	M_{zacc} [Nm]	i	$v_{fzmaxDB}$ [m/s]	$v_{fzmaxZB}$ [m/s]	Δs [μm]	Δs_{red} [μm]	C_{lin} [N/μm]	m_n [mm]	z	d_0 [mm]
ZR2PH5 ($n_{1N} = 6000 \text{ min}^{-1}$, ($F_{fzacc,max} = 8,1 \text{ kN}$))																	
1,67	1,8	2,7	4,3	1,4	ZR240SPH532_0160 EZ502U	8,1	10	345	16,00	0,97	1,94	37	12	74	2	40	84,9
1,67	2,0	2,9	4,8	1,2	ZR240SPH532_0160 EZ404U	8,1	10	345	16,00	0,97	1,94	37	12	74	2	40	84,9
1,67	2,2	3,7	5,2	1,2	ZR240SPH532_0160 EZ503U	8,1	10	345	16,00	0,97	1,94	37	12	74	2	40	84,9
2,67	0,8	1,0	1,7	2,8	ZR240SPH531_0100 EZ501U	3,6	10	154	10,00	1,47	2,89	37	12	59	2	40	84,9
2,67	1,2	1,8	2,6	1,8	ZR240SPH531_0100 EZ502U	6,8	10	288	10,00	1,47	2,89	37	12	59	2	40	84,9
2,67	1,2	1,8	2,6	1,8	ZR240SPH531_0100 EZ701U	4,5	10	192	10,00	1,47	2,89	37	12	59	2	40	84,9
2,67	1,4	2,4	3,1	1,5	ZR240SPH531_0100 EZ503U	6,8	10	288	10,00	1,47	2,89	37	12	59	2	40	84,9
2,67	1,6	3,2	3,7	1,3	ZR240SPH531_0100 EZ702U	6,8	10	288	10,00	1,47	2,89	37	12	59	2	40	84,9
3,81	0,5	0,7	2,1	3,6	ZR240SPH531_0070 EZ501U	2,5	10	108	7,000	1,91	3,81	37	12	71	2	40	84,9
3,81	0,8	1,2	3,2	2,3	ZR240SPH531_0070 EZ502U	4,9	10	208	7,000	1,91	3,81	37	12	71	2	40	84,9
3,81	0,8	1,3	3,2	2,3	ZR240SPH531_0070 EZ701U	3,2	10	134	7,000	1,91	3,81	37	12	71	2	40	84,9
3,81	1,0	1,7	3,8	1,9	ZR240SPH531_0070 EZ503U	6,8	10	289	7,000	1,91	3,81	37	12	71	2	40	84,9
3,81	1,1	2,3	4,4	1,7	ZR240SPH531_0070 EZ702U	6,5	10	276	7,000	1,91	3,81	37	12	71	2	40	84,9
ZR3PH5 ($n_{1N} = 3000 \text{ min}^{-1}$, ($F_{fzacc,max} = 7,7 \text{ kN}$))																	
0,21	3,8	4,1	0,8	1,3	ZR330SPH532_0700 EZ401U	7,7	9,6	368	70,00	0,29	0,57	42	14	55	3	30	95,5
0,30	2,7	2,9	1,0	1,7	ZR330SPH532_0500 EZ401U	7,7	9,6	368	50,00	0,40	0,80	42	14	58	3	30	95,5
0,30	4,2	4,6	1,6	1,1	ZR330SPH532_0500 EZ501U	7,7	9,6	368	50,00	0,40	0,80	42	14	58	3	30	95,5
0,38	2,2	2,3	1,4	1,9	ZR330SPH532_0400 EZ401U	6,6	9,6	316	40,00	0,50	1,00	42	14	56	3	30	95,5
0,38	3,4	3,7	2,1	1,3	ZR330SPH532_0400 EZ501U	7,4	9,6	355	40,00	0,50	1,00	42	14	56	3	30	95,5
0,38	3,7	4,1	2,3	1,2	ZR330SPH532_0400 EZ402U	7,4	9,6	355	40,00	0,50	1,00	42	14	56	3	30	95,5
0,43	1,9	2,0	1,2	2,1	ZR330SPH532_0350 EZ401U	5,8	9,6	277	35,00	0,57	1,14	42	14	60	3	30	95,5
0,43	2,9	3,2	1,8	1,4	ZR330SPH532_0350 EZ501U	7,7	9,6	368	35,00	0,57	1,14	42	14	60	3	30	95,5
0,43	3,2	3,5	2,0	1,3	ZR330SPH532_0350 EZ402U	7,7	9,6	368	35,00	0,57	1,14	42	14	60	3	30	95,5
0,54	1,5	1,6	1,4	2,5	ZR330SPH532_0280 EZ401U	4,6	9,6	221	28,00	0,71	1,43	42	14	58	3	30	95,5
0,54	2,3	2,6	2,2	1,6	ZR330SPH532_0280 EZ501U	7,4	9,6	355	28,00	0,71	1,43	42	14	58	3	30	95,5
0,54	2,6	2,8	2,4	1,5	ZR330SPH532_0280 EZ402U	7,4	9,6	355	28,00	0,71	1,43	42	14	58	3	30	95,5
0,60	1,4	1,5	1,4	2,6	ZR330SPH532_0250 EZ401U	4,1	9,6	198	25,00	0,74	1,50	42	14	60	3	30	95,5
0,60	2,1	2,3	2,2	1,7	ZR330SPH532_0250 EZ501U	7,7	9,6	368	25,00	0,74	1,50	42	14	60	3	30	95,5
0,60	2,3	2,5	2,4	1,6	ZR330SPH532_0250 EZ402U	7,7	9,6	368	25,00	0,74	1,50	42	14	60	3	30	95,5
0,60	3,4	4,2	3,5	1,1	ZR330SPH532_0250 EZ404U	7,7	9,6	368	25,00	0,74	1,50	42	14	60	3	30	95,5
0,60	3,6	3,9	3,7	1,0	ZR330SPH532_0250 EZ502U	7,7	9,6	368	25,00	0,74	1,50	42	14	60	3	30	95,5
0,75	1,1	1,2	1,6	3,1	ZR330SPH532_0200 EZ401U	3,3	9,6	158	20,00	0,88	1,75	42	14	60	3	30	95,5
0,75	1,7	1,8	2,5	2,0	ZR330SPH532_0200 EZ501U	6,2	9,6	298	20,00	0,88	1,75	42	14	60	3	30	95,5
0,75	1,8	2,0	2,7	1,8	ZR330SPH532_0200 EZ402U	6,2	9,6	298	20,00	0,88	1,75	42	14	60	3	30	95,5
0,75	2,7	3,4	4,0	1,2	ZR330SPH532_0200 EZ404U	7,7	9,6	368	20,00	0,88	1,75	42	14	60	3	30	95,5
0,75	2,9	3,1	4,3	1,2	ZR330SPH532_0200 EZ502U	7,7	9,6	368	20,00	0,88	1,75	42	14	60	3	30	95,5
0,94	0,9	0,9	2,0	3,6	ZR330SPH532_0160 EZ401U	2,6	9,6	126	16,00	1,09	2,19	42	14	59	3	30	95,5
0,94	1,3	1,5	3,0	2,3	ZR330SPH532_0160 EZ501U	5,0	9,6	238	16,00	1,09	2,19	42	14	59	3	30	95,5
0,94	1,5	1,6	3,3	2,1	ZR330SPH532_0160 EZ402U	5,0	9,6	238	16,00	1,09	2,19	42	14	59	3	30	95,5
0,94	2,2	2,7	4,9	1,4	ZR330SPH532_0160 EZ404U	7,4	9,6	355	16,00	1,09	2,19	42	14	59	3	30	95,5
0,94	2,3	2,5	5,2	1,3	ZR330SPH532_0160 EZ502U	7,4	9,6	355	16,00	1,09	2,19	42	14	59	3	30	95,5
0,94	3,0	3,5	6,9	1,0	ZR330SPH532_0160 EZ503U	7,4	9,6	355	16,00	1,09	2,19	42	14	59	3	30	95,5
1,50	0,9	0,9	1,7	3,1	ZR330SPH531_0100 EZ501U	3,2	9,6	154	10,00	1,65	3,25	42	14	47	3	30	95,5
1,50	1,5	1,6	3,0	1,8	ZR330SPH531_0100 EZ502U	6,0	9,6	288	10,00	1,65	3,25	42	14	47	3	30	95,5
1,50	1,5	1,7	3,0	1,8	ZR330SPH531_0100 EZ701U	4,0	9,6	192	10,00	1,65	3,25	42	14	47	3	30	95,5
1,50	2,0	2,2	3,9	1,4	ZR330SPH531_0100 EZ503U	6,0	9,6	288	10,00	1,65	3,25	42	14	47	3	30	95,5
1,50	2,4	2,9	4,8	1,1	ZR330SPH531_0100 EZ702U	6,0	9,6	288	10,00	1,65	3,25	42	14	47	3	30	95,5
2,14	0,6	0,7	2,1	3,9	ZR330SPH531_0070 EZ501U	2,3	9,6	108	7,000	2,14	4,29	42	14	57	3	30	95,5
2,14	1,0	1,1	3,6	2,3	ZR330SPH531_0070 EZ502U	4,4	9,6	208	7,000	2,14	4,29	42	14	57	3	30	95,5
2,14	1,0	1,2	3,6	2,3	ZR330SPH531_0070 EZ701U	2,8	9,6	134	7,000	2,14	4,29	42	14	57	3	30	95,5
2,14	1,4	1,6	4,7	1,7	ZR330SPH531_0070 EZ503U	6,1	9,6	289	7,000	2,14	4,29	42	14	57	3	30	95,5
2,14	1,7	2,0	5,8	1,4	ZR330SPH531_0070 EZ702U	5,8	9,6	276	7,000	2,14	4,29	42	14	57	3	30	95,5
2,14	1,9	2,3	6,5	1,2	ZR330SPH531_0070 EZ505U	7,7	9,6	368	7,000	2,14	4,29	42	14	57	3	30	95,5
2,14	2,3	2,9	7,9	1,0	ZR330SPH531_0070 EZ703U	7,7	9,6	368	7,000	2,14	4,29	42	14	57	3	30	95,5
3,00	0,4	0,5	3,1	4,9	ZR330SPH531_0050 EZ501U	1,6	9,6	77	5,000	2,50	5,50	42	14	64	3	30	95,5
3,00	0,7	0,8	5,3	2,8	ZR330SPH531_0050 EZ502U	3,1	9,6	149	5,000	2,50	5,50	42	14	64	3	30	95,5
3,00	0,7	0,8	5,3	2,8	ZR330SPH531_0050 EZ701U	2,0	9,6	96	5,000	2,50	5,50	42	14	64	3	30	95,5
3,00	1,0	1,1	7,0	2,2	ZR330SPH531_0050 EZ503U	4,3	9,6	206	5,000	2,50	5,50	42	14	64	3	30	95,5
3,00	1,2	1,4	8,6	1,7	ZR330SPH531_0050 EZ702U	4,1	9,6	197	5,000	2,50	5,50	42	14	64	3	30	95,5
3,00	1,4	1,6	9,7	1,6	ZR330SPH531_0050 EZ505U	6,7	9,6	322	5,000	2,50	5,50	42	14	64	3	30	95,5
3,00	1,7	2,1	12	1,3	ZR330SPH531_0050 EZ703U	6,5	9,6	312	5,000	2,50	5,50	42	14	64	3	30	95,5
3,75	0,6	0,6	7,0	3,3	ZR330SPH531_0040 EZ502U	2,5	9,5	119	4,000	2,75	6,25	42	14	65	3	30	95,5
3,75	0,6	0,7	7,0	3,3	ZR330SPH531_0040 EZ701U	1,6	9,6	77	4,000	2,75	6,25	42	14	65	3	30	95,5
3,75	0,8	0,9	9,1	2,5	ZR330SPH531_0040 EZ503U	3,5	9,5	165	4,000	2,75	6,25	42	14	65	3	30	95,5
3,75	1,0	1,2	11	2,0	ZR330SPH531_0040 EZ702U	3,3	9,6	157	4,000	2,75	6,25	42	14	65	3	30	95,5
3,75	1,1	1,3	13	1,8	ZR330SPH531_0040 EZ505U	5,4	9,5	257	4,000	2,75	6,25	42	14	65	3	30	95,5

v_{f2N} [m/s]	F_{f2N} [kN]	$F_{f2,0}$ [kN]	a_{th}	S	Typ	F_{f2acc} [kN]	F_{f2NOT} [kN]	M_{2acc} [Nm]	i	$v_{f2maxDB}$ [m/s]	$v_{f2maxZB}$ [m/s]	Δs [μm]	Δs_{red} [μm]	C_{lin} [N/μm]	m_n [mm]	z	d_0 [mm]
ZR3PH5 ($n_{1N} = 3000 \text{ min}^{-1}$, ($F_{f2acc,max} = 7,7 \text{ kN}$))																	
3,75	1,3	1,7	16	1,5	ZR330SPH531_0040 EZ703U	5,2	9,6	250	4,000	2,75	6,25	42	14	65	3	30	95,5
3,75	1,7	2,4	20	1,1	ZR330SPH531_0040 EZ705U	7,4	9,6	355	4,000	2,75	6,25	42	14	65	3	30	95,5
ZR3PH5 ($n_{1N} = 4500 \text{ min}^{-1}$, ($F_{f2acc,max} = 7,7 \text{ kN}$))																	
2,25	1,9	3,1	4,4	1,2	ZR330SPH531_0100 EZ505U	6,0	9,6	288	10,00	1,65	3,25	42	14	47	3	30	95,5
3,21	1,3	2,2	5,2	1,5	ZR330SPH531_0070 EZ505U	7,7	9,6	368	7,000	2,14	4,29	42	14	57	3	30	95,5
3,21	1,7	2,8	6,7	1,2	ZR330SPH531_0070 EZ703U	7,7	9,6	368	7,000	2,14	4,29	42	14	57	3	30	95,5
4,50	1,0	1,5	7,8	1,9	ZR330SPH531_0050 EZ505U	6,7	9,6	322	5,000	2,50	5,50	42	14	64	3	30	95,5
4,50	1,2	2,0	10	1,5	ZR330SPH531_0050 EZ703U	6,5	9,6	312	5,000	2,50	5,50	42	14	64	3	30	95,5
4,50	1,6	3,0	14	1,1	ZR330SPH531_0050 EZ705U	7,7	9,6	368	5,000	2,50	5,50	42	14	64	3	30	95,5
5,63	0,8	1,2	10	2,2	ZR330SPH531_0040 EZ505U	5,4	9,5	257	4,000	2,75	6,25	42	14	65	3	30	95,5
5,63	1,0	1,6	13	1,8	ZR330SPH531_0040 EZ703U	5,2	9,6	250	4,000	2,75	6,25	42	14	65	3	30	95,5
5,63	1,3	2,4	18	1,3	ZR330SPH531_0040 EZ705U	7,4	9,6	355	4,000	2,75	6,25	42	14	65	3	30	95,5
ZR3PH5 ($n_{1N} = 6000 \text{ min}^{-1}$, ($F_{f2acc,max} = 7,7 \text{ kN}$))																	
0,43	3,1	3,8	0,9	1,3	ZR330SPH532_0700 EZ401U	7,7	9,6	368	70,00	0,29	0,57	42	14	55	3	30	95,5
0,60	2,2	2,7	1,0	1,6	ZR330SPH532_0500 EZ401U	7,7	9,6	368	50,00	0,40	0,80	42	14	58	3	30	95,5
0,60	3,3	4,3	1,6	1,1	ZR330SPH532_0500 EZ501U	7,7	9,6	368	50,00	0,40	0,80	42	14	58	3	30	95,5
0,60	3,4	4,8	1,6	1,1	ZR330SPH532_0500 EZ402U	7,7	9,6	368	50,00	0,40	0,80	42	14	58	3	30	95,5
0,75	1,8	2,2	1,4	1,9	ZR330SPH532_0400 EZ401U	6,6	9,6	316	40,00	0,50	1,00	42	14	56	3	30	95,5
0,75	2,6	3,4	2,1	1,3	ZR330SPH532_0400 EZ501U	7,4	9,6	355	40,00	0,50	1,00	42	14	56	3	30	95,5
0,75	2,7	3,8	2,2	1,2	ZR330SPH532_0400 EZ402U	7,4	9,6	355	40,00	0,50	1,00	42	14	56	3	30	95,5
0,86	1,6	1,9	1,2	2,0	ZR330SPH532_0350 EZ401U	5,8	9,6	277	35,00	0,57	1,14	42	14	60	3	30	95,5
0,86	2,3	3,0	1,8	1,4	ZR330SPH532_0350 EZ501U	7,7	9,6	368	35,00	0,57	1,14	42	14	60	3	30	95,5
0,86	2,4	3,3	1,8	1,3	ZR330SPH532_0350 EZ402U	7,7	9,6	368	35,00	0,57	1,14	42	14	60	3	30	95,5
1,07	1,3	1,5	1,4	2,4	ZR330SPH532_0280 EZ401U	4,6	9,6	221	28,00	0,71	1,43	42	14	58	3	30	95,5
1,07	1,9	2,4	2,1	1,6	ZR330SPH532_0280 EZ501U	7,4	9,6	355	28,00	0,71	1,43	42	14	58	3	30	95,5
1,07	1,9	2,7	2,1	1,6	ZR330SPH532_0280 EZ402U	7,4	9,6	355	28,00	0,71	1,43	42	14	58	3	30	95,5
1,07	2,8	4,3	3,2	1,0	ZR330SPH532_0280 EZ502U	7,4	9,6	355	28,00	0,71	1,43	42	14	58	3	30	95,5
1,20	1,1	1,4	1,4	2,6	ZR330SPH532_0250 EZ401U	4,1	9,6	198	25,00	0,74	1,50	42	14	60	3	30	95,5
1,20	1,7	2,1	2,1	1,7	ZR330SPH532_0250 EZ501U	7,7	9,6	368	25,00	0,74	1,50	42	14	60	3	30	95,5
1,20	1,7	2,4	2,2	1,7	ZR330SPH532_0250 EZ402U	7,7	9,6	368	25,00	0,74	1,50	42	14	60	3	30	95,5
1,20	2,5	3,8	3,2	1,1	ZR330SPH532_0250 EZ502U	7,7	9,6	368	25,00	0,74	1,50	42	14	60	3	30	95,5
1,20	2,8	4,1	3,6	1,0	ZR330SPH532_0250 EZ404U	7,7	9,6	368	25,00	0,74	1,50	42	14	60	3	30	95,5
1,50	0,9	1,1	1,6	3,0	ZR330SPH532_0200 EZ401U	3,3	9,6	158	20,00	0,88	1,75	42	14	60	3	30	95,5
1,50	1,3	1,7	2,4	2,0	ZR330SPH532_0200 EZ501U	6,2	9,6	298	20,00	0,88	1,75	42	14	60	3	30	95,5
1,50	1,4	1,9	2,4	1,9	ZR330SPH532_0200 EZ402U	6,2	9,6	298	20,00	0,88	1,75	42	14	60	3	30	95,5
1,50	2,0	3,0	3,6	1,3	ZR330SPH532_0200 EZ502U	7,7	9,6	368	20,00	0,88	1,75	42	14	60	3	30	95,5
1,50	2,3	3,3	4,0	1,2	ZR330SPH532_0200 EZ404U	7,7	9,6	368	20,00	0,88	1,75	42	14	60	3	30	95,5
1,50	2,4	4,1	4,3	1,1	ZR330SPH532_0200 EZ503U	7,7	9,6	368	20,00	0,88	1,75	42	14	60	3	30	95,5
1,88	0,7	0,9	1,9	3,4	ZR330SPH532_0160 EZ401U	2,6	9,6	126	16,00	1,09	2,19	42	14	59	3	30	95,5
1,88	1,1	1,4	2,8	2,3	ZR330SPH532_0160 EZ501U	5,0	9,6	238	16,00	1,09	2,19	42	14	59	3	30	95,5
1,88	1,1	1,5	2,9	2,3	ZR330SPH532_0160 EZ402U	5,0	9,6	238	16,00	1,09	2,19	42	14	59	3	30	95,5
1,88	1,6	2,4	4,3	1,5	ZR330SPH532_0160 EZ502U	7,4	9,6	355	16,00	1,09	2,19	42	14	59	3	30	95,5
1,88	1,8	2,6	4,8	1,4	ZR330SPH532_0160 EZ404U	7,4	9,6	355	16,00	1,09	2,19	42	14	59	3	30	95,5
1,88	1,9	3,3	5,2	1,3	ZR330SPH532_0160 EZ503U	7,4	9,6	355	16,00	1,09	2,19	42	14	59	3	30	95,5
3,00	0,7	0,9	1,7	3,1	ZR330SPH531_0100 EZ501U	3,2	9,6	154	10,00	1,65	3,25	42	14	47	3	30	95,5
3,00	1,0	1,6	2,6	2,0	ZR330SPH531_0100 EZ502U	6,0	9,6	288	10,00	1,65	3,25	42	14	47	3	30	95,5
3,00	1,0	1,6	2,6	2,0	ZR330SPH531_0100 EZ701U	4,0	9,6	192	10,00	1,65	3,25	42	14	47	3	30	95,5
3,00	1,2	2,1	3,1	1,7	ZR330SPH531_0100 EZ503U	6,0	9,6	288	10,00	1,65	3,25	42	14	47	3	30	95,5
3,00	1,4	2,9	3,7	1,5	ZR330SPH531_0100 EZ702U	6,0	9,6	288	10,00	1,65	3,25	42	14	47	3	30	95,5
4,29	0,5	0,6	2,1	3,9	ZR330SPH531_0070 EZ501U	2,3	9,6	108	7,000	2,14	4,29	42	14	57	3	30	95,5
4,29	0,7	1,1	3,2	2,6	ZR330SPH531_0070 EZ502U	4,4	9,6	208	7,000	2,14	4,29	42	14	57	3	30	95,5
4,29	0,7	1,1	3,2	2,6	ZR330SPH531_0070 EZ701U	2,8	9,6	134	7,000	2,14	4,29	42	14	57	3	30	95,5
4,29	0,9	1,5	3,8	2,1	ZR330SPH531_0070 EZ503U	6,1	9,6	289	7,000	2,14	4,29	42	14	57	3	30	95,5
4,29	1,0	2,0	4,4	1,8	ZR330SPH531_0070 EZ702U	5,8	9,6	276	7,000	2,14	4,29	42	14	57	3	30	95,5
ZR3PH7 ($n_{1N} = 2000 \text{ min}^{-1}$, ($F_{f2acc,max} = 16 \text{ kN}$))																	
1,67	5,3	8,0	11	1,4	ZR335SPH731_0070 EZ805U	16	19	869	7,000	2,08	4,17	49	16	94	3	35	111,4
2,33	3,8	5,7	16	1,7	ZR335SPH731_0050 EZ805U	16	19	869	5,000	2,57	5,83	49	16	106	3	35	111,4
2,92	3,0	4,6	21	2,0	ZR335SPH731_0040 EZ805U	14	19	787	4,000	2,77	5,83	49	16	113	3	35	111,4
ZR3PH7 ($n_{1N} = 3000 \text{ min}^{-1}$, ($F_{f2acc,max} = 16 \text{ kN}$))																	
0,25	5,0	5,5	0,7	2,0	ZR335SPH732_0700 EZ501U	15	19	809	70,00	0,31	0,58	49	16	91	3	35	111,4
0,25	8,6	9,3	1,2	1,2	ZR335SPH732_0700 EZ502U	15	19	809	70,00	0,31	0,58	49	16	91	3	35	111,4
0,25	8,6	9,7	1,2	1,2	ZR335SPH732_0700 EZ701U	15	19	809	70,00	0,31	0,58	49	16	91	3	35	111,4
0,29	4,4	4,8	0,7	2,0	ZR340SPH732_0700 EZ501U	13	17	809	70,00	0,35	0,67	56	19	78	3	40	127,3
0,29	7,6	8,2	1,2	1,2	ZR340SPH732_0700 EZ502U	13	17	809	70,00	0,35	0,67	56	19	78	3	40	127,3
0,29	7,6	8,5	1,2	1,2	ZR340SPH732_0700 EZ701U	13	17	809	70,00	0,35	0,67	56	19	78	3	40	127,3
0,35	3,6	3,9	0,9	2,8	ZR335SPH732_0500 EZ501U	13	19	744	50,00	0,43	0,82	49	16	97	3	35	111,4

7.2 Auswahltabelle 7 Zahnstangentriebe ZRPH

v_{f2N} [m/s]	F_{f2N} [kN]	$F_{f2,0}$ [kN]	a_{th}	S	Typ	F_{f2acc} [kN]	F_{f2NOT} [kN]	M_{2acc} [Nm]	i	$v_{f2maxDB}$ [m/s]	$v_{f2maxZB}$ [m/s]	Δs [μm]	Δs_{red} [μm]	C_{lin} [N/μm]	m_n [mm]	z	d_0 [mm]
ZR3PH7 ($n_{1N} = 3000 \text{ min}^{-1}$, ($F_{f2acc,max} = 16 \text{ kN}$))																	
0,35	6,2	6,7	1,5	1,6	ZR335SPH732_0500 EZ502U	15	19	830	50,00	0,43	0,82	49	16	97	3	35	111,4
0,35	6,2	6,9	1,5	1,6	ZR335SPH732_0500 EZ701U	15	19	830	50,00	0,43	0,82	49	16	97	3	35	111,4
0,35	8,1	9,3	1,9	1,2	ZR335SPH732_0500 EZ503U	15	19	830	50,00	0,43	0,82	49	16	97	3	35	111,4
0,40	3,1	3,4	0,9	2,8	ZR340SPH732_0500 EZ501U	12	17	744	50,00	0,49	0,93	56	19	85	3	40	127,3
0,40	5,4	5,8	1,5	1,6	ZR340SPH732_0500 EZ502U	13	17	830	50,00	0,49	0,93	56	19	85	3	40	127,3
0,40	5,4	6,1	1,5	1,6	ZR340SPH732_0500 EZ701U	13	17	830	50,00	0,49	0,93	56	19	85	3	40	127,3
0,40	7,1	8,1	1,9	1,2	ZR340SPH732_0500 EZ503U	13	17	830	50,00	0,49	0,93	56	19	85	3	40	127,3
0,44	2,9	3,1	1,1	3,0	ZR335SPH732_0400 EZ501U	11	19	595	40,00	0,54	1,02	49	16	99	3	35	111,4
0,44	4,9	5,3	1,9	1,7	ZR335SPH732_0400 EZ502U	14	19	770	40,00	0,54	1,02	49	16	99	3	35	111,4
0,44	4,9	5,5	1,9	1,7	ZR335SPH732_0400 EZ701U	13	19	744	40,00	0,54	1,02	49	16	99	3	35	111,4
0,44	6,5	7,4	2,5	1,3	ZR335SPH732_0400 EZ503U	14	19	770	40,00	0,54	1,02	49	16	99	3	35	111,4
0,44	8,0	9,6	3,1	1,1	ZR335SPH732_0400 EZ702U	14	19	770	40,00	0,54	1,02	49	16	99	3	35	111,4
0,50	2,5	2,7	1,1	3,0	ZR340SPH732_0400 EZ501U	9,3	17	595	40,00	0,62	1,17	56	19	86	3	40	127,3
0,50	2,5	2,7	1,1	3,9	ZR335SPH732_0350 EZ501U	9,3	19	521	35,00	0,62	1,17	49	16	99	3	35	111,4
0,50	4,3	4,7	1,8	2,2	ZR335SPH732_0350 EZ502U	16	19	866	35,00	0,62	1,17	49	16	99	3	35	111,4
0,50	4,3	4,7	1,9	1,7	ZR340SPH732_0400 EZ502U	12	17	770	40,00	0,62	1,17	56	19	86	3	40	127,3
0,50	4,3	4,8	1,8	2,2	ZR335SPH732_0350 EZ701U	12	19	651	35,00	0,62	1,17	49	16	99	3	35	111,4
0,50	4,3	4,8	1,9	1,7	ZR340SPH732_0400 EZ701U	12	17	744	40,00	0,62	1,17	56	19	86	3	40	127,3
0,50	4,3	4,8	1,8	2,2	ZR335SPH732_0350 EZ701U	12	19	651	35,00	0,62	1,17	49	16	99	3	35	111,4
0,50	4,3	4,8	1,9	1,7	ZR340SPH732_0400 EZ701U	12	17	744	40,00	0,62	1,17	56	19	86	3	40	127,3
0,50	5,7	6,5	2,5	1,3	ZR340SPH732_0400 EZ503U	12	17	770	40,00	0,62	1,17	56	19	86	3	40	127,3
0,50	5,7	6,5	2,4	1,7	ZR335SPH732_0350 EZ503U	16	19	866	35,00	0,62	1,17	49	16	99	3	35	111,4
0,50	7,0	8,4	2,9	1,4	ZR335SPH732_0350 EZ702U	16	19	866	35,00	0,62	1,17	49	16	99	3	35	111,4
0,50	7,0	8,4	3,1	1,1	ZR340SPH732_0400 EZ702U	12	17	770	40,00	0,62	1,17	56	19	86	3	40	127,3
0,50	7,0	8,4	2,9	1,4	ZR335SPH732_0350 EZ702U	16	19	866	35,00	0,62	1,17	49	16	99	3	35	111,4
0,50	7,0	8,4	3,1	1,1	ZR340SPH732_0400 EZ702U	12	17	770	40,00	0,62	1,17	56	19	86	3	40	127,3
0,50	7,9	9,3	3,3	1,2	ZR335SPH732_0350 EZ505U	16	19	866	35,00	0,62	1,17	49	16	99	3	35	111,4
0,50	9,6	12	4,0	1,0	ZR335SPH732_0350 EZ703U	16	19	866	35,00	0,62	1,17	49	16	99	3	35	111,4
0,57	2,2	2,4	1,1	3,9	ZR340SPH732_0350 EZ501U	8,2	17	521	35,00	0,71	1,33	56	19	87	3	40	127,3
0,57	3,8	4,1	1,8	2,2	ZR340SPH732_0350 EZ502U	14	17	866	35,00	0,71	1,33	56	19	87	3	40	127,3
0,57	3,8	4,2	1,8	2,2	ZR340SPH732_0350 EZ701U	10	17	651	35,00	0,71	1,33	56	19	87	3	40	127,3
0,57	5,0	5,7	2,4	1,7	ZR340SPH732_0350 EZ503U	14	17	866	35,00	0,71	1,33	56	19	87	3	40	127,3
0,57	6,1	7,4	2,9	1,4	ZR340SPH732_0350 EZ702U	14	17	866	35,00	0,71	1,33	56	19	87	3	40	127,3
0,57	6,9	8,2	3,3	1,2	ZR340SPH732_0350 EZ505U	14	17	866	35,00	0,71	1,33	56	19	87	3	40	127,3
0,57	8,4	11	4,0	1,0	ZR340SPH732_0350 EZ703U	14	17	866	35,00	0,71	1,33	56	19	87	3	40	127,3
0,63	2,0	2,2	1,2	4,8	ZR335SPH732_0280 EZ501U	7,5	19	417	28,00	0,77	1,46	49	16	102	3	35	111,4
0,63	3,5	3,7	2,0	2,8	ZR335SPH732_0280 EZ502U	14	19	770	28,00	0,77	1,46	49	16	102	3	35	111,4
0,63	3,5	3,9	2,0	2,8	ZR335SPH732_0280 EZ701U	9,3	19	521	28,00	0,77	1,46	49	16	102	3	35	111,4
0,63	4,5	5,2	2,7	2,1	ZR335SPH732_0280 EZ503U	14	19	770	28,00	0,77	1,46	49	16	102	3	35	111,4
0,63	5,6	6,7	3,3	1,7	ZR335SPH732_0280 EZ702U	14	19	770	28,00	0,77	1,46	49	16	102	3	35	111,4
0,63	6,3	7,5	3,7	1,5	ZR335SPH732_0280 EZ505U	14	19	770	28,00	0,77	1,46	49	16	102	3	35	111,4
0,63	7,7	9,7	4,5	1,3	ZR335SPH732_0280 EZ703U	14	19	770	28,00	0,77	1,46	49	16	102	3	35	111,4
0,70	3,1	3,3	2,3	2,9	ZR335SPH732_0250 EZ502U	13	19	721	25,00	0,82	1,63	49	16	100	3	35	111,4
0,70	3,1	3,5	2,3	2,9	ZR335SPH732_0250 EZ701U	8,3	19	465	25,00	0,82	1,63	49	16	100	3	35	111,4
0,70	4,0	4,6	3,0	2,2	ZR335SPH732_0250 EZ503U	16	19	866	25,00	0,82	1,63	49	16	100	3	35	111,4
0,70	5,0	6,0	3,8	1,8	ZR335SPH732_0250 EZ702U	16	19	866	25,00	0,82	1,63	49	16	100	3	35	111,4
0,70	5,6	6,7	4,2	1,6	ZR335SPH732_0250 EZ505U	16	19	866	25,00	0,82	1,63	49	16	100	3	35	111,4
0,70	6,9	8,7	5,2	1,3	ZR335SPH732_0250 EZ703U	16	19	866	25,00	0,82	1,63	49	16	100	3	35	111,4
0,70	8,9	13	6,7	1,0	ZR335SPH732_0250 EZ705U	16	19	866	25,00	0,82	1,63	49	16	100	3	35	111,4
0,71	1,8	1,9	1,2	4,8	ZR340SPH732_0280 EZ501U	6,5	17	417	28,00	0,88	1,67	56	19	90	3	40	127,3
0,71	3,0	3,3	2,0	2,8	ZR340SPH732_0280 EZ502U	12	17	770	28,00	0,88	1,67	56	19	90	3	40	127,3
0,71	3,0	3,4	2,0	2,8	ZR340SPH732_0280 EZ701U	8,2	17	521	28,00	0,88	1,67	56	19	90	3	40	127,3
0,71	4,0	4,5	2,7	2,1	ZR340SPH732_0280 EZ503U	12	17	770	28,00	0,88	1,67	56	19	90	3	40	127,3
0,71	4,9	5,9	3,3	1,7	ZR340SPH732_0280 EZ702U	12	17	770	28,00	0,88	1,67	56	19	90	3	40	127,3
0,71	5,5	6,5	3,7	1,5	ZR340SPH732_0280 EZ505U	12	17	770	28,00	0,88	1,67	56	19	90	3	40	127,3
0,71	6,7	8,5	4,5	1,3	ZR340SPH732_0280 EZ703U	12	17	770	28,00	0,88	1,67	56	19	90	3	40	127,3
0,80	2,7	2,9	2,3	2,9	ZR340SPH732_0250 EZ502U	11	17	721	25,00	0,93	1,87	56	19	87	3	40	127,3
0,80	2,7	3,0	2,3	2,9	ZR340SPH732_0250 EZ701U	7,3	17	465	25,00	0,93	1,87	56	19	87	3	40	127,3
0,80	3,5	4,1	3,0	2,2	ZR340SPH732_0250 EZ503U	14	17	866	25,00	0,93	1,87	56	19	87	3	40	127,3
0,80	4,4	5,3	3,8	1,8	ZR340SPH732_0250 EZ702U	14	17	866	25,00	0,93	1,87	56	19	87	3	40	127,3
0,80	4,9	5,8	4,2	1,6	ZR340SPH732_0250 EZ505U	14	17	866	25,00	0,93	1,87	56	19	87	3	40	127,3
0,80	6,0	7,6	5,2	1,3	ZR340SPH732_0250 EZ703U	14	17	866	25,00	0,93	1,87	56	19	87	3	40	127,3
0,80	7,8	11	6,7	1,0	ZR340SPH732_0250 EZ705U	14	17	866	25,00	0,93	1,87	56	19	87	3	40	127,3
0,88	2,5	2,7	2,8	3,3	ZR335SPH732_0200 EZ502U	10	19	577	20,00	0,88	1,75	49	16	101	3	35	111,4
0,88	2,5	2,8	2,8	3,3	ZR335SPH732_0200 EZ701U	6,7	19	372	20,00	0,88	1,75	49	16	101	3	35	111,4
0,88	3,2	3,7	3,7	2,6	ZR335SPH732_0200 EZ503U	14	19	800	20,00	0,88	1,75	49	16	101	3	35	111,4
0,88	4,0	4,8	4,6	2,1	ZR335SPH732_0200 EZ702U	14	19	763	20,00	0,88	1,75	49	16	101	3	35	111,4

v_{f2N} [m/s]	F_{f2N} [kN]	$F_{f2,0}$ [kN]	a_{th}	S	Typ	F_{f2acc} [kN]	F_{f2NOT} [kN]	M_{2acc} [Nm]	i	$v_{f2maxDB}$ [m/s]	$v_{f2maxZB}$ [m/s]	Δs [μm]	Δs_{red} [μm]	C_{lin} [N/μm]	m_n [mm]	z	d_0 [mm]
ZR3PH7 ($n_{1N} = 3000 \text{ min}^{-1}$, $F_{f2acc,max} = 16 \text{ kN}$)																	
0,88	4,5	5,3	5,1	1,8	ZR335SPH732_0200 EZ505U	14	19	805	20,00	0,88	1,75	49	16	101	3	35	111,4
0,88	5,5	6,9	6,3	1,5	ZR335SPH732_0200 EZ703U	14	19	805	20,00	0,88	1,75	49	16	101	3	35	111,4
0,88	7,1	10	8,1	1,2	ZR335SPH732_0200 EZ705U	14	19	805	20,00	0,88	1,75	49	16	101	3	35	111,4
1,00	2,2	2,3	2,8	3,3	ZR340SPH732_0200 EZ502U	9,1	17	577	20,00	1,00	2,00	56	19	88	3	40	127,3
1,00	2,2	2,4	2,8	3,3	ZR340SPH732_0200 EZ701U	5,8	17	372	20,00	1,00	2,00	56	19	88	3	40	127,3
1,00	2,8	3,2	3,7	2,6	ZR340SPH732_0200 EZ503U	13	17	800	20,00	1,00	2,00	56	19	88	3	40	127,3
1,00	3,5	4,2	4,6	2,1	ZR340SPH732_0200 EZ702U	12	17	763	20,00	1,00	2,00	56	19	88	3	40	127,3
1,00	3,9	4,7	5,1	1,8	ZR340SPH732_0200 EZ505U	13	17	805	20,00	1,00	2,00	56	19	88	3	40	127,3
1,00	4,8	6,1	6,3	1,5	ZR340SPH732_0200 EZ703U	13	17	805	20,00	1,00	2,00	56	19	88	3	40	127,3
1,00	6,2	8,8	8,1	1,2	ZR340SPH732_0200 EZ705U	13	17	805	20,00	1,00	2,00	56	19	88	3	40	127,3
1,09	2,0	2,1	3,2	4,1	ZR335SPH732_0160 EZ502U	8,3	19	461	16,00	1,09	2,19	49	16	104	3	35	111,4
1,09	2,0	2,2	3,2	4,1	ZR335SPH732_0160 EZ701U	5,3	19	298	16,00	1,09	2,19	49	16	104	3	35	111,4
1,09	2,6	3,0	4,2	3,1	ZR335SPH732_0160 EZ503U	11	19	640	16,00	1,09	2,19	49	16	104	3	35	111,4
1,09	3,2	3,8	5,2	2,5	ZR335SPH732_0160 EZ702U	11	19	610	16,00	1,09	2,19	49	16	104	3	35	111,4
1,09	3,6	4,3	5,9	2,2	ZR335SPH732_0160 EZ505U	13	19	740	16,00	1,09	2,19	49	16	104	3	35	111,4
1,09	4,4	5,6	7,2	1,8	ZR335SPH732_0160 EZ703U	13	19	740	16,00	1,09	2,19	49	16	104	3	35	111,4
1,09	5,7	8,1	9,2	1,4	ZR335SPH732_0160 EZ705U	13	19	740	16,00	1,09	2,19	49	16	104	3	35	111,4
1,25	1,7	1,9	3,2	4,1	ZR340SPH732_0160 EZ502U	7,2	17	461	16,00	1,25	2,50	56	19	92	3	40	127,3
1,25	1,7	1,9	3,2	4,1	ZR340SPH732_0160 EZ701U	4,7	17	298	16,00	1,25	2,50	56	19	92	3	40	127,3
1,25	2,3	2,6	4,2	3,1	ZR340SPH732_0160 EZ503U	10	17	640	16,00	1,25	2,50	56	19	92	3	40	127,3
1,25	2,8	3,4	5,2	2,5	ZR340SPH732_0160 EZ702U	9,6	17	610	16,00	1,25	2,50	56	19	92	3	40	127,3
1,25	3,2	3,7	5,9	2,2	ZR340SPH732_0160 EZ505U	12	17	740	16,00	1,25	2,50	56	19	92	3	40	127,3
1,25	3,9	4,9	7,2	1,8	ZR340SPH732_0160 EZ703U	12	17	740	16,00	1,25	2,50	56	19	92	3	40	127,3
1,25	5,0	7,1	9,2	1,4	ZR340SPH732_0160 EZ705U	12	17	740	16,00	1,25	2,50	56	19	92	3	40	127,3
1,75	1,3	1,4	1,8	3,9	ZR335SPH731_0100 EZ701U	3,4	19	192	10,00	1,46	2,92	49	16	81	3	35	111,4
1,75	2,1	2,5	3,0	2,4	ZR335SPH731_0100 EZ702U	7,1	19	394	10,00	1,46	2,92	49	16	81	3	35	111,4
1,75	2,8	3,6	4,1	1,8	ZR335SPH731_0100 EZ703U	10	19	575	10,00	1,46	2,92	49	16	81	3	35	111,4
1,75	3,7	5,2	5,3	1,4	ZR335SPH731_0100 EZ705U	10	19	575	10,00	1,46	2,92	49	16	81	3	35	111,4
1,75	3,8	6,4	5,5	1,3	ZR335SPH731_0100 EZ802U	10	19	575	10,00	1,46	2,92	49	16	81	3	35	111,4
1,75	4,6	8,3	6,6	1,1	ZR335SPH731_0100 EZ803U	10	19	575	10,00	1,46	2,92	49	16	81	3	35	111,4
2,00	1,1	1,3	1,8	3,9	ZR340SPH731_0100 EZ701U	3,0	17	192	10,00	1,67	3,33	56	19	69	3	40	127,3
2,00	1,8	2,2	3,0	2,4	ZR340SPH731_0100 EZ702U	6,2	17	394	10,00	1,67	3,33	56	19	69	3	40	127,3
2,00	2,5	3,1	4,1	1,8	ZR340SPH731_0100 EZ703U	9,0	17	575	10,00	1,67	3,33	56	19	69	3	40	127,3
2,00	3,2	4,6	5,3	1,4	ZR340SPH731_0100 EZ705U	9,0	17	575	10,00	1,67	3,33	56	19	69	3	40	127,3
2,00	3,4	5,6	5,5	1,3	ZR340SPH731_0100 EZ802U	9,0	17	575	10,00	1,67	3,33	56	19	69	3	40	127,3
2,00	4,0	7,3	6,6	1,1	ZR340SPH731_0100 EZ803U	9,0	17	575	10,00	1,67	3,33	56	19	69	3	40	127,3
2,50	1,4	1,7	3,3	4,4	ZR335SPH731_0070 EZ702U	4,9	19	276	7,000	2,08	4,17	49	16	94	3	35	111,4
2,50	2,0	2,5	4,5	3,2	ZR335SPH731_0070 EZ703U	7,8	19	437	7,000	2,08	4,17	49	16	94	3	35	111,4
2,50	2,6	3,6	5,9	2,5	ZR335SPH731_0070 EZ705U	13	19	699	7,000	2,08	4,17	49	16	94	3	35	111,4
2,50	2,7	4,5	6,1	2,4	ZR335SPH731_0070 EZ802U	12	19	672	7,000	2,08	4,17	49	16	94	3	35	111,4
2,50	3,2	5,8	7,3	2,0	ZR335SPH731_0070 EZ803U	16	19	869	7,000	2,08	4,17	49	16	94	3	35	111,4
2,86	1,3	1,5	3,3	4,8	ZR340SPH731_0070 EZ702U	4,3	17	276	7,000	2,38	4,76	56	19	82	3	40	127,3
2,86	1,7	2,2	4,5	3,5	ZR340SPH731_0070 EZ703U	6,9	17	437	7,000	2,38	4,76	56	19	82	3	40	127,3
2,86	2,2	3,2	5,9	2,7	ZR340SPH731_0070 EZ705U	11	17	699	7,000	2,38	4,76	56	19	82	3	40	127,3
2,86	2,4	3,9	6,1	2,6	ZR340SPH731_0070 EZ802U	11	17	672	7,000	2,38	4,76	56	19	82	3	40	127,3
2,86	2,8	5,1	7,3	2,2	ZR340SPH731_0070 EZ803U	14	17	869	7,000	2,38	4,76	56	19	82	3	40	127,3
3,50	1,4	1,8	6,8	4,0	ZR335SPH731_0050 EZ703U	5,6	19	312	5,000	2,57	5,83	49	16	106	3	35	111,4
3,50	1,8	2,6	8,8	3,1	ZR335SPH731_0050 EZ705U	9,0	19	499	5,000	2,57	5,83	49	16	106	3	35	111,4
3,50	1,9	3,2	9,2	3,0	ZR335SPH731_0050 EZ802U	8,6	19	480	5,000	2,57	5,83	49	16	106	3	35	111,4
3,50	2,3	4,2	11	2,5	ZR335SPH731_0050 EZ803U	12	19	696	5,000	2,57	5,83	49	16	106	3	35	111,4
4,00	1,2	1,6	6,8	4,5	ZR340SPH731_0050 EZ703U	4,9	17	312	5,000	2,93	6,67	56	19	93	3	40	127,3
4,00	1,6	2,3	8,8	3,5	ZR340SPH731_0050 EZ705U	7,8	17	499	5,000	2,93	6,67	56	19	93	3	40	127,3
4,00	1,7	2,8	9,2	3,3	ZR340SPH731_0050 EZ802U	7,5	17	480	5,000	2,93	6,67	56	19	93	3	40	127,3
4,00	2,0	3,6	11	2,8	ZR340SPH731_0050 EZ803U	11	17	696	5,000	2,93	6,67	56	19	93	3	40	127,3
4,38	1,1	1,4	8,9	4,6	ZR335SPH731_0040 EZ703U	4,5	16	250	4,000	2,77	5,83	49	16	113	3	35	111,4
4,38	1,5	2,1	11	3,6	ZR335SPH731_0040 EZ705U	7,2	16	399	4,000	2,77	5,83	49	16	113	3	35	111,4
4,38	1,5	2,6	12	3,4	ZR335SPH731_0040 EZ802U	6,9	19	384	4,000	2,77	5,83	49	16	113	3	35	111,4
4,38	1,8	3,3	14	2,9	ZR335SPH731_0040 EZ803U	10	19	557	4,000	2,77	5,83	49	16	113	3	35	111,4
5,00	1,3	1,8	11	4,1	ZR340SPH731_0040 EZ705U	6,3	14	399	4,000	3,17	6,67	56	19	100	3	40	127,3
5,00	1,3	2,2	12	3,9	ZR340SPH731_0040 EZ802U	6,0	17	384	4,000	3,17	6,67	56	19	100	3	40	127,3
5,00	1,6	2,9	14	3,2	ZR340SPH731_0040 EZ803U	8,7	17	557	4,000	3,17	6,67	56	19	100	3	40	127,3
ZR3PH7 ($n_{1N} = 4500 \text{ min}^{-1}$, $F_{f2acc,max} = 16 \text{ kN}$)																	
0,53	7,9	13	2,2	1,1	ZR335SPH732_0500 EZ505U	15	19	830	50,00	0,43	0,82	49	16	97	3	35	111,4
0,66	6,3	10	2,8	1,2	ZR335SPH732_0400 EZ505U	14	19	770	40,00	0,54	1,02	49	16	99	3	35	111,4
0,75	5,6	8,9	2,6	1,6	ZR335SPH732_0350 EZ505U	16	19	866	35,00	0,62	1,17	49	16	99	3	35	111,4
0,75	5,6	8,9	2,8	1,2	ZR340SPH732_0400 EZ505U	12	17	770	40,00	0,62	1,17	56	19	86	3	40	127,3

7.2 Auswahltabelle 7 Zahnstangentriebe ZRPH

v_{f2N} [m/s]	F_{f2N} [kN]	$F_{f2,0}$ [kN]	a_{th}	S	Typ	F_{f2acc} [kN]	F_{f2NOT} [kN]	M_{2acc} [Nm]	i	$v_{f2maxDB}$ [m/s]	$v_{f2maxZB}$ [m/s]	Δs [μm]	Δs_{red} [μm]	C_{lin} [N/μm]	m_n [mm]	z	d_0 [mm]
ZR3PH7 ($n_{1N} = 4500 \text{ min}^{-1}$, $F_{f2acc,max} = 16 \text{ kN}$)																	
0,75	7,1	12	3,3	1,2	ZR335SPH732_0350 EZ703U	16	19	866	35,00	0,62	1,17	49	16	99	3	35	111,4
0,86	4,9	7,8	2,6	1,6	ZR340SPH732_0350 EZ505U	14	17	866	35,00	0,71	1,33	56	19	87	3	40	127,3
0,86	6,2	10	3,3	1,2	ZR340SPH732_0350 EZ703U	14	17	866	35,00	0,71	1,33	56	19	87	3	40	127,3
0,94	4,4	7,2	2,9	2,0	ZR335SPH732_0280 EZ505U	14	19	770	28,00	0,77	1,46	49	16	102	3	35	111,4
0,94	5,7	9,3	3,7	1,5	ZR335SPH732_0280 EZ703U	14	19	770	28,00	0,77	1,46	49	16	102	3	35	111,4
0,94	7,7	14	5,0	1,1	ZR335SPH732_0280 EZ705U	14	19	770	28,00	0,77	1,46	49	16	102	3	35	111,4
1,05	4,0	6,4	3,2	2,1	ZR335SPH732_0250 EZ505U	16	19	866	25,00	0,82	1,63	49	16	100	3	35	111,4
1,05	5,1	8,3	4,1	1,6	ZR335SPH732_0250 EZ703U	16	19	866	25,00	0,82	1,63	49	16	100	3	35	111,4
1,05	6,8	13	5,6	1,2	ZR335SPH732_0250 EZ705U	16	19	866	25,00	0,82	1,63	49	16	100	3	35	111,4
1,07	3,9	6,3	2,9	2,0	ZR340SPH732_0280 EZ505U	12	17	770	28,00	0,88	1,67	56	19	90	3	40	127,3
1,07	4,9	8,2	3,7	1,5	ZR340SPH732_0280 EZ703U	12	17	770	28,00	0,88	1,67	56	19	90	3	40	127,3
1,07	6,7	12	5,0	1,1	ZR340SPH732_0280 EZ705U	12	17	770	28,00	0,88	1,67	56	19	90	3	40	127,3
1,20	3,5	5,6	3,2	2,1	ZR340SPH732_0250 EZ505U	14	17	866	25,00	0,93	1,87	56	19	87	3	40	127,3
1,20	4,4	7,3	4,1	1,6	ZR340SPH732_0250 EZ703U	14	17	866	25,00	0,93	1,87	56	19	87	3	40	127,3
1,20	6,0	11	5,6	1,2	ZR340SPH732_0250 EZ705U	14	17	866	25,00	0,93	1,87	56	19	87	3	40	127,3
1,31	3,2	5,1	3,7	2,5	ZR335SPH732_0200 EZ505U	14	19	805	20,00	0,88	1,75	49	16	101	3	35	111,4
1,31	4,0	6,7	4,7	2,0	ZR335SPH732_0200 EZ703U	14	19	805	20,00	0,88	1,75	49	16	101	3	35	111,4
1,31	5,5	10	6,4	1,4	ZR335SPH732_0200 EZ705U	14	19	805	20,00	0,88	1,75	49	16	101	3	35	111,4
1,50	2,8	4,5	3,7	2,6	ZR340SPH732_0200 EZ505U	13	17	805	20,00	1,00	2,00	56	19	88	3	40	127,3
1,50	3,5	5,8	4,7	2,0	ZR340SPH732_0200 EZ703U	13	17	805	20,00	1,00	2,00	56	19	88	3	40	127,3
1,50	4,8	8,8	6,4	1,5	ZR340SPH732_0200 EZ705U	13	17	805	20,00	1,00	2,00	56	19	88	3	40	127,3
1,64	2,5	4,1	4,1	2,9	ZR335SPH732_0160 EZ505U	13	19	740	16,00	1,09	2,19	49	16	104	3	35	111,4
1,64	3,2	5,3	5,3	2,3	ZR335SPH732_0160 EZ703U	13	19	740	16,00	1,09	2,19	49	16	104	3	35	111,4
1,64	4,4	8,0	7,1	1,7	ZR335SPH732_0160 EZ705U	13	19	740	16,00	1,09	2,19	49	16	104	3	35	111,4
1,88	2,2	3,6	4,1	3,2	ZR340SPH732_0160 EZ505U	12	17	740	16,00	1,25	2,50	56	19	92	3	40	127,3
1,88	2,8	4,7	5,3	2,5	ZR340SPH732_0160 EZ703U	12	17	740	16,00	1,25	2,50	56	19	92	3	40	127,3
1,88	3,8	7,0	7,1	1,8	ZR340SPH732_0160 EZ705U	12	17	740	16,00	1,25	2,50	56	19	92	3	40	127,3
2,63	1,8	5,9	3,0	2,4	ZR335SPH731_0100 EZ802U	10	19	575	10,00	1,46	2,92	49	16	81	3	35	111,4
2,63	2,1	3,4	3,4	2,1	ZR335SPH731_0100 EZ703U	10	19	575	10,00	1,46	2,92	49	16	81	3	35	111,4
2,63	2,8	5,2	4,7	1,5	ZR335SPH731_0100 EZ705U	10	19	575	10,00	1,46	2,92	49	16	81	3	35	111,4
3,00	1,6	5,2	3,0	2,4	ZR340SPH731_0100 EZ802U	9,0	17	575	10,00	1,67	3,33	56	19	69	3	40	127,3
3,00	1,8	3,0	3,4	2,1	ZR340SPH731_0100 EZ703U	9,0	17	575	10,00	1,67	3,33	56	19	69	3	40	127,3
3,00	2,5	4,5	4,7	1,5	ZR340SPH731_0100 EZ705U	9,0	17	575	10,00	1,67	3,33	56	19	69	3	40	127,3
3,75	1,3	4,2	3,3	4,4	ZR335SPH731_0070 EZ802U	12	19	672	7,000	2,08	4,17	49	16	94	3	35	111,4
3,75	1,5	2,4	3,8	3,8	ZR335SPH731_0070 EZ703U	7,8	19	437	7,000	2,08	4,17	49	16	94	3	35	111,4
3,75	2,0	3,6	5,2	2,8	ZR335SPH731_0070 EZ705U	13	19	699	7,000	2,08	4,17	49	16	94	3	35	111,4
4,29	1,1	3,6	3,3	4,8	ZR340SPH731_0070 EZ802U	11	17	672	7,000	2,38	4,76	56	19	82	3	40	127,3
4,29	1,3	2,1	3,8	4,1	ZR340SPH731_0070 EZ703U	6,9	17	437	7,000	2,38	4,76	56	19	82	3	40	127,3
4,29	1,7	3,2	5,2	3,0	ZR340SPH731_0070 EZ705U	11	17	699	7,000	2,38	4,76	56	19	82	3	40	127,3
5,25	1,0	1,7	5,7	4,8	ZR335SPH731_0050 EZ703U	5,6	19	312	5,000	2,57	5,83	49	16	106	3	35	111,4
5,25	1,4	2,6	7,7	3,5	ZR335SPH731_0050 EZ705U	9,0	19	499	5,000	2,57	5,83	49	16	106	3	35	111,4
6,00	1,2	2,3	7,7	4,0	ZR340SPH731_0050 EZ705U	7,8	17	499	5,000	2,93	6,67	56	19	93	3	40	127,3
ZR3PH7 ($n_{1N} = 6000 \text{ min}^{-1}$, $F_{f2acc,max} = 16 \text{ kN}$)																	
0,50	4,0	5,1	0,7	2,0	ZR335SPH732_0700 EZ501U	15	19	809	70,00	0,31	0,58	49	16	91	3	35	111,4
0,50	6,1	9,1	1,1	1,3	ZR335SPH732_0700 EZ502U	15	19	809	70,00	0,31	0,58	49	16	91	3	35	111,4
0,50	6,1	9,2	1,1	1,3	ZR335SPH732_0700 EZ701U	15	19	809	70,00	0,31	0,58	49	16	91	3	35	111,4
0,50	7,2	12	1,3	1,1	ZR335SPH732_0700 EZ503U	15	19	809	70,00	0,31	0,58	49	16	91	3	35	111,4
0,57	3,5	4,5	0,7	2,0	ZR340SPH732_0700 EZ501U	13	17	809	70,00	0,35	0,67	56	19	78	3	40	127,3
0,57	5,3	8,0	1,1	1,3	ZR340SPH732_0700 EZ502U	13	17	809	70,00	0,35	0,67	56	19	78	3	40	127,3
0,57	5,3	8,1	1,1	1,3	ZR340SPH732_0700 EZ701U	13	17	809	70,00	0,35	0,67	56	19	78	3	40	127,3
0,57	6,3	11	1,3	1,1	ZR340SPH732_0700 EZ503U	13	17	809	70,00	0,35	0,67	56	19	78	3	40	127,3
0,70	2,8	3,7	0,9	2,8	ZR335SPH732_0500 EZ501U	13	19	744	50,00	0,43	0,82	49	16	97	3	35	111,4
0,70	4,3	6,5	1,3	1,8	ZR335SPH732_0500 EZ502U	15	19	830	50,00	0,43	0,82	49	16	97	3	35	111,4
0,70	4,3	6,6	1,3	1,8	ZR335SPH732_0500 EZ701U	15	19	830	50,00	0,43	0,82	49	16	97	3	35	111,4
0,70	5,2	8,8	1,6	1,5	ZR335SPH732_0500 EZ503U	15	19	830	50,00	0,43	0,82	49	16	97	3	35	111,4
0,70	6,0	12	1,8	1,3	ZR335SPH732_0500 EZ702U	15	19	830	50,00	0,43	0,82	49	16	97	3	35	111,4
0,80	2,5	3,2	0,9	2,8	ZR340SPH732_0500 EZ501U	12	17	744	50,00	0,49	0,93	56	19	85	3	40	127,3
0,80	3,8	5,7	1,3	1,8	ZR340SPH732_0500 EZ502U	13	17	830	50,00	0,49	0,93	56	19	85	3	40	127,3
0,80	3,8	5,8	1,3	1,8	ZR340SPH732_0500 EZ701U	13	17	830	50,00	0,49	0,93	56	19	85	3	40	127,3
0,80	4,5	7,7	1,6	1,5	ZR340SPH732_0500 EZ503U	13	17	830	50,00	0,49	0,93	56	19	85	3	40	127,3
0,80	5,3	10	1,8	1,3	ZR340SPH732_0500 EZ702U	13	17	830	50,00	0,49	0,93	56	19	85	3	40	127,3
0,88	2,3	2,9	1,1	3,0	ZR335SPH732_0400 EZ501U	11	19	595	40,00	0,54	1,02	49	16	99	3	35	111,4
0,88	3,5	5,2	1,7	1,9	ZR335SPH732_0400 EZ502U	14	19	770	40,00	0,54	1,02	49	16	99	3	35	111,4
0,88	3,5	5,3	1,7	1,9	ZR335SPH732_0400 EZ701U	13	19	744	40,00	0,54	1,02	49	16	99	3	35	111,4
0,88	4,1	7,1	2,0	1,6	ZR335SPH732_0400 EZ503U	14	19	770	40,00	0,54	1,02	49	16	99	3	35	111,4
0,88	4,8	9,5	2,4	1,4	ZR335SPH732_0400 EZ702U	14	19	770	40,00	0,54	1,02	49	16	99	3	35	111,4

v_{f2N} [m/s]	F_{f2N} [kN]	$F_{f2,0}$ [kN]	a_{th}	S	Typ	F_{f2acc} [kN]	F_{f2NOT} [kN]	M_{2acc} [Nm]	i	$v_{f2maxDB}$ [m/s]	$v_{f2maxZB}$ [m/s]	Δs [μm]	Δs_{red} [μm]	C_{lin} [N/μm]	m_n [mm]	z	d_0 [mm]
ZR3PH7 ($n_{1N} = 6000 \text{ min}^{-1}$, $F_{f2acc,max} = 16 \text{ kN}$)																	
1,00	2,0	2,6	1,1	3,0	ZR340SPH732_0400 EZ501U	9,3	17	595	40,00	0,62	1,17	56	19	86	3	40	127,3
1,00	2,0	2,6	1,0	4,0	ZR335SPH732_0350 EZ501U	9,3	19	521	35,00	0,62	1,17	49	16	99	3	35	111,4
1,00	3,0	4,6	1,6	2,6	ZR335SPH732_0350 EZ502U	16	19	866	35,00	0,62	1,17	49	16	99	3	35	111,4
1,00	3,0	4,6	1,7	1,9	ZR340SPH732_0400 EZ502U	12	17	770	40,00	0,62	1,17	56	19	86	3	40	127,3
1,00	3,0	4,6	1,7	1,9	ZR340SPH732_0400 EZ701U	12	17	744	40,00	0,62	1,17	56	19	86	3	40	127,3
1,00	3,0	4,6	1,6	2,6	ZR335SPH732_0350 EZ701U	12	19	651	35,00	0,62	1,17	49	16	99	3	35	111,4
1,00	3,0	4,6	1,7	1,9	ZR340SPH732_0400 EZ701U	12	17	744	40,00	0,62	1,17	56	19	86	3	40	127,3
1,00	3,6	6,2	1,9	2,2	ZR335SPH732_0350 EZ503U	16	19	866	35,00	0,62	1,17	49	16	99	3	35	111,4
1,00	3,6	6,2	2,0	1,6	ZR340SPH732_0400 EZ503U	12	17	770	40,00	0,62	1,17	56	19	86	3	40	127,3
1,00	4,2	8,4	2,4	1,4	ZR340SPH732_0400 EZ702U	12	17	770	40,00	0,62	1,17	56	19	86	3	40	127,3
1,00	4,2	8,4	2,2	1,9	ZR335SPH732_0350 EZ702U	16	19	866	35,00	0,62	1,17	49	16	99	3	35	111,4
1,00	4,2	8,4	2,4	1,4	ZR340SPH732_0400 EZ702U	12	17	770	40,00	0,62	1,17	56	19	86	3	40	127,3
1,00	4,2	8,4	2,2	1,9	ZR335SPH732_0350 EZ702U	16	19	866	35,00	0,62	1,17	49	16	99	3	35	111,4
1,14	1,7	2,2	1,0	4,0	ZR340SPH732_0350 EZ501U	8,2	17	521	35,00	0,71	1,33	56	19	87	3	40	127,3
1,14	2,7	4,0	1,6	2,6	ZR340SPH732_0350 EZ502U	14	17	866	35,00	0,71	1,33	56	19	87	3	40	127,3
1,14	2,7	4,0	1,6	2,6	ZR340SPH732_0350 EZ701U	10	17	651	35,00	0,71	1,33	56	19	87	3	40	127,3
1,14	3,2	5,4	1,9	2,2	ZR340SPH732_0350 EZ503U	14	17	866	35,00	0,71	1,33	56	19	87	3	40	127,3
1,14	3,7	7,3	2,2	1,9	ZR340SPH732_0350 EZ702U	14	17	866	35,00	0,71	1,33	56	19	87	3	40	127,3
1,25	1,6	2,1	1,1	5,0	ZR335SPH732_0280 EZ501U	7,5	19	417	28,00	0,77	1,46	49	16	102	3	35	111,4
1,25	2,4	3,6	1,7	3,2	ZR335SPH732_0280 EZ502U	14	19	770	28,00	0,77	1,46	49	16	102	3	35	111,4
1,25	2,4	3,7	1,7	3,2	ZR335SPH732_0280 EZ701U	9,3	19	521	28,00	0,77	1,46	49	16	102	3	35	111,4
1,25	2,9	5,0	2,1	2,7	ZR335SPH732_0280 EZ503U	14	19	770	28,00	0,77	1,46	49	16	102	3	35	111,4
1,25	3,4	6,7	2,4	2,3	ZR335SPH732_0280 EZ702U	14	19	770	28,00	0,77	1,46	49	16	102	3	35	111,4
1,40	2,2	3,3	2,0	3,4	ZR335SPH732_0250 EZ502U	13	19	721	25,00	0,82	1,63	49	16	100	3	35	111,4
1,40	2,2	3,3	2,0	3,4	ZR335SPH732_0250 EZ701U	8,3	19	465	25,00	0,82	1,63	49	16	100	3	35	111,4
1,40	2,6	4,4	2,3	2,9	ZR335SPH732_0250 EZ503U	16	19	866	25,00	0,82	1,63	49	16	100	3	35	111,4
1,40	3,0	6,0	2,7	2,5	ZR335SPH732_0250 EZ702U	16	19	866	25,00	0,82	1,63	49	16	100	3	35	111,4
1,43	1,4	1,8	1,1	5,0	ZR340SPH732_0280 EZ501U	6,5	17	417	28,00	0,88	1,67	56	19	90	3	40	127,3
1,43	2,1	3,2	1,7	3,2	ZR340SPH732_0280 EZ502U	12	17	770	28,00	0,88	1,67	56	19	90	3	40	127,3
1,43	2,1	3,2	1,7	3,2	ZR340SPH732_0280 EZ701U	8,2	17	521	28,00	0,88	1,67	56	19	90	3	40	127,3
1,43	2,5	4,3	2,1	2,7	ZR340SPH732_0280 EZ503U	12	17	770	28,00	0,88	1,67	56	19	90	3	40	127,3
1,43	2,9	5,8	2,4	2,3	ZR340SPH732_0280 EZ702U	12	17	770	28,00	0,88	1,67	56	19	90	3	40	127,3
1,60	1,9	2,8	2,0	3,4	ZR340SPH732_0250 EZ502U	11	17	721	25,00	0,93	1,87	56	19	87	3	40	127,3
1,60	1,9	2,9	2,0	3,4	ZR340SPH732_0250 EZ701U	7,3	17	465	25,00	0,93	1,87	56	19	87	3	40	127,3
1,60	2,3	3,9	2,3	2,9	ZR340SPH732_0250 EZ503U	14	17	866	25,00	0,93	1,87	56	19	87	3	40	127,3
1,60	2,6	5,2	2,7	2,5	ZR340SPH732_0250 EZ702U	14	17	866	25,00	0,93	1,87	56	19	87	3	40	127,3
1,75	1,7	2,6	2,2	4,1	ZR335SPH732_0200 EZ502U	10	19	577	20,00	0,88	1,75	49	16	101	3	35	111,4
1,75	1,7	2,6	2,2	4,1	ZR335SPH732_0200 EZ701U	6,7	19	372	20,00	0,88	1,75	49	16	101	3	35	111,4
1,75	2,1	3,5	2,6	3,5	ZR335SPH732_0200 EZ503U	14	19	800	20,00	0,88	1,75	49	16	101	3	35	111,4
1,75	2,4	4,8	3,1	3,0	ZR335SPH732_0200 EZ702U	14	19	763	20,00	0,88	1,75	49	16	101	3	35	111,4
2,00	1,5	2,3	2,2	4,2	ZR340SPH732_0200 EZ502U	9,1	17	577	20,00	1,00	2,00	56	19	88	3	40	127,3
2,00	1,5	2,3	2,2	4,2	ZR340SPH732_0200 EZ701U	5,8	17	372	20,00	1,00	2,00	56	19	88	3	40	127,3
2,00	1,8	3,1	2,6	3,6	ZR340SPH732_0200 EZ503U	13	17	800	20,00	1,00	2,00	56	19	88	3	40	127,3
2,00	2,1	4,2	3,1	3,1	ZR340SPH732_0200 EZ702U	12	17	763	20,00	1,00	2,00	56	19	88	3	40	127,3
2,19	1,4	2,1	2,5	4,8	ZR335SPH732_0160 EZ502U	8,3	19	461	16,00	1,09	2,19	49	16	104	3	35	111,4
2,19	1,4	2,1	2,5	4,8	ZR335SPH732_0160 EZ701U	5,3	19	298	16,00	1,09	2,19	49	16	104	3	35	111,4
2,19	1,7	2,8	3,0	4,0	ZR335SPH732_0160 EZ503U	11	19	640	16,00	1,09	2,19	49	16	104	3	35	111,4
2,19	1,9	3,8	3,4	3,5	ZR335SPH732_0160 EZ702U	11	19	610	16,00	1,09	2,19	49	16	104	3	35	111,4
2,50	1,4	2,5	3,0	4,4	ZR340SPH732_0160 EZ503U	10	17	640	16,00	1,25	2,50	56	19	92	3	40	127,3
2,50	1,7	3,3	3,4	3,8	ZR340SPH732_0160 EZ702U	9,6	17	610	16,00	1,25	2,50	56	19	92	3	40	127,3
ZR4PH7 ($n_{1N} = 2000 \text{ min}^{-1}$, $F_{f2acc,max} = 14 \text{ kN}$)																	
1,91	4,6	7,0	11	1,5	ZR430SPH731_0070 EZ805U	14	17	869	7,000	2,38	4,76	56	19	80	4	30	127,3
2,67	3,3	5,0	16	1,9	ZR430SPH731_0050 EZ805U	14	17	882	5,000	2,93	6,67	56	19	91	4	30	127,3
3,33	2,6	4,0	21	2,2	ZR430SPH731_0040 EZ805U	12	17	787	4,000	3,17	6,67	56	19	98	4	30	127,3
ZR4PH7 ($n_{1N} = 3000 \text{ min}^{-1}$, $F_{f2acc,max} = 14 \text{ kN}$)																	
0,29	4,4	4,8	0,7	2,0	ZR430SPH732_0700 EZ501U	13	17	809	70,00	0,35	0,67	56	19	77	4	30	127,3
0,29	7,6	8,2	1,2	1,2	ZR430SPH732_0700 EZ502U	13	17	809	70,00	0,35	0,67	56	19	77	4	30	127,3
0,29	7,6	8,5	1,2	1,2	ZR430SPH732_0700 EZ701U	13	17	809	70,00	0,35	0,67	56	19	77	4	30	127,3
0,40	3,1	3,4	0,9	2,8	ZR430SPH732_0500 EZ501U	12	17	744	50,00	0,49	0,93	56	19	83	4	30	127,3
0,40	5,4	5,8	1,5	1,6	ZR430SPH732_0500 EZ502U	13	17	830	50,00	0,49	0,93	56	19	83	4	30	127,3
0,40	5,4	6,1	1,5	1,6	ZR430SPH732_0500 EZ701U	13	17	830	50,00	0,49	0,93	56	19	83	4	30	127,3
0,40	7,1	8,1	1,9	1,2	ZR430SPH732_0500 EZ503U	13	17	830	50,00	0,49	0,93	56	19	83	4	30	127,3
0,50	2,5	2,7	1,1	3,0	ZR430SPH732_0400 EZ501U	9,3	17	595	40,00	0,62	1,17	56	19	85	4	30	127,3
0,50	4,3	4,7	1,9	1,7	ZR430SPH732_0400 EZ502U	12	17	770	40,00	0,62	1,17	56	19	85	4	30	127,3
0,50	4,3	4,8	1,9	1,7	ZR430SPH732_0400 EZ701U	12	17	744	40,00	0,62	1,17	56	19	85	4	30	127,3
0,50	5,7	6,5	2,5	1,3	ZR430SPH732_0400 EZ503U	12	17	770	40,00	0,62	1,17	56	19	85	4	30	127,3

7.2 Auswahltabelle 7 Zahnstangentriebe ZRPH

v_{f2N} [m/s]	F_{f2N} [kN]	$F_{f2,0}$ [kN]	a_{th}	S	Typ	F_{f2acc} [kN]	F_{f2NOT} [kN]	M_{2acc} [Nm]	i	$v_{f2maxDB}$ [m/s]	$v_{f2maxZB}$ [m/s]	Δs [μm]	Δs_{red} [μm]	C_{lin} [N/μm]	m_n [mm]	z	d_0 [mm]
ZR4PH7 ($n_{in} = 3000 \text{ min}^{-1}$, ($F_{f2acc,max} = 14 \text{ kN}$))																	
0,50	7,0	8,4	3,1	1,1	ZR430SPH732_0400 EZ702U	12	17	770	40,00	0,62	1,17	56	19	85	4	30	127,3
0,57	2,2	2,4	1,1	3,9	ZR430SPH732_0350 EZ501U	8,2	17	521	35,00	0,71	1,33	56	19	85	4	30	127,3
0,57	3,8	4,1	1,8	2,2	ZR430SPH732_0350 EZ502U	14	17	866	35,00	0,71	1,33	56	19	85	4	30	127,3
0,57	3,8	4,2	1,8	2,2	ZR430SPH732_0350 EZ701U	10	17	651	35,00	0,71	1,33	56	19	85	4	30	127,3
0,57	5,0	5,7	2,4	1,7	ZR430SPH732_0350 EZ503U	14	17	866	35,00	0,71	1,33	56	19	85	4	30	127,3
0,57	6,1	7,4	2,9	1,4	ZR430SPH732_0350 EZ702U	14	17	866	35,00	0,71	1,33	56	19	85	4	30	127,3
0,57	6,9	8,2	3,3	1,2	ZR430SPH732_0350 EZ505U	14	17	866	35,00	0,71	1,33	56	19	85	4	30	127,3
0,57	8,4	11	4,0	1,0	ZR430SPH732_0350 EZ703U	14	17	866	35,00	0,71	1,33	56	19	85	4	30	127,3
0,71	1,8	1,9	1,2	4,8	ZR430SPH732_0280 EZ501U	6,5	17	417	28,00	0,88	1,67	56	19	88	4	30	127,3
0,71	3,0	3,3	2,0	2,8	ZR430SPH732_0280 EZ502U	12	17	770	28,00	0,88	1,67	56	19	88	4	30	127,3
0,71	3,0	3,4	2,0	2,8	ZR430SPH732_0280 EZ701U	8,2	17	521	28,00	0,88	1,67	56	19	88	4	30	127,3
0,71	4,0	4,5	2,7	2,1	ZR430SPH732_0280 EZ503U	12	17	770	28,00	0,88	1,67	56	19	88	4	30	127,3
0,71	4,9	5,9	3,3	1,7	ZR430SPH732_0280 EZ702U	12	17	770	28,00	0,88	1,67	56	19	88	4	30	127,3
0,71	5,5	6,5	3,7	1,5	ZR430SPH732_0280 EZ505U	12	17	770	28,00	0,88	1,67	56	19	88	4	30	127,3
0,71	6,7	8,5	4,5	1,3	ZR430SPH732_0280 EZ703U	12	17	770	28,00	0,88	1,67	56	19	88	4	30	127,3
0,80	2,7	2,9	2,3	2,9	ZR430SPH732_0250 EZ502U	11	17	721	25,00	0,93	1,87	56	19	86	4	30	127,3
0,80	2,7	3,0	2,3	2,9	ZR430SPH732_0250 EZ701U	7,3	17	465	25,00	0,93	1,87	56	19	86	4	30	127,3
0,80	3,5	4,1	3,0	2,2	ZR430SPH732_0250 EZ503U	14	17	866	25,00	0,93	1,87	56	19	86	4	30	127,3
0,80	4,4	5,3	3,8	1,8	ZR430SPH732_0250 EZ702U	14	17	866	25,00	0,93	1,87	56	19	86	4	30	127,3
0,80	4,9	5,8	4,2	1,6	ZR430SPH732_0250 EZ505U	14	17	866	25,00	0,93	1,87	56	19	86	4	30	127,3
0,80	6,0	7,6	5,2	1,3	ZR430SPH732_0250 EZ703U	14	17	866	25,00	0,93	1,87	56	19	86	4	30	127,3
0,80	7,8	11	6,7	1,0	ZR430SPH732_0250 EZ705U	14	17	866	25,00	0,93	1,87	56	19	86	4	30	127,3
1,00	2,2	2,3	2,8	3,3	ZR430SPH732_0200 EZ502U	9,1	17	577	20,00	1,00	2,00	56	19	86	4	30	127,3
1,00	2,2	2,4	2,8	3,3	ZR430SPH732_0200 EZ701U	5,8	17	372	20,00	1,00	2,00	56	19	86	4	30	127,3
1,00	2,8	3,2	3,7	2,6	ZR430SPH732_0200 EZ503U	13	17	800	20,00	1,00	2,00	56	19	86	4	30	127,3
1,00	3,5	4,2	4,6	2,1	ZR430SPH732_0200 EZ702U	12	17	763	20,00	1,00	2,00	56	19	86	4	30	127,3
1,00	3,9	4,7	5,1	1,8	ZR430SPH732_0200 EZ505U	13	17	805	20,00	1,00	2,00	56	19	86	4	30	127,3
1,00	4,8	6,1	6,3	1,5	ZR430SPH732_0200 EZ703U	13	17	805	20,00	1,00	2,00	56	19	86	4	30	127,3
1,00	6,2	8,8	8,1	1,2	ZR430SPH732_0200 EZ705U	13	17	805	20,00	1,00	2,00	56	19	86	4	30	127,3
1,25	1,7	1,9	3,2	4,1	ZR430SPH732_0160 EZ502U	7,2	17	461	16,00	1,25	2,50	56	19	90	4	30	127,3
1,25	1,7	1,9	3,2	4,1	ZR430SPH732_0160 EZ701U	4,7	17	298	16,00	1,25	2,50	56	19	90	4	30	127,3
1,25	2,3	2,6	4,2	3,1	ZR430SPH732_0160 EZ503U	10	17	640	16,00	1,25	2,50	56	19	90	4	30	127,3
1,25	2,8	3,4	5,2	2,5	ZR430SPH732_0160 EZ702U	9,6	17	610	16,00	1,25	2,50	56	19	90	4	30	127,3
1,25	3,2	3,7	5,9	2,2	ZR430SPH732_0160 EZ505U	12	17	740	16,00	1,25	2,50	56	19	90	4	30	127,3
1,25	3,9	4,9	7,2	1,8	ZR430SPH732_0160 EZ703U	12	17	740	16,00	1,25	2,50	56	19	90	4	30	127,3
1,25	5,0	7,1	9,2	1,4	ZR430SPH732_0160 EZ705U	12	17	740	16,00	1,25	2,50	56	19	90	4	30	127,3
2,00	1,1	1,3	1,8	3,9	ZR430SPH731_0100 EZ701U	3,0	17	192	10,00	1,67	3,33	56	19	68	4	30	127,3
2,00	1,8	2,2	3,0	2,4	ZR430SPH731_0100 EZ702U	6,2	17	394	10,00	1,67	3,33	56	19	68	4	30	127,3
2,00	2,5	3,1	4,1	1,8	ZR430SPH731_0100 EZ703U	9,0	17	575	10,00	1,67	3,33	56	19	68	4	30	127,3
2,00	3,2	4,6	5,3	1,4	ZR430SPH731_0100 EZ705U	9,0	17	575	10,00	1,67	3,33	56	19	68	4	30	127,3
2,00	3,4	5,6	5,5	1,3	ZR430SPH731_0100 EZ802U	9,0	17	575	10,00	1,67	3,33	56	19	68	4	30	127,3
2,00	4,0	7,3	6,6	1,1	ZR430SPH731_0100 EZ803U	9,0	17	575	10,00	1,67	3,33	56	19	68	4	30	127,3
2,86	1,3	1,5	3,3	4,8	ZR430SPH731_0070 EZ702U	4,3	17	276	7,000	2,38	4,76	56	19	80	4	30	127,3
2,86	1,7	2,2	4,5	3,5	ZR430SPH731_0070 EZ703U	6,9	17	437	7,000	2,38	4,76	56	19	80	4	30	127,3
2,86	2,2	3,2	5,9	2,7	ZR430SPH731_0070 EZ705U	11	17	699	7,000	2,38	4,76	56	19	80	4	30	127,3
2,86	2,4	3,9	6,1	2,6	ZR430SPH731_0070 EZ802U	11	17	672	7,000	2,38	4,76	56	19	80	4	30	127,3
2,86	2,8	5,1	7,3	2,2	ZR430SPH731_0070 EZ803U	14	17	869	7,000	2,38	4,76	56	19	80	4	30	127,3
4,00	1,2	1,6	6,8	4,4	ZR430SPH731_0050 EZ703U	4,9	17	312	5,000	2,93	6,67	56	19	91	4	30	127,3
4,00	1,6	2,3	8,8	3,4	ZR430SPH731_0050 EZ705U	7,8	17	499	5,000	2,93	6,67	56	19	91	4	30	127,3
4,00	1,7	2,8	9,2	3,3	ZR430SPH731_0050 EZ802U	7,5	17	480	5,000	2,93	6,67	56	19	91	4	30	127,3
4,00	2,0	3,6	11	2,7	ZR430SPH731_0050 EZ803U	11	17	696	5,000	2,93	6,67	56	19	91	4	30	127,3
5,00	1,3	1,8	11	4,0	ZR430SPH731_0040 EZ705U	6,3	14	399	4,000	3,17	6,67	56	19	98	4	30	127,3
5,00	1,3	2,2	12	3,8	ZR430SPH731_0040 EZ802U	6,0	17	384	4,000	3,17	6,67	56	19	98	4	30	127,3
5,00	1,6	2,9	14	3,2	ZR430SPH731_0040 EZ803U	8,7	17	557	4,000	3,17	6,67	56	19	98	4	30	127,3
ZR4PH7 ($n_{in} = 4500 \text{ min}^{-1}$, ($F_{f2acc,max} = 14 \text{ kN}$))																	
0,60	6,9	11	2,2	1,1	ZR430SPH732_0500 EZ505U	13	17	830	50,00	0,49	0,93	56	19	83	4	30	127,3
0,75	5,6	8,9	2,8	1,2	ZR430SPH732_0400 EZ505U	12	17	770	40,00	0,62	1,17	56	19	85	4	30	127,3
0,86	4,9	7,8	2,6	1,6	ZR430SPH732_0350 EZ505U	14	17	866	35,00	0,71	1,33	56	19	85	4	30	127,3
0,86	6,2	10	3,3	1,2	ZR430SPH732_0350 EZ703U	14	17	866	35,00	0,71	1,33	56	19	85	4	30	127,3
1,07	3,9	6,3	2,9	2,0	ZR430SPH732_0280 EZ505U	12	17	770	28,00	0,88	1,67	56	19	88	4	30	127,3
1,07	4,9	8,2	3,7	1,5	ZR430SPH732_0280 EZ703U	12	17	770	28,00	0,88	1,67	56	19	88	4	30	127,3
1,07	6,7	12	5,0	1,1	ZR430SPH732_0280 EZ705U	12	17	770	28,00	0,88	1,67	56	19	88	4	30	127,3
1,20	3,5	5,6	3,2	2,1	ZR430SPH732_0250 EZ505U	14	17	866	25,00	0,93	1,87	56	19	86	4	30	127,3
1,20	4,4	7,3	4,1	1,6	ZR430SPH732_0250 EZ703U	14	17	866	25,00	0,93	1,87	56	19	86	4	30	127,3
1,20	6,0	11	5,6	1,2	ZR430SPH732_0250 EZ705U	14	17	866	25,00	0,93	1,87	56	19	86	4	30	127,3
1,50	2,8	4,5	3,7	2,6	ZR430SPH732_0200 EZ505U	13	17	805	20,00	1,00	2,00	56	19	86	4	30	127,3

v_{f2N} [m/s]	F_{f2N} [kN]	$F_{f2,0}$ [kN]	a_{th}	S	Typ	F_{f2acc} [kN]	F_{f2NOT} [kN]	M_{2acc} [Nm]	i	$v_{f2maxDB}$ [m/s]	$v_{f2maxZB}$ [m/s]	Δs [μm]	Δs_{red} [μm]	C_{lin} [N/μm]	m_n [mm]	z	d_0 [mm]
ZR4PH7 ($n_{1N} = 4500 \text{ min}^{-1}$, ($F_{f2acc,max} = 14 \text{ kN}$))																	
1,50	3,5	5,8	4,7	2,0	ZR430SPH732_0200 EZ703U	13	17	805	20,00	1,00	2,00	56	19	86	4	30	127,3
1,50	4,8	8,8	6,4	1,5	ZR430SPH732_0200 EZ705U	13	17	805	20,00	1,00	2,00	56	19	86	4	30	127,3
1,88	2,2	3,6	4,1	3,2	ZR430SPH732_0160 EZ505U	12	17	740	16,00	1,25	2,50	56	19	90	4	30	127,3
1,88	2,8	4,7	5,3	2,5	ZR430SPH732_0160 EZ703U	12	17	740	16,00	1,25	2,50	56	19	90	4	30	127,3
1,88	3,8	7,0	7,1	1,8	ZR430SPH732_0160 EZ705U	12	17	740	16,00	1,25	2,50	56	19	90	4	30	127,3
3,00	1,6	5,2	3,0	2,4	ZR430SPH731_0100 EZ802U	9,0	17	575	10,00	1,67	3,33	56	19	68	4	30	127,3
3,00	1,8	3,0	3,4	2,1	ZR430SPH731_0100 EZ703U	9,0	17	575	10,00	1,67	3,33	56	19	68	4	30	127,3
3,00	2,5	4,5	4,7	1,5	ZR430SPH731_0100 EZ705U	9,0	17	575	10,00	1,67	3,33	56	19	68	4	30	127,3
4,29	1,1	3,6	3,3	4,8	ZR430SPH731_0070 EZ802U	11	17	672	7,000	2,38	4,76	56	19	80	4	30	127,3
4,29	1,3	2,1	3,8	4,1	ZR430SPH731_0070 EZ703U	6,9	17	437	7,000	2,38	4,76	56	19	80	4	30	127,3
4,29	1,7	3,2	5,2	3,0	ZR430SPH731_0070 EZ705U	11	17	699	7,000	2,38	4,76	56	19	80	4	30	127,3
6,00	1,2	2,3	7,7	3,9	ZR430SPH731_0050 EZ705U	7,8	17	499	5,000	2,93	6,67	56	19	91	4	30	127,3
ZR4PH7 ($n_{1N} = 6000 \text{ min}^{-1}$, ($F_{f2acc,max} = 14 \text{ kN}$))																	
0,57	3,5	4,5	0,7	2,0	ZR430SPH732_0700 EZ501U	13	17	809	70,00	0,35	0,67	56	19	77	4	30	127,3
0,57	5,3	8,0	1,1	1,3	ZR430SPH732_0700 EZ502U	13	17	809	70,00	0,35	0,67	56	19	77	4	30	127,3
0,57	5,3	8,1	1,1	1,3	ZR430SPH732_0700 EZ701U	13	17	809	70,00	0,35	0,67	56	19	77	4	30	127,3
0,57	6,3	11	1,3	1,1	ZR430SPH732_0700 EZ503U	13	17	809	70,00	0,35	0,67	56	19	77	4	30	127,3
0,80	2,5	3,2	0,9	2,8	ZR430SPH732_0500 EZ501U	12	17	744	50,00	0,49	0,93	56	19	83	4	30	127,3
0,80	3,8	5,7	1,3	1,8	ZR430SPH732_0500 EZ502U	13	17	830	50,00	0,49	0,93	56	19	83	4	30	127,3
0,80	3,8	5,8	1,3	1,8	ZR430SPH732_0500 EZ701U	13	17	830	50,00	0,49	0,93	56	19	83	4	30	127,3
0,80	4,5	7,7	1,6	1,5	ZR430SPH732_0500 EZ503U	13	17	830	50,00	0,49	0,93	56	19	83	4	30	127,3
0,80	5,3	10	1,8	1,3	ZR430SPH732_0500 EZ702U	13	17	830	50,00	0,49	0,93	56	19	83	4	30	127,3
1,00	2,0	2,6	1,1	3,0	ZR430SPH732_0400 EZ501U	9,3	17	595	40,00	0,62	1,17	56	19	85	4	30	127,3
1,00	3,0	4,6	1,7	1,9	ZR430SPH732_0400 EZ502U	12	17	770	40,00	0,62	1,17	56	19	85	4	30	127,3
1,00	3,0	4,6	1,7	1,9	ZR430SPH732_0400 EZ701U	12	17	744	40,00	0,62	1,17	56	19	85	4	30	127,3
1,00	3,6	6,2	2,0	1,6	ZR430SPH732_0400 EZ503U	12	17	770	40,00	0,62	1,17	56	19	85	4	30	127,3
1,00	4,2	8,4	2,4	1,4	ZR430SPH732_0400 EZ702U	12	17	770	40,00	0,62	1,17	56	19	85	4	30	127,3
1,14	1,7	2,2	1,0	4,0	ZR430SPH732_0350 EZ501U	8,2	17	521	35,00	0,71	1,33	56	19	85	4	30	127,3
1,14	2,7	4,0	1,6	2,6	ZR430SPH732_0350 EZ502U	14	17	866	35,00	0,71	1,33	56	19	85	4	30	127,3
1,14	2,7	4,0	1,6	2,6	ZR430SPH732_0350 EZ701U	10	17	651	35,00	0,71	1,33	56	19	85	4	30	127,3
1,14	3,2	5,4	1,9	2,2	ZR430SPH732_0350 EZ503U	14	17	866	35,00	0,71	1,33	56	19	85	4	30	127,3
1,14	3,7	7,3	2,2	1,9	ZR430SPH732_0350 EZ702U	14	17	866	35,00	0,71	1,33	56	19	85	4	30	127,3
1,43	1,4	1,8	1,1	5,0	ZR430SPH732_0280 EZ501U	6,5	17	417	28,00	0,88	1,67	56	19	88	4	30	127,3
1,43	2,1	3,2	1,7	3,2	ZR430SPH732_0280 EZ502U	12	17	770	28,00	0,88	1,67	56	19	88	4	30	127,3
1,43	2,1	3,2	1,7	3,2	ZR430SPH732_0280 EZ701U	8,2	17	521	28,00	0,88	1,67	56	19	88	4	30	127,3
1,43	2,5	4,3	2,1	2,7	ZR430SPH732_0280 EZ503U	12	17	770	28,00	0,88	1,67	56	19	88	4	30	127,3
1,43	2,9	5,8	2,4	2,3	ZR430SPH732_0280 EZ702U	12	17	770	28,00	0,88	1,67	56	19	88	4	30	127,3
1,60	1,9	2,8	2,0	3,4	ZR430SPH732_0250 EZ502U	11	17	721	25,00	0,93	1,87	56	19	86	4	30	127,3
1,60	1,9	2,9	2,0	3,4	ZR430SPH732_0250 EZ701U	7,3	17	465	25,00	0,93	1,87	56	19	86	4	30	127,3
1,60	2,3	3,9	2,3	2,9	ZR430SPH732_0250 EZ503U	14	17	866	25,00	0,93	1,87	56	19	86	4	30	127,3
1,60	2,6	5,2	2,7	2,5	ZR430SPH732_0250 EZ702U	14	17	866	25,00	0,93	1,87	56	19	86	4	30	127,3
2,00	1,5	2,3	2,2	4,2	ZR430SPH732_0200 EZ502U	9,1	17	577	20,00	1,00	2,00	56	19	86	4	30	127,3
2,00	1,5	2,3	2,2	4,2	ZR430SPH732_0200 EZ701U	5,8	17	372	20,00	1,00	2,00	56	19	86	4	30	127,3
2,00	1,8	3,1	2,6	3,6	ZR430SPH732_0200 EZ503U	13	17	800	20,00	1,00	2,00	56	19	86	4	30	127,3
2,00	2,1	4,2	3,1	3,1	ZR430SPH732_0200 EZ702U	12	17	763	20,00	1,00	2,00	56	19	86	4	30	127,3
2,50	1,4	2,5	3,0	4,4	ZR430SPH732_0160 EZ503U	10	17	640	16,00	1,25	2,50	56	19	90	4	30	127,3
2,50	1,7	3,3	3,4	3,8	ZR430SPH732_0160 EZ702U	9,6	17	610	16,00	1,25	2,50	56	19	90	4	30	127,3

7.3 Maßzeichnungen

In diesem Kapitel finden Sie die Abmessungen der Zahnstangentriebe mit Synchron-Servomotoren EZ.

Das Maß az in den Maßtabellen gilt für Atlanta Zahnstangen. Allgemein gilt: $az = \frac{1}{2} d_0 + h_0 + x \cdot mn$

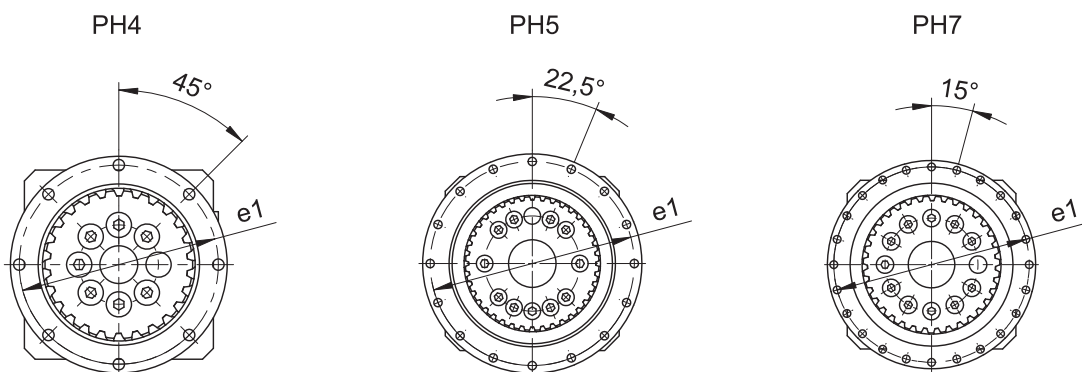
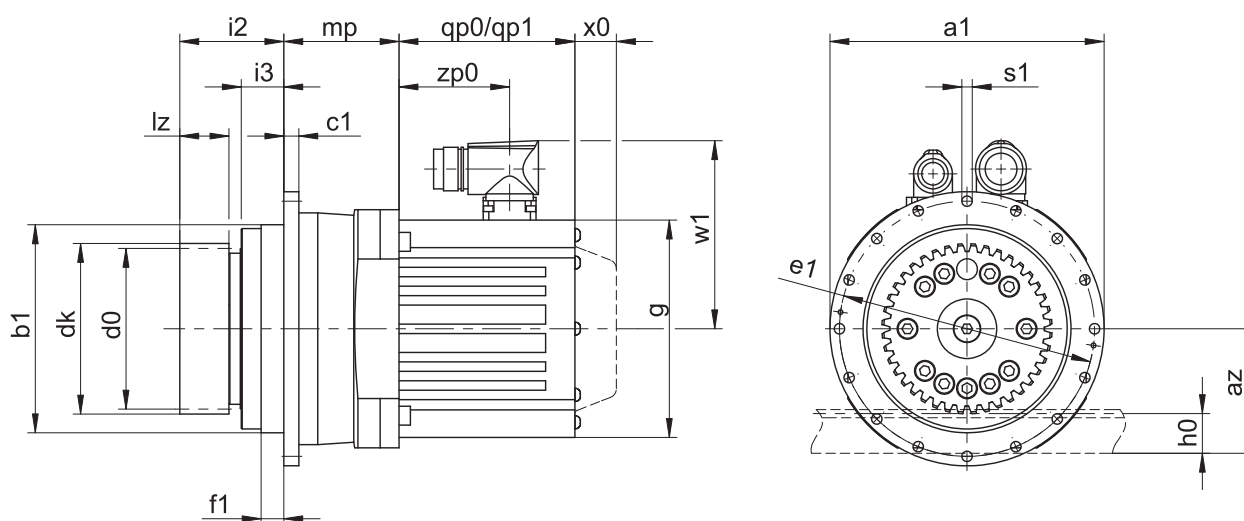
Das Ritzel des Zahnstangentriebs ist schrägverzahnt (linkssteigend $19^\circ 31' 42''$). Die Ritzelverzahnungsqualität ist 5.

Maße können aufgrund von Gusstoleranzen bzw. Aufsummieren der Einzeltoleranzen die Vorgaben der ISO 2768-mK überschreiten.

Maßänderungen durch technische Weiterentwicklung behalten wir uns vor.

3D-Modelle unserer Standardantriebe können Sie unter <https://configurator.stoeber.de/de-DE/> herunterladen.

Kombinationsmöglichkeiten und Maße für fremdbelüftete Getriebemotoren finden Sie ebenfalls unter <https://configurator.stoeber.de/de-DE/>.



qp0 Gilt für Motoren ohne Bremse.

qp1 Gilt für Motoren mit Bremse.

x0 Gilt für Encoder mit optischem Messprinzip.

w1 Abweichend bei One Cable Solution (OCS) siehe Kapitel [13.4](#)

Maße Getriebe

Typ	mn	$\varnothing a_1$	az	$\varnothing b_1$	c1	$\varnothing d_0$	$\varnothing dk$	$\varnothing e_1$	f1	h0	i2	i3	lz	$\varnothing s_1$	x
ZR233SPH4_	2	118 _{h7}	57,80	90 _{h7}	7	70,03	75,0	109	10	22	56,0	23,5	26	5,5	0,39
ZR240SPH5_	2	145 _{h7}	65,20	110 _{h7}	8	84,88	90,0	135	12	22	55,0	22,5	26	5,5	0,38
ZR330SPH5_	3	145 _{h7}	73,75	110 _{h7}	8	95,49	101,5	135	12	26	64,0	22,5	35	5,5	0,00
ZR335SPH7_	3	179 _{h7}	82,80	140 _{h7}	10	111,41	119,0	168	12	26	69,0	31,5	31	6,6	0,37
ZR340SPH7_	3	179 _{h7}	90,80	140 _{h7}	10	127,32	135,0	168	12	26	69,0	31,5	31	6,6	0,38
ZR430SPH7_	4	179 _{h7}	98,66	140 _{h7}	10	127,32	135,3	168	12	35	83,0	31,5	45	6,6	0,00

Maße Motoren

Typ	□g	qp0	qp1	w1	x0	zp0
EZ301U	72	90	130,0	55,5	21	54,5
EZ302U	72	112	152,0	55,5	21	76,5
EZ303U	72	134	174,0	55,5	21	98,5
EZ401U	98	98	146,5	91,0	22	56,0
EZ402U	98	123	171,5	91,0	22	81,0
EZ501U	115	93	147,5	100,0	22	58,5
EZ502U	115	118	172,5	100,0	22	83,5
EZ503U	115	143	197,5	100,0	22	108,5
EZ505U	115	193	247,5	100,0	22	158,5
EZ701U	145	102	161,0	115,0	22	64,0
EZ702U	145	127	186,0	115,0	22	89,0
EZ703U	145	152	211,0	115,0	22	114,0
EZ705U	145	207	266,0	134,0	22	165,0
EZ802U	190	197	274,0	156,5	22	143,0
EZ803U	190	238	315,0	156,5	22	184,0
EZ805U	190	320	397,0	156,5	22	266,0

Maße Getriebemotoren

Typ	EZ3 mp	EZ4 mp	EZ5 mp	EZ7 mp	EZ8 mp
ZR_PH431_	–	54,5	54,0	–	–
ZR_PH432_	99,0	95,5	–	–	–
ZR_PH531_	–	–	61,0	64,0	–
ZR_PH532_	–	103,0	102,5	–	–
ZR_PH731_	–	–	–	71,0	81,0
ZR_PH732_	–	–	119,0	122,0	–

7.4 Typenbezeichnung

In diesem Kapitel finden Sie die Erklärung der Typenbezeichnung mit den zugehörigen Optionen.

Weitere Bestellangaben, die nicht in der Typenbezeichnung vorkommen, finden Sie am Ende des Kapitels.

Beispiel-Code

Z	R	3	30	S	PH	5	3	2	S	F	S	S	0280	EZ501U
---	---	---	----	---	----	---	---	---	---	---	---	---	------	--------

Erklärung

Code	Bezeichnung	Ausführung
Z	Typ	Zahnstangentrieb
R	Ausführung	Verschraubtes Ritzel
3	Modul	$m_n = 3$ (Beispiel)
30	Zähnezahl	$z = 30$ (Beispiel)
S	Verzahnung	Schrägverzahnt (linkssteigend 19° 31' 42")
PH	Typ	Planetengetriebe
5	Größe	5 (Beispiel)
3	Generation	Generation 3
1	Stufen	1-stufig
2		2-stufig
S	Gehäuse	Standard
F	Welle	Flanschwelle
S	Lager	Standardlagerung
V		Verstärkte Lagerung (PH3 – PH5)
S	Drehspiel	Standard
R		Reduziert
0280	Übersetzungskennzahl ($i \times 10$)	$i = 28$ (Beispiel)
EZ501U	Motor	Synchron-Servomotor EZ

Um die Typenbezeichnung zu vervollständigen, geben Sie bei Ihrer Bestellung zusätzlich an:

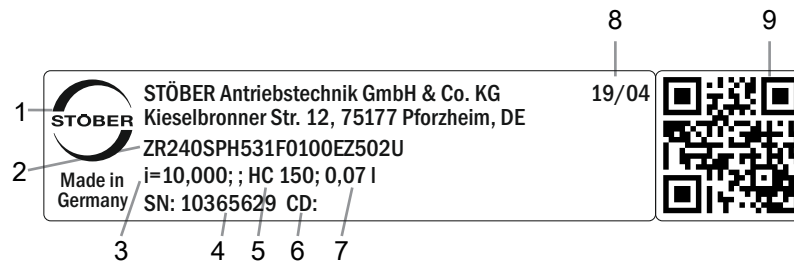
- Eine detaillierte Typenbezeichnung des Motors, siehe Kapitel [▶ 13](#)
- Radialwellendichtringe am Abtrieb aus NBR oder FKM (Option), siehe Kapitel [▶ 7.6.2](#)
- Rundlauf $\leq 10 \mu\text{m}$ (Option)
- Reversierbetrieb der Abtriebswelle von $\pm 20^\circ$ bis $\pm 90^\circ$ bei horizontalem Einbau auf Anfrage

In diesem Katalog finden Sie alle Informationen zu Zahnstangentrieben mit Synchron-Servomotoren EZ.

Alle auf Anfrage erhältlichen Eintriebsoptionen finden Sie im Kapitel [▶ 7.5.1](#).

7.4.1 Typenschild

In folgender Abbildung ist das Typenschild eines Getriebemotors als Beispiel erläutert.



Code	Bezeichnung
1	Herstellerbezeichnung
2	Typenbezeichnung
3	Übersetzung des Getriebes
4	Serialnummer des Getriebes
5	Schmierstoffspezifikation
6	Kundenspezifische Daten
7	Schmierstofffüllmenge
8	Herstellungsdatum (Jahr/Kalenderwoche)
9	QR-Code (Link zu Produktinformationen)

7.4.1.1 Mitgeltende Dokumente

Mitgeltende Dokumente für das Produkt können Sie ansehen oder herunterladen, wenn Sie die Seriennummer auf dem Typenschild des Produkts ablesen und sie im Internet unter folgender Adresse eingeben:

<https://id.stober.com>

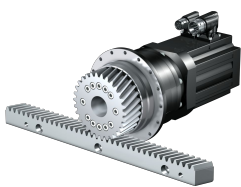
Alternativ können Sie mit einem geeigneten Mobilgerät den QR-Code auf dem Typenschild des Produkts einscannen, um dadurch zu den mitgeltenden Dokumenten verlinkt zu werden.

7.5 Produktbeschreibung

7.5.1 Eintriebsoptionen

In diesem Kapitel finden Sie alle verfügbaren Eintriebsoptionen:

Synchron-Servomotor EZ



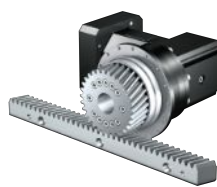
Katalog ID 443286_de

Motoradapter



Katalog ID 443137_de

Winkeleintrieb KX mit Motoradapter MF



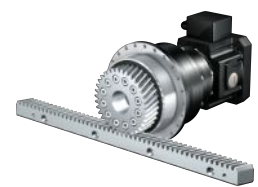
Auf Anfrage

Winkeleintrieb K mit Motoradapter ME



Auf Anfrage

Motoradapter MB



Auf Anfrage

Die entsprechenden Kataloge finden Sie unter <http://www.stober.de/de/downloads/>

Geben Sie im Feld Suchbegriff die ID des Katalogs ein.

7.5.2 Zahnstange

Die im Kapitel Auswahltabellen angegebenen technischen Daten gelten nur für Zahnstangenpaarungen mit folgenden Eigenschaften:

Das Ritzel des Zahnstangentriebs ist einsatzgehärtet und schrägverzahnt (linkssteigend $19^{\circ} 31' 42''$). Die Ritzelverzahnungsqualität ist 5.

Die entsprechende Zahnstange muss rechtssteigend ($19^{\circ} 31' 42''$) sein und folgende Eigenschaften besitzen:

Modul m_n [mm]	Mindestqualität Zahnstange	Werkstoff Zahnstange
2 – 4	6	16MnCr5 induktiv gehärtet
5	5	16MnCr5 induktiv gehärtet
6 – 10	6	C45 induktiv gehärtet

Beachten Sie zusätzlich die Projektierung der Zahnstange auf den Atlanta-Seiten.

7.5.3 Einbaubedingungen

Die in diesem Katalog angegebenen Drehmomente und Kräfte gelten unter folgenden Bedingungen:

- Bei einer maschinenseitigen Befestigung des Getriebegehäuses mit Schrauben der Festigkeitsklasse 12.9
- Wenn die Getriebegehäuse am Passrand $\varnothing b_z$ eingepasst werden. Die maschinenseitige Passung muss H7 sein.

7.5.4 Schmierstoffe

STÖBER füllt die Getriebe mit der auf dem Typenschild angegebenen Menge und Art des Schmierstoffs.

Schmierstoffe für den Einsatz in der Lebensmittelindustrie erhalten Sie auf Anfrage.

7.5.4.1 Schmierung Zahnstangentrieb

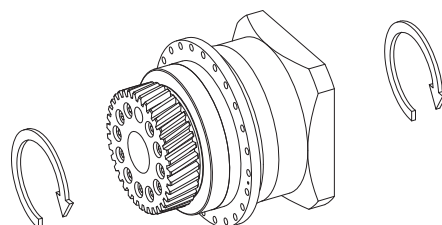
Stellen Sie eine permanente Schmierung des Zahnstangentriebs, mit den im Atlanta-Katalog vorgeschriebenen Schmierstoffen, sicher.

7.5.5 Weitere Produktmerkmale

Merkmal	Wert
Max. zul. Getriebetemperatur (an der Getriebeoberfläche)	$\leq 90^{\circ}\text{C}$
Lackierung	Schwarz RAL 9005
(ATEX-) Richtlinie 2014/34/EU (Option)	Nicht geeignet.
Schutzart: ¹	
Planetengeräte	IP65
Motor	IP56, optional IP66
Ritzel/Zahnstange	IPXX

7.5.6 Drehrichtung

Ein- und Abtrieb drehen sich gleichsinnig.



7.6 Projektierung

Projektieren Sie Ihre Antriebe mit unserer Auslegungssoftware SERVOSOFT. Laden Sie SERVOSOFT kostenlos unter <https://www.stoeber.de/de/ServoSoft> herunter.

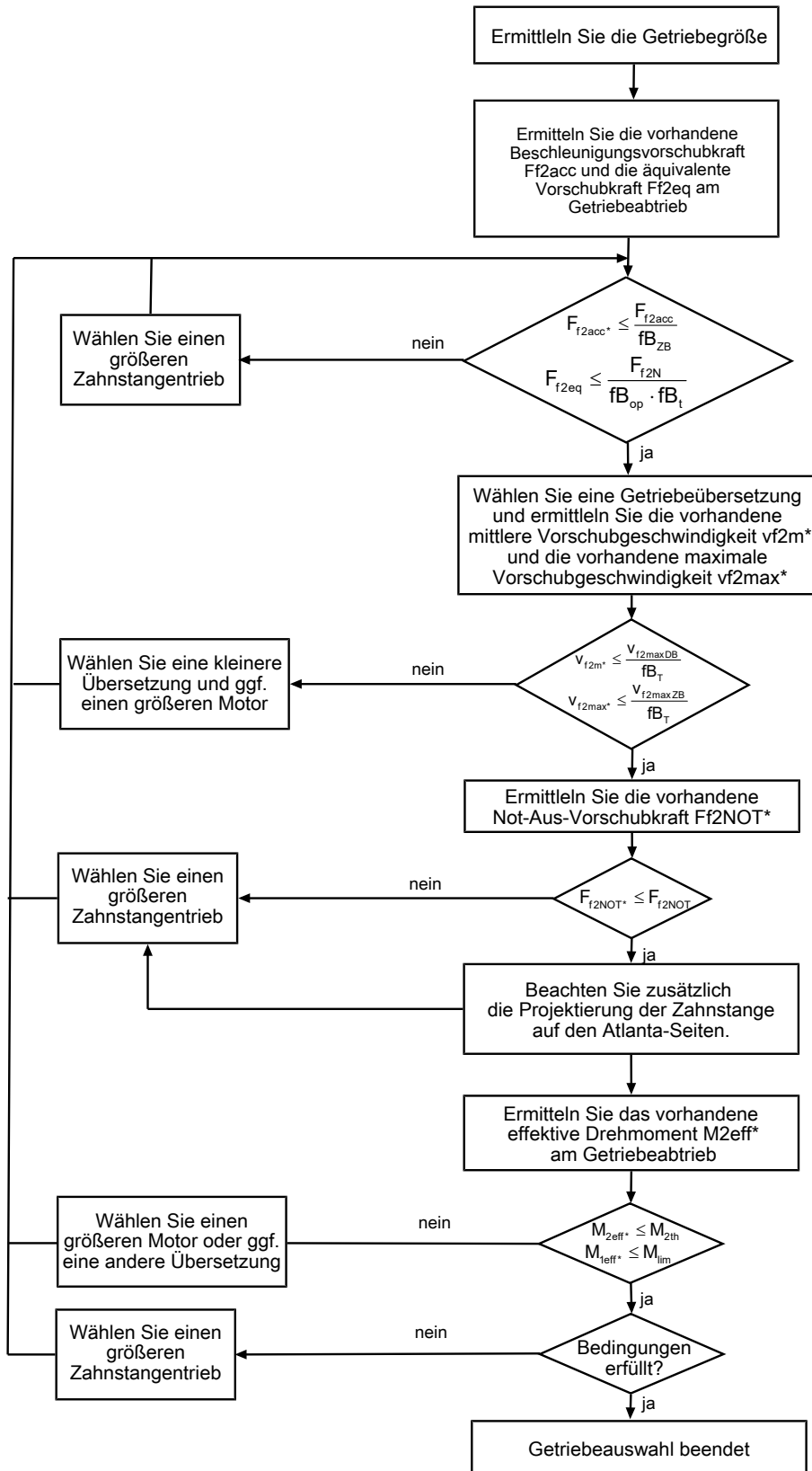
Dies ist die komfortabelste und sicherste Methode der Antriebsauswahl, da hier der komplette Drehmoment-Drehzahl-Verlauf der Anwendung in der Kennlinie des Getriebemotors dargestellt und beurteilt wird.

In diesem Kapitel können für die manuelle Antriebsauswahl nur Grenzwertbetrachtungen für konkrete Arbeitspunkte gemacht werden.

Die Formelzeichen für tatsächlich in der Anwendung vorhandene Werte sind mit einem * gekennzeichnet.

Die Erklärung der Formelzeichen finden Sie im Kapitel [▶ 15.1](#).

7.6.1 Antriebsauswahl

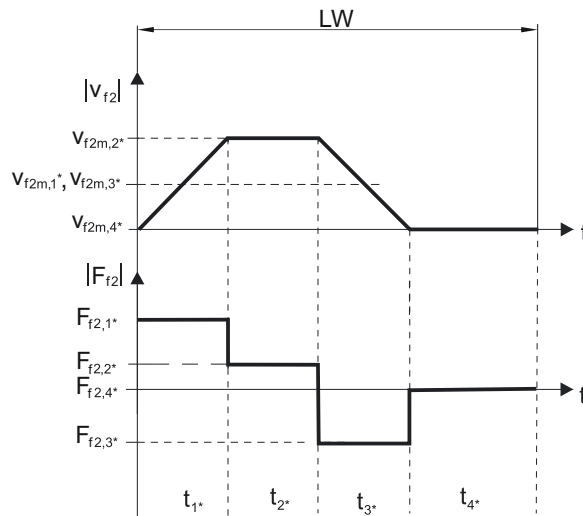


Entnehmen Sie die Werte für i , $v_{f2maxDB}$, $v_{f2maxZB}$, F_{f2acc} , F_{f2N} und F_{f2NOT} den Auswahltabellen.

Entnehmen Sie die Werte für fb_T , fb_{op} , fb_t und fb_{zb} den jeweiligen Tabellen in diesem Kapitel.

Beispiel Zyklusbetrieb

Die nachfolgenden Berechnungen beziehen sich auf eine Darstellung der am Abtrieb abgenommenen Leistung gemäß folgendem Beispiel:

**Berechnung der vorhandenen maximalen Beschleunigungsvorschubkraft**

$$F_{f2acc*} = m \cdot a^* + F_{L*}$$

Berechnung der vorhandenen mittleren Eintriebsdrehzahl

$$n_{1m*} = \frac{v_{f2m*} \cdot i}{d_0 \cdot \pi}$$

$$v_{f2m*} = \frac{|v_{f2m,1*}| \cdot t_{1*} + \dots + |v_{f2m,n*}| \cdot t_{n*}}{t_{1*} + \dots + t_{n*}}$$

Wenn $t_{1*} + \dots + t_{3*} \geq 6$ min, ermitteln Sie v_{2m*} ohne die Pause t_{4*} .

Entnehmen Sie die Werte für die Übersetzung i in den Auswahltabellen.

Berechnung der vorhandenen Not-Aus-Vorschubkraft

$$F_{f2NOT*} = m \cdot a_{NOT*} + F_{L*}$$

Berechnung der vorhandenen äquivalenten Vorschubkraft

$$F_{f2eq*} = \sqrt[3]{\frac{|v_{f2m,1*}| \cdot t_{1*} \cdot |F_{f2,1*}|^3 + \dots + |v_{f2m,n*}| \cdot t_{n*} \cdot |F_{f2,n*}|^3}{|v_{f2m,1*}| \cdot t_{1*} + \dots + |v_{f2m,n*}| \cdot t_{n*}}}$$

Berechnung des thermischen Grenzmoments

Berechnen Sie für eine Einschaltdauer $ED_{10} > 50$ % das thermische Grenzmoment M_{2th} für die vorhandene mittlere Eintriebsdrehzahl n_{1m*} . (Bei $K_{mot,th} \leq 0$ müssen Sie die mittlere Eintriebsdrehzahl n_{1m*} entsprechend reduzieren oder eine andere Baugröße des Getriebemotors wählen.)

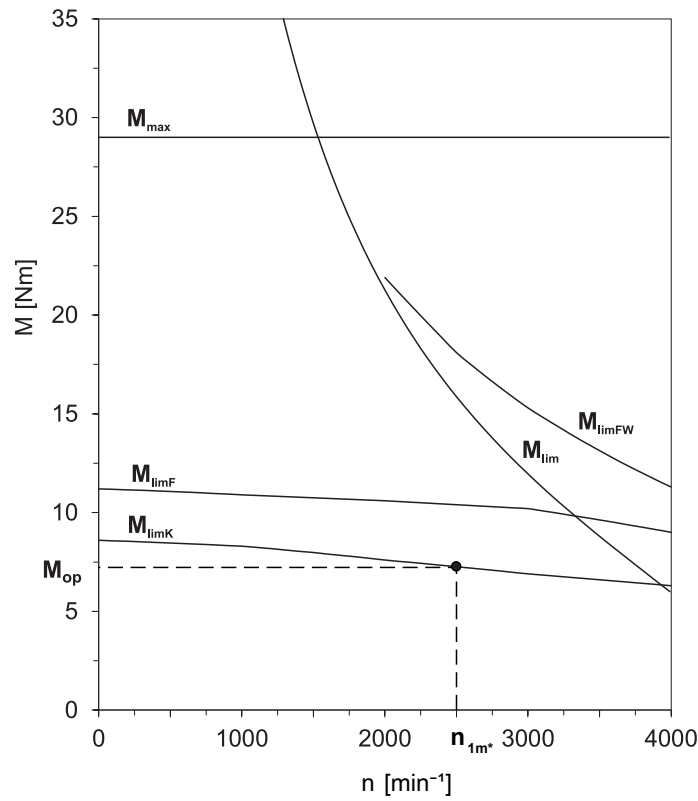
$$M_{2th} = M_{op} \cdot i \cdot K_{mot,th}$$

$$K_{mot,th} = 0,93 - \frac{a_{th}}{1000} \cdot fB_T \cdot \left(\frac{n_{1m*}}{1000} \right)^3$$

Entnehmen Sie die Werte für i und a_{th} den Auswahltabellen.

Entnehmen Sie die Werte für fB_T der entsprechenden Tabelle in diesem Kapitel.

Entnehmen Sie der Motorkennlinie im Kapitel [13.3](#) den Wert für das Drehmoment des Motors im Arbeitspunkt M_{op} bei der ermittelten mittleren Eintriebsdrehzahl n_{1m*} . Beachten Sie dabei die Baugröße, Nenn-drehzahl n_n und Kühlungsart des Motors. Die nachfolgende Abbildung stellt ein Beispiel für das Ablesen des Drehmoments M_{op} eines Motors mit Konvektionskühlung im Arbeitspunkt dar.



Berechnung des vorhandenen effektiven Drehmoments

$$M_{2eff*} = \sqrt{\frac{t_{1*} \cdot M_{2,1*}^2 + \dots + t_{n*} \cdot M_{2,n*}^2}{t_{1*} + \dots + t_{n*}}}$$

$$M_{2,n*} = \frac{F_{f2,n*} \cdot d_0}{2}$$

$$M_{1eff*} = \frac{M_{2eff*}}{i \cdot \eta}$$

Betriebsfaktoren

Betriebsart		fB _{op}
Gleichmäßiger Dauerbetrieb		1,00
Zyklusbetrieb		1,00
Zyklusbetrieb reversierende Last		1,00
Laufzeit		fB _t
Tägliche Laufzeit ≤ 8 h		1,00
Tägliche Laufzeit ≤ 16h		1,15
Tägliche Laufzeit ≤ 24 h		1,20
Zyklusbetrieb		fB _{ZB}
≤ 1000 Lastwechsel/Stunde (LW/h)		1,00
> 1000 Lastwechsel/Stunde (LW/h)		1,15
Temperatur		fB _T
Motorkühlung	Umgebungstemperatur	
Motor mit Fremdbelüftung	≤ 20 °C	0,9
	≤ 30 °C	1,0
	≤ 40 °C	1,15
Motor mit Konvektionskühlung	≤ 20 °C	1,0
	≤ 30 °C	1,1
	≤ 40 °C	1,25

Hinweise

- Die maximal zulässige Getriebetemperatur (siehe Kapitel Weitere Produktmerkmale) darf nicht überschritten werden, da dies zu Beschädigungen führen kann.
- Beachten Sie bei Bremsungen aus voller Drehzahl (z. B. bei einem Spannungsausfall oder beim Einrichten der Maschine) die zulässigen Getriebevorschubkräfte (F_{f2acc} , F_{f2NOT}) in den Auswahltabellen.

7.6.2 Empfehlung Radialwellendichtringe

Für eine Einschaltdauer > 60 % und bei höheren Umgebungstemperaturen empfehlen wir am Abtrieb Radialwellendichtringe aus FKM.

Eigenschaften:

- Hervorragende Temperaturbeständigkeit
- Hohe chemische Stabilität
- Sehr gute Alterungsbeständigkeit
- Hervorragende Beständigkeit in Ölen und Fetten
- Einsatz in der Lebensmittel-, Pharma- und Getränkeindustrie

Leckagesicherheit

Unsere Getriebe sind mit hochwertigen Radialwellendichtringen ausgestattet und auf Dichtheit geprüft. Eine Leckage kann über die Gebrauchsdauer der Getriebe trotzdem nicht völlig ausgeschlossen werden. Wenn Sie die Getriebe mit schmierstoffunverträglichen Gütern einsetzen, müssen Sie Maßnahmen ergreifen, die einen direkten Kontakt mit dem Getriebeschmierstoff im Falle einer Leckage verhindern.

7.7 Weitere Dokumentation

Weitere, das Produkt betreffende Dokumentationen finden Sie unter <http://www.stoeber.de/de/downloads/>

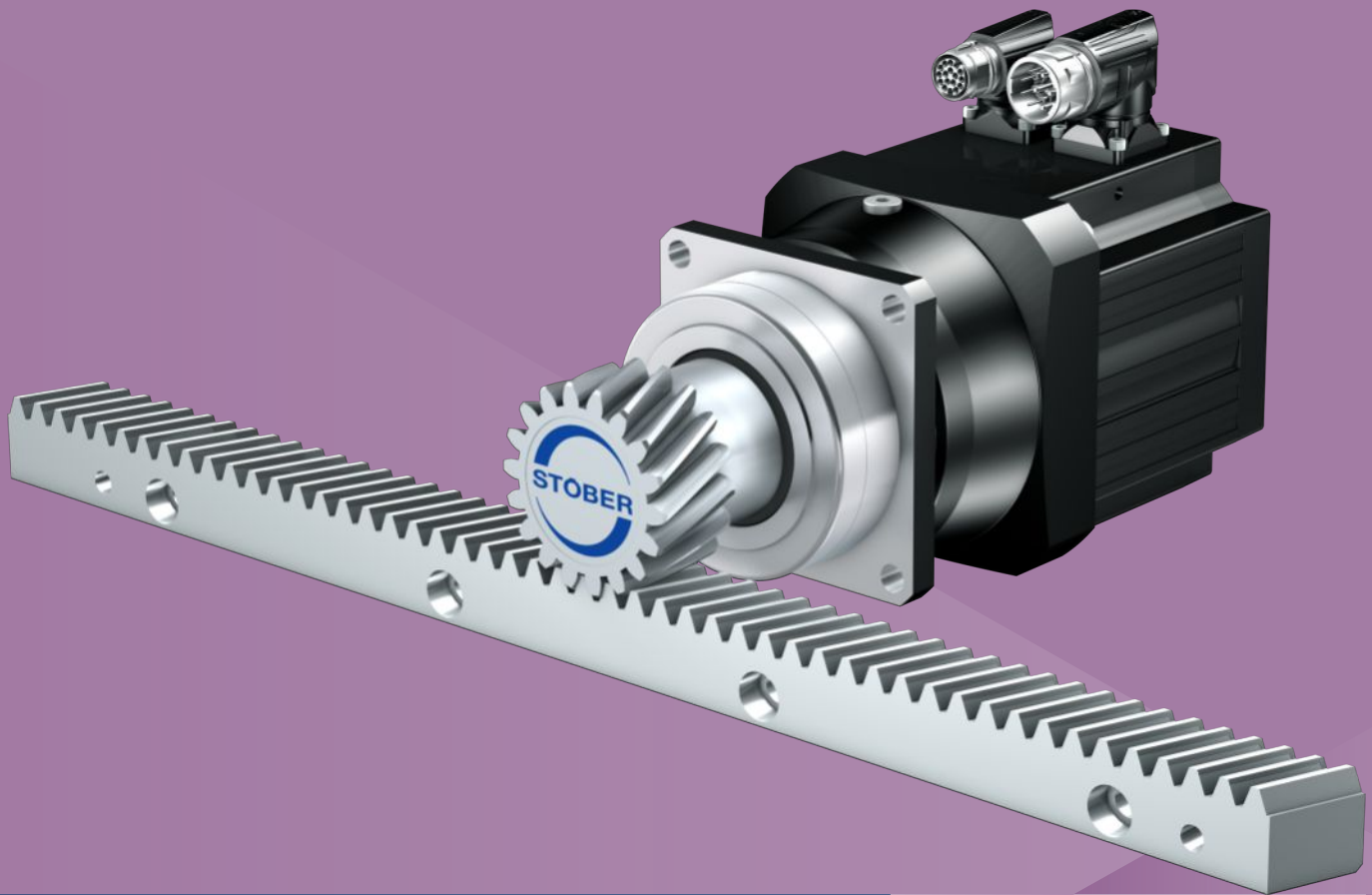
Geben Sie im Feld Suchbegriff die ID der Dokumentation ein.

Dokumentation	ID
Betriebsanleitung Getriebe, Getriebemotoren PH33 – PH83, PH94 – PH104	443354_de
Betriebsanleitung Synchron-Servomotoren EZ	443032_de
Betriebsanleitung Zahnstangen (Atlanta)	442455

8 Zahnstangentriebe ZVP

Inhaltsverzeichnis

8.1	Übersicht	128
8.2	Auswahltablelle	129
8.3	Maßzeichnungen	140
8.3.1	Ritzelposition E	140
8.3.2	Ritzelposition S	142
8.4	Typenbezeichnung	144
8.4.1	Typenschild	145
8.5	Produktbeschreibung	145
8.5.1	Eintriebsoptionen	145
8.5.2	Zahnstange	146
8.5.3	Einbaubedingungen	146
8.5.4	Schmierstoffe	146
8.5.5	Position der Steckverbinder	146
8.5.6	Weitere Produktmerkmale	147
8.5.7	Drehrichtung	147
8.6	Projektierung	147
8.6.1	Antriebsauswahl	148
8.6.2	Empfehlung Radialwellendichtringe	151
8.7	Weitere Dokumentation	151



8 Zahnstangentriebe

ZVP

8.1 Übersicht

Präzisions-Planetengetriebemotoren mit Aufsteckritzel

Merkmale

Leistungsdichte	★★★★☆
Lineares Spiel	★★★★★
Preisklasse	€€
Laufruhe	★★★★☆
Lineare Steifigkeit	★★★★☆
Massenträgheitsmoment	★★★★☆
Einbaufertige Antriebslösung	✓
Ritzel Verzahnungsqualität 6 (DIN 3962)	✓
Schrägverzahnung	✓
Einsatzgehärtet und geschliffen	✓
Kompakt und hochdynamisch durch Motordirektanbau	✓

Legende ★☆☆☆☆ gut | ★★★★★ hervorragend
 € Economy | €€€€€ Premium

Technische Daten

m_n	2 – 4 mm
z	16 – 25
F_{fzacc}	0,8 – 11 kN
V_{fzN}	0,08 – 4,5 m/s
Δs	8 – 44 μm

8.2 Auswahltabelle

Die in den Auswahltabellen angegebenen technischen Daten gelten für:

- Ritzelposition E mit Lagerausführung S (Standard)
- Spannungsfreien Einbau
- Permanente Schmierung mit den im Atlanta-Katalog vorgeschriebenen Schmierstoffen
- Werkstoffpaarungen entsprechend Kapitel [▶ 8.5.2](#)
- Aufstellhöhen bis 1000 m über Normalnull
- Umgebungstemperaturen von 0° C bis 40° C
- Ohne Berücksichtigung der thermischen Grenzleistung
- Antriebe mit konvektionsgekühlten Motoren (z. B. EZ401U)

Die technischen Daten für Antriebe mit fremdbelüfteten (z. B. EZ401B) Motoren finden Sie unter

<https://configurator.stoeber.de/de-DE/>

Für Zahnstangentriebe mit reduziertem Drehspiel, verstärkter Lagerung D (axial verstärkt) bzw. Ritzelposition S sind höhere Vorschubkräfte möglich. Diese und alle weiteren technischen Daten sowie andere Kombinationen aus Ritzelposition und Lagerausführung finden Sie unter <https://configurator.stoeber.de/de-DE/>.

Die Erklärung der Formelzeichen finden Sie im Kapitel [▶ 15.1](#).

v_{fzN} [m/s]	F_{fzN} [kN]	$F_{fz,0}$ [kN]	a_{th}	S	Typ	F_{fzaccE} [kN]	$F_{fzNOT,E}$ [kN]	M_{fzaccE} [Nm]	i	$v_{fzmaxDB}$ [m/s]	$v_{fzmaxZB}$ [m/s]	Δs [μm]	Δs_{red} [μm]	C_{lin} [N/μm]	m_n [mm]	z	d_0 [mm]
ZV2P3 ($n_{1N} = 3000 \text{ min}^{-1}$, ($F_{fzacc,max} = 2,0 \text{ kN}$))																	
0,17	1,7	1,7	1,5	1,0	ZV216S_P332_0320 EZ301U	2,0	3,3	34	32,00	0,31	0,44	25	15	15	2	16	34,0
0,19	1,5	1,5	1,8	1,1	ZV216S_P332_0280 EZ301U	2,0	3,3	34	28,00	0,38	0,51	25	15	16	2	16	34,0
0,21	1,3	1,3	1,7	1,3	ZV216S_P332_0250 EZ301U	2,0	3,3	34	25,00	0,43	0,57	25	15	16	2	16	34,0
0,27	1,0	1,1	1,9	1,6	ZV216S_P332_0200 EZ301U	2,0	3,3	34	20,00	0,49	0,71	25	15	16	2	16	34,0
0,33	0,8	0,9	2,4	2,0	ZV216S_P332_0160 EZ301U	2,0	3,3	34	16,00	0,61	0,89	25	15	16	2	16	34,0
0,33	1,4	1,5	4,0	1,2	ZV216S_P332_0160 EZ302U	2,0	3,3	34	16,00	0,61	0,89	25	15	16	2	16	34,0
0,44	0,6	0,6	4,1	2,7	ZV216S_P332_0120 EZ301U	1,9	3,3	32	12,00	0,82	1,19	25	15	15	2	16	34,0
0,44	1,1	1,1	7,0	1,6	ZV216S_P332_0120 EZ302U	2,0	3,3	34	12,00	0,82	1,19	25	15	15	2	16	34,0
0,44	1,4	1,5	9,1	1,2	ZV216S_P332_0120 EZ303U	2,0	3,3	34	12,00	0,82	1,19	25	15	15	2	16	34,0
0,53	0,5	0,5	0,5	3,1	ZV216S_P331_0100 EZ301U	1,6	3,3	27	10,00	0,98	1,42	20	10	15	2	16	34,0
0,53	0,9	1,0	0,9	1,8	ZV216S_P331_0100 EZ302U	2,0	3,3	34	10,00	0,98	1,42	20	10	15	2	16	34,0
0,53	1,2	1,3	1,1	1,4	ZV216S_P331_0100 EZ303U	2,0	3,3	34	10,00	0,98	1,42	20	10	15	2	16	34,0
0,53	1,6	1,7	1,5	1,0	ZV216S_P331_0100 EZ401U	2,0	3,3	34	10,00	0,98	1,42	20	10	15	2	16	34,0
0,67	0,4	0,4	0,5	3,9	ZV216S_P331_0080 EZ301U	1,3	3,3	22	8,000	1,11	1,78	20	10	15	2	16	34,0
0,67	0,7	0,8	0,9	2,3	ZV216S_P331_0080 EZ302U	2,0	3,3	34	8,000	1,11	1,78	20	10	15	2	16	34,0
0,67	0,9	1,0	1,2	1,8	ZV216S_P331_0080 EZ303U	2,0	3,3	34	8,000	1,11	1,78	20	10	15	2	16	34,0
0,67	1,3	1,4	1,6	1,3	ZV216S_P331_0080 EZ401U	2,0	3,3	34	8,000	1,11	1,78	20	10	15	2	16	34,0
0,76	0,4	0,4	0,6	4,4	ZV216S_P331_0070 EZ301U	1,1	3,3	19	7,000	1,27	2,03	20	10	16	2	16	34,0
0,76	0,6	0,7	1,0	2,6	ZV216S_P331_0070 EZ302U	2,0	3,3	34	7,000	1,27	2,03	20	10	16	2	16	34,0
0,76	0,8	0,9	1,3	2,0	ZV216S_P331_0070 EZ303U	2,0	3,3	34	7,000	1,27	2,03	20	10	16	2	16	34,0
0,76	1,1	1,2	1,7	1,5	ZV216S_P331_0070 EZ401U	2,0	3,3	34	7,000	1,27	2,03	20	10	16	2	16	34,0
1,07	0,5	0,5	1,5	3,2	ZV216S_P331_0050 EZ302U	1,4	3,3	24	5,000	1,60	2,84	20	10	16	2	16	34,0
1,07	0,6	0,6	1,9	2,5	ZV216S_P331_0050 EZ303U	2,0	3,3	34	5,000	1,60	2,84	20	10	16	2	16	34,0
1,07	0,8	0,9	2,6	1,8	ZV216S_P331_0050 EZ401U	2,0	3,3	34	5,000	1,60	2,84	20	10	16	2	16	34,0
1,07	1,3	1,5	4,3	1,1	ZV216S_P331_0050 EZ402U	2,0	3,3	34	5,000	1,60	2,84	20	10	16	2	16	34,0
1,33	0,4	0,4	1,9	3,7	ZV216S_P331_0040 EZ302U	1,1	3,3	19	4,000	1,78	3,56	20	10	16	2	16	34,0
1,33	0,5	0,5	2,5	2,9	ZV216S_P331_0040 EZ303U	1,6	3,3	27	4,000	1,78	3,56	20	10	16	2	16	34,0
1,33	0,6	0,7	3,3	2,1	ZV216S_P331_0040 EZ401U	1,9	3,3	33	4,000	1,78	3,56	20	10	16	2	16	34,0
1,33	1,1	1,2	5,6	1,3	ZV216S_P331_0040 EZ402U	2,0	3,3	34	4,000	1,78	3,56	20	10	16	2	16	34,0
1,78	0,3	0,3	4,0	4,5	ZV216S_P331_0030 EZ302U	0,9	3,3	15	3,000	2,07	4,15	20	10	16	2	16	34,0
1,78	0,4	0,4	5,2	3,5	ZV216S_P331_0030 EZ303U	1,2	3,3	20	3,000	2,07	4,15	20	10	16	2	16	34,0
1,78	0,5	0,5	7,1	2,6	ZV216S_P331_0030 EZ401U	1,5	3,3	25	3,000	2,07	4,15	20	10	16	2	16	34,0
1,78	0,8	0,9	12	1,5	ZV216S_P331_0030 EZ402U	2,0	3,3	34	3,000	2,07	4,15	20	10	16	2	16	34,0
ZV2P3 ($n_{1N} = 6000 \text{ min}^{-1}$, ($F_{fzacc,max} = 2,0 \text{ kN}$))																	
0,15	1,6	1,7	0,5	1,1	ZV216S_P332_0700 EZ202U	2,0	3,3	34	70,00	0,15	0,20	25	15	16	2	16	34,0
0,19	1,3	1,4	0,6	1,3	ZV216S_P332_0560 EZ202U	2,0	3,3	34	56,00	0,19	0,25	25	15	15	2	16	34,0
0,21	1,1	1,2	0,6	1,5	ZV216S_P332_0500 EZ202U	2,0	3,3	34	50,00	0,21	0,28	25	15	16	2	16	34,0
0,27	0,9	1,0	0,9	1,9	ZV216S_P332_0400 EZ202U	2,0	3,3	34	40,00	0,27	0,36	25	15	15	2	16	34,0
0,27	1,4	1,5	1,4	1,2	ZV216S_P332_0400 EZ203U	2,0	3,3	34	40,00	0,27	0,36	25	15	15	2	16	34,0
0,31	0,8	0,9	0,7	2,1	ZV216S_P332_0350 EZ202U	2,0	3,3	34	35,00	0,31	0,41	25	15	16	2	16	34,0
0,31	1,2	1,4	1,0	1,4	ZV216S_P332_0350 EZ203U	2,0	3,3	34	35,00	0,31	0,41	25	15	16	2	16	34,0
0,33	0,7	0,8	0,8	2,3	ZV216S_P332_0320 EZ202U	2,0	3,3	34	32,00	0,31	0,44	25	15	15	2	16	34,0
0,33	1,1	1,2	1,2	1,5	ZV216S_P332_0320 EZ203U	2,0	3,3	34	32,00	0,31	0,44	25	15	15	2	16	34,0
0,33	1,6	1,7	1,8	1,0	ZV216S_P332_0320 EZ301U	2,0	3,3	34	32,00	0,31	0,44	25	15	15	2	16	34,0

8.2 Auswahltable 8 Zahnstangentriebe ZVP

v_{fzN} [m/s]	F_{fzN} [kN]	$F_{fz,0}$ [kN]	a_{th}	S	Typ	F_{fzaccE} [kN]	$F_{fzNOT,E}$ [kN]	M_{fzaccE} [Nm]	i	$v_{fzmaxDB}$ [m/s]	$v_{fzmaxZB}$ [m/s]	Δs [μm]	Δs_{red} [μm]	C_{in} [N/μm]	m_n [mm]	z	d_0 [mm]
ZV2P3 ($n_{fzN} = 6000 \text{ min}^{-1}$, ($F_{fzacc,max} = 2,0 \text{ kN}$))																	
0,38	0,6	0,7	0,9	2,7	ZV216S_P332_0280 EZ202U	2,0	3,3	34	28,00	0,38	0,51	25	15	16	2	16	34,0
0,38	1,0	1,1	1,4	1,7	ZV216S_P332_0280 EZ203U	2,0	3,3	34	28,00	0,38	0,51	25	15	16	2	16	34,0
0,38	1,4	1,5	2,0	1,2	ZV216S_P332_0280 EZ301U	2,0	3,3	34	28,00	0,38	0,51	25	15	16	2	16	34,0
0,43	0,6	0,6	0,8	3,0	ZV216S_P332_0250 EZ202U	2,0	3,3	34	25,00	0,43	0,57	25	15	16	2	16	34,0
0,43	0,9	1,0	1,2	2,0	ZV216S_P332_0250 EZ203U	2,0	3,3	34	25,00	0,43	0,57	25	15	16	2	16	34,0
0,43	1,2	1,3	1,8	1,3	ZV216S_P332_0250 EZ301U	2,0	3,3	34	25,00	0,43	0,57	25	15	16	2	16	34,0
0,53	0,4	0,5	0,9	3,7	ZV216S_P332_0200 EZ202U	1,7	3,3	28	20,00	0,49	0,71	25	15	16	2	16	34,0
0,53	0,7	0,8	1,4	2,4	ZV216S_P332_0200 EZ203U	2,0	3,3	34	20,00	0,49	0,71	25	15	16	2	16	34,0
0,53	1,0	1,1	2,0	1,7	ZV216S_P332_0200 EZ301U	2,0	3,3	34	20,00	0,49	0,71	25	15	16	2	16	34,0
0,67	0,4	0,4	1,2	4,7	ZV216S_P332_0160 EZ202U	1,3	3,3	22	16,00	0,61	0,89	25	15	16	2	16	34,0
0,67	0,5	0,6	1,8	3,1	ZV216S_P332_0160 EZ203U	2,0	3,3	34	16,00	0,61	0,89	25	15	16	2	16	34,0
0,67	0,8	0,9	2,6	2,1	ZV216S_P332_0160 EZ301U	2,0	3,3	34	16,00	0,61	0,89	25	15	16	2	16	34,0
0,67	1,3	1,5	4,5	1,2	ZV216S_P332_0160 EZ302U	2,0	3,3	34	16,00	0,61	0,89	25	15	16	2	16	34,0
0,89	0,4	0,5	3,0	3,8	ZV216S_P332_0120 EZ203U	1,8	3,3	31	12,00	0,82	1,19	25	15	15	2	16	34,0
0,89	0,6	0,6	4,3	2,6	ZV216S_P332_0120 EZ301U	1,9	3,3	32	12,00	0,82	1,19	25	15	15	2	16	34,0
0,89	1,0	1,1	7,3	1,5	ZV216S_P332_0120 EZ302U	2,0	3,3	34	12,00	0,82	1,19	25	15	15	2	16	34,0
0,89	1,3	1,5	9,5	1,2	ZV216S_P332_0120 EZ303U	2,0	3,3	34	12,00	0,82	1,19	25	15	15	2	16	34,0
1,07	0,5	0,5	0,6	2,6	ZV216S_P331_0100 EZ301U	1,6	3,3	27	10,00	0,98	1,42	20	10	15	2	16	34,0
1,07	0,9	1,0	1,0	1,6	ZV216S_P331_0100 EZ302U	2,0	3,3	34	10,00	0,98	1,42	20	10	15	2	16	34,0
1,07	1,1	1,3	1,4	1,2	ZV216S_P331_0100 EZ303U	2,0	3,3	34	10,00	0,98	1,42	20	10	15	2	16	34,0
1,07	1,3	1,6	1,6	1,0	ZV216S_P331_0100 EZ401U	2,0	3,3	34	10,00	0,98	1,42	20	10	15	2	16	34,0
1,33	0,4	0,4	0,7	3,3	ZV216S_P331_0080 EZ301U	1,3	3,3	22	8,000	1,11	1,78	20	10	15	2	16	34,0
1,33	0,7	0,8	1,1	2,0	ZV216S_P331_0080 EZ302U	2,0	3,3	34	8,000	1,11	1,78	20	10	15	2	16	34,0
1,33	0,9	1,0	1,4	1,5	ZV216S_P331_0080 EZ303U	2,0	3,3	34	8,000	1,11	1,78	20	10	15	2	16	34,0
1,33	1,1	1,3	1,7	1,3	ZV216S_P331_0080 EZ401U	2,0	3,3	34	8,000	1,11	1,78	20	10	15	2	16	34,0
1,52	0,4	0,4	0,7	3,6	ZV216S_P331_0070 EZ301U	1,1	3,3	19	7,000	1,27	2,03	20	10	16	2	16	34,0
1,52	0,6	0,7	1,2	2,2	ZV216S_P331_0070 EZ302U	2,0	3,3	34	7,000	1,27	2,03	20	10	16	2	16	34,0
1,52	0,8	0,9	1,5	1,7	ZV216S_P331_0070 EZ303U	2,0	3,3	34	7,000	1,27	2,03	20	10	16	2	16	34,0
1,52	0,9	1,1	1,8	1,4	ZV216S_P331_0070 EZ401U	2,0	3,3	34	7,000	1,27	2,03	20	10	16	2	16	34,0
2,13	0,3	0,3	1,0	4,5	ZV216S_P331_0050 EZ301U	0,8	3,3	14	5,000	1,60	2,84	20	10	16	2	16	34,0
2,13	0,4	0,5	1,7	2,7	ZV216S_P331_0050 EZ302U	1,4	3,3	24	5,000	1,60	2,84	20	10	16	2	16	34,0
2,13	0,6	0,6	2,3	2,1	ZV216S_P331_0050 EZ303U	2,0	3,3	34	5,000	1,60	2,84	20	10	16	2	16	34,0
2,13	0,7	0,8	2,6	1,8	ZV216S_P331_0050 EZ401U	2,0	3,3	34	5,000	1,60	2,84	20	10	16	2	16	34,0
2,13	1,0	1,4	4,0	1,2	ZV216S_P331_0050 EZ402U	2,0	3,3	34	5,000	1,60	2,84	20	10	16	2	16	34,0
2,67	0,3	0,4	2,3	3,1	ZV216S_P331_0040 EZ302U	1,1	3,3	19	4,000	1,78	3,56	20	10	16	2	16	34,0
2,67	0,4	0,5	3,0	2,4	ZV216S_P331_0040 EZ303U	1,6	3,3	27	4,000	1,78	3,56	20	10	16	2	16	34,0
2,67	0,5	0,6	3,5	2,0	ZV216S_P331_0040 EZ401U	1,9	3,3	33	4,000	1,78	3,56	20	10	16	2	16	34,0
2,67	0,8	1,1	5,3	1,3	ZV216S_P331_0040 EZ402U	2,0	3,3	34	4,000	1,78	3,56	20	10	16	2	16	34,0
3,56	0,3	0,3	4,8	3,8	ZV216S_P331_0030 EZ302U	0,9	3,3	15	3,000	2,07	4,15	20	10	16	2	16	34,0
3,56	0,3	0,4	6,2	2,9	ZV216S_P331_0030 EZ303U	1,2	3,3	20	3,000	2,07	4,15	20	10	16	2	16	34,0
3,56	0,4	0,5	7,3	2,5	ZV216S_P331_0030 EZ401U	1,5	3,3	25	3,000	2,07	4,15	20	10	16	2	16	34,0
3,56	0,6	0,8	11	1,6	ZV216S_P331_0030 EZ402U	2,0	3,3	34	3,000	2,07	4,15	20	10	16	2	16	34,0
ZV2P4 ($n_{fzN} = 3000 \text{ min}^{-1}$, ($F_{fzacc,max} = 4,1 \text{ kN}$))																	
0,10	2,9	3,0	0,6	1,1	ZV220S_P432_0700 EZ301U	4,1	6,3	88	70,00	0,16	0,25	31	19	25	2	20	42,4
0,12	2,3	2,4	0,7	1,4	ZV220S_P432_0560 EZ301U	4,1	6,3	88	56,00	0,20	0,32	31	19	24	2	20	42,4
0,13	2,1	2,1	0,7	1,5	ZV220S_P432_0500 EZ301U	4,1	6,3	88	50,00	0,22	0,36	31	19	25	2	20	42,4
0,17	1,7	1,7	0,9	1,9	ZV220S_P432_0400 EZ301U	4,1	6,3	88	40,00	0,28	0,44	31	19	25	2	20	42,4
0,17	2,8	3,0	1,5	1,1	ZV220S_P432_0400 EZ302U	4,1	6,3	88	40,00	0,28	0,44	31	19	25	2	20	42,4
0,19	1,5	1,5	0,8	2,2	ZV220S_P432_0350 EZ301U	4,1	6,3	88	35,00	0,29	0,51	31	19	25	2	20	42,4
0,19	2,5	2,6	1,3	1,3	ZV220S_P432_0350 EZ302U	4,1	6,3	88	35,00	0,29	0,51	31	19	25	2	20	42,4
0,21	1,3	1,4	0,9	2,4	ZV220S_P432_0320 EZ301U	4,0	6,3	85	32,00	0,28	0,56	31	19	24	2	20	42,4
0,21	2,3	2,4	1,6	1,4	ZV220S_P432_0320 EZ302U	4,1	6,3	88	32,00	0,28	0,56	31	19	24	2	20	42,4
0,21	3,0	3,1	2,1	1,1	ZV220S_P432_0320 EZ303U	4,1	6,3	88	32,00	0,28	0,56	31	19	24	2	20	42,4
0,24	1,2	1,2	0,9	2,7	ZV220S_P432_0280 EZ301U	3,5	6,3	74	28,00	0,36	0,64	31	19	25	2	20	42,4
0,24	2,0	2,1	1,6	1,6	ZV220S_P432_0280 EZ302U	4,1	6,3	88	28,00	0,36	0,64	31	19	25	2	20	42,4
0,24	2,6	2,7	2,1	1,2	ZV220S_P432_0280 EZ303U	4,1	6,3	88	28,00	0,36	0,64	31	19	25	2	20	42,4
0,27	1,0	1,1	1,0	3,0	ZV220S_P432_0250 EZ301U	3,1	6,3	67	25,00	0,40	0,71	31	19	25	2	20	42,4
0,27	1,8	1,9	1,6	1,8	ZV220S_P432_0250 EZ302U	4,1	6,3	88	25,00	0,40	0,71	31	19	25	2	20	42,4
0,27	2,3	2,5	2,1	1,4	ZV220S_P432_0250 EZ303U	4,1	6,3	88	25,00	0,40	0,71	31	19	25	2	20	42,4
0,27	3,1	3,4	2,9	1,0	ZV220S_P432_0250 EZ401U	4,1	6,3	88	25,00	0,40	0,71	31	19	25	2	20	42,4
0,33	0,8	0,9	1,1	3,8	ZV220S_P432_0200 EZ301U	2,5	6,3	53	20,00	0,44	0,89	31	19	25	2	20	42,4
0,33	1,4	1,5	1,9	2,2	ZV220S_P432_0200 EZ302U	4,1	6,3	88	20,00	0,44	0,89	31	19	25	2	20	42,4
0,33	1,9	2,0	2,5	1,7	ZV220S_P432_0200 EZ303U	4,1	6,3	88	20,00	0,44	0,89	31	19	25	2	20	42,4
0,33	2,5	2,7	3,4	1,3	ZV220S_P432_0200 EZ401U	4,1	6,3	88	20,00	0,44	0,89	31	19	25	2	20	42,4
0,42	0,7	0,7	1,3	4,6	ZV220S_P432_0160 EZ301U	2,0	6,3	43	16,00	0,56	1,11	31	19	25	2	20	42,4
0,42	1,1	1,2	2,3	2,7	ZV220S_P432_0160 EZ302U	3,6	6,3	76	16,00	0,56	1,11	31	19	25	2	20	42,4

v_{f2N} [m/s]	F_{f2N} [kN]	$F_{f2,0}$ [kN]	a_{th}	S	Typ	F_{f2accE} [kN]	$F_{f2NOT,E}$ [kN]	M_{2accE} [Nm]	i	$v_{f2maxDB}$ [m/s]	$v_{f2maxZB}$ [m/s]	Δs [μm]	Δs_{red} [μm]	C_{lin} [N/μm]	m_n [mm]	z	d_0 [mm]
ZV2P4 ($n_{1N} = 3000 \text{ min}^{-1}$, ($F_{f2acc,max} = 4,1 \text{ kN}$))																	
0,42	1,5	1,6	3,0	2,1	ZV220S_P432_0160 EZ303U	4,1	6,3	88	16,00	0,56	1,11	31	19	25	2	20	42,4
0,42	2,0	2,1	4,0	1,5	ZV220S_P432_0160 EZ401U	4,1	6,3	88	16,00	0,56	1,11	31	19	25	2	20	42,4
0,56	0,9	0,9	3,9	3,2	ZV220S_P432_0120 EZ302U	2,7	6,3	57	12,00	0,65	1,30	31	19	25	2	20	42,4
0,56	1,1	1,2	5,1	2,5	ZV220S_P432_0120 EZ303U	3,8	6,3	80	12,00	0,65	1,30	31	19	25	2	20	42,4
0,56	1,5	1,6	6,9	1,8	ZV220S_P432_0120 EZ401U	4,1	6,3	88	12,00	0,65	1,30	31	19	25	2	20	42,4
0,56	2,5	2,8	12	1,1	ZV220S_P432_0120 EZ402U	4,1	6,3	88	12,00	0,65	1,30	31	19	25	2	20	42,4
0,67	1,3	1,4	0,9	2,0	ZV220S_P431_0100 EZ401U	3,9	6,3	82	10,00	0,89	1,78	25	12	23	2	20	42,4
0,67	2,0	2,1	1,4	1,3	ZV220S_P431_0100 EZ501U	4,1	6,3	88	10,00	0,89	1,78	25	12	23	2	20	42,4
0,67	2,1	2,4	1,5	1,2	ZV220S_P431_0100 EZ402U	4,1	6,3	88	10,00	0,89	1,78	25	12	23	2	20	42,4
0,83	1,0	1,1	1,0	2,4	ZV220S_P431_0080 EZ401U	3,1	6,3	66	8,000	1,11	2,22	25	12	24	2	20	42,4
0,83	1,6	1,7	1,5	1,5	ZV220S_P431_0080 EZ501U	4,1	6,3	88	8,000	1,11	2,22	25	12	24	2	20	42,4
0,83	1,7	1,9	1,7	1,4	ZV220S_P431_0080 EZ402U	4,1	6,3	88	8,000	1,11	2,22	25	12	24	2	20	42,4
0,95	0,9	1,0	1,1	2,6	ZV220S_P431_0070 EZ401U	2,7	6,3	58	7,000	1,27	2,54	25	12	25	2	20	42,4
0,95	1,4	1,5	1,7	1,7	ZV220S_P431_0070 EZ501U	4,1	6,3	88	7,000	1,27	2,54	25	12	25	2	20	42,4
0,95	1,5	1,7	1,9	1,5	ZV220S_P431_0070 EZ402U	4,1	6,3	88	7,000	1,27	2,54	25	12	25	2	20	42,4
0,95	2,2	2,8	2,7	1,0	ZV220S_P431_0070 EZ404U	4,1	6,3	88	7,000	1,27	2,54	25	12	25	2	20	42,4
1,33	0,6	0,7	1,7	3,2	ZV220S_P431_0050 EZ401U	1,9	6,3	41	5,000	1,64	3,11	25	12	26	2	20	42,4
1,33	1,0	1,1	2,5	2,1	ZV220S_P431_0050 EZ501U	3,7	6,3	78	5,000	1,64	3,11	25	12	26	2	20	42,4
1,33	1,1	1,2	2,8	1,9	ZV220S_P431_0050 EZ402U	3,7	6,3	78	5,000	1,64	3,11	25	12	26	2	20	42,4
1,33	1,6	2,0	4,1	1,3	ZV220S_P431_0050 EZ404U	4,1	6,3	88	5,000	1,64	3,11	25	12	26	2	20	42,4
1,33	1,7	1,8	4,4	1,2	ZV220S_P431_0050 EZ502U	4,1	6,3	88	5,000	1,64	3,11	25	12	26	2	20	42,4
1,67	0,5	0,5	2,2	3,7	ZV220S_P431_0040 EZ401U	1,6	6,3	33	4,000	1,83	3,61	25	12	26	2	20	42,4
1,67	0,8	0,9	3,3	2,4	ZV220S_P431_0040 EZ501U	2,9	6,3	62	4,000	1,83	3,61	25	12	26	2	20	42,4
1,67	0,9	1,0	3,6	2,2	ZV220S_P431_0040 EZ402U	2,9	6,3	62	4,000	1,83	3,61	25	12	26	2	20	42,4
1,67	1,3	1,6	5,3	1,5	ZV220S_P431_0040 EZ404U	4,1	6,3	88	4,000	1,83	3,61	25	12	26	2	20	42,4
1,67	1,4	1,5	5,7	1,4	ZV220S_P431_0040 EZ502U	4,1	6,3	88	4,000	1,83	3,61	25	12	26	2	20	42,4
1,67	1,8	2,0	7,5	1,1	ZV220S_P431_0040 EZ503U	4,1	6,3	88	4,000	1,83	3,61	25	12	26	2	20	42,4
2,22	0,4	0,4	5,2	4,5	ZV220S_P431_0030 EZ401U	1,2	6,3	25	3,000	2,22	4,44	25	12	26	2	20	42,4
2,22	0,6	0,6	8,0	3,0	ZV220S_P431_0030 EZ501U	2,2	6,3	47	3,000	2,22	4,44	25	12	26	2	20	42,4
2,22	0,6	0,7	8,7	2,7	ZV220S_P431_0030 EZ402U	2,2	6,3	47	3,000	2,22	4,44	25	12	26	2	20	42,4
2,22	0,9	1,2	13	1,8	ZV220S_P431_0030 EZ404U	4,0	6,3	84	3,000	2,22	4,44	25	12	26	2	20	42,4
2,22	1,0	1,1	14	1,7	ZV220S_P431_0030 EZ502U	4,1	6,3	88	3,000	2,22	4,44	25	12	26	2	20	42,4
2,22	1,3	1,5	18	1,3	ZV220S_P431_0030 EZ503U	4,1	6,3	88	3,000	2,22	4,44	25	12	26	2	20	42,4
ZV2P4 ($n_{1N} = 4500 \text{ min}^{-1}$, ($F_{f2acc,max} = 4,1 \text{ kN}$))																	
3,33	1,3	2,1	20	1,2	ZV220S_P431_0030 EZ505U	4,1	6,3	88	3,000	2,22	4,44	25	12	26	2	20	42,4
ZV2P4 ($n_{1N} = 6000 \text{ min}^{-1}$, ($F_{f2acc,max} = 4,1 \text{ kN}$))																	
0,19	2,8	3,0	0,6	1,1	ZV220S_P432_0700 EZ301U	4,1	6,3	88	70,00	0,16	0,25	31	19	25	2	20	42,4
0,24	2,2	2,4	0,8	1,4	ZV220S_P432_0560 EZ301U	4,1	6,3	88	56,00	0,20	0,32	31	19	24	2	20	42,4
0,27	2,0	2,1	0,8	1,6	ZV220S_P432_0500 EZ301U	4,1	6,3	88	50,00	0,22	0,36	31	19	25	2	20	42,4
0,33	1,6	1,7	0,9	2,0	ZV220S_P432_0400 EZ301U	4,1	6,3	88	40,00	0,28	0,44	31	19	25	2	20	42,4
0,33	2,7	3,0	1,5	1,2	ZV220S_P432_0400 EZ302U	4,1	6,3	88	40,00	0,28	0,44	31	19	25	2	20	42,4
0,38	1,4	1,5	0,9	2,2	ZV220S_P432_0350 EZ301U	4,1	6,3	88	35,00	0,29	0,51	31	19	25	2	20	42,4
0,38	2,4	2,6	1,5	1,3	ZV220S_P432_0350 EZ302U	4,1	6,3	88	35,00	0,29	0,51	31	19	25	2	20	42,4
0,38	3,1	3,5	2,0	1,0	ZV220S_P432_0350 EZ303U	4,1	6,3	88	35,00	0,29	0,51	31	19	25	2	20	42,4
0,42	1,3	1,4	1,0	2,4	ZV220S_P432_0320 EZ301U	4,0	6,3	85	32,00	0,28	0,56	31	19	24	2	20	42,4
0,42	2,1	2,4	1,7	1,4	ZV220S_P432_0320 EZ302U	4,1	6,3	88	32,00	0,28	0,56	31	19	24	2	20	42,4
0,42	2,8	3,2	2,2	1,1	ZV220S_P432_0320 EZ303U	4,1	6,3	88	32,00	0,28	0,56	31	19	24	2	20	42,4
0,48	1,1	1,2	1,0	2,6	ZV220S_P432_0280 EZ301U	3,5	6,3	74	28,00	0,36	0,64	31	19	25	2	20	42,4
0,48	1,9	2,1	1,7	1,5	ZV220S_P432_0280 EZ302U	4,1	6,3	88	28,00	0,36	0,64	31	19	25	2	20	42,4
0,48	2,5	2,8	2,2	1,2	ZV220S_P432_0280 EZ303U	4,1	6,3	88	28,00	0,36	0,64	31	19	25	2	20	42,4
0,48	2,9	3,5	2,6	1,0	ZV220S_P432_0280 EZ401U	4,1	6,3	88	28,00	0,36	0,64	31	19	25	2	20	42,4
0,53	1,0	1,1	1,1	2,8	ZV220S_P432_0250 EZ301U	3,1	6,3	67	25,00	0,40	0,71	31	19	25	2	20	42,4
0,53	1,7	1,9	1,8	1,7	ZV220S_P432_0250 EZ302U	4,1	6,3	88	25,00	0,40	0,71	31	19	25	2	20	42,4
0,53	2,2	2,5	2,4	1,3	ZV220S_P432_0250 EZ303U	4,1	6,3	88	25,00	0,40	0,71	31	19	25	2	20	42,4
0,53	2,6	3,1	2,8	1,1	ZV220S_P432_0250 EZ401U	4,1	6,3	88	25,00	0,40	0,71	31	19	25	2	20	42,4
0,67	0,8	0,9	1,2	3,3	ZV220S_P432_0200 EZ301U	2,5	6,3	53	20,00	0,44	0,89	31	19	25	2	20	42,4
0,67	1,3	1,5	2,0	1,9	ZV220S_P432_0200 EZ302U	4,1	6,3	88	20,00	0,44	0,89	31	19	25	2	20	42,4
0,67	1,8	2,0	2,6	1,5	ZV220S_P432_0200 EZ303U	4,1	6,3	88	20,00	0,44	0,89	31	19	25	2	20	42,4
0,67	2,1	2,5	3,1	1,3	ZV220S_P432_0200 EZ401U	4,1	6,3	88	20,00	0,44	0,89	31	19	25	2	20	42,4
0,83	0,6	0,7	1,5	3,8	ZV220S_P432_0160 EZ301U	2,0	6,3	43	16,00	0,56	1,11	31	19	25	2	20	42,4
0,83	1,1	1,2	2,4	2,2	ZV220S_P432_0160 EZ302U	3,6	6,3	76	16,00	0,56	1,11	31	19	25	2	20	42,4
0,83	1,4	1,6	3,2	1,7	ZV220S_P432_0160 EZ303U	4,1	6,3	88	16,00	0,56	1,11	31	19	25	2	20	42,4
0,83	1,6	2,0	3,7	1,5	ZV220S_P432_0160 EZ401U	4,1	6,3	88	16,00	0,56	1,11	31	19	25	2	20	42,4
1,11	0,5	0,5	2,6	4,6	ZV220S_P432_0120 EZ301U	1,5	6,3	32	12,00	0,65	1,30	31	19	25	2	20	42,4
1,11	0,8	0,9	4,4	2,7	ZV220S_P432_0120 EZ302U	2,7	6,3	57	12,00	0,65	1,30	31	19	25	2	20	42,4
1,11	1,1	1,2	5,8	2,1	ZV220S_P432_0120 EZ303U	3,8	6,3	80	12,00	0,65	1,30	31	19	25	2	20	42,4

8.2 Auswahltable 8 Zahnstangentriebe ZVP

v_{f2N} [m/s]	F_{f2N} [kN]	$F_{f2,0}$ [kN]	a_{th}	S	Typ	F_{f2accE} [kN]	$F_{f2NOT,E}$ [kN]	M_{f2accE} [Nm]	i	$v_{f2maxDB}$ [m/s]	$v_{f2maxZB}$ [m/s]	Δs [μm]	Δs_{red} [μm]	C_{in} [N/μm]	m_n [mm]	z	d_0 [mm]
ZV2P4 ($n_{1N} = 6000 \text{ min}^{-1}$, ($F_{f2acc,max} = 4,1 \text{ kN}$))																	
1,11	1,2	1,5	6,8	1,8	ZV220S_P432_0120 EZ401U	4,1	6,3	88	12,00	0,65	1,30	31	19	25	2	20	42,4
1,11	1,9	2,6	10	1,2	ZV220S_P432_0120 EZ402U	4,1	6,3	88	12,00	0,65	1,30	31	19	25	2	20	42,4
1,33	1,1	1,3	0,9	2,0	ZV220S_P431_0100 EZ401U	3,9	6,3	82	10,00	0,89	1,78	25	12	23	2	20	42,4
1,33	1,6	2,0	1,4	1,3	ZV220S_P431_0100 EZ501U	4,1	6,3	88	10,00	0,89	1,78	25	12	23	2	20	42,4
1,33	1,6	2,2	1,4	1,3	ZV220S_P431_0100 EZ402U	4,1	6,3	88	10,00	0,89	1,78	25	12	23	2	20	42,4
1,67	0,8	1,0	1,0	2,3	ZV220S_P431_0080 EZ401U	3,1	6,3	66	8,000	1,11	2,22	25	12	24	2	20	42,4
1,67	1,2	1,6	1,5	1,5	ZV220S_P431_0080 EZ501U	4,1	6,3	88	8,000	1,11	2,22	25	12	24	2	20	42,4
1,67	1,3	1,8	1,6	1,5	ZV220S_P431_0080 EZ402U	4,1	6,3	88	8,000	1,11	2,22	25	12	24	2	20	42,4
1,67	1,9	2,9	2,3	1,0	ZV220S_P431_0080 EZ502U	4,1	6,3	88	8,000	1,11	2,22	25	12	24	2	20	42,4
1,91	0,7	0,9	1,1	2,5	ZV220S_P431_0070 EZ401U	2,7	6,3	58	7,000	1,27	2,54	25	12	25	2	20	42,4
1,91	1,1	1,4	1,7	1,7	ZV220S_P431_0070 EZ501U	4,1	6,3	88	7,000	1,27	2,54	25	12	25	2	20	42,4
1,91	1,1	1,6	1,7	1,6	ZV220S_P431_0070 EZ402U	4,1	6,3	88	7,000	1,27	2,54	25	12	25	2	20	42,4
1,91	1,7	2,5	2,6	1,1	ZV220S_P431_0070 EZ502U	4,1	6,3	88	7,000	1,27	2,54	25	12	25	2	20	42,4
2,67	0,5	0,6	1,7	3,1	ZV220S_P431_0050 EZ401U	1,9	6,3	41	5,000	1,64	3,11	25	12	26	2	20	42,4
2,67	0,8	1,0	2,5	2,1	ZV220S_P431_0050 EZ501U	3,7	6,3	78	5,000	1,64	3,11	25	12	26	2	20	42,4
2,67	0,8	1,1	2,6	2,0	ZV220S_P431_0050 EZ402U	3,7	6,3	78	5,000	1,64	3,11	25	12	26	2	20	42,4
2,67	1,2	1,8	3,9	1,4	ZV220S_P431_0050 EZ502U	4,1	6,3	88	5,000	1,64	3,11	25	12	26	2	20	42,4
2,67	1,3	1,9	4,3	1,2	ZV220S_P431_0050 EZ404U	4,1	6,3	88	5,000	1,64	3,11	25	12	26	2	20	42,4
2,67	1,4	2,4	4,6	1,2	ZV220S_P431_0050 EZ503U	4,1	6,3	88	5,000	1,64	3,11	25	12	26	2	20	42,4
3,33	0,4	0,5	2,2	3,6	ZV220S_P431_0040 EZ401U	1,6	6,3	33	4,000	1,83	3,61	25	12	26	2	20	42,4
3,33	0,6	0,8	3,3	2,4	ZV220S_P431_0040 EZ501U	2,9	6,3	62	4,000	1,83	3,61	25	12	26	2	20	42,4
3,33	0,6	0,9	3,4	2,4	ZV220S_P431_0040 EZ402U	2,9	6,3	62	4,000	1,83	3,61	25	12	26	2	20	42,4
3,33	1,0	1,4	5,1	1,6	ZV220S_P431_0040 EZ502U	4,1	6,3	88	4,000	1,83	3,61	25	12	26	2	20	42,4
3,33	1,1	1,5	5,6	1,4	ZV220S_P431_0040 EZ404U	4,1	6,3	88	4,000	1,83	3,61	25	12	26	2	20	42,4
3,33	1,1	1,9	6,0	1,3	ZV220S_P431_0040 EZ503U	4,1	6,3	88	4,000	1,83	3,61	25	12	26	2	20	42,4
4,44	0,3	0,4	5,4	4,4	ZV220S_P431_0030 EZ401U	1,2	6,3	25	3,000	2,22	4,44	25	12	26	2	20	42,4
4,44	0,5	0,6	7,9	3,0	ZV220S_P431_0030 EZ501U	2,2	6,3	47	3,000	2,22	4,44	25	12	26	2	20	42,4
4,44	0,5	0,7	8,2	2,9	ZV220S_P431_0030 EZ402U	2,2	6,3	47	3,000	2,22	4,44	25	12	26	2	20	42,4
4,44	0,7	1,1	12	1,9	ZV220S_P431_0030 EZ502U	4,1	6,3	88	3,000	2,22	4,44	25	12	26	2	20	42,4
4,44	0,8	1,2	14	1,7	ZV220S_P431_0030 EZ404U	4,0	6,3	84	3,000	2,22	4,44	25	12	26	2	20	42,4
4,44	0,9	1,5	14	1,6	ZV220S_P431_0030 EZ503U	4,1	6,3	88	3,000	2,22	4,44	25	12	26	2	20	42,4
ZV2P5 ($n_{1N} = 3000 \text{ min}^{-1}$, ($F_{f2acc,max} = 6,9 \text{ kN}$))																	
0,17	5,0	5,4	0,9	1,0	ZV225S_P532_0500 EZ401U	6,9	10	182	50,00	0,22	0,44	31	15	36	2	25	53,1
0,21	4,0	4,3	1,2	1,3	ZV225S_P532_0400 EZ401U	6,9	10	182	40,00	0,28	0,56	31	15	36	2	25	53,1
0,24	3,5	3,8	1,0	1,4	ZV225S_P532_0350 EZ401U	6,9	10	182	35,00	0,32	0,64	31	15	36	2	25	53,1
0,26	3,2	3,4	1,2	1,6	ZV225S_P532_0320 EZ401U	6,9	10	182	32,00	0,30	0,61	31	15	34	2	25	53,1
0,26	4,9	5,4	1,8	1,0	ZV225S_P532_0320 EZ501U	6,9	10	182	32,00	0,30	0,61	31	15	34	2	25	53,1
0,30	2,8	3,0	1,3	1,8	ZV225S_P532_0280 EZ401U	6,9	10	182	28,00	0,40	0,79	31	15	36	2	25	53,1
0,30	4,3	4,7	2,0	1,2	ZV225S_P532_0280 EZ501U	6,9	10	182	28,00	0,40	0,79	31	15	36	2	25	53,1
0,30	4,7	5,2	2,2	1,1	ZV225S_P532_0280 EZ402U	6,9	10	182	28,00	0,40	0,79	31	15	36	2	25	53,1
0,33	2,5	2,7	1,2	2,0	ZV225S_P532_0250 EZ401U	6,9	10	182	25,00	0,41	0,78	31	15	36	2	25	53,1
0,33	3,8	4,2	1,9	1,3	ZV225S_P532_0250 EZ501U	6,9	10	182	25,00	0,41	0,78	31	15	36	2	25	53,1
0,33	4,2	4,7	2,1	1,2	ZV225S_P532_0250 EZ402U	6,9	10	182	25,00	0,41	0,78	31	15	36	2	25	53,1
0,42	2,0	2,1	1,4	2,3	ZV225S_P532_0200 EZ401U	6,1	10	162	20,00	0,49	0,97	31	15	36	2	25	53,1
0,42	3,1	3,4	2,2	1,5	ZV225S_P532_0200 EZ501U	6,9	10	182	20,00	0,49	0,97	31	15	36	2	25	53,1
0,42	3,4	3,7	2,4	1,4	ZV225S_P532_0200 EZ402U	6,9	10	182	20,00	0,49	0,97	31	15	36	2	25	53,1
0,52	1,6	1,7	1,8	2,7	ZV225S_P532_0160 EZ401U	4,9	10	129	16,00	0,61	1,22	31	15	36	2	25	53,1
0,52	2,5	2,7	2,8	1,7	ZV225S_P532_0160 EZ501U	6,9	10	182	16,00	0,61	1,22	31	15	36	2	25	53,1
0,52	2,7	3,0	3,0	1,6	ZV225S_P532_0160 EZ402U	6,9	10	182	16,00	0,61	1,22	31	15	36	2	25	53,1
0,52	4,0	4,9	4,5	1,1	ZV225S_P532_0160 EZ404U	6,9	10	182	16,00	0,61	1,22	31	15	36	2	25	53,1
0,52	4,2	4,6	4,8	1,0	ZV225S_P532_0160 EZ502U	6,9	10	182	16,00	0,61	1,22	31	15	36	2	25	53,1
0,69	1,2	1,3	3,8	3,2	ZV225S_P532_0120 EZ401U	3,7	10	97	12,00	0,69	1,39	31	15	36	2	25	53,1
0,69	1,8	2,0	5,9	2,1	ZV225S_P532_0120 EZ501U	6,9	10	182	12,00	0,69	1,39	31	15	36	2	25	53,1
0,69	2,0	2,2	6,4	1,9	ZV225S_P532_0120 EZ402U	6,9	10	182	12,00	0,69	1,39	31	15	36	2	25	53,1
0,69	3,0	3,7	9,5	1,3	ZV225S_P532_0120 EZ404U	6,9	10	182	12,00	0,69	1,39	31	15	36	2	25	53,1
0,69	3,2	3,4	10	1,2	ZV225S_P532_0120 EZ502U	6,9	10	182	12,00	0,69	1,39	31	15	36	2	25	53,1
0,83	1,6	1,7	1,6	2,3	ZV225S_P531_0100 EZ501U	5,9	10	155	10,00	1,03	1,94	23	8	34	2	25	53,1
0,83	2,7	2,9	2,7	1,4	ZV225S_P531_0100 EZ502U	6,9	10	182	10,00	1,03	1,94	23	8	34	2	25	53,1
0,83	2,7	3,0	2,7	1,4	ZV225S_P531_0100 EZ701U	6,9	10	182	10,00	1,03	1,94	23	8	34	2	25	53,1
0,83	3,5	4,1	3,5	1,0	ZV225S_P531_0100 EZ503U	6,9	10	182	10,00	1,03	1,94	23	8	34	2	25	53,1
1,04	1,3	1,4	1,7	2,7	ZV225S_P531_0080 EZ501U	4,7	10	124	8,000	1,29	2,43	23	8	34	2	25	53,1
1,04	2,2	2,3	2,9	1,6	ZV225S_P531_0080 EZ502U	6,9	10	182	8,000	1,29	2,43	23	8	34	2	25	53,1
1,04	2,2	2,4	2,9	1,6	ZV225S_P531_0080 EZ701U	5,9	10	155	8,000	1,29	2,43	23	8	34	2	25	53,1
1,04	2,8	3,2	3,8	1,2	ZV225S_P531_0080 EZ503U	6,9	10	182	8,000	1,29	2,43	23	8	34	2	25	53,1
1,19	1,1	1,2	1,9	2,9	ZV225S_P531_0070 EZ501U	4,1	10	109	7,000	1,47	2,78	23	8	36	2	25	53,1
1,19	1,9	2,0	3,2	1,7	ZV225S_P531_0070 EZ502U	6,9	10	182	7,000	1,47	2,78	23	8	36	2	25	53,1

v_{f2N} [m/s]	F_{f2N} [kN]	$F_{f2,0}$ [kN]	a_{th}	S	Typ	F_{f2accE} [kN]	$F_{f2NOT,E}$ [kN]	M_{f2accE} [Nm]	i	$v_{f2maxDB}$ [m/s]	$v_{f2maxZB}$ [m/s]	Δs [μm]	Δs_{red} [μm]	C_{in} [N/μm]	m_n [mm]	z	d_0 [mm]
ZV2P5 ($n_{1N} = 3000 \text{ min}^{-1}$, ($F_{f2acc,max} = 6,9 \text{ kN}$))																	
1,19	1,9	2,1	3,2	1,7	ZV225S_P531_0070 EZ701U	5,1	10	136	7,000	1,47	2,78	23	8	36	2	25	53,1
1,19	2,5	2,8	4,2	1,3	ZV225S_P531_0070 EZ503U	6,9	10	182	7,000	1,47	2,78	23	8	36	2	25	53,1
1,19	3,1	3,7	5,2	1,1	ZV225S_P531_0070 EZ702U	6,9	10	182	7,000	1,47	2,78	23	8	36	2	25	53,1
1,67	0,8	0,9	2,8	3,7	ZV225S_P531_0050 EZ501U	2,9	10	78	5,000	1,94	3,89	23	8	37	2	25	53,1
1,67	1,4	1,5	4,8	2,1	ZV225S_P531_0050 EZ502U	5,7	10	150	5,000	1,94	3,89	23	8	37	2	25	53,1
1,67	1,4	1,5	4,8	2,1	ZV225S_P531_0050 EZ701U	3,7	10	97	5,000	1,94	3,89	23	8	37	2	25	53,1
1,67	1,8	2,0	6,3	1,6	ZV225S_P531_0050 EZ503U	6,9	10	182	5,000	1,94	3,89	23	8	37	2	25	53,1
1,67	2,2	2,6	7,8	1,3	ZV225S_P531_0050 EZ702U	6,9	10	182	5,000	1,94	3,89	23	8	37	2	25	53,1
1,67	2,5	2,9	8,8	1,2	ZV225S_P531_0050 EZ505U	6,9	10	182	5,000	1,94	3,89	23	8	37	2	25	53,1
2,08	0,6	0,7	3,7	4,3	ZV225S_P531_0040 EZ501U	2,3	10	62	4,000	2,08	4,17	23	8	37	2	25	53,1
2,08	1,1	1,2	6,3	2,5	ZV225S_P531_0040 EZ502U	4,5	10	120	4,000	2,08	4,17	23	8	37	2	25	53,1
2,08	1,1	1,2	6,3	2,5	ZV225S_P531_0040 EZ701U	2,9	10	78	4,000	2,08	4,17	23	8	37	2	25	53,1
2,08	1,4	1,6	8,3	1,9	ZV225S_P531_0040 EZ503U	6,3	10	167	4,000	2,08	4,17	23	8	37	2	25	53,1
2,08	1,8	2,1	10	1,5	ZV225S_P531_0040 EZ702U	6,0	10	159	4,000	2,08	4,17	23	8	37	2	25	53,1
2,08	2,0	2,3	11	1,4	ZV225S_P531_0040 EZ505U	6,9	10	182	4,000	2,08	4,17	23	8	37	2	25	53,1
2,08	2,4	3,0	14	1,1	ZV225S_P531_0040 EZ703U	6,9	10	182	4,000	2,08	4,17	23	8	37	2	25	53,1
2,78	0,8	0,9	16	3,0	ZV225S_P531_0030 EZ502U	3,4	10	90	3,000	2,32	4,63	23	8	37	2	25	53,1
2,78	0,8	0,9	16	3,0	ZV225S_P531_0030 EZ701U	2,2	10	58	3,000	2,32	4,63	23	8	37	2	25	53,1
2,78	1,1	1,2	20	2,3	ZV225S_P531_0030 EZ503U	4,7	10	125	3,000	2,32	4,63	23	8	37	2	25	53,1
2,78	1,3	1,6	25	1,9	ZV225S_P531_0030 EZ702U	4,5	10	119	3,000	2,32	4,63	23	8	37	2	25	53,1
2,78	1,5	1,8	28	1,7	ZV225S_P531_0030 EZ505U	6,9	10	182	3,000	2,32	4,63	23	8	37	2	25	53,1
2,78	1,8	2,3	35	1,4	ZV225S_P531_0030 EZ703U	6,9	10	182	3,000	2,32	4,63	23	8	37	2	25	53,1
2,78	2,3	3,3	45	1,0	ZV225S_P531_0030 EZ705U	6,9	10	182	3,000	2,32	4,63	23	8	37	2	25	53,1
ZV2P5 ($n_{1N} = 4500 \text{ min}^{-1}$, ($F_{f2acc,max} = 6,9 \text{ kN}$))																	
1,56	2,8	4,5	4,2	1,1	ZV225S_P531_0080 EZ505U	6,9	10	182	8,000	1,29	2,43	23	8	34	2	25	53,1
1,79	2,4	3,9	4,7	1,2	ZV225S_P531_0070 EZ505U	6,9	10	182	7,000	1,47	2,78	23	8	36	2	25	53,1
2,50	1,7	2,8	7,1	1,5	ZV225S_P531_0050 EZ505U	6,9	10	182	5,000	1,94	3,89	23	8	37	2	25	53,1
2,50	2,2	3,7	9,0	1,1	ZV225S_P531_0050 EZ703U	6,9	10	182	5,000	1,94	3,89	23	8	37	2	25	53,1
3,13	1,4	2,2	9,3	1,7	ZV225S_P531_0040 EZ505U	6,9	10	182	4,000	2,08	4,17	23	8	37	2	25	53,1
3,13	1,8	2,9	12	1,3	ZV225S_P531_0040 EZ703U	6,9	10	182	4,000	2,08	4,17	23	8	37	2	25	53,1
4,17	1,0	1,7	23	2,1	ZV225S_P531_0030 EZ505U	6,9	10	182	3,000	2,32	4,63	23	8	37	2	25	53,1
4,17	1,3	2,2	29	1,6	ZV225S_P531_0030 EZ703U	6,9	10	182	3,000	2,32	4,63	23	8	37	2	25	53,1
4,17	1,8	3,3	40	1,2	ZV225S_P531_0030 EZ705U	6,9	10	182	3,000	2,32	4,63	23	8	37	2	25	53,1
ZV2P5 ($n_{1N} = 6000 \text{ min}^{-1}$, ($F_{f2acc,max} = 6,9 \text{ kN}$))																	
0,30	4,6	5,6	0,9	1,1	ZV225S_P532_0560 EZ401U	6,9	10	182	56,00	0,20	0,40	31	15	34	2	25	53,1
0,33	4,1	5,0	0,9	1,2	ZV225S_P532_0500 EZ401U	6,9	10	182	50,00	0,22	0,44	31	15	36	2	25	53,1
0,42	3,3	4,0	1,3	1,4	ZV225S_P532_0400 EZ401U	6,9	10	182	40,00	0,28	0,56	31	15	36	2	25	53,1
0,48	2,9	3,5	1,1	1,5	ZV225S_P532_0350 EZ401U	6,9	10	182	35,00	0,32	0,64	31	15	36	2	25	53,1
0,48	4,3	5,5	1,6	1,0	ZV225S_P532_0350 EZ501U	6,9	10	182	35,00	0,32	0,64	31	15	36	2	25	53,1
0,48	4,4	6,1	1,6	1,0	ZV225S_P532_0350 EZ402U	6,9	10	182	35,00	0,32	0,64	31	15	36	2	25	53,1
0,52	2,6	3,2	1,2	1,6	ZV225S_P532_0320 EZ401U	6,9	10	182	32,00	0,30	0,61	31	15	34	2	25	53,1
0,52	3,9	5,0	1,7	1,1	ZV225S_P532_0320 EZ501U	6,9	10	182	32,00	0,30	0,61	31	15	34	2	25	53,1
0,52	4,0	5,6	1,8	1,1	ZV225S_P532_0320 EZ402U	6,9	10	182	32,00	0,30	0,61	31	15	34	2	25	53,1
0,60	2,3	2,8	1,2	1,8	ZV225S_P532_0280 EZ401U	6,9	10	182	28,00	0,40	0,79	31	15	36	2	25	53,1
0,60	3,4	4,4	1,8	1,2	ZV225S_P532_0280 EZ501U	6,9	10	182	28,00	0,40	0,79	31	15	36	2	25	53,1
0,60	3,5	4,9	1,9	1,2	ZV225S_P532_0280 EZ402U	6,9	10	182	28,00	0,40	0,79	31	15	36	2	25	53,1
0,67	2,1	2,5	1,2	1,9	ZV225S_P532_0250 EZ401U	6,9	10	182	25,00	0,41	0,78	31	15	36	2	25	53,1
0,67	3,0	3,9	1,8	1,3	ZV225S_P532_0250 EZ501U	6,9	10	182	25,00	0,41	0,78	31	15	36	2	25	53,1
0,67	3,1	4,4	1,9	1,3	ZV225S_P532_0250 EZ402U	6,9	10	182	25,00	0,41	0,78	31	15	36	2	25	53,1
0,83	1,6	2,0	1,4	2,2	ZV225S_P532_0200 EZ401U	6,1	10	162	20,00	0,49	0,97	31	15	36	2	25	53,1
0,83	2,4	3,2	2,1	1,5	ZV225S_P532_0200 EZ501U	6,9	10	182	20,00	0,49	0,97	31	15	36	2	25	53,1
0,83	2,5	3,5	2,1	1,5	ZV225S_P532_0200 EZ402U	6,9	10	182	20,00	0,49	0,97	31	15	36	2	25	53,1
1,04	1,3	1,6	1,7	2,6	ZV225S_P532_0160 EZ401U	4,9	10	129	16,00	0,61	1,22	31	15	36	2	25	53,1
1,04	1,9	2,5	2,5	1,7	ZV225S_P532_0160 EZ501U	6,9	10	182	16,00	0,61	1,22	31	15	36	2	25	53,1
1,04	2,0	2,8	2,6	1,7	ZV225S_P532_0160 EZ402U	6,9	10	182	16,00	0,61	1,22	31	15	36	2	25	53,1
1,04	3,0	4,5	3,8	1,1	ZV225S_P532_0160 EZ502U	6,9	10	182	16,00	0,61	1,22	31	15	36	2	25	53,1
1,04	3,3	4,8	4,2	1,0	ZV225S_P532_0160 EZ404U	6,9	10	182	16,00	0,61	1,22	31	15	36	2	25	53,1
1,39	1,0	1,2	3,5	3,1	ZV225S_P532_0120 EZ401U	3,7	10	97	12,00	0,69	1,39	31	15	36	2	25	53,1
1,39	1,5	1,9	5,2	2,1	ZV225S_P532_0120 EZ501U	6,9	10	182	12,00	0,69	1,39	31	15	36	2	25	53,1
1,39	1,5	2,1	5,4	2,0	ZV225S_P532_0120 EZ402U	6,9	10	182	12,00	0,69	1,39	31	15	36	2	25	53,1
1,39	2,2	3,4	8,0	1,4	ZV225S_P532_0120 EZ502U	6,9	10	182	12,00	0,69	1,39	31	15	36	2	25	53,1
1,39	2,5	3,6	8,9	1,2	ZV225S_P532_0120 EZ404U	6,9	10	182	12,00	0,69	1,39	31	15	36	2	25	53,1
1,39	2,7	4,6	9,5	1,2	ZV225S_P532_0120 EZ503U	6,9	10	182	12,00	0,69	1,39	31	15	36	2	25	53,1
1,67	1,2	1,6	1,6	2,3	ZV225S_P531_0100 EZ501U	5,9	10	155	10,00	1,03	1,94	23	8	34	2	25	53,1
1,67	1,9	2,9	2,4	1,5	ZV225S_P531_0100 EZ502U	6,9	10	182	10,00	1,03	1,94	23	8	34	2	25	53,1
1,67	1,9	2,9	2,4	1,5	ZV225S_P531_0100 EZ701U	6,9	10	182	10,00	1,03	1,94	23	8	34	2	25	53,1

8.2 Auswahltabelle 8 Zahnstangentriebe ZVP

v_{fzN} [m/s]	F_{fzN} [kN]	$F_{fz,0}$ [kN]	a_{th}	S	Typ	F_{fzaccE} [kN]	$F_{fzNOT,E}$ [kN]	M_{fzaccE} [Nm]	i	$v_{fzmaxDB}$ [m/s]	$v_{fzmaxZB}$ [m/s]	Δs [μm]	Δs_{red} [μm]	C_{in} [N/μm]	m_n [mm]	z	d_0 [mm]
ZV2P5 ($n_{fz} = 6000 \text{ min}^{-1}$, ($F_{fzacc,max} = 6,9 \text{ kN}$))																	
1,67	2,3	3,9	2,8	1,3	ZV225S_P531_0100 EZ503U	6,9	10	182	10,00	1,03	1,94	23	8	34	2	25	53,1
1,67	2,6	5,2	3,3	1,1	ZV225S_P531_0100 EZ702U	6,9	10	182	10,00	1,03	1,94	23	8	34	2	25	53,1
2,08	1,0	1,3	1,7	2,7	ZV225S_P531_0080 EZ501U	4,7	10	124	8,000	1,29	2,43	23	8	34	2	25	53,1
2,08	1,5	2,3	2,5	1,8	ZV225S_P531_0080 EZ502U	6,9	10	182	8,000	1,29	2,43	23	8	34	2	25	53,1
2,08	1,5	2,3	2,5	1,8	ZV225S_P531_0080 EZ701U	5,9	10	155	8,000	1,29	2,43	23	8	34	2	25	53,1
2,08	1,8	3,1	3,0	1,5	ZV225S_P531_0080 EZ503U	6,9	10	182	8,000	1,29	2,43	23	8	34	2	25	53,1
2,08	2,1	4,2	3,5	1,3	ZV225S_P531_0080 EZ702U	6,9	10	182	8,000	1,29	2,43	23	8	34	2	25	53,1
2,38	0,9	1,1	1,9	3,0	ZV225S_P531_0070 EZ501U	4,1	10	109	7,000	1,47	2,78	23	8	36	2	25	53,1
2,38	1,3	2,0	2,9	1,9	ZV225S_P531_0070 EZ502U	6,9	10	182	7,000	1,47	2,78	23	8	36	2	25	53,1
2,38	1,3	2,0	2,9	1,9	ZV225S_P531_0070 EZ701U	5,1	10	136	7,000	1,47	2,78	23	8	36	2	25	53,1
2,38	1,6	2,7	3,4	1,6	ZV225S_P531_0070 EZ503U	6,9	10	182	7,000	1,47	2,78	23	8	36	2	25	53,1
2,38	1,8	3,7	3,9	1,4	ZV225S_P531_0070 EZ702U	6,9	10	182	7,000	1,47	2,78	23	8	36	2	25	53,1
3,33	0,6	0,8	2,8	3,7	ZV225S_P531_0050 EZ501U	2,9	10	78	5,000	1,94	3,89	23	8	37	2	25	53,1
3,33	1,0	1,4	4,3	2,4	ZV225S_P531_0050 EZ502U	5,7	10	150	5,000	1,94	3,89	23	8	37	2	25	53,1
3,33	1,0	1,4	4,3	2,4	ZV225S_P531_0050 EZ701U	3,7	10	97	5,000	1,94	3,89	23	8	37	2	25	53,1
3,33	1,1	1,9	5,1	2,0	ZV225S_P531_0050 EZ503U	6,9	10	182	5,000	1,94	3,89	23	8	37	2	25	53,1
3,33	1,3	2,6	5,9	1,7	ZV225S_P531_0050 EZ702U	6,9	10	182	5,000	1,94	3,89	23	8	37	2	25	53,1
4,17	0,5	0,6	3,6	4,3	ZV225S_P531_0040 EZ501U	2,3	10	62	4,000	2,08	4,17	23	8	37	2	25	53,1
4,17	0,8	1,1	5,6	2,8	ZV225S_P531_0040 EZ502U	4,5	10	120	4,000	2,08	4,17	23	8	37	2	25	53,1
4,17	0,8	1,2	5,6	2,8	ZV225S_P531_0040 EZ701U	2,9	10	78	4,000	2,08	4,17	23	8	37	2	25	53,1
4,17	0,9	1,6	6,7	2,4	ZV225S_P531_0040 EZ503U	6,3	10	167	4,000	2,08	4,17	23	8	37	2	25	53,1
4,17	1,1	2,1	7,7	2,0	ZV225S_P531_0040 EZ702U	6,0	10	159	4,000	2,08	4,17	23	8	37	2	25	53,1
ZV3P5 ($n_{fz} = 3000 \text{ min}^{-1}$, ($F_{fzacc,max} = 6,7 \text{ kN}$))																	
0,16	5,2	5,6	1,0	1,0	ZV318S_P532_0560 EZ401U	6,7	10	192	56,00	0,21	0,43	33	17	35	3	18	57,3
0,18	4,6	5,0	0,9	1,1	ZV318S_P532_0500 EZ401U	6,7	10	192	50,00	0,24	0,48	33	17	37	3	18	57,3
0,23	3,7	4,0	1,2	1,4	ZV318S_P532_0400 EZ401U	6,7	10	192	40,00	0,30	0,60	33	17	37	3	18	57,3
0,26	3,2	3,5	1,0	1,6	ZV318S_P532_0350 EZ401U	6,7	10	192	35,00	0,34	0,69	33	17	38	3	18	57,3
0,26	5,0	5,5	1,6	1,0	ZV318S_P532_0350 EZ501U	6,7	10	192	35,00	0,34	0,69	33	17	38	3	18	57,3
0,28	3,0	3,2	1,2	1,8	ZV318S_P532_0320 EZ401U	6,7	10	192	32,00	0,33	0,66	33	17	35	3	18	57,3
0,28	4,6	5,0	1,8	1,1	ZV318S_P532_0320 EZ501U	6,7	10	192	32,00	0,33	0,66	33	17	35	3	18	57,3
0,28	5,0	5,5	2,0	1,0	ZV318S_P532_0320 EZ402U	6,7	10	192	32,00	0,33	0,66	33	17	35	3	18	57,3
0,32	2,6	2,8	1,3	2,0	ZV318S_P532_0280 EZ401U	6,7	10	192	28,00	0,43	0,86	33	17	37	3	18	57,3
0,32	4,0	4,4	2,0	1,3	ZV318S_P532_0280 EZ501U	6,7	10	192	28,00	0,43	0,86	33	17	37	3	18	57,3
0,32	4,4	4,8	2,2	1,2	ZV318S_P532_0280 EZ402U	6,7	10	192	28,00	0,43	0,86	33	17	37	3	18	57,3
0,36	2,3	2,5	1,2	2,2	ZV318S_P532_0250 EZ401U	6,7	10	192	25,00	0,44	0,84	33	17	38	3	18	57,3
0,36	3,6	3,9	1,9	1,4	ZV318S_P532_0250 EZ501U	6,7	10	192	25,00	0,44	0,84	33	17	38	3	18	57,3
0,36	3,9	4,3	2,1	1,3	ZV318S_P532_0250 EZ402U	6,7	10	192	25,00	0,44	0,84	33	17	38	3	18	57,3
0,45	1,9	2,0	1,4	2,5	ZV318S_P532_0200 EZ401U	5,6	10	162	20,00	0,53	1,05	33	17	38	3	18	57,3
0,45	2,9	3,1	2,2	1,6	ZV318S_P532_0200 EZ501U	6,7	10	192	20,00	0,53	1,05	33	17	38	3	18	57,3
0,45	3,1	3,4	2,4	1,5	ZV318S_P532_0200 EZ402U	6,7	10	192	20,00	0,53	1,05	33	17	38	3	18	57,3
0,45	4,6	5,7	3,5	1,0	ZV318S_P532_0200 EZ404U	6,7	10	192	20,00	0,53	1,05	33	17	38	3	18	57,3
0,56	1,5	1,6	1,8	2,9	ZV318S_P532_0160 EZ401U	4,5	10	129	16,00	0,66	1,31	33	17	38	3	18	57,3
0,56	2,3	2,5	2,8	1,9	ZV318S_P532_0160 EZ501U	6,7	10	192	16,00	0,66	1,31	33	17	38	3	18	57,3
0,56	2,5	2,8	3,0	1,7	ZV318S_P532_0160 EZ402U	6,7	10	192	16,00	0,66	1,31	33	17	38	3	18	57,3
0,56	3,7	4,6	4,5	1,2	ZV318S_P532_0160 EZ404U	6,7	10	192	16,00	0,66	1,31	33	17	38	3	18	57,3
0,56	3,9	4,2	4,8	1,1	ZV318S_P532_0160 EZ502U	6,7	10	192	16,00	0,66	1,31	33	17	38	3	18	57,3
0,75	1,1	1,2	3,8	3,5	ZV318S_P532_0120 EZ401U	3,4	10	97	12,00	0,75	1,50	33	17	37	3	18	57,3
0,75	1,7	1,9	5,9	2,3	ZV318S_P532_0120 EZ501U	6,4	10	182	12,00	0,75	1,50	33	17	37	3	18	57,3
0,75	1,9	2,1	6,4	2,1	ZV318S_P532_0120 EZ402U	6,4	10	182	12,00	0,75	1,50	33	17	37	3	18	57,3
0,75	2,7	3,4	9,5	1,4	ZV318S_P532_0120 EZ404U	6,7	10	192	12,00	0,75	1,50	33	17	37	3	18	57,3
0,75	2,9	3,2	10	1,3	ZV318S_P532_0120 EZ502U	6,7	10	192	12,00	0,75	1,50	33	17	37	3	18	57,3
0,75	3,9	4,4	13	1,0	ZV318S_P532_0120 EZ503U	6,7	10	192	12,00	0,75	1,50	33	17	37	3	18	57,3
0,90	1,5	1,6	1,6	2,5	ZV318S_P531_0100 EZ501U	5,4	10	155	10,00	1,11	2,10	25	8	35	3	18	57,3
0,90	2,5	2,7	2,7	1,5	ZV318S_P531_0100 EZ502U	6,7	10	192	10,00	1,11	2,10	25	8	35	3	18	57,3
0,90	2,5	2,8	2,7	1,5	ZV318S_P531_0100 EZ701U	6,7	10	192	10,00	1,11	2,10	25	8	35	3	18	57,3
0,90	3,3	3,8	3,5	1,1	ZV318S_P531_0100 EZ503U	6,7	10	192	10,00	1,11	2,10	25	8	35	3	18	57,3
1,13	1,2	1,3	1,7	2,9	ZV318S_P531_0080 EZ501U	4,3	10	124	8,000	1,39	2,63	25	8	35	3	18	57,3
1,13	2,0	2,2	2,9	1,7	ZV318S_P531_0080 EZ502U	6,7	10	192	8,000	1,39	2,63	25	8	35	3	18	57,3
1,13	2,0	2,2	2,9	1,7	ZV318S_P531_0080 EZ701U	5,4	10	155	8,000	1,39	2,63	25	8	35	3	18	57,3
1,13	2,6	3,0	3,8	1,3	ZV318S_P531_0080 EZ503U	6,7	10	192	8,000	1,39	2,63	25	8	35	3	18	57,3
1,13	3,3	3,9	4,7	1,1	ZV318S_P531_0080 EZ702U	6,7	10	192	8,000	1,39	2,63	25	8	35	3	18	57,3
1,29	1,0	1,1	1,9	3,2	ZV318S_P531_0070 EZ501U	3,8	10	109	7,000	1,59	3,00	25	8	37	3	18	57,3
1,29	1,8	1,9	3,2	1,9	ZV318S_P531_0070 EZ502U	6,7	10	192	7,000	1,59	3,00	25	8	37	3	18	57,3
1,29	1,8	2,0	3,2	1,9	ZV318S_P531_0070 EZ701U	4,7	10	136	7,000	1,59	3,00	25	8	37	3	18	57,3
1,29	2,3	2,6	4,2	1,4	ZV318S_P531_0070 EZ503U	6,7	10	192	7,000	1,59	3,00	25	8	37	3	18	57,3
1,29	2,8	3,4	5,2	1,2	ZV318S_P531_0070 EZ702U	6,7	10	192	7,000	1,59	3,00	25	8	37	3	18	57,3

v_{fzN} [m/s]	F_{fzN} [kN]	$F_{fz,0}$ [kN]	a_{th}	S	Typ	F_{fzaccE} [kN]	$F_{fzNOT,E}$ [kN]	M_{zaccE} [Nm]	i	$v_{fzmaxDB}$ [m/s]	$v_{fzmaxZB}$ [m/s]	Δs [μm]	Δs_{red} [μm]	C_{in} [N/μm]	m_n [mm]	z	d_0 [mm]
ZV3P5 ($n_{1N} = 3000 \text{ min}^{-1}$, ($F_{fzacc,max} = 6,7 \text{ kN}$))																	
1,29	3,2	3,8	5,9	1,0	ZV318S_P531_0070 EZ505U	6,7	10	192	7,000	1,59	3,00	25	8	37	3	18	57,3
1,80	0,7	0,8	2,8	4,0	ZV318S_P531_0050 EZ501U	2,7	10	78	5,000	2,10	4,20	25	8	38	3	18	57,3
1,80	1,3	1,4	4,8	2,3	ZV318S_P531_0050 EZ502U	5,2	10	150	5,000	2,10	4,20	25	8	38	3	18	57,3
1,80	1,3	1,4	4,8	2,3	ZV318S_P531_0050 EZ701U	3,4	10	97	5,000	2,10	4,20	25	8	38	3	18	57,3
1,80	1,6	1,9	6,3	1,8	ZV318S_P531_0050 EZ503U	6,7	10	192	5,000	2,10	4,20	25	8	38	3	18	57,3
1,80	2,0	2,4	7,8	1,4	ZV318S_P531_0050 EZ702U	6,7	10	192	5,000	2,10	4,20	25	8	38	3	18	57,3
1,80	2,3	2,7	8,8	1,3	ZV318S_P531_0050 EZ505U	6,7	10	192	5,000	2,10	4,20	25	8	38	3	18	57,3
1,80	2,8	3,5	11	1,1	ZV318S_P531_0050 EZ703U	6,7	10	192	5,000	2,10	4,20	25	8	38	3	18	57,3
2,25	0,6	0,6	3,7	4,7	ZV318S_P531_0040 EZ501U	2,2	10	62	4,000	2,25	4,50	25	8	38	3	18	57,3
2,25	1,0	1,1	6,3	2,7	ZV318S_P531_0040 EZ502U	4,2	10	120	4,000	2,25	4,50	25	8	38	3	18	57,3
2,25	1,0	1,1	6,3	2,7	ZV318S_P531_0040 EZ701U	2,7	10	78	4,000	2,25	4,50	25	8	38	3	18	57,3
2,25	1,3	1,5	8,3	2,1	ZV318S_P531_0040 EZ503U	5,8	10	167	4,000	2,25	4,50	25	8	38	3	18	57,3
2,25	1,6	2,0	10	1,7	ZV318S_P531_0040 EZ702U	5,6	10	159	4,000	2,25	4,50	25	8	38	3	18	57,3
2,25	1,8	2,2	11	1,5	ZV318S_P531_0040 EZ505U	6,7	10	192	4,000	2,25	4,50	25	8	38	3	18	57,3
2,25	2,2	2,8	14	1,2	ZV318S_P531_0040 EZ703U	6,7	10	192	4,000	2,25	4,50	25	8	38	3	18	57,3
3,00	0,8	0,8	16	3,3	ZV318S_P531_0030 EZ502U	3,1	10	90	3,000	2,50	5,00	25	8	38	3	18	57,3
3,00	0,8	0,8	16	3,3	ZV318S_P531_0030 EZ701U	2,0	10	58	3,000	2,50	5,00	25	8	38	3	18	57,3
3,00	1,0	1,1	20	2,5	ZV318S_P531_0030 EZ503U	4,4	10	125	3,000	2,50	5,00	25	8	38	3	18	57,3
3,00	1,2	1,5	25	2,0	ZV318S_P531_0030 EZ702U	4,2	10	119	3,000	2,50	5,00	25	8	38	3	18	57,3
3,00	1,4	1,6	28	1,8	ZV318S_P531_0030 EZ505U	6,7	10	192	3,000	2,50	5,00	25	8	38	3	18	57,3
3,00	1,7	2,1	35	1,5	ZV318S_P531_0030 EZ703U	6,6	10	189	3,000	2,50	5,00	25	8	38	3	18	57,3
3,00	2,2	3,1	45	1,1	ZV318S_P531_0030 EZ705U	6,7	10	192	3,000	2,50	5,00	25	8	38	3	18	57,3
ZV3P5 ($n_{1N} = 4500 \text{ min}^{-1}$, ($F_{fzacc,max} = 6,7 \text{ kN}$))																	
1,35	3,2	5,2	4,0	1,0	ZV318S_P531_0100 EZ505U	6,7	10	192	10,00	1,11	2,10	25	8	35	3	18	57,3
1,69	2,6	4,1	4,2	1,2	ZV318S_P531_0080 EZ505U	6,7	10	192	8,000	1,39	2,63	25	8	35	3	18	57,3
1,93	2,3	3,6	4,7	1,3	ZV318S_P531_0070 EZ505U	6,7	10	192	7,000	1,59	3,00	25	8	37	3	18	57,3
2,70	1,6	2,6	7,1	1,6	ZV318S_P531_0050 EZ505U	6,7	10	192	5,000	2,10	4,20	25	8	38	3	18	57,3
2,70	2,0	3,4	9,0	1,3	ZV318S_P531_0050 EZ703U	6,7	10	192	5,000	2,10	4,20	25	8	38	3	18	57,3
3,38	1,3	2,1	9,3	1,8	ZV318S_P531_0040 EZ505U	6,7	10	192	4,000	2,25	4,50	25	8	38	3	18	57,3
3,38	1,6	2,7	12	1,5	ZV318S_P531_0040 EZ703U	6,7	10	192	4,000	2,25	4,50	25	8	38	3	18	57,3
3,38	2,2	4,1	16	1,1	ZV318S_P531_0040 EZ705U	6,7	10	192	4,000	2,25	4,50	25	8	38	3	18	57,3
4,50	1,0	1,6	23	2,2	ZV318S_P531_0030 EZ505U	6,7	10	192	3,000	2,50	5,00	25	8	38	3	18	57,3
4,50	1,2	2,0	29	1,8	ZV318S_P531_0030 EZ703U	6,6	10	189	3,000	2,50	5,00	25	8	38	3	18	57,3
4,50	1,7	3,0	40	1,3	ZV318S_P531_0030 EZ705U	6,7	10	192	3,000	2,50	5,00	25	8	38	3	18	57,3
ZV3P5 ($n_{1N} = 6000 \text{ min}^{-1}$, ($F_{fzacc,max} = 6,7 \text{ kN}$))																	
0,32	4,3	5,2	0,9	1,2	ZV318S_P532_0560 EZ401U	6,7	10	192	56,00	0,21	0,43	33	17	35	3	18	57,3
0,36	3,8	4,6	0,9	1,3	ZV318S_P532_0500 EZ401U	6,7	10	192	50,00	0,24	0,48	33	17	37	3	18	57,3
0,45	3,1	3,7	1,3	1,5	ZV318S_P532_0400 EZ401U	6,7	10	192	40,00	0,30	0,60	33	17	37	3	18	57,3
0,45	4,5	5,8	1,9	1,0	ZV318S_P532_0400 EZ501U	6,7	10	192	40,00	0,30	0,60	33	17	37	3	18	57,3
0,45	4,6	6,5	2,0	1,0	ZV318S_P532_0400 EZ402U	6,7	10	192	40,00	0,30	0,60	33	17	37	3	18	57,3
0,51	2,7	3,2	1,1	1,7	ZV318S_P532_0350 EZ401U	6,7	10	192	35,00	0,34	0,69	33	17	38	3	18	57,3
0,51	3,9	5,1	1,6	1,1	ZV318S_P532_0350 EZ501U	6,7	10	192	35,00	0,34	0,69	33	17	38	3	18	57,3
0,51	4,1	5,7	1,6	1,1	ZV318S_P532_0350 EZ402U	6,7	10	192	35,00	0,34	0,69	33	17	38	3	18	57,3
0,56	2,4	3,0	1,2	1,8	ZV318S_P532_0320 EZ401U	6,7	10	192	32,00	0,33	0,66	33	17	35	3	18	57,3
0,56	3,6	4,7	1,7	1,2	ZV318S_P532_0320 EZ501U	6,7	10	192	32,00	0,33	0,66	33	17	35	3	18	57,3
0,56	3,7	5,2	1,8	1,2	ZV318S_P532_0320 EZ402U	6,7	10	192	32,00	0,33	0,66	33	17	35	3	18	57,3
0,64	2,1	2,6	1,2	1,9	ZV318S_P532_0280 EZ401U	6,7	10	192	28,00	0,43	0,86	33	17	37	3	18	57,3
0,64	3,2	4,1	1,8	1,3	ZV318S_P532_0280 EZ501U	6,7	10	192	28,00	0,43	0,86	33	17	37	3	18	57,3
0,64	3,2	4,5	1,9	1,3	ZV318S_P532_0280 EZ402U	6,7	10	192	28,00	0,43	0,86	33	17	37	3	18	57,3
0,72	1,9	2,3	1,2	2,1	ZV318S_P532_0250 EZ401U	6,7	10	192	25,00	0,44	0,84	33	17	38	3	18	57,3
0,72	2,8	3,6	1,8	1,4	ZV318S_P532_0250 EZ501U	6,7	10	192	25,00	0,44	0,84	33	17	38	3	18	57,3
0,72	2,9	4,1	1,9	1,4	ZV318S_P532_0250 EZ402U	6,7	10	192	25,00	0,44	0,84	33	17	38	3	18	57,3
0,90	1,5	1,9	1,4	2,4	ZV318S_P532_0200 EZ401U	5,6	10	162	20,00	0,53	1,05	33	17	38	3	18	57,3
0,90	2,3	2,9	2,1	1,6	ZV318S_P532_0200 EZ501U	6,7	10	192	20,00	0,53	1,05	33	17	38	3	18	57,3
0,90	2,3	3,2	2,1	1,6	ZV318S_P532_0200 EZ402U	6,7	10	192	20,00	0,53	1,05	33	17	38	3	18	57,3
0,90	3,4	5,2	3,2	1,1	ZV318S_P532_0200 EZ502U	6,7	10	192	20,00	0,53	1,05	33	17	38	3	18	57,3
1,13	1,2	1,5	1,7	2,8	ZV318S_P532_0160 EZ401U	4,5	10	129	16,00	0,66	1,31	33	17	38	3	18	57,3
1,13	1,8	2,3	2,5	1,9	ZV318S_P532_0160 EZ501U	6,7	10	192	16,00	0,66	1,31	33	17	38	3	18	57,3
1,13	1,9	2,6	2,6	1,8	ZV318S_P532_0160 EZ402U	6,7	10	192	16,00	0,66	1,31	33	17	38	3	18	57,3
1,13	2,8	4,1	3,8	1,2	ZV318S_P532_0160 EZ502U	6,7	10	192	16,00	0,66	1,31	33	17	38	3	18	57,3
1,13	3,1	4,5	4,2	1,1	ZV318S_P532_0160 EZ404U	6,7	10	192	16,00	0,66	1,31	33	17	38	3	18	57,3
1,13	3,3	5,6	4,5	1,0	ZV318S_P532_0160 EZ503U	6,7	10	192	16,00	0,66	1,31	33	17	38	3	18	57,3
1,50	0,9	1,1	3,5	3,4	ZV318S_P532_0120 EZ401U	3,4	10	97	12,00	0,75	1,50	33	17	37	3	18	57,3
1,50	1,4	1,8	5,2	2,3	ZV318S_P532_0120 EZ501U	6,4	10	182	12,00	0,75	1,50	33	17	37	3	18	57,3
1,50	1,4	1,9	5,4	2,2	ZV318S_P532_0120 EZ402U	6,4	10	182	12,00	0,75	1,50	33	17	37	3	18	57,3
1,50	2,1	3,1	8,0	1,5	ZV318S_P532_0120 EZ502U	6,7	10	192	12,00	0,75	1,50	33	17	37	3	18	57,3

8.2 Auswahltabelle 8 Zahnstangentriebe ZVP

v_{f2N} [m/s]	F_{f2N} [kN]	$F_{f2,0}$ [kN]	a_{th}	S	Typ	F_{f2accE} [kN]	$F_{f2NOT,E}$ [kN]	M_{f2accE} [Nm]	i	$v_{f2maxDB}$ [m/s]	$v_{f2maxZB}$ [m/s]	Δs [μm]	Δs_{red} [μm]	C_{in} [N/μm]	m_n [mm]	z	d_0 [mm]
ZV3P5 ($n_{in} = 6000 \text{ min}^{-1}$, ($F_{f2acc,max} = 6,7 \text{ kN}$))																	
1,50	2,3	3,3	8,9	1,4	ZV318S_P532_0120 EZ404U	6,7	10	192	12,00	0,75	1,50	33	17	37	3	18	57,3
1,50	2,5	4,2	9,5	1,3	ZV318S_P532_0120 EZ503U	6,7	10	192	12,00	0,75	1,50	33	17	37	3	18	57,3
1,80	1,2	1,5	1,6	2,5	ZV318S_P531_0100 EZ501U	5,4	10	155	10,00	1,11	2,10	25	8	35	3	18	57,3
1,80	1,8	2,6	2,4	1,7	ZV318S_P531_0100 EZ502U	6,7	10	192	10,00	1,11	2,10	25	8	35	3	18	57,3
1,80	1,8	2,7	2,4	1,7	ZV318S_P531_0100 EZ701U	6,7	10	192	10,00	1,11	2,10	25	8	35	3	18	57,3
1,80	2,1	3,6	2,8	1,4	ZV318S_P531_0100 EZ503U	6,7	10	192	10,00	1,11	2,10	25	8	35	3	18	57,3
1,80	2,4	4,8	3,3	1,2	ZV318S_P531_0100 EZ702U	6,7	10	192	10,00	1,11	2,10	25	8	35	3	18	57,3
2,25	0,9	1,2	1,7	3,0	ZV318S_P531_0080 EZ501U	4,3	10	124	8,000	1,39	2,63	25	8	35	3	18	57,3
2,25	1,4	2,1	2,5	1,9	ZV318S_P531_0080 EZ502U	6,7	10	192	8,000	1,39	2,63	25	8	35	3	18	57,3
2,25	1,4	2,1	2,5	1,9	ZV318S_P531_0080 EZ701U	5,4	10	155	8,000	1,39	2,63	25	8	35	3	18	57,3
2,25	1,7	2,9	3,0	1,6	ZV318S_P531_0080 EZ503U	6,7	10	192	8,000	1,39	2,63	25	8	35	3	18	57,3
2,25	2,0	3,9	3,5	1,4	ZV318S_P531_0080 EZ702U	6,7	10	192	8,000	1,39	2,63	25	8	35	3	18	57,3
2,57	0,8	1,0	1,9	3,2	ZV318S_P531_0070 EZ501U	3,8	10	109	7,000	1,59	3,00	25	8	37	3	18	57,3
2,57	1,2	1,8	2,9	2,1	ZV318S_P531_0070 EZ502U	6,7	10	192	7,000	1,59	3,00	25	8	37	3	18	57,3
2,57	1,2	1,9	2,9	2,1	ZV318S_P531_0070 EZ701U	4,7	10	136	7,000	1,59	3,00	25	8	37	3	18	57,3
2,57	1,5	2,5	3,4	1,8	ZV318S_P531_0070 EZ503U	6,7	10	192	7,000	1,59	3,00	25	8	37	3	18	57,3
2,57	1,7	3,4	3,9	1,5	ZV318S_P531_0070 EZ702U	6,7	10	192	7,000	1,59	3,00	25	8	37	3	18	57,3
3,60	0,6	0,7	2,8	4,0	ZV318S_P531_0050 EZ501U	2,7	10	78	5,000	2,10	4,20	25	8	38	3	18	57,3
3,60	0,9	1,3	4,3	2,6	ZV318S_P531_0050 EZ502U	5,2	10	150	5,000	2,10	4,20	25	8	38	3	18	57,3
3,60	0,9	1,3	4,3	2,6	ZV318S_P531_0050 EZ701U	3,4	10	97	5,000	2,10	4,20	25	8	38	3	18	57,3
3,60	1,0	1,8	5,1	2,2	ZV318S_P531_0050 EZ503U	6,7	10	192	5,000	2,10	4,20	25	8	38	3	18	57,3
3,60	1,2	2,4	5,9	1,9	ZV318S_P531_0050 EZ702U	6,7	10	192	5,000	2,10	4,20	25	8	38	3	18	57,3
4,50	0,5	0,6	3,6	4,7	ZV318S_P531_0040 EZ501U	2,2	10	62	4,000	2,25	4,50	25	8	38	3	18	57,3
4,50	0,7	1,1	5,6	3,1	ZV318S_P531_0040 EZ502U	4,2	10	120	4,000	2,25	4,50	25	8	38	3	18	57,3
4,50	0,7	1,1	5,6	3,1	ZV318S_P531_0040 EZ701U	2,7	10	78	4,000	2,25	4,50	25	8	38	3	18	57,3
4,50	0,8	1,4	6,7	2,6	ZV318S_P531_0040 EZ503U	5,8	10	167	4,000	2,25	4,50	25	8	38	3	18	57,3
4,50	1,0	1,9	7,7	2,2	ZV318S_P531_0040 EZ702U	5,6	10	159	4,000	2,25	4,50	25	8	38	3	18	57,3
ZV3P7 ($n_{in} = 3000 \text{ min}^{-1}$, ($F_{f2acc,max} = 11 \text{ kN}$))																	
0,20	6,5	7,1	0,8	1,1	ZV322S_P732_0560 EZ501U	11	14	380	56,00	0,24	0,46	41	20	45	3	22	70,0
0,22	5,8	6,4	0,8	1,2	ZV322S_P732_0500 EZ501U	11	14	380	50,00	0,27	0,51	41	20	46	3	22	70,0
0,28	4,7	5,1	1,0	1,3	ZV322S_P732_0400 EZ501U	11	14	380	40,00	0,34	0,64	41	20	46	3	22	70,0
0,31	4,1	4,5	0,9	1,5	ZV322S_P732_0350 EZ501U	11	14	380	35,00	0,39	0,73	41	20	46	3	22	70,0
0,34	3,7	4,1	1,1	1,6	ZV322S_P732_0320 EZ501U	11	14	380	32,00	0,34	0,69	41	20	45	3	22	70,0
0,39	3,3	3,6	1,0	1,7	ZV322S_P732_0280 EZ501U	11	14	380	28,00	0,49	0,92	41	20	46	3	22	70,0
0,44	2,9	3,2	1,2	1,8	ZV322S_P732_0250 EZ501U	11	14	380	25,00	0,51	1,03	41	20	46	3	22	70,0
0,44	5,0	5,4	2,0	1,1	ZV322S_P732_0250 EZ502U	11	14	380	25,00	0,51	1,03	41	20	46	3	22	70,0
0,44	5,0	5,6	2,0	1,1	ZV322S_P732_0250 EZ701U	11	14	380	25,00	0,51	1,03	41	20	46	3	22	70,0
0,55	2,3	2,6	1,4	2,1	ZV322S_P732_0200 EZ501U	8,7	14	304	20,00	0,55	1,10	41	20	46	3	22	70,0
0,55	4,0	4,3	2,5	1,2	ZV322S_P732_0200 EZ502U	11	14	380	20,00	0,55	1,10	41	20	46	3	22	70,0
0,55	4,0	4,5	2,5	1,2	ZV322S_P732_0200 EZ701U	11	14	380	20,00	0,55	1,10	41	20	46	3	22	70,0
0,69	1,9	2,0	1,6	2,5	ZV322S_P732_0160 EZ501U	6,9	14	243	16,00	0,69	1,38	41	20	46	3	22	70,0
0,69	3,2	3,5	2,8	1,4	ZV322S_P732_0160 EZ502U	11	14	380	16,00	0,69	1,38	41	20	46	3	22	70,0
0,69	3,2	3,6	2,8	1,4	ZV322S_P732_0160 EZ701U	8,7	14	304	16,00	0,69	1,38	41	20	46	3	22	70,0
0,69	4,2	4,8	3,7	1,1	ZV322S_P732_0160 EZ503U	11	14	380	16,00	0,69	1,38	41	20	46	3	22	70,0
0,92	1,4	1,5	2,9	3,0	ZV322S_P732_0120 EZ501U	5,2	14	182	12,00	0,76	1,53	41	20	46	3	22	70,0
0,92	2,4	2,6	5,0	1,7	ZV322S_P732_0120 EZ502U	10	14	353	12,00	0,76	1,53	41	20	46	3	22	70,0
0,92	2,4	2,7	5,0	1,7	ZV322S_P732_0120 EZ701U	6,5	14	228	12,00	0,76	1,53	41	20	46	3	22	70,0
0,92	3,2	3,6	6,5	1,3	ZV322S_P732_0120 EZ503U	11	14	380	12,00	0,76	1,53	41	20	46	3	22	70,0
0,92	3,9	4,7	8,0	1,1	ZV322S_P732_0120 EZ702U	11	14	380	12,00	0,76	1,53	41	20	46	3	22	70,0
1,10	2,1	2,3	1,7	1,9	ZV322S_P731_0100 EZ701U	5,5	14	194	10,00	1,10	2,20	31	10	44	3	22	70,0
1,10	3,3	4,0	2,7	1,2	ZV322S_P731_0100 EZ702U	11	14	380	10,00	1,10	2,20	31	10	44	3	22	70,0
1,38	1,6	1,8	1,7	2,2	ZV322S_P731_0080 EZ701U	4,4	14	155	8,000	1,38	2,75	31	10	45	3	22	70,0
1,38	2,7	3,2	2,8	1,4	ZV322S_P731_0080 EZ702U	9,1	14	318	8,000	1,38	2,75	31	10	45	3	22	70,0
1,38	3,7	4,6	3,9	1,0	ZV322S_P731_0080 EZ703U	11	14	380	8,000	1,38	2,75	31	10	45	3	22	70,0
1,57	1,4	1,6	1,8	2,4	ZV322S_P731_0070 EZ701U	3,9	14	136	7,000	1,57	3,14	31	10	46	3	22	70,0
1,57	2,3	2,8	3,0	1,5	ZV322S_P731_0070 EZ702U	8,0	14	278	7,000	1,57	3,14	31	10	46	3	22	70,0
1,57	3,2	4,0	4,1	1,1	ZV322S_P731_0070 EZ703U	11	14	380	7,000	1,57	3,14	31	10	46	3	22	70,0
2,20	1,0	1,1	2,8	3,1	ZV322S_P731_0050 EZ701U	2,8	14	97	5,000	1,98	4,03	31	10	46	3	22	70,0
2,20	1,7	2,0	4,5	1,9	ZV322S_P731_0050 EZ702U	5,7	14	199	5,000	1,98	4,03	31	10	46	3	22	70,0
2,20	2,3	2,9	6,2	1,4	ZV322S_P731_0050 EZ703U	9,0	14	315	5,000	1,98	4,03	31	10	46	3	22	70,0
2,20	3,0	4,2	7,9	1,1	ZV322S_P731_0050 EZ705U	11	14	380	5,000	1,98	4,03	31	10	46	3	22	70,0
2,20	3,1	5,1	8,3	1,0	ZV322S_P731_0050 EZ802U	11	14	380	5,000	1,98	4,03	31	10	46	3	22	70,0
2,75	0,8	0,9	3,6	3,5	ZV322S_P731_0040 EZ701U	2,2	14	78	4,000	2,29	4,58	31	10	47	3	22	70,0
2,75	1,3	1,6	5,9	2,2	ZV322S_P731_0040 EZ702U	4,5	14	159	4,000	2,29	4,58	31	10	47	3	22	70,0
2,75	1,8	2,3	8,0	1,6	ZV322S_P731_0040 EZ703U	7,2	14	252	4,000	2,29	4,58	31	10	47	3	22	70,0
2,75	2,4	3,3	10	1,2	ZV322S_P731_0040 EZ705U	11	14	380	4,000	2,29	4,58	31	10	47	3	22	70,0

v_{f2N} [m/s]	F_{f2N} [kN]	$F_{f2,0}$ [kN]	a_{th}	S	Typ	F_{f2acc} [kN]	$F_{f2NOT,E}$ [kN]	M_{2acc} [Nm]	i	$v_{f2maxDB}$ [m/s]	$v_{f2maxZB}$ [m/s]	Δs [μm]	Δs_{red} [μm]	C_{in} [N/μm]	m_n [mm]	z	d_0 [mm]
ZV3P7 ($n_{1N} = 3000 \text{ min}^{-1}$, ($F_{f2acc,max} = 11 \text{ kN}$))																	
2,75	2,5	4,1	11	1,2	ZV322S_P731_0040 EZ802U	11	14	380	4,000	2,29	4,58	31	10	47	3	22	70,0
3,67	0,6	0,7	8,0	4,3	ZV322S_P731_0030 EZ701U	1,7	14	58	3,000	2,69	4,89	31	10	47	3	22	70,0
3,67	1,0	1,2	13	2,6	ZV322S_P731_0030 EZ702U	3,4	14	119	3,000	2,69	4,89	31	10	47	3	22	70,0
3,67	1,4	1,7	18	1,9	ZV322S_P731_0030 EZ703U	5,4	14	189	3,000	2,69	4,89	31	10	47	3	22	70,0
3,67	1,8	2,5	23	1,5	ZV322S_P731_0030 EZ705U	8,6	14	303	3,000	2,69	4,89	31	10	47	3	22	70,0
3,67	1,9	3,1	24	1,4	ZV322S_P731_0030 EZ802U	8,3	14	291	3,000	2,69	4,89	31	10	47	3	22	70,0
3,67	2,2	4,0	29	1,2	ZV322S_P731_0030 EZ803U	11	14	380	3,000	2,69	4,89	31	10	47	3	22	70,0
ZV3P7 ($n_{1N} = 4500 \text{ min}^{-1}$, ($F_{f2acc,max} = 11 \text{ kN}$))																	
1,38	3,1	5,0	6,6	1,2	ZV322S_P732_0120 EZ505U	11	14	380	12,000	0,76	1,53	41	20	46	3	22	70,0
1,65	2,9	9,6	2,7	1,2	ZV322S_P731_0100 EZ802U	11	14	380	10,000	1,10	2,20	31	10	44	3	22	70,0
1,65	3,4	5,5	3,1	1,0	ZV322S_P731_0100 EZ703U	11	14	380	10,000	1,10	2,20	31	10	44	3	22	70,0
2,06	2,3	7,6	2,8	1,4	ZV322S_P731_0080 EZ802U	11	14	380	8,000	1,38	2,75	31	10	45	3	22	70,0
2,06	2,7	4,4	3,2	1,2	ZV322S_P731_0080 EZ703U	11	14	380	8,000	1,38	2,75	31	10	45	3	22	70,0
2,36	2,0	6,7	3,0	1,5	ZV322S_P731_0070 EZ802U	11	14	380	7,000	1,57	3,14	31	10	46	3	22	70,0
2,36	2,3	3,9	3,5	1,3	ZV322S_P731_0070 EZ703U	11	14	380	7,000	1,57	3,14	31	10	46	3	22	70,0
3,30	1,5	4,8	4,5	1,9	ZV322S_P731_0050 EZ802U	11	14	380	5,000	1,98	4,03	31	10	46	3	22	70,0
3,30	1,7	2,8	5,2	1,6	ZV322S_P731_0050 EZ703U	9,0	14	315	5,000	1,98	4,03	31	10	46	3	22	70,0
3,30	2,3	4,2	7,0	1,2	ZV322S_P731_0050 EZ705U	11	14	380	5,000	1,98	4,03	31	10	46	3	22	70,0
4,13	1,2	3,8	5,9	2,2	ZV322S_P731_0040 EZ802U	11	14	380	4,000	2,29	4,58	31	10	47	3	22	70,0
4,13	1,3	2,2	6,8	1,9	ZV322S_P731_0040 EZ703U	7,2	14	252	4,000	2,29	4,58	31	10	47	3	22	70,0
4,13	1,8	3,3	9,2	1,4	ZV322S_P731_0040 EZ705U	11	14	380	4,000	2,29	4,58	31	10	47	3	22	70,0
ZV3P7 ($n_{1N} = 6000 \text{ min}^{-1}$, ($F_{f2acc,max} = 11 \text{ kN}$))																	
0,39	5,2	6,7	0,8	1,1	ZV322S_P732_0560 EZ501U	11	14	380	56,000	0,24	0,46	41	20	45	3	22	70,0
0,44	4,6	6,0	0,7	1,2	ZV322S_P732_0500 EZ501U	11	14	380	50,000	0,27	0,51	41	20	46	3	22	70,0
0,55	3,7	4,8	1,0	1,3	ZV322S_P732_0400 EZ501U	11	14	380	40,000	0,34	0,64	41	20	46	3	22	70,0
0,63	3,2	4,2	0,9	1,5	ZV322S_P732_0350 EZ501U	11	14	380	35,000	0,39	0,73	41	20	46	3	22	70,0
0,69	3,0	3,8	1,1	1,6	ZV322S_P732_0320 EZ501U	11	14	380	32,000	0,34	0,69	41	20	45	3	22	70,0
0,69	4,5	6,8	1,6	1,0	ZV322S_P732_0320 EZ502U	11	14	380	32,000	0,34	0,69	41	20	45	3	22	70,0
0,69	4,5	6,9	1,6	1,0	ZV322S_P732_0320 EZ701U	11	14	380	32,000	0,34	0,69	41	20	45	3	22	70,0
0,79	2,6	3,3	1,0	1,7	ZV322S_P732_0280 EZ501U	11	14	380	28,000	0,49	0,92	41	20	46	3	22	70,0
0,79	4,0	5,9	1,5	1,1	ZV322S_P732_0280 EZ502U	11	14	380	28,000	0,49	0,92	41	20	46	3	22	70,0
0,79	4,0	6,0	1,5	1,1	ZV322S_P732_0280 EZ701U	11	14	380	28,000	0,49	0,92	41	20	46	3	22	70,0
0,88	2,3	3,0	1,1	1,8	ZV322S_P732_0250 EZ501U	11	14	380	25,000	0,51	1,03	41	20	46	3	22	70,0
0,88	3,5	5,3	1,7	1,2	ZV322S_P732_0250 EZ502U	11	14	380	25,000	0,51	1,03	41	20	46	3	22	70,0
0,88	3,5	5,4	1,7	1,2	ZV322S_P732_0250 EZ701U	11	14	380	25,000	0,51	1,03	41	20	46	3	22	70,0
0,88	4,2	7,2	2,0	1,0	ZV322S_P732_0250 EZ503U	11	14	380	25,000	0,51	1,03	41	20	46	3	22	70,0
1,10	1,8	2,4	1,3	2,1	ZV322S_P732_0200 EZ501U	8,7	14	304	20,000	0,55	1,10	41	20	46	3	22	70,0
1,10	2,8	4,2	1,9	1,4	ZV322S_P732_0200 EZ502U	11	14	380	20,000	0,55	1,10	41	20	46	3	22	70,0
1,10	2,8	4,3	1,9	1,4	ZV322S_P732_0200 EZ701U	11	14	380	20,000	0,55	1,10	41	20	46	3	22	70,0
1,10	3,4	5,8	2,3	1,2	ZV322S_P732_0200 EZ503U	11	14	380	20,000	0,55	1,10	41	20	46	3	22	70,0
1,10	3,9	7,8	2,7	1,0	ZV322S_P732_0200 EZ702U	11	14	380	20,000	0,55	1,10	41	20	46	3	22	70,0
1,38	1,5	1,9	1,4	2,5	ZV322S_P732_0160 EZ501U	6,9	14	243	16,000	0,69	1,38	41	20	46	3	22	70,0
1,38	2,3	3,4	2,2	1,6	ZV322S_P732_0160 EZ502U	11	14	380	16,000	0,69	1,38	41	20	46	3	22	70,0
1,38	2,3	3,4	2,2	1,6	ZV322S_P732_0160 EZ701U	8,7	14	304	16,000	0,69	1,38	41	20	46	3	22	70,0
1,38	2,7	4,6	2,6	1,4	ZV322S_P732_0160 EZ503U	11	14	380	16,000	0,69	1,38	41	20	46	3	22	70,0
1,38	3,1	6,2	3,0	1,2	ZV322S_P732_0160 EZ702U	11	14	380	16,000	0,69	1,38	41	20	46	3	22	70,0
2,20	1,4	2,2	1,5	2,2	ZV322S_P731_0100 EZ701U	5,5	14	194	10,000	1,10	2,20	31	10	44	3	22	70,0
2,20	2,0	4,0	2,0	1,6	ZV322S_P731_0100 EZ702U	11	14	380	10,000	1,10	2,20	31	10	44	3	22	70,0
2,75	1,2	1,8	1,5	2,5	ZV322S_P731_0080 EZ701U	4,4	14	155	8,000	1,38	2,75	31	10	45	3	22	70,0
2,75	1,6	3,2	2,1	1,8	ZV322S_P731_0080 EZ702U	9,1	14	318	8,000	1,38	2,75	31	10	45	3	22	70,0
3,14	1,0	1,5	1,6	2,8	ZV322S_P731_0070 EZ701U	3,9	14	136	7,000	1,57	3,14	31	10	46	3	22	70,0
3,14	1,4	2,8	2,3	2,0	ZV322S_P731_0070 EZ702U	8,0	14	278	7,000	1,57	3,14	31	10	46	3	22	70,0
ZV4P7 ($n_{1N} = 3000 \text{ min}^{-1}$, ($F_{f2acc,max} = 10 \text{ kN}$))																	
0,21	6,0	6,5	0,8	1,2	ZV418S_P732_0560 EZ501U	10	15	398	56,000	0,26	0,50	44	22	47	4	18	76,4
0,24	5,3	5,8	0,8	1,3	ZV418S_P732_0500 EZ501U	10	15	398	50,000	0,30	0,56	44	22	49	4	18	76,4
0,30	4,3	4,7	1,0	1,5	ZV418S_P732_0400 EZ501U	10	15	398	40,000	0,37	0,70	44	22	48	4	18	76,4
0,34	3,7	4,1	0,9	1,6	ZV418S_P732_0350 EZ501U	10	15	398	35,000	0,42	0,80	44	22	49	4	18	76,4
0,38	3,4	3,7	1,1	1,7	ZV418S_P732_0320 EZ501U	10	15	398	32,000	0,38	0,75	44	22	47	4	18	76,4
0,38	5,9	6,4	1,9	1,0	ZV418S_P732_0320 EZ502U	10	15	398	32,000	0,38	0,75	44	22	47	4	18	76,4
0,38	5,9	6,6	1,9	1,0	ZV418S_P732_0320 EZ701U	10	15	398	32,000	0,38	0,75	44	22	47	4	18	76,4
0,43	3,0	3,3	1,0	1,9	ZV418S_P732_0280 EZ501U	10	15	398	28,000	0,53	1,00	44	22	49	4	18	76,4
0,43	5,2	5,6	1,8	1,1	ZV418S_P732_0280 EZ502U	10	15	398	28,000	0,53	1,00	44	22	49	4	18	76,4
0,43	5,2	5,8	1,8	1,1	ZV418S_P732_0280 EZ701U	10	15	398	28,000	0,53	1,00	44	22	49	4	18	76,4
0,48	2,7	2,9	1,2	2,0	ZV418S_P732_0250 EZ501U	9,9	15	380	25,000	0,56	1,12	44	22	49	4	18	76,4
0,48	4,6	5,0	2,0	1,2	ZV418S_P732_0250 EZ502U	10	15	398	25,000	0,56	1,12	44	22	49	4	18	76,4
0,48	4,6	5,2	2,0	1,2	ZV418S_P732_0250 EZ701U	10	15	398	25,000	0,56	1,12	44	22	49	4	18	76,4

8.2 Auswahltabelle 8 Zahnstangentriebe ZVP

v_{f2N} [m/s]	F_{f2N} [kN]	$F_{f2,0}$ [kN]	a_{th}	S	Typ	F_{f2accE} [kN]	$F_{f2NOT,E}$ [kN]	M_{f2accE} [Nm]	i	$v_{f2maxDB}$ [m/s]	$v_{f2maxZB}$ [m/s]	Δs [μm]	Δs_{red} [μm]	C_{in} [N/μm]	m_n [mm]	z	d_0 [mm]
ZV4P7 ($n_{1N} = 3000 \text{ min}^{-1}$, ($F_{f2acc,max} = 10 \text{ kN}$))																	
0,60	2,1	2,3	1,4	2,4	ZV418S_P732_0200 EZ501U	8,0	15	304	20,00	0,60	1,20	44	22	49	4	18	76,4
0,60	3,7	4,0	2,5	1,4	ZV418S_P732_0200 EZ502U	10	15	398	20,00	0,60	1,20	44	22	49	4	18	76,4
0,60	3,7	4,1	2,5	1,4	ZV418S_P732_0200 EZ701U	9,9	15	380	20,00	0,60	1,20	44	22	49	4	18	76,4
0,60	4,8	5,5	3,2	1,0	ZV418S_P732_0200 EZ503U	10	15	398	20,00	0,60	1,20	44	22	49	4	18	76,4
0,75	1,7	1,9	1,6	2,7	ZV418S_P732_0160 EZ501U	6,4	15	243	16,00	0,75	1,50	44	22	49	4	18	76,4
0,75	2,9	3,2	2,8	1,6	ZV418S_P732_0160 EZ502U	10	15	398	16,00	0,75	1,50	44	22	49	4	18	76,4
0,75	2,9	3,3	2,8	1,6	ZV418S_P732_0160 EZ701U	8,0	15	304	16,00	0,75	1,50	44	22	49	4	18	76,4
0,75	3,9	4,4	3,7	1,2	ZV418S_P732_0160 EZ503U	10	15	398	16,00	0,75	1,50	44	22	49	4	18	76,4
1,00	1,3	1,4	2,9	3,3	ZV418S_P732_0120 EZ501U	4,8	15	182	12,00	0,83	1,67	44	22	48	4	18	76,4
1,00	2,2	2,4	5,0	1,9	ZV418S_P732_0120 EZ502U	9,3	15	353	12,00	0,83	1,67	44	22	48	4	18	76,4
1,00	2,2	2,5	5,0	1,9	ZV418S_P732_0120 EZ701U	6,0	15	228	12,00	0,83	1,67	44	22	48	4	18	76,4
1,00	2,9	3,3	6,5	1,5	ZV418S_P732_0120 EZ503U	10	15	398	12,00	0,83	1,67	44	22	48	4	18	76,4
1,00	3,6	4,3	8,0	1,2	ZV418S_P732_0120 EZ702U	10	15	398	12,00	0,83	1,67	44	22	48	4	18	76,4
1,00	4,0	4,8	9,0	1,1	ZV418S_P732_0120 EZ505U	10	15	398	12,00	0,83	1,67	44	22	48	4	18	76,4
1,20	1,9	2,1	1,7	2,1	ZV418S_P731_0100 EZ701U	5,1	15	194	10,00	1,20	2,40	33	11	46	4	18	76,4
1,20	3,0	3,7	2,7	1,3	ZV418S_P731_0100 EZ702U	10	15	398	10,00	1,20	2,40	33	11	46	4	18	76,4
1,50	1,5	1,7	1,7	2,5	ZV418S_P731_0080 EZ701U	4,1	15	155	8,000	1,50	3,00	33	11	47	4	18	76,4
1,50	2,4	2,9	2,8	1,5	ZV418S_P731_0080 EZ702U	8,3	15	318	8,000	1,50	3,00	33	11	47	4	18	76,4
1,50	3,4	4,2	3,9	1,1	ZV418S_P731_0080 EZ703U	10	15	398	8,000	1,50	3,00	33	11	47	4	18	76,4
1,71	1,3	1,5	1,8	2,7	ZV418S_P731_0070 EZ701U	3,6	15	136	7,000	1,71	3,43	33	11	48	4	18	76,4
1,71	2,1	2,6	3,0	1,7	ZV418S_P731_0070 EZ702U	7,3	15	278	7,000	1,71	3,43	33	11	48	4	18	76,4
1,71	2,9	3,7	4,1	1,2	ZV418S_P731_0070 EZ703U	10	15	398	7,000	1,71	3,43	33	11	48	4	18	76,4
2,40	0,9	1,1	2,8	3,4	ZV418S_P731_0050 EZ701U	2,5	15	97	5,000	2,16	4,40	33	11	49	4	18	76,4
2,40	1,5	1,8	4,5	2,1	ZV418S_P731_0050 EZ702U	5,2	15	199	5,000	2,16	4,40	33	11	49	4	18	76,4
2,40	2,1	2,6	6,2	1,5	ZV418S_P731_0050 EZ703U	8,3	15	315	5,000	2,16	4,40	33	11	49	4	18	76,4
2,40	2,7	3,8	7,9	1,2	ZV418S_P731_0050 EZ705U	10	15	398	5,000	2,16	4,40	33	11	49	4	18	76,4
2,40	2,8	4,7	8,3	1,1	ZV418S_P731_0050 EZ802U	10	15	398	5,000	2,16	4,40	33	11	49	4	18	76,4
3,00	0,8	0,8	3,6	3,9	ZV418S_P731_0040 EZ701U	2,0	15	78	4,000	2,50	5,00	33	11	50	4	18	76,4
3,00	1,2	1,5	5,9	2,4	ZV418S_P731_0040 EZ702U	4,2	15	159	4,000	2,50	5,00	33	11	50	4	18	76,4
3,00	1,7	2,1	8,0	1,8	ZV418S_P731_0040 EZ703U	6,6	15	252	4,000	2,50	5,00	33	11	50	4	18	76,4
3,00	2,2	3,1	10	1,4	ZV418S_P731_0040 EZ705U	10	15	398	4,000	2,50	5,00	33	11	50	4	18	76,4
3,00	2,3	3,8	11	1,3	ZV418S_P731_0040 EZ802U	10	15	388	4,000	2,50	5,00	33	11	50	4	18	76,4
3,00	2,7	4,9	13	1,1	ZV418S_P731_0040 EZ803U	10	15	398	4,000	2,50	5,00	33	11	50	4	18	76,4
4,00	0,6	0,6	8,0	4,8	ZV418S_P731_0030 EZ701U	1,5	15	58	3,000	2,93	5,33	33	11	50	4	18	76,4
4,00	0,9	1,1	13	2,9	ZV418S_P731_0030 EZ702U	3,1	15	119	3,000	2,93	5,33	33	11	50	4	18	76,4
4,00	1,3	1,6	18	2,1	ZV418S_P731_0030 EZ703U	5,0	15	189	3,000	2,93	5,33	33	11	50	4	18	76,4
4,00	1,6	2,3	23	1,7	ZV418S_P731_0030 EZ705U	7,9	15	303	3,000	2,93	5,33	33	11	50	4	18	76,4
4,00	1,7	2,8	24	1,6	ZV418S_P731_0030 EZ802U	7,6	15	291	3,000	2,93	5,33	33	11	50	4	18	76,4
4,00	2,0	3,7	29	1,3	ZV418S_P731_0030 EZ803U	10	15	398	3,000	2,93	5,33	33	11	50	4	18	76,4
ZV4P7 ($n_{1N} = 4500 \text{ min}^{-1}$, ($F_{f2acc,max} = 10 \text{ kN}$))																	
1,13	3,8	6,1	3,6	1,1	ZV418S_P732_0160 EZ505U	10	15	398	16,00	0,75	1,50	44	22	49	4	18	76,4
1,50	2,8	4,6	6,6	1,3	ZV418S_P732_0120 EZ505U	10	15	398	12,00	0,83	1,67	44	22	48	4	18	76,4
1,50	3,6	6,0	8,4	1,0	ZV418S_P732_0120 EZ703U	10	15	398	12,00	0,83	1,67	44	22	48	4	18	76,4
1,80	2,7	8,8	2,7	1,3	ZV418S_P731_0100 EZ802U	10	15	398	10,00	1,20	2,40	33	11	46	4	18	76,4
1,80	3,1	5,1	3,1	1,1	ZV418S_P731_0100 EZ703U	10	15	398	10,00	1,20	2,40	33	11	46	4	18	76,4
2,25	2,1	7,0	2,8	1,5	ZV418S_P731_0080 EZ802U	10	15	398	8,000	1,50	3,00	33	11	47	4	18	76,4
2,25	2,5	4,1	3,2	1,3	ZV418S_P731_0080 EZ703U	10	15	398	8,000	1,50	3,00	33	11	47	4	18	76,4
2,57	1,9	6,1	3,0	1,7	ZV418S_P731_0070 EZ802U	10	15	398	7,000	1,71	3,43	33	11	48	4	18	76,4
2,57	2,2	3,6	3,5	1,4	ZV418S_P731_0070 EZ703U	10	15	398	7,000	1,71	3,43	33	11	48	4	18	76,4
2,57	2,9	5,3	4,7	1,1	ZV418S_P731_0070 EZ705U	10	15	398	7,000	1,71	3,43	33	11	48	4	18	76,4
3,60	1,3	4,4	4,5	2,1	ZV418S_P731_0050 EZ802U	10	15	398	5,000	2,16	4,40	33	11	49	4	18	76,4
3,60	1,5	2,5	5,2	1,8	ZV418S_P731_0050 EZ703U	8,3	15	315	5,000	2,16	4,40	33	11	49	4	18	76,4
3,60	2,1	3,8	7,0	1,3	ZV418S_P731_0050 EZ705U	10	15	398	5,000	2,16	4,40	33	11	49	4	18	76,4
4,50	1,1	3,5	5,9	2,4	ZV418S_P731_0040 EZ802U	10	15	388	4,000	2,50	5,00	33	11	50	4	18	76,4
4,50	1,2	2,0	6,8	2,1	ZV418S_P731_0040 EZ703U	6,6	15	252	4,000	2,50	5,00	33	11	50	4	18	76,4
4,50	1,7	3,0	9,2	1,5	ZV418S_P731_0040 EZ705U	10	15	398	4,000	2,50	5,00	33	11	50	4	18	76,4
ZV4P7 ($n_{1N} = 6000 \text{ min}^{-1}$, ($F_{f2acc,max} = 10 \text{ kN}$))																	
0,34	5,9	7,7	0,6	1,0	ZV418S_P732_0700 EZ501U	10	15	398	70,00	0,21	0,40	44	22	48	4	18	76,4
0,43	4,7	6,1	0,8	1,2	ZV418S_P732_0560 EZ501U	10	15	398	56,00	0,26	0,50	44	22	47	4	18	76,4
0,48	4,2	5,5	0,7	1,3	ZV418S_P732_0500 EZ501U	10	15	398	50,00	0,30	0,56	44	22	49	4	18	76,4
0,60	3,4	4,4	1,0	1,5	ZV418S_P732_0400 EZ501U	10	15	398	40,00	0,37	0,70	44	22	48	4	18	76,4
0,69	3,0	3,8	0,9	1,6	ZV418S_P732_0350 EZ501U	10	15	398	35,00	0,42	0,80	44	22	49	4	18	76,4
0,69	4,5	6,8	1,4	1,1	ZV418S_P732_0350 EZ502U	10	15	398	35,00	0,42	0,80	44	22	49	4	18	76,4
0,69	4,5	6,9	1,4	1,1	ZV418S_P732_0350 EZ701U	10	15	398	35,00	0,42	0,80	44	22	49	4	18	76,4
0,75	2,7	3,5	1,1	1,7	ZV418S_P732_0320 EZ501U	10	15	398	32,00	0,38	0,75	44	22	47	4	18	76,4
0,75	4,1	6,2	1,6	1,1	ZV418S_P732_0320 EZ502U	10	15	398	32,00	0,38	0,75	44	22	47	4	18	76,4

v_{f2N} [m/s]	F_{f2N} [kN]	$F_{f2,0}$ [kN]	a_{th}	S	Typ	F_{f2accE} [kN]	$F_{f2NOT,E}$ [kN]	M_{2accE} [Nm]	i	$v_{f2maxDB}$ [m/s]	$v_{f2maxZB}$ [m/s]	Δs [μm]	Δs_{red} [μm]	C_{in} [N/μm]	m_n [mm]	z	d_0 [mm]
ZV4P7 ($n_{1N} = 6000 \text{ min}^{-1}$, ($F_{f2acc,max} = 10 \text{ kN}$))																	
0,75	4,1	6,3	1,6	1,1	ZV418S_P732_0320 EZ701U	10	15	398	32,00	0,38	0,75	44	22	47	4	18	76,4
0,86	2,4	3,1	1,0	1,9	ZV418S_P732_0280 EZ501U	10	15	398	28,00	0,53	1,00	44	22	49	4	18	76,4
0,86	3,6	5,4	1,5	1,2	ZV418S_P732_0280 EZ502U	10	15	398	28,00	0,53	1,00	44	22	49	4	18	76,4
0,86	3,6	5,5	1,5	1,2	ZV418S_P732_0280 EZ701U	10	15	398	28,00	0,53	1,00	44	22	49	4	18	76,4
0,86	4,3	7,4	1,8	1,0	ZV418S_P732_0280 EZ503U	10	15	398	28,00	0,53	1,00	44	22	49	4	18	76,4
0,96	2,1	2,7	1,1	2,0	ZV418S_P732_0250 EZ501U	9,9	15	380	25,00	0,56	1,12	44	22	49	4	18	76,4
0,96	3,2	4,8	1,7	1,3	ZV418S_P732_0250 EZ502U	10	15	398	25,00	0,56	1,12	44	22	49	4	18	76,4
0,96	3,2	4,9	1,7	1,3	ZV418S_P732_0250 EZ701U	10	15	398	25,00	0,56	1,12	44	22	49	4	18	76,4
0,96	3,9	6,6	2,0	1,1	ZV418S_P732_0250 EZ503U	10	15	398	25,00	0,56	1,12	44	22	49	4	18	76,4
1,20	1,7	2,2	1,3	2,4	ZV418S_P732_0200 EZ501U	8,0	15	304	20,00	0,60	1,20	44	22	49	4	18	76,4
1,20	2,6	3,9	1,9	1,5	ZV418S_P732_0200 EZ502U	10	15	398	20,00	0,60	1,20	44	22	49	4	18	76,4
1,20	2,6	3,9	1,9	1,5	ZV418S_P732_0200 EZ701U	9,9	15	380	20,00	0,60	1,20	44	22	49	4	18	76,4
1,20	3,1	5,3	2,3	1,3	ZV418S_P732_0200 EZ503U	10	15	398	20,00	0,60	1,20	44	22	49	4	18	76,4
1,20	3,6	7,1	2,7	1,1	ZV418S_P732_0200 EZ702U	10	15	398	20,00	0,60	1,20	44	22	49	4	18	76,4
1,50	1,4	1,8	1,4	2,8	ZV418S_P732_0160 EZ501U	6,4	15	243	16,00	0,75	1,50	44	22	49	4	18	76,4
1,50	2,1	3,1	2,2	1,8	ZV418S_P732_0160 EZ502U	10	15	398	16,00	0,75	1,50	44	22	49	4	18	76,4
1,50	2,1	3,1	2,2	1,8	ZV418S_P732_0160 EZ701U	8,0	15	304	16,00	0,75	1,50	44	22	49	4	18	76,4
1,50	2,5	4,2	2,6	1,5	ZV418S_P732_0160 EZ503U	10	15	398	16,00	0,75	1,50	44	22	49	4	18	76,4
1,50	2,9	5,7	3,0	1,3	ZV418S_P732_0160 EZ702U	10	15	398	16,00	0,75	1,50	44	22	49	4	18	76,4
2,40	1,3	2,0	1,5	2,4	ZV418S_P731_0100 EZ701U	5,1	15	194	10,00	1,20	2,40	33	11	46	4	18	76,4
2,40	1,8	3,6	2,0	1,7	ZV418S_P731_0100 EZ702U	10	15	398	10,00	1,20	2,40	33	11	46	4	18	76,4
3,00	1,1	1,6	1,5	2,8	ZV418S_P731_0080 EZ701U	4,1	15	155	8,000	1,50	3,00	33	11	47	4	18	76,4
3,00	1,5	2,9	2,1	2,0	ZV418S_P731_0080 EZ702U	8,3	15	318	8,000	1,50	3,00	33	11	47	4	18	76,4
3,43	0,9	1,4	1,6	3,1	ZV418S_P731_0070 EZ701U	3,6	15	136	7,000	1,71	3,43	33	11	48	4	18	76,4
3,43	1,3	2,5	2,3	2,2	ZV418S_P731_0070 EZ702U	7,3	15	278	7,000	1,71	3,43	33	11	48	4	18	76,4

8.3 Maßzeichnungen

In diesem Kapitel finden Sie die Abmessungen der Zahnstangentriebe mit Synchron-Servomotoren EZ.

Das Maß az in den Maßtabellen gilt für Atlanta Zahnstangen. Allgemein gilt: $az = \frac{1}{2} d_0 + h_0 + x \cdot mn$

Das Ritzel des Zahnstangentriebs ist schrägverzahnt (linkssteigend 19° 31' 42"). Die Ritzelverzahnungsqualität ist 5.

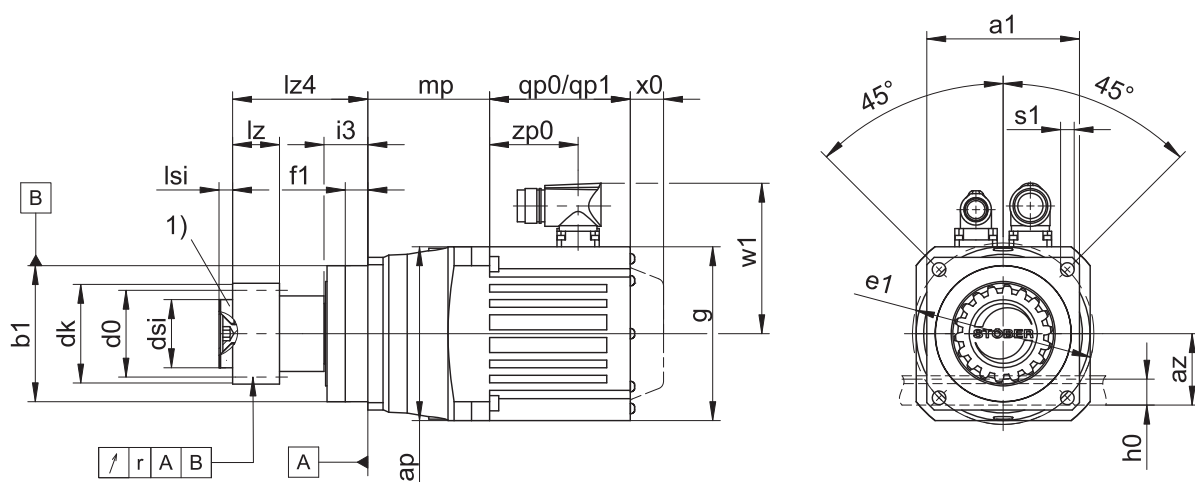
Maße können aufgrund von Gusstoleranzen bzw. Aufsummieren der Einzeltoleranzen die Vorgaben der ISO 2768-mK überschreiten.

Maßänderungen durch technische Weiterentwicklung behalten wir uns vor.

3D-Modelle unserer Standardantriebe können Sie unter <https://configurator.stoeber.de/de-DE/> herunterladen.

Kombinationsmöglichkeiten und Maße für fremdbelüftete Getriebemotoren finden Sie ebenfalls unter <https://configurator.stoeber.de/de-DE/>.

8.3.1 Ritzelposition E



qp0 Gilt für Motoren ohne Bremse.

x0 Gilt für Encoder mit optischem Messprinzip.

1) Axiale Sicherung (Option)

qp1 Gilt für Motoren mit Bremse.

w1 Abweichend bei One Cable Solution (OCS) siehe Kapitel [13.4](#)

- Die Rundlaufangabe gilt nur für die verstärkte Lagerung D.

Maße Getriebe

Typ	mn	a1	az	Øb1	Ød0	Ødk	Ødsi	Øe1	f1	h0	i3	lz	lz4	lsi	r	Øs1	x
ZV216SEP3_	2	72	39,98	60 _{h6}	33,95	39,81	25	75	7,5	22	18	26	49,5	4	0,025	5,5	0,5
ZV220SEP4_	2	76	44,02	70 _{h6}	42,44	47,90	30	85	7,5	22	18	26	57,5	6	0,025	6,6	0,4
ZV225SEP5_	2	101	49,33	90 _{h6}	53,05	58,52	45	120	15,0	22	28	26	89,5	8	0,030	9,0	0,4
ZV318SEP5_	3	101	55,55	90 _{h6}	57,30	65,01	45	120	15,0	26	28	31	89,5	8	0,030	9,0	0,3
ZV322SEP7_	3	144	62,21	130 _{h6}	70,03	78,35	55	165	3,5	26	28	31	113,5	10	0,035	11,0	0,4
ZV418SEP7_	4	144	74,40	130 _{h6}	76,40	86,77	55	165	3,5	35	28	41	113,5	10	0,035	11,0	0,3

Maße Motoren

Typ	□g	qp0	qp1	w1	x0	zp0
EZ202U	55	141	150,0	47,0	25	86,0
EZ203U	55	159	168,0	47,0	25	104,0
EZ301U	72	90	130,0	55,5	21	54,5
EZ302U	72	112	152,0	55,5	21	76,5
EZ303U	72	134	174,0	55,5	21	98,5
EZ401U	98	98	146,5	91,0	22	56,0
EZ402U	98	123	171,5	91,0	22	81,0
EZ404U	98	173	221,5	91,0	22	131,0
EZ501U	115	93	147,5	100,0	22	58,5
EZ502U	115	118	172,5	100,0	22	83,5
EZ503U	115	143	197,5	100,0	22	108,5
EZ505U	115	193	247,5	100,0	22	158,5
EZ701U	145	102	161,0	115,0	22	64,0
EZ702U	145	127	186,0	115,0	22	89,0
EZ703U	145	152	211,0	115,0	22	114,0
EZ705U	145	207	266,0	134,0	22	165,0
EZ802U	190	197	274,0	156,5	22	143,0
EZ803U	190	238	315,0	156,5	22	184,0
EZ805U	190	320	397,0	156,5	22	266,0

Maße Getriebemotoren

Typ	EZ2		EZ3		EZ4		EZ5		EZ7		EZ8	
	ap	mp	ap	mp	ap	mp	ap	mp	ap	mp	ap	mp
ZV_P331_	-	-	□72	68,5	□98	65,0	-	-	-	-	-	-
ZV_P332_	∅75	89,5	∅75	103,0	-	-	-	-	-	-	-	-
ZV_P431_	-	-	-	-	□98	80,5	□115	80,0	-	-	-	-
ZV_P432_	-	-	∅100	117,5	∅100	114,0	-	-	-	-	-	-
ZV_P531_	-	-	-	-	-	-	□115	80,5	□145	83,5	-	-
ZV_P532_	-	-	-	-	∅120	122,5	∅120	122,0	-	-	-	-
ZV_P731_	-	-	-	-	-	-	-	-	□158	100,5	□190	110,5
ZV_P732_	-	-	-	-	-	-	∅150	148,5	∅150	151,5	-	-

Maße Getriebemotoren

Typ	EZ2		EZ3		EZ4		EZ5		EZ7		EZ8	
	ap	mp	ap	mp	ap	mp	ap	mp	ap	mp	ap	mp
ZV_P331_	-	-	□72	68,5	□98	65,0	-	-	-	-	-	-
ZV_P332_	∅75	89,5	∅75	103,0	-	-	-	-	-	-	-	-
ZV_P431_	-	-	-	-	□98	80,5	□115	80,0	-	-	-	-
ZV_P432_	-	-	∅100	117,5	∅100	114,0	-	-	-	-	-	-
ZV_P531_	-	-	-	-	-	-	□115	80,5	□145	83,5	-	-
ZV_P532_	-	-	-	-	∅120	122,5	∅120	122,0	-	-	-	-
ZV_P731_	-	-	-	-	-	-	-	-	□158	100,5	□190	110,5
ZV_P732_	-	-	-	-	-	-	∅150	148,5	∅150	151,5	-	-

8.4 Typenbezeichnung

In diesem Kapitel finden Sie die Erklärung der Typenbezeichnung mit den zugehörigen Optionen.

Weitere Bestellangaben, die nicht in der Typenbezeichnung vorkommen, finden Sie am Ende des Kapitels.

Beispiel-Code

Z	V	3	22	S	S	P	7	3	1	S	P	S	S	0050	EZ802U
---	---	---	----	---	---	---	---	---	---	---	---	---	---	------	--------

Erklärung

Code	Bezeichnung	Ausführung
Z	Typ	Zahnstangentrieb
V	Ausführung	Aufsteckritzel
3	Modul	$m_n = 3$ (Beispiel)
22	Zähnezahl	$z = 22$ (Beispiel)
S	Verzahnung	Schrägverzahnt (linkssteigend 19° 31' 42")
E	Ritzelposition	Wellenende
S		Wellenschulter
P	Typ	Planetengetriebe
7	Größe	7 (Beispiel)
3	Generation	Generation 3
1	Stufen	1-stufig
2		2-stufig
S	Gehäuse	Standard
P	Welle	Vollwelle mit Passfeder
S	Lager	Standardlagerung
D		Axial verstärkte Lagerung
S	Drehspiel	Standard
R		Reduziert
0050	Übersetzungskennzahl ($i \times 10$)	$i = 5$ (Beispiel)
EZ802U	Motor	Synchron-Servomotor EZ

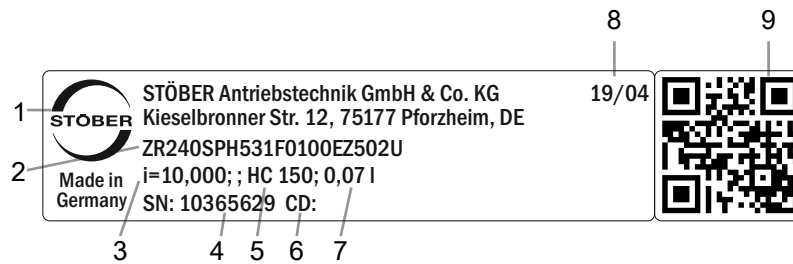
Um die Typenbezeichnung zu vervollständigen, geben Sie bei Ihrer Bestellung zusätzlich an:

- Eine detaillierte Typenbezeichnung des Motors, siehe Kapitel [\[13 \]](#)
- Radialwellendichtringe am Abtrieb aus NBR oder FKM (Option), siehe Kapitel [\[8.6.2 \]](#)
- Position der Steckverbinder, siehe Kapitel [\[8.5.5 \]](#)
- Axiale Sicherung (Option), siehe Kapitel [\[8.3 \]](#)
- Reversierbetrieb der Abtriebswelle von $\pm 20^\circ$ bis $\pm 90^\circ$ bei horizontalem Einbau auf Anfrage

In diesem Katalog finden Sie alle Informationen zu Zahnstangentrieben mit Synchron-Servomotoren EZ. Alle auf Anfrage erhältlichen Eintriebsoptionen finden Sie im Kapitel [\[8.5.1 \]](#).

8.4.1 Typenschild

In folgender Abbildung ist das Typenschild eines Getriebemotors als Beispiel erläutert.



Code	Bezeichnung
1	Herstellerbezeichnung
2	Typenbezeichnung
3	Übersetzung des Getriebes
4	Seriennummer des Getriebes
5	Schmierstoffspezifikation
6	Kundenspezifische Daten
7	Schmierstofffüllmenge
8	Herstellungsdatum (Jahr/Kalenderwoche)
9	QR-Code (Link zu Produktinformationen)

8.4.1.1 Mitgeltende Dokumente

Mitgeltende Dokumente für das Produkt können Sie ansehen oder herunterladen, wenn Sie die Seriennummer auf dem Typenschild des Produkts ablesen und sie im Internet unter folgender Adresse eingeben:

<https://id.stober.com>

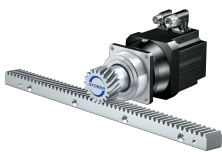
Alternativ können Sie mit einem geeigneten Mobilgerät den QR-Code auf dem Typenschild des Produkts einscannen, um dadurch zu den mitgeltenden Dokumenten verlinkt zu werden.

8.5 Produktbeschreibung

8.5.1 Eintriebsoptionen

In diesem Kapitel finden Sie alle verfügbaren Eintriebsoptionen:

Synchron-Servomotor
EZ



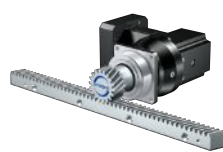
Katalog ID 443286_de

Motoradapter



Katalog ID 443137_de

Winkleintrieb KX mit
Motoradapter MF



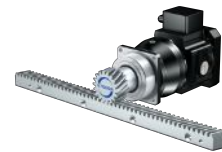
Auf Anfrage

Winkleintrieb K mit
Motoradapter ME



Auf Anfrage

Motoradapter MB



Auf Anfrage

Lean-Motor LM



Auf Anfrage

Die entsprechenden Kataloge finden Sie unter <http://www.stober.de/de/downloads/>

Geben Sie im Feld Suchbegriff die ID des Katalogs ein.

8.5.2 Zahnstange

Die im Kapitel Auswahltabellen angegebenen technischen Daten gelten nur für Zahnstangenpaarungen mit folgenden Eigenschaften:

Das Ritzel des Zahnstangentriebs ist einsatzgehärtet und schrägverzahnt (linkssteigend $19^{\circ} 31' 42''$). Die Ritzelverzahnungsqualität ist 6.

Die entsprechende Zahnstange muss rechtssteigend ($19^{\circ} 31' 42''$) sein und folgende Eigenschaften besitzen:

Modul m_n [mm]	Mindestqualität Zahnstange	Werkstoff Zahnstange
2 – 4	8	C45 induktiv gehärtet

Beachten Sie zusätzlich die Projektierung der Zahnstange auf den Atlanta-Seiten.

8.5.2.1 Ritzelposition

Das Ritzel kann in zwei verschiedenen Anbaupositionen auf der Welle befestigt werden:

- Verzahnung bündig mit Wellenende (Pos. E)
- Verzahnung bündig mit Wellenschulter (Pos. S: Höhere zulässige Vorschubkräfte, siehe Kapitel Auswahltabellen)

Bitte geben Sie die gewünschte Anbauposition bei der Bestellung an.

8.5.3 Einbaubedingungen

Die angegebenen Drehmomente und Kräfte gelten nur bei einer maschinenseitigen Befestigung der Getriebe mit Schrauben der Festigkeitsklasse 12.9. Zusätzlich müssen die Getriebegehäuse am Passrand eingepasst werden. Die maschinenseitige Passung muss H7 sein.

8.5.4 Schmierstoffe

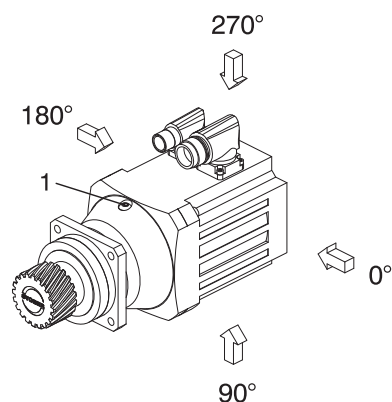
STÖBER füllt die Getriebe mit der auf dem Typenschild angegebenen Menge und Art des Schmierstoffs.

Schmierstoffe für den Einsatz in der Lebensmittelindustrie erhalten Sie auf Anfrage.

8.5.4.1 Schmierung Zahnstangentrieb

Stellen Sie eine permanente Schmierung des Zahnstangentriebs, mit den im Atlanta-Katalog vorgeschriebenen Schmierstoffen, sicher.

8.5.5 Position der Steckverbinder



Im Standard werden die Steckverbinder in der 270°-Position angebaut (bezogen auf die Ölablassschraube (1) des Planetengetriebes). Geben Sie Abweichungen für Ihren Zahnstangentrieb bei der Bestellung an.

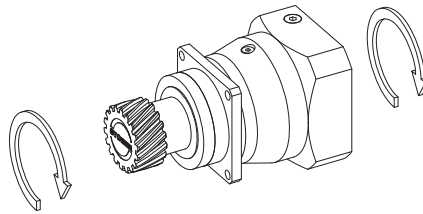
Beachten Sie, dass sich die Steckverbinder mitdrehen, wenn die Zahnstange in eine andere Position gedreht wird.

8.5.6 Weitere Produktmerkmale

Merkmal	Wert
Max. zul. Getriebetemperatur (an der Getriebeoberfläche)	≤ 90 °C
Lackierung	Schwarz RAL 9005
(ATEX-) Richtlinie 2014/34/EU (Option)	Nicht geeignet.
Schutzart: ¹	
Planetengetriebe	IP65
Motor	IP56, optional IP66
Ritzel/Zahnstange	IPXX

8.5.7 Drehrichtung

Ein- und Abtrieb drehen sich gleichsinnig.



8.6 Projektierung

Projektieren Sie Ihre Antriebe mit unserer Auslegungssoftware SERVOSOFT. Laden Sie SERVOSOFT kostenlos unter <https://www.stoeber.de/de/ServoSoft> herunter.

Dies ist die komfortabelste und sicherste Methode der Antriebsauswahl, da hier der komplette Drehmoment-Drehzahl-Verlauf der Anwendung in der Kennlinie des Getriebemotors dargestellt und beurteilt wird.

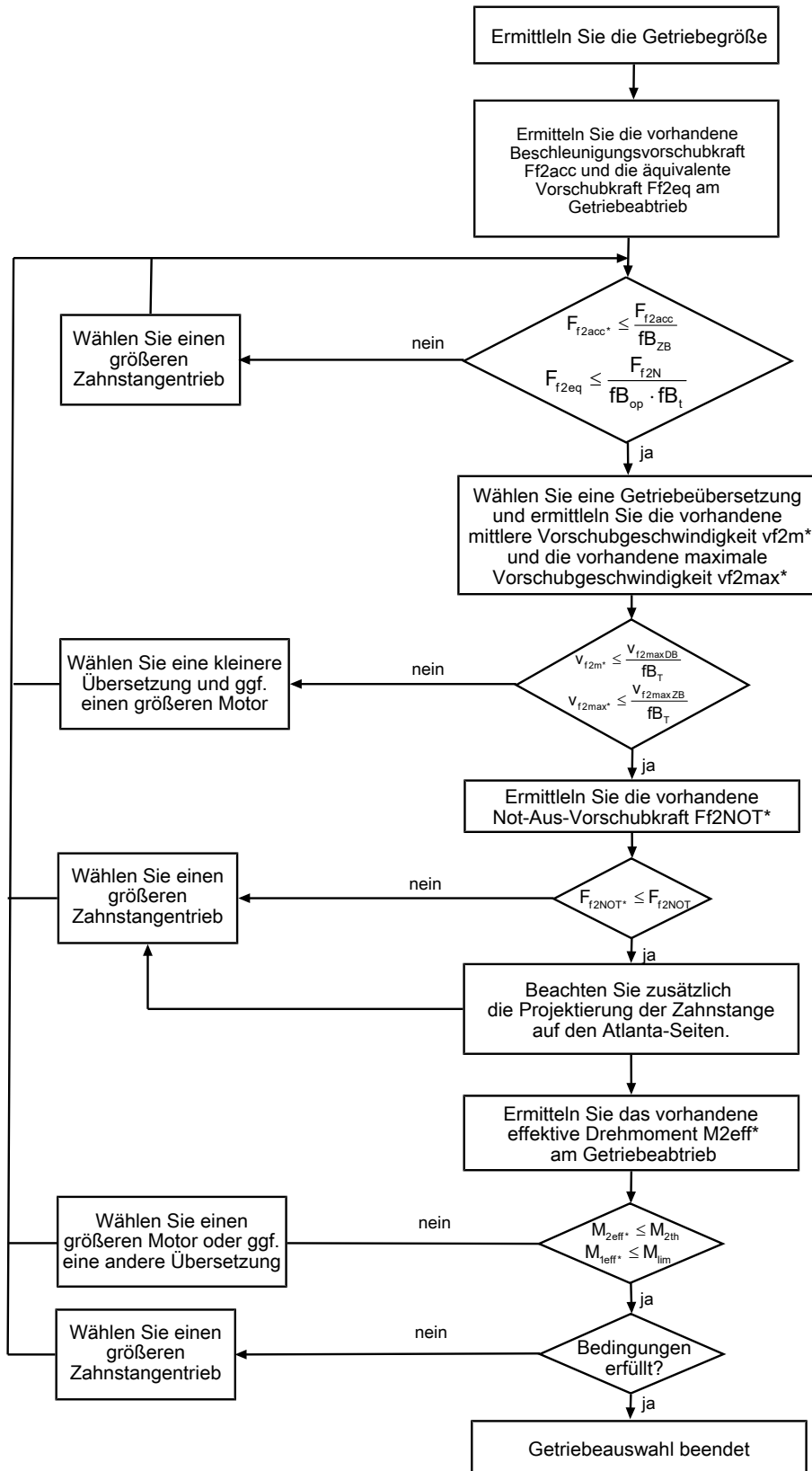
In diesem Kapitel können für die manuelle Antriebsauswahl nur Grenzwertbetrachtungen für konkrete Arbeitspunkte gemacht werden.

Die Formelzeichen für tatsächlich in der Anwendung vorhandene Werte sind mit einem * gekennzeichnet.

Die Erklärung der Formelzeichen finden Sie im Kapitel [\[15.1 \]](#).

¹ Beachten Sie die Schutzart aller Komponenten.

8.6.1 Antriebsauswahl

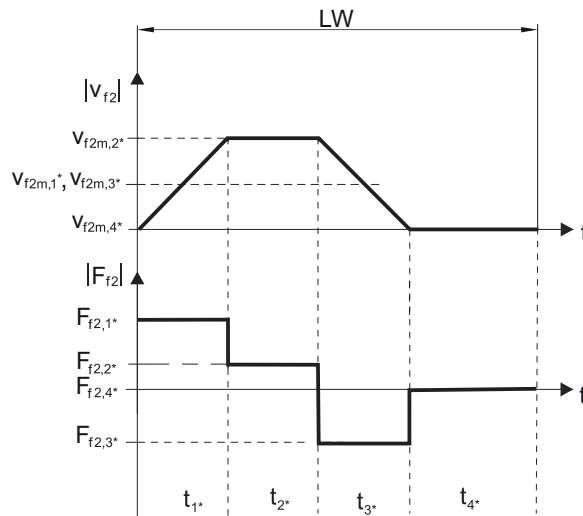


Entnehmen Sie die Werte für i , $v_{f2maxDB}$, $v_{f2maxZB}$, F_{f2acc} , F_{f2N} und F_{f2NOT} den Auswahltabellen.

Entnehmen Sie die Werte für fb_T , fb_{op} , fb_t und fb_{zb} den jeweiligen Tabellen in diesem Kapitel.

Beispiel Zyklusbetrieb

Die nachfolgenden Berechnungen beziehen sich auf eine Darstellung der am Abtrieb abgenommenen Leistung gemäß folgendem Beispiel:

**Berechnung der vorhandenen maximalen Beschleunigungsvorschubkraft**

$$F_{f2acc*} = m \cdot a^* + F_{L*}$$

Berechnung der vorhandenen mittleren Eintriebsdrehzahl

$$n_{1m*} = \frac{v_{f2m*} \cdot i}{d_0 \cdot \pi}$$

$$v_{f2m*} = \frac{|v_{f2m,1*}| \cdot t_{1*} + \dots + |v_{f2m,n*}| \cdot t_{n*}}{t_{1*} + \dots + t_{n*}}$$

Wenn $t_{1*} + \dots + t_{3*} \geq 6$ min, ermitteln Sie v_{2m*} ohne die Pause t_{4*} .

Entnehmen Sie die Werte für die Übersetzung i den Auswahltabellen.

Berechnung der vorhandenen Not-Aus-Vorschubkraft

$$F_{f2NOT*} = m \cdot a_{NOT*} + F_{L*}$$

Berechnung der vorhandenen äquivalenten Vorschubkraft

$$F_{f2eq*} = \sqrt[3]{\frac{|v_{f2m,1*}| \cdot t_{1*} \cdot |F_{f2,1*}|^3 + \dots + |v_{f2m,n*}| \cdot t_{n*} \cdot |F_{f2,n*}|^3}{|v_{f2m,1*}| \cdot t_{1*} + \dots + |v_{f2m,n*}| \cdot t_{n*}}}$$

Berechnung des thermischen Grenzmoments

Berechnen Sie für eine Einschaltdauer $ED_{10} > 50$ % das thermische Grenzmoment M_{2th} für die vorhandene mittlere Eintriebsdrehzahl n_{1m*} . (Bei $K_{mot,th} \leq 0$ müssen Sie die mittlere Eintriebsdrehzahl n_{1m*} entsprechend reduzieren oder eine andere Baugröße des Getriebemotors wählen.)

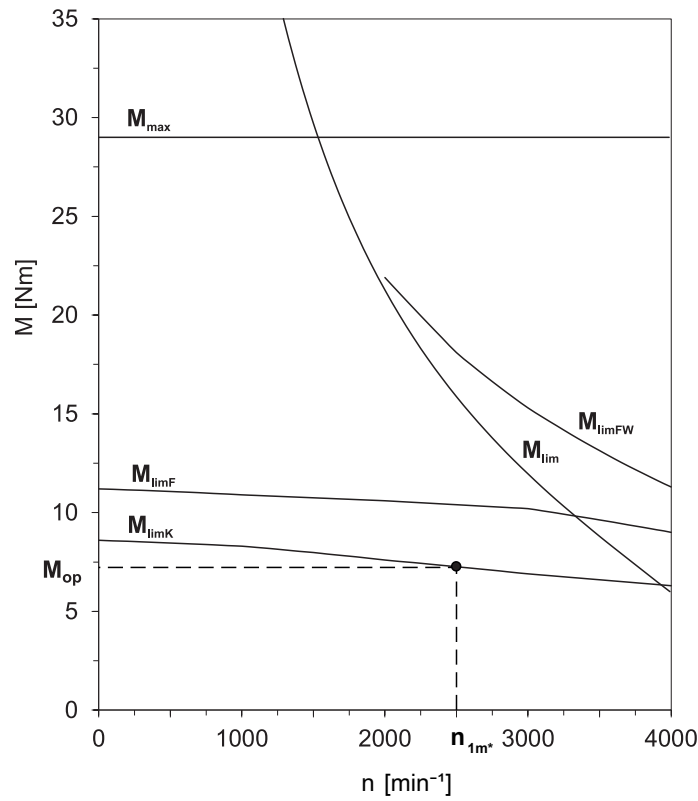
$$M_{2th} = M_{op} \cdot i \cdot K_{mot,th}$$

$$K_{mot,th} = 0,95 - \frac{a_{th}}{1000} \cdot fB_T \cdot \left(\frac{n_{1m*}}{1000} \right)^3$$

Entnehmen Sie die Werte für i und a_{th} den Auswahltabellen.

Entnehmen Sie die Werte für fB_T der entsprechenden Tabelle in diesem Kapitel.

Entnehmen Sie der Motorkennlinie im Kapitel [13.3](#) den Wert für das Drehmoment des Motors im Arbeitspunkt M_{op} bei der ermittelten mittleren Eintriebsdrehzahl n_{1m*} . Beachten Sie dabei die Baugröße, Nenn-drehzahl n_n und Kühlungsart des Motors. Die nachfolgende Abbildung stellt ein Beispiel für das Ablesen des Drehmoments M_{op} eines Motors mit Konvektionskühlung im Arbeitspunkt dar.



Berechnung des vorhandenen effektiven Drehmoments

$$M_{2eff*} = \sqrt{\frac{t_{1*} \cdot M_{2,1*}^2 + \dots + t_{n*} \cdot M_{2,n*}^2}{t_{1*} + \dots + t_{n*}}}$$

$$M_{2,n*} = \frac{F_{f2,n*} \cdot d_0}{2}$$

$$M_{1eff*} = \frac{M_{2eff*}}{i \cdot \eta}$$

Betriebsfaktoren

Betriebsart		fB _{op}
Gleichmäßiger Dauerbetrieb		1,00
Zyklusbetrieb		1,00
Zyklusbetrieb reversierende Last		1,00
Laufzeit		fB _t
Tägliche Laufzeit ≤ 8 h		1,00
Tägliche Laufzeit ≤ 16h		1,15
Tägliche Laufzeit ≤ 24 h		1,20
Zyklusbetrieb		fB _{ZB}
≤ 1000 Lastwechsel/Stunde (LW/h)		1,00
> 1000 Lastwechsel/Stunde (LW/h)		1,15
Temperatur		fB _T
Motorkühlung	Umgebungstemperatur	
Motor mit Fremdbelüftung	≤ 20 °C	0,9
	≤ 30 °C	1,0
	≤ 40 °C	1,15
Motor mit Konvektionskühlung	≤ 20 °C	1,0
	≤ 30 °C	1,1
	≤ 40 °C	1,25

Hinweise

- Die maximal zulässige Getriebetemperatur (siehe Kapitel Weitere Produktmerkmale) darf nicht überschritten werden, da dies zu Beschädigungen führen kann.
- Beachten Sie bei Bremsungen aus voller Drehzahl (z. B. bei einem Spannungsausfall oder beim Einrichten der Maschine) die zulässigen Getriebevorschubkräfte (F_{f2acc} , F_{f2NOT}) in den Auswahltabellen.

8.6.2 Empfehlung Radialwellendichtringe

Für eine Einschaltdauer > 60 % und bei höheren Umgebungstemperaturen empfehlen wir am Abtrieb Radialwellendichtringe aus FKM.

Eigenschaften:

- Hervorragende Temperaturbeständigkeit
- Hohe chemische Stabilität
- Sehr gute Alterungsbeständigkeit
- Hervorragende Beständigkeit in Ölen und Fetten
- Einsatz in der Lebensmittel-, Pharma- und Getränkeindustrie

Leckagesicherheit

Unsere Getriebe sind mit hochwertigen Radialwellendichtringen ausgestattet und auf Dichtheit geprüft. Eine Leckage kann über die Gebrauchsdauer der Getriebe trotzdem nicht völlig ausgeschlossen werden. Wenn Sie die Getriebe mit schmierstoffunverträglichen Gütern einsetzen, müssen Sie Maßnahmen ergreifen, die einen direkten Kontakt mit dem Getriebeschmierstoff im Falle einer Leckage verhindern.

8.7 Weitere Dokumentation

Weitere, das Produkt betreffende Dokumentationen finden Sie unter

<http://www.stoeber.de/de/downloads/>

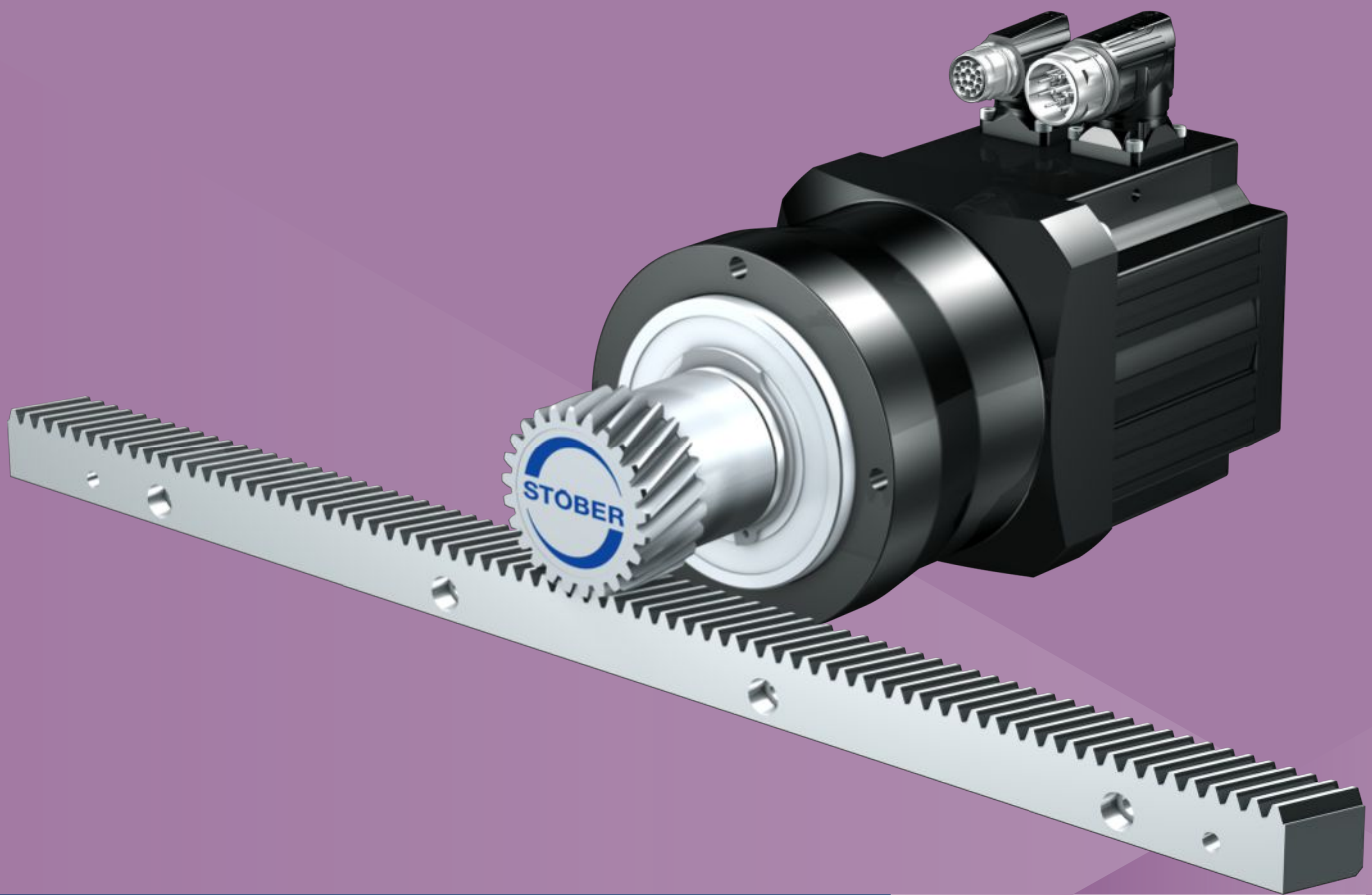
Geben Sie im Feld Suchbegriff die ID der Dokumentation ein.

Dokumentation	ID
Betriebsanleitung Getriebe, Getriebemotoren P23 – P93	443356_de
Betriebsanleitung Synchron-Servomotoren EZ	443032_de
Betriebsanleitung Zahnstangen (Atlanta)	442455

9 Zahnstangentriebe ZVPE

Inhaltsverzeichnis

9.1	Übersicht	154
9.2	Auswahltabellen	155
9.3	Maßzeichnungen	158
9.3.1	Ritzelposition E	159
9.3.2	Ritzelposition S	160
9.4	Typenbezeichnung	161
9.4.1	Typenschild	162
9.5	Produktbeschreibung	162
9.5.1	Eintriebsoptionen	162
9.5.2	Zahnstange	163
9.5.3	Einbaubedingungen	163
9.5.4	Schmierstoffe	163
9.5.5	Weitere Produktmerkmale	163
9.5.6	Drehrichtung	163
9.6	Projektierung	164
9.6.1	Antriebsauswahl	165
9.6.2	Radialwellendichtringe	168
9.7	Weitere Dokumentation	168



9 Zahnstangentriebe

ZVPE

9.1 Übersicht

Kostengünstige Planetengetriebemotoren mit Aufsteckritzel

Merkmale

Leistungsdichte	★★★★☆
Lineares Spiel	★★★★☆
Preisklasse	€
Laufruhe	★★★★☆
Lineare Steifigkeit	★★★★☆
Massenträgheitsmoment	★★★★☆
Einbaufertige Antriebslösung	✓
Ritzel Verzahnungsqualität 6 (DIN 3962)	✓
Schrägverzahnung	✓
Einsatzgehärtet und geschliffen	✓
Kompakt und hochdynamisch durch Motordirektanbau	✓

Legende ★☆☆☆☆ gut | ★★★★★ hervorragend
 € Economy | €€€€€ Premium

Technische Daten

m_n	2 – 3 mm
z	16 – 25
F_{f2acc}	0,48 – 6,1 kN
V_{f2N}	0,13 – 4,5 m/s
Δs	40 – 83 μm

9.2 Auswahltabellen

Die in den Auswahltabellen angegebenen technischen Daten gelten für:

- Spannungsfreien Einbau
- Permanente Schmierung mit den im Atlanta-Katalog vorgeschriebenen Schmierstoffen
- Werkstoffpaarungen entsprechend Kapitel [▶ 9.5.2](#)
- Aufstellhöhen bis 1000 m über Normalnull
- Umgebungstemperaturen von 0° C bis 40° C
- Ohne Berücksichtigung der thermischen Grenzleistung
- Antriebe mit konvektionsgekühlten Motoren (z. B. EZ401U)

Die technischen Daten für Antriebe mit fremdbelüfteten (z. B. EZ401B) Motoren finden Sie unter

<https://configurator.stoeber.de/de-DE/>

Alle weiteren technischen Daten finden Sie unter <https://configurator.stoeber.de/de-DE/>.

Die Erklärung der Formelzeichen finden Sie im Kapitel [▶ 15.1](#).

v_{fzN} [m/s]	F_{fzN} [kN]	$F_{fz,0}$ [kN]	a_{th}	S	Typ	F_{fzaccE} [kN]	$F_{fzNOT,E}$ [kN]	M_{zaccE} [Nm]	i	$v_{fzmaxDB}$ [m/s]	$v_{fzmaxZB}$ [m/s]	Δs [µm]	C_{lin} [N/µm]	m_n [mm]	z	d_0 [mm]
ZV2PE3 ($n_{fN} = 3000 \text{ min}^{-1}$, ($F_{fzacc,max} = 1,9 \text{ kN}$))																
0,21	1,3	1,3	3,6	1,1	ZV216S_PE322_0250 EZ301U	1,9	3,4	32	25,00	0,28	0,57	49	6,4	2	16	34,0
0,27	1,0	1,1	4,0	1,3	ZV216S_PE322_0200 EZ301U	1,9	3,4	32	20,00	0,36	0,71	49	6,4	2	16	34,0
0,33	0,8	0,9	4,5	1,5	ZV216S_PE322_0160 EZ301U	1,9	3,4	32	16,00	0,44	0,89	49	6,4	2	16	34,0
0,53	0,5	0,5	0,7	2,0	ZV216S_PE321_0100 EZ301U	1,6	3,4	27	10,00	0,71	1,24	40	6,3	2	16	34,0
0,53	0,9	1,0	1,2	1,2	ZV216S_PE321_0100 EZ302U	1,9	3,4	32	10,00	0,71	1,24	40	6,3	2	16	34,0
0,76	0,4	0,4	1,1	2,6	ZV216S_PE321_0070 EZ301U	1,1	3,4	19	7,000	1,02	1,78	40	6,4	2	16	34,0
0,76	0,6	0,7	1,8	1,5	ZV216S_PE321_0070 EZ302U	1,9	3,4	32	7,000	1,02	1,78	40	6,4	2	16	34,0
0,76	0,8	0,9	2,4	1,2	ZV216S_PE321_0070 EZ303U	1,9	3,4	32	7,000	1,02	1,78	40	6,4	2	16	34,0
1,07	0,3	0,3	1,7	3,2	ZV216S_PE321_0050 EZ301U	0,8	3,4	14	5,000	1,32	2,49	40	6,5	2	16	34,0
1,07	0,5	0,5	2,9	1,9	ZV216S_PE321_0050 EZ302U	1,4	3,4	24	5,000	1,32	2,49	40	6,5	2	16	34,0
1,07	0,6	0,6	3,7	1,5	ZV216S_PE321_0050 EZ303U	1,9	3,4	32	5,000	1,32	2,49	40	6,5	2	16	34,0
1,07	0,8	0,9	5,1	1,1	ZV216S_PE321_0050 EZ401U	1,9	3,4	32	5,000	1,32	2,49	40	6,5	2	16	34,0
1,33	0,2	0,2	2,3	3,8	ZV216S_PE321_0040 EZ301U	0,6	3,4	11	4,000	1,64	3,11	40	6,4	2	16	34,0
1,33	0,4	0,4	3,9	2,2	ZV216S_PE321_0040 EZ302U	1,1	3,4	19	4,000	1,64	3,11	40	6,4	2	16	34,0
1,33	0,5	0,5	5,1	1,7	ZV216S_PE321_0040 EZ303U	1,6	3,4	27	4,000	1,64	3,11	40	6,4	2	16	34,0
1,33	0,6	0,7	6,9	1,3	ZV216S_PE321_0040 EZ401U	1,9	3,4	32	4,000	1,64	3,11	40	6,4	2	16	34,0
1,78	0,2	0,2	3,7	4,6	ZV216S_PE321_0030 EZ301U	0,5	3,4	8,1	3,000	2,07	3,56	40	6,2	2	16	34,0
1,78	0,3	0,3	6,3	2,7	ZV216S_PE321_0030 EZ302U	0,9	3,4	15	3,000	2,07	3,56	40	6,2	2	16	34,0
1,78	0,4	0,4	8,2	2,1	ZV216S_PE321_0030 EZ303U	1,2	3,4	20	3,000	2,07	3,56	40	6,2	2	16	34,0
1,78	0,5	0,5	11	1,5	ZV216S_PE321_0030 EZ401U	1,5	3,4	25	3,000	2,07	3,56	40	6,2	2	16	34,0
ZV2PE3 ($n_{fN} = 6000 \text{ min}^{-1}$, ($F_{fzacc,max} = 1,9 \text{ kN}$))																
0,27	0,9	1,0	1,5	1,2	ZV216S_PE322_0400 EZ202U	1,9	3,4	32	40,00	0,20	0,36	49	6,3	2	16	34,0
0,31	0,8	0,9	1,6	1,4	ZV216S_PE322_0350 EZ202U	1,9	3,4	32	35,00	0,20	0,41	49	6,4	2	16	34,0
0,38	0,6	0,7	1,8	1,8	ZV216S_PE322_0280 EZ202U	1,9	3,4	32	28,00	0,25	0,51	49	6,4	2	16	34,0
0,38	1,0	1,1	2,8	1,2	ZV216S_PE322_0280 EZ203U	1,9	3,4	32	28,00	0,25	0,51	49	6,4	2	16	34,0
0,43	0,6	0,6	1,9	2,0	ZV216S_PE322_0250 EZ202U	1,9	3,4	32	25,00	0,28	0,57	49	6,4	2	16	34,0
0,43	0,9	1,0	2,9	1,3	ZV216S_PE322_0250 EZ203U	1,9	3,4	32	25,00	0,28	0,57	49	6,4	2	16	34,0
0,53	0,4	0,5	2,2	2,4	ZV216S_PE322_0200 EZ202U	1,7	3,4	28	20,00	0,36	0,71	49	6,4	2	16	34,0
0,53	0,7	0,8	3,3	1,6	ZV216S_PE322_0200 EZ203U	1,9	3,4	32	20,00	0,36	0,71	49	6,4	2	16	34,0
0,53	1,0	1,1	4,8	1,1	ZV216S_PE322_0200 EZ301U	1,9	3,4	32	20,00	0,36	0,71	49	6,4	2	16	34,0
0,67	0,4	0,4	2,4	2,8	ZV216S_PE322_0160 EZ202U	1,3	3,4	22	16,00	0,44	0,89	49	6,4	2	16	34,0
0,67	0,5	0,6	3,7	1,8	ZV216S_PE322_0160 EZ203U	1,9	3,4	32	16,00	0,44	0,89	49	6,4	2	16	34,0
0,67	0,8	0,9	5,4	1,3	ZV216S_PE322_0160 EZ301U	1,9	3,4	32	16,00	0,44	0,89	49	6,4	2	16	34,0
1,07	0,5	0,5	0,9	1,7	ZV216S_PE321_0100 EZ301U	1,6	3,4	27	10,00	0,71	1,24	40	6,3	2	16	34,0
1,07	0,9	1,0	1,4	1,0	ZV216S_PE321_0100 EZ302U	1,9	3,4	32	10,00	0,71	1,24	40	6,3	2	16	34,0
1,52	0,4	0,4	1,3	2,2	ZV216S_PE321_0070 EZ301U	1,1	3,4	19	7,000	1,02	1,78	40	6,4	2	16	34,0
1,52	0,6	0,7	2,2	1,3	ZV216S_PE321_0070 EZ302U	1,9	3,4	32	7,000	1,02	1,78	40	6,4	2	16	34,0
2,13	0,3	0,3	2,0	2,7	ZV216S_PE321_0050 EZ301U	0,8	3,4	14	5,000	1,32	2,49	40	6,5	2	16	34,0
2,13	0,4	0,5	3,4	1,6	ZV216S_PE321_0050 EZ302U	1,4	3,4	24	5,000	1,32	2,49	40	6,5	2	16	34,0
2,13	0,6	0,6	4,5	1,2	ZV216S_PE321_0050 EZ303U	1,9	3,4	32	5,000	1,32	2,49	40	6,5	2	16	34,0
2,13	0,7	0,8	5,2	1,0	ZV216S_PE321_0050 EZ401U	1,9	3,4	32	5,000	1,32	2,49	40	6,5	2	16	34,0
2,67	0,2	0,2	2,8	3,1	ZV216S_PE321_0040 EZ301U	0,6	3,4	11	4,000	1,64	3,11	40	6,4	2	16	34,0
2,67	0,3	0,4	4,7	1,9	ZV216S_PE321_0040 EZ302U	1,1	3,4	19	4,000	1,64	3,11	40	6,4	2	16	34,0
2,67	0,4	0,5	6,1	1,4	ZV216S_PE321_0040 EZ303U	1,6	3,4	27	4,000	1,64	3,11	40	6,4	2	16	34,0
2,67	0,5	0,6	7,1	1,2	ZV216S_PE321_0040 EZ401U	1,9	3,4	32	4,000	1,64	3,11	40	6,4	2	16	34,0
3,56	0,2	0,2	4,5	3,8	ZV216S_PE321_0030 EZ301U	0,5	3,4	8,1	3,000	2,07	3,56	40	6,2	2	16	34,0
3,56	0,3	0,3	7,5	2,2	ZV216S_PE321_0030 EZ302U	0,9	3,4	15	3,000	2,07	3,56	40	6,2	2	16	34,0

9.2 Auswahltabellen 9 Zahnstangentriebe ZVPE

v_{fzN} [m/s]	F_{fzN} [kN]	$F_{fz,0}$ [kN]	a_{th}	S	Typ	F_{fzaccE} [kN]	$F_{fzNOT,E}$ [kN]	M_{fzaccE} [Nm]	i	$v_{fzmaxDB}$ [m/s]	$v_{fzmaxZB}$ [m/s]	Δs [μm]	C_{lin} [N/μm]	m_n [mm]	z	d_0 [mm]
ZV2PE3 ($n_{fN} = 6000 \text{ min}^{-1}$, ($F_{fzacc,max} = 1,9 \text{ kN}$))																
3,56	0,3	0,4	9,8	1,7	ZV216S_PE321_0030 EZ303U	1,2	3,4	20	3,000	2,07	3,56	40	6,2	2	16	34,0
3,56	0,4	0,5	12	1,5	ZV216S_PE321_0030 EZ401U	1,5	3,4	25	3,000	2,07	3,56	40	6,2	2	16	34,0
ZV2PE4 ($n_{fN} = 3000 \text{ min}^{-1}$, ($F_{fzacc,max} = 2,7 \text{ kN}$))																
0,17	1,7	1,7	1,5	1,1	ZV220S_PE422_0400 EZ301U	2,7	4,3	58	40,00	0,22	0,39	62	9,9	2	20	42,4
0,19	1,5	1,5	1,6	1,2	ZV220S_PE422_0350 EZ301U	2,7	4,3	58	35,00	0,25	0,44	62	10	2	20	42,4
0,24	1,2	1,2	1,7	1,4	ZV220S_PE422_0280 EZ301U	2,7	4,3	58	28,00	0,32	0,56	62	10	2	20	42,4
0,27	1,0	1,1	1,8	1,5	ZV220S_PE422_0250 EZ301U	2,7	4,3	58	25,00	0,33	0,62	62	10	2	20	42,4
0,33	0,8	0,9	2,1	1,8	ZV220S_PE422_0200 EZ301U	2,5	4,3	53	20,00	0,41	0,78	62	10	2	20	42,4
0,33	1,4	1,5	3,5	1,0	ZV220S_PE422_0200 EZ302U	2,7	4,3	58	20,00	0,41	0,78	62	10	2	20	42,4
0,42	0,7	0,7	2,3	2,1	ZV220S_PE422_0160 EZ301U	2,0	4,3	43	16,00	0,51	0,97	62	10	2	20	42,4
0,42	1,1	1,2	4,0	1,2	ZV220S_PE422_0160 EZ302U	2,7	4,3	58	16,00	0,51	0,97	62	10	2	20	42,4
0,95	0,9	1,0	1,7	1,2	ZV220S_PE421_0070 EZ401U	2,7	4,3	58	7,000	1,14	1,91	49	9,9	2	20	42,4
1,33	0,6	0,7	2,8	1,4	ZV220S_PE421_0050 EZ401U	1,9	4,3	41	5,000	1,51	2,67	49	10	2	20	42,4
1,67	0,5	0,5	3,7	1,7	ZV220S_PE421_0040 EZ401U	1,6	4,3	33	4,000	1,89	3,33	49	10	2	20	42,4
1,67	0,8	0,9	5,6	1,1	ZV220S_PE421_0040 EZ501U	2,7	4,3	58	4,000	1,89	3,33	49	10	2	20	42,4
1,67	0,9	1,0	6,2	1,0	ZV220S_PE421_0040 EZ402U	2,7	4,3	58	4,000	1,89	3,33	49	10	2	20	42,4
2,22	0,4	0,4	6,3	2,0	ZV220S_PE421_0030 EZ401U	1,2	4,3	25	3,000	2,22	4,07	49	9,9	2	20	42,4
2,22	0,6	0,6	9,7	1,3	ZV220S_PE421_0030 EZ501U	2,2	4,3	47	3,000	2,22	4,07	49	9,9	2	20	42,4
2,22	0,6	0,7	11	1,2	ZV220S_PE421_0030 EZ402U	2,2	4,3	47	3,000	2,22	4,07	49	9,9	2	20	42,4
ZV2PE4 ($n_{fN} = 6000 \text{ min}^{-1}$, ($F_{fzacc,max} = 2,7 \text{ kN}$))																
0,38	1,4	1,5	1,9	1,0	ZV220S_PE422_0350 EZ301U	2,7	4,3	58	35,00	0,25	0,44	62	10	2	20	42,4
0,48	1,1	1,2	2,1	1,2	ZV220S_PE422_0280 EZ301U	2,7	4,3	58	28,00	0,32	0,56	62	10	2	20	42,4
0,53	1,0	1,1	2,2	1,3	ZV220S_PE422_0250 EZ301U	2,7	4,3	58	25,00	0,33	0,62	62	10	2	20	42,4
0,67	0,8	0,9	2,5	1,5	ZV220S_PE422_0200 EZ301U	2,5	4,3	53	20,00	0,41	0,78	62	10	2	20	42,4
0,83	0,6	0,7	2,8	1,7	ZV220S_PE422_0160 EZ301U	2,0	4,3	43	16,00	0,51	0,97	62	10	2	20	42,4
0,83	1,1	1,2	4,7	1,0	ZV220S_PE422_0160 EZ302U	2,7	4,3	58	16,00	0,51	0,97	62	10	2	20	42,4
1,91	0,7	0,9	1,8	1,1	ZV220S_PE421_0070 EZ401U	2,7	4,3	58	7,000	1,14	1,91	49	9,9	2	20	42,4
2,67	0,5	0,6	2,9	1,4	ZV220S_PE421_0050 EZ401U	1,9	4,3	41	5,000	1,51	2,67	49	10	2	20	42,4
3,33	0,4	0,5	3,8	1,6	ZV220S_PE421_0040 EZ401U	1,6	4,3	33	4,000	1,89	3,33	49	10	2	20	42,4
3,33	0,6	0,8	5,6	1,1	ZV220S_PE421_0040 EZ501U	2,7	4,3	58	4,000	1,89	3,33	49	10	2	20	42,4
3,33	0,6	0,9	5,8	1,1	ZV220S_PE421_0040 EZ402U	2,7	4,3	58	4,000	1,89	3,33	49	10	2	20	42,4
ZV2PE5 ($n_{fN} = 3000 \text{ min}^{-1}$, ($F_{fzacc,max} = 6,1 \text{ kN}$))																
0,24	3,5	3,8	2,1	1,0	ZV225S_PE522_0350 EZ401U	6,1	7,6	162	35,00	0,29	0,48	77	13	2	25	53,1
0,30	2,8	3,0	2,4	1,2	ZV225S_PE522_0280 EZ401U	6,1	7,6	162	28,00	0,36	0,60	77	13	2	25	53,1
0,33	2,5	2,7	2,5	1,3	ZV225S_PE522_0250 EZ401U	6,1	7,6	162	25,00	0,38	0,67	77	13	2	25	53,1
0,42	2,0	2,1	2,8	1,5	ZV225S_PE522_0200 EZ401U	6,1	7,6	162	20,00	0,47	0,83	77	13	2	25	53,1
0,52	1,6	1,7	3,1	1,7	ZV225S_PE522_0160 EZ401U	4,9	7,6	129	16,00	0,59	1,04	77	13	2	25	53,1
0,52	2,5	2,7	4,8	1,1	ZV225S_PE522_0160 EZ501U	6,1	7,6	162	16,00	0,59	1,04	77	13	2	25	53,1
0,52	2,7	3,0	5,3	1,0	ZV225S_PE522_0160 EZ402U	6,1	7,6	162	16,00	0,59	1,04	77	13	2	25	53,1
0,83	1,6	1,7	2,2	1,5	ZV225S_PE521_0100 EZ501U	5,9	7,6	155	10,00	0,83	1,39	62	13	2	25	53,1
1,19	1,1	1,2	3,3	1,9	ZV225S_PE521_0070 EZ501U	4,1	7,6	109	7,000	1,11	1,98	62	13	2	25	53,1
1,19	1,9	2,0	5,7	1,1	ZV225S_PE521_0070 EZ502U	6,1	7,6	162	7,000	1,11	1,98	62	13	2	25	53,1
1,19	1,9	2,1	5,7	1,1	ZV225S_PE521_0070 EZ701U	5,1	7,6	136	7,000	1,11	1,98	62	13	2	25	53,1
1,67	0,8	0,9	5,0	2,3	ZV225S_PE521_0050 EZ501U	2,9	7,6	78	5,000	1,44	2,78	62	13	2	25	53,1
1,67	1,4	1,5	8,6	1,4	ZV225S_PE521_0050 EZ502U	5,7	7,6	150	5,000	1,44	2,78	62	13	2	25	53,1
1,67	1,4	1,5	8,6	1,4	ZV225S_PE521_0050 EZ701U	3,7	7,6	97	5,000	1,44	2,78	62	13	2	25	53,1
1,67	1,8	2,0	11	1,0	ZV225S_PE521_0050 EZ503U	6,1	7,6	162	5,000	1,44	2,78	62	13	2	25	53,1
2,08	0,6	0,7	6,5	2,7	ZV225S_PE521_0040 EZ501U	2,3	7,6	62	4,000	1,81	3,47	62	13	2	25	53,1
2,08	1,1	1,2	11	1,6	ZV225S_PE521_0040 EZ502U	4,5	7,6	120	4,000	1,81	3,47	62	13	2	25	53,1
2,08	1,1	1,2	11	1,6	ZV225S_PE521_0040 EZ701U	2,9	7,6	78	4,000	1,81	3,47	62	13	2	25	53,1
2,08	1,4	1,6	15	1,2	ZV225S_PE521_0040 EZ503U	6,1	7,6	162	4,000	1,81	3,47	62	13	2	25	53,1
2,78	0,5	0,5	13	3,3	ZV225S_PE521_0030 EZ501U	1,8	7,6	47	3,000	2,32	4,17	62	13	2	25	53,1
2,78	0,8	0,9	23	1,9	ZV225S_PE521_0030 EZ502U	3,4	7,6	90	3,000	2,32	4,17	62	13	2	25	53,1
2,78	0,8	0,9	23	1,9	ZV225S_PE521_0030 EZ701U	2,2	7,6	58	3,000	2,32	4,17	62	13	2	25	53,1
2,78	1,1	1,2	30	1,5	ZV225S_PE521_0030 EZ503U	4,7	7,6	125	3,000	2,32	4,17	62	13	2	25	53,1
2,78	1,3	1,6	37	1,2	ZV225S_PE521_0030 EZ702U	4,5	7,6	119	3,000	2,32	4,17	62	13	2	25	53,1
2,78	1,5	1,8	42	1,0	ZV225S_PE521_0030 EZ505U	6,1	7,6	162	3,000	2,32	4,17	62	13	2	25	53,1
ZV2PE5 ($n_{fN} = 4500 \text{ min}^{-1}$, ($F_{fzacc,max} = 6,1 \text{ kN}$))																
3,13	1,4	2,2	16	1,1	ZV225S_PE521_0040 EZ505U	6,1	7,6	162	4,000	1,81	3,47	62	13	2	25	53,1
4,17	1,0	1,7	34	1,3	ZV225S_PE521_0030 EZ505U	6,1	7,6	162	3,000	2,32	4,17	62	13	2	25	53,1
4,17	1,3	2,2	43	1,0	ZV225S_PE521_0030 EZ703U	6,1	7,6	162	3,000	2,32	4,17	62	13	2	25	53,1
ZV2PE5 ($n_{fN} = 6000 \text{ min}^{-1}$, ($F_{fzacc,max} = 6,1 \text{ kN}$))																
0,60	2,3	2,8	2,5	1,1	ZV225S_PE522_0280 EZ401U	6,1	7,6	162	28,00	0,36	0,60	77	13	2	25	53,1
0,67	2,1	2,5	2,6	1,2	ZV225S_PE522_0250 EZ401U	6,1	7,6	162	25,00	0,38	0,67	77	13	2	25	53,1
0,83	1,6	2,0	2,9	1,4	ZV225S_PE522_0200 EZ401U	6,1	7,6	162	20,00	0,47	0,83	77	13	2	25	53,1

v_{fzN} [m/s]	F_{fzN} [kN]	$F_{fz,0}$ [kN]	a_{th}	S	Typ	F_{fzaccE} [kN]	$F_{fzNOT,E}$ [kN]	M_{2accE} [Nm]	i	$v_{fzmaxDB}$ [m/s]	$v_{fzmaxZB}$ [m/s]	Δs [μm]	C_{lin} [N/μm]	m_n [mm]	z	d_0 [mm]
ZV2PE5 ($n_{IN} = 6000 \text{ min}^{-1}$, ($F_{fzacc,max} = 6,1 \text{ kN}$))																
1,04	1,3	1,6	3,3	1,6	ZV225S_PE522_0160 EZ401U	4,9	7,6	129	16,00	0,59	1,04	77	13	2	25	53,1
1,04	1,9	2,5	4,8	1,1	ZV225S_PE522_0160 EZ501U	6,1	7,6	162	16,00	0,59	1,04	77	13	2	25	53,1
1,04	2,0	2,8	4,9	1,1	ZV225S_PE522_0160 EZ402U	6,1	7,6	162	16,00	0,59	1,04	77	13	2	25	53,1
ZV3PE5 ($n_{IN} = 3000 \text{ min}^{-1}$, ($F_{fzacc,max} = 5,8 \text{ kN}$))																
0,23	3,7	4,0	2,0	1,0	ZV318S_PE522_0400 EZ401U	5,8	7,8	166	40,00	0,27	0,45	83	14	3	18	57,3
0,26	3,2	3,5	2,1	1,1	ZV318S_PE522_0350 EZ401U	5,8	7,8	166	35,00	0,31	0,51	83	14	3	18	57,3
0,32	2,6	2,8	2,4	1,3	ZV318S_PE522_0280 EZ401U	5,8	7,8	166	28,00	0,39	0,64	83	14	3	18	57,3
0,36	2,3	2,5	2,5	1,4	ZV318S_PE522_0250 EZ401U	5,8	7,8	166	25,00	0,41	0,72	83	14	3	18	57,3
0,45	1,9	2,0	2,8	1,6	ZV318S_PE522_0200 EZ401U	5,6	7,8	162	20,00	0,51	0,90	83	14	3	18	57,3
0,45	2,9	3,1	4,3	1,0	ZV318S_PE522_0200 EZ501U	5,8	7,8	166	20,00	0,51	0,90	83	14	3	18	57,3
0,56	1,5	1,6	3,1	1,9	ZV318S_PE522_0160 EZ401U	4,5	7,8	129	16,00	0,64	1,13	83	14	3	18	57,3
0,56	2,3	2,5	4,8	1,2	ZV318S_PE522_0160 EZ501U	5,8	7,8	166	16,00	0,64	1,13	83	14	3	18	57,3
0,56	2,5	2,8	5,3	1,1	ZV318S_PE522_0160 EZ402U	5,8	7,8	166	16,00	0,64	1,13	83	14	3	18	57,3
0,90	1,5	1,6	2,2	1,6	ZV318S_PE521_0100 EZ501U	5,4	7,8	155	10,00	0,90	1,50	67	14	3	18	57,3
1,29	1,0	1,1	3,3	2,1	ZV318S_PE521_0070 EZ501U	3,8	7,8	109	7,000	1,20	2,14	67	14	3	18	57,3
1,29	1,8	1,9	5,7	1,2	ZV318S_PE521_0070 EZ502U	5,8	7,8	166	7,000	1,20	2,14	67	14	3	18	57,3
1,29	1,8	2,0	5,7	1,2	ZV318S_PE521_0070 EZ701U	4,7	7,8	136	7,000	1,20	2,14	67	14	3	18	57,3
1,80	0,7	0,8	5,0	2,6	ZV318S_PE521_0050 EZ501U	2,7	7,8	78	5,000	1,56	3,00	67	14	3	18	57,3
1,80	1,3	1,4	8,6	1,5	ZV318S_PE521_0050 EZ502U	5,2	7,8	150	5,000	1,56	3,00	67	14	3	18	57,3
1,80	1,3	1,4	8,6	1,5	ZV318S_PE521_0050 EZ701U	3,4	7,8	97	5,000	1,56	3,00	67	14	3	18	57,3
1,80	1,6	1,9	11	1,1	ZV318S_PE521_0050 EZ503U	5,8	7,8	166	5,000	1,56	3,00	67	14	3	18	57,3
2,25	0,6	0,6	6,5	3,0	ZV318S_PE521_0040 EZ501U	2,2	7,8	62	4,000	1,95	3,75	67	14	3	18	57,3
2,25	1,0	1,1	11	1,7	ZV318S_PE521_0040 EZ502U	4,2	7,8	120	4,000	1,95	3,75	67	14	3	18	57,3
2,25	1,0	1,1	11	1,7	ZV318S_PE521_0040 EZ701U	2,7	7,8	78	4,000	1,95	3,75	67	14	3	18	57,3
2,25	1,3	1,5	15	1,3	ZV318S_PE521_0040 EZ503U	5,8	7,8	166	4,000	1,95	3,75	67	14	3	18	57,3
2,25	1,6	2,0	18	1,1	ZV318S_PE521_0040 EZ702U	5,6	7,8	159	4,000	1,95	3,75	67	14	3	18	57,3
3,00	0,4	0,5	13	3,6	ZV318S_PE521_0030 EZ501U	1,6	7,8	47	3,000	2,50	4,50	67	14	3	18	57,3
3,00	0,8	0,8	23	2,1	ZV318S_PE521_0030 EZ502U	3,1	7,8	90	3,000	2,50	4,50	67	14	3	18	57,3
3,00	0,8	0,8	23	2,1	ZV318S_PE521_0030 EZ701U	2,0	7,8	58	3,000	2,50	4,50	67	14	3	18	57,3
3,00	1,0	1,1	30	1,6	ZV318S_PE521_0030 EZ503U	4,4	7,8	125	3,000	2,50	4,50	67	14	3	18	57,3
3,00	1,2	1,5	37	1,3	ZV318S_PE521_0030 EZ702U	4,2	7,8	119	3,000	2,50	4,50	67	14	3	18	57,3
3,00	1,4	1,6	42	1,2	ZV318S_PE521_0030 EZ505U	5,8	7,8	166	3,000	2,50	4,50	67	14	3	18	57,3
ZV3PE5 ($n_{IN} = 4500 \text{ min}^{-1}$, ($F_{fzacc,max} = 5,8 \text{ kN}$))																
2,70	1,6	2,6	13	1,0	ZV318S_PE521_0050 EZ505U	5,8	7,8	166	5,000	1,56	3,00	67	14	3	18	57,3
3,38	1,3	2,1	16	1,2	ZV318S_PE521_0040 EZ505U	5,8	7,8	166	4,000	1,95	3,75	67	14	3	18	57,3
4,50	1,0	1,6	34	1,4	ZV318S_PE521_0030 EZ505U	5,8	7,8	166	3,000	2,50	4,50	67	14	3	18	57,3
4,50	1,2	2,0	43	1,1	ZV318S_PE521_0030 EZ703U	5,8	7,8	166	3,000	2,50	4,50	67	14	3	18	57,3
ZV3PE5 ($n_{IN} = 6000 \text{ min}^{-1}$, ($F_{fzacc,max} = 5,8 \text{ kN}$))																
0,51	2,7	3,2	2,2	1,1	ZV318S_PE522_0350 EZ401U	5,8	7,8	166	35,00	0,31	0,51	83	14	3	18	57,3
0,64	2,1	2,6	2,5	1,2	ZV318S_PE522_0280 EZ401U	5,8	7,8	166	28,00	0,39	0,64	83	14	3	18	57,3
0,72	1,9	2,3	2,6	1,3	ZV318S_PE522_0250 EZ401U	5,8	7,8	166	25,00	0,41	0,72	83	14	3	18	57,3
0,90	1,5	1,9	2,9	1,5	ZV318S_PE522_0200 EZ401U	5,6	7,8	162	20,00	0,51	0,90	83	14	3	18	57,3
0,90	2,3	2,9	4,3	1,0	ZV318S_PE522_0200 EZ501U	5,8	7,8	166	20,00	0,51	0,90	83	14	3	18	57,3
0,90	2,3	3,2	4,4	1,0	ZV318S_PE522_0200 EZ402U	5,8	7,8	166	20,00	0,51	0,90	83	14	3	18	57,3
1,13	1,2	1,5	3,3	1,8	ZV318S_PE522_0160 EZ401U	4,5	7,8	129	16,00	0,64	1,13	83	14	3	18	57,3
1,13	1,8	2,3	4,8	1,2	ZV318S_PE522_0160 EZ501U	5,8	7,8	166	16,00	0,64	1,13	83	14	3	18	57,3
1,13	1,9	2,6	4,9	1,2	ZV318S_PE522_0160 EZ402U	5,8	7,8	166	16,00	0,64	1,13	83	14	3	18	57,3

9.3 Maßzeichnungen

In diesem Kapitel finden Sie die Abmessungen der Zahnstangentriebe mit Synchron-Servomotoren EZ.

Das Maß a_z in den Maßtabellen gilt für Atlanta Zahnstangen. Allgemein gilt: $a_z = \frac{1}{2} d_0 + h_0 + x \cdot m_n$

Das Ritzel des Zahnstangentriebs ist schrägverzahnt (linkssteigend $19^\circ 31' 42''$). Die Ritzelverzahnungsqualität ist 5.

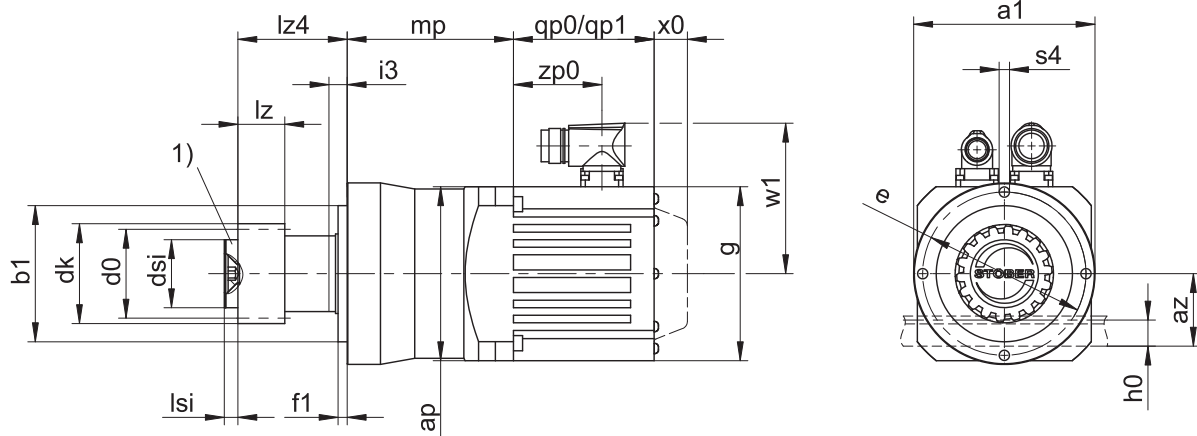
Maße können aufgrund von Gusstoleranzen bzw. Aufsummieren der Einzeltoleranzen die Vorgaben der ISO 2768-mK überschreiten.

Maßänderungen durch technische Weiterentwicklung behalten wir uns vor.

3D-Modelle unserer Standardantriebe können Sie unter <https://configurator.stoeber.de/de-DE/> herunterladen.

Kombinationsmöglichkeiten und Maße für fremdbelüftete Getriebemotoren finden Sie ebenfalls unter <https://configurator.stoeber.de/de-DE/>.

9.3.1 Ritzelposition E



qp0 Gilt für Motoren ohne Bremse.

qp1 Gilt für Motoren mit Bremse.

x0 Gilt für Encoder mit optischem Messprinzip.

w1 Abweichend bei One Cable Solution (OCS) siehe Kapitel [13.4](#)

1) Axiale Sicherung (Option)

Maße Getriebe

Typ	mn	Øa1	az	Øb1	Ød0	Ødk	Ødsi	Øe	f1	h0	i3	lz	lz4	lsi	Øs4	x
ZV216SEPE3_	2	70	39,98	52 _{h6}	33,95	39,81	25	62	5	22	7	26	37,5	4	M5	0,5
ZV220SEPE4_	2	90	44,02	68 _{h6}	42,44	47,90	30	80	5	22	10	26	48,5	6	M6	0,4
ZV225SEPE5_	2	120	49,33	90 _{h6}	53,05	58,52	45	108	6	22	12	26	72,5	8	M8	0,4
ZV318SEPE5_	3	120	55,55	90 _{h6}	57,30	65,01	45	108	6	26	12	31	72,5	8	M8	0,3

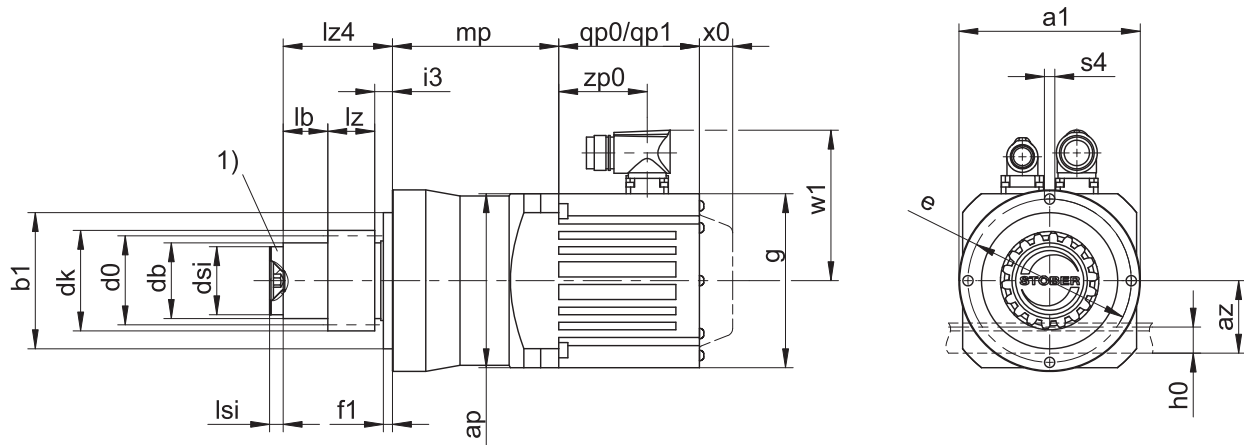
Maße Motoren

Typ	□g	qp0	qp1	w1	x0	zp0
EZ202U	55	141	150,0	47,0	25	86,0
EZ203U	55	159	168,0	47,0	25	104,0
EZ301U	72	90	130,0	55,5	21	54,5
EZ302U	72	112	152,0	55,5	21	76,5
EZ303U	72	134	174,0	55,5	21	98,5
EZ401U	98	98	146,5	91,0	22	56,0
EZ402U	98	123	171,5	91,0	22	81,0
EZ404U	98	173	221,5	91,0	22	131,0
EZ501U	115	93	147,5	100,0	22	58,5
EZ502U	115	118	172,5	100,0	22	83,5
EZ503U	115	143	197,5	100,0	22	108,5
EZ505U	115	193	247,5	100,0	22	158,5
EZ701U	145	102	161,0	115,0	22	64,0
EZ702U	145	127	186,0	115,0	22	89,0
EZ703U	145	152	211,0	115,0	22	114,0
EZ705U	145	207	266,0	134,0	22	165,0

Maße Getriebemotoren

Typ	EZ2		EZ3		EZ4		EZ5		EZ7	
	ap	mp	ap	mp	ap	mp	ap	mp	ap	mp
ZV_PE321_	-	-	□72	86,5	□98	83,0	-	-	-	-
ZV_PE322_	Ø75	106,5	Ø75	120,0	-	-	-	-	-	-
ZV_PE421_	-	-	-	-	□98	89,0	□115	91,5	-	-
ZV_PE422_	-	-	Ø100	129,0	-	-	-	-	-	-
ZV_PE521_	-	-	-	-	-	-	Ø120	110,0	□145	113,0
ZV_PE522_	-	-	-	-	Ø120	152,0	Ø120	151,5	-	-

9.3.2 Ritzelposition S



qp0 Gilt für Motoren ohne Bremse.

qp1 Gilt für Motoren mit Bremse.

x0 Gilt für Encoder mit optischem Messprinzip.

w1 Abweichend bei One Cable Solution (OCS) siehe Kapitel [13.4](#)

1) Axiale Sicherung (Option)

Maße Getriebe

Typ	mn	Øa1	az	Øb1	Ød0	Ødb	Ødk	Ødsi	Øe	f1	h0	i3	lb	lz	lz4	lsi	Øs4	x
ZV216SSPE3_	2	70	39,98	52 _{h6}	33,95	30	39,81	25	62	5	22	7	4,5	26	37,5	4	M5	0,5
ZV220SSPE4_	2	90	44,02	68 _{h6}	42,44	38	47,90	30	80	5	22	10	12,5	26	48,5	6	M6	0,4
ZV225SSPE5_	2	120	49,33	90 _{h6}	53,05	50	58,52	45	108	6	22	12	34,5	26	72,5	8	M8	0,4
ZV318SSPE5_	3	120	55,55	90 _{h6}	57,30	50	65,01	45	108	6	26	12	29,5	31	72,5	8	M8	0,3

Maße Motoren

Typ	□g	qp0	qp1	w1	x0	zp0
EZ202U	55	141	150,0	47,0	25	86,0
EZ203U	55	159	168,0	47,0	25	104,0
EZ301U	72	90	130,0	55,5	21	54,5
EZ302U	72	112	152,0	55,5	21	76,5
EZ303U	72	134	174,0	55,5	21	98,5
EZ401U	98	98	146,5	91,0	22	56,0
EZ402U	98	123	171,5	91,0	22	81,0
EZ404U	98	173	221,5	91,0	22	131,0
EZ501U	115	93	147,5	100,0	22	58,5
EZ502U	115	118	172,5	100,0	22	83,5
EZ503U	115	143	197,5	100,0	22	108,5
EZ505U	115	193	247,5	100,0	22	158,5
EZ701U	145	102	161,0	115,0	22	64,0
EZ702U	145	127	186,0	115,0	22	89,0
EZ703U	145	152	211,0	115,0	22	114,0
EZ705U	145	207	266,0	134,0	22	165,0

Maße Getriebemotoren

Typ	EZ2		EZ3		EZ4		EZ5		EZ7	
	ap	mp	ap	mp	ap	mp	ap	mp	ap	mp
ZV_PE321_	-	-	□72	86,5	□98	83,0	-	-	-	-
ZV_PE322_	Ø75	106,5	Ø75	120,0	-	-	-	-	-	-
ZV_PE421_	-	-	-	-	□98	89,0	□115	91,5	-	-
ZV_PE422_	-	-	Ø100	129,0	-	-	-	-	-	-
ZV_PE521_	-	-	-	-	-	-	Ø120	110,0	□145	113,0
ZV_PE522_	-	-	-	-	Ø120	152,0	Ø120	151,5	-	-

9.4 Typenbezeichnung

In diesem Kapitel finden Sie die Erklärung der Typenbezeichnung mit den zugehörigen Optionen.

Weitere Bestellangaben, die nicht in der Typenbezeichnung vorkommen, finden Sie am Ende des Kapitels.

Beispiel-Code

Z	V	2	20	S	S	PE	4	2	1	S	P	S	S	0050	EZ401U
---	---	---	----	---	---	----	---	---	---	---	---	---	---	------	--------

Erklärung

Code	Bezeichnung	Ausführung
Z	Typ	Zahnstangentrieb
V	Ausführung	Aufsteckritzel
2	Modul	$m_n = 2$ (Beispiel)
20	Zähnezahl	$z = 20$ (Beispiel)
S	Verzahnung	Schrägverzahnt (linkssteigend 19° 31' 42'')
E	Ritzelposition	Wellenende
S		Wellenschulter
PE	Typ	Planetengetriebe
4	Größe	4 (Beispiel)
2	Generation	Generation 2
1	Stufen	1-stufig
2		2-stufig
S	Gehäuse	Standard
P	Welle	Vollwelle mit Passfeder
S	Lager	Standardlagerung
S	Drehspiel	Standard
0050	Übersetzungskennzahl ($i \times 10$)	$i = 5$ (Beispiel)
EZ401U	Motor	Synchron-Servomotor EZ

Um die Typenbezeichnung zu vervollständigen, geben Sie bei Ihrer Bestellung zusätzlich an:

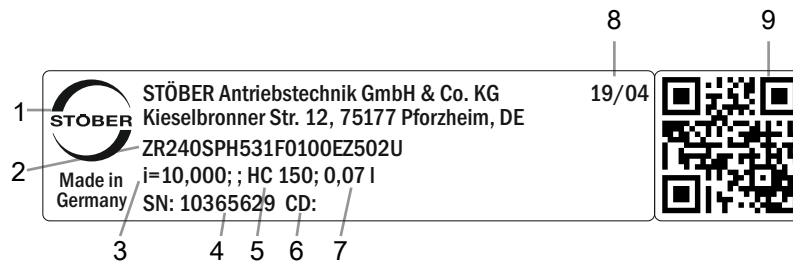
- Eine detaillierte Typenbezeichnung des Motors, siehe Kapitel [\[13 \]](#)
- Axiale Sicherung (Option), siehe Kapitel [\[9.3 \]](#)

In diesem Katalog finden Sie alle Informationen zu Zahnstangentrieben mit Synchron-Servomotoren EZ.

Alle auf Anfrage erhältlichen Eintriebsoptionen finden Sie im Kapitel [\[9.5.1 \]](#).

9.4.1 Typenschild

In folgender Abbildung ist das Typenschild eines Getriebemotors als Beispiel erläutert.



Code	Bezeichnung
1	Herstellerbezeichnung
2	Typenbezeichnung
3	Übersetzung des Getriebes
4	Serialnummer des Getriebes
5	Schmierstoffspezifikation
6	Kundenspezifische Daten
7	Schmierstofffüllmenge
8	Herstellungsdatum (Jahr/Kalenderwoche)
9	QR-Code (Link zu Produktinformationen)

9.4.1.1 Mitgeltende Dokumente

Mitgeltende Dokumente für das Produkt können Sie ansehen oder herunterladen, wenn Sie die Seriennummer auf dem Typenschild des Produkts ablesen und sie im Internet unter folgender Adresse eingeben:

<https://id.stober.com>

Alternativ können Sie mit einem geeigneten Mobilgerät den QR-Code auf dem Typenschild des Produkts einscannen, um dadurch zu den mitgeltenden Dokumenten verlinkt zu werden.

9.5 Produktbeschreibung

9.5.1 Eintriebsoptionen

In diesem Kapitel finden Sie alle verfügbaren Eintriebsoptionen:

Synchron-Servomotor EZ



Katalog ID 443286_de

Motoradapter ME



Katalog ID 443137_de

Lean-Motor LM



Auf Anfrage

Die entsprechenden Kataloge finden Sie unter <http://www.stober.de/de/downloads/>

Geben Sie im Feld Suchbegriff die ID des Katalogs ein.

9.5.2 Zahnstange

Die im Kapitel Auswahltabellen angegebenen technischen Daten gelten nur für Zahnstangenpaarungen mit folgenden Eigenschaften:

Das Ritzel des Zahnstangentriebs ist einsatzgehärtet und schrägverzahnt (linkssteigend $19^{\circ} 31' 42''$). Die Ritzelverzahnungsqualität ist 6.

Die entsprechende Zahnstange muss rechtssteigend ($19^{\circ} 31' 42''$) sein und folgende Eigenschaften besitzen:

Modul m_n [mm]	Mindestqualität Zahnstange	Werkstoff Zahnstange
2 – 4	8	C45 induktiv gehärtet

Beachten Sie zusätzlich die Projektierung der Zahnstange auf den Atlanta-Seiten.

9.5.2.1 Ritzelposition

Das Ritzel kann in zwei verschiedenen Anbaupositionen auf der Welle befestigt werden:

- Verzahnung bündig mit Wellenende (Pos. E)
- Verzahnung bündig mit Wellenschulter (Pos. S: Höhere zulässige Vorschubkräfte, siehe Kapitel Auswahltabellen)

Bitte geben Sie die gewünschte Anbauposition bei der Bestellung an.

9.5.3 Einbaubedingungen

Die angegebenen Drehmomente und Kräfte gelten nur bei einer maschinenseitigen Befestigung der Getriebe mit Schrauben der Festigkeitsklasse 10.9. Zusätzlich müssen die Getriebegehäuse am Passrand eingepasst werden. Die maschinenseitige Passung muss H7 sein.

9.5.4 Schmierstoffe

STÖBER füllt die Getriebe mit der auf dem Typenschild angegebenen Menge und Art des Schmierstoffs.

Schmierstoffe für den Einsatz in der Lebensmittelindustrie erhalten Sie auf Anfrage.

9.5.4.1 Schmierung Zahnstangentrieb

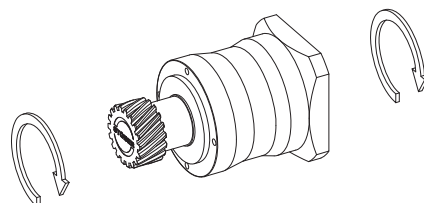
Stellen Sie eine permanente Schmierung des Zahnstangentriebs, mit den im Atlanta-Katalog vorgeschriebenen Schmierstoffen, sicher.

9.5.5 Weitere Produktmerkmale

Merkmal	Wert
Max. zul. Getriebetemperatur (an der Getriebeoberfläche)	$\leq 80^{\circ}\text{C}$
Lackierung	Schwarz RAL 9005
(ATEX-) Richtlinie 2014/34/EU (Option)	Nicht geeignet
Schutzart: ¹	
Planetengeräte	IP64
Motor	IP56, optional IP66
Ritzel/Zahnstange	IPXX

9.5.6 Drehrichtung

Ein- und Abtrieb drehen sich gleichsinnig.



¹ Beachten Sie die Schutzart aller Komponenten.

9.6 Projektierung

Projektieren Sie Ihre Antriebe mit unserer Auslegungssoftware SERVOSOFT. Laden Sie SERVOSOFT kostenlos unter <https://www.stoeber.de/de/ServoSoft> herunter.

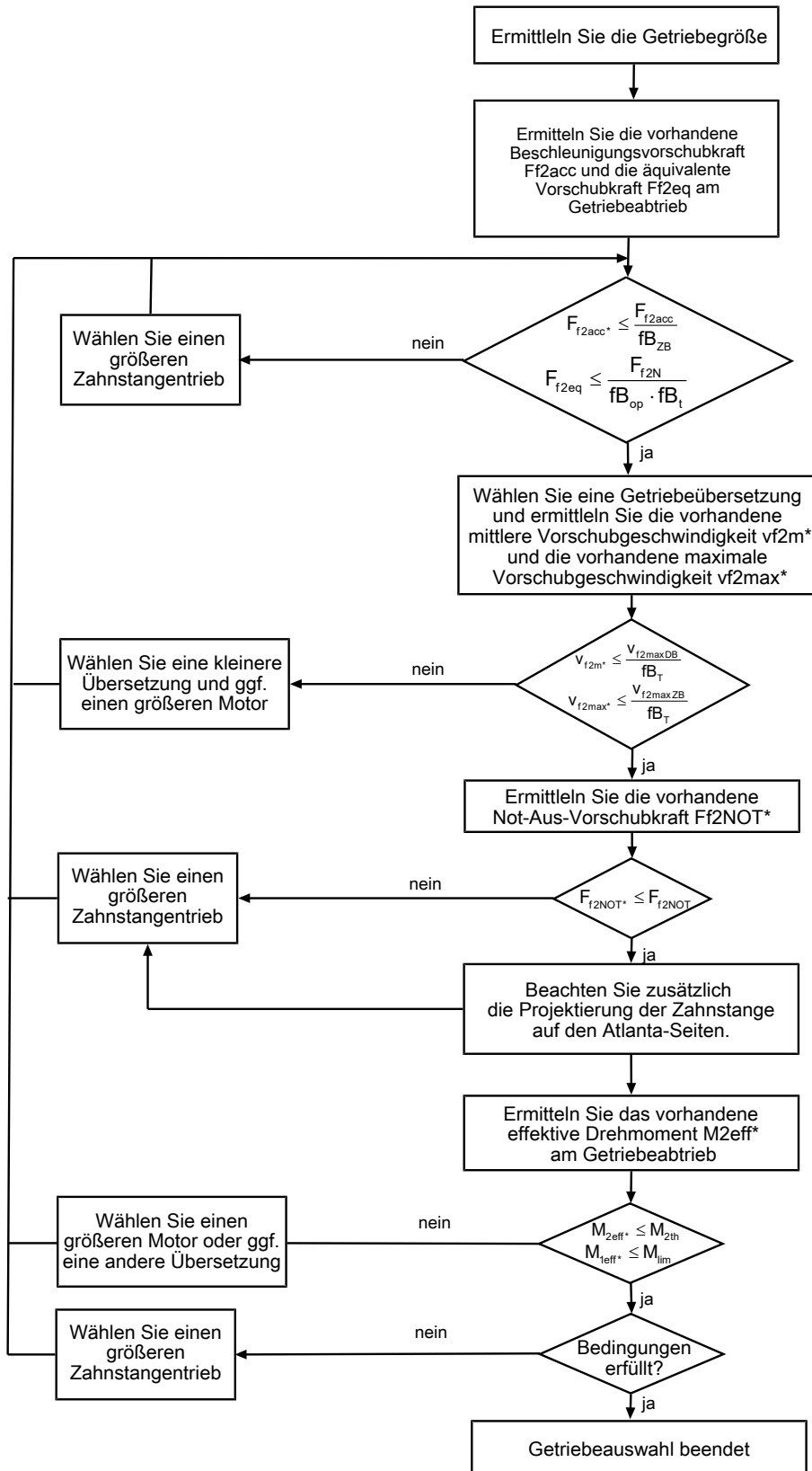
Dies ist die komfortabelste und sicherste Methode der Antriebsauswahl, da hier der komplette Drehmoment-Drehzahl-Verlauf der Anwendung in der Kennlinie des Getriebemotors dargestellt und beurteilt wird.

In diesem Kapitel können für die manuelle Antriebsauswahl nur Grenzwertbetrachtungen für konkrete Arbeitspunkte gemacht werden.

Die Formelzeichen für tatsächlich in der Anwendung vorhandene Werte sind mit einem * gekennzeichnet.

Die Erklärung der Formelzeichen finden Sie im Kapitel [▶ 15.1](#).

9.6.1 Antriebsauswahl

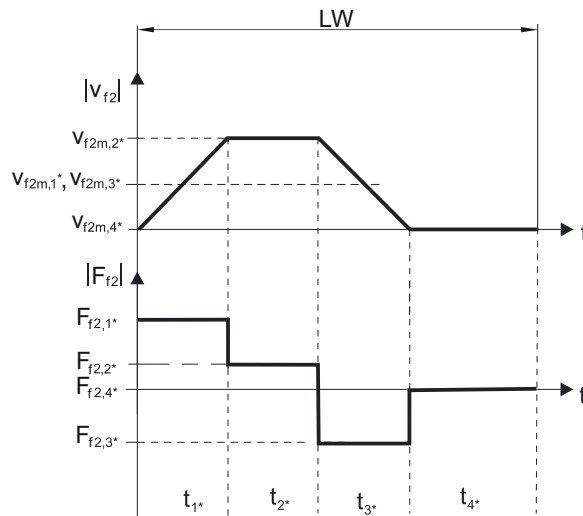


Entnehmen Sie die Werte für i , $v_{f2maxDB}$, $v_{f2maxZB}$, F_{f2acc} , F_{f2N} und F_{f2NOT} den Auswahltabellen.

Entnehmen Sie die Werte für fb_T , fb_{op} , fb_t und fb_{zB} den jeweiligen Tabellen in diesem Kapitel.

Beispiel Zyklusbetrieb

Die nachfolgenden Berechnungen beziehen sich auf eine Darstellung der am Abtrieb abgenommenen Leistung gemäß folgendem Beispiel:



Berechnung der vorhandenen maximalen Beschleunigungsvorschubkraft

$$F_{f2acc*} = m \cdot a^* + F_{L*}$$

Berechnung der vorhandenen mittleren Eintriebsdrehzahl

$$n_{1m*} = \frac{v_{f2m*} \cdot i}{d_0 \cdot \pi}$$

$$v_{f2m*} = \frac{|v_{f2m,1*}| \cdot t_{1*} + \dots + |v_{f2m,n*}| \cdot t_{n*}}{t_{1*} + \dots + t_{n*}}$$

Wenn $t_{1*} + \dots + t_{3*} \geq 6$ min, ermitteln Sie v_{2m*} ohne die Pause t_{4*} .

Entnehmen Sie die Werte für die Übersetzung i den Auswahltabellen.

Berechnung der vorhandenen Not-Aus-Vorschubkraft

$$F_{f2NOT*} = m \cdot a_{NOT*} + F_{L*}$$

Berechnung der vorhandenen äquivalenten Vorschubkraft

$$F_{f2eq*} = \sqrt[3]{\frac{|v_{f2m,1*}| \cdot t_{1*} \cdot |F_{f2,1*}|^3 + \dots + |v_{f2m,n*}| \cdot t_{n*} \cdot |F_{f2,n*}|^3}{|v_{f2m,1*}| \cdot t_{1*} + \dots + |v_{f2m,n*}| \cdot t_{n*}}}$$

Berechnung des thermischen Grenzmoments

Berechnen Sie für eine Einschaltdauer $ED_{10} > 50$ % das thermische Grenzmoment M_{2th} für die vorhandene mittlere Eintriebsdrehzahl n_{1m*} . (Bei $K_{mot,th} \leq 0$ müssen Sie die mittlere Eintriebsdrehzahl n_{1m*} entsprechend reduzieren oder eine andere Baugröße des Getriebemotors wählen.)

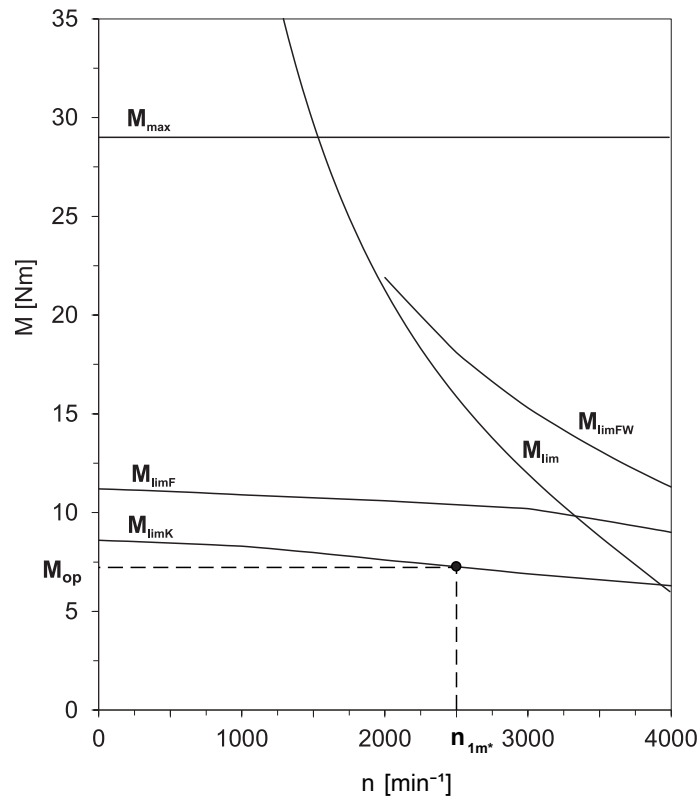
$$M_{2th} = M_{op} \cdot i \cdot K_{mot,th}$$

$$K_{mot,th} = 0,95 - \frac{a_{th}}{1000} \cdot f_{B_T} \cdot \left(\frac{n_{1m*}}{1000}\right)^3$$

Entnehmen Sie die Werte für i und a_{th} den Auswahltabellen.

Entnehmen Sie die Werte für f_{B_T} der entsprechenden Tabelle in diesem Kapitel.

Entnehmen Sie der Motorkennlinie im Kapitel [13.3](#) den Wert für das Drehmoment des Motors im Arbeitspunkt M_{op} bei der ermittelten mittleren Eintriebsdrehzahl n_{1m*} . Beachten Sie dabei die Baugröße, Nenn-drehzahl n_n und Kühlungsart des Motors. Die nachfolgende Abbildung stellt ein Beispiel für das Ablesen des Drehmoments M_{op} eines Motors mit Konvektionskühlung im Arbeitspunkt dar.



Berechnung des vorhandenen effektiven Drehmoments

$$M_{2eff*} = \sqrt{\frac{t_{1*} \cdot M_{2,1*}^2 + \dots + t_{n*} \cdot M_{2,n*}^2}{t_{1*} + \dots + t_{n*}}}$$

$$M_{2,n*} = \frac{F_{f2,n*} \cdot d_0}{2}$$

$$M_{1eff*} = \frac{M_{2eff*}}{i \cdot \eta}$$

Betriebsfaktoren

Betriebsart		fB _{op}
Gleichmäßiger Dauerbetrieb		1,00
Zyklusbetrieb		1,00
Zyklusbetrieb reversierende Last		1,00
Laufzeit		fB _t
Tägliche Laufzeit ≤ 8 h		1,00
Tägliche Laufzeit ≤ 16h		1,15
Tägliche Laufzeit ≤ 24 h		1,20
Zyklusbetrieb		fB _{ZB}
≤ 1000 Lastwechsel/Stunde (LW/h)		1,00
> 1000 Lastwechsel/Stunde (LW/h)		1,15
Temperatur		fB _T
Motorkühlung	Umgebungstemperatur	
Motor mit Fremdbelüftung	≤ 20 °C	0,9
	≤ 30 °C	1,0
	≤ 40 °C	1,15
Motor mit Konvektionskühlung	≤ 20 °C	1,0
	≤ 30 °C	1,1
	≤ 40 °C	1,25

Hinweise

- Die maximal zulässige Getriebetemperatur (siehe Kapitel Weitere Produktmerkmale) darf nicht überschritten werden, da dies zu Beschädigungen führen kann.
- Beachten Sie bei Bremsungen aus voller Drehzahl (z. B. bei einem Spannungsausfall oder beim Einrichten der Maschine) die zulässigen Getriebevorschubkräfte (F_{f2acc} , F_{f2NOT}) in den Auswahltabellen.

9.6.2 Radialwellendichtringe**Leckagesicherheit**

Unsere Getriebe sind mit hochwertigen Radialwellendichtringen ausgestattet und auf Dichtheit geprüft. Eine Leckage kann über die Gebrauchsdauer der Getriebe trotzdem nicht völlig ausgeschlossen werden. Wenn Sie die Getriebe mit schmierstoffunverträglichen Gütern einsetzen, müssen Sie Maßnahmen ergreifen, die einen direkten Kontakt mit dem Getriebeschmierstoff im Falle einer Leckage verhindern.

9.7 Weitere Dokumentation

Weitere, das Produkt betreffende Dokumentationen finden Sie unter <http://www.stoeber.de/de/downloads/>

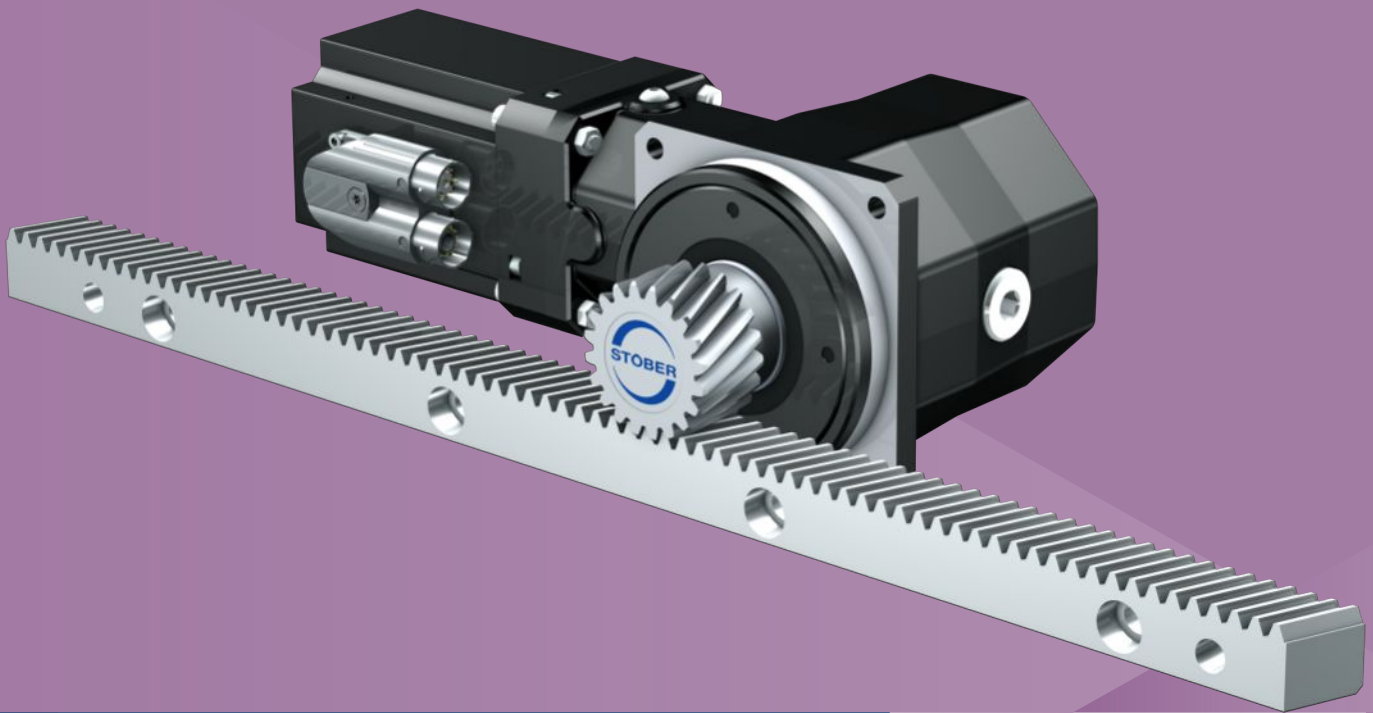
Geben Sie im Feld Suchbegriff die ID der Dokumentation ein.

Dokumentation	ID
Betriebsanleitung Planetengetriebe und Planetengetriebemotoren PE22 – PE52	443252_de
Betriebsanleitung Synchron-Servomotoren EZ	443032_de
Betriebsanleitung Zahnstangen (Atlanta)	442455

10 Zahnstangentriebe ZVKS

Inhaltsverzeichnis

10.1 Übersicht	170
10.2 Auswahltable	171
10.3 Maßzeichnungen	179
10.3.1 Ritzelposition E	180
10.3.2 Ritzelposition S	182
10.3.3 Ölausgleichsbehälter	184
10.4 Typenbezeichnung	185
10.4.1 Typenschild	186
10.5 Produktbeschreibung	186
10.5.1 Eintriebsoptionen	186
10.5.2 Zahnstange	187
10.5.3 Einbaubedingungen	187
10.5.4 Einbaulagen	188
10.5.5 Schmierstoffe	188
10.5.6 Position der Steckverbinder	189
10.5.7 Weitere Produktmerkmale	189
10.5.8 Drehrichtung	189
10.6 Projektierung	190
10.6.1 Antriebsauswahl	191
10.6.2 Empfehlung Radialwellendichtringe	194
10.6.3 Ölausgleichsbehälter	194
10.7 Weitere Dokumentation	194



10

Zahnstangentriebe

ZVKS

10.1 Übersicht

Servowinkeltriebemotoren mit Aufsteckritzel

Merkmale

- Leistungsdichte ★★★★★
- Lineares Spiel ★★★★★
- Preisklasse €€€
- Laufruhe ★★★★★
- Lineare Steifigkeit ★★★★★
- Massenträgheitsmoment ★★★★★
- Einbaufertige Antriebslösung ✓
- Ritzel Verzahnungsqualität 6 (DIN 3962) ✓
- Schrägverzahnung ✓
- Einsatzgehärtet und geschliffen ✓
- Kompakt und hochdynamisch durch Motordirektanbau ✓

Legende ★☆☆☆☆ gut | ★★★★★ hervorragend
 € Economy | €€€€€ Premium

Technische Daten

m_n	2 – 4 mm
z	18 – 25
F_{f2acc}	1,3 – 11 kN
v_{f2N}	0,08 – 3 m/s
Δs	37 – 44 μm

10.2 Auswahltabelle

Die in den Auswahltabellen angegebenen technischen Daten gelten für:

- Spannungsfreien Einbau
- Permanente Schmierung mit den im Atlanta-Katalog vorgeschriebenen Schmierstoffen
- Werkstoffpaarungen entsprechend Kapitel [▶ 10.5.2](#)
- Aufstellhöhen bis 1000 m über Normalnull
- Umgebungstemperaturen von 0° C bis 40° C
- Ohne Berücksichtigung der thermischen Grenzleistung
- Antriebe mit konvektionsgekühlten Motoren (z. B. EZ401U)

Die technischen Daten für Antriebe mit fremdbelüfteten (z. B. EZ401B) Motoren finden Sie unter <https://configurator.stoeber.de/de-DE/>

Alle weiteren technischen Daten finden Sie unter <https://configurator.stoeber.de/de-DE/>.

Die Erklärung der Formelzeichen finden Sie im Kapitel [▶ 15.1](#).

v_{fzN} [m/s]	F_{fzN} [kN]	$F_{fz,0}$ [kN]	a_{th}	S	Typ	F_{fzaccE} [kN]	$F_{fzNOT,E}$ [kN]	M_{zaccE} [Nm]	i	$v_{fzmaxDB}$ [m/s]	$v_{fzmaxZB}$ [m/s]	Δs [µm]	C_{lin} [N/µm]	m_n [mm]	z	d_0 [mm]
ZV2KS4 ($n_{1N} = 3000 \text{ min}^{-1}$, ($F_{fzacc,max} = 4,2 \text{ kN}$))																
0,13	2,0	2,1	0,2	1,2	ZV220S_KS403_0500 EZ301U	4,2	6,6	90	50,00	0,18	0,27	37	36	2	20	42,4
0,17	1,6	1,7	0,3	1,5	ZV220S_KS403_0400 EZ301U	4,2	6,6	90	40,00	0,19	0,33	37	36	2	20	42,4
0,21	1,3	1,3	0,4	1,9	ZV220S_KS403_0320 EZ301U	3,9	6,6	83	32,00	0,24	0,42	37	36	2	20	42,4
0,21	2,2	2,4	0,6	1,1	ZV220S_KS403_0320 EZ302U	4,2	6,6	90	32,00	0,24	0,42	37	36	2	20	42,4
0,28	1,0	1,0	0,5	2,5	ZV220S_KS403_0240 EZ301U	2,9	6,6	62	24,00	0,32	0,56	37	36	2	20	42,4
0,28	1,7	1,8	0,9	1,5	ZV220S_KS403_0240 EZ302U	4,2	6,6	90	24,00	0,32	0,56	37	36	2	20	42,4
0,28	2,2	2,3	1,2	1,1	ZV220S_KS403_0240 EZ303U	4,2	6,6	90	24,00	0,32	0,56	37	36	2	20	42,4
0,33	0,8	0,9	0,7	2,9	ZV220S_KS402_0200 EZ301U	2,5	6,6	53	20,00	0,44	0,67	37	36	2	20	42,4
0,33	1,4	1,5	1,2	1,7	ZV220S_KS402_0200 EZ302U	4,2	6,6	90	20,00	0,44	0,67	37	36	2	20	42,4
0,33	1,9	2,0	1,5	1,3	ZV220S_KS402_0200 EZ303U	4,2	6,6	90	20,00	0,44	0,67	37	36	2	20	42,4
0,48	0,6	0,6	1,0	4,2	ZV220S_KS402_0140 EZ301U	1,8	6,6	37	14,00	0,64	0,95	37	36	2	20	42,4
0,48	1,0	1,1	1,8	2,4	ZV220S_KS402_0140 EZ302U	3,1	6,6	67	14,00	0,64	0,95	37	36	2	20	42,4
0,48	1,3	1,4	2,3	1,9	ZV220S_KS402_0140 EZ303U	4,2	6,6	90	14,00	0,64	0,95	37	36	2	20	42,4
0,48	1,8	1,9	3,1	1,4	ZV220S_KS402_0140 EZ401U	4,2	6,6	90	14,00	0,64	0,95	37	36	2	20	42,4
0,67	0,7	0,8	2,6	3,4	ZV220S_KS402_0100 EZ302U	2,2	6,6	48	10,00	0,84	1,33	37	36	2	20	42,4
0,67	0,9	1,0	3,4	2,6	ZV220S_KS402_0100 EZ303U	3,1	6,6	67	10,00	0,84	1,33	37	36	2	20	42,4
0,67	1,3	1,3	4,7	1,9	ZV220S_KS402_0100 EZ401U	3,8	6,6	81	10,00	0,84	1,33	37	36	2	20	42,4
0,67	1,9	2,1	7,2	1,3	ZV220S_KS402_0100 EZ501U	4,2	6,6	90	10,00	0,84	1,33	37	36	2	20	42,4
0,67	2,1	2,3	7,8	1,2	ZV220S_KS402_0100 EZ402U	4,2	6,6	90	10,00	0,84	1,33	37	36	2	20	42,4
0,83	0,6	0,6	3,5	4,3	ZV220S_KS402_0080 EZ302U	1,8	6,6	38	8,000	0,97	1,67	37	36	2	20	42,4
0,83	0,7	0,8	4,5	3,3	ZV220S_KS402_0080 EZ303U	2,5	6,6	53	8,000	0,97	1,67	37	36	2	20	42,4
0,83	1,0	1,1	6,1	2,4	ZV220S_KS402_0080 EZ401U	3,0	6,6	65	8,000	0,97	1,67	37	36	2	20	42,4
0,83	1,5	1,7	9,3	1,6	ZV220S_KS402_0080 EZ501U	4,2	6,6	90	8,000	0,97	1,67	37	36	2	20	42,4
0,83	1,7	1,9	10	1,4	ZV220S_KS402_0080 EZ402U	4,2	6,6	90	8,000	0,97	1,67	37	36	2	20	42,4
1,11	0,6	0,6	6,4	4,4	ZV220S_KS402_0060 EZ303U	1,9	6,6	40	6,000	1,11	2,22	37	36	2	20	42,4
1,11	0,8	0,8	8,6	3,2	ZV220S_KS402_0060 EZ401U	2,3	6,6	48	6,000	1,11	2,22	37	36	2	20	42,4
1,11	1,2	1,3	13	2,1	ZV220S_KS402_0060 EZ501U	4,2	6,6	90	6,000	1,11	2,22	37	36	2	20	42,4
1,11	1,3	1,4	14	1,9	ZV220S_KS402_0060 EZ402U	4,2	6,6	90	6,000	1,11	2,22	37	36	2	20	42,4
1,11	1,9	2,3	21	1,3	ZV220S_KS402_0060 EZ404U	4,2	6,6	90	6,000	1,11	2,22	37	36	2	20	42,4
1,11	2,0	2,1	23	1,2	ZV220S_KS402_0060 EZ502U	4,2	6,6	90	6,000	1,11	2,22	37	36	2	20	42,4
ZV2KS4 ($n_{1N} = 6000 \text{ min}^{-1}$, ($F_{fzacc,max} = 4,2 \text{ kN}$))																
0,13	1,8	1,9	0,1	1,1	ZV220S_KS403_1000 EZ202U	4,2	6,6	90	100,0	0,10	0,13	37	36	2	20	42,4
0,17	1,4	1,5	0,1	1,4	ZV220S_KS403_0800 EZ202U	4,2	6,6	90	80,00	0,13	0,17	37	36	2	20	42,4
0,19	1,2	1,3	0,1	1,6	ZV220S_KS403_0700 EZ202U	4,2	6,6	90	70,00	0,14	0,19	37	36	2	20	42,4
0,19	1,9	2,1	0,1	1,0	ZV220S_KS403_0700 EZ203U	4,2	6,6	90	70,00	0,14	0,19	37	36	2	20	42,4
0,27	0,9	1,0	0,1	2,2	ZV220S_KS403_0500 EZ202U	3,2	6,6	69	50,00	0,18	0,27	37	36	2	20	42,4
0,27	1,3	1,5	0,2	1,4	ZV220S_KS403_0500 EZ203U	4,2	6,6	90	50,00	0,18	0,27	37	36	2	20	42,4
0,33	0,7	0,8	0,2	2,8	ZV220S_KS403_0400 EZ202U	2,6	6,6	55	40,00	0,19	0,33	37	36	2	20	42,4
0,33	1,1	1,2	0,2	1,8	ZV220S_KS403_0400 EZ203U	4,2	6,6	90	40,00	0,19	0,33	37	36	2	20	42,4
0,33	1,6	1,7	0,3	1,2	ZV220S_KS403_0400 EZ301U	4,2	6,6	90	40,00	0,19	0,33	37	36	2	20	42,4
0,42	0,6	0,6	0,2	3,4	ZV220S_KS403_0320 EZ202U	2,1	6,6	44	32,00	0,24	0,42	37	36	2	20	42,4
0,42	0,9	1,0	0,3	2,3	ZV220S_KS403_0320 EZ203U	3,8	6,6	80	32,00	0,24	0,42	37	36	2	20	42,4
0,42	1,2	1,3	0,5	1,5	ZV220S_KS403_0320 EZ301U	3,9	6,6	83	32,00	0,24	0,42	37	36	2	20	42,4
0,56	0,4	0,5	0,3	4,6	ZV220S_KS403_0240 EZ202U	1,6	6,6	33	24,00	0,32	0,56	37	36	2	20	42,4
0,56	0,6	0,7	0,4	3,0	ZV220S_KS403_0240 EZ203U	2,8	6,6	60	24,00	0,32	0,56	37	36	2	20	42,4
0,56	0,9	1,0	0,6	2,1	ZV220S_KS403_0240 EZ301U	2,9	6,6	62	24,00	0,32	0,56	37	36	2	20	42,4
0,56	1,6	1,8	1,1	1,2	ZV220S_KS403_0240 EZ302U	4,2	6,6	90	24,00	0,32	0,56	37	36	2	20	42,4
0,67	0,8	0,9	0,8	2,4	ZV220S_KS402_0200 EZ301U	2,5	6,6	53	20,00	0,44	0,67	37	36	2	20	42,4

10.2 Auswahltabelle 10 Zahnstangentriebe ZVKS

v_{fzN} [m/s]	F_{fzN} [kN]	$F_{fz,0}$ [kN]	a_{th}	S	Typ	F_{fzaccE} [kN]	$F_{fzNOT,E}$ [kN]	M_{zaccE} [Nm]	i	$v_{fzmaxDB}$ [m/s]	$v_{fzmaxZB}$ [m/s]	Δs [μm]	C_{lin} [N/μm]	m_n [mm]	z	d_0 [mm]
ZV2KS4 ($n_{fzN} = 6000 \text{ min}^{-1}$, ($F_{fzacc,max} = 4,2 \text{ kN}$))																
0,67	1,3	1,5	1,4	1,4	ZV220S_KS402_0200 EZ302U	4,2	6,6	90	20,00	0,44	0,67	37	36	2	20	42,4
0,67	1,8	2,0	1,8	1,1	ZV220S_KS402_0200 EZ303U	4,2	6,6	90	20,00	0,44	0,67	37	36	2	20	42,4
0,95	0,6	0,6	1,2	3,5	ZV220S_KS402_0140 EZ301U	1,8	6,6	37	14,00	0,64	0,95	37	36	2	20	42,4
0,95	0,9	1,1	2,1	2,1	ZV220S_KS402_0140 EZ302U	3,1	6,6	67	14,00	0,64	0,95	37	36	2	20	42,4
0,95	1,2	1,4	2,7	1,6	ZV220S_KS402_0140 EZ303U	4,2	6,6	90	14,00	0,64	0,95	37	36	2	20	42,4
0,95	1,4	1,8	3,2	1,3	ZV220S_KS402_0140 EZ401U	4,2	6,6	90	14,00	0,64	0,95	37	36	2	20	42,4
1,33	0,4	0,4	1,9	4,8	ZV220S_KS402_0100 EZ301U	1,3	6,6	27	10,00	0,84	1,33	37	36	2	20	42,4
1,33	0,7	0,8	3,1	2,9	ZV220S_KS402_0100 EZ302U	2,2	6,6	48	10,00	0,84	1,33	37	36	2	20	42,4
1,33	0,9	1,0	4,1	2,2	ZV220S_KS402_0100 EZ303U	3,1	6,6	67	10,00	0,84	1,33	37	36	2	20	42,4
1,33	1,0	1,3	4,8	1,9	ZV220S_KS402_0100 EZ401U	3,8	6,6	81	10,00	0,84	1,33	37	36	2	20	42,4
1,33	1,5	2,0	7,1	1,3	ZV220S_KS402_0100 EZ501U	4,2	6,6	90	10,00	0,84	1,33	37	36	2	20	42,4
1,33	1,6	2,2	7,3	1,2	ZV220S_KS402_0100 EZ402U	4,2	6,6	90	10,00	0,84	1,33	37	36	2	20	42,4
1,67	0,5	0,6	4,1	3,6	ZV220S_KS402_0080 EZ302U	1,8	6,6	38	8,000	0,97	1,67	37	36	2	20	42,4
1,67	0,7	0,8	5,4	2,7	ZV220S_KS402_0080 EZ303U	2,5	6,6	53	8,000	0,97	1,67	37	36	2	20	42,4
1,67	0,8	1,0	6,3	2,3	ZV220S_KS402_0080 EZ401U	3,0	6,6	65	8,000	0,97	1,67	37	36	2	20	42,4
1,67	1,2	1,6	9,3	1,6	ZV220S_KS402_0080 EZ501U	4,2	6,6	90	8,000	0,97	1,67	37	36	2	20	42,4
1,67	1,3	1,8	9,6	1,5	ZV220S_KS402_0080 EZ402U	4,2	6,6	90	8,000	0,97	1,67	37	36	2	20	42,4
1,67	1,9	2,8	14	1,0	ZV220S_KS402_0080 EZ502U	4,2	6,6	90	8,000	0,97	1,67	37	36	2	20	42,4
2,22	0,4	0,5	5,8	4,8	ZV220S_KS402_0060 EZ302U	1,3	6,6	29	6,000	1,11	2,22	37	36	2	20	42,4
2,22	0,5	0,6	7,6	3,7	ZV220S_KS402_0060 EZ303U	1,9	6,6	40	6,000	1,11	2,22	37	36	2	20	42,4
2,22	0,6	0,8	8,9	3,1	ZV220S_KS402_0060 EZ401U	2,3	6,6	48	6,000	1,11	2,22	37	36	2	20	42,4
2,22	0,9	1,2	13	2,1	ZV220S_KS402_0060 EZ501U	4,2	6,6	90	6,000	1,11	2,22	37	36	2	20	42,4
2,22	0,9	1,3	14	2,1	ZV220S_KS402_0060 EZ402U	4,2	6,6	90	6,000	1,11	2,22	37	36	2	20	42,4
2,22	1,4	2,1	20	1,4	ZV220S_KS402_0060 EZ502U	4,2	6,6	90	6,000	1,11	2,22	37	36	2	20	42,4
2,22	1,6	2,3	22	1,2	ZV220S_KS402_0060 EZ404U	4,2	6,6	90	6,000	1,11	2,22	37	36	2	20	42,4
2,22	1,7	2,8	24	1,2	ZV220S_KS402_0060 EZ503U	4,2	6,6	90	6,000	1,11	2,22	37	36	2	20	42,4
ZV2KS5 ($n_{fzN} = 3000 \text{ min}^{-1}$, ($F_{fzacc,max} = 7,5 \text{ kN}$))																
0,08	3,3	3,3	0,1	1,1	ZV225S_KS503_1000 EZ301U	7,5	11	200	100,0	0,12	0,17	39	46	2	25	53,1
0,10	2,6	2,7	0,1	1,4	ZV225S_KS503_0800 EZ301U	7,5	11	200	80,00	0,15	0,21	39	46	2	25	53,1
0,12	2,3	2,3	0,1	1,6	ZV225S_KS503_0700 EZ301U	6,9	11	182	70,00	0,17	0,24	39	46	2	25	53,1
0,17	1,6	1,7	0,1	2,3	ZV225S_KS503_0500 EZ301U	4,9	11	130	50,00	0,19	0,33	39	46	2	25	53,1
0,17	2,8	2,9	0,2	1,3	ZV225S_KS503_0500 EZ302U	7,5	11	200	50,00	0,19	0,33	39	46	2	25	53,1
0,17	3,6	3,8	0,3	1,0	ZV225S_KS503_0500 EZ303U	7,5	11	200	50,00	0,19	0,33	39	46	2	25	53,1
0,21	1,3	1,3	0,2	2,9	ZV225S_KS503_0400 EZ301U	3,9	11	104	40,00	0,22	0,42	39	46	2	25	53,1
0,21	2,2	2,4	0,3	1,7	ZV225S_KS503_0400 EZ302U	7,0	11	186	40,00	0,22	0,42	39	46	2	25	53,1
0,21	2,9	3,1	0,4	1,3	ZV225S_KS503_0400 EZ303U	7,5	11	200	40,00	0,22	0,42	39	46	2	25	53,1
0,26	1,0	1,1	0,2	3,6	ZV225S_KS503_0320 EZ301U	3,1	11	83	32,00	0,27	0,52	39	46	2	25	53,1
0,26	1,8	1,9	0,4	2,1	ZV225S_KS503_0320 EZ302U	5,6	11	149	32,00	0,27	0,52	39	46	2	25	53,1
0,26	2,3	2,5	0,5	1,6	ZV225S_KS503_0320 EZ303U	7,5	11	200	32,00	0,27	0,52	39	46	2	25	53,1
0,26	3,1	3,4	0,7	1,2	ZV225S_KS503_0320 EZ401U	7,5	11	200	32,00	0,27	0,52	39	46	2	25	53,1
0,35	0,8	0,8	0,3	4,8	ZV225S_KS503_0240 EZ301U	2,4	11	62	24,00	0,36	0,69	39	46	2	25	53,1
0,35	1,3	1,4	0,6	2,8	ZV225S_KS503_0240 EZ302U	4,2	11	112	24,00	0,36	0,69	39	46	2	25	53,1
0,35	1,7	1,8	0,7	2,1	ZV225S_KS503_0240 EZ303U	5,9	11	156	24,00	0,36	0,69	39	46	2	25	53,1
0,35	2,4	2,5	1,0	1,6	ZV225S_KS503_0240 EZ401U	7,2	11	190	24,00	0,36	0,69	39	46	2	25	53,1
0,35	3,6	4,0	1,5	1,0	ZV225S_KS503_0240 EZ501U	7,5	11	200	24,00	0,36	0,69	39	46	2	25	53,1
0,42	2,0	2,1	1,2	1,9	ZV225S_KS502_0200 EZ401U	6,1	11	162	20,00	0,49	0,83	39	46	2	25	53,1
0,42	3,1	3,4	1,9	1,2	ZV225S_KS502_0200 EZ501U	7,5	11	200	20,00	0,49	0,83	39	46	2	25	53,1
0,42	3,4	3,7	2,1	1,1	ZV225S_KS502_0200 EZ402U	7,5	11	200	20,00	0,49	0,83	39	46	2	25	53,1
0,60	1,4	1,5	1,9	2,7	ZV225S_KS502_0140 EZ401U	4,3	11	113	14,00	0,64	1,19	39	46	2	25	53,1
0,60	2,2	2,4	2,9	1,7	ZV225S_KS502_0140 EZ501U	7,5	11	200	14,00	0,64	1,19	39	46	2	25	53,1
0,60	2,4	2,6	3,2	1,6	ZV225S_KS502_0140 EZ402U	7,5	11	200	14,00	0,64	1,19	39	46	2	25	53,1
0,60	3,5	4,3	4,7	1,1	ZV225S_KS502_0140 EZ404U	7,5	11	200	14,00	0,64	1,19	39	46	2	25	53,1
0,60	3,7	4,0	5,0	1,0	ZV225S_KS502_0140 EZ502U	7,5	11	200	14,00	0,64	1,19	39	46	2	25	53,1
0,60	3,7	4,2	5,0	1,0	ZV225S_KS502_0140 EZ701U	7,5	11	200	14,00	0,64	1,19	39	46	2	25	53,1
0,83	1,0	1,1	2,9	3,7	ZV225S_KS502_0100 EZ401U	3,0	11	81	10,00	0,83	1,67	39	46	2	25	53,1
0,83	1,5	1,7	4,4	2,4	ZV225S_KS502_0100 EZ501U	5,7	11	152	10,00	0,83	1,67	39	46	2	25	53,1
0,83	1,7	1,9	4,8	2,2	ZV225S_KS502_0100 EZ402U	5,7	11	152	10,00	0,83	1,67	39	46	2	25	53,1
0,83	2,5	3,1	7,0	1,5	ZV225S_KS502_0100 EZ404U	7,5	11	200	10,00	0,83	1,67	39	46	2	25	53,1
0,83	2,7	2,9	7,6	1,4	ZV225S_KS502_0100 EZ502U	7,5	11	200	10,00	0,83	1,67	39	46	2	25	53,1
0,83	2,7	3,0	7,6	1,4	ZV225S_KS502_0100 EZ701U	7,2	11	190	10,00	0,83	1,67	39	46	2	25	53,1
0,83	3,5	4,0	9,9	1,1	ZV225S_KS502_0100 EZ503U	7,5	11	200	10,00	0,83	1,67	39	46	2	25	53,1
1,04	0,8	0,9	3,7	4,7	ZV225S_KS502_0080 EZ401U	2,4	11	65	8,000	0,97	2,08	39	46	2	25	53,1
1,04	1,2	1,3	5,7	3,0	ZV225S_KS502_0080 EZ501U	4,6	11	122	8,000	0,97	2,08	39	46	2	25	53,1
1,04	1,3	1,5	6,3	2,8	ZV225S_KS502_0080 EZ402U	4,6	11	122	8,000	0,97	2,08	39	46	2	25	53,1
1,04	2,0	2,5	9,2	1,9	ZV225S_KS502_0080 EZ404U	7,5	11	200	8,000	0,97	2,08	39	46	2	25	53,1
1,04	2,1	2,3	9,9	1,8	ZV225S_KS502_0080 EZ502U	7,5	11	200	8,000	0,97	2,08	39	46	2	25	53,1

v_{fzN} [m/s]	F_{fzN} [kN]	$F_{fz,0}$ [kN]	a_{th}	S	Typ	F_{fzaccE} [kN]	$F_{fzNOT,E}$ [kN]	M_{zaccE} [Nm]	i	$v_{fzmaxDB}$ [m/s]	$v_{fzmaxZB}$ [m/s]	Δs [μm]	C_{lin} [N/μm]	m_n [mm]	z	d_0 [mm]
ZV2KS5 ($n_{fN} = 3000 \text{ min}^{-1}$, ($F_{fzacc,max} = 7,5 \text{ kN}$))																
1,04	2,1	2,4	9,9	1,8	ZV225S_KS502_0080 EZ701U	5,7	11	152	8,000	0,97	2,08	39	46	2	25	53,1
1,04	2,8	3,2	13	1,3	ZV225S_KS502_0080 EZ503U	7,5	11	200	8,000	0,97	2,08	39	46	2	25	53,1
1,04	3,4	4,1	16	1,1	ZV225S_KS502_0080 EZ702U	7,5	11	200	8,000	0,97	2,08	39	46	2	25	53,1
1,39	0,9	1,0	9,2	3,6	ZV225S_KS502_0060 EZ501U	3,4	11	91	6,000	1,16	2,55	39	46	2	25	53,1
1,39	1,0	1,1	10	3,3	ZV225S_KS502_0060 EZ402U	3,4	11	91	6,000	1,16	2,55	39	46	2	25	53,1
1,39	1,5	1,8	15	2,2	ZV225S_KS502_0060 EZ404U	6,2	11	165	6,000	1,16	2,55	39	46	2	25	53,1
1,39	1,6	1,7	16	2,1	ZV225S_KS502_0060 EZ502U	6,7	11	177	6,000	1,16	2,55	39	46	2	25	53,1
1,39	1,6	1,8	16	2,1	ZV225S_KS502_0060 EZ701U	4,3	11	114	6,000	1,16	2,55	39	46	2	25	53,1
1,39	2,1	2,4	21	1,6	ZV225S_KS502_0060 EZ503U	7,5	11	200	6,000	1,16	2,55	39	46	2	25	53,1
1,39	2,6	3,1	26	1,3	ZV225S_KS502_0060 EZ702U	7,5	11	200	6,000	1,16	2,55	39	46	2	25	53,1
1,39	2,9	3,4	29	1,1	ZV225S_KS502_0060 EZ505U	7,5	11	200	6,000	1,16	2,55	39	46	2	25	53,1
ZV2KS5 ($n_{fN} = 4500 \text{ min}^{-1}$, ($F_{fzacc,max} = 7,5 \text{ kN}$))																
1,56	2,7	4,4	15	1,2	ZV225S_KS502_0080 EZ505U	7,5	11	200	8,000	0,97	2,08	39	46	2	25	53,1
2,08	2,0	3,3	23	1,4	ZV225S_KS502_0060 EZ505U	7,5	11	200	6,000	1,16	2,55	39	46	2	25	53,1
2,08	2,6	4,3	30	1,1	ZV225S_KS502_0060 EZ703U	7,5	11	200	6,000	1,16	2,55	39	46	2	25	53,1
ZV2KS5 ($n_{fN} = 6000 \text{ min}^{-1}$, ($F_{fzacc,max} = 7,5 \text{ kN}$))																
0,21	2,5	2,7	0,1	1,2	ZV225S_KS503_0800 EZ301U	7,5	11	200	80,00	0,15	0,21	39	46	2	25	53,1
0,24	2,2	2,3	0,1	1,4	ZV225S_KS503_0700 EZ301U	6,9	11	182	70,00	0,17	0,24	39	46	2	25	53,1
0,33	1,6	1,7	0,2	1,9	ZV225S_KS503_0500 EZ301U	4,9	11	130	50,00	0,19	0,33	39	46	2	25	53,1
0,33	2,6	2,9	0,3	1,1	ZV225S_KS503_0500 EZ302U	7,5	11	200	50,00	0,19	0,33	39	46	2	25	53,1
0,42	1,2	1,3	0,2	2,4	ZV225S_KS503_0400 EZ301U	3,9	11	104	40,00	0,22	0,42	39	46	2	25	53,1
0,42	2,1	2,4	0,4	1,4	ZV225S_KS503_0400 EZ302U	7,0	11	186	40,00	0,22	0,42	39	46	2	25	53,1
0,42	2,7	3,2	0,5	1,1	ZV225S_KS503_0400 EZ303U	7,5	11	200	40,00	0,22	0,42	39	46	2	25	53,1
0,52	1,0	1,1	0,3	3,0	ZV225S_KS503_0320 EZ301U	3,1	11	83	32,00	0,27	0,52	39	46	2	25	53,1
0,52	1,7	1,9	0,5	1,8	ZV225S_KS503_0320 EZ302U	5,6	11	149	32,00	0,27	0,52	39	46	2	25	53,1
0,52	2,2	2,5	0,6	1,4	ZV225S_KS503_0320 EZ303U	7,5	11	200	32,00	0,27	0,52	39	46	2	25	53,1
0,52	2,6	3,1	0,7	1,2	ZV225S_KS503_0320 EZ401U	7,5	11	200	32,00	0,27	0,52	39	46	2	25	53,1
0,69	0,7	0,8	0,4	4,0	ZV225S_KS503_0240 EZ301U	2,4	11	62	24,00	0,36	0,69	39	46	2	25	53,1
0,69	1,3	1,4	0,7	2,4	ZV225S_KS503_0240 EZ302U	4,2	11	112	24,00	0,36	0,69	39	46	2	25	53,1
0,69	1,6	1,9	0,9	1,8	ZV225S_KS503_0240 EZ303U	5,9	11	156	24,00	0,36	0,69	39	46	2	25	53,1
0,69	1,9	2,4	1,0	1,5	ZV225S_KS503_0240 EZ401U	7,2	11	190	24,00	0,36	0,69	39	46	2	25	53,1
0,69	2,9	3,7	1,5	1,0	ZV225S_KS503_0240 EZ501U	7,5	11	200	24,00	0,36	0,69	39	46	2	25	53,1
0,69	2,9	4,1	1,5	1,0	ZV225S_KS503_0240 EZ402U	7,5	11	200	24,00	0,36	0,69	39	46	2	25	53,1
0,83	1,6	2,0	1,3	1,8	ZV225S_KS502_0200 EZ401U	6,1	11	162	20,00	0,49	0,83	39	46	2	25	53,1
0,83	2,4	3,2	1,9	1,2	ZV225S_KS502_0200 EZ501U	7,5	11	200	20,00	0,49	0,83	39	46	2	25	53,1
0,83	2,5	3,5	2,0	1,2	ZV225S_KS502_0200 EZ402U	7,5	11	200	20,00	0,49	0,83	39	46	2	25	53,1
1,19	1,2	1,4	2,0	2,6	ZV225S_KS502_0140 EZ401U	4,3	11	113	14,00	0,64	1,19	39	46	2	25	53,1
1,19	1,7	2,2	2,9	1,7	ZV225S_KS502_0140 EZ501U	7,5	11	200	14,00	0,64	1,19	39	46	2	25	53,1
1,19	1,8	2,5	3,0	1,7	ZV225S_KS502_0140 EZ402U	7,5	11	200	14,00	0,64	1,19	39	46	2	25	53,1
1,19	2,6	3,9	4,5	1,1	ZV225S_KS502_0140 EZ502U	7,5	11	200	14,00	0,64	1,19	39	46	2	25	53,1
1,19	2,6	4,0	4,5	1,1	ZV225S_KS502_0140 EZ701U	7,5	11	200	14,00	0,64	1,19	39	46	2	25	53,1
1,19	2,9	4,2	5,0	1,0	ZV225S_KS502_0140 EZ404U	7,5	11	200	14,00	0,64	1,19	39	46	2	25	53,1
1,67	0,8	1,0	3,0	3,6	ZV225S_KS502_0100 EZ401U	3,0	11	81	10,00	0,83	1,67	39	46	2	25	53,1
1,67	1,2	1,6	4,4	2,4	ZV225S_KS502_0100 EZ501U	5,7	11	152	10,00	0,83	1,67	39	46	2	25	53,1
1,67	1,3	1,8	4,5	2,4	ZV225S_KS502_0100 EZ402U	5,7	11	152	10,00	0,83	1,67	39	46	2	25	53,1
1,67	1,9	2,8	6,7	1,6	ZV225S_KS502_0100 EZ502U	7,5	11	200	10,00	0,83	1,67	39	46	2	25	53,1
1,67	1,9	2,8	6,7	1,6	ZV225S_KS502_0100 EZ701U	7,2	11	190	10,00	0,83	1,67	39	46	2	25	53,1
1,67	2,1	3,0	7,5	1,4	ZV225S_KS502_0100 EZ404U	7,5	11	200	10,00	0,83	1,67	39	46	2	25	53,1
1,67	2,2	3,8	8,0	1,3	ZV225S_KS502_0100 EZ503U	7,5	11	200	10,00	0,83	1,67	39	46	2	25	53,1
1,67	2,6	5,1	9,3	1,2	ZV225S_KS502_0100 EZ702U	7,5	11	200	10,00	0,83	1,67	39	46	2	25	53,1
2,08	0,7	0,8	3,9	4,5	ZV225S_KS502_0080 EZ401U	2,4	11	65	8,000	0,97	2,08	39	46	2	25	53,1
2,08	1,0	1,3	5,7	3,0	ZV225S_KS502_0080 EZ501U	4,6	11	122	8,000	0,97	2,08	39	46	2	25	53,1
2,08	1,0	1,4	5,9	3,0	ZV225S_KS502_0080 EZ402U	4,6	11	122	8,000	0,97	2,08	39	46	2	25	53,1
2,08	1,5	2,2	8,7	2,0	ZV225S_KS502_0080 EZ502U	7,5	11	200	8,000	0,97	2,08	39	46	2	25	53,1
2,08	1,5	2,3	8,7	2,0	ZV225S_KS502_0080 EZ701U	5,7	11	152	8,000	0,97	2,08	39	46	2	25	53,1
2,08	1,7	2,4	9,7	1,8	ZV225S_KS502_0080 EZ404U	7,5	11	200	8,000	0,97	2,08	39	46	2	25	53,1
2,08	1,8	3,0	10	1,7	ZV225S_KS502_0080 EZ503U	7,5	11	200	8,000	0,97	2,08	39	46	2	25	53,1
2,08	2,1	4,1	12	1,4	ZV225S_KS502_0080 EZ702U	7,5	11	200	8,000	0,97	2,08	39	46	2	25	53,1
ZV3KS5 ($n_{fN} = 3000 \text{ min}^{-1}$, ($F_{fzacc,max} = 7,0 \text{ kN}$))																
0,09	3,0	3,1	0,1	1,1	ZV318S_KS503_1000 EZ301U	7,0	10	200	100,0	0,13	0,18	42	44	3	18	57,3
0,11	2,4	2,5	0,1	1,4	ZV318S_KS503_0800 EZ301U	7,0	10	200	80,00	0,16	0,23	42	44	3	18	57,3
0,13	2,1	2,2	0,1	1,6	ZV318S_KS503_0700 EZ301U	6,4	10	182	70,00	0,18	0,26	42	44	3	18	57,3
0,18	1,5	1,5	0,1	2,3	ZV318S_KS503_0500 EZ301U	4,5	10	130	50,00	0,21	0,36	42	44	3	18	57,3
0,18	2,6	2,7	0,2	1,3	ZV318S_KS503_0500 EZ302U	7,0	10	200	50,00	0,21	0,36	42	44	3	18	57,3
0,18	3,4	3,6	0,3	1,0	ZV318S_KS503_0500 EZ303U	7,0	10	200	50,00	0,21	0,36	42	44	3	18	57,3
0,23	1,2	1,2	0,2	2,9	ZV318S_KS503_0400 EZ301U	3,6	10	104	40,00	0,23	0,45	42	44	3	18	57,3

10.2 Auswahltabelle 10 Zahnstangentriebe ZVKS

v_{fzN} [m/s]	F_{fzN} [kN]	$F_{fz,0}$ [kN]	a_{th}	S	Typ	F_{fzaccE} [kN]	$F_{fzNOT,E}$ [kN]	M_{fzaccE} [Nm]	i	$v_{fzmaxDB}$ [m/s]	$v_{fzmaxZB}$ [m/s]	Δs [μm]	C_{lin} [N/μm]	m_n [mm]	z	d_0 [mm]
ZV3KS5 ($n_{fN} = 3000 \text{ min}^{-1}$, ($F_{fzacc,max} = 7,0 \text{ kN}$))																
0,23	2,1	2,2	0,3	1,7	ZV318S_KS503_0400 EZ302U	6,5	10	186	40,00	0,23	0,45	42	44	3	18	57,3
0,23	2,7	2,8	0,4	1,3	ZV318S_KS503_0400 EZ303U	7,0	10	200	40,00	0,23	0,45	42	44	3	18	57,3
0,28	1,0	1,0	0,2	3,6	ZV318S_KS503_0320 EZ301U	2,9	10	83	32,00	0,29	0,56	42	44	3	18	57,3
0,28	1,7	1,7	0,4	2,1	ZV318S_KS503_0320 EZ302U	5,2	10	149	32,00	0,29	0,56	42	44	3	18	57,3
0,28	2,2	2,3	0,5	1,6	ZV318S_KS503_0320 EZ303U	7,0	10	200	32,00	0,29	0,56	42	44	3	18	57,3
0,28	2,9	3,1	0,7	1,2	ZV318S_KS503_0320 EZ401U	7,0	10	200	32,00	0,29	0,56	42	44	3	18	57,3
0,38	0,7	0,7	0,3	4,8	ZV318S_KS503_0240 EZ301U	2,2	10	62	24,00	0,39	0,75	42	44	3	18	57,3
0,38	1,2	1,3	0,6	2,8	ZV318S_KS503_0240 EZ302U	3,9	10	112	24,00	0,39	0,75	42	44	3	18	57,3
0,38	1,6	1,7	0,7	2,1	ZV318S_KS503_0240 EZ303U	5,5	10	156	24,00	0,39	0,75	42	44	3	18	57,3
0,38	2,2	2,3	1,0	1,6	ZV318S_KS503_0240 EZ401U	6,6	10	190	24,00	0,39	0,75	42	44	3	18	57,3
0,38	3,4	3,7	1,5	1,0	ZV318S_KS503_0240 EZ501U	7,0	10	200	24,00	0,39	0,75	42	44	3	18	57,3
0,45	1,9	2,0	1,2	1,9	ZV318S_KS502_0200 EZ401U	5,6	10	162	20,00	0,53	0,90	42	44	3	18	57,3
0,45	2,9	3,1	1,9	1,2	ZV318S_KS502_0200 EZ501U	7,0	10	200	20,00	0,53	0,90	42	44	3	18	57,3
0,45	3,1	3,4	2,1	1,1	ZV318S_KS502_0200 EZ402U	7,0	10	200	20,00	0,53	0,90	42	44	3	18	57,3
0,64	1,3	1,4	1,9	2,7	ZV318S_KS502_0140 EZ401U	3,9	10	113	14,00	0,69	1,29	42	44	3	18	57,3
0,64	2,0	2,2	2,9	1,7	ZV318S_KS502_0140 EZ501U	7,0	10	200	14,00	0,69	1,29	42	44	3	18	57,3
0,64	2,2	2,4	3,2	1,6	ZV318S_KS502_0140 EZ402U	7,0	10	200	14,00	0,69	1,29	42	44	3	18	57,3
0,64	3,2	4,0	4,7	1,1	ZV318S_KS502_0140 EZ404U	7,0	10	200	14,00	0,69	1,29	42	44	3	18	57,3
0,64	3,4	3,7	5,0	1,0	ZV318S_KS502_0140 EZ502U	7,0	10	200	14,00	0,69	1,29	42	44	3	18	57,3
0,64	3,4	3,9	5,0	1,0	ZV318S_KS502_0140 EZ701U	7,0	10	200	14,00	0,69	1,29	42	44	3	18	57,3
0,90	0,9	1,0	2,9	3,7	ZV318S_KS502_0100 EZ401U	2,8	10	81	10,00	0,90	1,80	42	44	3	18	57,3
0,90	1,4	1,6	4,4	2,4	ZV318S_KS502_0100 EZ501U	5,3	10	152	10,00	0,90	1,80	42	44	3	18	57,3
0,90	1,6	1,7	4,8	2,2	ZV318S_KS502_0100 EZ402U	5,3	10	152	10,00	0,90	1,80	42	44	3	18	57,3
0,90	2,3	2,9	7,0	1,5	ZV318S_KS502_0100 EZ404U	7,0	10	200	10,00	0,90	1,80	42	44	3	18	57,3
0,90	2,5	2,7	7,6	1,4	ZV318S_KS502_0100 EZ502U	7,0	10	200	10,00	0,90	1,80	42	44	3	18	57,3
0,90	2,5	2,8	7,6	1,4	ZV318S_KS502_0100 EZ701U	6,6	10	190	10,00	0,90	1,80	42	44	3	18	57,3
0,90	3,2	3,7	9,9	1,1	ZV318S_KS502_0100 EZ503U	7,0	10	200	10,00	0,90	1,80	42	44	3	18	57,3
1,13	0,7	0,8	3,7	4,7	ZV318S_KS502_0080 EZ401U	2,3	10	65	8,000	1,05	2,25	42	44	3	18	57,3
1,13	1,1	1,2	5,7	3,0	ZV318S_KS502_0080 EZ501U	4,2	10	122	8,000	1,05	2,25	42	44	3	18	57,3
1,13	1,2	1,4	6,3	2,8	ZV318S_KS502_0080 EZ402U	4,2	10	122	8,000	1,05	2,25	42	44	3	18	57,3
1,13	1,8	2,3	9,2	1,9	ZV318S_KS502_0080 EZ404U	7,0	10	200	8,000	1,05	2,25	42	44	3	18	57,3
1,13	2,0	2,1	9,9	1,8	ZV318S_KS502_0080 EZ502U	7,0	10	200	8,000	1,05	2,25	42	44	3	18	57,3
1,13	2,0	2,2	9,9	1,8	ZV318S_KS502_0080 EZ701U	5,3	10	152	8,000	1,05	2,25	42	44	3	18	57,3
1,13	2,6	2,9	13	1,3	ZV318S_KS502_0080 EZ503U	7,0	10	200	8,000	1,05	2,25	42	44	3	18	57,3
1,13	3,2	3,8	16	1,1	ZV318S_KS502_0080 EZ702U	7,0	10	200	8,000	1,05	2,25	42	44	3	18	57,3
1,50	0,9	0,9	9,2	3,6	ZV318S_KS502_0060 EZ501U	3,2	10	91	6,000	1,25	2,75	42	44	3	18	57,3
1,50	0,9	1,0	10	3,3	ZV318S_KS502_0060 EZ402U	3,2	10	91	6,000	1,25	2,75	42	44	3	18	57,3
1,50	1,4	1,7	15	2,2	ZV318S_KS502_0060 EZ404U	5,8	10	165	6,000	1,25	2,75	42	44	3	18	57,3
1,50	1,5	1,6	16	2,1	ZV318S_KS502_0060 EZ502U	6,2	10	177	6,000	1,25	2,75	42	44	3	18	57,3
1,50	1,5	1,7	16	2,1	ZV318S_KS502_0060 EZ701U	4,0	10	114	6,000	1,25	2,75	42	44	3	18	57,3
1,50	1,9	2,2	21	1,6	ZV318S_KS502_0060 EZ503U	7,0	10	200	6,000	1,25	2,75	42	44	3	18	57,3
1,50	2,4	2,9	26	1,3	ZV318S_KS502_0060 EZ702U	7,0	10	200	6,000	1,25	2,75	42	44	3	18	57,3
1,50	2,7	3,2	29	1,1	ZV318S_KS502_0060 EZ505U	7,0	10	200	6,000	1,25	2,75	42	44	3	18	57,3
ZV3KS5 ($n_{fN} = 4500 \text{ min}^{-1}$, ($F_{fzacc,max} = 7,0 \text{ kN}$))																
1,69	2,5	4,1	15	1,2	ZV318S_KS502_0080 EZ505U	7,0	10	200	8,000	1,05	2,25	42	44	3	18	57,3
2,25	1,9	3,0	23	1,4	ZV318S_KS502_0060 EZ505U	7,0	10	200	6,000	1,25	2,75	42	44	3	18	57,3
2,25	2,4	4,0	30	1,1	ZV318S_KS502_0060 EZ703U	7,0	10	200	6,000	1,25	2,75	42	44	3	18	57,3
ZV3KS5 ($n_{fN} = 6000 \text{ min}^{-1}$, ($F_{fzacc,max} = 7,0 \text{ kN}$))																
0,23	2,3	2,5	0,1	1,2	ZV318S_KS503_0800 EZ301U	7,0	10	200	80,00	0,16	0,23	42	44	3	18	57,3
0,26	2,0	2,2	0,1	1,4	ZV318S_KS503_0700 EZ301U	6,4	10	182	70,00	0,18	0,26	42	44	3	18	57,3
0,36	1,4	1,5	0,2	1,9	ZV318S_KS503_0500 EZ301U	4,5	10	130	50,00	0,21	0,36	42	44	3	18	57,3
0,36	2,4	2,7	0,3	1,1	ZV318S_KS503_0500 EZ302U	7,0	10	200	50,00	0,21	0,36	42	44	3	18	57,3
0,45	1,2	1,2	0,2	2,4	ZV318S_KS503_0400 EZ301U	3,6	10	104	40,00	0,23	0,45	42	44	3	18	57,3
0,45	1,9	2,2	0,4	1,4	ZV318S_KS503_0400 EZ302U	6,5	10	186	40,00	0,23	0,45	42	44	3	18	57,3
0,45	2,5	2,9	0,5	1,1	ZV318S_KS503_0400 EZ303U	7,0	10	200	40,00	0,23	0,45	42	44	3	18	57,3
0,56	0,9	1,0	0,3	3,0	ZV318S_KS503_0320 EZ301U	2,9	10	83	32,00	0,29	0,56	42	44	3	18	57,3
0,56	1,6	1,7	0,5	1,8	ZV318S_KS503_0320 EZ302U	5,2	10	149	32,00	0,29	0,56	42	44	3	18	57,3
0,56	2,0	2,3	0,6	1,4	ZV318S_KS503_0320 EZ303U	7,0	10	200	32,00	0,29	0,56	42	44	3	18	57,3
0,56	2,4	2,9	0,7	1,2	ZV318S_KS503_0320 EZ401U	7,0	10	200	32,00	0,29	0,56	42	44	3	18	57,3
0,75	0,7	0,7	0,4	4,0	ZV318S_KS503_0240 EZ301U	2,2	10	62	24,00	0,39	0,75	42	44	3	18	57,3
0,75	1,2	1,3	0,7	2,4	ZV318S_KS503_0240 EZ302U	3,9	10	112	24,00	0,39	0,75	42	44	3	18	57,3
0,75	1,5	1,8	0,9	1,8	ZV318S_KS503_0240 EZ303U	5,5	10	156	24,00	0,39	0,75	42	44	3	18	57,3
0,75	1,8	2,2	1,0	1,5	ZV318S_KS503_0240 EZ401U	6,6	10	190	24,00	0,39	0,75	42	44	3	18	57,3
0,75	2,6	3,4	1,5	1,0	ZV318S_KS503_0240 EZ501U	7,0	10	200	24,00	0,39	0,75	42	44	3	18	57,3
0,75	2,7	3,8	1,5	1,0	ZV318S_KS503_0240 EZ402U	7,0	10	200	24,00	0,39	0,75	42	44	3	18	57,3
0,90	1,5	1,9	1,3	1,8	ZV318S_KS502_0200 EZ401U	5,6	10	162	20,00	0,53	0,90	42	44	3	18	57,3

v_{fzN} [m/s]	F_{fzN} [kN]	$F_{fz,0}$ [kN]	a_{th}	S	Typ	F_{fzaccE} [kN]	$F_{fzNOT,E}$ [kN]	M_{zaccE} [Nm]	i	$v_{fzmaxDB}$ [m/s]	$v_{fzmaxZB}$ [m/s]	Δs [μm]	C_{lin} [N/μm]	m_n [mm]	z	d_0 [mm]
ZV3KS5 ($n_{fN} = 6000 \text{ min}^{-1}$, ($F_{fzacc,max} = 7,0 \text{ kN}$))																
0,90	2,3	2,9	1,9	1,2	ZV318S_KS502_0200 EZ501U	7,0	10	200	20,00	0,53	0,90	42	44	3	18	57,3
0,90	2,3	3,2	2,0	1,2	ZV318S_KS502_0200 EZ402U	7,0	10	200	20,00	0,53	0,90	42	44	3	18	57,3
1,29	1,1	1,3	2,0	2,6	ZV318S_KS502_0140 EZ401U	3,9	10	113	14,00	0,69	1,29	42	44	3	18	57,3
1,29	1,6	2,0	2,9	1,7	ZV318S_KS502_0140 EZ501U	7,0	10	200	14,00	0,69	1,29	42	44	3	18	57,3
1,29	1,6	2,3	3,0	1,7	ZV318S_KS502_0140 EZ402U	7,0	10	200	14,00	0,69	1,29	42	44	3	18	57,3
1,29	2,4	3,6	4,5	1,1	ZV318S_KS502_0140 EZ502U	7,0	10	200	14,00	0,69	1,29	42	44	3	18	57,3
1,29	2,4	3,7	4,5	1,1	ZV318S_KS502_0140 EZ701U	7,0	10	200	14,00	0,69	1,29	42	44	3	18	57,3
1,29	2,7	3,9	5,0	1,0	ZV318S_KS502_0140 EZ404U	7,0	10	200	14,00	0,69	1,29	42	44	3	18	57,3
1,80	0,8	0,9	3,0	3,6	ZV318S_KS502_0100 EZ401U	2,8	10	81	10,00	0,90	1,80	42	44	3	18	57,3
1,80	1,1	1,5	4,4	2,4	ZV318S_KS502_0100 EZ501U	5,3	10	152	10,00	0,90	1,80	42	44	3	18	57,3
1,80	1,2	1,6	4,5	2,4	ZV318S_KS502_0100 EZ402U	5,3	10	152	10,00	0,90	1,80	42	44	3	18	57,3
1,80	1,7	2,6	6,7	1,6	ZV318S_KS502_0100 EZ502U	7,0	10	200	10,00	0,90	1,80	42	44	3	18	57,3
1,80	1,7	2,6	6,7	1,6	ZV318S_KS502_0100 EZ701U	6,6	10	190	10,00	0,90	1,80	42	44	3	18	57,3
1,80	1,9	2,8	7,5	1,4	ZV318S_KS502_0100 EZ404U	7,0	10	200	10,00	0,90	1,80	42	44	3	18	57,3
1,80	2,1	3,5	8,0	1,3	ZV318S_KS502_0100 EZ503U	7,0	10	200	10,00	0,90	1,80	42	44	3	18	57,3
1,80	2,4	4,7	9,3	1,2	ZV318S_KS502_0100 EZ702U	7,0	10	200	10,00	0,90	1,80	42	44	3	18	57,3
2,25	0,6	0,7	3,9	4,5	ZV318S_KS502_0080 EZ401U	2,3	10	65	8,000	1,05	2,25	42	44	3	18	57,3
2,25	0,9	1,2	5,7	3,0	ZV318S_KS502_0080 EZ501U	4,2	10	122	8,000	1,05	2,25	42	44	3	18	57,3
2,25	0,9	1,3	5,9	3,0	ZV318S_KS502_0080 EZ402U	4,2	10	122	8,000	1,05	2,25	42	44	3	18	57,3
2,25	1,4	2,1	8,7	2,0	ZV318S_KS502_0080 EZ502U	7,0	10	200	8,000	1,05	2,25	42	44	3	18	57,3
2,25	1,4	2,1	8,7	2,0	ZV318S_KS502_0080 EZ701U	5,3	10	152	8,000	1,05	2,25	42	44	3	18	57,3
2,25	1,5	2,2	9,7	1,8	ZV318S_KS502_0080 EZ404U	7,0	10	200	8,000	1,05	2,25	42	44	3	18	57,3
2,25	1,6	2,8	10	1,7	ZV318S_KS502_0080 EZ503U	7,0	10	200	8,000	1,05	2,25	42	44	3	18	57,3
2,25	1,9	3,8	12	1,4	ZV318S_KS502_0080 EZ702U	7,0	10	200	8,000	1,05	2,25	42	44	3	18	57,3
ZV3KS7 ($n_{fN} = 3000 \text{ min}^{-1}$, ($F_{fzacc,max} = 11 \text{ kN}$))																
0,16	5,2	5,6	0,2	1,1	ZV322S_KS703_0700 EZ401U	11	17	400	70,00	0,18	0,31	41	68	3	22	70,0
0,22	3,7	4,0	0,3	1,5	ZV322S_KS703_0500 EZ401U	11	17	395	50,00	0,24	0,44	41	68	3	22	70,0
0,28	3,0	3,2	0,3	1,9	ZV322S_KS703_0400 EZ401U	9,0	17	316	40,00	0,28	0,55	41	68	3	22	70,0
0,28	4,6	5,0	0,5	1,2	ZV322S_KS703_0400 EZ501U	11	17	400	40,00	0,28	0,55	41	68	3	22	70,0
0,28	5,0	5,5	0,6	1,1	ZV322S_KS703_0400 EZ402U	11	17	400	40,00	0,28	0,55	41	68	3	22	70,0
0,34	2,4	2,5	0,5	2,4	ZV322S_KS703_0320 EZ401U	7,2	17	253	32,00	0,34	0,69	41	68	3	22	70,0
0,34	3,7	4,0	0,7	1,6	ZV322S_KS703_0320 EZ501U	11	17	400	32,00	0,34	0,69	41	68	3	22	70,0
0,34	4,0	4,4	0,8	1,4	ZV322S_KS703_0320 EZ402U	11	17	400	32,00	0,34	0,69	41	68	3	22	70,0
0,46	1,8	1,9	0,6	3,2	ZV322S_KS703_0240 EZ401U	5,4	17	190	24,00	0,46	0,92	41	68	3	22	70,0
0,46	2,7	3,0	1,0	2,1	ZV322S_KS703_0240 EZ501U	10	17	357	24,00	0,46	0,92	41	68	3	22	70,0
0,46	3,0	3,3	1,1	1,9	ZV322S_KS703_0240 EZ402U	10	17	357	24,00	0,46	0,92	41	68	3	22	70,0
0,46	4,4	5,5	1,6	1,3	ZV322S_KS703_0240 EZ404U	11	17	400	24,00	0,46	0,92	41	68	3	22	70,0
0,46	4,7	5,1	1,7	1,2	ZV322S_KS703_0240 EZ502U	11	17	400	24,00	0,46	0,92	41	68	3	22	70,0
0,46	4,7	5,3	1,7	1,2	ZV322S_KS703_0240 EZ701U	11	17	400	24,00	0,46	0,92	41	68	3	22	70,0
0,55	2,3	2,6	2,7	2,4	ZV322S_KS702_0200 EZ501U	8,7	17	304	20,00	0,59	1,10	41	68	3	22	70,0
0,55	4,0	4,3	4,6	1,4	ZV322S_KS702_0200 EZ502U	11	17	400	20,00	0,59	1,10	41	68	3	22	70,0
0,55	4,0	4,5	4,6	1,4	ZV322S_KS702_0200 EZ701U	11	17	380	20,00	0,59	1,10	41	68	3	22	70,0
0,55	5,3	6,0	6,0	1,1	ZV322S_KS702_0200 EZ503U	11	17	400	20,00	0,59	1,10	41	68	3	22	70,0
0,79	1,6	1,8	4,1	3,5	ZV322S_KS702_0140 EZ501U	6,1	17	213	14,00	0,79	1,57	41	68	3	22	70,0
0,79	2,8	3,0	7,0	2,0	ZV322S_KS702_0140 EZ502U	11	17	400	14,00	0,79	1,57	41	68	3	22	70,0
0,79	2,8	3,2	7,0	2,0	ZV322S_KS702_0140 EZ701U	7,6	17	266	14,00	0,79	1,57	41	68	3	22	70,0
0,79	3,7	4,2	9,2	1,5	ZV322S_KS702_0140 EZ503U	11	17	400	14,00	0,79	1,57	41	68	3	22	70,0
0,79	4,6	5,5	11	1,2	ZV322S_KS702_0140 EZ702U	11	17	400	14,00	0,79	1,57	41	68	3	22	70,0
0,79	5,1	6,1	13	1,1	ZV322S_KS702_0140 EZ505U	11	17	400	14,00	0,79	1,57	41	68	3	22	70,0
1,10	1,2	1,3	6,1	4,9	ZV322S_KS702_0100 EZ501U	4,3	17	152	10,00	1,03	2,20	41	68	3	22	70,0
1,10	2,0	2,2	10	2,8	ZV322S_KS702_0100 EZ502U	8,4	17	295	10,00	1,03	2,20	41	68	3	22	70,0
1,10	2,0	2,3	10	2,8	ZV322S_KS702_0100 EZ701U	5,4	17	190	10,00	1,03	2,20	41	68	3	22	70,0
1,10	2,6	3,0	14	2,2	ZV322S_KS702_0100 EZ503U	11	17	400	10,00	1,03	2,20	41	68	3	22	70,0
1,10	3,3	3,9	17	1,7	ZV322S_KS702_0100 EZ702U	11	17	390	10,00	1,03	2,20	41	68	3	22	70,0
1,10	3,7	4,3	19	1,5	ZV322S_KS702_0100 EZ505U	11	17	400	10,00	1,03	2,20	41	68	3	22	70,0
1,10	4,5	5,6	23	1,3	ZV322S_KS702_0100 EZ703U	11	17	400	10,00	1,03	2,20	41	68	3	22	70,0
1,38	1,6	1,7	14	3,5	ZV322S_KS702_0080 EZ502U	6,7	17	236	8,000	1,15	2,29	41	68	3	22	70,0
1,38	1,6	1,8	14	3,5	ZV322S_KS702_0080 EZ701U	4,3	17	152	8,000	1,15	2,29	41	68	3	22	70,0
1,38	2,1	2,4	18	2,7	ZV322S_KS702_0080 EZ503U	9,3	17	327	8,000	1,15	2,29	41	68	3	22	70,0
1,38	2,6	3,1	22	2,2	ZV322S_KS702_0080 EZ702U	8,9	17	312	8,000	1,15	2,29	41	68	3	22	70,0
1,38	2,9	3,5	25	1,9	ZV322S_KS702_0080 EZ505U	11	17	400	8,000	1,15	2,29	41	68	3	22	70,0
1,38	3,6	4,5	31	1,6	ZV322S_KS702_0080 EZ703U	11	17	400	8,000	1,15	2,29	41	68	3	22	70,0
1,38	4,6	6,6	39	1,2	ZV322S_KS702_0080 EZ705U	11	17	400	8,000	1,15	2,29	41	68	3	22	70,0
1,38	4,8	8,1	41	1,2	ZV322S_KS702_0080 EZ802U	11	17	400	8,000	1,15	2,29	41	68	3	22	70,0
1,83	1,2	1,3	19	4,7	ZV322S_KS702_0060 EZ502U	5,0	17	177	6,000	1,28	2,75	41	68	3	22	70,0
1,83	1,2	1,4	19	4,7	ZV322S_KS702_0060 EZ701U	3,3	17	114	6,000	1,28	2,75	41	68	3	22	70,0

10.2 Auswahltabelle 10 Zahnstangentriebe ZVKS

v_{fzN} [m/s]	F_{fzN} [kN]	$F_{fz,0}$ [kN]	a_{th}	S	Typ	F_{fzaccE} [kN]	$F_{fzNOT,E}$ [kN]	M_{zaccE} [Nm]	i	$v_{fzmaxDB}$ [m/s]	$v_{fzmaxZB}$ [m/s]	Δs [μm]	C_{lin} [N/μm]	m_n [mm]	z	d_0 [mm]
ZV3KS7 ($n_{fN} = 3000 \text{ min}^{-1}$, $F_{fzacc,max} = 11 \text{ kN}$)																
1,83	1,6	1,8	25	3,6	ZV322S_KS702_0060 EZ503U	7,0	17	245	6,000	1,28	2,75	41	68	3	22	70,0
1,83	2,0	2,3	31	2,9	ZV322S_KS702_0060 EZ702U	6,7	17	234	6,000	1,28	2,75	41	68	3	22	70,0
1,83	2,2	2,6	35	2,6	ZV322S_KS702_0060 EZ505U	11	17	382	6,000	1,28	2,75	41	68	3	22	70,0
1,83	2,7	3,4	43	2,1	ZV322S_KS702_0060 EZ703U	11	17	371	6,000	1,28	2,75	41	68	3	22	70,0
1,83	3,5	4,9	56	1,6	ZV322S_KS702_0060 EZ705U	11	17	400	6,000	1,28	2,75	41	68	3	22	70,0
1,83	3,6	6,0	58	1,6	ZV322S_KS702_0060 EZ802U	11	17	400	6,000	1,28	2,75	41	68	3	22	70,0
ZV3KS7 ($n_{fN} = 4500 \text{ min}^{-1}$, $F_{fzacc,max} = 11 \text{ kN}$)																
1,18	3,6	5,8	10	1,4	ZV322S_KS702_0140 EZ505U	11	17	400	14,00	0,79	1,57	41	68	3	22	70,0
1,18	4,6	7,6	13	1,1	ZV322S_KS702_0140 EZ703U	11	17	400	14,00	0,79	1,57	41	68	3	22	70,0
1,65	2,6	4,2	15	1,9	ZV322S_KS702_0100 EZ505U	11	17	400	10,00	1,03	2,20	41	68	3	22	70,0
1,65	2,8	9,4	17	1,7	ZV322S_KS702_0100 EZ802U	11	17	400	10,00	1,03	2,20	41	68	3	22	70,0
1,65	3,3	5,4	20	1,5	ZV322S_KS702_0100 EZ703U	11	17	400	10,00	1,03	2,20	41	68	3	22	70,0
1,65	4,4	8,1	27	1,1	ZV322S_KS702_0100 EZ705U	11	17	400	10,00	1,03	2,20	41	68	3	22	70,0
2,06	2,1	3,3	20	2,4	ZV322S_KS702_0080 EZ505U	11	17	400	8,000	1,15	2,29	41	68	3	22	70,0
2,06	2,3	7,5	22	2,2	ZV322S_KS702_0080 EZ802U	11	17	400	8,000	1,15	2,29	41	68	3	22	70,0
2,06	2,6	4,3	26	1,9	ZV322S_KS702_0080 EZ703U	11	17	400	8,000	1,15	2,29	41	68	3	22	70,0
2,06	3,6	6,5	35	1,4	ZV322S_KS702_0080 EZ705U	11	17	400	8,000	1,15	2,29	41	68	3	22	70,0
2,75	1,5	2,5	28	3,2	ZV322S_KS702_0060 EZ505U	11	17	382	6,000	1,28	2,75	41	68	3	22	70,0
2,75	1,7	5,6	31	2,9	ZV322S_KS702_0060 EZ802U	11	17	400	6,000	1,28	2,75	41	68	3	22	70,0
2,75	2,0	3,3	36	2,5	ZV322S_KS702_0060 EZ703U	11	17	371	6,000	1,28	2,75	41	68	3	22	70,0
2,75	2,7	4,9	49	1,9	ZV322S_KS702_0060 EZ705U	11	17	400	6,000	1,28	2,75	41	68	3	22	70,0
ZV3KS7 ($n_{fN} = 6000 \text{ min}^{-1}$, $F_{fzacc,max} = 11 \text{ kN}$)																
0,31	4,3	5,2	0,2	1,1	ZV322S_KS703_0700 EZ401U	11	17	400	70,00	0,18	0,31	41	68	3	22	70,0
0,44	3,1	3,7	0,3	1,5	ZV322S_KS703_0500 EZ401U	11	17	395	50,00	0,24	0,44	41	68	3	22	70,0
0,55	2,4	3,0	0,4	1,8	ZV322S_KS703_0400 EZ401U	9,0	17	316	40,00	0,28	0,55	41	68	3	22	70,0
0,55	3,6	4,7	0,5	1,2	ZV322S_KS703_0400 EZ501U	11	17	400	40,00	0,28	0,55	41	68	3	22	70,0
0,55	3,7	5,2	0,5	1,2	ZV322S_KS703_0400 EZ402U	11	17	400	40,00	0,28	0,55	41	68	3	22	70,0
0,69	2,0	2,4	0,5	2,3	ZV322S_KS703_0320 EZ401U	7,2	17	253	32,00	0,34	0,69	41	68	3	22	70,0
0,69	2,9	3,7	0,7	1,6	ZV322S_KS703_0320 EZ501U	11	17	400	32,00	0,34	0,69	41	68	3	22	70,0
0,69	3,0	4,2	0,7	1,5	ZV322S_KS703_0320 EZ402U	11	17	400	32,00	0,34	0,69	41	68	3	22	70,0
0,69	4,4	6,6	1,1	1,0	ZV322S_KS703_0320 EZ502U	11	17	400	32,00	0,34	0,69	41	68	3	22	70,0
0,69	4,4	6,7	1,1	1,0	ZV322S_KS703_0320 EZ701U	11	17	400	32,00	0,34	0,69	41	68	3	22	70,0
0,92	1,5	1,8	0,7	3,1	ZV322S_KS703_0240 EZ401U	5,4	17	190	24,00	0,46	0,92	41	68	3	22	70,0
0,92	2,2	2,8	1,0	2,1	ZV322S_KS703_0240 EZ501U	10	17	357	24,00	0,46	0,92	41	68	3	22	70,0
0,92	2,2	3,1	1,0	2,0	ZV322S_KS703_0240 EZ402U	10	17	357	24,00	0,46	0,92	41	68	3	22	70,0
0,92	3,3	5,0	1,5	1,4	ZV322S_KS703_0240 EZ502U	11	17	400	24,00	0,46	0,92	41	68	3	22	70,0
0,92	3,3	5,0	1,5	1,4	ZV322S_KS703_0240 EZ701U	11	17	400	24,00	0,46	0,92	41	68	3	22	70,0
0,92	3,7	5,4	1,7	1,2	ZV322S_KS703_0240 EZ404U	11	17	400	24,00	0,46	0,92	41	68	3	22	70,0
0,92	4,0	6,8	1,8	1,1	ZV322S_KS703_0240 EZ503U	11	17	400	24,00	0,46	0,92	41	68	3	22	70,0
1,10	1,8	2,4	2,6	2,4	ZV322S_KS702_0200 EZ501U	8,7	17	304	20,00	0,59	1,10	41	68	3	22	70,0
1,10	2,8	4,2	4,0	1,6	ZV322S_KS702_0200 EZ502U	11	17	400	20,00	0,59	1,10	41	68	3	22	70,0
1,10	2,8	4,3	4,0	1,6	ZV322S_KS702_0200 EZ701U	11	17	380	20,00	0,59	1,10	41	68	3	22	70,0
1,10	3,4	5,8	4,8	1,3	ZV322S_KS702_0200 EZ503U	11	17	400	20,00	0,59	1,10	41	68	3	22	70,0
1,10	3,9	7,8	5,6	1,2	ZV322S_KS702_0200 EZ702U	11	17	400	20,00	0,59	1,10	41	68	3	22	70,0
1,57	1,3	1,7	4,1	3,5	ZV322S_KS702_0140 EZ501U	6,1	17	213	14,00	0,79	1,57	41	68	3	22	70,0
1,57	2,0	3,0	6,2	2,3	ZV322S_KS702_0140 EZ502U	11	17	400	14,00	0,79	1,57	41	68	3	22	70,0
1,57	2,0	3,0	6,2	2,3	ZV322S_KS702_0140 EZ701U	7,6	17	266	14,00	0,79	1,57	41	68	3	22	70,0
1,57	2,4	4,0	7,4	1,9	ZV322S_KS702_0140 EZ503U	11	17	400	14,00	0,79	1,57	41	68	3	22	70,0
1,57	2,7	5,4	8,6	1,6	ZV322S_KS702_0140 EZ702U	11	17	400	14,00	0,79	1,57	41	68	3	22	70,0
2,20	0,9	1,2	6,1	4,9	ZV322S_KS702_0100 EZ501U	4,3	17	152	10,00	1,03	2,20	41	68	3	22	70,0
2,20	1,4	2,1	9,3	3,2	ZV322S_KS702_0100 EZ502U	8,4	17	295	10,00	1,03	2,20	41	68	3	22	70,0
2,20	1,4	2,1	9,3	3,2	ZV322S_KS702_0100 EZ701U	5,4	17	190	10,00	1,03	2,20	41	68	3	22	70,0
2,20	1,7	2,9	11	2,7	ZV322S_KS702_0100 EZ503U	11	17	400	10,00	1,03	2,20	41	68	3	22	70,0
2,20	2,0	3,9	13	2,3	ZV322S_KS702_0100 EZ702U	11	17	390	10,00	1,03	2,20	41	68	3	22	70,0
ZV4KS7 ($n_{fN} = 3000 \text{ min}^{-1}$, $F_{fzacc,max} = 10 \text{ kN}$)																
0,17	4,8	5,1	0,2	1,1	ZV418S_KS703_0700 EZ401U	10	16	400	70,00	0,20	0,34	44	66	4	18	76,4
0,24	3,4	3,7	0,3	1,5	ZV418S_KS703_0500 EZ401U	10	16	395	50,00	0,26	0,48	44	66	4	18	76,4
0,30	2,7	2,9	0,3	1,9	ZV418S_KS703_0400 EZ401U	8,3	16	316	40,00	0,30	0,60	44	66	4	18	76,4
0,30	4,2	4,6	0,5	1,2	ZV418S_KS703_0400 EZ501U	10	16	400	40,00	0,30	0,60	44	66	4	18	76,4
0,30	4,6	5,1	0,6	1,1	ZV418S_KS703_0400 EZ402U	10	16	400	40,00	0,30	0,60	44	66	4	18	76,4
0,38	2,2	2,3	0,5	2,4	ZV418S_KS703_0320 EZ401U	6,6	16	253	32,00	0,38	0,75	44	66	4	18	76,4
0,38	3,4	3,7	0,7	1,6	ZV418S_KS703_0320 EZ501U	10	16	400	32,00	0,38	0,75	44	66	4	18	76,4
0,38	3,7	4,1	0,8	1,4	ZV418S_KS703_0320 EZ402U	10	16	400	32,00	0,38	0,75	44	66	4	18	76,4
0,50	1,6	1,8	0,6	3,2	ZV418S_KS703_0240 EZ401U	5,0	16	190	24,00	0,50	1,00	44	66	4	18	76,4
0,50	2,5	2,7	1,0	2,1	ZV418S_KS703_0240 EZ501U	9,3	16	357	24,00	0,50	1,00	44	66	4	18	76,4
0,50	2,7	3,0	1,1	1,9	ZV418S_KS703_0240 EZ402U	9,3	16	357	24,00	0,50	1,00	44	66	4	18	76,4

v_{fzN} [m/s]	F_{fzN} [kN]	$F_{fz,0}$ [kN]	a_{th}	S	Typ	F_{fzaccE} [kN]	$F_{fzNOT,E}$ [kN]	M_{zaccE} [Nm]	i	$v_{fzmaxDB}$ [m/s]	$v_{fzmaxZB}$ [m/s]	Δs [μm]	C_{lin} [N/μm]	m_n [mm]	z	d_0 [mm]
ZV4KS7 ($n_{fN} = 3000 \text{ min}^{-1}$, ($F_{fzacc,max} = 10 \text{ kN}$))																
0,50	4,0	5,0	1,6	1,3	ZV418S_KS703_0240 EZ404U	10	16	400	24,00	0,50	1,00	44	66	4	18	76,4
0,50	4,3	4,7	1,7	1,2	ZV418S_KS703_0240 EZ502U	10	16	400	24,00	0,50	1,00	44	66	4	18	76,4
0,50	4,3	4,8	1,7	1,2	ZV418S_KS703_0240 EZ701U	10	16	400	24,00	0,50	1,00	44	66	4	18	76,4
0,60	2,1	2,3	2,7	2,4	ZV418S_KS702_0200 EZ501U	8,0	16	304	20,00	0,64	1,20	44	66	4	18	76,4
0,60	3,7	4,0	4,6	1,4	ZV418S_KS702_0200 EZ502U	10	16	400	20,00	0,64	1,20	44	66	4	18	76,4
0,60	3,7	4,1	4,6	1,4	ZV418S_KS702_0200 EZ701U	9,9	16	380	20,00	0,64	1,20	44	66	4	18	76,4
0,60	4,8	5,5	6,0	1,1	ZV418S_KS702_0200 EZ503U	10	16	400	20,00	0,64	1,20	44	66	4	18	76,4
0,86	1,5	1,6	4,1	3,5	ZV418S_KS702_0140 EZ501U	5,6	16	213	14,00	0,86	1,71	44	66	4	18	76,4
0,86	2,6	2,8	7,0	2,0	ZV418S_KS702_0140 EZ502U	10	16	400	14,00	0,86	1,71	44	66	4	18	76,4
0,86	2,6	2,9	7,0	2,0	ZV418S_KS702_0140 EZ701U	7,0	16	266	14,00	0,86	1,71	44	66	4	18	76,4
0,86	3,4	3,9	9,2	1,5	ZV418S_KS702_0140 EZ503U	10	16	400	14,00	0,86	1,71	44	66	4	18	76,4
0,86	4,2	5,0	11	1,2	ZV418S_KS702_0140 EZ702U	10	16	400	14,00	0,86	1,71	44	66	4	18	76,4
0,86	4,7	5,6	13	1,1	ZV418S_KS702_0140 EZ505U	10	16	400	14,00	0,86	1,71	44	66	4	18	76,4
1,20	1,1	1,2	6,1	4,9	ZV418S_KS702_0100 EZ501U	4,0	16	152	10,00	1,12	2,40	44	66	4	18	76,4
1,20	1,8	2,0	10	2,8	ZV418S_KS702_0100 EZ502U	7,7	16	295	10,00	1,12	2,40	44	66	4	18	76,4
1,20	1,8	2,1	10	2,8	ZV418S_KS702_0100 EZ701U	5,0	16	190	10,00	1,12	2,40	44	66	4	18	76,4
1,20	2,4	2,8	14	2,2	ZV418S_KS702_0100 EZ503U	10	16	400	10,00	1,12	2,40	44	66	4	18	76,4
1,20	3,0	3,6	17	1,7	ZV418S_KS702_0100 EZ702U	10	16	390	10,00	1,12	2,40	44	66	4	18	76,4
1,20	3,4	4,0	19	1,5	ZV418S_KS702_0100 EZ505U	10	16	400	10,00	1,12	2,40	44	66	4	18	76,4
1,20	4,1	5,2	23	1,3	ZV418S_KS702_0100 EZ703U	10	16	400	10,00	1,12	2,40	44	66	4	18	76,4
1,50	1,5	1,6	14	3,5	ZV418S_KS702_0080 EZ502U	6,2	16	236	8,000	1,25	2,50	44	66	4	18	76,4
1,50	1,5	1,7	14	3,5	ZV418S_KS702_0080 EZ701U	4,0	16	152	8,000	1,25	2,50	44	66	4	18	76,4
1,50	1,9	2,2	18	2,7	ZV418S_KS702_0080 EZ503U	8,6	16	327	8,000	1,25	2,50	44	66	4	18	76,4
1,50	2,4	2,9	22	2,2	ZV418S_KS702_0080 EZ702U	8,2	16	312	8,000	1,25	2,50	44	66	4	18	76,4
1,50	2,7	3,2	25	1,9	ZV418S_KS702_0080 EZ505U	10	16	400	8,000	1,25	2,50	44	66	4	18	76,4
1,50	3,3	4,1	31	1,6	ZV418S_KS702_0080 EZ703U	10	16	400	8,000	1,25	2,50	44	66	4	18	76,4
1,50	4,2	6,0	39	1,2	ZV418S_KS702_0080 EZ705U	10	16	400	8,000	1,25	2,50	44	66	4	18	76,4
1,50	4,4	7,4	41	1,2	ZV418S_KS702_0080 EZ802U	10	16	400	8,000	1,25	2,50	44	66	4	18	76,4
2,00	1,1	1,2	19	4,7	ZV418S_KS702_0060 EZ502U	4,6	16	177	6,000	1,40	3,00	44	66	4	18	76,4
2,00	1,1	1,2	19	4,7	ZV418S_KS702_0060 EZ701U	3,0	16	114	6,000	1,40	3,00	44	66	4	18	76,4
2,00	1,4	1,7	25	3,6	ZV418S_KS702_0060 EZ503U	6,4	16	245	6,000	1,40	3,00	44	66	4	18	76,4
2,00	1,8	2,1	31	2,9	ZV418S_KS702_0060 EZ702U	6,1	16	234	6,000	1,40	3,00	44	66	4	18	76,4
2,00	2,0	2,4	35	2,6	ZV418S_KS702_0060 EZ505U	10	16	382	6,000	1,40	3,00	44	66	4	18	76,4
2,00	2,5	3,1	43	2,1	ZV418S_KS702_0060 EZ703U	9,7	16	371	6,000	1,40	3,00	44	66	4	18	76,4
2,00	3,2	4,5	56	1,6	ZV418S_KS702_0060 EZ705U	10	16	400	6,000	1,40	3,00	44	66	4	18	76,4
2,00	3,3	5,5	58	1,6	ZV418S_KS702_0060 EZ802U	10	16	400	6,000	1,40	3,00	44	66	4	18	76,4
ZV4KS7 ($n_{fN} = 4500 \text{ min}^{-1}$, ($F_{fzacc,max} = 10 \text{ kN}$))																
1,29	3,3	5,3	10	1,4	ZV418S_KS702_0140 EZ505U	10	16	400	14,00	0,86	1,71	44	66	4	18	76,4
1,29	4,2	7,0	13	1,1	ZV418S_KS702_0140 EZ703U	10	16	400	14,00	0,86	1,71	44	66	4	18	76,4
1,80	2,4	3,8	15	1,9	ZV418S_KS702_0100 EZ505U	10	16	400	10,00	1,12	2,40	44	66	4	18	76,4
1,80	2,6	8,6	17	1,7	ZV418S_KS702_0100 EZ802U	10	16	400	10,00	1,12	2,40	44	66	4	18	76,4
1,80	3,0	5,0	20	1,5	ZV418S_KS702_0100 EZ703U	10	16	400	10,00	1,12	2,40	44	66	4	18	76,4
1,80	4,1	7,5	27	1,1	ZV418S_KS702_0100 EZ705U	10	16	400	10,00	1,12	2,40	44	66	4	18	76,4
2,25	1,9	3,0	20	2,4	ZV418S_KS702_0080 EZ505U	10	16	400	8,000	1,25	2,50	44	66	4	18	76,4
2,25	2,1	6,9	22	2,2	ZV418S_KS702_0080 EZ802U	10	16	400	8,000	1,25	2,50	44	66	4	18	76,4
2,25	2,4	4,0	26	1,9	ZV418S_KS702_0080 EZ703U	10	16	400	8,000	1,25	2,50	44	66	4	18	76,4
2,25	3,3	6,0	35	1,4	ZV418S_KS702_0080 EZ705U	10	16	400	8,000	1,25	2,50	44	66	4	18	76,4
3,00	1,4	2,3	28	3,2	ZV418S_KS702_0060 EZ505U	10	16	382	6,000	1,40	3,00	44	66	4	18	76,4
3,00	1,6	5,1	31	2,9	ZV418S_KS702_0060 EZ802U	10	16	400	6,000	1,40	3,00	44	66	4	18	76,4
3,00	1,8	3,0	36	2,5	ZV418S_KS702_0060 EZ703U	9,7	16	371	6,000	1,40	3,00	44	66	4	18	76,4
3,00	2,4	4,5	49	1,9	ZV418S_KS702_0060 EZ705U	10	16	400	6,000	1,40	3,00	44	66	4	18	76,4
ZV4KS7 ($n_{fN} = 6000 \text{ min}^{-1}$, ($F_{fzacc,max} = 10 \text{ kN}$))																
0,34	3,9	4,8	0,2	1,1	ZV418S_KS703_0700 EZ401U	10	16	400	70,00	0,20	0,34	44	66	4	18	76,4
0,48	2,8	3,4	0,3	1,5	ZV418S_KS703_0500 EZ401U	10	16	395	50,00	0,26	0,48	44	66	4	18	76,4
0,60	2,2	2,7	0,4	1,8	ZV418S_KS703_0400 EZ401U	8,3	16	316	40,00	0,30	0,60	44	66	4	18	76,4
0,60	3,3	4,3	0,5	1,2	ZV418S_KS703_0400 EZ501U	10	16	400	40,00	0,30	0,60	44	66	4	18	76,4
0,60	3,4	4,8	0,5	1,2	ZV418S_KS703_0400 EZ402U	10	16	400	40,00	0,30	0,60	44	66	4	18	76,4
0,75	1,8	2,2	0,5	2,3	ZV418S_KS703_0320 EZ401U	6,6	16	253	32,00	0,38	0,75	44	66	4	18	76,4
0,75	2,6	3,4	0,7	1,6	ZV418S_KS703_0320 EZ501U	10	16	400	32,00	0,38	0,75	44	66	4	18	76,4
0,75	2,7	3,8	0,7	1,5	ZV418S_KS703_0320 EZ402U	10	16	400	32,00	0,38	0,75	44	66	4	18	76,4
0,75	4,1	6,1	1,1	1,0	ZV418S_KS703_0320 EZ502U	10	16	400	32,00	0,38	0,75	44	66	4	18	76,4
0,75	4,1	6,2	1,1	1,0	ZV418S_KS703_0320 EZ701U	10	16	400	32,00	0,38	0,75	44	66	4	18	76,4
1,00	1,3	1,6	0,7	3,1	ZV418S_KS703_0240 EZ401U	5,0	16	190	24,00	0,50	1,00	44	66	4	18	76,4
1,00	2,0	2,6	1,0	2,1	ZV418S_KS703_0240 EZ501U	9,3	16	357	24,00	0,50	1,00	44	66	4	18	76,4
1,00	2,0	2,9	1,0	2,0	ZV418S_KS703_0240 EZ402U	9,3	16	357	24,00	0,50	1,00	44	66	4	18	76,4
1,00	3,0	4,6	1,5	1,4	ZV418S_KS703_0240 EZ502U	10	16	400	24,00	0,50	1,00	44	66	4	18	76,4

10.2 Auswahltabelle 10 Zahnstangentriebe ZVKS

v_{fzN} [m/s]	F_{fzN} [kN]	$F_{fz,0}$ [kN]	a_{th}	S	Typ	F_{fzaccE} [kN]	$F_{fzNOT,E}$ [kN]	M_{2accE} [Nm]	i	$v_{fzmaxDB}$ [m/s]	$v_{fzmaxZB}$ [m/s]	Δs [μm]	C_{lin} [N/μm]	m_n [mm]	z	d_0 [mm]
ZV4KS7 ($n_{1N} = 6000 \text{ min}^{-1}$; ($F_{fzacc,max} = 10 \text{ kN}$))																
1,00	3,0	4,6	1,5	1,4	ZV418S_KS703_0240 EZ701U	10	16	400	24,00	0,50	1,00	44	66	4	18	76,4
1,00	3,4	4,9	1,7	1,2	ZV418S_KS703_0240 EZ404U	10	16	400	24,00	0,50	1,00	44	66	4	18	76,4
1,00	3,6	6,2	1,8	1,1	ZV418S_KS703_0240 EZ503U	10	16	400	24,00	0,50	1,00	44	66	4	18	76,4
1,20	1,7	2,2	2,6	2,4	ZV418S_KS702_0200 EZ501U	8,0	16	304	20,00	0,64	1,20	44	66	4	18	76,4
1,20	2,6	3,9	4,0	1,6	ZV418S_KS702_0200 EZ502U	10	16	400	20,00	0,64	1,20	44	66	4	18	76,4
1,20	2,6	3,9	4,0	1,6	ZV418S_KS702_0200 EZ701U	9,9	16	380	20,00	0,64	1,20	44	66	4	18	76,4
1,20	3,1	5,3	4,8	1,3	ZV418S_KS702_0200 EZ503U	10	16	400	20,00	0,64	1,20	44	66	4	18	76,4
1,20	3,6	7,1	5,6	1,2	ZV418S_KS702_0200 EZ702U	10	16	400	20,00	0,64	1,20	44	66	4	18	76,4
1,71	1,2	1,5	4,1	3,5	ZV418S_KS702_0140 EZ501U	5,6	16	213	14,00	0,86	1,71	44	66	4	18	76,4
1,71	1,8	2,7	6,2	2,3	ZV418S_KS702_0140 EZ502U	10	16	400	14,00	0,86	1,71	44	66	4	18	76,4
1,71	1,8	2,8	6,2	2,3	ZV418S_KS702_0140 EZ701U	7,0	16	266	14,00	0,86	1,71	44	66	4	18	76,4
1,71	2,2	3,7	7,4	1,9	ZV418S_KS702_0140 EZ503U	10	16	400	14,00	0,86	1,71	44	66	4	18	76,4
1,71	2,5	5,0	8,6	1,6	ZV418S_KS702_0140 EZ702U	10	16	400	14,00	0,86	1,71	44	66	4	18	76,4
2,40	0,8	1,1	6,1	4,9	ZV418S_KS702_0100 EZ501U	4,0	16	152	10,00	1,12	2,40	44	66	4	18	76,4
2,40	1,3	1,9	9,3	3,2	ZV418S_KS702_0100 EZ502U	7,7	16	295	10,00	1,12	2,40	44	66	4	18	76,4
2,40	1,3	2,0	9,3	3,2	ZV418S_KS702_0100 EZ701U	5,0	16	190	10,00	1,12	2,40	44	66	4	18	76,4
2,40	1,5	2,6	11	2,7	ZV418S_KS702_0100 EZ503U	10	16	400	10,00	1,12	2,40	44	66	4	18	76,4
2,40	1,8	3,6	13	2,3	ZV418S_KS702_0100 EZ702U	10	16	390	10,00	1,12	2,40	44	66	4	18	76,4

10.3 Maßzeichnungen

In diesem Kapitel finden Sie die Abmessungen der Zahnstangentriebe mit Synchron-Servomotoren EZ.

Das Maß a_z in den Maßtabellen gilt für Atlanta Zahnstangen. Allgemein gilt: $a_z = \frac{1}{2} d_0 + h_0 + x \cdot m_n$

Das Ritzel des Zahnstangentriebs ist schrägverzahnt (linkssteigend $19^\circ 31' 42''$). Die Ritzelverzahnungsqualität ist 5.

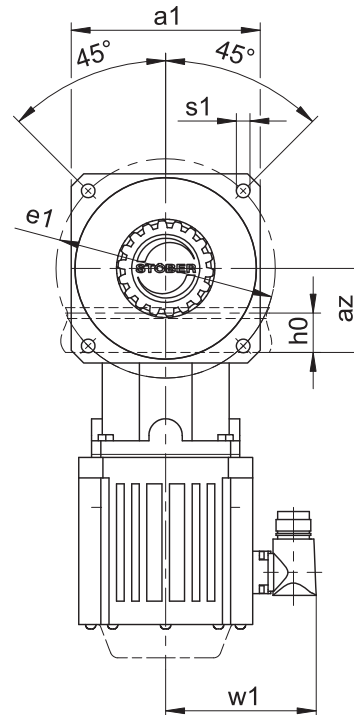
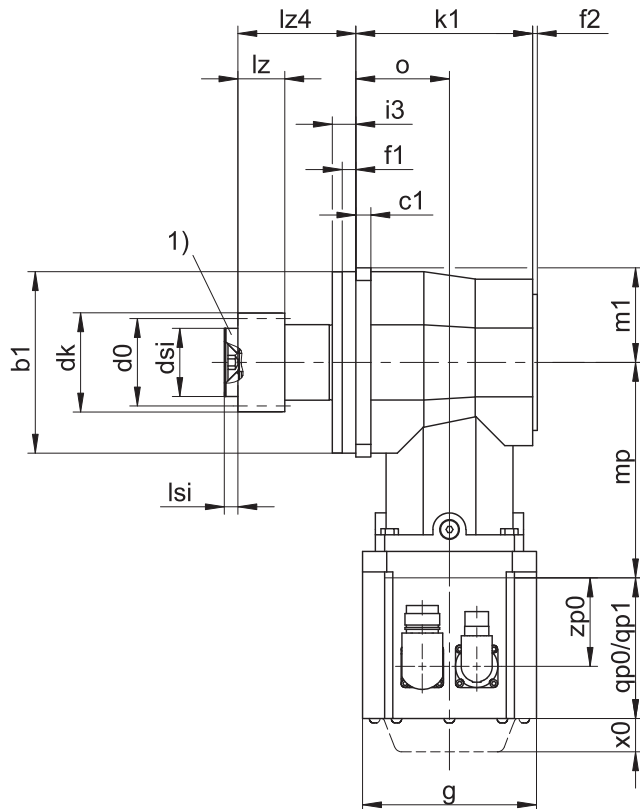
Maße können aufgrund von Gusstoleranzen bzw. Aufsummieren der Einzeltoleranzen die Vorgaben der ISO 2768-mK überschreiten.

Maßänderungen durch technische Weiterentwicklung behalten wir uns vor.

3D-Modelle unserer Standardantriebe können Sie unter <https://configurator.stoeber.de/de-DE/> herunterladen.

Kombinationsmöglichkeiten und Maße für fremdbelüftete Getriebemotoren finden Sie ebenfalls unter <https://configurator.stoeber.de/de-DE/>.

10.3.1 Ritzelposition E



qp0 Gilt für Motoren ohne Bremse.

x0 Gilt für Encoder mit optischem Messprinzip.

1) Axiale Sicherung (Option)

qp1 Gilt für Motoren mit Bremse.

w1 Abweichend bei One Cable Solution (OCS) siehe Kapitel [13.4](#)

Maße Getriebe

Typ	mn	a1	az	Øb1	c1	Ød0	Ødk	Ødsi	Øe1	f1	f2	h0	i3	k1	lz	lz4	lsi	m1	o	Øs1	x
ZV220SEKS4_	2	101	44,02	95 _{h6}	10	42,44	47,90	30	120	8	3	22	14,0	101	26	54,5	6	50,5	53	6,6	0,4
ZV225SEKS5_	2	125	49,33	120 _{h6}	10	53,05	58,52	45	145	9	3	22	15,5	117	26	78,0	8	62,5	62	9,0	0,4
ZV318SEKS5_	3	125	55,55	120 _{h6}	10	57,30	65,01	45	145	9	3	26	15,5	117	31	78,0	8	62,5	62	9,0	0,3
ZV322SEKS7_	3	155	62,21	150 _{h6}	15	70,03	78,35	55	180	10	3	26	20,0	145	31	107,5	10	77,5	78	11,0	0,4
ZV418SEKS7_	4	155	74,40	150 _{h6}	15	76,40	86,77	55	180	10	3	35	20,0	145	41	107,5	10	77,5	78	11,0	0,3

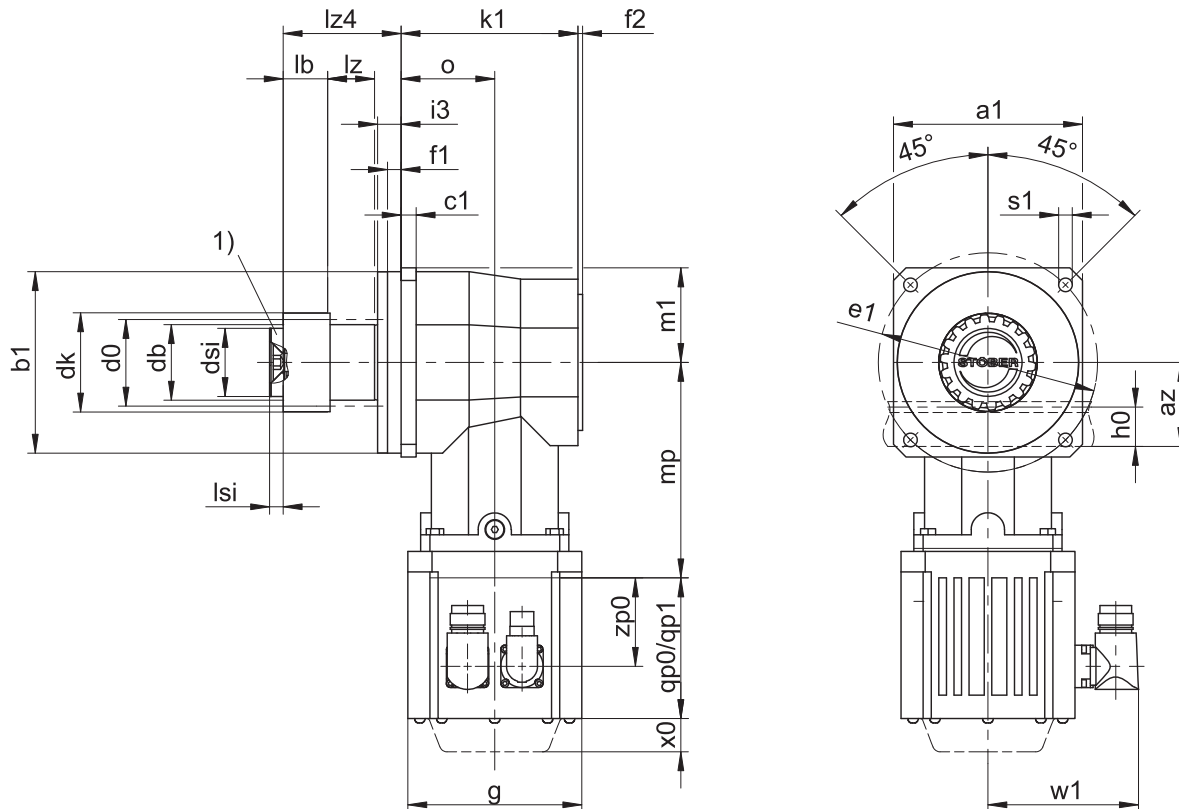
Maße Motoren

Typ	□g	qp0	qp1	w1	x0	zp0
EZ202U	55	141	150,0	47,0	25	86,0
EZ203U	55	159	168,0	47,0	25	104,0
EZ301U	72	90	130,0	55,5	21	54,5
EZ302U	72	112	152,0	55,5	21	76,5
EZ303U	72	134	174,0	55,5	21	98,5
EZ401U	98	98	146,5	91,0	22	56,0
EZ402U	98	123	171,5	91,0	22	81,0
EZ404U	98	173	221,5	91,0	22	131,0
EZ501U	115	93	147,5	100,0	22	58,5
EZ502U	115	118	172,5	100,0	22	83,5
EZ503U	115	143	197,5	100,0	22	108,5
EZ505U	115	193	247,5	100,0	22	158,5
EZ701U	145	102	161,0	115,0	22	64,0
EZ702U	145	127	186,0	115,0	22	89,0
EZ703U	145	152	211,0	115,0	22	114,0
EZ705U	145	207	266,0	134,0	22	165,0
EZ802U	190	197	274,0	156,5	22	143,0

Maße Getriebemotoren

Typ	EZ2 mp	EZ3 mp	EZ4 mp	EZ5 mp	EZ7 mp	EZ8 mp
ZV_KS402_	-	124,0	120,5	123,0	-	-
ZV_KS403_	150,5	164,0	-	-	-	-
ZV_KS502_	-	-	140,0	142,5	148,5	-
ZV_KS503_	-	192,0	188,5	191,0	-	-
ZV_KS702_	-	-	-	167,0	173,0	188,0
ZV_KS703_	-	-	222,5	225,0	231,0	-

10.3.2 Ritzelposition S



qp0 Gilt für Motoren ohne Bremse.

x0 Gilt für Encoder mit optischem Messprinzip.

1) Axiale Sicherung (Option)

qp1 Gilt für Motoren mit Bremse.

w1 Abweichend bei One Cable Solution (OCS) siehe Kapitel [13.4](#)

Maße Getriebe

Typ	mn	a1	az	Øb1	c1	Ød0	Ødb	Ødk	Ødsi	Øe1	f1	f2	h0	i3	k1	lb	lz	lz4	lsi	m1	o	Øs1	x
ZV220SSKS4_	2	101	44,02	95 _{h6}	10	42,44	38	47,90	30	120	8	3	22	14,0	101	12,5	26	54,5	6	50,5	53	6,6	0,4
ZV225SSKS5_	2	125	49,33	120 _{h6}	10	53,05	50	58,52	45	145	9	3	22	15,5	117	34,5	26	78,0	8	62,5	62	9,0	0,4
ZV318SSKS5_	3	125	55,55	120 _{h6}	10	57,30	50	65,01	45	145	9	3	26	15,5	117	29,5	31	78,0	8	62,5	62	9,0	0,3
ZV322SSKS7_	3	155	62,21	150 _{h6}	15	70,03	62	78,35	55	180	10	3	26	20,0	145	53,5	31	107,5	10	77,5	78	11,0	0,4
ZV418SSKS7_	4	155	74,40	150 _{h6}	15	76,40	62	86,77	55	180	10	3	35	20,0	145	43,5	41	107,5	10	77,5	78	11,0	0,3

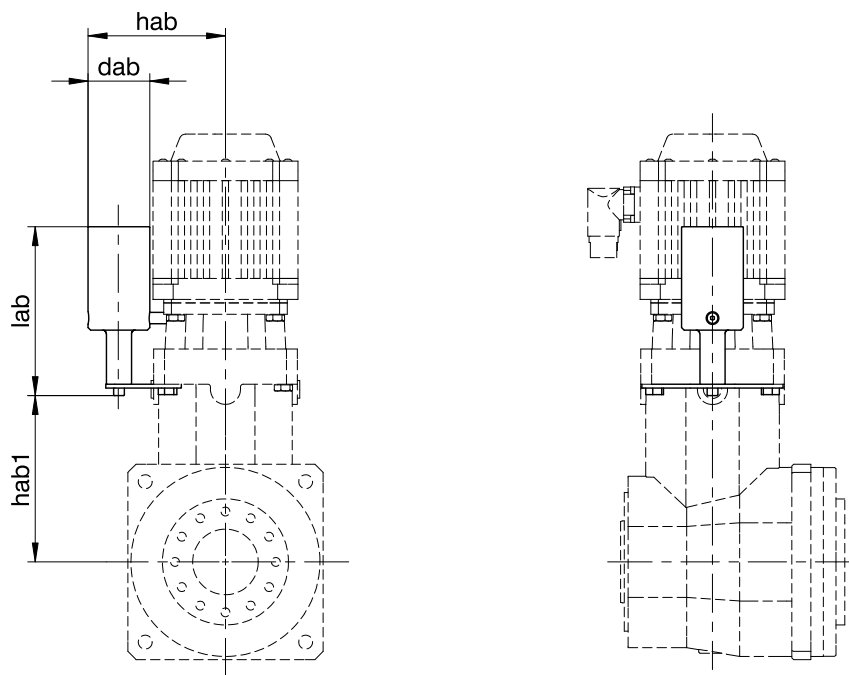
Maße Motoren

Typ	□g	qp0	qp1	w1	x0	zp0
EZ202U	55	141	150,0	47,0	25	86,0
EZ203U	55	159	168,0	47,0	25	104,0
EZ301U	72	90	130,0	55,5	21	54,5
EZ302U	72	112	152,0	55,5	21	76,5
EZ303U	72	134	174,0	55,5	21	98,5
EZ401U	98	98	146,5	91,0	22	56,0
EZ402U	98	123	171,5	91,0	22	81,0
EZ404U	98	173	221,5	91,0	22	131,0
EZ501U	115	93	147,5	100,0	22	58,5
EZ502U	115	118	172,5	100,0	22	83,5
EZ503U	115	143	197,5	100,0	22	108,5
EZ505U	115	193	247,5	100,0	22	158,5
EZ701U	145	102	161,0	115,0	22	64,0
EZ702U	145	127	186,0	115,0	22	89,0
EZ703U	145	152	211,0	115,0	22	114,0
EZ705U	145	207	266,0	134,0	22	165,0
EZ802U	190	197	274,0	156,5	22	143,0

Maße Getriebemotoren

Typ	EZ2 mp	EZ3 mp	EZ4 mp	EZ5 mp	EZ7 mp	EZ8 mp
ZV_KS402_	–	124,0	120,5	123,0	–	–
ZV_KS403_	150,5	164,0	–	–	–	–
ZV_KS502_	–	–	140,0	142,5	148,5	–
ZV_KS503_	–	192,0	188,5	191,0	–	–
ZV_KS702_	–	–	–	167,0	173,0	188,0
ZV_KS703_	–	–	222,5	225,0	231,0	–

10.3.3 Ölausgleichsbehälter



Maße

Typ	EZ2				EZ3				EZ4				EZ5				EZ7			
	dab	lab	hab	hab1	dab	lab	hab	hab1	dab	lab	hab	hab1	dab	lab	hab	hab1	dab	lab	hab	hab1
ZV_KS403_	34	100	74,5	85	34	100	74,5	85	-	-	-	-	-	-	-	-	-	-	-	-
ZV_KS503_	-	-	-	-	39	122	92,0	105	39	122	92,0	105	39	122	92,0	105	-	-	-	-
ZV_KS703_	-	-	-	-	-	-	-	-	49	134	109,5	132	49	134	109,5	132	49	134	109,5	132

Weitere Informationen finden Sie im Kapitel [10.6.3](#)

10.4 Typenbezeichnung

In diesem Kapitel finden Sie die Erklärung der Typenbezeichnung mit den zugehörigen Optionen.

Weitere Bestellangaben, die nicht in der Typenbezeichnung vorkommen, finden Sie am Ende des Kapitels.

Beispiel-Code

Z	V	2	20	S	S	KS	4	0	2	P	F	0080	EZ401U
---	---	---	----	---	---	----	---	---	---	---	---	------	--------

Erklärung

Code	Bezeichnung	Ausführung
Z	Typ	Zahnstangentrieb
V	Ausführung	Aufsteckritzel
2	Modul	$m_n = 2$ (Beispiel)
20	Zähnezahl	$z = 20$ (Beispiel)
S	Verzahnung	Schrägverzahnt (linkssteigend 19° 31' 42'')
E	Ritzelposition	Wellenende
S		Wellenschulter
KS	Typ	Servowinkelgetriebe
4	Größe	4 (Beispiel)
0	Generation	Generation 0
2	Stufen	2-stufig
3		3-stufig
P	Welle	Vollwelle mit Passfeder
F	Gehäuse	Standard
0080	Übersetzungskennzahl ($i \times 10$)	$i = 8$ (Beispiel)
EZ401U	Motor	Synchron-Servomotor EZ

Um die Typenbezeichnung zu vervollständigen, geben Sie bei Ihrer Bestellung zusätzlich an:

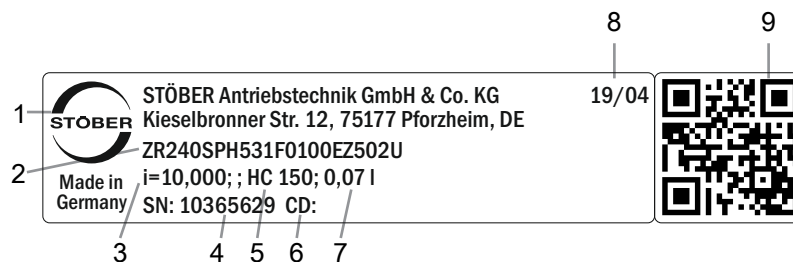
- Eine detaillierte Typenbezeichnung des Motors, siehe Kapitel [13](#)
- Einbaulage, siehe Kapitel [10.5.4](#)
- Radialwellendichtringe am Abtrieb aus NBR oder FKM (Option), siehe Kapitel [10.6.2](#)
- Position der Steckverbinder, siehe Kapitel [10.5.6](#)
- Anbau Ölausgleichsbehälter auf Getriebeseite 1 oder 2 (unbedingt erforderlich für 3-stufige Getriebe in der Einbaulage EL5), siehe Kapitel [10.3.3](#)
- Axiale Sicherung (Option), siehe Kapitel [10.3](#)

In diesem Katalog finden Sie alle Informationen zu Zahnstangentrieben mit Synchron-Servomotoren EZ.

Alle auf Anfrage erhältlichen Eintriebsoptionen finden Sie im Kapitel [10.5.1](#).

10.4.1 Typenschild

In folgender Abbildung ist das Typenschild eines Getriebemotors als Beispiel erläutert.



Code	Bezeichnung
1	Herstellerbezeichnung
2	Typenbezeichnung
3	Übersetzung des Getriebes
4	Serialnummer des Getriebes
5	Schmierstoffspezifikation
6	Kundenspezifische Daten
7	Schmierstofffüllmenge
8	Herstellungsdatum (Jahr/Kalenderwoche)
9	QR-Code (Link zu Produktinformationen)

10.4.1.1 Mitgeltende Dokumente

Mitgeltende Dokumente für das Produkt können Sie ansehen oder herunterladen, wenn Sie die Seriennummer auf dem Typenschild des Produkts ablesen und sie im Internet unter folgender Adresse eingeben:

<https://id.stober.com>

Alternativ können Sie mit einem geeigneten Mobilgerät den QR-Code auf dem Typenschild des Produkts einscannen, um dadurch zu den mitgeltenden Dokumenten verlinkt zu werden.

10.5 Produktbeschreibung

10.5.1 Eintriebsoptionen

In diesem Kapitel finden Sie alle verfügbaren Eintriebsoptionen:

Synchron-Servomotor EZ

Motoradapter ME



Katalog ID 443286_de

Katalog ID 443137_de

Die entsprechenden Kataloge finden Sie unter <http://www.stober.de/de/downloads/>

Geben Sie im Feld Suchbegriff die ID des Katalogs ein.

10.5.2 Zahnstange

Die im Kapitel Auswahltabellen angegebenen technischen Daten gelten nur für Zahnstangenpaarungen mit folgenden Eigenschaften:

Das Ritzel des Zahnstangentriebs ist einsatzgehärtet und schrägverzahnt (linkssteigend $19^{\circ} 31' 42''$). Die Ritzelverzahnungsqualität ist 6.

Die entsprechende Zahnstange muss rechtssteigend ($19^{\circ} 31' 42''$) sein und folgende Eigenschaften besitzen:

Modul m_n [mm]	Mindestqualität Zahnstange	Werkstoff Zahnstange
2 – 4	8	C45 induktiv gehärtet

Beachten Sie zusätzlich die Projektierung der Zahnstange auf den Atlanta-Seiten.

10.5.2.1 Ritzelposition

Das Ritzel kann in zwei verschiedenen Anbaupositionen auf der Welle befestigt werden:

- Verzahnung bündig mit Wellenende (Pos. E)
- Verzahnung bündig mit Wellenschulter (Pos. S: Höhere zulässige Vorschubkräfte, siehe Kapitel Auswahltabellen)

Bitte geben Sie die gewünschte Anbauposition bei der Bestellung an.

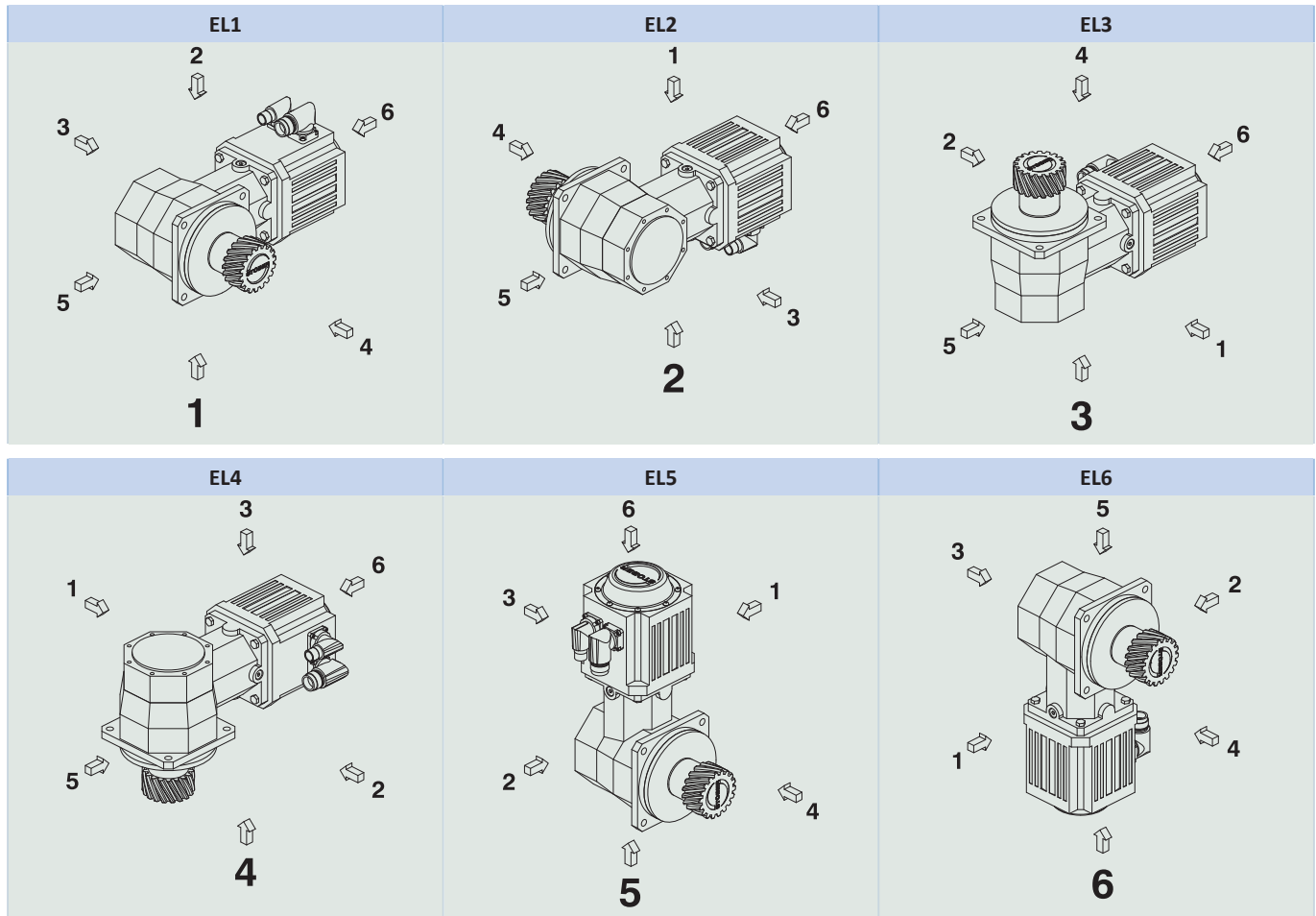
10.5.3 Einbaubedingungen

Die angegebenen Drehmomente und Kräfte gelten nur bei einer maschinenseitigen Befestigung der Getriebe mit Schrauben der Festigkeitsklasse 10.9. Zusätzlich müssen die Getriebegehäuse am Passrand eingepasst werden. Die maschinenseitige Passung muss H7 sein.

10.5.4 Einbaulagen

Die folgende Tabelle zeigt die Standard-Einbaulagen.

Die Zahlen kennzeichnen die Getriebeseiten. Die Einbaulage ist durch die nach unten weisende Getriebeseite definiert.



Da die Schmierstofffüllmenge der Getriebe von der Einbaulage abhängt, muss die Einbaulage bei der Bestellung angegeben werden.

10.5.5 Schmierstoffe

STÖBER füllt die Getriebe mit der auf dem Typenschild angegebenen Menge und Art des Schmierstoffs. Die Füllmenge und der Aufbau der Getriebe sind von der Einbaulage abhängig.

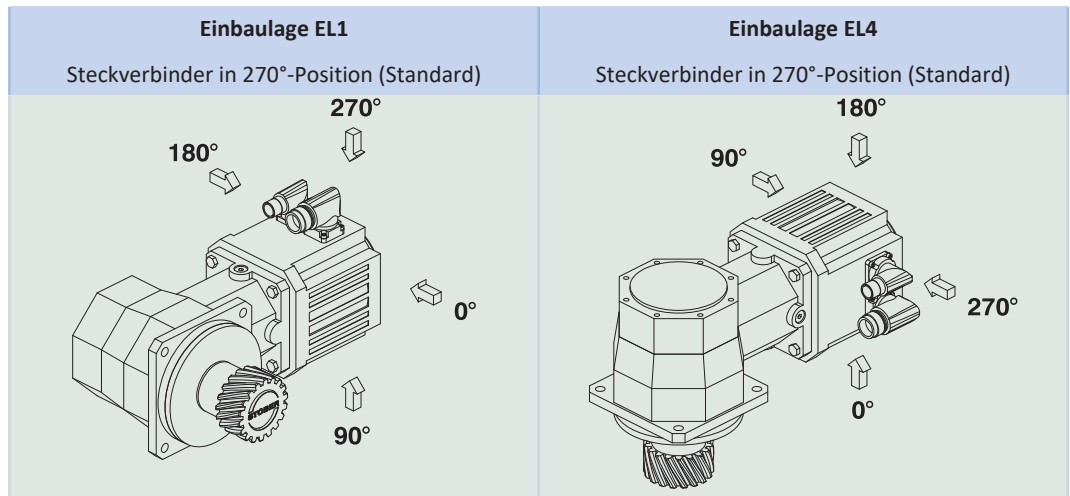
Setzen Sie die Getriebe nur in der dafür vorgesehenen Einbaulage ein! Bauen Sie die Getriebe nur nach vorheriger Rücksprache mit STÖBER um. Ansonsten übernimmt STÖBER keine Haftung für die Getriebe.

Schmierstoffe für den Einsatz in der Lebensmittelindustrie erhalten Sie auf Anfrage.

10.5.5.1 Schmierung Zahnstangentrieb

Stellen Sie eine permanente Schmierung des Zahnstangentriebs, mit den im Atlanta-Katalog vorgeschriebenen Schmierstoffen, sicher.

10.5.6 Position der Steckverbinder



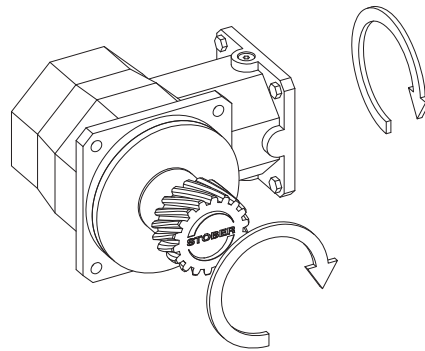
Die Steckverbinder befinden sich im Standard in der 270°-Position. Geben Sie Abweichungen für Ihren Zahnstangentrieb bei der Bestellung an.

Beachten Sie, dass sich die Steckverbinder mitdrehen, wenn die Zahnstange in eine andere Position gedreht wird.

10.5.7 Weitere Produktmerkmale

Merkmal	Wert
Max. zul. Getriebetemperatur (an der Getriebeoberfläche)	≤ 90 °C
Lackierung	Schwarz RAL 9005
(ATEX-) Richtlinie 2014/34/EU (Option)	Nicht geeignet.
Schutzart: ¹	
Planetengetriebe	IP65
Motor	IP56, optional IP66
Ritzel/Zahnstange	IPXX

10.5.8 Drehrichtung



Die Bilder zeigen die Einbaulage EL1.

¹ Beachten Sie die Schutzart aller Komponenten.

10.6 Projektierung

Projektieren Sie Ihre Antriebe mit unserer Auslegungssoftware SERVOSOFT. Laden Sie SERVOSOFT kostenlos unter <https://www.stoeber.de/de/ServoSoft> herunter.

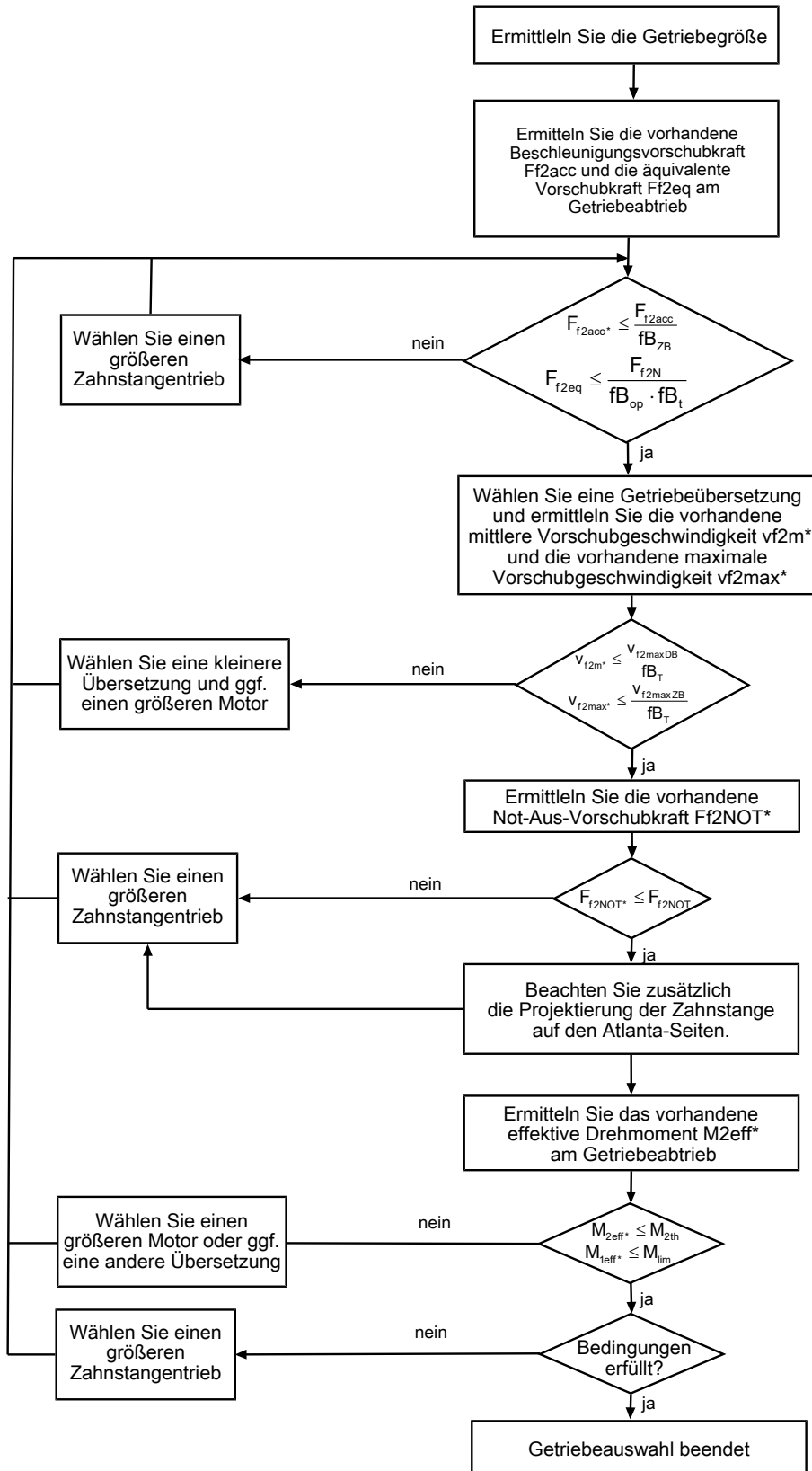
Dies ist die komfortabelste und sicherste Methode der Antriebsauswahl, da hier der komplette Drehmoment-Drehzahl-Verlauf der Anwendung in der Kennlinie des Getriebemotors dargestellt und beurteilt wird.

In diesem Kapitel können für die manuelle Antriebsauswahl nur Grenzwertbetrachtungen für konkrete Arbeitspunkte gemacht werden.

Die Formelzeichen für tatsächlich in der Anwendung vorhandene Werte sind mit einem * gekennzeichnet.

Die Erklärung der Formelzeichen finden Sie im Kapitel [▶ 15.1](#).

10.6.1 Antriebsauswahl

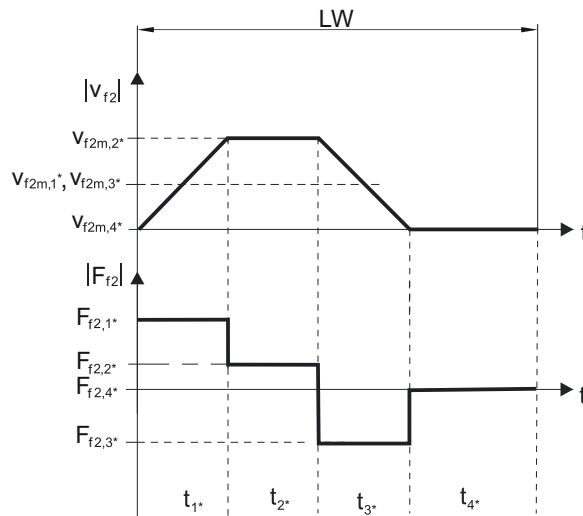


Entnehmen Sie die Werte für i , $v_{f2maxDB}$, $v_{f2maxZB}$, F_{f2acc} , F_{f2N} und F_{f2NOT} den Auswahltabellen.

Entnehmen Sie die Werte für fb_T , fb_{op} , fb_t und fb_{zb} den jeweiligen Tabellen in diesem Kapitel.

Beispiel Zyklusbetrieb

Die nachfolgenden Berechnungen beziehen sich auf eine Darstellung der am Abtrieb abgenommenen Leistung gemäß folgendem Beispiel:

**Berechnung der vorhandenen maximalen Beschleunigungsvorschubkraft**

$$F_{f2acc}^* = m^* \cdot a^* + F_L^*$$

Berechnung der vorhandenen mittleren Eintriebsdrehzahl

$$n_{1m}^* = \frac{v_{f2m}^* \cdot i}{d_0 \cdot \pi}$$

$$v_{f2m}^* = \frac{|v_{f2m,1}^*| \cdot t_{1^*} + \dots + |v_{f2m,n}^*| \cdot t_{n^*}}{t_{1^*} + \dots + t_{n^*}}$$

Wenn $t_{1^*} + \dots + t_{3^*} \geq 6 \text{ min}$, ermitteln Sie v_{2m}^* ohne die Pause t_{4^*} .

Entnehmen Sie die Werte für die Übersetzung i den Auswahltabellen.

Berechnung der vorhandenen Not-Aus-Vorschubkraft

$$F_{f2NOT}^* = m^* \cdot a_{NOT}^* + F_L^*$$

Berechnung der vorhandenen äquivalenten Vorschubkraft

$$F_{f2eq}^* = \sqrt[3]{\frac{|v_{f2m,1}^*| \cdot t_{1^*} \cdot |F_{f2,1}^*|^3 + \dots + |v_{f2m,n}^*| \cdot t_{n^*} \cdot |F_{f2,n}^*|^3}{|v_{f2m,1}^*| \cdot t_{1^*} + \dots + |v_{f2m,n}^*| \cdot t_{n^*}}}$$

Berechnung des thermischen Grenzmoments

Berechnen Sie für eine Einschaltdauer $ED_{10} > 50 \%$ das thermische Grenzmoment M_{2th} für die vorhandene mittlere Eintriebsdrehzahl n_{1m}^* . (Bei $K_{mot,th} \leq 0$ müssen Sie die mittlere Eintriebsdrehzahl n_{1m}^* entsprechend reduzieren oder eine andere Baugröße des Getriebemotors wählen.)

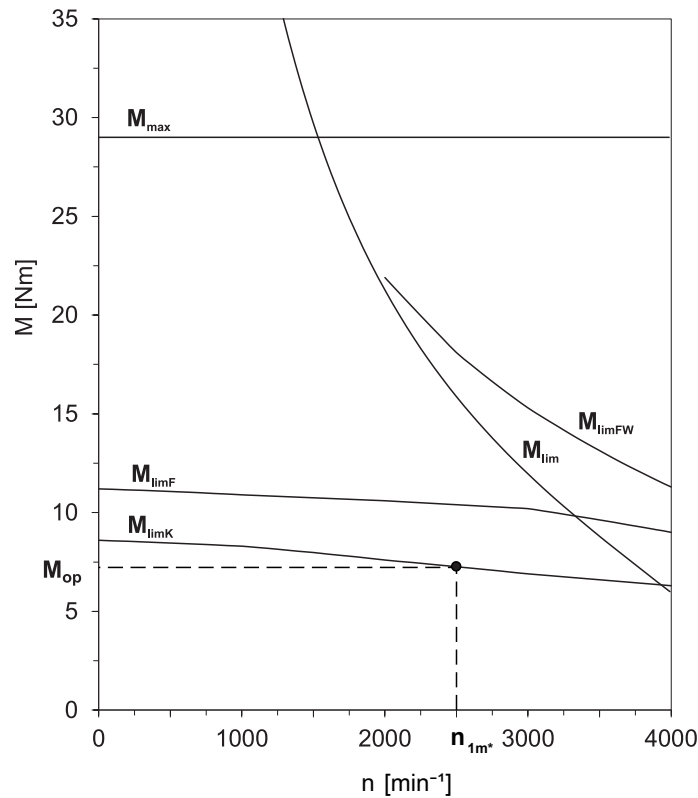
$$M_{2th} = M_{op} \cdot i \cdot K_{mot,th}$$

$$K_{mot,th} = 0,93 - \frac{a_{th}}{1000} \cdot fB_T \cdot \left(\frac{n_{1m}^*}{1000} \right)^3$$

Entnehmen Sie die Werte für i und a_{th} den Auswahltabellen.

Entnehmen Sie die Werte für fB_T der entsprechenden Tabelle in diesem Kapitel.

Entnehmen Sie der Motorkennlinie im Kapitel [13.3](#) den Wert für das Drehmoment des Motors im Arbeitspunkt M_{op} bei der ermittelten mittleren Eintriebsdrehzahl n_{1m}^* . Beachten Sie dabei die Baugröße, Nenn-drehzahl n_n und Kühlungsart des Motors. Die nachfolgende Abbildung stellt ein Beispiel für das Ablesen des Drehmoments M_{op} eines Motors mit Konvektionskühlung im Arbeitspunkt dar.



Berechnung des vorhandenen effektiven Drehmoments

$$M_{2eff*} = \sqrt{\frac{t_{1*} \cdot M_{2,1*}^2 + \dots + t_{n*} \cdot M_{2,n*}^2}{t_{1*} + \dots + t_{n*}}}$$

$$M_{2,n*} = \frac{F_{f2,n*} \cdot d_0}{2}$$

$$M_{1eff*} = \frac{M_{2eff*}}{i \cdot \eta}$$

Betriebsfaktoren

Betriebsart		fB _{op}
Gleichmäßiger Dauerbetrieb		1,00
Zyklusbetrieb		1,00
Zyklusbetrieb reversierende Last		1,00
Laufzeit		fB _t
Tägliche Laufzeit ≤ 8 h		1,00
Tägliche Laufzeit ≤ 16h		1,15
Tägliche Laufzeit ≤ 24 h		1,20
Zyklusbetrieb		fB _{ZB}
≤ 1000 Lastwechsel/Stunde (LW/h)		1,00
> 1000 Lastwechsel/Stunde (LW/h)		1,15
Temperatur		fB _T
Motorkühlung	Umgebungstemperatur	
Motor mit Fremdbelüftung	≤ 20 °C	0,9
	≤ 30 °C	1,0
	≤ 40 °C	1,15
Motor mit Konvektionskühlung	≤ 20 °C	1,0
	≤ 30 °C	1,1
	≤ 40 °C	1,25

Hinweise

- Die maximal zulässige Getriebetemperatur (siehe Kapitel Weitere Produktmerkmale) darf nicht überschritten werden, da dies zu Beschädigungen führen kann.
- Beachten Sie bei Bremsungen aus voller Drehzahl (z. B. bei einem Spannungsausfall oder beim Einrichten der Maschine) die zulässigen Getriebevorschubkräfte (F_{f2acc} , F_{f2NOT}) in den Auswahltabellen.

10.6.2 Empfehlung Radialwellendichtringe

Für eine Einschaltdauer > 60 % und bei höheren Umgebungstemperaturen empfehlen wir am Abtrieb Radialwellendichtringe aus FKM.

Eigenschaften:

- Hervorragende Temperaturbeständigkeit
- Hohe chemische Stabilität
- Sehr gute Alterungsbeständigkeit
- Hervorragende Beständigkeit in Ölen und Fetten
- Einsatz in der Lebensmittel-, Pharma- und Getränkeindustrie

Leckagesicherheit

Unsere Getriebe sind mit hochwertigen Radialwellendichtringen ausgestattet und auf Dichtheit geprüft. Eine Leckage kann über die Gebrauchsdauer der Getriebe trotzdem nicht völlig ausgeschlossen werden. Wenn Sie die Getriebe mit schmierstoffunverträglichen Gütern einsetzen, müssen Sie Maßnahmen ergreifen, die einen direkten Kontakt mit dem Getriebeschmierstoff im Falle einer Leckage verhindern.

10.6.3 Ölausgleichsbehälter

In der Einbaulage EL5 haben die Getriebe einen erhöhten Füllstand. Der Ölausgleichsbehälter verhindert einen Ölaustritt am Getriebe.

Hinweise

- 3-stufige KS-Getriebe in der Einbaulage EL5 können nur in Verbindung mit einem Ölausgleichsbehälter eingesetzt werden!
- Wenn sich Steckverbinder und Ölausgleichsbehälter auf der gleichen Seite befinden, ist der Einsatz eines Ölausgleichsbehälters nicht möglich!
- Geben Sie die Anbauseite (Getriebeseite 1 oder 2) bei der Bestellung an.
- Beachten Sie, dass der Anbau eines Ölausgleichsbehälters nicht mit jedem Motoradapter möglich ist (Kollision zwischen Motoradapter und Ölausgleichsbehälter).

10.7 Weitere Dokumentation

Weitere, das Produkt betreffende Dokumentationen finden Sie unter

<http://www.stoeber.de/de/downloads/>

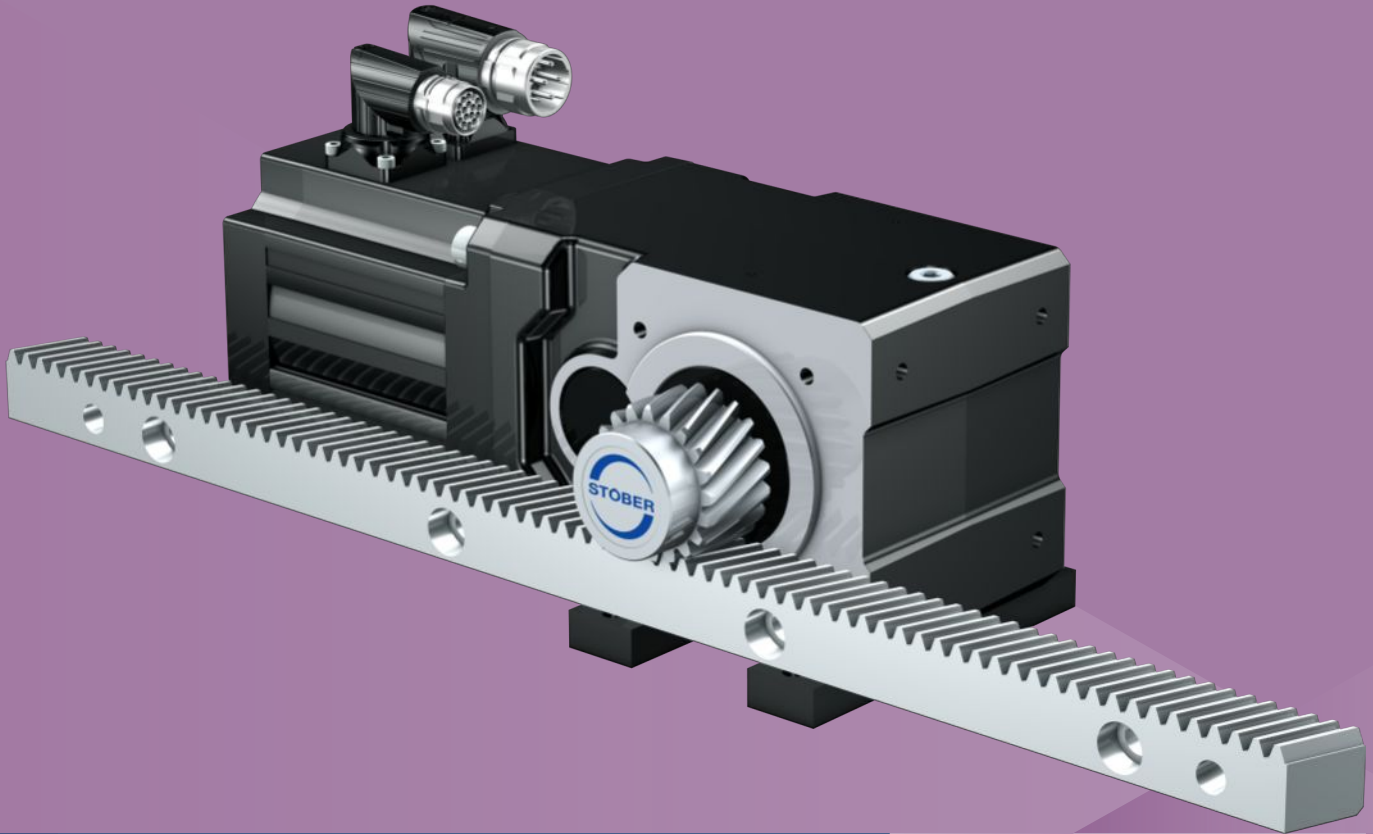
Geben Sie im Feld Suchbegriff die ID der Dokumentation ein.

Dokumentation	ID
Betriebsanleitung Getriebe, Getriebemotoren KS	443362_de
Betriebsanleitung Synchron-Servomotoren EZ	443032_de
Betriebsanleitung Zahnstangen (Atlanta)	442455

11 Zahnstangentriebe ZVKL

Inhaltsverzeichnis

11.1 Übersicht	196
11.2 Auswahltable	197
11.3 Maßzeichnungen	198
11.3.1 Ritzelposition E	199
11.3.2 Ritzelposition S	200
11.4 Typenbezeichnung	201
11.4.1 Typenschild	202
11.5 Produktbeschreibung	202
11.5.1 Eintriebsoptionen	202
11.5.2 Zahnstange	203
11.5.3 Einbaubedingungen	203
11.5.4 Getriebeseiten	203
11.5.5 Schmierstoffe	203
11.5.6 Position der Steckverbinder	204
11.5.7 Weitere Produktmerkmale	204
11.5.8 Drehrichtung	204
11.6 Projektierung	204
11.6.1 Antriebsauswahl	205
11.7 Weitere Dokumentation	208



11

Zahnstangentriebe

ZVKL

11.1 Übersicht

Kompakte Winkeltriebemotoren mit Aufsteckritzel

Merkmale

- Leistungsdichte ★★★★★
- Lineares Spiel ★★★★★
- Preisklasse €
- Laufruhe ★★★★★
- Lineare Steifigkeit ★★★★★
- Massenträgheitsmoment ★★★★★
- Einbaufertige Antriebslösung ✓
- Ritzel Verzahnungsqualität 6 (DIN 3962) ✓
- Schrägverzahnung ✓
- Einsatzgehärtet und geschliffen ✓
- Kompakt und hochdynamisch durch Motordirektanbau ✓

Legende ★☆☆☆☆ gut | ★★★★★ hervorragend
 € Economy | €€€€€ Premium

Technische Daten

m_n	2 mm
z	16 – 20
F_{f2acc}	0,34 – 2,7 kN
v_{f2N}	0,21 – 3,3 m/s
Δs	99 – 123 μm

11.2 Auswahltabelle

Die in den Auswahltabellen angegebenen technischen Daten gelten für:

- Spannungsfreien Einbau
- Permanente Schmierung mit den im Atlanta-Katalog vorgeschriebenen Schmierstoffen
- Werkstoffpaarungen entsprechend Kapitel [▶ 11.5.2](#)
- Aufstellhöhen bis 1000 m über Normalnull
- Umgebungstemperaturen von 0° C bis 40° C
- Ohne Berücksichtigung der thermischen Grenzleistung
- Antriebe mit konvektionsgekühlten Motoren (z. B. EZ401U)

Die technischen Daten für Antriebe mit fremdbelüfteten (z. B. EZ401B) Motoren finden Sie unter

<https://configurator.stoeber.de/de-DE/>

Alle weiteren technischen Daten finden Sie unter <https://configurator.stoeber.de/de-DE/>.

Die Erklärung der Formelzeichen finden Sie im Kapitel [▶ 15.1](#).

v_{fzN} [m/s]	F_{fzN} [kN]	$F_{fz,0}$ [kN]	a_{th}	S	Typ	F_{fzaccE} [kN]	$F_{fzNOT,E}$ [kN]	M_{zaccE} [Nm]	i	$v_{fzmaxDB}$ [m/s]	$v_{fzmaxZB}$ [m/s]	Δs [μm]	C_{lin} [N/μm]	m_n [mm]	z	d_0 [mm]
ZV2KL1 ($n_{fN} = 3000 \text{ min}^{-1}$, ($F_{fzacc,max} = 1,5 \text{ kN}$))																
0,33	0,9	0,9	16	1,0	ZV216S_KL102_0160 EZ301U	1,5	3,5	26	16,00	0,44	0,67	99	5,5	2	16	34,0
0,67	0,4	0,4	17	1,6	ZV216S_KL102_0080 EZ301U	1,3	3,5	22	8,000	0,78	1,33	99	5,5	2	16	34,0
1,33	0,2	0,2	22	2,6	ZV216S_KL102_0040 EZ301U	0,6	1,7	11	4,000	1,56	2,67	123	5,0	2	16	34,0
1,33	0,4	0,4	37	1,5	ZV216S_KL102_0040 EZ302U	1,1	1,7	19	4,000	1,56	2,67	123	5,0	2	16	34,0
1,33	0,5	0,5	49	1,2	ZV216S_KL102_0040 EZ303U	1,3	1,7	22	4,000	1,56	2,67	123	5,0	2	16	34,0
ZV2KL1 ($n_{fN} = 6000 \text{ min}^{-1}$, ($F_{fzacc,max} = 1,5 \text{ kN}$))																
0,33	0,7	0,8	11	1,2	ZV216S_KL102_0320 EZ202U	1,5	3,8	26	32,00	0,22	0,33	99	5,4	2	16	34,0
0,67	0,4	0,4	8,8	1,9	ZV216S_KL102_0160 EZ202U	1,4	3,5	23	16,00	0,44	0,67	99	5,5	2	16	34,0
0,67	0,6	0,6	13	1,2	ZV216S_KL102_0160 EZ203U	1,5	3,5	26	16,00	0,44	0,67	99	5,5	2	16	34,0
1,33	0,2	0,2	9,3	3,0	ZV216S_KL102_0080 EZ202U	0,7	3,5	11	8,000	0,78	1,33	99	5,5	2	16	34,0
1,33	0,3	0,3	14	2,0	ZV216S_KL102_0080 EZ203U	1,2	3,5	21	8,000	0,78	1,33	99	5,5	2	16	34,0
1,33	0,4	0,4	21	1,4	ZV216S_KL102_0080 EZ301U	1,3	3,5	22	8,000	0,78	1,33	99	5,5	2	16	34,0
2,67	0,1	0,1	12	4,8	ZV216S_KL102_0040 EZ202U	0,3	1,7	5,7	4,000	1,56	2,67	123	5,0	2	16	34,0
2,67	0,1	0,2	18	3,1	ZV216S_KL102_0040 EZ203U	0,6	1,7	10	4,000	1,56	2,67	123	5,0	2	16	34,0
2,67	0,2	0,2	26	2,1	ZV216S_KL102_0040 EZ301U	0,6	1,7	11	4,000	1,56	2,67	123	5,0	2	16	34,0
2,67	0,3	0,4	45	1,3	ZV216S_KL102_0040 EZ302U	1,1	1,7	19	4,000	1,56	2,67	123	5,0	2	16	34,0
ZV2KL2 ($n_{fN} = 3000 \text{ min}^{-1}$, ($F_{fzacc,max} = 2,7 \text{ kN}$))																
0,21	1,4	1,4	11	1,1	ZV220S_KL202_0320 EZ301U	2,7	6,1	57	32,00	0,28	0,42	99	10	2	20	42,4
0,42	0,7	0,7	9,0	1,8	ZV220S_KL202_0160 EZ301U	2,0	5,6	43	16,00	0,56	0,83	99	11	2	20	42,4
0,42	1,2	1,2	15	1,1	ZV220S_KL202_0160 EZ302U	2,7	5,6	57	16,00	0,56	0,83	99	11	2	20	42,4
0,83	0,3	0,3	15	2,9	ZV220S_KL202_0080 EZ301U	1,0	2,8	22	8,000	1,11	1,67	123	8,8	2	20	42,4
0,83	0,6	0,6	26	1,7	ZV220S_KL202_0080 EZ302U	1,7	2,8	35	8,000	1,11	1,67	123	8,8	2	20	42,4
0,83	0,8	0,8	33	1,3	ZV220S_KL202_0080 EZ303U	1,7	2,8	35	8,000	1,11	1,67	123	8,8	2	20	42,4
1,67	0,5	0,5	34	1,5	ZV220S_KL202_0040 EZ401U	1,6	5,1	33	4,000	1,94	3,33	123	8,8	2	20	42,4
ZV2KL2 ($n_{fN} = 6000 \text{ min}^{-1}$, ($F_{fzacc,max} = 2,0 \text{ kN}$))																
0,83	0,7	0,7	11	1,5	ZV220S_KL202_0160 EZ301U	2,0	5,6	43	16,00	0,56	0,83	99	11	2	20	42,4
1,67	0,3	0,3	14	2,4	ZV220S_KL202_0080 EZ301U	1,0	2,8	22	8,000	1,11	1,67	123	8,8	2	20	42,4
1,67	0,5	0,6	24	1,4	ZV220S_KL202_0080 EZ302U	1,7	2,8	35	8,000	1,11	1,67	123	8,8	2	20	42,4
1,67	0,7	0,8	32	1,1	ZV220S_KL202_0080 EZ303U	1,7	2,8	35	8,000	1,11	1,67	123	8,8	2	20	42,4
3,33	0,4	0,5	35	1,5	ZV220S_KL202_0040 EZ401U	1,6	5,1	33	4,000	1,94	3,33	123	8,8	2	20	42,4

11.3 Maßzeichnungen

In diesem Kapitel finden Sie die Abmessungen der Zahnstangentriebe mit Synchron-Servomotoren EZ.

Das Maß a_z in den Maßtabellen gilt für Atlanta Zahnstangen. Allgemein gilt: $a_z = \frac{1}{2} d_0 + h_0 + x \cdot m_n$

Das Ritzel des Zahnstangentriebs ist schrägverzahnt (linkssteigend $19^\circ 31' 42''$). Die Ritzelverzahnungsqualität ist 5.

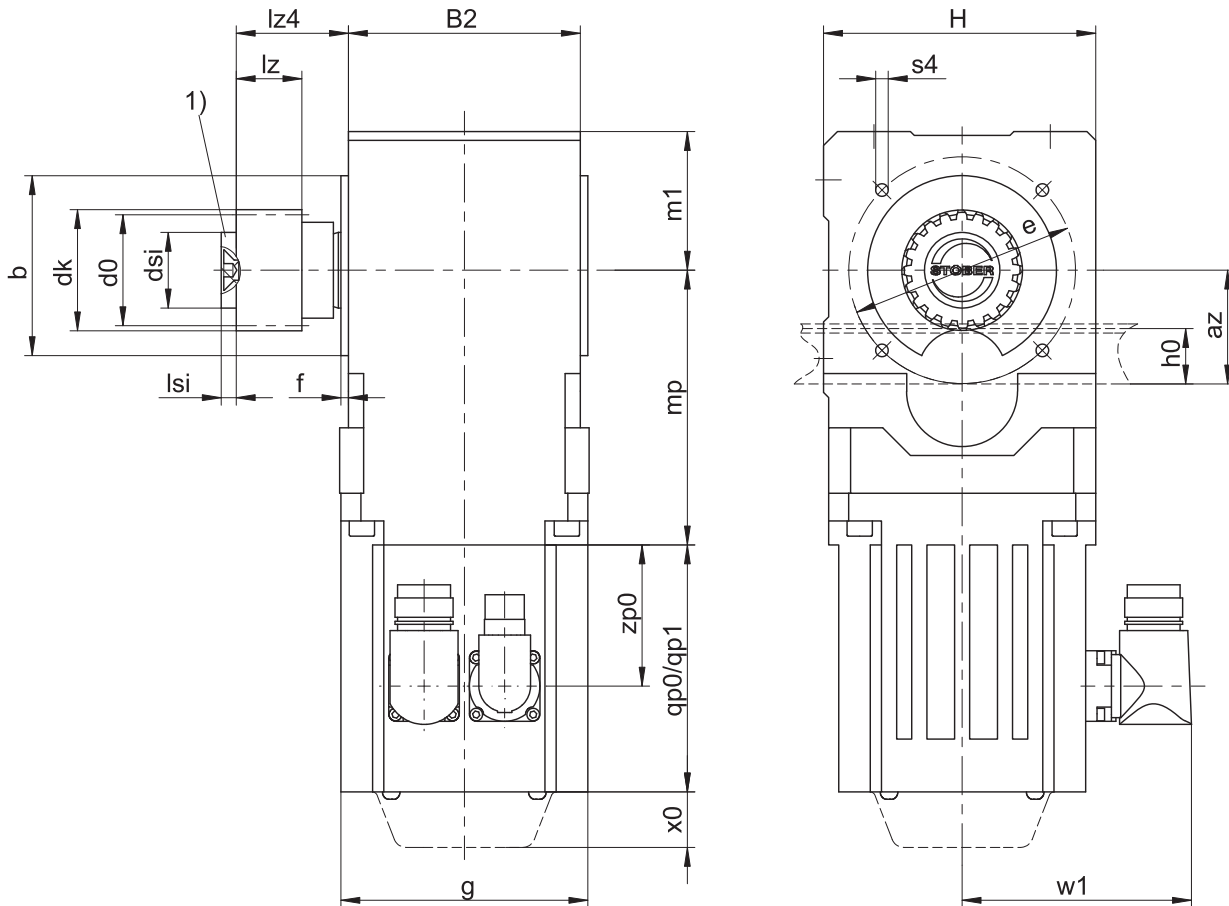
Maße können aufgrund von Gusstoleranzen bzw. Aufsummieren der Einzeltoleranzen die Vorgaben der ISO 2768-mK überschreiten.

Maßänderungen durch technische Weiterentwicklung behalten wir uns vor.

3D-Modelle unserer Standardantriebe können Sie unter <https://configurator.stoeber.de/de-DE/> herunterladen.

Kombinationsmöglichkeiten und Maße für fremdbelüftete Getriebemotoren finden Sie ebenfalls unter <https://configurator.stoeber.de/de-DE/>.

11.3.1 Ritzelposition E



qp0 Gilt für Motoren ohne Bremse.

x0 Gilt für Encoder mit optischem Messprinzip.

1) Axiale Sicherung (Option)

qp1 Gilt für Motoren mit Bremse.

w1 Abweichend bei One Cable Solution (OCS) siehe Kapitel [13.4](#)

Maße Getriebe

Typ	mn	az	Øb	B2	Ød0	Ødk	Ødsi	Øe	f	h0	H	lz	lz4	lsi	m1	s4	x
ZV216SEKL1_	2	39,98	60 ₆	75	33,95	39,81	25	75	3	22	90	26	35,5	5	46	M6	0,5
ZV220SEKL2_	2	44,02	75 ₆	92	42,44	47,90	30	90	3	22	108	26	44,5	7	55	M6	0,4

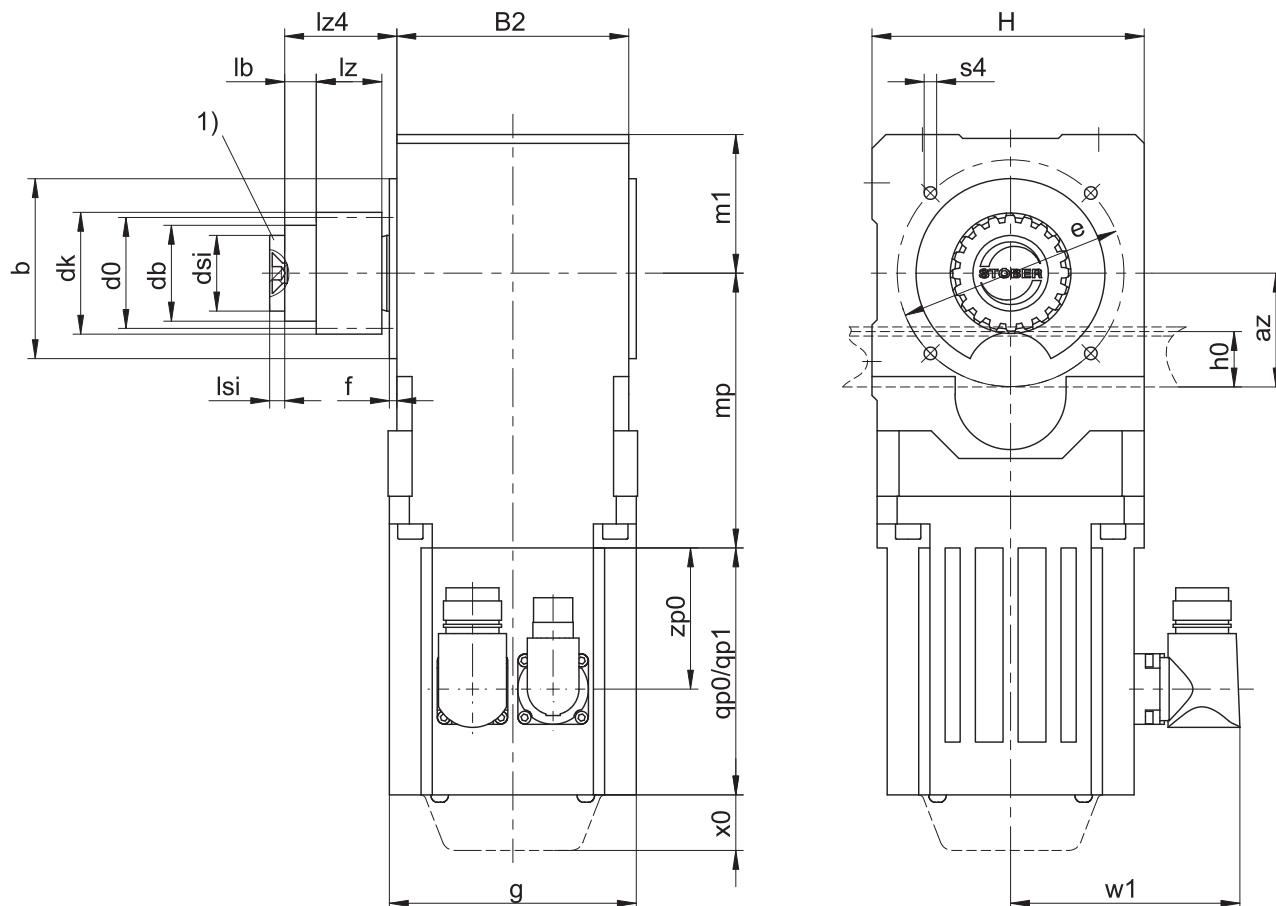
Maße Motoren

Typ	□g	qp0	qp1	w1	x0	zp0
EZ202U	55	141	150,0	47,0	25	86,0
EZ203U	55	159	168,0	47,0	25	104,0
EZ301U	72	90	130,0	55,5	21	54,5
EZ302U	72	112	152,0	55,5	21	76,5
EZ303U	72	134	174,0	55,5	21	98,5
EZ401U	98	98	146,5	91,0	22	56,0
EZ402U	98	123	171,5	91,0	22	81,0

Maße Getriebemotoren

Typ	EZ2 mp	EZ3 mp	EZ4 mp
ZV_KL102_	78,5	95,5	-
ZV_KL202_	-	112,5	109,0

11.3.2 Ritzelposition S



qp0 Gilt für Motoren ohne Bremse.

qp1 Gilt für Motoren mit Bremse.

x0 Gilt für Encoder mit optischem Messprinzip.

w1 Abweichend bei One Cable Solution (OCS) siehe Kapitel [13.4](#)

1) Axiale Sicherung (Option)

Maße Getriebe

Typ	mn	az	Øb	B2	Ød0	Ødb	Ødk	Ødsi	Øe	f	h0	H	lb	lz	lz4	lsi	m1	s4	x
ZV216SSKL1_	2	39,98	60 ₆	75	33,95	30	39,81	25	75	3	22	90	4,5	26	35,5	5	46	M6	0,5
ZV220SSKL2_	2	44,02	75 ₆	92	42,44	38	47,90	30	90	3	22	108	12,5	26	44,5	7	55	M6	0,4

Maße Motoren

Typ	□g	qp0	qp1	w1	x0	zp0
EZ202U	55	141	150,0	47,0	25	86,0
EZ203U	55	159	168,0	47,0	25	104,0
EZ301U	72	90	130,0	55,5	21	54,5
EZ302U	72	112	152,0	55,5	21	76,5
EZ303U	72	134	174,0	55,5	21	98,5
EZ401U	98	98	146,5	91,0	22	56,0
EZ402U	98	123	171,5	91,0	22	81,0

Maße Getriebemotoren

Typ	EZ2 mp	EZ3 mp	EZ4 mp
ZV_KL102_	78,5	95,5	-
ZV_KL202_	-	112,5	109,0

11.4 Typenbezeichnung

In diesem Kapitel finden Sie die Erklärung der Typenbezeichnung mit den zugehörigen Optionen.

Weitere Bestellangaben, die nicht in der Typenbezeichnung vorkommen, finden Sie am Ende des Kapitels.

Beispiel-Code

Z	V	2	20	S	S	KL	2	0	2	P	G	0080	EZ401U
---	---	---	----	---	---	----	---	---	---	---	---	------	--------

Erklärung

Code	Bezeichnung	Ausführung
Z	Typ	Zahnstangentrieb
V	Ausführung	Aufsteckritzel
2	Modul	$m_n = 2$ (Beispiel)
20	Zähnezahl	$z = 20$ (Beispiel)
S	Verzahnung	Schrägverzahnt (linkssteigend 19° 31' 42'')
E	Ritzelposition	Wellenende
S		Wellenschulter
KL	Typ	Kegelradgetriebe
2	Größe	2 (Beispiel)
0	Generation	Generation 0
2	Stufen	2-stufig
P	Welle	Vollwelle mit Passfeder
G	Gehäuse	Gewindelochkreis
0080	Übersetzungskennzahl ($i \times 10$)	$i = 8$ (Beispiel)
EZ401U	Motor	Synchron-Servomotor EZ

Um die Typenbezeichnung zu vervollständigen, geben Sie bei Ihrer Bestellung zusätzlich an:

- Eine detaillierte Typenbezeichnung des Motors, siehe Kapitel [▶ 13](#)
- Anbau der Vollwelle: Getriebeseite 3 oder 4
- Gewindelochkreis: Getriebeseite 3 oder 4
- Position der Steckverbinder, siehe Kapitel [▶ 11.5.6](#)
- Axiale Sicherung (Option), siehe Kapitel [▶ 11.3](#)

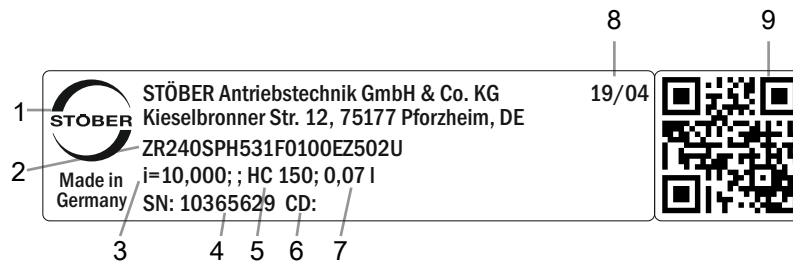
Die Erklärung der Getriebeseiten finden Sie im Kapitel [▶ 11.5.4](#)

In diesem Katalog finden Sie alle Informationen zu Zahnstangentrieben mit Synchron-Servomotoren EZ.

Alle auf Anfrage erhältlichen Eintriebsoptionen finden Sie im Kapitel [▶ 11.5.1](#).

11.4.1 Typenschild

In folgender Abbildung ist das Typenschild eines Getriebemotors als Beispiel erläutert.



Code	Bezeichnung
1	Herstellerbezeichnung
2	Typenbezeichnung
3	Übersetzung des Getriebes
4	Serialnummer des Getriebes
5	Schmierstoffspezifikation
6	Kundenspezifische Daten
7	Schmierstofffüllmenge
8	Herstellungsdatum (Jahr/Kalenderwoche)
9	QR-Code (Link zu Produktinformationen)

11.4.1.1 Mitgeltende Dokumente

Mitgeltende Dokumente für das Produkt können Sie ansehen oder herunterladen, wenn Sie die Seriennummer auf dem Typenschild des Produkts ablesen und sie im Internet unter folgender Adresse eingeben:

<https://id.stober.com>

Alternativ können Sie mit einem geeigneten Mobilgerät den QR-Code auf dem Typenschild des Produkts einscannen, um dadurch zu den mitgeltenden Dokumenten verlinkt zu werden.

11.5 Produktbeschreibung

11.5.1 Eintriebsoptionen

In diesem Kapitel finden Sie alle verfügbaren Eintriebsoptionen:

Synchron-Servomotor EZ

Motoradapter MQ

Lean-Motor LM



Katalog ID 443286_de

Katalog ID 443137_de

Auf Anfrage

Die entsprechenden Kataloge finden Sie unter <http://www.stober.de/de/downloads/>

Geben Sie im Feld Suchbegriff die ID des Katalogs ein.

11.5.2 Zahnstange

Die im Kapitel Auswahltabellen angegebenen technischen Daten gelten nur für Zahnstangenpaarungen mit folgenden Eigenschaften:

Das Ritzel des Zahnstangentriebs ist einsatzgehärtet und schrägverzahnt (linkssteigend $19^{\circ} 31' 42''$). Die Ritzelverzahnungsqualität ist 6.

Die entsprechende Zahnstange muss rechtssteigend ($19^{\circ} 31' 42''$) sein und folgende Eigenschaften besitzen:

Modul m_n [mm]	Mindestqualität Zahnstange	Werkstoff Zahnstange
2 – 4	8	C45 induktiv gehärtet

Beachten Sie zusätzlich die Projektierung der Zahnstange auf den Atlanta-Seiten.

11.5.2.1 Ritzelposition

Das Ritzel kann in zwei verschiedenen Anbaupositionen auf der Welle befestigt werden:

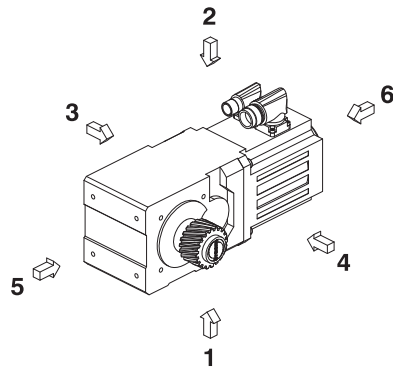
- Verzahnung bündig mit Wellenende (Pos. E)
- Verzahnung bündig mit Wellenschulter (Pos. S: Höhere zulässige Vorschubkräfte, siehe Kapitel Auswahltabellen)

Bitte geben Sie die gewünschte Anbauposition bei der Bestellung an.

11.5.3 Einbaubedingungen

Die angegebenen Drehmomente und Kräfte gelten nur bei einer maschinenseitigen Befestigung der Getriebe mit Schrauben der Festigkeitsklasse 10.9. Zusätzlich müssen die Getriebegehäuse am Passrand eingepasst werden. Die maschinenseitige Passung muss H7 sein.

11.5.4 Getriebeseiten



Die Zahlen kennzeichnen die Getriebeseiten.

11.5.5 Schmierstoffe

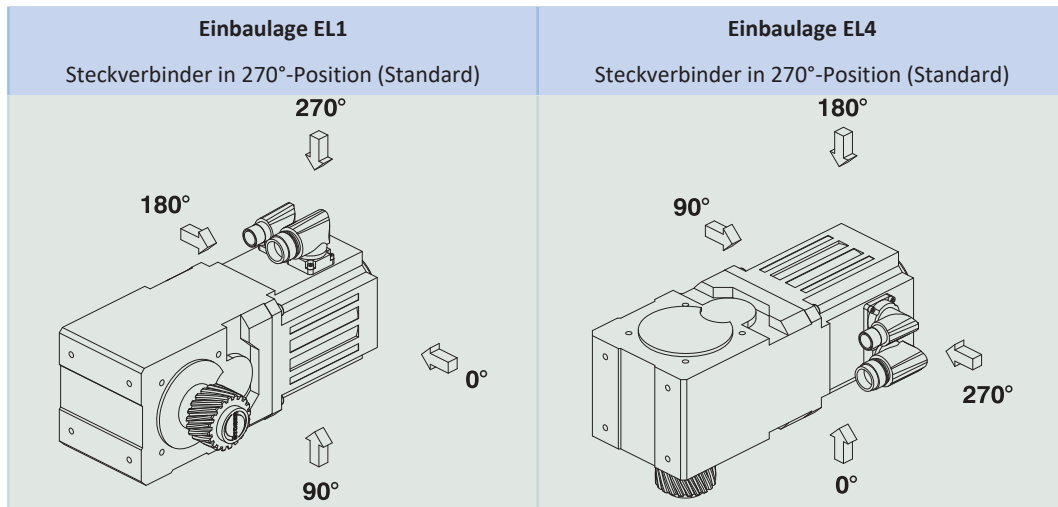
STÖBER befüllt die Getriebe mit der auf dem Typenschild angegebenen Menge und Art des Schmierstoffs.

Schmierstoffe für den Einsatz in der Lebensmittelindustrie erhalten Sie auf Anfrage.

11.5.5.1 Schmierung Zahnstangentrieb

Stellen Sie eine permanente Schmierung des Zahnstangentriebs, mit den im Atlanta-Katalog vorgeschriebenen Schmierstoffen, sicher.

11.5.6 Position der Steckverbinder



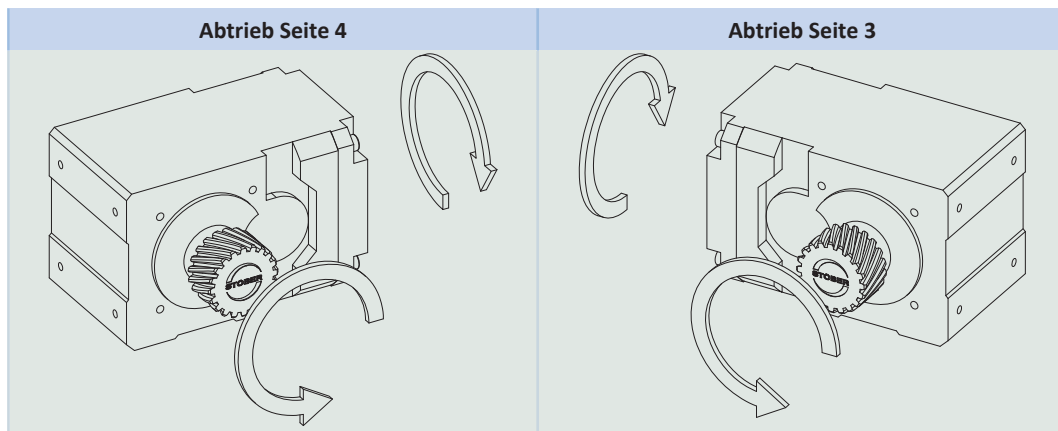
Die Steckverbinder befinden sich im Standard in der 270°-Position. Geben Sie Abweichungen für Ihren Zahnstangentrieb bei der Bestellung an.

Beachten Sie, dass sich die Steckverbinder mitdrehen, wenn die Zahnstange in eine andere Position gedreht wird.

11.5.7 Weitere Produktmerkmale

Merkmal	Wert
Max. zul. Getriebetemperatur (an der Getriebeoberfläche)	≤ 80 °C
Lackierung	Schwarz RAL 9005
(ATEX-) Richtlinie 2014/34/EU (Option)	Nicht geeignet.
Schutzart: ¹	
Planetengetriebe	IP65
Motor	IP56, optional IP66
Ritzel/Zahnstange	IPXX

11.5.8 Drehrichtung



Die Bilder zeigen die Einbaulage EL1.

11.6 Projektierung

Projektieren Sie Ihre Antriebe mit unserer Auslegungssoftware SERVOSOFT. Laden Sie SERVOSOFT kostenlos unter <https://www.stoeber.de/de/ServoSoft> herunter.

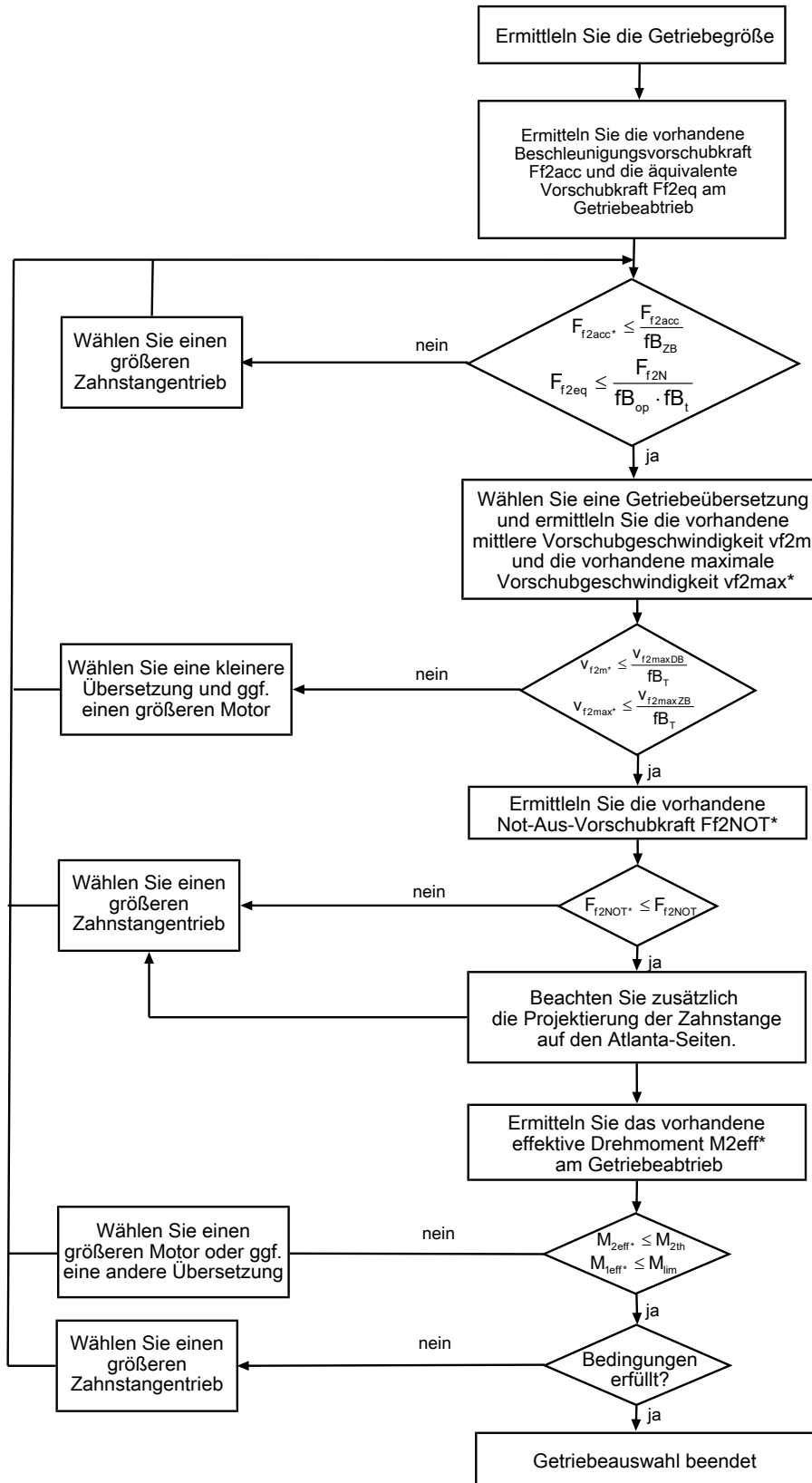
Dies ist die komfortabelste und sicherste Methode der Antriebsauswahl, da hier der komplette Drehmoment-Drehzahl-Verlauf der Anwendung in der Kennlinie des Getriebemotors dargestellt und beurteilt wird.

In diesem Kapitel können für die manuelle Antriebsauswahl nur Grenzwertbetrachtungen für konkrete Arbeitspunkte gemacht werden.

Die Formelzeichen für tatsächlich in der Anwendung vorhandene Werte sind mit einem * gekennzeichnet.

Die Erklärung der Formelzeichen finden Sie im Kapitel [▶ 15.1].

11.6.1 Antriebsauswahl

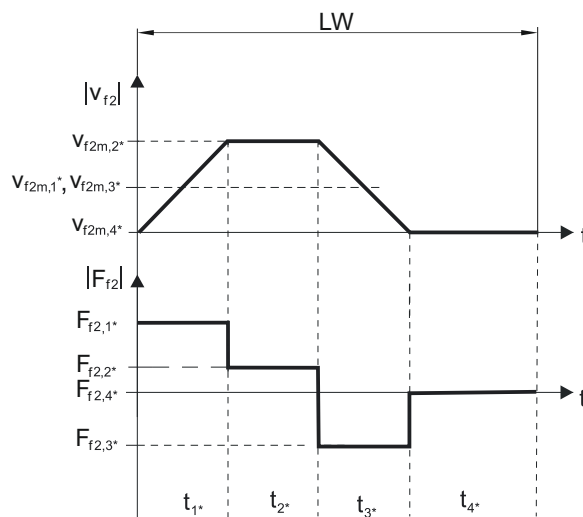


Entnehmen Sie die Werte für i , $v_{f2maxDB}$, $v_{f2maxZB}$, F_{f2acc} , F_{f2N} und F_{f2NOT} den Auswahltabellen.

Entnehmen Sie die Werte für fb_T , fb_{op} , fb_t und fb_{zB} den jeweiligen Tabellen in diesem Kapitel.

Beispiel Zyklusbetrieb

Die nachfolgenden Berechnungen beziehen sich auf eine Darstellung der am Abtrieb abgenommenen Leistung gemäß folgendem Beispiel:


Berechnung der vorhandenen maximalen Beschleunigungsvorschubkraft

$$F_{f2acc}^* = m^* \cdot a^* + F_L^*$$

Berechnung der vorhandenen mittleren Eintriebsdrehzahl

$$n_{1m}^* = \frac{v_{f2m}^* \cdot i}{d_0 \cdot \pi}$$

$$v_{f2m}^* = \frac{|v_{f2m,1}^*| \cdot t_{1}^* + \dots + |v_{f2m,n}^*| \cdot t_{n}^*}{t_{1}^* + \dots + t_{n}^*}$$

Wenn $t_{1}^* + \dots + t_{3}^* \geq 6 \text{ min}$, ermitteln Sie v_{2m}^* ohne die Pause t_{4}^* .

Entnehmen Sie die Werte für die Übersetzung i den Auswahltabellen.

Berechnung der vorhandenen Not-Aus-Vorschubkraft

$$F_{f2NOT}^* = m^* \cdot a_{NOT}^* + F_L^*$$

Berechnung der vorhandenen äquivalenten Vorschubkraft

$$F_{f2eq}^* = \sqrt[3]{\frac{|v_{f2m,1}^*| \cdot t_{1}^* \cdot |F_{f2,1}^*|^3 + \dots + |v_{f2m,n}^*| \cdot t_{n}^* \cdot |F_{f2,n}^*|^3}{|v_{f2m,1}^*| \cdot t_{1}^* + \dots + |v_{f2m,n}^*| \cdot t_{n}^*}}$$

Berechnung des thermischen Grenzmoments

Berechnen Sie für eine Einschaltdauer $ED_{10} > 50 \%$ das thermische Grenzmoment M_{2th} für die vorhandene mittlere Eintriebsdrehzahl n_{1m}^* . (Bei $K_{mot,th} \leq 0$ müssen Sie die mittlere Eintriebsdrehzahl n_{1m}^* entsprechend reduzieren oder eine andere Baugröße des Getriebemotors wählen.)

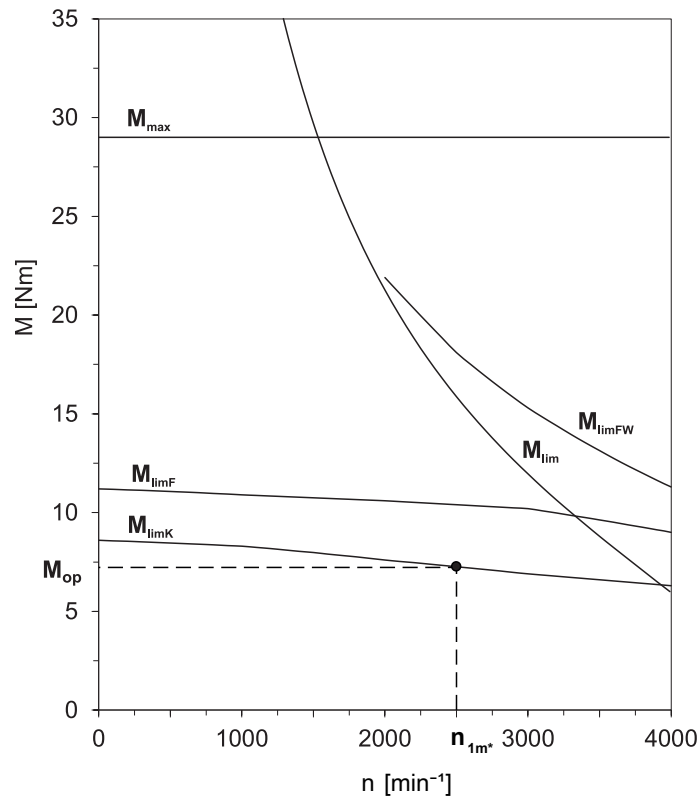
$$M_{2th} = M_{op} \cdot i \cdot K_{mot,th}$$

$$K_{mot,th} = 0,9 - \frac{a_{th}}{1000} \cdot fB_T \cdot \left(\frac{n_{1m}^*}{1000} \right)^2$$

Entnehmen Sie die Werte für i und a_{th} den Auswahltabellen.

Entnehmen Sie die Werte für fB_T der entsprechenden Tabelle in diesem Kapitel.

Entnehmen Sie der Motorkennlinie im Kapitel [13.3](#) den Wert für das Drehmoment des Motors im Arbeitspunkt M_{op} bei der ermittelten mittleren Eintriebsdrehzahl n_{1m}^* . Beachten Sie dabei die Baugröße, Nenn-drehzahl n_n und Kühlungsart des Motors. Die nachfolgende Abbildung stellt ein Beispiel für das Ablesen des Drehmoments M_{op} eines Motors mit Konvektionskühlung im Arbeitspunkt dar.



Berechnung des vorhandenen effektiven Drehmoments

$$M_{2eff*} = \sqrt{\frac{t_{1*} \cdot M_{2,1*}^2 + \dots + t_{n*} \cdot M_{2,n*}^2}{t_{1*} + \dots + t_{n*}}}$$

$$M_{2,n*} = \frac{F_{f2,n*} \cdot d_0}{2}$$

$$M_{1eff*} = \frac{M_{2eff*}}{i \cdot \eta}$$

Betriebsfaktoren

Betriebsart		fB _{op}
Gleichmäßiger Dauerbetrieb		1,00
Zyklusbetrieb		1,00
Zyklusbetrieb reversierende Last		1,00
Laufzeit		fB _t
Tägliche Laufzeit ≤ 8 h		1,00
Tägliche Laufzeit ≤ 16h		1,15
Tägliche Laufzeit ≤ 24 h		1,20
Zyklusbetrieb		fB _{ZB}
≤ 1000 Lastwechsel/Stunde (LW/h)		1,00
> 1000 Lastwechsel/Stunde (LW/h)		1,15
Temperatur		fB _T
Motorkühlung	Umgebungstemperatur	
Motor mit Fremdbelüftung	≤ 20 °C	0,9
	≤ 30 °C	1,0
	≤ 40 °C	1,15
Motor mit Konvektionskühlung	≤ 20 °C	1,0
	≤ 30 °C	1,1
	≤ 40 °C	1,25

Hinweise

- Die maximal zulässige Getriebetemperatur (siehe Kapitel Weitere Produktmerkmale) darf nicht überschritten werden, da dies zu Beschädigungen führen kann.
- Beachten Sie bei Bremsungen aus voller Drehzahl (z. B. bei einem Spannungsausfall oder beim Einrichten der Maschine) die zulässigen Getriebevorschubkräfte (F_{f2acc} , F_{f2NOT}) in den Auswahltabellen.

11.7 Weitere Dokumentation

Weitere, das Produkt betreffende Dokumentationen finden Sie unter

<http://www.stoeber.de/de/downloads/>

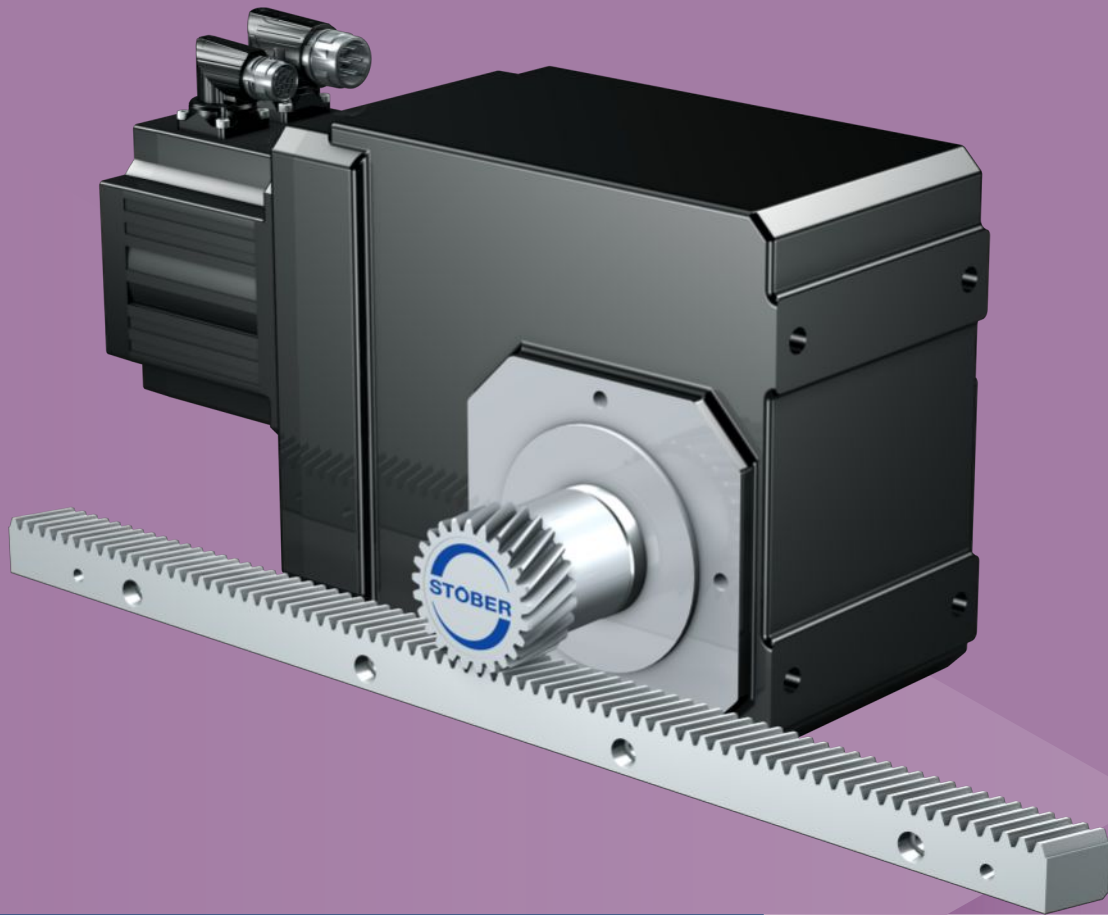
Geben Sie im Feld Suchbegriff die ID der Dokumentation ein.

Dokumentation	ID
Betriebsanleitung Getriebe, Getriebemotoren KL	443363_de
Betriebsanleitung Synchron-Servomotoren EZ	443032_de
Betriebsanleitung Zahnstangen (Atlanta)	442455

12 Zahnstangentriebe ZVK

Inhaltsverzeichnis

12.1 Übersicht	210
12.2 Auswahltable	211
12.3 Maßzeichnungen	235
12.3.1 Ritzelposition E	236
12.3.2 Ritzelposition S	238
12.4 Typenbezeichnung	240
12.4.1 Typenschild	241
12.5 Produktbeschreibung	241
12.5.1 Eintriebsoptionen	241
12.5.2 Zahnstange	242
12.5.3 Einbaubedingungen	242
12.5.4 Einbaulagen	243
12.5.5 Schmierstoffe	243
12.5.6 Position der Steckverbinder	244
12.5.7 Weitere Produktmerkmale	244
12.5.8 Drehrichtung	244
12.6 Projektierung	245
12.6.1 Antriebsauswahl	246
12.7 Weitere Dokumentation	249



12

Zahnstangentriebe

ZVK

12.1 Übersicht

Hochsteife Winkeltriebemotoren mit Aufsteckritzel

Merkmale

- Leistungsdichte ★☆☆☆☆
- Lineares Spiel ★★★★★
- Preisklasse €
- Laufruhe ★★★★★
- Lineare Steifigkeit ★☆☆☆☆
- Massenträgheitsmoment ★★★★★
- Einbaufertige Antriebslösung ✓
- Ritzel Verzahnungsqualität 6 (DIN 3962) ✓
- Schrägverzahnung ✓
- Einsatzgehärtet und geschliffen ✓
- Kompakt und hochdynamisch durch Motordirektanbau ✓

Legende ★☆☆☆☆ gut | ★★★★★ hervorragend
 € Economy | €€€€€ Premium

Technische Daten

m_n	2 – 4 mm
z	18 – 25
F_{fzacc}	0,91 – 15 kN
v_{fzN}	0,04 – 3,4 m/s
Δs	12 – 111 μ m

12.2 Auswahltabelle

Die in den Auswahltabellen angegebenen technischen Daten gelten für:

- Spannungsfreien Einbau
- Permanente Schmierung mit den im Atlanta-Katalog vorgeschriebenen Schmierstoffen
- Werkstoffpaarungen entsprechend Kapitel [▶ 12.5.2](#)
- Aufstellhöhen bis 1000 m über Normalnull
- Umgebungstemperaturen von 0° C bis 40° C
- Ohne Berücksichtigung der thermischen Grenzleistung
- Antriebe mit konvektionsgekühlten Motoren (z. B. EZ401U)

Die technischen Daten für Antriebe mit fremdbelüfteten (z. B. EZ401B) Motoren finden Sie unter

<https://configurator.stoeber.de/de-DE/>

Alle weiteren technischen Daten finden Sie unter <https://configurator.stoeber.de/de-DE/>.

Die Erklärung der Formelzeichen finden Sie im Kapitel [▶ 15.1](#).

v _{f2N}	F _{f2N}	F _{f2,0}	a _{th}	S	Typ	F _{f2accE}	F _{f2NOT,E}	M _{2accE}	i	v _{f2maxDB}		v _{f2maxZB}	Δs	Δs _{redll}	Δs _{redl}	C _{lin}	m _n	z	d ₀
										EL1,2	EL3,4,5,6								
[m/s]	[kN]	[kN]				[kN]	[kN]	[Nm]		[m/s]	[m/s]	[m/s]	[μm]	[μm]	[μm]	[N/μm]	[mm]		[mm]
ZV2K1 (n_{1N} = 3000 min⁻¹, (F_{f2acc,max} = 4,9 kN)																			
0,10	3,0	3,0	8,4	1,1	ZV220S_K102_0700 EZ301U	3,9	6,6	83	70,03	0,13	0,13	0,22	74	37	–	17	2	20	42,4
0,12	2,4	2,4	6,5	1,4	ZV220S_K102_0560 EZ301U	4,8	8,1	103	56,10	0,16	0,16	0,28	74	37	–	17	2	20	42,4
0,13	2,1	2,2	11	1,1	ZV220S_K102_0500 EZ301U	2,8	4,7	60	50,31	0,18	0,18	0,31	74	37	–	17	2	20	42,4
0,14	2,0	2,0	5,2	1,6	ZV220S_K102_0470 EZ301U	4,9	9,6	105	46,92	0,19	0,19	0,33	74	37	–	17	2	20	42,4
0,17	1,7	1,8	8,3	1,7	ZV220S_K102_0400 EZ301U	3,5	5,8	74	40,30	0,22	0,22	0,39	74	37	–	17	2	20	42,4
0,19	1,5	1,5	4,6	2,2	ZV220S_K102_0350 EZ301U	4,5	9,2	95	35,11	0,25	0,25	0,44	74	37	–	17	2	20	42,4
0,19	2,6	2,7	7,9	1,3	ZV220S_K102_0350 EZ302U	4,9	9,2	105	35,11	0,25	0,25	0,44	74	37	–	17	2	20	42,4
0,20	1,4	1,5	6,7	2,3	ZV220S_K102_0340 EZ301U	4,1	6,9	88	33,71	0,26	0,26	0,46	74	37	–	17	2	20	42,4
0,20	2,4	2,6	11	1,3	ZV220S_K102_0340 EZ302U	4,1	6,9	88	33,71	0,26	0,26	0,46	74	37	–	17	2	20	42,4
0,20	3,2	3,4	15	1,0	ZV220S_K102_0340 EZ303U	4,1	6,9	88	33,71	0,26	0,26	0,46	74	37	–	17	2	20	42,4
0,24	1,2	1,2	4,7	2,7	ZV220S_K102_0280 EZ301U	3,6	7,9	76	28,05	0,32	0,32	0,56	74	37	–	17	2	20	42,4
0,24	2,0	2,2	8,1	1,6	ZV220S_K102_0280 EZ302U	4,9	7,9	105	28,05	0,32	0,32	0,56	74	37	–	17	2	20	42,4
0,24	2,7	2,8	11	1,2	ZV220S_K102_0280 EZ303U	4,9	7,9	105	28,05	0,32	0,32	0,56	74	37	–	17	2	20	42,4
0,26	1,1	1,1	4,8	3,0	ZV220S_K102_0250 EZ301U	3,2	6,6	68	25,22	0,35	0,35	0,62	74	37	–	17	2	20	42,4
0,26	1,8	1,9	8,1	1,8	ZV220S_K102_0250 EZ302U	4,9	6,6	105	25,22	0,35	0,35	0,62	74	37	–	17	2	20	42,4
0,26	2,4	2,5	11	1,4	ZV220S_K102_0250 EZ303U	4,9	6,6	105	25,22	0,35	0,35	0,62	74	37	–	17	2	20	42,4
0,29	1,0	1,0	4,8	3,3	ZV220S_K102_0230 EZ301U	3,0	7,5	63	23,27	0,38	0,38	0,67	74	37	–	17	2	20	42,4
0,29	1,7	1,8	8,2	1,9	ZV220S_K102_0230 EZ302U	4,9	7,5	105	23,27	0,38	0,38	0,67	74	37	–	17	2	20	42,4
0,29	2,2	2,3	11	1,5	ZV220S_K102_0230 EZ303U	4,9	7,5	105	23,27	0,38	0,38	0,67	74	37	–	17	2	20	42,4
0,29	3,0	3,2	14	1,1	ZV220S_K102_0230 EZ401U	4,9	11	105	23,27	0,38	0,38	0,67	74	37	–	17	2	20	42,4
0,33	0,9	0,9	4,9	3,8	ZV220S_K102_0200 EZ301U	2,6	5,7	55	20,15	0,44	0,44	0,77	74	37	–	17	2	20	42,4
0,33	1,5	1,5	8,3	2,2	ZV220S_K102_0200 EZ302U	4,6	5,7	97	20,15	0,44	0,44	0,77	74	37	–	17	2	20	42,4
0,33	1,9	2,0	11	1,7	ZV220S_K102_0200 EZ303U	4,6	5,7	97	20,15	0,44	0,44	0,77	74	37	–	17	2	20	42,4
0,33	2,6	2,8	15	1,3	ZV220S_K102_0200 EZ401U	4,9	10	105	20,15	0,44	0,44	0,77	74	37	–	17	2	20	42,4
0,38	0,7	0,8	4,9	4,3	ZV220S_K102_0175 EZ301U	2,2	6,0	48	17,56	0,51	0,48	0,76	74	37	–	17	2	20	42,4
0,38	1,3	1,3	8,4	2,5	ZV220S_K102_0175 EZ302U	4,0	6,0	85	17,56	0,51	0,48	0,76	74	37	–	17	2	20	42,4
0,38	1,7	1,8	11	1,9	ZV220S_K102_0175 EZ303U	4,8	6,0	102	17,56	0,51	0,48	0,76	74	37	–	17	2	20	42,4
0,38	2,2	2,4	15	1,4	ZV220S_K102_0175 EZ401U	4,9	11	105	17,56	0,51	0,48	0,76	74	37	–	17	2	20	42,4
0,40	0,7	0,7	4,9	4,5	ZV220S_K102_0165 EZ301U	2,1	5,4	45	16,71	0,53	0,53	0,93	74	37	–	17	2	20	42,4
0,40	1,2	1,3	8,4	2,7	ZV220S_K102_0165 EZ302U	3,8	5,4	81	16,71	0,53	0,53	0,93	74	37	–	17	2	20	42,4
0,40	1,6	1,7	11	2,0	ZV220S_K102_0165 EZ303U	4,3	5,4	91	16,71	0,53	0,53	0,93	74	37	–	17	2	20	42,4
0,40	2,1	2,3	15	1,5	ZV220S_K102_0165 EZ401U	4,9	10	105	16,71	0,53	0,53	0,93	74	37	–	17	2	20	42,4
0,47	1,0	1,1	8,5	3,1	ZV220S_K102_0140 EZ302U	3,2	4,8	68	14,11	0,63	0,60	0,95	74	37	–	17	2	20	42,4
0,47	1,3	1,4	11	2,4	ZV220S_K102_0140 EZ303U	3,9	4,8	82	14,11	0,63	0,60	0,95	74	37	–	17	2	20	42,4
0,47	1,8	1,9	15	1,8	ZV220S_K102_0140 EZ401U	4,9	11	105	14,11	0,63	0,60	0,95	74	37	–	17	2	20	42,4
0,47	2,8	3,0	23	1,2	ZV220S_K102_0140 EZ501U	4,9	11	105	14,11	0,63	0,60	0,95	74	37	–	17	2	20	42,4
0,47	3,0	3,4	25	1,1	ZV220S_K102_0140 EZ402U	4,9	11	105	14,11	0,63	0,60	0,95	74	37	–	17	2	20	42,4
0,53	0,9	1,0	8,9	3,5	ZV220S_K102_0125 EZ302U	2,9	4,3	61	12,62	0,70	0,67	1,06	74	37	–	17	2	20	42,4
0,53	1,2	1,3	12	2,7	ZV220S_K102_0125 EZ303U	3,5	4,3	73	12,62	0,70	0,67	1,06	74	37	–	17	2	20	42,4
0,53	1,6	1,7	15	2,0	ZV220S_K102_0125 EZ401U	4,9	10	104	12,62	0,70	0,67	1,06	74	37	–	17	2	20	42,4
0,53	2,5	2,7	23	1,3	ZV220S_K102_0125 EZ501U	4,9	10	105	12,62	0,70	0,67	1,06	74	37	–	17	2	20	42,4
0,53	2,7	3,0	25	1,2	ZV220S_K102_0125 EZ402U	4,9	10	105	12,62	0,70	0,67	1,06	74	37	–	17	2	20	42,4
0,58	0,8	0,9	9,5	3,8	ZV220S_K102_0115 EZ302U	2,6	4,0	56	11,57	0,69	0,63	1,06	74	37	–	17	2	20	42,4
0,58	1,1	1,2	12	2,9	ZV220S_K102_0115 EZ303U	3,2	4,0	67	11,57	0,69	0,63	1,06	74	37	–	17	2	20	42,4
0,58	1,5	1,6	15	2,2	ZV220S_K102_0115 EZ401U	4,5	11	95	11,57	0,69	0,63	1,06	74	37	–	17	2	20	42,4
0,58	2,3	2,5	23	1,4	ZV220S_K102_0115 EZ501U	4,9	11	105	11,57	0,69	0,63	1,06	74	37	–	17	2	20	42,4

12.2 Auswahltabelle 12 Zahnstangentriebe ZVK

v _{f2N}	F _{f2N}	F _{fz,0}	a _{th}	S	Typ	F _{f2accE}	F _{f2NOT,E}	M _{zaccE}	i	v _{f2maxDB}		v _{f2maxZB}	Δs	Δs _{redII}	Δs _{redI}	C _{lin}	m _n	z	d ₀
										EL1,2	EL3,4,5,6								
[m/s]	[kN]	[kN]				[kN]	[kN]	[Nm]		[m/s]	[m/s]	[m/s]	[μm]	[μm]	[μm]	[N/μm]	[mm]		[mm]
ZV2K1 (n_{1N} = 3000 min⁻¹, (F_{f2acc,max} = 4,9 kN)																			
0,58	2,5	2,7	26	1,3	ZV220S_K102_0115 EZ402U	4,9	11	105	11,57	0,69	0,63	1,06	74	37	–	17	2	20	42,4
0,66	0,7	0,8	10	3,8	ZV220S_K102_0100 EZ302U	2,3	3,5	49	10,14	0,88	0,83	1,32	74	37	–	17	2	20	42,4
0,66	1,0	1,0	14	2,9	ZV220S_K102_0100 EZ303U	2,8	3,5	59	10,14	0,88	0,83	1,32	74	37	–	17	2	20	42,4
0,66	1,3	1,4	15	2,5	ZV220S_K102_0100 EZ401U	3,9	10	84	10,14	0,88	0,83	1,32	74	37	–	17	2	20	42,4
0,66	2,0	2,2	24	1,6	ZV220S_K102_0100 EZ501U	4,9	10	105	10,14	0,88	0,83	1,32	74	37	–	17	2	20	42,4
0,66	2,2	2,4	26	1,5	ZV220S_K102_0100 EZ402U	4,9	10	105	10,14	0,88	0,83	1,32	74	37	–	17	2	20	42,4
0,66	3,2	4,0	38	1,0	ZV220S_K102_0100 EZ404U	4,9	10	105	10,14	0,88	0,83	1,32	74	37	–	17	2	20	42,4
0,72	0,7	0,7	11	3,8	ZV220S_K102_0092 EZ302U	2,1	3,2	45	9,249	0,87	0,79	1,32	74	37	–	17	2	20	42,4
0,72	0,9	0,9	15	2,9	ZV220S_K102_0092 EZ303U	2,5	3,2	54	9,249	0,87	0,79	1,32	74	37	–	17	2	20	42,4
0,72	1,2	1,3	16	2,7	ZV220S_K102_0092 EZ401U	3,6	11	76	9,249	0,87	0,79	1,32	74	37	–	17	2	20	42,4
0,72	1,8	2,0	24	1,8	ZV220S_K102_0092 EZ501U	4,9	11	105	9,249	0,87	0,79	1,32	74	37	–	17	2	20	42,4
0,72	2,0	2,2	26	1,6	ZV220S_K102_0092 EZ402U	4,9	11	105	9,249	0,87	0,79	1,32	74	37	–	17	2	20	42,4
0,72	2,9	3,6	38	1,1	ZV220S_K102_0092 EZ404U	4,9	11	105	9,249	0,87	0,79	1,32	74	37	–	17	2	20	42,4
0,72	3,1	3,4	41	1,0	ZV220S_K102_0092 EZ502U	4,9	11	105	9,249	0,87	0,79	1,32	74	37	–	17	2	20	42,4
0,72	3,1	3,5	41	1,0	ZV220S_K102_0092 EZ701U	4,9	11	105	9,249	0,87	0,79	1,32	74	37	–	17	2	20	42,4
0,80	0,6	0,6	12	3,8	ZV220S_K102_0083 EZ302U	1,9	2,8	40	8,309	0,96	0,88	1,47	74	37	–	17	2	20	42,4
0,80	0,8	0,8	16	2,9	ZV220S_K102_0083 EZ303U	2,3	2,8	48	8,309	0,96	0,88	1,47	74	37	–	17	2	20	42,4
0,80	1,1	1,1	16	2,9	ZV220S_K102_0083 EZ401U	3,2	10	69	8,309	0,96	0,88	1,47	74	37	–	17	2	20	42,4
0,80	1,6	1,8	24	1,9	ZV220S_K102_0083 EZ501U	4,9	10	105	8,309	0,96	0,88	1,47	74	37	–	17	2	20	42,4
0,80	1,8	2,0	26	1,7	ZV220S_K102_0083 EZ402U	4,9	10	105	8,309	0,96	0,88	1,47	74	37	–	17	2	20	42,4
0,80	2,6	3,3	39	1,2	ZV220S_K102_0083 EZ404U	4,9	10	105	8,309	0,96	0,88	1,47	74	37	–	17	2	20	42,4
0,80	2,8	3,0	42	1,1	ZV220S_K102_0083 EZ502U	4,9	10	105	8,309	0,96	0,88	1,47	74	37	–	17	2	20	42,4
0,80	2,8	3,2	42	1,1	ZV220S_K102_0083 EZ701U	4,9	10	105	8,309	0,96	0,88	1,47	74	37	–	17	2	20	42,4
1,00	0,5	0,5	14	3,8	ZV220S_K102_0066 EZ302U	1,5	2,3	32	6,644	1,20	1,10	1,84	74	37	–	17	2	20	42,4
1,00	0,6	0,7	19	2,9	ZV220S_K102_0066 EZ303U	1,8	2,3	39	6,644	1,20	1,10	1,84	74	37	–	17	2	20	42,4
1,00	0,9	0,9	16	3,4	ZV220S_K102_0066 EZ401U	2,6	9,1	55	6,644	1,20	1,10	1,84	74	37	–	17	2	20	42,4
1,00	1,3	1,4	25	2,2	ZV220S_K102_0066 EZ501U	4,9	9,1	103	6,644	1,20	1,10	1,84	74	37	–	17	2	20	42,4
1,00	1,4	1,6	27	2,0	ZV220S_K102_0066 EZ402U	4,9	9,1	103	6,644	1,20	1,10	1,84	74	37	–	17	2	20	42,4
1,00	2,1	2,6	39	1,4	ZV220S_K102_0066 EZ404U	4,9	9,1	105	6,644	1,20	1,10	1,84	74	37	–	17	2	20	42,4
1,00	2,2	2,4	42	1,3	ZV220S_K102_0066 EZ502U	4,9	9,1	105	6,644	1,20	1,10	1,84	74	37	–	17	2	20	42,4
1,00	2,2	2,5	42	1,3	ZV220S_K102_0066 EZ701U	4,9	9,1	105	6,644	1,20	1,10	1,84	74	37	–	17	2	20	42,4
1,11	0,8	0,8	16	3,6	ZV220S_K102_0060 EZ401U	2,3	8,2	49	6,000	1,22	1,04	1,85	74	37	–	17	2	20	42,4
1,11	1,2	1,3	25	2,4	ZV220S_K102_0060 EZ501U	4,4	8,2	93	6,000	1,22	1,04	1,85	74	37	–	17	2	20	42,4
1,11	1,3	1,4	27	2,2	ZV220S_K102_0060 EZ402U	4,4	8,2	93	6,000	1,22	1,04	1,85	74	37	–	17	2	20	42,4
1,11	1,9	2,4	40	1,5	ZV220S_K102_0060 EZ404U	4,9	8,2	105	6,000	1,22	1,04	1,85	74	37	–	17	2	20	42,4
1,11	2,0	2,2	43	1,4	ZV220S_K102_0060 EZ502U	4,9	8,2	105	6,000	1,22	1,04	1,85	74	37	–	17	2	20	42,4
1,11	2,0	2,3	43	1,4	ZV220S_K102_0060 EZ701U	4,9	8,2	105	6,000	1,22	1,04	1,85	74	37	–	17	2	20	42,4
1,11	2,7	3,0	56	1,0	ZV220S_K102_0060 EZ503U	4,9	8,2	105	6,000	1,22	1,04	1,85	74	37	–	17	2	20	42,4
1,20	0,4	0,4	16	3,8	ZV220S_K102_0056 EZ302U	1,3	1,9	27	5,568	1,32	1,12	2,00	74	37	–	17	2	20	42,4
1,20	0,5	0,6	21	2,9	ZV220S_K102_0056 EZ303U	1,5	1,9	32	5,568	1,32	1,12	2,00	74	37	–	17	2	20	42,4
1,20	0,7	0,8	16	3,8	ZV220S_K102_0056 EZ401U	2,2	7,6	46	5,568	1,32	1,12	2,00	74	37	–	17	2	20	42,4
1,20	1,1	1,2	25	2,5	ZV220S_K102_0056 EZ501U	4,1	7,6	86	5,568	1,32	1,12	2,00	74	37	–	17	2	20	42,4
1,20	1,2	1,3	27	2,3	ZV220S_K102_0056 EZ402U	4,1	7,6	86	5,568	1,32	1,12	2,00	74	37	–	17	2	20	42,4
1,20	1,8	2,2	40	1,5	ZV220S_K102_0056 EZ404U	4,9	7,6	105	5,568	1,32	1,12	2,00	74	37	–	17	2	20	42,4
1,20	1,9	2,0	43	1,4	ZV220S_K102_0056 EZ502U	4,9	7,6	105	5,568	1,32	1,12	2,00	74	37	–	17	2	20	42,4
1,20	1,9	2,1	43	1,4	ZV220S_K102_0056 EZ701U	4,9	7,6	105	5,568	1,32	1,12	2,00	74	37	–	17	2	20	42,4
1,20	2,5	2,8	56	1,1	ZV220S_K102_0056 EZ503U	4,9	7,6	105	5,568	1,32	1,12	2,00	74	37	–	17	2	20	42,4
1,67	0,3	0,3	21	3,8	ZV220S_K102_0040 EZ302U	0,9	1,4	19	4,000	1,83	1,56	2,78	74	37	–	17	2	20	42,4
1,67	0,4	0,4	27	2,9	ZV220S_K102_0040 EZ303U	1,1	1,4	23	4,000	1,83	1,56	2,78	74	37	–	17	2	20	42,4
1,67	0,5	0,5	17	4,8	ZV220S_K102_0040 EZ401U	1,6	5,5	33	4,000	1,83	1,56	2,78	74	37	–	17	2	20	42,4
1,67	0,8	0,9	26	3,1	ZV220S_K102_0040 EZ501U	2,9	5,5	62	4,000	1,83	1,56	2,78	74	37	–	17	2	20	42,4
1,67	0,9	1,0	28	2,8	ZV220S_K102_0040 EZ402U	2,9	5,5	62	4,000	1,83	1,56	2,78	74	37	–	17	2	20	42,4
1,67	1,3	1,6	41	1,9	ZV220S_K102_0040 EZ404U	4,4	5,5	93	4,000	1,83	1,56	2,78	74	37	–	17	2	20	42,4
1,67	1,4	1,5	44	1,8	ZV220S_K102_0040 EZ502U	4,4	5,5	93	4,000	1,83	1,56	2,78	74	37	–	17	2	20	42,4
1,67	1,4	1,5	44	1,8	ZV220S_K102_0040 EZ701U	3,7	5,5	78	4,000	1,83	1,56	2,78	74	37	–	17	2	20	42,4
1,67	1,8	2,0	58	1,4	ZV220S_K102_0040 EZ503U	4,4	5,5	93	4,000	1,83	1,56	2,78	74	37	–	17	2	20	42,4
ZV2K1 (n_{1N} = 6000 min⁻¹, (F_{f2acc,max} = 4,9 kN)																			
0,19	1,3	1,4	3,6	2,5	ZV220S_K102_0700 EZ202U	3,9	6,6	83	70,03	0,13	0,13	0,22	74	37	–	17	2	20	42,4
0,19	2,0	2,2	5,5	1,7	ZV220S_K102_0700 EZ203U	3,9	6,6	83	70,03	0,13	0,13	0,22	74	37	–	17	2	20	42,4
0,19	2,8	3,0	8,1	1,1	ZV220S_K102_0700 EZ301U	3,9	6,6	83	70,03	0,13	0,13	0,22	74	37	–	17	2	20	42,4
0,24	1,0	1,1	2,8	3,1	ZV220S_K102_0560 EZ202U	3,8	8,1	81	56,10	0,16	0,16	0,28	74	37	–	17	2	20	42,4
0,24	1,6	1,8	4,3	2,1	ZV220S_K102_0560 EZ203U	4,8	8,1	103	56,10	0,16	0,16	0,28	74	37	–	17	2	20	42,4
0,24	2,3	2,4	6,2	1,4	ZV220S_K102_0560 EZ301U	4,8	8,1	103	56,10	0,16	0,16	0,28	74	37	–	17	2	20	42,4
0,27	0,9	1,0	4,7	2,6	ZV220S_K102_0500 EZ202U	2,8	4,7	60	50,31	0,18	0,18	0,31	74	37	–	17	2	20	42,4

v _{f2N}	F _{f2N}	F _{fz,0}	a _{th}	S	Typ	F _{fzaccE}	F _{fzNOT,E}	M _{zaccE}	i	v _{f2maxDB}		v _{f2maxZB}	Δs	Δs _{redII}	Δs _{redI}	C _{lin}	m _n	z	d ₀
										EL1,2	EL3,4,5,6								
[m/s]	[kN]	[kN]				[kN]	[kN]	[Nm]		[m/s]	[m/s]	[m/s]	[μm]	[μm]	[μm]	[N/μm]	[mm]		[mm]
ZV2K1 (n_{in} = 6000 min⁻¹, (F_{fzacc,max} = 4,9 kN)																			
0,27	1,4	1,6	7,1	1,7	ZV220S_K102_0500 EZ203U	2,8	4,7	60	50,31	0,18	0,18	0,31	74	37	–	17	2	20	42,4
0,27	2,0	2,2	10	1,2	ZV220S_K102_0500 EZ301U	2,8	4,7	60	50,31	0,18	0,18	0,31	74	37	–	17	2	20	42,4
0,28	0,9	0,9	2,5	3,8	ZV220S_K102_0470 EZ202U	3,2	9,6	67	46,92	0,19	0,19	0,33	74	37	–	17	2	20	42,4
0,28	1,3	1,5	3,7	2,5	ZV220S_K102_0470 EZ203U	4,9	9,6	105	46,92	0,19	0,19	0,33	74	37	–	17	2	20	42,4
0,28	1,9	2,0	5,5	1,7	ZV220S_K102_0470 EZ301U	4,9	9,6	105	46,92	0,19	0,19	0,33	74	37	–	17	2	20	42,4
0,28	3,2	3,6	9,2	1,0	ZV220S_K102_0470 EZ302U	4,9	9,6	105	46,92	0,19	0,19	0,33	74	37	–	17	2	20	42,4
0,33	0,7	0,8	3,6	3,9	ZV220S_K102_0400 EZ202U	2,7	5,8	58	40,30	0,22	0,22	0,39	74	37	–	17	2	20	42,4
0,33	1,1	1,3	5,5	2,6	ZV220S_K102_0400 EZ203U	3,5	5,8	74	40,30	0,22	0,22	0,39	74	37	–	17	2	20	42,4
0,33	1,6	1,8	8,0	1,8	ZV220S_K102_0400 EZ301U	3,5	5,8	74	40,30	0,22	0,22	0,39	74	37	–	17	2	20	42,4
0,33	2,8	3,1	13	1,0	ZV220S_K102_0400 EZ302U	3,5	5,8	74	40,30	0,22	0,22	0,39	74	37	–	17	2	20	42,4
0,38	1,0	1,1	3,8	3,3	ZV220S_K102_0350 EZ203U	4,3	9,2	92	35,11	0,25	0,25	0,44	74	37	–	17	2	20	42,4
0,38	1,4	1,5	5,6	2,3	ZV220S_K102_0350 EZ301U	4,5	9,2	95	35,11	0,25	0,25	0,44	74	37	–	17	2	20	42,4
0,38	2,4	2,7	9,4	1,3	ZV220S_K102_0350 EZ302U	4,9	9,2	105	35,11	0,25	0,25	0,44	74	37	–	17	2	20	42,4
0,38	3,1	3,6	12	1,0	ZV220S_K102_0350 EZ303U	4,9	9,2	105	35,11	0,25	0,25	0,44	74	37	–	17	2	20	42,4
0,40	0,9	1,1	4,4	3,4	ZV220S_K102_0340 EZ203U	4,1	6,9	88	33,71	0,26	0,26	0,46	74	37	–	17	2	20	42,4
0,40	1,4	1,5	6,4	2,4	ZV220S_K102_0340 EZ301U	4,1	6,9	88	33,71	0,26	0,26	0,46	74	37	–	17	2	20	42,4
0,40	2,3	2,6	11	1,4	ZV220S_K102_0340 EZ302U	4,1	6,9	88	33,71	0,26	0,26	0,46	74	37	–	17	2	20	42,4
0,40	3,0	3,5	14	1,1	ZV220S_K102_0340 EZ303U	4,1	6,9	88	33,71	0,26	0,26	0,46	74	37	–	17	2	20	42,4
0,48	0,8	0,9	3,9	4,1	ZV220S_K102_0280 EZ203U	3,5	7,9	73	28,05	0,32	0,32	0,56	74	37	–	17	2	20	42,4
0,48	1,1	1,2	5,7	2,8	ZV220S_K102_0280 EZ301U	3,6	7,9	76	28,05	0,32	0,32	0,56	74	37	–	17	2	20	42,4
0,48	1,9	2,2	9,6	1,7	ZV220S_K102_0280 EZ302U	4,9	7,9	105	28,05	0,32	0,32	0,56	74	37	–	17	2	20	42,4
0,48	2,5	2,9	13	1,3	ZV220S_K102_0280 EZ303U	4,9	7,9	105	28,05	0,32	0,32	0,56	74	37	–	17	2	20	42,4
0,48	2,9	3,6	15	1,1	ZV220S_K102_0280 EZ401U	4,9	11	105	28,05	0,32	0,32	0,56	74	37	–	17	2	20	42,4
0,53	0,7	0,8	3,9	4,6	ZV220S_K102_0250 EZ203U	3,1	6,6	66	25,22	0,35	0,35	0,62	74	37	–	17	2	20	42,4
0,53	1,0	1,1	5,7	3,1	ZV220S_K102_0250 EZ301U	3,2	6,6	68	25,22	0,35	0,35	0,62	74	37	–	17	2	20	42,4
0,53	1,7	1,9	9,7	1,9	ZV220S_K102_0250 EZ302U	4,9	6,6	105	25,22	0,35	0,35	0,62	74	37	–	17	2	20	42,4
0,53	2,3	2,6	13	1,4	ZV220S_K102_0250 EZ303U	4,9	6,6	105	25,22	0,35	0,35	0,62	74	37	–	17	2	20	42,4
0,53	2,7	3,2	15	1,2	ZV220S_K102_0250 EZ401U	4,9	9,1	105	25,22	0,35	0,35	0,62	74	37	–	17	2	20	42,4
0,57	0,6	0,7	4,0	5,0	ZV220S_K102_0230 EZ203U	2,9	7,5	61	23,27	0,38	0,38	0,67	74	37	–	17	2	20	42,4
0,57	0,9	1,0	5,8	3,4	ZV220S_K102_0230 EZ301U	3,0	7,5	63	23,27	0,38	0,38	0,67	74	37	–	17	2	20	42,4
0,57	1,6	1,8	9,7	2,0	ZV220S_K102_0230 EZ302U	4,9	7,5	105	23,27	0,38	0,38	0,67	74	37	–	17	2	20	42,4
0,57	2,1	2,4	13	1,5	ZV220S_K102_0230 EZ303U	4,9	7,5	105	23,27	0,38	0,38	0,67	74	37	–	17	2	20	42,4
0,57	2,4	3,0	15	1,3	ZV220S_K102_0230 EZ401U	4,9	11	105	23,27	0,38	0,38	0,67	74	37	–	17	2	20	42,4
0,66	0,8	0,9	5,9	3,9	ZV220S_K102_0200 EZ301U	2,6	5,7	55	20,15	0,44	0,44	0,77	74	37	–	17	2	20	42,4
0,66	1,4	1,5	9,9	2,3	ZV220S_K102_0200 EZ302U	4,6	5,7	97	20,15	0,44	0,44	0,77	74	37	–	17	2	20	42,4
0,66	1,8	2,1	13	1,8	ZV220S_K102_0200 EZ303U	4,6	5,7	97	20,15	0,44	0,44	0,77	74	37	–	17	2	20	42,4
0,66	2,1	2,6	15	1,5	ZV220S_K102_0200 EZ401U	4,9	10	105	20,15	0,44	0,44	0,77	74	37	–	17	2	20	42,4
0,66	3,1	4,1	22	1,0	ZV220S_K102_0200 EZ501U	4,9	10	105	20,15	0,44	0,44	0,77	74	37	–	17	2	20	42,4
0,66	3,2	4,5	23	1,0	ZV220S_K102_0200 EZ402U	4,9	10	105	20,15	0,44	0,44	0,77	74	37	–	17	2	20	42,4
0,76	0,7	0,8	5,9	4,4	ZV220S_K102_0175 EZ301U	2,2	6,0	48	17,56	0,51	0,48	0,76	74	37	–	17	2	20	42,4
0,76	1,2	1,3	10	2,6	ZV220S_K102_0175 EZ302U	4,0	6,0	85	17,56	0,51	0,48	0,76	74	37	–	17	2	20	42,4
0,76	1,6	1,8	13	2,0	ZV220S_K102_0175 EZ303U	4,8	6,0	102	17,56	0,51	0,48	0,76	74	37	–	17	2	20	42,4
0,76	1,8	2,2	15	1,7	ZV220S_K102_0175 EZ401U	4,9	11	105	17,56	0,51	0,48	0,76	74	37	–	17	2	20	42,4
0,76	2,7	3,5	23	1,2	ZV220S_K102_0175 EZ501U	4,9	11	105	17,56	0,51	0,48	0,76	74	37	–	17	2	20	42,4
0,76	2,8	3,9	23	1,1	ZV220S_K102_0175 EZ402U	4,9	11	105	17,56	0,51	0,48	0,76	74	37	–	17	2	20	42,4
0,80	0,7	0,7	5,9	4,6	ZV220S_K102_0165 EZ301U	2,1	5,4	45	16,71	0,53	0,53	0,93	74	37	–	17	2	20	42,4
0,80	1,1	1,3	10	2,7	ZV220S_K102_0165 EZ302U	3,8	5,4	81	16,71	0,53	0,53	0,93	74	37	–	17	2	20	42,4
0,80	1,5	1,7	13	2,1	ZV220S_K102_0165 EZ303U	4,3	5,4	91	16,71	0,53	0,53	0,93	74	37	–	17	2	20	42,4
0,80	1,8	2,1	15	1,8	ZV220S_K102_0165 EZ401U	4,9	10	105	16,71	0,53	0,53	0,93	74	37	–	17	2	20	42,4
0,80	2,6	3,4	23	1,2	ZV220S_K102_0165 EZ501U	4,9	10	105	16,71	0,53	0,53	0,93	74	37	–	17	2	20	42,4
0,80	2,7	3,7	23	1,2	ZV220S_K102_0165 EZ402U	4,9	10	105	16,71	0,53	0,53	0,93	74	37	–	17	2	20	42,4
0,95	1,0	1,1	10	3,0	ZV220S_K102_0140 EZ302U	3,2	4,8	68	14,11	0,63	0,60	0,95	74	37	–	17	2	20	42,4
0,95	1,3	1,5	13	2,3	ZV220S_K102_0140 EZ303U	3,9	4,8	82	14,11	0,63	0,60	0,95	74	37	–	17	2	20	42,4
0,95	1,5	1,8	16	2,0	ZV220S_K102_0140 EZ401U	4,9	11	105	14,11	0,63	0,60	0,95	74	37	–	17	2	20	42,4
0,95	2,2	2,8	23	1,3	ZV220S_K102_0140 EZ501U	4,9	11	105	14,11	0,63	0,60	0,95	74	37	–	17	2	20	42,4
0,95	2,3	3,2	24	1,3	ZV220S_K102_0140 EZ402U	4,9	11	105	14,11	0,63	0,60	0,95	74	37	–	17	2	20	42,4
1,06	0,9	1,0	10	3,3	ZV220S_K102_0125 EZ302U	2,9	4,3	61	12,62	0,70	0,67	1,06	74	37	–	17	2	20	42,4
1,06	1,1	1,3	13	2,5	ZV220S_K102_0125 EZ303U	3,5	4,3	73	12,62	0,70	0,67	1,06	74	37	–	17	2	20	42,4
1,06	1,3	1,6	16	2,1	ZV220S_K102_0125 EZ401U	4,9	10	104	12,62	0,70	0,67	1,06	74	37	–	17	2	20	42,4
1,06	2,0	2,5	23	1,4	ZV220S_K102_0125 EZ501U	4,9	10	105	12,62	0,70	0,67	1,06	74	37	–	17	2	20	42,4
1,06	2,0	2,8	24	1,4	ZV220S_K102_0125 EZ402U	4,9	10	105	12,62	0,70	0,67	1,06	74	37	–	17	2	20	42,4
1,32	0,7	0,8	10	3,8	ZV220S_K102_0100 EZ302U	2,3	3,5	49	10,14	0,88	0,83	1,32	74	37	–	17	2	20	42,4
1,32	0,9	1,0	14	2,9	ZV220S_K102_0100 EZ303U	2,8	3,5	59	10,14	0,88	0,83	1,32	74	37	–	17	2	20	42,4
1,32	1,1	1,3	16	2,5	ZV220S_K102_0100 EZ401U	3,9	10	84	10,14	0,88	0,83	1,32	74	37	–	17	2	20	42,4

12.2 Auswahltabelle 12 Zahnstangentriebe ZVK

v _{f2N}	F _{f2N}	F _{fz,0}	a _{th}	S	Typ	F _{f2accE}	F _{f2NOT,E}	M _{zaccE}	i	v _{f2maxDB}		v _{f2maxZB}	Δs	Δs _{redII}	Δs _{redI}	C _{lin}	m _n	z	d ₀
										EL1,2	EL3,4,5,6								
[m/s]	[kN]	[kN]				[kN]	[kN]	[Nm]		[m/s]	[m/s]	[m/s]	[μm]	[μm]	[μm]	[N/μm]	[mm]		[mm]
ZV2K1 (n_{fN} = 6000 min⁻¹, (F_{f2acc,max} = 4,9 kN)																			
1,32	1,6	2,0	24	1,7	ZV220S_K102_0100 EZ501U	4,9	10	105	10,14	0,88	0,83	1,32	74	37	–	17	2	20	42,4
1,32	1,6	2,3	24	1,6	ZV220S_K102_0100 EZ402U	4,9	10	105	10,14	0,88	0,83	1,32	74	37	–	17	2	20	42,4
1,32	2,4	3,6	36	1,1	ZV220S_K102_0100 EZ502U	4,9	10	105	10,14	0,88	0,83	1,32	74	37	–	17	2	20	42,4
1,32	2,4	3,7	36	1,1	ZV220S_K102_0100 EZ701U	4,9	10	105	10,14	0,88	0,83	1,32	74	37	–	17	2	20	42,4
ZV2K2 (n_{fN} = 3000 min⁻¹, (F_{f2acc,max} = 8,3 kN)																			
0,06	4,5	4,6	3,8	1,1	ZV225S_K203_1350 EZ301U	8,3	15	220	135,3	0,08	0,08	0,13	77	46	19	24	2	25	53,1
0,08	3,7	3,7	3,6	1,4	ZV225S_K203_1090 EZ301U	8,3	15	220	109,5	0,10	0,10	0,17	77	46	19	24	2	25	53,1
0,09	3,0	3,1	3,4	1,7	ZV225S_K203_0910 EZ301U	8,3	15	220	90,79	0,12	0,12	0,20	77	46	19	24	2	25	53,1
0,09	5,2	5,5	5,9	1,0	ZV225S_K203_0910 EZ302U	8,3	15	220	90,79	0,12	0,12	0,20	77	46	19	24	2	25	53,1
0,11	2,7	2,7	3,3	2,0	ZV225S_K203_0800 EZ301U	8,0	15	213	79,62	0,14	0,14	0,23	77	46	19	24	2	25	53,1
0,11	4,6	4,8	5,7	1,1	ZV225S_K203_0800 EZ302U	8,3	15	220	79,62	0,14	0,14	0,23	77	46	19	24	2	25	53,1
0,12	2,4	2,4	4,9	2,1	ZV225S_K202_0690 EZ301U	6,0	9,5	159	69,43	0,16	0,16	0,26	77	39	12	24	2	25	53,1
0,12	4,0	4,3	8,4	1,2	ZV225S_K202_0690 EZ302U	6,0	9,5	159	69,43	0,16	0,16	0,26	77	39	12	24	2	25	53,1
0,12	2,3	2,3	3,2	2,3	ZV225S_K203_0680 EZ301U	6,9	15	183	68,42	0,16	0,16	0,26	77	46	19	24	2	25	53,1
0,12	3,9	4,1	5,5	1,3	ZV225S_K203_0680 EZ302U	8,3	15	220	68,42	0,16	0,16	0,26	77	46	19	24	2	25	53,1
0,12	5,1	5,4	7,1	1,0	ZV225S_K203_0680 EZ303U	8,3	15	220	68,42	0,16	0,16	0,26	77	46	19	24	2	25	53,1
0,13	2,2	2,3	3,2	2,4	ZV225S_K203_0660 EZ301U	6,7	15	177	66,03	0,17	0,16	0,27	77	46	19	24	2	25	53,1
0,13	3,8	4,0	5,4	1,4	ZV225S_K203_0660 EZ302U	8,3	15	220	66,03	0,17	0,16	0,27	77	46	19	24	2	25	53,1
0,13	4,9	5,2	7,1	1,1	ZV225S_K203_0660 EZ303U	8,3	15	220	66,03	0,17	0,16	0,27	77	46	19	24	2	25	53,1
0,15	1,9	1,9	3,9	2,8	ZV225S_K202_0560 EZ301U	5,7	10	151	55,54	0,20	0,20	0,33	77	39	12	24	2	25	53,1
0,15	3,2	3,4	6,6	1,6	ZV225S_K202_0560 EZ302U	7,2	10	191	55,54	0,20	0,20	0,33	77	39	12	24	2	25	53,1
0,15	4,2	4,4	8,6	1,2	ZV225S_K202_0560 EZ303U	7,2	10	191	55,54	0,20	0,20	0,33	77	39	12	24	2	25	53,1
0,15	1,8	1,9	3,0	2,9	ZV225S_K203_0540 EZ301U	5,5	13	145	54,25	0,21	0,20	0,33	77	46	19	24	2	25	53,1
0,15	3,1	3,3	5,2	1,7	ZV225S_K203_0540 EZ302U	8,3	13	220	54,25	0,21	0,20	0,33	77	46	19	24	2	25	53,1
0,15	4,0	4,3	6,7	1,3	ZV225S_K203_0540 EZ303U	8,3	13	220	54,25	0,21	0,20	0,33	77	46	19	24	2	25	53,1
0,17	1,7	1,8	6,2	2,1	ZV225S_K202_0500 EZ301U	4,4	6,9	116	50,49	0,22	0,22	0,36	77	39	12	24	2	25	53,1
0,17	2,9	3,1	11	1,2	ZV225S_K202_0500 EZ302U	4,4	6,9	116	50,49	0,22	0,22	0,36	77	39	12	24	2	25	53,1
0,17	1,7	1,7	3,0	3,1	ZV225S_K203_0500 EZ301U	5,0	12	133	49,76	0,22	0,22	0,36	77	46	19	24	2	25	53,1
0,17	2,9	3,0	5,0	1,8	ZV225S_K203_0500 EZ302U	8,3	12	220	49,76	0,22	0,22	0,36	77	46	19	24	2	25	53,1
0,17	3,7	3,9	6,6	1,4	ZV225S_K203_0500 EZ303U	8,3	12	220	49,76	0,22	0,22	0,36	77	46	19	24	2	25	53,1
0,17	5,0	5,4	8,9	1,0	ZV225S_K203_0500 EZ401U	8,3	12	220	49,76	0,22	0,22	0,36	77	46	19	24	2	25	53,1
0,18	1,6	1,6	2,9	3,3	ZV225S_K202_0460 EZ301U	4,7	9,7	126	46,23	0,24	0,23	0,39	77	39	12	24	2	25	53,1
0,18	2,7	2,8	5,0	1,9	ZV225S_K202_0460 EZ302U	7,8	9,7	206	46,23	0,24	0,23	0,39	77	39	12	24	2	25	53,1
0,18	3,5	3,7	6,5	1,5	ZV225S_K202_0460 EZ303U	7,8	9,7	206	46,23	0,24	0,23	0,39	77	39	12	24	2	25	53,1
0,18	4,7	5,1	8,9	1,1	ZV225S_K202_0460 EZ401U	8,3	15	220	46,23	0,24	0,23	0,39	77	39	12	24	2	25	53,1
0,18	1,5	1,5	2,9	3,4	ZV225S_K203_0450 EZ301U	4,6	11	121	45,22	0,25	0,24	0,40	77	46	19	24	2	25	53,1
0,18	2,6	2,7	4,9	2,0	ZV225S_K203_0450 EZ302U	8,1	11	216	45,22	0,25	0,24	0,40	77	46	19	24	2	25	53,1
0,18	3,4	3,6	6,4	1,5	ZV225S_K203_0450 EZ303U	8,3	11	220	45,22	0,25	0,24	0,40	77	46	19	24	2	25	53,1
0,18	4,6	4,9	8,7	1,1	ZV225S_K203_0450 EZ401U	8,3	11	220	45,22	0,25	0,24	0,40	77	46	19	24	2	25	53,1
0,21	1,4	1,4	4,9	3,2	ZV225S_K202_0400 EZ301U	4,1	7,4	110	40,39	0,28	0,27	0,45	77	39	12	24	2	25	53,1
0,21	2,3	2,5	8,4	1,9	ZV225S_K202_0400 EZ302U	5,2	7,4	139	40,39	0,28	0,27	0,45	77	39	12	24	2	25	53,1
0,21	3,1	3,2	11	1,4	ZV225S_K202_0400 EZ303U	5,2	7,4	139	40,39	0,28	0,27	0,45	77	39	12	24	2	25	53,1
0,21	4,1	4,4	15	1,1	ZV225S_K202_0400 EZ401U	5,2	7,4	139	40,39	0,28	0,27	0,45	77	39	12	24	2	25	53,1
0,21	1,3	1,4	2,8	3,9	ZV225S_K203_0390 EZ301U	4,0	9,5	106	39,45	0,28	0,28	0,46	77	46	19	24	2	25	53,1
0,21	2,3	2,4	4,8	2,3	ZV225S_K203_0390 EZ302U	7,1	9,5	189	39,45	0,28	0,28	0,46	77	46	19	24	2	25	53,1
0,21	2,9	3,1	6,3	1,8	ZV225S_K203_0390 EZ303U	7,6	9,5	202	39,45	0,28	0,28	0,46	77	46	19	24	2	25	53,1
0,21	4,0	4,3	8,5	1,3	ZV225S_K203_0390 EZ401U	7,6	9,5	202	39,45	0,28	0,28	0,46	77	46	19	24	2	25	53,1
0,24	1,2	1,2	3,2	4,4	ZV225S_K202_0350 EZ301U	3,5	8,1	94	34,55	0,32	0,31	0,52	77	39	12	24	2	25	53,1
0,24	2,0	2,1	5,5	2,6	ZV225S_K202_0350 EZ302U	6,3	8,1	168	34,55	0,32	0,31	0,52	77	39	12	24	2	25	53,1
0,24	2,6	2,8	7,1	2,0	ZV225S_K202_0350 EZ303U	6,5	8,1	171	34,55	0,32	0,31	0,52	77	39	12	24	2	25	53,1
0,24	3,5	3,8	8,7	1,5	ZV225S_K202_0350 EZ401U	8,3	15	220	34,55	0,32	0,31	0,52	77	39	12	24	2	25	53,1
0,25	1,1	1,2	3,6	4,6	ZV225S_K202_0340 EZ301U	3,4	7,1	91	33,62	0,33	0,32	0,54	77	39	12	24	2	25	53,1
0,25	2,0	2,1	6,2	2,7	ZV225S_K202_0340 EZ302U	5,7	7,1	150	33,62	0,33	0,32	0,54	77	39	12	24	2	25	53,1
0,25	2,5	2,7	8,1	2,0	ZV225S_K202_0340 EZ303U	5,7	7,1	150	33,62	0,33	0,32	0,54	77	39	12	24	2	25	53,1
0,25	3,4	3,7	11	1,5	ZV225S_K202_0340 EZ401U	7,0	12	185	33,62	0,33	0,32	0,54	77	39	12	24	2	25	53,1
0,30	2,9	3,1	8,8	1,8	ZV225S_K202_0280 EZ401U	8,3	15	220	27,95	0,40	0,39	0,65	77	39	12	24	2	25	53,1
0,30	4,4	4,8	14	1,2	ZV225S_K202_0280 EZ501U	8,3	15	220	27,95	0,40	0,39	0,65	77	39	12	24	2	25	53,1
0,30	4,8	5,3	15	1,1	ZV225S_K202_0280 EZ402U	8,3	15	220	27,95	0,40	0,39	0,65	77	39	12	24	2	25	53,1
0,33	1,5	1,5	6,9	3,2	ZV225S_K202_0250 EZ302U	4,6	5,9	122	25,13	0,44	0,43	0,72	77	39	12	24	2	25	53,1
0,33	1,9	2,0	9,0	2,5	ZV225S_K202_0250 EZ303U	4,7	5,9	125	25,13	0,44	0,43	0,72	77	39	12	24	2	25	53,1
0,33	2,6	2,8	8,9	2,0	ZV225S_K202_0250 EZ401U	7,8	15	207	25,13	0,44	0,43	0,72	77	39	12	24	2	25	53,1
0,33	4,0	4,3	14	1,3	ZV225S_K202_0250 EZ501U	8,3	15	220	25,13	0,44	0,43	0,72	77	39	12	24	2	25	53,1
0,33	4,3	4,8	15	1,2	ZV225S_K202_0250 EZ402U	8,3	15	220	25,13	0,44	0,43	0,72	77	39	12	24	2	25	53,1
0,36	1,3	1,4	6,3	3,8	ZV225S_K202_0230 EZ302U	4,2	6,4	112	23,18	0,48	0,47	0,78	77	39	12	24	2	25	53,1

v _{f2N}	F _{f2N}	F _{fz,0}	a _{th}	S	Typ	F _{fzaccE}	F _{fzNOT,E}	M _{zaccE}	i	v _{f2maxDB}		v _{f2maxZB}	Δs	Δs _{redII}	Δs _{redI}	C _{lin}	m _n	z	d ₀
										EL1,2	EL3,4,5,6								
[m/s]	[kN]	[kN]				[kN]	[kN]	[Nm]		[m/s]	[m/s]	[m/s]	[μm]	[μm]	[μm]	[N/μm]	[mm]		[mm]
ZV2K2 (n _{1N} = 3000 min ⁻¹ , (F _{fzacc,max} = 8,3 kN)																			
0,36	1,8	1,9	8,2	2,9	ZV225S_K202_0230 EZ303U	5,1	6,4	135	23,18	0,48	0,47	0,78	77	39	12	24	2	25	53,1
0,36	2,4	2,5	9,0	2,2	ZV225S_K202_0230 EZ401U	7,2	15	191	23,18	0,48	0,47	0,78	77	39	12	24	2	25	53,1
0,36	3,6	4,0	14	1,4	ZV225S_K202_0230 EZ501U	8,3	15	220	23,18	0,48	0,47	0,78	77	39	12	24	2	25	53,1
0,36	4,0	4,4	15	1,3	ZV225S_K202_0230 EZ402U	8,3	15	220	23,18	0,48	0,47	0,78	77	39	12	24	2	25	53,1
0,41	2,1	2,2	9,1	2,5	ZV225S_K202_0200 EZ401U	6,3	15	168	20,33	0,55	0,53	0,89	77	39	12	24	2	25	53,1
0,41	3,2	3,5	14	1,6	ZV225S_K202_0200 EZ501U	8,3	15	220	20,33	0,55	0,53	0,89	77	39	12	24	2	25	53,1
0,41	3,5	3,9	15	1,5	ZV225S_K202_0200 EZ402U	8,3	15	220	20,33	0,55	0,53	0,89	77	39	12	24	2	25	53,1
0,41	5,1	6,4	22	1,0	ZV225S_K202_0200 EZ404U	8,3	15	220	20,33	0,55	0,53	0,89	77	39	12	24	2	25	53,1
0,48	1,0	1,1	7,8	3,8	ZV225S_K202_0175 EZ302U	3,2	4,8	85	17,47	0,62	0,56	0,88	77	39	12	24	2	25	53,1
0,48	1,3	1,4	10	2,9	ZV225S_K202_0175 EZ303U	3,8	4,8	102	17,47	0,62	0,56	0,88	77	39	12	24	2	25	53,1
0,48	1,8	1,9	9,2	2,9	ZV225S_K202_0175 EZ401U	5,4	15	144	17,47	0,62	0,56	0,88	77	39	12	24	2	25	53,1
0,48	2,7	3,0	14	1,9	ZV225S_K202_0175 EZ501U	8,3	15	220	17,47	0,62	0,56	0,88	77	39	12	24	2	25	53,1
0,48	3,0	3,3	15	1,7	ZV225S_K202_0175 EZ402U	8,3	15	220	17,47	0,62	0,56	0,88	77	39	12	24	2	25	53,1
0,48	4,4	5,5	23	1,2	ZV225S_K202_0175 EZ404U	8,3	15	220	17,47	0,62	0,56	0,88	77	39	12	24	2	25	53,1
0,48	4,7	5,1	24	1,1	ZV225S_K202_0175 EZ502U	8,3	15	220	17,47	0,62	0,56	0,88	77	39	12	24	2	25	53,1
0,48	4,7	5,3	24	1,1	ZV225S_K202_0175 EZ701U	8,3	15	220	17,47	0,62	0,56	0,88	77	39	12	24	2	25	53,1
0,49	1,0	1,0	8,0	3,8	ZV225S_K202_0170 EZ302U	3,1	4,6	82	16,86	0,66	0,64	1,07	77	39	12	24	2	25	53,1
0,49	1,3	1,4	10	2,9	ZV225S_K202_0170 EZ303U	3,7	4,6	98	16,86	0,66	0,64	1,07	77	39	12	24	2	25	53,1
0,49	1,7	1,8	9,2	3,0	ZV225S_K202_0170 EZ401U	5,2	15	139	16,86	0,66	0,64	1,07	77	39	12	24	2	25	53,1
0,49	2,7	2,9	14	2,0	ZV225S_K202_0170 EZ501U	8,3	15	220	16,86	0,66	0,64	1,07	77	39	12	24	2	25	53,1
0,49	2,9	3,2	15	1,8	ZV225S_K202_0170 EZ402U	8,3	15	220	16,86	0,66	0,64	1,07	77	39	12	24	2	25	53,1
0,49	4,3	5,3	23	1,2	ZV225S_K202_0170 EZ404U	8,3	15	220	16,86	0,66	0,64	1,07	77	39	12	24	2	25	53,1
0,49	4,6	4,9	24	1,1	ZV225S_K202_0170 EZ502U	8,3	15	220	16,86	0,66	0,64	1,07	77	39	12	24	2	25	53,1
0,49	4,6	5,1	24	1,1	ZV225S_K202_0170 EZ701U	8,3	15	220	16,86	0,66	0,64	1,07	77	39	12	24	2	25	53,1
0,60	1,4	1,5	9,4	3,5	ZV225S_K202_0140 EZ401U	4,3	15	114	13,85	0,78	0,70	1,10	77	39	12	24	2	25	53,1
0,60	2,2	2,4	14	2,3	ZV225S_K202_0140 EZ501U	8,1	15	215	13,85	0,78	0,70	1,10	77	39	12	24	2	25	53,1
0,60	2,4	2,6	16	2,1	ZV225S_K202_0140 EZ402U	8,1	15	215	13,85	0,78	0,70	1,10	77	39	12	24	2	25	53,1
0,60	3,5	4,4	23	1,4	ZV225S_K202_0140 EZ404U	8,3	15	220	13,85	0,78	0,70	1,10	77	39	12	24	2	25	53,1
0,60	3,7	4,1	25	1,3	ZV225S_K202_0140 EZ502U	8,3	15	220	13,85	0,78	0,70	1,10	77	39	12	24	2	25	53,1
0,60	3,7	4,2	25	1,3	ZV225S_K202_0140 EZ701U	8,3	15	220	13,85	0,78	0,70	1,10	77	39	12	24	2	25	53,1
0,60	4,9	5,6	32	1,0	ZV225S_K202_0140 EZ503U	8,3	15	220	13,85	0,78	0,70	1,10	77	39	12	24	2	25	53,1
0,66	0,7	0,8	9,8	3,8	ZV225S_K202_0125 EZ302U	2,3	3,5	62	12,71	0,85	0,77	1,20	77	39	12	24	2	25	53,1
0,66	1,0	1,0	13	2,9	ZV225S_K202_0125 EZ303U	2,8	3,5	74	12,71	0,85	0,77	1,20	77	39	12	24	2	25	53,1
0,66	1,3	1,4	9,4	3,7	ZV225S_K202_0125 EZ401U	3,9	14	105	12,71	0,85	0,77	1,20	77	39	12	24	2	25	53,1
0,66	2,0	2,2	15	2,4	ZV225S_K202_0125 EZ501U	7,4	14	197	12,71	0,85	0,77	1,20	77	39	12	24	2	25	53,1
0,66	2,2	2,4	16	2,2	ZV225S_K202_0125 EZ402U	7,4	14	197	12,71	0,85	0,77	1,20	77	39	12	24	2	25	53,1
0,66	3,2	4,0	23	1,5	ZV225S_K202_0125 EZ404U	8,3	14	220	12,71	0,85	0,77	1,20	77	39	12	24	2	25	53,1
0,66	3,4	3,7	25	1,4	ZV225S_K202_0125 EZ502U	8,3	14	220	12,71	0,85	0,77	1,20	77	39	12	24	2	25	53,1
0,66	3,4	3,9	25	1,4	ZV225S_K202_0125 EZ701U	8,3	15	220	12,71	0,85	0,77	1,20	77	39	12	24	2	25	53,1
0,66	4,5	5,2	33	1,1	ZV225S_K202_0125 EZ503U	8,3	14	220	12,71	0,85	0,77	1,20	77	39	12	24	2	25	53,1
0,72	0,7	0,7	11	3,8	ZV225S_K202_0115 EZ302U	2,1	3,2	56	11,55	0,84	0,75	1,20	77	39	12	24	2	25	53,1
0,72	0,9	0,9	14	2,9	ZV225S_K202_0115 EZ303U	2,5	3,2	67	11,55	0,84	0,75	1,20	77	39	12	24	2	25	53,1
0,72	1,2	1,3	9,5	3,9	ZV225S_K202_0115 EZ401U	3,6	13	95	11,55	0,84	0,75	1,20	77	39	12	24	2	25	53,1
0,72	1,8	2,0	15	2,6	ZV225S_K202_0115 EZ501U	6,8	13	179	11,55	0,84	0,75	1,20	77	39	12	24	2	25	53,1
0,72	2,0	2,2	16	2,4	ZV225S_K202_0115 EZ402U	6,8	13	179	11,55	0,84	0,75	1,20	77	39	12	24	2	25	53,1
0,72	2,9	3,6	23	1,6	ZV225S_K202_0115 EZ404U	8,3	13	220	11,55	0,84	0,75	1,20	77	39	12	24	2	25	53,1
0,72	3,1	3,4	25	1,5	ZV225S_K202_0115 EZ502U	8,3	13	220	11,55	0,84	0,75	1,20	77	39	12	24	2	25	53,1
0,72	3,1	3,5	25	1,5	ZV225S_K202_0115 EZ701U	8,3	15	220	11,55	0,84	0,75	1,20	77	39	12	24	2	25	53,1
0,72	4,1	4,7	33	1,1	ZV225S_K202_0115 EZ503U	8,3	13	220	11,55	0,84	0,75	1,20	77	39	12	24	2	25	53,1
0,83	1,0	1,1	9,6	4,3	ZV225S_K202_0100 EZ401U	3,1	11	83	10,07	1,08	0,97	1,52	77	39	12	24	2	25	53,1
0,83	1,6	1,7	15	2,8	ZV225S_K202_0100 EZ501U	5,9	11	156	10,07	1,08	0,97	1,52	77	39	12	24	2	25	53,1
0,83	1,7	1,9	16	2,6	ZV225S_K202_0100 EZ402U	5,9	11	156	10,07	1,08	0,97	1,52	77	39	12	24	2	25	53,1
0,83	2,5	3,2	24	1,8	ZV225S_K202_0100 EZ404U	8,3	11	220	10,07	1,08	0,97	1,52	77	39	12	24	2	25	53,1
0,83	2,7	2,9	25	1,6	ZV225S_K202_0100 EZ502U	8,3	11	220	10,07	1,08	0,97	1,52	77	39	12	24	2	25	53,1
0,83	2,7	3,1	25	1,6	ZV225S_K202_0100 EZ701U	7,4	15	195	10,07	1,08	0,97	1,52	77	39	12	24	2	25	53,1
0,83	3,6	4,1	33	1,2	ZV225S_K202_0100 EZ503U	8,3	11	220	10,07	1,08	0,97	1,52	77	39	12	24	2	25	53,1
0,83	4,4	5,3	41	1,0	ZV225S_K202_0100 EZ702U	8,3	15	220	10,07	1,08	0,97	1,52	77	39	12	24	2	25	53,1
0,91	0,9	1,0	9,7	4,6	ZV225S_K202_0092 EZ401U	2,9	10	76	9,190	1,06	0,94	1,51	77	39	12	24	2	25	53,1
0,91	1,4	1,6	15	3,0	ZV225S_K202_0092 EZ501U	5,4	10	143	9,190	1,06	0,94	1,51	77	39	12	24	2	25	53,1
0,91	1,6	1,7	16	2,7	ZV225S_K202_0092 EZ402U	5,4	10	143	9,190	1,06	0,94	1,51	77	39	12	24	2	25	53,1
0,91	2,3	2,9	24	1,9	ZV225S_K202_0092 EZ404U	8,1	10	214	9,190	1,06	0,94	1,51	77	39	12	24	2	25	53,1
0,91	2,5	2,7	26	1,7	ZV225S_K202_0092 EZ502U	8,1	10	214	9,190	1,06	0,94	1,51	77	39	12	24	2	25	53,1
0,91	2,5	2,8	26	1,7	ZV225S_K202_0092 EZ701U	6,7	15	178	9,190	1,06	0,94	1,51	77	39	12	24	2	25	53,1
0,91	3,3	3,7	34	1,3	ZV225S_K202_0092 EZ503U	8,1	10	214	9,190	1,06	0,94	1,51	77	39	12	24	2	25	53,1

12.2 Auswahltabelle 12 Zahnstangentriebe ZVK

v _{f2N}	F _{f2N}	F _{fz,0}	a _{th}	S	Typ	F _{f2accE}	F _{f2NOT,E}	M _{z2accE}	i	v _{f2maxDB}		v _{f2maxZB}	Δs	Δs _{redII}	Δs _{redI}	C _{lin}	m _n	z	d ₀
										EL1,2	EL3,4,5,6								
[m/s]	[kN]	[kN]				[kN]	[kN]	[Nm]		[m/s]	[m/s]	[m/s]	[μm]	[μm]	[μm]	[N/μm]	[mm]		[mm]
ZV2K2 (n_{1N} = 3000 min⁻¹, (F_{f2acc,max} = 8,3 kN)																			
0,91	4,0	4,8	42	1,1	ZV225S_K202_0092 EZ702U	8,3	15	220	9,190	1,06	0,94	1,51	77	39	12	24	2	25	53,1
0,99	0,5	0,5	13	3,8	ZV225S_K202_0084 EZ302U	1,5	2,3	41	8,397	1,16	1,03	1,65	77	39	12	24	2	25	53,1
0,99	0,6	0,7	17	2,9	ZV225S_K202_0084 EZ303U	1,8	2,3	49	8,397	1,16	1,03	1,65	77	39	12	24	2	25	53,1
0,99	0,9	0,9	9,8	4,9	ZV225S_K202_0084 EZ401U	2,6	9,2	69	8,397	1,16	1,03	1,65	77	39	12	24	2	25	53,1
0,99	1,3	1,4	15	3,2	ZV225S_K202_0084 EZ501U	4,9	9,2	130	8,397	1,16	1,03	1,65	77	39	12	24	2	25	53,1
0,99	1,4	1,6	16	2,9	ZV225S_K202_0084 EZ402U	4,9	9,2	130	8,397	1,16	1,03	1,65	77	39	12	24	2	25	53,1
0,99	2,1	2,6	24	2,0	ZV225S_K202_0084 EZ404U	7,4	9,2	196	8,397	1,16	1,03	1,65	77	39	12	24	2	25	53,1
0,99	2,3	2,5	26	1,8	ZV225S_K202_0084 EZ502U	7,4	9,2	196	8,397	1,16	1,03	1,65	77	39	12	24	2	25	53,1
0,99	2,3	2,5	26	1,8	ZV225S_K202_0084 EZ701U	6,1	15	163	8,397	1,16	1,03	1,65	77	39	12	24	2	25	53,1
0,99	3,0	3,4	34	1,4	ZV225S_K202_0084 EZ503U	7,4	9,2	196	8,397	1,16	1,03	1,65	77	39	12	24	2	25	53,1
0,99	3,7	4,4	42	1,1	ZV225S_K202_0084 EZ702U	8,3	15	220	8,397	1,16	1,03	1,65	77	39	12	24	2	25	53,1
0,99	4,1	4,9	47	1,0	ZV225S_K202_0084 EZ505U	8,3	15	220	8,397	1,16	1,03	1,65	77	39	12	24	2	25	53,1
1,17	1,9	2,2	26	2,1	ZV225S_K202_0071 EZ701U	5,2	15	138	7,118	1,17	1,02	1,76	77	39	12	24	2	25	53,1
1,17	3,1	3,7	42	1,3	ZV225S_K202_0071 EZ702U	8,0	15	211	7,118	1,17	1,02	1,76	77	39	12	24	2	25	53,1
1,17	3,5	4,2	48	1,1	ZV225S_K202_0071 EZ505U	8,0	15	211	7,118	1,17	1,02	1,76	77	39	12	24	2	25	53,1
1,25	1,1	1,1	15	3,7	ZV225S_K202_0067 EZ501U	3,9	7,3	104	6,683	1,46	1,29	2,08	77	39	12	24	2	25	53,1
1,25	1,1	1,3	17	3,4	ZV225S_K202_0067 EZ402U	3,9	7,3	104	6,683	1,46	1,29	2,08	77	39	12	24	2	25	53,1
1,25	1,7	2,1	25	2,3	ZV225S_K202_0067 EZ404U	5,9	7,3	156	6,683	1,46	1,29	2,08	77	39	12	24	2	25	53,1
1,25	1,8	2,0	26	2,1	ZV225S_K202_0067 EZ502U	5,9	7,3	156	6,683	1,46	1,29	2,08	77	39	12	24	2	25	53,1
1,25	1,8	2,0	26	2,1	ZV225S_K202_0067 EZ701U	4,9	15	130	6,683	1,46	1,29	2,08	77	39	12	24	2	25	53,1
1,25	2,4	2,7	35	1,6	ZV225S_K202_0067 EZ503U	5,9	7,3	156	6,683	1,46	1,29	2,08	77	39	12	24	2	25	53,1
1,25	2,9	3,5	43	1,3	ZV225S_K202_0067 EZ702U	7,8	15	207	6,683	1,46	1,29	2,08	77	39	12	24	2	25	53,1
1,25	3,3	3,9	48	1,2	ZV225S_K202_0067 EZ505U	7,8	15	207	6,683	1,46	1,29	2,08	77	39	12	24	2	25	53,1
1,39	0,9	1,0	15	4,0	ZV225S_K202_0060 EZ501U	3,5	6,6	93	6,000	1,39	1,20	2,08	77	39	12	24	2	25	53,1
1,39	1,0	1,1	17	3,6	ZV225S_K202_0060 EZ402U	3,5	6,6	93	6,000	1,39	1,20	2,08	77	39	12	24	2	25	53,1
1,39	1,5	1,9	25	2,5	ZV225S_K202_0060 EZ404U	5,3	6,6	140	6,000	1,39	1,20	2,08	77	39	12	24	2	25	53,1
1,39	1,6	1,8	27	2,3	ZV225S_K202_0060 EZ502U	5,3	6,6	140	6,000	1,39	1,20	2,08	77	39	12	24	2	25	53,1
1,39	1,6	1,8	27	2,3	ZV225S_K202_0060 EZ701U	4,4	15	116	6,000	1,39	1,20	2,08	77	39	12	24	2	25	53,1
1,39	2,1	2,4	35	1,8	ZV225S_K202_0060 EZ503U	5,3	6,6	140	6,000	1,39	1,20	2,08	77	39	12	24	2	25	53,1
1,39	2,6	3,2	43	1,4	ZV225S_K202_0060 EZ702U	7,5	15	200	6,000	1,39	1,20	2,08	77	39	12	24	2	25	53,1
1,39	3,0	3,5	48	1,3	ZV225S_K202_0060 EZ505U	7,5	15	200	6,000	1,39	1,20	2,08	77	39	12	24	2	25	53,1
1,39	3,6	4,6	59	1,0	ZV225S_K202_0060 EZ703U	7,5	15	200	6,000	1,39	1,20	2,08	77	39	12	24	2	25	53,1
1,61	1,4	1,6	27	2,5	ZV225S_K202_0052 EZ701U	3,8	14	100	5,177	1,61	1,40	2,41	77	39	12	24	2	25	53,1
1,61	2,3	2,7	44	1,6	ZV225S_K202_0052 EZ702U	7,2	14	190	5,177	1,61	1,40	2,41	77	39	12	24	2	25	53,1
1,61	2,6	3,0	49	1,4	ZV225S_K202_0052 EZ505U	7,2	14	190	5,177	1,61	1,40	2,41	77	39	12	24	2	25	53,1
1,61	3,1	3,9	60	1,1	ZV225S_K202_0052 EZ703U	7,2	14	190	5,177	1,61	1,40	2,41	77	39	12	24	2	25	53,1
1,91	0,7	0,8	16	4,9	ZV225S_K202_0044 EZ501U	2,6	4,8	68	4,364	1,91	1,66	2,86	77	39	12	24	2	25	53,1
1,91	0,8	0,8	17	4,5	ZV225S_K202_0044 EZ402U	2,6	4,8	68	4,364	1,91	1,66	2,86	77	39	12	24	2	25	53,1
1,91	1,1	1,4	25	3,1	ZV225S_K202_0044 EZ404U	3,8	4,8	102	4,364	1,91	1,66	2,86	77	39	12	24	2	25	53,1
1,91	1,2	1,3	27	2,9	ZV225S_K202_0044 EZ502U	3,8	4,8	102	4,364	1,91	1,66	2,86	77	39	12	24	2	25	53,1
1,91	1,2	1,3	27	2,9	ZV225S_K202_0044 EZ701U	3,2	12	85	4,364	1,91	1,66	2,86	77	39	12	24	2	25	53,1
1,91	1,5	1,8	36	2,2	ZV225S_K202_0044 EZ503U	3,8	4,8	102	4,364	1,91	1,66	2,86	77	39	12	24	2	25	53,1
1,91	1,9	2,3	44	1,8	ZV225S_K202_0044 EZ702U	6,5	12	174	4,364	1,91	1,66	2,86	77	39	12	24	2	25	53,1
1,91	2,2	2,6	50	1,6	ZV225S_K202_0044 EZ505U	6,8	12	180	4,364	1,91	1,66	2,86	77	39	12	24	2	25	53,1
1,91	2,6	3,3	61	1,3	ZV225S_K202_0044 EZ703U	6,8	12	180	4,364	1,91	1,66	2,86	77	39	12	24	2	25	53,1
2,08	1,1	1,2	27	3,0	ZV225S_K202_0040 EZ701U	2,9	11	78	4,000	2,08	1,81	3,13	77	39	12	24	2	25	53,1
2,08	1,8	2,1	45	1,9	ZV225S_K202_0040 EZ702U	6,0	11	159	4,000	2,08	1,81	3,13	77	39	12	24	2	25	53,1
2,08	2,0	2,3	50	1,7	ZV225S_K202_0040 EZ505U	6,6	11	174	4,000	2,08	1,81	3,13	77	39	12	24	2	25	53,1
2,08	2,4	3,0	61	1,4	ZV225S_K202_0040 EZ703U	6,6	11	174	4,000	2,08	1,81	3,13	77	39	12	24	2	25	53,1
ZV2K2 (n_{1N} = 4500 min⁻¹, (F_{f2acc,max} = 8,3 kN)																			
1,08	4,0	6,5	37	1,0	ZV225S_K202_0115 EZ505U	8,3	15	220	11,55	0,84	0,75	1,20	77	39	12	24	2	25	53,1
1,24	3,5	5,6	37	1,1	ZV225S_K202_0100 EZ505U	8,3	15	220	10,07	1,08	0,97	1,52	77	39	12	24	2	25	53,1
1,36	3,2	5,1	38	1,2	ZV225S_K202_0092 EZ505U	8,3	15	220	9,190	1,06	0,94	1,51	77	39	12	24	2	25	53,1
1,49	2,9	4,7	38	1,3	ZV225S_K202_0084 EZ505U	8,3	15	220	8,397	1,16	1,03	1,65	77	39	12	24	2	25	53,1
1,76	2,5	4,0	39	1,4	ZV225S_K202_0071 EZ505U	8,0	15	211	7,118	1,17	1,02	1,76	77	39	12	24	2	25	53,1
1,76	3,1	5,2	49	1,1	ZV225S_K202_0071 EZ703U	8,0	15	211	7,118	1,17	1,02	1,76	77	39	12	24	2	25	53,1
1,87	2,3	3,7	39	1,5	ZV225S_K202_0067 EZ505U	7,8	15	207	6,683	1,46	1,29	2,08	77	39	12	24	2	25	53,1
1,87	3,0	4,9	49	1,1	ZV225S_K202_0067 EZ703U	7,8	15	207	6,683	1,46	1,29	2,08	77	39	12	24	2	25	53,1
2,08	2,1	3,4	39	1,6	ZV225S_K202_0060 EZ505U	7,5	15	200	6,000	1,39	1,20	2,08	77	39	12	24	2	25	53,1
2,08	2,7	4,4	50	1,2	ZV225S_K202_0060 EZ703U	7,5	15	200	6,000	1,39	1,20	2,08	77	39	12	24	2	25	53,1
2,41	1,8	2,9	40	1,7	ZV225S_K202_0052 EZ505U	7,2	14	190	5,177	1,61	1,40	2,41	77	39	12	24	2	25	53,1
2,41	2,3	3,8	50	1,4	ZV225S_K202_0052 EZ703U	7,2	14	190	5,177	1,61	1,40	2,41	77	39	12	24	2	25	53,1
2,86	1,5	2,4	40	1,9	ZV225S_K202_0044 EZ505U	6,8	12	180	4,364	1,91	1,66	2,86	77	39	12	24	2	25	53,1
2,86	1,9	3,2	51	1,5	ZV225S_K202_0044 EZ703U	6,8	12	180	4,364	1,91	1,66	2,86	77	39	12	24	2	25	53,1

v _{f2N}	F _{f2N}	F _{fz,0}	a _{th}	S	Typ	F _{fzaccE}	F _{fzNOT,E}	M _{zaccE}	i	v _{fzmaxDB}		v _{fzmaxZB}	Δs	Δs _{redII}	Δs _{redI}	C _{lin}	m _n	z	d ₀
										EL1,2	EL3,4,5,6								
[m/s]	[kN]	[kN]				[kN]	[kN]	[Nm]		[m/s]	[m/s]	[m/s]	[μm]	[μm]	[μm]	[N/μm]	[mm]		[mm]
ZV2K2 (n_{1N} = 4500 min⁻¹, (F_{fzacc,max} = 8,3 kN)																			
3,13	1,4	2,2	40	2,1	ZV225S_K202_0040 EZ505U	6,6	11	174	4,000	2,08	1,81	3,13	77	39	12	24	2	25	53,1
3,13	1,8	2,9	51	1,6	ZV225S_K202_0040 EZ703U	6,6	11	174	4,000	2,08	1,81	3,13	77	39	12	24	2	25	53,1
ZV2K2 (n_{1N} = 6000 min⁻¹, (F_{fzacc,max} = 8,3 kN)																			
0,12	4,3	4,6	3,6	1,2	ZV225S_K203_1350 EZ301U	8,3	15	220	135,3	0,08	0,08	0,13	77	46	19	24	2	25	53,1
0,15	3,5	3,7	3,4	1,5	ZV225S_K203_1090 EZ301U	8,3	15	220	109,5	0,10	0,10	0,17	77	46	19	24	2	25	53,1
0,18	2,9	3,1	3,3	1,8	ZV225S_K203_0910 EZ301U	8,3	15	220	90,79	0,12	0,12	0,20	77	46	19	24	2	25	53,1
0,18	4,9	5,5	5,5	1,1	ZV225S_K203_0910 EZ302U	8,3	15	220	90,79	0,12	0,12	0,20	77	46	19	24	2	25	53,1
0,21	2,6	2,7	3,2	2,0	ZV225S_K203_0800 EZ301U	8,0	15	213	79,62	0,14	0,14	0,23	77	46	19	24	2	25	53,1
0,21	4,3	4,8	5,4	1,2	ZV225S_K203_0800 EZ302U	8,3	15	220	79,62	0,14	0,14	0,23	77	46	19	24	2	25	53,1
0,24	2,3	2,4	4,7	2,2	ZV225S_K202_0690 EZ301U	6,0	9,5	159	69,43	0,16	0,16	0,26	77	39	12	24	2	25	53,1
0,24	3,8	4,3	7,9	1,3	ZV225S_K202_0690 EZ302U	6,0	9,5	159	69,43	0,16	0,16	0,26	77	39	12	24	2	25	53,1
0,24	5,0	5,7	10	1,0	ZV225S_K202_0690 EZ303U	6,0	9,5	159	69,43	0,16	0,16	0,26	77	39	12	24	2	25	53,1
0,24	2,2	2,3	3,2	2,4	ZV225S_K203_0680 EZ301U	6,9	15	183	68,42	0,16	0,16	0,26	77	46	19	24	2	25	53,1
0,24	3,7	4,1	5,5	1,4	ZV225S_K203_0680 EZ302U	8,3	15	220	68,42	0,16	0,16	0,26	77	46	19	24	2	25	53,1
0,24	4,8	5,5	7,1	1,1	ZV225S_K203_0680 EZ303U	8,3	15	220	68,42	0,16	0,16	0,26	77	46	19	24	2	25	53,1
0,25	2,1	2,3	3,3	2,5	ZV225S_K203_0660 EZ301U	6,7	15	177	66,03	0,17	0,16	0,27	77	46	19	24	2	25	53,1
0,25	3,6	4,0	5,5	1,5	ZV225S_K203_0660 EZ302U	8,3	15	220	66,03	0,17	0,16	0,27	77	46	19	24	2	25	53,1
0,25	4,7	5,4	7,2	1,1	ZV225S_K203_0660 EZ303U	8,3	15	220	66,03	0,17	0,16	0,27	77	46	19	24	2	25	53,1
0,30	1,8	1,9	3,7	2,9	ZV225S_K202_0560 EZ301U	5,7	10	151	55,54	0,20	0,20	0,33	77	39	12	24	2	25	53,1
0,30	3,0	3,4	6,3	1,7	ZV225S_K202_0560 EZ302U	7,2	10	191	55,54	0,20	0,20	0,33	77	39	12	24	2	25	53,1
0,30	4,0	4,6	8,2	1,3	ZV225S_K202_0560 EZ303U	7,2	10	191	55,54	0,20	0,20	0,33	77	39	12	24	2	25	53,1
0,30	4,7	5,7	9,6	1,1	ZV225S_K202_0560 EZ401U	7,2	10	191	55,54	0,20	0,20	0,33	77	39	12	24	2	25	53,1
0,31	1,7	1,9	3,3	3,0	ZV225S_K203_0540 EZ301U	5,5	13	145	54,25	0,21	0,20	0,33	77	46	19	24	2	25	53,1
0,31	2,9	3,3	5,6	1,8	ZV225S_K203_0540 EZ302U	8,3	13	220	54,25	0,21	0,20	0,33	77	46	19	24	2	25	53,1
0,31	3,8	4,4	7,3	1,4	ZV225S_K203_0540 EZ303U	8,3	13	220	54,25	0,21	0,20	0,33	77	46	19	24	2	25	53,1
0,31	4,5	5,5	8,5	1,2	ZV225S_K203_0540 EZ401U	8,3	13	220	54,25	0,21	0,20	0,33	77	46	19	24	2	25	53,1
0,33	1,6	1,8	6,0	2,2	ZV225S_K202_0500 EZ301U	4,4	6,9	116	50,49	0,22	0,22	0,36	77	39	12	24	2	25	53,1
0,33	2,8	3,1	10	1,3	ZV225S_K202_0500 EZ302U	4,4	6,9	116	50,49	0,22	0,22	0,36	77	39	12	24	2	25	53,1
0,33	3,6	4,2	13	1,0	ZV225S_K202_0500 EZ303U	4,4	6,9	116	50,49	0,22	0,22	0,36	77	39	12	24	2	25	53,1
0,34	1,6	1,7	3,3	3,3	ZV225S_K203_0500 EZ301U	5,0	12	133	49,76	0,22	0,22	0,36	77	46	19	24	2	25	53,1
0,34	2,7	3,0	5,6	1,9	ZV225S_K203_0500 EZ302U	8,3	12	220	49,76	0,22	0,22	0,36	77	46	19	24	2	25	53,1
0,34	3,5	4,0	7,3	1,5	ZV225S_K203_0500 EZ303U	8,3	12	220	49,76	0,22	0,22	0,36	77	46	19	24	2	25	53,1
0,34	4,1	5,0	8,6	1,3	ZV225S_K203_0500 EZ401U	8,3	12	220	49,76	0,22	0,22	0,36	77	46	19	24	2	25	53,1
0,36	1,5	1,6	3,4	3,5	ZV225S_K202_0460 EZ301U	4,7	9,7	126	46,23	0,24	0,23	0,39	77	39	12	24	2	25	53,1
0,36	2,5	2,8	5,7	2,1	ZV225S_K202_0460 EZ302U	7,8	9,7	206	46,23	0,24	0,23	0,39	77	39	12	24	2	25	53,1
0,36	3,3	3,8	7,5	1,6	ZV225S_K202_0460 EZ303U	7,8	9,7	206	46,23	0,24	0,23	0,39	77	39	12	24	2	25	53,1
0,36	3,9	4,7	8,8	1,3	ZV225S_K202_0460 EZ401U	8,3	15	220	46,23	0,24	0,23	0,39	77	39	12	24	2	25	53,1
0,37	1,5	1,5	3,4	3,6	ZV225S_K203_0450 EZ301U	4,6	11	121	45,22	0,25	0,24	0,40	77	46	19	24	2	25	53,1
0,37	2,4	2,7	5,7	2,1	ZV225S_K203_0450 EZ302U	8,1	11	216	45,22	0,25	0,24	0,40	77	46	19	24	2	25	53,1
0,37	3,2	3,7	7,4	1,6	ZV225S_K203_0450 EZ303U	8,3	11	220	45,22	0,25	0,24	0,40	77	46	19	24	2	25	53,1
0,37	3,7	4,6	8,7	1,4	ZV225S_K203_0450 EZ401U	8,3	11	220	45,22	0,25	0,24	0,40	77	46	19	24	2	25	53,1
0,41	1,3	1,4	4,7	3,3	ZV225S_K202_0400 EZ301U	4,1	7,4	110	40,39	0,28	0,27	0,45	77	39	12	24	2	25	53,1
0,41	2,2	2,5	7,9	2,0	ZV225S_K202_0400 EZ302U	5,2	7,4	139	40,39	0,28	0,27	0,45	77	39	12	24	2	25	53,1
0,41	2,9	3,3	10	1,5	ZV225S_K202_0400 EZ303U	5,2	7,4	139	40,39	0,28	0,27	0,45	77	39	12	24	2	25	53,1
0,41	3,4	4,1	12	1,3	ZV225S_K202_0400 EZ401U	5,2	7,4	139	40,39	0,28	0,27	0,45	77	39	12	24	2	25	53,1
0,42	1,3	1,4	3,4	4,1	ZV225S_K203_0390 EZ301U	4,0	9,5	106	39,45	0,28	0,28	0,46	77	46	19	24	2	25	53,1
0,42	2,1	2,4	5,7	2,4	ZV225S_K203_0390 EZ302U	7,1	9,5	189	39,45	0,28	0,28	0,46	77	46	19	24	2	25	53,1
0,42	2,8	3,2	7,5	1,9	ZV225S_K203_0390 EZ303U	7,6	9,5	202	39,45	0,28	0,28	0,46	77	46	19	24	2	25	53,1
0,42	3,3	4,0	8,8	1,6	ZV225S_K203_0390 EZ401U	7,6	9,5	202	39,45	0,28	0,28	0,46	77	46	19	24	2	25	53,1
0,48	1,1	1,2	3,5	4,6	ZV225S_K202_0350 EZ301U	3,5	8,1	94	34,55	0,32	0,31	0,52	77	39	12	24	2	25	53,1
0,48	1,9	2,1	5,9	2,8	ZV225S_K202_0350 EZ302U	6,3	8,1	168	34,55	0,32	0,31	0,52	77	39	12	24	2	25	53,1
0,48	2,5	2,8	7,7	2,1	ZV225S_K202_0350 EZ303U	6,5	8,1	171	34,55	0,32	0,31	0,52	77	39	12	24	2	25	53,1
0,48	2,9	3,5	9,0	1,8	ZV225S_K202_0350 EZ401U	8,3	15	220	34,55	0,32	0,31	0,52	77	39	12	24	2	25	53,1
0,48	4,3	5,6	13	1,2	ZV225S_K202_0350 EZ501U	8,3	15	220	34,55	0,32	0,31	0,52	77	39	12	24	2	25	53,1
0,48	4,4	6,2	14	1,2	ZV225S_K202_0350 EZ402U	8,3	15	220	34,55	0,32	0,31	0,52	77	39	12	24	2	25	53,1
0,50	1,1	1,2	3,5	4,8	ZV225S_K202_0340 EZ301U	3,4	7,1	91	33,62	0,33	0,32	0,54	77	39	12	24	2	25	53,1
0,50	1,8	2,1	5,9	2,8	ZV225S_K202_0340 EZ302U	5,7	7,1	150	33,62	0,33	0,32	0,54	77	39	12	24	2	25	53,1
0,50	2,4	2,8	7,7	2,2	ZV225S_K202_0340 EZ303U	5,7	7,1	150	33,62	0,33	0,32	0,54	77	39	12	24	2	25	53,1
0,50	2,8	3,4	9,0	1,8	ZV225S_K202_0340 EZ401U	7,0	12	185	33,62	0,33	0,32	0,54	77	39	12	24	2	25	53,1
0,50	4,2	5,4	13	1,2	ZV225S_K202_0340 EZ501U	7,0	12	185	33,62	0,33	0,32	0,54	77	39	12	24	2	25	53,1
0,50	4,3	6,0	14	1,2	ZV225S_K202_0340 EZ402U	7,0	12	185	33,62	0,33	0,32	0,54	77	39	12	24	2	25	53,1
0,60	2,4	2,9	9,2	2,1	ZV225S_K202_0280 EZ401U	8,3	15	220	27,95	0,40	0,39	0,65	77	39	12	24	2	25	53,1
0,60	3,5	4,5	14	1,4	ZV225S_K202_0280 EZ501U	8,3	15	220	27,95	0,40	0,39	0,65	77	39	12	24	2	25	53,1
0,60	3,6	5,0	14	1,4	ZV225S_K202_0280 EZ402U	8,3	15	220	27,95	0,40	0,39	0,65	77	39	12	24	2	25	53,1

12.2 Auswahltabelle 12 Zahnstangentriebe ZVK

v _{f2N}	F _{f2N}	F _{fz,0}	a _{th}	S	Typ	F _{f2accE}	F _{f2NOT,E}	M _{zaccE}	i	v _{f2maxDB}		v _{f2maxZB}	Δs	Δs _{redII}	Δs _{redI}	C _{lin}	m _n	z	d ₀
										EL1,2	EL3,4,5,6								
[m/s]	[kN]	[kN]				[kN]	[kN]	[Nm]		[m/s]	[m/s]	[m/s]	[μm]	[μm]	[μm]	[N/μm]	[mm]		[mm]
ZV2K2 (n_n = 6000 min⁻¹, (F_{f2acc,max} = 8,3 kN)																			
0,66	1,4	1,5	6,5	3,4	ZV225S_K202_0250 EZ302U	4,6	5,9	122	25,13	0,44	0,43	0,72	77	39	12	24	2	25	53,1
0,66	1,8	2,1	8,5	2,6	ZV225S_K202_0250 EZ303U	4,7	5,9	125	25,13	0,44	0,43	0,72	77	39	12	24	2	25	53,1
0,66	2,1	2,6	9,2	2,3	ZV225S_K202_0250 EZ401U	7,8	15	207	25,13	0,44	0,43	0,72	77	39	12	24	2	25	53,1
0,66	3,1	4,0	14	1,5	ZV225S_K202_0250 EZ501U	8,3	15	220	25,13	0,44	0,43	0,72	77	39	12	24	2	25	53,1
0,66	3,2	4,5	14	1,5	ZV225S_K202_0250 EZ402U	8,3	15	220	25,13	0,44	0,43	0,72	77	39	12	24	2	25	53,1
0,66	4,8	7,2	21	1,0	ZV225S_K202_0250 EZ502U	8,3	15	220	25,13	0,44	0,43	0,72	77	39	12	24	2	25	53,1
0,66	4,8	7,3	21	1,0	ZV225S_K202_0250 EZ701U	8,3	15	220	25,13	0,44	0,43	0,72	77	39	12	24	2	25	53,1
0,72	1,3	1,4	6,1	3,7	ZV225S_K202_0230 EZ302U	4,2	6,4	112	23,18	0,48	0,47	0,78	77	39	12	24	2	25	53,1
0,72	1,7	1,9	7,9	2,8	ZV225S_K202_0230 EZ303U	5,1	6,4	135	23,18	0,48	0,47	0,78	77	39	12	24	2	25	53,1
0,72	1,9	2,4	9,3	2,4	ZV225S_K202_0230 EZ401U	7,2	15	191	23,18	0,48	0,47	0,78	77	39	12	24	2	25	53,1
0,72	2,9	3,7	14	1,6	ZV225S_K202_0230 EZ501U	8,3	15	220	23,18	0,48	0,47	0,78	77	39	12	24	2	25	53,1
0,72	3,0	4,2	14	1,6	ZV225S_K202_0230 EZ402U	8,3	15	220	23,18	0,48	0,47	0,78	77	39	12	24	2	25	53,1
0,72	4,4	6,6	21	1,1	ZV225S_K202_0230 EZ502U	8,3	15	220	23,18	0,48	0,47	0,78	77	39	12	24	2	25	53,1
0,72	4,4	6,7	21	1,1	ZV225S_K202_0230 EZ701U	8,3	15	220	23,18	0,48	0,47	0,78	77	39	12	24	2	25	53,1
0,82	1,7	2,1	9,4	2,6	ZV225S_K202_0200 EZ401U	6,3	15	168	20,33	0,55	0,53	0,89	77	39	12	24	2	25	53,1
0,82	2,5	3,3	14	1,8	ZV225S_K202_0200 EZ501U	8,3	15	220	20,33	0,55	0,53	0,89	77	39	12	24	2	25	53,1
0,82	2,6	3,6	14	1,7	ZV225S_K202_0200 EZ402U	8,3	15	220	20,33	0,55	0,53	0,89	77	39	12	24	2	25	53,1
0,82	3,9	5,8	21	1,2	ZV225S_K202_0200 EZ502U	8,3	15	220	20,33	0,55	0,53	0,89	77	39	12	24	2	25	53,1
0,82	3,9	5,9	21	1,2	ZV225S_K202_0200 EZ701U	8,3	15	220	20,33	0,55	0,53	0,89	77	39	12	24	2	25	53,1
0,82	4,3	6,2	24	1,0	ZV225S_K202_0200 EZ404U	8,3	15	220	20,33	0,55	0,53	0,89	77	39	12	24	2	25	53,1
0,99	0,9	1,0	7,5	4,0	ZV225S_K202_0170 EZ302U	3,1	4,6	82	16,86	0,66	0,64	1,07	77	39	12	24	2	25	53,1
0,99	1,2	1,4	9,8	3,1	ZV225S_K202_0170 EZ303U	3,7	4,6	98	16,86	0,66	0,64	1,07	77	39	12	24	2	25	53,1
0,99	1,4	1,7	9,5	3,0	ZV225S_K202_0170 EZ401U	5,2	15	139	16,86	0,66	0,64	1,07	77	39	12	24	2	25	53,1
0,99	2,1	2,7	14	2,0	ZV225S_K202_0170 EZ501U	8,3	15	220	16,86	0,66	0,64	1,07	77	39	12	24	2	25	53,1
0,99	2,2	3,0	15	1,9	ZV225S_K202_0170 EZ402U	8,3	15	220	16,86	0,66	0,64	1,07	77	39	12	24	2	25	53,1
0,99	3,2	4,8	22	1,3	ZV225S_K202_0170 EZ502U	8,3	15	220	16,86	0,66	0,64	1,07	77	39	12	24	2	25	53,1
0,99	3,2	4,9	22	1,3	ZV225S_K202_0170 EZ701U	8,3	15	220	16,86	0,66	0,64	1,07	77	39	12	24	2	25	53,1
0,99	3,6	5,2	24	1,2	ZV225S_K202_0170 EZ404U	8,3	15	220	16,86	0,66	0,64	1,07	77	39	12	24	2	25	53,1
0,99	3,8	6,5	26	1,1	ZV225S_K202_0170 EZ503U	8,3	15	220	16,86	0,66	0,64	1,07	77	39	12	24	2	25	53,1
ZV3K2 (n_n = 3000 min⁻¹, (F_{f2acc,max} = 7,7 kN)																			
0,07	4,2	4,3	3,8	1,3	ZV318S_K203_1350 EZ301U	7,7	14	220	135,3	0,09	0,09	0,14	83	50	21	23	3	18	57,3
0,08	3,4	3,5	3,6	1,6	ZV318S_K203_1090 EZ301U	7,7	14	220	109,5	0,11	0,11	0,18	83	50	21	23	3	18	57,3
0,10	2,8	2,9	3,4	1,9	ZV318S_K203_0910 EZ301U	7,7	14	220	90,79	0,13	0,13	0,22	83	50	21	23	3	18	57,3
0,10	4,8	5,1	5,9	1,1	ZV318S_K203_0910 EZ302U	7,7	14	220	90,79	0,13	0,13	0,22	83	50	21	23	3	18	57,3
0,11	2,5	2,5	3,3	2,2	ZV318S_K203_0800 EZ301U	7,4	14	213	79,62	0,15	0,15	0,25	83	50	21	23	3	18	57,3
0,11	4,2	4,5	5,7	1,3	ZV318S_K203_0800 EZ302U	7,7	14	220	79,62	0,15	0,15	0,25	83	50	21	23	3	18	57,3
0,13	2,2	2,2	4,9	2,1	ZV318S_K202_0690 EZ301U	5,5	8,8	159	69,43	0,17	0,17	0,28	83	42	12	23	3	18	57,3
0,13	3,7	3,9	8,4	1,2	ZV318S_K202_0690 EZ302U	5,5	8,8	159	69,43	0,17	0,17	0,28	83	42	12	23	3	18	57,3
0,13	2,1	2,2	3,2	2,5	ZV318S_K203_0680 EZ301U	6,4	14	183	68,42	0,18	0,17	0,29	83	50	21	23	3	18	57,3
0,13	3,6	3,8	5,5	1,5	ZV318S_K203_0680 EZ302U	7,7	14	220	68,42	0,18	0,17	0,29	83	50	21	23	3	18	57,3
0,13	4,7	5,0	7,1	1,1	ZV318S_K203_0680 EZ303U	7,7	14	220	68,42	0,18	0,17	0,29	83	50	21	23	3	18	57,3
0,14	2,0	2,1	3,2	2,6	ZV318S_K203_0660 EZ301U	6,2	14	177	66,03	0,18	0,18	0,30	83	50	21	23	3	18	57,3
0,14	3,5	3,7	5,4	1,5	ZV318S_K203_0660 EZ302U	7,7	14	220	66,03	0,18	0,18	0,30	83	50	21	23	3	18	57,3
0,14	4,6	4,8	7,1	1,2	ZV318S_K203_0660 EZ303U	7,7	14	220	66,03	0,18	0,18	0,30	83	50	21	23	3	18	57,3
0,16	1,7	1,8	3,9	3,1	ZV318S_K202_0560 EZ301U	5,3	9,4	151	55,54	0,22	0,21	0,35	83	42	12	23	3	18	57,3
0,16	3,0	3,2	6,6	1,8	ZV318S_K202_0560 EZ302U	6,7	9,4	191	55,54	0,22	0,21	0,35	83	42	12	23	3	18	57,3
0,16	3,9	4,1	8,6	1,4	ZV318S_K202_0560 EZ303U	6,7	9,4	191	55,54	0,22	0,21	0,35	83	42	12	23	3	18	57,3
0,16	5,3	5,6	12	1,0	ZV318S_K202_0560 EZ401U	6,7	9,4	191	55,54	0,22	0,21	0,35	83	42	12	23	3	18	57,3
0,17	1,7	1,7	3,0	3,2	ZV318S_K203_0540 EZ301U	5,1	12	145	54,25	0,22	0,22	0,36	83	50	21	23	3	18	57,3
0,17	2,9	3,0	5,2	1,9	ZV318S_K203_0540 EZ302U	7,7	12	220	54,25	0,22	0,22	0,36	83	50	21	23	3	18	57,3
0,17	3,7	4,0	6,7	1,4	ZV318S_K203_0540 EZ303U	7,7	12	220	54,25	0,22	0,22	0,36	83	50	21	23	3	18	57,3
0,17	5,1	5,4	9,1	1,1	ZV318S_K203_0540 EZ401U	7,7	12	220	54,25	0,22	0,22	0,36	83	50	21	23	3	18	57,3
0,18	1,6	1,6	6,2	2,1	ZV318S_K202_0500 EZ301U	4,0	6,4	116	50,49	0,24	0,23	0,39	83	42	12	23	3	18	57,3
0,18	2,7	2,9	11	1,2	ZV318S_K202_0500 EZ302U	4,0	6,4	116	50,49	0,24	0,23	0,39	83	42	12	23	3	18	57,3
0,18	1,5	1,6	3,0	3,5	ZV318S_K203_0500 EZ301U	4,6	11	133	49,76	0,24	0,24	0,39	83	50	21	23	3	18	57,3
0,18	2,6	2,8	5,0	2,0	ZV318S_K203_0500 EZ302U	7,7	11	220	49,76	0,24	0,24	0,39	83	50	21	23	3	18	57,3
0,18	3,4	3,6	6,6	1,6	ZV318S_K203_0500 EZ303U	7,7	11	220	49,76	0,24	0,24	0,39	83	50	21	23	3	18	57,3
0,18	4,6	5,0	8,9	1,2	ZV318S_K203_0500 EZ401U	7,7	11	220	49,76	0,24	0,24	0,39	83	50	21	23	3	18	57,3
0,20	1,5	1,5	2,9	3,7	ZV318S_K202_0460 EZ301U	4,4	9,0	126	46,23	0,26	0,25	0,42	83	42	12	23	3	18	57,3
0,20	2,5	2,6	5,0	2,2	ZV318S_K202_0460 EZ302U	7,2	9,0	206	46,23	0,26	0,25	0,42	83	42	12	23	3	18	57,3
0,20	3,2	3,4	6,5	1,7	ZV318S_K202_0460 EZ303U	7,2	9,0	206	46,23	0,26	0,25	0,42	83	42	12	23	3	18	57,3
0,20	4,4	4,7	8,9	1,2	ZV318S_K202_0460 EZ401U	7,7	14	220	46,23	0,26	0,25	0,42	83	42	12	23	3	18	57,3
0,20	1,4	1,4	2,9	3,8	ZV318S_K203_0450 EZ301U	4,2	10	121	45,22	0,27	0,26	0,43	83	50	21	23	3	18	57,3
0,20	2,4	2,5	4,9	2,2	ZV318S_K203_0450 EZ302U	7,5	10	216	45,22	0,27	0,26	0,43	83	50	21	23	3	18	57,3

v _{f2N}	F _{f2N}	F _{fz,0}	a _{th}	S	Typ	F _{fzaccE}	F _{fzNOT,E}	M _{zaccE}	i	v _{f2maxDB}		v _{f2maxZB}	Δs	Δs _{redII}	Δs _{redI}	C _{lin}	m _n	z	d ₀
										EL1,2	EL3,4,5,6								
[m/s]	[kN]	[kN]				[kN]	[kN]	[Nm]		[m/s]	[m/s]	[m/s]	[μm]	[μm]	[μm]	[N/μm]	[mm]		[mm]
ZV3K2 (n _{1N} = 3000 min ⁻¹ , (F _{fzacc,max} = 7,7 kN)																			
0,20	3,1	3,3	6,4	1,7	ZV318S_K203_0450 EZ303U	7,7	10	220	45,22	0,27	0,26	0,43	83	50	21	23	3	18	57,3
0,20	4,2	4,5	8,7	1,3	ZV318S_K203_0450 EZ401U	7,7	10	220	45,22	0,27	0,26	0,43	83	50	21	23	3	18	57,3
0,22	1,3	1,3	4,9	3,2	ZV318S_K202_0400 EZ301U	3,8	6,9	110	40,39	0,30	0,29	0,48	83	42	12	23	3	18	57,3
0,22	2,2	2,3	8,4	1,9	ZV318S_K202_0400 EZ302U	4,8	6,9	139	40,39	0,30	0,29	0,48	83	42	12	23	3	18	57,3
0,22	2,8	3,0	11	1,4	ZV318S_K202_0400 EZ303U	4,8	6,9	139	40,39	0,30	0,29	0,48	83	42	12	23	3	18	57,3
0,22	3,8	4,1	15	1,1	ZV318S_K202_0400 EZ401U	4,8	6,9	139	40,39	0,30	0,29	0,48	83	42	12	23	3	18	57,3
0,23	1,2	1,3	2,8	4,4	ZV318S_K203_0390 EZ301U	3,7	8,8	106	39,45	0,30	0,30	0,49	83	50	21	23	3	18	57,3
0,23	2,1	2,2	4,8	2,6	ZV318S_K203_0390 EZ302U	6,6	8,8	189	39,45	0,30	0,30	0,49	83	50	21	23	3	18	57,3
0,23	2,7	2,9	6,3	2,0	ZV318S_K203_0390 EZ303U	7,1	8,8	202	39,45	0,30	0,30	0,49	83	50	21	23	3	18	57,3
0,23	3,7	3,9	8,5	1,5	ZV318S_K203_0390 EZ401U	7,1	8,8	202	39,45	0,30	0,30	0,49	83	50	21	23	3	18	57,3
0,26	1,1	1,1	3,2	4,9	ZV318S_K202_0350 EZ301U	3,3	7,5	94	34,55	0,35	0,34	0,56	83	42	12	23	3	18	57,3
0,26	1,9	2,0	5,5	2,9	ZV318S_K202_0350 EZ302U	5,8	7,5	168	34,55	0,35	0,34	0,56	83	42	12	23	3	18	57,3
0,26	2,4	2,6	7,1	2,2	ZV318S_K202_0350 EZ303U	6,0	7,5	171	34,55	0,35	0,34	0,56	83	42	12	23	3	18	57,3
0,26	3,3	3,5	8,7	1,6	ZV318S_K202_0350 EZ401U	7,7	14	220	34,55	0,35	0,34	0,56	83	42	12	23	3	18	57,3
0,26	5,0	5,5	13	1,1	ZV318S_K202_0350 EZ501U	7,7	14	220	34,55	0,35	0,34	0,56	83	42	12	23	3	18	57,3
0,27	1,1	1,1	3,6	4,9	ZV318S_K202_0340 EZ301U	3,2	6,5	91	33,62	0,36	0,35	0,58	83	42	12	23	3	18	57,3
0,27	1,8	1,9	6,2	2,9	ZV318S_K202_0340 EZ302U	5,2	6,5	150	33,62	0,36	0,35	0,58	83	42	12	23	3	18	57,3
0,27	2,4	2,5	8,1	2,2	ZV318S_K202_0340 EZ303U	5,2	6,5	150	33,62	0,36	0,35	0,58	83	42	12	23	3	18	57,3
0,27	3,2	3,4	11	1,7	ZV318S_K202_0340 EZ401U	6,5	11	185	33,62	0,36	0,35	0,58	83	42	12	23	3	18	57,3
0,27	4,9	5,3	16	1,1	ZV318S_K202_0340 EZ501U	6,5	11	185	33,62	0,36	0,35	0,58	83	42	12	23	3	18	57,3
0,27	5,3	5,9	18	1,0	ZV318S_K202_0340 EZ402U	6,5	11	185	33,62	0,36	0,35	0,58	83	42	12	23	3	18	57,3
0,32	2,6	2,8	8,8	2,0	ZV318S_K202_0280 EZ401U	7,7	14	220	27,95	0,43	0,42	0,70	83	42	12	23	3	18	57,3
0,32	4,1	4,4	14	1,3	ZV318S_K202_0280 EZ501U	7,7	14	220	27,95	0,43	0,42	0,70	83	42	12	23	3	18	57,3
0,32	4,4	4,9	15	1,2	ZV318S_K202_0280 EZ402U	7,7	14	220	27,95	0,43	0,42	0,70	83	42	12	23	3	18	57,3
0,36	1,4	1,4	6,9	3,2	ZV318S_K202_0250 EZ302U	4,3	5,4	122	25,13	0,48	0,47	0,78	83	42	12	23	3	18	57,3
0,36	1,8	1,9	9,0	2,5	ZV318S_K202_0250 EZ303U	4,4	5,4	125	25,13	0,48	0,47	0,78	83	42	12	23	3	18	57,3
0,36	2,4	2,6	8,9	2,3	ZV318S_K202_0250 EZ401U	7,2	14	207	25,13	0,48	0,47	0,78	83	42	12	23	3	18	57,3
0,36	3,7	4,0	14	1,5	ZV318S_K202_0250 EZ501U	7,7	14	220	25,13	0,48	0,47	0,78	83	42	12	23	3	18	57,3
0,36	4,0	4,4	15	1,3	ZV318S_K202_0250 EZ402U	7,7	14	220	25,13	0,48	0,47	0,78	83	42	12	23	3	18	57,3
0,39	1,2	1,3	6,3	3,8	ZV318S_K202_0230 EZ302U	3,9	5,9	112	23,18	0,52	0,51	0,84	83	42	12	23	3	18	57,3
0,39	1,6	1,7	8,2	2,9	ZV318S_K202_0230 EZ303U	4,7	5,9	135	23,18	0,52	0,51	0,84	83	42	12	23	3	18	57,3
0,39	2,2	2,4	9,0	2,4	ZV318S_K202_0230 EZ401U	6,7	14	191	23,18	0,52	0,51	0,84	83	42	12	23	3	18	57,3
0,39	3,4	3,7	14	1,6	ZV318S_K202_0230 EZ501U	7,7	14	220	23,18	0,52	0,51	0,84	83	42	12	23	3	18	57,3
0,39	3,7	4,1	15	1,5	ZV318S_K202_0230 EZ402U	7,7	14	220	23,18	0,52	0,51	0,84	83	42	12	23	3	18	57,3
0,44	1,9	2,1	9,1	2,8	ZV318S_K202_0200 EZ401U	5,9	14	168	20,33	0,59	0,58	0,96	83	42	12	23	3	18	57,3
0,44	3,0	3,2	14	1,8	ZV318S_K202_0200 EZ501U	7,7	14	220	20,33	0,59	0,58	0,96	83	42	12	23	3	18	57,3
0,44	3,2	3,6	15	1,7	ZV318S_K202_0200 EZ402U	7,7	14	220	20,33	0,59	0,58	0,96	83	42	12	23	3	18	57,3
0,44	4,7	5,9	22	1,1	ZV318S_K202_0200 EZ404U	7,7	14	220	20,33	0,59	0,58	0,96	83	42	12	23	3	18	57,3
0,44	5,1	5,5	24	1,1	ZV318S_K202_0200 EZ502U	7,7	14	220	20,33	0,59	0,58	0,96	83	42	12	23	3	18	57,3
0,44	5,1	5,7	24	1,1	ZV318S_K202_0200 EZ701U	7,7	14	220	20,33	0,59	0,58	0,96	83	42	12	23	3	18	57,3
0,52	0,9	1,0	7,8	3,8	ZV318S_K202_0175 EZ302U	3,0	4,4	85	17,47	0,67	0,60	0,95	83	42	12	23	3	18	57,3
0,52	1,2	1,3	10	2,9	ZV318S_K202_0175 EZ303U	3,5	4,4	102	17,47	0,67	0,60	0,95	83	42	12	23	3	18	57,3
0,52	1,7	1,8	9,2	3,2	ZV318S_K202_0175 EZ401U	5,0	14	144	17,47	0,67	0,60	0,95	83	42	12	23	3	18	57,3
0,52	2,5	2,8	14	2,1	ZV318S_K202_0175 EZ501U	7,7	14	220	17,47	0,67	0,60	0,95	83	42	12	23	3	18	57,3
0,52	2,8	3,1	15	1,9	ZV318S_K202_0175 EZ402U	7,7	14	220	17,47	0,67	0,60	0,95	83	42	12	23	3	18	57,3
0,52	4,1	5,1	23	1,3	ZV318S_K202_0175 EZ404U	7,7	14	220	17,47	0,67	0,60	0,95	83	42	12	23	3	18	57,3
0,52	4,4	4,7	24	1,2	ZV318S_K202_0175 EZ502U	7,7	14	220	17,47	0,67	0,60	0,95	83	42	12	23	3	18	57,3
0,52	4,4	4,9	24	1,2	ZV318S_K202_0175 EZ701U	7,7	14	220	17,47	0,67	0,60	0,95	83	42	12	23	3	18	57,3
0,53	0,9	1,0	8,0	3,8	ZV318S_K202_0170 EZ302U	2,9	4,3	82	16,86	0,71	0,69	1,16	83	42	12	23	3	18	57,3
0,53	1,2	1,3	10	2,9	ZV318S_K202_0170 EZ303U	3,4	4,3	98	16,86	0,71	0,69	1,16	83	42	12	23	3	18	57,3
0,53	1,6	1,7	9,2	3,3	ZV318S_K202_0170 EZ401U	4,9	14	139	16,86	0,71	0,69	1,16	83	42	12	23	3	18	57,3
0,53	2,5	2,7	14	2,1	ZV318S_K202_0170 EZ501U	7,7	14	220	16,86	0,71	0,69	1,16	83	42	12	23	3	18	57,3
0,53	2,7	3,0	15	1,9	ZV318S_K202_0170 EZ402U	7,7	14	220	16,86	0,71	0,69	1,16	83	42	12	23	3	18	57,3
0,53	3,9	4,9	23	1,3	ZV318S_K202_0170 EZ404U	7,7	14	220	16,86	0,71	0,69	1,16	83	42	12	23	3	18	57,3
0,53	4,2	4,6	24	1,2	ZV318S_K202_0170 EZ502U	7,7	14	220	16,86	0,71	0,69	1,16	83	42	12	23	3	18	57,3
0,53	4,2	4,7	24	1,2	ZV318S_K202_0170 EZ701U	7,7	14	220	16,86	0,71	0,69	1,16	83	42	12	23	3	18	57,3
0,65	1,3	1,4	9,4	3,7	ZV318S_K202_0140 EZ401U	4,0	14	114	13,85	0,85	0,76	1,19	83	42	12	23	3	18	57,3
0,65	2,0	2,2	14	2,4	ZV318S_K202_0140 EZ501U	7,5	14	215	13,85	0,85	0,76	1,19	83	42	12	23	3	18	57,3
0,65	2,2	2,4	16	2,2	ZV318S_K202_0140 EZ402U	7,5	14	215	13,85	0,85	0,76	1,19	83	42	12	23	3	18	57,3
0,65	3,2	4,0	23	1,5	ZV318S_K202_0140 EZ404U	7,7	14	220	13,85	0,85	0,76	1,19	83	42	12	23	3	18	57,3
0,65	3,5	3,8	25	1,4	ZV318S_K202_0140 EZ502U	7,7	14	220	13,85	0,85	0,76	1,19	83	42	12	23	3	18	57,3
0,65	3,5	3,9	25	1,4	ZV318S_K202_0140 EZ701U	7,7	14	220	13,85	0,85	0,76	1,19	83	42	12	23	3	18	57,3
0,65	4,5	5,2	32	1,1	ZV318S_K202_0140 EZ503U	7,7	14	220	13,85	0,85	0,76	1,19	83	42	12	23	3	18	57,3
0,71	0,7	0,7	9,8	3,8	ZV318S_K202_0125 EZ302U	2,2	3,2	62	12,71	0,92	0,83	1,30	83	42	12	23	3	18	57,3

12.2 Auswahltabelle 12 Zahnstangentriebe ZVK

v _{f2N}	F _{f2N}	F _{f2,0}	a _{th}	S	Typ	F _{f2accE}	F _{f2NOT,E}	M _{zaccE}	i	v _{f2maxDB}		v _{f2maxZB}	Δs	Δs _{redll}	Δs _{redl}	C _{lin}	m _n	z	d ₀
										EL1,2	EL3,4,5,6								
[m/s]	[kN]	[kN]				[kN]	[kN]	[Nm]		[m/s]	[m/s]	[m/s]	[μm]	[μm]	[μm]	[N/μm]	[mm]		[mm]
ZV3K2 (n_{in} = 3000 min⁻¹, (F_{f2acc,max} = 7,7 kN)																			
0,71	0,9	0,9	13	2,9	ZV318S_K202_0125 EZ303U	2,6	3,2	74	12,71	0,92	0,83	1,30	83	42	12	23	3	18	57,3
0,71	1,2	1,3	9,4	3,9	ZV318S_K202_0125 EZ401U	3,7	13	105	12,71	0,92	0,83	1,30	83	42	12	23	3	18	57,3
0,71	1,8	2,0	15	2,6	ZV318S_K202_0125 EZ501U	6,9	13	197	12,71	0,92	0,83	1,30	83	42	12	23	3	18	57,3
0,71	2,0	2,2	16	2,3	ZV318S_K202_0125 EZ402U	6,9	13	197	12,71	0,92	0,83	1,30	83	42	12	23	3	18	57,3
0,71	3,0	3,7	23	1,6	ZV318S_K202_0125 EZ404U	7,7	13	220	12,71	0,92	0,83	1,30	83	42	12	23	3	18	57,3
0,71	3,2	3,4	25	1,5	ZV318S_K202_0125 EZ502U	7,7	13	220	12,71	0,92	0,83	1,30	83	42	12	23	3	18	57,3
0,71	3,2	3,6	25	1,5	ZV318S_K202_0125 EZ701U	7,7	14	220	12,71	0,92	0,83	1,30	83	42	12	23	3	18	57,3
0,71	4,2	4,8	33	1,1	ZV318S_K202_0125 EZ503U	7,7	13	220	12,71	0,92	0,83	1,30	83	42	12	23	3	18	57,3
0,78	0,6	0,7	11	3,8	ZV318S_K202_0115 EZ302U	2,0	2,9	56	11,55	0,91	0,81	1,30	83	42	12	23	3	18	57,3
0,78	0,8	0,9	14	2,9	ZV318S_K202_0115 EZ303U	2,3	2,9	67	11,55	0,91	0,81	1,30	83	42	12	23	3	18	57,3
0,78	1,1	1,2	9,5	4,2	ZV318S_K202_0115 EZ401U	3,3	12	95	11,55	0,91	0,81	1,30	83	42	12	23	3	18	57,3
0,78	1,7	1,8	15	2,7	ZV318S_K202_0115 EZ501U	6,3	12	179	11,55	0,91	0,81	1,30	83	42	12	23	3	18	57,3
0,78	1,8	2,0	16	2,5	ZV318S_K202_0115 EZ402U	6,3	12	179	11,55	0,91	0,81	1,30	83	42	12	23	3	18	57,3
0,78	2,7	3,4	23	1,7	ZV318S_K202_0115 EZ404U	7,7	12	220	11,55	0,91	0,81	1,30	83	42	12	23	3	18	57,3
0,78	2,9	3,1	25	1,6	ZV318S_K202_0115 EZ502U	7,7	12	220	11,55	0,91	0,81	1,30	83	42	12	23	3	18	57,3
0,78	2,9	3,2	25	1,6	ZV318S_K202_0115 EZ701U	7,7	14	220	11,55	0,91	0,81	1,30	83	42	12	23	3	18	57,3
0,78	3,8	4,3	33	1,2	ZV318S_K202_0115 EZ503U	7,7	12	220	11,55	0,91	0,81	1,30	83	42	12	23	3	18	57,3
0,89	1,0	1,0	9,6	4,6	ZV318S_K202_0100 EZ401U	2,9	10	83	10,07	1,16	1,04	1,64	83	42	12	23	3	18	57,3
0,89	1,5	1,6	15	3,0	ZV318S_K202_0100 EZ501U	5,5	10	156	10,07	1,16	1,04	1,64	83	42	12	23	3	18	57,3
0,89	1,6	1,8	16	2,7	ZV318S_K202_0100 EZ402U	5,5	10	156	10,07	1,16	1,04	1,64	83	42	12	23	3	18	57,3
0,89	2,4	2,9	24	1,9	ZV318S_K202_0100 EZ404U	7,7	10	220	10,07	1,16	1,04	1,64	83	42	12	23	3	18	57,3
0,89	2,5	2,7	25	1,7	ZV318S_K202_0100 EZ502U	7,7	10	220	10,07	1,16	1,04	1,64	83	42	12	23	3	18	57,3
0,89	2,5	2,8	25	1,7	ZV318S_K202_0100 EZ701U	6,8	14	195	10,07	1,16	1,04	1,64	83	42	12	23	3	18	57,3
0,89	3,3	3,8	33	1,3	ZV318S_K202_0100 EZ503U	7,7	10	220	10,07	1,16	1,04	1,64	83	42	12	23	3	18	57,3
0,89	4,1	4,9	41	1,1	ZV318S_K202_0100 EZ702U	7,7	14	220	10,07	1,16	1,04	1,64	83	42	12	23	3	18	57,3
0,98	0,9	0,9	9,7	4,9	ZV318S_K202_0092 EZ401U	2,6	9,3	76	9,190	1,14	1,01	1,63	83	42	12	23	3	18	57,3
0,98	1,3	1,5	15	3,2	ZV318S_K202_0092 EZ501U	5,0	9,3	143	9,190	1,14	1,01	1,63	83	42	12	23	3	18	57,3
0,98	1,5	1,6	16	2,9	ZV318S_K202_0092 EZ402U	5,0	9,3	143	9,190	1,14	1,01	1,63	83	42	12	23	3	18	57,3
0,98	2,1	2,7	24	2,0	ZV318S_K202_0092 EZ404U	7,5	9,3	214	9,190	1,14	1,01	1,63	83	42	12	23	3	18	57,3
0,98	2,3	2,5	26	1,8	ZV318S_K202_0092 EZ502U	7,5	9,3	214	9,190	1,14	1,01	1,63	83	42	12	23	3	18	57,3
0,98	2,3	2,6	26	1,8	ZV318S_K202_0092 EZ701U	6,2	14	178	9,190	1,14	1,01	1,63	83	42	12	23	3	18	57,3
0,98	3,0	3,5	34	1,4	ZV318S_K202_0092 EZ503U	7,5	9,3	214	9,190	1,14	1,01	1,63	83	42	12	23	3	18	57,3
0,98	3,7	4,5	42	1,1	ZV318S_K202_0092 EZ702U	7,7	14	220	9,190	1,14	1,01	1,63	83	42	12	23	3	18	57,3
0,98	4,2	5,0	47	1,0	ZV318S_K202_0092 EZ505U	7,7	14	220	9,190	1,14	1,01	1,63	83	42	12	23	3	18	57,3
1,07	0,5	0,5	13	3,8	ZV318S_K202_0084 EZ302U	1,4	2,1	41	8,397	1,25	1,11	1,79	83	42	12	23	3	18	57,3
1,07	0,6	0,6	17	2,9	ZV318S_K202_0084 EZ303U	1,7	2,1	49	8,397	1,25	1,11	1,79	83	42	12	23	3	18	57,3
1,07	1,2	1,3	15	3,4	ZV318S_K202_0084 EZ501U	4,5	8,5	130	8,397	1,25	1,11	1,79	83	42	12	23	3	18	57,3
1,07	1,3	1,5	16	3,1	ZV318S_K202_0084 EZ402U	4,5	8,5	130	8,397	1,25	1,11	1,79	83	42	12	23	3	18	57,3
1,07	2,0	2,4	24	2,1	ZV318S_K202_0084 EZ404U	6,8	8,5	196	8,397	1,25	1,11	1,79	83	42	12	23	3	18	57,3
1,07	2,1	2,3	26	2,0	ZV318S_K202_0084 EZ502U	6,8	8,5	196	8,397	1,25	1,11	1,79	83	42	12	23	3	18	57,3
1,07	2,1	2,4	26	2,0	ZV318S_K202_0084 EZ701U	5,7	14	163	8,397	1,25	1,11	1,79	83	42	12	23	3	18	57,3
1,07	2,8	3,2	34	1,5	ZV318S_K202_0084 EZ503U	6,8	8,5	196	8,397	1,25	1,11	1,79	83	42	12	23	3	18	57,3
1,07	3,4	4,1	42	1,2	ZV318S_K202_0084 EZ702U	7,7	14	220	8,397	1,25	1,11	1,79	83	42	12	23	3	18	57,3
1,07	3,8	4,5	47	1,1	ZV318S_K202_0084 EZ505U	7,7	14	220	8,397	1,25	1,11	1,79	83	42	12	23	3	18	57,3
1,26	1,8	2,0	26	2,2	ZV318S_K202_0071 EZ701U	4,8	14	138	7,118	1,26	1,10	1,90	83	42	12	23	3	18	57,3
1,26	2,9	3,5	42	1,4	ZV318S_K202_0071 EZ702U	7,4	14	211	7,118	1,26	1,10	1,90	83	42	12	23	3	18	57,3
1,26	3,3	3,9	48	1,2	ZV318S_K202_0071 EZ505U	7,4	14	211	7,118	1,26	1,10	1,90	83	42	12	23	3	18	57,3
1,35	1,0	1,1	15	3,9	ZV318S_K202_0067 EZ501U	3,6	6,8	104	6,683	1,57	1,39	2,24	83	42	12	23	3	18	57,3
1,35	1,1	1,2	17	3,6	ZV318S_K202_0067 EZ402U	3,6	6,8	104	6,683	1,57	1,39	2,24	83	42	12	23	3	18	57,3
1,35	1,6	1,9	25	2,4	ZV318S_K202_0067 EZ404U	5,4	6,8	156	6,683	1,57	1,39	2,24	83	42	12	23	3	18	57,3
1,35	1,7	1,8	26	2,3	ZV318S_K202_0067 EZ502U	5,4	6,8	156	6,683	1,57	1,39	2,24	83	42	12	23	3	18	57,3
1,35	1,7	1,9	26	2,3	ZV318S_K202_0067 EZ701U	4,5	14	130	6,683	1,57	1,39	2,24	83	42	12	23	3	18	57,3
1,35	2,2	2,5	35	1,7	ZV318S_K202_0067 EZ503U	5,4	6,8	156	6,683	1,57	1,39	2,24	83	42	12	23	3	18	57,3
1,35	2,7	3,3	43	1,4	ZV318S_K202_0067 EZ702U	7,2	14	207	6,683	1,57	1,39	2,24	83	42	12	23	3	18	57,3
1,35	3,1	3,6	48	1,3	ZV318S_K202_0067 EZ505U	7,2	14	207	6,683	1,57	1,39	2,24	83	42	12	23	3	18	57,3
1,35	3,7	4,7	59	1,0	ZV318S_K202_0067 EZ703U	7,2	14	207	6,683	1,57	1,39	2,24	83	42	12	23	3	18	57,3
1,50	0,9	1,0	15	4,2	ZV318S_K202_0060 EZ501U	3,3	6,1	93	6,000	1,50	1,30	2,25	83	42	12	23	3	18	57,3
1,50	1,0	1,1	17	3,9	ZV318S_K202_0060 EZ402U	3,3	6,1	93	6,000	1,50	1,30	2,25	83	42	12	23	3	18	57,3
1,50	1,4	1,7	25	2,6	ZV318S_K202_0060 EZ404U	4,9	6,1	140	6,000	1,50	1,30	2,25	83	42	12	23	3	18	57,3
1,50	1,5	1,6	27	2,5	ZV318S_K202_0060 EZ502U	4,9	6,1	140	6,000	1,50	1,30	2,25	83	42	12	23	3	18	57,3
1,50	1,5	1,7	27	2,5	ZV318S_K202_0060 EZ701U	4,1	14	116	6,000	1,50	1,30	2,25	83	42	12	23	3	18	57,3
1,50	2,0	2,3	35	1,9	ZV318S_K202_0060 EZ503U	4,9	6,1	140	6,000	1,50	1,30	2,25	83	42	12	23	3	18	57,3
1,50	2,4	2,9	43	1,5	ZV318S_K202_0060 EZ702U	7,0	14	200	6,000	1,50	1,30	2,25	83	42	12	23	3	18	57,3
1,50	2,7	3,3	48	1,3	ZV318S_K202_0060 EZ505U	7,0	14	200	6,000	1,50	1,30	2,25	83	42	12	23	3	18	57,3

v _{f2N}	F _{f2N}	F _{fz,0}	a _{th}	S	Typ	F _{fzacc}	F _{fzNOT,E}	M _{zacc}	i	v _{fzmax}		v _{fzmaxZB}	Δs	Δs _{redII}	Δs _{redI}	C _{lin}	m _n	z	d ₀
										EL1,2	EL3,4,5,6								
[m/s]	[kN]	[kN]				[kN]	[kN]	[Nm]		[m/s]	[m/s]	[m/s]	[μm]	[μm]	[μm]	[N/μm]	[mm]		[mm]
ZV3K2 (n_{1N} = 3000 min⁻¹, (F_{fzacc,max} = 7,7 kN)																			
1,50	3,4	4,2	59	1,1	ZV318S_K202_0060 EZ703U	7,0	14	200	6,000	1,50	1,30	2,25	83	42	12	23	3	18	57,3
1,74	1,3	1,5	27	2,7	ZV318S_K202_0052 EZ701U	3,5	13	100	5,177	1,74	1,51	2,61	83	42	12	23	3	18	57,3
1,74	2,1	2,5	44	1,7	ZV318S_K202_0052 EZ702U	6,6	13	190	5,177	1,74	1,51	2,61	83	42	12	23	3	18	57,3
1,74	2,4	2,8	49	1,5	ZV318S_K202_0052 EZ505U	6,6	13	190	5,177	1,74	1,51	2,61	83	42	12	23	3	18	57,3
1,74	2,9	3,6	60	1,2	ZV318S_K202_0052 EZ703U	6,6	13	190	5,177	1,74	1,51	2,61	83	42	12	23	3	18	57,3
2,06	0,7	0,8	17	4,8	ZV318S_K202_0044 EZ402U	2,4	4,4	68	4,364	2,06	1,79	3,09	83	42	12	23	3	18	57,3
2,06	1,0	1,3	25	3,3	ZV318S_K202_0044 EZ404U	3,5	4,4	102	4,364	2,06	1,79	3,09	83	42	12	23	3	18	57,3
2,06	1,1	1,2	27	3,0	ZV318S_K202_0044 EZ502U	3,5	4,4	102	4,364	2,06	1,79	3,09	83	42	12	23	3	18	57,3
2,06	1,1	1,2	27	3,0	ZV318S_K202_0044 EZ701U	3,0	11	85	4,364	2,06	1,79	3,09	83	42	12	23	3	18	57,3
2,06	1,4	1,6	36	2,3	ZV318S_K202_0044 EZ503U	3,5	4,4	102	4,364	2,06	1,79	3,09	83	42	12	23	3	18	57,3
2,06	1,8	2,1	44	1,9	ZV318S_K202_0044 EZ702U	6,1	11	174	4,364	2,06	1,79	3,09	83	42	12	23	3	18	57,3
2,06	2,0	2,4	50	1,7	ZV318S_K202_0044 EZ505U	6,3	11	180	4,364	2,06	1,79	3,09	83	42	12	23	3	18	57,3
2,06	2,4	3,1	61	1,4	ZV318S_K202_0044 EZ703U	6,3	11	180	4,364	2,06	1,79	3,09	83	42	12	23	3	18	57,3
2,25	1,0	1,1	27	3,2	ZV318S_K202_0040 EZ701U	2,7	10	78	4,000	2,25	1,95	3,38	83	42	12	23	3	18	57,3
2,25	1,6	2,0	45	2,0	ZV318S_K202_0040 EZ702U	5,6	10	159	4,000	2,25	1,95	3,38	83	42	12	23	3	18	57,3
2,25	1,8	2,2	50	1,8	ZV318S_K202_0040 EZ505U	6,1	10	174	4,000	2,25	1,95	3,38	83	42	12	23	3	18	57,3
2,25	2,2	2,8	61	1,4	ZV318S_K202_0040 EZ703U	6,1	10	174	4,000	2,25	1,95	3,38	83	42	12	23	3	18	57,3
ZV3K2 (n_{1N} = 4500 min⁻¹, (F_{fzacc,max} = 7,7 kN)																			
1,06	4,1	6,6	37	1,0	ZV318S_K202_0125 EZ505U	7,7	14	220	12,71	0,92	0,83	1,30	83	42	12	23	3	18	57,3
1,17	3,7	6,0	37	1,1	ZV318S_K202_0115 EZ505U	7,7	14	220	11,55	0,91	0,81	1,30	83	42	12	23	3	18	57,3
1,34	3,2	5,2	37	1,2	ZV318S_K202_0100 EZ505U	7,7	14	220	10,07	1,16	1,04	1,64	83	42	12	23	3	18	57,3
1,47	3,0	4,8	38	1,3	ZV318S_K202_0092 EZ505U	7,7	14	220	9,190	1,14	1,01	1,63	83	42	12	23	3	18	57,3
1,61	2,7	4,4	38	1,3	ZV318S_K202_0084 EZ505U	7,7	14	220	8,397	1,25	1,11	1,79	83	42	12	23	3	18	57,3
1,61	3,4	5,7	48	1,0	ZV318S_K202_0084 EZ703U	7,7	14	220	8,397	1,25	1,11	1,79	83	42	12	23	3	18	57,3
1,90	2,3	3,7	39	1,5	ZV318S_K202_0071 EZ505U	7,4	14	211	7,118	1,26	1,10	1,90	83	42	12	23	3	18	57,3
1,90	2,9	4,8	49	1,2	ZV318S_K202_0071 EZ703U	7,4	14	211	7,118	1,26	1,10	1,90	83	42	12	23	3	18	57,3
2,02	2,1	3,5	39	1,6	ZV318S_K202_0067 EZ505U	7,2	14	207	6,683	1,57	1,39	2,24	83	42	12	23	3	18	57,3
2,02	2,7	4,5	49	1,2	ZV318S_K202_0067 EZ703U	7,2	14	207	6,683	1,57	1,39	2,24	83	42	12	23	3	18	57,3
2,25	1,9	3,1	39	1,7	ZV318S_K202_0060 EZ505U	7,0	14	200	6,000	1,50	1,30	2,25	83	42	12	23	3	18	57,3
2,25	2,5	4,1	50	1,3	ZV318S_K202_0060 EZ703U	7,0	14	200	6,000	1,50	1,30	2,25	83	42	12	23	3	18	57,3
2,61	1,7	2,7	40	1,8	ZV318S_K202_0052 EZ505U	6,6	13	190	5,177	1,74	1,51	2,61	83	42	12	23	3	18	57,3
2,61	2,1	3,5	50	1,4	ZV318S_K202_0052 EZ703U	6,6	13	190	5,177	1,74	1,51	2,61	83	42	12	23	3	18	57,3
3,09	1,4	2,3	40	2,1	ZV318S_K202_0044 EZ505U	6,3	11	180	4,364	2,06	1,79	3,09	83	42	12	23	3	18	57,3
3,09	1,8	3,0	51	1,6	ZV318S_K202_0044 EZ703U	6,3	11	180	4,364	2,06	1,79	3,09	83	42	12	23	3	18	57,3
3,38	1,3	2,1	40	2,2	ZV318S_K202_0040 EZ505U	6,1	10	174	4,000	2,25	1,95	3,38	83	42	12	23	3	18	57,3
3,38	1,6	2,7	51	1,7	ZV318S_K202_0040 EZ703U	6,1	10	174	4,000	2,25	1,95	3,38	83	42	12	23	3	18	57,3
ZV3K2 (n_{1N} = 6000 min⁻¹, (F_{fzacc,max} = 7,7 kN)																			
0,13	4,0	4,3	3,6	1,3	ZV318S_K203_1350 EZ301U	7,7	14	220	135,3	0,09	0,09	0,14	83	50	21	23	3	18	57,3
0,16	3,3	3,5	3,4	1,7	ZV318S_K203_1090 EZ301U	7,7	14	220	109,5	0,11	0,11	0,18	83	50	21	23	3	18	57,3
0,20	2,7	2,9	3,3	2,0	ZV318S_K203_0910 EZ301U	7,7	14	220	90,79	0,13	0,13	0,22	83	50	21	23	3	18	57,3
0,20	4,5	5,1	5,5	1,2	ZV318S_K203_0910 EZ302U	7,7	14	220	90,79	0,13	0,13	0,22	83	50	21	23	3	18	57,3
0,23	2,4	2,5	3,2	2,3	ZV318S_K203_0800 EZ301U	7,4	14	213	79,62	0,15	0,15	0,25	83	50	21	23	3	18	57,3
0,23	4,0	4,5	5,4	1,3	ZV318S_K203_0800 EZ302U	7,7	14	220	79,62	0,15	0,15	0,25	83	50	21	23	3	18	57,3
0,23	5,2	6,0	7,0	1,0	ZV318S_K203_0800 EZ303U	7,7	14	220	79,62	0,15	0,15	0,25	83	50	21	23	3	18	57,3
0,26	2,1	2,2	4,7	2,2	ZV318S_K202_0690 EZ301U	5,5	8,8	159	69,43	0,17	0,17	0,28	83	42	12	23	3	18	57,3
0,26	3,5	3,9	7,9	1,3	ZV318S_K202_0690 EZ302U	5,5	8,8	159	69,43	0,17	0,17	0,28	83	42	12	23	3	18	57,3
0,26	4,6	5,3	10	1,0	ZV318S_K202_0690 EZ303U	5,5	8,8	159	69,43	0,17	0,17	0,28	83	42	12	23	3	18	57,3
0,26	2,0	2,2	3,2	2,6	ZV318S_K203_0680 EZ301U	6,4	14	183	68,42	0,18	0,17	0,29	83	50	21	23	3	18	57,3
0,26	3,4	3,8	5,5	1,6	ZV318S_K203_0680 EZ302U	7,7	14	220	68,42	0,18	0,17	0,29	83	50	21	23	3	18	57,3
0,26	4,5	5,1	7,1	1,2	ZV318S_K203_0680 EZ303U	7,7	14	220	68,42	0,18	0,17	0,29	83	50	21	23	3	18	57,3
0,26	5,3	6,4	8,4	1,0	ZV318S_K203_0680 EZ401U	7,7	14	220	68,42	0,18	0,17	0,29	83	50	21	23	3	18	57,3
0,27	2,0	2,1	3,3	2,7	ZV318S_K203_0660 EZ301U	6,2	14	177	66,03	0,18	0,18	0,30	83	50	21	23	3	18	57,3
0,27	3,3	3,7	5,5	1,6	ZV318S_K203_0660 EZ302U	7,7	14	220	66,03	0,18	0,18	0,30	83	50	21	23	3	18	57,3
0,27	4,3	5,0	7,2	1,2	ZV318S_K203_0660 EZ303U	7,7	14	220	66,03	0,18	0,18	0,30	83	50	21	23	3	18	57,3
0,27	5,1	6,2	8,4	1,1	ZV318S_K203_0660 EZ401U	7,7	14	220	66,03	0,18	0,18	0,30	83	50	21	23	3	18	57,3
0,32	1,7	1,8	3,7	3,2	ZV318S_K202_0560 EZ301U	5,3	9,4	151	55,54	0,22	0,21	0,35	83	42	12	23	3	18	57,3
0,32	2,8	3,2	6,3	1,9	ZV318S_K202_0560 EZ302U	6,7	9,4	191	55,54	0,22	0,21	0,35	83	42	12	23	3	18	57,3
0,32	3,7	4,2	8,2	1,5	ZV318S_K202_0560 EZ303U	6,7	9,4	191	55,54	0,22	0,21	0,35	83	42	12	23	3	18	57,3
0,32	4,3	5,3	9,6	1,2	ZV318S_K202_0560 EZ401U	6,7	9,4	191	55,54	0,22	0,21	0,35	83	42	12	23	3	18	57,3
0,33	1,6	1,7	3,3	3,3	ZV318S_K203_0540 EZ301U	5,1	12	145	54,25	0,22	0,22	0,36	83	50	21	23	3	18	57,3
0,33	2,7	3,0	5,6	2,0	ZV318S_K203_0540 EZ302U	7,7	12	220	54,25	0,22	0,22	0,36	83	50	21	23	3	18	57,3
0,33	3,5	4,1	7,3	1,5	ZV318S_K203_0540 EZ303U	7,7	12	220	54,25	0,22	0,22	0,36	83	50	21	23	3	18	57,3
0,33	4,2	5,1	8,5	1,3	ZV318S_K203_0540 EZ401U	7,7	12	220	54,25	0,22	0,22	0,36	83	50	21	23	3	18	57,3
0,36	1,5	1,6	6,0	2,2	ZV318S_K202_0500 EZ301U	4,0	6,4	116	50,49	0,24	0,23	0,39	83	42	12	23	3	18	57,3

12.2 Auswahltabelle 12 Zahnstangentriebe ZVK

v _{f2N}	F _{f2N}	F _{fz,0}	a _{th}	S	Typ	F _{f2accE}	F _{f2NOT,E}	M _{zaccE}	i	v _{f2maxDB}		v _{f2maxZB}	Δs	Δs _{redII}	Δs _{redI}	C _{lin}	m _n	z	d ₀
										EL1,2	EL3,4,5,6								
[m/s]	[kN]	[kN]				[kN]	[kN]	[Nm]		[m/s]	[m/s]	[m/s]	[μm]	[μm]	[μm]	[N/μm]	[mm]		[mm]
ZV3K2 (n _{1N} = 6000 min ⁻¹ , (F _{f2acc,max} = 7,7 kN)																			
0,36	2,6	2,9	10	1,3	ZV318S_K202_0500 EZ302U	4,0	6,4	116	50,49	0,24	0,23	0,39	83	42	12	23	3	18	57,3
0,36	3,4	3,8	13	1,0	ZV318S_K202_0500 EZ303U	4,0	6,4	116	50,49	0,24	0,23	0,39	83	42	12	23	3	18	57,3
0,36	1,5	1,6	3,3	3,6	ZV318S_K203_0500 EZ301U	4,6	11	133	49,76	0,24	0,24	0,39	83	50	21	23	3	18	57,3
0,36	2,5	2,8	5,6	2,2	ZV318S_K203_0500 EZ302U	7,7	11	220	49,76	0,24	0,24	0,39	83	50	21	23	3	18	57,3
0,36	3,3	3,7	7,3	1,7	ZV318S_K203_0500 EZ303U	7,7	11	220	49,76	0,24	0,24	0,39	83	50	21	23	3	18	57,3
0,36	3,8	4,6	8,6	1,4	ZV318S_K203_0500 EZ401U	7,7	11	220	49,76	0,24	0,24	0,39	83	50	21	23	3	18	57,3
0,39	1,4	1,5	3,4	3,9	ZV318S_K202_0460 EZ301U	4,4	9,0	126	46,23	0,26	0,25	0,42	83	42	12	23	3	18	57,3
0,39	2,3	2,6	5,7	2,3	ZV318S_K202_0460 EZ302U	7,2	9,0	206	46,23	0,26	0,25	0,42	83	42	12	23	3	18	57,3
0,39	3,1	3,5	7,5	1,8	ZV318S_K202_0460 EZ303U	7,2	9,0	206	46,23	0,26	0,25	0,42	83	42	12	23	3	18	57,3
0,39	3,6	4,4	8,8	1,5	ZV318S_K202_0460 EZ401U	7,7	14	220	46,23	0,26	0,25	0,42	83	42	12	23	3	18	57,3
0,39	5,3	6,9	13	1,0	ZV318S_K202_0460 EZ501U	7,7	14	220	46,23	0,26	0,25	0,42	83	42	12	23	3	18	57,3
0,40	1,3	1,4	3,4	4,0	ZV318S_K203_0450 EZ301U	4,2	10	121	45,22	0,27	0,26	0,43	83	50	21	23	3	18	57,3
0,40	2,3	2,5	5,7	2,4	ZV318S_K203_0450 EZ302U	7,5	10	216	45,22	0,27	0,26	0,43	83	50	21	23	3	18	57,3
0,40	3,0	3,4	7,4	1,8	ZV318S_K203_0450 EZ303U	7,7	10	220	45,22	0,27	0,26	0,43	83	50	21	23	3	18	57,3
0,40	3,5	4,2	8,7	1,5	ZV318S_K203_0450 EZ401U	7,7	10	220	45,22	0,27	0,26	0,43	83	50	21	23	3	18	57,3
0,45	1,2	1,3	4,7	3,3	ZV318S_K202_0400 EZ301U	3,8	6,9	110	40,39	0,30	0,29	0,48	83	42	12	23	3	18	57,3
0,45	2,1	2,3	7,9	2,0	ZV318S_K202_0400 EZ302U	4,8	6,9	139	40,39	0,30	0,29	0,48	83	42	12	23	3	18	57,3
0,45	2,7	3,1	10	1,5	ZV318S_K202_0400 EZ303U	4,8	6,9	139	40,39	0,30	0,29	0,48	83	42	12	23	3	18	57,3
0,45	3,1	3,8	12	1,3	ZV318S_K202_0400 EZ401U	4,8	6,9	139	40,39	0,30	0,29	0,48	83	42	12	23	3	18	57,3
0,46	1,2	1,3	3,4	4,6	ZV318S_K203_0390 EZ301U	3,7	8,8	106	39,45	0,30	0,30	0,49	83	50	21	23	3	18	57,3
0,46	2,0	2,2	5,7	2,7	ZV318S_K203_0390 EZ302U	6,6	8,8	189	39,45	0,30	0,30	0,49	83	50	21	23	3	18	57,3
0,46	2,6	3,0	7,5	2,1	ZV318S_K203_0390 EZ303U	7,1	8,8	202	39,45	0,30	0,30	0,49	83	50	21	23	3	18	57,3
0,46	3,0	3,7	8,8	1,8	ZV318S_K203_0390 EZ401U	7,1	8,8	202	39,45	0,30	0,30	0,49	83	50	21	23	3	18	57,3
0,52	1,8	2,0	5,9	3,0	ZV318S_K202_0350 EZ302U	5,8	7,5	168	34,55	0,35	0,34	0,56	83	42	12	23	3	18	57,3
0,52	2,3	2,6	7,7	2,3	ZV318S_K202_0350 EZ303U	6,0	7,5	171	34,55	0,35	0,34	0,56	83	42	12	23	3	18	57,3
0,52	2,7	3,3	9,0	2,0	ZV318S_K202_0350 EZ401U	7,7	14	220	34,55	0,35	0,34	0,56	83	42	12	23	3	18	57,3
0,52	4,0	5,1	13	1,3	ZV318S_K202_0350 EZ501U	7,7	14	220	34,55	0,35	0,34	0,56	83	42	12	23	3	18	57,3
0,52	4,1	5,7	14	1,3	ZV318S_K202_0350 EZ402U	7,7	14	220	34,55	0,35	0,34	0,56	83	42	12	23	3	18	57,3
0,54	1,7	1,9	5,9	3,0	ZV318S_K202_0340 EZ302U	5,2	6,5	150	33,62	0,36	0,35	0,58	83	42	12	23	3	18	57,3
0,54	2,2	2,6	7,7	2,3	ZV318S_K202_0340 EZ303U	5,2	6,5	150	33,62	0,36	0,35	0,58	83	42	12	23	3	18	57,3
0,54	2,6	3,2	9,0	2,0	ZV318S_K202_0340 EZ401U	6,5	11	185	33,62	0,36	0,35	0,58	83	42	12	23	3	18	57,3
0,54	3,9	5,0	13	1,3	ZV318S_K202_0340 EZ501U	6,5	11	185	33,62	0,36	0,35	0,58	83	42	12	23	3	18	57,3
0,54	4,0	5,6	14	1,3	ZV318S_K202_0340 EZ402U	6,5	11	185	33,62	0,36	0,35	0,58	83	42	12	23	3	18	57,3
0,64	2,2	2,6	9,2	2,2	ZV318S_K202_0280 EZ401U	7,7	14	220	27,95	0,43	0,42	0,70	83	42	12	23	3	18	57,3
0,64	3,2	4,2	14	1,5	ZV318S_K202_0280 EZ501U	7,7	14	220	27,95	0,43	0,42	0,70	83	42	12	23	3	18	57,3
0,64	3,3	4,6	14	1,5	ZV318S_K202_0280 EZ402U	7,7	14	220	27,95	0,43	0,42	0,70	83	42	12	23	3	18	57,3
0,72	1,3	1,4	6,5	3,4	ZV318S_K202_0250 EZ302U	4,3	5,4	122	25,13	0,48	0,47	0,78	83	42	12	23	3	18	57,3
0,72	1,7	1,9	8,5	2,6	ZV318S_K202_0250 EZ303U	4,4	5,4	125	25,13	0,48	0,47	0,78	83	42	12	23	3	18	57,3
0,72	2,0	2,4	9,2	2,4	ZV318S_K202_0250 EZ401U	7,2	14	207	25,13	0,48	0,47	0,78	83	42	12	23	3	18	57,3
0,72	2,9	3,7	14	1,6	ZV318S_K202_0250 EZ501U	7,7	14	220	25,13	0,48	0,47	0,78	83	42	12	23	3	18	57,3
0,72	3,0	4,2	14	1,6	ZV318S_K202_0250 EZ402U	7,7	14	220	25,13	0,48	0,47	0,78	83	42	12	23	3	18	57,3
0,72	4,4	6,6	21	1,1	ZV318S_K202_0250 EZ502U	7,7	14	220	25,13	0,48	0,47	0,78	83	42	12	23	3	18	57,3
0,72	4,4	6,7	21	1,1	ZV318S_K202_0250 EZ701U	7,7	14	220	25,13	0,48	0,47	0,78	83	42	12	23	3	18	57,3
0,78	1,2	1,3	6,1	3,9	ZV318S_K202_0230 EZ302U	3,9	5,9	112	23,18	0,52	0,51	0,84	83	42	12	23	3	18	57,3
0,78	1,5	1,8	7,9	3,0	ZV318S_K202_0230 EZ303U	4,7	5,9	135	23,18	0,52	0,51	0,84	83	42	12	23	3	18	57,3
0,78	1,8	2,2	9,3	2,5	ZV318S_K202_0230 EZ401U	6,7	14	191	23,18	0,52	0,51	0,84	83	42	12	23	3	18	57,3
0,78	2,7	3,5	14	1,7	ZV318S_K202_0230 EZ501U	7,7	14	220	23,18	0,52	0,51	0,84	83	42	12	23	3	18	57,3
0,78	2,7	3,8	14	1,7	ZV318S_K202_0230 EZ402U	7,7	14	220	23,18	0,52	0,51	0,84	83	42	12	23	3	18	57,3
0,78	4,1	6,1	21	1,1	ZV318S_K202_0230 EZ502U	7,7	14	220	23,18	0,52	0,51	0,84	83	42	12	23	3	18	57,3
0,78	4,1	6,2	21	1,1	ZV318S_K202_0230 EZ701U	7,7	14	220	23,18	0,52	0,51	0,84	83	42	12	23	3	18	57,3
0,78	4,6	6,6	23	1,0	ZV318S_K202_0230 EZ404U	7,7	14	220	23,18	0,52	0,51	0,84	83	42	12	23	3	18	57,3
0,89	1,6	1,9	9,4	2,8	ZV318S_K202_0200 EZ401U	5,9	14	168	20,33	0,59	0,58	0,96	83	42	12	23	3	18	57,3
0,89	2,3	3,0	14	1,9	ZV318S_K202_0200 EZ501U	7,7	14	220	20,33	0,59	0,58	0,96	83	42	12	23	3	18	57,3
0,89	2,4	3,4	14	1,8	ZV318S_K202_0200 EZ402U	7,7	14	220	20,33	0,59	0,58	0,96	83	42	12	23	3	18	57,3
0,89	3,6	5,4	21	1,2	ZV318S_K202_0200 EZ502U	7,7	14	220	20,33	0,59	0,58	0,96	83	42	12	23	3	18	57,3
0,89	3,6	5,4	21	1,2	ZV318S_K202_0200 EZ701U	7,7	14	220	20,33	0,59	0,58	0,96	83	42	12	23	3	18	57,3
0,89	4,0	5,8	24	1,1	ZV318S_K202_0200 EZ404U	7,7	14	220	20,33	0,59	0,58	0,96	83	42	12	23	3	18	57,3
0,89	4,3	7,3	25	1,0	ZV318S_K202_0200 EZ503U	7,7	14	220	20,33	0,59	0,58	0,96	83	42	12	23	3	18	57,3
1,07	0,9	1,0	7,5	4,0	ZV318S_K202_0170 EZ302U	2,9	4,3	82	16,86	0,71	0,69	1,16	83	42	12	23	3	18	57,3
1,07	1,1	1,3	9,8	3,1	ZV318S_K202_0170 EZ303U	3,4	4,3	98	16,86	0,71	0,69	1,16	83	42	12	23	3	18	57,3
1,07	1,3	1,6	9,5	3,1	ZV318S_K202_0170 EZ401U	4,9	14	139	16,86	0,71	0,69	1,16	83	42	12	23	3	18	57,3
1,07	1,9	2,5	14	2,1	ZV318S_K202_0170 EZ501U	7,7	14	220	16,86	0,71	0,69	1,16	83	42	12	23	3	18	57,3
1,07	2,0	2,8	15	2,1	ZV318S_K202_0170 EZ402U	7,7	14	220	16,86	0,71	0,69	1,16	83	42	12	23	3	18	57,3
1,07	3,0	4,5	22	1,4	ZV318S_K202_0170 EZ502U	7,7	14	220	16,86	0,71	0,69	1,16	83	42	12	23	3	18	57,3

v _{F2N}	F _{F2N}	F _{F2,0}	a _{th}	S	Typ	F _{F2acc}	F _{F2NOT,E}	M _{Zacc}	i	v _{F2max}		v _{F2maxZB}	Δs	Δs _{redII}	Δs _{redI}	C _{lin}	m _n	z	d ₀
										EL1,2	EL3,4,5,6								
[m/s]	[kN]	[kN]				[kN]	[kN]	[Nm]		[m/s]	[m/s]	[m/s]	[μm]	[μm]	[μm]	[N/μm]	[mm]		[mm]
ZV3K2 (n_{1N} = 6000 min⁻¹, (F_{F2acc,max} = 7,7 kN)																			
1,07	3,0	4,5	22	1,4	ZV318S_K202_0170 EZ701U	7,7	14	220	16,86	0,71	0,69	1,16	83	42	12	23	3	18	57,3
1,07	3,3	4,8	24	1,2	ZV318S_K202_0170 EZ404U	7,7	14	220	16,86	0,71	0,69	1,16	83	42	12	23	3	18	57,3
1,07	3,5	6,1	26	1,2	ZV318S_K202_0170 EZ503U	7,7	14	220	16,86	0,71	0,69	1,16	83	42	12	23	3	18	57,3
1,07	4,1	8,2	30	1,0	ZV318S_K202_0170 EZ702U	7,7	14	220	16,86	0,71	0,69	1,16	83	42	12	23	3	18	57,3
ZV2K3 (n_{1N} = 3000 min⁻¹, (F_{F2acc,max} = 10 kN)																			
0,06	4,6	4,7	2,4	1,1	ZV225S_K303_1360 EZ301U	10	26	276	136,0	0,08	0,07	0,12	77	39	19	30	2	25	53,1
0,08	3,7	3,7	2,3	1,4	ZV225S_K303_1090 EZ301U	10	26	276	109,2	0,10	0,09	0,15	77	39	19	30	2	25	53,1
0,09	3,1	3,1	2,2	1,7	ZV225S_K303_0910 EZ301U	9,2	22	244	91,23	0,12	0,11	0,18	77	39	19	30	2	25	53,1
0,11	2,7	2,7	2,6	1,9	ZV225S_K303_0790 EZ301U	8,0	19	213	79,42	0,13	0,12	0,21	77	39	19	30	2	25	53,1
0,11	4,6	4,8	4,4	1,1	ZV225S_K303_0790 EZ302U	10	19	276	79,42	0,13	0,12	0,21	77	39	19	30	2	25	53,1
0,12	2,4	2,4	3,4	2,2	ZV225S_K302_0690 EZ301U	7,1	11	189	69,43	0,15	0,14	0,24	77	31	12	30	2	25	53,1
0,12	4,0	4,3	5,8	1,3	ZV225S_K302_0690 EZ302U	9,0	11	238	69,43	0,15	0,14	0,24	77	31	12	30	2	25	53,1
0,12	2,3	2,3	2,1	2,3	ZV225S_K303_0680 EZ301U	6,8	16	181	67,73	0,16	0,14	0,25	77	39	19	30	2	25	53,1
0,12	3,9	4,1	3,5	1,3	ZV225S_K303_0680 EZ302U	10	16	276	67,73	0,16	0,14	0,25	77	39	19	30	2	25	53,1
0,12	5,1	5,3	4,6	1,0	ZV225S_K303_0680 EZ303U	10	16	276	67,73	0,16	0,14	0,25	77	39	19	30	2	25	53,1
0,13	2,2	2,3	2,6	2,3	ZV225S_K303_0660 EZ301U	6,7	16	178	66,35	0,16	0,15	0,25	77	39	19	30	2	25	53,1
0,13	3,8	4,0	4,4	1,4	ZV225S_K303_0660 EZ302U	10	16	276	66,35	0,16	0,15	0,25	77	39	19	30	2	25	53,1
0,13	4,9	5,2	5,8	1,0	ZV225S_K303_0660 EZ303U	10	16	276	66,35	0,16	0,15	0,25	77	39	19	30	2	25	53,1
0,15	1,8	1,9	2,4	2,8	ZV225S_K303_0550 EZ301U	5,5	13	146	54,58	0,19	0,18	0,31	77	39	19	30	2	25	53,1
0,15	3,1	3,3	4,1	1,7	ZV225S_K303_0550 EZ302U	9,8	13	261	54,58	0,19	0,18	0,31	77	39	19	30	2	25	53,1
0,15	4,1	4,3	5,3	1,3	ZV225S_K303_0550 EZ303U	10	13	276	54,58	0,19	0,18	0,31	77	39	19	30	2	25	53,1
0,17	1,7	1,8	4,3	3,0	ZV225S_K302_0500 EZ301U	5,2	8,2	137	50,49	0,21	0,19	0,33	77	31	12	30	2	25	53,1
0,17	2,9	3,1	7,3	1,8	ZV225S_K302_0500 EZ302U	6,5	8,2	173	50,49	0,21	0,19	0,33	77	31	12	30	2	25	53,1
0,17	3,8	4,0	9,6	1,4	ZV225S_K302_0500 EZ303U	6,5	8,2	173	50,49	0,21	0,19	0,33	77	31	12	30	2	25	53,1
0,17	5,2	5,5	13	1,0	ZV225S_K302_0500 EZ401U	6,5	8,2	173	50,49	0,21	0,19	0,33	77	31	12	30	2	25	53,1
0,17	1,7	1,7	2,6	3,1	ZV225S_K303_0490 EZ301U	5,0	12	132	49,26	0,21	0,20	0,34	77	39	19	30	2	25	53,1
0,17	2,8	3,0	4,5	1,8	ZV225S_K303_0490 EZ302U	8,9	12	235	49,26	0,21	0,20	0,34	77	39	19	30	2	25	53,1
0,17	3,7	3,9	5,8	1,4	ZV225S_K303_0490 EZ303U	9,5	12	253	49,26	0,21	0,20	0,34	77	39	19	30	2	25	53,1
0,17	5,0	5,3	7,8	1,0	ZV225S_K303_0490 EZ401U	9,5	12	253	49,26	0,21	0,20	0,34	77	39	19	30	2	25	53,1
0,18	4,7	5,1	5,7	1,1	ZV225S_K302_0460 EZ401U	10	26	276	46,23	0,23	0,21	0,36	77	31	12	30	2	25	53,1
0,21	4,1	4,4	9,8	1,2	ZV225S_K302_0410 EZ401U	8,7	15	231	40,51	0,26	0,24	0,41	77	31	12	30	2	25	53,1
0,24	3,6	3,8	5,5	1,5	ZV225S_K302_0350 EZ401U	10	26	276	34,73	0,30	0,28	0,48	77	31	12	30	2	25	53,1
0,25	3,4	3,7	7,2	1,5	ZV225S_K302_0340 EZ401U	10	19	276	33,62	0,31	0,29	0,50	77	31	12	30	2	25	53,1
0,26	5,1	5,5	8,3	1,0	ZV225S_K303_0330 EZ501U	10	22	276	32,65	0,32	0,30	0,51	77	39	19	30	2	25	53,1
0,30	2,9	3,1	5,6	1,8	ZV225S_K302_0280 EZ401U	8,7	26	230	27,88	0,38	0,35	0,60	77	31	12	30	2	25	53,1
0,30	4,4	4,8	8,5	1,2	ZV225S_K302_0280 EZ501U	10	26	276	27,88	0,38	0,35	0,60	77	31	12	30	2	25	53,1
0,30	4,8	5,3	9,3	1,1	ZV225S_K302_0280 EZ402U	10	26	276	27,88	0,38	0,35	0,60	77	31	12	30	2	25	53,1
0,33	2,6	2,8	5,6	2,0	ZV225S_K302_0250 EZ401U	7,9	23	208	25,26	0,42	0,39	0,66	77	31	12	30	2	25	53,1
0,33	4,0	4,3	8,6	1,3	ZV225S_K302_0250 EZ501U	10	23	276	25,26	0,42	0,39	0,66	77	31	12	30	2	25	53,1
0,33	4,3	4,8	9,4	1,2	ZV225S_K302_0250 EZ402U	10	23	276	25,26	0,42	0,39	0,66	77	31	12	30	2	25	53,1
0,36	2,4	2,6	5,6	2,2	ZV225S_K302_0230 EZ401U	7,2	24	192	23,29	0,45	0,42	0,72	77	31	12	30	2	25	53,1
0,36	3,7	4,0	8,7	1,4	ZV225S_K302_0230 EZ501U	10	24	276	23,29	0,45	0,42	0,72	77	31	12	30	2	25	53,1
0,36	4,0	4,4	9,5	1,3	ZV225S_K302_0230 EZ402U	10	24	276	23,29	0,45	0,42	0,72	77	31	12	30	2	25	53,1
0,41	2,1	2,2	5,7	2,5	ZV225S_K302_0200 EZ401U	6,3	19	167	20,28	0,52	0,48	0,82	77	31	12	30	2	25	53,1
0,41	3,2	3,5	8,8	1,6	ZV225S_K302_0200 EZ501U	10	19	276	20,28	0,52	0,48	0,82	77	31	12	30	2	25	53,1
0,41	3,5	3,9	9,6	1,5	ZV225S_K302_0200 EZ402U	10	19	276	20,28	0,52	0,48	0,82	77	31	12	30	2	25	53,1
0,41	5,1	6,4	14	1,0	ZV225S_K302_0200 EZ404U	10	19	276	20,28	0,52	0,48	0,82	77	31	12	30	2	25	53,1
0,48	1,8	1,9	5,8	2,9	ZV225S_K302_0175 EZ401U	5,4	19	143	17,29	0,56	0,50	0,80	77	31	12	30	2	25	53,1
0,48	2,7	3,0	8,9	1,9	ZV225S_K302_0175 EZ501U	10	19	268	17,29	0,56	0,50	0,80	77	31	12	30	2	25	53,1
0,48	3,0	3,3	9,7	1,7	ZV225S_K302_0175 EZ402U	10	19	268	17,29	0,56	0,50	0,80	77	31	12	30	2	25	53,1
0,48	4,4	5,4	14	1,2	ZV225S_K302_0175 EZ404U	10	19	276	17,29	0,56	0,50	0,80	77	31	12	30	2	25	53,1
0,48	4,7	5,1	15	1,1	ZV225S_K302_0175 EZ502U	10	19	276	17,29	0,56	0,50	0,80	77	31	12	30	2	25	53,1
0,48	4,7	5,2	15	1,1	ZV225S_K302_0175 EZ701U	10	26	276	17,29	0,56	0,50	0,80	77	31	12	30	2	25	53,1
0,49	1,7	1,9	5,8	3,0	ZV225S_K302_0170 EZ401U	5,3	18	140	16,94	0,62	0,57	0,98	77	31	12	30	2	25	53,1
0,49	2,7	2,9	8,9	1,9	ZV225S_K302_0170 EZ501U	9,9	18	263	16,94	0,62	0,57	0,98	77	31	12	30	2	25	53,1
0,49	2,9	3,2	9,7	1,8	ZV225S_K302_0170 EZ402U	9,9	18	263	16,94	0,62	0,57	0,98	77	31	12	30	2	25	53,1
0,49	4,3	5,3	14	1,2	ZV225S_K302_0170 EZ404U	10	18	276	16,94	0,62	0,57	0,98	77	31	12	30	2	25	53,1
0,49	4,6	5,0	15	1,1	ZV225S_K302_0170 EZ502U	10	18	276	16,94	0,62	0,57	0,98	77	31	12	30	2	25	53,1
0,49	4,6	5,1	15	1,1	ZV225S_K302_0170 EZ701U	10	26	276	16,94	0,62	0,57	0,98	77	31	12	30	2	25	53,1
0,60	1,4	1,5	5,9	3,6	ZV225S_K302_0140 EZ401U	4,3	15	115	13,94	0,70	0,62	1,00	77	31	12	30	2	25	53,1
0,60	2,2	2,4	9,0	2,4	ZV225S_K302_0140 EZ501U	8,2	15	216	13,94	0,70	0,62	1,00	77	31	12	30	2	25	53,1
0,60	2,4	2,6	9,9	2,2	ZV225S_K302_0140 EZ402U	8,2	15	216	13,94	0,70	0,62	1,00	77	31	12	30	2	25	53,1
0,60	3,5	4,4	15	1,5	ZV225S_K302_0140 EZ404U	10	15	276	13,94	0,70	0,62	1,00	77	31	12	30	2	25	53,1
0,60	3,8	4,1	16	1,4	ZV225S_K302_0140 EZ502U	10	15	276	13,94	0,70	0,62	1,00	77	31	12	30	2	25	53,1

12.2 Auswahltabelle 12 Zahnstangentriebe ZVK

v _{f2N}	F _{f2N}	F _{fz,0}	a _{th}	S	Typ	F _{fzaccE}	F _{fzNOT,E}	M _{zaccE}	i	v _{f2max}		v _{f2maxZB}	Δs	Δs _{redII}	Δs _{redI}	C _{lin}	m _n	z	d ₀
										EL1,2	EL3,4,5,6								
[m/s]	[kN]	[kN]				[kN]	[kN]	[Nm]		[m/s]	[m/s]	[m/s]	[μm]	[μm]	[μm]	[N/μm]	[mm]		[mm]
ZV2K3 (n_{1N} = 3000 min⁻¹, (F_{fzacc,max} = 10 kN)																			
0,60	3,8	4,2	16	1,4	ZV225S_K302_0140 EZ701U	10	26	270	13,94	0,70	0,62	1,00	77	31	12	30	2	25	53,1
0,60	4,9	5,7	20	1,0	ZV225S_K302_0140 EZ503U	10	15	276	13,94	0,70	0,62	1,00	77	31	12	30	2	25	53,1
0,66	1,3	1,4	5,9	4,0	ZV225S_K302_0125 EZ401U	3,9	14	104	12,58	0,77	0,69	1,10	77	31	12	30	2	25	53,1
0,66	2,0	2,2	9,1	2,6	ZV225S_K302_0125 EZ501U	7,4	14	195	12,58	0,77	0,69	1,10	77	31	12	30	2	25	53,1
0,66	2,2	2,4	10	2,4	ZV225S_K302_0125 EZ402U	7,4	14	195	12,58	0,77	0,69	1,10	77	31	12	30	2	25	53,1
0,66	3,2	4,0	15	1,6	ZV225S_K302_0125 EZ404U	10	14	276	12,58	0,77	0,69	1,10	77	31	12	30	2	25	53,1
0,66	3,4	3,7	16	1,5	ZV225S_K302_0125 EZ502U	10	14	276	12,58	0,77	0,69	1,10	77	31	12	30	2	25	53,1
0,66	3,4	3,8	16	1,5	ZV225S_K302_0125 EZ701U	9,2	26	244	12,58	0,77	0,69	1,10	77	31	12	30	2	25	53,1
0,66	4,5	5,1	21	1,2	ZV225S_K302_0125 EZ503U	10	14	276	12,58	0,77	0,69	1,10	77	31	12	30	2	25	53,1
0,72	1,2	1,3	6,0	4,3	ZV225S_K302_0115 EZ401U	3,6	13	96	11,61	0,77	0,67	1,08	77	31	12	30	2	25	53,1
0,72	1,8	2,0	9,2	2,8	ZV225S_K302_0115 EZ501U	6,8	13	180	11,61	0,77	0,67	1,08	77	31	12	30	2	25	53,1
0,72	2,0	2,2	10	2,6	ZV225S_K302_0115 EZ402U	6,8	13	180	11,61	0,77	0,67	1,08	77	31	12	30	2	25	53,1
0,72	2,9	3,7	15	1,8	ZV225S_K302_0115 EZ404U	10	13	270	11,61	0,77	0,67	1,08	77	31	12	30	2	25	53,1
0,72	3,1	3,4	16	1,6	ZV225S_K302_0115 EZ502U	10	13	270	11,61	0,77	0,67	1,08	77	31	12	30	2	25	53,1
0,72	3,1	3,5	16	1,6	ZV225S_K302_0115 EZ701U	8,5	26	225	11,61	0,77	0,67	1,08	77	31	12	30	2	25	53,1
0,72	4,1	4,7	21	1,3	ZV225S_K302_0115 EZ503U	10	13	270	11,61	0,77	0,67	1,08	77	31	12	30	2	25	53,1
0,72	5,1	6,1	26	1,0	ZV225S_K302_0115 EZ702U	10	26	276	11,61	0,77	0,67	1,08	77	31	12	30	2	25	53,1
0,82	1,0	1,1	6,0	5,0	ZV225S_K302_0100 EZ401U	3,2	11	84	10,14	0,96	0,85	1,37	77	31	12	30	2	25	53,1
0,82	1,6	1,7	9,3	3,2	ZV225S_K302_0100 EZ501U	5,9	11	157	10,14	0,96	0,85	1,37	77	31	12	30	2	25	53,1
0,82	1,7	1,9	10	3,0	ZV225S_K302_0100 EZ402U	5,9	11	157	10,14	0,96	0,85	1,37	77	31	12	30	2	25	53,1
0,82	2,6	3,2	15	2,0	ZV225S_K302_0100 EZ404U	8,9	11	236	10,14	0,96	0,85	1,37	77	31	12	30	2	25	53,1
0,82	2,7	3,0	16	1,9	ZV225S_K302_0100 EZ502U	8,9	11	236	10,14	0,96	0,85	1,37	77	31	12	30	2	25	53,1
0,82	2,7	3,1	16	1,9	ZV225S_K302_0100 EZ701U	7,4	26	197	10,14	0,96	0,85	1,37	77	31	12	30	2	25	53,1
0,82	3,6	4,1	21	1,4	ZV225S_K302_0100 EZ503U	8,9	11	236	10,14	0,96	0,85	1,37	77	31	12	30	2	25	53,1
0,82	4,4	5,3	26	1,2	ZV225S_K302_0100 EZ702U	10	26	276	10,14	0,96	0,85	1,37	77	31	12	30	2	25	53,1
0,82	5,0	5,9	29	1,0	ZV225S_K302_0100 EZ505U	10	26	276	10,14	0,96	0,85	1,37	77	31	12	30	2	25	53,1
0,90	2,5	2,8	16	2,0	ZV225S_K302_0093 EZ701U	6,8	25	180	9,267	0,96	0,84	1,35	77	31	12	30	2	25	53,1
0,90	4,1	4,9	26	1,2	ZV225S_K302_0093 EZ702U	10	25	276	9,267	0,96	0,84	1,35	77	31	12	30	2	25	53,1
0,90	4,6	5,4	29	1,1	ZV225S_K302_0093 EZ505U	10	25	276	9,267	0,96	0,84	1,35	77	31	12	30	2	25	53,1
0,99	1,3	1,5	9,9	3,7	ZV225S_K302_0084 EZ501U	4,9	9,3	131	8,444	1,05	0,92	1,48	77	31	12	30	2	25	53,1
0,99	1,5	1,6	11	3,4	ZV225S_K302_0084 EZ402U	4,9	9,3	131	8,444	1,05	0,92	1,48	77	31	12	30	2	25	53,1
0,99	2,1	2,7	16	2,3	ZV225S_K302_0084 EZ404U	7,4	9,3	197	8,444	1,05	0,92	1,48	77	31	12	30	2	25	53,1
0,99	2,3	2,5	17	2,1	ZV225S_K302_0084 EZ502U	7,4	9,3	197	8,444	1,05	0,92	1,48	77	31	12	30	2	25	53,1
0,99	2,3	2,6	16	2,1	ZV225S_K302_0084 EZ701U	6,2	23	164	8,444	1,05	0,92	1,48	77	31	12	30	2	25	53,1
0,99	3,0	3,4	22	1,6	ZV225S_K302_0084 EZ503U	7,4	9,3	197	8,444	1,05	0,92	1,48	77	31	12	30	2	25	53,1
0,99	3,7	4,4	26	1,3	ZV225S_K302_0084 EZ702U	10	23	276	8,444	1,05	0,92	1,48	77	31	12	30	2	25	53,1
0,99	4,2	4,9	30	1,2	ZV225S_K302_0084 EZ505U	10	23	276	8,444	1,05	0,92	1,48	77	31	12	30	2	25	53,1
1,13	2,0	2,2	16	2,3	ZV225S_K302_0074 EZ701U	5,4	20	143	7,391	1,02	0,86	1,50	77	31	12	30	2	25	53,1
1,13	3,2	3,9	27	1,4	ZV225S_K302_0074 EZ702U	10	20	276	7,391	1,02	0,86	1,50	77	31	12	30	2	25	53,1
1,13	3,6	4,3	30	1,3	ZV225S_K302_0074 EZ505U	10	20	276	7,391	1,02	0,86	1,50	77	31	12	30	2	25	53,1
1,13	4,5	5,6	37	1,0	ZV225S_K302_0074 EZ703U	10	20	276	7,391	1,02	0,86	1,50	77	31	12	30	2	25	53,1
1,24	1,8	2,0	17	2,5	ZV225S_K302_0067 EZ701U	4,9	18	131	6,740	1,32	1,15	1,86	77	31	12	30	2	25	53,1
1,24	3,0	3,5	27	1,5	ZV225S_K302_0067 EZ702U	10	18	268	6,740	1,32	1,15	1,86	77	31	12	30	2	25	53,1
1,24	3,3	3,9	30	1,4	ZV225S_K302_0067 EZ505U	10	18	276	6,740	1,32	1,15	1,86	77	31	12	30	2	25	53,1
1,24	4,1	5,1	37	1,1	ZV225S_K302_0067 EZ703U	10	18	276	6,740	1,32	1,15	1,86	77	31	12	30	2	25	53,1
1,39	1,6	1,8	17	2,7	ZV225S_K302_0060 EZ701U	4,4	16	116	6,000	1,25	1,07	1,85	77	31	12	30	2	25	53,1
1,39	2,6	3,2	27	1,7	ZV225S_K302_0060 EZ702U	9,0	16	239	6,000	1,25	1,07	1,85	77	31	12	30	2	25	53,1
1,39	3,0	3,5	30	1,5	ZV225S_K302_0060 EZ505U	10	16	276	6,000	1,25	1,07	1,85	77	31	12	30	2	25	53,1
1,39	3,6	4,6	37	1,2	ZV225S_K302_0060 EZ703U	10	16	276	6,000	1,25	1,07	1,85	77	31	12	30	2	25	53,1
1,55	1,5	1,6	17	2,9	ZV225S_K302_0054 EZ701U	3,9	15	104	5,375	1,40	1,19	2,07	77	31	12	30	2	25	53,1
1,55	2,4	2,8	27	1,8	ZV225S_K302_0054 EZ702U	8,1	15	214	5,375	1,40	1,19	2,07	77	31	12	30	2	25	53,1
1,55	2,7	3,1	31	1,6	ZV225S_K302_0054 EZ505U	10	15	276	5,375	1,40	1,19	2,07	77	31	12	30	2	25	53,1
1,55	3,2	4,1	38	1,3	ZV225S_K302_0054 EZ703U	10	15	276	5,375	1,40	1,19	2,07	77	31	12	30	2	25	53,1
1,91	1,2	1,3	17	3,3	ZV225S_K302_0044 EZ701U	3,2	12	85	4,364	1,72	1,46	2,55	77	31	12	30	2	25	53,1
1,91	1,9	2,3	28	2,0	ZV225S_K302_0044 EZ702U	6,5	12	174	4,364	1,72	1,46	2,55	77	31	12	30	2	25	53,1
1,91	2,2	2,6	31	1,8	ZV225S_K302_0044 EZ505U	9,6	12	254	4,364	1,72	1,46	2,55	77	31	12	30	2	25	53,1
1,91	2,6	3,3	38	1,5	ZV225S_K302_0044 EZ703U	9,6	12	254	4,364	1,72	1,46	2,55	77	31	12	30	2	25	53,1
1,91	3,4	4,8	49	1,2	ZV225S_K302_0044 EZ705U	10	26	276	4,364	1,72	1,46	2,55	77	31	12	30	2	25	53,1
2,08	1,1	1,2	17	3,5	ZV225S_K302_0040 EZ701U	2,9	11	78	4,000	1,88	1,60	2,78	77	31	12	30	2	25	53,1
2,08	1,8	2,1	28	2,2	ZV225S_K302_0040 EZ702U	6,0	11	159	4,000	1,88	1,60	2,78	77	31	12	30	2	25	53,1
2,08	2,0	2,3	31	1,9	ZV225S_K302_0040 EZ505U	8,8	11	233	4,000	1,88	1,60	2,78	77	31	12	30	2	25	53,1
2,08	2,4	3,0	38	1,6	ZV225S_K302_0040 EZ703U	8,8	11	233	4,000	1,88	1,60	2,78	77	31	12	30	2	25	53,1
2,08	3,1	4,4	50	1,2	ZV225S_K302_0040 EZ705U	10	26	276	4,000	1,88	1,60	2,78	77	31	12	30	2	25	53,1

v _{f2N}	F _{f2N}	F _{fz,0}	a _{th}	S	Typ	F _{f2accE}	F _{f2NOT,E}	M _{zaccE}	i	v _{f2maxDB}		v _{f2maxZB}	Δs	Δs _{redII}	Δs _{redI}	C _{lin}	m _n	z	d ₀
										EL1,2	EL3,4,5,6								
[m/s]	[kN]	[kN]				[kN]	[kN]	[Nm]		[m/s]	[m/s]	[m/s]	[μm]	[μm]	[μm]	[N/μm]	[mm]		[mm]
ZV2K3 (n_{1N} = 4500 min⁻¹, (F_{f2acc,max} = 10 kN)																			
0,90	4,8	7,8	23	1,0	ZV225S_K302_0140 EZ505U	10	26	276	13,94	0,70	0,62	1,00	77	31	12	30	2	25	53,1
0,99	4,4	7,0	23	1,1	ZV225S_K302_0125 EZ505U	10	26	276	12,58	0,77	0,69	1,10	77	31	12	30	2	25	53,1
1,08	4,0	6,5	23	1,2	ZV225S_K302_0115 EZ505U	10	26	276	11,61	0,77	0,67	1,08	77	31	12	30	2	25	53,1
1,23	3,5	5,7	23	1,3	ZV225S_K302_0100 EZ505U	10	26	276	10,14	0,96	0,85	1,37	77	31	12	30	2	25	53,1
1,23	4,5	7,4	30	1,0	ZV225S_K302_0100 EZ703U	10	26	276	10,14	0,96	0,85	1,37	77	31	12	30	2	25	53,1
1,35	3,2	5,2	24	1,4	ZV225S_K302_0093 EZ505U	10	25	276	9,267	0,96	0,84	1,35	77	31	12	30	2	25	53,1
1,35	4,1	6,8	30	1,1	ZV225S_K302_0093 EZ703U	10	25	276	9,267	0,96	0,84	1,35	77	31	12	30	2	25	53,1
1,48	2,9	4,7	24	1,5	ZV225S_K302_0084 EZ505U	10	23	276	8,444	1,05	0,92	1,48	77	31	12	30	2	25	53,1
1,48	3,7	6,2	30	1,1	ZV225S_K302_0084 EZ703U	10	23	276	8,444	1,05	0,92	1,48	77	31	12	30	2	25	53,1
1,86	2,3	3,8	24	1,7	ZV225S_K302_0067 EZ505U	10	18	276	6,740	1,32	1,15	1,86	77	31	12	30	2	25	53,1
1,86	3,0	4,9	31	1,3	ZV225S_K302_0067 EZ703U	10	18	276	6,740	1,32	1,15	1,86	77	31	12	30	2	25	53,1
ZV2K3 (n_{1N} = 6000 min⁻¹, (F_{f2acc,max} = 10 kN)																			
0,12	4,4	4,7	2,5	1,2	ZV225S_K303_1360 EZ301U	10	26	276	136,0	0,08	0,07	0,12	77	39	19	30	2	25	53,1
0,15	3,5	3,7	2,4	1,5	ZV225S_K303_1090 EZ301U	10	26	276	109,2	0,10	0,09	0,15	77	39	19	30	2	25	53,1
0,18	2,9	3,1	2,5	1,8	ZV225S_K303_0910 EZ301U	9,2	22	244	91,23	0,12	0,11	0,18	77	39	19	30	2	25	53,1
0,18	4,9	5,5	4,2	1,0	ZV225S_K303_0910 EZ302U	10	22	276	91,23	0,12	0,11	0,18	77	39	19	30	2	25	53,1
0,21	2,5	2,7	3,1	2,0	ZV225S_K303_0790 EZ301U	8,0	19	213	79,42	0,13	0,12	0,21	77	39	19	30	2	25	53,1
0,21	4,3	4,8	5,2	1,2	ZV225S_K303_0790 EZ302U	10	19	276	79,42	0,13	0,12	0,21	77	39	19	30	2	25	53,1
0,24	2,3	2,4	3,2	2,3	ZV225S_K302_0690 EZ301U	7,1	11	189	69,43	0,15	0,14	0,24	77	31	12	30	2	25	53,1
0,24	3,8	4,3	5,5	1,4	ZV225S_K302_0690 EZ302U	9,0	11	238	69,43	0,15	0,14	0,24	77	31	12	30	2	25	53,1
0,24	5,0	5,7	7,1	1,0	ZV225S_K302_0690 EZ303U	9,0	11	238	69,43	0,15	0,14	0,24	77	31	12	30	2	25	53,1
0,25	2,2	2,3	2,5	2,4	ZV225S_K303_0680 EZ301U	6,8	16	181	67,73	0,16	0,14	0,25	77	39	19	30	2	25	53,1
0,25	3,7	4,1	4,2	1,4	ZV225S_K303_0680 EZ302U	10	16	276	67,73	0,16	0,14	0,25	77	39	19	30	2	25	53,1
0,25	4,8	5,5	5,4	1,1	ZV225S_K303_0680 EZ303U	10	16	276	67,73	0,16	0,14	0,25	77	39	19	30	2	25	53,1
0,25	2,1	2,3	3,1	2,4	ZV225S_K303_0660 EZ301U	6,7	16	178	66,35	0,16	0,15	0,25	77	39	19	30	2	25	53,1
0,25	3,6	4,0	5,3	1,4	ZV225S_K303_0660 EZ302U	10	16	276	66,35	0,16	0,15	0,25	77	39	19	30	2	25	53,1
0,25	4,7	5,4	6,9	1,1	ZV225S_K303_0660 EZ303U	10	16	276	66,35	0,16	0,15	0,25	77	39	19	30	2	25	53,1
0,30	4,7	5,7	6,3	1,1	ZV225S_K302_0560 EZ401U	10	20	276	55,71	0,19	0,18	0,30	77	31	12	30	2	25	53,1
0,31	1,8	1,9	2,5	3,0	ZV225S_K303_0550 EZ301U	5,5	13	146	54,58	0,19	0,18	0,31	77	39	19	30	2	25	53,1
0,31	3,0	3,3	4,2	1,8	ZV225S_K303_0550 EZ302U	9,8	13	261	54,58	0,19	0,18	0,31	77	39	19	30	2	25	53,1
0,31	3,9	4,4	5,5	1,3	ZV225S_K303_0550 EZ303U	10	13	276	54,58	0,19	0,18	0,31	77	39	19	30	2	25	53,1
0,31	4,5	5,5	6,5	1,1	ZV225S_K303_0550 EZ401U	10	13	276	54,58	0,19	0,18	0,31	77	39	19	30	2	25	53,1
0,33	1,6	1,8	4,1	3,1	ZV225S_K302_0500 EZ301U	5,2	8,2	137	50,49	0,21	0,19	0,33	77	31	12	30	2	25	53,1
0,33	2,8	3,1	6,9	1,9	ZV225S_K302_0500 EZ302U	6,5	8,2	173	50,49	0,21	0,19	0,33	77	31	12	30	2	25	53,1
0,33	3,6	4,2	9,1	1,4	ZV225S_K302_0500 EZ303U	6,5	8,2	173	50,49	0,21	0,19	0,33	77	31	12	30	2	25	53,1
0,33	4,2	5,2	11	1,2	ZV225S_K302_0500 EZ401U	6,5	8,2	173	50,49	0,21	0,19	0,33	77	31	12	30	2	25	53,1
0,34	1,6	1,7	3,1	3,3	ZV225S_K303_0490 EZ301U	5,0	12	132	49,26	0,21	0,20	0,34	77	39	19	30	2	25	53,1
0,34	2,7	3,0	5,3	1,9	ZV225S_K303_0490 EZ302U	8,9	12	235	49,26	0,21	0,20	0,34	77	39	19	30	2	25	53,1
0,34	3,5	4,0	6,9	1,5	ZV225S_K303_0490 EZ303U	9,5	12	253	49,26	0,21	0,20	0,34	77	39	19	30	2	25	53,1
0,34	4,1	5,0	8,1	1,3	ZV225S_K303_0490 EZ401U	9,5	12	253	49,26	0,21	0,20	0,34	77	39	19	30	2	25	53,1
0,36	3,9	4,7	5,5	1,3	ZV225S_K302_0460 EZ401U	10	26	276	46,23	0,23	0,21	0,36	77	31	12	30	2	25	53,1
0,41	3,4	4,1	8,0	1,5	ZV225S_K302_0410 EZ401U	8,7	15	231	40,51	0,26	0,24	0,41	77	31	12	30	2	25	53,1
0,41	5,0	6,5	12	1,0	ZV225S_K302_0410 EZ501U	8,7	15	231	40,51	0,26	0,24	0,41	77	31	12	30	2	25	53,1
0,43	4,8	6,2	8,1	1,1	ZV225S_K303_0390 EZ501U	10	26	276	39,19	0,27	0,25	0,43	77	39	19	30	2	25	53,1
0,47	4,4	5,7	8,2	1,2	ZV225S_K303_0360 EZ501U	10	24	276	35,83	0,30	0,27	0,47	77	39	19	30	2	25	53,1
0,48	2,9	3,6	5,6	1,8	ZV225S_K302_0350 EZ401U	10	26	276	34,73	0,30	0,28	0,48	77	31	12	30	2	25	53,1
0,48	4,3	5,6	8,3	1,2	ZV225S_K302_0350 EZ501U	10	26	276	34,73	0,30	0,28	0,48	77	31	12	30	2	25	53,1
0,48	4,4	6,2	8,6	1,2	ZV225S_K302_0350 EZ402U	10	26	276	34,73	0,30	0,28	0,48	77	31	12	30	2	25	53,1
0,50	2,8	3,4	5,9	1,8	ZV225S_K302_0340 EZ401U	10	19	276	33,62	0,31	0,29	0,50	77	31	12	30	2	25	53,1
0,50	4,2	5,4	8,7	1,2	ZV225S_K302_0340 EZ501U	10	19	276	33,62	0,31	0,29	0,50	77	31	12	30	2	25	53,1
0,50	4,3	6,0	9,0	1,2	ZV225S_K302_0340 EZ402U	10	19	276	33,62	0,31	0,29	0,50	77	31	12	30	2	25	53,1
0,51	4,0	5,2	8,3	1,3	ZV225S_K303_0330 EZ501U	10	22	276	32,65	0,32	0,30	0,51	77	39	19	30	2	25	53,1
0,60	2,3	2,9	5,8	2,2	ZV225S_K302_0280 EZ401U	8,7	26	230	27,88	0,38	0,35	0,60	77	31	12	30	2	25	53,1
0,60	3,5	4,5	8,5	1,5	ZV225S_K302_0280 EZ501U	10	26	276	27,88	0,38	0,35	0,60	77	31	12	30	2	25	53,1
0,60	3,6	5,0	8,8	1,4	ZV225S_K302_0280 EZ402U	10	26	276	27,88	0,38	0,35	0,60	77	31	12	30	2	25	53,1
0,66	2,1	2,6	5,8	2,4	ZV225S_K302_0250 EZ401U	7,9	23	208	25,26	0,42	0,39	0,66	77	31	12	30	2	25	53,1
0,66	3,1	4,1	8,6	1,6	ZV225S_K302_0250 EZ501U	10	23	276	25,26	0,42	0,39	0,66	77	31	12	30	2	25	53,1
0,66	3,2	4,5	8,8	1,6	ZV225S_K302_0250 EZ402U	10	23	276	25,26	0,42	0,39	0,66	77	31	12	30	2	25	53,1
0,66	4,8	7,2	13	1,1	ZV225S_K302_0250 EZ502U	10	23	276	25,26	0,42	0,39	0,66	77	31	12	30	2	25	53,1
0,66	4,8	7,3	13	1,1	ZV225S_K302_0250 EZ701U	10	23	276	25,26	0,42	0,39	0,66	77	31	12	30	2	25	53,1
0,72	2,0	2,4	5,8	2,6	ZV225S_K302_0230 EZ401U	7,2	24	192	23,29	0,45	0,42	0,72	77	31	12	30	2	25	53,1
0,72	2,9	3,7	8,6	1,8	ZV225S_K302_0230 EZ501U	10	24	276	23,29	0,45	0,42	0,72	77	31	12	30	2	25	53,1
0,72	3,0	4,2	8,9	1,7	ZV225S_K302_0230 EZ402U	10	24	276	23,29	0,45	0,42	0,72	77	31	12	30	2	25	53,1
0,72	4,4	6,6	13	1,2	ZV225S_K302_0230 EZ502U	10	24	276	23,29	0,45	0,42	0,72	77	31	12	30	2	25	53,1

12.2 Auswahltabelle 12 Zahnstangentriebe ZVK

v _{f2N}	F _{f2N}	F _{fz,0}	a _{th}	S	Typ	F _{f2accE}	F _{f2NOT,E}	M _{zaccE}	i	v _{f2maxDB}		v _{f2maxZB}	Δs	Δs _{redII}	Δs _{redI}	C _{lin}	m _n	z	d ₀
										EL1,2	EL3,4,5,6								
[m/s]	[kN]	[kN]				[kN]	[kN]	[Nm]		[m/s]	[m/s]	[m/s]	[μm]	[μm]	[μm]	[N/μm]	[mm]		[mm]
ZV2K3 (n_n = 6000 min⁻¹, (F_{f2acc,max} = 10 kN)																			
0,72	4,4	6,7	13	1,2	ZV225S_K302_0230 EZ701U	10	26	276	23,29	0,45	0,42	0,72	77	31	12	30	2	25	53,1
0,72	4,9	7,2	15	1,0	ZV225S_K302_0230 EZ404U	10	24	276	23,29	0,45	0,42	0,72	77	31	12	30	2	25	53,1
0,82	1,7	2,1	5,9	3,0	ZV225S_K302_0200 EZ401U	6,3	19	167	20,28	0,52	0,48	0,82	77	31	12	30	2	25	53,1
0,82	2,5	3,3	8,7	2,1	ZV225S_K302_0200 EZ501U	10	19	276	20,28	0,52	0,48	0,82	77	31	12	30	2	25	53,1
0,82	2,6	3,6	9,0	2,0	ZV225S_K302_0200 EZ402U	10	19	276	20,28	0,52	0,48	0,82	77	31	12	30	2	25	53,1
0,82	3,9	5,8	13	1,3	ZV225S_K302_0200 EZ502U	10	19	276	20,28	0,52	0,48	0,82	77	31	12	30	2	25	53,1
0,82	3,9	5,9	13	1,3	ZV225S_K302_0200 EZ701U	10	26	276	20,28	0,52	0,48	0,82	77	31	12	30	2	25	53,1
0,82	4,3	6,2	15	1,2	ZV225S_K302_0200 EZ404U	10	19	276	20,28	0,52	0,48	0,82	77	31	12	30	2	25	53,1
0,82	4,6	7,9	16	1,1	ZV225S_K302_0200 EZ503U	10	19	276	20,28	0,52	0,48	0,82	77	31	12	30	2	25	53,1
0,98	1,4	1,7	6,0	3,4	ZV225S_K302_0170 EZ401U	5,3	18	140	16,94	0,62	0,57	0,98	77	31	12	30	2	25	53,1
0,98	2,1	2,7	8,9	2,3	ZV225S_K302_0170 EZ501U	9,9	18	263	16,94	0,62	0,57	0,98	77	31	12	30	2	25	53,1
0,98	2,2	3,0	9,1	2,3	ZV225S_K302_0170 EZ402U	9,9	18	263	16,94	0,62	0,57	0,98	77	31	12	30	2	25	53,1
0,98	3,2	4,8	14	1,5	ZV225S_K302_0170 EZ502U	10	18	276	16,94	0,62	0,57	0,98	77	31	12	30	2	25	53,1
0,98	3,2	4,9	14	1,5	ZV225S_K302_0170 EZ701U	10	26	276	16,94	0,62	0,57	0,98	77	31	12	30	2	25	53,1
0,98	3,6	5,2	15	1,4	ZV225S_K302_0170 EZ404U	10	18	276	16,94	0,62	0,57	0,98	77	31	12	30	2	25	53,1
0,98	3,8	6,6	16	1,3	ZV225S_K302_0170 EZ503U	10	18	276	16,94	0,62	0,57	0,98	77	31	12	30	2	25	53,1
0,98	4,5	8,9	19	1,1	ZV225S_K302_0170 EZ702U	10	26	276	16,94	0,62	0,57	0,98	77	31	12	30	2	25	53,1
ZV3K3 (n_n = 3000 min⁻¹, (F_{f2acc,max} = 11 kN)																			
0,07	4,2	4,3	2,4	1,3	ZV318S_K303_1360 EZ301U	11	24	308	136,0	0,08	0,08	0,13	83	42	21	30	3	18	57,3
0,08	3,4	3,5	2,3	1,6	ZV318S_K303_1090 EZ301U	10	24	292	109,2	0,10	0,10	0,17	83	42	21	30	3	18	57,3
0,10	2,8	2,9	2,2	1,9	ZV318S_K303_0910 EZ301U	8,5	20	244	91,23	0,13	0,12	0,20	83	42	21	30	3	18	57,3
0,10	4,8	5,1	3,7	1,1	ZV318S_K303_0910 EZ302U	11	20	308	91,23	0,13	0,12	0,20	83	42	21	30	3	18	57,3
0,11	2,5	2,5	2,6	2,2	ZV318S_K303_0790 EZ301U	7,4	18	213	79,42	0,14	0,13	0,23	83	42	21	30	3	18	57,3
0,11	4,2	4,5	4,4	1,3	ZV318S_K303_0790 EZ302U	11	18	308	79,42	0,14	0,13	0,23	83	42	21	30	3	18	57,3
0,13	2,2	2,2	3,4	2,4	ZV318S_K302_0690 EZ301U	6,6	10	189	69,43	0,16	0,15	0,26	83	33	12	30	3	18	57,3
0,13	3,7	3,9	5,8	1,4	ZV318S_K302_0690 EZ302U	8,3	10	238	69,43	0,16	0,15	0,26	83	33	12	30	3	18	57,3
0,13	4,9	5,1	7,5	1,1	ZV318S_K302_0690 EZ303U	8,3	10	238	69,43	0,16	0,15	0,26	83	33	12	30	3	18	57,3
0,13	2,1	2,1	2,1	2,5	ZV318S_K303_0680 EZ301U	6,3	15	181	67,73	0,17	0,16	0,27	83	42	21	30	3	18	57,3
0,13	3,6	3,8	3,5	1,5	ZV318S_K303_0680 EZ302U	11	15	308	67,73	0,17	0,16	0,27	83	42	21	30	3	18	57,3
0,13	4,7	5,0	4,6	1,1	ZV318S_K303_0680 EZ303U	11	15	308	67,73	0,17	0,16	0,27	83	42	21	30	3	18	57,3
0,14	2,1	2,1	2,6	2,6	ZV318S_K303_0660 EZ301U	6,2	15	178	66,35	0,17	0,16	0,27	83	42	21	30	3	18	57,3
0,14	3,5	3,7	4,4	1,5	ZV318S_K303_0660 EZ302U	11	15	308	66,35	0,17	0,16	0,27	83	42	21	30	3	18	57,3
0,14	4,6	4,8	5,8	1,2	ZV318S_K303_0660 EZ303U	11	15	308	66,35	0,17	0,16	0,27	83	42	21	30	3	18	57,3
0,16	5,3	5,7	7,7	1,0	ZV318S_K302_0560 EZ401U	11	18	308	55,71	0,21	0,19	0,32	83	33	12	30	3	18	57,3
0,17	1,7	1,7	2,4	3,1	ZV318S_K303_0550 EZ301U	5,1	12	146	54,58	0,21	0,19	0,33	83	42	21	30	3	18	57,3
0,17	2,9	3,1	4,1	1,8	ZV318S_K303_0550 EZ302U	9,1	12	261	54,58	0,21	0,19	0,33	83	42	21	30	3	18	57,3
0,17	3,8	4,0	5,3	1,4	ZV318S_K303_0550 EZ303U	9,8	12	280	54,58	0,21	0,19	0,33	83	42	21	30	3	18	57,3
0,17	5,1	5,5	7,1	1,0	ZV318S_K303_0550 EZ401U	9,8	12	280	54,58	0,21	0,19	0,33	83	42	21	30	3	18	57,3
0,18	1,6	1,6	4,3	3,4	ZV318S_K302_0500 EZ301U	4,8	7,6	137	50,49	0,23	0,21	0,36	83	33	12	30	3	18	57,3
0,18	2,7	2,9	7,3	2,0	ZV318S_K302_0500 EZ302U	6,0	7,6	173	50,49	0,23	0,21	0,36	83	33	12	30	3	18	57,3
0,18	3,5	3,7	9,6	1,5	ZV318S_K302_0500 EZ303U	6,0	7,6	173	50,49	0,23	0,21	0,36	83	33	12	30	3	18	57,3
0,18	4,8	5,1	13	1,1	ZV318S_K302_0500 EZ401U	6,0	7,6	173	50,49	0,23	0,21	0,36	83	33	12	30	3	18	57,3
0,18	1,5	1,6	2,6	3,5	ZV318S_K303_0490 EZ301U	4,6	11	132	49,26	0,23	0,21	0,37	83	42	21	30	3	18	57,3
0,18	2,6	2,8	4,5	2,0	ZV318S_K303_0490 EZ302U	8,2	11	235	49,26	0,23	0,21	0,37	83	42	21	30	3	18	57,3
0,18	3,4	3,6	5,8	1,6	ZV318S_K303_0490 EZ303U	8,8	11	253	49,26	0,23	0,21	0,37	83	42	21	30	3	18	57,3
0,18	4,6	4,9	7,8	1,2	ZV318S_K303_0490 EZ401U	8,8	11	253	49,26	0,23	0,21	0,37	83	42	21	30	3	18	57,3
0,20	4,4	4,7	5,7	1,2	ZV318S_K302_0460 EZ401U	11	24	308	46,23	0,25	0,23	0,39	83	33	12	30	3	18	57,3
0,22	3,8	4,1	9,8	1,4	ZV318S_K302_0410 EZ401U	8,1	13	231	40,51	0,28	0,26	0,44	83	33	12	30	3	18	57,3
0,25	5,1	5,6	8,2	1,0	ZV318S_K303_0360 EZ501U	11	22	308	35,83	0,32	0,29	0,50	83	42	21	30	3	18	57,3
0,26	3,3	3,5	5,5	1,6	ZV318S_K302_0350 EZ401U	10	24	286	34,73	0,33	0,30	0,52	83	33	12	30	3	18	57,3
0,26	5,1	5,5	8,4	1,1	ZV318S_K302_0350 EZ501U	11	24	308	34,73	0,33	0,30	0,52	83	33	12	30	3	18	57,3
0,27	3,2	3,4	7,2	1,7	ZV318S_K302_0340 EZ401U	9,7	17	277	33,62	0,34	0,31	0,54	83	33	12	30	3	18	57,3
0,27	4,9	5,3	11	1,1	ZV318S_K302_0340 EZ501U	10	17	300	33,62	0,34	0,31	0,54	83	33	12	30	3	18	57,3
0,28	4,7	5,1	8,3	1,1	ZV318S_K303_0330 EZ501U	11	20	308	32,65	0,35	0,32	0,55	83	42	21	30	3	18	57,3
0,32	2,6	2,8	5,6	2,0	ZV318S_K302_0280 EZ401U	8,0	24	230	27,88	0,41	0,38	0,65	83	33	12	30	3	18	57,3
0,32	4,1	4,4	8,5	1,3	ZV318S_K302_0280 EZ501U	11	24	308	27,88	0,41	0,38	0,65	83	33	12	30	3	18	57,3
0,32	4,4	4,9	9,3	1,2	ZV318S_K302_0280 EZ402U	11	24	308	27,88	0,41	0,38	0,65	83	33	12	30	3	18	57,3
0,36	2,4	2,6	5,6	2,2	ZV318S_K302_0250 EZ401U	7,3	21	208	25,26	0,45	0,42	0,71	83	33	12	30	3	18	57,3
0,36	3,7	4,0	8,6	1,4	ZV318S_K302_0250 EZ501U	11	21	308	25,26	0,45	0,42	0,71	83	33	12	30	3	18	57,3
0,36	4,0	4,4	9,4	1,3	ZV318S_K302_0250 EZ402U	11	21	308	25,26	0,45	0,42	0,71	83	33	12	30	3	18	57,3
0,39	2,2	2,4	5,6	2,4	ZV318S_K302_0230 EZ401U	6,7	23	192	23,29	0,49	0,45	0,77	83	33	12	30	3	18	57,3
0,39	3,4	3,7	8,7	1,6	ZV318S_K302_0230 EZ501U	11	23	308	23,29	0,49	0,45	0,77	83	33	12	30	3	18	57,3
0,39	3,7	4,1	9,5	1,4	ZV318S_K302_0230 EZ402U	11	23	308	23,29	0,49	0,45	0,77	83	33	12	30	3	18	57,3
0,44	1,9	2,1	5,7	2,8	ZV318S_K302_0200 EZ401U	5,8	18	167	20,28	0,56	0,52	0,89	83	33	12	30	3	18	57,3

v _{f2N}	F _{f2N}	F _{f2,0}	a _{th}	S	Typ	F _{f2accE}	F _{f2NOT,E}	M _{zaccE}	i	v _{f2maxDB}		v _{f2maxZB}	Δs	Δs _{redII}	Δs _{redI}	C _{lin}	m _n	z	d ₀
										EL1,2	EL3,4,5,6								
[m/s]	[kN]	[kN]				[kN]	[kN]	[Nm]		[m/s]	[m/s]	[m/s]	[μm]	[μm]	[μm]	[N/μm]	[mm]		[mm]
ZV3K3 (n_{1N} = 3000 min⁻¹, (F_{f2acc,max} = 11 kN)																			
0,44	3,0	3,2	8,8	1,8	ZV318S_K302_0200 EZ501U	11	18	308	20,28	0,56	0,52	0,89	83	33	12	30	3	18	57,3
0,44	3,2	3,6	9,6	1,7	ZV318S_K302_0200 EZ402U	11	18	308	20,28	0,56	0,52	0,89	83	33	12	30	3	18	57,3
0,44	4,7	5,9	14	1,1	ZV318S_K302_0200 EZ404U	11	18	308	20,28	0,56	0,52	0,89	83	33	12	30	3	18	57,3
0,44	5,1	5,5	15	1,0	ZV318S_K302_0200 EZ502U	11	18	308	20,28	0,56	0,52	0,89	83	33	12	30	3	18	57,3
0,44	5,1	5,7	15	1,0	ZV318S_K302_0200 EZ701U	11	24	308	20,28	0,56	0,52	0,89	83	33	12	30	3	18	57,3
0,52	1,6	1,8	5,8	3,2	ZV318S_K302_0175 EZ401U	5,0	18	143	17,29	0,61	0,54	0,87	83	33	12	30	3	18	57,3
0,52	2,5	2,8	8,9	2,1	ZV318S_K302_0175 EZ501U	9,4	18	268	17,29	0,61	0,54	0,87	83	33	12	30	3	18	57,3
0,52	2,8	3,0	9,7	1,9	ZV318S_K302_0175 EZ402U	9,4	18	268	17,29	0,61	0,54	0,87	83	33	12	30	3	18	57,3
0,52	4,0	5,0	14	1,3	ZV318S_K302_0175 EZ404U	11	18	308	17,29	0,61	0,54	0,87	83	33	12	30	3	18	57,3
0,52	4,3	4,7	15	1,2	ZV318S_K302_0175 EZ502U	11	18	308	17,29	0,61	0,54	0,87	83	33	12	30	3	18	57,3
0,52	4,3	4,9	15	1,2	ZV318S_K302_0175 EZ701U	11	24	308	17,29	0,61	0,54	0,87	83	33	12	30	3	18	57,3
0,53	1,6	1,7	5,8	3,3	ZV318S_K302_0170 EZ401U	4,9	16	140	16,94	0,67	0,62	1,06	83	33	12	30	3	18	57,3
0,53	2,5	2,7	8,9	2,2	ZV318S_K302_0170 EZ501U	9,2	16	263	16,94	0,67	0,62	1,06	83	33	12	30	3	18	57,3
0,53	2,7	3,0	9,7	2,0	ZV318S_K302_0170 EZ402U	9,2	16	263	16,94	0,67	0,62	1,06	83	33	12	30	3	18	57,3
0,53	4,0	4,9	14	1,3	ZV318S_K302_0170 EZ404U	11	16	308	16,94	0,67	0,62	1,06	83	33	12	30	3	18	57,3
0,53	4,2	4,6	15	1,3	ZV318S_K302_0170 EZ502U	11	16	308	16,94	0,67	0,62	1,06	83	33	12	30	3	18	57,3
0,53	4,2	4,8	15	1,3	ZV318S_K302_0170 EZ701U	11	24	308	16,94	0,67	0,62	1,06	83	33	12	30	3	18	57,3
0,65	1,3	1,4	5,9	4,0	ZV318S_K302_0140 EZ401U	4,0	14	115	13,94	0,75	0,67	1,08	83	33	12	30	3	18	57,3
0,65	2,0	2,2	9,0	2,6	ZV318S_K302_0140 EZ501U	7,5	14	216	13,94	0,75	0,67	1,08	83	33	12	30	3	18	57,3
0,65	2,2	2,5	9,9	2,4	ZV318S_K302_0140 EZ402U	7,5	14	216	13,94	0,75	0,67	1,08	83	33	12	30	3	18	57,3
0,65	3,3	4,1	15	1,6	ZV318S_K302_0140 EZ404U	11	14	308	13,94	0,75	0,67	1,08	83	33	12	30	3	18	57,3
0,65	3,5	3,8	16	1,5	ZV318S_K302_0140 EZ502U	11	14	308	13,94	0,75	0,67	1,08	83	33	12	30	3	18	57,3
0,65	3,5	3,9	16	1,5	ZV318S_K302_0140 EZ701U	9,4	24	270	13,94	0,75	0,67	1,08	83	33	12	30	3	18	57,3
0,65	4,6	5,2	20	1,2	ZV318S_K302_0140 EZ503U	11	14	308	13,94	0,75	0,67	1,08	83	33	12	30	3	18	57,3
0,72	1,2	1,3	5,9	4,5	ZV318S_K302_0125 EZ401U	3,6	13	104	12,58	0,84	0,74	1,19	83	33	12	30	3	18	57,3
0,72	1,8	2,0	9,1	2,9	ZV318S_K302_0125 EZ501U	6,8	13	195	12,58	0,84	0,74	1,19	83	33	12	30	3	18	57,3
0,72	2,0	2,2	10	2,7	ZV318S_K302_0125 EZ402U	6,8	13	195	12,58	0,84	0,74	1,19	83	33	12	30	3	18	57,3
0,72	2,9	3,7	15	1,8	ZV318S_K302_0125 EZ404U	10	13	293	12,58	0,84	0,74	1,19	83	33	12	30	3	18	57,3
0,72	3,2	3,4	16	1,7	ZV318S_K302_0125 EZ502U	10	13	293	12,58	0,84	0,74	1,19	83	33	12	30	3	18	57,3
0,72	3,2	3,5	16	1,7	ZV318S_K302_0125 EZ701U	8,5	24	244	12,58	0,84	0,74	1,19	83	33	12	30	3	18	57,3
0,72	4,1	4,7	21	1,3	ZV318S_K302_0125 EZ503U	10	13	293	12,58	0,84	0,74	1,19	83	33	12	30	3	18	57,3
0,72	5,1	6,1	25	1,0	ZV318S_K302_0125 EZ702U	11	24	308	12,58	0,84	0,74	1,19	83	33	12	30	3	18	57,3
0,78	1,1	1,2	6,0	4,8	ZV318S_K302_0115 EZ401U	3,3	12	96	11,61	0,83	0,72	1,16	83	33	12	30	3	18	57,3
0,78	1,7	1,8	9,2	3,2	ZV318S_K302_0115 EZ501U	6,3	12	180	11,61	0,83	0,72	1,16	83	33	12	30	3	18	57,3
0,78	1,8	2,0	10	2,9	ZV318S_K302_0115 EZ402U	6,3	12	180	11,61	0,83	0,72	1,16	83	33	12	30	3	18	57,3
0,78	2,7	3,4	15	2,0	ZV318S_K302_0115 EZ404U	9,4	12	270	11,61	0,83	0,72	1,16	83	33	12	30	3	18	57,3
0,78	2,9	3,1	16	1,8	ZV318S_K302_0115 EZ502U	9,4	12	270	11,61	0,83	0,72	1,16	83	33	12	30	3	18	57,3
0,78	2,9	3,3	16	1,8	ZV318S_K302_0115 EZ701U	7,9	24	225	11,61	0,83	0,72	1,16	83	33	12	30	3	18	57,3
0,78	3,8	4,4	21	1,4	ZV318S_K302_0115 EZ503U	9,4	12	270	11,61	0,83	0,72	1,16	83	33	12	30	3	18	57,3
0,78	4,7	5,7	26	1,1	ZV318S_K302_0115 EZ702U	11	24	308	11,61	0,83	0,72	1,16	83	33	12	30	3	18	57,3
0,78	5,3	6,3	29	1,0	ZV318S_K302_0115 EZ505U	11	24	308	11,61	0,83	0,72	1,16	83	33	12	30	3	18	57,3
0,89	1,5	1,6	9,3	3,6	ZV318S_K302_0100 EZ501U	5,5	10	157	10,14	1,04	0,92	1,48	83	33	12	30	3	18	57,3
0,89	1,6	1,8	10	3,3	ZV318S_K302_0100 EZ402U	5,5	10	157	10,14	1,04	0,92	1,48	83	33	12	30	3	18	57,3
0,89	2,4	3,0	15	2,2	ZV318S_K302_0100 EZ404U	8,2	10	236	10,14	1,04	0,92	1,48	83	33	12	30	3	18	57,3
0,89	2,5	2,7	16	2,1	ZV318S_K302_0100 EZ502U	8,2	10	236	10,14	1,04	0,92	1,48	83	33	12	30	3	18	57,3
0,89	2,5	2,8	16	2,1	ZV318S_K302_0100 EZ701U	6,9	24	197	10,14	1,04	0,92	1,48	83	33	12	30	3	18	57,3
0,89	3,3	3,8	21	1,6	ZV318S_K302_0100 EZ503U	8,2	10	236	10,14	1,04	0,92	1,48	83	33	12	30	3	18	57,3
0,89	4,1	4,9	26	1,3	ZV318S_K302_0100 EZ702U	11	24	308	10,14	1,04	0,92	1,48	83	33	12	30	3	18	57,3
0,89	4,6	5,5	29	1,1	ZV318S_K302_0100 EZ505U	11	24	308	10,14	1,04	0,92	1,48	83	33	12	30	3	18	57,3
0,97	2,3	2,6	16	2,2	ZV318S_K302_0093 EZ701U	6,3	24	180	9,267	1,04	0,91	1,46	83	33	12	30	3	18	57,3
0,97	3,8	4,5	26	1,4	ZV318S_K302_0093 EZ702U	11	24	308	9,267	1,04	0,91	1,46	83	33	12	30	3	18	57,3
0,97	4,2	5,0	29	1,2	ZV318S_K302_0093 EZ505U	11	24	308	9,267	1,04	0,91	1,46	83	33	12	30	3	18	57,3
1,07	1,2	1,3	9,9	4,0	ZV318S_K302_0084 EZ501U	4,6	8,6	131	8,444	1,14	1,00	1,60	83	33	12	30	3	18	57,3
1,07	1,3	1,5	11	3,7	ZV318S_K302_0084 EZ402U	4,6	8,6	131	8,444	1,14	1,00	1,60	83	33	12	30	3	18	57,3
1,07	2,0	2,5	16	2,5	ZV318S_K302_0084 EZ404U	6,9	8,6	197	8,444	1,14	1,00	1,60	83	33	12	30	3	18	57,3
1,07	2,1	2,3	17	2,3	ZV318S_K302_0084 EZ502U	6,9	8,6	197	8,444	1,14	1,00	1,60	83	33	12	30	3	18	57,3
1,07	2,1	2,4	16	2,3	ZV318S_K302_0084 EZ701U	5,7	21	164	8,444	1,14	1,00	1,60	83	33	12	30	3	18	57,3
1,07	2,8	3,2	22	1,8	ZV318S_K302_0084 EZ503U	6,9	8,6	197	8,444	1,14	1,00	1,60	83	33	12	30	3	18	57,3
1,07	3,4	4,1	26	1,4	ZV318S_K302_0084 EZ702U	11	21	308	8,444	1,14	1,00	1,60	83	33	12	30	3	18	57,3
1,07	3,9	4,6	30	1,3	ZV318S_K302_0084 EZ505U	11	21	308	8,444	1,14	1,00	1,60	83	33	12	30	3	18	57,3
1,07	4,7	5,9	36	1,1	ZV318S_K302_0084 EZ703U	11	21	308	8,444	1,14	1,00	1,60	83	33	12	30	3	18	57,3
1,22	1,9	2,1	16	2,6	ZV318S_K302_0074 EZ701U	5,0	19	143	7,391	1,10	0,93	1,62	83	33	12	30	3	18	57,3
1,22	3,0	3,6	27	1,6	ZV318S_K302_0074 EZ702U	10	19	294	7,391	1,10	0,93	1,62	83	33	12	30	3	18	57,3
1,22	3,4	4,0	30	1,4	ZV318S_K302_0074 EZ505U	11	19	308	7,391	1,10	0,93	1,62	83	33	12	30	3	18	57,3

12.2 Auswahltabelle 12 Zahnstangentriebe ZVK

v _{F2N}	F _{F2N}	F _{F2,0}	a _{th}	S	Typ	F _{F2acc}	F _{F2NOT,E}	M _{Zacc}	i	v _{F2maxDB}		v _{F2maxZB}	Δs	Δs _{redll}	Δs _{redl}	C _{lin}	m _n	z	d ₀
										EL1,2	EL3,4,5,6								
[m/s]	[kN]	[kN]				[kN]	[kN]	[Nm]		[m/s]	[m/s]	[m/s]	[μm]	[μm]	[μm]	[N/μm]	[mm]		[mm]
ZV3K3 (n_{1N} = 3000 min⁻¹, (F_{F2acc,max} = 11 kN)																			
1,22	4,1	5,2	37	1,1	ZV318S_K302_0074 EZ703U	11	19	308	7,391	1,10	0,93	1,62	83	33	12	30	3	18	57,3
1,34	1,7	1,9	17	2,7	ZV318S_K302_0067 EZ701U	4,6	17	131	6,740	1,42	1,25	2,00	83	33	12	30	3	18	57,3
1,34	2,7	3,3	27	1,7	ZV318S_K302_0067 EZ702U	9,4	17	268	6,740	1,42	1,25	2,00	83	33	12	30	3	18	57,3
1,34	3,1	3,7	30	1,5	ZV318S_K302_0067 EZ505U	11	17	308	6,740	1,42	1,25	2,00	83	33	12	30	3	18	57,3
1,34	3,8	4,7	37	1,2	ZV318S_K302_0067 EZ703U	11	17	308	6,740	1,42	1,25	2,00	83	33	12	30	3	18	57,3
1,50	1,5	1,7	17	2,9	ZV318S_K302_0060 EZ701U	4,1	15	116	6,000	1,35	1,15	2,00	83	33	12	30	3	18	57,3
1,50	2,4	2,9	27	1,8	ZV318S_K302_0060 EZ702U	8,3	15	239	6,000	1,35	1,15	2,00	83	33	12	30	3	18	57,3
1,50	2,7	3,3	30	1,6	ZV318S_K302_0060 EZ505U	11	15	308	6,000	1,35	1,15	2,00	83	33	12	30	3	18	57,3
1,50	3,4	4,2	37	1,3	ZV318S_K302_0060 EZ703U	11	15	308	6,000	1,35	1,15	2,00	83	33	12	30	3	18	57,3
1,50	4,3	6,1	48	1,0	ZV318S_K302_0060 EZ705U	11	24	308	6,000	1,35	1,15	2,00	83	33	12	30	3	18	57,3
1,67	1,3	1,5	17	3,2	ZV318S_K302_0054 EZ701U	3,6	14	104	5,375	1,51	1,28	2,23	83	33	12	30	3	18	57,3
1,67	2,2	2,6	27	2,0	ZV318S_K302_0054 EZ702U	7,5	14	214	5,375	1,51	1,28	2,23	83	33	12	30	3	18	57,3
1,67	2,5	2,9	31	1,7	ZV318S_K302_0054 EZ505U	11	14	308	5,375	1,51	1,28	2,23	83	33	12	30	3	18	57,3
1,67	3,0	3,8	38	1,4	ZV318S_K302_0054 EZ703U	11	14	308	5,375	1,51	1,28	2,23	83	33	12	30	3	18	57,3
2,06	1,1	1,2	17	3,6	ZV318S_K302_0044 EZ701U	3,0	11	85	4,364	1,86	1,58	2,75	83	33	12	30	3	18	57,3
2,06	1,8	2,1	28	2,2	ZV318S_K302_0044 EZ702U	6,1	11	174	4,364	1,86	1,58	2,75	83	33	12	30	3	18	57,3
2,06	2,0	2,4	31	2,0	ZV318S_K302_0044 EZ505U	8,9	11	254	4,364	1,86	1,58	2,75	83	33	12	30	3	18	57,3
2,06	2,4	3,1	38	1,6	ZV318S_K302_0044 EZ703U	8,9	11	254	4,364	1,86	1,58	2,75	83	33	12	30	3	18	57,3
2,06	3,1	4,5	49	1,3	ZV318S_K302_0044 EZ705U	11	24	308	4,364	1,86	1,58	2,75	83	33	12	30	3	18	57,3
2,25	1,0	1,1	17	3,9	ZV318S_K302_0040 EZ701U	2,7	10	78	4,000	2,03	1,73	3,00	83	33	12	30	3	18	57,3
2,25	1,6	2,0	28	2,4	ZV318S_K302_0040 EZ702U	5,6	10	159	4,000	2,03	1,73	3,00	83	33	12	30	3	18	57,3
2,25	1,8	2,2	31	2,1	ZV318S_K302_0040 EZ505U	8,1	10	233	4,000	2,03	1,73	3,00	83	33	12	30	3	18	57,3
2,25	2,2	2,8	38	1,7	ZV318S_K302_0040 EZ703U	8,1	10	233	4,000	2,03	1,73	3,00	83	33	12	30	3	18	57,3
2,25	2,9	4,1	50	1,3	ZV318S_K302_0040 EZ705U	11	24	306	4,000	2,03	1,73	3,00	83	33	12	30	3	18	57,3
ZV3K3 (n_{1N} = 4500 min⁻¹, (F_{F2acc,max} = 11 kN)																			
0,97	4,5	7,2	23	1,1	ZV318S_K302_0140 EZ505U	11	24	308	13,94	0,75	0,67	1,08	83	33	12	30	3	18	57,3
1,07	4,0	6,5	23	1,2	ZV318S_K302_0125 EZ505U	11	24	308	12,58	0,84	0,74	1,19	83	33	12	30	3	18	57,3
1,16	3,7	6,0	23	1,3	ZV318S_K302_0115 EZ505U	11	24	308	11,61	0,83	0,72	1,16	83	33	12	30	3	18	57,3
1,16	4,8	7,9	30	1,0	ZV318S_K302_0115 EZ703U	11	24	308	11,61	0,83	0,72	1,16	83	33	12	30	3	18	57,3
1,33	3,3	5,3	23	1,4	ZV318S_K302_0100 EZ505U	11	24	308	10,14	1,04	0,92	1,48	83	33	12	30	3	18	57,3
1,33	4,2	6,9	30	1,1	ZV318S_K302_0100 EZ703U	11	24	308	10,14	1,04	0,92	1,48	83	33	12	30	3	18	57,3
1,46	3,0	4,8	24	1,5	ZV318S_K302_0093 EZ505U	11	24	308	9,267	1,04	0,91	1,46	83	33	12	30	3	18	57,3
1,46	3,8	6,3	30	1,2	ZV318S_K302_0093 EZ703U	11	24	308	9,267	1,04	0,91	1,46	83	33	12	30	3	18	57,3
1,60	2,7	4,4	24	1,6	ZV318S_K302_0084 EZ505U	11	21	308	8,444	1,14	1,00	1,60	83	33	12	30	3	18	57,3
1,60	3,5	5,7	30	1,3	ZV318S_K302_0084 EZ703U	11	21	308	8,444	1,14	1,00	1,60	83	33	12	30	3	18	57,3
2,00	2,2	3,5	24	1,9	ZV318S_K302_0067 EZ505U	11	17	308	6,740	1,42	1,25	2,00	83	33	12	30	3	18	57,3
2,00	2,8	4,6	31	1,5	ZV318S_K302_0067 EZ703U	11	17	308	6,740	1,42	1,25	2,00	83	33	12	30	3	18	57,3
ZV3K3 (n_{1N} = 6000 min⁻¹, (F_{F2acc,max} = 11 kN)																			
0,13	4,0	4,3	2,5	1,3	ZV318S_K303_1360 EZ301U	11	24	308	136,0	0,08	0,08	0,13	83	42	21	30	3	18	57,3
0,17	3,2	3,5	2,4	1,6	ZV318S_K303_1090 EZ301U	10	24	292	109,2	0,10	0,10	0,17	83	42	21	30	3	18	57,3
0,20	2,7	2,9	2,5	2,0	ZV318S_K303_0910 EZ301U	8,5	20	244	91,23	0,13	0,12	0,20	83	42	21	30	3	18	57,3
0,20	4,6	5,1	4,2	1,2	ZV318S_K303_0910 EZ302U	11	20	308	91,23	0,13	0,12	0,20	83	42	21	30	3	18	57,3
0,23	2,4	2,5	3,1	2,3	ZV318S_K303_0790 EZ301U	7,4	18	213	79,42	0,14	0,13	0,23	83	42	21	30	3	18	57,3
0,23	4,0	4,5	5,2	1,3	ZV318S_K303_0790 EZ302U	11	18	308	79,42	0,14	0,13	0,23	83	42	21	30	3	18	57,3
0,23	5,2	6,0	6,8	1,0	ZV318S_K303_0790 EZ303U	11	18	308	79,42	0,14	0,13	0,23	83	42	21	30	3	18	57,3
0,26	2,1	2,2	3,2	2,5	ZV318S_K302_0690 EZ301U	6,6	10	189	69,43	0,16	0,15	0,26	83	33	12	30	3	18	57,3
0,26	3,5	3,9	5,5	1,5	ZV318S_K302_0690 EZ302U	8,3	10	238	69,43	0,16	0,15	0,26	83	33	12	30	3	18	57,3
0,26	4,6	5,3	7,1	1,2	ZV318S_K302_0690 EZ303U	8,3	10	238	69,43	0,16	0,15	0,26	83	33	12	30	3	18	57,3
0,27	2,0	2,1	2,5	2,6	ZV318S_K303_0680 EZ301U	6,3	15	181	67,73	0,17	0,16	0,27	83	42	21	30	3	18	57,3
0,27	3,4	3,8	4,2	1,6	ZV318S_K303_0680 EZ302U	11	15	308	67,73	0,17	0,16	0,27	83	42	21	30	3	18	57,3
0,27	4,4	5,1	5,4	1,2	ZV318S_K303_0680 EZ303U	11	15	308	67,73	0,17	0,16	0,27	83	42	21	30	3	18	57,3
0,27	5,2	6,3	6,4	1,0	ZV318S_K303_0680 EZ401U	11	15	308	67,73	0,17	0,16	0,27	83	42	21	30	3	18	57,3
0,27	2,0	2,1	3,1	2,7	ZV318S_K303_0660 EZ301U	6,2	15	178	66,35	0,17	0,16	0,27	83	42	21	30	3	18	57,3
0,27	3,3	3,7	5,3	1,6	ZV318S_K303_0660 EZ302U	11	15	308	66,35	0,17	0,16	0,27	83	42	21	30	3	18	57,3
0,27	4,3	5,0	6,9	1,2	ZV318S_K303_0660 EZ303U	11	15	308	66,35	0,17	0,16	0,27	83	42	21	30	3	18	57,3
0,27	5,1	6,2	8,1	1,0	ZV318S_K303_0660 EZ401U	11	15	308	66,35	0,17	0,16	0,27	83	42	21	30	3	18	57,3
0,32	4,3	5,3	6,3	1,2	ZV318S_K302_0560 EZ401U	11	18	308	55,71	0,21	0,19	0,32	83	33	12	30	3	18	57,3
0,33	1,6	1,7	2,5	3,3	ZV318S_K303_0550 EZ301U	5,1	12	146	54,58	0,21	0,19	0,33	83	42	21	30	3	18	57,3
0,33	2,7	3,1	4,2	1,9	ZV318S_K303_0550 EZ302U	9,1	12	261	54,58	0,21	0,19	0,33	83	42	21	30	3	18	57,3
0,33	3,6	4,1	5,5	1,5	ZV318S_K303_0550 EZ303U	9,8	12	280	54,58	0,21	0,19	0,33	83	42	21	30	3	18	57,3
0,33	4,2	5,1	6,5	1,3	ZV318S_K303_0550 EZ401U	9,8	12	280	54,58	0,21	0,19	0,33	83	42	21	30	3	18	57,3
0,36	1,5	1,6	4,1	3,5	ZV318S_K302_0500 EZ301U	4,8	7,6	137	50,49	0,23	0,21	0,36	83	33	12	30	3	18	57,3
0,36	2,6	2,9	6,9	2,1	ZV318S_K302_0500 EZ302U	6,0	7,6	173	50,49	0,23	0,21	0,36	83	33	12	30	3	18	57,3
0,36	3,4	3,8	9,1	1,6	ZV318S_K302_0500 EZ303U	6,0	7,6	173	50,49	0,23	0,21	0,36	83	33	12	30	3	18	57,3

v _{f2N}	F _{f2N}	F _{fz,0}	a _{th}	S	Typ	F _{fzaccE}	F _{fzNOT,E}	M _{zaccE}	i	v _{f2maxDB}		v _{f2maxZB}	Δs	Δs _{redII}	Δs _{redI}	C _{lin}	m _n	z	d ₀
										EL1,2	EL3,4,5,6								
[m/s]	[kN]	[kN]				[kN]	[kN]	[Nm]		[m/s]	[m/s]	[m/s]	[μm]	[μm]	[μm]	[N/μm]	[mm]		[mm]
ZV3K3 (n_n = 6000 min⁻¹, (F_{fzacc,max} = 11 kN)																			
0,36	3,9	4,8	11	1,4	ZV318S_K302_0500 EZ401U	6,0	7,6	173	50,49	0,23	0,21	0,36	83	33	12	30	3	18	57,3
0,37	1,5	1,6	3,1	3,6	ZV318S_K303_0490 EZ301U	4,6	11	132	49,26	0,23	0,21	0,37	83	42	21	30	3	18	57,3
0,37	2,5	2,8	5,3	2,2	ZV318S_K303_0490 EZ302U	8,2	11	235	49,26	0,23	0,21	0,37	83	42	21	30	3	18	57,3
0,37	3,2	3,7	6,9	1,7	ZV318S_K303_0490 EZ303U	8,8	11	253	49,26	0,23	0,21	0,37	83	42	21	30	3	18	57,3
0,37	3,8	4,6	8,1	1,4	ZV318S_K303_0490 EZ401U	8,8	11	253	49,26	0,23	0,21	0,37	83	42	21	30	3	18	57,3
0,39	3,6	4,4	5,5	1,5	ZV318S_K302_0460 EZ401U	11	24	308	46,23	0,25	0,23	0,39	83	33	12	30	3	18	57,3
0,39	5,3	6,9	8,2	1,0	ZV318S_K302_0460 EZ501U	11	24	308	46,23	0,25	0,23	0,39	83	33	12	30	3	18	57,3
0,40	5,1	6,6	8,1	1,0	ZV318S_K303_0450 EZ501U	11	24	308	44,89	0,25	0,23	0,40	83	42	21	30	3	18	57,3
0,44	3,2	3,8	8,0	1,7	ZV318S_K302_0410 EZ401U	8,1	13	231	40,51	0,28	0,26	0,44	83	33	12	30	3	18	57,3
0,44	4,7	6,0	12	1,1	ZV318S_K302_0410 EZ501U	8,1	13	231	40,51	0,28	0,26	0,44	83	33	12	30	3	18	57,3
0,44	4,8	6,7	12	1,1	ZV318S_K302_0410 EZ402U	8,1	13	231	40,51	0,28	0,26	0,44	83	33	12	30	3	18	57,3
0,46	4,4	5,8	8,1	1,2	ZV318S_K303_0390 EZ501U	11	24	308	39,19	0,29	0,27	0,46	83	42	21	30	3	18	57,3
0,50	4,1	5,3	8,2	1,3	ZV318S_K303_0360 EZ501U	11	22	308	35,83	0,32	0,29	0,50	83	42	21	30	3	18	57,3
0,52	2,7	3,3	5,6	2,0	ZV318S_K302_0350 EZ401U	10	24	286	34,73	0,33	0,30	0,52	83	33	12	30	3	18	57,3
0,52	4,0	5,2	8,3	1,3	ZV318S_K302_0350 EZ501U	11	24	308	34,73	0,33	0,30	0,52	83	33	12	30	3	18	57,3
0,52	4,1	5,8	8,6	1,3	ZV318S_K302_0350 EZ402U	11	24	308	34,73	0,33	0,30	0,52	83	33	12	30	3	18	57,3
0,54	2,6	3,2	5,9	2,0	ZV318S_K302_0340 EZ401U	9,7	17	277	33,62	0,34	0,31	0,54	83	33	12	30	3	18	57,3
0,54	3,9	5,0	8,7	1,4	ZV318S_K302_0340 EZ501U	10	17	300	33,62	0,34	0,31	0,54	83	33	12	30	3	18	57,3
0,54	4,0	5,6	9,0	1,3	ZV318S_K302_0340 EZ402U	10	17	300	33,62	0,34	0,31	0,54	83	33	12	30	3	18	57,3
0,55	3,7	4,8	8,3	1,4	ZV318S_K303_0330 EZ501U	11	20	308	32,65	0,35	0,32	0,55	83	42	21	30	3	18	57,3
0,65	2,2	2,6	5,8	2,5	ZV318S_K302_0280 EZ401U	8,0	24	230	27,88	0,41	0,38	0,65	83	33	12	30	3	18	57,3
0,65	3,2	4,2	8,5	1,7	ZV318S_K302_0280 EZ501U	11	24	308	27,88	0,41	0,38	0,65	83	33	12	30	3	18	57,3
0,65	3,3	4,6	8,8	1,6	ZV318S_K302_0280 EZ402U	11	24	308	27,88	0,41	0,38	0,65	83	33	12	30	3	18	57,3
0,65	4,9	7,4	13	1,1	ZV318S_K302_0280 EZ502U	11	24	308	27,88	0,41	0,38	0,65	83	33	12	30	3	18	57,3
0,65	4,9	7,5	13	1,1	ZV318S_K302_0280 EZ701U	11	24	308	27,88	0,41	0,38	0,65	83	33	12	30	3	18	57,3
0,71	2,0	2,4	5,8	2,7	ZV318S_K302_0250 EZ401U	7,3	21	208	25,26	0,45	0,42	0,71	83	33	12	30	3	18	57,3
0,71	2,9	3,8	8,6	1,8	ZV318S_K302_0250 EZ501U	11	21	308	25,26	0,45	0,42	0,71	83	33	12	30	3	18	57,3
0,71	3,0	4,2	8,8	1,8	ZV318S_K302_0250 EZ402U	11	21	308	25,26	0,45	0,42	0,71	83	33	12	30	3	18	57,3
0,71	4,4	6,7	13	1,2	ZV318S_K302_0250 EZ502U	11	21	308	25,26	0,45	0,42	0,71	83	33	12	30	3	18	57,3
0,71	4,4	6,8	13	1,2	ZV318S_K302_0250 EZ701U	11	21	308	25,26	0,45	0,42	0,71	83	33	12	30	3	18	57,3
0,71	5,0	7,2	15	1,1	ZV318S_K302_0250 EZ404U	11	21	308	25,26	0,45	0,42	0,71	83	33	12	30	3	18	57,3
0,71	5,3	9,1	16	1,0	ZV318S_K302_0250 EZ503U	11	21	308	25,26	0,45	0,42	0,71	83	33	12	30	3	18	57,3
0,77	1,8	2,2	5,8	2,9	ZV318S_K302_0230 EZ401U	6,7	23	192	23,29	0,49	0,45	0,77	83	33	12	30	3	18	57,3
0,77	2,7	3,5	8,6	2,0	ZV318S_K302_0230 EZ501U	11	23	308	23,29	0,49	0,45	0,77	83	33	12	30	3	18	57,3
0,77	2,8	3,9	8,9	1,9	ZV318S_K302_0230 EZ402U	11	23	308	23,29	0,49	0,45	0,77	83	33	12	30	3	18	57,3
0,77	4,1	6,2	13	1,3	ZV318S_K302_0230 EZ502U	11	23	308	23,29	0,49	0,45	0,77	83	33	12	30	3	18	57,3
0,77	4,1	6,2	13	1,3	ZV318S_K302_0230 EZ701U	11	24	308	23,29	0,49	0,45	0,77	83	33	12	30	3	18	57,3
0,77	4,6	6,6	15	1,2	ZV318S_K302_0230 EZ404U	11	23	308	23,29	0,49	0,45	0,77	83	33	12	30	3	18	57,3
0,77	4,9	8,4	16	1,1	ZV318S_K302_0230 EZ503U	11	23	308	23,29	0,49	0,45	0,77	83	33	12	30	3	18	57,3
0,89	1,6	1,9	5,9	3,3	ZV318S_K302_0200 EZ401U	5,8	18	167	20,28	0,56	0,52	0,89	83	33	12	30	3	18	57,3
0,89	2,3	3,0	8,7	2,3	ZV318S_K302_0200 EZ501U	11	18	308	20,28	0,56	0,52	0,89	83	33	12	30	3	18	57,3
0,89	2,4	3,4	9,0	2,2	ZV318S_K302_0200 EZ402U	11	18	308	20,28	0,56	0,52	0,89	83	33	12	30	3	18	57,3
0,89	3,6	5,4	13	1,5	ZV318S_K302_0200 EZ502U	11	18	308	20,28	0,56	0,52	0,89	83	33	12	30	3	18	57,3
0,89	3,6	5,4	13	1,5	ZV318S_K302_0200 EZ701U	11	24	308	20,28	0,56	0,52	0,89	83	33	12	30	3	18	57,3
0,89	4,0	5,8	15	1,3	ZV318S_K302_0200 EZ404U	11	18	308	20,28	0,56	0,52	0,89	83	33	12	30	3	18	57,3
0,89	4,3	7,3	16	1,2	ZV318S_K302_0200 EZ503U	11	18	308	20,28	0,56	0,52	0,89	83	33	12	30	3	18	57,3
0,89	4,9	9,8	18	1,1	ZV318S_K302_0200 EZ702U	11	24	308	20,28	0,56	0,52	0,89	83	33	12	30	3	18	57,3
1,06	1,3	1,6	6,0	3,8	ZV318S_K302_0170 EZ401U	4,9	16	140	16,94	0,67	0,62	1,06	83	33	12	30	3	18	57,3
1,06	2,0	2,5	8,9	2,5	ZV318S_K302_0170 EZ501U	9,2	16	263	16,94	0,67	0,62	1,06	83	33	12	30	3	18	57,3
1,06	2,0	2,8	9,1	2,5	ZV318S_K302_0170 EZ402U	9,2	16	263	16,94	0,67	0,62	1,06	83	33	12	30	3	18	57,3
1,06	3,0	4,5	14	1,7	ZV318S_K302_0170 EZ502U	11	16	308	16,94	0,67	0,62	1,06	83	33	12	30	3	18	57,3
1,06	3,0	4,5	14	1,7	ZV318S_K302_0170 EZ701U	11	24	308	16,94	0,67	0,62	1,06	83	33	12	30	3	18	57,3
1,06	3,3	4,8	15	1,5	ZV318S_K302_0170 EZ404U	11	16	308	16,94	0,67	0,62	1,06	83	33	12	30	3	18	57,3
1,06	3,6	6,1	16	1,4	ZV318S_K302_0170 EZ503U	11	16	308	16,94	0,67	0,62	1,06	83	33	12	30	3	18	57,3
1,06	4,1	8,2	19	1,2	ZV318S_K302_0170 EZ702U	11	24	308	16,94	0,67	0,62	1,06	83	33	12	30	3	18	57,3
ZV3K4 (n_n = 2000 min⁻¹, (F_{fzacc,max} = 13 kN)																			
1,68	5,3	8,0	64	1,0	ZV322S_K402_0044 EZ805U	13	24	472	4,364	2,18	1,85	3,19	102	41	15	34	3	22	70,0
1,83	4,8	7,3	65	1,1	ZV322S_K402_0040 EZ805U	13	22	459	4,000	2,38	2,02	3,48	102	41	15	34	3	22	70,0
ZV3K4 (n_n = 3000 min⁻¹, (F_{fzacc,max} = 15 kN)																			
0,05	5,5	5,7	2,4	1,2	ZV322S_K403_2180 EZ301U	15	24	508	218,2	0,06	0,06	0,09	102	51	25	34	3	22	70,0
0,06	4,6	4,7	2,0	1,4	ZV322S_K403_1810 EZ301U	14	28	485	181,4	0,07	0,07	0,11	102	51	25	34	3	22	70,0
0,08	3,5	3,5	2,0	1,9	ZV322S_K403_1360 EZ301U	10	23	364	136,1	0,10	0,09	0,15	102	51	25	34	3	22	70,0
0,08	5,9	6,2	3,4	1,1	ZV322S_K403_1360 EZ302U	15	23	540	136,1	0,10	0,09	0,15	102	51	25	34	3	22	70,0
0,10	2,8	2,8	2,0	2,4	ZV322S_K403_1090 EZ301U	8,3	20	291	108,8	0,12	0,11	0,19	102	51	25	34	3	22	70,0

12.2 Auswahltabelle 12 Zahnstangentriebe ZVK

v _{f2N}	F _{f2N}	F _{fz,0}	a _{th}	S	Typ	F _{fzaccE}	F _{fzNOT,E}	M _{zaccE}	i	v _{f2maxDB}		v _{f2maxZB}	Δs	Δs _{redll}	Δs _{redl}	C _{lin}	m _n	z	d ₀
										EL1,2	EL3,4,5,6								
[m/s]	[kN]	[kN]				[kN]	[kN]	[Nm]		[m/s]	[m/s]	[m/s]	[μm]	[μm]	[μm]	[N/μm]	[mm]		[mm]
ZV3K4 (n _{1N} = 3000 min ⁻¹ , (F _{fzacc,max} = 15 kN)																			
0,10	4,7	5,0	3,3	1,4	ZV322S_K403_1090 EZ302U	15	20	520	108,8	0,12	0,11	0,19	102	51	25	34	3	22	70,0
0,10	6,1	6,5	4,4	1,1	ZV322S_K403_1090 EZ303U	15	20	540	108,8	0,12	0,11	0,19	102	51	25	34	3	22	70,0
0,12	2,3	2,4	2,0	2,9	ZV322S_K403_0910 EZ301U	7,0	17	244	91,23	0,15	0,13	0,22	102	51	25	34	3	22	70,0
0,12	4,0	4,2	3,4	1,7	ZV322S_K403_0910 EZ302U	12	17	436	91,23	0,15	0,13	0,22	102	51	25	34	3	22	70,0
0,12	5,2	5,5	4,4	1,3	ZV322S_K403_0910 EZ303U	13	17	468	91,23	0,15	0,13	0,22	102	51	25	34	3	22	70,0
0,14	2,0	2,1	2,5	3,3	ZV322S_K403_0790 EZ301U	6,0	14	212	79,11	0,17	0,15	0,26	102	51	25	34	3	22	70,0
0,14	3,4	3,6	4,2	1,9	ZV322S_K403_0790 EZ302U	11	14	378	79,11	0,17	0,15	0,26	102	51	25	34	3	22	70,0
0,14	4,5	4,7	5,5	1,5	ZV322S_K403_0790 EZ303U	12	14	406	79,11	0,17	0,15	0,26	102	51	25	34	3	22	70,0
0,14	6,0	6,5	7,5	1,1	ZV322S_K403_0790 EZ401U	12	14	406	79,11	0,17	0,15	0,26	102	51	25	34	3	22	70,0
0,17	1,7	1,7	2,5	3,9	ZV322S_K403_0660 EZ301U	5,1	12	178	66,35	0,20	0,18	0,30	102	51	25	34	3	22	70,0
0,17	2,9	3,0	4,3	2,3	ZV322S_K403_0660 EZ302U	9,1	12	317	66,35	0,20	0,18	0,30	102	51	25	34	3	22	70,0
0,17	3,7	4,0	5,6	1,8	ZV322S_K403_0660 EZ303U	9,7	12	340	66,35	0,20	0,18	0,30	102	51	25	34	3	22	70,0
0,17	5,1	5,4	7,5	1,3	ZV322S_K403_0660 EZ401U	9,7	12	340	66,35	0,20	0,18	0,30	102	51	25	34	3	22	70,0
0,21	6,3	6,9	6,1	1,0	ZV322S_K403_0540 EZ501U	15	27	540	53,69	0,25	0,23	0,38	102	51	25	34	3	22	70,0
0,22	6,0	6,6	12	1,1	ZV322S_K402_0500 EZ501U	9,2	15	323	50,43	0,26	0,24	0,40	102	41	15	34	3	22	70,0
0,23	5,7	6,3	5,9	1,2	ZV322S_K403_0490 EZ501U	15	25	540	48,94	0,27	0,25	0,41	102	51	25	34	3	22	70,0
0,24	5,5	6,0	6,1	1,2	ZV322S_K402_0460 EZ501U	15	28	540	46,31	0,29	0,26	0,44	102	41	15	34	3	22	70,0
0,25	5,2	5,7	5,9	1,3	ZV322S_K403_0450 EZ501U	15	22	540	44,54	0,30	0,27	0,45	102	51	25	34	3	22	70,0
0,27	4,8	5,3	10	1,4	ZV322S_K402_0410 EZ501U	11	18	370	40,51	0,33	0,30	0,50	102	41	15	34	3	22	70,0
0,28	4,6	5,0	6,1	1,4	ZV322S_K403_0390 EZ501U	15	20	540	39,05	0,34	0,31	0,52	102	51	25	34	3	22	70,0
0,31	4,2	4,6	6,0	1,6	ZV322S_K403_0360 EZ501U	14	18	505	35,72	0,37	0,34	0,57	102	51	25	34	3	22	70,0
0,32	4,1	4,5	6,1	1,6	ZV322S_K402_0350 EZ501U	15	23	539	34,76	0,38	0,35	0,58	102	41	15	34	3	22	70,0
0,33	4,0	4,4	7,8	1,6	ZV322S_K402_0340 EZ501U	13	20	467	33,68	0,39	0,36	0,60	102	41	15	34	3	22	70,0
0,34	3,8	4,2	6,4	1,7	ZV322S_K403_0320 EZ501U	13	16	458	32,39	0,41	0,37	0,62	102	51	25	34	3	22	70,0
0,34	6,5	7,1	11	1,0	ZV322S_K403_0320 EZ502U	13	16	458	32,39	0,41	0,37	0,62	102	51	25	34	3	22	70,0
0,40	3,3	3,6	6,2	2,0	ZV322S_K402_0280 EZ501U	12	21	431	27,77	0,48	0,44	0,73	102	41	15	34	3	22	70,0
0,40	5,7	6,2	11	1,2	ZV322S_K402_0280 EZ502U	15	21	540	27,77	0,48	0,44	0,73	102	41	15	34	3	22	70,0
0,40	5,7	6,4	11	1,2	ZV322S_K402_0280 EZ701U	15	31	539	27,77	0,48	0,44	0,73	102	41	15	34	3	22	70,0
0,44	3,0	3,3	6,3	2,2	ZV322S_K402_0250 EZ501U	11	17	392	25,28	0,52	0,48	0,80	102	41	15	34	3	22	70,0
0,44	5,2	5,6	11	1,3	ZV322S_K402_0250 EZ502U	13	17	470	25,28	0,52	0,48	0,80	102	41	15	34	3	22	70,0
0,44	5,2	5,8	11	1,3	ZV322S_K402_0250 EZ701U	14	29	490	25,28	0,52	0,48	0,80	102	41	15	34	3	22	70,0
0,47	2,8	3,0	6,3	2,4	ZV322S_K402_0230 EZ501U	10	19	361	23,29	0,57	0,52	0,87	102	41	15	34	3	22	70,0
0,47	4,8	5,2	11	1,4	ZV322S_K402_0230 EZ502U	15	19	540	23,29	0,57	0,52	0,87	102	41	15	34	3	22	70,0
0,47	4,8	5,4	11	1,4	ZV322S_K402_0230 EZ701U	13	31	452	23,29	0,57	0,52	0,87	102	41	15	34	3	22	70,0
0,47	6,3	7,2	14	1,1	ZV322S_K402_0230 EZ503U	15	19	540	23,29	0,57	0,52	0,87	102	41	15	34	3	22	70,0
0,55	2,4	2,6	6,4	2,7	ZV322S_K402_0200 EZ501U	9,0	15	313	20,20	0,65	0,60	1,00	102	41	15	34	3	22	70,0
0,55	4,1	4,5	11	1,6	ZV322S_K402_0200 EZ502U	12	15	434	20,20	0,65	0,60	1,00	102	41	15	34	3	22	70,0
0,55	4,1	4,6	11	1,6	ZV322S_K402_0200 EZ701U	11	31	392	20,20	0,65	0,60	1,00	102	41	15	34	3	22	70,0
0,55	5,4	6,2	14	1,2	ZV322S_K402_0200 EZ503U	12	15	434	20,20	0,65	0,60	1,00	102	41	15	34	3	22	70,0
0,63	3,6	4,0	11	1,9	ZV322S_K402_0175 EZ701U	9,6	31	338	17,41	0,72	0,63	1,05	102	41	15	34	3	22	70,0
0,63	5,8	6,9	18	1,1	ZV322S_K402_0175 EZ702U	15	31	540	17,41	0,72	0,63	1,05	102	41	15	34	3	22	70,0
0,63	6,5	7,7	20	1,0	ZV322S_K402_0175 EZ505U	15	31	540	17,41	0,72	0,63	1,05	102	41	15	34	3	22	70,0
0,65	2,0	2,2	6,5	3,3	ZV322S_K402_0170 EZ501U	7,5	14	263	16,94	0,78	0,71	1,19	102	41	15	34	3	22	70,0
0,65	3,5	3,8	11	1,9	ZV322S_K402_0170 EZ502U	11	14	394	16,94	0,78	0,71	1,19	102	41	15	34	3	22	70,0
0,65	3,5	3,9	11	1,9	ZV322S_K402_0170 EZ701U	9,4	29	329	16,94	0,78	0,71	1,19	102	41	15	34	3	22	70,0
0,65	4,6	5,2	15	1,5	ZV322S_K402_0170 EZ503U	11	14	394	16,94	0,78	0,71	1,19	102	41	15	34	3	22	70,0
0,65	5,6	6,8	18	1,2	ZV322S_K402_0170 EZ702U	15	29	540	16,94	0,78	0,71	1,19	102	41	15	34	3	22	70,0
0,65	6,3	7,5	20	1,0	ZV322S_K402_0170 EZ505U	15	29	540	16,94	0,78	0,71	1,19	102	41	15	34	3	22	70,0
0,79	2,8	3,2	11	2,3	ZV322S_K402_0140 EZ701U	7,7	29	269	13,89	0,90	0,79	1,32	102	41	15	34	3	22	70,0
0,79	4,6	5,5	18	1,4	ZV322S_K402_0140 EZ702U	15	29	540	13,89	0,90	0,79	1,32	102	41	15	34	3	22	70,0
0,79	5,2	6,2	21	1,3	ZV322S_K402_0140 EZ505U	15	29	540	13,89	0,90	0,79	1,32	102	41	15	34	3	22	70,0
0,79	6,3	8,0	25	1,0	ZV322S_K402_0140 EZ703U	15	29	540	13,89	0,90	0,79	1,32	102	41	15	34	3	22	70,0
0,87	2,6	2,9	11	2,5	ZV322S_K402_0125 EZ701U	7,0	25	246	12,66	0,99	0,87	1,45	102	41	15	34	3	22	70,0
0,87	4,2	5,0	18	1,6	ZV322S_K402_0125 EZ702U	14	25	503	12,66	0,99	0,87	1,45	102	41	15	34	3	22	70,0
0,87	4,7	5,6	21	1,4	ZV322S_K402_0125 EZ505U	15	25	540	12,66	0,99	0,87	1,45	102	41	15	34	3	22	70,0
0,87	5,8	7,3	25	1,1	ZV322S_K402_0125 EZ703U	15	25	540	12,66	0,99	0,87	1,45	102	41	15	34	3	22	70,0
0,96	2,4	2,6	11	2,8	ZV322S_K402_0115 EZ701U	6,4	24	223	11,52	0,96	0,83	1,43	102	41	15	34	3	22	70,0
0,96	3,8	4,6	19	1,7	ZV322S_K402_0115 EZ702U	13	24	458	11,52	0,96	0,83	1,43	102	41	15	34	3	22	70,0
0,96	4,3	5,1	21	1,5	ZV322S_K402_0115 EZ505U	15	24	540	11,52	0,96	0,83	1,43	102	41	15	34	3	22	70,0
0,96	5,3	6,6	26	1,3	ZV322S_K402_0115 EZ703U	15	24	540	11,52	0,96	0,83	1,43	102	41	15	34	3	22	70,0
1,09	2,1	2,3	12	3,1	ZV322S_K402_0100 EZ701U	5,6	21	196	10,10	1,24	1,09	1,82	102	41	15	34	3	22	70,0
1,09	3,4	4,0	19	1,9	ZV322S_K402_0100 EZ702U	11	21	402	10,10	1,24	1,09	1,82	102	41	15	34	3	22	70,0
1,09	3,8	4,5	21	1,7	ZV322S_K402_0100 EZ505U	15	21	540	10,10	1,24	1,09	1,82	102	41	15	34	3	22	70,0
1,09	4,6	5,8	26	1,4	ZV322S_K402_0100 EZ703U	15	21	540	10,10	1,24	1,09	1,82	102	41	15	34	3	22	70,0

v _{f2N}	F _{f2N}	F _{fz,0}	a _{th}	S	Typ	F _{f2accE}	F _{f2NOT,E}	M _{zaccE}	i	v _{f2maxDB}		v _{f2maxZB}	Δs	Δs _{redII}	Δs _{redI}	C _{lin}	m _n	z	d ₀
										EL1,2	EL3,4,5,6								
[m/s]	[kN]	[kN]				[kN]	[kN]	[Nm]		[m/s]	[m/s]	[m/s]	[μm]	[μm]	[μm]	[N/μm]	[mm]		[mm]
ZV3K4 (n_{1N} = 3000 min⁻¹, (F_{f2acc,max} = 15 kN)																			
1,09	6,0	8,4	33	1,1	ZV322S_K402_0100 EZ705U	15	31	540	10,10	1,24	1,09	1,82	102	41	15	34	3	22	70,0
1,09	6,2	10	35	1,0	ZV322S_K402_0100 EZ802U	15	31	540	10,10	1,24	1,09	1,82	102	41	15	34	3	22	70,0
1,19	1,9	2,1	12	3,3	ZV322S_K402_0092 EZ701U	5,1	19	179	9,238	1,19	1,03	1,79	102	41	15	34	3	22	70,0
1,19	3,1	3,7	19	2,0	ZV322S_K402_0092 EZ702U	10	19	367	9,238	1,19	1,03	1,79	102	41	15	34	3	22	70,0
1,19	3,5	4,1	21	1,8	ZV322S_K402_0092 EZ505U	15	19	538	9,238	1,19	1,03	1,79	102	41	15	34	3	22	70,0
1,19	4,2	5,3	26	1,5	ZV322S_K402_0092 EZ703U	15	19	538	9,238	1,19	1,03	1,79	102	41	15	34	3	22	70,0
1,19	5,5	7,7	34	1,1	ZV322S_K402_0092 EZ705U	15	31	540	9,238	1,19	1,03	1,79	102	41	15	34	3	22	70,0
1,19	5,7	9,5	35	1,1	ZV322S_K402_0092 EZ802U	15	31	540	9,238	1,19	1,03	1,79	102	41	15	34	3	22	70,0
1,31	1,7	1,9	12	3,5	ZV322S_K402_0084 EZ701U	4,6	17	163	8,377	1,31	1,14	1,97	102	41	15	34	3	22	70,0
1,31	2,8	3,3	19	2,2	ZV322S_K402_0084 EZ702U	9,5	17	333	8,377	1,31	1,14	1,97	102	41	15	34	3	22	70,0
1,31	3,1	3,7	22	1,9	ZV322S_K402_0084 EZ505U	14	17	488	8,377	1,31	1,14	1,97	102	41	15	34	3	22	70,0
1,31	3,8	4,8	26	1,6	ZV322S_K402_0084 EZ703U	14	17	488	8,377	1,31	1,14	1,97	102	41	15	34	3	22	70,0
1,31	4,9	7,0	34	1,2	ZV322S_K402_0084 EZ705U	15	31	540	8,377	1,31	1,14	1,97	102	41	15	34	3	22	70,0
1,31	5,2	8,6	36	1,2	ZV322S_K402_0084 EZ802U	15	31	540	8,377	1,31	1,14	1,97	102	41	15	34	3	22	70,0
1,48	4,4	6,2	34	1,3	ZV322S_K402_0075 EZ705U	15	31	540	7,456	1,28	1,08	1,87	102	41	15	34	3	22	70,0
1,48	4,6	7,7	36	1,3	ZV322S_K402_0075 EZ802U	15	31	540	7,456	1,28	1,08	1,87	102	41	15	34	3	22	70,0
1,48	5,5	10	43	1,0	ZV322S_K402_0075 EZ803U	15	31	540	7,456	1,28	1,08	1,87	102	41	15	34	3	22	70,0
1,64	1,4	1,5	12	4,0	ZV322S_K402_0067 EZ701U	3,7	14	130	6,719	1,64	1,42	2,46	102	41	15	34	3	22	70,0
1,64	2,2	2,7	19	2,5	ZV322S_K402_0067 EZ702U	7,6	14	267	6,719	1,64	1,42	2,46	102	41	15	34	3	22	70,0
1,64	2,5	3,0	22	2,2	ZV322S_K402_0067 EZ505U	11	14	391	6,719	1,64	1,42	2,46	102	41	15	34	3	22	70,0
1,64	3,1	3,9	27	1,8	ZV322S_K402_0067 EZ703U	11	14	391	6,719	1,64	1,42	2,46	102	41	15	34	3	22	70,0
1,64	4,0	5,6	35	1,4	ZV322S_K402_0067 EZ705U	15	31	540	6,719	1,64	1,42	2,46	102	41	15	34	3	22	70,0
1,64	4,2	6,9	36	1,3	ZV322S_K402_0067 EZ802U	15	31	540	6,719	1,64	1,42	2,46	102	41	15	34	3	22	70,0
1,64	5,0	9,0	43	1,1	ZV322S_K402_0067 EZ803U	15	31	540	6,719	1,64	1,42	2,46	102	41	15	34	3	22	70,0
1,83	3,5	5,0	35	1,5	ZV322S_K402_0060 EZ705U	15	31	525	6,000	1,59	1,34	2,32	102	41	15	34	3	22	70,0
1,83	3,7	6,2	37	1,4	ZV322S_K402_0060 EZ802U	15	31	525	6,000	1,59	1,34	2,32	102	41	15	34	3	22	70,0
1,83	4,4	8,0	44	1,2	ZV322S_K402_0060 EZ803U	15	31	525	6,000	1,59	1,34	2,32	102	41	15	34	3	22	70,0
2,03	3,2	4,5	35	1,6	ZV322S_K402_0054 EZ705U	14	30	508	5,422	1,76	1,49	2,57	102	41	15	34	3	22	70,0
2,03	3,3	5,6	37	1,5	ZV322S_K402_0054 EZ802U	14	30	508	5,422	1,76	1,49	2,57	102	41	15	34	3	22	70,0
2,03	4,0	7,2	44	1,3	ZV322S_K402_0054 EZ803U	14	30	508	5,422	1,76	1,49	2,57	102	41	15	34	3	22	70,0
2,52	2,6	3,7	36	1,9	ZV322S_K402_0044 EZ705U	13	24	440	4,364	2,18	1,85	3,19	102	41	15	34	3	22	70,0
2,52	2,7	4,5	38	1,8	ZV322S_K402_0044 EZ802U	12	24	423	4,364	2,18	1,85	3,19	102	41	15	34	3	22	70,0
2,52	3,2	5,8	45	1,5	ZV322S_K402_0044 EZ803U	13	24	472	4,364	2,18	1,85	3,19	102	41	15	34	3	22	70,0
2,75	2,4	3,3	36	2,0	ZV322S_K402_0040 EZ705U	12	22	404	4,000	2,38	2,02	3,48	102	41	15	34	3	22	70,0
2,75	2,5	4,1	38	1,9	ZV322S_K402_0040 EZ802U	11	22	388	4,000	2,38	2,02	3,48	102	41	15	34	3	22	70,0
2,75	2,9	5,3	45	1,6	ZV322S_K402_0040 EZ803U	13	22	459	4,000	2,38	2,02	3,48	102	41	15	34	3	22	70,0
ZV3K4 (n_{1N} = 4500 min⁻¹, (F_{f2acc,max} = 15 kN)																			
0,71	6,1	9,9	16	1,1	ZV322S_K402_0230 EZ505U	15	31	540	23,29	0,57	0,52	0,87	102	41	15	34	3	22	70,0
0,82	5,3	8,6	16	1,2	ZV322S_K402_0200 EZ505U	15	31	540	20,20	0,65	0,60	1,00	102	41	15	34	3	22	70,0
0,82	5,9	19	18	1,1	ZV322S_K402_0200 EZ802U	15	31	540	20,20	0,65	0,60	1,00	102	41	15	34	3	22	70,0
0,95	4,6	7,4	16	1,4	ZV322S_K402_0175 EZ505U	15	31	540	17,41	0,72	0,63	1,05	102	41	15	34	3	22	70,0
0,95	5,1	17	18	1,3	ZV322S_K402_0175 EZ802U	15	31	540	17,41	0,72	0,63	1,05	102	41	15	34	3	22	70,0
0,95	5,8	9,6	21	1,1	ZV322S_K402_0175 EZ703U	15	31	540	17,41	0,72	0,63	1,05	102	41	15	34	3	22	70,0
0,97	4,5	7,2	16	1,5	ZV322S_K402_0170 EZ505U	15	29	540	16,94	0,78	0,71	1,19	102	41	15	34	3	22	70,0
0,97	4,9	16	18	1,3	ZV322S_K402_0170 EZ802U	15	31	540	16,94	0,78	0,71	1,19	102	41	15	34	3	22	70,0
0,97	5,7	9,4	21	1,2	ZV322S_K402_0170 EZ703U	15	29	540	16,94	0,78	0,71	1,19	102	41	15	34	3	22	70,0
1,19	3,7	5,9	17	1,7	ZV322S_K402_0140 EZ505U	15	29	540	13,89	0,90	0,79	1,32	102	41	15	34	3	22	70,0
1,19	4,0	13	18	1,5	ZV322S_K402_0140 EZ802U	15	31	540	13,89	0,90	0,79	1,32	102	41	15	34	3	22	70,0
1,19	4,7	7,7	21	1,3	ZV322S_K402_0140 EZ703U	15	29	540	13,89	0,90	0,79	1,32	102	41	15	34	3	22	70,0
1,30	3,3	5,4	17	1,8	ZV322S_K402_0125 EZ505U	15	25	540	12,66	0,99	0,87	1,45	102	41	15	34	3	22	70,0
1,30	3,7	12	19	1,6	ZV322S_K402_0125 EZ802U	15	31	540	12,66	0,99	0,87	1,45	102	41	15	34	3	22	70,0
1,30	4,2	7,0	21	1,4	ZV322S_K402_0125 EZ703U	15	25	540	12,66	0,99	0,87	1,45	102	41	15	34	3	22	70,0
1,30	5,8	11	29	1,0	ZV322S_K402_0125 EZ705U	15	31	540	12,66	0,99	0,87	1,45	102	41	15	34	3	22	70,0
1,43	3,0	4,9	17	1,9	ZV322S_K402_0115 EZ505U	15	24	540	11,52	0,96	0,83	1,43	102	41	15	34	3	22	70,0
1,43	3,4	11	19	1,7	ZV322S_K402_0115 EZ802U	15	31	540	11,52	0,96	0,83	1,43	102	41	15	34	3	22	70,0
1,43	3,9	6,4	22	1,5	ZV322S_K402_0115 EZ703U	15	24	540	11,52	0,96	0,83	1,43	102	41	15	34	3	22	70,0
1,43	5,2	9,6	29	1,1	ZV322S_K402_0115 EZ705U	15	31	540	11,52	0,96	0,83	1,43	102	41	15	34	3	22	70,0
1,63	2,7	4,3	17	2,1	ZV322S_K402_0100 EZ505U	15	21	540	10,10	1,24	1,09	1,82	102	41	15	34	3	22	70,0
1,63	2,9	9,7	19	1,9	ZV322S_K402_0100 EZ802U	15	31	540	10,10	1,24	1,09	1,82	102	41	15	34	3	22	70,0
1,63	3,4	5,6	22	1,6	ZV322S_K402_0100 EZ703U	15	21	540	10,10	1,24	1,09	1,82	102	41	15	34	3	22	70,0
1,63	4,6	8,4	29	1,2	ZV322S_K402_0100 EZ705U	15	31	540	10,10	1,24	1,09	1,82	102	41	15	34	3	22	70,0
1,79	2,4	3,9	17	2,2	ZV322S_K402_0092 EZ505U	15	19	538	9,238	1,19	1,03	1,79	102	41	15	34	3	22	70,0
1,79	2,7	8,8	19	2,0	ZV322S_K402_0092 EZ802U	15	31	540	9,238	1,19	1,03	1,79	102	41	15	34	3	22	70,0
1,79	3,1	5,1	22	1,7	ZV322S_K402_0092 EZ703U	15	19	538	9,238	1,19	1,03	1,79	102	41	15	34	3	22	70,0

12.2 Auswahltabelle 12 Zahnstangentriebe ZVK

v _{f2N}	F _{f2N}	F _{fz,0}	a _{th}	S	Typ	F _{f2accE}	F _{f2NOT,E}	M _{zaccE}	i	v _{f2maxDB}		v _{f2maxZB}	Δs	Δs _{redII}	Δs _{redI}	C _{lin}	m _n	z	d ₀
										EL1,2	EL3,4,5,6								
[m/s]	[kN]	[kN]				[kN]	[kN]	[Nm]		[m/s]	[m/s]	[m/s]	[μm]	[μm]	[μm]	[N/μm]	[mm]		[mm]
ZV3K4 (n_{1N} = 4500 min⁻¹, (F_{f2acc,max} = 15 kN)																			
1,79	4,2	7,7	30	1,3	ZV322S_K402_0092 EZ705U	15	31	540	9,238	1,19	1,03	1,79	102	41	15	34	3	22	70,0
1,97	2,2	3,6	17	2,4	ZV322S_K402_0084 EZ505U	14	17	488	8,377	1,31	1,14	1,97	102	41	15	34	3	22	70,0
1,97	2,4	8,0	19	2,1	ZV322S_K402_0084 EZ802U	15	31	540	8,377	1,31	1,14	1,97	102	41	15	34	3	22	70,0
1,97	2,8	4,6	22	1,9	ZV322S_K402_0084 EZ703U	14	17	488	8,377	1,31	1,14	1,97	102	41	15	34	3	22	70,0
1,97	3,8	7,0	30	1,4	ZV322S_K402_0084 EZ705U	15	31	540	8,377	1,31	1,14	1,97	102	41	15	34	3	22	70,0
2,46	1,8	2,8	18	2,7	ZV322S_K402_0067 EZ505U	11	14	391	6,719	1,64	1,42	2,46	102	41	15	34	3	22	70,0
2,46	2,0	6,4	20	2,5	ZV322S_K402_0067 EZ802U	15	31	540	6,719	1,64	1,42	2,46	102	41	15	34	3	22	70,0
2,46	2,3	3,7	23	2,2	ZV322S_K402_0067 EZ703U	11	14	391	6,719	1,64	1,42	2,46	102	41	15	34	3	22	70,0
2,46	3,1	5,6	30	1,6	ZV322S_K402_0067 EZ705U	15	31	540	6,719	1,64	1,42	2,46	102	41	15	34	3	22	70,0
ZV4K4 (n_{1N} = 2000 min⁻¹, (F_{f2acc,max} = 12 kN)																			
1,83	4,8	7,3	64	1,1	ZV418S_K402_0044 EZ805U	12	22	472	4,364	2,38	2,02	3,48	111	44	17	34	4	18	76,4
2,00	4,4	6,7	65	1,2	ZV418S_K402_0040 EZ805U	12	20	459	4,000	2,60	2,20	3,80	111	44	17	34	4	18	76,4
ZV4K4 (n_{1N} = 3000 min⁻¹, (F_{f2acc,max} = 15 kN)																			
0,04	6,3	6,5	2,9	1,1	ZV418S_K403_2720 EZ301U	12	19	445	271,6	0,05	0,05	0,08	111	56	28	34	4	18	76,4
0,06	5,1	5,2	2,4	1,4	ZV418S_K403_2180 EZ301U	13	22	508	218,2	0,07	0,06	0,10	111	56	28	34	4	18	76,4
0,07	4,2	4,3	2,0	1,6	ZV418S_K403_1810 EZ301U	13	26	485	181,4	0,08	0,07	0,12	111	56	28	34	4	18	76,4
0,09	3,2	3,2	2,0	2,2	ZV418S_K403_1360 EZ301U	9,5	21	364	136,1	0,11	0,10	0,16	111	56	28	34	4	18	76,4
0,09	5,4	5,7	3,4	1,3	ZV418S_K403_1360 EZ302U	15	21	573	136,1	0,11	0,10	0,16	111	56	28	34	4	18	76,4
0,11	2,5	2,6	2,0	2,7	ZV418S_K403_1090 EZ301U	7,6	18	291	108,8	0,13	0,12	0,20	111	56	28	34	4	18	76,4
0,11	4,3	4,6	3,3	1,6	ZV418S_K403_1090 EZ302U	14	18	520	108,8	0,13	0,12	0,20	111	56	28	34	4	18	76,4
0,11	5,6	6,0	4,4	1,2	ZV418S_K403_1090 EZ303U	15	18	558	108,8	0,13	0,12	0,20	111	56	28	34	4	18	76,4
0,13	2,1	2,2	2,0	3,3	ZV418S_K403_0910 EZ301U	6,4	15	244	91,23	0,16	0,15	0,24	111	56	28	34	4	18	76,4
0,13	3,6	3,8	3,4	1,9	ZV418S_K403_0910 EZ302U	11	15	436	91,23	0,16	0,15	0,24	111	56	28	34	4	18	76,4
0,13	4,7	5,0	4,4	1,5	ZV418S_K403_0910 EZ303U	12	15	468	91,23	0,16	0,15	0,24	111	56	28	34	4	18	76,4
0,13	6,4	6,8	5,9	1,1	ZV418S_K403_0910 EZ401U	12	15	468	91,23	0,16	0,15	0,24	111	56	28	34	4	18	76,4
0,15	1,8	1,9	2,5	3,8	ZV418S_K403_0790 EZ301U	5,5	13	212	79,11	0,18	0,17	0,28	111	56	28	34	4	18	76,4
0,15	3,1	3,3	4,2	2,2	ZV418S_K403_0790 EZ302U	9,9	13	378	79,11	0,18	0,17	0,28	111	56	28	34	4	18	76,4
0,15	4,1	4,3	5,5	1,7	ZV418S_K403_0790 EZ303U	11	13	406	79,11	0,18	0,17	0,28	111	56	28	34	4	18	76,4
0,15	5,5	5,9	7,5	1,3	ZV418S_K403_0790 EZ401U	11	13	406	79,11	0,18	0,17	0,28	111	56	28	34	4	18	76,4
0,18	1,5	1,6	2,5	4,5	ZV418S_K403_0660 EZ301U	4,6	11	178	66,35	0,22	0,20	0,33	111	56	28	34	4	18	76,4
0,18	2,6	2,8	4,3	2,6	ZV418S_K403_0660 EZ302U	8,3	11	317	66,35	0,22	0,20	0,33	111	56	28	34	4	18	76,4
0,18	3,4	3,6	5,6	2,0	ZV418S_K403_0660 EZ303U	8,9	11	340	66,35	0,22	0,20	0,33	111	56	28	34	4	18	76,4
0,18	4,6	5,0	7,5	1,5	ZV418S_K403_0660 EZ401U	8,9	11	340	66,35	0,22	0,20	0,33	111	56	28	34	4	18	76,4
0,22	6,1	6,6	8,1	1,1	ZV418S_K402_0560 EZ501U	13	22	508	55,71	0,26	0,24	0,40	111	44	17	34	4	18	76,4
0,22	5,8	6,3	6,1	1,2	ZV418S_K403_0540 EZ501U	15	25	573	53,69	0,27	0,25	0,41	111	56	28	34	4	18	76,4
0,24	5,5	6,0	12	1,3	ZV418S_K402_0500 EZ501U	8,5	14	323	50,43	0,29	0,26	0,44	111	44	17	34	4	18	76,4
0,25	5,3	5,8	5,9	1,3	ZV418S_K403_0490 EZ501U	15	23	573	48,94	0,29	0,27	0,45	111	56	28	34	4	18	76,4
0,26	5,1	5,5	6,1	1,4	ZV418S_K402_0460 EZ501U	15	26	573	46,31	0,31	0,29	0,48	111	44	17	34	4	18	76,4
0,27	4,8	5,2	5,9	1,4	ZV418S_K403_0450 EZ501U	15	21	573	44,54	0,32	0,30	0,49	111	56	28	34	4	18	76,4
0,30	4,4	4,8	10	1,6	ZV418S_K402_0410 EZ501U	9,7	16	370	40,51	0,36	0,33	0,54	111	44	17	34	4	18	76,4
0,31	4,2	4,6	6,1	1,7	ZV418S_K403_0390 EZ501U	14	18	552	39,05	0,37	0,34	0,56	111	56	28	34	4	18	76,4
0,34	3,8	4,2	6,0	1,8	ZV418S_K403_0360 EZ501U	13	17	505	35,72	0,40	0,37	0,62	111	56	28	34	4	18	76,4
0,34	6,6	7,2	10	1,1	ZV418S_K403_0360 EZ502U	13	17	505	35,72	0,40	0,37	0,62	111	56	28	34	4	18	76,4
0,35	3,8	4,1	6,1	1,8	ZV418S_K402_0350 EZ501U	14	21	539	34,76	0,41	0,38	0,63	111	44	17	34	4	18	76,4
0,35	6,5	7,1	10	1,1	ZV418S_K402_0350 EZ502U	15	21	573	34,76	0,41	0,38	0,63	111	44	17	34	4	18	76,4
0,35	6,5	7,3	10	1,1	ZV418S_K402_0350 EZ701U	15	29	573	34,76	0,41	0,38	0,63	111	44	17	34	4	18	76,4
0,36	3,7	4,0	7,8	1,9	ZV418S_K402_0340 EZ501U	12	19	467	33,68	0,43	0,39	0,65	111	44	17	34	4	18	76,4
0,36	6,3	6,8	13	1,1	ZV418S_K402_0340 EZ502U	12	19	467	33,68	0,43	0,39	0,65	111	44	17	34	4	18	76,4
0,36	6,3	7,1	13	1,1	ZV418S_K402_0340 EZ701U	12	19	467	33,68	0,43	0,39	0,65	111	44	17	34	4	18	76,4
0,37	3,5	3,8	6,4	2,0	ZV418S_K403_0320 EZ501U	12	15	458	32,39	0,45	0,41	0,68	111	56	28	34	4	18	76,4
0,37	6,0	6,5	11	1,2	ZV418S_K403_0320 EZ502U	12	15	458	32,39	0,45	0,41	0,68	111	56	28	34	4	18	76,4
0,43	3,0	3,3	6,2	2,3	ZV418S_K402_0280 EZ501U	11	20	431	27,77	0,52	0,48	0,79	111	44	17	34	4	18	76,4
0,43	5,2	5,6	11	1,3	ZV418S_K402_0280 EZ502U	15	20	573	27,77	0,52	0,48	0,79	111	44	17	34	4	18	76,4
0,43	5,2	5,9	11	1,3	ZV418S_K402_0280 EZ701U	14	29	539	27,77	0,52	0,48	0,79	111	44	17	34	4	18	76,4
0,43	6,8	7,8	14	1,0	ZV418S_K402_0280 EZ503U	15	20	573	27,77	0,52	0,48	0,79	111	44	17	34	4	18	76,4
0,48	2,8	3,0	6,3	2,5	ZV418S_K402_0250 EZ501U	10	15	392	25,28	0,57	0,52	0,87	111	44	17	34	4	18	76,4
0,48	4,8	5,1	11	1,5	ZV418S_K402_0250 EZ502U	12	15	470	25,28	0,57	0,52	0,87	111	44	17	34	4	18	76,4
0,48	4,8	5,3	11	1,5	ZV418S_K402_0250 EZ701U	13	26	490	25,28	0,57	0,52	0,87	111	44	17	34	4	18	76,4
0,48	6,2	7,1	14	1,1	ZV418S_K402_0250 EZ503U	12	15	470	25,28	0,57	0,52	0,87	111	44	17	34	4	18	76,4
0,52	2,5	2,8	6,3	2,7	ZV418S_K402_0230 EZ501U	9,5	18	361	23,29	0,62	0,57	0,95	111	44	17	34	4	18	76,4
0,52	4,4	4,7	11	1,6	ZV418S_K402_0230 EZ502U	14	18	542	23,29	0,62	0,57	0,95	111	44	17	34	4	18	76,4
0,52	4,4	4,9	11	1,6	ZV418S_K402_0230 EZ701U	12	29	452	23,29	0,62	0,57	0,95	111	44	17	34	4	18	76,4
0,52	5,7	6,6	14	1,2	ZV418S_K402_0230 EZ503U	14	18	542	23,29	0,62	0,57	0,95	111	44	17	34	4	18	76,4
0,59	2,2	2,4	6,4	3,1	ZV418S_K402_0200 EZ501U	8,2	14	313	20,20	0,71	0,65	1,09	111	44	17	34	4	18	76,4

v _{F2N}	F _{F2N}	F _{F2,0}	a _{th}	S	Typ	F _{F2accE}	F _{F2NOT,E}	M _{ZaccE}	i	v _{F2maxDB}		v _{F2maxZB}	Δs	Δs _{redII}	Δs _{redI}	C _{lin}	m _n	z	d ₀
										EL1,2	EL3,4,5,6								
[m/s]	[kN]	[kN]				[kN]	[kN]	[Nm]		[m/s]	[m/s]	[m/s]	[μm]	[μm]	[μm]	[N/μm]	[mm]		[mm]
ZV4K4 (n_{in} = 3000 min⁻¹, (F_{F2acc,max} = 15 kN)																			
0,59	3,8	4,1	11	1,8	ZV418S_K402_0200 EZ502U	11	14	434	20,20	0,71	0,65	1,09	111	44	17	34	4	18	76,4
0,59	3,8	4,3	11	1,8	ZV418S_K402_0200 EZ701U	10	29	392	20,20	0,71	0,65	1,09	111	44	17	34	4	18	76,4
0,59	5,0	5,7	14	1,4	ZV418S_K402_0200 EZ503U	11	14	434	20,20	0,71	0,65	1,09	111	44	17	34	4	18	76,4
0,59	6,2	7,4	18	1,1	ZV418S_K402_0200 EZ702U	15	29	573	20,20	0,71	0,65	1,09	111	44	17	34	4	18	76,4
0,59	6,9	8,2	20	1,0	ZV418S_K402_0200 EZ505U	15	29	573	20,20	0,71	0,65	1,09	111	44	17	34	4	18	76,4
0,69	3,3	3,7	11	2,1	ZV418S_K402_0175 EZ701U	8,8	29	338	17,41	0,78	0,69	1,15	111	44	17	34	4	18	76,4
0,69	5,3	6,4	18	1,3	ZV418S_K402_0175 EZ702U	15	29	573	17,41	0,78	0,69	1,15	111	44	17	34	4	18	76,4
0,69	6,0	7,1	20	1,2	ZV418S_K402_0175 EZ505U	15	29	573	17,41	0,78	0,69	1,15	111	44	17	34	4	18	76,4
0,71	1,8	2,0	6,5	3,8	ZV418S_K402_0170 EZ501U	6,9	13	263	16,94	0,85	0,78	1,30	111	44	17	34	4	18	76,4
0,71	3,2	3,4	11	2,2	ZV418S_K402_0170 EZ502U	10	13	394	16,94	0,85	0,78	1,30	111	44	17	34	4	18	76,4
0,71	3,2	3,6	11	2,2	ZV418S_K402_0170 EZ701U	8,6	27	329	16,94	0,85	0,78	1,30	111	44	17	34	4	18	76,4
0,71	4,2	4,8	15	1,7	ZV418S_K402_0170 EZ503U	10	13	394	16,94	0,85	0,78	1,30	111	44	17	34	4	18	76,4
0,71	5,2	6,2	18	1,3	ZV418S_K402_0170 EZ702U	15	27	573	16,94	0,85	0,78	1,30	111	44	17	34	4	18	76,4
0,71	5,8	6,9	20	1,2	ZV418S_K402_0170 EZ505U	15	27	573	16,94	0,85	0,78	1,30	111	44	17	34	4	18	76,4
0,86	2,6	2,9	11	2,7	ZV418S_K402_0140 EZ701U	7,1	26	269	13,89	0,98	0,86	1,44	111	44	17	34	4	18	76,4
0,86	4,2	5,1	18	1,6	ZV418S_K402_0140 EZ702U	14	26	552	13,89	0,98	0,86	1,44	111	44	17	34	4	18	76,4
0,86	4,8	5,6	21	1,5	ZV418S_K402_0140 EZ505U	15	26	573	13,89	0,98	0,86	1,44	111	44	17	34	4	18	76,4
0,86	5,8	7,3	25	1,2	ZV418S_K402_0140 EZ703U	15	26	573	13,89	0,98	0,86	1,44	111	44	17	34	4	18	76,4
0,95	2,4	2,7	11	2,9	ZV418S_K402_0125 EZ701U	6,4	23	246	12,66	1,07	0,95	1,58	111	44	17	34	4	18	76,4
0,95	3,9	4,6	18	1,8	ZV418S_K402_0125 EZ702U	13	23	503	12,66	1,07	0,95	1,58	111	44	17	34	4	18	76,4
0,95	4,3	5,1	21	1,6	ZV418S_K402_0125 EZ505U	15	23	573	12,66	1,07	0,95	1,58	111	44	17	34	4	18	76,4
0,95	5,3	6,7	25	1,3	ZV418S_K402_0125 EZ703U	15	23	573	12,66	1,07	0,95	1,58	111	44	17	34	4	18	76,4
0,95	6,8	9,7	33	1,0	ZV418S_K402_0125 EZ705U	15	29	573	12,66	1,07	0,95	1,58	111	44	17	34	4	18	76,4
1,04	2,2	2,4	11	3,1	ZV418S_K402_0115 EZ701U	5,8	22	223	11,52	1,04	0,90	1,56	111	44	17	34	4	18	76,4
1,04	3,5	4,2	19	1,9	ZV418S_K402_0115 EZ702U	12	22	458	11,52	1,04	0,90	1,56	111	44	17	34	4	18	76,4
1,04	3,9	4,7	21	1,7	ZV418S_K402_0115 EZ505U	15	22	573	11,52	1,04	0,90	1,56	111	44	17	34	4	18	76,4
1,04	4,8	6,1	26	1,4	ZV418S_K402_0115 EZ703U	15	22	573	11,52	1,04	0,90	1,56	111	44	17	34	4	18	76,4
1,04	6,2	8,8	33	1,1	ZV418S_K402_0115 EZ705U	15	29	573	11,52	1,04	0,90	1,56	111	44	17	34	4	18	76,4
1,04	6,5	11	35	1,0	ZV418S_K402_0115 EZ802U	15	29	573	11,52	1,04	0,90	1,56	111	44	17	34	4	18	76,4
1,19	1,9	2,1	12	3,4	ZV418S_K402_0100 EZ701U	5,1	19	196	10,10	1,35	1,19	1,98	111	44	17	34	4	18	76,4
1,19	3,1	3,7	19	2,1	ZV418S_K402_0100 EZ702U	11	19	402	10,10	1,35	1,19	1,98	111	44	17	34	4	18	76,4
1,19	3,5	4,1	21	1,9	ZV418S_K402_0100 EZ505U	15	19	573	10,10	1,35	1,19	1,98	111	44	17	34	4	18	76,4
1,19	4,2	5,3	26	1,5	ZV418S_K402_0100 EZ703U	15	19	573	10,10	1,35	1,19	1,98	111	44	17	34	4	18	76,4
1,19	5,5	7,7	33	1,2	ZV418S_K402_0100 EZ705U	15	29	573	10,10	1,35	1,19	1,98	111	44	17	34	4	18	76,4
1,19	5,7	9,5	35	1,1	ZV418S_K402_0100 EZ802U	15	29	573	10,10	1,35	1,19	1,98	111	44	17	34	4	18	76,4
1,30	1,7	1,9	12	3,6	ZV418S_K402_0092 EZ701U	4,7	18	179	9,238	1,30	1,13	1,95	111	44	17	34	4	18	76,4
1,30	2,8	3,4	19	2,2	ZV418S_K402_0092 EZ702U	9,6	18	367	9,238	1,30	1,13	1,95	111	44	17	34	4	18	76,4
1,30	3,2	3,8	21	2,0	ZV418S_K402_0092 EZ505U	14	18	538	9,238	1,30	1,13	1,95	111	44	17	34	4	18	76,4
1,30	3,9	4,9	26	1,6	ZV418S_K402_0092 EZ703U	14	18	538	9,238	1,30	1,13	1,95	111	44	17	34	4	18	76,4
1,30	5,0	7,1	34	1,2	ZV418S_K402_0092 EZ705U	15	29	573	9,238	1,30	1,13	1,95	111	44	17	34	4	18	76,4
1,30	5,2	8,7	35	1,2	ZV418S_K402_0092 EZ802U	15	29	573	9,238	1,30	1,13	1,95	111	44	17	34	4	18	76,4
1,43	1,6	1,8	12	3,8	ZV418S_K402_0084 EZ701U	4,3	16	163	8,377	1,43	1,24	2,15	111	44	17	34	4	18	76,4
1,43	2,6	3,1	19	2,4	ZV418S_K402_0084 EZ702U	8,7	16	333	8,377	1,43	1,24	2,15	111	44	17	34	4	18	76,4
1,43	2,9	3,4	22	2,1	ZV418S_K402_0084 EZ505U	13	16	488	8,377	1,43	1,24	2,15	111	44	17	34	4	18	76,4
1,43	3,5	4,4	26	1,7	ZV418S_K402_0084 EZ703U	13	16	488	8,377	1,43	1,24	2,15	111	44	17	34	4	18	76,4
1,43	4,5	6,4	34	1,3	ZV418S_K402_0084 EZ705U	15	29	573	8,377	1,43	1,24	2,15	111	44	17	34	4	18	76,4
1,43	4,7	7,9	36	1,3	ZV418S_K402_0084 EZ802U	15	29	573	8,377	1,43	1,24	2,15	111	44	17	34	4	18	76,4
1,43	5,7	10	42	1,1	ZV418S_K402_0084 EZ803U	15	29	573	8,377	1,43	1,24	2,15	111	44	17	34	4	18	76,4
1,61	4,0	5,7	34	1,4	ZV418S_K402_0075 EZ705U	15	29	564	7,456	1,40	1,18	2,04	111	44	17	34	4	18	76,4
1,61	4,2	7,0	36	1,4	ZV418S_K402_0075 EZ802U	15	29	564	7,456	1,40	1,18	2,04	111	44	17	34	4	18	76,4
1,61	5,0	9,1	43	1,2	ZV418S_K402_0075 EZ803U	15	29	564	7,456	1,40	1,18	2,04	111	44	17	34	4	18	76,4
1,79	1,3	1,4	12	4,4	ZV418S_K402_0067 EZ701U	3,4	13	130	6,719	1,79	1,55	2,68	111	44	17	34	4	18	76,4
1,79	2,0	2,5	19	2,7	ZV418S_K402_0067 EZ702U	7,0	13	267	6,719	1,79	1,55	2,68	111	44	17	34	4	18	76,4
1,79	2,3	2,7	22	2,4	ZV418S_K402_0067 EZ505U	10	13	391	6,719	1,79	1,55	2,68	111	44	17	34	4	18	76,4
1,79	2,8	3,5	27	2,0	ZV418S_K402_0067 EZ703U	10	13	391	6,719	1,79	1,55	2,68	111	44	17	34	4	18	76,4
1,79	3,6	5,2	35	1,5	ZV418S_K402_0067 EZ705U	14	29	545	6,719	1,79	1,55	2,68	111	44	17	34	4	18	76,4
1,79	3,8	6,3	36	1,5	ZV418S_K402_0067 EZ802U	14	29	545	6,719	1,79	1,55	2,68	111	44	17	34	4	18	76,4
1,79	4,5	8,2	43	1,2	ZV418S_K402_0067 EZ803U	14	29	545	6,719	1,79	1,55	2,68	111	44	17	34	4	18	76,4
2,00	3,2	4,6	35	1,7	ZV418S_K402_0060 EZ705U	14	29	525	6,000	1,73	1,47	2,53	111	44	17	34	4	18	76,4
2,00	3,4	5,7	37	1,6	ZV418S_K402_0060 EZ802U	14	29	525	6,000	1,73	1,47	2,53	111	44	17	34	4	18	76,4
2,00	4,1	7,3	44	1,3	ZV418S_K402_0060 EZ803U	14	29	525	6,000	1,73	1,47	2,53	111	44	17	34	4	18	76,4
2,21	2,9	4,2	35	1,8	ZV418S_K402_0054 EZ705U	13	28	508	5,422	1,92	1,62	2,80	111	44	17	34	4	18	76,4
2,21	3,1	5,1	37	1,7	ZV418S_K402_0054 EZ802U	13	28	508	5,422	1,92	1,62	2,80	111	44	17	34	4	18	76,4
2,21	3,7	6,6	44	1,4	ZV418S_K402_0054 EZ803U	13	28	508	5,422	1,92	1,62	2,80	111	44	17	34	4	18	76,4

12.2 Auswahltabelle 12 Zahnstangentriebe ZVK

v _{f2N}	F _{f2N}	F _{f2,0}	a _{th}	S	Typ	F _{f2accE}	F _{f2NOT,E}	M _{zaccE}	i	v _{f2maxDB}		v _{f2maxZB}	Δs	Δs _{redII}	Δs _{redI}	C _{lin}	m _n	z	d ₀
										EL1,2	EL3,4,5,6								
[m/s]	[kN]	[kN]				[kN]	[kN]	[Nm]		[m/s]	[m/s]	[m/s]	[μm]	[μm]	[μm]	[N/μm]	[mm]		[mm]
ZV4K4 (n_{1N} = 3000 min⁻¹, (F_{f2acc,max} = 15 kN)																			
2,75	2,4	3,3	36	2,1	ZV418S_K402_0044 EZ705U	12	22	440	4,364	2,38	2,02	3,48	111	44	17	34	4	18	76,4
2,75	2,5	4,1	38	2,0	ZV418S_K402_0044 EZ802U	11	22	423	4,364	2,38	2,02	3,48	111	44	17	34	4	18	76,4
2,75	2,9	5,3	45	1,6	ZV418S_K402_0044 EZ803U	12	22	472	4,364	2,38	2,02	3,48	111	44	17	34	4	18	76,4
3,00	2,2	3,1	36	2,2	ZV418S_K402_0040 EZ705U	11	20	404	4,000	2,60	2,20	3,80	111	44	17	34	4	18	76,4
3,00	2,3	3,8	38	2,1	ZV418S_K402_0040 EZ802U	10	20	388	4,000	2,60	2,20	3,80	111	44	17	34	4	18	76,4
3,00	2,7	4,9	45	1,7	ZV418S_K402_0040 EZ803U	12	20	459	4,000	2,60	2,20	3,80	111	44	17	34	4	18	76,4
ZV4K4 (n_{1N} = 4500 min⁻¹, (F_{f2acc,max} = 15 kN)																			
0,65	6,7	11	16	1,0	ZV418S_K402_0280 EZ505U	15	29	573	27,77	0,52	0,48	0,79	111	44	17	34	4	18	76,4
0,71	6,1	9,8	16	1,1	ZV418S_K402_0250 EZ505U	15	26	573	25,28	0,57	0,52	0,87	111	44	17	34	4	18	76,4
0,71	6,7	22	17	1,0	ZV418S_K402_0250 EZ802U	15	26	573	25,28	0,57	0,52	0,87	111	44	17	34	4	18	76,4
0,77	5,6	9,0	16	1,2	ZV418S_K402_0230 EZ505U	15	29	573	23,29	0,62	0,57	0,95	111	44	17	34	4	18	76,4
0,77	6,2	20	18	1,1	ZV418S_K402_0230 EZ802U	15	29	573	23,29	0,62	0,57	0,95	111	44	17	34	4	18	76,4
0,89	4,9	7,8	16	1,4	ZV418S_K402_0200 EZ505U	15	29	573	20,20	0,71	0,65	1,09	111	44	17	34	4	18	76,4
0,89	5,4	18	18	1,3	ZV418S_K402_0200 EZ802U	15	29	573	20,20	0,71	0,65	1,09	111	44	17	34	4	18	76,4
0,89	6,2	10	21	1,1	ZV418S_K402_0200 EZ703U	15	29	573	20,20	0,71	0,65	1,09	111	44	17	34	4	18	76,4
1,03	4,2	6,8	16	1,6	ZV418S_K402_0175 EZ505U	15	29	573	17,41	0,78	0,69	1,15	111	44	17	34	4	18	76,4
1,03	4,6	15	18	1,4	ZV418S_K402_0175 EZ802U	15	29	573	17,41	0,78	0,69	1,15	111	44	17	34	4	18	76,4
1,03	5,3	8,8	21	1,3	ZV418S_K402_0175 EZ703U	15	29	573	17,41	0,78	0,69	1,15	111	44	17	34	4	18	76,4
1,06	4,1	6,6	16	1,6	ZV418S_K402_0170 EZ505U	15	27	573	16,94	0,85	0,78	1,30	111	44	17	34	4	18	76,4
1,06	4,5	15	18	1,5	ZV418S_K402_0170 EZ802U	15	29	573	16,94	0,85	0,78	1,30	111	44	17	34	4	18	76,4
1,06	5,2	8,6	21	1,3	ZV418S_K402_0170 EZ703U	15	27	573	16,94	0,85	0,78	1,30	111	44	17	34	4	18	76,4
1,30	3,3	5,4	17	1,9	ZV418S_K402_0140 EZ505U	15	26	573	13,89	0,98	0,86	1,44	111	44	17	34	4	18	76,4
1,30	3,7	12	18	1,7	ZV418S_K402_0140 EZ802U	15	29	573	13,89	0,98	0,86	1,44	111	44	17	34	4	18	76,4
1,30	4,3	7,1	21	1,5	ZV418S_K402_0140 EZ703U	15	26	573	13,89	0,98	0,86	1,44	111	44	17	34	4	18	76,4
1,30	5,8	11	29	1,1	ZV418S_K402_0140 EZ705U	15	29	573	13,89	0,98	0,86	1,44	111	44	17	34	4	18	76,4
1,42	3,1	4,9	17	2,0	ZV418S_K402_0125 EZ505U	15	23	573	12,66	1,07	0,95	1,58	111	44	17	34	4	18	76,4
1,42	3,4	11	19	1,8	ZV418S_K402_0125 EZ802U	15	29	573	12,66	1,07	0,95	1,58	111	44	17	34	4	18	76,4
1,42	3,9	6,4	21	1,6	ZV418S_K402_0125 EZ703U	15	23	573	12,66	1,07	0,95	1,58	111	44	17	34	4	18	76,4
1,42	5,3	9,6	29	1,1	ZV418S_K402_0125 EZ705U	15	29	573	12,66	1,07	0,95	1,58	111	44	17	34	4	18	76,4
1,56	2,8	4,5	17	2,1	ZV418S_K402_0115 EZ505U	15	22	573	11,52	1,04	0,90	1,56	111	44	17	34	4	18	76,4
1,56	3,1	10	19	1,9	ZV418S_K402_0115 EZ802U	15	29	573	11,52	1,04	0,90	1,56	111	44	17	34	4	18	76,4
1,56	3,5	5,8	22	1,7	ZV418S_K402_0115 EZ703U	15	22	573	11,52	1,04	0,90	1,56	111	44	17	34	4	18	76,4
1,56	4,8	8,8	29	1,2	ZV418S_K402_0115 EZ705U	15	29	573	11,52	1,04	0,90	1,56	111	44	17	34	4	18	76,4
1,78	2,4	3,9	17	2,3	ZV418S_K402_0100 EZ505U	15	19	573	10,10	1,35	1,19	1,98	111	44	17	34	4	18	76,4
1,78	2,7	8,8	19	2,1	ZV418S_K402_0100 EZ802U	15	29	573	10,10	1,35	1,19	1,98	111	44	17	34	4	18	76,4
1,78	3,1	5,1	22	1,8	ZV418S_K402_0100 EZ703U	15	19	573	10,10	1,35	1,19	1,98	111	44	17	34	4	18	76,4
1,78	4,2	7,7	29	1,3	ZV418S_K402_0100 EZ705U	15	29	573	10,10	1,35	1,19	1,98	111	44	17	34	4	18	76,4
1,95	2,2	3,6	17	2,4	ZV418S_K402_0092 EZ505U	14	18	538	9,238	1,30	1,13	1,95	111	44	17	34	4	18	76,4
1,95	2,5	8,1	19	2,2	ZV418S_K402_0092 EZ802U	15	29	573	9,238	1,30	1,13	1,95	111	44	17	34	4	18	76,4
1,95	2,8	4,7	22	1,9	ZV418S_K402_0092 EZ703U	14	18	538	9,238	1,30	1,13	1,95	111	44	17	34	4	18	76,4
1,95	3,8	7,0	30	1,4	ZV418S_K402_0092 EZ705U	15	29	573	9,238	1,30	1,13	1,95	111	44	17	34	4	18	76,4
2,15	2,0	3,3	17	2,6	ZV418S_K402_0084 EZ505U	13	16	488	8,377	1,43	1,24	2,15	111	44	17	34	4	18	76,4
2,15	2,2	7,3	19	2,4	ZV418S_K402_0084 EZ802U	15	29	573	8,377	1,43	1,24	2,15	111	44	17	34	4	18	76,4
2,15	2,6	4,3	22	2,0	ZV418S_K402_0084 EZ703U	13	16	488	8,377	1,43	1,24	2,15	111	44	17	34	4	18	76,4
2,15	3,5	6,4	30	1,5	ZV418S_K402_0084 EZ705U	15	29	573	8,377	1,43	1,24	2,15	111	44	17	34	4	18	76,4
2,68	1,6	2,6	18	3,0	ZV418S_K402_0067 EZ505U	10	13	391	6,719	1,79	1,55	2,68	111	44	17	34	4	18	76,4
2,68	1,8	5,9	20	2,7	ZV418S_K402_0067 EZ802U	14	29	545	6,719	1,79	1,55	2,68	111	44	17	34	4	18	76,4
2,68	2,1	3,4	23	2,4	ZV418S_K402_0067 EZ703U	10	13	391	6,719	1,79	1,55	2,68	111	44	17	34	4	18	76,4
2,68	2,8	5,1	30	1,8	ZV418S_K402_0067 EZ705U	14	29	545	6,719	1,79	1,55	2,68	111	44	17	34	4	18	76,4

12.3 Maßzeichnungen

In diesem Kapitel finden Sie die Abmessungen der Zahnstangentriebe mit Synchron-Servomotoren EZ.

Das Maß a_z in den Maßtabellen gilt für Atlanta Zahnstangen. Allgemein gilt: $a_z = \frac{1}{2} d_0 + h_0 + x \cdot m_n$

Das Ritzel des Zahnstangentriebs ist schrägverzahnt (linkssteigend $19^\circ 31' 42''$). Die Ritzelverzahnungsqualität ist 5.

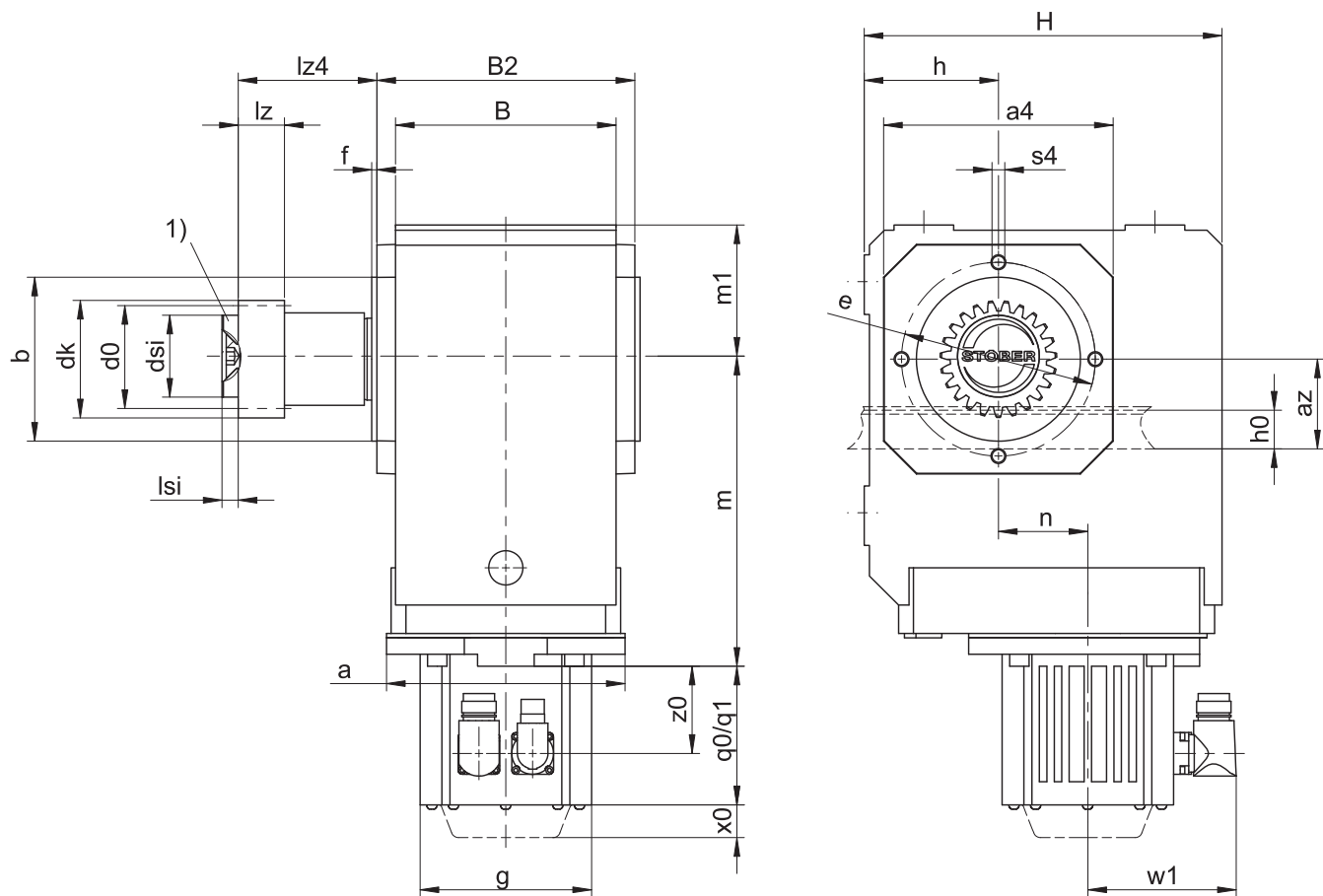
Maße können aufgrund von Gusstoleranzen bzw. Aufsummieren der Einzeltoleranzen die Vorgaben der ISO 2768-mK überschreiten.

Maßänderungen durch technische Weiterentwicklung behalten wir uns vor.

3D-Modelle unserer Standardantriebe können Sie unter <https://configurator.stoeber.de/de-DE/> herunterladen.

Kombinationsmöglichkeiten und Maße für fremdbelüftete Getriebemotoren finden Sie ebenfalls unter <https://configurator.stoeber.de/de-DE/>.

12.3.1 Ritzelposition E



qp0 Gilt für Motoren ohne Bremse.

x0 Gilt für Encoder mit optischem Messprinzip.

qp1 Gilt für Motoren mit Bremse.

w1 Abweichend bei One Cable Solution (OCS) siehe Kapitel [13.4](#)

1) Axiale Sicherung (Option)

Maße Getriebe

Typ	mn	az	□a4	Øb	B	B2	Ød0	Ødk	Ødsi	Øe	f	h	h0	H	lz	lz4	lsi	m1	s4	x
ZV220SEK1_	2	44,02	105	75 _{js}	90	106	42,44	47,90	30	90	3,0	60	22	160	26	50,5	6	60	M8	0,4
ZV225SEK2_	2	49,33	116	82 _{js}	115	134	53,05	58,52	45	100	3,0	65	22	190	26	67,5	8	65	M8	0,4
ZV318SEK2_	3	55,55	116	82 _{js}	115	134	57,30	65,01	45	100	3,0	65	26	190	31	67,5	8	65	M8	0,3
ZV225SEK3_	2	49,33	132	95 _{js}	130	146	53,05	58,52	45	115	3,0	75	22	213	26	68,5	8	75	M8	0,4
ZV318SEK3_	3	55,55	132	95 _{js}	130	146	57,30	65,01	45	115	3,0	75	26	213	31	68,5	8	75	M8	0,3
ZV322SEK4_	3	62,21	152	110 _{js}	148	173	70,03	78,35	55	130	3,5	90	26	240	31	93,0	10	90	M10	0,4
ZV418SEK4_	4	74,40	152	110 _{js}	148	173	76,40	86,77	55	130	3,5	90	35	240	41	93,0	10	90	M10	0,3

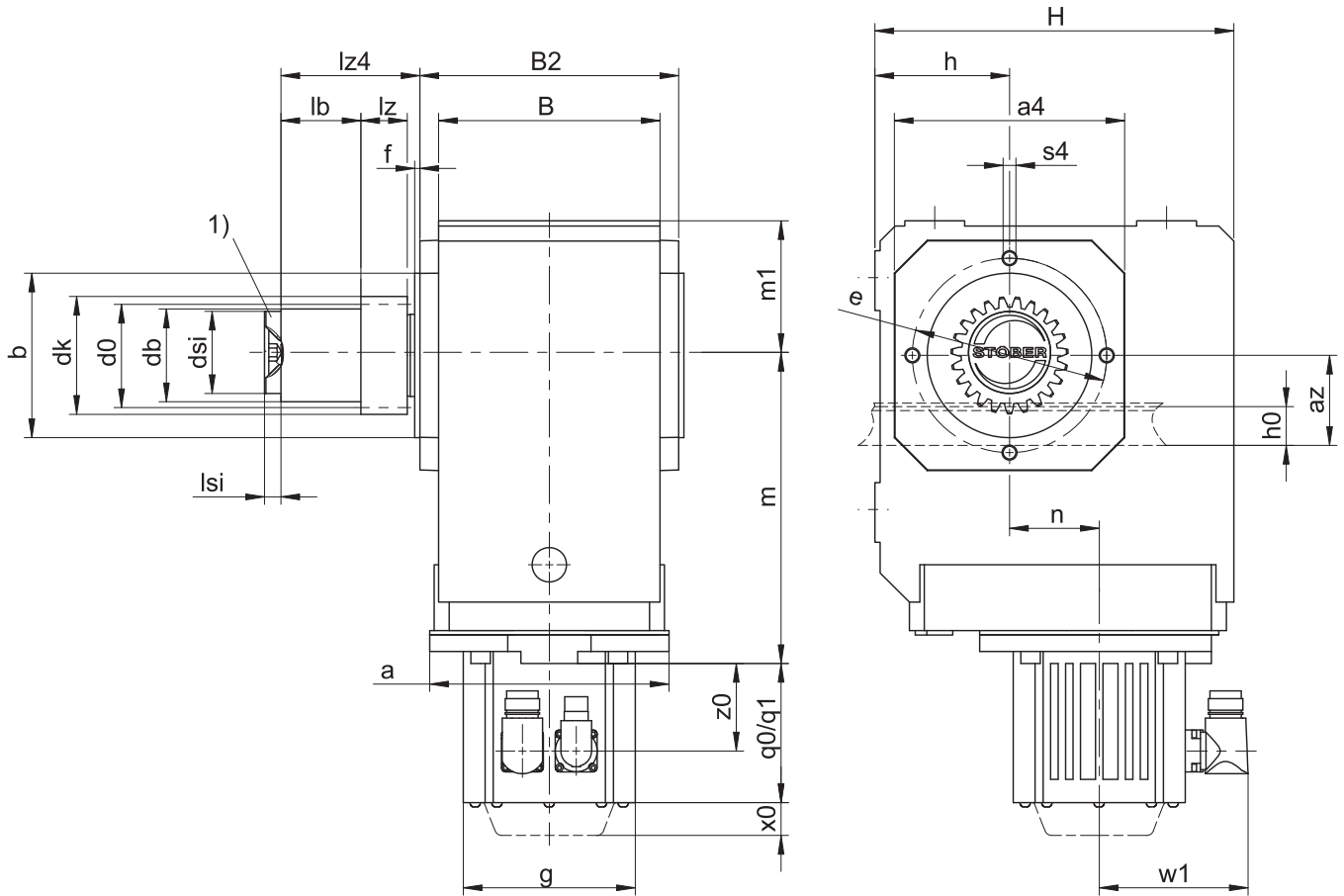
Maße Motoren

Typ	□g	q0	q1	w1	x0	z0
EZ202U	55	148,0	157,0	47,0	25	93,0
EZ203U	55	166,0	175,0	47,0	25	111,0
EZ301U	72	114,0	154,0	55,5	21	78,5
EZ302U	72	136,0	176,0	55,5	21	100,5
EZ303U	72	158,0	198,0	55,5	21	122,5
EZ401U	98	118,5	167,0	91,0	22	76,5
EZ402U	98	143,5	192,0	91,0	22	101,5
EZ404U	98	193,5	242,0	91,0	22	151,5
EZ501U	115	112,0	166,5	100,0	22	77,5
EZ502U	115	137,0	191,5	100,0	22	102,5
EZ503U	115	162,0	216,5	100,0	22	127,5
EZ505U	115	212,0	266,5	100,0	22	177,5
EZ701U	145	125,0	184,0	115,0	22	87,0
EZ702U	145	150,0	209,0	115,0	22	112,0
EZ703U	145	175,0	234,0	115,0	22	137,0
EZ705U	145	230,0	289,0	134,0	22	188,0
EZ802U	190	232,5	309,5	156,5	22	178,5
EZ803U	190	273,5	350,5	156,5	22	219,5
EZ805U	190	355,5	432,5	156,5	22	301,5

Maße Getriebemotoren

Typ	EZ2			EZ3			EZ4			EZ5			EZ7			EZ8		
	a	m	n	a	m	n	a	m	n	a	m	n	a	m	n	a	m	n
ZV_K102_	□55	124	36,0	□72	124	36,0	□98	124	36,0	□115	128	36,0	□145	130	36,0	-	-	-
ZV_K202_	-	-	-	□72	143	46,0	□98	143	46,0	□115	147	46,0	□145	149	46,0	-	-	-
ZV_K203_	-	-	-	∅140	180	46,0	∅140	180	46,0	-	-	-	-	-	-	-	-	-
ZV_K302_	-	-	-	∅140	163	52,5	∅140	163	52,5	□115	167	52,5	□145	169	52,5	-	-	-
ZV_K303_	-	-	-	∅140	200	52,5	∅140	200	52,5	∅160	210	16,0	-	-	-	-	-	-
ZV_K402_	-	-	-	-	-	-	-	-	-	∅160	187	60,0	□145	189	60,0	□190	192	60,0
ZV_K403_	-	-	-	∅140	220	60,0	∅140	220	60,0	∅160	230	23,0	-	-	-	-	-	-

12.3.2 Ritzelposition S



qp0 Gilt für Motoren ohne Bremse.

qp1 Gilt für Motoren mit Bremse.

x0 Gilt für Encoder mit optischem Messprinzip.

w1 Abweichend bei One Cable Solution (OCS) siehe Kapitel [13.4](#)

1) Axiale Sicherung (Option)

Maße Getriebe

Typ	mn	az	□a4	Øb	B	B2	Ød0	Ødb	Ødk	Ødsi	Øe	f	h	h0	H	lb	lz	lz4	lsi	m1	Øs4	x
ZV220SSK1_	2	44,02	105	75 _{f6}	90	106	42,44	38	47,90	30	90	3,0	60	22	160	12,5	26	50,5	6	60	M8	0,4
ZV225SSK2_	2	49,33	116	82 _{f6}	115	134	53,05	50	58,52	45	100	3,0	65	22	190	34,5	26	67,5	8	65	M8	0,4
ZV318SSK2_	3	55,55	116	82 _{f6}	115	134	57,30	50	65,01	45	100	3,0	65	26	190	29,5	31	67,5	8	65	M8	0,3
ZV225SSK3_	2	49,33	132	95 _{f6}	130	146	53,05	50	58,52	45	115	3,0	75	22	213	34,5	26	68,5	8	75	M8	0,4
ZV318SSK3_	3	55,55	132	95 _{f6}	130	146	57,30	50	65,01	45	115	3,0	75	26	213	29,5	31	68,5	8	75	M8	0,3
ZV322SSK4_	3	62,21	152	110 _{f6}	148	173	70,03	62	78,35	55	130	3,5	90	26	240	53,5	31	93,0	10	90	M10	0,4
ZV418SSK4_	4	74,40	152	110 _{f6}	148	173	76,40	62	86,77	55	130	3,5	90	35	240	43,5	41	93,0	10	90	M10	0,3

Maße Motoren

Typ	□g	q0	q1	w1	x0	z0
EZ202U	55	148,0	157,0	47,0	25	93,0
EZ203U	55	166,0	175,0	47,0	25	111,0
EZ301U	72	114,0	154,0	55,5	21	78,5
EZ302U	72	136,0	176,0	55,5	21	100,5
EZ303U	72	158,0	198,0	55,5	21	122,5
EZ401U	98	118,5	167,0	91,0	22	76,5
EZ402U	98	143,5	192,0	91,0	22	101,5
EZ404U	98	193,5	242,0	91,0	22	151,5
EZ501U	115	112,0	166,5	100,0	22	77,5
EZ502U	115	137,0	191,5	100,0	22	102,5
EZ503U	115	162,0	216,5	100,0	22	127,5
EZ505U	115	212,0	266,5	100,0	22	177,5
EZ701U	145	125,0	184,0	115,0	22	87,0
EZ702U	145	150,0	209,0	115,0	22	112,0
EZ703U	145	175,0	234,0	115,0	22	137,0
EZ705U	145	230,0	289,0	134,0	22	188,0
EZ802U	190	232,5	309,5	156,5	22	178,5
EZ803U	190	273,5	350,5	156,5	22	219,5
EZ805U	190	355,5	432,5	156,5	22	301,5

Maße Getriebemotoren

Typ	EZ2			EZ3			EZ4			EZ5			EZ7			EZ8		
	a	m	n	a	m	n	a	m	n	a	m	n	a	m	n	a	m	n
ZV_K102_	□55	124	36,0	□72	124	36,0	□98	124	36,0	□115	128	36,0	□145	130	36,0	-	-	-
ZV_K202_	-	-	-	□72	143	46,0	□98	143	46,0	□115	147	46,0	□145	149	46,0	-	-	-
ZV_K203_	-	-	-	∅140	180	46,0	∅140	180	46,0	-	-	-	-	-	-	-	-	-
ZV_K302_	-	-	-	∅140	163	52,5	∅140	163	52,5	□115	167	52,5	□145	169	52,5	-	-	-
ZV_K303_	-	-	-	∅140	200	52,5	∅140	200	52,5	∅160	210	16,0	-	-	-	-	-	-
ZV_K402_	-	-	-	-	-	-	-	-	-	∅160	187	60,0	□145	189	60,0	□190	192	60,0
ZV_K403_	-	-	-	∅140	220	60,0	∅140	220	60,0	∅160	230	23,0	-	-	-	-	-	-

12.4 Typenbezeichnung

In diesem Kapitel finden Sie die Erklärung der Typenbezeichnung mit den zugehörigen Optionen.

Weitere Bestellangaben, die nicht in der Typenbezeichnung vorkommen, finden Sie am Ende des Kapitels.

Beispiel-Code

Z	V	3	22	S	S	K	4	0	2	V	G	0084	EZ802U
---	---	---	----	---	---	---	---	---	---	---	---	------	--------

Erklärung

Code	Bezeichnung	Ausführung
Z	Typ	Zahnstangentrieb
V	Ausführung	Aufsteckritzel
3	Modul	$m_n = 3$ (Beispiel)
22	Zähnezahl	$z = 22$ (Beispiel)
S	Verzahnung	Schrägverzahnt (linkssteigend 19° 31' 42")
E	Ritzelposition	Wellenende
S		Wellenschulter
K	Typ	Kegelradgetriebe
4	Größe	4 (Beispiel)
0	Generation	Generation 0
1		Generation 1
2	Stufen	2-stufig
3		3-stufig
V	Welle	Vollwelle
G	Gehäuse	Gewindelochkreis
0084	Übersetzungskennzahl (i x 10 gerundet)	i = 8,377 (Beispiel)
EZ802U	Motor	Synchron-Servomotor EZ

Um die Typenbezeichnung zu vervollständigen, geben Sie bei Ihrer Bestellung zusätzlich an:

- Eine detaillierte Typenbezeichnung des Motors, siehe Kapitel [13](#)
- Einbaulage, siehe Kapitel [12.5.4](#)
- Anbau der Vollwelle: Getriebeseite 3 oder 4
- Gewindelochkreis: Getriebeseite 3 oder 4
- Drehspiel: Standard/Klasse II/Klasse I. Drehspiel Klasse II und Klasse I gegen Mehrpreis.
- Axiale Sicherung (Option), siehe Kapitel [12.3](#)
- Position der Steckverbinder, siehe Kapitel [12.5.6](#)

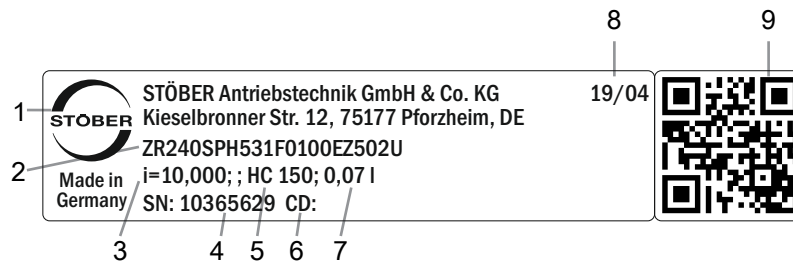
Die Erklärung der Getriebeseiten finden Sie im Kapitel [12.5.4](#)

In diesem Katalog finden Sie alle Informationen zu Zahnstangentrieben mit Synchron-Servomotoren EZ.

Alle auf Anfrage erhältlichen Eintriebsoptionen finden Sie im Kapitel [12.5.1](#).

12.4.1 Typenschild

In folgender Abbildung ist das Typenschild eines Getriebemotors als Beispiel erläutert.



Code	Bezeichnung
1	Herstellerbezeichnung
2	Typenbezeichnung
3	Übersetzung des Getriebes
4	Serialnummer des Getriebes
5	Schmierstoffspezifikation
6	Kundenspezifische Daten
7	Schmierstofffüllmenge
8	Herstellungsdatum (Jahr/Kalenderwoche)
9	QR-Code (Link zu Produktinformationen)

12.4.1.1 Mitgeltende Dokumente

Mitgeltende Dokumente für das Produkt können Sie ansehen oder herunterladen, wenn Sie die Seriennummer auf dem Typenschild des Produkts ablesen und sie im Internet unter folgender Adresse eingeben:

<https://id.stober.com>

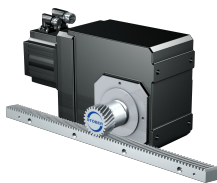
Alternativ können Sie mit einem geeigneten Mobilgerät den QR-Code auf dem Typenschild des Produkts einscannen, um dadurch zu den mitgeltenden Dokumenten verlinkt zu werden.

12.5 Produktbeschreibung

12.5.1 Eintriebsoptionen

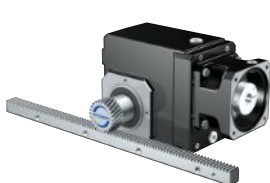
In diesem Kapitel finden Sie alle verfügbaren Eintriebsoptionen:

Synchron-Servomotor EZ



Katalog ID 443286_de

Motoradapter ME



Katalog ID 443137_de

Motoradapter MB



Auf Anfrage

Lean-Motor LM



Auf Anfrage

Die entsprechenden Kataloge finden Sie unter <http://www.stober.de/de/downloads/>

Geben Sie im Feld Suchbegriff die ID des Katalogs ein.

Zahnstangentriebe mit spielarmem K-Getriebe erhalten Sie ebenfalls auf Anfrage. Senden Sie uns hierzu eine Mail an sales@stober.de.

12.5.2 Zahnstange

Die im Kapitel Auswahltabellen angegebenen technischen Daten gelten nur für Zahnstangenpaarungen mit folgenden Eigenschaften:

Das Ritzel des Zahnstangentriebs ist einsatzgehärtet und schrägverzahnt (linkssteigend $19^{\circ} 31' 42''$). Die Ritzelverzahnungsqualität ist 6.

Die entsprechende Zahnstange muss rechtssteigend ($19^{\circ} 31' 42''$) sein und folgende Eigenschaften besitzen:

Modul m_n [mm]	Mindestqualität Zahnstange	Werkstoff Zahnstange
2 – 4	8	C45 induktiv gehärtet

Beachten Sie zusätzlich die Projektierung der Zahnstange auf den Atlanta-Seiten.

12.5.2.1 Ritzelposition

Das Ritzel kann in zwei verschiedenen Anbaupositionen auf der Welle befestigt werden:

- Verzahnung bündig mit Wellenende (Pos. E)
- Verzahnung bündig mit Wellenschulter (Pos. S: Höhere zulässige Vorschubkräfte, siehe Kapitel Auswahltabellen)

Bitte geben Sie die gewünschte Anbauposition bei der Bestellung an.

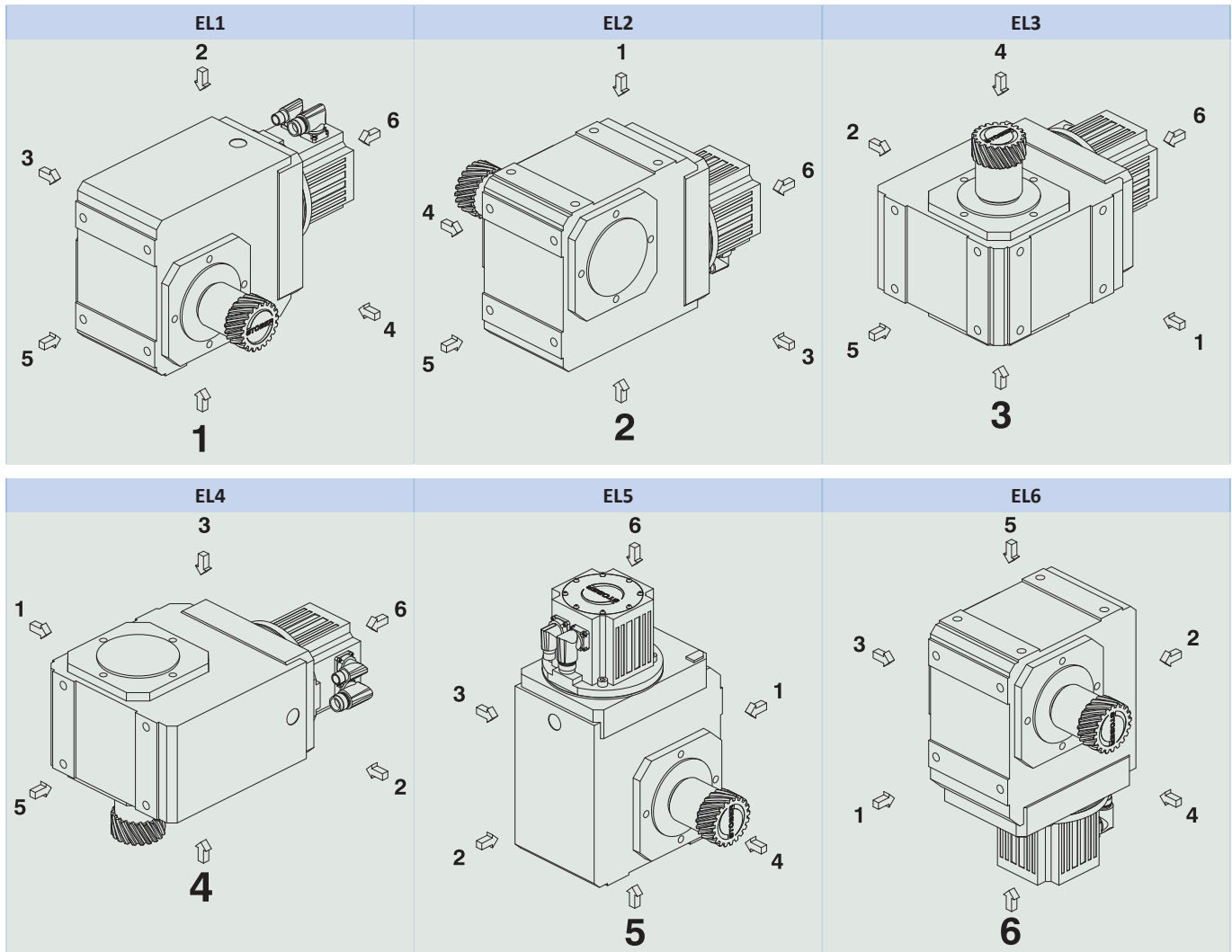
12.5.3 Einbaubedingungen

Die angegebenen Drehmomente und Kräfte gelten nur bei einer maschinenseitigen Befestigung der Getriebe mit Schrauben der Festigkeitsklasse 10.9. Zusätzlich müssen die Getriebegehäuse am Passrand eingepasst werden. Die maschinenseitige Passung muss H7 sein.

12.5.4 Einbaulagen

Die folgende Tabelle zeigt die Standard-Einbaulagen.

Die Zahlen kennzeichnen die Getriebeseiten. Die Einbaulage ist durch die nach unten weisende Getriebeseite definiert.



Da die Schmierstofffüllmenge der Getriebe von der Einbaulage abhängt, muss die Einbaulage bei der Bestellung angegeben werden.

12.5.5 Schmierstoffe

STÖBER füllt die Getriebe mit der auf dem Typenschild angegebenen Menge und Art des Schmierstoffs. Die Füllmenge und der Aufbau der Getriebe sind von der Einbaulage abhängig.

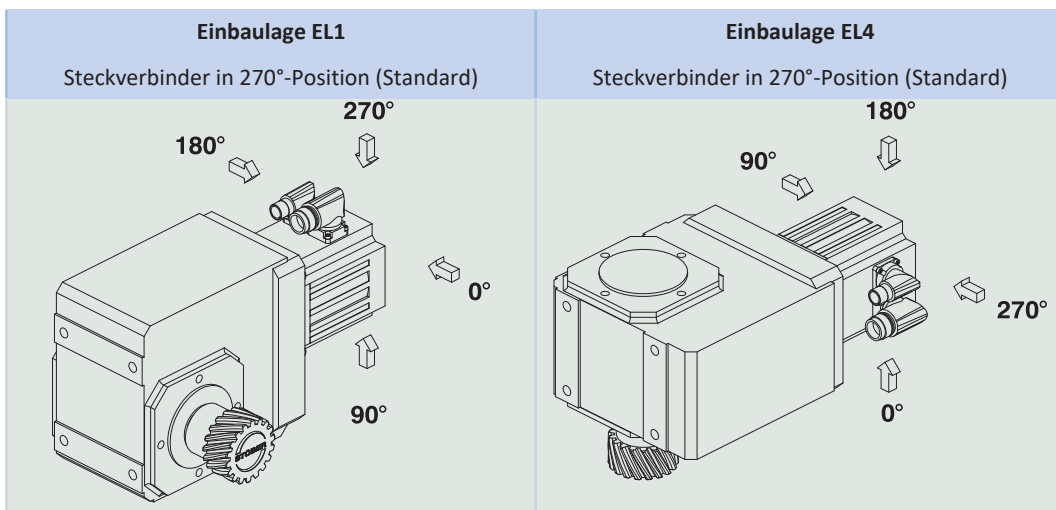
Setzen Sie die Getriebe nur in der dafür vorgesehenen Einbaulage ein! Bauen Sie die Getriebe nur nach vorheriger Rücksprache mit STÖBER um. Ansonsten übernimmt STÖBER keine Haftung für die Getriebe.

Schmierstoffe für den Einsatz in der Lebensmittelindustrie erhalten Sie auf Anfrage.

12.5.5.1 Schmierung Zahnstangentrieb

Stellen Sie eine permanente Schmierung des Zahnstangentriebs, mit den im Atlanta-Katalog vorgeschriebenen Schmierstoffen, sicher.

12.5.6 Position der Steckverbinder



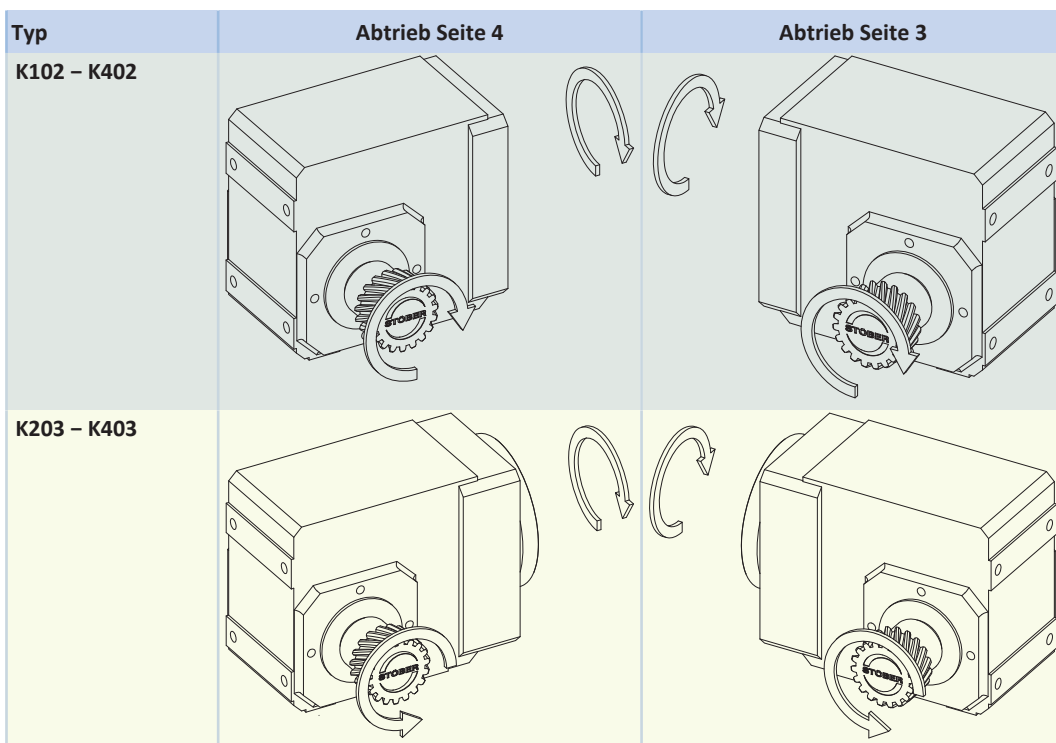
Die Steckverbinder befinden sich im Standard in der 270°-Position. Geben Sie Abweichungen für Ihren Zahnstangentrieb bei der Bestellung an.

Beachten Sie, dass sich die Steckverbinder mitdrehen, wenn die Zahnstange in eine andere Position gedreht wird.

12.5.7 Weitere Produktmerkmale

Merkmal	Wert
Max. zul. Getriebetemperatur (an der Getriebeoberfläche)	≤ 80 °C
Lackierung	Schwarz RAL 9005
(ATEX-) Richtlinie 2014/34/EU (Option)	Nicht geeignet.
Schutzart: ¹	
Planetengetriebe	IP65
Motor	IP56, optional IP66
Ritzel/Zahnstange	IPXX

12.5.8 Drehrichtung



Die Bilder zeigen die Einbaulage EL1.

¹ Beachten Sie die Schutzart aller Komponenten.

12.6 Projektierung

Projektieren Sie Ihre Antriebe mit unserer Auslegungssoftware SERVOSOFT. Laden Sie SERVOSOFT kostenlos unter <https://www.stoeber.de/de/ServoSoft> herunter.

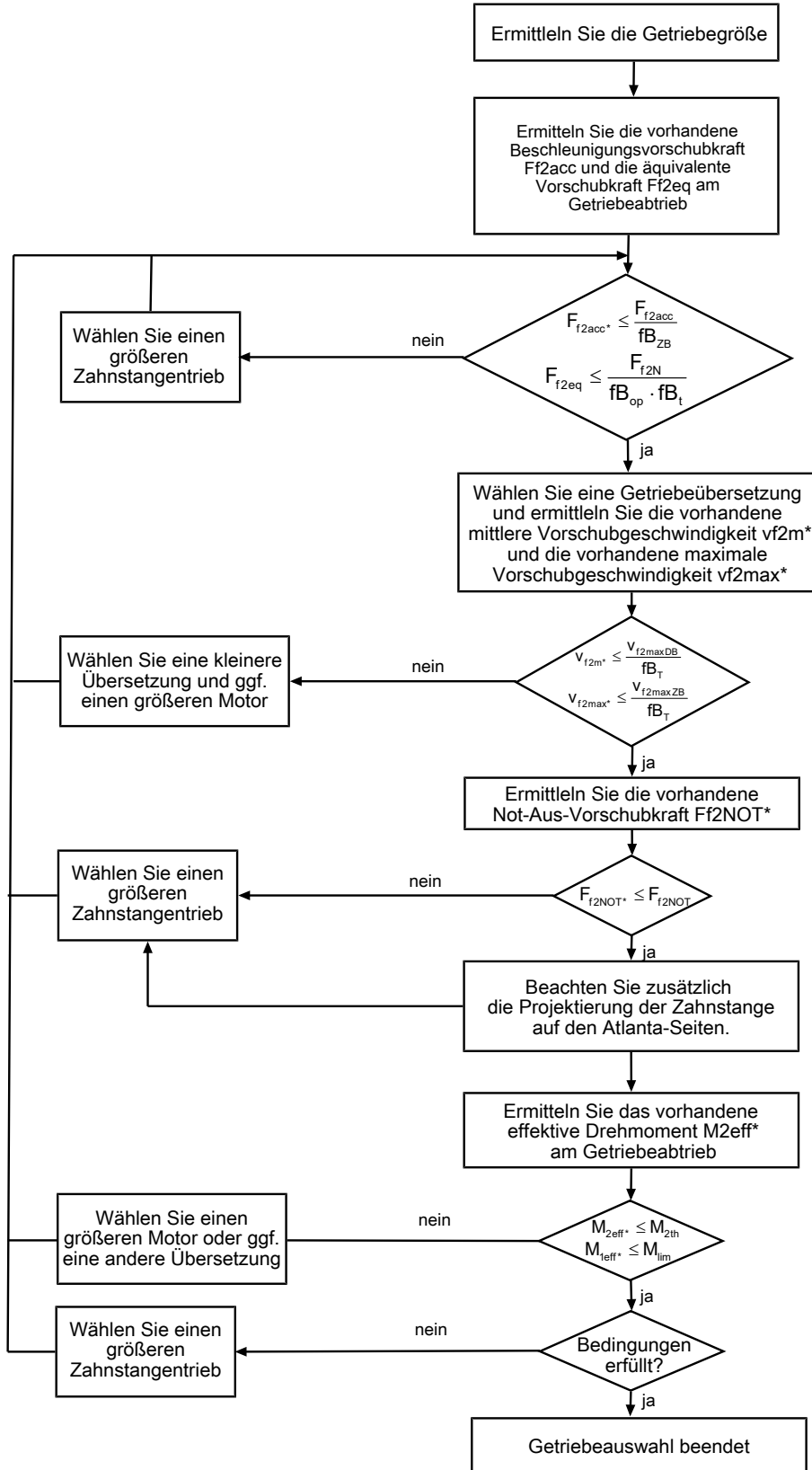
Dies ist die komfortabelste und sicherste Methode der Antriebsauswahl, da hier der komplette Drehmoment-Drehzahl-Verlauf der Anwendung in der Kennlinie des Getriebemotors dargestellt und beurteilt wird.

In diesem Kapitel können für die manuelle Antriebsauswahl nur Grenzwertbetrachtungen für konkrete Arbeitspunkte gemacht werden.

Die Formelzeichen für tatsächlich in der Anwendung vorhandene Werte sind mit einem * gekennzeichnet.

Die Erklärung der Formelzeichen finden Sie im Kapitel [▶ 15.1](#).

12.6.1 Antriebsauswahl

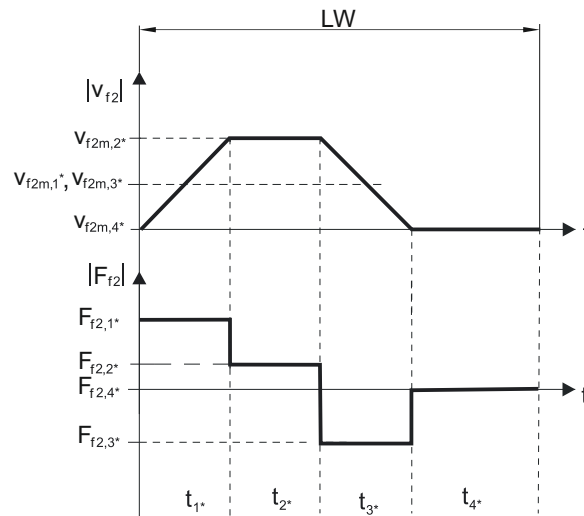


Entnehmen Sie die Werte für i , $v_{f2maxDB}$, $v_{f2maxZB}$, F_{f2acc} , F_{f2N} und F_{f2NOT} den Auswahltabellen.

Entnehmen Sie die Werte für fb_T , fb_{op} , fb_t und fb_{zb} den jeweiligen Tabellen in diesem Kapitel.

Beispiel Zyklusbetrieb

Die nachfolgenden Berechnungen beziehen sich auf eine Darstellung der am Abtrieb abgenommenen Leistung gemäß folgendem Beispiel:

**Berechnung der vorhandenen maximalen Beschleunigungsvorschubkraft**

$$F_{f2acc*} = m \cdot a^* + F_{L*}$$

Berechnung der vorhandenen mittleren Eintriebsdrehzahl

$$n_{1m*} = \frac{v_{f2m*} \cdot i}{d_0 \cdot \pi}$$

$$v_{f2m*} = \frac{|v_{f2m,1*}| \cdot t_{1*} + \dots + |v_{f2m,n*}| \cdot t_{n*}}{t_{1*} + \dots + t_{n*}}$$

Wenn $t_{1*} + \dots + t_{3*} \geq 6$ min, ermitteln Sie v_{2m*} ohne die Pause t_{4*} .

Entnehmen Sie die Werte für die Übersetzung i in den Auswahltabellen.

Berechnung der vorhandenen Not-Aus-Vorschubkraft

$$F_{f2NOT*} = m \cdot a_{NOT*} + F_{L*}$$

Berechnung der vorhandenen äquivalenten Vorschubkraft

$$F_{f2eq*} = \sqrt[3]{\frac{|v_{f2m,1*}| \cdot t_{1*} \cdot |F_{f2,1*}|^3 + \dots + |v_{f2m,n*}| \cdot t_{n*} \cdot |F_{f2,n*}|^3}{|v_{f2m,1*}| \cdot t_{1*} + \dots + |v_{f2m,n*}| \cdot t_{n*}}}$$

Berechnung des thermischen Grenzmoments

Berechnen Sie für eine Einschaltdauer $ED_{10} > 50$ % das thermische Grenzmoment M_{2th} für die vorhandene mittlere Eintriebsdrehzahl n_{1m*} . (Bei $K_{mot,th} \leq 0$ müssen Sie die mittlere Eintriebsdrehzahl n_{1m*} entsprechend reduzieren oder eine andere Baugröße des Getriebemotors wählen.)

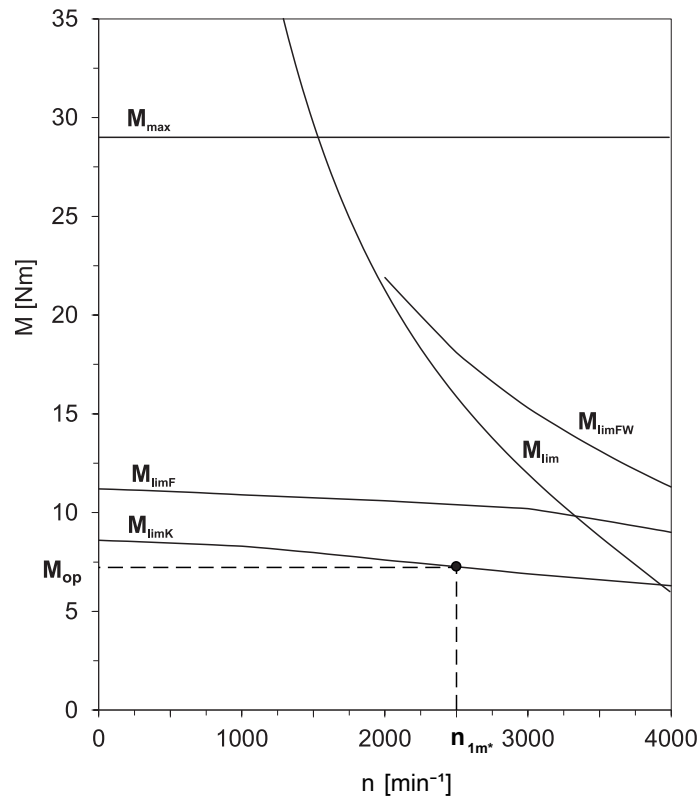
$$M_{2th} = M_{op} \cdot i \cdot K_{mot,th}$$

$$K_{mot,th} = 0,95 - \frac{a_{th}}{1000} \cdot a_{thEL} \cdot f_{BT} \cdot \left(\frac{n_{1m*}}{1000} \right)^2$$

Entnehmen Sie die Werte für i und a_{th} den Auswahltabellen.

Entnehmen Sie die Werte für a_{thEL} und f_{BT} der entsprechenden Tabelle in diesem Kapitel.

Entnehmen Sie der Motorkennlinie im Kapitel [13.3](#) den Wert für das Drehmoment des Motors im Arbeitspunkt M_{op} bei der ermittelten mittleren Eintriebsdrehzahl n_{1m*} . Beachten Sie dabei die Baugröße, Nenn-drehzahl n_n und Kühlungsart des Motors. Die nachfolgende Abbildung stellt ein Beispiel für das Ablesen des Drehmoments M_{op} eines Motors mit Konvektionskühlung im Arbeitspunkt dar.



Berechnung des vorhandenen effektiven Drehmoments

$$M_{2eff*} = \sqrt{\frac{t_{1*} \cdot M_{2,1*}^2 + \dots + t_{n*} \cdot M_{2,n*}^2}{t_{1*} + \dots + t_{n*}}}$$

$$M_{2,n*} = \frac{F_{f2,n*} \cdot d_0}{2}$$

$$M_{1eff*} = \frac{M_{2eff*}}{i \cdot \eta}$$

Betriebsfaktoren

Parameter a_{thEL}

Einbaulage	a_{thEL}
EL1, 2	1,0
EL3, 4, 5, 6	1,1
Betriebsart	fB_{op}
Gleichmäßiger Dauerbetrieb	1,00
Zyklusbetrieb	1,00
Zyklusbetrieb reversierende Last	1,00
Laufzeit	fB_t
Tägliche Laufzeit ≤ 8 h	1,00
Tägliche Laufzeit ≤ 16h	1,15
Tägliche Laufzeit ≤ 24 h	1,20
Zyklusbetrieb	fB_{zB}
≤ 1000 Lastwechsel/Stunde (LW/h)	1,00
> 1000 Lastwechsel/Stunde (LW/h)	1,15

Temperatur		f_{B_T}
Motorkühlung	Umgebungstemperatur	
Motor mit Fremdbelüftung	$\leq 20\text{ °C}$	0,9
	$\leq 30\text{ °C}$	1,0
	$\leq 40\text{ °C}$	1,15
Motor mit Konvektionskühlung	$\leq 20\text{ °C}$	1,0
	$\leq 30\text{ °C}$	1,1
	$\leq 40\text{ °C}$	1,25

Hinweise

- Die maximal zulässige Getriebetemperatur (siehe Kapitel Weitere Produktmerkmale) darf nicht überschritten werden, da dies zu Beschädigungen führen kann.
- Beachten Sie bei Bremsungen aus voller Drehzahl (z. B. bei einem Spannungsausfall oder beim Einrichten der Maschine) die zulässigen Getriebevorschubkräfte (F_{F2acc} , F_{F2NOT}) in den Auswahltabellen.

12.7 Weitere Dokumentation

Weitere, das Produkt betreffende Dokumentationen finden Sie unter

<http://www.stoeber.de/de/downloads/>

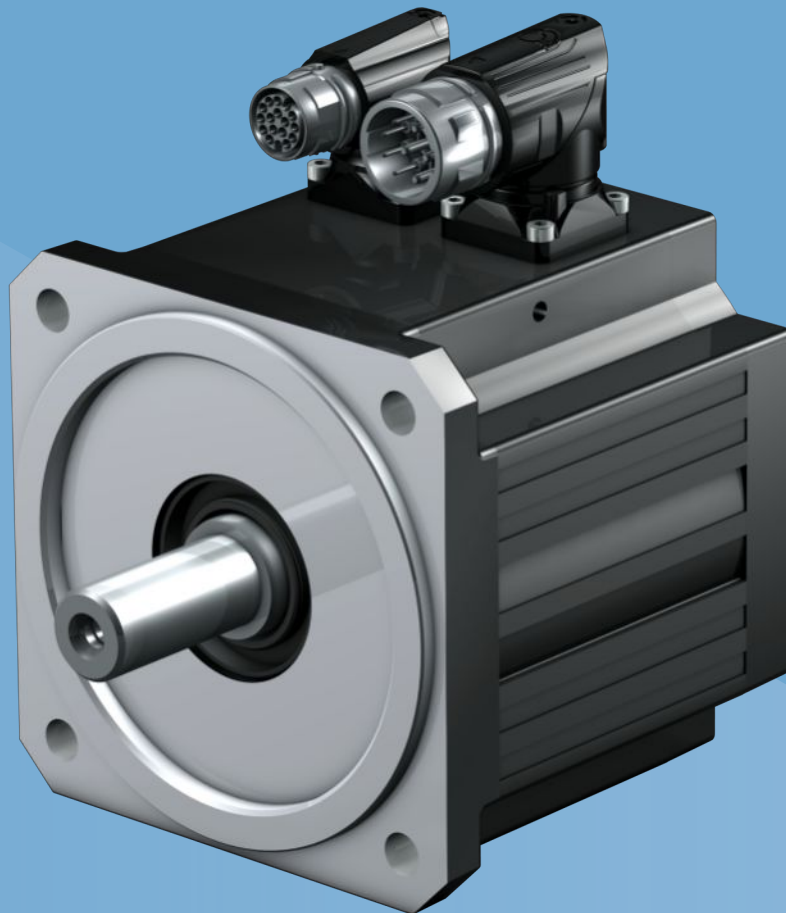
Geben Sie im Feld Suchbegriff die ID der Dokumentation ein.

Dokumentation	ID
Betriebsanleitung Getriebe, Getriebemotoren K	443364_de
Betriebsanleitung Synchron-Servomotoren EZ	443032_de
Betriebsanleitung Zahnstangen (Atlanta)	442455

13 Synchron-Servomotoren EZ

Inhaltsverzeichnis

13.1 Übersicht	252
13.2 Auswahltabellen	253
13.2.1 Motoren EZ mit Konvektionskühlung.....	254
13.2.2 Motoren EZ mit Fremdbelüftung	255
13.3 Drehmoment-Drehzahl-Kennlinien	256
13.4 Maßzeichnungen	266
13.4.1 Motoren EZ2 – EZ3 (One Cable Solution)	266
13.4.2 Motoren EZ2 – EZ3	267
13.4.3 Motoren EZ4 – EZ7 mit Konvektionskühlung (One Cable Solution)	268
13.4.4 Motoren EZ4 – EZ8 mit Konvektionskühlung	269
13.4.5 Motoren EZ4 – EZ7 mit Fremdbelüftung (One Cable Solution).....	270
13.4.6 Motoren EZ4 – EZ8 mit Fremdbelüftung.....	271
13.5 Typenbezeichnung	272
13.6 Produktbeschreibung	272
13.6.1 Allgemeine Merkmale	272
13.6.2 Elektrische Merkmale.....	273
13.6.3 Umgebungsbedingungen	273
13.6.4 Encoder	274
13.6.5 Temperatursensor	276
13.6.6 Kühlung	278
13.6.7 Haltebremse.....	279
13.6.8 Anschlusstechnik	280
13.7 Projektierung	287
13.7.1 Berechnung des Arbeitspunktes	287
13.7.2 Zulässige Wellenbelastungen.....	288
13.7.3 Derating.....	289
13.8 Weitere Informationen	290
13.8.1 Richtlinien und Normen	290
13.8.2 Kennzeichen und Prüfzeichen	290
13.8.3 Weitere Dokumentationen	290



13 Synchron-Servomotoren

EZ

13.1 Übersicht

Synchron-Servomotoren mit Einzelzahnwicklung

Merkmale

- Hohe Dynamik ✓
- Kurze Baulänge ✓
- Superkompakt durch Zahnwickeltechnik mit höchstmöglichem Kupferfüllfaktor ✓
- Spielfreie Haltebremse (Option) ✓
- Elektronisches Typenschild für schnelle und sichere Inbetriebnahme ✓
- Konvektionskühlung oder Fremdbelüftung (Option) ✓
- Optische, induktive EnDat-Absolutwertencoder oder Resolver ✓
- Einsparung von Referenzfahrten mit Multiturn-Absolutwertencodern (Option) ✓
- One Cable Solution (OCS) mit Encoder EnDat 3 (Option) ✓
- Verdrehbare Steckverbinder mit Schnellverschluss ✓

Drehmomente

M_N	0,4 – 77,2 Nm
M_0	0,44 – 94 Nm

13.2 Auswahltabellen

Die in den Auswahltabellen angegebenen technischen Daten gelten für:

- Aufstellhöhen bis 1000 m über Normalnull
- Umgebungstemperaturen von -15°C bis $+40^{\circ}\text{C}$
- Betrieb an einem STÖBER Antriebsregler
- Zwischenkreisspannung $U_{\text{ZK}} = \text{DC } 540\text{ V}$
- Lackierung: RAL 9005 Tiefschwarz, matt

Darüber hinaus gelten die technischen Daten für einen nicht isolierten Aufbau mit folgenden thermischen Anbaubedingungen:

Typ	Abmessungen Stahlmontageflansch (Stärke x Breite x Höhe)	Konvektionsfläche Stahlmontageflansch
EZ2 – EZ5	23 x 210 x 275 mm	0,14 m ²
EZ7 – EZ8	28 x 300 x 400 mm	0,3 m ²

Beachten Sie bei abweichenden Umgebungsbedingungen das Kapitel Derating

Formelzeichen

Die Erklärung der Formelzeichen finden Sie im Kapitel Formelzeichen.

Beachten Sie zusätzliche Informationen zu folgenden Formelzeichen:

- I_0 = Effektivwert des Strangstroms bei der Erzeugung des Stillstands Drehmoments M_0 (Toleranz $\pm 5\%$).
- I_{max} = Effektivwert des kurzfristig maximal zulässigen Strangstroms bei der Erzeugung des Maximaldrehmoments M_{max} (Toleranz $\pm 5\%$). Jede Überschreitung von I_{max} kann zur irreversiblen Schädigung (Entmagnetisierung) des Rotors führen.
- I_N = Effektivwert des Strangstroms bei der Erzeugung des Nenndrehmoments M_N im Nennpunkt (Toleranz $\pm 5\%$).
- M_0 = Drehmoment, das der Motor dauerhaft bei Drehzahl 10 min^{-1} abgeben kann (Toleranz $\pm 5\%$). Bei Drehzahl 0 min^{-1} ist ein geringeres Dauerdrehmoment zu berücksichtigen. Sprechen Sie bei solchem Anwendungsfall Ihren STÖBER Kundenberater an.

13.2.1 Motoren EZ mit Konvektionskühlung

Typ	K_{EM} [V/1000 min ⁻¹]	n_N [min ⁻¹]	M_N [Nm]	I_N [A]	$K_{M,N}$ [Nm/A]	P_N [kW]	M_0 [Nm]	I_0 [A]	K_{M0} [Nm/A]	M_R [Nm]	M_{max} [Nm]	I_{max} [A]	R_{U-V} [Ω]	L_{U-V} [mH]	T_{el} [ms]	J_{dyn} [kgcm ²]	m_{dyn} [kg]
EZ202U	40	6000	0,40	0,99	0,41	0,25	0,44	1,03	0,45	0,03	1,48	3,48	26,00	15,80	0,61	0,13	1,43
EZ203U	40	6000	0,61	1,54	0,40	0,38	0,69	1,64	0,44	0,03	2,70	5,80	13,20	10,30	0,76	0,17	1,67
EZ301U	40	6000	0,89	1,93	0,46	0,56	0,95	2,02	0,49	0,04	2,80	12,7	11,70	39,80	3,40	0,19	1,50
EZ301U	40	3000	0,93	1,99	0,47	0,29	0,95	2,02	0,49	0,04	2,80	12,7	11,70	39,80	3,40	0,19	1,50
EZ302U	42	6000	1,50	3,18	0,47	0,94	1,68	3,48	0,49	0,04	5,00	17,8	4,50	18,70	4,16	0,29	2,10
EZ302U	86	3000	1,59	1,60	0,99	0,50	1,68	1,67	1,03	0,04	5,00	8,55	17,80	75,00	4,21	0,29	2,10
EZ303U	55	6000	1,96	3,17	0,62	1,2	2,25	3,55	0,65	0,04	7,00	16,9	4,90	21,10	4,31	0,40	2,60
EZ303U	109	3000	2,07	1,63	1,27	0,65	2,19	1,71	1,30	0,04	7,00	8,25	20,30	68,70	5,24	0,40	2,60
EZ401U	47	6000	2,30	4,56	0,50	1,4	2,80	5,36	0,53	0,04	8,50	33,0	1,94	11,52	5,94	0,93	4,00
EZ401U	96	3000	2,80	2,74	1,02	0,88	3,00	2,88	1,06	0,04	8,50	16,5	6,70	37,70	5,63	0,93	4,00
EZ402U	60	6000	3,50	5,65	0,62	2,2	4,90	7,43	0,66	0,04	16,0	43,5	1,20	8,88	7,40	1,63	5,10
EZ402U	94	3000	4,70	4,40	1,07	1,5	5,20	4,80	1,09	0,04	16,0	26,5	3,00	21,80	7,26	1,63	5,10
EZ404U	78	6000	5,80	7,18	0,81	3,6	8,40	9,78	0,86	0,04	29,0	51,0	0,89	7,07	7,94	2,98	7,20
EZ404U	116	3000	6,90	5,80	1,19	2,2	8,60	6,60	1,31	0,04	29,0	35,0	1,85	15,00	8,11	2,98	7,20
EZ501U	68	6000	3,40	4,77	0,71	2,1	4,40	5,80	0,77	0,06	16,0	31,0	2,10	12,10	5,76	2,90	5,00
EZ501U	97	3000	4,30	3,74	1,15	1,4	4,70	4,00	1,19	0,06	16,0	22,0	3,80	23,50	6,18	2,90	5,00
EZ502U	72	6000	5,20	7,35	0,71	3,3	7,80	9,80	0,80	0,06	31,0	59,0	0,76	5,60	7,37	5,20	6,50
EZ502U	121	3000	7,40	5,46	1,36	2,3	8,00	5,76	1,40	0,06	31,0	33,0	2,32	16,80	7,24	5,20	6,50
EZ503U	84	6000	6,20	7,64	0,81	3,9	10,6	11,6	0,92	0,06	43,0	63,5	0,62	5,00	8,06	7,58	8,00
EZ503U	119	3000	9,70	6,90	1,41	3,1	11,1	7,67	1,46	0,06	43,0	41,0	1,25	10,00	8,00	7,58	8,00
EZ505U	103	4500	9,50	8,94	1,06	4,5	15,3	13,4	1,15	0,06	67,0	73,0	0,50	4,47	8,94	12,2	10,9
EZ505U	141	3000	13,5	8,80	1,53	4,2	16,0	10,0	1,61	0,06	67,0	52,0	0,93	8,33	8,96	12,2	10,9
EZ701U	76	6000	5,20	6,68	0,78	3,3	7,90	9,38	0,87	0,24	20,0	31,0	0,87	8,13	9,34	8,50	8,30
EZ701U	95	3000	7,40	7,20	1,03	2,3	8,30	8,00	1,07	0,24	20,0	25,0	1,30	12,83	9,87	8,50	8,30
EZ702U	82	6000	7,20	8,96	0,80	4,5	14,3	16,5	0,88	0,24	41,0	60,5	0,34	3,90	11,47	13,7	10,8
EZ702U	133	3000	12,0	8,20	1,46	3,8	14,4	9,60	1,53	0,24	41,0	36,0	1,00	11,73	11,73	13,7	10,8
EZ703U	99	4500	12,1	11,5	1,05	5,7	20,0	17,8	1,14	0,24	65,0	78,0	0,36	4,42	12,28	21,6	12,8
EZ703U	122	3000	16,5	11,4	1,45	5,2	20,8	14,0	1,50	0,24	65,0	62,0	0,52	6,80	13,08	21,6	12,8
EZ705U	106	4500	16,4	14,8	1,11	7,7	30,0	25,2	1,20	0,24	104	114	0,22	2,76	12,55	34,0	18,3
EZ705U	140	3000	21,3	14,2	1,50	6,7	30,2	19,5	1,56	0,24	104	87,0	0,33	4,80	14,55	34,0	18,3
EZ802U	90	4500	10,5	11,2	0,94	5,0	34,5	33,3	1,05	0,30	100	135	0,13	1,90	14,60	58,0	26,6
EZ802U	136	3000	22,3	13,9	1,60	7,0	37,1	22,3	1,68	0,30	100	84,0	0,30	5,00	16,66	58,0	26,6
EZ803U	131	3000	26,6	17,7	1,50	8,4	48,2	31,1	1,56	0,30	145	124	0,18	2,79	15,50	83,5	32,7
EZ805U	142	2000	43,7	25,9	1,69	9,2	66,1	37,9	1,75	0,30	205	155	0,13	2,22	17,08	133	45,8

13.2.2 Motoren EZ mit Fremdbelüftung

Typ	K_{EM} [V/1000 min ⁻¹]	n_N [min ⁻¹]	M_N [Nm]	I_N [A]	$K_{M,N}$ [Nm/A]	P_N [kW]	M_0 [Nm]	I_0 [A]	K_{M0} [Nm/A]	M_R [Nm]	M_{max} [Nm]	I_{max} [A]	R_{U-V} [Ω]	L_{U-V} [mH]	T_{el} [ms]	J_{dyn} [kgcm ²]	m_{dyn} [kg]
EZ401B	47	6000	2,90	5,62	0,52	1,8	3,50	6,83	0,52	0,04	8,50	33,0	1,94	11,52	5,94	0,93	5,40
EZ401B	96	3000	3,40	3,40	1,00	1,1	3,70	3,60	1,04	0,04	8,50	16,5	6,70	37,70	5,63	0,93	5,40
EZ402B	60	6000	5,10	7,88	0,65	3,2	6,40	9,34	0,69	0,04	16,0	43,5	1,20	8,88	7,40	1,63	6,50
EZ402B	94	3000	5,90	5,50	1,07	1,9	6,30	5,80	1,09	0,04	16,0	26,5	3,00	21,80	7,26	1,63	6,50
EZ404B	78	6000	8,00	9,98	0,80	5,0	10,5	12,0	0,88	0,04	29,0	51,0	0,89	7,07	7,94	2,98	8,60
EZ404B	116	3000	10,2	8,20	1,24	3,2	11,2	8,70	1,29	0,04	29,0	35,0	1,85	15,00	8,11	2,98	8,60
EZ501B	68	6000	4,50	6,70	0,67	2,8	5,70	7,50	0,77	0,06	16,0	31,0	2,10	12,10	5,76	2,90	7,00
EZ501B	97	3000	5,40	4,70	1,15	1,7	5,80	5,00	1,17	0,06	16,0	22,0	3,80	23,50	6,18	2,90	7,00
EZ502B	72	6000	8,20	11,4	0,72	5,2	10,5	13,4	0,79	0,06	31,0	59,0	0,76	5,60	7,37	5,20	8,50
EZ502B	121	3000	10,3	7,80	1,32	3,2	11,2	8,16	1,38	0,06	31,0	33,0	2,32	16,80	7,24	5,20	8,50
EZ503B	84	6000	10,4	13,5	0,77	6,5	14,8	15,9	1,07	0,06	43,0	63,5	0,62	5,00	8,06	7,58	10,0
EZ503B	119	3000	14,4	10,9	1,32	4,5	15,9	11,8	1,35	0,06	43,0	41,0	1,25	10,00	8,00	7,58	10,0
EZ505B	103	4500	16,4	16,4	1,00	7,7	22,0	19,4	1,14	0,06	67,0	73,0	0,50	4,47	8,94	12,2	12,9
EZ505B	141	3000	20,2	13,7	1,47	6,4	23,4	14,7	1,60	0,06	67,0	52,0	0,93	8,33	8,96	12,2	12,9
EZ701B	76	6000	7,50	10,6	0,71	4,7	10,2	12,4	0,84	0,24	20,0	31,0	0,87	8,13	9,34	8,50	11,2
EZ701B	95	3000	9,70	9,50	1,02	3,1	10,5	10,0	1,07	0,24	20,0	25,0	1,30	12,83	9,87	8,50	11,2
EZ702B	82	6000	12,5	16,7	0,75	7,9	19,3	22,1	0,89	0,24	41,0	60,5	0,34	3,90	11,47	13,7	13,7
EZ702B	133	3000	16,6	11,8	1,41	5,2	19,3	12,9	1,51	0,24	41,0	36,0	1,00	11,73	11,73	13,7	13,7
EZ703B	99	4500	19,8	20,3	0,98	9,3	27,2	24,2	1,13	0,24	65,0	78,0	0,36	4,42	12,28	21,6	15,7
EZ703B	122	3000	24,0	18,2	1,32	7,5	28,0	20,0	1,41	0,24	65,0	62,0	0,52	6,80	13,08	21,6	15,7
EZ705B	106	4500	27,7	25,4	1,09	13	39,4	32,8	1,21	0,24	104	114	0,22	2,76	12,55	34,0	21,2
EZ705B	140	3000	33,8	22,9	1,48	11	41,8	26,5	1,59	0,24	104	87,0	0,33	4,80	14,55	34,0	21,2
EZ802B	90	4500	30,6	30,5	1,00	14	47,4	45,1	1,06	0,30	100	135	0,13	1,90	14,60	58,0	31,6
EZ802B	136	3000	34,3	26,5	1,29	11	47,9	28,9	1,67	0,30	100	84,0	0,30	5,00	16,66	58,0	31,6
EZ803B	131	3000	49,0	35,9	1,37	15	66,7	42,3	1,58	0,30	145	124	0,18	2,79	15,50	83,5	37,7
EZ805B	142	2000	77,2	45,2	1,71	16	94,0	53,9	1,75	0,30	205	155	0,13	2,22	17,08	133	51,8

13.3 Drehmoment-Drehzahl-Kennlinien

Die Drehmoment-Drehzahl-Kennlinien sind abhängig von der Nenndrehzahl bzw. Wicklungsausführung des Motors und der Zwischenkreisspannung des verwendeten Antriebsreglers. Die nachfolgenden Drehmoment-Drehzahl-Kennlinien gelten für die Zwischenkreisspannung DC 540 V.

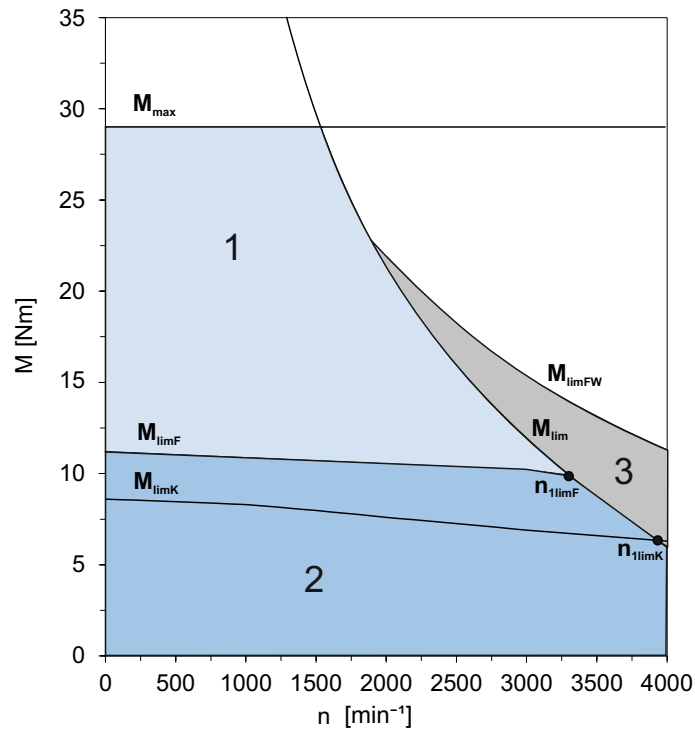
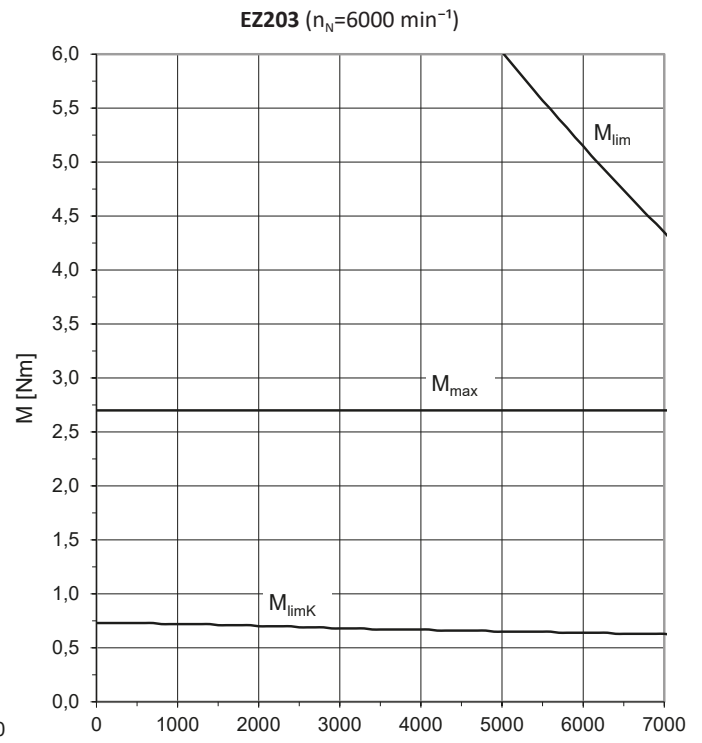
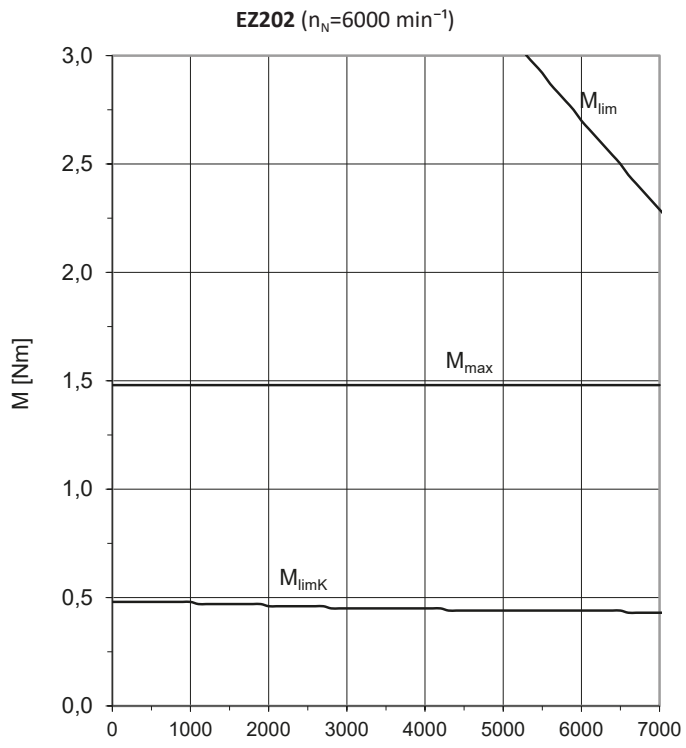
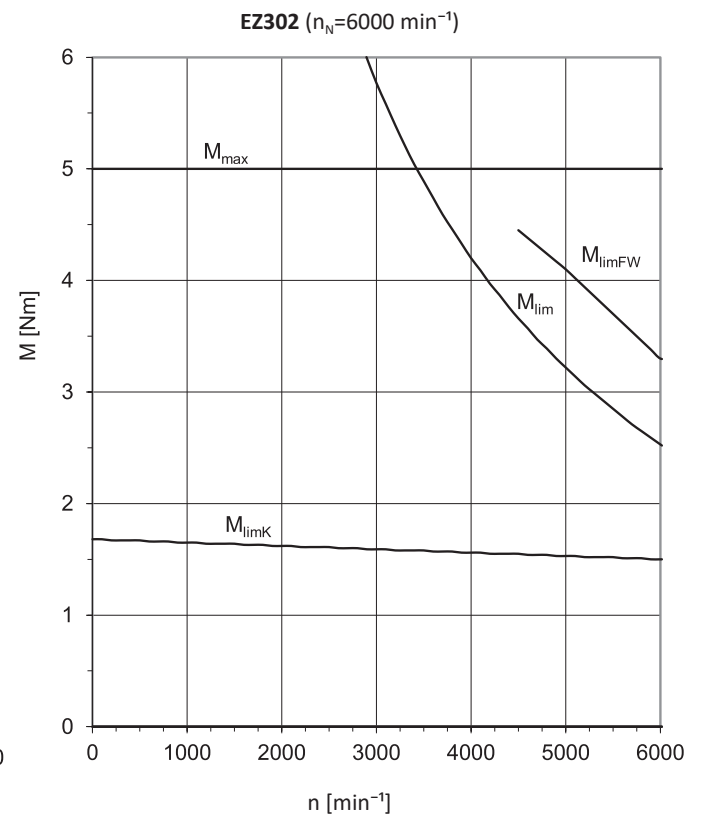
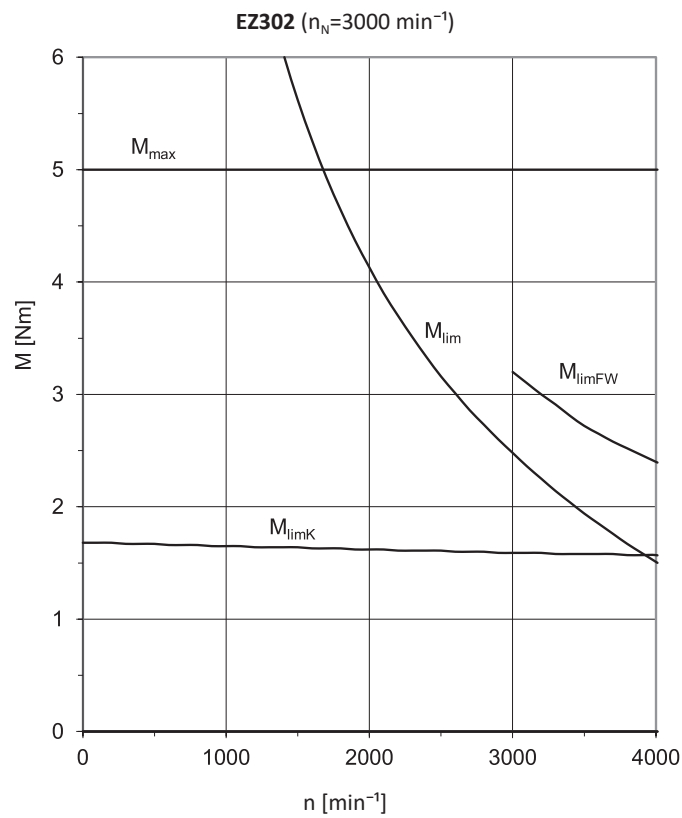
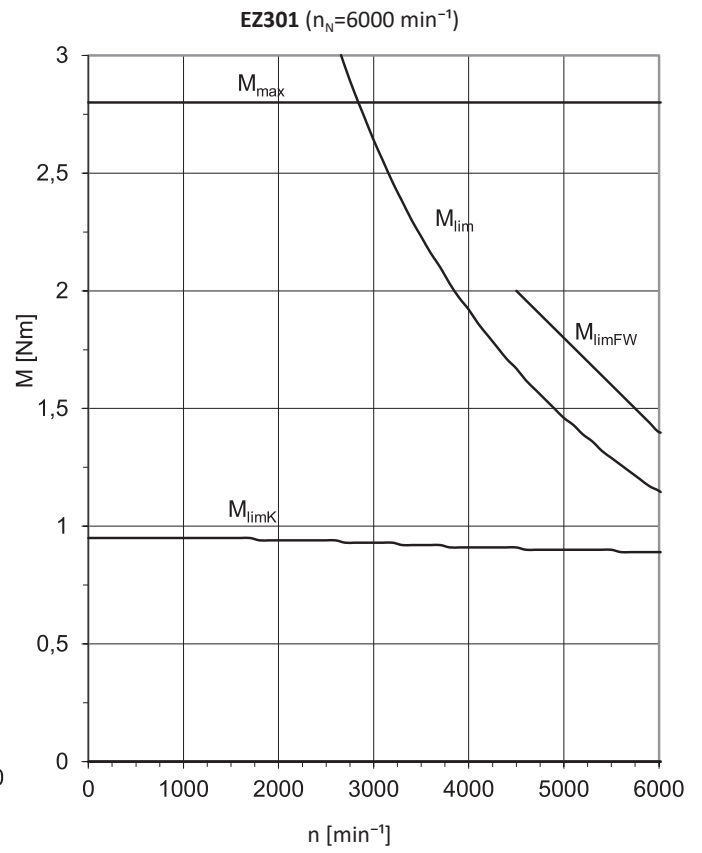
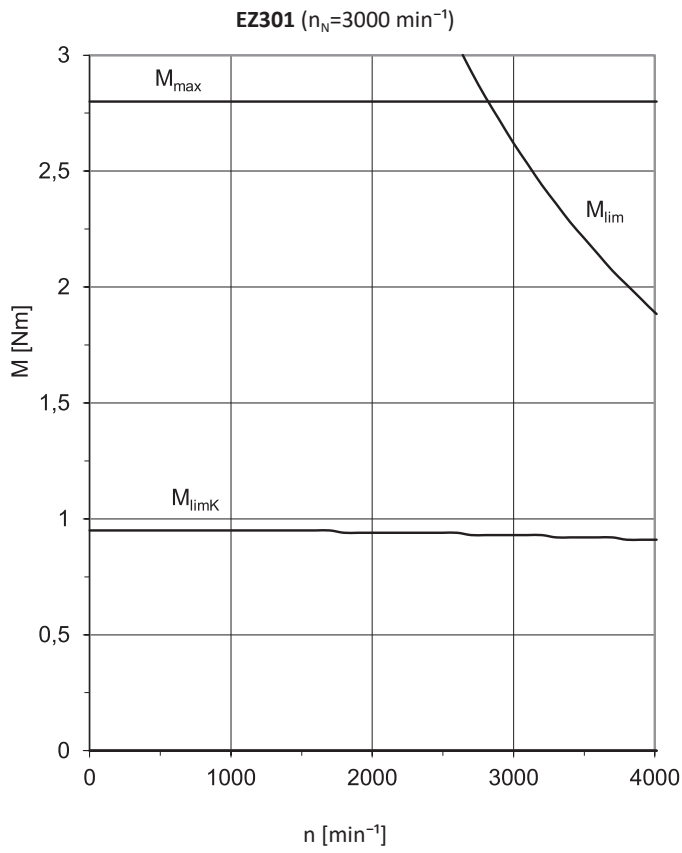
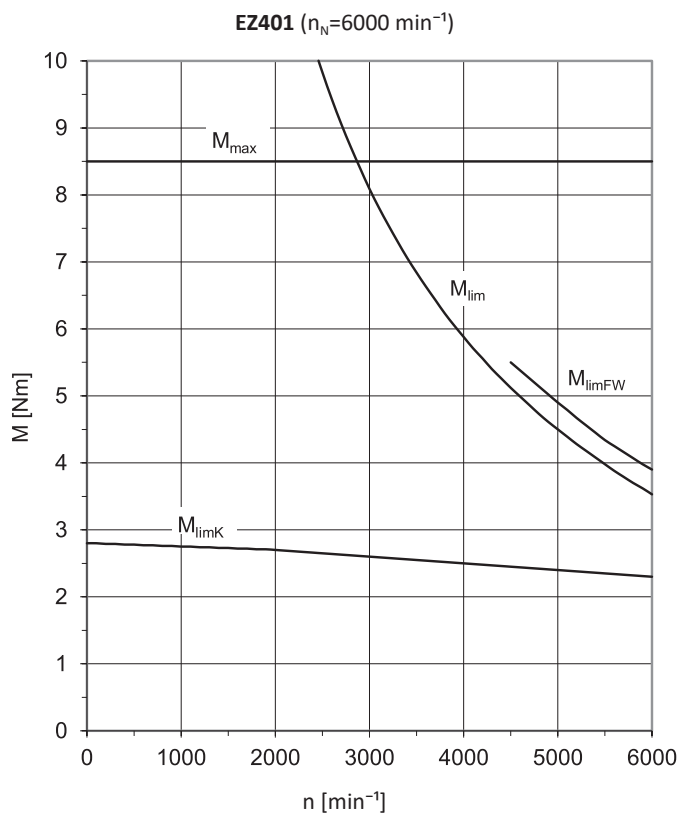
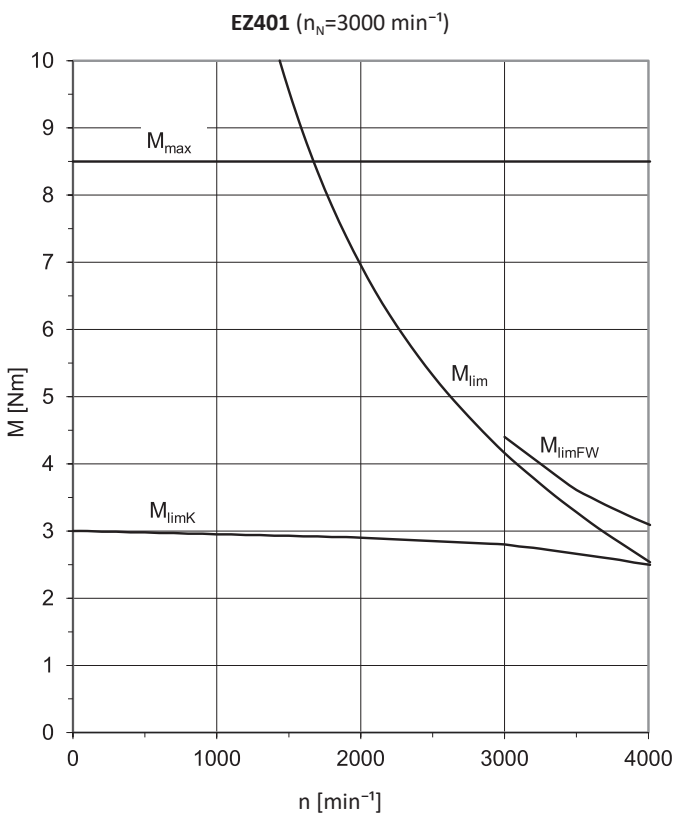
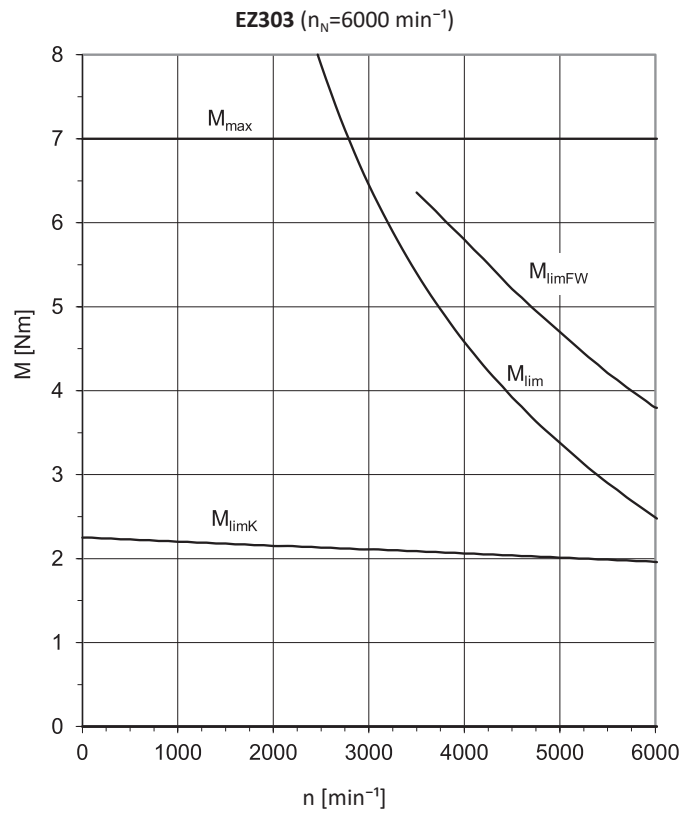
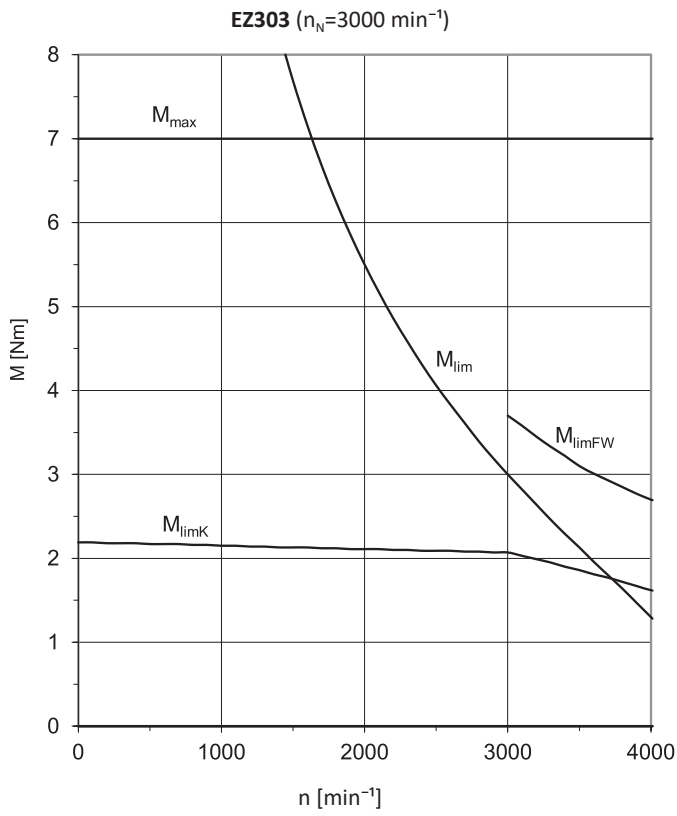


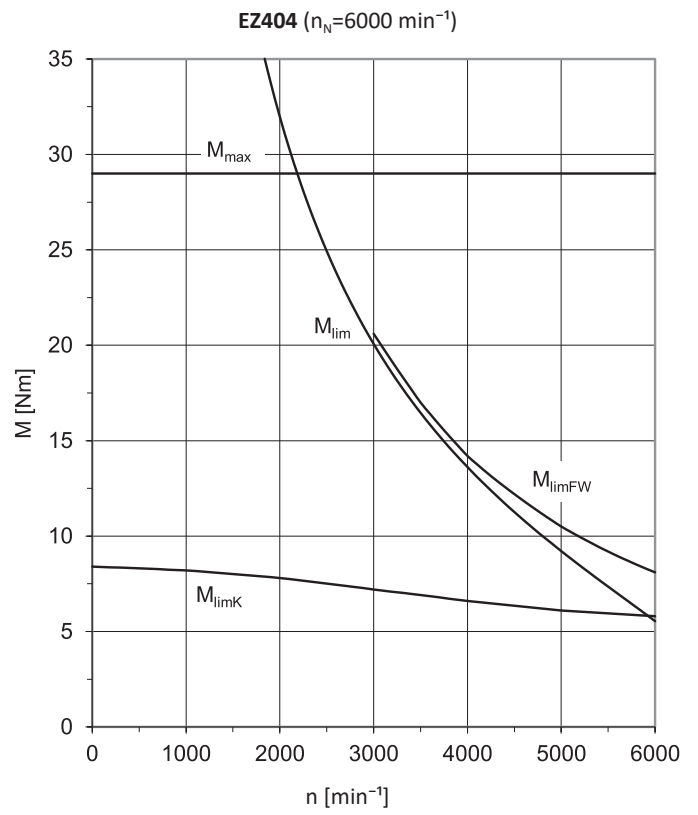
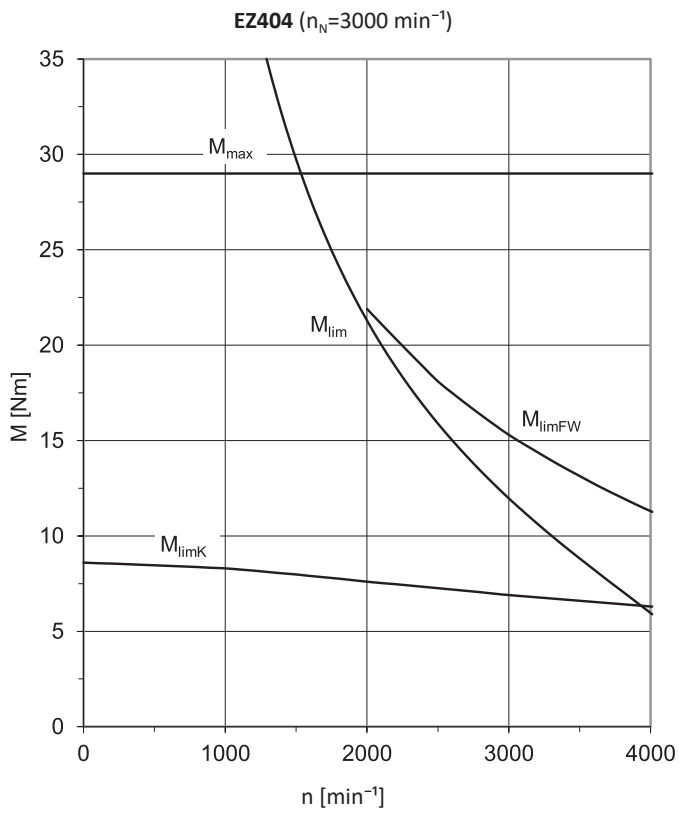
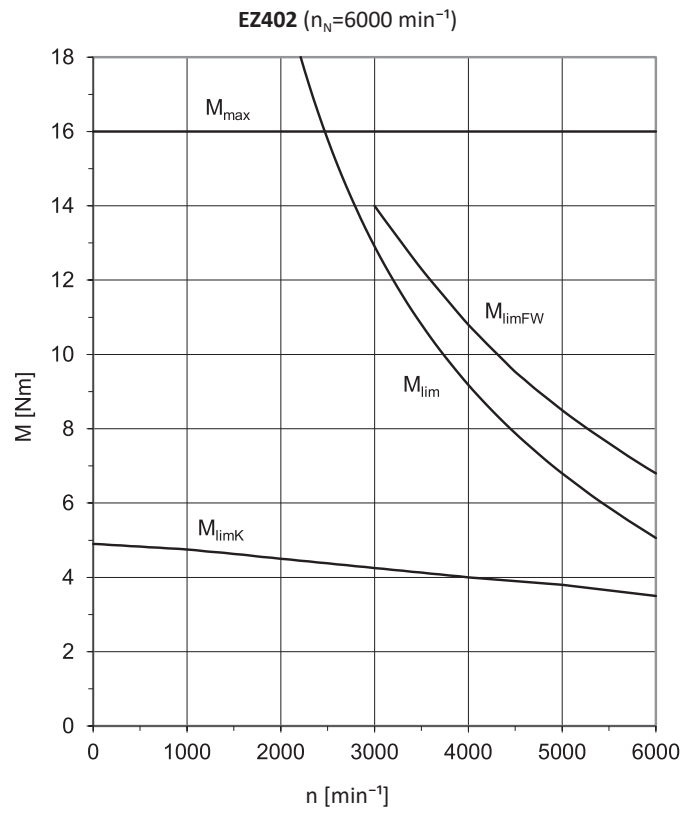
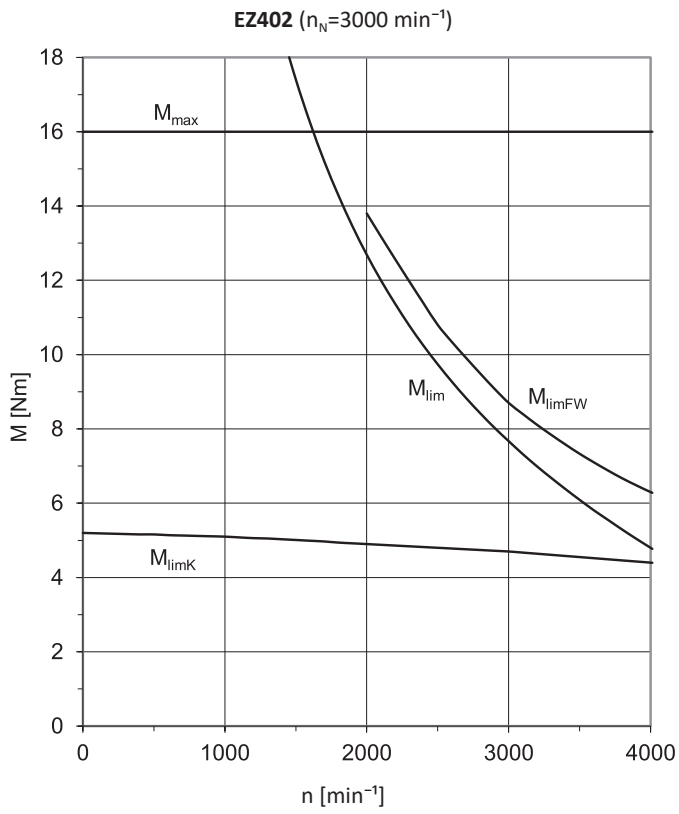
Abb. 1: Erläuterung einer Drehmoment-Drehzahl-Kennlinie

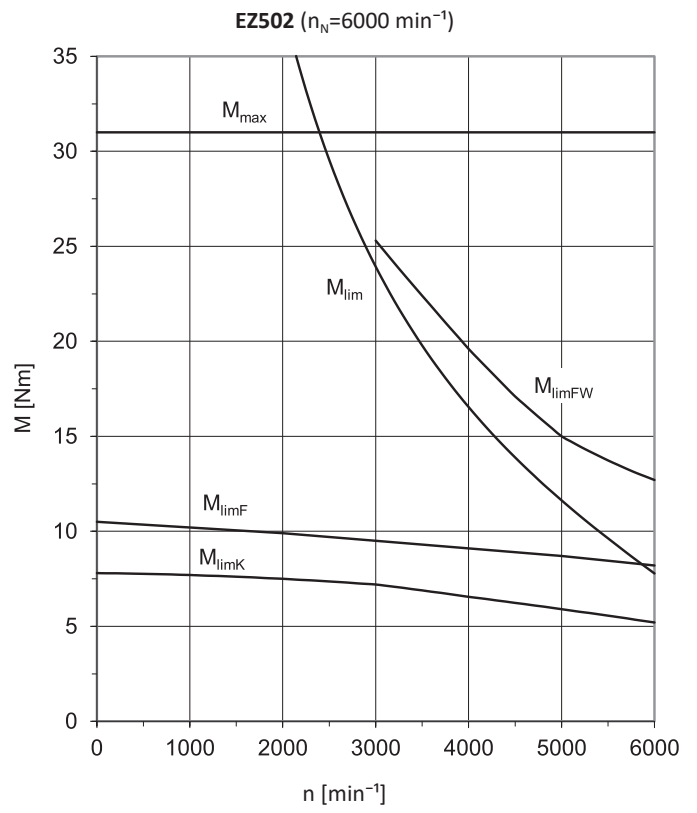
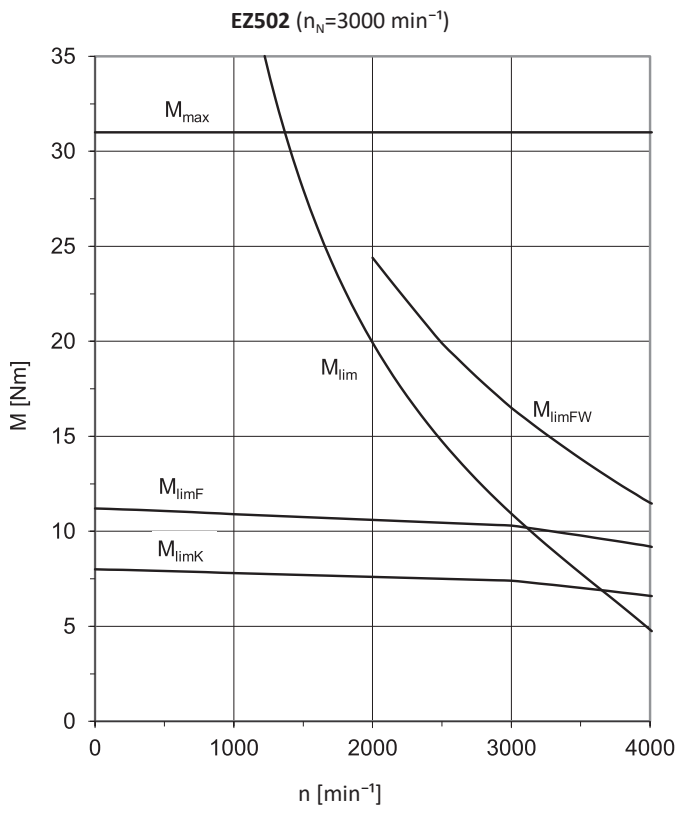
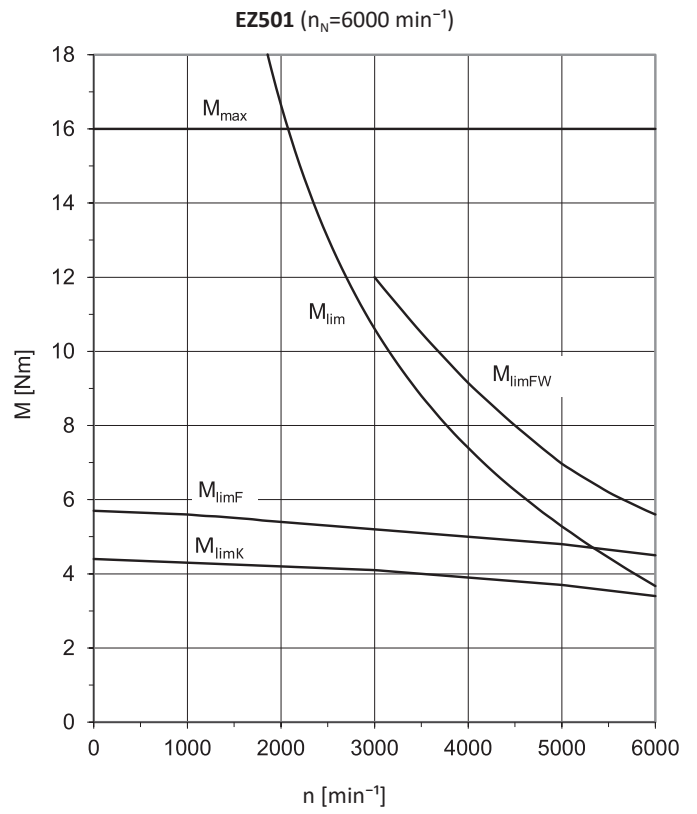
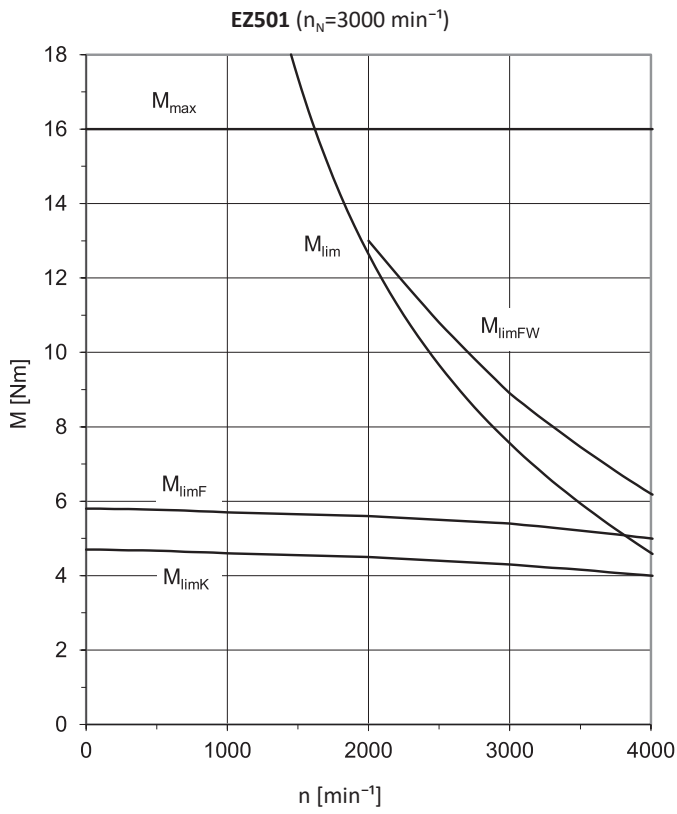
- | | |
|--|---|
| <p>1 Drehmomentbereich für Kurzzeitbetrieb ($ED_{10} < 100\%$) bei $\Delta\vartheta = 100\text{ K}$</p> <p>2 Drehmomentbereich für Dauerbetrieb mit konstanter Belastung (S1-Betrieb, $ED_{10} = 100\%$) bei $\Delta\vartheta = 100\text{ K}$</p> | <p>3 Feldschwächbereich (nutzbar nur bei Betrieb an STÖBER Antriebsreglern)</p> |
|--|---|

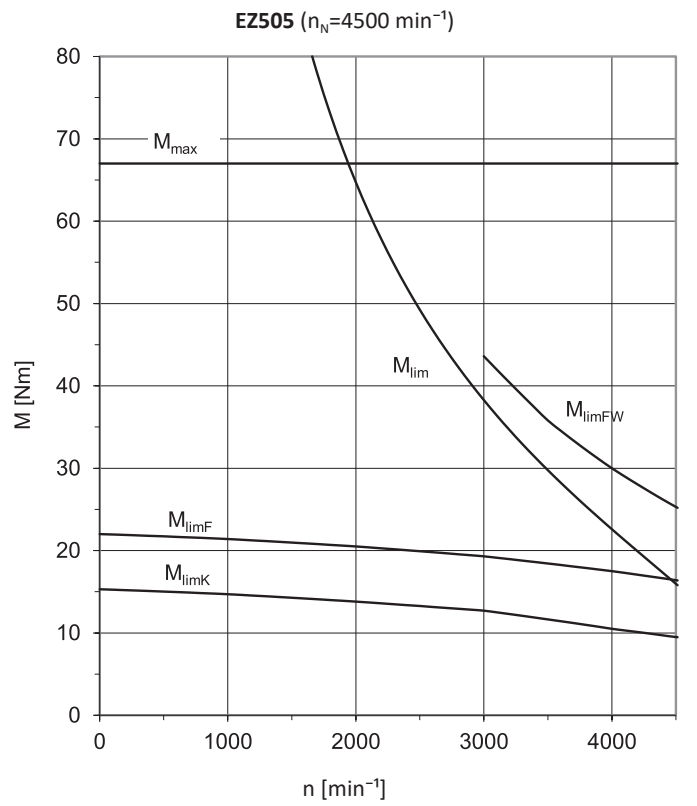
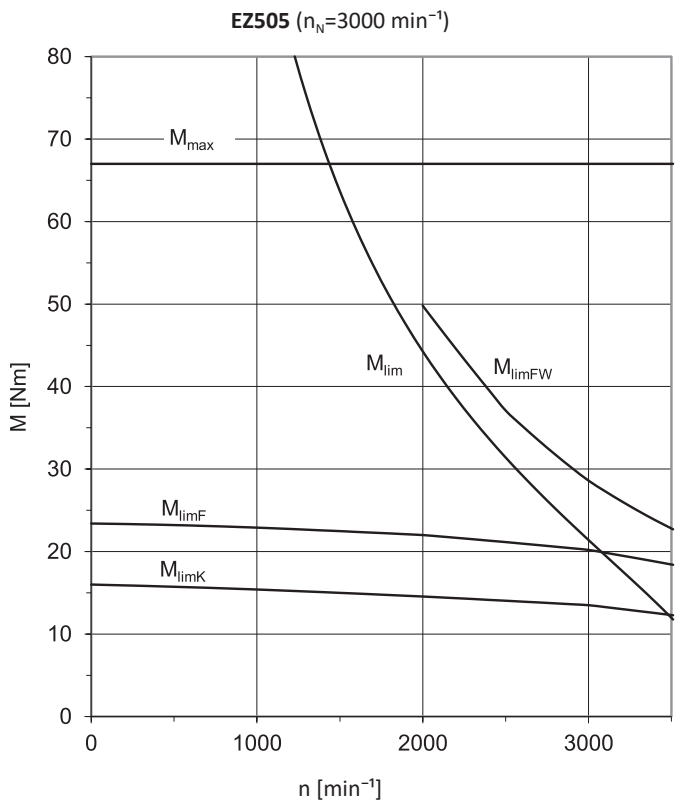
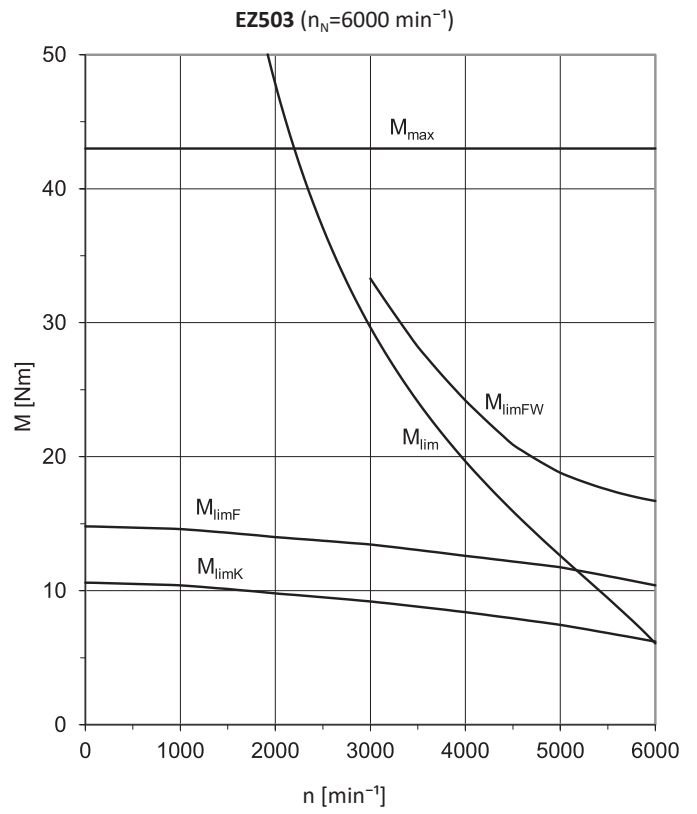
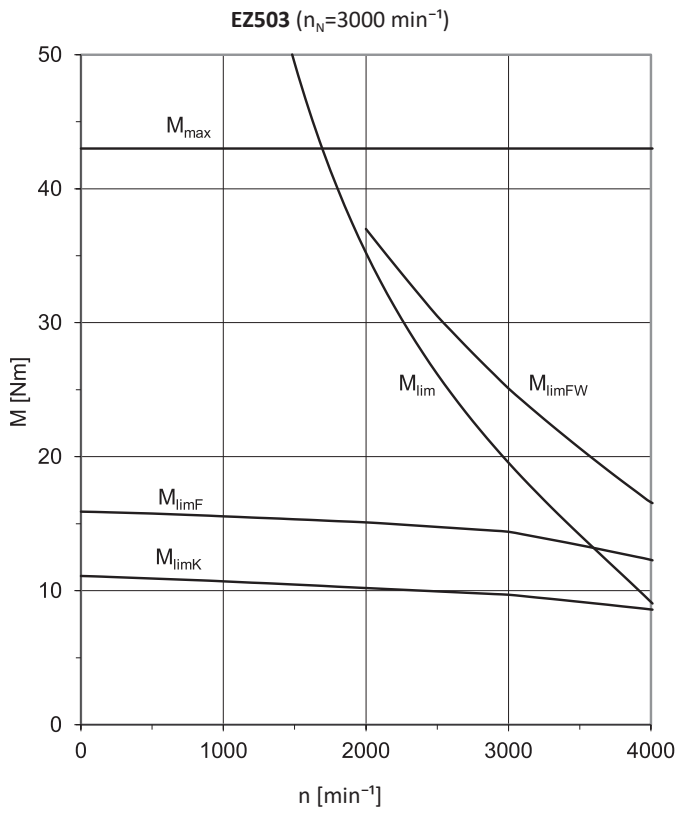


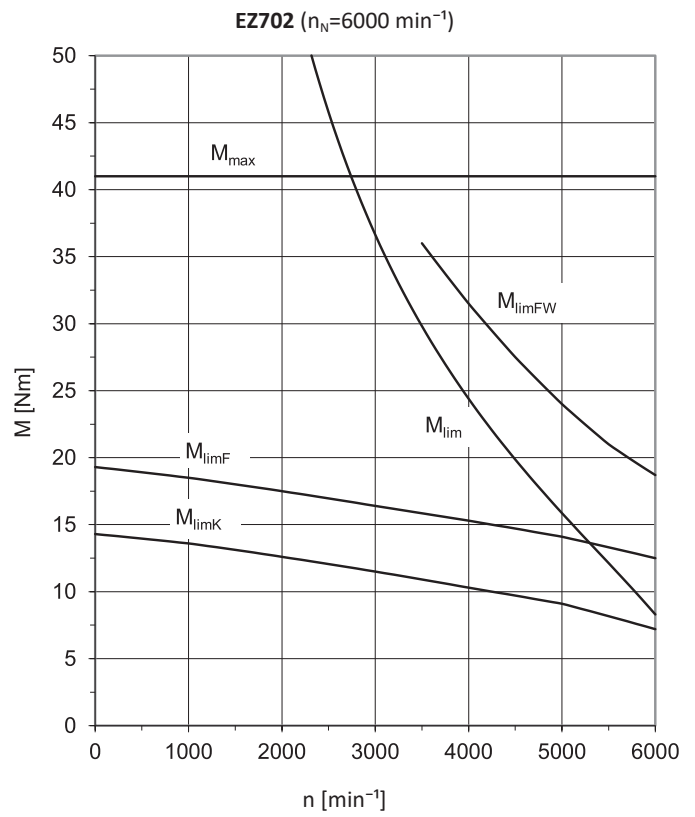
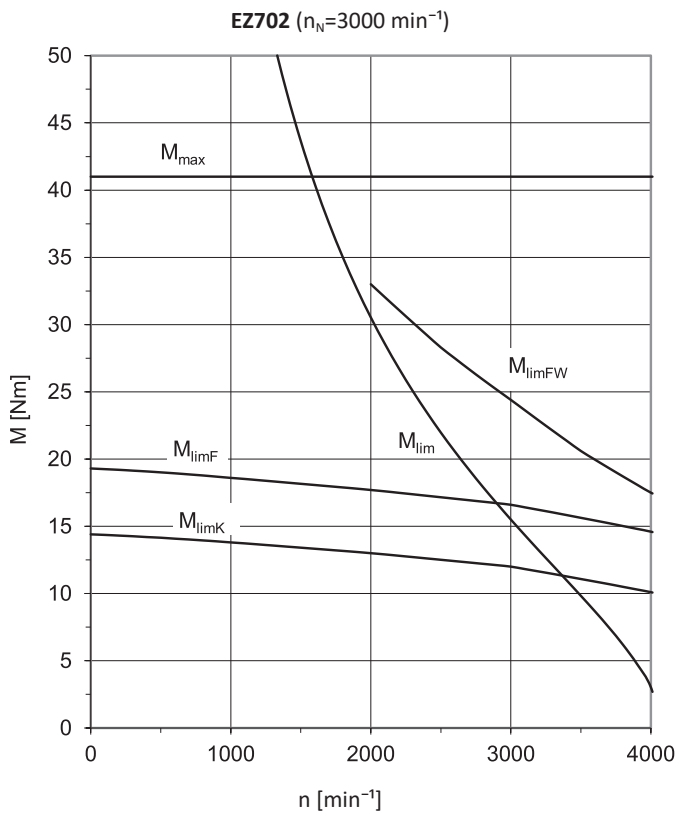
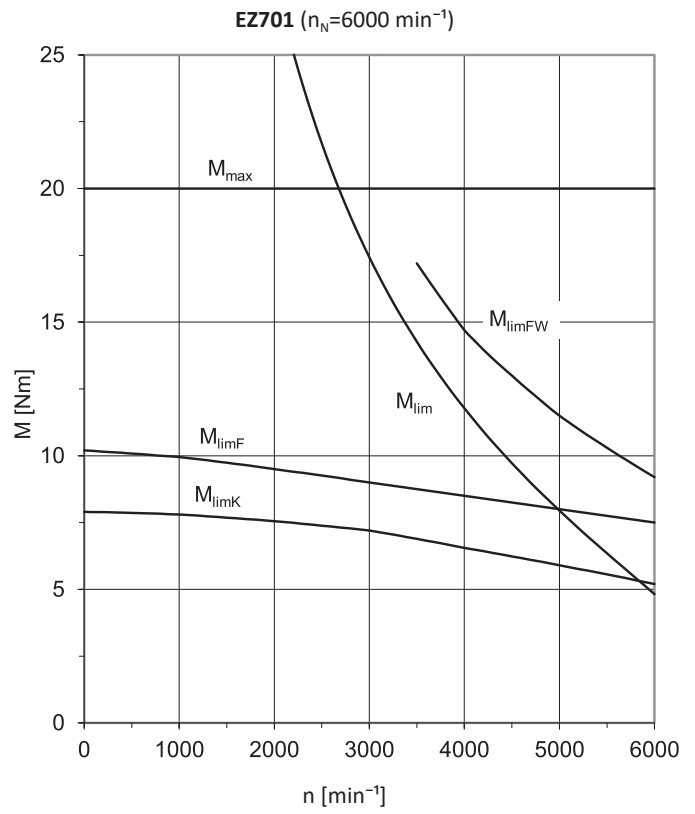
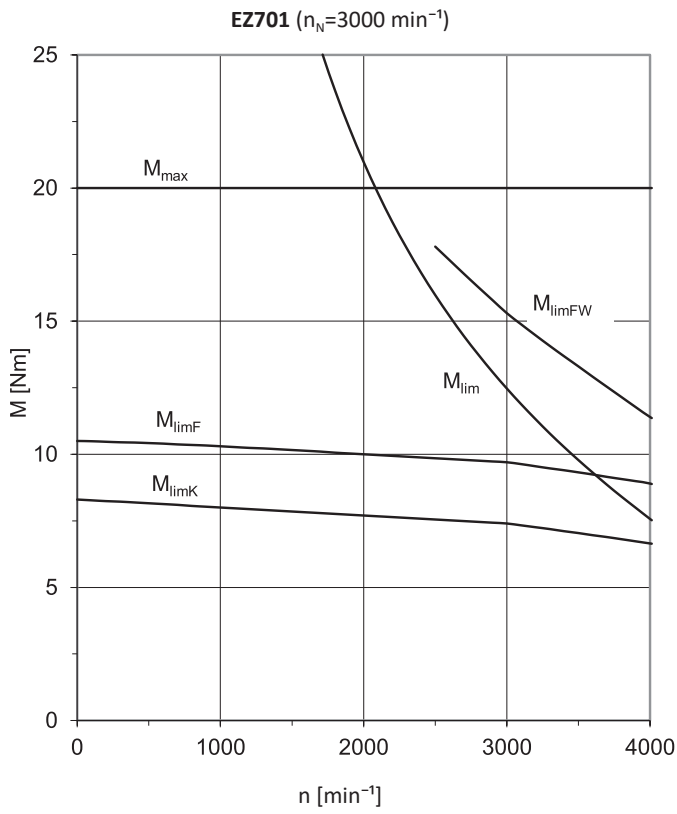


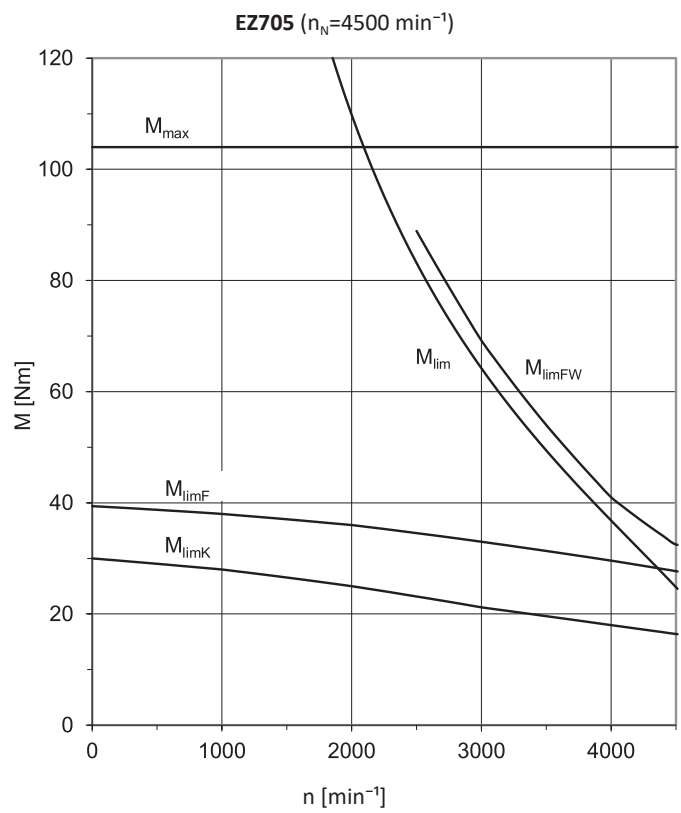
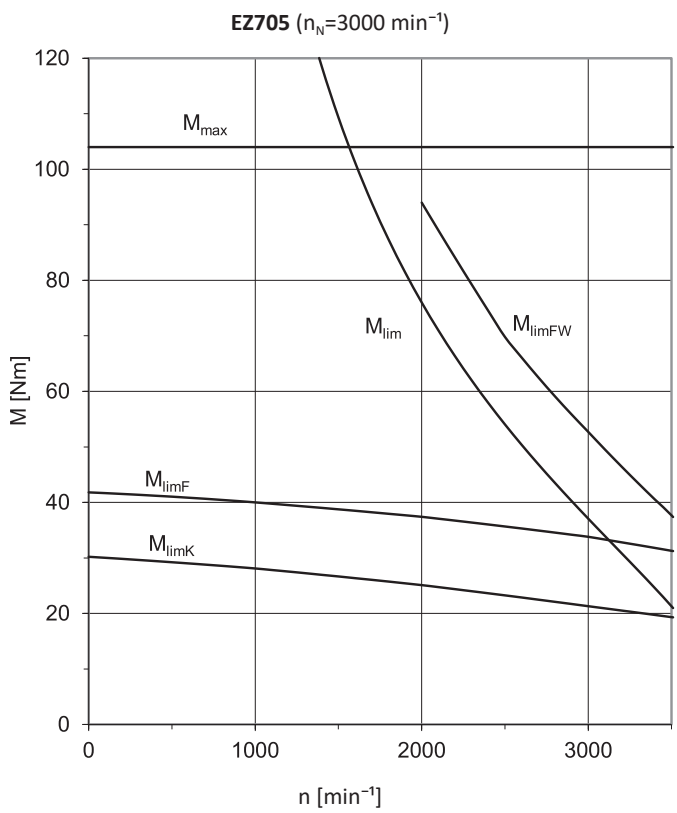
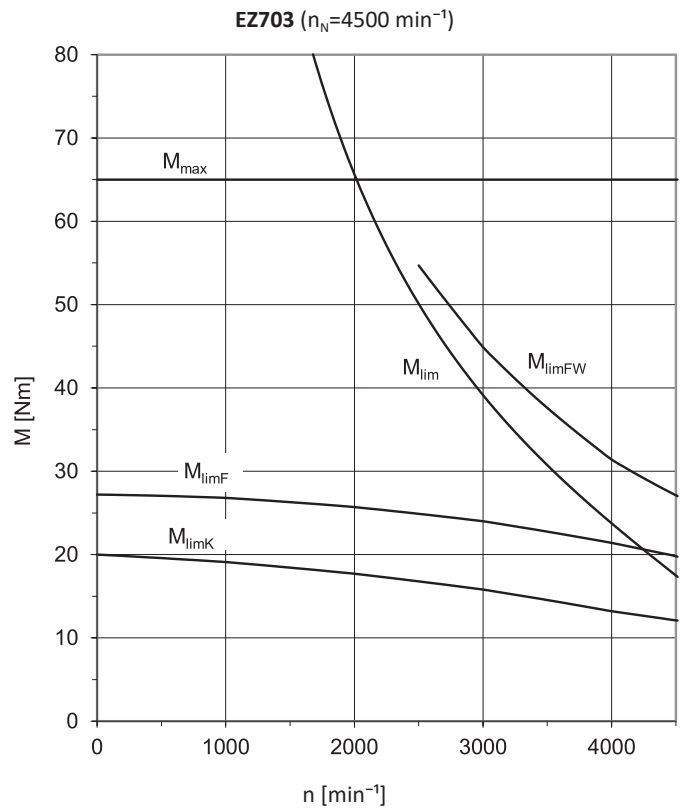
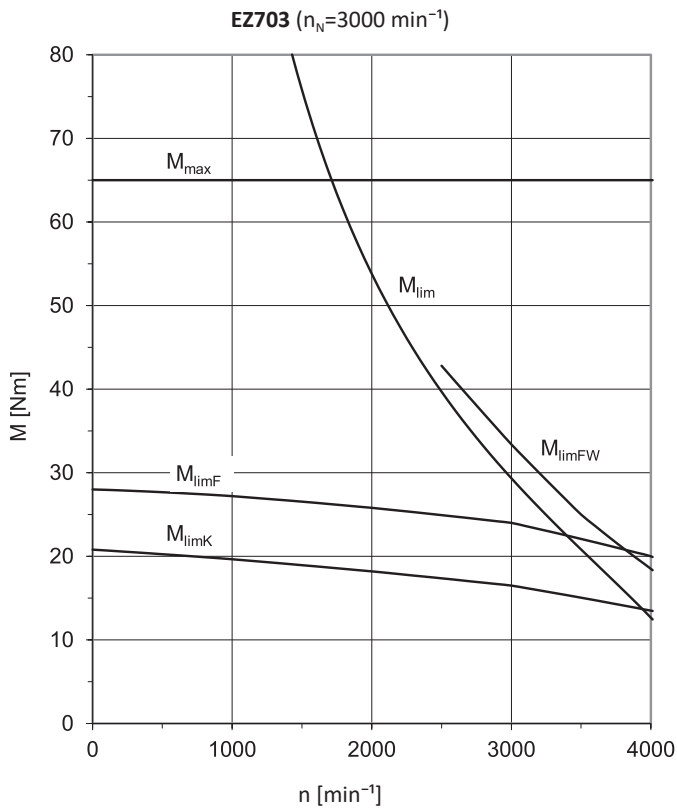


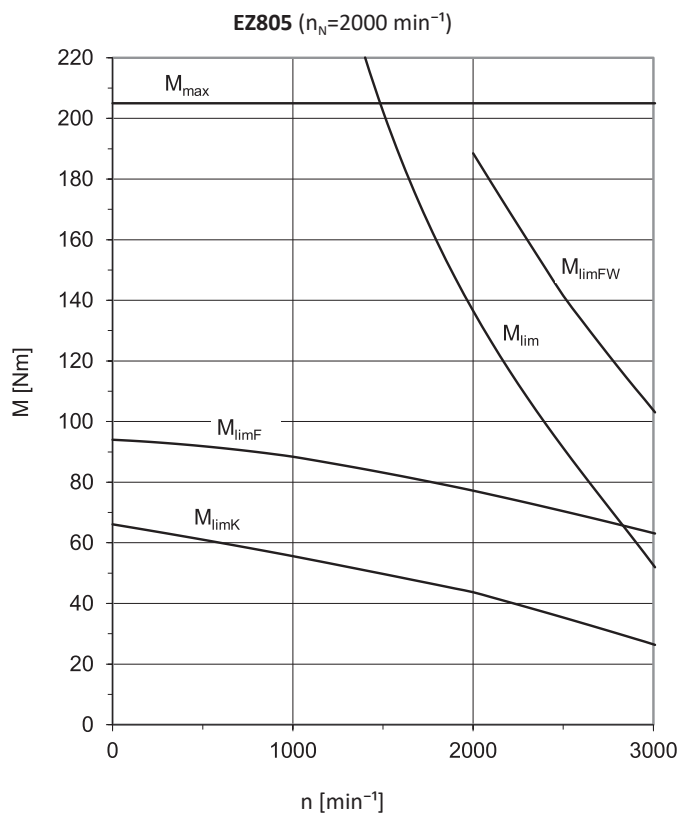
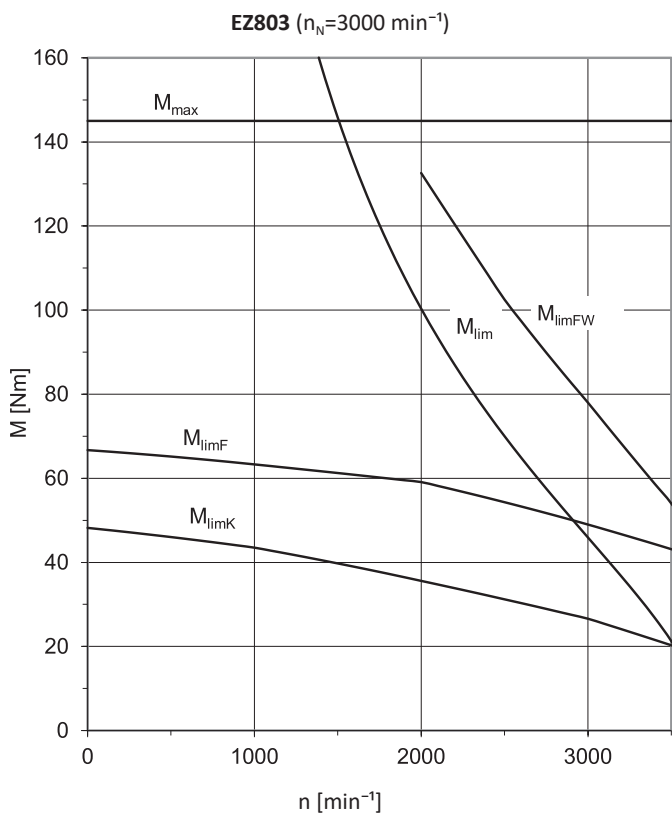
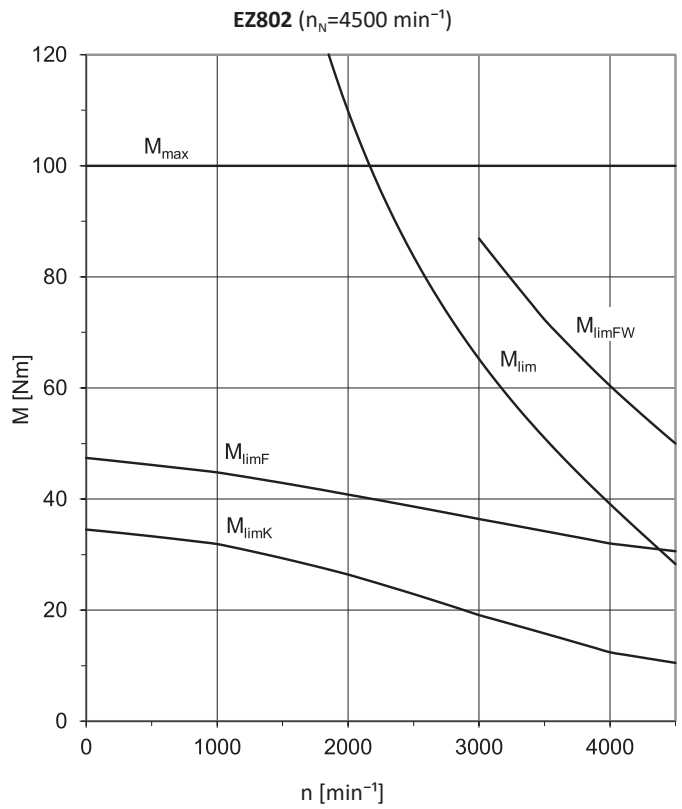
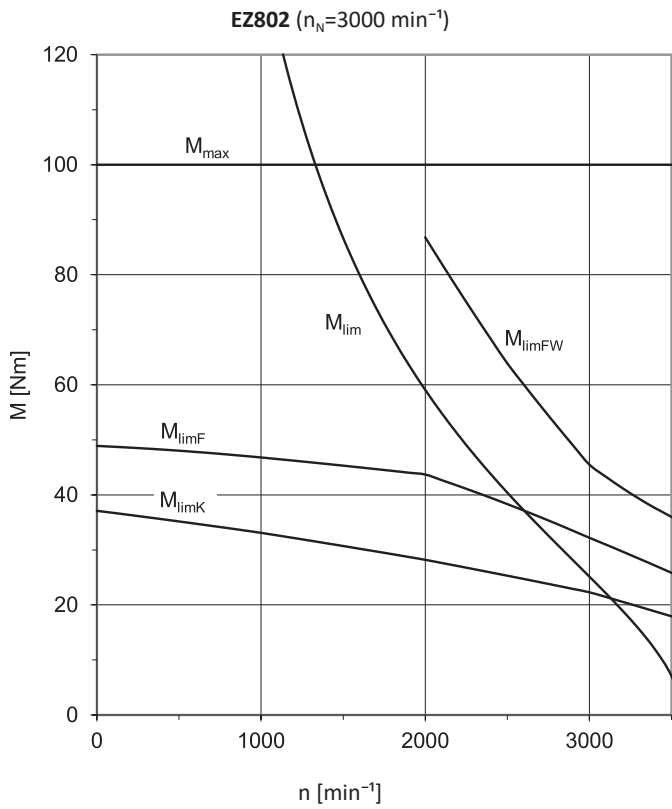












13.4 Maßzeichnungen

In diesem Kapitel finden Sie die Abmessungen der Motoren.

Maße können aufgrund von Gusstoleranzen bzw. Aufsummieren der Einzeltoleranzen die Vorgaben der ISO 2768-mK überschreiten.

Maßänderungen durch technische Weiterentwicklung behalten wir uns vor.

3D-Modelle unserer Standardantriebe können Sie unter <https://configurator.stoerber.de/de-DE/> herunterladen.

In diesem Kapitel sind die Maße p1 und w1 für die Standardausführungen der Motoren dargestellt. Bei den Ausführungen für den Anschluss an Antriebsregler von Fremdherstellern können die Maße p1 und w1 abweichen. Details finden Sie unter <https://configurator.stoerber.de/de-DE/>.

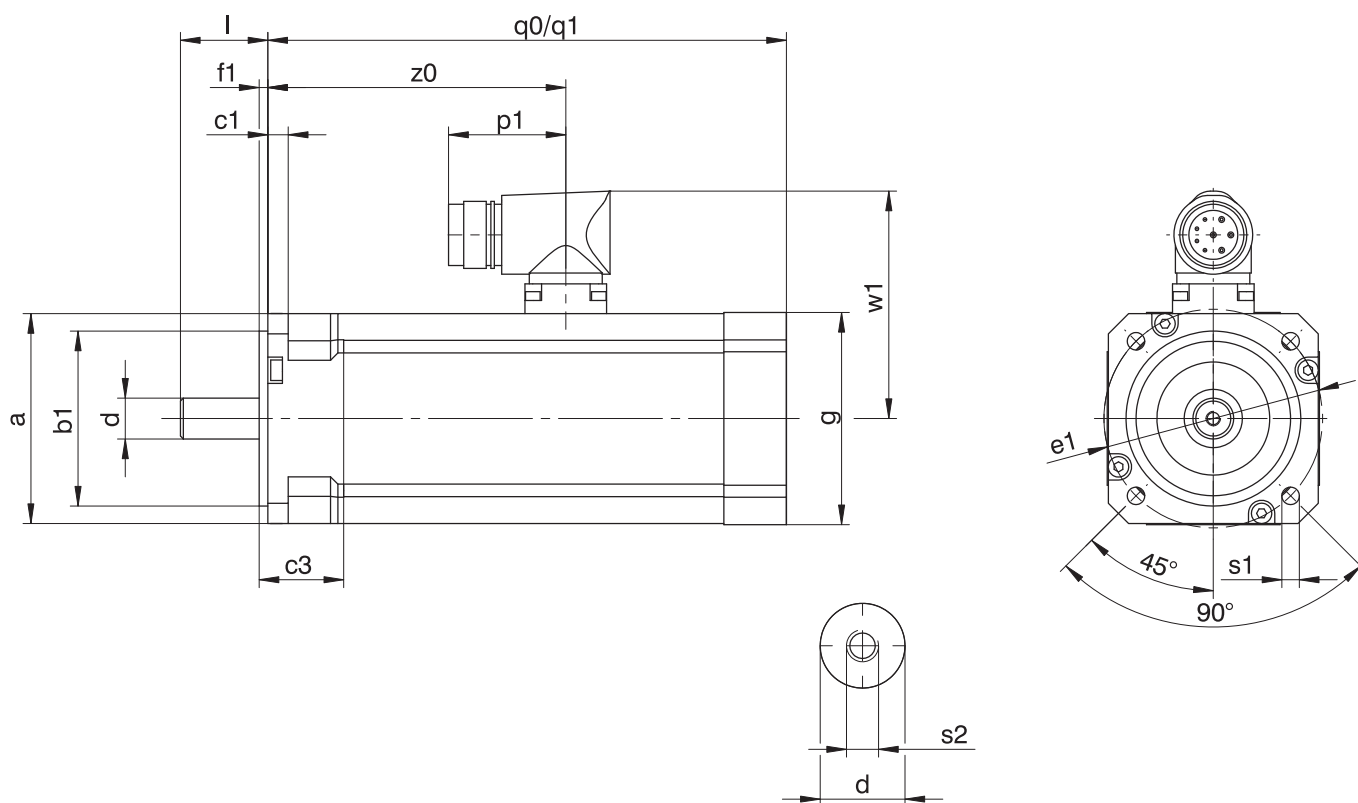
Toleranzen

Vollwelle	Toleranz
Passung \varnothing Welle ≤ 50 mm	DIN 748-1, ISO k6
Passung \varnothing Welle > 50 mm	DIN 748-1, ISO m6

Zentrierbohrungen in Vollwellen nach DIN 332-2, Form DR

Gewindegröße	M4	M5	M6	M8	M10	M12	M16	M20	M24
Gewindetiefe [mm]	10	12,5	16	19	22	28	36	42	50

13.4.1 Motoren EZ2 – EZ3 (One Cable Solution)

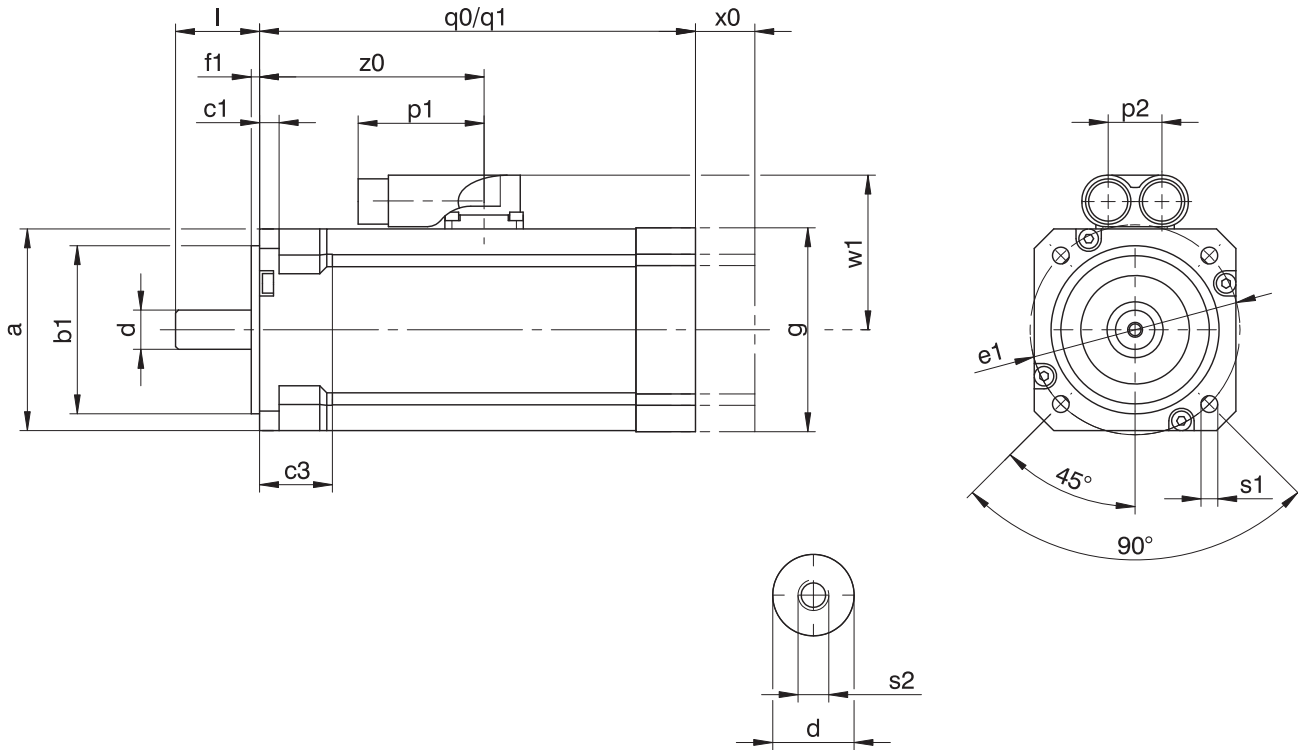


q0 Gilt für Motoren ohne Haltebremse

q1 Gilt für Motoren mit Haltebremse

Typ	□a	∅b1	c1	c3	∅d	∅e1	f1	□g	l	p1	q0	q1	∅s1	s2	w1	z0
EZ202U	55	40 _β	7	7	9 _{k6}	63	3,5	55	20	40	148	157	5,8	M4	69,5	93,0
EZ203U	55	40 _β	7	7	9 _{k6}	63	3,5	55	20	40	166	175	5,8	M4	69,5	111,0
EZ301U	72	60 _β	7	26	14 _{k6}	75	3,0	72	30	40	116	156	6,0	M5	78,0	80,5
EZ302U	72	60 _β	7	26	14 _{k6}	75	3,0	72	30	40	138	178	6,0	M5	78,0	102,5
EZ303U	72	60 _β	7	26	14 _{k6}	75	3,0	72	30	40	160	200	6,0	M5	78,0	124,5

13.4.2 Motoren EZ2 – EZ3



q0 Gilt für Motoren ohne Haltebremse

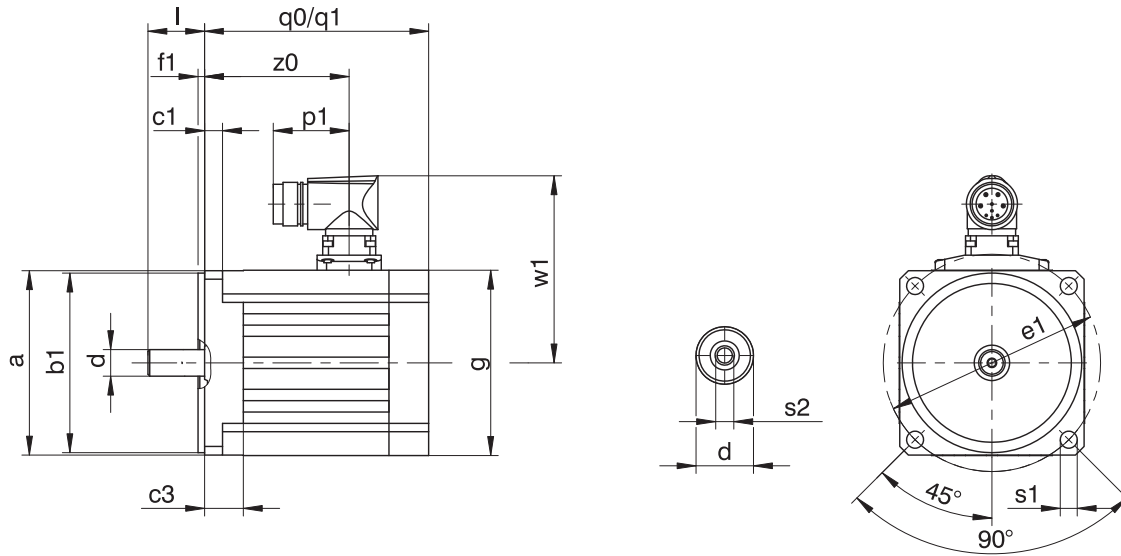
q1 Gilt für Motoren mit Haltebremse

x0 EZ2: Gilt nur für Motoren mit Haltebremse und Encoder mit optischem oder induktivem Messprinzip

EZ3 – EZ8: Gilt für Encoder mit optischem Messprinzip

Typ	a	Øb1	c1	c3	Ød	Øe1	f1	g	l	p1	p2	q0	q1	Øs1	s2	w1	x0	z0
EZ202U	55	40 _{f6}	7	7	9 _{k6}	63	3,5	55	20	45	19	148	157	5,8	M4	47,0	25	93,0
EZ203U	55	40 _{f6}	7	7	9 _{k6}	63	3,5	55	20	45	19	166	175	5,8	M4	47,0	25	111,0
EZ301U	72	60 _{f6}	7	26	14 _{k6}	75	3,0	72	30	45	19	116	156	6,0	M5	55,5	21	80,5
EZ302U	72	60 _{f6}	7	26	14 _{k6}	75	3,0	72	30	45	19	138	178	6,0	M5	55,5	21	102,5
EZ303U	72	60 _{f6}	7	26	14 _{k6}	75	3,0	72	30	45	19	160	200	6,0	M5	55,5	21	124,5

13.4.3 Motoren EZ4 – EZ7 mit Konvektionskühlung (One Cable Solution)

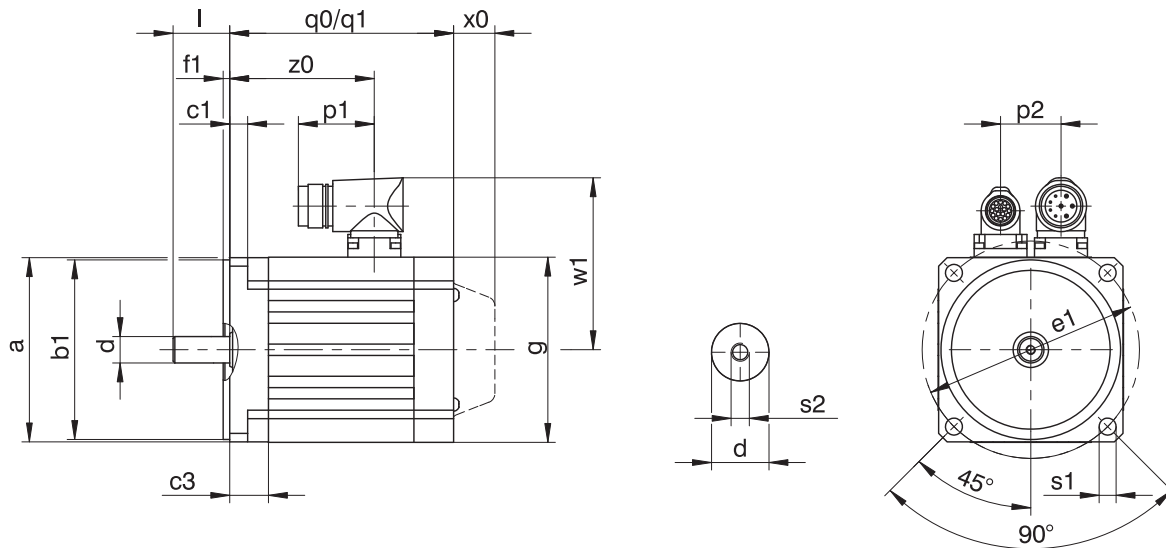


q0 Gilt für Motoren ohne Haltebremse

q1 Gilt für Motoren mit Haltebremse

Typ	□a	Øb1	c1	c3	Ød	Øe1	f1	□g	l	p1	q0	q1	Øs1	s2	w1	z0
EZ401U	98	95 _{js}	9,5	20,5	14 _{ks}	115	3,5	98	30	40	118,5	167,0	9	M5	99	76,5
EZ402U	98	95 _{js}	9,5	20,5	19 _{ks}	115	3,5	98	40	40	143,5	192,0	9	M6	99	101,5
EZ404U	98	95 _{js}	9,5	20,5	19 _{ks}	115	3,5	98	40	40	193,5	242,0	9	M6	99	151,5
EZ501U	115	110 _{js}	10,0	16,0	19 _{ks}	130	3,5	115	40	40	109,0	163,5	9	M6	110	74,5
EZ502U	115	110 _{js}	10,0	16,0	19 _{ks}	130	3,5	115	40	40	134,0	188,5	9	M6	110	99,5
EZ503U	115	110 _{js}	10,0	16,0	24 _{ks}	130	3,5	115	50	40	159,0	213,5	9	M8	110	124,5
EZ505U	115	110 _{js}	10,0	16,0	24 _{ks}	130	3,5	115	50	40	209,0	263,5	9	M8	110	174,5
EZ701U	145	130 _{js}	10,0	19,0	24 _{ks}	165	3,5	145	50	40	121,0	180,0	11	M8	125	83,0
EZ702U	145	130 _{js}	10,0	19,0	24 _{ks}	165	3,5	145	50	40	146,0	205,0	11	M8	125	108,0
EZ703U	145	130 _{js}	10,0	19,0	24 _{ks}	165	3,5	145	50	40	171,0	230,0	11	M8	125	133,0
EZ705U	145	130 _{js}	10,0	19,0	32 _{ks}	165	3,5	145	58	40	226,0	285,0	11	M12	125	184,0

13.4.4 Motoren EZ4 – EZ8 mit Konvektionskühlung



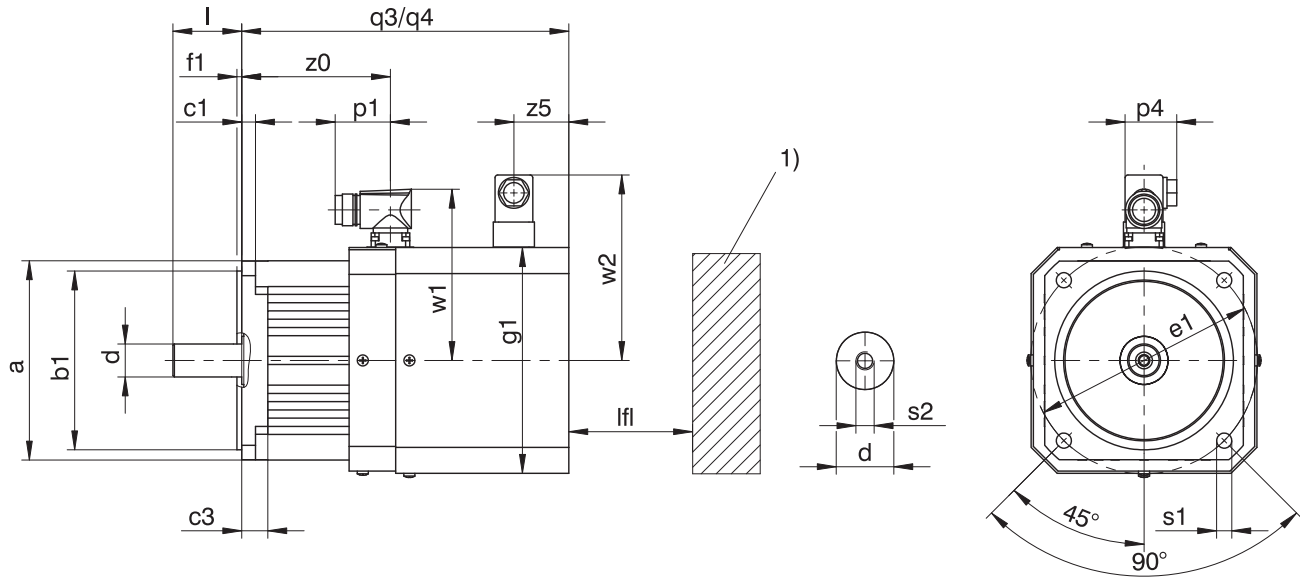
q0 Gilt für Motoren ohne Haltebremse

q1 Gilt für Motoren mit Haltebremse

x0 Gilt für Encoder mit optischem Messprinzip

Typ	□a	Øb1	c1	c3	Ød	Øe1	f1	□g	l	p1	p2	q0	q1	Øs1	s2	w1	x0	z0
EZ401U	98	95 ₆	9,5	20,5	14 ₆	115	3,5	98	30	40	32	118,5	167,0	9,0	M5	91,0	22	76,5
EZ402U	98	95 ₆	9,5	20,5	19 ₆	115	3,5	98	40	40	32	143,5	192,0	9,0	M6	91,0	22	101,5
EZ404U	98	95 ₆	9,5	20,5	19 ₆	115	3,5	98	40	40	32	193,5	242,0	9,0	M6	91,0	22	151,5
EZ501U	115	110 ₆	10,0	16,0	19 ₆	130	3,5	115	40	40	36	109,0	163,5	9,0	M6	100,0	22	74,5
EZ502U	115	110 ₆	10,0	16,0	19 ₆	130	3,5	115	40	40	36	134,0	188,5	9,0	M6	100,0	22	99,5
EZ503U	115	110 ₆	10,0	16,0	24 ₆	130	3,5	115	50	40	36	159,0	213,5	9,0	M8	100,0	22	124,5
EZ505U	115	110 ₆	10,0	16,0	24 ₆	130	3,5	115	50	40	36	209,0	263,5	9,0	M8	100,0	22	174,5
EZ701U	145	130 ₆	10,0	19,0	24 ₆	165	3,5	145	50	40	42	121,0	180,0	11,0	M8	115,0	22	83,0
EZ702U	145	130 ₆	10,0	19,0	24 ₆	165	3,5	145	50	40	42	146,0	205,0	11,0	M8	115,0	22	108,0
EZ703U	145	130 ₆	10,0	19,0	24 ₆	165	3,5	145	50	40	42	171,0	230,0	11,0	M8	115,0	22	133,0
EZ705U	145	130 ₆	10,0	19,0	32 ₆	165	3,5	145	58	71	42	226,0	285,0	11,0	M12	134,0	22	184,0
EZ802U	190	180 ₆	15,0	25,0	32 ₆	215	3,5	190	58	71	60	222,0	299,0	13,5	M12	156,5	22	168,0
EZ803U	190	180 ₆	15,0	25,0	38 ₆	215	3,5	190	80	71	60	263,0	340,0	13,5	M12	156,5	22	209,0
EZ805U	190	180 ₆	15,0	25,0	38 ₆	215	3,5	190	80	71	60	345,0	422,0	13,5	M12	156,5	22	291,0

13.4.5 Motoren EZ4 – EZ7 mit Fremdbelüftung (One Cable Solution)



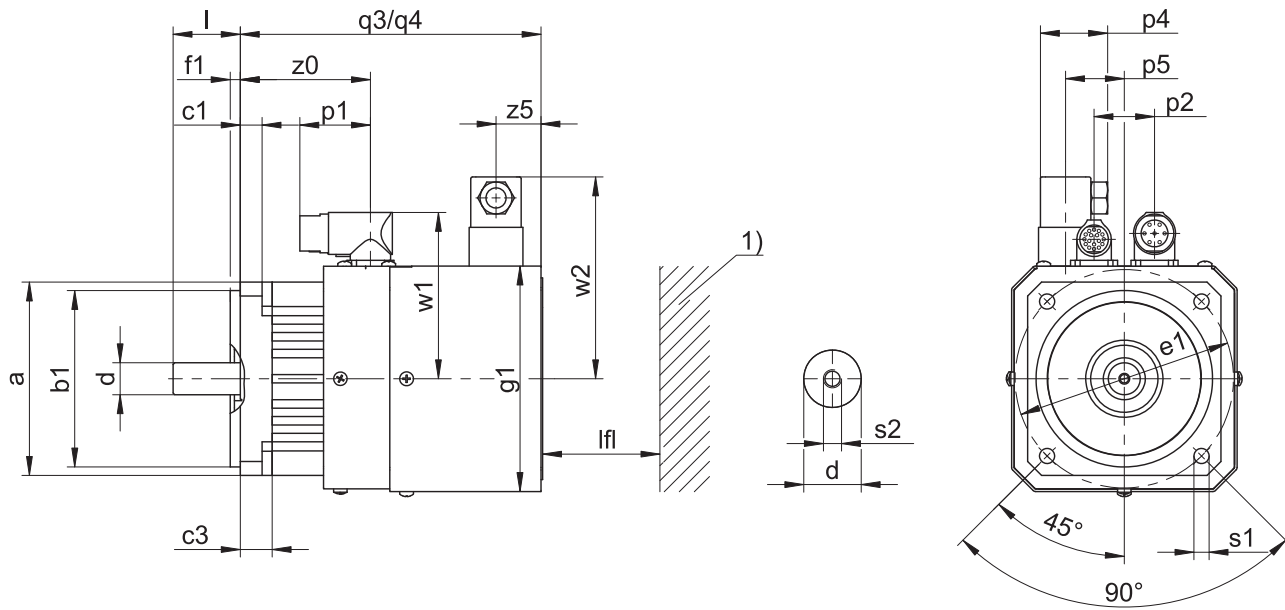
q3 Gilt für Motoren ohne Haltebremse

q4 Gilt für Motoren mit Haltebremse

1) Maschinenwand

Typ	□a	∅b1	c1	c3	∅d	∅e1	f1	□g1	l	lfi _{min}	p1	p4	q3	q4	∅s1	s2	w1	w2	z0	z5
EZ401B	98	95 _{j6}	9,5	20,5	14 _{k6}	115	3,5	118	30	20	40	37,5	175	224	9,0	M5	99	111	76,5	25
EZ402B	98	95 _{j6}	9,5	20,5	19 _{k6}	115	3,5	118	40	20	40	37,5	200	249	9,0	M6	99	111	101,5	25
EZ404B	98	95 _{j6}	9,5	20,5	19 _{k6}	115	3,5	118	40	20	40	37,5	250	299	9,0	M6	99	111	151,5	25
EZ501B	115	110 _{j6}	10,0	16,0	19 _{k6}	130	3,5	135	40	20	40	37,5	179	234	9,0	M6	110	120	74,5	25
EZ502B	115	110 _{j6}	10,0	16,0	19 _{k6}	130	3,5	135	40	20	40	37,5	204	259	9,0	M6	110	120	99,5	25
EZ503B	115	110 _{j6}	10,0	16,0	24 _{k6}	130	3,5	135	50	20	40	37,5	229	284	9,0	M8	110	120	124,5	25
EZ505B	115	110 _{j6}	10,0	16,0	24 _{k6}	130	3,5	135	50	20	40	37,5	279	334	9,0	M8	110	120	174,5	25
EZ701B	145	130 _{j6}	10,0	19,0	24 _{k6}	165	3,5	165	50	30	40	37,5	213	272	11,0	M8	125	134	83,0	40
EZ702B	145	130 _{j6}	10,0	19,0	24 _{k6}	165	3,5	165	50	30	40	37,5	238	297	11,0	M8	125	134	108,0	40
EZ703B	145	130 _{j6}	10,0	19,0	24 _{k6}	165	3,5	165	50	30	40	37,5	263	322	11,0	M8	125	134	133,0	40

13.4.6 Motoren EZ4 – EZ8 mit Fremdbelüftung



q3 Gilt für Motoren ohne Haltebremse

q4 Gilt für Motoren mit Haltebremse

1) Maschinenwand

Typ	□a	Øb1	c1	c3	Ød	Øe1	f1	□g1	l	lfi _{min}	p1	p2	p4	p5	q3	q4	Øs1	s2	w1	w2	z0	z5
EZ401B	98	95 _{f6}	9,5	20,5	14 _{k6}	115	3,5	118	30	20	40	32	37,5	0	175	224	9,0	M5	91,0	111	76,5	25
EZ402B	98	95 _{f6}	9,5	20,5	19 _{k6}	115	3,5	118	40	20	40	32	37,5	0	200	249	9,0	M6	91,0	111	101,5	25
EZ404B	98	95 _{f6}	9,5	20,5	19 _{k6}	115	3,5	118	40	20	40	32	37,5	0	250	299	9,0	M6	91,0	111	151,5	25
EZ501B	115	110 _{f6}	10,0	16,0	19 _{k6}	130	3,5	135	40	20	40	36	37,5	0	179	234	9,0	M6	100,0	120	74,5	25
EZ502B	115	110 _{f6}	10,0	16,0	19 _{k6}	130	3,5	135	40	20	40	36	37,5	0	204	259	9,0	M6	100,0	120	99,5	25
EZ503B	115	110 _{f6}	10,0	16,0	24 _{k6}	130	3,5	135	50	20	40	36	37,5	0	229	284	9,0	M8	100,0	120	124,5	25
EZ505B	115	110 _{f6}	10,0	16,0	24 _{k6}	130	3,5	135	50	20	40	36	37,5	0	279	334	9,0	M8	100,0	120	174,5	25
EZ701B	145	130 _{f6}	10,0	19,0	24 _{k6}	165	3,5	165	50	30	40	42	37,5	0	213	272	11,0	M8	115,0	134	83,0	40
EZ702B	145	130 _{f6}	10,0	19,0	24 _{k6}	165	3,5	165	50	30	40	42	37,5	0	238	297	11,0	M8	115,0	134	108,0	40
EZ703B	145	130 _{f6}	10,0	19,0	24 _{k6}	165	3,5	165	50	30	40	42	37,5	0	263	322	11,0	M8	115,0	134	133,0	40
EZ705B	145	130 _{f6}	10,0	19,0	32 _{k6}	165	3,5	165	58	30	71	42	37,5	0	318	377	11,0	M12	134,0	134	184,0	40
EZ802B	190	180 _{f6}	15,0	25,0	32 _{k6}	215	3,5	215	58	30	71	60	37,5	62	322	399	13,5	M12	156,5	160	168,0	40
EZ803B	190	180 _{f6}	15,0	25,0	38 _{k6}	215	3,5	215	80	30	71	60	37,5	62	363	440	13,5	M12	156,5	160	209,0	40
EZ805B	190	180 _{f6}	15,0	25,0	38 _{k6}	215	3,5	215	80	30	71	60	37,5	62	445	522	13,5	M12	156,5	160	291,0	40

13.5 Typenbezeichnung

Beispiel-Code

EZ	4	0	1	U	D	BB	Q7	O	096
----	---	---	---	---	---	----	----	---	-----

Erklärung

Code	Bezeichnung	Ausführung
EZ	Typ	Synchron-Servomotor
4	Größe	4 (Beispiel)
0	Generation	0
1	Baulänge	1 (Beispiel)
U	Kühlung ¹	Konvektionskühlung
B		Fremdbelüftung
D	Ausführung	Dynamik
BB	Antriebsregler	SI6 (Beispiel)
Q7	Encoder	EnDat 3 EQI 1131 (Beispiel)
O	Bremse	Ohne Haltebremse
P		Permanentmagnet-Haltebremse
096	Spannungskonstante K_{EM}	96 V/1000 min ⁻¹ (Beispiel)

Hinweise

- Im Kapitel Encoder finden Sie Informationen über lieferbare Encoder.
- Im Kapitel Kombinationsmöglichkeiten mit Antriebsreglern finden Sie Informationen über den Anschluss der Synchron-Servomotoren an weitere Antriebsregler von STÖBER.
- Im Kapitel [▶ 14](#) finden Sie Informationen über Anschlussmöglichkeiten von STÖBER Synchron-Servomotoren an Antriebsregler von Fremdherstellern.

13.6 Produktbeschreibung

13.6.1 Allgemeine Merkmale

Merkmal	Beschreibung
Bauform	IM B5, IM V1, IM V3 nach EN 60034-7
Schutzart	IP56 / IP66 (Option)
Thermische Klasse	155 (F) nach EN 60034-1 (155 °C, Erwärmung $\Delta\vartheta = 100$ K)
Oberfläche	Schwarz matt nach RAL 9005
Kühlung	IC 410 Konvektionskühlung (IC 416 Konvektionskühlung mit Fremdlüfter, optional)
Lager	Wälzlager mit Dauerschmierung und berührungsloser Dichtung
Dichtung	Radialwellendichtringe aus FKM (A-seitig)
Welle	Welle ohne Passfeder, Durchmesserqualität k6
Rundlauf	Normale Toleranzklasse nach IEC 60072-1
Koaxialität	Normale Toleranzklasse nach IEC 60072-1
Planlauf	Normale Toleranzklasse nach IEC 60072-1
Schwingstärke	A nach EN 60034-14
Geräuschpegel	Grenzwerte nach EN 60034-9

13.6.2 Elektrische Merkmale

In diesem Kapitel sind allgemeine elektrische Merkmale des Motors beschrieben. Details finden Sie im Kapitel Auswahltabellen.

Merkmale	Beschreibung
Zwischenkreisspannung	DC 540 V (max. 620 V) an STÖBER Antriebsreglern
Wicklung	Dreiphasig in Einzelzahnausführung
Schaltung	Stern, Mittelpunkt nicht herausgeführt
Schutzklasse	I (Schutzerdung) nach EN 61140
Impulsspannungs-Isolationsklasse (IVIC)	C nach DIN EN 60034-18-41 (Umrichteranschlussspannung 0 – 480 V ± 10 %)
Polpaarzahl	2 (EZ2) 5 (EZ3) 7 (EZ4/EZ5/EZ7) 8 (EZ8)

13.6.3 Umgebungsbedingungen

In diesem Kapitel sind Standard Umgebungsbedingungen für den Transport, Lagerung und Betrieb des Motors beschrieben. Informationen zu abweichenden Umgebungsbedingungen finden Sie im Kapitel Derating.

Merkmale	Beschreibung
Umgebungstemperatur Transport/Lagerung	–30 °C bis +85 °C
Umgebungstemperatur Betrieb	–15 °C bis +40 °C
Relative Luftfeuchtigkeit	5 % bis 95 %, keine Betauung
Aufstellhöhe	≤ 1000 m über Normalnull
Schockbelastung	≤ 50 m/s ² (5 g), 6 ms nach EN 60068-2-27

Hinweise

- STÖBER Synchron-Servomotoren sind nicht geeignet für explosionsgefährdete Bereiche.
- Fangen Sie die Leistungskabel nahe am Motor ab, damit Vibrationen des Kabels die Motorsteckverbinder nicht unzulässig belasten.
- Beachten Sie, dass durch Schockbelastung die Bremsmomente der Haltebremse (Option) reduziert werden können.
- Berücksichtigen Sie, dass bei Betriebstemperaturen unter 0 °C die Scheiben der Haltebremse (Option) vereisen können.
- Berücksichtigen Sie auch die Schockbelastung des Motors durch Abtriebsaggregate (zum Beispiel Getriebe oder Pumpen), an die der Motor angekoppelt wird.

13.6.4 Encoder

STÖBER Synchron-Servomotoren können mit unterschiedlichen Encodertypen ausgeführt werden. In folgenden Kapiteln finden Sie Informationen zur Auswahl eines Encoders, der für Ihre Anwendung optimal passt.

13.6.4.1 Auswahlhilfe Encoder-Messprinzip

Folgende Tabelle bietet Ihnen eine Auswahlhilfe für ein Encoder-Messprinzip, das für Ihre Anwendung optimal geeignet ist.

Merkmal	Absolutwertencoder		Resolver
	Optisch	Induktiv	Elektromagnetisch
Messprinzip			
Temperaturbeständigkeit	★★☆	★★★	★★★
Vibrations- und Schockfestigkeit	★★☆	★★★	★★★
Systemgenauigkeit	★★★	★★☆	★★☆
Ausführung mit Fehlerausschluss der mechanischen Ankopplung FMA (Option mit EnDat-Schnittstelle)	✓	✓	–
Einsparung von Referenzfahrten bei Multiturn-Ausführung (Option)	✓	✓	–
Einfache Inbetriebnahme durch elektronisches Typenschild	✓	✓	–

Legende: ★☆☆ = befriedigend, ★★☆ = gut, ★★★ = sehr gut

13.6.4.2 Auswahlhilfe für EnDat-Schnittstelle

Folgende Tabelle bietet Ihnen eine Auswahlhilfe für die EnDat-Schnittstelle von Absolutwertencodern.

Merkmal	EnDat 2.1	EnDat 2.2	EnDat 3
Kurze Zykluszeiten	★★☆	★★★	★★★
Übertragung von Zusatzinformationen mit dem Positionswert	–	✓	✓
Erweiterter Spannungsversorgungsbereich	★★☆	★★★	★★★
One Cable Solution OCS	–	–	✓

Legende: ★★☆ = gut, ★★★ = sehr gut

13.6.4.3 EnDat 3 Encoder

EnDat 3 ist ein robustes, rein digitales Protokoll, das mit einem Minimum an Verbindungsleitungen auskommt. EnDat 3 ermöglicht die One Cable Solution, bei der die Verbindungsleitungen zwischen Encoder und Antriebsregler im Leistungskabel des Motors mitgeführt werden.

One Cable Solution bietet folgende Vorteile:

- Deutlich reduzierter Verkabelungsaufwand durch Einsparung des Encoderkabels
- Für Kabellängen bis 50 m keine Drossel zwischen Antriebsregler und Motor erforderlich
- Erweiterte Sicherheitsfunktionen möglich (bis SIL2 / Kategorie 3, PLd)
- Deutlich reduzierter Platzbedarf durch Einsparung des Encodersteckverbinders
- Übertragung der Messwerte des Temperatursensors über das Protokoll EnDat 3.

Ein Motor mit dem Encoder EnDat 3 kann nur am Antriebsregler SI6 oder SC6 von STÖBER betrieben werden.

Der Encoder EnDat 3 hat folgende Merkmale:

Encodertyp	Code	Messprinzip	Erfassbare Umdrehungen	Auflösung	Positionswerte pro Umdrehung	MTTF [Jahre]	PHF [h]
EnDat 3 EQJ 1131	Q7	Induktiv	4096	19 Bit	524288	> 100	≤ 15 × 10 ⁻⁹

13.6.4.4 EnDat 2 Encoder

In diesem Kapitel finden Sie detaillierte technische Daten der wählbaren Encodertypen mit EnDat-Schnittstelle.

Encoder mit EnDat 2.2 Schnittstelle

Encodertyp	Code	Messprinzip	Erfassbare Umdrehungen	Auflösung	Positionswerte pro Umdrehung	MTTF [Jahre]	PHF [h]
EnDat 2.2 EQI 1131	Q6	Induktiv	4096	19 Bit	524288	> 100	$\leq 15 \times 10^{-9}$
EnDat 2.2 EBI 1135	B0	Induktiv	65536	18 Bit	262144	> 100	$\leq 600 \times 10^{-9}$
EnDat 2.2 ECI 1118-G2	C5	Induktiv	–	18 Bit	262144	> 76	$\leq 1,5 \times 10^{-6}$
EnDat 2.2 EQN 1135 FMA	M3	Optisch	4096	23 Bit	8388608	> 100	$\leq 15 \times 10^{-9}$
EnDat 2.2 EQN 1135	Q5	Optisch	4096	23 Bit	8388608	> 100	$\leq 15 \times 10^{-9}$
EnDat 2.2 ECN 1123 FMA	M1	Optisch	–	23 Bit	8388608	> 100	$\leq 15 \times 10^{-9}$
EnDat 2.2 ECN 1123	C7	Optisch	–	23 Bit	8388608	> 100	$\leq 15 \times 10^{-9}$

Encoder mit EnDat 2.1 Schnittstelle

Encodertyp	Code	Messprinzip	Erfassbare Umdrehungen	Auflösung	Positionswerte pro Umdrehung	Perioden pro Umdrehung	MTTF [Jahre]	PHF [h]
EnDat 2.1 EQN 1125 FMA	M2	Optisch	4096	13 Bit	8192	Sin/Cos 512	> 57	$\leq 2 \times 10^{-6}$
EnDat 2.1 EQN 1125	Q4	Optisch	4096	13 Bit	8192	Sin/Cos 512	> 57	$\leq 2 \times 10^{-6}$
EnDat 2.1 ECN 1113 FMA	M0	Optisch	–	13 Bit	8192	Sin/Cos 512	> 57	$\leq 2 \times 10^{-6}$
EnDat 2.1 ECN 1113	C6	Optisch	–	13 Bit	8192	Sin/Cos 512	> 57	$\leq 2 \times 10^{-6}$
EnDat 2.1 ECI 1118-G3	C2	Induktiv	–	18 Bit	262144	Sin/Cos 512	> 100	$\leq 6 \times 10^{-7}$

Hinweise

- Der Code des Encoders ist Bestandteil der Typenbezeichnung des Motors.
- FMA = Ausführung mit Fehlerausschluss der mechanischen Ankopplung.
- MTTF = Mittlere Zeit bis zum gefahrbringenden Ausfall. MTTF-Werte größer als 100 Jahre wurden gemäß DIN EN ISO 13849 reduziert.
- PFH = Wahrscheinlichkeit eines gefahrbringenden Ausfalls pro Stunde
- Der Encoder EnDat 2.2 EBI 1135 benötigt eine externe Pufferbatterie, damit nach dem Abschalten der Spannungsversorgung die absolute Positionsinformation erhalten bleibt (AES-Option bei STÖBER Antriebsreglern).
- Mehrere Umdrehungen der Motorwelle können nur mit Multiturn-Encodern erfasst werden.

13.6.4.5 Resolver

In diesem Kapitel finden Sie detaillierte technische Daten des Resolvers, der als Encoder in einem STÖBER Synchron-Servomotor verbaut werden kann.

Merkmal	Beschreibung
Polzahl	2
Eingangsspannung $U_{1\text{eff}}$	$7 \text{ V} \pm 5 \%$
Eingangsfrequenz f_1	10 kHz
Ausgangsspannung $U_{2,S1-S3}$	$K_{tr} \cdot U_{R1-R2} \cdot \cos \theta$
Ausgangsspannung $U_{2,S2-S4}$	$K_{tr} \cdot U_{R1-R2} \cdot \sin \theta$
Transformationsverhältnis K_{tr}	$0,5 \pm 5 \%$
Elektrischer Fehler	$\pm 10 \text{ arcmin}$
MTTF	> 100 Jahre
PHF	$\leq 10^{-9}$

13.6.4.6 Kombinationsmöglichkeiten mit Antriebsreglern

Folgende Tabelle stellt Kombinationsmöglichkeiten von STÖBER Antriebsreglern mit wählbaren Encodertypen dar.

Antriebsregler Code Antriebsregler ID Anschlussplan Encoder	Code Encoder	SDS 5000		SD6		SI6			SC6		
		AA	AC	AD	AE	AP	AQ	BB	AU	AV	BA
		442305	442307	442450	442451	442771	442772	443175	443052	443053	443174
EnDat 3 EQI 1131	Q7	–	–	–	–	–	–	✓	–	–	✓
EnDat 2.2 EQI 1131	Q6	✓	–	✓	–	✓	–	–	✓	–	–
EnDat 2.2 EQN 1135 FMA	M3	✓	–	✓	–	–	–	–	–	–	–
EnDat 2.2 EQN 1135	Q5	✓	–	✓	–	✓	–	–	✓	–	–
EnDat 2.2 ECN 1123 FMA	M1	✓	–	✓	–	–	–	–	–	–	–
EnDat 2.2 ECN 1123	C7	✓	–	✓	–	✓	–	–	✓	–	–
EnDat 2.2 ECI 1118-G2	C5	✓	–	✓	–	✓	–	–	✓	–	–
EnDat 2.1 EQN 1125 FMA	M2	✓	✓	✓	✓	–	–	–	–	–	–
EnDat 2.1 EQN 1125	Q4	✓	✓	✓	✓	–	–	–	–	–	–
EnDat 2.1 ECN 1113 FMA	M0	✓	✓	✓	✓	–	–	–	–	–	–
EnDat 2.1 ECN 1113	C6	✓	✓	✓	✓	–	–	–	–	–	–
Resolver	R0	✓	–	–	✓	–	✓	–	–	✓	–

Hinweise

- Der Code des Antriebsreglers und des Encoders sind Bestandteil der Typenbezeichnung des Motors (siehe Kapitel Typenbezeichnung).
- Im Kapitel [14] finden Sie Informationen über Anschlussmöglichkeiten von STÖBER Synchron-Servomotoren an Antriebsregler von Fremdherstellern.

13.6.5 Temperatursensor

In diesem Kapitel finden Sie technische Daten von Temperatursensoren, die in STÖBER Synchron-Servomotoren für die Realisierung des thermischen Wicklungsschutzes verbaut werden. Um Schäden am Motor zu vermeiden, überwachen Sie grundsätzlich den Temperatursensor mit entsprechenden Geräten, die den Motor bei Überschreitung der maximal zulässigen Wicklungstemperatur abschalten.

Einige Encoder verfügen über eine integrierte Temperaturüberwachung, deren Warn- und Abschaltswellen sich mit entsprechenden Werten überlappen können, die im Antriebsregler für den Temperatursensor eingestellt sind. Das kann unter Umständen dazu führen, dass ein Encoder mit eigener Temperaturüberwachung eine Abschaltung des Motors erzwingt, noch bevor der Motor seine Nenndaten erreicht hat.

Informationen zum elektrischen Anschluss des Temperatursensors finden Sie im Kapitel Anschlussstechnik.

13.6.5.1 PTC-Thermistor

Der PTC-Thermistor wird als Standard-Temperatursensor in STÖBER Synchron-Servomotoren verbaut.

Der PTC-Thermistor ist ein Drillings-Kaltleiter nach DIN 44082, mit dem die Temperatur jeder Wicklungsphase überwacht werden kann. Die Widerstandswerte in folgender Tabelle und Kennlinie beziehen sich auf einen einzelnen Kaltleiter nach DIN 44081. Für einen Drillings-Kaltleiter nach DIN 44082 multiplizieren Sie diese Werte mit 3.

Merkmal	Beschreibung
Nennansprechtemperatur ϑ_{NAT}	145 °C ± 5 K
Widerstand R von –20 °C bis $\vartheta_{NAT} - 20$ K	≤ 250 Ω
Widerstand R bei $\vartheta_{NAT} - 5$ K	≤ 550 Ω
Widerstand R bei $\vartheta_{NAT} + 5$ K	≥ 1330 Ω
Widerstand R bei $\vartheta_{NAT} + 15$ K	≥ 4000 Ω
Betriebsspannung	≤ DC 7,5 V
Thermische Ansprechzeit	< 5 s
Thermische Klasse	155 (F) nach EN 60034-1 (155 °C, Erwärmung $\Delta\vartheta = 100$ K)

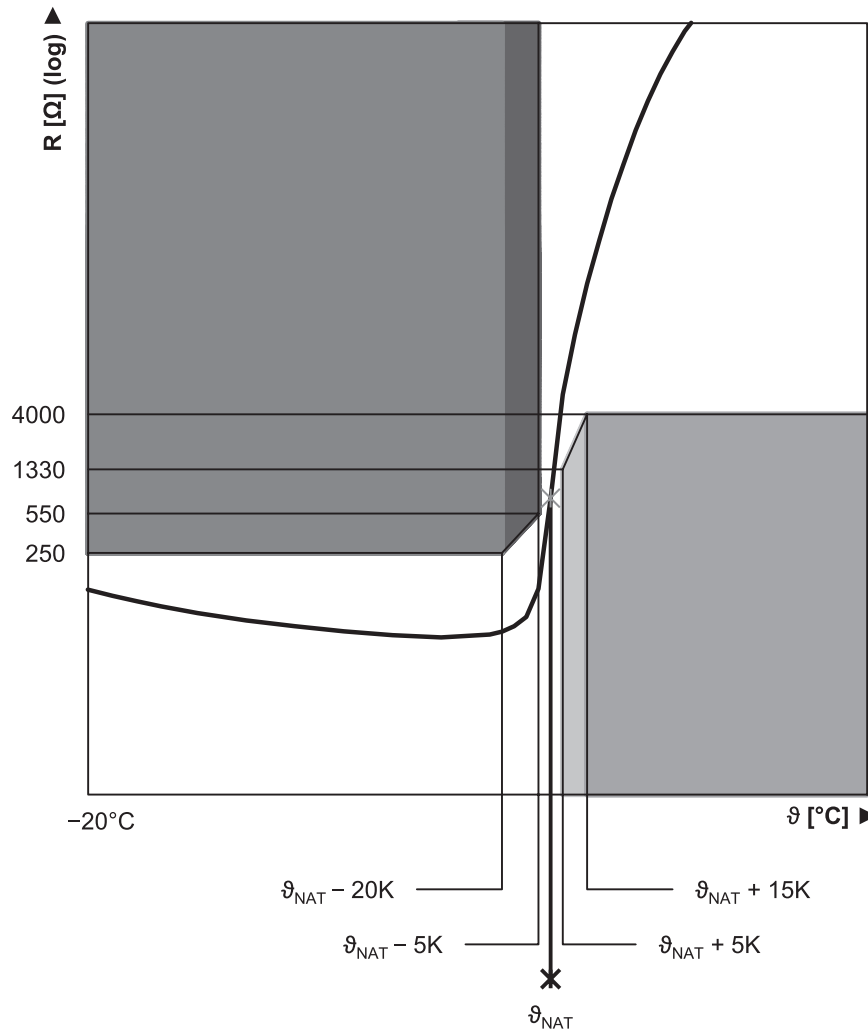


Abb. 2: Kennlinie PTC-Thermistor (einzelner Kaltleiter)

13.6.5.2 Pt1000-Temperatursensor

STÖBER Synchron-Servomotoren können optional mit einem Pt1000-Temperatursensor ausgeführt werden. Der Pt1000 ist ein temperaturabhängiger Widerstand mit einer Widerstandskennlinie, die der Temperatur linear folgt. Der Pt1000 ermöglicht somit Messungen der Wicklungstemperatur. Diese Messungen sind allerdings auf eine Phase der Motorwicklung beschränkt. Um den Motor vor Überschreitung der maximal zulässigen Wicklungstemperatur ausreichend zu schützen, realisieren Sie im Antriebsregler eine Überwachung der Wicklungstemperatur über ein i^2t -Modell.

Pt1000-Temperatursensoren können auch mit One Cable Solution genutzt werden.

Um die Messwerte durch Eigenerwärmung des Temperatursensors nicht zu verfälschen, vermeiden Sie eine Überschreitung des angegebenen Messstroms.

Merkmal	Beschreibung
Messstrom (konstant)	2 mA
Widerstand R bei $\vartheta = 0^{\circ}\text{C}$	1000 Ω
Widerstand R bei $\vartheta = 80^{\circ}\text{C}$	1300 Ω
Widerstand R bei $\vartheta = 150^{\circ}\text{C}$	1570 Ω

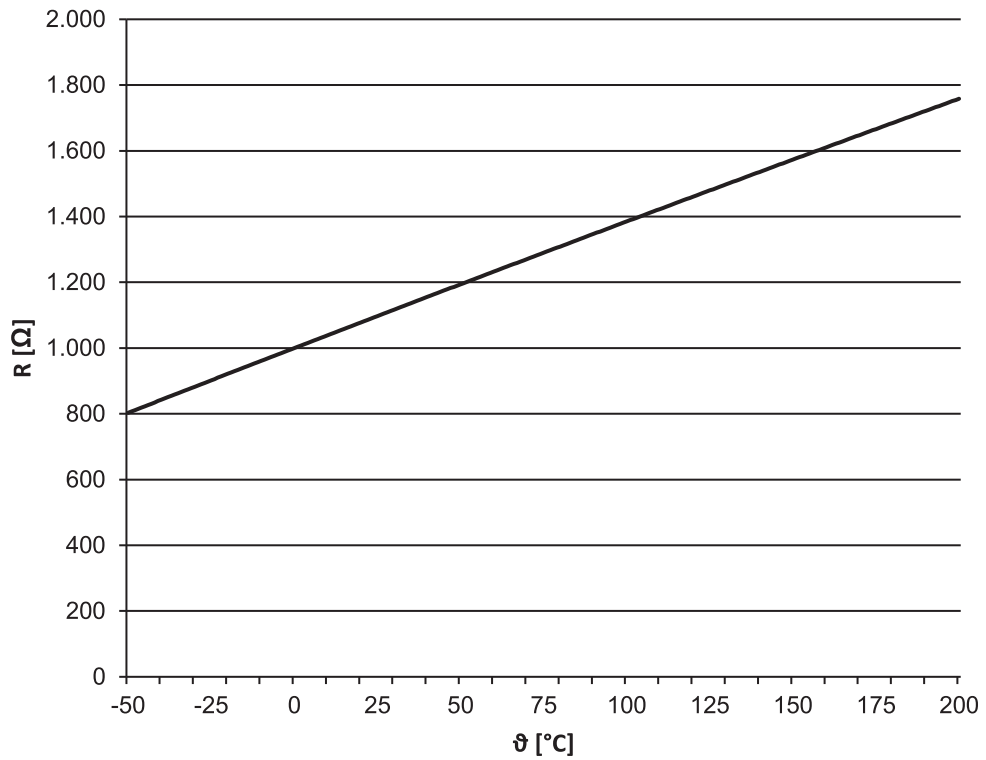


Abb. 3: Kennlinie Pt1000-Tempersensur

13.6.6 Kühlung

Die Kühlung eines Synchron-Servomotors in der Standardausführung erfolgt über Konvektionskühlung (IC 410 nach EN 60034-6). Optional kann der Motor durch einen Fremdlüfter gekühlt werden.

13.6.6.1 Fremdbelüftung

STÖBER Synchron-Servomotoren können optional mit einem Fremdlüfter gekühlt werden, um bei gleicher Baugröße die Leistungsdaten zu erhöhen. Auch eine Nachrüstung mit einem Fremdlüfter ist möglich, um den Antrieb nachträglich zu optimieren. Prüfen Sie bei einer Nachrüstung, ob der Leiterquerschnitt der Leistungskabel des Motors erhöht werden muss. Berücksichtigen Sie auch die Maße des Fremdlüfters.

Die Leistungsdaten der Motoren mit Fremdbelüftung finden Sie im Kapitel Auswahltabellen, die Maße im Kapitel Maßzeichnungen.

Technische Daten

Motor	Fremdlüfter	$U_{N,F}$ [V]	$I_{N,F}$ [A]	$P_{N,F}$ [W]	q_{VF} [m³/h]	$L_{DA,F}$ [dBA]	m_F [kg]	Schutzart
EZ4_B	FL4	230 V ± 5 %, 50/60 Hz	0,07	10	59	41	1,4	IP44
EZ5_B	FL5		0,10	14	160	45	1,9	IP54
EZ7_B	FL7		0,10	14	160	45	2,9	IP54
EZ8_B	FL8		0,20	26	420	54	5,0	IP55

Anschlussbelegung Fremdlüfter-Steckverbinder

Anschlussbild	Pin	Anschluss
	1	L1 (Phase)
	2	N (Neutralleiter)
	3	PE (Schutzleiter)

13.6.7 Haltebremse

STÖBER Synchron-Servomotoren können optional mit einer spielfreien Permanentmagnet-Haltebremse ausgerüstet werden, um die Motorwelle im Stillstand des Motors festzuhalten. Die Haltebremse fällt bei einem Spannungsabfall automatisch ein.

Die Haltebremse ist für eine hohe Anzahl an Schaltungen ausgelegt ($B_{10} = 10$ Mio. Schaltungen, $B_{10d} = 20$ Mio. Schaltungen).

Nennspannung der Permanentmagnet-Haltebremse: DC 24 V \pm 5 %, geglättet.

Beachten Sie bei der Projektierung Folgendes:

- Die Haltebremse ist für das Halten der Motorwelle im Stillstand bestimmt. Tätigen Sie Bremsungen während des Betriebs über entsprechende elektrische Funktionen des Antriebsreglers. Die Haltebremse kann in Ausnahmefällen für Bremsungen aus voller Drehzahl bei einem Spannungsausfall oder beim Einrichten der Maschine benutzt werden. Die maximal zulässige Reibarbeit $W_{B,Rmax/h}$ darf dabei nicht überschritten werden.
- Berücksichtigen Sie, dass bei Bremsungen aus voller Drehzahl das Bremsmoment M_{Bdyn} am Anfang über 50 % geringer sein kann. Dadurch setzt die Bremswirkung verspätet ein und die Bremswege werden länger.
- Führen Sie regelmäßig einen Bremsentest durch, um die Funktionssicherheit der Bremsen zu gewährleisten. Details finden Sie in der Dokumentation des Motors und des Antriebsreglers.
- Schließen Sie parallel zur Bremsspule einen Varistor vom Typ S14 K35 (oder vergleichbar) an, um Ihre Maschine vor Schaltüberspannungen zu schützen. (Nicht notwendig bei Anschluss der Haltebremse an STÖBER Antriebsregler der Generation 6 und der Generation 5 mit Bremsmodul BRS/BRM).
- Die Haltebremse des Motors bietet keine ausreichende Sicherheit für Personen, die sich im Gefährdungsbereich von schwerkraftbelasteten Vertikalachsen befinden. Treffen Sie deshalb zusätzliche Maßnahmen zur Risikominderung, indem Sie z. B. einen mechanischen Unterbau für Wartungsarbeiten vorsehen.
- Berücksichtigen Sie Spannungsverluste in den Anschlusskabeln, die die Spannungsquelle mit den Anschlüssen der Haltebremse verbinden.
- Das Haltemoment der Bremse kann durch Schockbelastung reduziert werden. Informationen zur Schockbelastung finden Sie im Kapitel Umgebungsbedingungen.
- Bei Betriebstemperaturen von -15 °C bis 0 °C kann es bei kalter Haltebremse im gelüfteten Zustand zu betriebsbedingten Geräuschen kommen. Mit zunehmender Temperatur der Haltebremse gehen diese Geräusche zurück, sodass bei betriebswarmer Haltebremse keine betriebsbedingten Geräusche im gelüfteten Zustand zu hören sind.

Berechnung der Reibarbeit pro Bremsung

$$W_{B,R/B} = \frac{J_{tot} \cdot n^2}{182,4} \cdot \frac{M_{Bdyn}}{M_{Bdyn} \pm M_L}, \quad M_{Bdyn} > M_L$$

Das Vorzeichen von M_L ist positiv, wenn die Bewegung vertikal aufwärts oder horizontal verläuft und negativ, wenn die Bewegung vertikal abwärts verläuft.

Berechnung der Abbremszeit

$$t_{dec} = 2,66 \cdot t_{IB} + \frac{n \cdot J_{tot}}{9,55 \cdot M_{Bdyn}}$$

Schaltverhalten

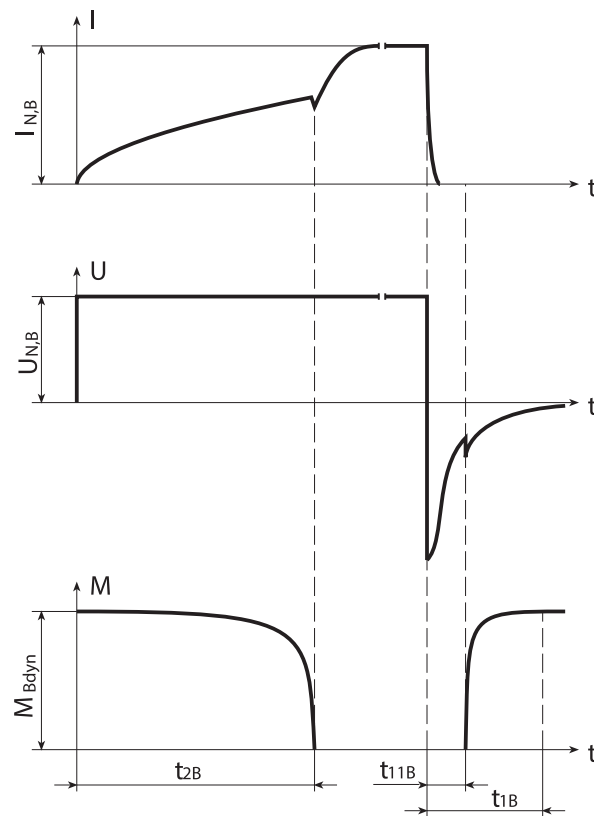


Abb. 4: Haltebremse – Schaltverhalten

Technische Daten

Typ	M _{Bstat} [Nm]	M _{Bdyn} [Nm]	I _{N,B} [A]	W _{B,Rmax/h} [kJ/h]	N _{Bstop}	J _{Bstop} [kgcm ²]	W _{B,Rlim} [kJ]	t _{2B} [ms]	t _{11B} [ms]	t _{1B} [ms]	x _{B,N} [mm]	ΔJ _B [kgcm ²]	Δm _B [kg]
EZ202	1,2	1,0	0,36	3,0	45000	0,310	70	10	2,0	5	0,15	0,03	0,25
EZ203	1,2	1,0	0,38	3,0	36000	0,390	70	10	2,0	5	0,15	0,03	0,25
EZ301	2,5	2,3	0,51	6,0	48000	0,752	180	25	3,0	20	0,20	0,19	0,55
EZ302	4,0	3,8	0,50	8,5	38000	0,952	180	44	4,0	26	0,30	0,19	0,55
EZ303	4,0	3,8	0,50	8,5	30000	1,17	180	44	4,0	26	0,30	0,19	0,55
EZ401	4,0	3,8	0,50	8,5	16000	2,24	180	44	4,0	26	0,30	0,19	0,76
EZ402	8,0	7,0	0,75	8,5	13500	4,39	300	40	2,0	20	0,30	0,57	0,97
EZ404	8,0	7,0	0,75	8,5	8500	7,09	300	40	2,0	20	0,30	0,57	0,97
EZ501	8,0	7,0	0,75	8,5	8700	6,94	300	40	2,0	20	0,30	0,57	1,19
EZ502	8,0	7,0	0,80	8,5	5200	11,5	300	40	2,0	20	0,30	0,57	1,19
EZ503	15	12	1,0	11,0	5900	18,6	550	60	5,0	30	0,30	1,72	1,62
EZ505	15	12	1,0	11,0	4000	27,8	550	60	5,0	30	0,30	1,72	1,62
EZ701	15	12	1,0	11,0	5400	20,5	550	60	5,0	30	0,30	1,74	1,94
EZ702	15	12	1,0	11,0	3600	30,9	550	60	5,0	30	0,30	1,74	1,94
EZ703	32	28	1,1	25,0	5200	54,6	1400	100	5,0	25	0,40	5,68	2,81
EZ705	32	28	1,1	25,0	3500	79,4	1400	100	5,0	25	0,40	5,68	2,81
EZ802	65	35	1,7	45,0	6000	149	2250	200	10	50	0,40	16,5	5,40
EZ803	65	35	1,7	45,0	4500	200	2250	200	10	50	0,40	16,5	5,40
EZ805	115	70	2,1	65,0	7000	376	6500	190	12	65	0,50	55,5	8,40

13.6.8 Anschlussstechnik

In folgenden Kapiteln ist die Anschlussstechnik von STÖBER Synchron-Servomotoren in Standardausführung an STÖBER Antriebsregler beschrieben. Im Anschlussplan, der mit jedem Synchron-Servomotor ausgeliefert wird, finden Sie weitere Informationen in Bezug auf den Antriebsreglertyp, der in Ihrer Bestellung festgelegt wurde.

Im Kapitel [▶ 14](#) finden Sie Informationen über Anschlussmöglichkeiten von STÖBER Synchron-Servomotoren an Antriebsregler von Fremdherstellern.

13.6.8.1 Anschluss des Motorgehäuses an das Schutzleitersystem

Schließen Sie das Motorgehäuse an das Schutzleitersystem der Maschine an, um Personen zu schützen und Fehlauslösungen von Fehlerstrom-Schutzeinrichtungen zu vermeiden.

Alle benötigten Befestigungsteile für den Anschluss des Schutzleiters an das Motorgehäuse werden mit dem Motor mitgeliefert. Die Erdungsschraube des Motors ist mit dem Symbol \oplus nach IEC 60417-DB gekennzeichnet. Der Querschnitt des Schutzleiters muss mindestens so groß wie der Querschnitt der Leitungen des Leistungsanschlusses sein.

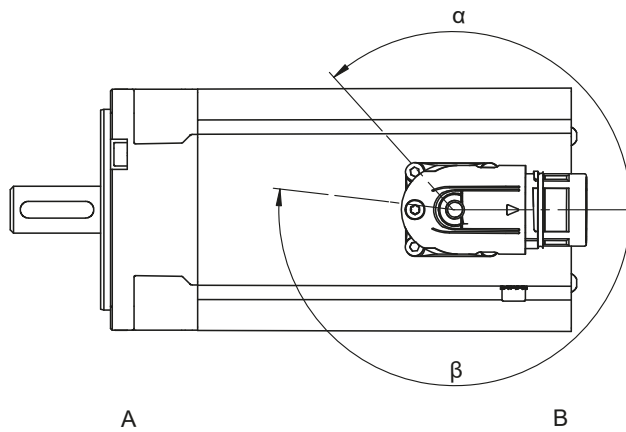
13.6.8.2 Steckverbinder (One Cable Solution)

Bei der Ausführung One Cable Solution erfolgt der Leistungs- und Encoderanschluss über einen gemeinsamen Steckverbinder.

Vermeiden Sie bei Motoren mit Fremdbelüftung Kollisionen der Anschlusskabel des Motors mit dem Fremdlüfter-Steckverbinder. Verdrehen Sie im Kollisionsfall die Steckverbinder des Motors entsprechend. Details zur Lage des Fremdlüfter-Steckverbinders finden Sie im Kapitel Maßzeichnungen.

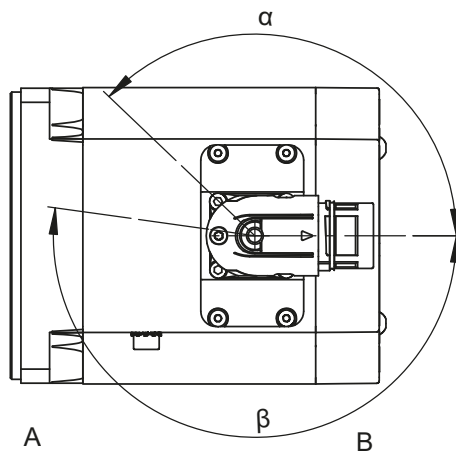
Die Abbildungen stellen die Lage der Steckverbinder bei Auslieferung dar.

Verdrehbereiche der Steckverbinder (Motoren EZ2 – EZ3)



A	Anbau- oder Abtriebsseite des Motors	B	Nicht Abtriebsseite
---	--------------------------------------	---	---------------------

Verdrehbereiche der Steckverbinder (Motoren EZ4 – EZ7)



A	Anbau- oder Abtriebsseite des Motors	B	Nicht Abtriebsseite
---	--------------------------------------	---	---------------------

Merkmale Steckverbinder

Motortyp	Größe	Verbindung	Verdrehbereich	
			α	β
EZ2 – EZ5, EZ701 – EZ703, EZ705U	con.23	Schnellverschluss	130°	190°

Hinweise

- Die Zahl nach "con." gibt in etwa den Außengewindedurchmesser des Steckverbinders in mm an (con.23 bezeichnet z. B. einen Steckverbinder mit ca. 23 mm Außengewindedurchmesser).

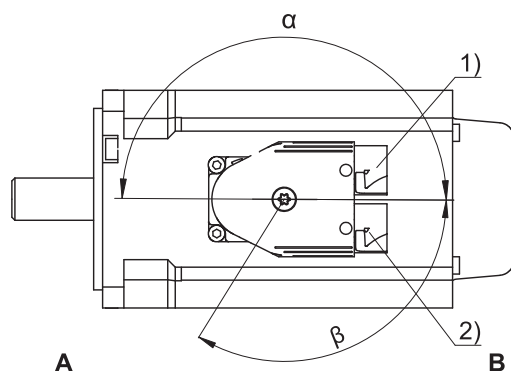
13.6.8.3 Steckverbinder

STÖBER Synchron-Servomotoren sind in der Standardausführung mit verdrehbaren Schnellverschluss-Steckverbindern ausgestattet. Details finden Sie in diesem Kapitel.

Vermeiden Sie bei Motoren mit Fremdbelüftung Kollisionen der Anschlusskabel des Motors mit dem Fremdlüfter-Steckverbinder. Verdrehen Sie im Kollisionsfall die Steckverbinder des Motors entsprechend. Details zur Lage des Fremdlüfter-Steckverbinders finden Sie im Kapitel Maßzeichnungen.

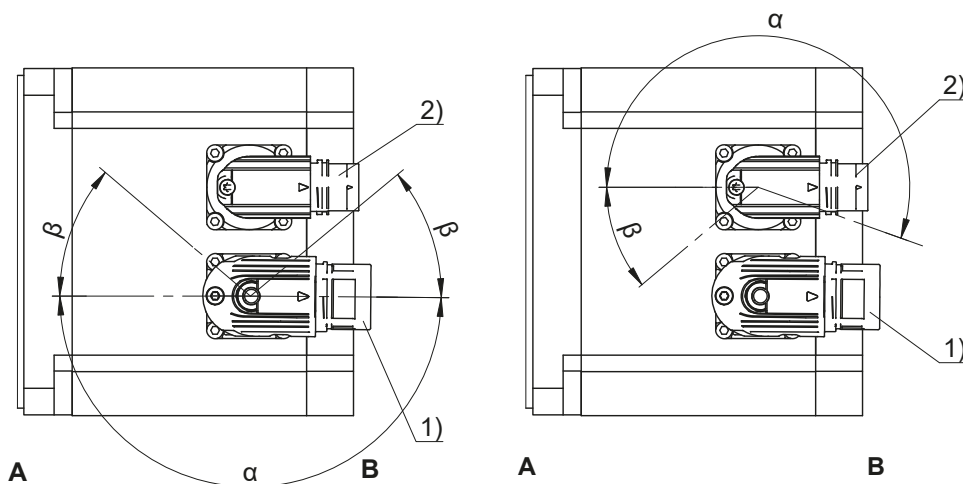
Die Abbildungen stellen die Lage der Steckverbinder bei Auslieferung dar.

Verdrehbereiche der Steckverbinder (Motoren EZ2 – EZ3)



- | | | | |
|---|--------------------------------------|---|-----------------------|
| 1 | Leistungssteckverbinder | 2 | Encodersteckverbinder |
| A | Anbau- oder Abtriebsseite des Motors | B | Nicht Abtriebsseite |

Verdrehbereiche der Steckverbinder (Motoren EZ4 – EZ8)



- | | | | |
|---|--------------------------------------|---|-----------------------|
| 1 | Leistungssteckverbinder | 2 | Encodersteckverbinder |
| A | Anbau- oder Abtriebsseite des Motors | B | Nicht Abtriebsseite |

Merkmale Leistungssteckverbinder

Motortyp	Größe	Verbindung	Verdrehbereich	
			α	β
EZ2, EZ3	con.15	Schnellverschluss	180°	140°
EZ4, EZ5, EZ701, EZ702, EZ703	con.23	Schnellverschluss	180°	40°
EZ705, EZ802, EZ803, EZ805	con.40	Schnellverschluss	180°	40°

Merkmale Encodersteckverbinder

Motortyp	Größe	Verbindung	Verdrehbereich	
			α	β
EZ2, EZ3	con.15	Schnellverschluss	180°	140°
EZ4, EZ5, EZ7, EZ802, EZ803, EZ805	con.17	Schnellverschluss	195°	35°

Hinweise

- Die Zahl nach "con." gibt in etwa den Außengewindedurchmesser des Steckverbinders in mm an (con.23 bezeichnet z. B. einen Steckverbinder mit ca. 23 mm Außengewindedurchmesser).
- Im Verdrehbereich β können die Leistungs- bzw. Encodersteckverbinder nur dann verdreht werden, wenn sie dabei nicht miteinander kollidieren.
- Beim Motor EZ2/EZ3 sind die Leistungs- und Encodersteckverbinder mechanisch verbunden und können nur zusammen verdreht werden.

13.6.8.4 Anschlussbelegung Steckverbinder (One Cable Solution)

Bei der Ausführung One Cable Solution erfolgt der Leistungs- und Encoderanschluss über einen gemeinsamen Steckverbinder.

Der Temperatursensor des Motors ist intern am Encoder angeschlossen. Die Messwerte des Temperatursensors werden über das EnDat 3 Protokoll des Encoders übertragen.

Steckverbindergröße con.23

Anschlussbild	Pin	Anschluss	Farbe
	A	1U1 (Phase U)	BK
	B	1V1 (Phase V)	BU
	C	1W1 (Phase W)	RD
	E	P_SD –	YE
	F		
	G	1BD1 (Bremsen +)	
	H	P_SD +	VT
	L	1BD2 (Bremsen –)	
	⊕	PE (Schutzleiter)	GNYE

13.6.8.5 Anschlussbelegung Leistungssteckverbinder

Die Größe und das Anschlussbild des Leistungssteckverbinders sind von der Baugröße des Motors abhängig. Die Farben der motorinternen Anschlusslitzen sind gemäß IEC 60757 benannt.

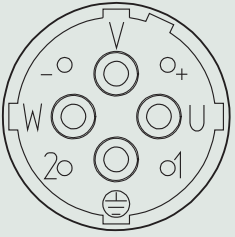
Steckverbindergröße con.15

Anschlussbild	Pin	Anschluss	Farbe
	A	1U1 (Phase U)	BK
	B	1V1 (Phase V)	BU
	C	1W1 (Phase W)	RD
	1	1TP1/K1 (Temperatursensor +)	
	2	1TP2/K2 (Temperatursensor –)	
	3	1BD1 (Bremsen +)	RD
	4	1BD2 (Bremsen –)	BK
⊕	PE (Schutzleiter)	GNYE	

Steckverbindergröße con.23

Anschlussbild	Pin	Anschluss	Farbe
	1	1U1 (Phase U)	BK
	3	1V1 (Phase V)	BU
	4	1W1 (Phase W)	RD
	A	1BD1 (Bremsen +)	RD
	B	1BD2 (Bremsen –)	BK
	C	1TP1/K1 (Temperatursensor +)	
	D	1TP2/K2 (Temperatursensor –)	
	⊕	PE (Schutzleiter)	GNYE

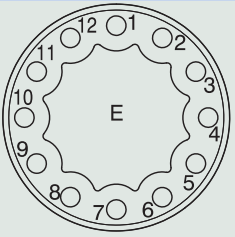
Steckverbindergröße con.40 (1,5)

Anschlussbild	Pin	Anschluss	Farbe
	U	1U1 (Phase U)	BK
	V	1V1 (Phase V)	BU
	W	1W1 (Phase W)	RD
	+	1BD1 (Bremsen +)	RD
	-	1BD2 (Bremsen -)	BK
	1	1TP1/K1 (Temperatursensor +)	
	2	1TP2/K2 (Temperatursensor -)	
	⊕	PE (Schutzleiter)	GNYE


13.6.8.6 Anschlussbelegung Encodersteckverbinder

Die Größe und Anschlussbelegung der Encodersteckverbinder sind vom Typ des verbauten Encoders und der Baugröße des Motors abhängig.

Encoder EnDat 2.1/2.2 digital, Steckverbindergröße con.15

Anschlussbild	Pin	Anschluss	Farbe
	1	Clock +	VT
	2	Up sense	BNGN
	3		
	4		
	5	Data -	PK
	6	Data +	GY
	7		
	8	Clock -	YE
	9		
	10	0 V GND	WHGN
	11		
	12	Up +	BNGN

Encoder EnDat 2.1/2.2 digital, Steckverbindergröße con.17

Anschlussbild	Pin	Anschluss	Farbe
	1	Clock +	VT
	2	Up sense	BNGN
	3		
	4		
	5	Data -	PK
	6	Data +	GY
	7		
	8	Clock -	YE
	9		
	10	0 V GND	WHGN
	11		
	12	Up +	BNGN

Encoder EnDat 2.2 digital mit Batteriepufferung, Steckverbindergröße con.15

Anschlussbild	Pin	Anschluss	Farbe
	1	Clock +	VT
	2	UBatt +	BU
	3	UBatt -	WH
	4		
	5	Data -	PK
	6	Data +	GY
	7		
	8	Clock -	YE
	9		
	10	0 V GND	WHGN
	11		
	12	Up +	BNGN
UBatt + = DC 3,6 V für Encodertyp EBI in Verbindung mit der AES-Option von STÖBER-Antriebsreglern			


Encoder EnDat 2.2 digital mit Batteriepufferung, Steckverbindergröße con.17

Anschlussbild	Pin	Anschluss	Farbe
	1	Clock +	VT
	2	UBatt +	BU
	3	UBatt -	WH
	4		
	5	Data -	PK
	6	Data +	GY
	7		
	8	Clock -	YE
	9		
	10	0 V GND	WHGN
	11		
	12	Up +	BNGN
UBatt + = DC 3,6 V für Encodertyp EBI in Verbindung mit der AES-Option von STÖBER-Antriebsreglern			

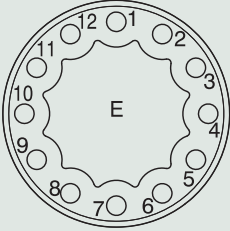
Encoder EnDat 2.1 mit Sin/Cos-Inkrementalsignalen, Steckverbindergröße con.15

Anschlussbild	Pin	Anschluss	Farbe
	1	Up sense	BU
	2	0 V sense	WH
	3	Up +	BNGN
	4	Clock +	VT
	5	Clock -	YE
	6	0 V GND	WHGN
	7	B + (Sin +)	BUBK
	8	B - (Sin -)	RDBK
	9	Data +	GY
	10	A + (Cos +)	GNBK
	11	A - (Cos -)	YEBK
	12	Data -	PK
A			
B			
C			


Encoder EnDat 2.1 mit Sin/Cos-Inkrementalsignalen, Steckverbindergröße con.17

Anschlussbild	Pin	Anschluss	Farbe
	1	Up sense	BU
	2		
	3		
	4	0 V sense	WH
	5		
	6		
	7	Up +	BNGN
	8	Clock +	VT
	9	Clock -	YE
	10	0 V GND	WHGN
	11		
	12	B + (Sin +)	BUBK
	13	B - (Sin -)	RDBK
	14	Data +	GY
	15	A + (Cos +)	GNBK
	16	A - (Cos -)	YEBK
	17	Data -	PK

Resolver, Steckverbindergröße con.15

Anschlussbild	Pin	Anschluss	Farbe
	1	S3 Cos +	BK
	2	S1 Cos -	RD
	3	S4 Sin +	BU
	4	S2 Sin -	YE
	5		
	6		
	7	R2 Ref +	YEWB/BKWB ²
	8	R1 Ref -	RDWB
	9		
	10		
	11		
	12		

Resolver, Steckverbindergröße con.17

Anschlussbild	Pin	Anschluss	Farbe
	1	S3 Cos +	BK
	2	S1 Cos -	RD
	3	S4 Sin +	BU
	4	S2 Sin -	YE
	5		
	6		
	7	R2 Ref +	YEWB/BKWB ³
	8	R1 Ref -	RDWB
	9		
	10		
	11		
	12		

² (abhängig vom Fabrikat des Resolvers)

³ (abhängig vom Fabrikat des Resolvers)

13.7 Projektierung

Projektieren Sie Ihre Antriebe mit unserer Auslegungssoftware SERVOSOFT. Laden Sie SERVOSOFT kostenlos unter <https://www.stoeber.de/de/ServoSoft> herunter.

Dies ist die komfortabelste und sicherste Methode der Antriebsauswahl, da hier der komplette Drehmoment-Drehzahl-Verlauf der Anwendung in der Kennlinie des Getriebemotors dargestellt und beurteilt wird.

In diesem Kapitel können für die manuelle Antriebsauswahl nur Grenzwertbetrachtungen für konkrete Arbeitspunkte gemacht werden.

Die Erklärung der Formelzeichen finden Sie im Kapitel Formelzeichen.

Die Formelzeichen für tatsächlich in der Anwendung vorhandene Werte sind mit einem * gekennzeichnet.

13.7.1 Berechnung des Arbeitspunktes

In diesem Kapitel finden Sie Informationen, die für die Berechnung des Arbeitspunktes notwendig sind.

Prüfen Sie für andere Arbeitspunkte als dem in den Auswahltabellen angegebenen Nennpunkt M_N folgende Bedingungen:

$$n_{m*} \leq n_N$$

$$M_{\text{eff}*} \leq M_{\text{limK}} \text{ bzw. } M_{\text{eff}*} \leq M_{\text{limF}}$$

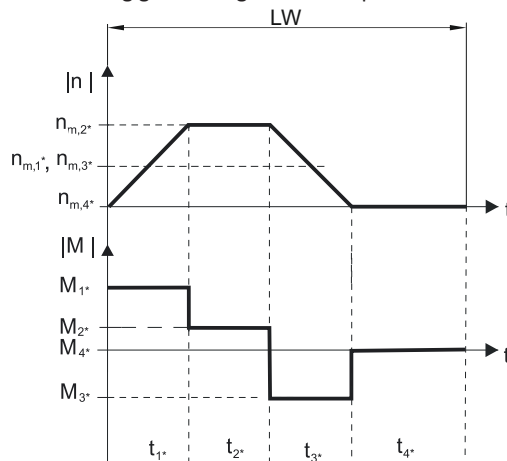
$$M_{\text{max}*} < M_{\text{max}}$$

Entnehmen Sie die Werte für M_N , n_N , M_{max} den Auswahltabellen.

Entnehmen Sie die Werte für M_{limK} bzw. M_{limF} den Drehmoment-Drehzahl-Kennlinien.

Beispiel Zyklusbetrieb

Die nachfolgenden Berechnungen beziehen sich auf eine Darstellung der an der Motorwelle abgenommenen Leistung gemäß folgendem Beispiel:



Berechnung der vorhandenen mittleren Eintriebsdrehzahl

$$n_{m*} = \frac{|n_{m,1*}| \cdot t_{1*} + \dots + |n_{m,n*}| \cdot t_{n*}}{t_{1*} + \dots + t_{n*}}$$

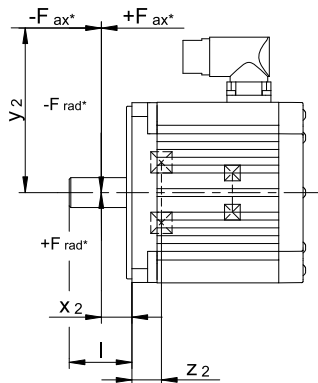
Wenn $t_{1*} + \dots + t_{3*} \geq 6 \text{ min}$, ermitteln Sie n_{m*} ohne die Pause t_{4*} .

Berechnung des vorhandenen effektiven Drehmoments

$$M_{\text{eff}*} = \sqrt{\frac{t_{1*} \cdot M_{1*}^2 + \dots + t_{n*} \cdot M_{n*}^2}{t_{1*} + \dots + t_{n*}}}$$

13.7.2 Zulässige Wellenbelastungen

In diesem Kapitel finden Sie Informationen über die maximal zulässigen Wellenbelastungen der Abtriebswelle des Motors.



Typ	z_2 [mm]	F_{ax100} [N]	F_{rad100} [N]	M_{k100} [Nm]
EZ202	12,0	250	750	20
EZ203	12,0	250	750	20
EZ301	24,0	350	1000	39
EZ302	24,0	350	1000	39
EZ303	24,0	350	1000	39
EZ401	19,5	550	1800	62
EZ402	19,5	550	1800	71
EZ404	19,5	550	1800	71
EZ501	19,5	750	2000	79
EZ502	19,5	750	2400	95
EZ503	19,5	750	2400	107
EZ505	19,5	750	2400	107
EZ701	24,5	1300	3500	173
EZ702	24,5	1300	4200	208
EZ703	24,5	1300	4200	208
EZ705	24,5	1300	4200	225
EZ802	28,5	1750	5600	384
EZ803	28,5	1750	5600	384
EZ805	28,5	1750	5600	384

Die in der Tabelle angegebenen Werte für die zulässigen Wellenbelastungen gelten:

- Für Wellenabmessungen nach Katalog
- Für einen Kraftangriff auf die Mitte der Abtriebswelle: $x_2 = l / 2$ (Wellenabmessungen finden Sie im Kapitel Maßzeichnungen),
- Für Abtriebsdrehzahlen $n_{m^*} \leq 100 \text{ min}^{-1}$ ($F_{ax} = F_{ax100}$; $F_{rad} = F_{rad100}$; $M_k = M_{k100}$)

Für Abtriebsdrehzahlen $n_{m^*} > 100 \text{ min}^{-1}$ gilt:

$$F_{ax} = \frac{F_{ax100}}{\sqrt[3]{\frac{n_{m^*}}{100 \text{ min}^{-1}}}} \quad F_{rad} = \frac{F_{rad100}}{\sqrt[3]{\frac{n_{m^*}}{100 \text{ min}^{-1}}}} \quad M_k = \frac{M_{k100}}{\sqrt[3]{\frac{n_{m^*}}{100 \text{ min}^{-1}}}}$$

Für andere Kraftangriffspunkte gilt:

$$M_{k^*} = \frac{2 \cdot F_{ax^*} \cdot y_2 + F_{rad^*} \cdot (x_2 + z_2)}{1000}$$

Bei Anwendungen mit mehreren axialen und/oder radialen Kräften müssen Sie die Kräfte vektoriell addieren.

Beachten Sie außerdem die Berechnung äquivalenter Werte:

$$M_{k,eq^*} = \sqrt[3]{\frac{|n_{m,1^*}| \cdot t_{1^*} \cdot |M_{k,1^*}|^3 + \dots + |n_{m,n^*}| \cdot t_{n^*} \cdot |M_{k,n^*}|^3}{|n_{m,1^*}| \cdot t_{1^*} + \dots + |n_{m,n^*}| \cdot t_{n^*}}}$$

$$F_{rad,eq^*} = \sqrt[3]{\frac{|n_{m,1^*}| \cdot t_{1^*} \cdot |F_{rad,1^*}|^3 + \dots + |n_{m,n^*}| \cdot t_{n^*} \cdot |F_{rad,n^*}|^3}{|n_{m,1^*}| \cdot t_{1^*} + \dots + |n_{m,n^*}| \cdot t_{n^*}}}$$

13.7.3 Derating

Wenn Sie den Motor unter Umgebungsbedingungen einsetzen, die von den Standard-Umgebungsbedingungen abweichen, reduziert sich das Nenn Drehmoment M_N des Motors. In diesem Kapitel finden Sie Informationen zur Berechnung des reduzierten Nenn Drehmoments.

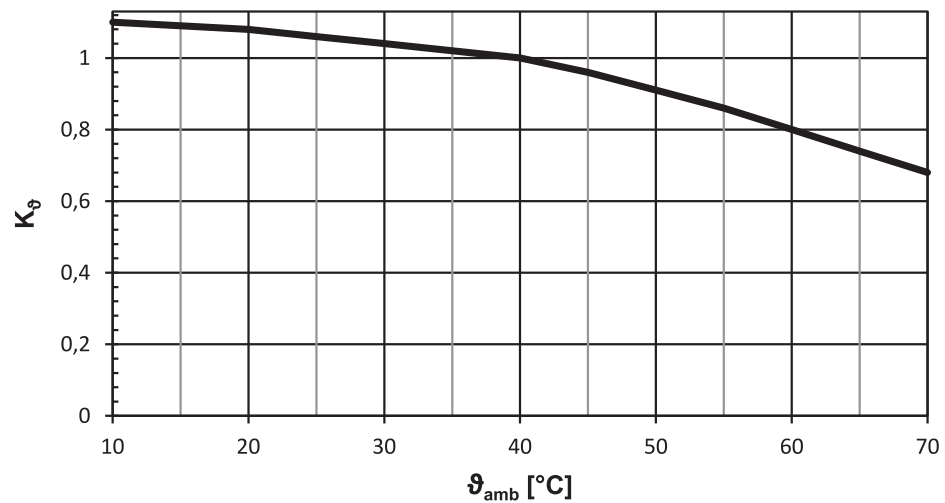


Abb. 5: Derating in Abhängigkeit von der Umgebungstemperatur

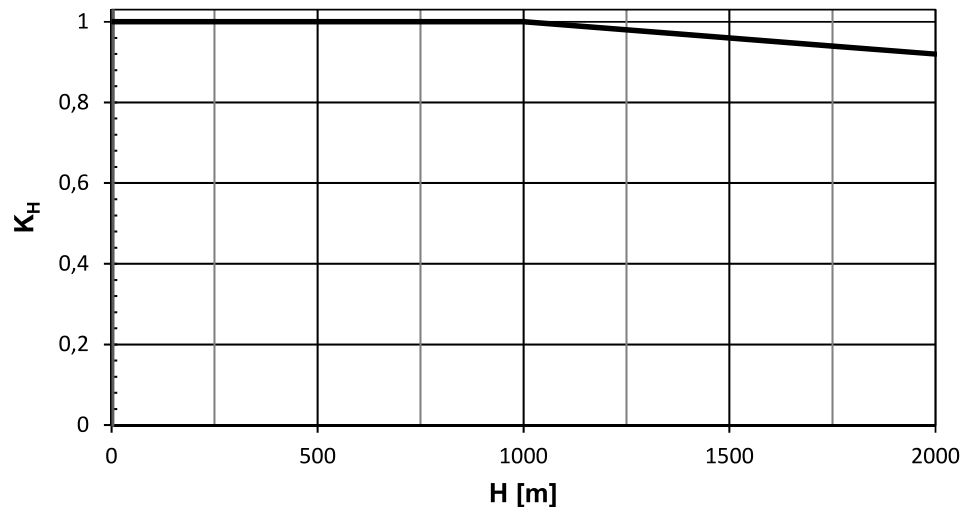


Abb. 6: Derating in Abhängigkeit von der Aufstellhöhe

Berechnung

Wenn Umgebungstemperatur $\vartheta_{amb} > 40$ °C:

$$M_{Nred} = M_N \cdot K_{\theta}$$

Wenn Aufstellhöhe $H > 1000$ m über Normalnull:

$$M_{Nred} = M_N \cdot K_H$$

Wenn Umgebungstemperatur $\vartheta_{amb} > 40$ °C und Aufstellhöhe $H > 1000$ m über Normalnull:

$$M_{Nred} = M_N \cdot K_H \cdot K_{\theta}$$

13.8 Weitere Informationen

13.8.1 Richtlinien und Normen

STÖBER Synchron-Servomotoren entsprechen folgenden Richtlinien und Normen:

- (Niederspannungs-) Richtlinie 2014/35/EU
- EN 60034-1:2010 + Cor.:2010
- EN 60034-5:2001 + A1:2007
- EN 60034-6:1993

13.8.2 Kennzeichen und Prüfzeichen

STÖBER Synchron-Servomotoren haben folgende Kenn- und Prüfzeichen:



CE-Kennzeichen: Das Produkt entspricht den EU-Richtlinien.



UKCA-Kennzeichen: Das Produkt entspricht den UK-Richtlinien.



cURus-Prüfzeichen "Servo and Stepper Motors – Component"; registriert unter der UL-Nummer E488992 bei Underwriters Laboratories USA.

13.8.3 Weitere Dokumentationen

Weitere, das Produkt betreffende Dokumentationen finden Sie unter

<http://www.stoeber.de/de/downloads/>

Geben Sie im Feld Suchbegriff die ID der Dokumentation ein.

Dokumentation	ID
Betriebsanleitung Synchron-Servomotoren EZ	443032_de

14 Anschluss an Antriebsregler von Fremdherstellern

Inhaltsverzeichnis

14.1 Allgemeine Hinweise	292
14.1.1 Nenndaten	292
14.1.2 Steckverbinder	293
14.1.3 Anschlusskabel	294
14.2 Anschluss an Antriebsregler von B&R	295
14.2.1 Encoder	295
14.2.2 Kombinationsmöglichkeiten mit Antriebsreglern	297
14.2.3 Anschlussbelegung Leistungssteckverbinder	298
14.2.4 Anschlussbelegung Encodersteckverbinder	299
14.2.5 Anschlussbelegung Steckverbinder (One Cable Solution)	300
14.3 Anschluss an Antriebsregler von Siemens	301
14.3.1 Interface EIB 3392S	301
14.3.2 Encoder	302
14.3.3 Kombinationsmöglichkeiten mit Antriebsreglern	303
14.3.4 Anschlussbelegung Leistungssteckverbinder	304
14.3.5 Anschlussbelegung Encodersteckverbinder	304
14.4 Anschluss an Antriebsregler von Kollmorgen	306
14.4.1 Encoder	306
14.4.2 Kombinationsmöglichkeiten mit Antriebsreglern	306
14.4.3 Anschlussbelegung Leistungssteckverbinder	307
14.4.4 Anschlussbelegung Encodersteckverbinder	308
14.5 Anschluss an Antriebsregler von Bosch Rexroth	309
14.5.1 Encoder	309
14.5.2 Kombinationsmöglichkeiten mit Antriebsreglern	310
14.5.3 Anschlussbelegung Leistungssteckverbinder	310
14.5.4 Anschlussbelegung Encodersteckverbinder	310
14.6 Anschluss an Antriebsregler von Beckhoff	312
14.6.1 Encoder	312
14.6.2 Kombinationsmöglichkeiten mit Antriebsreglern	312
14.6.3 Anschlussbelegung Leistungssteckverbinder	313
14.6.4 Anschlussbelegung Encodersteckverbinder	313
14.7 Anschluss an Antriebsregler von Allen-Bradley	314
14.7.1 Encoder	314
14.7.2 Kombinationsmöglichkeiten mit Antriebsreglern	314
14.7.3 Anschlussbelegung Leistungssteckverbinder	315
14.7.4 Anschlussbelegung Encodersteckverbinder	316
14.7.5 Anschlussbelegung Steckverbinder (One Cable Solution)	316

14.1 Allgemeine Hinweise

STÖBER Synchron-Servomotoren sind in Standard-Ausführung für den Anschluss an STÖBER Antriebsregler ausgelegt. Dazu passend bietet STÖBER ein umfangreiches Sortiment hochwertiger und bewährter Leistungs- und Encoder-Anschlusskabel an. STÖBER Synchron-Servomotoren können jedoch auch an Antriebsreglern von Fremdherstellern betrieben werden. Dafür finden Sie in den nachfolgenden Kapiteln Hinweise und Informationen. Alle anderen Informationen über STÖBER Synchron-Servomotoren finden Sie in den entsprechenden Kapiteln dieses Katalogs.

14.1.1 Nenndaten

Nenndaten der Synchron-Servomotoren, die in den Auswahltabellen dieses Katalogs angegeben sind, wurden für den Anschluss an STÖBER Antriebsregler ermittelt. Beachten Sie, dass sich diese Nenndaten beim Anschluss der STÖBER Synchron-Servomotoren an Antriebsregler von Fremdherstellern ändern können. Maßgebend dabei sind folgende Merkmale des Antriebsreglers:

- f_{2PU}
- $f_{PWM,PU}$
- U_{ZK}
- Kompensation des Feldschwäcbereichs.

Die maximal erreichbare Drehzahl eines Synchron-Servomotors hängt ab von der Polpaarzahl p des Synchron-Servomotors und gegebenenfalls von der Begrenzung der f_{2PU} durch die Verordnung (EG) Nr. 428/2009 (EG-Dual-Use-VO). Details sind in folgender Abbildung dargestellt.

Einige Encoder verfügen über eine integrierte Temperaturüberwachung, deren Warn- und Abschaltschwellen sich mit entsprechenden Werten überlappen können, die im Antriebsregler für den thermischen Wicklungsschutz eingestellt sind. Das kann unter Umständen dazu führen, dass ein Encoder mit eigener Temperaturüberwachung eine Abschaltung des Motors erzwingt, noch bevor der Motor seine Nenndaten erreicht hat.

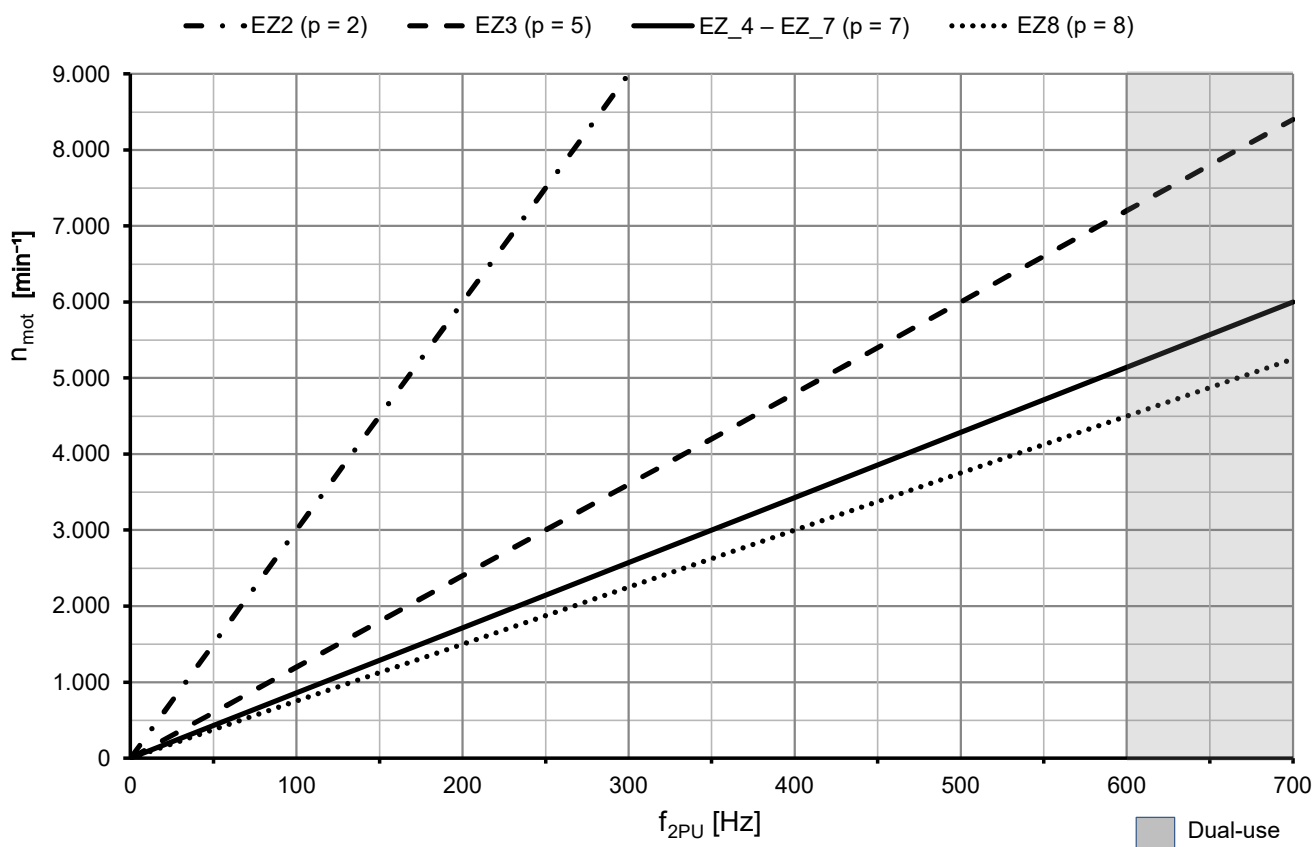


Abb. 1: Drehzahl-Frequenz-Diagramm der Motoren EZ

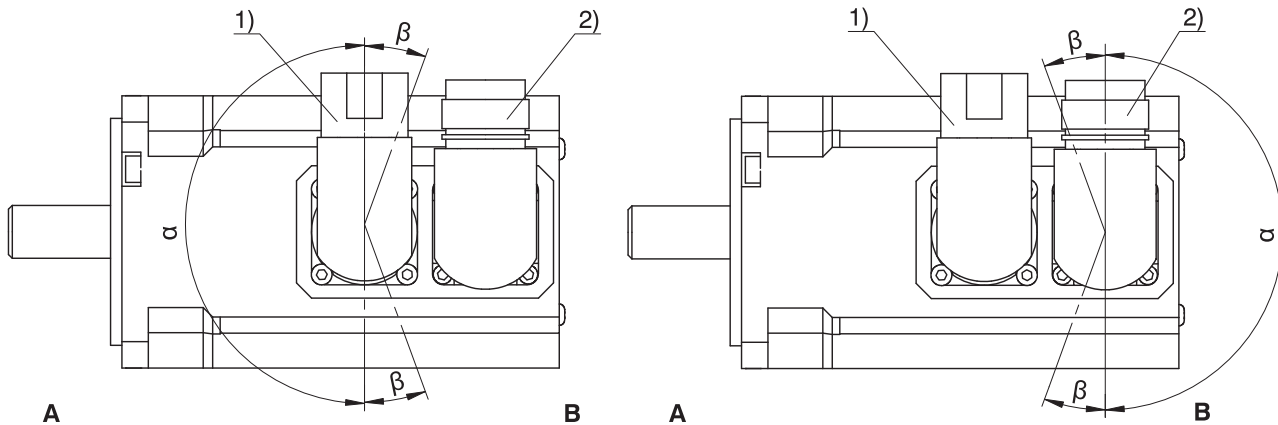
14.1.2 Steckverbinder

STÖBER-Synchron-Servomotoren sind in Standardausführung mit abgewinkelten runden Steckverbindern (Fabrikat INTERCONTEC) für Leistungs- und Encoderanschluss ausgestattet. Detaillierte technische Informationen zu den Steckverbindern finden Sie unter <http://www.intercontec.biz>.

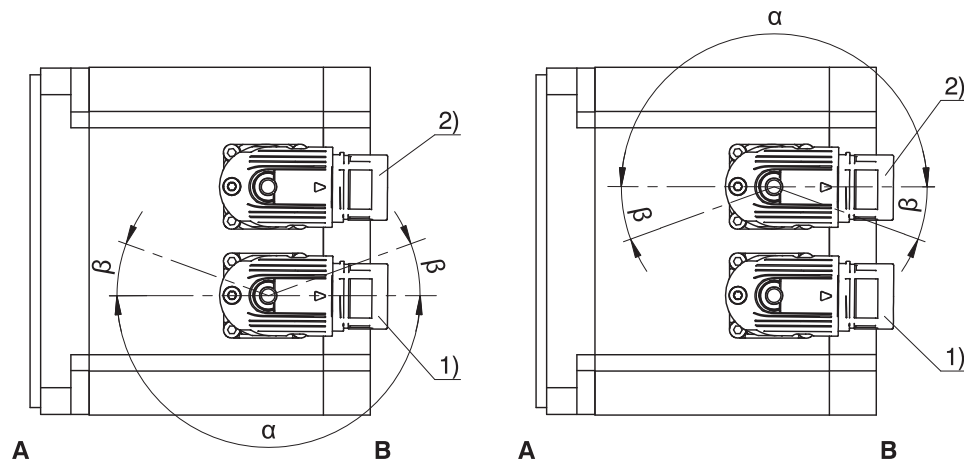
Vermeiden Sie bei Motoren mit Fremdbelüftung Kollisionen der Anschlusskabel des Motors mit dem Fremdlüfter-Steckverbinder. Verdrehen Sie im Kollisionsfall die Steckverbinder des Motors entsprechend. Details zur Lage des Fremdlüfter-Steckverbinders finden Sie im Kapitel Maßzeichnungen.

Die Abbildungen stellen die Lage der Steckverbinder bei Auslieferung dar.

Verdrehbereiche der Steckverbinder (Motoren E22 – E23)



Verdrehbereiche der Steckverbinder (Motoren E24 – E28, EZHD, EZM, EZS)



- | | | | |
|---|--------------------------------------|---|-----------------------|
| 1 | Leistungssteckverbinder | 2 | Encodersteckverbinder |
| A | Anbau- oder Abtriebsseite des Motors | B | Nicht Abtriebsseite |

Merkmale Leistungssteckverbinder

Motortyp	Größe	Verbindung	Verdrehbereich	
			α	β
E22 – E25, EZ701, EZ703	con.23	Schnellverschluss	180°	40°
E2705, EZ802, EZ803, EZ805	con.40	Schnellverschluss	180°	40°

Merkmale Encodersteckverbinder

Motortyp	Größe	Verbindung	Verdrehbereich	
			α	β
E22 – E27, EZ802, EZ803, EZ805U	con.23 ¹	Schnellverschluss	180°	20°
EZ805B	con.23 ²	Schnellverschluss	180°	0°

¹ con.15 beim Anschluss an B&R ACOPOsmulti mit EnDat 2.2 Interface (Antriebsreglercode GG und GY).

² con.15 beim Anschluss an B&R ACOPOsmulti mit EnDat 2.2 Interface (Antriebsreglercode GG und GY).

Hinweise

- Im Verdrehbereich β können die Leistungs- bzw. Encodersteckverbinder nur dann verdreht werden, wenn sie dabei nicht miteinander kollidieren.
- Die Zahl nach "con." gibt in etwa den Außengewindedurchmesser des Steckverbinders in mm an (con.23 bezeichnet z. B. einen Steckverbinder mit ca. 23 mm Außengewindedurchmesser).

14.1.3 Anschlusskabel

Die Steckverbinder und Anschlussbelegung der STÖBER Synchron-Servomotoren werden beim Anschluss an Antriebsregler von Fremdherstellern so ausgeführt, dass Sie entsprechende Originalkabel des jeweiligen Fremdherstellers anschließen können. Beachten Sie dabei nachfolgende Hinweise zur Kabel-Qualität und -Ausführung.

- Da Originalkabel von Bosch Rexroth nicht verwendet werden können, bietet STÖBER dafür passende Kabel an. Nähere Informationen dazu erhalten Sie von Ihrem STÖBER Kundenberater.
- Achten Sie darauf, dass die Kabelqualität und Kabelausführung den Umgebungsbedingungen am Einbauort entspricht.

Elektromagnetische Verträglichkeit (EMV)

Achten Sie auf die Einhaltung der gesetzlichen EMV-Vorgaben für das Antriebssystem am Einbauort.

Schließen Sie die Kabelschirme an beiden Enden der Anschlusskabel an. Verbinden Sie die Erdungsschraube des Synchron-Servomotors mit der Erdung am Einbauort.

Leistungskabel

Beim Betrieb mit ungeeigneten Leistungskabeln können unzulässig hohe Spannungsspitzen entstehen und den Motor beschädigen. Daher müssen die Kapazitäten und Induktivitäten des Leistungskabels auf den Motor abgestimmt sein. Empfohlene Werte finden Sie in folgender Tabelle.

Der Leiterquerschnitt der Leistungskabel muss entsprechend dem Stillstandsstrom des Motors ausgelegt werden. Angaben dazu finden Sie in folgender Tabelle.

Leiterquerschnitt [mm²]	1,0	1,5	2,5	4,0	6,0	10,0	16,0	25,0
Nennstrom [A]	12,5	15,0	20,0	28,3	35,8	49,2	66,7	90,0
Maximale Kapazität nach Prüfmart A (Ader/Ader) [nF/km]	45	55	65	60	70	75	75	Werte auf Anfrage
Maximale Kapazität nach Prüfmart B (Ader/Rest) [nF/km]	250	300	325	260	300	350	360	Werte auf Anfrage
Maximale Induktivität (Ader/Ader) [μH/km]	800	700	700	600	650	600	570	Werte auf Anfrage

Hinweise

- Die maximale Kapazität ist nach DIN VDE 0472-504 angegeben. Angaben nach EN 50289-1-5 in Vorbereitung.
- Die maximale Induktivität ist nach EN 50289-1-12 angegeben.

Encoderkabel

Beim Betrieb mit ungeeigneten Encoderkabeln können Encoder-Signale nicht mehr störungsfrei übertragen werden. Beachten Sie die empfohlenen Werte in folgender Tabelle.

Signalform	Digital		Sin-Cos			Resolver	
Leiterquerschnitt [mm ²]	0,14	0,25	0,14	0,25	0,37	0,14	0,25
Maximale Kapazität nach Prüffart A (Ader/Ader) [nF/km]	30	35	60	110	130	40	50
Maximale Kapazität nach Prüffart B (Ader/Rest) [nF/km]	110	130	300	300	325	300	300
Maximale Induktivität (Ader/Ader) [μH/km]	800	800	650	700	700	800	800
Schirmungsart Kabel	Kupfergeflecht verzinkt						
Schirmungsart Adernpaare	–		Kupfergeflecht verzinkt			Folie + Geflecht	
Abdeckung	≥ 90 %		≥ 80 %			≥ 80 %	

Hinweise

- Die maximale Kapazität ist nach DIN VDE 0472-504 angegeben. Angaben nach EN 50289-1-5 in Vorbereitung.
- Die maximale Induktivität ist nach EN 50289-1-12 angegeben.

14.2 Anschluss an Antriebsregler von B&R

In diesem Kapitel finden Sie Informationen, die beim Anschluss von STÖBER Synchron-Servomotoren an Antriebsregler des oben genannten Fremdherstellers vom Anschluss an STÖBER Antriebsregler abweichen. Alle anderen Informationen über STÖBER Synchron-Servomotoren finden Sie im jeweiligen Kapitel dieses Katalogs.

Von STÖBER wurden folgende Maßnahmen getroffen, um den Aufwand für die Inbetriebnahme von STÖBER Motoren an Antriebsreglern von B&R zu minimieren und Fehler bei der Parametrierung zu vermeiden:

- Der Kommutierungsoffset des Motors wurde so eingestellt, dass keine kundenseitige Einmessung notwendig ist;
- Das elektronische Typenschild des Motors wurde kompatibel zu den B&R Reglern ausgeführt.

Weitere Informationen zur Inbetriebnahme von Motoren EZ an Antriebsreglern von B&R finden Sie im Downloadbereich auf der STÖBER Website im Dokument 443184_de.

14.2.1 Encoder

Encoder mit EnDat 2.2 Schnittstelle

Encodertyp	Code	Messprinzip	Erfassbare Umdrehungen	Auflösung	Positionswerte pro Umdrehung	MTTF [Jahre]	PHF [h]
EnDat 2.2 EQI 1131 FMA	M4	Induktiv	4096	19 Bit	524288	> 100	≤ 15 × 10 ⁻⁹
EnDat 2.2 EQI 1131	Q6	Induktiv	4096	19 Bit	524288	> 100	≤ 15 × 10 ⁻⁹
EnDat 2.2 EQN 1135 FMA	M3	Optisch	4096	23 Bit	8388608	> 100	≤ 15 × 10 ⁻⁹
EnDat 2.2 EQN 1135	Q5	Optisch	4096	23 Bit	8388608	> 100	≤ 15 × 10 ⁻⁹
EnDat 2.2 ECN 1123 FMA	M1	Optisch	–	23 Bit	8388608	> 100	≤ 15 × 10 ⁻⁹
EnDat 2.2 ECN 1123	C7	Optisch	–	23 Bit	8388608	> 100	≤ 15 × 10 ⁻⁹
EnDat 2.2 ECI 1118-G2	C5	Induktiv	–	18 Bit	262144	> 76	≤ 1,5 × 10 ⁻⁶

Encoder mit EnDat 2.1 Schnittstelle

Encodertyp	Code	Mess- prinzip	Erfassbare Umdrehun- gen	Auflö- sung	Positionsw- erte pro Umdre- hung	Perioden pro Umdre- hung	MTTF [Jahre]	PHF [h]
EnDat 2.1 EQN 1125 FMA	M2	Optisch	4096	13 Bit	8192	Sin/Cos 512	> 57	$\leq 2 \times 10^{-6}$
EnDat 2.1 EQN 1125	Q4	Optisch	4096	13 Bit	8192	Sin/Cos 512	> 57	$\leq 2 \times 10^{-6}$
EnDat 2.1 ECN 1113 FMA	M0	Optisch	–	13 Bit	8192	Sin/Cos 512	> 57	$\leq 2 \times 10^{-6}$
EnDat 2.1 ECN 1113	C6	Optisch	–	13 Bit	8192	Sin/Cos 512	> 57	$\leq 2 \times 10^{-6}$

Hinweise

- Der Code des Encoders ist Bestandteil der Typenbezeichnung des Motors.
- FMA = Ausführung mit Fehlerausschluss der mechanischen Ankopplung.
- Encoder mit EnDat 2.2 Schnittstelle und in FMA-Ausführung sind vorbereitet zum Betrieb als Ein-Encoder-Lösung an einem sicherheitsbezogenen Positionsmesssystem mit Schnittstelle EnDat 2.2
- Mehrere Umdrehungen der Motorwelle können nur mit Multiturn-Encodern erfasst werden.

14.2.2 Kombinationsmöglichkeiten mit Antriebsreglern

In der nachfolgenden Tabelle sind Kombinationsmöglichkeiten von STÖBER Synchron-Servomotoren mit Antriebsreglern von B&R in Abhängigkeit vom Encodertyp dargestellt.

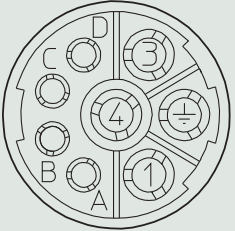
Antriebsregler		ACOPOS	ACOPOSmulti (EnDat 2.1)	ACOPOSmulti (EnDat 2.2)	ACOPOS P3 (EnDat 2.2)	ACOPOS P3 OCS (EnDat 2.2)	ACOPOSmulti OCS (EnDat 2.2)
Code Antriebsregler		FG	FV	GG	GY	GP	GV
ID Anschlussplan		442313	442444	442677	443095	443022	443092
Encoder	Code Encoder						
EnDat 2.2 EQI 1131 FMA	M4	–	–	EZ	EZ	EZ	EZ
EnDat 2.2 EQI 1131	Q6	–	–	EZ	EZ	EZ	EZ
EnDat 2.2 EQN 1135 FMA	M3	–	–	EZ	EZ	EZ	EZ
EnDat 2.2 EQN 1135	Q5	–	–	EZ	EZ	EZ	EZ
EnDat 2.2 ECN 1123 FMA	M1	–	–	EZ	EZ	EZ	EZ
EnDat 2.2 ECN 1123	C7	–	–	EZ	EZ	EZ	EZ
EnDat 2.2 ECI 1118-G2	C5	–	–	EZ	EZ	–	–
EnDat 2.1 EQN 1125 FMA	M2	EZ	EZ	–	–	–	–
EnDat 2.1 EQN 1125	Q4	EZ	EZ	–	–	–	–
EnDat 2.1 ECN 1113 FMA	M0	–	EZ	–	–	–	–
EnDat 2.1 ECN 1113	C6	–	EZ	–	–	–	–
Resolver	R0	EZ	EZ	–	–	–	–

Der Code des Encoders und des Antriebsreglers ist Bestandteil der Typenbezeichnung des Motors.

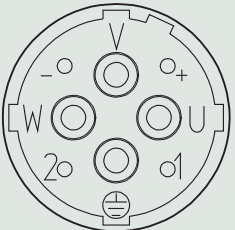
14.2.3 Anschlussbelegung Leistungssteckverbinder

Die Größe und das Anschlussbild des Leistungssteckverbinders sind von der Baugröße des Motors abhängig. Die Farben der motorinternen Anschlusslitzen sind gemäß IEC 60757 benannt.

Steckverbindergröße con.23

Anschlussbild	Pin	Anschluss	Farbe
	1	1U1 (Phase U)	BK
	3	1W1 (Phase W)	RD
	4	1V1 (Phase V)	BU
	A	1TP1/K1 (Temperatursensor +)	
	B	1TP2/K2 (Temperatursensor -)	
	C	1BD1 (Bremse +)	RD
	D	1BD2 (Bremse -)	BK
	⊕	PE (Schutzleiter)	GNYE

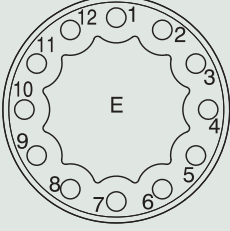
Steckverbindergröße con.40 (1,5)

Anschlussbild	Pin	Anschluss	Farbe
	U	1U1 (Phase U)	BK
	V	1V1 (Phase V)	BU
	W	1W1 (Phase W)	RD
	+	1BD1 (Bremse +)	RD
	-	1BD2 (Bremse -)	BK
	1	1TP1/K1 (Temperatursensor +)	
	2	1TP2/K2 (Temperatursensor -)	
	⊕	PE (Schutzleiter)	GNYE

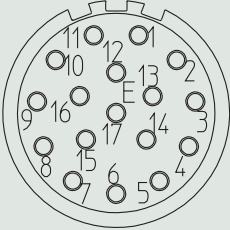
14.2.4 Anschlussbelegung Encodersteckverbinder

Die Größe und Anschlussbelegung der Encodersteckverbinder sind vom Typ des verbauten Encoders und der Baugröße des Motors abhängig. Die Farben der motorinternen Anschlusslitzen sind gemäß IEC 60757 benannt.

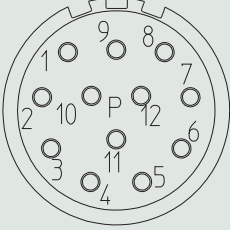
Encoder EnDat 2.2 digital, Steckverbindergröße con.15

Anschlussbild	Pin	Anschluss	Farbe
	1	Up +	BNGN
	2	Data +	GY
	3	Data -	PK
	4	Clock +	VT
	5	Clock -	YE
	6		
	7	0 V GND	WHGN
	8		
	9		
	10		
	11		
	12		

Encoder EnDat 2.1 mit Sin/Cos-Inkrementalsignalen, Steckverbindergröße con.23

Anschlussbild	Pin	Anschluss	Farbe
	1	Up sense	BU
	2		
	3		
	4	0 V sense	WH
	5		
	6		
	7	Up +	BNGN
	8	Clock +	VT
	9	Clock -	YE
	10	0 V GND	WHGN
	11		
	12	B + (Sin +)	BUBK
	13	B - (Sin -)	RDBK
	14	Data +	GY
	15	A + (Cos +)	GNBK
	16	A - (Cos -)	YEBK
	17	Data -	PK

Resolver, Steckverbindergröße con.23

Anschlussbild	Pin	Anschluss	Farbe
	1		
	2		
	3	S4 Sin +	BU
	4	S1 Cos -	RD
	5	R2 Ref +	YEWB
	6		
	7	S2 Sin -	YE
	8	S3 Cos +	BK
	9	R1 Ref -	RDWB
	10		
	11		
	12		

14.2.5 Anschlussbelegung Steckverbinder (One Cable Solution)

Bei der Ausführung One Cable Solution erfolgt der Leistungs- und Encoderanschluss über einen gemeinsamen Steckverbinder.

Der Temperatursensor des Motors ist intern am Encoder angeschlossen. Die Messwerte des Temperatursensors werden über das Protokoll des Encoders übertragen.

Steckverbindergröße con.23

Anschlussbild	Pin	Anschluss	Farbe
	A	1U1 (Phase U)	
	B	1V1 (Phase V)	
	C	1W1 (Phase W)	
	D		
	1	Up +	
	2	0 V GND	
	3	Data +	
	4	Data -	
	5	Clock +	
	6	Clock -	
7	1BD2 (Bremsen -)		
8	1BD1 (Bremsen +)		
	⊕	PE (Schutzleiter)	

a) Koaxialer Schirm, an den der Schirm der Encoderadern angeschlossen ist

14.3 Anschluss an Antriebsregler von Siemens

In diesem Kapitel finden Sie Informationen, die beim Anschluss von STÖBER Synchron-Servomotoren an Antriebsregler des oben genannten Fremdherstellers vom Anschluss an STÖBER Antriebsregler abweichen. Alle anderen Informationen über STÖBER Synchron-Servomotoren finden Sie im jeweiligen Kapitel dieses Katalogs.

Von STÖBER wurden folgende Maßnahmen getroffen, um den Aufwand für die Inbetriebnahme von STÖBER Motoren an Antriebsreglern SINAMICS S120 zu minimieren und Fehler bei der Parametrierung zu vermeiden:

- Der Kommutierungsoffset des Motors wurde so eingestellt, dass keine kundenseitige Kalibrierung notwendig ist;
- Parameterlisten werden auf Anfrage bereitgestellt.

Weitere Informationen zur Inbetriebnahme von Motoren EZ an Antriebsreglern SINAMICS S120 finden Sie im Downloadbereich auf der STÖBER Website im Dokument 443232_de.

14.3.1 Interface EIB 3392S

Das Interface EIB 3392S des Herstellers Heidenhain ermöglicht den Anschluss von EnDat 2.2 Encodern an Siemens Antriebsregler SINAMICS S120 über die leistungsfähige Systemschnittstelle DRIVE-CLiQ. STÖBER bietet das Interface EIB 3392S mit der ID 1250663-01 an. Bei dieser Ausführung ist der Stecker und die Anschlussbelegung auf der EnDat 2.2 Seite an STÖBER Synchron-Servomotoren angepasst, so dass das Interface ohne Weiteres angeschlossen und in Betrieb genommen werden kann.

Vorteile

- Unterstützung von allen Optionen der DRIVE-CLiQ Schnittstelle
- Kompakte und robuste Industrierausführung
- Schnelle und einfache Inbetriebnahme
- Kein Platz und keine Verdrahtung im Schaltschrank erforderlich
- Da die DRIVE-CLiQ Elektronik sich außerhalb des Motors befindet, ist keine temperaturabhängige Reduzierung der Leistungsdaten des Motors erforderlich.

Merkmale

Merkmale	Beschreibung
Umgebungstemperatur Betrieb	0 °C bis 60 °C
Schutzart	IP 65
Biegeradius der Anschlusskabel des Interfaces	75 mm frei beweglich 20 mm fest verlegt

Das Interface EIB 3392S wird auf der EnDat 2.2 Seite mit dem Steckverbinder des Motors verbunden. An der DRIVE-CLiQ Seite kann ein Original Siemens Encoderkabel mit einer Länge von bis zu 30 m angeschlossen werden.

Das Interface EIB 3392S darf nur an Motoren mit einem Pt1000 Temperatursensor angeschlossen werden. Der Temperatursensor ist motorintern an den EnDat 2.2 Encoder angeschlossen. Das Interface EIB 3392S leitet die Werte des Temperatursensors über die DRIVE-CLiQ Schnittstelle unverändert weiter.

Das Gehäuse des EIB 3392S muss am Einbauort befestigt werden. Dazu kann eine Kabelschelle verwendet werden (siehe Maßzeichnung).

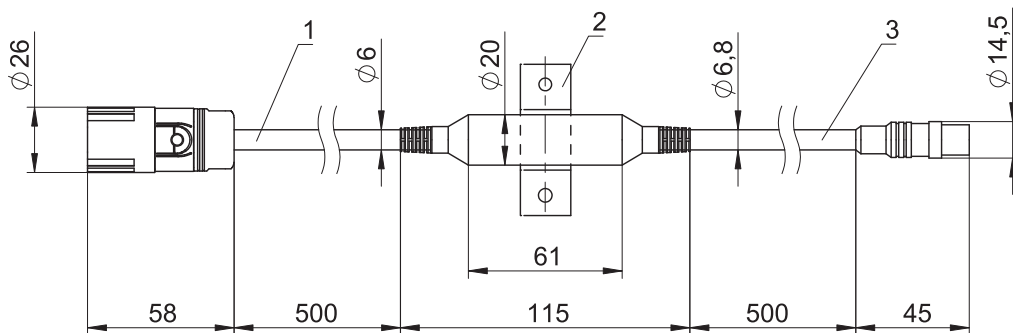
Funktionale Sicherheit

Je nach angeschlossenem Encoder und der nachfolgenden Elektronik kann das EIB 3392S in sicherheitsgerichteten Anwendungen bis Sicherheitsanforderungsstufe SIL 2 gemäß EN 61508-1 / EN 61800-5-2 oder bis Kategorie 3, PL d gemäß EN ISO 13849-1 verwendet werden.

Die Wahrscheinlichkeit des gefahrbringenden Versagens pro Stunde (PFH) beträgt 26×10^{-9} für eine Aufstellhöhe ≤ 1000 m über Normalnull.

Das Interface EIB 3392S hat keinen Einfluss auf die sichere Position, die durch den Encoder des Motors und die nachfolgende Elektronik realisiert werden kann.

14.3.1.1 Maßzeichnung



- 1 Kabelfarbe schwarz (EnDat 2.2 Seite)
- 2 Kabelschelle (nicht im Lieferumfang)
- 3 Kabelfarbe grün (DRIVE-CLiQ Seite)

14.3.1.2 Anschlussbelegung

EnDat 2.2 Seite, Steckverbinder con.23			DRIVE-CLiQ Seite, Steckverbinder M12		
Anschlussbild	Pin	Anschluss	Anschluss	Pin	Anschlussbild
	1	Clock +	Up +	1	
	2			2	
	3		RXP	3	
	4		RXN	4	
	5	Data -	0 V GND	5	
	6	Data +	TXN	6	
	7		TXP	7	
	8	Clock -		8	
	9				
	10	0 V GND			
	11				
	12	Up +			

14.3.2 Encoder

Encoder mit EnDat 2.1 Schnittstelle

Encodertyp	Code	Messprinzip	Erfassbare Umdrehungen	Auflösung	Positionswerte pro Umdrehung	Perioden pro Umdrehung	MTTF [Jahre]	PHF [h]
EnDat 2.1 ECI 119	C4	Induktiv	–	19 Bit	524288	Sin/Cos 32	> 57	$\leq 2 \times 10^{-6}$
EnDat 2.1 EQN 1125 FMA	M2	Optisch	4096	13 Bit	8192	Sin/Cos 512	> 57	$\leq 2 \times 10^{-6}$
EnDat 2.1 EQN 1125	Q4	Optisch	4096	13 Bit	8192	Sin/Cos 512	> 57	$\leq 2 \times 10^{-6}$
EnDat 2.1 ECN 1113 FMA	M0	Optisch	–	13 Bit	8192	Sin/Cos 512	> 57	$\leq 2 \times 10^{-6}$
EnDat 2.1 ECN 1113	C6	Optisch	–	13 Bit	8192	Sin/Cos 512	> 57	$\leq 2 \times 10^{-6}$

Hinweise

- Der Code des Encoders ist Bestandteil der Typenbezeichnung des Motors.
- FMA = Ausführung mit Fehlerausschluss der mechanischen Ankopplung.
- Mehrere Umdrehungen der Motorwelle können nur mit Multiturn-Encodern erfasst werden.

14.3.3 Kombinationsmöglichkeiten mit Antriebsreglern

In der nachfolgenden Tabelle sind Kombinationsmöglichkeiten von STÖBER Synchron-Servomotoren mit Antriebsreglern von Siemens in Abhängigkeit vom Encodertyp dargestellt.

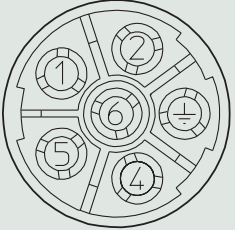
Antriebsregler		SINAMICS S120 (mit EnDat 2.1 und Resolver Schnittstelle)
Code Antriebsregler		FJ
ID Anschlussplan		442315
Encoder	Code Encoder	
EnDat 2.1 EQN 1125 FMA	M2	EZ
EnDat 2.1 EQN 1125	Q4	EZ
EnDat 2.1 ECN 1113 FMA	M0	EZ
EnDat 2.1 ECN 1113	C6	EZ
Resolver	R0	EZ

Der Code des Encoders und des Antriebsreglers ist Bestandteil der Typenbezeichnung des Motors.

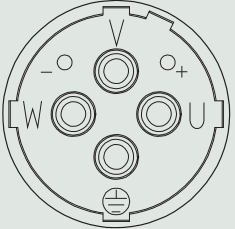
14.3.4 Anschlussbelegung Leistungssteckverbinder

Die Größe und das Anschlussbild des Leistungssteckverbinders sind von der Baugröße des Motors abhängig. Die Farben der motorinternen Anschlusslitzen sind gemäß IEC 60757 benannt.

Steckverbindergröße con.23

Anschlussbild	Pin	Anschluss	Farbe
	1	1U1 (Phase U)	BK
	2	1V1 (Phase V)	BU
	4	1BD1 (Bremsen +)	RD
	5	1BD2 (Bremsen -)	BK
	6	1W1 (Phase W)	RD
	⊕	PE (Schutzleiter)	GNYE

Steckverbindergröße con.40 (1,5)

Anschlussbild	Pin	Anschluss	Farbe
	U	1U1 (Phase U)	BK
	V	1V1 (Phase V)	BU
	W	1W1 (Phase W)	RD
	+	1BD1 (Bremsen +)	RD
	-	1BD2 (Bremsen -)	BK
	⊕	PE (Schutzleiter)	GNYE

14.3.5 Anschlussbelegung Encodersteckverbinder

Die Größe und Anschlussbelegung der Encodersteckverbinder sind vom Typ des verbauten Encoders und der Baugröße des Motors abhängig.

Encoder EnDat 2.1 mit Sin/Cos-Inkrementalsignalen, Steckverbindergröße con.23

Anschlussbild	Pin	Anschluss	Farbe
	1	A + (Cos +)	GNBK
	2	A - (Cos -)	YEBK
	3	Data +	GY
	4		
	5	Clock +	VT
	6		
	7	0 V GND	WHGN
	8	1TP1/K1 (Temperatursensor +)	BK/BN
	9	1TP2/K2 (Temperatursensor -)	WH/WH
	10	Up +	BNGN
	11	B + (Sin +)	BUBK
	12	B - (Sin -)	RDBK
	13	Data -	PK
	14	Clock -	YE
	15	0 V sense	WH
	16	Up sense	BU
	17		

Resolver, Steckverbindergröße con.23

Anschlussbild	Pin	Anschluss	Farbe
	1	S4 Sin +	BU
	2	S2 Sin -	YE
	3		
	4		
	5		
	6		
	7	R1 Ref -	RDWH
	8	1TP1/K1 (Temperatursensor +)	BK/BN
	9	1TP2/K2 (Temperatursensor -)	WH/WH
	10	R2 Ref +	YEWB
	11	S3 Cos +	BK
	12	S1 Cos -	RD

14.4 Anschluss an Antriebsregler von Kollmorgen

In diesem Kapitel finden Sie Informationen, die beim Anschluss von STÖBER Synchron-Servomotoren an Antriebsregler des oben genannten Fremdherstellers vom Anschluss an STÖBER Antriebsregler abweichen. Alle anderen Informationen über STÖBER Synchron-Servomotoren finden Sie im jeweiligen Kapitel dieses Katalogs.

Von STÖBER wurden folgende Maßnahmen getroffen, um den Aufwand für die Inbetriebnahme von STÖBER Motoren an Antriebsreglern von Kollmorgen zu minimieren und Fehler bei der Parametrierung zu vermeiden:

- Der Kommutierungsoffset des Motors wurde so eingestellt, dass keine kundenseitige Kalibrierung notwendig ist;
- Parameterlisten werden auf Anfrage bereitgestellt.

Weitere Informationen zur Inbetriebnahme von Motoren EZ an Antriebsreglern von Kollmorgen finden Sie im Downloadbereich auf der STÖBER Website im Dokument 443236_de.

14.4.1 Encoder

Encoder mit EnDat 2.2 Schnittstelle

Encodertyp	Code	Messprinzip	Erfassbare Umdrehungen	Auflösung	Positionswerte pro Umdrehung	MTTF [Jahre]	PHF [h]
EnDat 2.2 EQI 1131	Q6	Induktiv	4096	19 Bit	524288	> 100	$\leq 15 \times 10^{-9}$
EnDat 2.2 EQI 1131 FMA	M4	Induktiv	4096	19 Bit	524288	> 100	$\leq 15 \times 10^{-9}$

Encoder mit EnDat 2.1 Schnittstelle

Encodertyp	Code	Messprinzip	Erfassbare Umdrehungen	Auflösung	Positionswerte pro Umdrehung	Perioden pro Umdrehung	MTTF [Jahre]	PHF [h]
EnDat 2.1 EQN 1125 FMA	M2	Optisch	4096	13 Bit	8192	Sin/Cos 512	> 57	$\leq 2 \times 10^{-6}$
EnDat 2.1 EQN 1125	Q4	Optisch	4096	13 Bit	8192	Sin/Cos 512	> 57	$\leq 2 \times 10^{-6}$

Hinweise

- Der Code des Encoders ist Bestandteil der Typenbezeichnung des Motors.
- FMA = Ausführung mit Fehlerausschluss der mechanischen Ankopplung.
- Mehrere Umdrehungen der Motorwelle können nur mit Multiturn-Encodern erfasst werden.

14.4.2 Kombinationsmöglichkeiten mit Antriebsreglern

In der nachfolgenden Tabelle sind Kombinationsmöglichkeiten von STÖBER Synchron-Servomotoren mit Antriebsreglern von Kollmorgen in Abhängigkeit vom Encodertyp dargestellt.

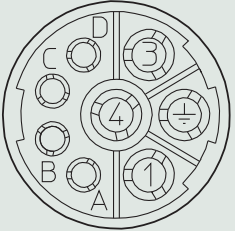
Antriebsregler	Servostar S300/S400/S600/S700	
Code Antriebsregler	FE	
ID Anschlussplan	442311	
Encoder	Code Encoder	
EnDat 2.2 EQI 1131	Q6	EZ
EnDat 2.2 EQI 1131 FMA	M4	EZ
EnDat 2.1 EQN 1125 FMA	M2	EZ
EnDat 2.1 EQN 1125	Q4	EZ
Resolver	R0	EZ

Der Code des Encoders und des Antriebsreglers ist Bestandteil der Typenbezeichnung des Motors.

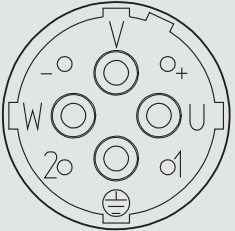
14.4.3 Anschlussbelegung Leistungssteckverbinder

Die Größe und das Anschlussbild des Leistungssteckverbinders sind von der Baugröße des Motors abhängig. Die Farben der motorinternen Anschlusslitzen sind gemäß IEC 60757 benannt.

Steckverbindergröße con.23

Anschlussbild	Pin	Anschluss	Farbe
	1	1U1 (Phase U)	BK
	3	1W1 (Phase W)	RD
	4	1V1 (Phase V)	BU
	A	1BD1 (Bremse +)	RD
	B	1BD2 (Bremse -)	BK
	C		
	D		
	⊕	PE (Schutzleiter)	GNYE

Steckverbindergröße con.40 (1,5)

Anschlussbild	Pin	Anschluss	Farbe
	U	1U1 (Phase U)	BK
	V	1V1 (Phase V)	BU
	W	1W1 (Phase W)	RD
	+	1BD1 (Bremse +)	RD
	-	1BD2 (Bremse -)	BK
	1		
	2		
	⊕	PE (Schutzleiter)	GNYE

14.4.4 Anschlussbelegung Encodersteckverbinder

Die Größe und Anschlussbelegung der Encodersteckverbinder sind vom Typ des verbauten Encoders und der Baugröße des Motors abhängig.

Encoder EnDat 2.1 mit Sin/Cos-Inkrementalsignalen, Steckverbindergröße con.23

Anschlussbild	Pin	Anschluss	Farbe
	1	B - (Sin -)	RDBK
	2	0 V GND	WHGN
	3	A - (Cos -)	YEBK
	4	Up +	BNGN
	5	Data +	GY
	6		
	7	1TP1 (Temperatursensor +)	BK/RD
	8	Clock +	VT
	9	B + (Sin +)	BUBK
	10	0 V sense	WH
	11	A + (Cos +)	GNBK
	12	Up sense	BU
	13	Data -	PK
	14	1TP2 (Temperatursensor -)	WH/WH
	15	Clock -	YE
	16		
	17		

Resolver, Steckverbindergröße con.23

Anschlussbild	Pin	Anschluss	Farbe
	1		
	2	1TP1 (Temperatursensor +)	BK/RD
	3	S4 Sin +	BU
	4	S3 Cos +	BK
	5	R2 Ref +	YEWH
	6	1TP2 (Temperatursensor -)	WH/WH
	7	S2 Sin -	YE
	8	S1 Cos -	RD
	9	R1 Ref -	RDWH
	10		
	11		
	12		

14.5 Anschluss an Antriebsregler von Bosch Rexroth

In diesem Kapitel finden Sie Informationen, die beim Anschluss von STÖBER Synchron-Servomotoren an Antriebsregler des oben genannten Fremdherstellers vom Anschluss an STÖBER Antriebsregler abweichen. Alle anderen Informationen über STÖBER Synchron-Servomotoren finden Sie im jeweiligen Kapitel dieses Katalogs.

Von STÖBER wurden folgende Maßnahmen getroffen, um den Aufwand für die Inbetriebnahme von STÖBER Motoren an Antriebsreglern IndraDrive C/Cs zu minimieren und Fehler bei der Parametrierung zu vermeiden:

- Der Kommutierungsoffset des Motors wurde so eingestellt, dass keine kundenseitige Kalibrierung notwendig ist;
- Parameterlisten werden auf Anfrage bereitgestellt.

Weitere Informationen zur Inbetriebnahme von Motoren EZ an Antriebsreglern IndraDrive C/Cs finden Sie im Downloadbereich auf der STÖBER Website im Dokument 443235_de.

14.5.1 Encoder

Encoder mit EnDat 2.1 Schnittstelle

Encodertyp	Code	Messprinzip	Erfassbare Umdrehungen	Auflösung	Positionswerte pro Umdrehung	Perioden pro Umdrehung	MTTF [Jahre]	PHF [h]
EnDat 2.1 EQN 1125 FMA	M2	Optisch	4096	13 Bit	8192	Sin/Cos 512	> 57	$\leq 2 \times 10^{-6}$
EnDat 2.1 EQN 1125	Q4	Optisch	4096	13 Bit	8192	Sin/Cos 512	> 57	$\leq 2 \times 10^{-6}$
EnDat 2.1 ECN 1113 FMA	M0	Optisch	–	13 Bit	8192	Sin/Cos 512	> 57	$\leq 2 \times 10^{-6}$
EnDat 2.1 ECN 1113	C6	Optisch	–	13 Bit	8192	Sin/Cos 512	> 57	$\leq 2 \times 10^{-6}$

Hinweise

- Der Code des Encoders ist Bestandteil der Typenbezeichnung des Motors.
- FMA = Ausführung mit Fehlerausschluss der mechanischen Ankopplung.
- Mehrere Umdrehungen der Motorwelle können nur mit Multiturn-Encodern erfasst werden.

14.5.2 Kombinationsmöglichkeiten mit Antriebsreglern

In der nachfolgenden Tabelle sind Kombinationsmöglichkeiten von STÖBER Synchron-Servomotoren mit Antriebsreglern von Bosch Rexroth in Abhängigkeit vom Encodertyp dargestellt.

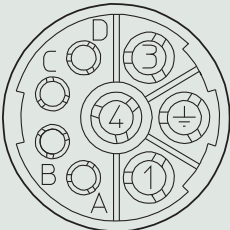
Antriebsregler		IndraDrive C/Cs
Code Antriebsregler		FW
Zwischenkreisspannung U_{zk}		540 V
ID Anschlussplan		442445
Encoder	Code Encoder	
EnDat 2.1 EQN 1125 FMA	M2	EZ
EnDat 2.1 EQN 1125	Q4	EZ
EnDat 2.1 ECN 1113 FMA	M0	EZ
EnDat 2.1 ECN 1113	C6	EZ

Der Code des Encoders und des Antriebsreglers ist Bestandteil der Typenbezeichnung des Motors.

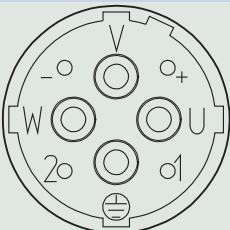
14.5.3 Anschlussbelegung Leistungssteckverbinder

Die Größe und das Anschlussbild des Leistungssteckverbinders sind von der Baugröße des Motors abhängig. Die Farben der motorinternen Anschlussslitzen sind gemäß IEC 60757 benannt.

Steckverbindergröße con.23

Anschlussbild	Pin	Anschluss	Farbe
	1	1U1 (Phase U)	BK
	3	1V1 (Phase V)	BU
	4	1W1 (Phase W)	RD
	A	1BD1 (Bremse +)	RD
	B	1BD2 (Bremse -)	BK
	C	1TP1/K1 (Temperatursensor +)	
	D	1TP2/K2 (Temperatursensor -)	
	⊕	PE (Schutzleiter)	GNYE

Steckverbindergröße con.40 (1,5)

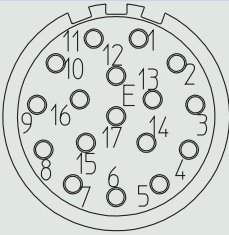
Anschlussbild	Pin	Anschluss	Farbe
	U	1U1 (Phase U)	BK
	V	1V1 (Phase V)	BU
	W	1W1 (Phase W)	RD
	+	1BD1 (Bremse +)	RD
	-	1BD2 (Bremse -)	BK
	1	1TP1/K1 (Temperatursensor +)	
	2	1TP2/K2 (Temperatursensor -)	
	⊕	PE (Schutzleiter)	GNYE

14.5.4 Anschlussbelegung Encodersteckverbinder

Die Größe und Anschlussbelegung der Encodersteckverbinder sind vom Typ des verbauten Encoders und der Baugröße des Motors abhängig. Die Farben der motorinternen Anschlussslitzen sind gemäß IEC 60757 benannt.

Encoder EnDat 2.1 mit Sin/Cos-Inkrementalsignalen, Steckverbindergröße con.23

Diese Anschlussbelegung gilt nur für die Antriebsregler IndraDrive C/Cs.

Anschlussbild	Pin	Anschluss	Farbe
	1	Up sense	BU
	2		
	3		
	4	0 V sense	WH
	5		
	6		
	7	Up +	BNGN
	8	Clock +	VT
	9	Clock -	YE
	10	0 V GND	WHGN
	11		
	12	B + (Sin +)	BUBK
	13	B - (Sin -)	RDBK
	14	Data +	GY
	15	A + (Cos +)	GNBK
	16	A - (Cos -)	YEBK
	17	Data -	PK

14.6 Anschluss an Antriebsregler von Beckhoff

In diesem Kapitel finden Sie Informationen, die beim Anschluss von STÖBER Synchron-Servomotoren an Antriebsregler des oben genannten Fremdherstellers vom Anschluss an STÖBER Antriebsregler abweichen. Alle anderen Informationen über STÖBER Synchron-Servomotoren finden Sie im jeweiligen Kapitel dieses Katalogs.

Von STÖBER wurden folgende Maßnahmen getroffen, um den Aufwand für die Inbetriebnahme von STÖBER Motoren an Antriebsreglern AX5000 zu minimieren und Fehler bei der Parametrierung zu vermeiden:

- Der Kommutierungsoffset des Motors wurde so eingestellt, dass keine kundenseitige Kalibrierung notwendig ist;
- Parameterdateien für alle unterstützten Motorausführungen werden bereitgestellt.

Weitere Informationen zur Inbetriebnahme von Motoren EZ an Antriebsreglern von B&R finden Sie im Downloadbereich auf der STÖBER Website im Dokument 443185_de.

14.6.1 Encoder

Encoder mit EnDat 2.1 Schnittstelle

Encodertyp	Code	Messprinzip	Erfassbare Umdrehungen	Auflösung	Positionswerte pro Umdrehung	Perioden pro Umdrehung	MTTF [Jahre]	PHF [h]
EnDat 2.1 EQN 1125 FMA	M2	Optisch	4096	13 Bit	8192	Sin/Cos 512	> 57	$\leq 2 \times 10^{-6}$
EnDat 2.1 EQN 1125	Q4	Optisch	4096	13 Bit	8192	Sin/Cos 512	> 57	$\leq 2 \times 10^{-6}$
EnDat 2.1 ECN 1113 FMA	M0	Optisch	–	13 Bit	8192	Sin/Cos 512	> 57	$\leq 2 \times 10^{-6}$
EnDat 2.1 ECN 1113	C6	Optisch	–	13 Bit	8192	Sin/Cos 512	> 57	$\leq 2 \times 10^{-6}$
EnDat 2.1 EQI 1130	Q2	Induktiv	4096	12 Bit	262144	Sin/Cos 16	> 100	$\leq 6 \times 10^{-7}$

Hinweise

- Der Code des Encoders ist Bestandteil der Typenbezeichnung des Motors.
- FMA = Ausführung mit Fehlerausschluss der mechanischen Ankopplung.
- Mehrere Umdrehungen der Motorwelle können nur mit Multiturn-Encodern erfasst werden.

14.6.2 Kombinationsmöglichkeiten mit Antriebsreglern

In der nachfolgenden Tabelle sind Kombinationsmöglichkeiten von STÖBER Synchron-Servomotoren mit Antriebsreglern von Beckhoff in Abhängigkeit vom Encodertyp dargestellt.

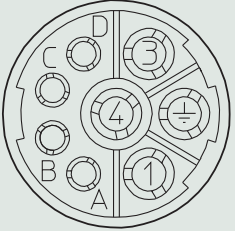
Antriebsregler		AX5000
Code Antriebsregler		FM
ID Anschlussplan		442318
Encoder	Code Encoder	
EnDat 2.1 EQN 1125 FMA	M2	EZ
EnDat 2.1 EQN 1125	Q4	EZ
EnDat 2.1 ECN 1113 FMA	M0	EZ
EnDat 2.1 ECN 1113	C6	EZ

Der Code des Encoders und des Antriebsreglers ist Bestandteil der Typenbezeichnung des Motors.

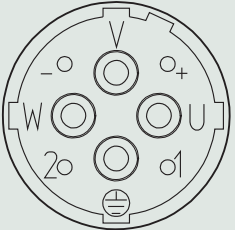
14.6.3 Anschlussbelegung Leistungssteckverbinder

Die Größe und das Anschlussbild des Leistungssteckverbinders sind von der Baugröße des Motors abhängig. Die Farben der motorinternen Anschlusslitzen sind gemäß IEC 60757 benannt.

Steckverbindergröße con.23

Anschlussbild	Pin	Anschluss	Farbe
	1	1U1 (Phase U)	BK
	3	1W1 (Phase W)	RD
	4	1V1 (Phase V)	BU
	A	1BD1 (Bremsen +)	RD
	B	1BD2 (Bremsen -)	BK
	C	1TP1/K1 (Temperatursensor +)	
	D	1TP2/K2 (Temperatursensor -)	
	⊕	PE (Schutzleiter)	GNYE

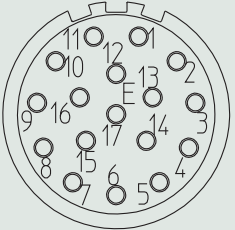
Steckverbindergröße con.40 (1,5)

Anschlussbild	Pin	Anschluss	Farbe
	U	1U1 (Phase U)	BK
	V	1V1 (Phase V)	BU
	W	1W1 (Phase W)	RD
	+	1BD1 (Bremsen +)	RD
	-	1BD2 (Bremsen -)	BK
	1	1TP1/K1 (Temperatursensor +)	
	2	1TP2/K2 (Temperatursensor -)	
	⊕	PE (Schutzleiter)	GNYE

14.6.4 Anschlussbelegung Encodersteckverbinder

Die Größe und Anschlussbelegung der Encodersteckverbinder sind vom Typ des verbauten Encoders und der Baugröße des Motors abhängig.

Encoder EnDat 2.1 mit Sin/Cos-Inkrementalsignalen, Steckverbindergröße con.23

Anschlussbild	Pin	Anschluss	Farbe
	1	B - (Sin -)	RDBK
	2	0 V GND	WHGN
	3	A - (Cos -)	YEBK
	4	Up +	BNGN
	5	Data +	GY
	6		
	7		
	8	Clock +	VT
	9	B + (Sin +)	BUBK
	10	0 V sense	WH
	11	A + (Cos +)	GNBK
	12	Up sense	BN
	13	Data -	PK
	14		
	15	Clock -	YE
	16		
	17		

14.7 Anschluss an Antriebsregler von Allen-Bradley

In diesem Kapitel finden Sie Informationen, die beim Anschluss von STÖBER Synchron-Servomotoren an Antriebsregler des oben genannten Fremdherstellers vom Anschluss an STÖBER Antriebsregler abweichen. Alle anderen Informationen über STÖBER Synchron-Servomotoren finden Sie im jeweiligen Kapitel dieses Katalogs.

Die STÖBER Getriebemotoren EZ können an Antriebsreglern Kinetix 5500/5700/6500 vollautomatisch parametrierbar werden. Ausgeschlossen sind Motoren EZ ohne angebautes Getriebe und andere STÖBER Baureihen.

Von STÖBER wurden folgende Maßnahmen getroffen, um den Aufwand für die Inbetriebnahme von STÖBER Motoren an Antriebsreglern von Allen-Bradley zu minimieren und Fehler bei der Parametrierung zu vermeiden:

- Der Kommutierungsoffset des Motors wurde so eingestellt, dass keine kundenseitige Einmessung notwendig ist;
- Das elektronische Typenschild des Motors wurde kompatibel zu Kinetix 5500/5700/6500 ausgeführt;
- Der Motor wird vor Auslieferung an den Kunden von STÖBER an Antriebsreglern von Allen-Bradley getestet;
- Konfigurationsdateien für unterstützte Motorausführungen stehen zum Download bereit.

Weitere Informationen zur Inbetriebnahme von Motoren EZ an Antriebsreglern von Allen-Bradley finden Sie im Downloadbereich auf der STÖBER Website im Dokument 443244_de.

14.7.1 Encoder

Encoder mit EnDat 2.2 Schnittstelle

Encodertyp	Code	Messprinzip	Erfassbare Umdrehungen	Auflösung	Positionswerte pro Umdrehung	MTTF [Jahre]	PHF [h]
EnDat 2.2 EQN 1135	Q5	Optisch	4096	23 Bit	8388608	> 100	$\leq 15 \times 10^{-9}$

Encoder mit HIPERFACE Schnittstelle

Encodertyp	Code	Messprinzip	Erfassbare Umdrehungen	Auflösung	Positionswerte pro Umdrehung	MTTF [Jahre]	PHF [h]
EDM35	H6	Optisch	4096	20 Bit	1048576	> 100	$\leq 31 \times 10^{-9}$

Hinweise

- Der Code des Encoders ist Bestandteil der Typenbezeichnung des Motors.
- Mehrere Umdrehungen der Motorwelle können nur mit Multiturn-Encodern erfasst werden.

14.7.2 Kombinationsmöglichkeiten mit Antriebsreglern

In der nachfolgenden Tabelle sind Kombinationsmöglichkeiten von STÖBER Motoren und Getriebemotoren mit Antriebsreglern von Allen-Bradley in Abhängigkeit vom Encodertyp dargestellt.

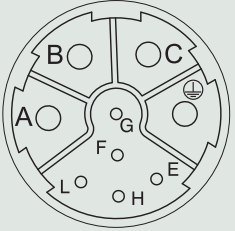
Antriebsregler		KINETIX 5500 (mit HIPERFACE DSL)	KINETIX 5700 (mit HIPERFACE DSL)	KINETIX 5700 (mit EnDat 2.2)	KINETIX 6500 (mit EnDat 2.2)
Code Antriebsregler		HB	GD	HA	GC
ID Anschlussplan		443169	442449	443096	442448
Encoder	Code Encoder				
EnDat 2.2 EQN 1135	Q5	–	–	EZ	EZ
EDM35	H6	EZ	EZ	–	–

Der Code des Encoders und des Antriebsreglers ist Bestandteil der Typenbezeichnung des Motors.

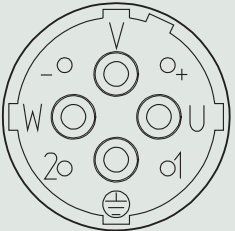
14.7.3 Anschlussbelegung Leistungssteckverbinder

Die Größe und das Anschlussbild des Leistungssteckverbinders sind von der Baugröße des Motors abhängig. Die Farben der motorinternen Anschlusslitzen sind gemäß IEC 60757 benannt.

Steckverbindergröße con.23

Anschlussbild	Pin	Anschluss	Farbe
	A	1U1 (Phase U)	BK
	B	1V1 (Phase V)	RD
	C	1W1 (Phase W)	BU
	F	MBRK + (1BD1)	RD
	G	MBRK - (1BD2)	BK
	E		
	H		
	L		
	⊕	PE (Schutzleiter)	GNYE

Steckverbindergröße con.40 (1,5)

Anschlussbild	Pin	Anschluss	Farbe
	U	1U1 (Phase U)	BK
	V	1V1 (Phase V)	BU
	W	1W1 (Phase W)	RD
	+	MBRK + (1BD1)	RD
	-	MBRK - (1BD2)	BK
	1		
	2		
⊕	PE (Schutzleiter)	GNYE	

14.7.4 Anschlussbelegung Encodersteckverbinder

Encoder EnDat 2.2 digital, Steckverbindergröße con.23

Anschlussbild	Pin	Anschluss	Farbe
	1		
	2		
	3		
	4		
	5	DATA +	GY
	6	DATA –	PK
	7	CLK + (Clock +)	VT
	8	CLK – (Clock –)	YE
	9	EPWR_5V (Up +)	BNGN
	10	ECOM (0 V)	WHGN
	11		
	12		
	13	TS + (1TP1)	BK
	14	TS – (1TP2)	WH
	15		
	16		
	17		

14.7.5 Anschlussbelegung Steckverbinder (One Cable Solution)

Bei der Ausführung One Cable Solution erfolgt der Leistungs- und Encoderanschluss über einen gemeinsamen Steckverbinder.

Die Größe des Steckverbinders ist abhängig von der Baugröße des Motors.

Der Temperatursensor des Motors ist intern am Encoder angeschlossen. Die Messwerte des Temperatursensors werden über das Protokoll des Encoders übertragen.

Steckverbindergröße con.23

Anschlussbild	Pin	Anschluss	Farbe
	A	1U1 (Phase U)	BK
	B	1V1 (Phase V)	BU
	C	1W1 (Phase W)	RD
	E	DATA + (DSL +)	GY
	F	MBRK + (1BD1)	RD
	G	MBRK – (1BD2)	BK
	H	DATA – (DSL –)	GN
	L		
	⊕	PE (Schutzleiter)	GNYE

Steckverbindergröße con.40 (1,5)

Anschlussbild	Pin	Anschluss	Farbe
	U	1U1 (Phase U)	BK
	V	1V1 (Phase V)	BU
	W	1W1 (Phase W)	RD
	N		
	+		
	-		
	1	MBRK + (1BD1)	RD
	2	MBRK - (1BD2)	BK
	H	DATA - (DSL -)	GY
	L	DATA + (DSL +)	GN
	⊕	PE (Schutzleiter)	GNYE

a) Koaxialer Schirm, an den der DSL-Schirm angeschlossen ist

15 Anhang

Inhaltsverzeichnis

15.1 Formelzeichen	320
15.2 Marken	323
15.3 Verkaufs- und Lieferbedingungen	323
15.4 Impressum.....	323
15.5 ATLANTA Katalogseiten	325

15.1 Formelzeichen

Die Formelzeichen für tatsächlich in der Anwendung vorhandene Werte sind mit einem * gekennzeichnet.

Formelzeichen	Einheit	Erklärung
a^*	m/s^2	Beschleunigung
a_{NOT}^*	m/s^2	Not-Aus-Beschleunigung
a_{th}	–	Parameter zur Berechnung von $K_{mot,th}$
a_{thEL}	–	Parameter zur Berechnung von $K_{mot,th}$ (abhängig von der Einbaulage)
B_{10}	–	Anzahl der Zyklen, nach denen 10 % der Komponenten ausgefallen sind
B_{10D}	–	Anzahl der Zyklen, bis 10 % der Komponenten gefährlich ausgefallen sind
C_{lin}	$N/\mu m$	Lineare Gesamtfedersteifigkeit
d_o	mm	Teilkreisdurchmesser
ΔJ_B	$kgcm^2$	Additives Massenträgheitsmoment eines Motors mit Bremse
Δm_B	kg	Additives Gewicht eines Motors mit Bremse
Δs	mm	Lineares Spiel resultierend aus dem Drehspiel des Getriebes
ED_{10}	%	Einschaltdauer bezogen auf 10 Minuten
F_{ax}	N	Zulässige Axialkraft am Abtrieb
F_{ax}^*	N	Vorhandene Axialkraft am Abtrieb
F_{ax100}	N	Zulässige Axialkraft am Abtrieb für $n_{m^*} \leq 100 \text{ min}^{-1}$
fB_{op}	–	Betriebsfaktor Betriebsart
fB_t	–	Betriebsfaktor Laufzeit
fB_T	–	Betriebsfaktor Temperatur
fB_{zB}	–	Betriebsfaktor Zyklusbetrieb
$ F_{f2} $	kN	Betrag der Vorschubkraft am Abtrieb
$F_{f2,0}$	kN	Stillstandsvorschubkraft am Getriebeabtrieb bei $n_1 = 500 \text{ min}^{-1}$
$F_{f2,1^*} - F_{f2,4^*}$	kN	Vorhandene Vorschubkraft im jeweiligen Zeitabschnitt (1 bis 4)
F_{f2,n^*}	kN	Vorhandene Vorschubkraft im n-ten Zeitabschnitt
F_{f2acc}	kN	Zulässige Beschleunigungsvorschubkraft am Getriebeabtrieb
F_{f2acc}^*	N	Vorhandene Beschleunigungsvorschubkraft am Getriebeabtrieb
F_{f2accE}	kN	Zulässige Beschleunigungsvorschubkraft am Getriebeabtrieb, Ritzelposition E
F_{f2eq}	kN	Äquivalente Vorschubkraft am Getriebeabtrieb
F_{f2eq}^*	kN	Vorhandene äquivalente Vorschubkraft am Getriebeabtrieb
F_{f2N}	kN	Nennvorschubkraft am Getriebeabtrieb bei $n_1 = 500 \text{ min}^{-1}$
F_{f2NOT}	kN	Not-Aus-Vorschubkraft des Getriebes am Getriebeabtrieb für maximal 1000 Lastwechsel
		Ohne Berücksichtigung des Maximaldrehmoments des Motors
F_{f2NOT}^*	kN	Vorhandene Not-Aus-Vorschubkraft am Getriebeabtrieb
$F_{f2NOT,E}$	kN	Not-Aus-Vorschubkraft des Getriebes am Getriebeabtrieb für maximal 1000 Lastwechsel, Ritzelposition E
F_L^*	N	Vorhandene Lastkraft
F_{rad}	N	Zulässige Radialkraft am Abtrieb
F_{rad}^*	N	Vorhandene Radialkraft am Abtrieb
F_{rad100}	N	Zulässige Radialkraft am Abtrieb für $n_{m^*} \leq 100 \text{ min}^{-1}$
H	m	Aufstellhöhe über Normalnull
i	–	Getriebeübersetzung
I_0	A	Stillstandsstrom
I_{max}	A	Maximalstrom
I_N	A	Nennstrom
$I_{N,B}$	A	Nennstrom der Bremse bei 20 °C
$I_{N,F}$	A	Nennstrom des Fremdlüfters
J_{Bstop}	$kgcm^2$	Referenz-Massenträgheitsmoment bei Bremsungen aus voller Drehzahl: $J_{Bstop} = J_{dyn} \times 2$
J_{dyn}	$kgcm^2$	Massenträgheitsmoment eines Motors in Dynamikausführung
J_{tot}	kgm^2	Gesamt-Massenträgheitsmoment (bezogen auf die Motorwelle)
K_{EM}	$V/1000 \text{ min}^{-1}$	Spannungskonstante: Scheitelwert der induzierten Spannung zwischen den Phasen U, V, W des betriebswarmen Motors bei einer Drehzahl von 1000 min^{-1}
K_H	–	Deratingfaktor Aufstellhöhe

Formelzeichen	Einheit	Erklärung
K_{M0}	Nm/A	Drehmomentkonstante: Verhältnis von Stillstandsrehmoment und Reibmoment zu Stillstandsstrom; $K_{M0} = (M_0 + M_R) / I_0$ (Toleranz $\pm 10\%$)
$K_{M,N}$	Nm/A	Drehmomentkonstante: Verhältnis von Nenndrehmoment M_N zu Nennstrom I_N ; $K_{M,N} = M_N / I_N$ (Toleranz $\pm 10\%$)
$K_{mot,th}$	–	Faktor zur Bestimmung des thermischen Grenzmoments
K_θ	–	Deratingfaktor Umgebungstemperatur
l	mm	Länge der Abtriebswelle
L_{pA}	dB(A)	Schalldruckpegel des Getriebes bei $n_{1N} = 2000 \text{ min}^{-1}$
L_{U-V}	mH	Wicklungsinduktivität eines Motors zwischen zwei Phasen (ermittelt im Schwingkreis)
LW	-	Lastwechsel: Ein Lastwechsel (LW) entspricht einer Beschleunigung und einer Verzögerung.
m^*	kg	Zu beschleunigende Masse
M	Nm	Drehmoment
M_0	Nm	Stillstandsrehmoment: Drehmoment, das der Motor dauerhaft bei Drehzahl 10 min^{-1} abgeben kann (Toleranz $\pm 5\%$)
$M_{1*} - M_{4*}$	Nm	Vorhandenes Drehmoment des Motors im jeweiligen Zeitabschnitt (1 bis 4)
$M_{2,1*} - M_{2,4*}$	Nm	Vorhandenes Drehmoment im jeweiligen Zeitabschnitt (1 bis 4)
$M_{2,n*}$	Nm	Vorhandenes Drehmoment im n-ten Zeitabschnitt
M_{2acc}	Nm	Maximal zulässiges Beschleunigungsmoment am Getriebeabtrieb
M_{2accE}	Nm	Maximal zulässiges Beschleunigungsmoment am Getriebeabtrieb, Ritzelposition E
M_{2eff*}	Nm	Vorhandenes effektives Drehmoment am Getriebeabtrieb
M_{2th}	Nm	Thermisches Grenzmoment am Getriebeabtrieb
M_{Bdyn}	Nm	Dynamisches Bremsmoment bei 100°C
M_{Bstat}	Nm	Statisches Bremsmoment der Motorbremse bei 100°C
m_{dyn}	kg	Gewicht eines Motors in Dynamikausführung
M_{eff*}	Nm	Vorhandenes effektives Drehmoment des Motors
m_F	kg	Gewicht des Fremdlüfters
M_k	Nm	Zulässiges Kippmoment am Abtrieb
M_{k*}	Nm	Vorhandenes Kippmoment am Abtrieb
M_{k100}	Nm	Zulässiges Kippmoment am Abtrieb für $n_{m*} \leq 100 \text{ min}^{-1}$
M_L	Nm	Lastmoment
M_{lim}	Nm	Drehmomentgrenze ohne Kompensation der Feldschwächung
M_{limF}	Nm	Drehmomentkennlinie des Motors mit Fremdbelüftung im Dauerbetrieb
M_{limFW}	Nm	Drehmomentgrenze mit Kompensation der Feldschwächung (gilt nur für den Betrieb an STÖBER Antriebsreglern)
M_{limK}	Nm	Drehmomentkennlinie des Motors mit Konvektionskühlung im Dauerbetrieb
M_{max}	Nm	Maximaldrehmoment: Maximal zulässiges Drehmoment, das der Motor kurzzeitig (beim Beschleunigen oder Abbremsen) abgeben kann (Toleranz $\pm 10\%$)
M_{max*}	Nm	Vorhandenes maximales Drehmoment
m_n	mm	Modul
M_{n*}	Nm	Vorhandenes Drehmoment des Motors im n-ten Zeitabschnitt
M_N	Nm	Nenndrehmoment: Maximales Drehmoment eines Motors im S1-Betrieb bei Nenndrehzahl n_N (Toleranz $\pm 5\%$)
M_{Nred}	Nm	Reduziertes Nenndrehmoment des Motors
M_{op}	Nm	Drehmoment des Motors im Arbeitspunkt aus der Motorkennlinie bei n_{1m*}
M_R	Nm	Reibmoment (der Lager und Dichtungen) eines Motors bei Wicklungstemperatur $\Delta\theta = 100 \text{ K}$
n	min^{-1}	Drehzahl
n_{1m*}	min^{-1}	Vorhandene mittlere Eintriebsdrehzahl
n_{1max*}	min^{-1}	Vorhandene maximale Eintriebsdrehzahl
n_{1maxDB}	min^{-1}	Maximal zulässige Eintriebsdrehzahl des Getriebes im Dauerbetrieb
n_{1maxZB}	min^{-1}	Maximal zulässige Eintriebsdrehzahl des Getriebes im Zyklusbetrieb
N_{Bstop}	–	Zulässige Anzahl von Bremsungen aus voller Drehzahl ($n = 3000 \text{ min}^{-1}$) mit J_{Bstop} ($M_L = 0$). Bei abweichenden Werten von n und J_{Bstop} gilt: $N_{Bstop} = W_{B,Rlim} / W_{B,R/B}$.
n_{m*}	min^{-1}	Vorhandene mittlere Drehzahl des Motors

Formelzeichen	Einheit	Erklärung
$n_{m,1^*} - n_{m,4^*}$	min^{-1}	Vorhandene mittlere Drehzahl des Motors im jeweiligen Zeitabschnitt (1 bis 4)
n_{m,n^*}	min^{-1}	Vorhandene mittlere Drehzahl des Motors im n-ten Zeitabschnitt
n_N	min^{-1}	Nenn Drehzahl: Drehzahl, für die das Nenn Drehmoment M_N angegeben wird
P_N	kW	Nennleistung: Leistung, die der Motor im S1-Betrieb im Nennpunkt abgeben kann (Toleranz $\pm 5\%$)
$P_{N,F}$	W	Nennleistung des Fremdlüfters
q_{vF}	m^3/h	Förderleistung des Fremdlüfters in Freiluft
R_{U-V}	Ω	Wicklungswiderstand eines Motors zwischen zwei Phasen bei $20\text{ }^\circ\text{C}$ Wicklungstemperatur
S	–	Lastkennwert: Quotient aus Nenn Drehmoment des Getriebes und des Motors, ohne Berücksichtigung der thermischen Grenzleistung. Stellt ein Maß dar für die Reserve des Getriebemotors.
t	s	Zeit
$t_{1^*} - t_{4^*}$	s	Dauer des jeweiligen Zeitabschnitts (1 bis 4)
$t_{1^*} - t_{n^*}$	s	Dauer des jeweiligen Zeitabschnitts
t_{11B}	ms	Ansprechverzögerung: Zeit vom Ausschalten des Stromes bis zum Anstieg des Drehmoments
t_{1B}	ms	Verknüpfungszeit: Zeit vom Ausschalten des Stromes bis zum Erreichen des Nennbremsmoments
t_{2B}	ms	Trennzeit: Zeit vom Einschalten des Stromes bis zum Beginn des Drehmomentabfalls
t_{dec}	ms	Abbremszeit
T_{el}	ms	Elektrische Zeitkonstante: Verhältnis von Wicklungsinduktivität zu Wicklungswiderstand eines Motors: $T_{\text{el}} = L_{U-V} / R_{U-V}$
ϑ_{amb}	$^\circ\text{C}$	Umgebungstemperatur
t_{n^*}	s	Dauer des n-ten Zeitabschnitts
U	V	Spannung
$U_{N,B}$	V	Nennspannung der Bremse
$U_{N,F}$	V	Nennspannung des Fremdlüfters
$ v_{f2} $	m/s	Betrag der Vorschubgeschwindigkeit
v_{f2m^*}	m/s	Vorhandene mittlere Vorschubgeschwindigkeit
$v_{f2m,1^*} - v_{f2m,4^*}$	m/s	Vorhandene mittlere Vorschubgeschwindigkeit im jeweiligen Zeitabschnitt (1 bis 4)
v_{f2m,n^*}	m/s	Vorhandene mittlere Vorschubgeschwindigkeit im n-ten Zeitabschnitt
v_{f2N}	m/s	Nennvorschubgeschwindigkeit am Getriebeantrieb
$v_{f2\text{maxDB}}$	m/s	Maximale Vorschubgeschwindigkeit am Getriebeantrieb bei $n_{1\text{maxDB}}$
$v_{f2\text{maxZB}}$	m/s	Maximale Vorschubgeschwindigkeit am Getriebeantrieb bei $n_{1\text{maxZB}}$
$W_{B,R/B}$	J	Reibarbeit pro Bremsung
$W_{B,R\text{lim}}$	J	Reibarbeit bis zur Verschleißgrenze
$W_{B,R\text{max/h}}$	J/h	Maximal zulässige Reibarbeit pro Stunde bei Einzelbremsung
x	mm	Profilverschiebungsfaktor
x_2	mm	Abstand Wellenschulter bis Kraftangriffspunkt
$x_{B,N}$	mm	Nennluftspalt der Bremse
y_2	mm	Abstand Wellenachse bis Kraftangriffspunkt der Axialkraft
z	–	Zähnezahl
z_2	mm	Abstand Wellenschulter bis Mitte Abtriebslager

15.2 Marken

Die folgenden Namen, die in Verbindung mit dem Gerät, seiner optionalen Ausstattung und seinem Zubehör verwendet werden, sind Marken oder eingetragene Marken anderer Unternehmen:

ACOPOS®	ACOPOS ist eine eingetragene Marke der ABB Asea Brown Boveri Ltd., Zürich, Schweiz.
DRIVE-CLiQ®	DRIVE-CLiQ® ist eine eingetragene Marke der Siemens AG, München, Deutschland.
EnDat®	EnDat® und das EnDat®-Logo sind eingetragene Marken der Dr. Johannes Heidenhain GmbH, Traunreut, Deutschland.
HIPERFACE®	HIPERFACE® und das HIPERFACE DSL®-Logo sind eingetragene Marken der SICK STEGMANN GmbH, Donaueschingen, Deutschland.
IndraDrive®	IndraDrive® ist eine eingetragene Marke der Bosch Rexroth AG, Lohr, Deutschland.
INTERCONTEC®	INTERCONTEC® ist eine eingetragene Marke der TE Connectivity Industrial GmbH, Niederwinkling, Deutschland.
RINGFEDER®	RINGFEDER® ist eine eingetragene Marke der VBG GROUP TRUCK EQUIPMENT GmbH, Krefeld, Deutschland.
SERVOSTAR®	SERVOSTAR® ist eine eingetragene Marke der Kollmorgen Corporation, Waltham, USA.
SINAMICS®	SINAMICS® ist eine eingetragene Marke der Siemens AG, München, Deutschland.

Alle anderen, hier nicht aufgeführten Marken, sind Eigentum ihrer jeweiligen Inhaber.

Erzeugnisse, die als Marken eingetragen sind, sind in dieser Dokumentation nicht besonders kenntlich gemacht. Vorliegende Schutzrechte (Patente, Warenzeichen, Gebrauchsmusterschutz) sind zu beachten.

15.3 Verkaufs- und Lieferbedingungen

Unsere Verkaufs- und Lieferbedingungen finden Sie immer aktuell unter <http://www.stoeber.de/de/agb>.

15.4 Impressum

Katalog Zahnstangentriebe mit Synchron-Servomotoren ID 443286_de.

Aktuelle PDF-Dateien finden Sie im Internet unter <http://www.stoeber.de/de/downloads/>.

ATLANTA Zahnstangen

Bei unserem Kooperationspartner Atlanta sind alle zu unseren Produkten passenden Zahnstangen verfügbar.

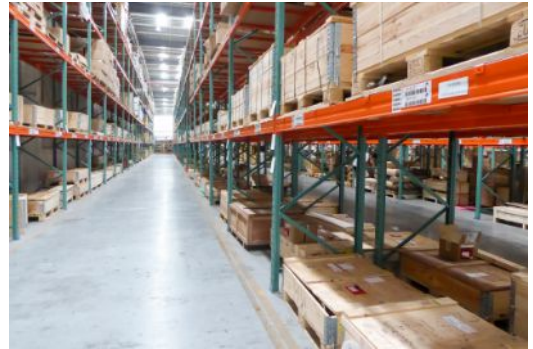
<http://atlantagmbh.de/>

15.5 ATLANTA Katalogseiten

Auf den nächsten Seiten finden Sie einen Auszug aus dem Katalog der Firma ATLANTA Antriebssysteme.



ATLANTA Antriebssysteme GmbH
Carl-Benz-Str. 16
74321 Bietigheim-Bissingen
Deutschland
Tel. +49 7142 7001-0
info@atlantagmbh.de
www.atlantagmbh.de



Für die Werte der Belastungstabelle wurde ein gleichmäßiger, stoßfreier Betrieb, $K_{H\beta}=1,0$ und gesicherte Fettschmierung zugrunde gelegt. Da die Anwendungsfälle in der Praxis sehr verschieden sind, ist es erforderlich, die jeweiligen Verhältnisse durch entsprechende Faktoren S_B , K_A , $L_{K\beta}$ und f_n zu berücksichtigen (siehe untenstehend).

Formeln zur Ermittlung der Umfangskraft

$$a = \frac{v}{t_b} \quad [\text{m/s}^2]$$

$$F_u = \frac{m \cdot g + m \cdot a}{1000} \quad (\text{für Hubachse}) \quad [\text{kN}]$$

$$F_u = \frac{m \cdot g \cdot \mu + m \cdot a}{1000} \quad (\text{für Fahrachse}) [\text{kN}]$$

$$F_{u \text{ zul.}} = \frac{F_{u \text{ Tab}}}{K_A \cdot S_B \cdot f_n \cdot L_{K\beta}} \quad [\text{kN}]$$

Erklärung der Formelzeichen siehe Seite ZD-3

Bedingung $F_u < F_{u \text{ zul.}}$ muss erfüllt sein.

Belastungsfaktor K_A

Antrieb	Belastungsart der anzutreibenden Maschinen		
	gleichförmig	mittlere Stöße	starke Stöße
gleichförmig	1,00	1,25	1,75
leichte Stöße	1,25	1,50	2,00
mittlere Stöße	1,50	1,75	2,25

Sicherheitsbeiwert S_B

Der Sicherheitsbeiwert ist nach Erfahrung zu berücksichtigen ($S_B = 1,25 \div 1,50$). Dies gilt für Zahnstangentriebe mit einem Antrieb / Zahnstangenstrecke. Für mehrere Antriebe auf einer Zahnstangenstrecke, als auch für verspannte Triebe, ist der Sicherheitsbeiwert entsprechend zu erhöhen. Im Zweifel kontaktieren Sie bitte unseren technischen Service.

Lebensdauerfaktor f_n

für den Einfluss der Umfangsgeschwindigkeit des Ritzels und der Schmierung.

Schmierung	kontin.	tägl.	monatl.	Umfangsgeschw. der Verzahnung	
				m/sec	m/min
0,5	30	0,85	0,95		
1,0	60	0,95	1,10		von
1,5	90	1,00	1,20		3
2,0	120	1,05	1,30		bis
3,0	180	1,10	1,50		10
5,0	300	1,25	1,90		

Linearer Breitenfaktor $L_{K\beta}$

Der lineare Breitenfaktor berücksichtigt ungleichmäßige Lastenverteilung über die Zahnbreite auf die Flankenpressung ($L_{K\beta} = \sqrt{K_{H\beta}}$).

$L_{K\beta} = 1,1$ bei Gegenlagerung z.B. Torque Supporter

= 1,2 bei vorgespannten Lagern der Abtriebswelle z.B. Atlanta HT-, HP- und E-Servo Schneckengetriebe, BG-Servo Kegelradgetriebe

= 1,5 bei nicht vorgespannten Lagern der Abtriebswelle z.B. B-Servo Schneckengetriebe



Rechenbeispiel

Vorgabewerte

⊗ Fahrtrieb

bewegte Masse	m = 820 kg
Geschwindigkeit	v = 2 m/s
Beschleunigungszeit	t _b = 1 s
Erdbeschleunigung	g = 9,81 m/s ²
Reibwert	μ = 0,1
Belastungsfaktor	K _A = 1,5
Lebensdauerfaktor	f _n = 1,05 (kont. Schmierung)
Sicherheitsbeiwert	S _B = 1,4
Linearer Breitenfaktor	L _{KHβ} = 1,5

Rechengang

$$a = \frac{v}{t_b} \quad a = \frac{2}{1} = 2 \text{ m/s}^2$$

$$F_u = \frac{m \cdot g \cdot \mu + m \cdot a}{1000}$$

$$F_u = \frac{820 \cdot 9,81 \cdot 0,1 + 820 \cdot 2}{1000} = 2,44 \text{ kN}$$

zulässige Vorschubkraft F_{u Tab} :
 Zahnstange C45, ind. gehärtet, Q10,
 gerade verzahnt, Modul 3, Ritzel 16MnCr5,
 einsatzgehärtet, 20 Zähne,
 Seite ZB-40 mit F_{u Tab} = 11,5 kN

$$F_{u \text{ zul.}} = \frac{F_{u \text{ Tab}}}{K_A \cdot S_B \cdot f_n \cdot L_{KH\beta}} ;$$

$$F_{u \text{ zul.}} = \frac{11,5 \text{ kN}}{1,5 \cdot 1,4 \cdot 1,05 \cdot 1,5} = 3,47 \text{ kN}$$

Bedingung

F_{u zul.} > F_u ; 3,47 kN > 2,44 kN => erfüllt

Ergebnis: Zahnstange 27 30 101 Seite ZB-13
 Ritzel 24 35 220 Seite ZB-23
 einsatzgehärtet

Ihre Rechnung

Vorgabewerte

⊗ Fahrtrieb

bewegte Masse	m = _____ kg
Geschwindigkeit	v = _____ m/s
Beschleunigungszeit	t _b = _____ s
Erdbeschleunigung	g = <u>9,81</u> m/s ²
Reibwert	μ = _____
Belastungsfaktor	K _A = _____
Lebensdauerfaktor	f _n = _____
Sicherheitsbeiwert	S _B = _____
Linearer Breitenfaktor	L _{KHβ} = _____

Rechengang

$$a = \frac{v}{t_b} \quad a = \frac{\quad}{\quad} = \quad \text{m/s}^2$$

$$F_u = \frac{m \cdot g \cdot \mu + m \cdot a}{1000} ; F_u = \frac{\quad}{1000} = \quad \text{kN}$$

zulässige Vorschubkraft F_{u Tab}

$$F_{u \text{ zul.}} = \frac{F_{u \text{ Tab}}}{K_A \cdot S_B \cdot f_n \cdot L_{KH\beta}} ;$$

$$F_{u \text{ zul.}} = \frac{\quad}{\quad} = \quad \text{kN}$$

Bedingung

F_{u zul.} > F_u ; _____ kN > _____ kN => erfüllt



Rechenbeispiel

Vorgabewerte

⊗ Hubantrieb

bewegte Masse	$m = 300 \text{ kg}$
Geschwindigkeit	$v = 1,08 \text{ m/s}$
Beschleunigungszeit	$t_b = 0,27 \text{ s}$
Erdbeschleunigung	$g = 9,81 \text{ m/s}^2$
Belastungsfaktor	$K_A = 1,2$
Lebensdauerfaktor	$f_n = 1,1$ (tägl. Schmierung)
Sicherheitsbeiwert	$S_B = 1,4$
Linearer Breitenfaktor	$L_{KHB} = 1,2$

Rechengang

$$a = \frac{v}{t_b} \quad a = \frac{1,08}{0,27} = 4 \text{ m/s}^2$$

$$F_u = \frac{m \cdot g + m \cdot a}{1000} \quad F_u = \frac{300 \cdot 9,81 + 300 \cdot 4}{1000} = 4,1 \text{ kN}$$

zulässige Vorschubkraft $F_{u \text{ Tab}}$:
 Zahnstange C45, ind. gehärtet, Q6,
 schräg verzahnt, Modul 2, Ritzel 16MnCr5,
 einsatzgehärtet, 20 Zähne,
 Seite ZA-31 mit $F_{u \text{ Tab}} = 11,5 \text{ kN}$

$$F_{u \text{ zul.}} = \frac{F_{u \text{ Tab}}}{K_A \cdot S_B \cdot f_n \cdot L_{KHB}} ; F_{u \text{ zul.}} = \frac{11,5 \text{ kN}}{1,2 \cdot 1,4 \cdot 1,1 \cdot 1,2} = 5,18 \text{ kN}$$

Bedingung

$$F_{u \text{ zul.}} > F_u ; 5,18 \text{ kN} > 4,1 \text{ kN} \Rightarrow \text{erfüllt}$$

Ergebnis:	Zahnstange	29 20 105	Seite ZA-7
	Ritzel	24 29 520	Seite ZA-24



Ihre Rechnung

Vorgabewerte

⊗ Hubantrieb

bewegte Masse	$m =$ _____ kg
Geschwindigkeit	$v =$ _____ m/s
Beschleunigungszeit	$t_b =$ _____ s
Erdbeschleunigung	$g = 9,81$ _____ m/s^2
Belastungsfaktor	$K_A =$ _____
Lebensdauerfaktor	$f_n =$ _____
Sicherheitsbeiwert	$S_B =$ _____
Linearer Breitenfaktor	$L_{KHB} =$ _____

Rechengang

$$a = \frac{v}{t_b} \quad a = \text{_____} = \text{_____} \text{ m/s}^2$$

$$F_u = \frac{m \cdot g + m \cdot a}{1000} \quad F_{u \text{ erf.}} = \frac{\text{_____}}{1000} = \text{_____} \text{ kN}$$

zulässige Vorschubkraft $F_{u \text{ Tabelle}}$

$$F_{u \text{ zul.}} = \frac{F_{u \text{ Tab}}}{K_A \cdot S_B \cdot f_n \cdot L_{KHB}} ; F_{u \text{ zul.}} = \text{_____} = \text{_____} \text{ kN}$$

Bedingung

$$F_{u \text{ zul.}} > F_u ; \text{_____ kN} > \text{_____ kN} \Rightarrow \text{erfüllt}$$



Modul 1,0



Modul 1,25



Modul 1,5



Modul 2,0



Modul 2,5



Modul 3,0



Modul 4,0



Modul 5,0



Modul 6,0



Modul 8,0



Modul 10,0



Modul 12,0

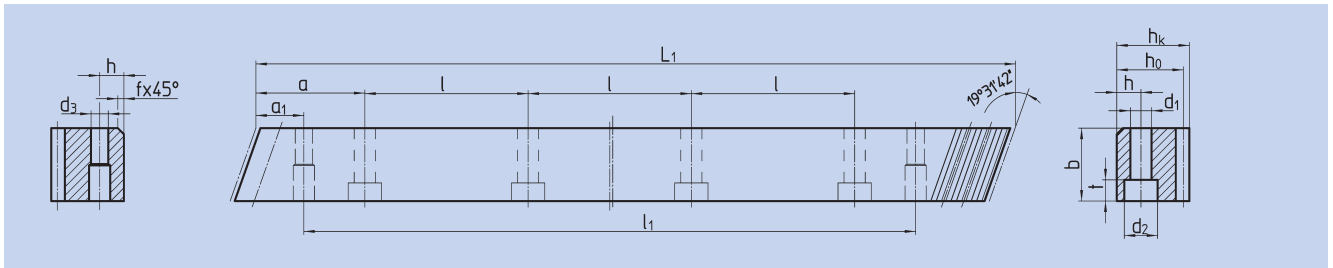



Klasse	ATLANTA Qualität	Modul	Gesamtteilungsfehler ¹⁾ (±µm/m)	Zahndicken-Toleranz (µm)	max. Länge (mm)	Max. Vorschubkraft pro Ritzeleingriff ²⁾ kN	Einsatzgebiete (Beispiele)
HPR High Precision Rack	6	2	34	-20	1000	19,5	Holz-, Kunststoff-, Composit-, Aluminiumbearbeitungsmaschinen
		3	34	-20	1000	31,0	
		4	34	-20	1000	60,0	
	6	1,5	34	-20	1000	9,0	Werkzeugmaschinen, Führungszahnstangen, Wasserschneideanlagen, Rohrbiegeanlagen, Plasmaschneideanlagen
		2	34	-20	2000	15,5	
		3	34	-20	2000	28,5	
		4	34	-20	2000	51,5	
		5	34	-20	2000	76,0	
		6	34	-20	2000	109,0	
		8	34	-20	1920	191,0	
	10	34	-20	1500	287,0		
		12	34	-20	1000	409,0	
	7	2	52	-36	2000	15,5	Holzbearbeitungsmaschinen, Linearachsen mit erhöhter Anforderung an die Laufruhe
		3	52	-36	2000	28,5	
		4	52	-36	2000	51,5	
5		52	-36	2000	76,0		
6		52	-36	2000	109,0		
8		52	-36	1920	191,0		
10		52	-36	1500	287,0		
PR Precision Rack	8	2	60	-59	2000	13,5	Portale, Handhabung, Linearachsen
		3	60	-59	2000	24,5	
		4	60	-59	2000	44,0	
		5	60	-59	2000	64,5	
		6	60	-59	2000	90,5	
	8	2	100	-110	2000	8,0	Linearachsen
		3	100	-110	2000	14,0	
		4	100	-110	2000	27,0	

1) Werte gelten für 1000 mm. Andere Gesamtteilungsfehler bei anderen Längen siehe Detailbeschreibung (ATLANTA Servo-Katalog).

2) Werte nur gültig für Spezialstahl nach ATLANTA-Norm.

Bei einer maximaler Auslastung der Verzahnung, bzw. beim Mehrfachzahneingriff müssen die Schraubenkräfte separat betrachtet werden! Bitte Rücksprache mit ATLANTA halten!

ATLANTA-Qualität 6


Bestell-Nr.	Modul	L ₁	Zähnezahl	b	h _k	h ₀	f	a	l	Anz. Bohr.	h	d ₁	d ₂	t	a ₁	l ₁	d ₃	
29 20 100	2	1000,00	150	24	24	22	2	62,5	125	8	8	7	11	7	31,7	936,6	5,7	4,10
29 30 100	3	1000,00	100	29	29	26	2	62,5	125	8	9	10	15	9	35,0	930,0	7,7	5,90
29 42 100	4	1000,00	75	39	39	35	2	62,5	125	8	12	14	20	13	33,3	933,4	11,7	10,70

Gesamtteilungsfehler $GT_f/1000 \leq 0,034 \text{ mm}$,
 $GT_f/1500 \leq 0,041 \text{ mm}$ ($\Delta 0,027 \text{ mm}/1000$),
 $GT_f/2000 \leq 0,044 \text{ mm}$ ($\Delta 0,022 \text{ mm}/1000$).

- Verzahnung mit dem ATLANTA Hochleistungs-Härteprozess gehärtet und geschliffen
- Einsatzstahl nach ATLANTA-Norm
- Profil allseitig geschliffen

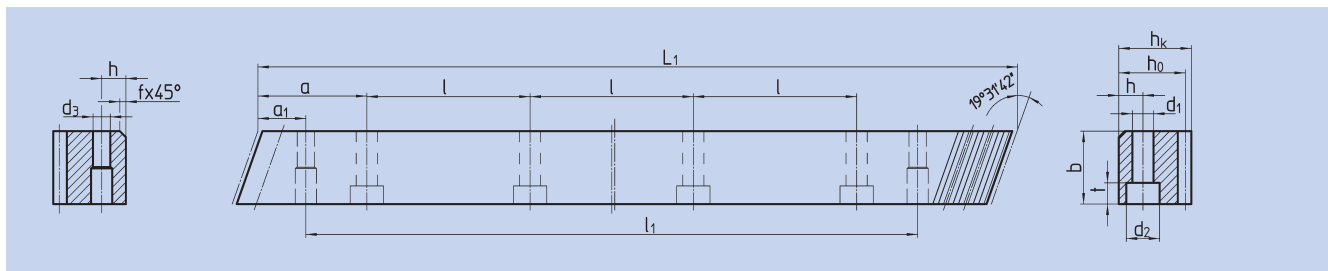
Montagezahnstangen siehe Atlanta Servo-Katalog.


Um die Genauigkeit der Zahnstangen, auch im Stoß zu gewährleisten, empfehlen wir unser patentiertes Montageset, siehe Atlanta Servo-Katalog.

Für die Schmierung von Zahnstangen und Ritzeln empfehlen wir den Einsatz unserer elektronisch gesteuerten Schmierbüchsen, siehe Atlanta Servo-Katalog.

Für die Berechnung und Auswahl der Zahnstangentriebe siehe Rechenbeispiel im Atlanta Servo-Katalog.

Befestigungsschrauben für Zahnstangen siehe Atlanta Servo-Katalog.

ATLANTA-Qualität 6


Bestell-Nr.	Modul	L ₁	Zähnezahl	b	h _k	h ₀	f	a	l	Anz. Bohr.	h	d ₁	d ₂	t	a ₁	l ₁	d ₃	
29 15 105	1,5	1000,00	200	19	19	17,5	2,0	62,5	125	8	8	7	11	7	31,7	936,6	5,7	2,60
29 20 105	2	1000,00	150	24	24	22	2,0	62,5	125	8	8	7	11	7	31,7	936,6	5,7	4,10
29 20 155	2	1500,00	225	24	24	22	2,0	62,5	125	16	8	7	11	7	31,7	1436,6	5,7	6,15
29 20 205	2	2000,00	300	24	24	22	2,0	62,5	125	16	8	7	11	7	31,7	1936,6	5,7	8,20
29 30 105	3	1000,00	100	29	29	26	2,0	62,5	125	8	9	10	15	9	35,0	930,0	7,7	5,90
29 30 155	3	1500,00	150	29	29	26	2,0	62,5	125	12	9	10	15	9	35,0	1430,0	7,7	8,85
29 30 205	3	2000,00	200	29	29	26	2,0	62,5	125	16	9	10	15	9	35,0	1930,0	7,7	11,80
29 40 105 ²⁾	4	1000,00	75	39	39	35	2,0	62,5	125	8	12	10	15	9	33,3	933,4	7,7	10,70
29 42 105	4	1000,00	75	39	39	35	2,0	62,5	125	8	12	14	20	13	33,3	933,4	11,7	10,70
29 42 155 ¹⁾	4	1506,67	113	39	39	35	2,0	62,5	125	12	12	14	20	13	33,3	1433,4	11,7	16,05
29 40 205	4	2000,00	150	39	39	35	2,0	62,5	125	16	12	10	15	9	33,3	1933,4	7,7	21,40
29 42 205	4	2000,00	150	39	39	35	2,0	62,5	125	16	12	14	20	13	33,3	1933,4	11,7	21,40
29 50 105	5	1000,00	60	49	49	34	2,5	62,5	125	8	12	14	20	13	37,5	925,0	11,7	13,00
29 50 155	5	1500,00	90	49	49	34	2,5	62,5	125	12	12	14	20	13	37,5	1425,0	11,7	19,50
29 50 205	5	2000,00	120	49	49	34	2,5	62,5	125	16	12	14	20	13	37,5	1925,0	11,7	26,00
29 60 105	6	1000,00	50	59	59	43	2,5	62,5	125	8	16	18	26	17	37,5	925,0	15,7	18,10
29 60 155	6	1500,00	75	59	59	43	2,5	62,5	125	12	16	18	26	17	37,5	1425,0	15,7	27,10
29 60 205	6	2000,00	100	59	59	43	2,5	62,5	125	16	16	18	26	17	37,5	1925,0	15,7	36,20
29 80 105	8	960,00	36	79	79	71	2,5	60,0	120	8	25	22	33	21	120,0	720,0	19,7	42,50
29 80 155	8	1440,00	54	79	79	71	2,5	60,0	120	12	25	22	33	21	120,0	1200,0	19,7	63,80
29 80 205	8	1920,00	72	79	79	71	2,5	60,0	120	16	25	22	33	21	120,0	1680,0	19,7	85,00
29 10 105	10	1000,00	30	99	99	89	2,5	62,5	125	8	32	33	48	32	125,0	750,0	19,7	68,72
29 10 155	10	1500,00	45	99	99	89	2,5	62,5	125	12	32	33	48	32	125,0	1250,0	19,7	103,00
29 12 105	12	1000,00	25	120	120	108	2,5	40,0	125	8	40	39	58	38	125,0	750,0	19,7	111,00

- 1) Bei diesen Zahnstangen kann nur die linke (bemaßte) Seite zur fortlaufenden Montage verwendet werden.
- 2) Schraubverbindung begrenzt die Vorschubkraft.

Gesamtteilungsfehler $GT_f/1000 \leq 0,034 \text{ mm}$,
 $GT_f/1500 \leq 0,041 \text{ mm} (\Delta 0,027 \text{ mm}/1000)$,
 $GT_f/2000 \leq 0,044 \text{ mm} (\Delta 0,022 \text{ mm}/1000)$.

- Verzahnung mit dem ATLANTA Hochleistungs-Härteprozess gehärtet und geschliffen
- Vergütungsstahl nach ATLANTA-Norm
- Profil allseitig geschliffen

Montagezahnstangen siehe Atlanta Servo-Katalog.

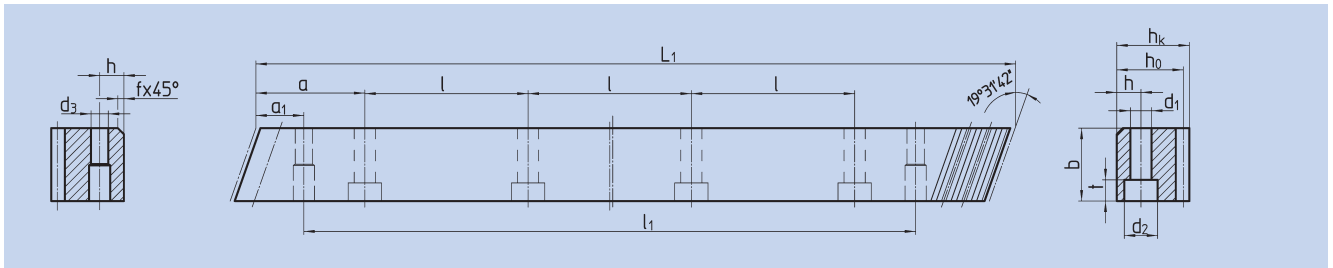
Um die Genauigkeit der Zahnstangen, auch im Stoß zu gewährleisten, empfehlen wir unser patentiertes Montageset, siehe Atlanta Servo-Katalog.

Für die Schmierung von Zahnstangen und Ritzeln empfehlen wir den Einsatz unserer elektronisch gesteuerten Schmierbüchsen, siehe Atlanta Servo-Katalog.

Für die Berechnung und Auswahl der Zahnstangentriebe siehe Rechenbeispiel im Atlanta Servo-Katalog.

Befestigungsschrauben für Zahnstangen siehe Atlanta Servo-Katalog.

ATLANTA-Qualität 7



Bestell-Nr.	Modul	L ₁	Zähnezahl	b ^{+0,4}	h _k	h ₀	f	a	l	Anz. Bohr.	h	d ₁	d ₂	t	a ₁	l ₁	d ₃	kg
29 20 107	2	1000,00	150	24	24	22	2	62,5	125	8	8	7	11	7	31,7	936,6	5,7	4,10
29 20 157	2	1500,00	225	24	24	22	2	62,5	125	12	8	7	11	7	31,7	1436,6	5,7	6,15
29 20 207	2	2000,00	300	24	24	22	2	62,5	125	16	8	7	11	7	31,7	1936,6	5,7	8,20
29 30 107	3	1000,00	100	29	29	26	2	62,5	125	8	9	10	15	9	35,0	930,0	7,7	5,90
29 30 157	3	1500,00	150	29	29	26	2	62,5	125	12	9	10	15	9	35,0	1430,0	7,7	8,85
29 30 207	3	2000,00	200	29	29	26	2	62,5	125	16	9	10	15	9	35,0	1930,0	7,7	11,80
29 40 107	4	1000,00	75	39	39	35	2	62,5	125	8	12	14	20	13	33,3	933,4	11,7	10,70
29 40 157 ¹⁾	4	1506,67	113	39	39	35	2	62,5	125	12	12	14	20	13	33,3	1433,0	11,7	16,00
29 40 207	4	2000,00	150	39	39	35	2	62,5	125	16	12	14	20	13	33,3	1933,4	11,7	21,40
29 50 107	5	1000,00	60	49	39	34	2,5	62,5	125	8	12	14	20	13	37,5	925,0	11,7	13,00
29 50 157	5	1500,00	90	49	39	34	2,5	62,5	125	12	12	14	20	13	37,5	1425,0	11,7	19,50
29 50 207	5	2000,00	120	49	39	34	2,5	62,5	125	16	12	14	20	13	37,5	1925,0	11,7	26,00
29 60 107	6	1000,00	50	59	49	43	2,5	62,5	125	8	16	18	26	17	37,5	925,0	15,7	18,10
29 60 157	6	1500,00	75	59	49	43	2,5	62,5	125	12	16	18	26	17	37,5	1425,0	15,7	27,10
29 60 207	6	2000,00	100	59	49	43	2,5	62,5	125	16	16	18	26	17	37,5	1925,0	15,7	36,20
29 80 107	8	960,00	36	79	79	71	2,5	60,0	120	8	25	22	33	21	120,0	720,0	19,7	42,50
29 80 157	8	1440,00	54	79	79	71	2,5	60,0	120	12	25	22	33	21	120,0	1200,0	19,7	65,00
29 80 207	8	1920,00	72	79	79	71	2,5	60,0	120	16	25	22	33	21	120,0	1680,0	19,7	85,00
29 10 107	10	1000,00	30	99	99	89	2,5	62,5	125	8	32	33	48	32	125,0	750,0	19,7	68,72
29 10 157	10	1500,00	45	99	99	89	2,5	62,5	125	12	32	33	48	32	125,0	1250,0	19,7	104,00

1) Bei diesen Zahnstangen kann nur die linke (bemaßte) Seite zur fortlaufenden Montage verwendet werden.

Gesamtteilungsfehler $GT_f/1000 \leq 0,052 \text{ mm}$,
 $GT_f/1500 \leq 0,062 \text{ mm} (\hat{=} 0,042 \text{ mm}/1000)$,
 $GT_f/2000 \leq 0,068 \text{ mm} (\hat{=} 0,034 \text{ mm}/1000)$.

- Verzahnung mit dem ATLANTA Hochleistungs-Härteprozess gehärtet und geschliffen
- Vergütungsstahl nach ATLANTA-Norm
- Profil allseitig geschliffen

Montagezahnstangen siehe Atlanta Servo-Katalog.

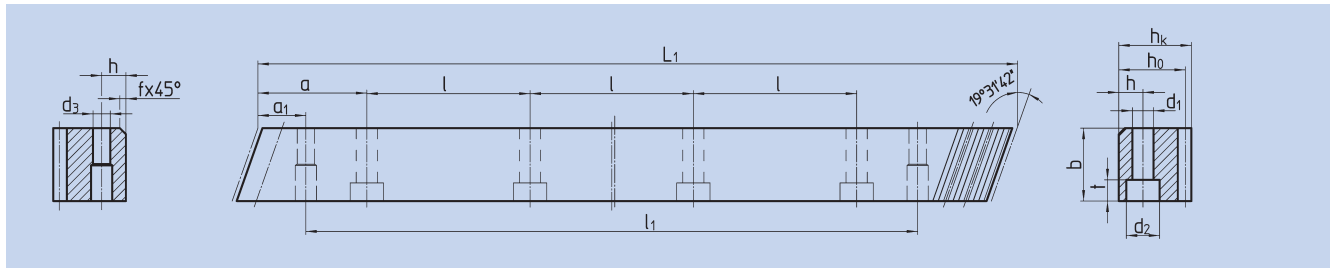
Um die Genauigkeit der Zahnstangen, auch im Stoß zu gewährleisten, empfehlen wir unser patentiertes Montageset, siehe Atlanta Servo-Katalog.

Für die Schmierung von Zahnstangen und Ritzeln empfehlen wir den Einsatz unserer elektronisch gesteuerten Schmierbüchsen, siehe Atlanta Servo-Katalog.

Für die Berechnung und Auswahl der Zahnstangentriebe siehe Atlanta Servo-Katalog.

Befestigungsschrauben für Zahnstangen siehe Atlanta Servo-Katalog.

ATLANTA-Qualität 8



Bestell-Nr.	Modul	L ₁	Zähnezahl	b ^{+0,4}	h _k	h ₀	f	a	l	Anz. Bohr.	h	d ₁	d ₂	t	a ₁	l ₁	d ₃	kg
29 20 108	2	1000,00	150	24	24	22	2	62,5	125	8	8	7	11	7	31,7	936,6	5,7	4,12
29 20 158	2	1500,00	225	24	24	22	2	62,5	125	12	8	7	11	7	31,7	1486,6	5,7	6,15
29 20 208	2	2000,00	300	24	24	22	2	62,5	125	16	8	7	11	7	31,7	1936,6	5,7	8,00
29 30 108	3	1000,00	100	29	29	26	2	62,5	125	8	9	10	15	9	35,0	930,0	7,7	5,70
29 30 158	3	1500,00	150	29	29	26	2	62,5	125	12	9	10	15	9	35,0	1430,0	7,7	8,90
29 30 208	3	2000,00	200	29	29	26	2	62,5	125	16	9	10	15	9	35,0	1930,0	7,7	11,20
29 40 108	4	1000,00	75	39	39	35	2	62,5	125	8	12	14	20	13	33,3	933,4	11,7	10,10
29 40 158 ¹⁾	4	1506,67	113	39	39	35	2	62,5	125	12	12	14	20	13	33,3	1433,4	11,7	16,00
29 40 208	4	2000,00	150	39	39	35	2	62,5	125	16	12	14	20	13	33,3	1933,4	11,7	20,16
29 50 108	5	1000,00	60	49	39	34	2,5	62,5	125	8	12	14	20	13	37,5	925,0	11,7	13,00
29 50 208	5	2000,00	120	49	39	34	2,5	62,5	125	16	12	14	20	13	37,5	1925,0	11,7	24,52
29 60 108	6	1000,00	50	59	49	43	2,5	62,5	125	8	16	18	26	17	37,5	925,0	15,7	18,25
29 60 208	6	2000,00	100	59	49	43	2,5	62,5	125	16	16	18	26	17	37,5	1925,0	15,7	36,20

1) Bei diesen Zahnstangen kann nur die linke (bemaßte) Seite zur fortlaufenden Montage verwendet werden.

Gesamteilungsfehler $GT_f/1000 \leq 0,060 \text{ mm}$,
 $GT_f/1500 \leq 0,072 \text{ mm} (\triangleq 0,048 \text{ mm}/1000)$
 $GT_f/2000 \leq 0,078 \text{ mm} (\triangleq 0,039 \text{ mm}/1000)$.

- Verzahnung mit dem ATLANTA Hochleistungs-Härteprozess gehärtet und geschliffen
- Vergütungsstahl nach ATLANTA-Norm
- Profil allseitig geschliffen

Montagezahnstangen siehe Atlanta Servo-Katalog.

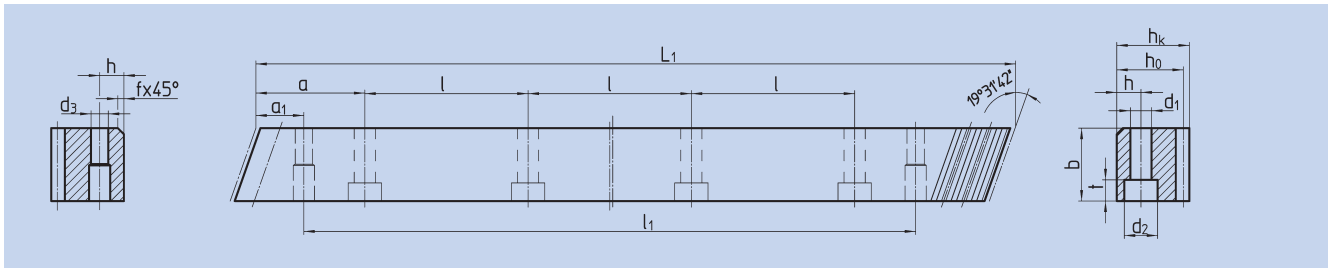
Um die Genauigkeit der Zahnstangen, auch im Stoß zu gewährleisten, empfehlen wir unser patentiertes Montageset, siehe Atlanta Servo-Katalog.

Für die Schmierung von Zahnstangen und Ritzeln empfehlen wir den Einsatz unserer elektronisch gesteuerten Schmierbüchsen, siehe Atlanta Servo-Katalog.

Für die Berechnung und Auswahl der Zahnstangentriebe siehe Atlanta Servo-Katalog.

Befestigungsschrauben für Zahnstangen siehe Atlanta Servo-Katalog.

ATLANTA-Qualität 8



Bestell-Nr.	Modul	L ₁	Zähnezahl	b _{0,5}	h _k	h ₀	f	a	l	Anz. Bohr.	h	d ₁	d ₂	t	a ₁	l ₁	d ₃	kg	
38 21 100	2	1000,00	150	25	24	22	2	62,5	125	8	8	7	11	7	31,7	936,6	5,7	4,30	
38 20 100	2	1000,00	150	25	24	22	2	ohne Befestigungsbohrungen											4,30
38 21 200	2	2000,00	300	25	24	22	2	62,5	125	16	8	7	11	7	31,7	1936,6	5,7	8,60	
38 20 200	2	2000,00	300	25	24	22	2	ohne Befestigungsbohrungen											8,60
38 31 100	3	1000,00	100	30	29	26	2	62,5	125	8	9	10	15	9	35,0	930,0	7,7	6,10	
38 30 100	3	1000,00	100	30	29	26	2	ohne Befestigungsbohrungen											6,10
38 31 200	3	2000,00	200	30	29	26	2	62,5	125	16	9	10	15	9	35,0	1930,0	7,7	12,20	
38 30 200	3	2000,00	200	30	29	26	2	ohne Befestigungsbohrungen											12,20
38 41 100	4	1000,00	75	40	39	35	2	62,5	125	8	12	10	15	9	33,3	933,4	7,7	10,90	
38 40 100	4	1000,00	75	40	39	35	2	ohne Befestigungsbohrungen											10,90
38 41 200	4	2000,00	150	40	39	35	2	62,5	125	16	12	10	15	9	33,3	1933,4	7,7	21,80	
38 40 200	4	2000,00	150	40	39	35	2	ohne Befestigungsbohrungen											21,80

Gesamteilungsfehler $GT_f/1000 \leq 0,100 \text{ mm}$,
 $GT_f/2000 \leq 0,200 \text{ mm}$.

- Verzahnung gefräst und vergütet
- Vergütungsstahl nach ATLANTA-Norm
- Blankstahl, Zahnstangentrücken bearbeitet

Montagezahnstangen siehe Atlanta Servo-Katalog.

Um die Genauigkeit der Zahnstangen, auch im Stoß zu gewährleisten, empfehlen wir unser patentiertes Montageset, siehe Atlanta Servo-Katalog.

Für die Schmierung von Zahnstangen und Ritzeln empfehlen wir den Einsatz unserer elektronisch gesteuerten Schmierbüchsen, siehe Atlanta Servo-Katalog.

Für die Berechnung und Auswahl der Zahnstangentriebe siehe Atlanta Servo-Katalog.

Befestigungsschrauben für Zahnstangen siehe Atlanta Servo-Katalog.



Berechnung und Auswahl für Ritzel-Zahnstangen-Triebe – Modul 2 – schräg verzahnt

Zahnstange		HPR		PR		BR	
ATLANTA-Qualität		6	7	8	9	10	
Zahnstange	Werkstoff	Vergütungsstahl nach ATLANTA-Norm					
	Wärmebehandlung	Hochleistungs-Härteprozess			weich		
	Werkstoff	16MnCr5	16MnCr5	16MnCr5	16MnCr5	C45	C45
Ritzel	Wärmebehandlung	einsatzgehärtet	einsatzgehärtet	einsatzgehärtet	einsatzgehärtet	ind. gehärtet	weich
	Werkstoff	16MnCr5	16MnCr5	16MnCr5	16MnCr5	C45	C45
Ritzelzähnezahl ¹⁾	Teilkreis d	Max. Vorschubkraft (Werte gelten nur für Material nach ATLANTA-Norm)					
		einsatzgehärtet	einsatzgehärtet	einsatzgehärtet	einsatzgehärtet	ind. gehärtet	einsatzgehärtet
12	25,46 mm	8,0 kN	6,0 kN	6,0 kN	5,0 kN	2,0 kN	1,0 kN
13	27,59 mm	8,5 kN	6,0 kN	6,0 kN	5,5 kN	2,0 kN	1,0 kN
14	29,71 mm	10,0 kN	7,5 kN	7,5 kN	6,5 kN	2,5 kN	1,0 kN
15	31,83 mm	11,0 kN	8,0 kN	8,0 kN	7,0 kN	2,5 kN	1,5 kN
16	33,95 mm	12,0 kN	9,0 kN	9,0 kN	7,5 kN	3,0 kN	2,0 kN
17	36,08 mm	13,0 kN	9,5 kN	9,5 kN	8,0 kN	3,0 kN	2,0 kN
18	38,20 mm	13,5 kN	10,0 kN	10,0 kN	8,5 kN	3,5 kN	2,0 kN
19	40,32 mm	14,5 kN	10,5 kN	10,5 kN	9,0 kN	3,5 kN	2,0 kN
20	42,44 mm	15,5 kN	11,5 kN	11,5 kN	9,5 kN	4,0 kN	2,0 kN
21	44,56 mm	16,0 kN	12,0 kN	12,0 kN	10,5 kN	4,0 kN	2,0 kN
22	46,69 mm	17,0 kN	12,5 kN	12,5 kN	11,0 kN	4,0 kN	2,0 kN
23	48,81 mm	17,5 kN	13,0 kN	13,0 kN	11,5 kN	4,5 kN	2,5 kN
24	50,93 mm	18,0 kN	13,5 kN	13,5 kN	12,0 kN	4,5 kN	3,0 kN
25	53,05 mm	18,5 kN	14,5 kN	14,5 kN	12,5 kN	5,0 kN	3,0 kN
26	55,17 mm	18,5 kN	15,0 kN	15,0 kN	13,0 kN	5,0 kN	3,0 kN
27	57,30 mm	18,5 kN	15,0 kN	15,0 kN	13,0 kN	5,5 kN	3,5 kN
28	59,42 mm	18,5 kN	15,0 kN	15,0 kN	13,0 kN	5,5 kN	3,5 kN
29	61,54 mm	18,5 kN	15,0 kN	15,0 kN	13,0 kN	6,0 kN	4,0 kN
30	63,66 mm	18,5 kN	15,0 kN	15,0 kN	13,0 kN	6,0 kN	4,0 kN
31	65,78 mm	19,0 kN	15,5 kN	15,5 kN	13,0 kN	6,0 kN	4,0 kN
32	67,91 mm	19,0 kN	15,5 kN	15,5 kN	13,0 kN	6,5 kN	4,0 kN
33	70,03 mm	19,0 kN	15,5 kN	15,5 kN	13,5 kN	6,5 kN	4,0 kN
34	72,15 mm	19,0 kN	15,5 kN	15,5 kN	13,5 kN	7,0 kN	4,5 kN
35	74,27 mm	19,0 kN	15,5 kN	15,5 kN	13,5 kN	7,0 kN	4,5 kN
36	76,39 mm	19,0 kN	15,5 kN	15,5 kN	13,5 kN	7,5 kN	4,5 kN
37	78,52 mm	19,0 kN	15,5 kN	15,5 kN	13,5 kN	7,5 kN	5,0 kN
38	80,64 mm	19,0 kN	15,5 kN	15,5 kN	13,5 kN	7,5 kN	5,0 kN
39	82,76 mm	19,0 kN	15,5 kN	15,5 kN	13,5 kN	8,0 kN	5,0 kN
40	84,88 mm	19,5 kN	15,5 kN	15,5 kN	13,5 kN	8,0 kN	5,0 kN

1) Auf Verfügbarkeit prüfen (Kapitel ZA)
 2) Nach ATLANTA-Norm

Maximal zulässige Vorschubkräfte – Beschreibung siehe Seite ZA-23 ATLANTA Servo-Katalog



Berechnung und Auswahl für Ritzel-Zahnstangen-Triebe – Modul 3 – schräg verzahnt

Zahnstange		HPR		PR		BR	
ATLANTA-Qualität		6	7	8	9	10	
Zahnstange	Werkstoff	Vergütungsstahl nach ATLANTA-Norm					
	Wärmebehandlung	Hochleistungs-Härteprozess			weich		
	Werkstoff	16MnCr5	16MnCr5	16MnCr5	16MnCr5	C45	C45
Ritzel	Wärmebehandlung	einsatzgehärtet	einsatzgehärtet	einsatzgehärtet	einsatzgehärtet	ind. gehärtet	weich
	Werkstoff	16MnCr5	16MnCr5	16MnCr5	16MnCr5	C45	C45
	Werkstoff	16MnCr5	16MnCr5	16MnCr5	16MnCr5	C45	C45
Ritzelzähnezahl ¹⁾	Teilkreis d	Max. Vorschubkraft (Werte gelten nur für Material nach ATLANTA-Norm)					
12	38,20 mm	13,0 kN	9,5 kN	9,5 kN	8,0 kN	2,5 kN	1,0 kN
13	41,38 mm	15,0 kN	11,0 kN	11,0 kN	9,0 kN	3,0 kN	1,5 kN
14	44,56 mm	18,0 kN	13,0 kN	13,0 kN	11,0 kN	3,5 kN	1,5 kN
15	47,75 mm	19,5 kN	14,5 kN	14,5 kN	12,0 kN	4,0 kN	2,0 kN
16	50,93 mm	21,0 kN	15,5 kN	15,5 kN	13,0 kN	4,5 kN	2,0 kN
17	54,11 mm	22,5 kN	16,5 kN	16,5 kN	14,0 kN	4,5 kN	2,0 kN
18	57,30 mm	24,0 kN	17,5 kN	17,5 kN	14,5 kN	5,0 kN	2,0 kN
19	60,48 mm	25,5 kN	19,0 kN	19,0 kN	15,5 kN	5,5 kN	2,5 kN
20	63,66 mm	27,0 kN	20,0 kN	20,0 kN	16,5 kN	5,5 kN	2,5 kN
21	66,85 mm	28,5 kN	21,0 kN	21,0 kN	17,5 kN	6,0 kN	2,5 kN
22	70,03 mm	29,5 kN	22,0 kN	22,0 kN	18,5 kN	6,5 kN	2,5 kN
23	73,21 mm	29,5 kN	23,0 kN	23,0 kN	19,0 kN	6,5 kN	3,0 kN
24	76,39 mm	29,5 kN	24,0 kN	24,0 kN	20,0 kN	7,0 kN	3,0 kN
25	79,58 mm	30,0 kN	25,5 kN	25,0 kN	21,0 kN	7,5 kN	3,0 kN
26	82,76 mm	30,0 kN	26,5 kN	26,5 kN	22,0 kN	7,5 kN	3,5 kN
27	85,94 mm	30,0 kN	27,5 kN	27,5 kN	22,5 kN	8,0 kN	3,5 kN
28	89,13 mm	30,5 kN	27,5 kN	27,5 kN	23,5 kN	8,0 kN	3,5 kN
29	92,31 mm	30,5 kN	27,5 kN	27,5 kN	23,5 kN	8,5 kN	4,0 kN
30	95,49 mm	30,5 kN	27,5 kN	27,5 kN	24,0 kN	9,0 kN	4,0 kN
31	98,68 mm	30,5 kN	28,0 kN	28,0 kN	24,0 kN	9,0 kN	4,0 kN
32	101,86 mm	30,5 kN	28,0 kN	28,0 kN	24,0 kN	9,5 kN	4,0 kN
33	105,04 mm	31,0 kN	28,0 kN	28,0 kN	24,0 kN	10,0 kN	4,5 kN
34	108,23 mm	31,0 kN	28,0 kN	28,0 kN	24,0 kN	10,0 kN	4,5 kN
35	111,41 mm	31,0 kN	28,0 kN	28,0 kN	24,0 kN	10,5 kN	4,5 kN
36	114,59 mm	31,0 kN	28,5 kN	28,5 kN	24,5 kN	11,0 kN	5,0 kN
37	117,77 mm	31,0 kN	28,5 kN	28,5 kN	24,5 kN	11,0 kN	5,0 kN
38	120,96 mm	31,0 kN	28,5 kN	28,5 kN	24,5 kN	11,5 kN	5,0 kN
39	124,14 mm	31,0 kN	28,5 kN	28,5 kN	24,5 kN	11,5 kN	5,0 kN
40	127,32 mm	31,0 kN	28,5 kN	28,5 kN	24,5 kN	12,0 kN	5,5 kN

1) Auf Verfügbarkeit prüfen (Kapitel ZA)
2) Nach ATLANTA-Norm

Maximal zulässige Vorschubkräfte – Beschreibung siehe Seite ZA-23 ATLANTA Servo-Katalog



Berechnung und Auswahl für Ritzel-Zahnstangen-Triebe – Modul 4 – schräg verzahnt

Zahnstange		HPR		PR		BR	
ATLANTA-Qualität		6	7	8	9	10	
Zahnstange	Werkstoff	Vergütungsstahl nach ATLANTA-Norm					
	Wärmebehandlung	Hochleistungs-Härteprozess			weich		
	Werkstoff	16MnCr5	16MnCr5	16MnCr5	16MnCr5	C45	C45
Ritzel	Wärmebehandlung	einsatzgehärtet	einsatzgehärtet	einsatzgehärtet	einsatzgehärtet	ind. gehärtet	weich
	Werkstoff	16MnCr5	16MnCr5	16MnCr5	16MnCr5	C45	C45
	Werkstoff	einsatzgehärtet	einsatzgehärtet	einsatzgehärtet	einsatzgehärtet	ind. gehärtet	weich
	Werkstoff	16MnCr5	16MnCr5	16MnCr5	16MnCr5	C45	C45
Ritzelzähnezahl ¹⁾	Teilkreis d	Max. Vorschubkraft (Werte gelten nur für Material nach ATLANTA-Norm)					
12	50,93 mm	24,0 kN	17,5 kN	15,0 kN	6,0 kN	5,0 kN	2,0 kN
13	55,17 mm	28,0 kN	20,5 kN	17,5 kN	7,0 kN	5,5 kN	2,5 kN
14	59,42 mm	32,5 kN	24,0 kN	20,5 kN	8,0 kN	6,5 kN	3,0 kN
15	63,66 mm	37,0 kN	27,5 kN	23,5 kN	9,5 kN	7,5 kN	3,5 kN
16	67,91 mm	39,5 kN	29,5 kN	25,0 kN	10,0 kN	8,0 kN	3,5 kN
17	72,15 mm	42,0 kN	31,0 kN	26,5 kN	10,5 kN	8,5 kN	4,0 kN
18	76,39 mm	45,0 kN	33,0 kN	28,5 kN	11,5 kN	9,0 kN	4,0 kN
19	80,64 mm	47,5 kN	35,0 kN	30,0 kN	12,0 kN	10,0 kN	4,5 kN
20	84,88 mm	50,0 kN	37,0 kN	31,5 kN	13,0 kN	10,5 kN	4,5 kN
21	89,13 mm	53,0 kN	39,0 kN	33,5 kN	13,5 kN	11,0 kN	5,0 kN
22	93,37 mm	55,5 kN	41,0 kN	35,0 kN	14,0 kN	11,5 kN	5,0 kN
23	97,62 mm	56,5 kN	43,0 kN	37,0 kN	15,0 kN	12,0 kN	5,5 kN
24	101,86 mm	57,0 kN	45,0 kN	38,5 kN	15,5 kN	12,5 kN	5,5 kN
25	106,10 mm	57,5 kN	47,0 kN	40,0 kN	16,0 kN	13,0 kN	6,0 kN
26	110,35 mm	57,5 kN	49,0 kN	42,0 kN	17,0 kN	13,5 kN	6,0 kN
27	114,59 mm	58,0 kN	49,5 kN	42,0 kN	17,5 kN	14,5 kN	6,5 kN
28	118,84 mm	58,5 kN	49,5 kN	42,0 kN	18,5 kN	15,0 kN	6,5 kN
29	123,08 mm	58,5 kN	50,0 kN	42,5 kN	19,0 kN	15,5 kN	7,0 kN
30	127,32 mm	58,5 kN	50,0 kN	42,5 kN	19,5 kN	16,0 kN	7,0 kN
31	131,57 mm	59,0 kN	50,0 kN	42,5 kN	20,5 kN	16,5 kN	7,5 kN
32	135,81 mm	59,0 kN	50,5 kN	43,0 kN	21,0 kN	17,0 kN	7,5 kN
33	140,06 mm	59,0 kN	50,5 kN	43,0 kN	22,0 kN	17,5 kN	8,0 kN
34	144,30 mm	59,5 kN	50,5 kN	43,0 kN	22,5 kN	18,0 kN	8,0 kN
35	148,54 mm	59,5 kN	51,0 kN	43,5 kN	23,0 kN	18,0 kN	8,5 kN
36	152,79 mm	59,5 kN	51,0 kN	43,5 kN	24,0 kN	19,5 kN	8,5 kN
37	157,03 mm	59,5 kN	51,0 kN	43,5 kN	24,5 kN	20,0 kN	9,0 kN
38	161,28 mm	59,5 kN	51,5 kN	43,5 kN	25,5 kN	20,5 kN	9,0 kN
39	165,52 mm	59,5 kN	51,5 kN	43,5 kN	26,0 kN	21,0 kN	9,5 kN
40	169,77 mm	60,0 kN	51,5 kN	44,0 kN	27,0 kN	21,5 kN	10,0 kN

1) Auf Verfügbarkeit prüfen (Kapitel ZA)
 2) Nach ATLANTA-Norm

Maximal zulässige Vorschubkräfte – Beschreibung siehe Seite ZA-23 ATLANTA Servo-Katalog



Zahnstange	HPR	PR	BR
ATLANTA-Qualität	6	7	8
			9
			10

Zahnstange	Werkstoff	Vergütungsstahl nach ATLANTA-Norm			
		Hochleistungs-Härteprozess		weich	
Ritzel	Wärmebehandlung	16MnCr5	16MnCr5	C45	C45
	Wärmebehandlung	einsatzgehärtet	einsatzgehärtet	weich	ind.gehärtet

Ritzelzähnezahl ¹⁾	Teilkreis d.	Max. Vorschubkraft (Werte gelten nur für Material nach ATLANTA-Norm)									
		16MnCr5	16MnCr5	16MnCr5	16MnCr5	16MnCr5	16MnCr5	16MnCr5	16MnCr5	16MnCr5	16MnCr5
12	63,66 mm	28,0 kN	28,0 kN	23,5 kN	5,0 kN	3,5 kN	17,5 kN	15,0 kN			
13	68,97 mm	32,5 kN	32,5 kN	27,5 kN	5,5 kN	4,0 kN	20,5 kN	17,5 kN			
14	74,27 mm	37,5 kN	37,5 kN	32,0 kN	6,5 kN	4,5 kN	23,5 kN	20,0 kN			
15	79,58 mm	43,0 kN	43,0 kN	36,5 kN	7,5 kN	5,5 kN	27,0 kN	23,0 kN			
16	84,88 mm	46,0 kN	46,0 kN	39,0 kN	8,0 kN	5,5 kN	29,0 kN	24,5 kN			
17	90,19 mm	49,5 kN	49,5 kN	42,0 kN	8,5 kN	6,0 kN	31,0 kN	26,0 kN			
18	95,49 mm	52,5 kN	52,5 kN	44,5 kN	9,0 kN	6,5 kN	33,0 kN	28,0 kN			
19	100,80 mm	55,5 kN	55,5 kN	47,0 kN	9,5 kN	7,0 kN	35,0 kN	29,5 kN			
20	106,10 mm	58,5 kN	58,5 kN	49,5 kN	10,5 kN	7,5 kN	37,0 kN	31,0 kN			
21	111,41 mm	61,5 kN	61,5 kN	52,5 kN	11,0 kN	7,5 kN	39,0 kN	33,0 kN			
22	116,71 mm	65,0 kN	65,0 kN	55,0 kN	11,5 kN	8,0 kN	41,0 kN	34,5 kN			
23	122,02 mm	68,0 kN	68,0 kN	57,5 kN	12,0 kN	8,5 kN	43,0 kN	36,5 kN			
24	127,32 mm	71,0 kN	71,0 kN	60,5 kN	12,5 kN	9,0 kN	45,0 kN	37,0 kN			
25	132,63 mm	74,5 kN	74,5 kN	63,0 kN	13,0 kN	9,5 kN	47,0 kN	37,0 kN			
26	137,93 mm	75,0 kN	75,0 kN	63,5 kN	13,5 kN	10,0 kN	48,0 kN	37,5 kN			
27	143,24 mm	75,5 kN	75,5 kN	64,0 kN	14,0 kN	10,0 kN	48,0 kN	37,5 kN			
28	148,54 mm	75,5 kN	75,5 kN	64,0 kN	15,0 kN	10,5 kN	48,5 kN	38,0 kN			
29	153,85 mm	76,0 kN	76,0 kN	64,5 kN	15,5 kN	11,0 kN	48,5 kN	38,0 kN			
30	159,16 mm	76,0 kN	76,0 kN	64,5 kN	16,0 kN	11,5 kN	49,0 kN	38,0 kN			

1) Auf Verfügbarkeit prüfen (Kapitel ZA)

Maximal zulässige Vorschubkräfte – Beschreibung siehe Seite ZA-23 ATLANTA Servo-Katalog



Berechnung und Auswahl für Ritzel-Zahnstangen-Triebe – Modul 6 – schräg verzahnt

Zahnstange		HPR		PR		BR		
ATLANTA-Qualität		6	7	8	9	10		
Zahnstange	Werkstoff	Vergütungsstahl nach ATLANTA-Norm						
	Wärmebehandlung	Hochleistungs-Härteprozess			weich			
	Werkstoff	16MnCr5	16MnCr5	16MnCr5	16MnCr5	C45	Hochleistungs-Härteprozess	
Ritzel	Wärmebehandlung	einsatzgehärtet	einsatzgehärtet	einsatzgehärtet	einsatzgehärtet	weich	16MnCr5	ind.gehärtet
Ritzelzähnezahl ¹⁾	Teilkreis d.	Max. Vorschubkraft (Werte gelten nur für Material nach ATLANTA-Norm)						
12	76,39 mm	40,5 kN	40,5 kN	33,5 kN	7,0 kN	5,0 kN	25,5 kN	21,5 kN
13	82,76 mm	47,0 kN	47,0 kN	39,0 kN	8,0 kN	6,0 kN	29,5 kN	25,0 kN
14	89,13 mm	54,5 kN	54,5 kN	45,5 kN	9,5 kN	7,0 kN	34,5 kN	29,0 kN
15	95,49 mm	62,5 kN	62,5 kN	52,0 kN	11,0 kN	8,0 kN	39,0 kN	33,0 kN
16	101,86 mm	67,0 kN	67,0 kN	55,5 kN	11,5 kN	8,5 kN	42,0 kN	35,5 kN
17	108,23 mm	71,5 kN	71,5 kN	59,5 kN	12,5 kN	9,0 kN	45,0 kN	38,0 kN
18	114,59 mm	76,0 kN	76,0 kN	63,0 kN	13,5 kN	9,5 kN	47,5 kN	40,5 kN
19	120,96 mm	80,5 kN	80,5 kN	67,0 kN	14,0 kN	10,0 kN	50,5 kN	43,0 kN
20	127,32 mm	85,0 kN	85,0 kN	70,5 kN	15,0 kN	10,5 kN	53,5 kN	45,0 kN
21	133,69 mm	89,5 kN	89,5 kN	74,5 kN	15,5 kN	11,5 kN	56,5 kN	47,5 kN
22	140,06 mm	94,0 kN	94,0 kN	78,0 kN	16,5 kN	12,0 kN	59,0 kN	50,0 kN
23	146,42 mm	98,5 kN	98,5 kN	82,0 kN	17,5 kN	12,5 kN	62,0 kN	52,5 kN
24	152,79 mm	103,0 kN	103,0 kN	85,5 kN	18,0 kN	13,0 kN	65,0 kN	53,0 kN
25	159,16 mm	107,0 kN	107,0 kN	89,0 kN	19,0 kN	13,5 kN	66,5 kN	53,5 kN
26	165,52 mm	107,5 kN	107,5 kN	89,5 kN	20,0 kN	14,0 kN	66,5 kN	53,5 kN
27	171,89 mm	108,0 kN	108,0 kN	89,5 kN	20,5 kN	15,0 kN	67,0 kN	54,0 kN
28	178,25 mm	108,0 kN	108,0 kN	90,0 kN	21,5 kN	15,5 kN	67,0 kN	54,0 kN
29	184,62 mm	108,5 kN	108,5 kN	90,5 kN	22,0 kN	16,0 kN	67,5 kN	54,5 kN
30	190,99 mm	109,0 kN	109,0 kN	90,5 kN	23,0 kN	16,5 kN	67,5 kN	54,5 kN

1) Auf Verfügbarkeit prüfen (Kapitel ZA)

Maximal zulässige Vorschubkräfte – Beschreibung siehe Seite ZA-23 ATLANTA Servo Katalog



Berechnung und Auswahl für Ritzel-Zahnstangen-Triebe – Modul 8 – schräg verzahnt

Zahnstange	HPR			BR		
	6	7	9	10		
ATLANTA-Qualität	Vergütungsstahl nach ATLANTA-Norm					
Zahnstange	Werkstoff	Hochleistungs-Härteprozess		weich		Hochleistungs-Härteprozess
	Wärmebehandlung	16MnCr5	16MnCr5	16MnCr5	C45	C45
Ritzel	Werkstoff	Hochleistungs-Härteprozess		weich		Hochleistungs-Härteprozess
	einsatzgehärtet	einsatzgehärtet	einsatzgehärtet	einsatzgehärtet	weich	ind. gehärtet
Ritzelzähnezahl ¹⁾	Max. Vorschubkraft (Werte gelten nur für Material nach ATLANTA-Norm)					
12	101,86 mm	72,5 kN	72,5 kN	12,5 kN	9,0 kN	45,5 kN
13	110,35 mm	84,5 kN	84,5 kN	15,0 kN	10,5 kN	53,0 kN
14	118,84 mm	97,5 kN	97,5 kN	17,0 kN	12,5 kN	61,5 kN
15	127,32 mm	111,5 kN	111,5 kN	19,5 kN	14,0 kN	70,0 kN
16	135,81 mm	119,5 kN	119,5 kN	21,0 kN	15,0 kN	75,0 kN
17	144,30 mm	127,5 kN	127,5 kN	22,5 kN	16,0 kN	80,0 kN
18	152,79 mm	135,5 kN	135,5 kN	24,0 kN	17,0 kN	85,0 kN
19	161,28 mm	143,5 kN	143,5 kN	25,5 kN	18,0 kN	90,0 kN
20	169,77 mm	151,5 kN	151,5 kN	27,0 kN	19,5 kN	95,5 kN
21	178,25 mm	160,0 kN	159,5 kN	28,5 kN	20,5 kN	100,5 kN
22	186,74 mm	168,0 kN	167,5 kN	29,5 kN	21,5 kN	105,5 kN
23	195,23 mm	176,0 kN	176,0 kN	31,0 kN	22,5 kN	110,5 kN
24	203,72 mm	184,0 kN	184,0 kN	32,5 kN	23,5 kN	115,5 kN
25	212,21 mm	187,0 kN	187,0 kN	34,0 kN	24,5 kN	116,5 kN
26	220,70 mm	188,0 kN	188,0 kN	35,5 kN	25,5 kN	117,0 kN
27	229,18 mm	189,0 kN	188,5 kN	37,0 kN	26,5 kN	117,5 kN
28	237,67 mm	189,5 kN	189,5 kN	38,5 kN	27,5 kN	117,5 kN
29	246,16 mm	190,5 kN	190,5 kN	40,0 kN	28,5 kN	118,0 kN
30	254,65 mm	191,0 kN	191,0 kN	41,5 kN	29,5 kN	118,5 kN

1) Auf Verfügbarkeit prüfen (Kapitel ZA)

Maximal zulässige Vorschubkräfte – Beschreibung siehe Seite ZA-23 ATLANTA Servo-Katalog



Berechnung und Auswahl für Ritzel-Zahnstangen-Triebe – Modul 10 – schräg verzahnt

Zahnstange	HPR			BR		
	6	7	9	10		
ATLANTA-Qualität	Vergütungsstahl nach ATLANTA-Norm					
Zahnstge	Werkstoff	weich			Hochleistungs-Härteprozess	
	Wärmebehandlung	weich			Hochleistungs-Härteprozess	
Ritzel	Werkstoff	16MnCr5	16MnCr5	16MnCr5	16MnCr5	C45
	einsatzgehärtet	einsatzgehärtet	einsatzgehärtet	einsatzgehärtet	weich	ind. gehärtet
Ritzelzähnezahl ¹⁾	Teilkreis d.	Max. Vorschubkraft (Werte gelten nur für Material nach ATLANTA-Norm)				
12	127,32 mm	114,0 kN	20,0 kN	14,5 kN	71,5 kN	60,5 kN
13	137,93 mm	132,5 kN	23,5 kN	16,5 kN	83,0 kN	70,0 kN
14	148,54 mm	153,5 kN	27,0 kN	19,5 kN	96,0 kN	81,5 kN
15	159,16 mm	175,0 kN	31,0 kN	22,0 kN	109,5 kN	93,0 kN
16	169,77 mm	187,5 kN	33,0 kN	24,0 kN	117,5 kN	99,5 kN
17	180,38 mm	200,0 kN	35,5 kN	25,5 kN	125,5 kN	106,0 kN
18	190,99 mm	212,5 kN	37,5 kN	27,0 kN	133,5 kN	113,0 kN
19	201,60 mm	225,5 kN	40,0 kN	28,5 kN	141,5 kN	119,5 kN
20	212,21 mm	238,0 kN	42,0 kN	30,5 kN	149,5 kN	126,0 kN
21	222,82 mm	250,5 kN	44,5 kN	32,0 kN	157,0 kN	133,0 kN
22	233,43 mm	263,0 kN	46,5 kN	33,5 kN	165,0 kN	140,0 kN
23	244,04 mm	276,0 kN	49,0 kN	35,0 kN	173,0 kN	142,0 kN
24	254,65 mm	285,5 kN	51,0 kN	37,0 kN	178,0 kN	143,0 kN
25	265,26 mm	287,0 kN	53,5 kN	38,5 kN	178,5 kN	143,5 kN

1) Auf Verfügbarkeit prüfen (Kapitel ZA)

Maximal zulässige Vorschubkräfte – Beschreibung siehe Seite ZA-23 ATLANTA Servo-Katalog



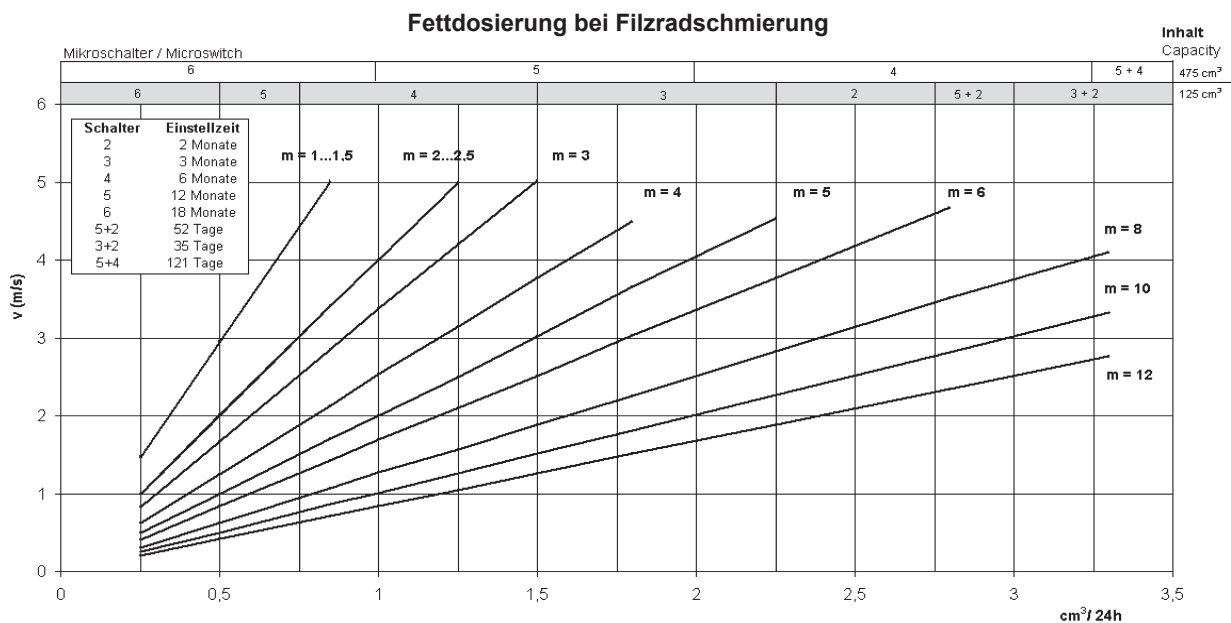
Zahnstange	HPR	BR
ATLANTA-Qualität	6	10
Zahnstange	Werkstoff	Vergütungsstahl nach ATLANTA-Norm
	Wärmebehandlung	Hochleistungs-Härteprozess
Ritzel	Werkstoff	16MnCr5
	Wärmebehandlung	16MnCr5
	Teilkreis d	Max. Vorschubkraft (Wertegelten nur für Material nach ATLANTA-Norm)
Ritzelzähnezahl ¹⁾		
12	152,79 mm	101,0 kN
13	165,52 mm	117,5 kN
14	178,25 mm	136,0 kN
15	190,99 mm	155,0 kN
16	203,72 mm	166,0 kN
17	216,45 mm	177,0 kN
18	229,18 mm	188,5 kN
19	241,92 mm	199,5 kN
20	254,65 mm	210,5 kN
21	267,38 mm	222,0 kN
22	280,11 mm	233,0 kN
23	292,85 mm	244,5 kN
24	305,58 mm	251,0 kN
25	318,31 mm	252,5 kN

1) Auf Verfügbarkeit prüfen (Kapitel ZA)

Maximal zulässige Vorschubkräfte – Beschreibung siehe Seite ZA-23 ATLANTA Servo-Katalog

Schmierung von Zahnstangentrieben

Bei Schmierung von Zahnstangentrieben über Filzrad und elektronisch gesteuerte Schmierbüchse kann der untenstehenden Tabelle die optimale Fettdosierung entnommen werden. Bei Schmierung über Gleitpinsel sollte die nächst größere Schalterstellung genommen werden. Zum Beispiel bei Mikroschalter 4 für Filzradschmierung sollte für Gleitpinselschmierung bei gleicher Geschwindigkeit und gleichem Modul, 3 gewählt werden.



Druckaufbau

Alle Mikroschalter auf „on“ stellen. Druckaufbauzeit 6–8 Stunden. Danach gewünschte Laufzeit einstellen. Der Mikroschalter 7 muss dabei immer eingeschaltet sein. Vor der Inbetriebnahme der Schmierbüchse sollte der Verbindungsschlauch zwischen Filzrad und Schmierbüchse gefüllt- und das Filzrad mit Fett getränkt werden.

Batteriewechsel

Die Garantie der Batterielaufzeit beträgt 1 Jahr. Danach sollte ein Batteriewechsel vorgenommen werden. Auch wenn das Kontrolllicht noch blinkt kann es sein dass die Batteriekapazität schon nachgelassen hat. Die Schmierbüchse kann über ein Zwischenrelais auch durch externe Stromversorgung betrieben werden.

Empfohlene Schmierstoffe für Zahnstangentriebe:

Filzzahnradsschmierung: Klüber Microlube GB 0
Bestell-Nr. 65 90 002 (1 kg)
 Klüber Structovis AHD
Bestell-Nr. 65 90 003 (1 kg)

Pinselschmierung: Klüber Microlube GB 0
Bestell-Nr. 65 90 002 (1 kg)

Weiterhin wurden folgende Schmierstoffe mit gutem Ergebnis getestet:

Oest Langzeitfett LT 200
 BP Energese LS EP 00
 DEA Glissando 6833 EP 00
 Fuchs Lubritech Gearmaster ZSA
 Molykote G-Rapid plus 3694





ATLANTA Antriebssysteme GmbH
Carl-Benz-Str. 16
74321 Bietigheim-Bissingen
Deutschland
Tel. +49 7142 7001-0
info@atlantagmbh.de
www.atlantagmbh.de



STÖBER Antriebstechnik GmbH + Co. KG
Kieselbronner Straße 12
75177 Pforzheim
Deutschland
Tel. +49 7231 582-0
mail@stoerber.de
www.stoerber.com

Service-Hotline
+49 7231 582-3000

